



Jahresbericht 2020 des Klinischen Krebsregisters Mecklenburg-Vorpommern

Diagnosejahre 2008-2018

```
</tns:Patienten_Geburtsname></tns:Patienten_Geburtsname>  
<tns:Patienten_Geschlecht>M</tns:Patienten_Geschlecht>  
<tns:Patienten_Geburtsdatum>10.10.1910</tns:Patienten_Geburtsdatum>  
<tns:Patienten_Stammdaten>  
</tns:Patienten_Stammdaten>  
<tns:Meldung>  
<tns:Meldung_Meldung_ID="123" Melder_ID="001">  
<tns:Meldung_Melddatum>02.07.2018</tns:Meldung_Melddatum>  
<tns:Meldung_Meldebegruendung>D</tns:Meldung_Meldebegruendung>  
<tns:Meldung_Meldeanlass>statusaenderung</tns:Meldung_Meldeanlass>  
<tns:Meldung_Tumorzuordnung Tumor_ID="String">  
<tns:Meldung_Tumorzuordnung_Primaertumor_ICD_Code>C00</tns:Meldung_Tumorzuordnung_Primaertumor_ICD_Code>  
<tns:Meldung_Tumorzuordnung_Primaertumor_ICD_Version>10 2015 GM</tns:Meldung_Tumorzuordnung_Primaertumor_ICD_Version>  
<tns:Meldung_Tumorzuordnung_Diagnosedatum>00.00.1800</tns:Meldung_Tumorzuordnung_Diagnosedatum>  
<tns:Meldung_Tumorzuordnung_Seitenlokalisation>L</tns:Meldung_Tumorzuordnung_Seitenlokalisation>  
</tns:Meldung_Tumorzuordnung>  
<tns:Meldung_Diagnose Tumor_ID="String">  
<tns:Meldung_Diagnose_Primaertumor_ICD_Code>C00</tns:Meldung_Diagnose_Primaertumor_ICD_Code>  
<tns:Meldung_Diagnose_Primaertumor_ICD_Version>10 2015 GM</tns:Meldung_Diagnose_Primaertumor_ICD_Version>
```

Greifswald, im Mai 2021



KLINISCHES KREBSREGISTER
MECKLENBURG-VORPOMMERN

Zentralstelle der Krebsregistrierung
Registerstellen gGmbH
Treuhandstelle

Jahresbericht 2020 des Klinischen Krebsregisters Mecklenburg-Vorpommern

Greifswald, 2021

Version 2.0, Greifswald im Mai 2021

Herausgeber: Klinisches Krebsregister Mecklenburg-Vorpommern

Impressum

Klinisches Krebsregister Mecklenburg-Vorpommern
c/o Zentralstelle der Krebsregistrierung
Institut für Community Medicine
Universitätsmedizin Greifswald, K.d.ö.R.
Ellernholzstr. 1-2
17487 Greifswald

Projektleitung:

Prof. Dr. med. Wolfgang Hoffmann, MPH
Dr. rer. med. Kerstin Weitmann
Tel.: 03834-86-7751
Fax: 03834-86-6919
E-Mail: zentralstelle@krebsregister-mv.de

Mitarbeit:

Prof. Dr. med. Gottfried Dölken (Experte für Hämatologie, Onkologie)
Gabriele Robers (Wiss. Mitarbeiterin)
Dr. rer. med. Kerstin Weitmann (Wiss. Mitarbeiterin)
Susanne Hahn (Med. Dokumentarin)
Dr. Stefania Grigoriou (Wiss. Mitarbeiterin)

Kontakt für Rückfragen:

Tel.: 03834-86-7784
E-Mail: zentralstelle@krebsregister-mv.de

Registerstellen Klinisches Krebsregister M-V gGmbH

Christin Dück, Jan Meiering
Fleischmannstraße 8
17489 Greifswald
Tel.: 03834-86-5006
E-Mail: registerstelle@krebsregister-mv.de

Unabhängige Treuhandstelle des KKR M-V

Dana Stahl, M.Sc.
Sarah Theen, M.Sc.
Universitätsmedizin Greifswald, K.d.ö.R.
Ellernholzstr. 1-2
17487 Greifswald
Tel.: 03834-86-7522
E-Mail: treuhandstelle@krebsregister-mv.de

Grußwort des Ministeriums für Wirtschaft, Arbeit und Gesundheit



Sehr geehrte Leserinnen und Leser,

Krebs ist eine Krankheit, die leider jeden treffen kann. Die Krankheit ist mit viel Leid und Ängsten verbunden. Umso wichtiger ist es, alles Erdenkliche zu tun, die Krankheit frühzeitig zu erkennen, um sie wirksam bekämpfen zu können. Dem Klinischen Krebsregister kommt dabei eine elementare Bedeutung zu.

Als erstes deutschlandweit wichtiges Ergebnis des Nationalen Krebsplans ist am 09. April 2013 das Krebsfrüherkennungs- und -registergesetz (KFRG) in Kraft getreten. Hierdurch haben sich alle Bundesländer verpflichtet, flächendeckende und bevölkerungsbezogene unabhängige klinische Krebsregister einzurichten. In diesem Gesetz werden als Ziele die Verbesserung der onkologischen Forschung, Behandlungs- und Versorgungsqualität definiert.

Mecklenburg-Vorpommern hat bereits eine jahrzehntelange Tradition flächendeckender, regionaler klinischer Krebsregister. Bereits vor dem Entwurf des bundesweiten Krebsfrüherkennungs- und -registergesetzes wurde die registerübergreifende Datenzusammenführung und -auswertung zur onkologischen Qualitätssicherung in einem Zentralen Klinischen Krebsregister (ZKKR) vorgenommen. Mit der Überarbeitung der Gesetzgebung der klinischen und epidemiologischen Krebsregistrierung in Mecklenburg-Vorpommern trat am 01.01.2017 das Krebsregistergesetz M-V (KrebsRG M-V) in Kraft. Diese aktuellen Änderungen der gesetzlichen Grundlage schaffen die Grundlage für eine moderne Organisation unter Beteiligung aller bereits bestehenden Einrichtungen.

Mit Hilfe des Klinischen Krebsregisters M-V werden klinische Diagnose-, Behandlungs- und Verlaufsdaten umfassend und in hoher Qualität erhoben. Aus den Meldungen aller Ärztinnen und Ärzte, die Krebs an erkrankten Menschen behandeln, können Rückschlüsse auf die Qualität von Diagnostik und Behandlung gezogen werden. Mehr als 1.200 Melderinnen und Melder versetzen das Krebsregister in die Lage, versorgungsrelevante Fragestellungen zu beantworten und stellen einen großen Gewinn für die onkologische Patientenversorgung dar.

Mit dem vorliegenden Jahresbericht zur klinischen Krebsregistrierung legt das klinische Krebsregister Mecklenburg-Vorpommern Auswertungen und Kennzahlen zu 35 Entitäten vor. Der Bericht gibt einen fundierten Überblick über die im Zeitraum 2008 bis 2018 diagnostizierten bösartigen Neubildungen in Mecklenburg-Vorpommern.

Mein besonderer Dank gilt besonders allen Patientinnen und Patienten und den meldenden Ärztinnen und Ärzten sowie den Mitarbeiterinnen und Mitarbeitern der Zentralstelle, der Registerstelle und der Treuhandstelle des Klinischen Krebsregisters Mecklenburg-Vorpommerns. Sie alle unterstützen gemeinsam den Kampf gegen die heimtückische Krankheit Krebs.

A handwritten signature in black ink, appearing to read 'H. Glawe'.

Harry Glawe

Minister für Wirtschaft, Arbeit und Gesundheit Mecklenburg-Vorpommern

Grußwort der Krebsgesellschaft Mecklenburg-Vorpommern e. V.



Liebe KollegInnen, liebe PatientInnen, liebe Leserinnen und Leser,

die Anzahl der Menschen, die sich im Laufe ihres Lebens mit einer Krebsdiagnose auseinandersetzen müssen, ist in letzten Jahren stetig angestiegen. Umso wichtiger ist es, dass die Erkrankungen immer besser und erfolgreicher behandelt werden. Um dieses durch medizinische Forschung zu ermöglichen, bedarf es einer soliden und objektiven Datenbasis aller Krebsfälle in unserem Bundesland und deren Behandlungen.

Durch das Gesetz über die Krebsregistrierung in Mecklenburg-Vorpommern vom 11. Juli 2016 (KrebsRG M-V) wurden in Mecklenburg-Vorpommern die rechtlichen Voraussetzungen für den Aufbau eines Klinischen Krebsregisters nach bundesweit einheitlichen Regeln geschaffen. Hauptziel dieses Gesetzes ist die Verbesserung der Versorgungs- und Behandlungsqualität aller betroffenen PatientInnen, und die Unterstützung der onkologischen Forschung.

Dazu erfasst, prüft, verarbeitet und nutzt das Klinische Krebsregister Mecklenburg-Vorpommern personenbezogene Erkrankungsdaten von Krebspatienten, deren Wohn- oder Behandlungsort Mecklenburg-Vorpommern ist.

Ein Hauptziel dieser Daten ist es, dass Ärztinnen und Ärzte Rückmeldungen über die Behandlung ihrer Patientinnen und Patienten und den Verlauf ihrer Erkrankungen erhalten und dass alle Beteiligten die Diagnostik, Behandlung und Nachsorge von Krebserkrankten gemeinsam stetig weiterentwickeln und verbessern.

In dem vorliegenden Bericht stellt das Klinische Krebsregister Mecklenburg-Vorpommern die aktuellen Auswertungen und Kennzahlen der gemeldeten Krebsfälle für ausgewählte Entitäten vor. Die dargestellten Auswertungen und Kennzahlen beziehen sich dabei auf die Diagnosejahre 2008 bis 2018.

Uns ist vollkommen bewusst, wieviel Sorgfalt, aber auch Zeit und Mühe das Melden der personenbezogenen Erkrankungs- und Behandlungsdaten aller Krebspatienten für die Ärztinnen und Ärzte in Mecklenburg-Vorpommern bedeutet. Im Namen der Krebsgesellschaft M-V spreche ich Ihnen ganz großen Dank aus für Ihren Einsatz und Ihr Engagement! Mit Ihrer Unterstützung kann unser Klinisches Krebsregister zu einem großen Gewinn für die onkologische Patientenversorgung werden.

Rostock, den 29.09.2020

Prof. Dr. med. Christian Junghanß
1. Vorsitzender

Krebsgesellschaft Mecklenburg-Vorpommern

 **Krebsgesellschaft**
Mecklenburg-Vorpommern e.V.

1 Inhaltsverzeichnis

1	Inhaltsverzeichnis	1
2	Abkürzungsverzeichnis.....	2
3	Klinische Krebsregistrierung in Mecklenburg-Vorpommern.....	4
4	Methode	7
5	Leistungsdaten des Klinischen Krebsregisters M-V	11
6	Krebs gesamt (C00-C96 ohne C44)	12
7	Lippe (C00)	16
8	Mundbereich (C01-C06)	32
9	Speicheldrüse (C07-C08)	52
10	Naso-, Oro-, Hypopharynx (C09-C14)	69
11	Ösophagus (C15).....	89
12	Magen (C16)	108
13	Kolon (C18).....	127
14	Rektum (C20).....	145
15	Leber (C22)	164
16	Gallenblase und Gallenweg (C23-C24)	181
17	Bauchspeicheldrüse (C25)	198
18	Trachea (C33)	217
19	Lunge (C34)	225
20	Malignes Melanom der Haut (C43)	313
21	Brustdrüse (C50).....	331
22	Gebärmutterhals (C53)	360
23	Gebärmutterkörper (C54-C55).....	379
24	Eierstöcke (C56).....	397
25	Prostata (C61).....	414
26	Niere (C64)	431
27	Harnblase (C67)	448
28	Meningen (C70)	466
29	Gehirn (C71)	473
30	Rückenmark, Hirnnerven (C72).....	484
31	Schilddrüse (C73)	492
32	Bösartige Neubildungen ungenau bezeichneter und nicht näher bezeichneter Lokalisationen (C76-C80).....	510
33	Follikuläre Lymphome (C82).....	517
34	Nicht follikuläre Lymphome (C83)	528
35	Reifzellige T/NK-Zell-Lymphome (C84).....	542
36	Nicht näher bezeichnete Lymphome (C85).....	550
37	Weitere spezifizierte T/NK-Zell-Lymphome (C86).....	560
38	Multipl. Myelom (C90).....	568
39	Chronische lymphatische Leukämie (CLL/SLL) (C91.1).....	576
40	Akute lymphatische Leukämie (C91 ohne C91.1, C91.4 und C91.5).....	585
41	Chronische myeloische Leukämie (C92.1, C92.2)	593
42	Akute myeloische Leukämie (C92-C95 ohne C92.1, C92.2)	601
43	Weichgewebssarkome (maligne Weichgewebstumoren ohne die Sarkome des Uterus und der Ovarien C54-C56)	610
44	Weichgewebssarkome (maligne Weichgewebstumoren des Uterus und der Ovarien C54-C56)	619
45	Gastrointestinale Stromatumoren (GIST).....	627
46	Quellenverzeichnis	635

2 Abkürzungsverzeichnis

C

c · *klinisch*
cTNM · *klinischer TNM*

E

einschl. · *einschließlich*
ESR · *Europastandardbevölkerung*
Exkl. · *Exklusive*

G

GIST · *Gastrointestinale Stromatumore*

I

ICD · *International Statistical Classification of Diseases and Related Health Problems*
ICD-O · *International Classification of Diseases for Oncology, International Classification of Diseases for Oncology*

K

k.A. · *keine Angabe*
KFRG · *Krebsfrüherkennungs- und -registergesetz*
KKR · *Klinischen Krebsregistern*
KlinKrebsRG · *Klinischen Krebsregistergesetz des Landes*
KrebsRG M-V · *Krebsregistergesetz M-V*

M

M · *Fernmetastasen*
M-V · *Mecklenburg-Vorpommern*

N

n · *Anzahl*
N · *regionäre Lymphknoten*

O

o.n.A. · *ohne nähere Angabe*
OKZ · *Ortskennzahl*
OP · *Operation*
OPS · *Operationen- und Prozedurenschlüssel*

P

p · *pathologisch, p-Wert (Überschreitungswahrscheinlichkeit)*
pTNM · *pathologischer TNM*

R

R-Klassifikation · *Residualklassifikation*

S

system · *systemische*

T

T · *Ausbreitung des Primärtumors*
T/NK-Zell-Lymphom · *T-Zell-Lymphom/Natürliche Killerzellen-Zell-Lymphom*
ths · *Unabhängige Treuhandstelle*
TNM · *Tumor, Nodes (Lymphknoten), Metastasen*

U

UICC · *Union internationale contre le cancer*

Z

ZKKR · *Zentralen Klinischen Krebsregister*
ZKR · *Zentralstelle der Krebsregistrierung*

3 Klinische Krebsregistrierung in Mecklenburg-Vorpommern

Das Gesetz zur Weiterentwicklung der Krebsfrüherkennung und zur Qualitätssicherung durch Klinische Krebsregister (Krebsfrüherkennungs- und -registergesetz – KFRG vom 3. April 2013) sieht den flächendeckenden Ausbau von Klinischen Krebsregistern (KKR) sowie landesbezogene Auswertungen der Registerdaten in allen Bundesländern vor. Der Ausbau und der Betrieb der Klinischen Krebsregister sollen nach bundesweit einheitlichen Kriterien erfolgen, so auch in Mecklenburg-Vorpommern (M-V).

In Mecklenburg-Vorpommern besteht seit vielen Jahren eine etablierte Struktur flächendeckender, regionaler klinischer Krebsregister. In dem Klinischen Krebsregistergesetz des Landes (KlinKrebsRG M-V vom 6. Juli 2011) wurde die registerübergreifende Datenzusammenführung und -auswertung zur onkologischen Qualitätssicherung in einem Zentralen Klinischen Krebsregister Mecklenburg-Vorpommern (ZKKR) bereits vor dem Entwurf für das bundesweite KFRG festgeschrieben.

Das Klinische Krebsregister M-V

Parallel zum Aufbau des ehemaligen ZKKR gemäß KlinKrebsRG erfuhr die Gesetzgebung bzgl. der klinischen und epidemiologischen Krebsregistrierung in M-V eine Novellierung, welche am 11. Juli 2016 im Gesetz über die Krebsregistrierung in Mecklenburg-Vorpommern (KrebsRG M-V) mündete. Das Krebsregistrierungsgesetz M-V trat am 01.01.2017 in Kraft und sieht unter anderem die Einrichtung eines landesweiten klinischen Krebsregisters vor. Mit der Änderung der gesetzlichen Grundlage in M-V erfolgt auch eine Neuorganisation der bestehenden Einrichtungen:

KrebsRG M-V – §1 Abs. (2) „Einrichtungen der landesweiten klinischen Krebsregistrierung in Mecklenburg-Vorpommern insbesondere gemäß § 65c des Fünften Buches Sozialgesetzbuch sind regionale Registerstellen (Registerstellen), eine Zentralstelle der Krebsregistrierung und eine Treuhandstelle, die jeweils unabhängig insbesondere in fachlicher, personeller und datenschutzrechtlicher Hinsicht sein müssen. [...]“.

Im Klinischen Krebsregister Mecklenburg-Vorpommern werden personenidentifizierende Daten und Gesundheitsdaten verarbeitet. Letztere umfassen insbesondere Diagnosen, Befunde sowie Angaben über Behandlungen und zum Krankheitsverlauf.

Zum Schutz der Daten werden unterschiedliche Verarbeitungsschritte auf die drei Einrichtungen des Registers Registerstellen gGmbH, Treuhandstelle und Zentralstelle aufgeteilt. Diese Stellen sind gemeinsam Verantwortliche für die Datenverarbeitung im Klinischen Krebsregister M-V. Im Krebsregistrierungsgesetz M-V und in der Krebsregistrierungsorganisationsverordnung M-V bzw. einem verwaltungsrechtlichen Vertrag sind die jeweiligen Aufgaben dieser Stellen genau geregelt.

Die Registerstellen gGmbH ist eine Ausgründung der Universitätskliniken Mecklenburg-Vorpommern. Mit ihrer fachlichen Expertise stellen die Mitarbeiter an den drei Betriebsstätten die Schnittstelle für die behandelnden Ärzte dar. Entsprechend des Krebsregistrierungsgesetz M-V werden fortlaufend Daten über das Auftreten, die fachübergreifende Behandlung, die Nachsorge und den Verlauf von Krebserkrankungen von den Krankenhäusern und niedergelassenen Ärzten und Zahnärzten, die an der Behandlung von Patienten mit malignen Erkrankungen beteiligt sind, erfasst. Für die Tumordokumentation ist jeweils die Betriebsstätte zuständig, in deren Einzugsbereich (Abb. 3.1) die Diagnose, Therapie oder Nachsorge der Tumorerkrankung des Patienten stattgefunden hat (Behandlungsortbezug).

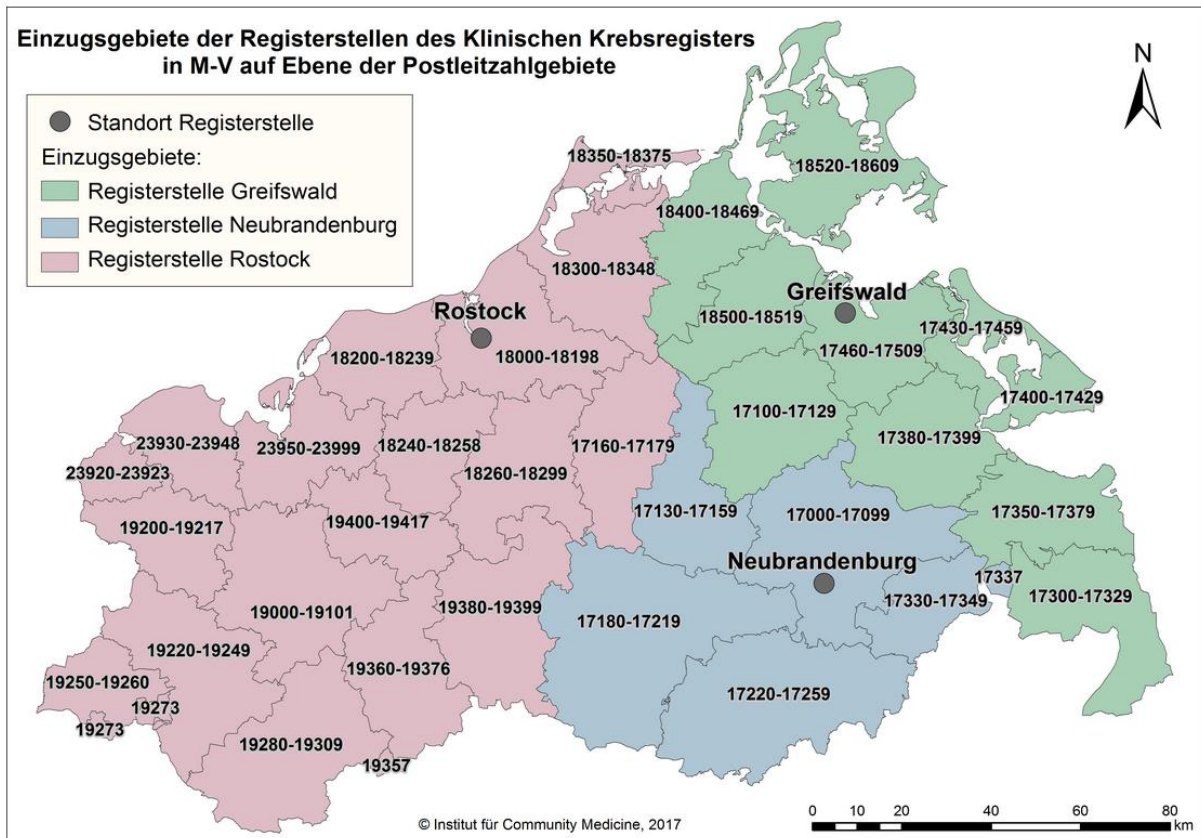


Abb. 3.1: Einteilung der Einzugsgebiete der drei Betriebsstätten der Registerstellen gGmbH des Klinischen Krebsregister in M-V nach Postleitzahlgebieten (nicht identisch mit den Landeskreisen)

Die Unabhängige Treuhandstelle ist verantwortlich für die Sicherung des Schutzes der Identitätsdaten, Erkennung doppelt erfasster Patienten, Pseudonymisierung aller Patientendaten nach den gesetzlichen Vorgaben sowie der Verarbeitung und Weiterleitung eingehender schriftlicher Widersprüche der Patienten.

Zu den Hauptaufgaben der Zentralstelle (ZKR) gehören (1) die registerübergreifende Qualitäts- und Vollständigkeitssicherung der Daten der Registerstelle sowie (2) die standortübergreifende Datenauswertung zu onkologisch relevanten Fragestellungen auf Anregung von Akteuren im Kontext der onkologischen Versorgung der Bevölkerung in Mecklenburg-Vorpommern. Die in der ZKR erstellten Auswertungen dienen der onkologischen Qualitätssicherung und sollen zur Erhöhung der Wirksamkeit und Effizienz der Krebsdiagnostik und -behandlung in Mecklenburg-Vorpommern beitragen.

Dank an alle Melderinnen und Melder des Klinischen Krebsregisters!

Dieser Bericht beruht auf den Meldungen des Krebsregisters, die uns von mehr als 1000 Kolleginnen und Kollegen zur Verfügung gestellt wurden. Für Ihr Engagement, Ihre Sorgfalt und Zeit, die Qualität der Informationen in Ihren Meldungen und die Unterstützung des Klinischen Krebsregisters Mecklenburg-Vorpommern danke ich Ihnen recht herzlich im Namen aller Mitarbeiterinnen und Mitarbeitern!

Prof. Dr. med. Wolfgang Hoffmann, MPH
Leiter der Zentralstelle des Klinischen Krebsregisters M-V

3.1 Das Team



Team der Registerstelle, Betriebsstätte Greifswald

(von links nach rechts: André Quass, Sven Orminski, Jan Meiering, Nora Lückert, Cindy Müller)

Team der Registerstelle, Betriebsstätte Rostock

(Sabrina Bergmann, Carolin Hallmann, Simone Rupp, Franziska Lorz, Anke Dammann, Sabine Klöcking, Dr. Heike Zettl, Simone Herrmann, Christin Dück, Neita Tautorat, nicht abgebildet: Carolin Dettloff)

Team der Registerstelle, Betriebsstätte Neubrandenburg

(Danilo Stein, Birgit Ringel-Schulz, Tino Naumann, Dr. Ulrike Flintzer)

Team der Zentralstelle der Krebsregistrierung

(Prof. Dr. Gottfried Dölken, Dr. Kerstin Weitmann, Dr. Stefania Gregoriou, Maria Nicolaidis, Gabriele Robers, Prof. Dr. Wolfgang Hoffmann, Thomas Litschko, Dr. Daniela Lieberz, Susanne Hahn, Anna-Juliana Reichel, Sarah Metzling, Martin Kullik, Stephan Maiwald)

Team der Unabhängigen Treuhandstelle des Klinischen Krebsregisters M-V

(Stefanie Schmekel, Angela Bialke, Ina Münter; ab dem 17.11.2020 hat Sarah Theen die Leitung der Treuhandstelle des KKR M-V übernommen.)

4 Methode

Die Grundgesamtheit für die folgenden Auswertungen sind die an das klinische Krebsregister des Landes Mecklenburg-Vorpommern gemeldeten Daten über Tumorerkrankungen und deren Verläufe von erwachsenen Patienten (Alter mind. 18 Jahre), die in dem Land Mecklenburg-Vorpommern behandelt wurden oder ihren Wohnsitz in Mecklenburg-Vorpommern haben (Datenstand: 29. Juni 2020).

Für diesen Jahresbericht wurden die Daten aller Patienten mit Erstdiagnose in den Jahren 2008 bis 2018 zugrunde gelegt. Aufgrund der zeitlichen Verzögerung der Dokumentation der durchgeführten therapeutischen Maßnahmen ist es nicht sinnvoll, Patienten mit einer Diagnose einer Krebserkrankung nach 2018 in die Analysen mit einzubeziehen.

In diesem Jahresbericht werden zum einen Analysen von Patienten, deren Behandlung in Mecklenburg-Vorpommern erfolgte (behandlungsortbezogen) und zum anderen von Patienten, die zum Diagnosezeitpunkt ihren Wohnsitz in Mecklenburg-Vorpommern hatten (wohntortbezogen), durchgeführt.

4.1 Methodik und Kennzahlen

Epidemiologische Kennzahlen

In den epidemiologischen Analysen werden lediglich die Patienten eingeschlossen, die zum Diagnosezeitpunkt ihren Wohnsitz in Mecklenburg-Vorpommern hatten. Zu diesen epidemiologischen Kennzahlen zählen die Anzahl der gemeldeten Neuerkrankungen, die Rohe Rate, die altersspezifische Rate, die altersstandardisierte Rate in M-V, das absolute und relative 5-Jahresüberleben. Innerhalb dieses Berichts werden im Allgemeinen die altersbezogenen Auswertungen in 5-Jahres-Altersgruppen vorgenommen.

Absolute Fallzahl: Die **absolute Anzahl der gemeldeten Neuerkrankungen** wird nach Diagnosejahr und Geschlecht getrennt präsentiert. Zum Vergleich dieser Fallzahlen wird analog dazu ebenfalls die absolute Anzahl der gemeldeten Neuerkrankungen bezogen auf den Behandlungsort Mecklenburg-Vorpommern dargestellt. In der weiteren Analyse wird die absolute Anzahl der Neuerkrankungen nach Landkreisen des Landes Mecklenburg-Vorpommern aufgeschlüsselt. Die dabei aufgeführten Landkreise wurden durch die Kreisgebietsreform in Mecklenburg-Vorpommern im Jahr 2011 geschaffen. Für eine einheitliche Darstellung werden auch die vor 2011 diagnostizierten Tumorfälle entsprechend den neuen Landkreisen klassifiziert. Neuerkrankungen von Patienten, die durch deren Ortskennzahl nicht eindeutig einem Landkreis zugeordnet werden konnten, werden in einer Kategorie zusammengefasst. Zusätzlich zu dieser Darstellung wird die absolute Anzahl der Neuerkrankungen nach den 5-Jahres-Altersgruppen und Geschlecht dargestellt.

Altersspezifische Rate: Die **altersspezifische Rate** der Neuerkrankungen je 100.000 Einwohner beschreibt die Neuerkrankungsrate für eine bestimmte Altersgruppe in einer definierten Region. Diese Rate wird berechnet aus der Anzahl der Neuerkrankungen in einer Altersgruppe und der durchschnittlichen Bevölkerung dieser Altersgruppe. Im vorliegenden Bericht werden die altersspezifischen Raten für das Diagnosejahr 2018 dargestellt. Die Bezugspopulation (durchschnittliche Bevölkerung), die zur Berechnung der altersspezifischen Rate herangezogen wurde, stammt aus der Populationsstatistik des Statistischen Amtes Mecklenburg-Vorpommern.

Rohe Rate: Die **rohe Rate** beschreibt das Verhältnis der Neuerkrankungen und der unter Risiko stehenden Bevölkerung. Die rohen Raten können als Krankheitslast der Bevölkerung interpretiert werden und sind mit der Altersstruktur der Bevölkerung assoziiert. Innerhalb dieses Jahresberichts wird die rohe Rate pro 100.000 Einwohner für die Diagnosejahre 2008 bis 2018 präsentiert.

Altersstandardisierte Rate: Die **altersstandardisierte Rate** wird berechnet, um das Erkrankungsgeschehen unterschiedlicher Bevölkerungen mit abweichender Altersstruktur vergleichbar zu machen. Dazu wird eine Modell-Altersverteilung verwendet, bei der 100.000

Personen nach realem Vorbild verteilt werden. Um diesen Vergleich der Raten zu ermöglichen wird im vorliegenden Bericht die alte Europastandardbevölkerung (ESR) verwendet.

Überlebenszeiten: Des Weiteren werden **absolute** und **relative 5-Jahres-Überlebenszeiten** für Neuerkrankungen mit Diagnose in den Jahren 2008 bis 2013 bestimmt und grafisch dargestellt. Dabei werden alle Krebspatienten eingeschlossen, die im Einzugsgebiet des Klinischen Krebsregisters Mecklenburg-Vorpommern zum Zeitpunkt der Diagnose wohnten und nach Diagnosezeitpunkt mindestens 5 Jahre Nachverfolgungszeit vergangen war. Bei Vorliegen von Mehrfachtumoren werden diese unabhängig voneinander betrachtet. Die Berechnung des beobachteten absoluten 5-Jahresüberlebens erfolgt nach der Kaplan-Meier-Methode und wird in Abhängigkeit von Geschlecht, Tumorgröße und UICC-Klassifikation dargestellt. In die Analyse gehen alle Sterbefälle unabhängig von den Todesursachen ein.

Die relative 5-Jahres-Überlebensrate stellt im Gegensatz zur absoluten Überlebensrate lediglich die krebssbedingte Mortalität dar. Sie wird gebildet aus dem Quotienten der absoluten Überlebensrate und der erwarteten Überlebensrate. Die erwartete Überlebensrate stellt den Anteil der Lebenden einer Bezugsbevölkerung gleichen Alters, Geschlechts und Zeitraums dar und wird anhand der alters- und geschlechtsspezifischen Sterbetafel des Landes Mecklenburg-Vorpommern bestimmt.

In die Berechnungen der Rohen Rate, der altersspezifische Rate, der altersstandardisierte Rate und des relativen 5-Jahresüberlebens sind Krebspatienten mit ihren Neuerkrankungen eingeschlossen, die zum Zeitpunkt der Diagnose ein Alter von mindestens 20 Jahren hatten.

Klinische Kennzahlen

Als klinische Kennzahlen enthält der Bericht Auswertungen zur Lokalisation, Histologie, TNM, Lokalisation der Fernmetastasen, UICC bzw. klinischen Stadien und Auswertungen zur Therapie der jeweiligen Entitäten. Die klinischen Kennzahlen werden hierbei unabhängig von dem Wohnsitz der krebserkrankten Patienten berichtet.

Lokalisation und Histologie: Die **Lokalisation** beschreibt den Sitz der Tumore und wird innerhalb dieses Berichts mit Hilfe des ICD-O-3-Codes (erste Revision) angegeben. Berücksichtigt wurden innerhalb der Analyse Erkrankungen mit den Lokalisationsschlüsseln C00 bis C96.

Die **Histologie** beschreibt die Art des Tumorgewebes. Hierbei richtet sich die Beschreibung nach dem Morphologie-Code der internationalen Klassifikation der Krankheiten der Onkologie (ICD-O).

TNM-Klassifikation und UICC-Stadium: Die Analyse der **TNM-Klassifikation** erfolgte unter Berücksichtigung der Angabe des TNM und der verwendeten Auflage der TNM-Klassifikation. Die TNM-Klassifikation basiert innerhalb dieses Jahresberichts auf der 6., 7. und 8. Auflage der TNM Klassifikation maligner Tumore. In einzelnen Fällen wurden Angaben zur Tumorgröße ohne Bezug zu einer TNM Auflage gemacht. Diese Angaben wurden in die Kategorie k.A. aufgenommen. Des Weiteren bildet das pathologische TNM (pTNM) die Grundlage der Analyse. Das klinische TNM (cTNM) wird herangezogen, wenn das pathologische TNM nicht vorhanden ist oder der Operation eine neoadjuvante Behandlung vorausging. Eine TNM-Angabe wird als berichtsrelevant betrachtet, falls sie innerhalb von 92 Tagen nach Erstdiagnose erhoben wurde. Die TNM-Klassifikation beschreibt die anatomische Ausbreitung des Tumorgeschehens in drei Parametern: der lokalen Ausbreitung des Primärtumors (T), der Metastasierung in die regionären Lymphknoten (N) und das Fehlen oder Vorhandensein von Fernmetastasen (M). Mittels der TNM-Klassifikation erfolgt die tumorspezifische Stadieneinteilung nach **UICC** (Union Internationale contre le Cancer).

Lokalisation der Fernmetastasen: Bei der Auswertung der **Lokalisation der Fernmetastasen** erfolgt die Klassifikation der Metastasen in 13 Lokalisationsgruppen. Diese Gruppen setzten sich aus den 11 häufigsten befallenen Organen (Lunge, Knochen, Leber, Gehirn, Lymphknoten, Knochenmark, Pleura, Peritoneum, Nebennieren, Haut, Milz) und den Gruppen „mehrere Organe“ und „andere Organe“ zusammen. Eingeschlossen in die Analyse werden Metastasen, die in einem Zeitraum von bis zu 92 Tagen nach der Erstdiagnose des Tumors festgestellt wurden.

Therapien: Die Auswertung der Therapien erfolgt unter mehreren Aspekten. Eingeschlossen werden dabei Therapien, die 365 Tagen nach Diagnose erfolgten.

Die Darstellung der **Kombination der Therapien** wird zum einen in Abhängigkeit des Diagnosejahres und zum anderen in Abhängigkeit der UICC-Klassifikation dargestellt. Folgende Kategorien werden hierbei dargestellt: Alleinige Operation, Alleinige systemische Therapie, Alleinige Strahlentherapie,

Operation und systemische Therapie, Operation und Strahlentherapie, systemische Therapie und Strahlentherapie, Operation und systemische Therapie und Strahlentherapie.

Des Weiteren wird die Therapie im ersten Jahr der Erkrankung in Bezug zu ihrer **Stellung** dargestellt. Dazu wird die Stellung der Strahlentherapie zu operativer Therapie und die Stellung der systemischen Therapie zu operativer Therapie untersucht.

Die **Intention** der Therapie wird für die primäre Operation, systemische Therapie und Strahlentherapie analysiert. Die Intention zum Therapiebeginn setzt sich aus den Gruppen: Kurativ, Palliativ und Sonstige/Unbekannt/Keine Angabe zusammen.

Operation: Die Auswertung der **Operationen** erfolgt für alle Neuerkrankungen mit einer Angabe zum Operationsdatum. Dargestellt werden alle Operationen in Abhängigkeit des UICC-Stadiums. Es erfolgt eine Klassifizierung aller Operationen einer Neuerkrankung in einer der folgenden Kategorien: Tumorresektion, Tumorresektion- und Lymphknotenresektion, Lymphknotenresektion und sonstige Operation.

Residualklassifikation: Die **Residualklassifikation** beschreibt das Fehlen oder Vorhandensein von einem Residualtumor nach einer Tumorresektion. Dargestellt wird die Residualklassifikation nach einer Tumorresektion in Abhängigkeit vom UICC-Tumorstadium. Berücksichtigt wird hierbei jeweils die erste Tumorresektion.

4.2 Einschlusskriterien der entitätenspezifischen Auswertung

Eingeschlossen werden in die entitätenspezifischen Auswertungen maligne Primärtumoren, deren Diagnose in den Jahren 2008 bis 2018 erfolgte und dem Klinischen Krebsregister Mecklenburg-Vorpommern gemeldet wurde. Des Weiteren werden in die Auswertung lediglich Krebspatientinnen und -patienten mit einem Alter von mindestens 18 Jahren eingeschlossen.

Im diesem Bericht erfolgen die Auswertungen auf Entitätenebene. Die Eingruppierung erfolgt hierbei auf der Grundlage der ICD-10-Diagnose. In-Situ-Karzinome und Neubildungen unsicheren oder gutartigen Verhaltens werden nicht berücksichtigt.

In dem Kapitel 6 (Krebs gesamt) werden alle malignen Tumoren bzw. Leukämien mit einer diagnoserelevanten malignen Histologie, die dem klinischen Krebsregister Mecklenburg-Vorpommern gemeldet wurden, eingeschlossen.

Des Weiteren erfolgte auf Entitätenebene der Dopplerausschluss. Hierbei wurde der Datensatz in Bezug zu mehrfach dokumentierten Patienten bzw. Tumoren (Doppler) bereinigt. Die Identifizierung der Doppler erfolgte mit Hilfe der Pseudonyme. Lagen mehrere Tumordiagnosedatensätze zu einem Pseudonym vor, wurden entweder tatsächlich multiple Primärtumoren oder identische Primärtumoren innerhalb einer Betriebsstätte oder in mehreren Betriebsstätten des klinischen Krebsregisters zu demselben Patienten dokumentiert.

Wurden identische Primärtumoren mehrfach dokumentiert, erfolgte der Einschluss des zuerst dokumentierten Tumors.

In den weiteren entitätenspezifischen Auswertungen erfolgten weitere Ausschlüsse bezüglich der Histologie und Lokalisation der Tumoren.

Zum einen wurden für die jeweiligen entitätenspezifischen Auswertung nur Tumoren mit der spezifischen Lokalisation nach ICD-O-3 beibehalten.

Zum anderen wurden Tumoren mit „organ-fremder“ Histologie/Morphologie, unbestimmter histologischer Diagnose und ohne histologische Sicherung aus der Auswertung ausgeschlossen. Zugleich werden die Weichgewebssarkome und gastrointestinale Stromatumoren (GIST) separat ausgewertet.

Die genauen Ausschlüsse zeigt das Consort zu Beginn jeder entitätenspezifischen Auswertung.

4.3 Bevölkerungsdaten Mecklenburg-Vorpommern

Tabelle 4.1: Jahresdurchschnittsbevölkerung der Männer in Mecklenburg-Vorpommern nach 5-Jahres-Altersgruppen und den Jahren 2008 bis 2018

Männer												
Altersgruppe	Mittelwert 2008 - 2018	Jahresdurchschnittsbevölkerung										
		Jahr 2008	Jahr 2009	Jahr 2010	Jahr 2011	Jahr 2012	Jahr 2013	Jahr 2014	Jahr 2015	Jahr 2016	Jahr 2017	Jahr 2018
20-24	44274	61941	60637	58878	54374	48418	41993	36168	32318	30640	30440	31205
25-29	52954	56227	55505	55023	53777	53773	54027	54542	55282	53364	48257	42716
30-34	51164	45953	47606	49599	50069	51058	51458	51878	52975	53748	53962	54499
35-39	48269	53547	49531	46289	42802	42304	43841	46205	49059	51392	52657	53334
40-44	53906	72478	67954	63734	57212	54159	50934	47922	45684	43905	43605	45379
45-49	67817	80980	81222	80317	75100	71760	67884	63954	60472	57596	54874	51832
50-54	73894	73379	73720	74590	73804	75198	76319	76740	76055	74139	71163	67726
55-59	69051	61971	65848	68413	67998	68457	68707	69148	70060	71504	73077	74376
60-64	54713	38828	39047	42663	48059	53630	57897	61583	63912	64953	65468	65805
65-69	44953	55732	52660	47618	40464	36624	35637	35915	39383	45341	50553	54553
70-74	43962	45438	48007	49823	50788	50739	48937	46337	41952	36302	33035	32219
75-79	36074	27689	29043	30909	32465	34369	36784	39178	40917	42304	42305	40856
80-84	19481	12202	13825	15527	17007	18397	19322	20405	21987	23550	25105	26964
>=85	9449	6024	6396	6859	7154	7864	8773	9955	11154	12251	13307	14198

(Quelle: Statistisches Landesamt Mecklenburg-Vorpommern)

Tabelle 4.2: Jahresdurchschnittsbevölkerung der Frauen in Mecklenburg-Vorpommern nach 5-Jahres-Altersgruppen und den Jahren 2008 bis 2018

Frauen												
Altersgruppe	Mittelwert 2008 - 2018	Jahresdurchschnittsbevölkerung										
		Jahr 2008	Jahr 2009	Jahr 2010	Jahr 2011	Jahr 2012	Jahr 2013	Jahr 2014	Jahr 2015	Jahr 2016	Jahr 2017	Jahr 2018
20-24	39462	53765	52763	51803	48589	43712	38342	33406	29273	27189	27182	28063
25-29	46390	47634	47455	47359	46753	47202	47699	48255	48734	47162	43291	38747
30-34	45094	39120	40553	42508	43684	44798	45439	46080	46962	47948	49011	49927
35-39	42867	48384	44437	41178	38077	37420	38547	40473	42926	45245	46875	47971
40-44	49500	67530	63343	59349	54196	50652	47009	43679	40985	39030	38669	40060
45-49	64322	75970	76112	75102	71854	68995	65486	61649	58023	54756	51492	48099
50-54	71435	69871	70237	71160	71530	72939	74219	74607	73746	71951	69393	66132
55-59	68513	60861	64659	67197	67829	68169	68183	68697	69813	71196	72784	74254
60-64	56233	40235	39957	43228	49107	54944	59434	63272	65855	67170	67607	67751
65-69	49159	63376	59342	53102	45105	40406	38837	38553	41733	47997	53861	58439
70-74	53257	56935	59915	61960	62588	61799	59276	55587	49848	42751	38322	36850
75-79	49521	40394	41355	43268	45375	47928	50729	53603	55564	56615	56039	53856
80-84	33685	28235	29371	30417	31190	31862	32303	33301	35170	37303	39493	41891
>=85	27373	22134	23115	24185	24783	25871	26980	28311	29749	30962	32047	32971

(Quelle: Statistisches Landesamt Mecklenburg-Vorpommern)

5 Leistungsdaten des Klinischen Krebsregisters M-V

Tabelle 5.1: Übersicht der Meldeanlässe der bearbeiteten Meldungen für die Jahre 2017 bis 2019

Meldeanlässe	Bearbeitungsjahr im KKR M-V		
	2017	2018	2019
Stellung der Diagnose nach hinreichender klinischer Sicherung	17.090	16.164	18.505
histologische, zytologische oder labortechnische Sicherung der Diagnose	15.464	17.223	21.043
Beginn sowie der Abschluss einer therapeutischen Maßnahme	26.442	32.249	33.711
Feststellung einer therapierelevanten Änderung des Erkrankungsstatus	4.893	3.713	5.858
Ergebnis der Nachsorge	16.897	21.807	22.223
Tod des Patienten oder der Patientin	2.274	2.092	2.277
Gesamtzahl der Meldungen	83.060	93.248	103.617

6 Krebs gesamt (C00-C96 ohne C44)

Tab. 6.1.: Anzahl der erfassten malignen Neubildungen in den Diagnosejahren 2008 bis 2018 (Behandlungsort)

ICD-10/ Geschlecht		2008	2009	2010	2011	2012	2013	2014	2015	2016	2017	2018	Summe
C00	Männer	6	8	18	19	20	22	17	9	6	8	8	141
	Frauen	1	6	4	6	5	12	13	4	2	8	4	65
	Gesamt	7	14	22	25	25	34	30	13	8	16	12	206
C01-C06	Männer	146	141	135	147	136	160	150	134	140	172	159	1620
	Frauen	36	35	44	43	39	73	50	42	32	49	65	508
	Gesamt	182	176	179	190	175	233	200	176	172	221	224	2128
C07-C08	Männer	13	4	11	13	12	14	12	5	6	8	12	110
	Frauen	12	4	7	13	8	10	5	5	11	6	4	85
	Gesamt	25	8	18	26	20	24	17	10	17	14	16	195
C09-C14	Männer	154	181	173	138	182	189	147	164	115	148	173	1764
	Frauen	24	26	35	30	26	36	27	26	23	33	37	323
	Gesamt	178	207	208	168	208	225	174	190	138	181	210	2087
C15	Männer	103	115	120	124	115	131	138	138	141	133	159	1417
	Frauen	21	33	23	30	24	23	34	24	26	27	46	311
	Gesamt	124	148	143	154	139	154	172	162	167	160	205	1728
C16	Männer	208	223	205	223	219	224	245	215	182	207	196	2347
	Frauen	152	142	151	154	142	143	145	150	123	121	138	1561
	Gesamt	360	365	356	377	361	367	390	365	305	328	334	3908
C17	Männer	10	24	19	23	29	19	30	24	21	27	37	263
	Frauen	10	16	16	13	17	23	29	17	23	17	22	203
	Gesamt	20	40	35	36	46	42	59	41	44	44	59	466
C18	Männer	429	445	386	433	452	436	467	421	403	469	558	4899
	Frauen	316	372	338	334	330	348	351	332	336	386	465	3908
	Gesamt	745	817	724	767	782	784	818	753	739	855	1023	8807
C19	Männer	0	3	2	1	0	0	0	0	0	1	1	8
	Frauen	0	1	1	0	0	2	0	0	0	1	1	6
	Gesamt	0	4	3	1	0	2	0	0	0	2	2	14
C20	Männer	267	235	261	253	247	257	290	273	232	282	301	2898
	Frauen	140	144	144	136	154	162	159	146	120	140	167	1612
	Gesamt	407	379	405	389	401	419	449	419	352	422	468	4510
C21	Männer	8	16	8	11	13	8	11	8	19	7	11	120
	Frauen	17	11	16	21	24	26	18	29	19	23	24	228
	Gesamt	25	27	24	32	37	34	29	37	38	30	35	348
C22	Männer	88	82	93	118	130	144	145	138	133	156	164	1391
	Frauen	33	29	36	45	42	51	55	51	46	55	55	498
	Gesamt	121	111	129	163	172	195	200	189	179	211	219	1889
C23-C24	Männer	34	46	37	42	38	59	52	38	42	52	62	502
	Frauen	76	78	63	63	66	76	89	62	67	58	74	772
	Gesamt	110	124	100	105	104	135	141	100	109	110	136	1274
C25	Männer	117	131	137	130	190	202	188	185	179	190	221	1870
	Frauen	85	115	130	142	122	144	165	156	172	170	182	1583
	Gesamt	202	246	267	272	312	346	353	341	351	360	403	3453

ICD-10/ Geschlecht		2008	2009	2010	2011	2012	2013	2014	2015	2016	2017	2018	Summe
C26	Männer	0	1	1	0	0	0	0	1	0	0	0	3
	Frauen	0	1	0	0	0	1	1	1	0	1	2	7
	Gesamt	0	2	1	0	0	1	1	2	0	1	2	10
C30-C31	Männer	2	13	11	5	8	7	10	16	7	13	12	104
	Frauen	7	5	9	8	5	7	9	6	6	15	10	87
	Gesamt	9	18	20	13	13	14	19	22	13	28	22	191
C32	Männer	90	101	87	86	98	96	101	79	95	104	99	1036
	Frauen	8	4	7	5	5	15	18	7	11	17	5	102
	Gesamt	98	105	94	91	103	111	119	86	106	121	104	1138
C33	Männer	1	2	0	5	3	1	1	1	0	0	5	19
	Frauen	0	0	0	1	1	0	0	2	0	0	1	5
	Gesamt	1	2	0	6	4	1	1	3	0	0	6	24
C34	Männer	769	796	815	811	830	797	834	734	740	815	744	8685
	Frauen	283	276	307	318	303	346	337	343	345	405	363	3626
	Gesamt	1052	1072	1122	1129	1133	1143	1171	1077	1085	1220	1107	12311
C37-C39	Männer	5	7	7	6	1	2	5	2	6	8	5	54
	Frauen	4	1	4	8	3	1	2	5	4	5	7	44
	Gesamt	9	8	11	14	4	3	7	7	10	13	12	98
C40-C41	Männer	8	6	3	4	6	2	5	3	3	2	1	43
	Frauen	3	2	4	4	1	2	3	9	3	3	0	34
	Gesamt	11	8	7	8	7	4	8	12	6	5	1	77
C43	Männer	140	169	160	192	191	188	195	197	205	216	250	2103
	Frauen	161	163	177	182	186	190	187	165	204	221	200	2036
	Gesamt	301	332	337	374	377	378	382	362	409	437	450	4139
C45	Männer	6	8	11	6	5	8	15	12	10	13	13	107
	Frauen	0	3	4	6	6	11	6	4	3	5	9	57
	Gesamt	6	11	15	12	11	19	21	16	13	18	22	164
C46-C49	Männer	32	33	21	27	32	36	40	44	32	36	36	369
	Frauen	30	34	32	25	29	41	39	41	34	34	38	377
	Gesamt	62	67	53	52	61	77	79	85	66	70	74	746
C50	Männer	14	5	12	8	13	18	11	14	7	19	20	141
	Frauen	1355	1270	1207	1357	1439	1396	1481	1266	1173	1433	1530	14907
	Gesamt	1369	1275	1219	1365	1452	1414	1492	1280	1180	1452	1550	15048
C51	Frauen	65	39	47	43	45	58	52	43	45	58	65	560
	Gesamt	65	39	47	43	45	58	52	43	45	58	65	560
C52, C57, C58	Frauen	13	10	19	21	23	23	29	22	27	41	19	247
	Gesamt	13	10	19	21	23	23	29	22	27	41	19	247
C53	Frauen	111	101	89	115	82	96	102	79	83	101	97	1056
	Gesamt	111	101	89	115	82	96	102	79	83	101	97	1056
C54-C55	Frauen	258	228	256	240	256	246	294	234	248	259	213	2732
	Gesamt	258	228	256	240	256	246	294	234	248	259	213	2732
C56	Frauen	122	130	108	115	108	113	126	91	95	121	125	1254
	Gesamt	122	130	108	115	108	113	126	91	95	121	125	1254
C60, C63	Männer	22	19	30	29	24	34	36	31	45	39	34	343
	Gesamt	22	19	30	29	24	34	36	31	45	39	34	343
C61	Männer	1364	1499	1689	1395	1289	1229	1254	1144	1166	1532	1475	15036
	Gesamt	1364	1499	1689	1395	1289	1229	1254	1144	1166	1532	1475	15036
C62	Männer	77	82	87	72	70	94	94	73	74	57	91	871
	Gesamt	77	82	87	72	70	94	94	73	74	57	91	871

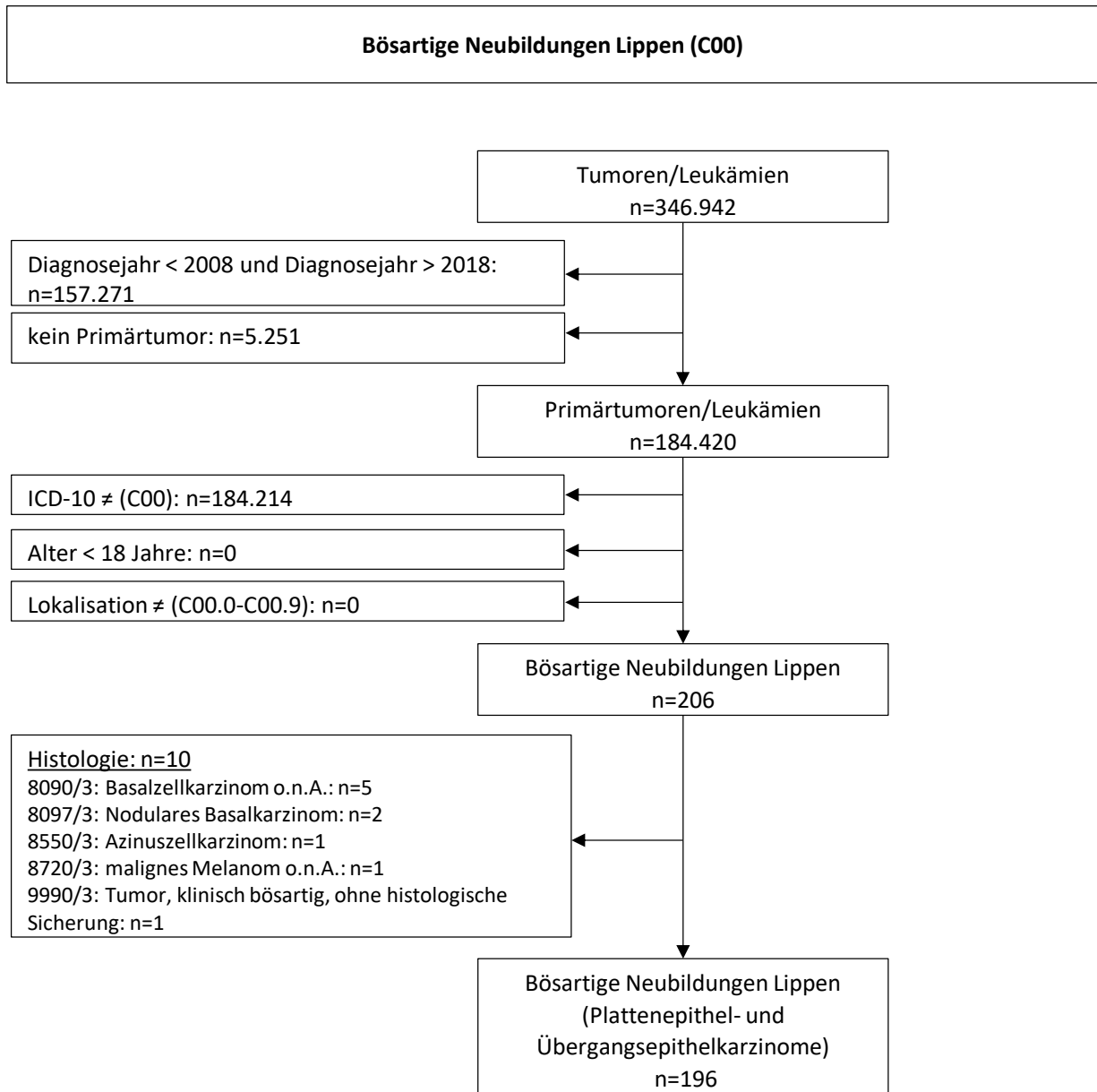
ICD-10/ Geschlecht		2008	2009	2010	2011	2012	2013	2014	2015	2016	2017	2018	Summe
C64	Männer	236	252	249	266	272	302	256	219	239	273	254	2818
	Frauen	164	168	171	135	159	188	153	116	111	132	158	1655
	Gesamt	400	420	420	401	431	490	409	335	350	405	412	4473
C65-C66, C68	Männer	23	37	41	36	20	41	44	33	35	35	26	371
	Frauen	22	15	21	26	25	13	22	11	19	25	30	229
	Gesamt	45	52	62	62	45	54	66	44	54	60	56	600
C67	Männer	233	219	223	233	267	255	282	259	233	309	286	2799
	Frauen	100	95	90	97	101	90	98	81	88	88	107	1035
	Gesamt	333	314	313	330	368	345	380	340	321	397	393	3834
C69	Männer	4	8	11	19	15	11	15	10	8	9	9	119
	Frauen	9	18	5	11	18	10	10	12	5	9	7	114
	Gesamt	13	26	16	30	33	21	25	22	13	18	16	233
C70	Männer	1	1	0	1	1	2	1	1	0	0	0	8
	Frauen	1	1	0	0	0	2	0	2	2	1	3	12
	Gesamt	2	2	0	1	1	4	1	3	2	1	3	20
C71	Männer	66	77	88	65	73	77	85	73	66	72	87	829
	Frauen	47	44	63	59	75	67	49	66	65	65	69	669
	Gesamt	113	121	151	124	148	144	134	139	131	137	156	1498
C72	Männer	0	2	0	3	2	5	3	5	2	1	4	27
	Frauen	1	0	0	1	6	2	2	3	3	2	3	23
	Gesamt	1	2	0	4	8	7	5	8	5	3	7	50
C73	Männer	22	43	34	31	30	33	41	26	29	34	24	347
	Frauen	69	92	87	84	89	82	75	87	61	52	65	843
	Gesamt	91	135	121	115	119	115	116	113	90	86	89	1190
C74-C75	Männer	0	0	1	3	2	1	3	4	3	2	3	22
	Frauen	2	2	6	5	4	7	0	3	3	1	5	38
	Gesamt	2	2	7	8	6	8	3	7	6	3	8	60
C76-C80	Männer	90	92	99	138	114	132	150	121	121	123	116	1296
	Frauen	86	69	94	105	96	117	111	96	103	103	82	1062
	Gesamt	176	161	193	243	210	249	261	217	224	226	198	2358
C81	Männer	13	17	20	24	22	22	25	24	26	23	25	241
	Frauen	16	23	19	20	16	18	30	17	17	20	22	218
	Gesamt	29	40	39	44	38	40	55	41	43	43	47	459
C82	Männer	18	25	25	33	35	28	36	39	24	42	55	360
	Frauen	17	32	44	35	48	44	46	37	52	56	45	456
	Gesamt	35	57	69	68	83	72	82	76	76	98	100	816
C83	Männer	57	87	105	109	116	130	128	144	118	164	148	1306
	Frauen	59	89	100	108	101	116	94	114	111	156	113	1161
	Gesamt	116	176	205	217	217	246	222	258	229	320	261	2467
C84	Männer	8	12	12	12	15	13	19	13	9	11	16	140
	Frauen	5	7	7	8	10	9	10	6	11	10	5	88
	Gesamt	13	19	19	20	25	22	29	19	20	21	21	228
C85	Männer	25	27	29	27	19	22	14	13	15	15	17	223
	Frauen	16	20	19	33	19	21	18	16	7	17	18	204
	Gesamt	41	47	48	60	38	43	32	29	22	32	35	427
C86	Männer	3	4	1	2	6	1	5	4	4	6	6	42
	Frauen	1	2	0	2	4	5	2	1	1	3	3	24
	Gesamt	4	6	1	4	10	6	7	5	5	9	9	66

ICD-10/ Geschlecht		2008	2009	2010	2011	2012	2013	2014	2015	2016	2017	2018	Summe
C88	Männer	2	2	2	2	6	10	10	8	12	9	10	73
	Frauen	3	1	2	6	3	15	17	13	14	9	13	96
	Gesamt	5	3	4	8	9	25	27	21	26	18	23	169
C90	Männer	47	62	55	85	88	78	96	92	80	111	93	887
	Frauen	40	53	61	49	63	61	71	82	64	74	70	688
	Gesamt	87	115	116	134	151	139	167	174	144	185	163	1575
C91 (ohne C91.1, C91.4, C91.5)	Männer	5	9	5	10	6	7	11	7	4	7	5	76
	Frauen	6	3	7	12	11	8	7	9	5	8	6	82
	Gesamt	11	12	12	22	17	15	18	16	9	15	11	158
C91.1	Männer	67	94	80	89	115	92	116	116	107	99	112	1087
	Frauen	33	50	56	62	76	61	90	70	62	68	58	686
	Gesamt	100	144	136	151	191	153	206	186	169	167	170	1773
C91.4, C91.5	Männer	6	6	4	4	7	6	5	6	6	2	6	58
	Frauen	1	2	1	3	2	6	3	2	1	1	2	24
	Gesamt	7	8	5	7	9	12	8	8	7	3	8	82
C92-C95 (ohne C92.1, C92.2)	Männer	26	31	32	50	49	48	64	49	60	65	81	555
	Frauen	20	37	33	38	42	43	39	48	58	50	50	458
	Gesamt	46	68	65	88	91	91	103	97	118	115	131	1013
C92.1, C92.2	Männer	8	11	8	11	17	15	5	15	8	10	18	126
	Frauen	10	9	9	9	8	12	10	9	8	11	14	109
	Gesamt	18	20	17	20	25	27	15	24	16	21	32	235
C96	Männer	1	0	1	0	3	2	2	1	1	2	3	16
	Frauen	1	0	0	2	1	1	1	2	0	2	2	12
	Gesamt	2	0	1	2	4	3	3	3	1	4	5	28
Summe		9146	9624	9837	9962	10121	10383	10693	9650	9371	10914	11169	110870

*In den folgenden entitätenspezifischen Auswertungen erfolgen Ausschlüsse hinsichtlich der Lokalisationen und Histologien (siehe Kapitel 4: Methode)

7 Lippe (C00)

7.1 Consort-Statement: Darstellung der Auswertepopulation

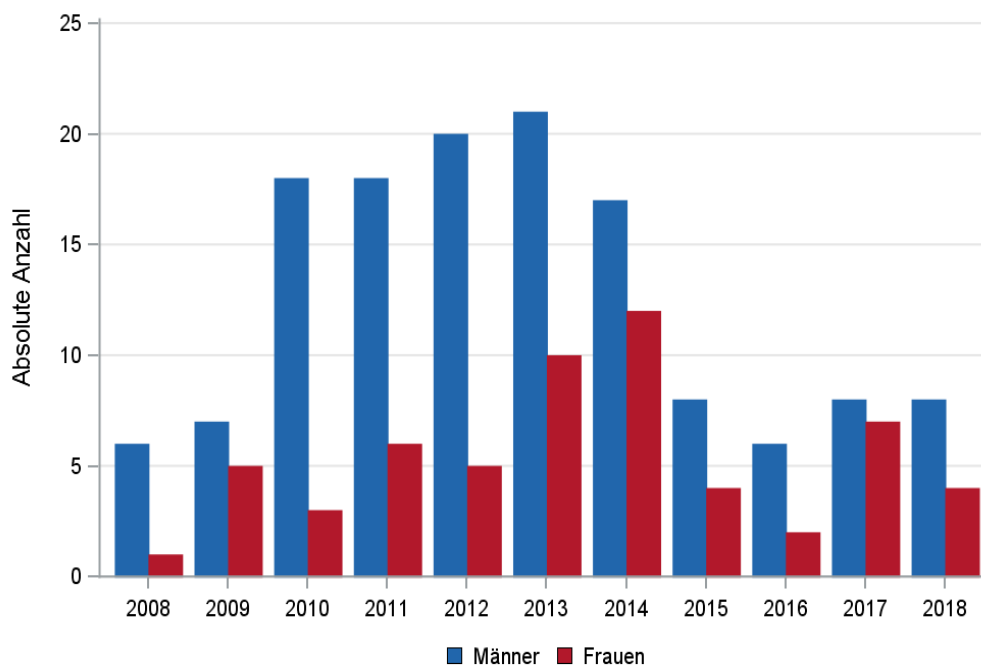


*Erläuterungen zu den Ausschlüssen finden Sie im Kapitel 4 (Methode)

7.2 Absolute Anzahl der erfassten Neuerkrankungen in M-V in den Jahren 2008 – 2018 nach Geschlecht (Behandlungsort, Wohnort)

Tab. 7.1. C00: Absolute Anzahl der Neuerkrankungen nach Geschlecht (Behandlungsort)

Diagnosejahr	Männer		Frauen		Summe
	Anzahl	%	Anzahl	%	
2008	6	85,7	1	14,3	7
2009	7	58,3	5	41,7	12
2010	18	85,7	3	14,3	21
2011	18	75,0	6	25,0	24
2012	20	80,0	5	20,0	25
2013	21	67,7	10	32,3	31
2014	17	58,6	12	41,4	29
2015	8	66,7	4	33,3	12
2016	6	75,0	2	25,0	8
2017	8	53,3	7	46,7	15
2018	8	66,7	4	33,3	12
Summe	137	69,9	59	30,1	196

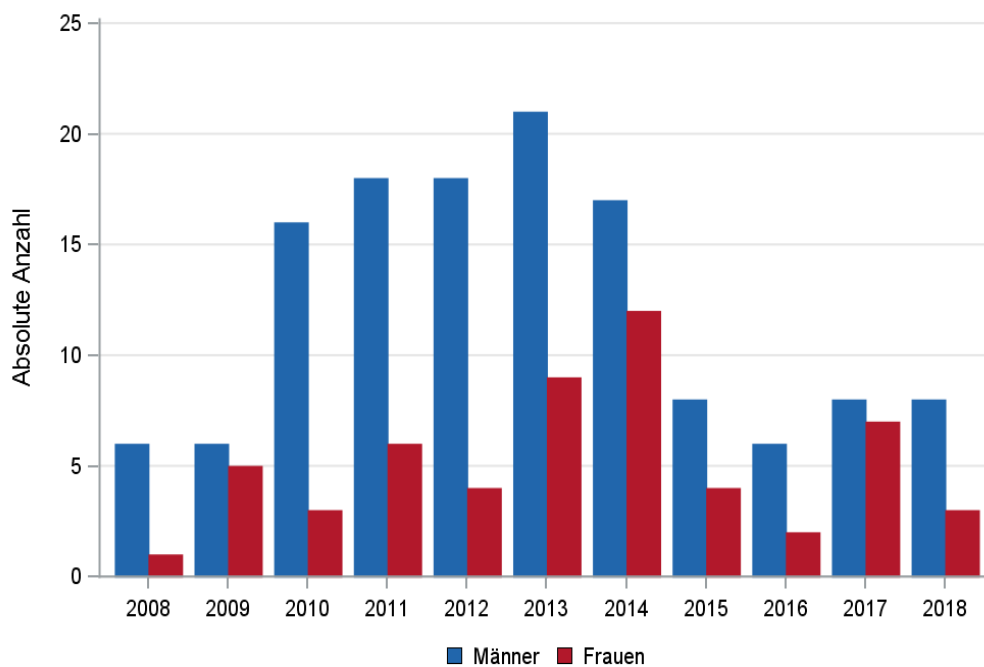


© KKR-MV 2020

Abb. 7.1. C00: Absolute Anzahl der Neuerkrankungen nach Geschlecht im Diagnosezeitraum 2008 bis 2018 (Behandlungsort)

Tab. 7.2. C00: Absolute Anzahl der Neuerkrankungen nach Geschlecht (Wohnort)

Diagnosejahr	Männer		Frauen		Summe
	Anzahl	%	Anzahl	%	
2008	6	85,7	1	14,3	7
2009	6	54,5	5	45,5	11
2010	16	84,2	3	15,8	19
2011	18	75,0	6	25,0	24
2012	18	81,8	4	18,2	22
2013	21	70,0	9	30,0	30
2014	17	58,6	12	41,4	29
2015	8	66,7	4	33,3	12
2016	6	75,0	2	25,0	8
2017	8	53,3	7	46,7	15
2018	8	72,7	3	27,3	11
Summe	132	70,2	56	29,8	188



© KKR-MV 2020

Abb. 7.2. C00: Absolute Anzahl der Neuerkrankungen nach Geschlecht im Diagnosezeitraum 2008 bis 2018 (Wohnort)

7.3 Absolute Anzahl der erfassten Neuerkrankungen in M-V in den Jahren 2008 – 2018 nach Landkreisen (Wohnort)

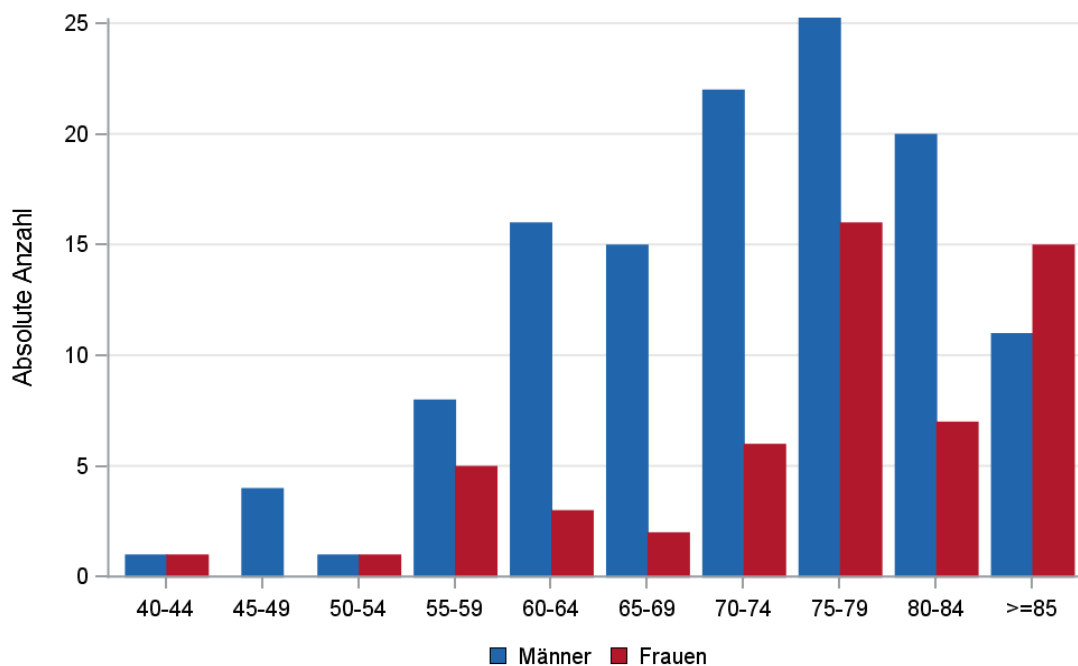
Tab. 7.3. C00: Absolute Anzahl und prozentualer Anteil der Neuerkrankungen nach Landkreisen

Landkreis	2008		2009		2010		2011		2012		2013		2014		2015		2016		2017		2018		Summe	
	Anzahl	%	Anzahl	%	Anzahl	%	Anzahl	%	Anzahl	%	Anzahl	%	Anzahl	%	Anzahl	%	Anzahl	%	Anzahl	%	Anzahl	%	Anzahl	%
Landkreis Rostock	1	14,3	2	18,2	6	31,6	6	25,0	4	18,2	9	30,0	6	20,7	2	16,7	0	0	4	26,7	3	27,3	43	22,9
Ludwigslust-Parchim	0	0	5	45,5	1	5,3	1	4,2	2	9,1	2	6,7	0	0	0	0	2	25,0	5	33,3	0	0	18	9,6
Mecklenburgische Seenplatte	0	0	3	27,3	1	5,3	3	12,5	3	13,6	6	20,0	5	17,2	0	0	0	0	4	26,7	5	45,5	30	16,0
Nordwestmecklenburg	1	14,3	0	0	1	5,3	1	4,2	0	0	0	0	1	3,4	0	0	0	0	0	0	0	0	4	2,1
Rostock	0	0	0	0	1	5,3	5	20,8	8	36,4	4	13,3	6	20,7	5	41,7	1	12,5	0	0	1	9,1	31	16,5
Schwerin	0	0	0	0	1	5,3	1	4,2	0	0	1	3,3	0	0	1	8,3	0	0	0	0	0	0	4	2,1
Vorpommern-Greifswald	1	14,3	0	0	1	5,3	2	8,3	1	4,5	3	10,0	8	27,6	1	8,3	1	12,5	1	6,7	1	9,1	20	10,6
Vorpommern-Rügen	4	57,1	1	9,1	7	36,8	5	20,8	4	18,2	5	16,7	3	10,3	3	25,0	4	50,0	1	6,7	1	9,1	38	20,2
Summe	7	100,0	11	100,0	19	100,0	24	100,0	22	100,0	30	100,0	29	100,0	12	100,0	8	100,0	15	100,0	11	100,0	188	100,0

7.4 Rohe und standardisierte Neuerkrankungsraten pro 100.000 Einwohner in den Jahren 2008-2018 (Wohnort)

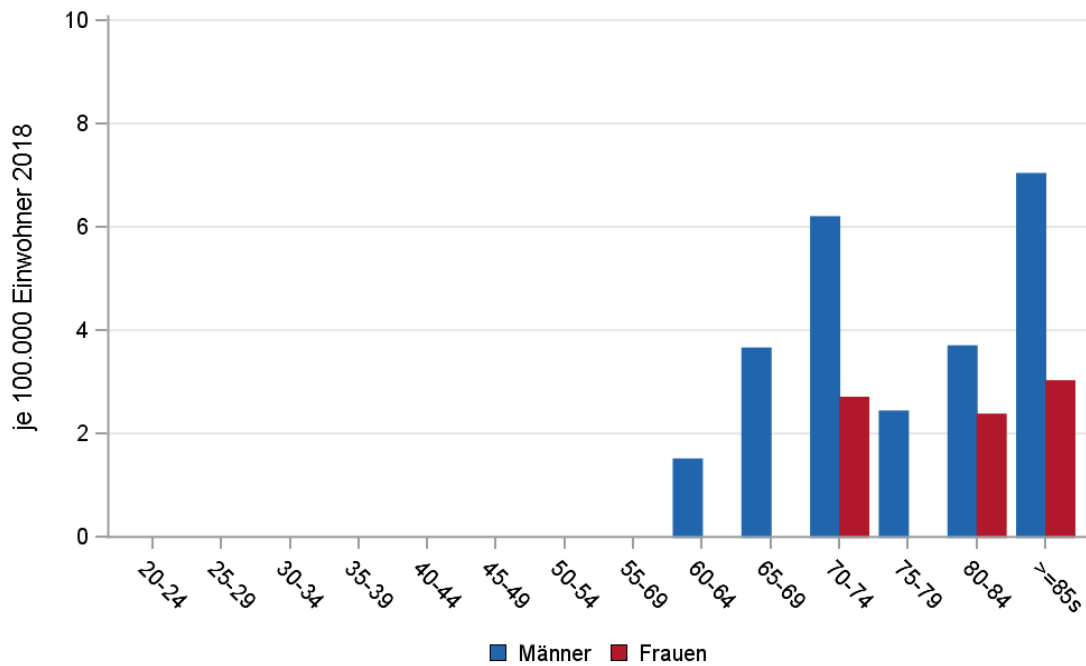
Tab. 7.4. C00: Neuerkrankungsrate/100.000 Einwohner (Alter > 19)

Diagnosejahr	Männer			Frauen		
	absolute Anzahl der Neuerkrankungen	rohe Rate in M-V	altersstandardisierte Rate	absolute Anzahl der Neuerkrankungen	rohe Rate in M-V	altersstandardisierte Rate
2008	6	0,9	0,7	1	0,1	0,1
2009	6	0,9	0,8	5	0,7	0,6
2010	16	2,3	1,7	3	0,4	0,3
2011	18	2,7	2,0	6	0,9	0,5
2012	18	2,7	1,9	4	0,6	0,3
2013	21	3,2	2,1	9	1,3	0,5
2014	17	2,6	1,8	12	1,7	0,7
2015	8	1,2	0,8	4	0,6	0,3
2016	6	0,9	0,6	2	0,3	0,1
2017	8	1,2	0,9	7	1,0	0,5
2018	8	1,2	0,8	3	0,4	0,2
2008-2018	132	1,8	1,3	56	0,7	0,4



© KKR-MV 2020

Abb. 7.3. C00: Absolute Anzahl der Neuerkrankungen aufgelistet in 5-Jahres-Altersgruppen und nach Geschlecht im Diagnosezeitraum 2008 bis 2018 (Wohnort)



© KKR-MV 2020

Abb. 7.4. C00: Altersspezifische Rate der Neuerkrankungen je 100.000 Einwohner (Diagnosejahr 2018) nach 5-Jahres-Altersgruppen und Geschlecht (Wohnort)

7.5 Alter der in den Jahren 2008 - 2018 in M-V neuerkrankten Patienten (Behandlungsort)

Tab. 7.5. C00: Erkrankungsalter (Behandlungsort)

Diagnosejahr	Männer				Frauen			
	Anzahl	Median	Minimum	Maximum	Anzahl	Median	Minimum	Maximum
2008	6	71	64	77	1	57	57	57
2009	7	75	63	85	5	77	61	88
2010	18	73	57	84	3	77	44	90
2011	18	74	55	89	6	86	59	90
2012	20	75	48	88	5	75	73	75
2013	21	76	58	93	10	84	52	96
2014	17	73	46	87	12	76	55	97
2015	8	79	44	85	4	76	58	82
2016	6	67	50	84	2	78	76	79
2017	8	64	48	88	7	77	56	96
2018	8	74	60	87	4	82	74	88

7.6 Absolute Anzahl der erfassten Neuerkrankungen in M-V in den Jahren 2008 – 2018 nach Lokalisation

Tab. 7.6. C00: Absolute Anzahl und prozentualer Anteil der Neuerkrankungen nach der Lokalisation (Behandlungsort)

Lokalisation	2008	2009	2010	2011	2012	2013	2014	2015	2016	2017	2018	Summe	
												Anzahl	%
C00.0 Oberlippe, Lippenrot (ohne Haut der Oberlippe, =C44.01)	0	0	0	1	0	0	0	2	0	2	0	5	2,6
C00.1 Unterlippe, Lippenrot (ohne Haut der Unterlippe, =C44.02)	7	12	20	21	25	29	28	9	5	9	9	174	88,8
C00.2 Lippenrot, o.n.A.	0	0	0	0	0	0	0	0	0	0	1	1	0,5
C00.3 Schleimhaut der Oberlippe	0	0	0	0	0	0	0	0	1	0	0	1	0,5
C00.4 Schleimhaut der Unterlippe	0	0	0	1	0	0	0	1	1	3	2	8	4,1
C00.5 Lippenschleimhaut o.n.A.	0	0	0	0	0	1	0	0	0	1	0	2	1,0
C00.6 Lippenkommissur, Mundwinkel	0	0	0	1	0	0	1	0	0	0	0	2	1,0
C00.8 Lippen (mehrere Teilbereiche überlappend)	0	0	1	0	0	1	0	0	0	0	0	2	1,0
C00.9 Lippen o.n.A. (ohne Haut der Lippen, =C44.0)	0	0	0	0	0	0	0	0	1	0	0	1	0,5
Summe	7	12	21	24	25	31	29	12	8	15	12	196	100,0

7.7 Histologische Befunde bei allen neuerkrankten Patienten in M-V in den Jahren 2008 – 2018

Tab. 7.7. C00: Histologische Befunde bei neuerkrankten Patienten (Behandlungsort)

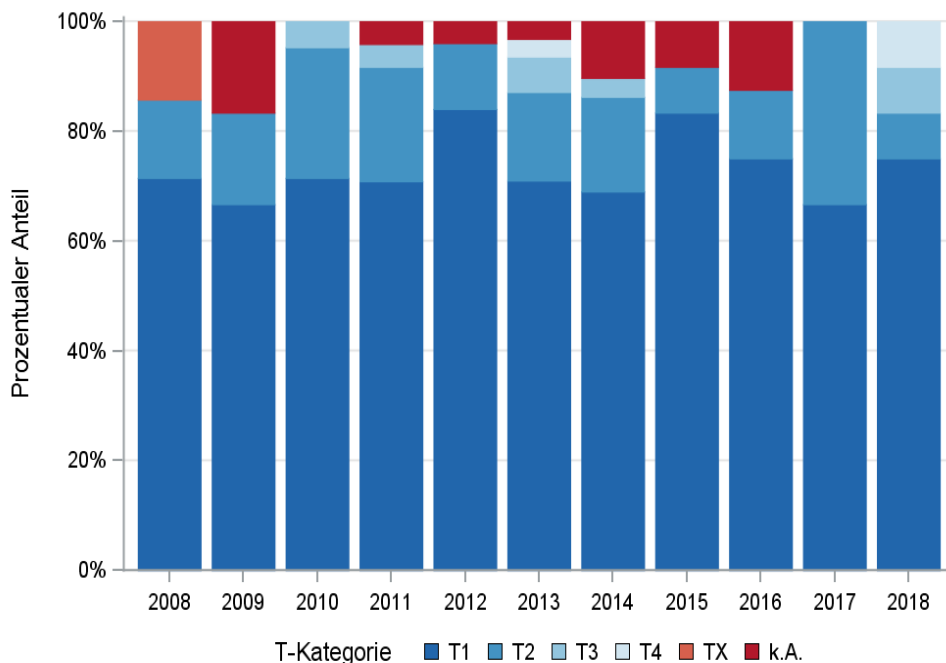
Histologiecode	Anzahl	Prozent
8070/3: Plattenepithelkarzinom o.n.A.	106	54,1
8071/3: Verhornendes Plattenepithelkarzinom o.n.A.	83	42,3
8051/3: Verruköses Karzinom o.n.A.	6	3,1
8073/3: Kleinzelliges nichtverhornendes Plattenepithelkarzinom	1	0,5
Plattenepithel- und Übergangsepithelkarzinome	196	100,0

7.8 Tumorgröße und Ausdehnung (TNM)

Tab. 7.8. C00: Absolute Anzahl der Neuerkrankungen klassifiziert nach der Tumorgröße in Bezug zu der Auflage der TNM-Klassifikation (Behandlungsort)

Tumorgröße (T)	TNM Auflage 6		TNM Auflage 7		TNM Auflage 8		k.A. zur TNM Auflage		Summe	
	Anzahl	%	Anzahl	%	Anzahl	%	Anzahl*	%	Anzahl	%
T1	13	76,5	108	76,6	22	78,6	-	-	143	73,0
T2	3	17,6	27	19,1	4	14,3	-	-	34	17,3
T3	0	0	5	3,5	1	3,6	-	-	6	3,1
T4	0	0	1	0,7	1	3,6	-	-	2	1,0
TX	1	5,9	0	0	0	0	-	-	1	0,5
k.A.	0	0	0	0	0	0	10	100,0	10	5,1
Summe	17	100,0	141	100,0	28	100,0	10	100,0	196	100,0

*In einzelnen Fällen wurden Angaben zur Tumorgröße ohne Bezug zu einer TNM Auflage gemacht. Diese Angaben wurden in die Kategorie k.A. aufgenommen.



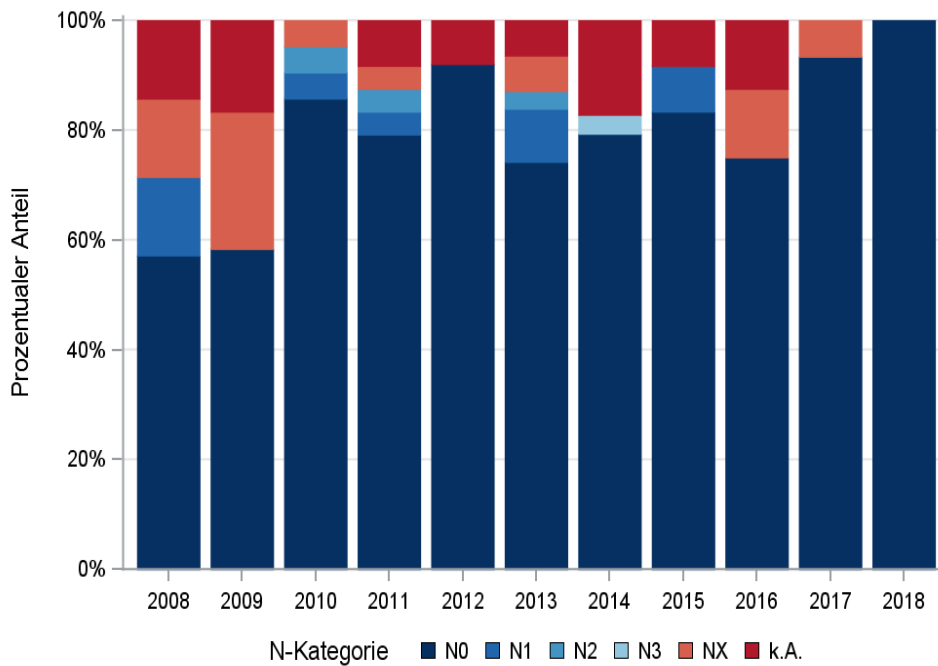
© KKR-MV 2020

Abb. 7.5. C00: Prozentualer Anteil der Neuerkrankungen nach der Tumorgröße im Diagnosezeitraum 2008 bis 2018

Tab. 7.9. C00: Absolute Anzahl der Neuerkrankungen mit bzw. ohne Befall der regionären Lymphknoten in Bezug zu der Auflage der TNM-Klassifikation (Behandlungsort)

N-Kategorie	TNM Auflage 6		TNM Auflage 7		TNM Auflage 8		k.A. zur TNM Auflage		Summe	
	Anzahl	%	Anzahl	%	Anzahl	%	Anzahl*	%	Anzahl	%
N0	11	64,7	121	85,8	27	96,4	-	-	159	81,1
N1	1	5,9	6	4,3	0	0	-	-	7	3,6
N2	0	0	3	2,1	0	0	-	-	3	1,5
N3	0	0	1	0,7	0	0	-	-	1	0,5
NX	4	23,5	5	3,5	1	3,6	-	-	10	5,1
k.A.	1	5,9	5	3,5	0	0	10	100,0	16	8,2
Summe	17	100,0	141	100,0	28	100,0	10	100,0	196	100,0

*In einzelnen Fällen wurden Angaben zur N-Kategorie ohne Bezug zu einer TNM Auflage gemacht. Diese Angaben wurden in die Kategorie k.A. aufgenommen.



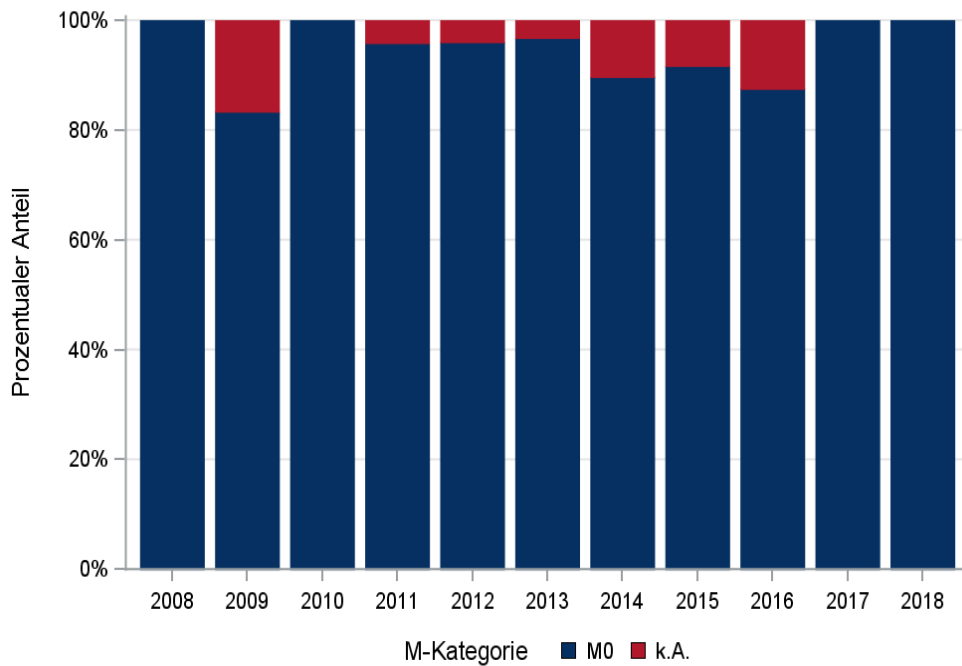
© KKR-MV 2020

Abb. 7.6. C00: Prozentualer Anteil der Neuerkrankungen mit und ohne Befall der regionären Lymphknoten zum Zeitpunkt der Erstdiagnose im Diagnosezeitraum 2008 bis 2018

Tab. 7.10. C00: Absolute Anzahl der Neuerkrankungen mit Fernmetastasierung in Bezug zu der Auflage der TNM-Klassifikation (Behandlungsort)

M-Kategorie	TNM Auflage 6		TNM Auflage 7		TNM Auflage 8		k.A. zur TNM Auflage		Summe	
	Anzahl	%	Anzahl	%	Anzahl	%	Anzahl*	%	Anzahl	%
M0	17	100,0	141	100,0	28	100,0	-	-	186	94,9
M1	0	0	0	0	0	0	-	-	0	0
k.A.	0	0	0	0	0	0	10	100,0	10	5,1
Summe	17	100,0	141	100,0	28	100,0	10	100,0	196	100,0

*In einzelnen Fällen wurden Angaben zur M-Kategorie ohne Bezug zu einer TNM Auflage gemacht. Diese Angaben wurden in die Kategorie k.A. aufgenommen.



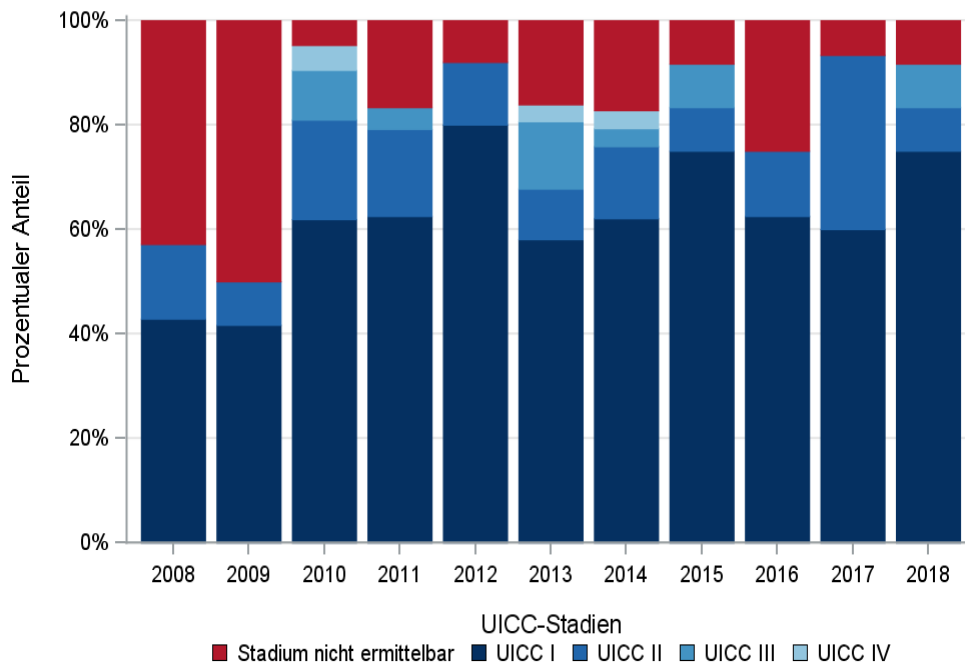
© KKR-MV 2020

Abb. 7.7. C00: Prozentualer Anteil der primären Fernmetastasierung im Diagnosezeitraum 2008 bis 2018

7.9 Tumorstadien nach UICC

Tab. 7.11. C00: Primäre UICC-Stadien (Behandlungsort)

Jahre	UICC I		UICC II		UICC III		UICC IV		Stadium nicht ermittelbar		Summe	
	Anzahl	%	Anzahl	%	Anzahl	%	Anzahl	%	Anzahl	%	Anzahl	%
2008	3	42,9	1	14,3	0	0	0	0	3	42,9	7	100,0
2009	5	41,7	1	8,3	0	0	0	0	6	50,0	12	100,0
2010	13	61,9	4	19,0	2	9,5	1	4,8	1	4,8	21	100,0
2011	15	62,5	4	16,7	1	4,2	0	0	4	16,7	24	100,0
2012	20	80,0	3	12,0	0	0	0	0	2	8,0	25	100,0
2013	18	58,1	3	9,7	4	12,9	1	3,2	5	16,1	31	100,0
2014	18	62,1	4	13,8	1	3,4	1	3,4	5	17,2	29	100,0
2015	9	75,0	1	8,3	1	8,3	0	0	1	8,3	12	100,0
2016	5	62,5	1	12,5	0	0	0	0	2	25,0	8	100,0
2017	9	60,0	5	33,3	0	0	0	0	1	6,7	15	100,0
2018	9	75,0	1	8,3	1	8,3	0	0	1	8,3	12	100,0
Summe	124	63,3	28	14,3	10	5,1	3	1,5	31	15,8	196	100,0



© KKR-MV 2020

Abb. 7.8. C00: Prozentuale Anteile der UICC-Tumorstadien in den Diagnosejahren 2008 bis 2018

7.10 Dokumentierte Therapie bis max. 12 Monate nach Diagnosestellung

7.10.1 Therapiekombinationen, Stellung der Therapie und Intention der dokumentierten Therapien

Tab. 7.12. C00: Therapiekombinationen (Operation, Strahlentherapie, systemische Therapie) pro Diagnosejahr (Behandlungsort)

Therapiekombinationen	2008	2009	2010	2011	2012	2013	2014	2015	2016	2017	2018	Summe
Alleinige Operation	121	27	7	2	29	186	121	27	7	2	29	186
Alleinige Strahlentherapie	0	1	0	0	1	2	0	1	0	0	1	2
Alleinige systemische Therapie	0	0	0	0	0	0	0	0	0	0	0	0
Operation und systemische Therapie, keine Strahlentherapie	0	0	0	1	1	2	0	0	0	1	1	2
Operation und Strahlentherapie, keine systemische Therapie	1	0	3	0	0	4	1	0	3	0	0	4
Keine Operation, systemische Therapie oder Strahlentherapie	2	0	0	0	0	2	2	0	0	0	0	2
Summe	124	28	10	3	31	196	124	28	10	3	31	196

Tab. 7.13. C00: Therapiekombinationen (Operation, Strahlentherapie, systemische Therapie) in Abhängigkeit von dem UICC-Stadium (Behandlungsort)

Therapiekombinationen	UICC I	UICC II	UICC III	UICC IV	Stadium nicht ermittelbar	Summe
Alleinige Operation	121	27	7	2	29	186
Alleinige Strahlentherapie	0	1	0	0	1	2
Alleinige systemische Therapie	0	0	0	0	0	0
Operation und systemische Therapie, keine Strahlentherapie	0	0	0	1	1	2
Operation und Strahlentherapie, keine systemische Therapie	1	0	3	0	0	4
Keine Operation, systemische Therapie oder Strahlentherapie	2	0	0	0	0	2
Summe	124	28	10	3	31	196

Tab. 7.14a. C00: Stellung der Strahlentherapie zur operativen Therapie im ersten Jahr der Erkrankung (adjuvant/neoadjuvant, Behandlungsort)

Stellung der Strahlentherapie zur operativen Therapie	2010	2013	Summe
Adjuvante (postoperative) Strahlentherapie	0	3	3
unbekannt	1	0	1
Summe	1	3	4

Tab. 7.14b. C00: Stellung der systemischen Therapie zur operativen Therapie im ersten Jahr der Erkrankung (adjuvant/neoadjuvant, Behandlungsort)

Stellung der systemischen Therapie zur operativen Therapie	2014	2018	Summe
Therapie ohne Bezug zu einer operativen Therapie	0	1	1
Adjuvante (postoperative) Therapie	1	0	1
Summe	1	1	2

Tab. 7.15a. C00: Intention bei der ersten Operation (Behandlungsort)

Intention der Operation	2008	2009	2010	2011	2012	2013	2014	2015	2016	2017	2018	Summe
Kurativ	6	9	20	24	23	28	27	11	7	11	12	178
Sonstige/Unbekannt/Keine Angabe	1	3	1	0	2	0	1	1	1	4	0	14
Summe	7	12	21	24	25	28	28	12	8	15	12	192

Tab. 7.15b. C00: Intention der initialen Bestrahlung (Behandlungsort)

Intention der Bestrahlung	2010	2013	Summe
Kurativ	0	4	4
Sonstige/Unbekannt/Keine Angabe	1	1	2
Summe	1	5	6

Tab. 7.15c. C00: Intention bei der ersten systemischen Therapie (Behandlungsort)

Intention der systemischen Therapie	2014	2018	Summe
Kurativ	1	0	1
Palliativ bzw. symptomatisch	0	1	1
Summe	1	1	2

Tab. 7.16. C00: Zeitraum zwischen Diagnose und Beginn der ersten Therapie nach Therapieart (Angaben in Tagen, Behandlungsort)

Therapie	Anzahl	Median	Minimum	Maximum
Diagnose und erste Operation	192	1	0	178
Diagnose und erste Bestrahlung	6	55	15	169
Diagnose und erste system. Therapie	2	180	53	306

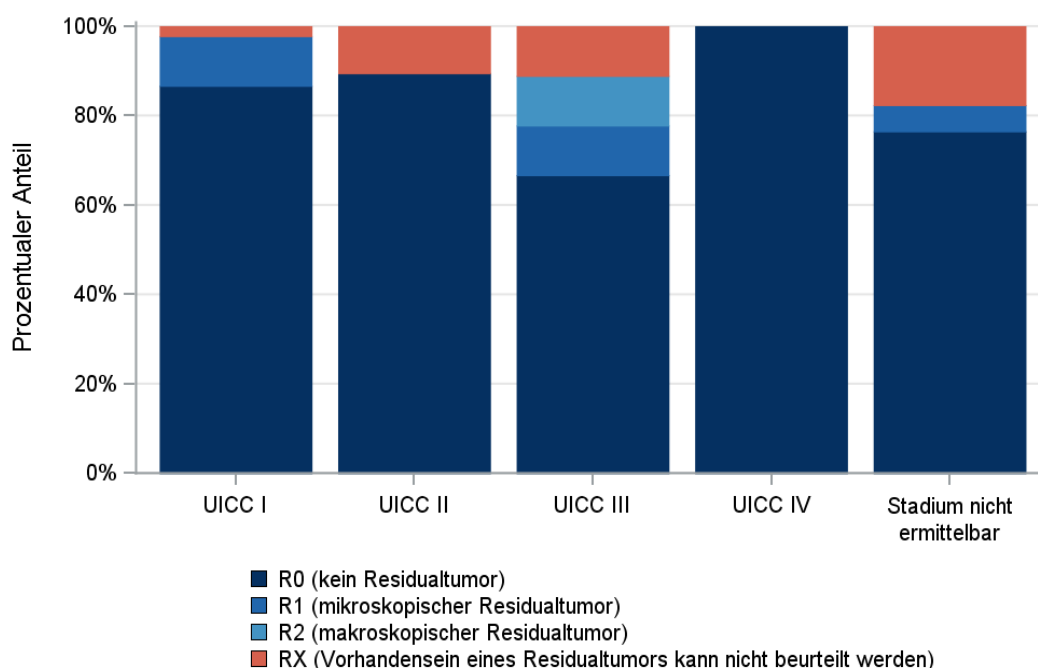
7.10.2 Dokumentierte tumorspezifische Operation bis max.12 Monate nach Diagnosestellung

Tab. 7.17. C00: Dokumentierte tumorspezifische Operation nach UICC (Behandlungsort)

Operationen	UICC I	UICC II	UICC III	UICC IV	Stadium nicht ermittelbar	Summe	
						Anzahl	%
Tumorresektion	72	11	4	0	15	102	53,1
Tumor- und Lymphknotenresektion	18	8	5	1	2	34	17,7
Lymphknotenresektion	10	3	1	2	1	17	8,9
sonstige OP	20	5	0	0	10	35	18,2
keine Angabe	2	0	0	0	2	4	2,1
Summe	122	27	10	3	30	192	100,0

Tab. 7.18. C00: Residualklassifikation nach Tumorresektion im Diagnosezeitraum 2008-2018

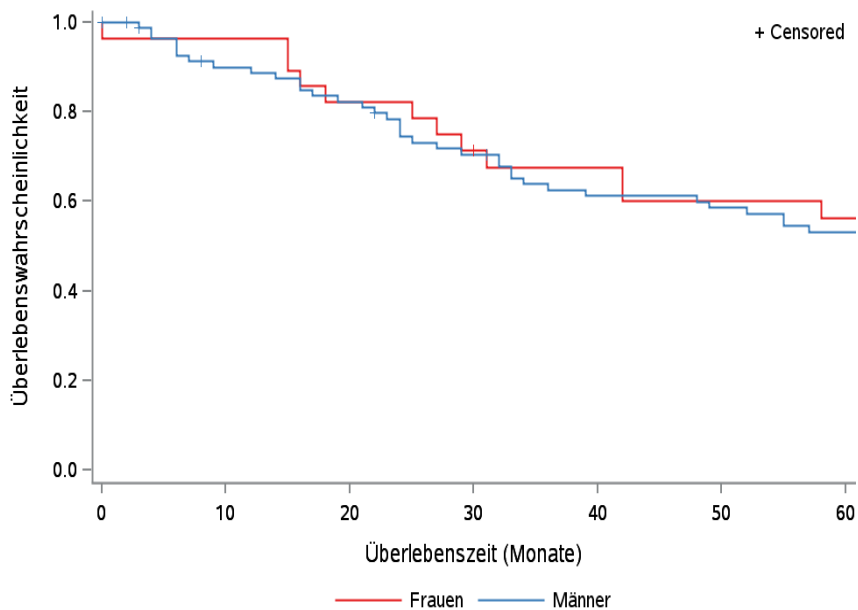
R-Klassifikation	UICC I	UICC II	UICC III	UICC IV	Stadium nicht ermittelbar	Summe	
						Anzahl	%
R0 (kein Residualtumor)	78	17	6	1	13	115	84,6
R1 (mikroskopischer Residualtumor)	10	0	1	0	1	12	8,8
R2 (makroskopischer Residualtumor)	0	0	1	0	0	1	0,7
RX (Vorhandensein eines Residualtumors kann nicht beurteilt werden)	2	2	1	0	3	8	5,9
Summe	90	19	9	1	17	136	100,0



© KKR-MV 2020

Abb. 7.9. C00: Residualklassifikation nach Tumorresektion in Abhängigkeit von UICC-Tumorstadium im Diagnosezeitraum 2008 bis 2018

7.11 Überlebensanalysen bei den in den Jahren 2008 – 2013 primär diagnostizierten Patienten

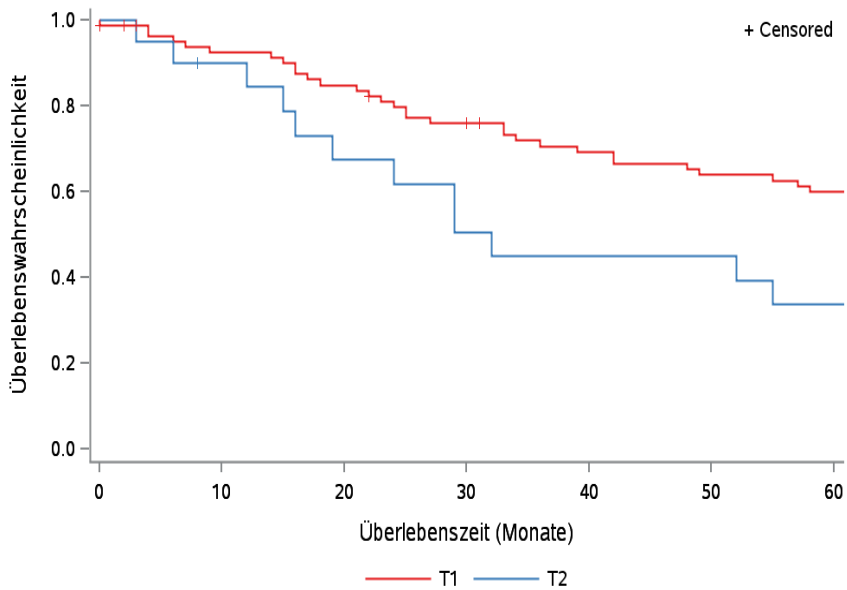


© KKR-MV 2020

Abb.7.10. C00: Wahrscheinlichkeit des Überlebens (Kaplan-Meier-Analyse) nach Geschlecht im Diagnosezeitraum von 2008 bis 2013 (Wohnort). Kaplan-Meier-Kurven werden für Kategorien mit weniger als 10 Neuerkrankungen nicht dargestellt.

Tab. 7.19. C00: Anzahl der unter Risiko stehenden Neuerkrankungen (Monate nach Diagnose)

Geschlecht	0 Monate	20 Monate	40 Monate	60 Monate
Männer	85	64	46	40
Frauen	28	23	18	15

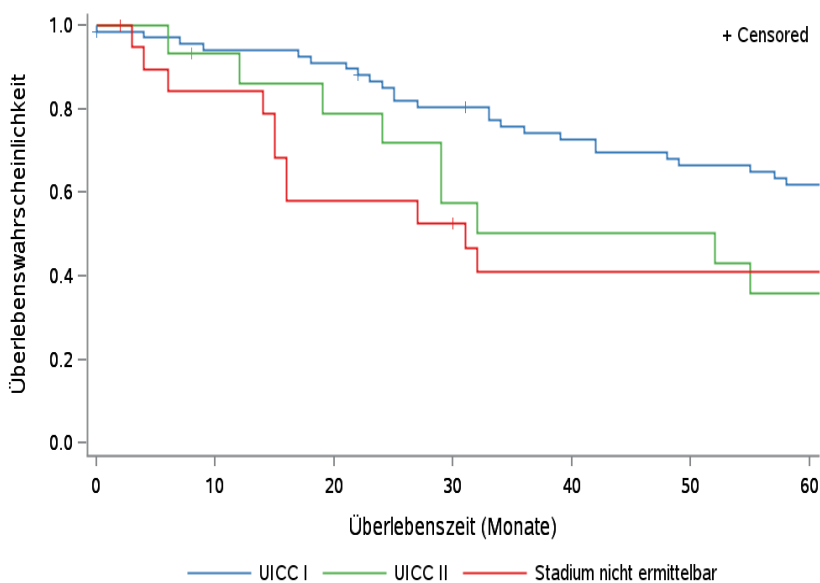


© KKR-MV 2020

Abb.7.11. C00: Wahrscheinlichkeit des Überlebens (Kaplan-Meier-Analyse) nach Tumorgröße im Diagnosezeitraum von 2008 bis 2013 (Wohnort). Kaplan-Meier-Kurven werden für Kategorien mit weniger als 10 Neuerkrankungen nicht dargestellt.

Tab. 7.20. C00: Anzahl der unter Risiko stehenden Neuerkrankungen nach Tumorgröße (Monate nach Diagnose)

T-Kategorie	0 Monate	20 Monate	40 Monate	60 Monate
T1	83	67	52	45
T2	20	12	8	6
T3	4	2	1	1
T4	1	1	0	0
TX	1	1	1	1
k.A	4	4	2	2

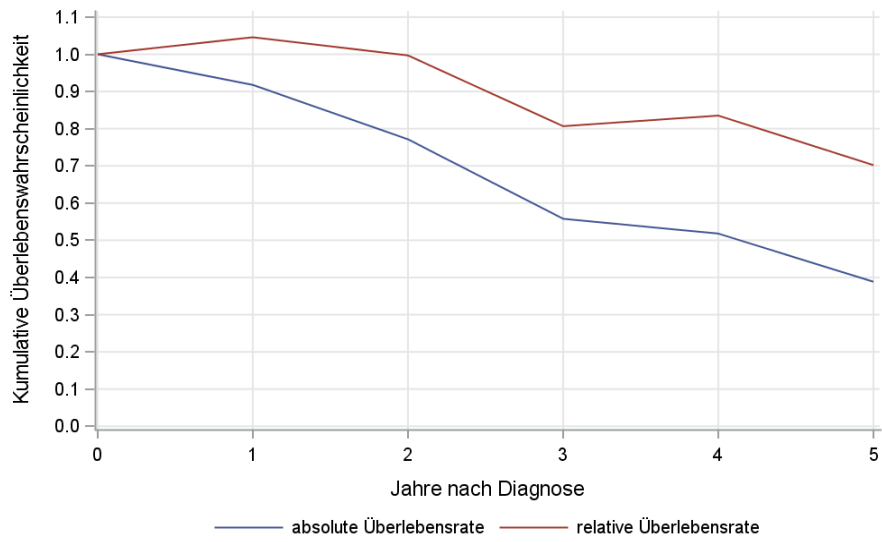


© KKR-MV 2020

Abb.7.12. C00: Wahrscheinlichkeit des Überlebens (Kaplan-Meier-Analyse) nach UICC-Tumorstadium im Diagnosezeitraum von 2008 bis 2013 (Wohnort). Kaplan-Meier-Kurven werden für Kategorien mit weniger als 10 Neuerkrankungen nicht dargestellt.

Tab. 7.21. C00: Anzahl der unter Risiko stehenden Neuerkrankungen nach UICC-Stadium (Monate nach Diagnose)

UICC-Stadium	0 Monate	20 Monate	40 Monate	60 Monate
UICC I	69	61	47	40
UICC II	15	11	7	5
UICC III	7	4	3	3
UICC IV	2	0	0	0
Stadium nicht ermittelbar	20	11	7	7

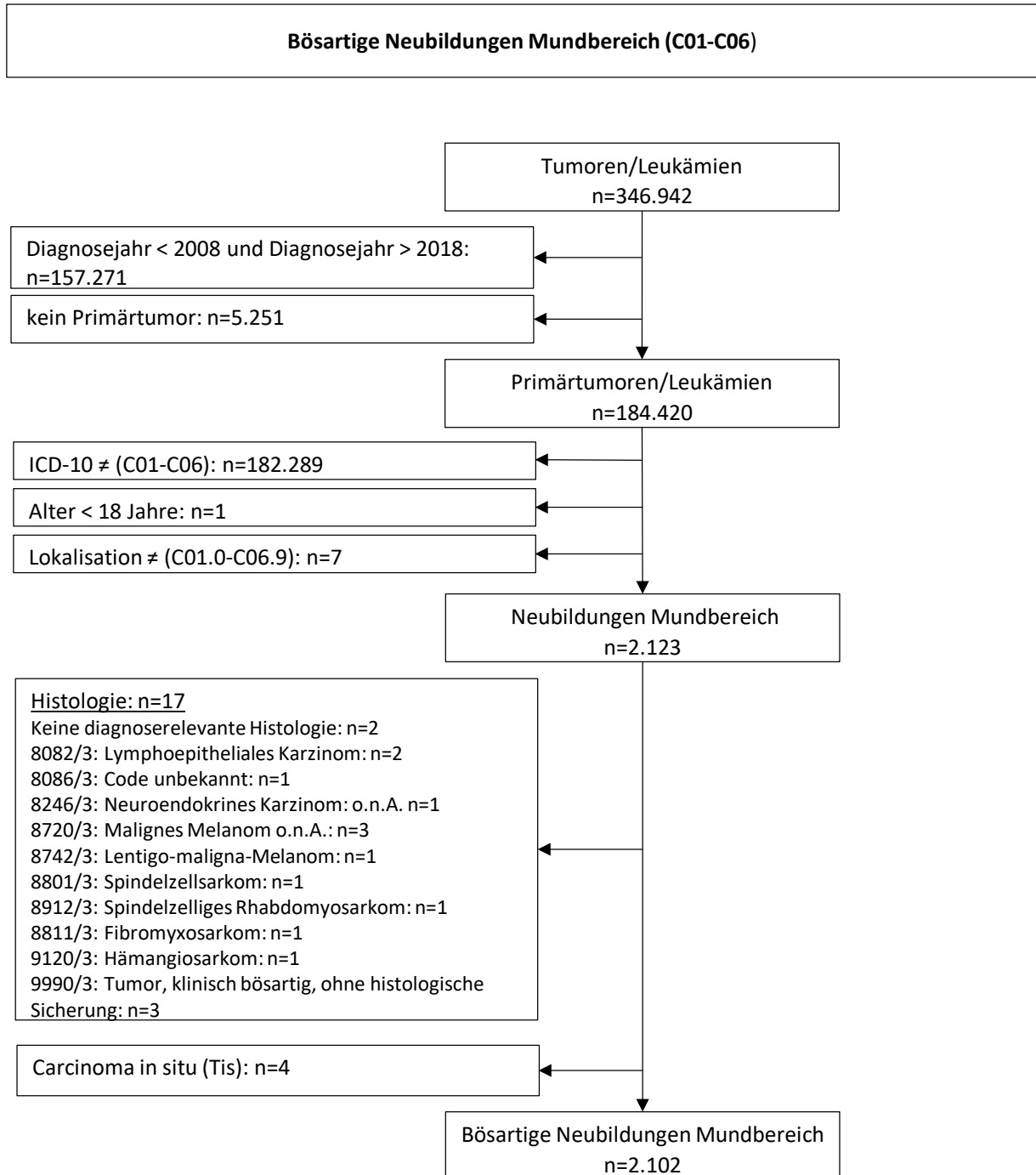


© KKR-MV 2020

Abb. 7.13. C00: Absolutes und relatives Überleben im Diagnosezeitraum 2008 bis 2013 (Wohnort, Alter > 19)

8 Mundbereich (C01-C06)

8.1 Consort-Statement: Darstellung der Auswertepopulation

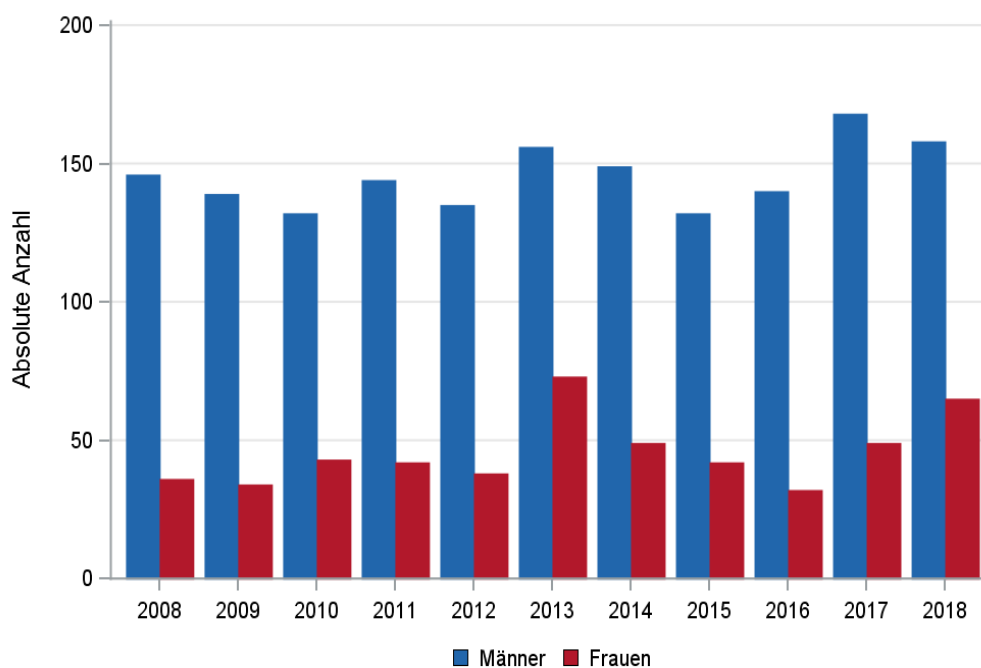


*Erläuterungen zu den Ausschlüssen finden Sie im Kapitel 4 (Methode)

8.2 Absolute Anzahl der erfassten Neuerkrankungen in M-V in den Jahren 2008 – 2018 nach Geschlecht (Behandlungsort, Wohnort)

Tab. 8.1. C01-C06: Absolute Anzahl der Neuerkrankungen nach Geschlecht (Behandlungsort)

Diagnosejahr	Männer		Frauen		Summe
	Anzahl	%	Anzahl	%	
2008	146	80,2	36	19,8	182
2009	139	80,3	34	19,7	173
2010	132	75,4	43	24,6	175
2011	144	77,4	42	22,6	186
2012	135	78,0	38	22,0	173
2013	156	68,1	73	31,9	229
2014	149	75,3	49	24,7	198
2015	132	75,9	42	24,1	174
2016	140	81,4	32	18,6	172
2017	168	77,4	49	22,6	217
2018	158	70,9	65	29,1	223
Summe	1599	76,1	503	23,9	2102

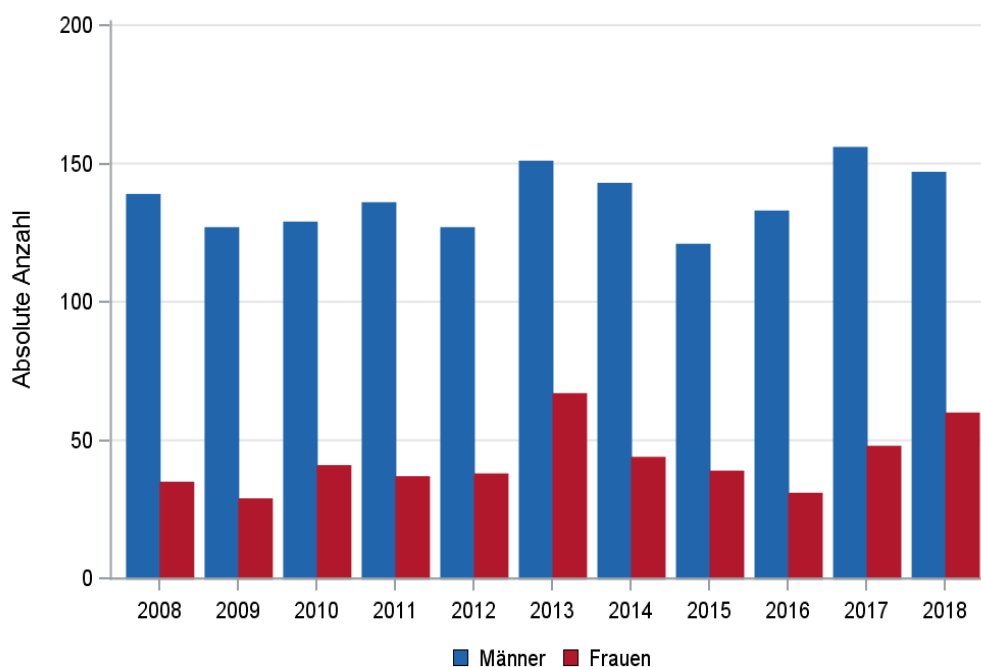


© KKR-MV 2020

Abb. 8.1. C01-C06: Absolute Anzahl der Neuerkrankungen nach Geschlecht im Diagnosezeitraum 2008 bis 2018 (Behandlungsort)

Tab. 8.2. C01-C06: Absolute Anzahl der Neuerkrankungen nach Geschlecht (Wohnort)

Diagnosejahr	Männer		Frauen		Summe
	Anzahl	%	Anzahl	%	
2008	139	79,9	35	20,1	174
2009	127	81,4	29	18,6	156
2010	129	75,9	41	24,1	170
2011	136	78,6	37	21,4	173
2012	127	77,0	38	23,0	165
2013	151	69,3	67	30,7	218
2014	143	76,5	44	23,5	187
2015	121	75,6	39	24,4	160
2016	133	81,1	31	18,9	164
2017	156	76,5	48	23,5	204
2018	147	71,0	60	29,0	207
Summe	1509	76,3	469	23,7	1978



© KKR-MV 2020

Abb. 8.2. C01-C06: Absolute Anzahl der Neuerkrankungen nach Geschlecht im Diagnosezeitraum 2008 bis 2018 (Wohnort)

8.3 Absolute Anzahl der erfassten Neuerkrankungen in M-V in den Jahren 2008 – 2018 nach Landkreisen (Wohnort)

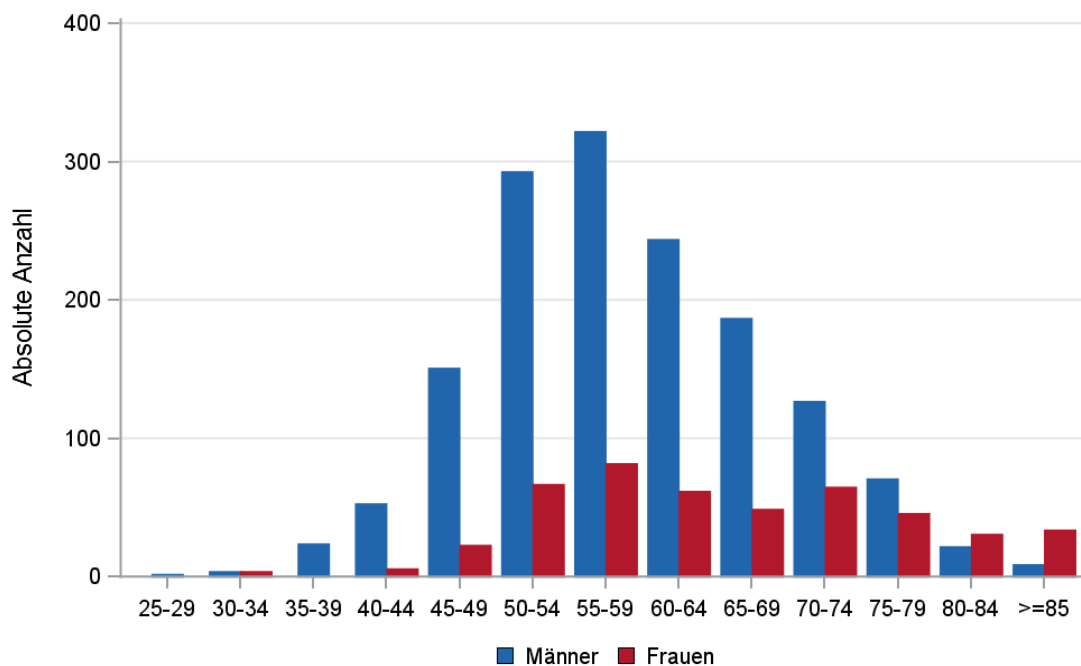
Tab. 8.3. C01-C06: Absolute Anzahl und prozentualer Anteil der Neuerkrankungen nach Landkreisen

Landkreis	2008		2009		2010		2011		2012		2013		2014		2015		2016		2017		2018		Summe	
	Anzahl	%	Anzahl	%	Anzahl	%	Anzahl	%	Anzahl	%	Anzahl	%	Anzahl	%	Anzahl	%	Anzahl	%	Anzahl	%	Anzahl	%	Anzahl	%
Landkreis Rostock	15	8,6	15	9,6	17	10,0	22	12,7	12	7,3	29	13,3	29	15,5	20	12,5	21	12,8	23	11,3	32	15,5	235	11,9
Ludwigslust-Parchim	19	10,9	22	14,1	19	11,2	21	12,1	21	12,7	24	11,0	20	10,7	15	9,4	21	12,8	22	10,8	20	9,7	224	11,3
Mecklenburgische Seenplatte	29	16,7	30	19,2	34	20,0	29	16,8	22	13,3	42	19,3	23	12,3	20	12,5	10	6,1	35	17,2	35	16,9	309	15,6
Nordwestmecklenburg	17	9,8	15	9,6	13	7,6	9	5,2	14	8,5	13	6,0	12	6,4	11	6,9	13	7,9	22	10,8	9	4,3	148	7,5
Rostock	22	12,6	21	13,5	17	10,0	28	16,2	22	13,3	29	13,3	26	13,9	25	15,6	22	13,4	23	11,3	26	12,6	261	13,2
Schwerin	4	2,3	9	5,8	12	7,1	8	4,6	5	3,0	6	2,8	13	7,0	8	5,0	7	4,3	7	3,4	10	4,8	89	4,5
Vorpommern-Greifswald	38	21,8	26	16,7	36	21,2	26	15,0	40	24,2	47	21,6	32	17,1	29	18,1	31	18,9	31	15,2	38	18,4	374	18,9
Vorpommern-Rügen	28	16,1	18	11,5	21	12,4	29	16,8	26	15,8	27	12,4	30	16,0	32	20,0	37	22,6	41	20,1	36	17,4	325	16,4
nicht zuordenbar	2	1,1	0	0	1	0,6	1	0,6	3	1,8	1	0,5	2	1,1	0	0	2	1,2	0	0	1	0,5	13	0,7
Summe	174	100,0	156	100,0	170	100,0	173	100,0	165	100,0	218	100,0	187	100,0	160	100,0	164	100,0	204	100,0	207	100,0	1978	100,0

8.4 Rohe und standardisierte Neuerkrankungsraten pro 100.000 Einwohner in den Jahren 2008-2018 (Wohnort)

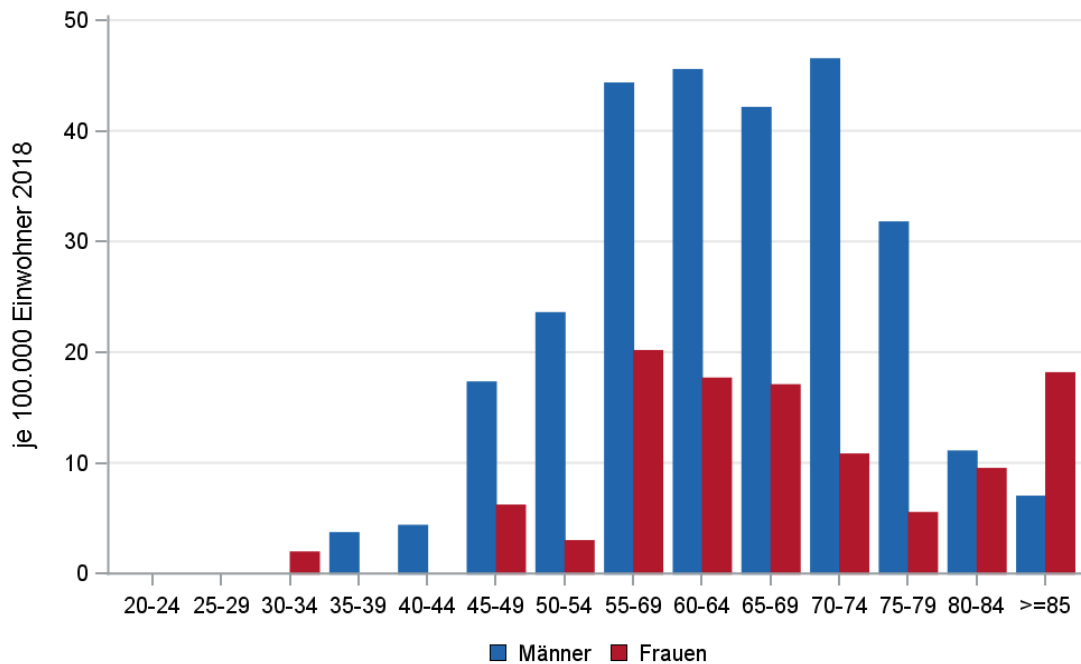
Tab. 8.4. C01-C06: Neuerkrankungsrate/100.000 Einwohner (Alter > 19)

Diagnosejahr	Männer			Frauen		
	absolute Anzahl der Neuerkrankungen	rohe Rate in M-V	altersstandardisierte Rate	absolute Anzahl der Neuerkrankungen	rohe Rate in M-V	altersstandardisierte Rate
2008	139	20,1	18,2	35	4,9	4,2
2009	127	18,4	16,5	29	4,1	3,6
2010	129	18,7	16,6	41	5,8	4,3
2011	136	20,3	17,6	37	5,3	3,9
2012	127	19,1	16,8	38	5,5	3,9
2013	151	22,8	19,3	67	9,7	6,6
2014	143	21,7	18,2	44	6,4	4,6
2015	121	18,3	14,7	39	5,7	3,4
2016	133	20,1	16,2	31	4,5	3,0
2017	156	23,7	19,3	48	7,0	5,0
2018	147	22,4	17,3	60	8,8	6,0
2008-2018	1509	20,5	17,3	469	6,1	4,4



© KKR-MV 2020

Abb. 8.3. C01-C06: Absolute Anzahl der Neuerkrankungen aufgelistet in 5-Jahres-Altersgruppen und nach Geschlecht im Diagnosezeitraum 2008 bis 2018 (Wohnort)



© KKR-MV 2020

Abb. 8.4. C01-C06: Altersspezifische Rate der Neuerkrankungen je 100.000 Einwohner (Diagnosejahr 2018) nach 5-Jahres-Altersgruppen und Geschlecht (Wohnort)

8.5 Alter der in den Jahren 2008 - 2018 in M-V neuerkrankten Patienten (Behandlungsort)

Tab. 8.5. C01-C06: Erkrankungsalter (Behandlungsort)

Diagnosejahr	Männer				Frauen			
	Anzahl	Median	Minimum	Maximum	Anzahl	Median	Minimum	Maximum
2008	146	57	39	86	36	59	41	94
2009	139	56	37	83	34	56	33	85
2010	132	55	39	80	43	62	47	91
2011	144	56	34	78	42	62	42	89
2012	135	57	31	84	38	64	47	98
2013	156	57	29	85	73	67	32	95
2014	149	57	30	97	49	65	47	92
2015	132	59	36	91	42	73	47	88
2016	140	59	33	84	32	64	45	88
2017	168	60	28	86	49	63	32	95
2018	158	61	38	88	65	64	32	91

8.6 Absolute Anzahl der erfassten Neuerkrankungen in M-V in den Jahren 2008 – 2018 nach Lokalisation

Tab. 8.6. C01-C06: Absolute Anzahl und prozentualer Anteil der Neuerkrankungen nach der Lokalisation (Behandlungsort)

Lokalisation	2008	2009	2010	2011	2012	2013	2014	2015	2016	2017	2018	Summe	
												Anzahl	%
C01.9 Zungengrund (Hinteres Zungendrittel, Zungenwurzel)	37	26	22	37	32	35	27	17	30	38	33	334	15,9
C02.0 Zungenrücken (vordere 2/3 des Zungenrückens)	0	0	5	6	2	4	4	2	1	5	5	34	1,6
C02.1 Zungenrand, Zungenspitze	18	27	39	27	27	50	41	35	39	33	41	377	17,9
C02.2 Zungenunterfläche, Zungenfrenulum	0	0	0	6	3	5	9	2	4	3	6	38	1,8
C02.3 Zunge, vordere 2/3 o.n.A.	0	0	2	1	1	0	0	1	0	1	0	6	0,3
C02.4 Zungentonsille	0	0	0	0	0	1	1	0	1	1	2	6	0,3
C02.8 Zunge (mehrere Teilbereiche, Verbindungszone)	5	5	4	7	7	3	7	2	6	3	1	50	2,4
C02.9 Zunge o.n.A.	8	6	3	1	0	2	2	3	2	3	10	40	1,9
C03.0 Oberkieferschleimhaut	2	2	4	1	3	2	0	4	1	0	7	26	1,2
C03.01 Gingiva im Oberkiefer	0	0	0	0	0	0	0	0	0	1	0	1	0,0
C03.02 Schleimhaut des Alveolarfortsatzes im Oberkiefer	0	0	2	1	0	0	1	1	1	0	1	7	0,3
C03.03 Alveole im Oberkiefer	0	0	1	0	0	0	0	0	0	0	0	1	0,0
C03.1 Unterkieferschleimhaut	3	4	10	8	3	3	4	9	3	6	7	60	2,9
C03.11 Gingiva im Unterkiefer	0	0	2	0	1	0	1	1	0	0	1	6	0,3
C03.12 Schleimhaut des Alveolarfortsatzes im Unterkiefer	0	0	2	0	1	1	1	4	0	1	5	15	0,7
C03.13 Alveole im Unterkiefer	1	1	1	0	1	3	3	1	0	0	5	16	0,8
C03.8 Mundschleimhaut (mehrere Teilbereiche)	2	2	0	0	2	0	0	1	0	0	2	9	0,4
C03.9 Mundschleimhaut o.n.A., parodontales Gewebe	1	0	1	0	0	0	1	1	1	3	1	9	0,4
C04.0 Vorderer Mundboden	22	19	15	30	24	37	35	23	21	22	19	267	12,7
C04.1 Seitlicher Mundboden	4	5	9	5	5	8	8	12	10	12	17	95	4,5
C04.8 Mundboden (mehrere Teilbereiche überlappend)	21	25	16	12	14	10	10	12	14	15	4	153	7,3
C04.9 Mundboden o.n.A.	22	13	9	11	14	14	9	6	11	15	15	139	6,6
C05.0 Harter Gaumen	1	2	0	2	4	4	2	3	1	4	8	31	1,5
C05.1 Weicher Gaumen (ohne Nasopharynx-Anteil = C11.3)	7	10	10	13	6	15	8	15	12	21	9	126	6,0
C05.2 Uvula	3	2	1	7	2	4	4	1	5	4	7	40	1,9
C05.8 Gaumen (mehrere Teilbereiche überlappend)	4	5	3	0	2	5	0	1	1	4	1	26	1,2
C05.9 Gaumen o.n.A.	3	3	1	0	0	1	0	2	2	0	5	17	0,8
C06.0 Wangenschleimhaut	3	1	2	5	6	8	5	5	1	8	6	50	2,4
C06.1 Vestibulum oris	0	1	0	1	1	0	1	0	0	0	0	4	0,2
C06.2 Retromolare Zone, Trigonum retromolare	3	1	7	1	5	7	4	5	2	5	3	43	2,0
C06.8 Mundhöhle (mehrere Teilbereiche Überlappend)	9	10	3	4	5	4	9	3	2	3	3	55	2,6
C06.9 Mund o.n.A., Mundhöhle o.n.A., kleine Speicheldrüsen o.n.A.	3	3	1	0	2	3	1	2	1	6	0	22	1,0
Summe	182	173	175	186	173	229	198	174	172	217	224	2103	100,0

8.7 Histologische Befunde bei allen neuerkrankten Patienten in M-V in den Jahren 2008 – 2018

Tab. 8.7. C01-C06: Histologische Befunde bei neuerkrankten Patienten (Behandlungsort)

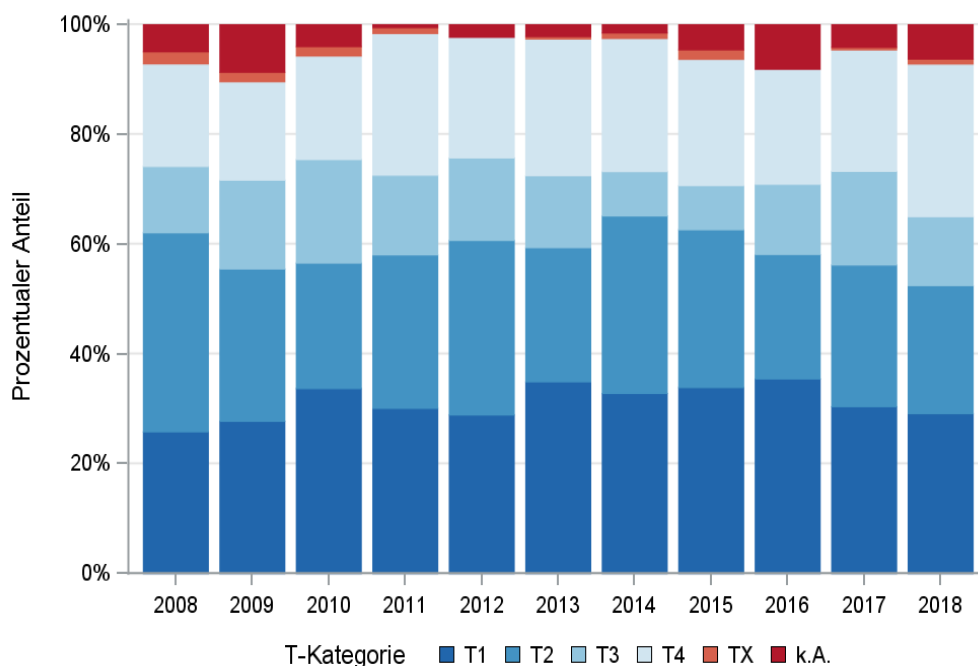
Histologiecode	Anzahl	Prozent
8071/3: Verhornendes Plattenepithelkarzinom o.n.A.	910	43,3
8070/3: Plattenepithelkarzinom o.n.A.	906	43,1
8072/3: Großzelliges nichtverhornendes Plattenepithelkarzinom o.n.A.	189	9,0
8083/3: Basaloides Plattenepithelkarzinom	16	0,8
8051/3: Verruköses Karzinom o.n.A.	14	0,7
8052/3: Nichtinvasives papilläres Plattenepithelkarzinom	3	0,1
8073/3: Kleinzelliges nichtverhornendes Plattenepithelkarzinom	2	0,1
8074/3: Spindelzelliges Plattenepithelkarzinom	1	0,1
8076/3: Mikroinvasives Plattenepithelkarzinom	1	0,1
Plattenepithel- und Übergangsepithelkarzinome	2042	97,2
8140/3: Adenokarzinom o.n.A.	14	0,7
8200/3: Adenoid-zystisches Karzinom	13	0,6
8430/3: Mukoepidermoid-Karzinom	7	0,3
8525/3: Polymorphes Low-Grade-Adenokarzinom	6	0,3
8211/3: Tubuläres Adenokarzinom	1	0,1
8440/3: Zystadenokarzinom o.n.A.	1	0,1
8500/3: Invasives duktales Karzinom o.n.A.	1	0,1
8550/3: Azinuszellkarzinom	1	0,1
8560/3: Adenosquamöses Karzinom	1	0,1
8941/3: Karzinom in pleomorphem Adenom	1	0,1
8982/3: Malignes Myoepitheliom	1	0,1
Adenokarzinome	47	2,3
8010/3: Karzinom o.n.A.	6	0,3
8041/3: Kleinzelliges Karzinom o.n.A.	5	0,2
8033/3: Pseudosarkomatöses Karzinom	1	0,1
8562/3: Epithelial-myoepitheliales Karzinom	1	0,1
nicht näher bezeichnete Karzinome	13	0,6

8.8 Tumorgröße und Ausdehnung (TNM)

Tab. 8.8. C01-C06: Absolute Anzahl der Neuerkrankungen klassifiziert nach der Tumorgröße in Bezug zu der Auflage der TNM-Klassifikation (Behandlungsort)

Tumorgröße (T)	TNM Auflage 6		TNM Auflage 7		TNM Auflage 8		k.A. zur TNM Auflage		Summe	
	Anzahl	%	Anzahl	%	Anzahl	%	Anzahl*	%	Anzahl	%
T1	82	27,4	469	34,3	105	30,0	-	-	656	31,2
T2	105	35,1	373	27,3	100	28,6	-	-	578	27,5
T3	44	14,7	183	13,4	56	16,0	-	-	283	13,5
T4	61	20,4	328	24,0	86	24,6	-	-	475	22,6
TX	5	1,7	13	1,0	3	0,9	-	-	21	1,0
k.A.	2	0,7	0	0	0	0	87	100,0	89	4,2
Summe	299	100,0	1366	100,0	350	100,0	87	100,0	2102	100,0

*In einzelnen Fällen wurden Angaben zur Tumorgröße ohne Bezug zu einer TNM Auflage gemacht. Diese Angaben wurden in die Kategorie k.A. aufgenommen.



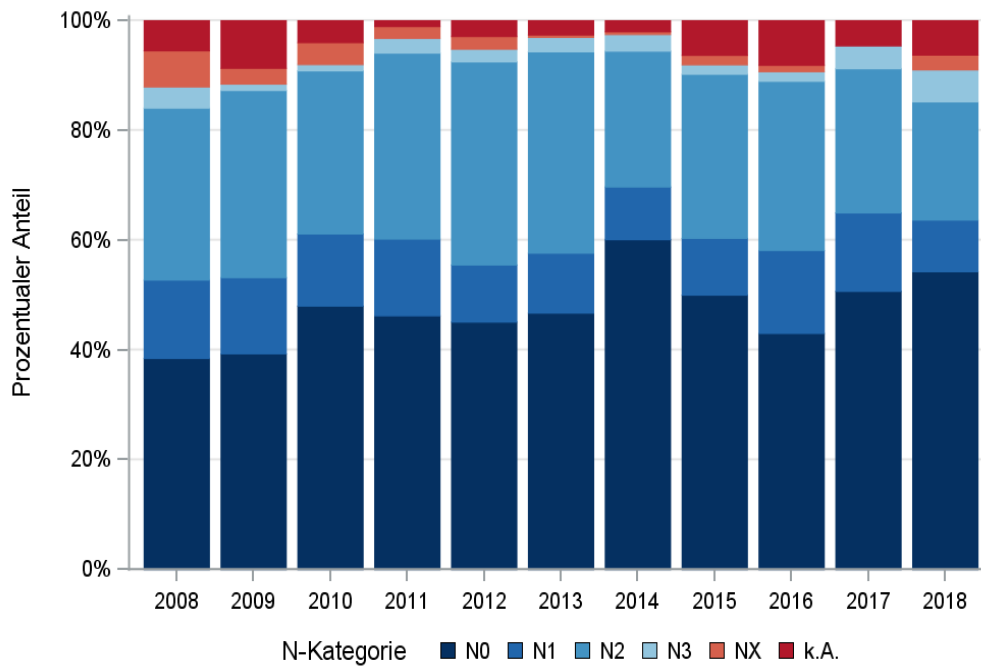
© KKR-MV 2020

Abb. 8.5. C01-C06: Prozentualer Anteil der Neuerkrankungen nach der Tumorgröße im Diagnosezeitraum 2008 bis 2018

Tab. 8.9. C01-C06: Absolute Anzahl der Neuerkrankungen mit bzw. ohne Befall der regionären Lymphknoten in Bezug zu der Auflage der TNM-Klassifikation (Behandlungsort)

N-Kategorie	TNM Auflage 6		TNM Auflage 7		TNM Auflage 8		k.A. zur TNM Auflage		Summe	
	Anzahl	%	Anzahl	%	Anzahl	%	Anzahl*	%	Anzahl	%
N0	120	40,1	691	50,6	193	55,1	-	-	1004	47,8
N1	43	14,4	170	12,4	44	12,6	-	-	257	12,2
N2	111	37,1	440	32,2	87	24,9	-	-	638	30,4
N3	8	2,7	33	2,4	19	5,4	-	-	60	2,9
NX	17	5,7	22	1,6	6	1,7	-	-	45	2,1
k.A.	0	0	10	0,7	1	0,3	87	100,0	98	4,7
Summe	299	100,0	1366	100,0	350	100,0	87	100,0	2102	100,0

*In einzelnen Fällen wurden Angaben zur N-Kategorie ohne Bezug zu einer TNM Auflage gemacht. Diese Angaben wurden in die Kategorie k.A. aufgenommen.



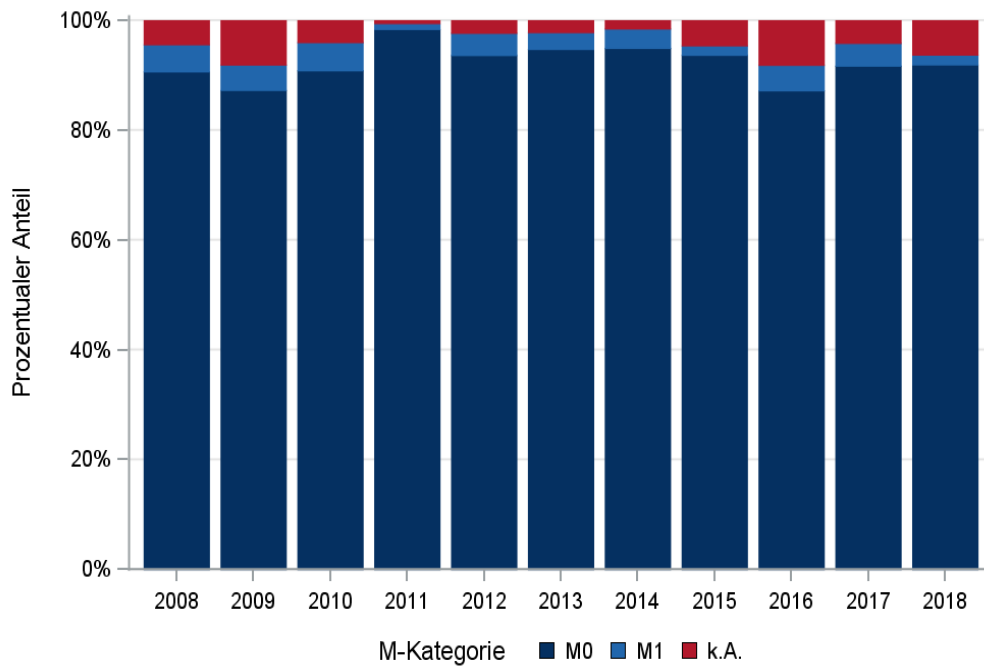
© KKR-MV 2020

Abb. 8.6. C01-C06: Prozentualer Anteil der Neuerkrankungen mit und ohne Befall der regionären Lymphknoten zum Zeitpunkt der Erstdiagnose im Diagnosezeitraum 2008 bis 2018

Tab. 8.10. C01-C06: Absolute Anzahl der Neuerkrankungen mit Fernmetastasierung in Bezug zu der Auflage der TNM-Klassifikation (Behandlungsort)

M-Kategorie	TNM Auflage 6		TNM Auflage 7		TNM Auflage 8		k.A. zur TNM Auflage		Summe	
	Anzahl	%	Anzahl	%	Anzahl	%	Anzahl*	%	Anzahl	%
M0	282	94,3	1320	96,6	340	97,1	-	-	1942	92,4
M1	17	5,7	46	3,4	10	2,9	-	-	73	3,5
k.A.	0	0	0	0	0	0	87	100,0	87	4,1
Summe	299	100,0	1366	100,0	350	100,0	87	100,0	2102	100,0

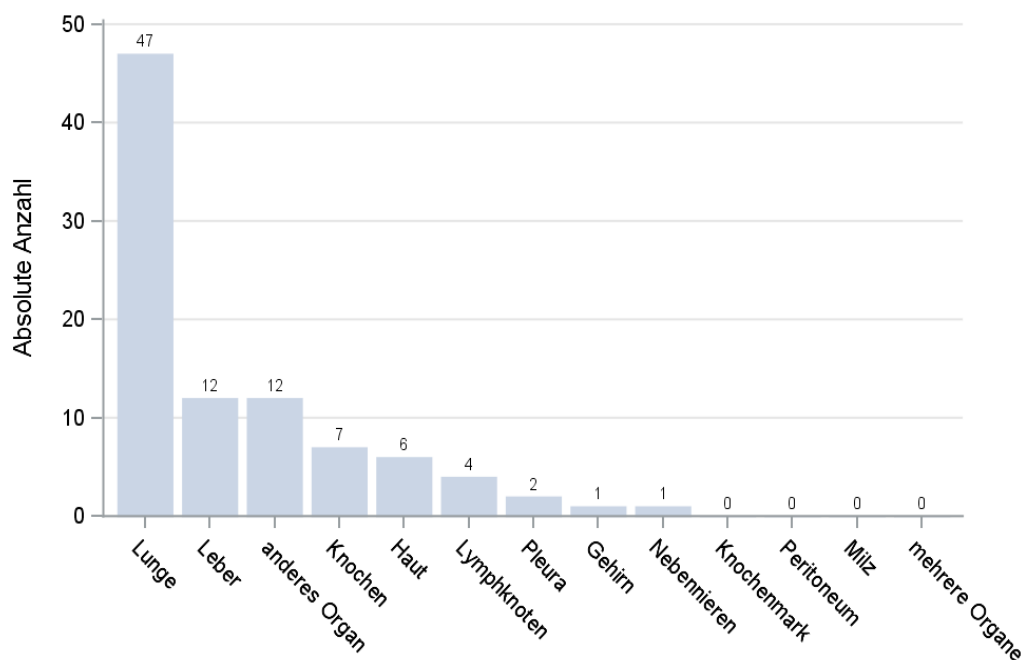
*In einzelnen Fällen wurden Angaben zur M-Kategorie ohne Bezug zu einer TNM Auflage gemacht. Diese Angaben wurden in die Kategorie k.A. aufgenommen.



© KKR-MV 2020

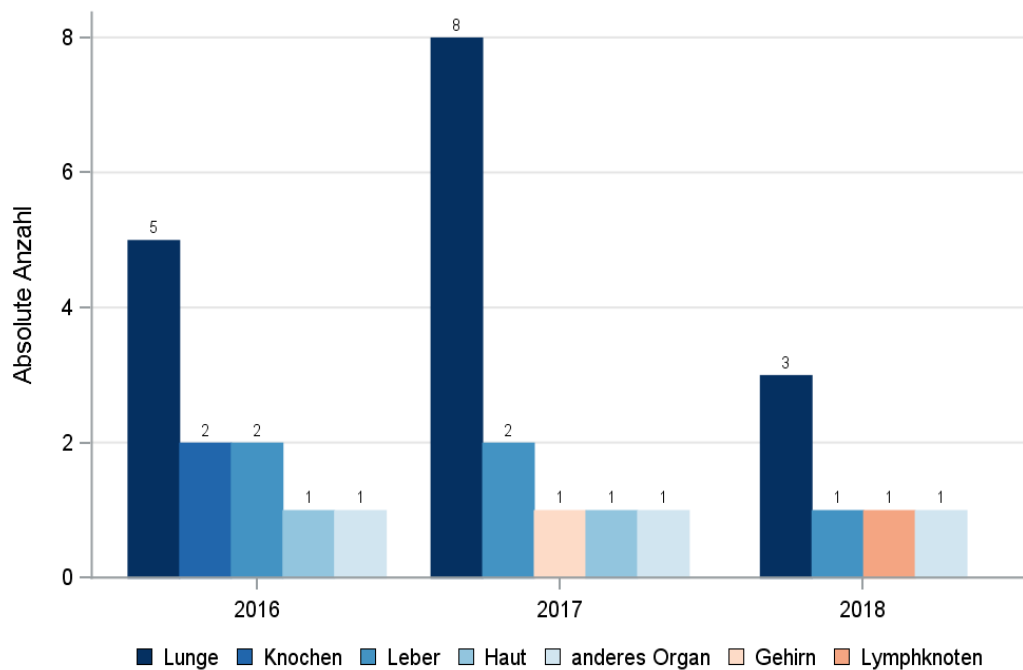
Abb. 8.7. C01-C06: Prozentualer Anteil der primären Fernmetastasierung im Diagnosezeitraum 2008 bis 2018

8.9 Lokalisation der Fernmetastasen



© KKR-MV 2020

Abb. 8.8. C01-C06: Lokalisation der Fernmetastasen bei Neuerkrankungen im Diagnosezeitraum 2008 bis 2018



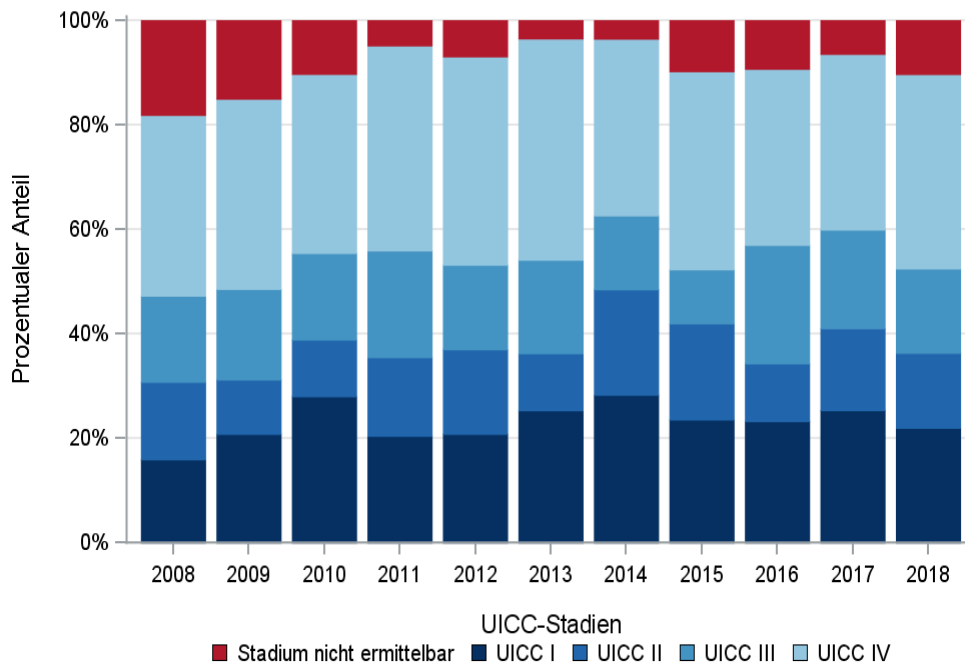
© KKR-MV 2020

Abb.8.9. C01-C06: Lokalisation der Fernmetastasen bei Neuerkrankungen für die Diagnosejahre 2016 bis 2018

8.10 Tumorstadien nach UICC

Tab. 8.11. C01-C06: Primäre UICC-Stadien (Behandlungsort)

Jahre	UICC I		UICC II		UICC III		UICC IV		Stadium nicht ermittelbar		Summe	
	Anzahl	%	Anzahl	%	Anzahl	%	Anzahl	%	Anzahl	%	Anzahl	%
2008	29	15,9	27	14,8	30	16,5	63	34,6	33	18,1	182	100,0
2009	36	20,8	18	10,4	30	17,3	63	36,4	26	15,0	173	100,0
2010	49	28,0	19	10,9	29	16,6	60	34,3	18	10,3	175	100,0
2011	38	20,4	28	15,1	38	20,4	73	39,2	9	4,8	186	100,0
2012	36	20,8	28	16,2	28	16,2	69	39,9	12	6,9	173	100,0
2013	58	25,3	25	10,9	41	17,9	97	42,4	8	3,5	229	100,0
2014	56	28,3	40	20,2	28	14,1	67	33,8	7	3,5	198	100,0
2015	41	23,6	32	18,4	18	10,3	66	37,9	17	9,8	174	100,0
2016	40	23,3	19	11,0	39	22,7	58	33,7	16	9,3	172	100,0
2017	55	25,3	34	15,7	41	18,9	73	33,6	14	6,5	217	100,0
2018	49	22,0	32	14,3	36	16,1	83	37,2	23	10,3	223	100,0
Summe	487	23,2	302	14,4	358	17,0	772	36,7	183	8,7	2102	100,0



© KKR-MV 2020

Abb. 8.10. C01-C06: Prozentuale Anteile der UICC-Tumorstadien in den Diagnosejahren 2008 bis 2018

8.11 Dokumentierte Therapie bis max. 12 Monate nach Diagnosestellung

8.11.1 Therapiekombinationen, Stellung der Therapie und Intention der dokumentierten Therapien

Tab. 8.12. C01-C06: Therapiekombinationen (Operation, Strahlentherapie, systemische Therapie) pro Diagnosejahr (Behandlungsort)

Therapiekombinationen	2008	2009	2010	2011	2012	2013	2014	2015	2016	2017	2018	Summe
Alleinige Operation	62	64	75	66	60	89	91	64	61	85	102	819
Alleinige systemische Therapie	1	1	2	1	1	0	0	0	0	0	0	6
Alleinige Strahlentherapie	11	12	12	18	11	17	12	19	17	20	13	162
Operation und systemische Therapie, keine Strahlentherapie	4	7	4	6	1	3	4	7	6	1	2	45
Operation und Strahlentherapie, keine systemische Therapie	48	42	30	36	44	52	41	39	34	45	34	445
Systemische Therapie und Strahlentherapie, keine Operation	17	10	9	20	16	21	23	16	21	30	33	216
Operation und systemische Therapie und Strahlentherapie	25	22	29	31	32	33	19	19	20	19	14	263
Keine Operation, systemische Therapie oder Strahlentherapie	14	15	14	8	8	14	8	10	13	17	25	146
Summe	182	173	175	186	173	229	198	174	172	217	223	2102

Tab 8.13. C01-C06: Therapiekombinationen (Operation, Strahlentherapie, systemische Therapie) in Abhängigkeit von dem UICC-Stadium (Behandlungsort)

Therapiekombinationen	UICC I	UICC II	UICC III	UICC IV	Stadium nicht ermittelbar	Summe
Alleinige Operation	407	182	74	95	61	819
Alleinige systemische Therapie	0	0	1	3	2	6
Alleinige Strahlentherapie	5	11	20	109	17	162
Operation und systemische Therapie, keine Strahlentherapie	13	11	6	11	4	45
Operation und Strahlentherapie, keine systemische Therapie	44	74	139	176	12	445
Systemische Therapie und Strahlentherapie, keine Operation	2	9	36	153	16	216
Operation und systemische Therapie und Strahlentherapie	8	11	69	157	18	263
Keine Operation, systemische Therapie oder Strahlentherapie	8	4	13	68	53	146
Summe	487	302	358	772	183	2102

Tab. 8.14a. C01-C06: Stellung der Strahlentherapie zur operativen Therapie im ersten Jahr der Erkrankung (adjuvant/neoadjuvant, Behandlungsort)

Stellung der Strahlentherapie zur operativen Therapie	2008	2009	2010	2011	2012	2013	2014	2015	2016	2017	2018	Summe
Adjuvante (postoperative) Strahlentherapie	38	32	41	41	49	59	46	51	52	60	44	513
Therapie ohne Bezug zu einer operativen Therapie	2	0	2	3	3	5	2	3	0	3	4	27
Neoadjuvante (präoperative) Strahlentherapie	2	0	1	0	1	1	1	0	0	0	0	6
Intraoperative Strahlentherapie	1	0	0	0	0	1	0	0	0	0	0	2
unbekannt	30	32	15	23	23	19	11	4	2	1	0	160
Summe	73	64	59	67	76	85	60	58	54	64	48	708

Tab. 8.14b. C01-C06: Stellung der systemischen Therapie zur operativen Therapie im ersten Jahr der Erkrankung (adjuvant/neoadjuvant, Behandlungsort)

Stellung der systemischen Therapie zur operativen Therapie	2008	2009	2010	2011	2012	2013	2014	2015	2016	2017	2018	Summe
Adjuvante (postoperative) Therapie	22	20	25	28	22	28	16	18	22	16	14	231
Therapie ohne Bezug zu einer operativen Therapie	4	0	2	3	1	3	3	8	3	1	2	30
Neoadjuvante (präoperative) Therapie	1	0	2	1	2	1	1	0	0	1	0	9
Intraoperative Therapie	0	0	0	0	1	0	0	0	0	0	0	1
unbekannt	2	9	4	5	7	4	3	0	1	2	0	37
Summe	29	29	33	37	33	36	23	26	26	20	16	308

Tab. 8.15a. C01-C06: Intention bei der ersten Operation (Behandlungsort)

Intention der Operation	2008	2009	2010	2011	2012	2013	2014	2015	2016	2017	2018	Summe
Kurativ	117	105	123	119	120	150	125	114	95	112	125	1305
Palliativ bzw. symptomatisch	1	3	1	1	3	3	2	0	2	2	1	19
Sonstige/Unbekannt/Keine Angabe	21	27	14	19	14	24	28	15	24	36	26	248
Summe	139	135	138	139	137	177	155	129	121	150	152	1572

Tab. 8.15b. C01-C06: Intention der initialen Bestrahlung (Behandlungsort)

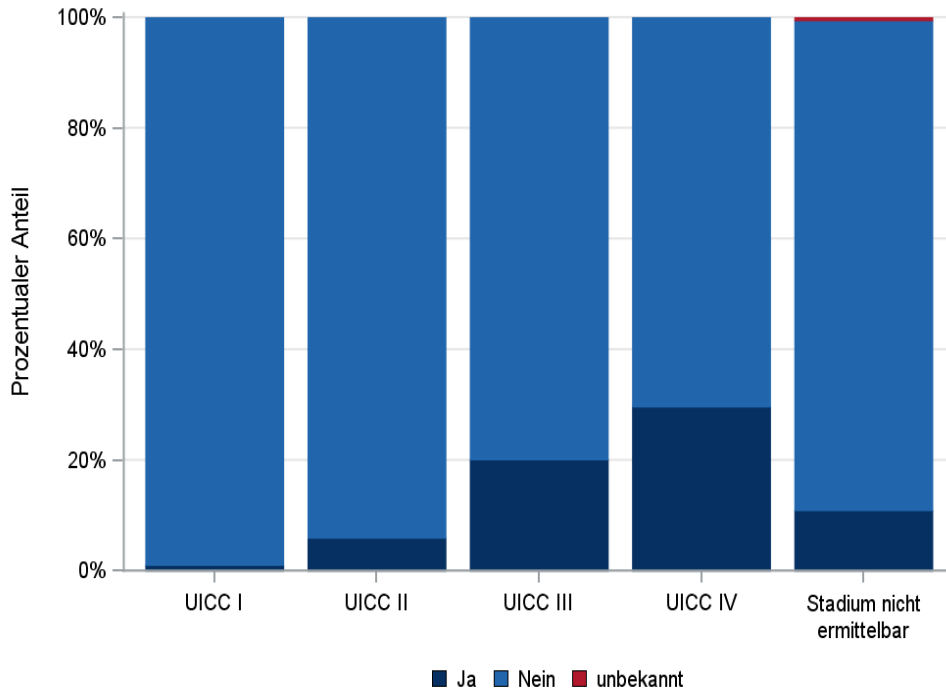
Intention der Bestrahlung	2008	2009	2010	2011	2012	2013	2014	2015	2016	2017	2018	Summe
Kurativ	41	28	43	47	51	80	68	65	68	90	87	668
Palliativ bzw. symptomatisch	3	4	7	11	7	12	7	15	11	14	6	97
Sonstige/Unbekannt/Keine Angabe	57	54	30	47	45	31	20	13	13	10	1	321
Summe	101	86	80	105	103	123	95	93	92	114	94	1086

Tab. 8.15c. C01-C06: Intention bei der ersten systemischen Therapie (Behandlungsort)

Intention der systemischen Therapie	2008	2009	2010	2011	2012	2013	2014	2015	2016	2017	2018	Summe
Kurativ	35	22	28	38	29	43	29	32	37	37	42	372
Palliativ bzw. symptomatisch	7	4	5	11	6	5	8	5	7	4	5	67
Sonstige/Unbekannt/Keine Angabe	5	14	11	9	15	9	9	5	3	9	2	91
Summe	47	40	44	58	50	57	46	42	47	50	49	530

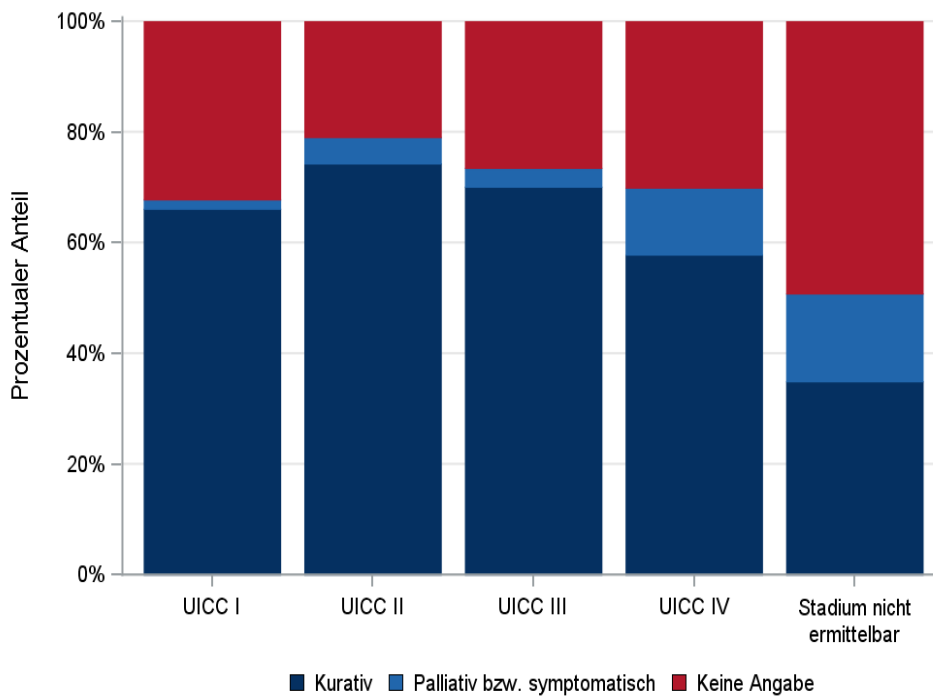
Tab. 8.16. C01-C06: Zeitraum zwischen Diagnose und Beginn der ersten Therapie nach Therapieart (Angaben in Tagen, Behandlungsort)

Therapie	Anzahl	Median	Minimum	Maximum
Diagnose und erste Operation	1572	14	0	352
Diagnose und erste Bestrahlung	1086	56	7	342
Diagnose und erste system. Therapie	530	56	7	365



© KKR-MV 2020

Abb.8.11. C01-C06: Durchführung der Radiochemotherapie nach UICC-Klassifikation



© KKR-MV 2020

Abb.8.12. C01-C06: Intention der ersten Bestrahlung nach UICC-Klassifikation

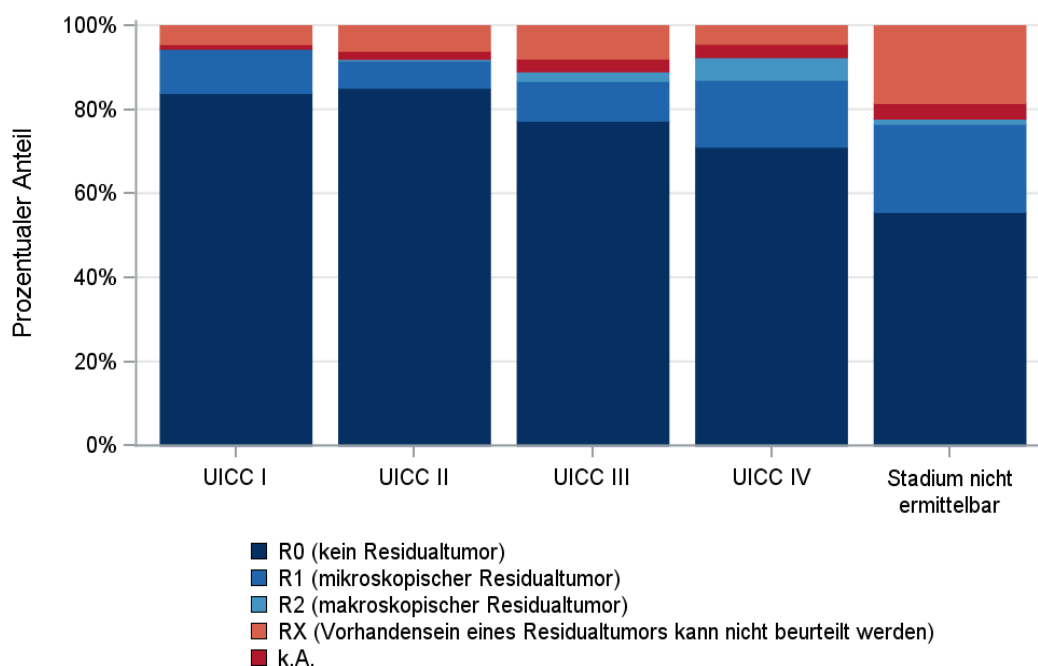
8.11.2 Dokumentierte tumorspezifische Operation bis max.12 Monate nach Diagnosestellung

Tab. 8.17. C01-C06: Dokumentierte tumorspezifische Operation nach UICC (Behandlungsort)

Operationen	UICC I	UICC II	UICC III	UICC IV	Stadium nicht ermittelbar	Summe	
						Anzahl	%
Tumorresektion	184	84	56	98	45	467	29,7
Tumor- und Lymphknotenresektion	262	178	208	310	36	994	63,2
Lymphknotenresektion	3	3	1	6	1	14	0,9
sonstige OP	1	1	5	1	1	9	0,6
keine Angabe	22	12	18	24	12	88	5,6
Summe	472	278	288	439	95	1572	100,0

Tab. 8.18. C01-C06: Residualklassifikation nach Tumorresektion im Diagnosezeitraum 2008-2018

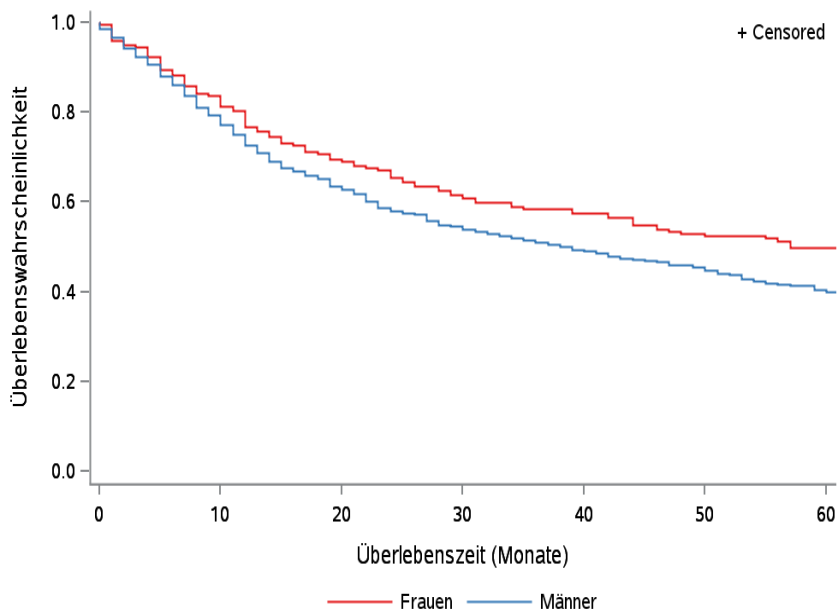
R-Klassifikation	UICC I	UICC II	UICC III	UICC IV	Stadium nicht ermittelbar	Summe	
						Anzahl	%
R0 (kein Residualtumor)	374	223	204	290	45	1136	77,8
R1 (mikroskopischer Residualtumor)	47	17	25	65	17	171	11,7
R2 (makroskopischer Residualtumor)	0	1	6	22	1	30	2,1
RX (Vorhandensein eines Residualtumors kann nicht beurteilt werden)	20	16	21	18	15	90	6,2
keine Angabe	5	5	8	13	3	34	2,3
Summe	446	262	264	408	81	1461	100,0



© KKR-MV 2020

Abb. 8.13. C01-C06: Residualklassifikation nach Tumorresektion in Abhängigkeit von UICC-Tumorstadium im Diagnosezeitraum 2008 bis 2018

8.12 Überlebensanalysen bei den in den Jahren 2008 – 2013 primär diagnostizierten Patienten

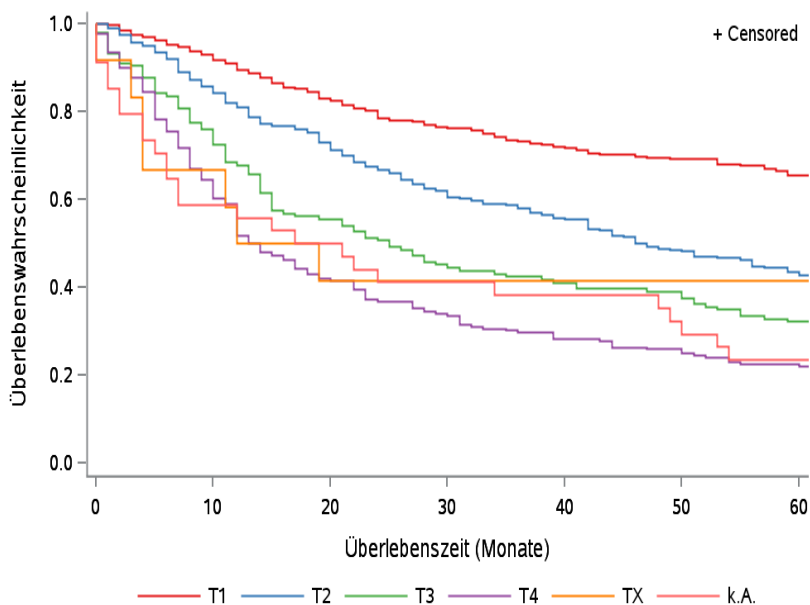


© KKR-MV 2020

Abb. 8.14. C01-C06: Wahrscheinlichkeit des Überlebens (Kaplan-Meier-Analyse) nach Geschlecht im Diagnosezeitraum von 2008 bis 2013 (Wohnort). Kaplan-Meier-Kurven werden für Kategorien mit weniger als 10 Neuerkrankungen nicht dargestellt.

Tab. 8.19. C01-C06: Anzahl der unter Risiko stehenden Neuerkrankungen (Monate nach Diagnose)

Geschlecht	0 Monate	20 Monate	40 Monate	60 Monate
Männer	728	463	359	294
Frauen	219	152	126	109



© KKR-MV 2020

Abb. 8.15. C01-C06: Wahrscheinlichkeit des Überlebens (Kaplan-Meier-Analyse) nach Tumorstadium im Diagnosezeitraum von 2008 bis 2013 (Wohnort). Kaplan-Meier-Kurven werden für Kategorien mit weniger als 10 Neuerkrankungen nicht dargestellt.

Tab. 8.20. C01-C06: Anzahl der unter Risiko stehenden Neuerkrankungen nach Tumorgröße (Monate nach Diagnose)

T-Kategorie	0 Monate	20 Monate	40 Monate	60 Monate
T1	269	223	194	176
T2	274	200	153	119
T3	146	81	60	47
T4	212	89	60	48
TX	12	5	5	5
k.A.	34	17	13	8

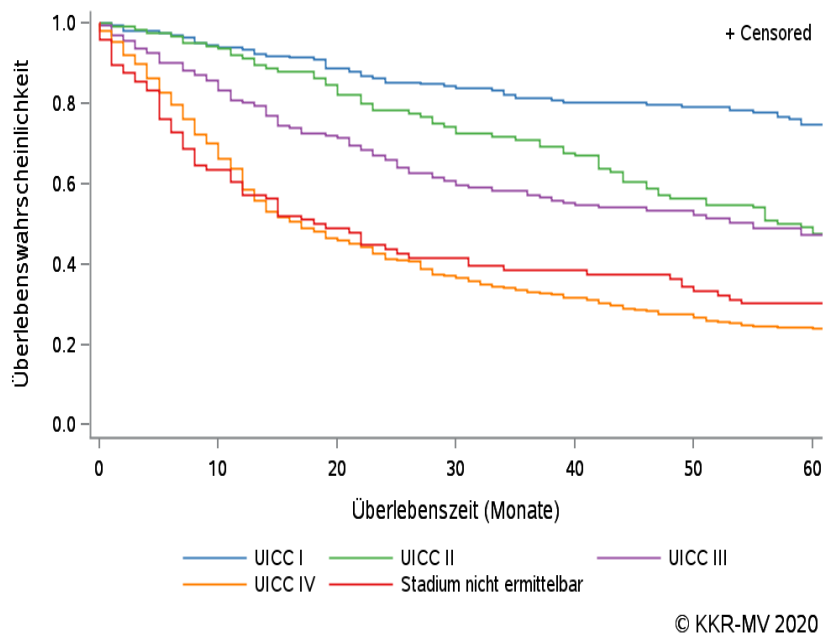
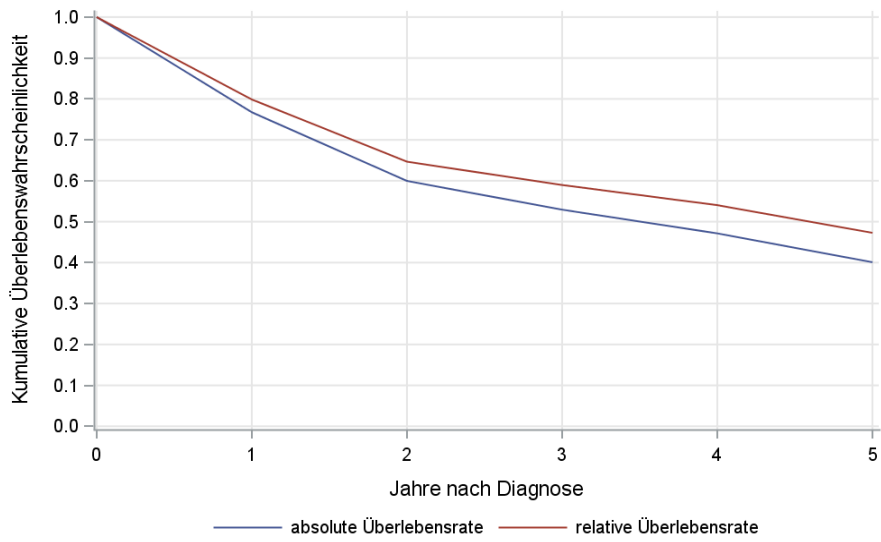


Abb. 8.16. C01-C06: Wahrscheinlichkeit des Überlebens (Kaplan-Meier-Analyse) nach UICC-Tumorstadium im Diagnosezeitraum von 2008 bis 2013 (Wohnort). Kaplan-Meier-Kurven werden für Kategorien mit weniger als 10 Neuerkrankungen nicht dargestellt.

Tab. 8.21. C01-C06: Anzahl der unter Risiko stehenden Neuerkrankungen nach UICC-Stadium (Monate nach Diagnose)

UICC-Stadium	0 Monate	20 Monate	40 Monate	60 Monate
UICC I	197	175	158	147
UICC II	124	105	84	61
UICC III	161	116	89	76
UICC IV	369	172	117	90
Stadium nicht ermittelbar	96	47	37	29

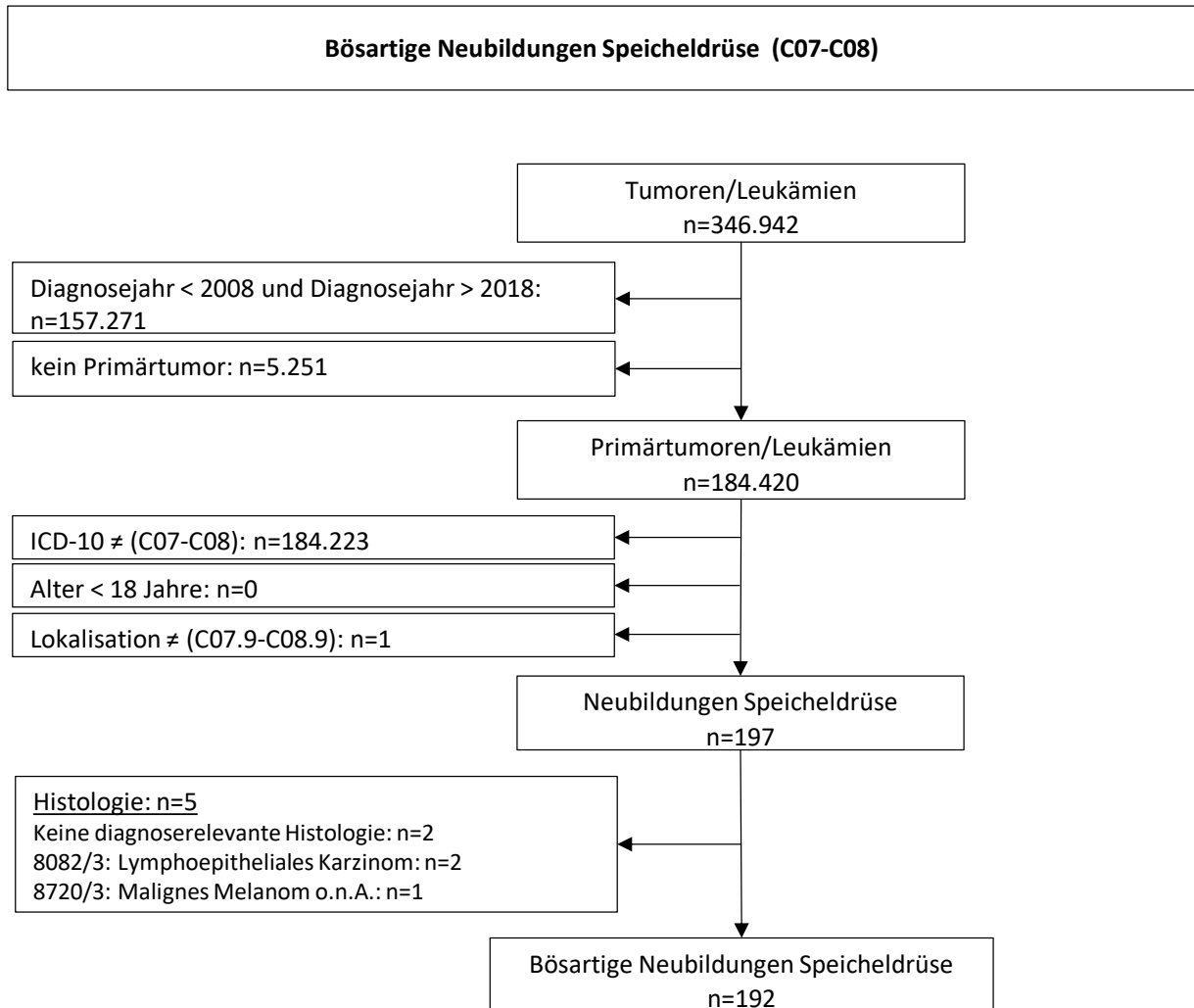


© KKR-MV 2020

Abb. 8.17. C01-C06: Absolutes und relatives Überleben im Diagnosezeitraum 2008 bis 2013 (Wohnort, Alter > 19)

9 Speicheldrüse (C07-C08)

9.1 Consort-Statement: Darstellung der Auswertepopulation

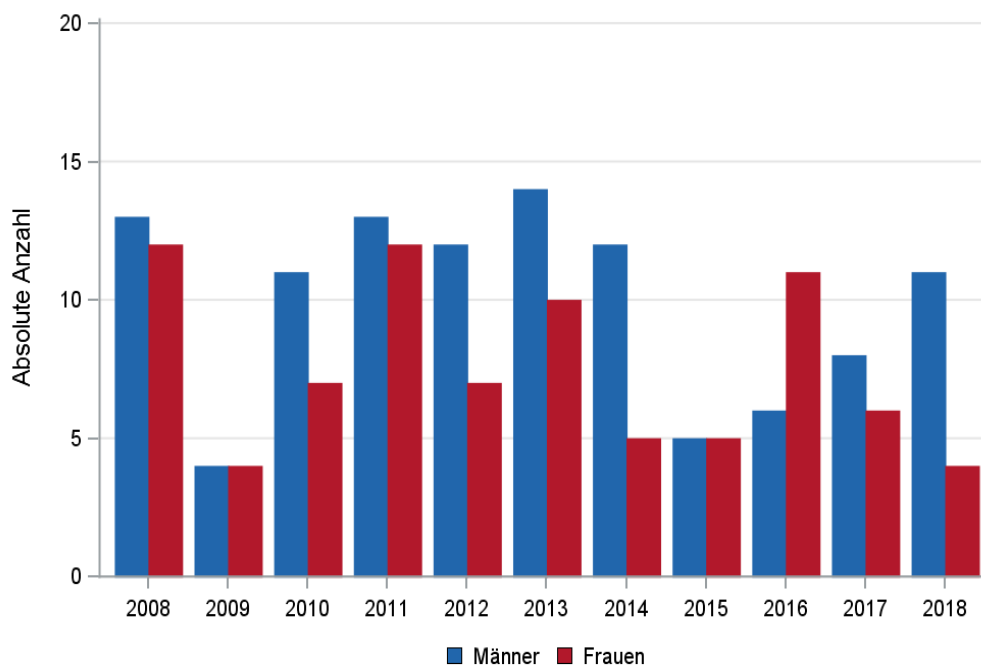


*Erläuterungen zu den Ausschlüssen finden Sie im Kapitel 4 (Methode)

9.2 Absolute Anzahl der erfassten Neuerkrankungen in M-V in den Jahren 2008 – 2018 nach Geschlecht (Behandlungsort, Wohnort)

Tab. 9.1. C07-C08: Absolute Anzahl der Neuerkrankungen nach Geschlecht (Behandlungsort)

Diagnosejahr	Männer		Frauen		Summe
	Anzahl	%	Anzahl	%	
2008	13	52,0	12	48,0	25
2009	4	50,0	4	50,0	8
2010	11	61,1	7	38,9	18
2011	13	52,0	12	48,0	25
2012	12	63,2	7	36,8	19
2013	14	58,3	10	41,7	24
2014	12	70,6	5	29,4	17
2015	5	50,0	5	50,0	10
2016	6	35,3	11	64,7	17
2017	8	57,1	6	42,9	14
2018	11	73,3	4	26,7	15
Summe	109	56,8	83	43,2	192

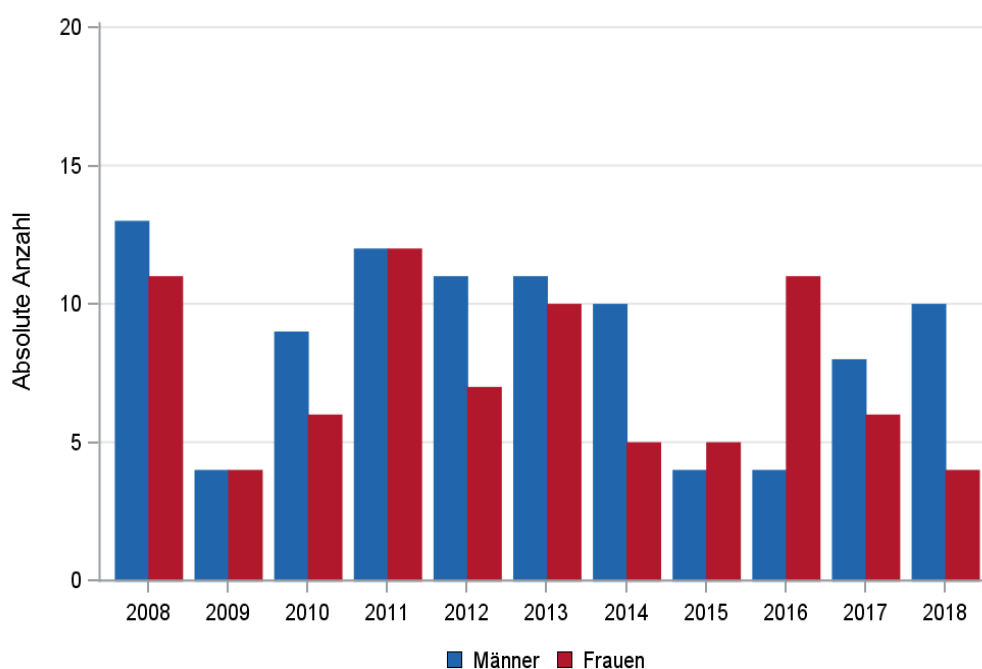


© KKR-MV 2020

Abb. 9.1. C07-C08: Absolute Anzahl der Neuerkrankungen nach Geschlecht im Diagnosezeitraum 2008 bis 2018 (Behandlungsort)

Tab. 9.2. C07-C08: Absolute Anzahl der Neuerkrankungen nach Geschlecht (Wohnort)

Diagnosejahr	Männer		Frauen		Summe
	Anzahl	%	Anzahl	%	
2008	13	54,2	11	45,8	24
2009	4	50,0	4	50,0	8
2010	9	60,0	6	40,0	15
2011	12	50,0	12	50,0	24
2012	11	61,1	7	38,9	18
2013	11	52,4	10	47,6	21
2014	10	66,7	5	33,3	15
2015	4	44,4	5	55,6	9
2016	4	26,7	11	73,3	15
2017	8	57,1	6	42,9	14
2018	10	71,4	4	28,6	14
Summe	96	54,2	81	45,8	177



© KKR-MV 2020

Abb. 9.2. C07-C08: Absolute Anzahl der Neuerkrankungen nach Geschlecht im Diagnosezeitraum 2008 bis 2018 (Wohnort)

9.3 Absolute Anzahl der erfassten Neuerkrankungen in M-V in den Jahren 2008 – 2018 nach Landkreisen (Wohnort)

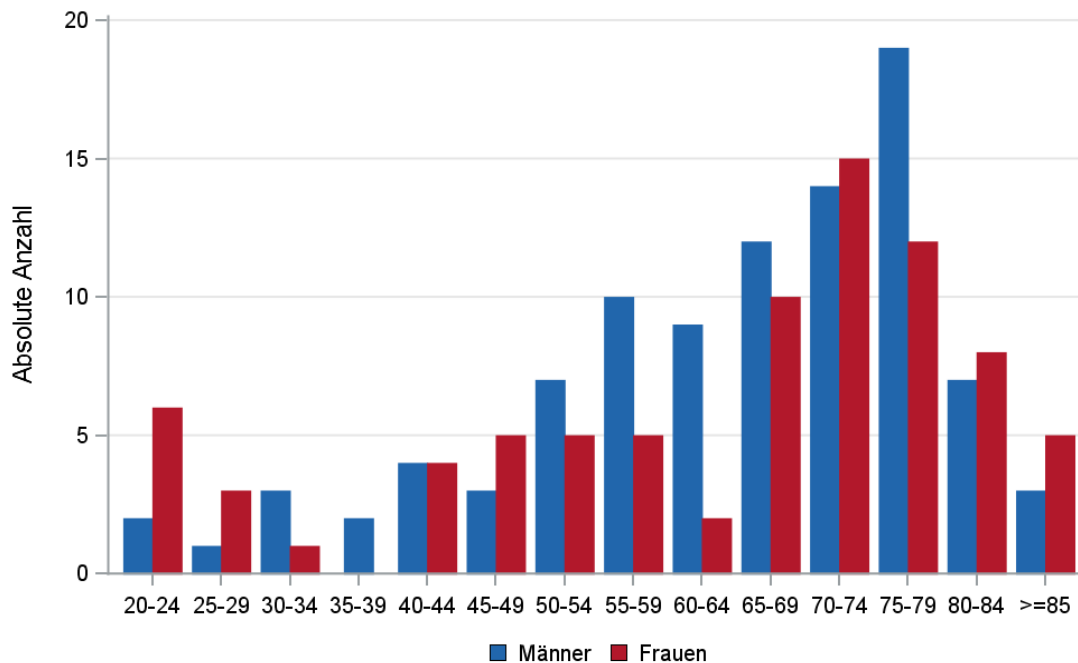
Tab. 9.3. C07-C08: Absolute Anzahl und prozentualer Anteil der Neuerkrankungen nach Landkreisen

Landkreis	2008		2009		2010		2011		2012		2013		2014		2015		2016		2017		2018		Summe	
	Anzahl	%	Anzahl	%	Anzahl	%	Anzahl	%	Anzahl	%	Anzahl	%	Anzahl	%	Anzahl	%	Anzahl	%	Anzahl	%	Anzahl	%	Anzahl	%
Landkreis Rostock	2	8,3	1	12,5	3	20,0	3	12,5	3	16,7	3	14,3	5	33,3	0	0	1	6,7	0	0	1	7,1	22	12,4
Ludwigslust-Parchim	2	8,3	0	0	1	6,7	2	8,3	2	11,1	2	9,5	1	6,7	3	33,3	1	6,7	3	21,4	4	28,6	21	11,9
Mecklenburgische Seenplatte	3	12,5	3	37,5	1	6,7	9	37,5	3	16,7	3	14,3	2	13,3	1	11,1	0	0	2	14,3	1	7,1	28	15,8
Nordwestmecklenburg	2	8,3	0	0	0	0	1	4,2	1	5,6	1	4,8	2	13,3	1	11,1	0	0	0	0	2	14,3	10	5,6
Rostock	3	12,5	1	12,5	4	26,7	3	12,5	4	22,2	1	4,8	2	13,3	1	11,1	2	13,3	3	21,4	0	0	24	13,6
Schwerin	2	8,3	0	0	0	0	0	0	0	0	4	19,0	0	0	0	0	3	20,0	0	0	0	0	9	5,1
Vorpommern-Greifswald	7	29,2	2	25,0	2	13,3	2	8,3	2	11,1	4	19,0	2	13,3	2	22,2	2	13,3	3	21,4	5	35,7	33	18,6
Vorpommern-Rügen	2	8,3	1	12,5	3	20,0	4	16,7	3	16,7	3	14,3	1	6,7	1	11,1	6	40,0	3	21,4	1	7,1	28	15,8
nicht zuordenbar	1	4,2	0	0	1	6,7	0	0	0	0	0	0	0	0	0	0	0	0	0	0	0	0	2	1,1
Summe	24	100,0	8	100,0	15	100,0	24	100,0	18	100,0	21	100,0	15	100,0	9	100,0	15	100,0	14	100,0	14	100,0	177	100,0

9.4 Rohe und standardisierte Neuerkrankungsraten pro 100.000 Einwohner in den Jahren 2008-2018 (Wohnort)

Tab. 9.4. C07-C08: Neuerkrankungsrate/100.000 Einwohner (Alter > 19)

Diagnosejahr	Männer			Frauen		
	absolute Anzahl der Neuerkrankungen	rohe Rate in M-V	altersstandardisierte Rate	absolute Anzahl der Neuerkrankungen	rohe Rate in M-V	altersstandardisierte Rate
2008	13	1,9	1,6	11	1,5	1,0
2009	4	0,6	0,4	4	0,6	0,4
2010	9	1,3	1,2	6	0,8	0,8
2011	12	1,8	1,5	12	1,7	1,0
2012	11	1,7	1,2	7	1,0	0,8
2013	11	1,7	1,3	10	1,4	1,4
2014	10	1,5	1,3	5	0,7	0,7
2015	4	0,6	0,4	5	0,7	0,6
2016	4	0,6	0,5	11	1,6	1,1
2017	8	1,2	0,7	6	0,9	0,6
2018	10	1,5	0,9	4	0,6	0,9
2008-2018	96	1,3	1,0	81	1,1	0,8



© KKR-MV 2020

Abb. 9.3. C07-C08: Absolute Anzahl der Neuerkrankungen aufgelistet in 5-Jahres-Altersgruppen und nach Geschlecht im Diagnosezeitraum 2008 bis 2018 (Wohnort)

9.5 Alter der in den Jahren 2008 - 2018 in M-V neuerkrankten Patienten (Behandlungsort)

Tab. 9.5. C07-C08: Erkrankungsalter (Behandlungsort)

Diagnosejahr	Männer				Frauen			
	Anzahl	Median	Minimum	Maximum	Anzahl	Median	Minimum	Maximum
2008	13	65	20	77	12	72	24	85
2009	4	69	45	76	4	69	56	88
2010	11	58	39	77	7	55	20	72
2011	13	70	35	87	12	71	44	99
2012	12	65	26	81	7	68	40	88
2013	14	68	33	84	10	60	22	84
2014	12	63	30	77	5	49	20	76
2015	5	73	58	77	5	71	27	84
2016	6	64	47	83	11	73	27	87
2017	8	78	55	83	6	72	42	83
2018	11	77	62	92	4	40	23	58

9.6 Absolute Anzahl der erfassten Neuerkrankungen in M-V in den Jahren 2008 – 2018 nach Lokalisation

Tab. 9.6. C07-C08: Absolute Anzahl und prozentualer Anteil der Neuerkrankungen nach der Lokalisation (Behandlungsort)

Lokalisation	2008	2009	2010	2011	2012	2013	2014	2015	2016	2017	2018	Summe	
												Anzahl	%
C07.9 Parotis (einschl. Stensen-Gang)	23	7	12	17	11	16	15	7	15	12	11	146	76,0
C08.0 Gl. submandibularis (einschl. Wharton-Gang)	2	0	5	5	7	3	1	3	1	0	2	29	15,1
C08.1 Gl. sublingualis (mit Ausführungsgang)	0	1	1	2	1	2	1	0	1	1	0	10	5,2
C08.8 Große Speicheldrüsen (mehrere Teilbereiche überlappend)	0	0	0	1	0	0	0	0	0	1	0	2	1,0
C08.9 Große Speicheldrüsen o.n.A.	0	0	0	0	0	3	0	0	0	0	2	5	2,6
Summe	25	8	18	25	19	25	17	10	17	14	15	192	100,0

9.7 Histologische Befunde bei allen neuerkrankten Patienten in M-V in den Jahren 2008 – 2018

Tab. 9.7. C07-C08: Histologische Befunde bei neuerkrankten Patienten (Behandlungsort)

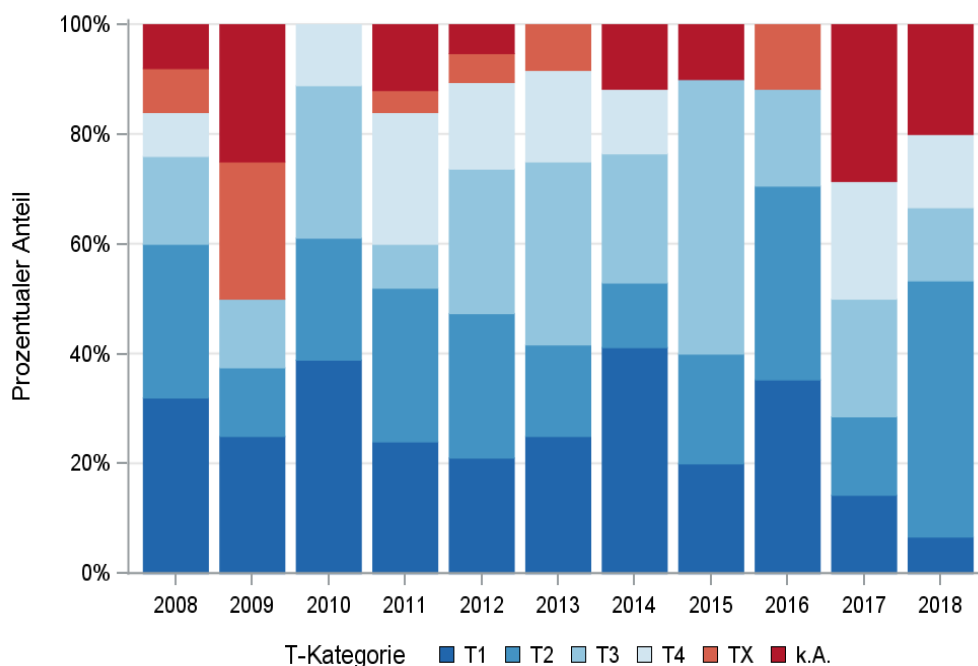
Histologiecode	Anzahl	Prozent
8430/3: Mukoepidermoid-Karzinom	35	18,2
8200/3: Adenoid-zystisches Karzinom	26	13,5
8140/3: Adenokarzinom o.n.A.	20	10,4
8500/3: Invasives duktales Karzinom o.n.A.	19	9,9
8550/3: Azinuszellkarzinom	18	9,4
8147/3: Basalzell-Adenokarzinom	12	6,3
8941/3: Karzinom in pleomorphem Adenom	6	3,1
8525/3: Polymorphes Low-Grade-Adenokarzinom	3	1,6
8982/3: Malignes Myoepitheliom	3	1,6
8290/3: Oxyphiles Adenokarzinom	2	1,0
8562/3: Epithelial-myoepitheliales Karzinom	2	1,0
8440/3: Zystadenokarzinom o.n.A.	1	0,5
8980/3: Karzinosarkom o.n.A.	1	0,5
Adenokarzinome	148	77,1
8071/3: Verhornendes Plattenepithelkarzinom o.n.A.	15	7,8
8070/3: Plattenepithelkarzinom o.n.A.	14	7,3
8072/3: Großzelliges nichtverhornendes Plattenepithelkarzinom o.n.A.	4	2,1
8083/3: Basaloides Plattenepithelkarzinom	2	1,0
8090/3: Basalzellkarzinom o.n.A.	1	0,5
Plattenepithelkarzinome	36	18,7
8010/3: Karzinom o.n.A.	4	2,1
8020/3: Undifferenziertes Karzinom o.n.A.	2	1,0
8041/3: Kleinzelliges Karzinom o.n.A.	2	1,0
Nicht näher bezeichnete Karzinome	8	4,2

9.8 Tumorgröße und Ausdehnung (TNM)

Tab. 9.8. C07-C08: Absolute Anzahl der Neuerkrankungen klassifiziert nach der Tumorgröße in Bezug zu der Auflage der TNM-Klassifikation (Behandlungsort)

Tumorgröße (T)	TNM Auflage 6		TNM Auflage 7		TNM Auflage 8		k.A. zur TNM Auflage		Summe	
	Anzahl	%	Anzahl	%	Anzahl	%	Anzahl*	%	Anzahl	%
T1	10	34,5	39	32,2	2	8,3	-	-	51	26,6
T2	8	27,6	28	23,1	11	45,8	-	-	47	24,5
T3	7	24,1	29	24,0	6	25,0	-	-	42	21,9
T4	1	3,4	18	14,9	5	20,8	-	-	24	12,5
TX	3	10,3	7	5,8	0	0	-	-	10	5,2
k.A.	0	0	0	0	0	0	18	100,0	18	9,4
Summe	29	100,0	121	100,0	24	100,0	18	100,0	192	100,0

*In einzelnen Fällen wurden Angaben zur Tumorgröße ohne Bezug zu einer TNM Auflage gemacht. Diese Angaben wurden in die Kategorie k.A. aufgenommen.



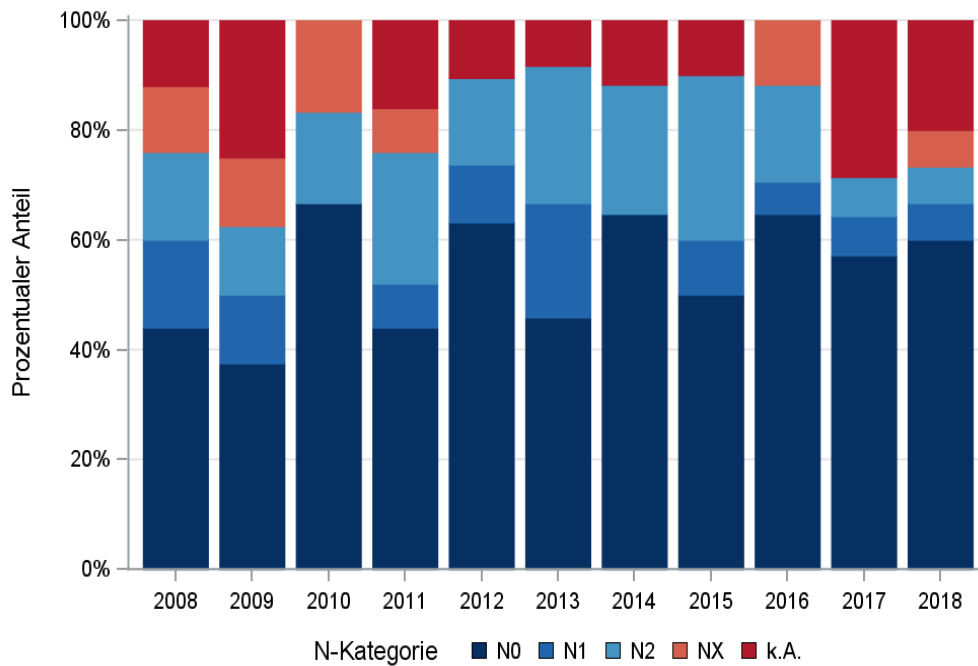
© KKR-MV 2020

Abb. 9.4. C07-C08: Prozentualer Anteil der Neuerkrankungen nach der Tumorgröße im Diagnosezeitraum 2008 bis 2018

Tab. 9.9. C07-C08: Absolute Anzahl der Neuerkrankungen mit bzw. ohne Befall der regionären Lymphknoten in Bezug zu der Auflage der TNM-Klassifikation (Behandlungsort)

N-Kategorie	TNM Auflage 6		TNM Auflage 7		TNM Auflage 8		k.A. zur TNM Auflage		Summe	
	Anzahl	%	Anzahl	%	Anzahl	%	Anzahl*	%	Anzahl	%
N0	14	48,3	70	57,9	20	83,3	-	-	104	54,2
N1	5	17,2	11	9,1	2	8,3	-	-	18	9,4
N2	6	20,7	28	23,1	1	4,2	-	-	35	18,2
NX	3	10,3	8	6,6	1	4,2	-	-	12	6,3
k.A.	1	3,4	4	3,3	0	0	18	100,0	23	12,0
Summe	29	100,0	121	100,0	24	100,0	18	100,0	192	100,0

*In einzelnen Fällen wurden Angaben zur N-Kategorie ohne Bezug zu einer TNM Auflage gemacht. Diese Angaben wurden in die Kategorie k.A. aufgenommen.



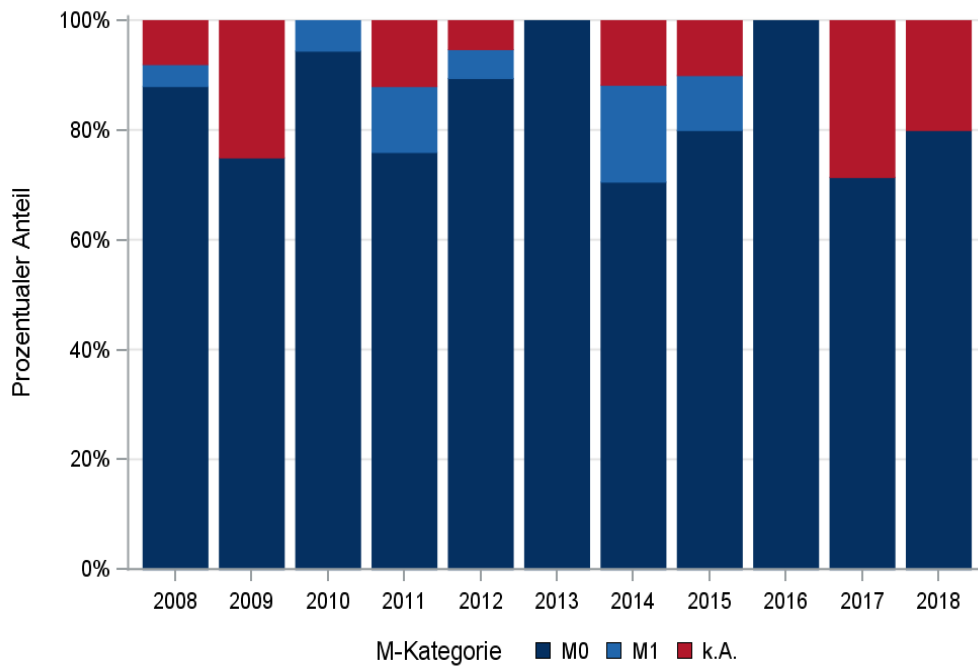
© KKR-MV 2020

Abb. 9.5. C07-C08: Prozentualer Anteil der Neuerkrankungen mit und ohne Befall der regionären Lymphknoten zum Zeitpunkt der Erstdiagnose im Diagnosezeitraum 2008 bis 2018

Tab. 9.10. C07-C08: Absolute Anzahl der Neuerkrankungen mit Fernmetastasierung in Bezug zu der Auflage der TNM-Klassifikation (Behandlungsort)

M-Kategorie	TNM Auflage 6		TNM Auflage 7		TNM Auflage 8		k.A. zur TNM Auflage		Summe	
	Anzahl	%	Anzahl	%	Anzahl	%	Anzahl*	%	Anzahl	%
M0	28	96,6	112	92,6	24	100,0	-	-	164	85,4
M1	1	3,4	9	7,4	0	0	-	-	10	5,2
k.A.	0	0	0	0	0	0	18	100,0	18	9,4
Summe	29	100,0	121	100,0	24	100,0	18	100,0	192	100,0

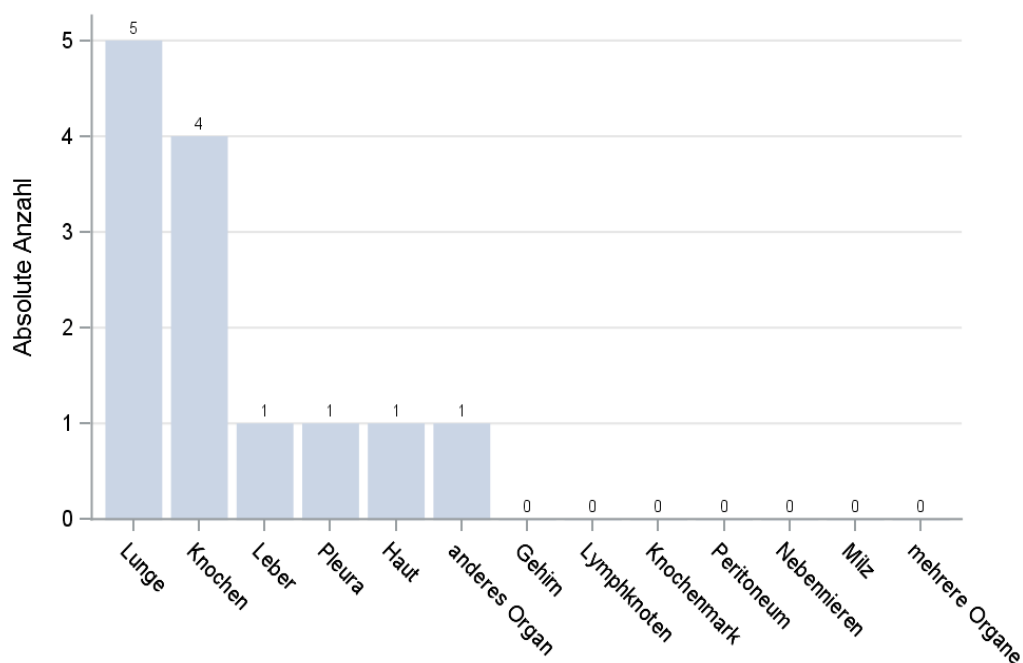
*In einzelnen Fällen wurden Angaben zur M-Kategorie ohne Bezug zu einer TNM Auflage gemacht. Diese Angaben wurden in die Kategorie k.A. aufgenommen.



© KKR-MV 2020

Abb. 9.6. C07-C08: Prozentualer Anteil der primären Fernmetastasierung im Diagnosezeitraum 2008 bis 2018

9.9 Lokalisation der Fernmetastasen



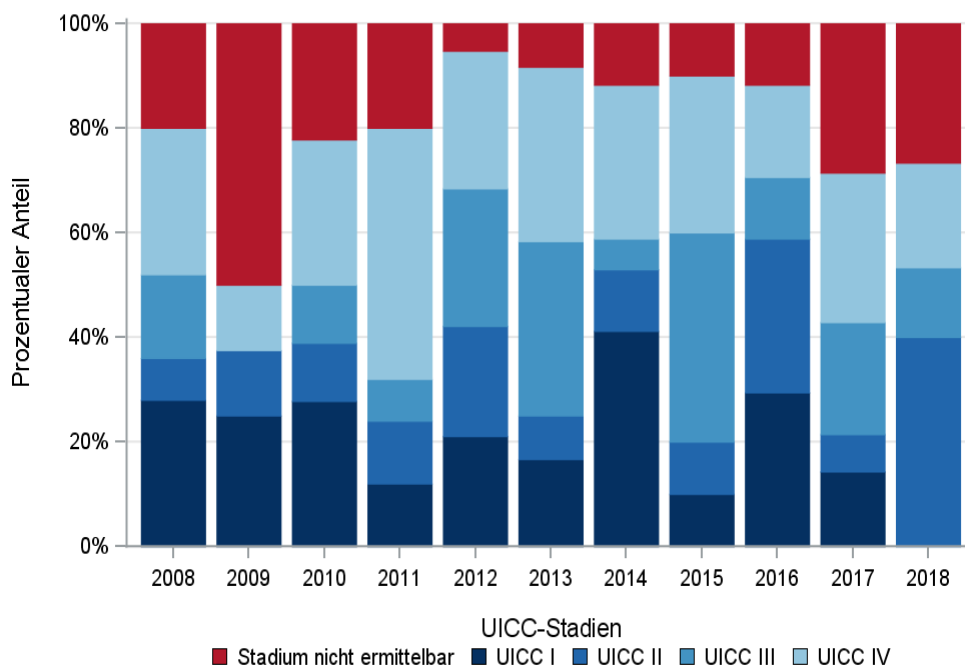
© KKR-MV 2020

Abb. 9.7. C07-C08: Lokalisation der Fernmetastasen bei Neuerkrankungen im Diagnosezeitraum 2008 bis 2018

9.10 Tumorstadien nach UICC

Tab. 9.11. C07-C08: Primäre UICC-Stadien (Behandlungsort)

Jahre	UICC I		UICC II		UICC III		UICC IV		Stadium nicht ermittelbar		Summe	
	Anzahl	%	Anzahl	%	Anzahl	%	Anzahl	%	Anzahl	%	Anzahl	%
2008	7	28,0	2	8,0	4	16,0	7	28,0	5	20,0	25	100,0
2009	2	25,0	1	12,5	0	0	1	12,5	4	50,0	8	100,0
2010	5	27,8	2	11,1	2	11,1	5	27,8	4	22,2	18	100,0
2011	3	12,0	3	12,0	2	8,0	12	48,0	5	20,0	25	100,0
2012	4	21,1	4	21,1	5	26,3	5	26,3	1	5,3	19	100,0
2013	4	16,7	2	8,3	8	33,3	8	33,3	2	8,3	24	100,0
2014	7	41,2	2	11,8	1	5,9	5	29,4	2	11,8	17	100,0
2015	1	10,0	1	10,0	4	40,0	3	30,0	1	10,0	10	100,0
2016	5	29,4	5	29,4	2	11,8	3	17,6	2	11,8	17	100,0
2017	2	14,3	1	7,1	3	21,4	4	28,6	4	28,6	14	100,0
2018	0	0	6	40,0	2	13,3	3	20,0	4	26,7	15	100,0
Summe	40	20,8	29	15,1	33	17,2	56	29,2	34	17,7	192	100,0



© KKR-MV 2020

Abb. 9.8. C07-C08: Prozentuale Anteile der UICC-Tumorstadien in den Diagnosejahren 2008 bis 2018

9.11 Dokumentierte Therapie bis max. 12 Monate nach Diagnosestellung

9.11.1 Therapiekombinationen, Stellung der Therapie und Intention der dokumentierten Therapien

Tab. 9.12. C07-C08: Therapiekombinationen (Operation, Strahlentherapie, systemische Therapie) pro Diagnosejahr (Behandlungsort)

Therapiekombinationen	2008	2009	2010	2011	2012	2013	2014	2015	2016	2017	2018	Summe
Alleinige Operation	14	3	5	10	8	10	8	5	8	5	10	86
Alleinige systemische Therapie	0	0	0	0	1	0	0	0	0	0	0	1
Alleinige Strahlentherapie	0	0	0	0	0	4	0	0	1	2	1	8
Operation und systemische Therapie, keine Strahlentherapie	1	0	2	2	0	0	2	1	0	0	0	8
Operation und Strahlentherapie, keine systemische Therapie	7	3	10	9	8	8	3	4	4	4	1	61
Systemische Therapie und Strahlentherapie, keine Operation	0	0	0	0	0	0	1	0	0	1	0	2
Operation und systemische Therapie und Strahlentherapie	2	1	1	2	1	2	2	0	3	2	0	16
Keine Operation, systemische Therapie oder Strahlentherapie	1	1	0	2	1	0	1	0	1	0	3	10
Summe	25	8	18	25	19	24	17	10	17	14	15	192

Tab. 9.13. C07-C08: Therapiekombinationen (Operation, Strahlentherapie, systemische Therapie) in Abhängigkeit von dem UICC-Stadium (Behandlungsort)

Therapiekombinationen	UICC I	UICC II	UICC III	UICC IV	Stadium nicht ermittelbar	Summe
Alleinige Operation	32	16	11	12	15	86
Alleinige systemische Therapie	0	0	0	1	0	1
Alleinige Strahlentherapie	0	2	1	3	2	8
Operation und systemische Therapie, keine Strahlentherapie	0	1	2	5	0	8
Operation und Strahlentherapie, keine systemische Therapie	8	8	18	17	10	61
Systemische Therapie und Strahlentherapie, keine Operation	0	0	0	2	0	2
Operation und systemische Therapie und Strahlentherapie	0	2	1	12	1	16
Keine Operation, systemische Therapie oder Strahlentherapie	0	0	0	4	6	10
Summe	40	29	33	56	34	192

Tab. 9.14a. C07-C08: Stellung der Strahlentherapie zur operativen Therapie im ersten Jahr der Erkrankung (adjuvant/neoadjuvant, Behandlungsort)

Stellung der Strahlentherapie zur operativen Therapie	2008	2009	2010	2011	2012	2013	2014	2015	2016	2017	2018	Summe
Adjuvante (postoperative) Strahlentherapie	5	2	6	8	5	8	3	3	7	5	1	53
Therapie ohne Bezug zu einer operativen Therapie	0	1	0	0	0	0	1	0	0	0	0	2
Intraoperative Strahlentherapie	0	0	1	0	0	0	0	0	0	0	0	1
unbekannt	4	1	4	3	4	2	1	1	0	1	0	21
Summe	9	4	11	11	9	10	5	4	7	6	1	77

Tab. 9.14b. C07-C08: Stellung der systemischen Therapie zur operativen Therapie im ersten Jahr der Erkrankung (adjuvant/neoadjuvant, Behandlungsort)

Stellung der systemischen Therapie zur operativen Therapie	2008	2009	2010	2011	2012	2013	2014	2015	2016	2017	Summe
Adjuvante (postoperative) Therapie	3	1	1	1	0	1	2	0	1	2	12
Therapie ohne Bezug zu einer operativen Therapie	0	0	2	2	1	1	1	0	1	0	8
unbekannt	0	0	0	1	0	0	1	1	1	0	4
Summe	3	1	3	4	1	2	4	1	3	2	24

Tab. 9.15a. C07-C08: Intention bei der ersten Operation (Behandlungsort)

Intention der Operation	2008	2009	2010	2011	2012	2013	2014	2015	2016	2017	2018	Summe
Kurativ	19	6	16	19	12	15	13	4	10	8	11	133
Palliativ bzw. symptomatisch	0	0	1	3	0	0	1	1	0	0	0	6
Sonstige/Unbekannt/Keine Angabe	5	1	1	1	5	5	1	5	5	3	0	32
Summe	24	7	18	23	17	20	15	10	15	11	11	171

Tab. 9.15b. C07-C08: Intention der initialen Bestrahlung (Behandlungsort)

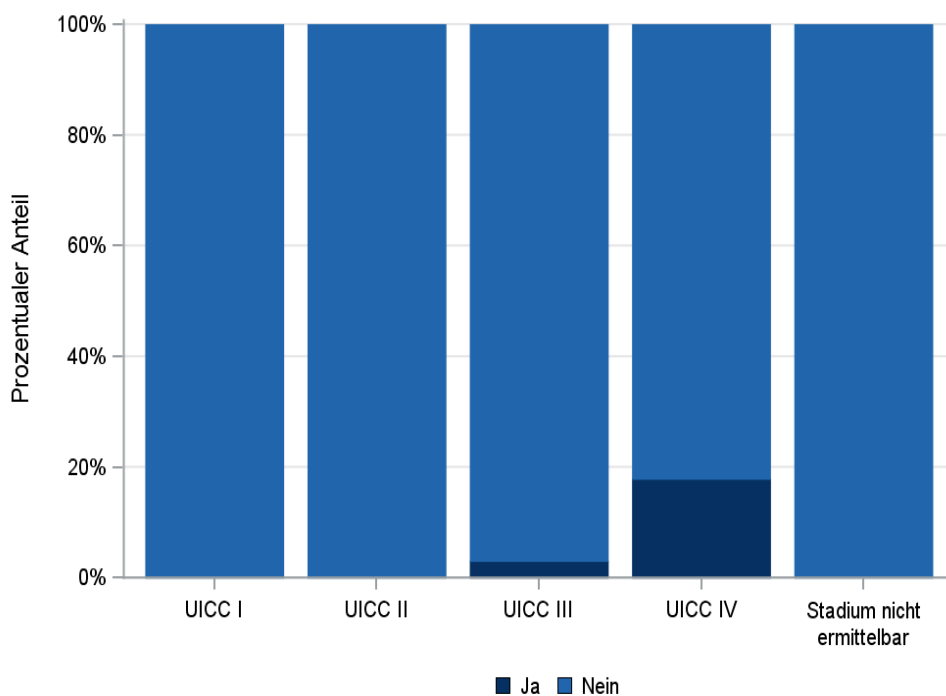
Intention der Bestrahlung	2008	2009	2010	2011	2012	2013	2014	2015	2016	2017	2018	Summe
Kurativ	4	3	6	7	5	6	4	2	5	8	2	52
Palliativ bzw. symptomatisch	0	0	0	1	0	1	1	0	1	1	0	5
Sonstige/Unbekannt/Keine Angabe	5	1	5	3	4	7	1	2	2	0	0	30
Summe	9	4	11	11	9	14	6	4	8	9	2	87

Tab. 9.15c. C07-C08: Intention bei der ersten systemischen Therapie (Behandlungsort)

Intention der systemischen Therapie	2008	2009	2010	2011	2012	2013	2014	2015	2016	2017	Summe
Palliativ bzw. symptomatisch	1	0	2	3	2	1	2	0	1	1	13
Kurativ	2	1	1	0	0	1	2	0	1	1	9
Sonstige/Unbekannt/Keine Angabe	0	0	0	1	0	0	1	1	1	1	5
Summe	3	1	3	4	2	2	5	1	3	3	27

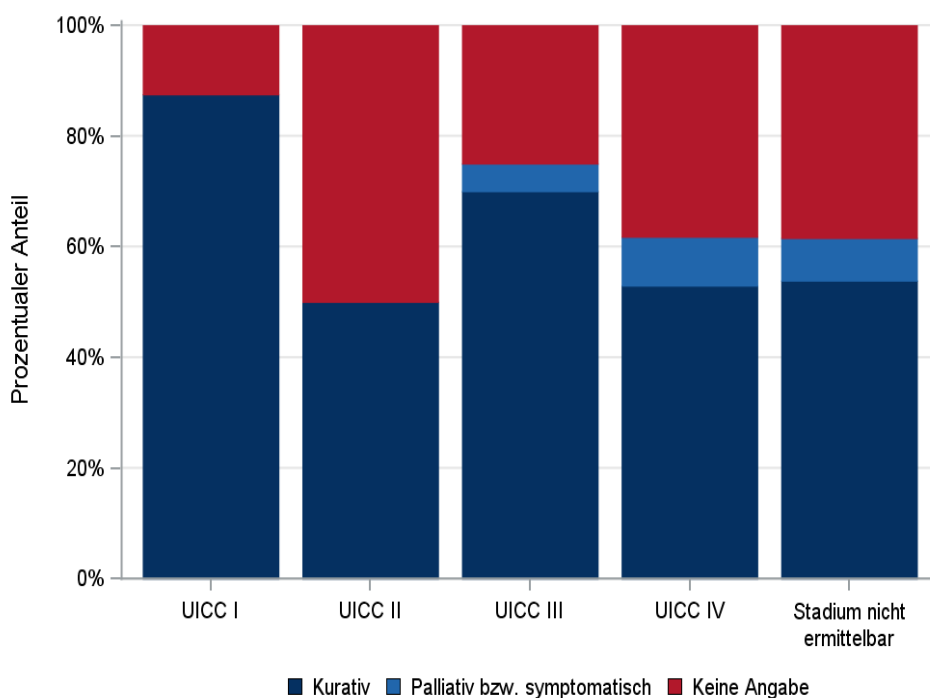
Tab. 9.16. C07-C08: Zeitraum zwischen Diagnose und Beginn der ersten Therapie nach Therapieart (Angaben in Tagen, Behandlungsort)

Therapie	Anzahl	Median	Minimum	Maximum
Diagnose und erste Operation	171	0	0	365
Diagnose und erste Bestrahlung	87	61	8	122
Diagnose und erste system. Therapie	27	81	3	361



© KKR-MV 2020

Abb.9.9. C07-C08: Durchführung der Radiochemotherapie nach UICC-Klassifikation



© KKR-MV 2020

Abb.9.10. C07-C08: Intention der ersten Bestrahlung nach UICC-Klassifikation

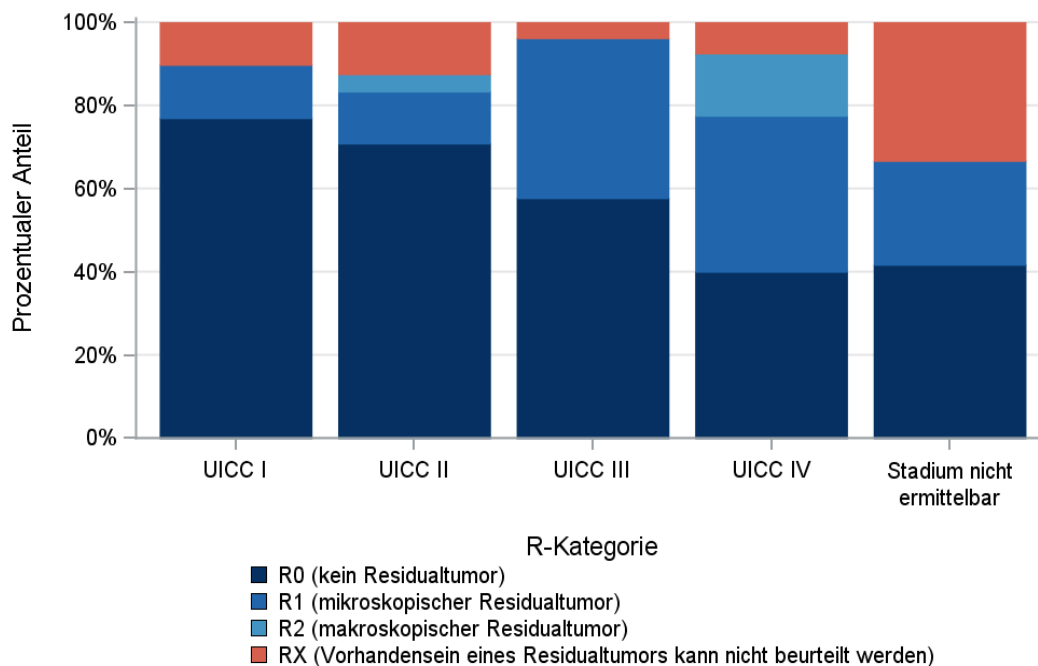
9.11.2 Dokumentierte tumorspezifische Operation bis max.12 Monate nach Diagnosestellung

Tab. 9.17. C07-C08: Dokumentierte tumorspezifische Operation nach UICC (Behandlungsort)

Operationen	UICC I	UICC II	UICC III	UICC IV	Stadium nicht ermittelbar	Summe	
						Anzahl	%
Tumorresektion	22	12	9	9	17	69	40,4
Tumor- und Lymphknotenresektion	17	12	17	31	7	84	49,1
Lymphknotenresektion	0	0	0	2	2	4	2,3
keine Angabe	1	3	6	4	0	14	8,2
Summe	40	27	32	46	26	171	100,0

Tab. 9.18. C07-C08: Residualklassifikation nach Tumorresektion im Diagnosezeitraum 2008-2018

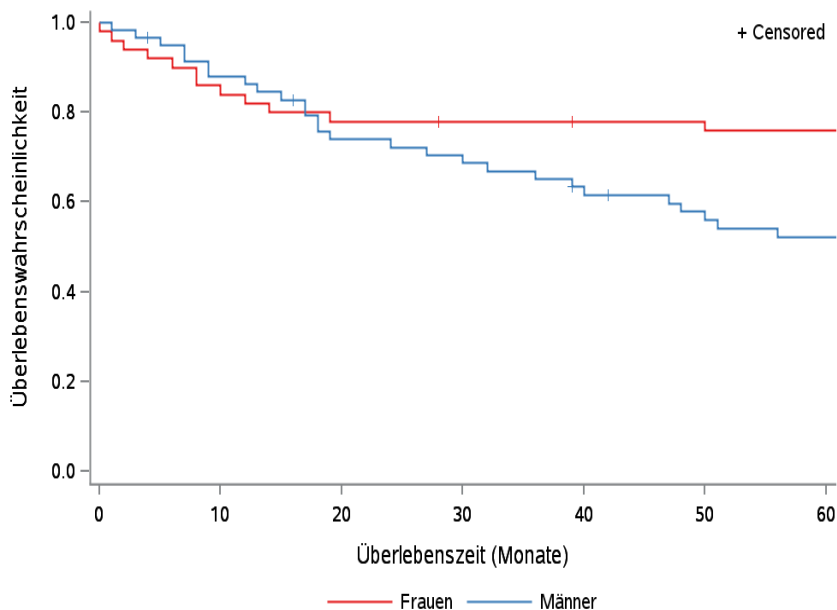
R-Klassifikation	UICC I	UICC II	UICC III	UICC IV	Stadium nicht ermittelbar	Summe	
						Anzahl	%
R0 (kein Residualtumor)	30	17	15	16	10	88	57,5
R1 (mikroskopischer Residualtumor)	5	3	10	15	6	39	25,5
R2 (makroskopischer Residualtumor)	0	1	0	6	0	7	4,6
RX (Vorhandensein eines Residualtumors kann nicht beurteilt werden)	4	3	1	3	8	19	12,4
Summe	39	24	26	40	24	153	100,0



© KKR-MV 2020

Abb.9.11. C07-C08: Residualklassifikation nach Tumorresektion in Abhängigkeit von UICC-Tumorstadium im Diagnosezeitraum 2008 bis 2018

9.12 Überlebensanalysen bei den in den Jahren 2008 – 2013 primär diagnostizierten Patienten

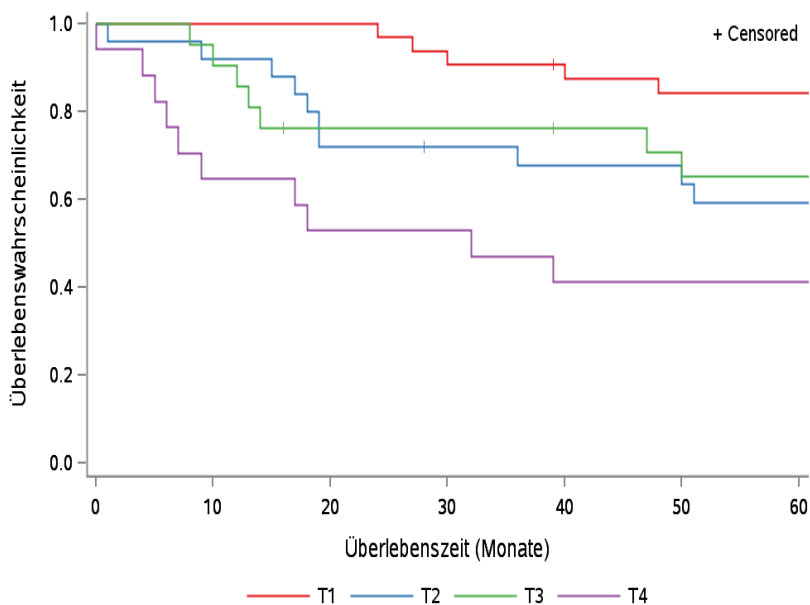


© KKR-MV 2020

Abb.9.12. C07-C08: Wahrscheinlichkeit des Überlebens (Kaplan-Meier-Analyse) nach Geschlecht im Diagnosezeitraum von 2008 bis 2013 (Wohnort). Kaplan-Meier-Kurven werden für Kategorien mit weniger als 10 Neuerkrankungen nicht dargestellt.

Tab. 9.19. C07-C08: Anzahl der unter Risiko stehenden Neuerkrankungen (Monate nach Diagnose)

Geschlecht	0 Monate	20 Monate	40 Monate	60 Monate
Männer	59	42	35	28
Frauen	50	39	37	36

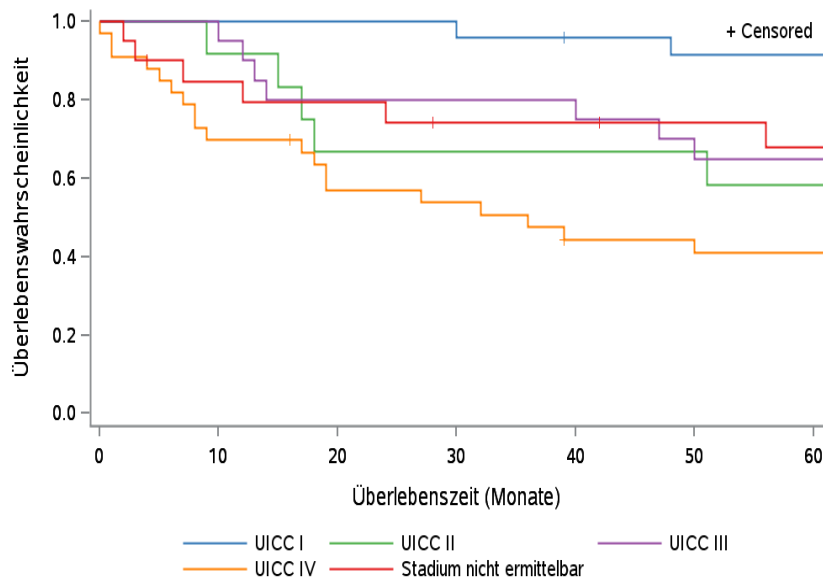


© KKR-MV 2020

Abb.9.13. C07-C08: Wahrscheinlichkeit des Überlebens (Kaplan-Meier-Analyse) nach Tumorstadium im Diagnosezeitraum von 2008 bis 2013 (Wohnort). Kaplan-Meier-Kurven werden für Kategorien mit weniger als 10 Neuerkrankungen nicht dargestellt.

Tab.9.20. C07-C08: Anzahl der unter Risiko stehenden Neuerkrankungen nach Tumorgröße (Monate nach Diagnose)

T-Kategorie	0 Monate	20 Monate	40 Monate	60 Monate
T1	32	32	28	26
T2	25	18	16	14
T3	21	15	14	12
T4	17	9	7	7
TX	7	5	5	3
k.A.	7	2	2	2



© KKR-MV 2020

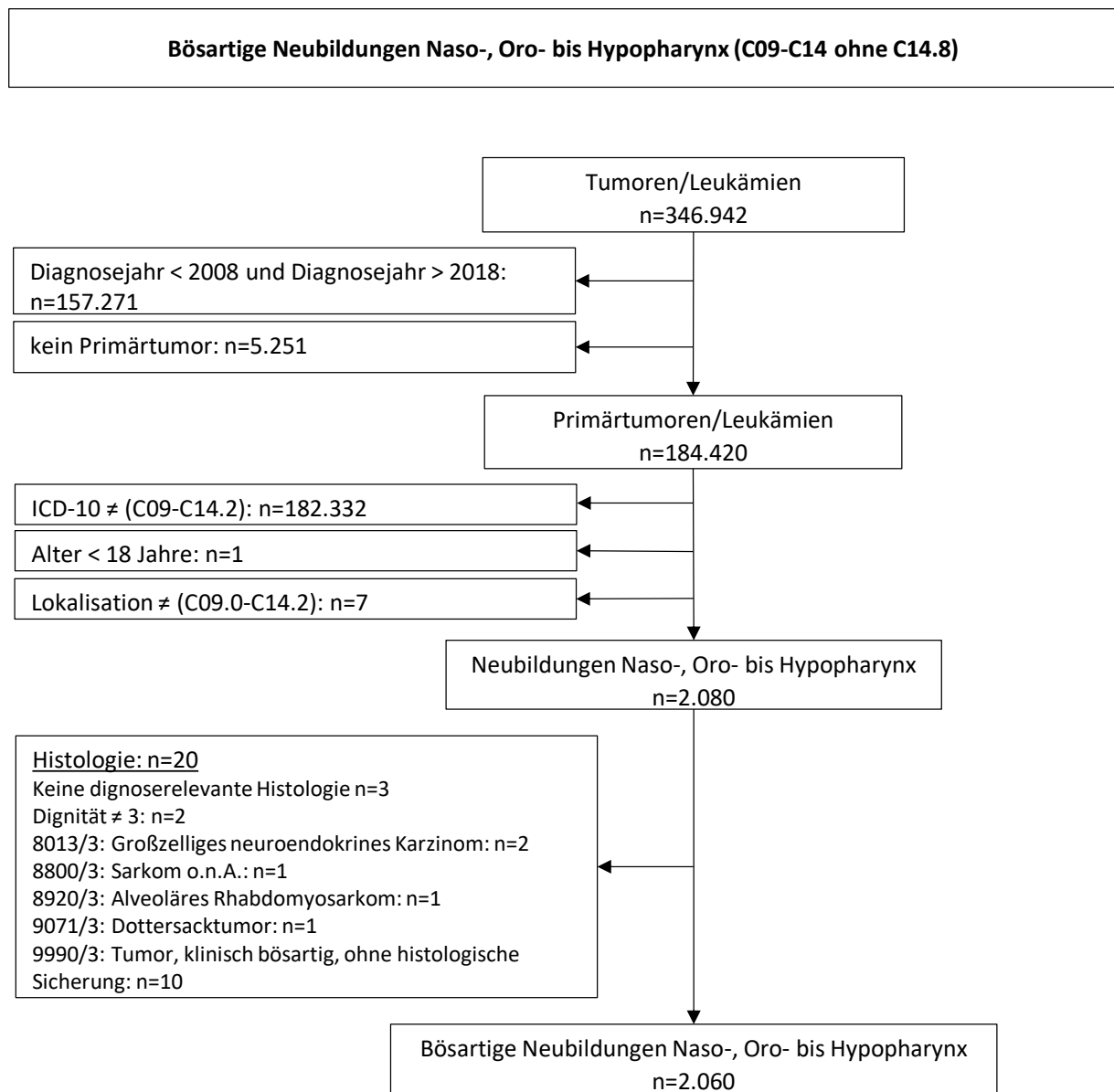
Abb.9.14. C07-C08: Wahrscheinlichkeit des Überlebens (Kaplan-Meier-Analyse) nach UICC-Tumorstadium im Diagnosezeitraum von 2008 bis 2013 (Wohnort). Kaplan-Meier-Kurven werden für Kategorien mit weniger als 10 Neuerkrankungen nicht dargestellt.

Tab. 9.21. C07-C08: Anzahl der unter Risiko stehenden Neuerkrankungen nach UICC-Stadium (Monate nach Diagnose)

UICC-Stadium	0 Monate	20 Monate	40 Monate	60 Monate
UICC I	24	24	22	21
UICC II	12	8	8	7
UICC III	20	16	16	13
UICC IV	33	18	13	12
Stadium nicht ermittelbar	20	15	13	11

10 Naso-, Oro-, Hypopharynx (C09-C14)

10.1 Consort-Statement: Darstellung der Auswertepopulation

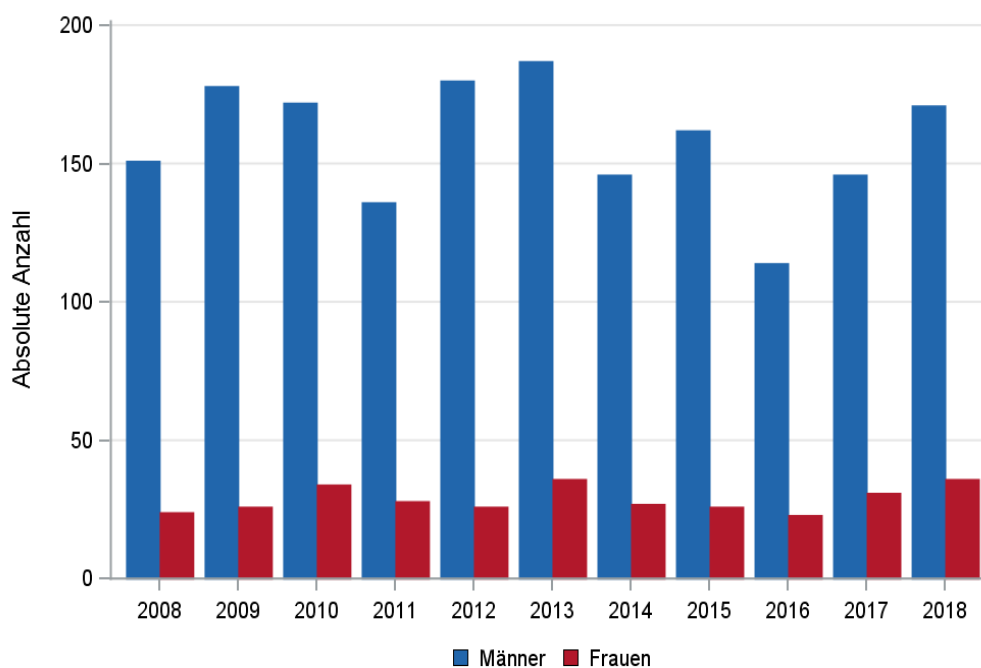


*Erläuterungen zu den Ausschlüssen finden Sie im Kapitel 4 (Methode)

10.2 Absolute Anzahl der erfassten Neuerkrankungen in M-V in den Jahren 2008 – 2018 nach Geschlecht (Behandlungsort, Wohnort)

Tab. 10.1. C09-C14: Absolute Anzahl der Neuerkrankungen nach Geschlecht (Behandlungsort)

Diagnosejahr	Männer		Frauen		Summe
	Anzahl	%	Anzahl	%	
2008	151	86,3	24	13,7	175
2009	178	87,3	26	12,7	204
2010	172	83,5	34	16,5	206
2011	136	82,9	28	17,1	164
2012	180	87,4	26	12,6	206
2013	187	83,9	36	16,1	223
2014	146	84,4	27	15,6	173
2015	162	86,2	26	13,8	188
2016	114	83,2	23	16,8	137
2017	146	82,5	31	17,5	177
2018	171	82,6	36	17,4	207
Summe	1743	84,6	317	15,4	2060

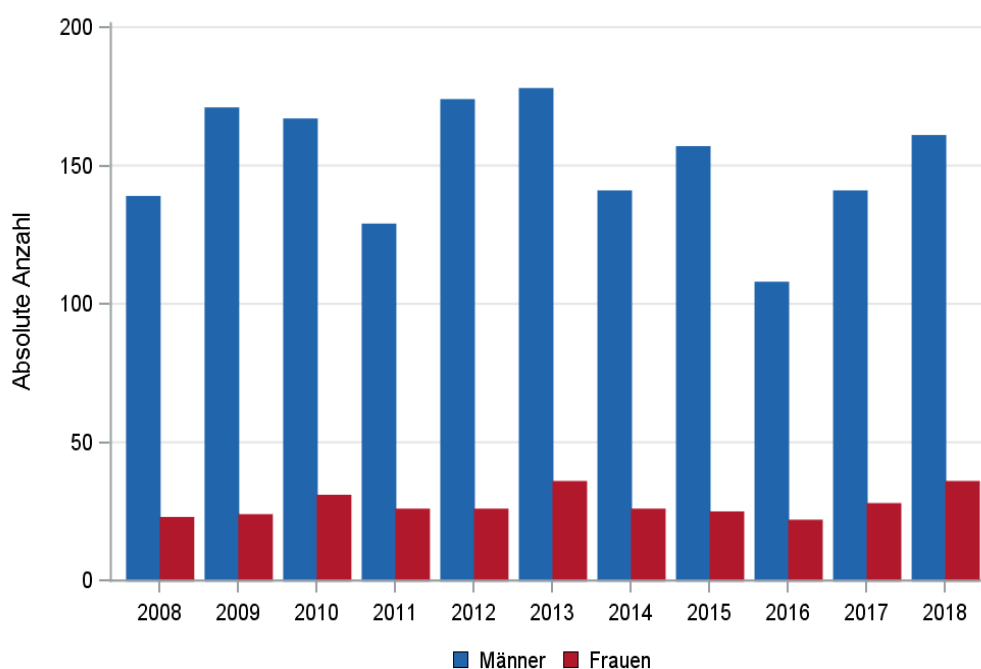


© KKR-MV 2020

Abb. 10.1. C09-C14: Absolute Anzahl der Neuerkrankungen nach Geschlecht im Diagnosezeitraum 2008 bis 2018 (Behandlungsort)

Tab. 10.2. C09-C14: Absolute Anzahl der Neuerkrankungen nach Geschlecht (Wohnort)

Diagnosejahr	Männer		Frauen		Summe
	Anzahl	%	Anzahl	%	
2008	139	85,8	23	14,2	162
2009	171	87,7	24	12,3	195
2010	167	84,3	31	15,7	198
2011	129	83,2	26	16,8	155
2012	174	87,0	26	13,0	200
2013	178	83,2	36	16,8	214
2014	141	84,4	26	15,6	167
2015	157	86,3	25	13,7	182
2016	108	83,1	22	16,9	130
2017	141	83,4	28	16,6	169
2018	161	81,7	36	18,3	197
Summe	1666	84,6	303	15,4	1969



© KKR-MV 2020

Abb. 10.2. C09-C14: Absolute Anzahl der Neuerkrankungen nach Geschlecht im Diagnosezeitraum 2008 bis 2018 (Wohnort)

10.3 Absolute Anzahl der erfassten Neuerkrankungen in M-V in den Jahren 2008 – 2018 nach Landkreisen (Wohnort)

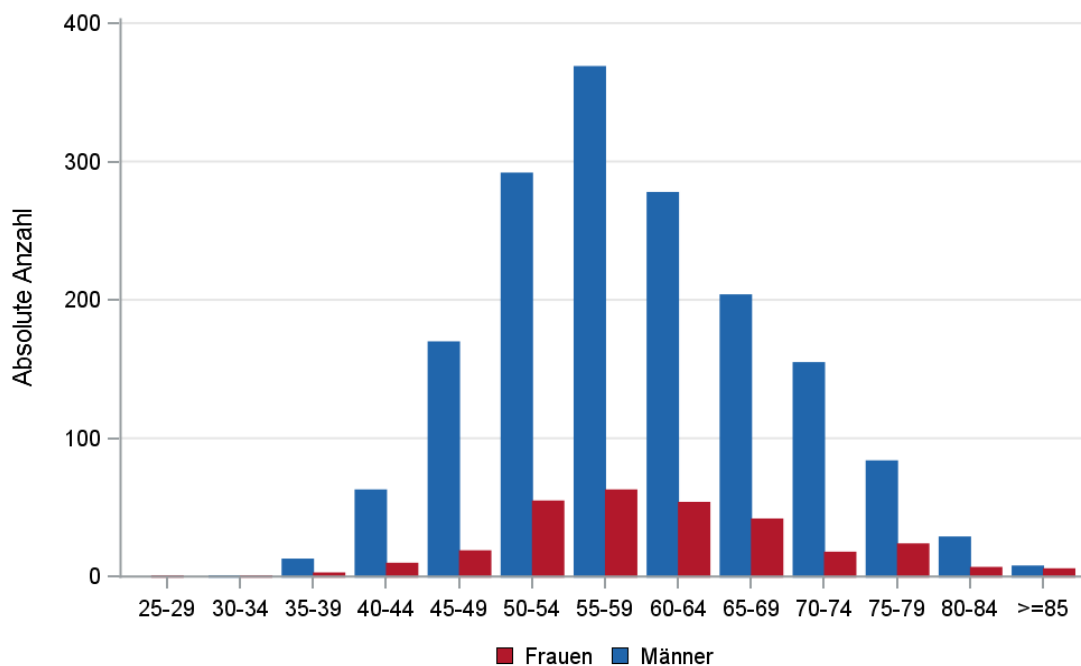
Tab. 10.3. C09-C14: Absolute Anzahl und prozentualer Anteil der Neuerkrankungen nach Landkreisen

Landkreis	2008		2009		2010		2011		2012		2013		2014		2015		2016		2017		2018		Summe	
	Anzahl	%	Anzahl	%	Anzahl	%	Anzahl	%	Anzahl	%	Anzahl	%	Anzahl	%	Anzahl	%	Anzahl	%	Anzahl	%	Anzahl	%	Anzahl	%
Landkreis Rostock	22	13,6	28	14,4	30	15,2	24	15,5	29	14,5	27	12,6	29	17,4	38	20,9	21	16,2	18	10,7	33	16,8	299	15,2
Ludwigslust-Parchim	15	9,3	21	10,8	26	13,1	24	15,5	20	10,0	25	11,7	16	9,6	21	11,5	19	14,6	20	11,8	15	7,6	222	11,3
Mecklenburgische Seenplatte	39	24,1	40	20,5	36	18,2	19	12,3	29	14,5	38	17,8	21	12,6	17	9,3	8	6,2	39	23,1	43	21,8	329	16,7
Nordwestmecklenburg	11	6,8	12	6,2	13	6,6	9	5,8	19	9,5	20	9,3	12	7,2	15	8,2	11	8,5	8	4,7	17	8,6	147	7,5
Rostock	17	10,5	20	10,3	25	12,6	17	11,0	35	17,5	29	13,6	18	10,8	24	13,2	26	20,0	27	16,0	32	16,2	270	13,7
Schwerin	6	3,7	9	4,6	11	5,6	10	6,5	11	5,5	10	4,7	13	7,8	11	6,0	7	5,4	10	5,9	6	3,0	104	5,3
Vorpommern-Greifswald	28	17,3	36	18,5	31	15,7	31	20,0	30	15,0	36	16,8	25	15,0	23	12,6	14	10,8	29	17,2	25	12,7	308	15,6
Vorpommern-Rügen	24	14,8	27	13,8	26	13,1	20	12,9	27	13,5	29	13,6	32	19,2	31	17,0	24	18,5	18	10,7	26	13,2	284	14,4
nicht zuordenbar	0	0	2	1,0	0	0	1	0,6	0	0	0	0	1	0,6	2	1,1	0	0	0	0	0	0	6	0,3
Summe	162	100,0	195	100,0	198	100,0	155	100,0	200	100,0	214	100,0	167	100,0	182	100,0	130	100,0	169	100,0	197	100,0	1969	100,0

10.4 Rohe und standardisierte Neuerkrankungsraten pro 100.000 Einwohner in den Jahren 2008-2018 (Wohnort)

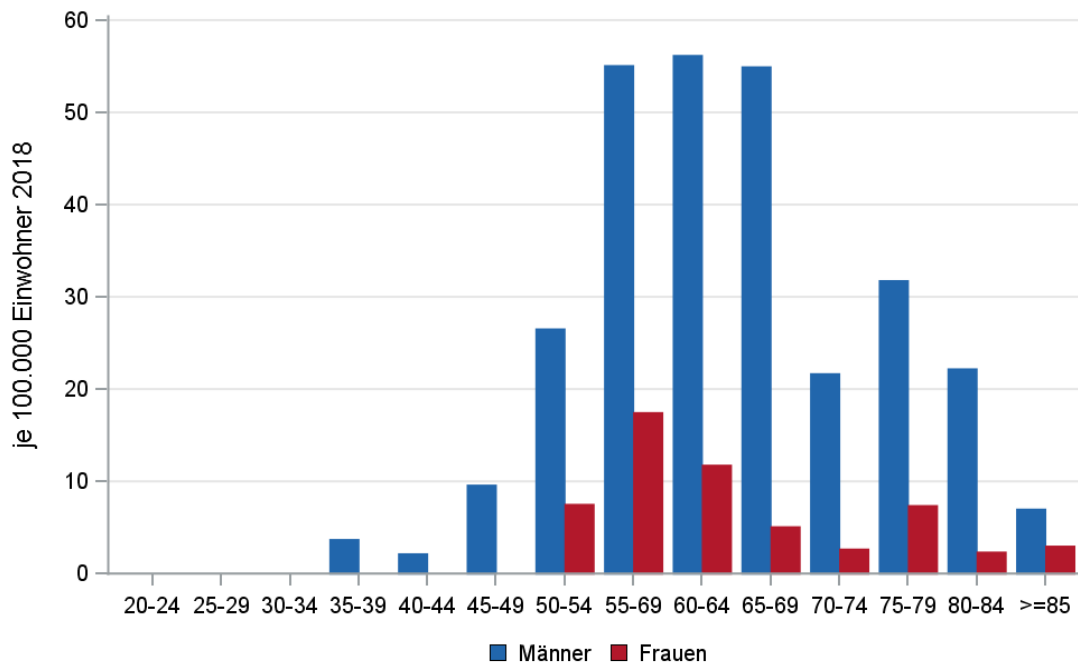
Tab. 10.4. C09-C14: Neuerkrankungsrate/100.000 Einwohner (Alter > 19)

Diagnosejahr	Männer			Frauen		
	absolute Anzahl der Neuerkrankungen	rohe Rate in M-V	altersstandardisierte Rate	absolute Anzahl der Neuerkrankungen	rohe Rate in M-V	altersstandardisierte Rate
2008	139	20,1	18,2	23	3,2	3,0
2009	171	24,8	21,7	24	3,4	2,8
2010	167	24,2	21,2	31	4,4	3,7
2011	129	19,2	17,2	26	3,7	3,2
2012	174	26,1	22,0	26	3,7	2,9
2013	178	26,9	22,3	36	5,2	4,5
2014	141	21,4	17,5	26	3,8	3,2
2015	157	23,7	19,3	25	3,6	2,9
2016	108	16,3	13,1	22	3,2	2,6
2017	141	21,4	16,6	28	4,1	3,4
2018	161	24,6	18,1	36	5,3	3,8
2008-2018	1666	22,6	18,8	303	4,0	3,3



© KKR-MV 2020

Abb. 10.3. C09-C14: Absolute Anzahl der Neuerkrankungen aufgelistet in 5-Jahres-Altersgruppen und nach Geschlecht im Diagnosezeitraum 2008 bis 2018 (Wohnort)



© KKR-MV 2020

Abb. 10.4. C09-C14: Altersspezifische Rate der Neuerkrankungen je 100.000 Einwohner (Diagnosejahr 2018) nach 5-Jahres-Altersgruppen und Geschlecht (Wohnort)

10.5 Alter der in den Jahren 2008 - 2018 in M-V neuerkrankten Patienten (Behandlungsort)

Tab. 10.5. C09-C14: Erkrankungsalter (Behandlungsort)

Diagnosejahr	Männer				Frauen			
	Anzahl	Median	Minimum	Maximum	Anzahl	Median	Minimum	Maximum
2008	151	55	37	96	24	56	38	82
2009	178	57	41	85	26	60	45	82
2010	172	56	35	84	34	59	43	78
2011	136	57	39	80	28	59	42	86
2012	180	59	37	87	26	60	48	93
2013	187	58	35	91	36	60	29	79
2014	146	59	42	83	27	61	42	90
2015	162	59	40	88	26	60	31	90
2016	114	60	42	87	23	58	43	81
2017	146	63	32	85	31	61	38	85
2018	171	61	39	86	36	60	52	87

10.6 Absolute Anzahl der erfassten Neuerkrankungen in M-V in den Jahren 2008 – 2018 nach Lokalisation

Tab. 10.6. C09-C14: Absolute Anzahl und prozentualer Anteil der Neuerkrankungen nach der Lokalisation (Behandlungsort)

Lokalisation	2008	2009	2010	2011	2012	2013	2014	2015	2016	2017	2018	Summe	
												Anzahl	%
C09.0 Tonsillennische	1	4	3	8	8	18	5	3	5	11	12	78	3,8
C09.1 Gaumenbogen	4	5	6	5	7	15	8	5	17	7	12	91	4,4
C09.8 Tonsille (mehrere Teilbereiche überlappend)	21	12	14	12	35	42	25	17	10	10	14	212	10,3
C09.9 Gaumentonsille, Tonsille o.n.A.	30	24	34	30	29	17	11	36	18	28	37	294	14,2
C10.0 Vallecula epiglottica (ohne Zungengrund, =C01.9)	5	2	3	3	4	4	4	7	1	8	9	50	2,4
C10.1 Vordere, linguale Epiglottisfläche	0	1	8	5	4	2	0	0	1	1	3	25	1,2
C10.2 Oropharynx, Seitenwand (auch Glossotonsillarfurche)	3	2	24	6	15	12	24	8	7	13	5	119	5,8
C10.3 Oropharynx, Hinterwand	2	1	2	2	5	11	6	4	1	6	6	46	2,2
C10.4 Branchiogene Fistel	0	0	0	0	0	1	0	0	0	0	0	1	0,0
C10.8 Oropharynx (mehrere Teilbereiche überlappend)	24	38	30	18	15	9	17	23	10	7	16	207	10,0
C10.9 Oropharynx o.n.A.	22	23	12	12	2	8	6	9	3	11	18	126	6,1
C11.0 Nasopharynx, Dach	0	0	0	1	1	0	1	1	0	0	0	4	0,2
C11.1 Nasopharynx, Hinterwand (einschl. Rachentonsille)	0	0	1	0	0	3	1	0	1	1	1	8	0,4
C11.2 Nasopharynx, Seitenwand (einschl. Rosenmüller-Grube)	0	0	0	0	0	0	2	0	1	1	0	4	0,2
C11.3 Nasopharynx, Vorderwand (einschl. Choanen und nasopharyngeale Fläche des Gaumens)	1	0	0	0	0	0	0	0	0	0	2	3	0,1
C11.8 Nasopharynx (mehrere Teilbereiche überlappend)	2	4	4	3	1	0	4	1	0	0	0	19	0,9
C11.9 Nasopharynx o.n.A.	7	6	3	5	5	8	3	3	1	2	5	48	2,3
C12.9 Sinus piriformis	17	10	11	17	15	16	10	20	23	22	23	184	8,9
C13.0 Postkrikoidbezirk, Krikoid o.n.A.	1	0	1	2	4	4	2	2	1	2	1	20	1,0
C13.1 Aryepiglottische Falte (ohne Larynx-Anteil, =C32.1)	2	2	12	4	4	1	6	4	6	8	7	56	2,7
C13.2 Hypopharynxhinterwand	4	5	7	4	5	10	9	11	11	11	10	87	4,2
C13.8 Hypopharynx (mehrere Teilbereiche überlappend)	15	31	12	15	30	19	11	23	14	17	15	202	9,8
C13.9 Hypopharynx o.n.A.	11	24	17	12	16	23	15	12	9	10	11	160	7,7
C14.0 Pharynx o.n.A., Retropharynx	1	6	1	0	1	0	3	1	0	2	0	15	0,7
C14.1 Laryngopharynx	2	4	1	0	0	0	0	0	0	2	0	9	0,4
Summe	175	204	206	164	206	223	173	190	140	180	207	2068	100,0

10.7 Histologische Befunde bei allen neuerkrankten Patienten in M-V in den Jahren 2008 – 2018

Tab. 10.7. C09-C14: Histologische Befunde bei neuerkrankten Patienten (Behandlungsort)

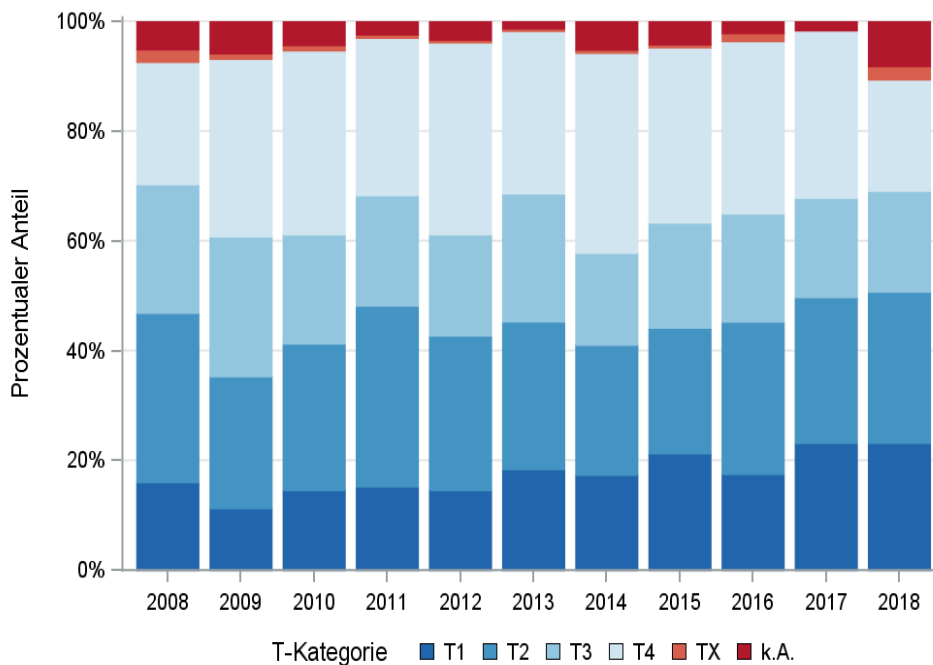
Histologiecode	Anzahl	Prozent
8070/3: Plattenepithelkarzinom o.n.A.	928	45,1
8071/3: Verhornendes Plattenepithelkarzinom o.n.A.	680	33,
8072/3: Großzelliges nichtverhornendes Plattenepithelkarzinom o.n.A.	337	16,4
8082/3: Lymphoepitheliales Karzinom	20	1,
8083/3: Basaloides Plattenepithelkarzinom	20	1,
8085/3: Plattenepithelkarzinom, HPV-positiv	8	0,4
8052/3: Nichtinvasives papilläres Plattenepithelkarzinom	5	0,2
8074/3: Spindelzelliges Plattenepithelkarzinom	4	0,2
8086/3: Plattenepithelkarzinom, HPV-negativ	4	0,2
8073/3: Kleinzelliges nichtverhornendes Plattenepithelkarzinom	2	0,1
8051/3: Verruköses Karzinom o.n.A.	1	0,1
8075/3: Adenoides Plattenepithelkarzinom	1	0,1
8078/3: Plattenepithelkarzinom mit Hornbildung	1	0,1
8084/3: Klarzelliges Plattenepithelkarzinom	1	0,1
8121/3: Schneider-Karzinom	1	0,1
8144/3: Adenokarzinom vom intestinalen Typ	1	0,1
Plattenepithelkarzinome	2014	97,8
8010/3: Karzinom o.n.A.	15	0,7
8020/3: Undifferenziertes Karzinom o.n.A.	6	0,3
8041/3: Kleinzelliges Karzinom o.n.A.	2	0,1
8012/3: Großzelliges Karzinom o.n.A.	1	0,1
8021/3: Anaplastisches Karzinom o.n.A.	1	0,1
8022/3: Pleomorphes Karzinom	1	0,1
8032/3: Spindelzellkarzinom o.n.A.	1	0,1
8033/3: Pseudosarkomatöses Karzinom	1	0,1
epitheliale Neoplasien o.n.A.	28	1,4
8140/3: Adenokarzinom o.n.A.	8	0,4
8560/3: Adenosquamöses Karzinom	3	0,2
8200/3: Adenoid-zystisches Karzinom	2	0,1
8230/3: Solides Karzinom o.n.A.	2	0,1
8430/3: Mukoepidermoid-Karzinom	2	0,1
8982/3: Malignes Myoepitheliom	1	0,1
Adenokarzinome	18	0,9

10.8 Tumorgröße und Ausdehnung (TNM)

Tab. 10.8. C09-C14: Absolute Anzahl der Neuerkrankungen klassifiziert nach der Tumorgröße in Bezug zu der Auflage der TNM-Klassifikation (Behandlungsort)

Tumorgröße (T)	TNM Auflage 6		TNM Auflage 7		TNM Auflage 8		k.A. zur TNM Auflage		Summe	
	Anzahl	%	Anzahl	%	Anzahl	%	Anzahl*	%	Anzahl	%
T1	54	15,7	223	17,1	83	25,5	-	-	360	17,5
T2	100	29,0	369	28,2	87	26,8	-	-	556	27,0
T3	91	26,4	266	20,4	62	19,1	-	-	419	20,3
T4	95	27,5	438	33,5	88	27,1	-	-	621	30,1
TX	5	1,4	10	0,8	5	1,5	-	-	20	1,0
k.A.	0	0	1	0,1	0	0	83	100,0	84	4,1
Summe	345	100,0	1307	100,0	325	100,0	83	100,0	2060	100,0

*In einzelnen Fällen wurden Angaben zur Tumorgröße ohne Bezug zu einer TNM Auflage gemacht. Diese Angaben wurden in die Kategorie k.A. aufgenommen.



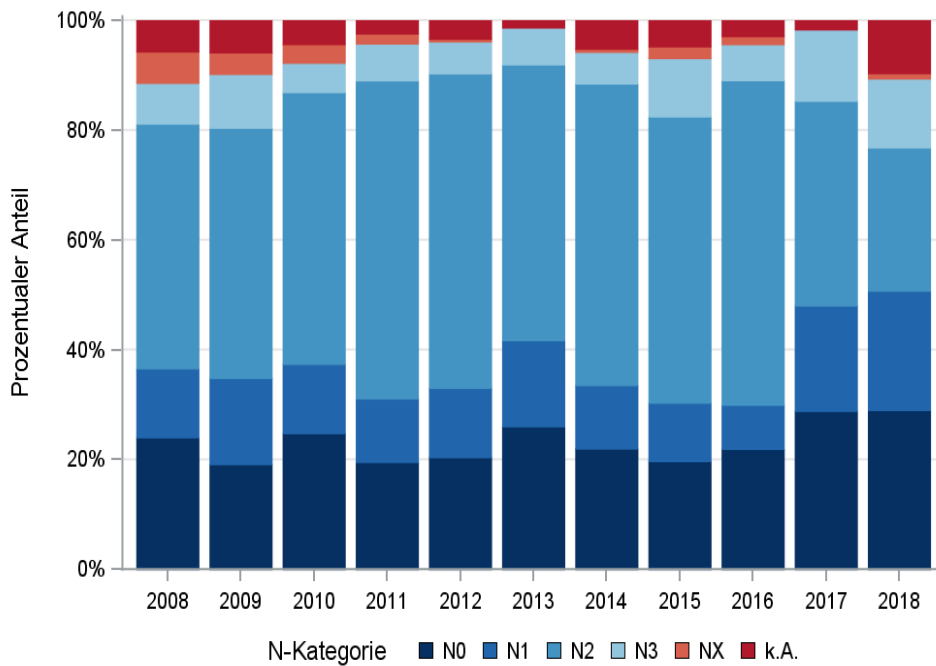
© KKR-MV 2020

Abb. 10.5. C09-C14: Prozentualer Anteil der Neuerkrankungen nach der Tumorgröße im Diagnosezeitraum 2008 bis 2018

Tab. 10.9. C09-C14: Absolute Anzahl der Neuerkrankungen mit bzw. ohne Befall der regionären Lymphknoten in Bezug zu der Auflage der TNM-Klassifikation (Behandlungsort)

N-Kategorie	TNM Auflage 6		TNM Auflage 7		TNM Auflage 8		k.A. zur TNM Auflage		Summe	
	Anzahl	%	Anzahl	%	Anzahl	%	Anzahl*	%	Anzahl	%
N0	79	22,9	301	23,0	100	30,8	-	-	480	23,3
N1	49	14,2	168	12,9	73	22,5	-	-	290	14,1
N2	165	47,8	726	55,5	101	31,1	-	-	992	48,2
N3	33	9,6	91	7,0	46	14,2	-	-	170	8,3
NX	19	5,5	17	1,3	2	0,6	-	-	38	1,8
k.A.	0	0	4	0,3	3	0,9	83	100,0	90	4,4
Summe	345	100,0	1307	100,0	325	100,0	83	100,0	2060	100,0

*In einzelnen Fällen wurden Angaben zur N-Kategorie ohne Bezug zu einer TNM Auflage gemacht. Diese Angaben wurden in die Kategorie k.A. aufgenommen.



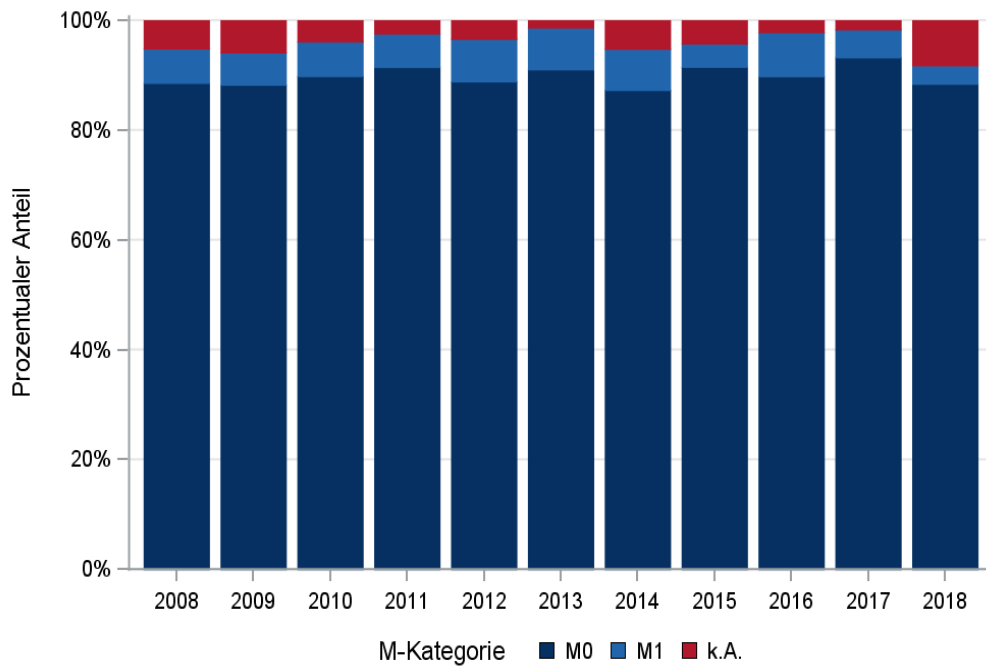
© KKR-MV 2020

Abb. 10.6. C09-C14: Prozentualer Anteil der Neuerkrankungen mit und ohne Befall der regionären Lymphknoten zum Zeitpunkt der Erstdiagnose im Diagnosezeitraum 2008 bis 2018

Tab. 10.10. C09-C14: Absolute Anzahl der Neuerkrankungen mit Fernmetastasierung in Bezug zu der Auflage der TNM-Klassifikation (Behandlungsort)

M-Kategorie	TNM Auflage 6		TNM Auflage 7		TNM Auflage 8		k.A. zur TNM Auflage		Summe	
	Anzahl	%	Anzahl	%	Anzahl	%	Anzahl*	%	Anzahl	%
M0	323	93,6	1219	93,3	308	94,8	-	-	1850	89,8
M1	22	6,4	88	6,7	17	5,2	-	-	127	6,2
k.A.	0	0	0	0	0	0	83	100,0	83	4,0
Summe	345	100,0	1307	100,0	325	100,0	83	100,0	2060	100,0

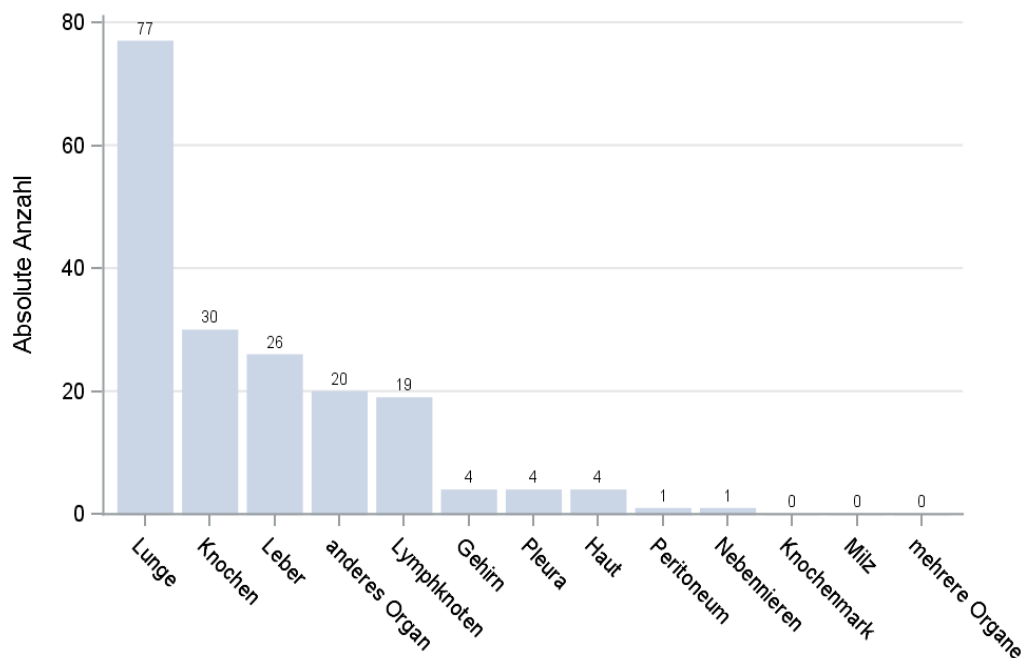
*In einzelnen Fällen wurden Angaben zur M-Kategorie ohne Bezug zu einer TNM Auflage gemacht. Diese Angaben wurden in die Kategorie k.A. aufgenommen.



© KKR-MV 2020

Abb. 10.7. C09-C14: Prozentualer Anteil der primären Fernmetastasierung im Diagnosezeitraum 2008 bis 2018

10.9 Lokalisation der Fernmetastasen



© KKR-MV 2020

Abb. 10.8. C09-C14: Lokalisation der Fernmetastasen bei Neuerkrankungen im Diagnosezeitraum 2008 bis 2018

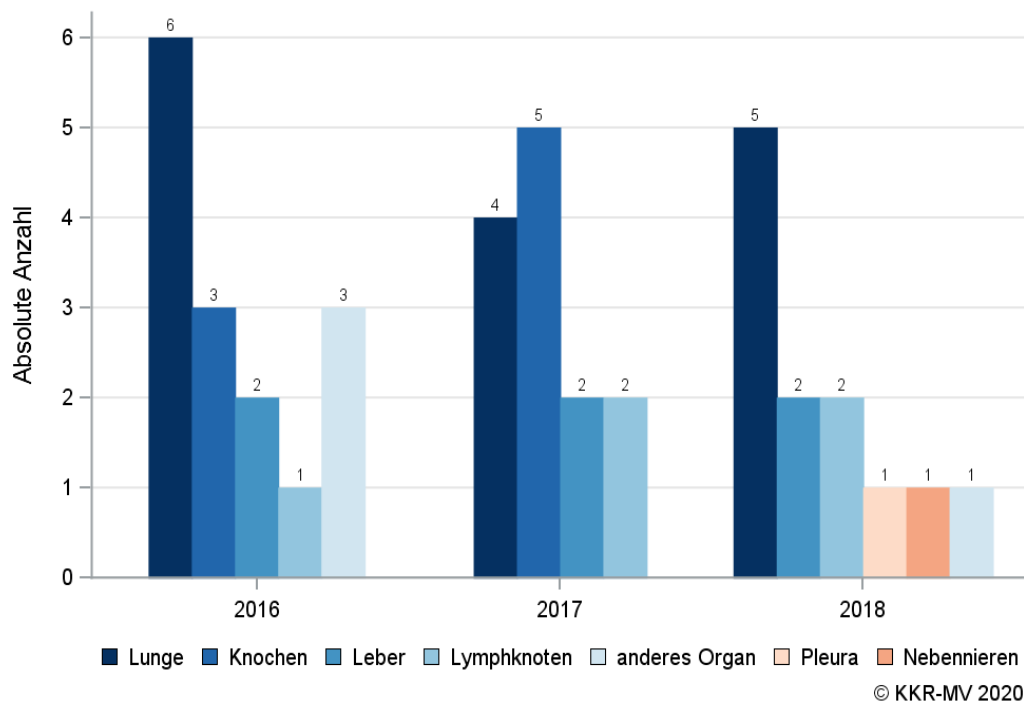
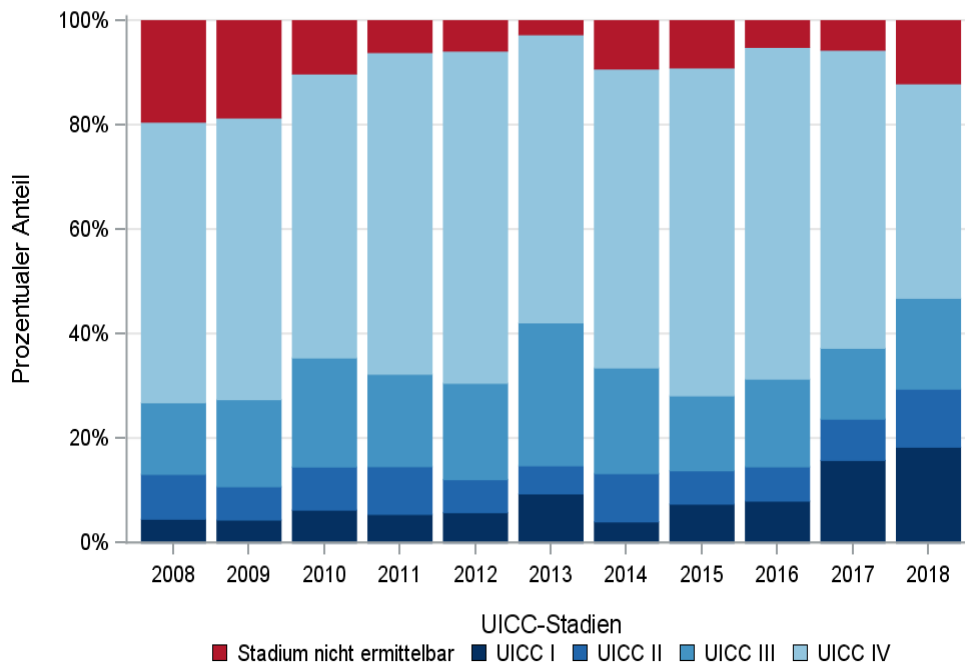


Abb. 10.9. C09-C14: Lokalisation der Fernmetastasen bei Neuerkrankungen für die Diagnosejahre 2016 bis 2018

10.10 Tumorstadien nach UICC

Tab. 10.11. C09-C14: Primäre UICC-Stadien (Behandlungsort)

Jahre	UICC I		UICC II		UICC III		UICC IV		Stadium nicht ermittelbar		Summe	
	Anzahl	%	Anzahl	%	Anzahl	%	Anzahl	%	Anzahl	%	Anzahl	%
2008	8	4,6	15	8,6	24	13,7	94	53,7	34	19,4	175	100,0
2009	9	4,4	13	6,4	34	16,7	110	53,9	38	18,6	204	100,0
2010	13	6,3	17	8,3	43	20,9	112	54,4	21	10,2	206	100,0
2011	9	5,5	15	9,1	29	17,7	101	61,6	10	6,1	164	100,0
2012	12	5,8	13	6,3	38	18,4	131	63,6	12	5,8	206	100,0
2013	21	9,4	12	5,4	61	27,4	123	55,2	6	2,7	223	100,0
2014	7	4,0	16	9,2	35	20,2	99	57,2	16	9,2	173	100,0
2015	14	7,4	12	6,4	27	14,4	118	62,8	17	9,0	188	100,0
2016	11	8,0	9	6,6	23	16,8	87	63,5	7	5,1	137	100,0
2017	28	15,8	14	7,9	24	13,6	101	57,1	10	5,6	177	100,0
2018	38	18,4	23	11,1	36	17,4	85	41,1	25	12,1	207	100,0
Summe	170	8,3	159	7,7	374	18,2	1161	56,4	196	9,5	2060	100,0



© KKR-MV 2020

Abb. 10.10. C09-C14: Prozentuale Anteile der UICC-Tumorstadien in den Diagnosejahren 2008 bis 2018

10.11 Dokumentierte Therapie bis max. 12 Monate nach Diagnosestellung

10.11.1 Therapiekombinationen, Stellung der Therapie und Intention der dokumentierten Therapien

Tab. 10.12. C09-C14: Therapiekombinationen (Operation, Strahlentherapie, systemische Therapie) pro Diagnosejahr (Behandlungsort)

Therapiekombinationen	2008	2009	2010	2011	2012	2013	2014	2015	2016	2017	2018	Summe
Alleinige Operation	37	25	25	24	25	29	22	23	16	37	54	317
Alleinige systemische Therapie	6	2	5	2	1	4	3	4	1	0	7	35
Alleinige Strahlentherapie	9	18	26	16	11	26	22	23	16	31	19	217
Operation und systemische Therapie, keine Strahlentherapie	4	5	4	1	2	5	3	2	1	2	2	31
Operation und Strahlentherapie, keine systemische Therapie	33	44	47	31	44	35	33	24	21	34	40	386
Systemische Therapie und Strahlentherapie, keine Operation	31	38	37	32	68	45	50	56	38	38	46	479
Operation und systemische Therapie und Strahlentherapie	41	45	48	38	39	55	24	44	31	26	15	406
Keine Operation, systemische Therapie oder Strahlentherapie	14	27	14	20	16	24	16	12	13	9	24	189
Summe	175	204	206	164	206	223	173	188	137	177	207	2060

Tab. 10.13. C09-C14: Therapiekombinationen (Operation, Strahlentherapie, systemische Therapie) in Abhängigkeit von dem UICC-Stadium (Behandlungsort)

Therapiekombinationen	UICC I	UICC II	UICC III	UICC IV	Stadium nicht ermittelbar	Summe
Alleinige Operation	102	62	43	83	27	317
Alleinige systemische Therapie	0	0	12	18	5	35
Alleinige Strahlentherapie	2	14	25	157	19	217
Operation und systemische Therapie, keine Strahlentherapie	5	3	6	16	1	31
Operation und Strahlentherapie, keine systemische Therapie	39	53	115	158	21	386
Systemische Therapie und Strahlentherapie, keine Operation	8	17	78	339	37	479
Operation, Strahlentherapie und Systemische Therapie	8	7	70	302	19	406
Keine Operation, systemische Therapie oder Strahlentherapie	6	3	25	88	67	189
Summe	170	159	374	1161	196	2060

Tab. 10.14a. C09-C14: Stellung der Strahlentherapie zur operativen Therapie im ersten Jahr der Erkrankung (adjuvant/neoadjuvant, Behandlungsort)

Stellung der Strahlentherapie zur operativen Therapie	2008	2009	2010	2011	2012	2013	2014	2015	2016	2017	2018	Summe
Adjuvante (postoperative) Strahlentherapie	45	60	70	42	57	58	42	51	48	55	48	576
Therapie ohne Bezug zu einer operativen Therapie	0	0	1	3	2	5	0	4	2	4	7	28
Intraoperative Strahlentherapie	0	1	2	0	0	1	0	0	0	0	0	4
Neoadjuvante (präoperative) Strahlentherapie	1	0	0	0	0	1	1	0	0	1	0	4
unbekannt	28	28	22	24	24	25	14	13	2	0	0	180
Summe	74	89	95	69	83	90	57	68	52	60	55	792

Tab. 10.14b. C09-C14: Stellung der systemischen Therapie zur operativen Therapie im ersten Jahr der Erkrankung (adjuvant/neoadjuvant, Behandlungsort)

Stellung der systemischen Therapie zur operativen	2008	2009	2010	2011	2012	2013	2014	2015	2016	2017	2018	Summe
Adjuvante (postoperative) Therapie	29	37	43	30	27	35	21	36	25	22	15	320
Therapie ohne Bezug zu einer operativen Therapie	7	5	2	1	1	6	3	3	2	1	2	33
Neoadjuvante (präoperative) Therapie	1	0	1	2	4	6	0	1	0	0	0	15
Intraoperative Therapie	0	2	2	0	0	0	0	0	0	0	0	4
unbekannt	8	6	4	6	9	13	3	6	5	5	0	65
Summe	45	50	52	39	41	60	27	46	32	28	17	437

Tab. 10.15a. C09-C14: Intention bei der ersten Operation (Behandlungsort)

Intention der Operation	2008	2009	2010	2011	2012	2013	2014	2015	2016	2017	2018	Summe
Kurativ	95	96	107	75	92	97	57	75	47	80	106	927
Palliativ bzw. symptomatisch	2	4	1	0	2	2	3	0	0	1	0	15
Sonstige/Unbekannt/Keine Angabe	18	19	16	19	16	25	22	18	22	18	5	198
Summe	115	119	124	94	110	124	82	93	69	99	111	1140

Tab. 10.15b. C09-C14: Intention der initialen Bestrahlung (Behandlungsort)

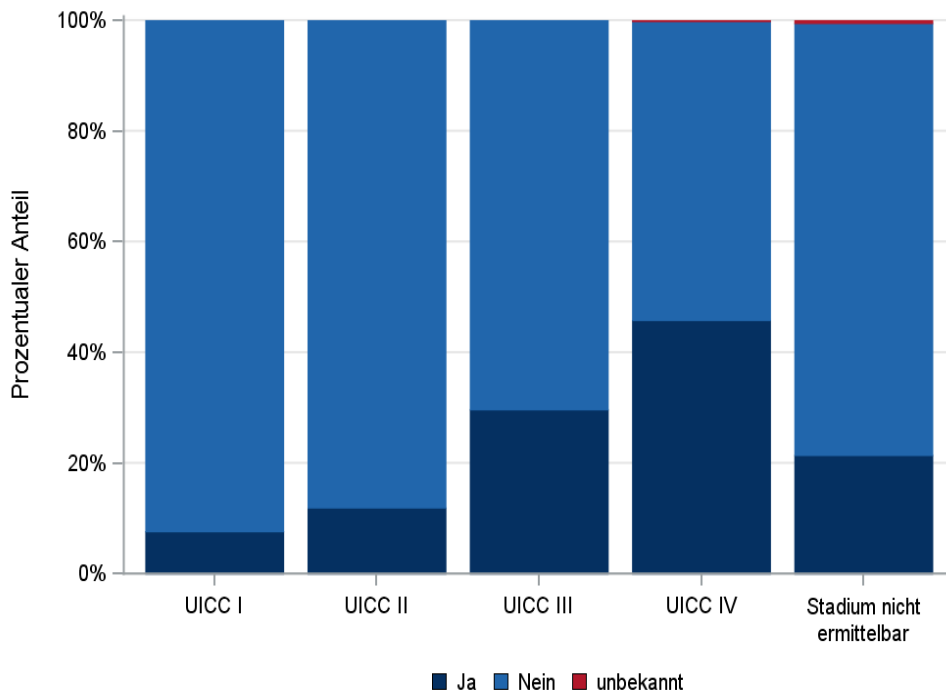
Intention der Bestrahlung	2008	2009	2010	2011	2012	2013	2014	2015	2016	2017	2018	Summe
Kurativ	48	67	96	57	75	80	84	104	77	84	107	879
Palliativ bzw. symptomatisch	4	6	7	6	14	15	13	16	17	27	10	135
Sonstige/Unbekannt/Keine Angabe	62	72	55	54	73	66	32	27	12	18	3	474
Summe	114	145	158	117	162	161	129	147	106	129	120	1488

Tab. 10.15c. C09-C14: Intention bei der ersten systemischen Therapie (Behandlungsort)

Intention der systemischen Therapie	2008	2009	2010	2011	2012	2013	2014	2015	2016	2017	2018	Summe
Kurativ	53	56	63	47	65	62	52	77	51	44	60	630
Palliativ bzw. symptomatisch	7	16	13	7	18	16	15	14	10	11	9	136
Sonstige/Unbekannt/Keine Angabe	22	18	18	19	27	31	13	15	10	11	1	185
Summe	82	90	94	73	110	109	80	106	71	66	70	951

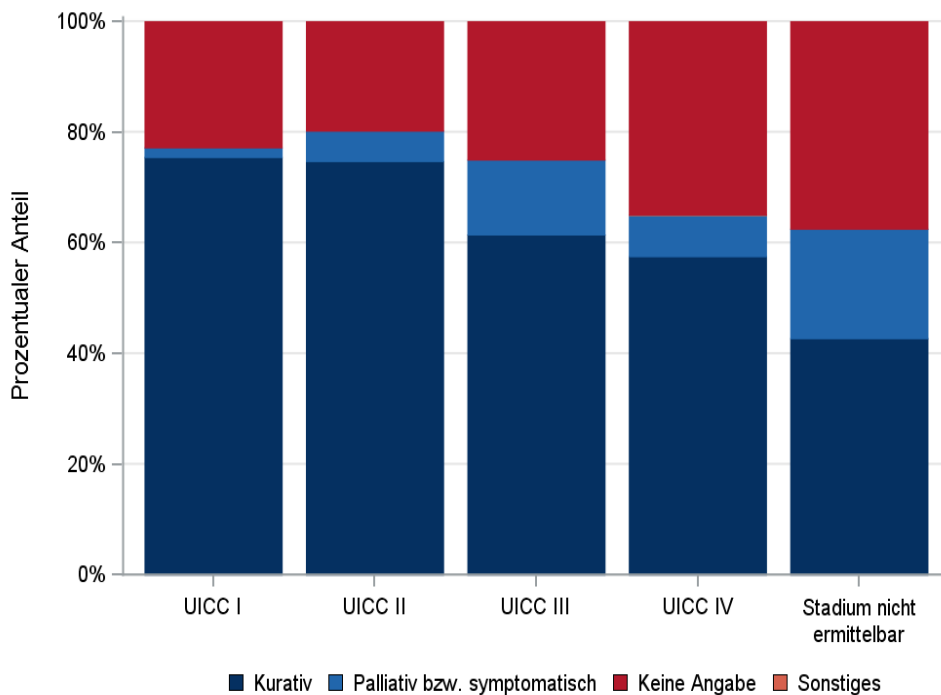
Tab. 10.16. C09-C14: Zeitraum zwischen Diagnose und Beginn der ersten Therapie nach Therapieart (Angaben in Tagen, Behandlungsort)

Therapie	Anzahl	Median	Minimum	Maximum
Diagnose und erste Operation	1140	14	0	365
Diagnose und erste Bestrahlung	1488	53	0	360
Diagnose und erste system. Therapie	951	53	0	365



© KKR-MV 2020

Abb.10.11. C09-C14: Durchführung der Radiochemotherapie nach UICC-Klassifikation



© KKR-MV 2020

Abb.10.12. C09-C14: Intention der ersten Bestrahlung nach UICC-Klassifikation

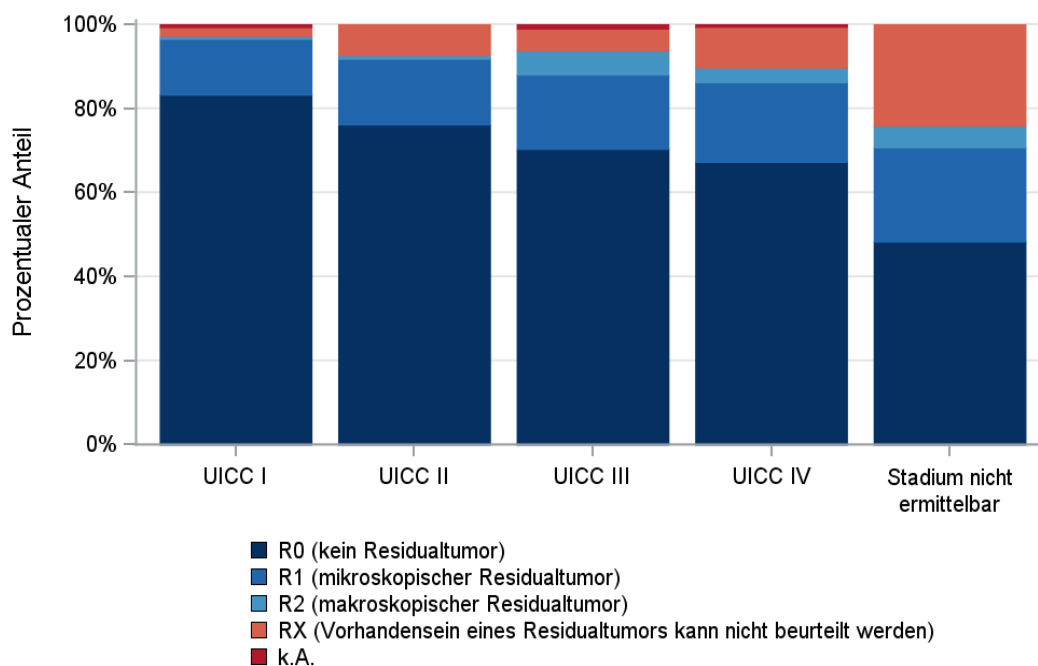
10.11.2 Dokumentierte tumorspezifische Operation bis max.12 Monate nach Diagnosestellung

Tab. 10.17. C09-C14: Dokumentierte tumorspezifische Operation nach UICC (Behandlungsort)

Operationen	UICC I	UICC II	UICC III	UICC IV	Stadium nicht ermittelbar	Summe	
						Anzahl	%
Tumorresektion	64	32	40	86	23	245	21,5
Tumor- und Lymphknotenresektion	79	77	152	399	35	742	65,1
Lymphknotenresektion	0	2	9	8	1	20	1,8
sonstige OP	3	1	2	1	2	9	0,8
keine Angabe	8	13	31	65	7	124	10,9
Summe	154	125	234	559	68	1140	100,0

Tab. 10.18. C09-C14: Residualklassifikation nach Tumorresektion im Diagnosezeitraum 2008-2018

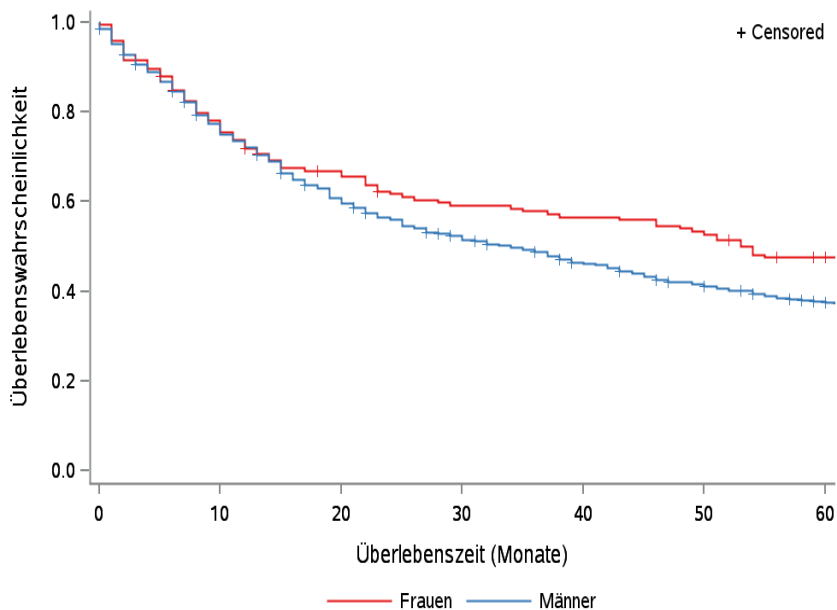
R-Klassifikation	UICC I	UICC II	UICC III	UICC IV	Stadium nicht ermittelbar	Summe	
						Anzahl	%
R0 (kein Residualtumor)	119	83	135	326	28	691	70,0
R1 (mikroskopischer Residualtumor)	19	17	34	92	13	175	17,7
R2 (makroskopischer Residualtumor)	1	1	11	17	3	33	3,3
RX (Vorhandensein eines Residualtumors kann nicht beurteilt werden)	3	8	10	47	14	82	8,3
keine Angabe	1	0	2	3	0	6	0,6
Summe	143	109	192	485	58	987	100,0



© KKR-MV 2020

Abb. 10.13. C09-C14: Residualklassifikation nach Tumorresektion in Abhängigkeit von UICC-Tumorstadium im Diagnosezeitraum 2008 bis 2018

10.12 Überlebensanalysen bei den in den Jahren 2008 – 2013 primär diagnostizierten Patienten

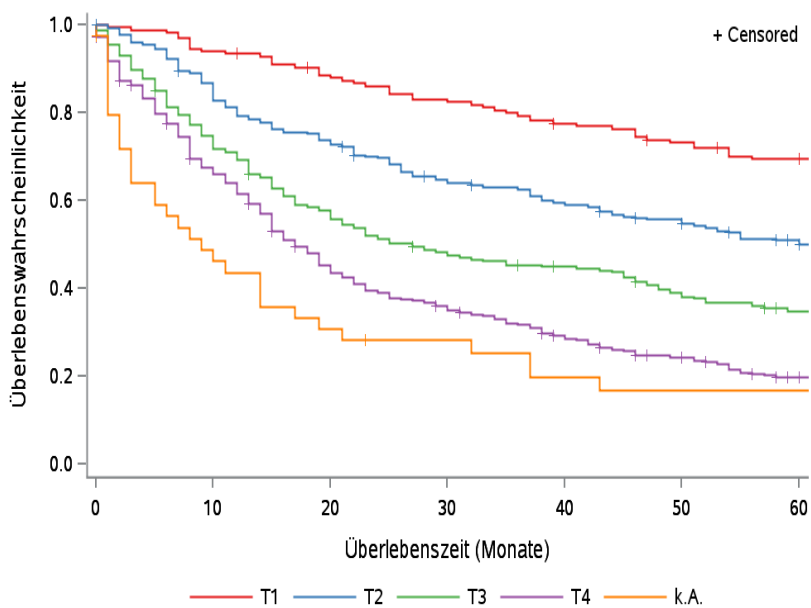


© KKR-MV 2020

Abb.10.14. C09-C14: Wahrscheinlichkeit des Überlebens (Kaplan-Meier-Analyse) nach Geschlecht im Diagnosezeitraum von 2008 bis 2013 (Wohnort). Kaplan-Meier-Kurven werden für Kategorien mit weniger als 10 Neuerkrankungen nicht dargestellt.

Tab. 10.19. C09-C14: Anzahl der unter Risiko stehenden Neuerkrankungen (Monate nach Diagnose)

Geschlecht	0 Monate	20 Monate	40 Monate	60 Monate
Männer	953	571	424	329
Frauen	166	105	88	71

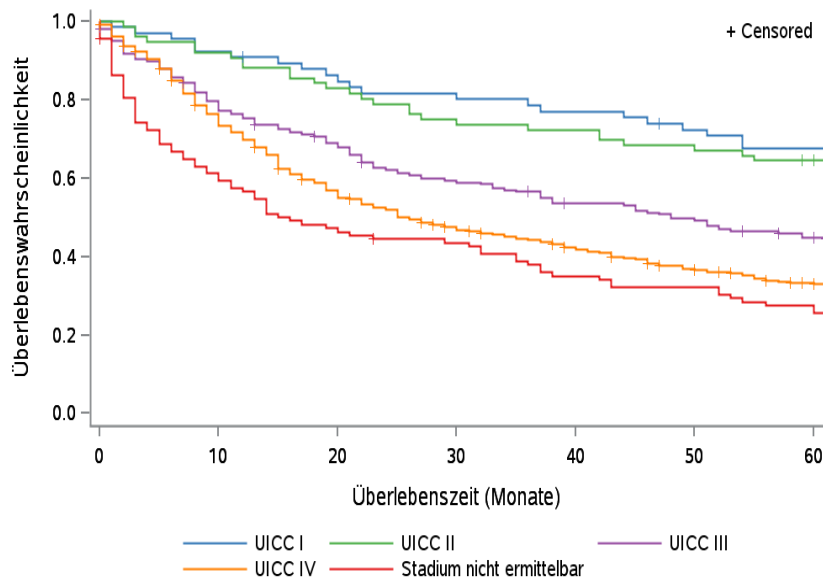


© KKR-MV 2020

Abb.10.15. C09-C14: Wahrscheinlichkeit des Überlebens (Kaplan-Meier-Analyse) nach Tumorstadium im Diagnosezeitraum von 2008 bis 2013 (Wohnort). Kaplan-Meier-Kurven werden für Kategorien mit weniger als 10 Neuerkrankungen nicht dargestellt.

Tab.10.20. C09-C14: Anzahl der unter Risiko stehenden Neuerkrankungen nach Tumorgröße (Monate nach Diagnose)

T-Kategorie	0 Monate	20 Monate	40 Monate	60 Monate
T1	166	145	126	111
T2	309	226	178	147
T3	246	140	106	79
T4	349	151	94	56
TX	9	2	1	1
k.A.	40	12	7	6

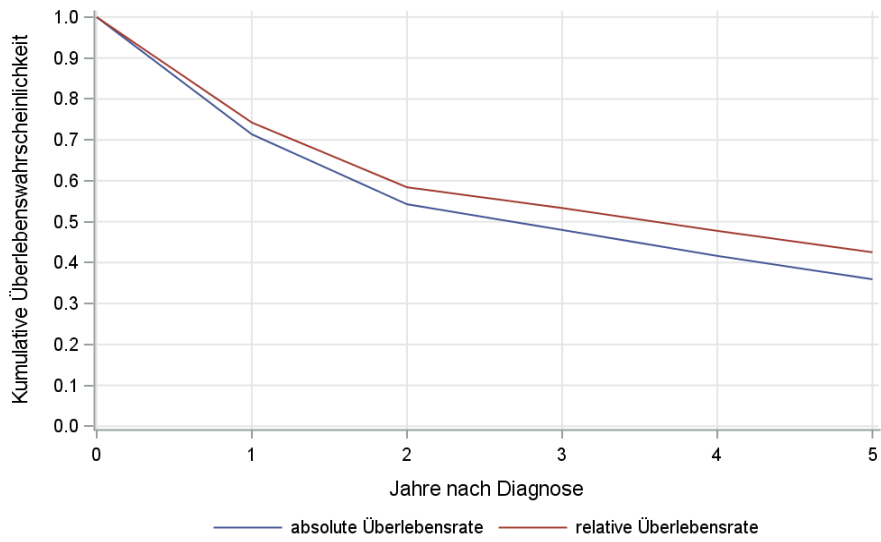


© KKR-MV 2020

Abb.10.16. C09-C14: Wahrscheinlichkeit des Überlebens (Kaplan-Meier-Analyse) nach UICC-Tumorstadium im Diagnosezeitraum von 2008 bis 2013 (Wohnort). Kaplan-Meier-Kurven werden für Kategorien mit weniger als 10 Neuerkrankungen nicht dargestellt.

Tab. 10.21. C09-C14: Anzahl der unter Risiko stehenden Neuerkrankungen nach UICC-Stadium (Monate nach Diagnose)

UICC-Stadium	0 Monate	20 Monate	40 Monate	60 Monate
UICC I	66	56	50	43
UICC II	76	63	55	48
UICC III	217	146	111	91
UICC IV	650	360	259	189
Stadium nicht ermittelbar	110	51	37	29

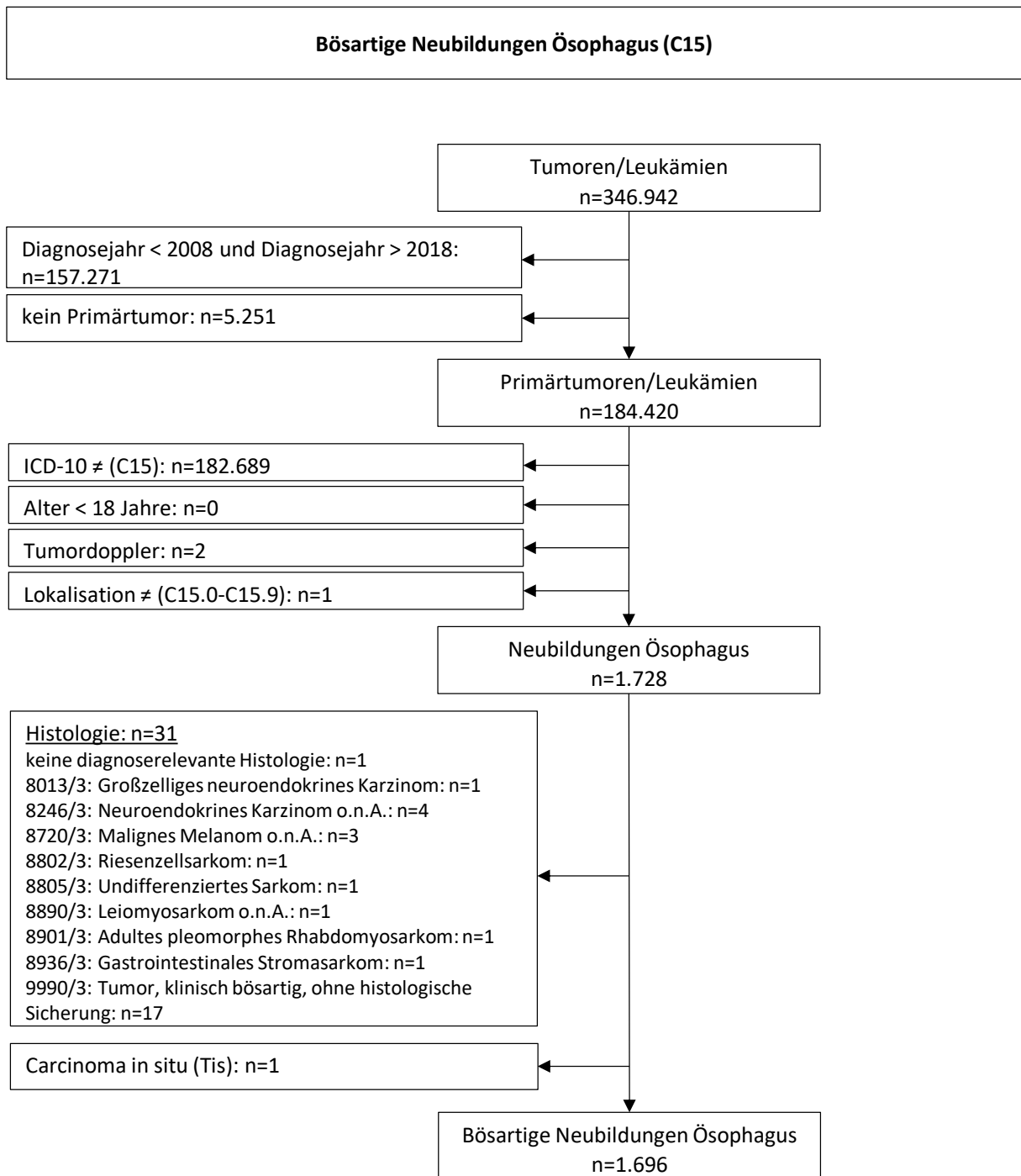


© KKR-MV 2020

Abb. 10.17. C09-C14: Absolutes und relatives Überleben im Diagnosezeitraum 2008 bis 2013 (Wohnort, Alter > 19)

11 Ösophagus (C15)

11.1 Consort-Statement: Darstellung der Auswertepopulation

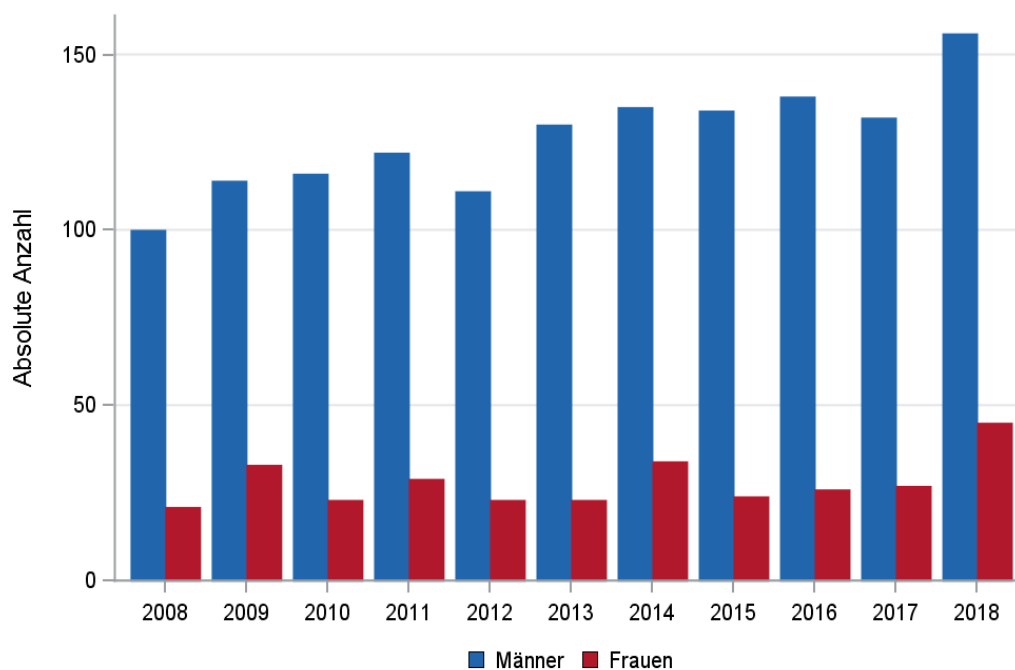


*Erläuterungen zu den Ausschlüssen finden Sie im Kapitel 4 (Methode)

11.2 Absolute Anzahl der erfassten Neuerkrankungen in M-V in den Jahren 2008 – 2018 nach Geschlecht (Behandlungsort, Wohnort)

Tab. 11.1. C15: Absolute Anzahl der Neuerkrankungen nach Geschlecht (Behandlungsort)

Diagnosejahr	Männer		Frauen		Summe
	Anzahl	%	Anzahl	%	
2008	100	82,6	21	17,4	121
2009	114	77,6	33	22,4	147
2010	116	83,5	23	16,5	139
2011	122	80,8	29	19,2	151
2012	111	82,8	23	17,2	134
2013	130	85,0	23	15,0	153
2014	135	79,9	34	20,1	169
2015	134	84,8	24	15,2	158
2016	138	84,1	26	15,9	164
2017	132	83,0	27	17,0	159
2018	156	77,6	45	22,4	201
Summe	1388	81,8	308	18,2	1696

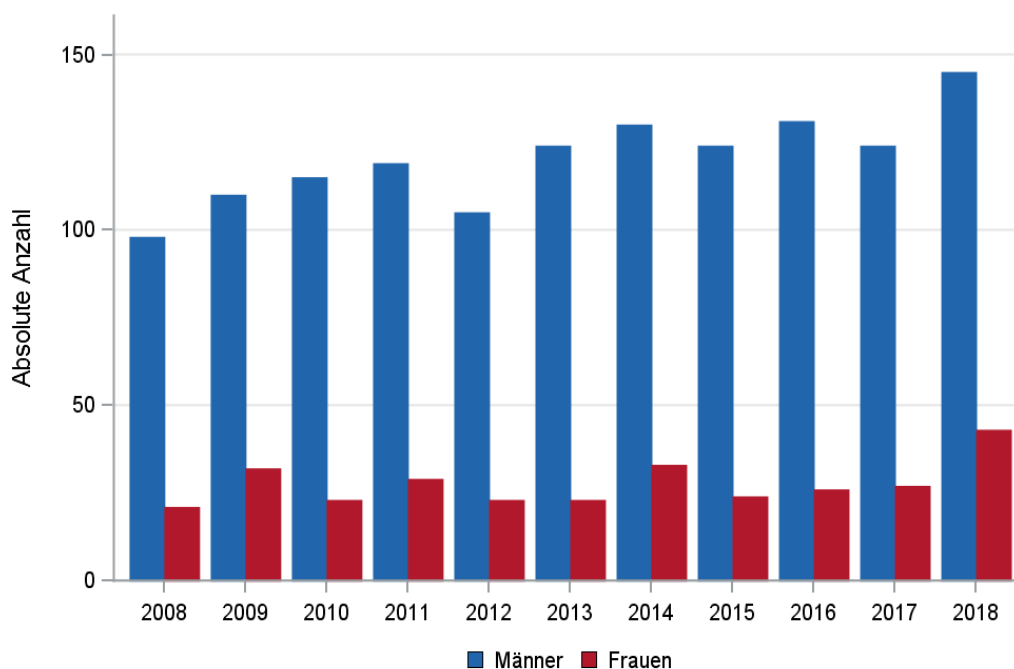


© KKR-MV 2020

Abb. 11.1. C15: Absolute Anzahl der Neuerkrankungen nach Geschlecht im Diagnosezeitraum 2008 bis 2018 (Behandlungsort)

Tab. 11.2. C15: Absolute Anzahl der Neuerkrankungen nach Geschlecht (Wohnort)

Diagnosejahr	Männer		Frauen		Summe
	Anzahl	%	Anzahl	%	
2008	98	82,4	21	17,6	119
2009	110	77,5	32	22,5	142
2010	115	83,3	23	16,7	138
2011	119	80,4	29	19,6	148
2012	105	82,0	23	18,0	128
2013	124	84,4	23	15,6	147
2014	130	79,8	33	20,2	163
2015	124	83,8	24	16,2	148
2016	131	83,4	26	16,6	157
2017	124	82,1	27	17,9	151
2018	145	77,1	43	22,9	188
Summe	1325	81,3	304	18,7	1629



© KKR-MV 2020

Abb. 11.2. C15: Absolute Anzahl der Neuerkrankungen nach Geschlecht im Diagnosezeitraum 2008 bis 2018 (Wohnort)

11.3 Absolute Anzahl der erfassten Neuerkrankungen in M-V in den Jahren 2008 – 2018 nach Landkreisen (Wohnort)

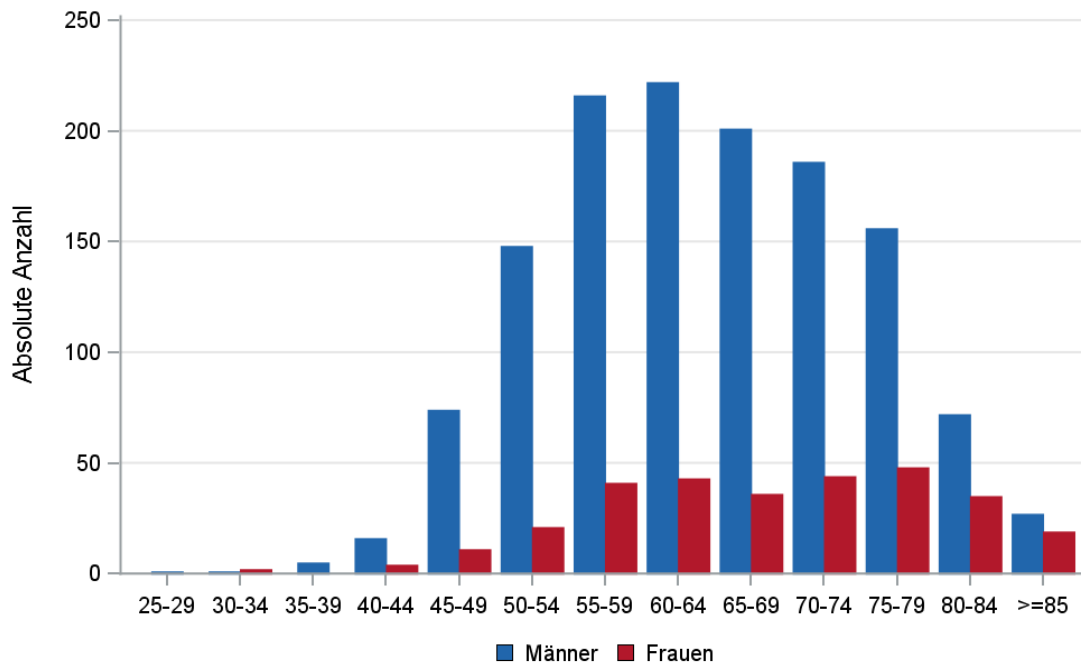
Tab. 11.3. C15: Absolute Anzahl und prozentualer Anteil der Neuerkrankungen nach Landkreisen

Landkreis	2008		2009		2010		2011		2012		2013		2014		2015		2016		2017		2018		Summe	
	Anzahl	%	Anzahl	%	Anzahl	%	Anzahl	%	Anzahl	%	Anzahl	%	Anzahl	%	Anzahl	%	Anzahl	%	Anzahl	%	Anzahl	%	Anzahl	%
Landkreis Rostock	21	17,6	11	7,7	17	12,3	19	12,8	8	6,3	27	18,4	25	15,3	27	18,2	31	19,7	17	11,3	28	14,9	231	14,2
Ludwigslust-Parchim	11	9,2	11	7,7	10	7,2	12	8,1	22	17,2	12	8,2	17	10,4	18	12,2	21	13,4	13	8,6	21	11,2	168	10,3
Mecklenburgische Seenplatte	19	16,0	31	21,8	15	10,9	23	15,5	25	19,5	22	15,0	25	15,3	24	16,2	8	5,1	27	17,9	26	13,8	245	15,0
Nordwestmecklenburg	8	6,7	8	5,6	8	5,8	15	10,1	8	6,3	18	12,2	9	5,5	13	8,8	16	10,2	11	7,3	11	5,9	125	7,7
Rostock	20	16,8	20	14,1	18	13,0	16	10,8	15	11,7	13	8,8	23	14,1	17	11,5	24	15,3	24	15,9	26	13,8	216	13,3
Schwerin	3	2,5	7	4,9	7	5,1	9	6,1	11	8,6	8	5,4	16	9,8	10	6,8	13	8,3	5	3,3	15	8,0	104	6,4
Vorpommern-Greifswald	16	13,4	25	17,6	35	25,4	28	18,9	14	10,9	27	18,4	28	17,2	19	12,8	28	17,8	26	17,2	27	14,4	273	16,8
Vorpommern-Rügen	19	16,0	28	19,7	28	20,3	26	17,6	25	19,5	20	13,6	20	12,3	20	13,5	15	9,6	28	18,5	34	18,1	263	16,1
nicht zuordenbar	2	1,7	1	0,7	0	0	0	0	0	0	0	0	0	0	0	0	1	0,6	0	0	0	0	4	0,2
Summe	119	100,0	142	100,0	138	100,0	148	100,0	128	100,0	147	100,0	163	100,0	148	100,0	157	100,0	151	100,0	188	100,0	1629	100,0

11.4 Rohe und standardisierte Neuerkrankungsraten pro 100.000 Einwohner in den Jahren 2008-2018 (Wohnort)

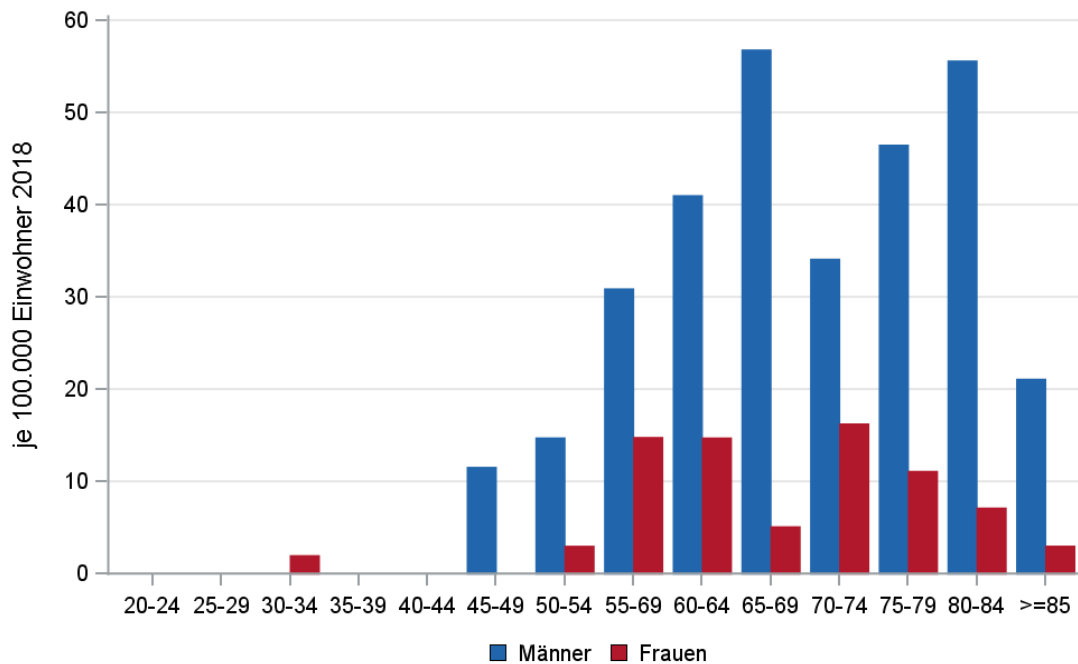
Tab. 11.4. C15: Neuerkrankungsrate/100.000 Einwohner (Alter > 19)

Diagnosejahr	Männer			Frauen		
	absolute Anzahl der Neuerkrankungen	rohe Rate in M-V	altersstandardisierte Rate	absolute Anzahl der Neuerkrankungen	rohe Rate in M-V	altersstandardisierte Rate
2008	98	14,2	12,0	21	2,9	2,2
2009	110	15,9	13,3	32	4,5	3,5
2010	115	16,7	14,0	23	3,2	2,4
2011	119	17,7	14,3	29	4,1	2,7
2012	105	15,8	12,0	23	3,3	2,2
2013	124	18,7	14,5	23	3,3	1,9
2014	130	19,7	14,5	33	4,8	3,2
2015	124	18,8	13,8	24	3,5	1,9
2016	131	19,8	14,8	26	3,8	2,7
2017	124	18,9	13,9	27	3,9	2,4
2018	145	22,1	15,1	43	6,3	4,2
2008-2018	1325	18,0	13,8	304	4,0	2,7



© KKR-MV 2020

Abb. 11.3. C15: Absolute Anzahl der Neuerkrankungen aufgelistet in 5-Jahres-Altersgruppen und nach Geschlecht im Diagnosezeitraum 2008 bis 2018 (Wohnort)



© KKR-MV 2020

Abb. 11.4. C15: Altersspezifische Rate der Neuerkrankungen je 100.000 Einwohner (Diagnosejahr 2018) nach 5-Jahres-Altersgruppen und Geschlecht (Wohnort)

11.5 Alter der in den Jahren 2008 - 2018 in M-V neuerkrankten Patienten (Behandlungsort)

Tab. 11.5. C15: Erkrankungsalter (Behandlungsort)

Diagnosejahr	Männer				Frauen			
	Anzahl	Median	Minimum	Maximum	Anzahl	Median	Minimum	Maximum
2008	100	65	41	87	21	68	46	92
2009	114	63	44	86	33	68	49	86
2010	116	62	40	88	23	66	50	88
2011	122	63	33	86	29	70	40	84
2012	111	63	28	84	23	71	49	86
2013	130	64	43	88	23	74	49	88
2014	135	63	37	86	34	73	28	90
2015	134	64	45	88	24	74	45	94
2016	138	65	36	89	26	66	31	85
2017	132	64	43	92	27	70	53	85
2018	156	65	45	87	45	64	33	86

11.6 Absolute Anzahl der erfassten Neuerkrankungen in M-V in den Jahren 2008 – 2018 nach Lokalisation

Tab. 11.6. C15: Absolute Anzahl und prozentualer Anteil der Neuerkrankungen nach der Lokalisation (Behandlungsort)

Lokalisation	2008	2009	2010	2011	2012	2013	2014	2015	2016	2017	2018	Summe	
												Anzahl	%
C15.0 Zervikaler Ösophagus	3	3	3	7	4	5	6	7	1	5	7	51	3,0
C15.1 Thorakaler Ösophagus	4	8	5	2	5	0	5	3	2	5	13	52	3,1
C15.2 Abdominaler Ösophagus	2	2	1	4	3	2	0	0	1	2	0	17	1,0
C15.3 Ösophagus, oberes intrathorakales Drittel	19	22	17	26	19	16	18	20	32	24	30	243	14,3
C15.4 Ösophagus, mittleres intrathorakales Drittel	29	40	37	40	38	56	65	55	39	59	40	498	29,4
C15.5 Ösophagus, unteres intrathorakales Drittel	39	53	55	51	48	56	58	64	72	50	93	639	37,7
C15.8 Ösophagus (mehrere Teilbereiche überlappend)	5	6	5	12	8	10	4	5	8	4	10	77	4,5
C15.9 Ösophagus o.n.A	20	13	16	9	9	8	13	4	9	10	8	119	7,0
Summe	121	147	139	151	134	153	169	158	164	159	201	1696	100,0

11.7 Histologische Befunde bei allen neuerkrankten Patienten in M-V in den Jahren 2008 – 2018

Tab. 11.7. C15: Histologische Befunde bei neuerkrankten Patienten(ICD-O) (Behandlungsort)

Histologiecode	Anzahl	Prozent
8070/3: Plattenepithelkarzinom o.n.A.	599	35,3
8071/3: Verhornendes Plattenepithelkarzinom o.n.A.	351	20,7
8072/3: Großzelliges nichtverhornendes Plattenepithelkarzinom o.n.A.	195	11,5
8083/3: Basaloides Plattenepithelkarzinom	23	1,4
8074/3: Spindelzelliges Plattenepithelkarzinom	4	0,2
8051/3: Verruköses Karzinom o.n.A.	1	0,1
8073/3: Kleinzelliges nichtverhornendes Plattenepithelkarzinom	1	0,1
8082/3: Lymphoepitheliales Karzinom	1	0,1
Plattenepithelkarzinome	1175	69,3
8140/3: Adenokarzinom o.n.A.	347	20,5
8211/3: Tubuläres Adenokarzinom	35	2,1
8144/3: Adenokarzinom vom intestinalen Typ	26	1,5
8490/3: Siegelringzellkarzinom	19	1,1
8481/3: Schleimbildendes Adenokarzinom	7	0,4
8560/3: Adenosquamöses Karzinom	7	0,4
8145/3: Diffuses Karzinom	4	0,2
8480/3: Muzinöses Adenokarzinom	4	0,2
8260/3: Papilläres Adenokarzinom o.n.A.	3	0,2
8263/3: Adenokarzinom in tubulovillösem Adenom	3	0,2
8255/3: Adenokarzinom mit gemischten Subtypen	2	0,1
8230/3: Solides Karzinom o.n.A.	1	0,1
8244/3: Gemischtes adeno-neuroendokrines Karzinom	1	0,1
8574/3: Adenokarzinom mit neuroendokriner Differenzierung	1	0,1
8576/3: Hepatoides Adenokarzinom	1	0,1
Adenokarzinome	461	27,2

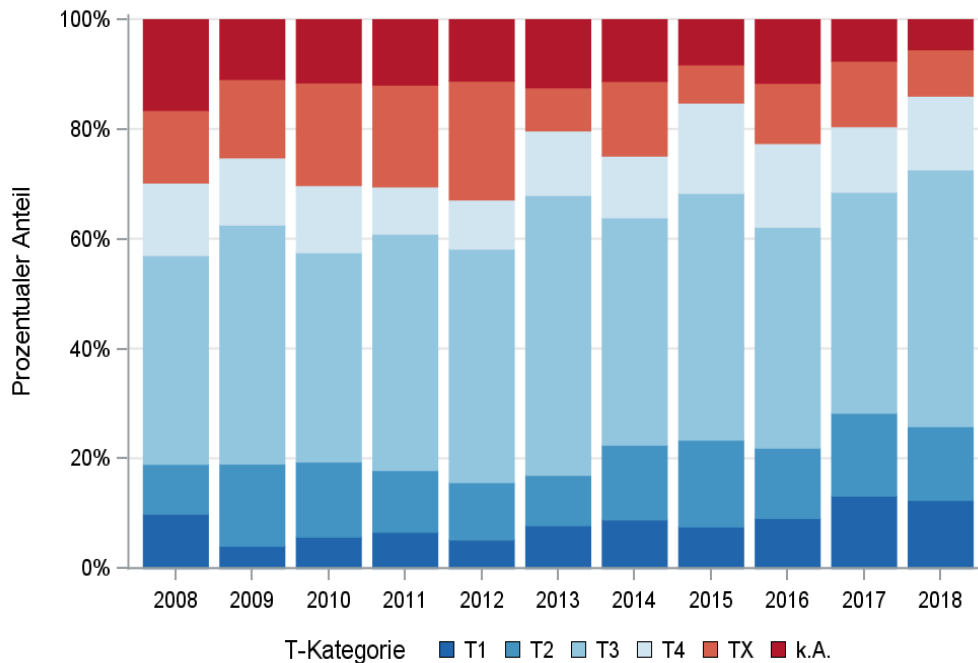
Histologiecode	Anzahl	Prozent
8020/3: Undifferenziertes Karzinom o.n.A.	23	1,4
8010/3: Karzinom o.n.A.	21	1,2
8041/3: Kleinzelliges Karzinom o.n.A.	12	0,7
8045/3: Kombiniertes kleinzelliges Karzinom	2	0,1
8012/3: Großzelliges Karzinom o.n.A.	1	0,1
8046/3: Nichtkleinzelliges Karzinom	1	0,1
nicht näher bezeichnete Karzinome	60	3,5

11.8 Tumorgröße und Ausdehnung (TNM)

Tab. 11.8. C15: Absolute Anzahl der Neuerkrankungen klassifiziert nach der Tumorgröße in Bezug zu der Auflage der TNM-Klassifikation (Behandlungsort)

Tumorgröße (T)	TNM Auflage 6		TNM Auflage 7		TNM Auflage 8		k.A. zur TNM Auflage		Summe	
	Anzahl	%	Anzahl	%	Anzahl	%	Anzahl*	%	Anzahl	%
T1	16	8,2	82	8,2	45	13,9	-	-	143	8,4
T2	26	13,4	143	14,3	48	14,9	-	-	217	12,8
T3	99	51,0	479	47,9	150	46,4	-	-	728	42,9
T4	31	16,0	135	13,5	44	13,6	-	-	210	12,4
TX	22	11,3	162	16,2	36	11,1	-	-	220	13,0
k.A.	0	0	0	0	0	0	178	100,0	178	10,5
Summe	194	100,0	1001	100,0	323	100,0	178	100,0	1696	100,0

*In einzelnen Fällen wurden Angaben zur Tumorgröße ohne Bezug zu einer TNM Auflage gemacht. Diese Angaben wurden in die Kategorie k.A. aufgenommen.



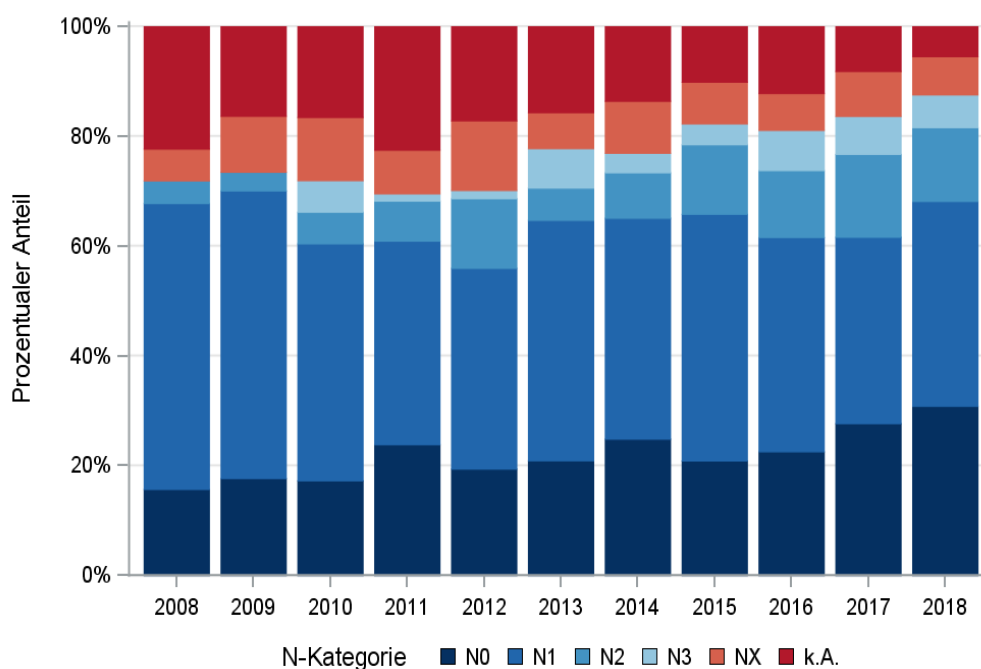
© KKR-MV 2020

Abb. 11.5. C15: Prozentualer Anteil der Neuerkrankungen nach der Tumorgröße im Diagnosezeitraum 2008 bis 2018

Tab. 11.9. C15: Absolute Anzahl der Neuerkrankungen mit bzw. ohne Befall der regionären Lymphknoten in Bezug zu der Auflage der TNM-Klassifikation (Behandlungsort)

N-Kategorie	TNM Auflage 6		TNM Auflage 7		TNM Auflage 8		k.A. zur TNM Auflage		Summe	
	Anzahl	%	Anzahl	%	Anzahl	%	Anzahl*	%	Anzahl	%
N0	36	18,6	244	24,4	101	31,3	-	-	381	22,5
N1	125	64,4	453	45,3	126	39,0	-	-	704	41,5
N2	7	3,6	105	10,5	48	14,9	-	-	160	9,4
N3	1	0,5	49	4,9	20	6,2	-	-	70	4,1
NX	20	10,3	96	9,6	27	8,4	-	-	143	8,4
k.A.	5	2,6	54	5,4	1	0,3	178	100,0	238	14,0
Summe	194	100,0	1001	100,0	323	100,0	178	100,0	1696	100,0

*In einzelnen Fällen wurden Angaben zur N-Kategorie ohne Bezug zu einer TNM Auflage gemacht. Diese Angaben wurden in die Kategorie k.A. aufgenommen.



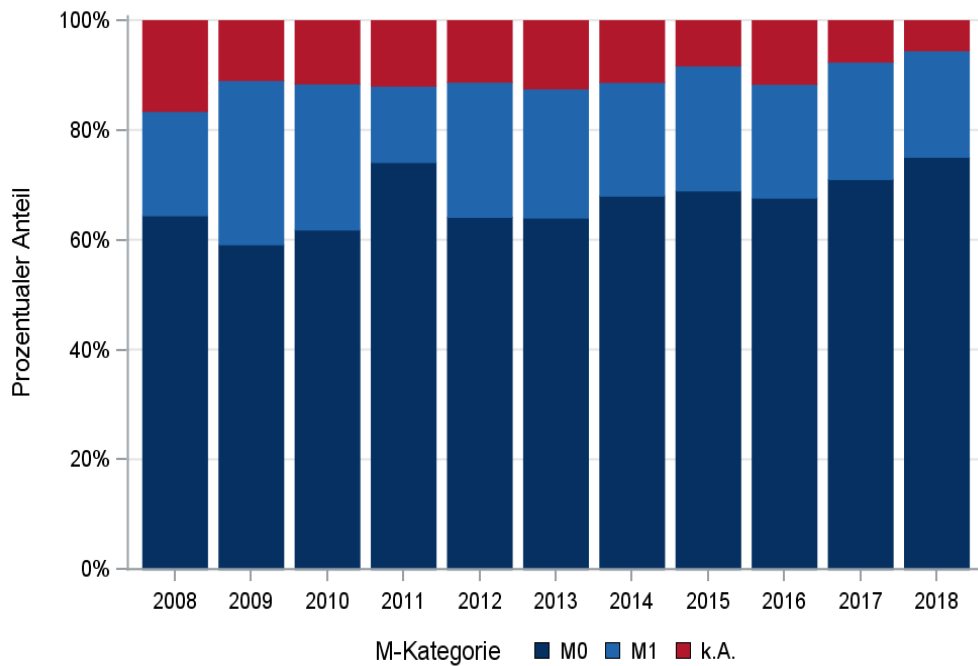
© KKR-MV 2020

Abb. 11.6. C15: Prozentualer Anteil der Neuerkrankungen mit und ohne Befall der regionären Lymphknoten zum Zeitpunkt der Erstdiagnose im Diagnosezeitraum 2008 bis 2018

Tab. 11.10. C15: Absolute Anzahl der Neuerkrankungen mit Fernmetastasierung in Bezug zu der Auflage der TNM-Klassifikation (Behandlungsort)

M-Kategorie	TNM Auflage 6		TNM Auflage 7		TNM Auflage 8		k.A. zur TNM Auflage		Summe	
	Anzahl	%	Anzahl	%	Anzahl	%	Anzahl*	%	Anzahl	%
M0	137	70,6	756	75,5	253	78,3	-	-	1146	67,6
M1	57	29,4	245	24,5	70	21,7	-	-	372	21,9
k.A.	0	0	0	0	0	0	178	100,0	178	10,5
Summe	194	100,0	1001	100,0	323	100,0	178	100,0	1696	100,0

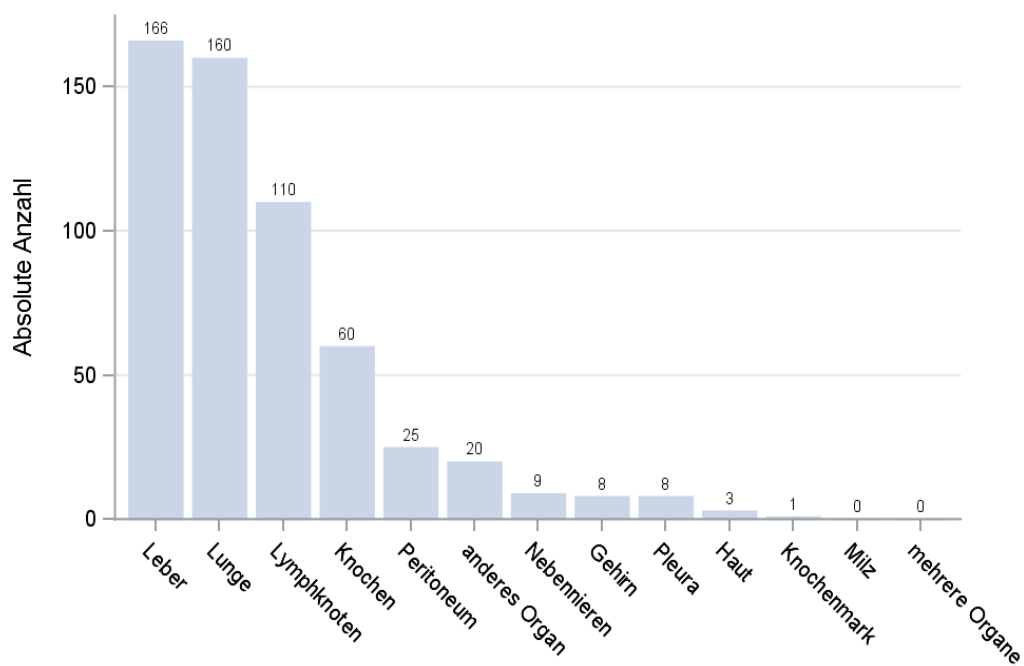
*In einzelnen Fällen wurden Angaben zur M-Kategorie ohne Bezug zu einer TNM Auflage gemacht. Diese Angaben wurden in die Kategorie k.A. aufgenommen.



© KKR-MV 2020

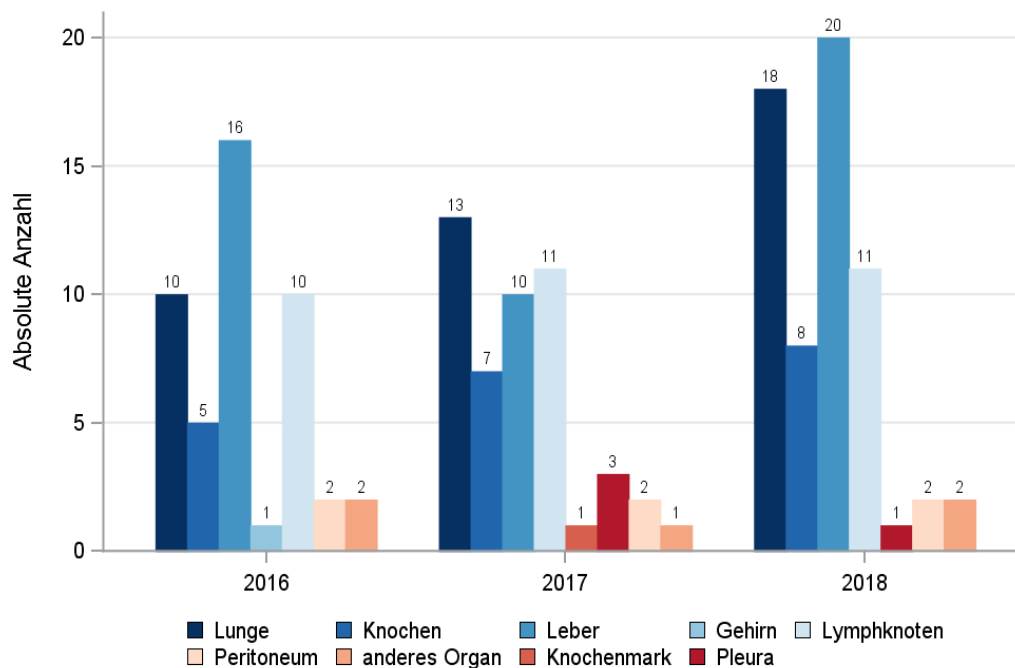
Abb. 11.7. C15: Prozentualer Anteil der primären Fernmetastasierung im Diagnosezeitraum 2008 bis 2018

11.9 Lokalisation der Fernmetastasen



© KKR-MV 2020

Abb. 11.8. C15: Lokalisation der Fernmetastasen bei Neuerkrankungen im Diagnosezeitraum 2008 bis 2018



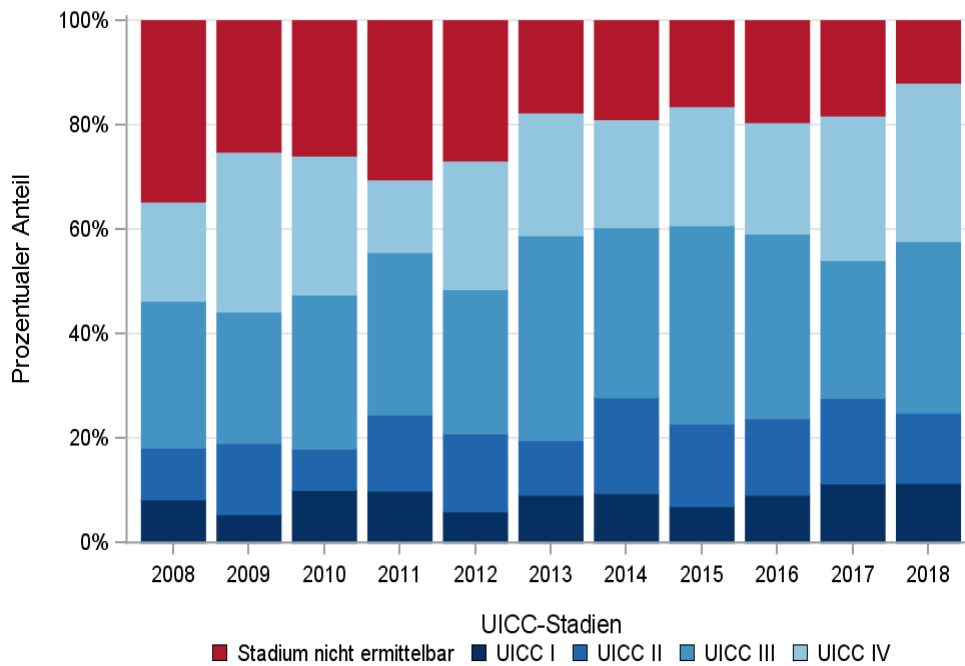
© KKR-MV 2020

Abb. 11.9. C15: Lokalisation der Fernmetastasen bei Neuerkrankungen für die Diagnosejahre 2016 bis 2018

11.10 Tumorstadien nach UICC

Tab. 11.11. C15: Primäre UICC-Stadien (Behandlungsort)

Jahre	UICC I		UICC II		UICC III		UICC IV		Stadium nicht ermittelbar		Summe	
	Anzahl	%	Anzahl	%	Anzahl	%	Anzahl	%	Anzahl	%	Anzahl	%
2008	10	8,3	12	9,9	34	28,1	23	19,0	42	34,7	121	100,0
2009	8	5,4	20	13,6	37	25,2	45	30,6	37	25,2	147	100,0
2010	14	10,1	11	7,9	41	29,5	37	26,6	36	25,9	139	100,0
2011	15	9,9	22	14,6	47	31,1	21	13,9	46	30,5	151	100,0
2012	8	6,0	20	14,9	37	27,6	33	24,6	36	26,9	134	100,0
2013	14	9,2	16	10,5	60	39,2	36	23,5	27	17,6	153	100,0
2014	16	9,5	31	18,3	55	32,5	35	20,7	32	18,9	169	100,0
2015	11	7,0	25	15,8	60	38,0	36	22,8	26	16,5	158	100,0
2016	15	9,1	24	14,6	58	35,4	35	21,3	32	19,5	164	100,0
2017	18	11,3	26	16,4	42	26,4	44	27,7	29	18,2	159	100,0
2018	23	11,4	27	13,4	66	32,8	61	30,3	24	11,9	201	100,0
Summe	152	9,0	234	13,8	537	31,7	406	23,9	367	21,6	1696	100,0



© KKR-MV 2020

Abb. 11.10. C15: Prozentuale Anteile der UICC-Tumorstadien in den Diagnosejahren 2008 bis 2018

11.11 Dokumentierte Therapie bis max. 12 Monate nach Diagnosestellung

11.11.1 Therapiekombinationen, Stellung der Therapie und Intention der dokumentierten Therapien

Tab. 11.12. C15: Therapiekombinationen (Operation, Strahlentherapie, systemische Therapie) pro Diagnosejahr (Behandlungsort)

Therapiekombinationen	2008	2009	2010	2011	2012	2013	2014	2015	2016	2017	2018	Summe
Alleinige Operation	23	17	15	21	16	22	21	17	18	18	26	214
Alleinige systemische Therapie	9	14	15	13	12	17	18	11	14	13	14	150
Alleinige Strahlentherapie	15	18	21	21	13	14	25	21	20	21	20	209
Operation und systemische Therapie, keine Strahlentherapie	5	5	14	8	6	11	12	15	16	5	23	120
Operation und Strahlentherapie, keine systemische Therapie	0	3	0	1	3	0	2	0	1	2	0	12
Systemische Therapie und Strahlentherapie, keine Operation	34	45	32	44	39	39	45	52	48	36	46	460
Operation und systemische Therapie und Strahlentherapie	6	22	11	12	12	18	13	12	13	22	17	158
Keine Operation, systemische Therapie oder Strahlentherapie	29	23	31	31	33	32	33	30	34	42	55	373
Summe	121	147	139	151	134	153	169	158	164	159	201	1696

Tab. 11.13. C15: Therapiekombinationen (Operation, Strahlentherapie, systemische Therapie) in Abhängigkeit von dem UICC-Stadium (Behandlungsort)

Therapiekombinationen	UICC I	UICC II	UICC III	UICC IV	Stadium nicht ermittelbar	Summe
Alleinige Operation	76	43	65	6	24	214
Alleinige systemische Therapie	0	4	16	105	25	150
Alleinige Strahlentherapie	20	38	62	39	50	209
Operation und systemische Therapie, keine Strahlentherapie	5	19	68	14	14	120
Operation und Strahlentherapie, keine systemische Therapie	3	4	3	2	0	12
Systemische Therapie und Strahlentherapie, keine Operation	26	71	172	119	72	460
Operation und systemische Therapie und Strahlentherapie	4	33	108	5	8	158
Keine Operation, systemische Therapie oder Strahlentherapie	18	22	43	116	174	373
Summe	152	234	537	406	367	1696

Tab. 11.14a. C15: Stellung der Strahlentherapie zur operativen Therapie im ersten Jahr der Erkrankung (adjuvant/neoadjuvant, Behandlungsort)

Stellung der Strahlentherapie zur operativen Therapie	2008	2009	2010	2011	2012	2013	2014	2015	2016	2017	2018	Summe
Neoadjuvante (präoperative) Strahlentherapie	2	11	8	9	9	16	11	10	10	22	14	122
Adjuvante (postoperative) Strahlentherapie	0	3	1	1	1	1	2	0	1	2	2	14
Therapie ohne Bezug zu einer operativen Therapie	0	1	0	1	0	1	1	1	3	0	1	9
Intraoperative Strahlentherapie	0	1	0	0	0	0	0	0	0	0	0	1
unbekannt	4	9	2	2	5	0	1	1	0	0	0	24
Summe	6	25	11	13	15	18	15	12	14	24	17	170

Tab. 11.14b. C15: Stellung der systemischen Therapie zur operativen Therapie im ersten Jahr der Erkrankung (adjuvant/neoadjuvant, Behandlungsort)

Stellung der systemischen Therapie zur operativen Therapie	2008	2009	2010	2011	2012	2013	2014	2015	2016	2017	2018	Summe
Neoadjuvante (präoperative) Therapie	6	17	15	16	11	26	20	21	23	25	31	211
Therapie ohne Bezug zu einer operativen Therapie	3	5	7	1	3	2	3	3	4	0	6	37
Adjuvante (postoperative) Therapie	1	3	3	3	3	1	2	2	2	2	3	25
Intraoperative Therapie	0	1	0	0	0	0	0	0	0	0	0	1
unbekannt	1	1	0	0	1	0	0	1	0	0	0	4
Summe	11	27	25	20	18	29	25	27	29	27	40	278

Tab. 11.15a. C15: Intention bei der ersten Operation (Behandlungsort)

Intention der Operation	2008	2009	2010	2011	2012	2013	2014	2015	2016	2017	2018	Summe
Kurativ	32	39	34	37	27	43	37	40	46	45	63	443
Palliativ bzw. symptomatisch	0	3	1	0	1	0	3	2	0	2	1	13
Sonstige/Unbekannt/Keine Angabe	2	5	5	5	9	8	8	2	2	0	2	48
Summe	34	47	40	42	37	51	48	44	48	47	66	504

Tab. 11.15b. C15: Intention der initialen Bestrahlung (Behandlungsort)

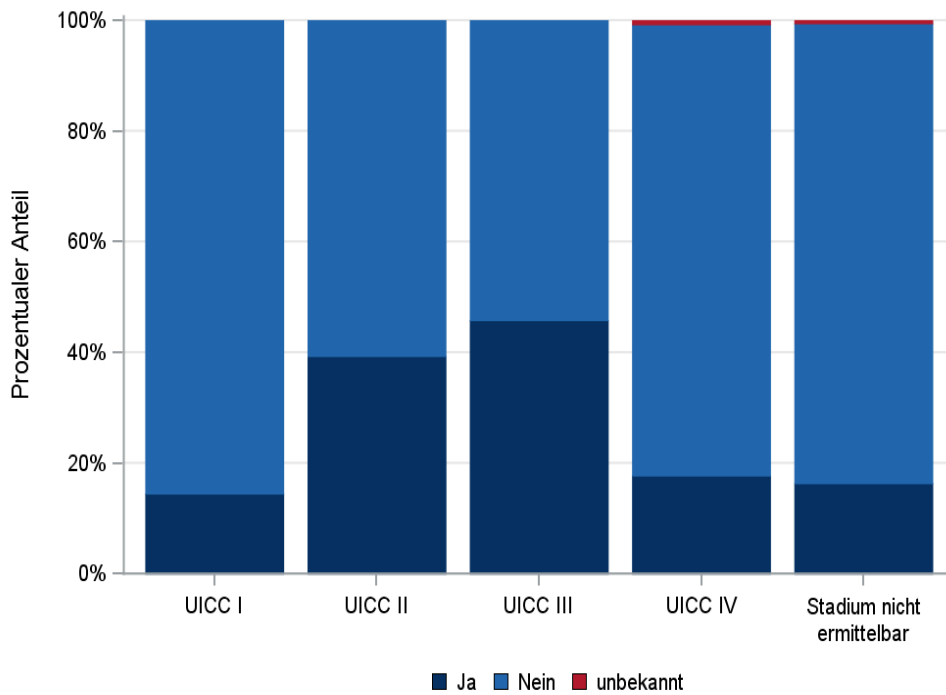
Intention der Bestrahlung	2008	2009	2010	2011	2012	2013	2014	2015	2016	2017	2018	Summe
Kurativ	13	24	15	27	22	29	46	53	54	57	60	400
Palliativ bzw. symptomatisch	10	24	14	13	5	20	20	29	26	22	22	205
Sonstige/Unbekannt/Keine Angabe	32	40	35	38	40	22	19	3	2	2	1	234
Summe	55	88	64	78	67	71	85	85	82	81	83	839

Tab. 11.15c. C15: Intention bei der ersten systemischen Therapie (Behandlungsort)

Intention der systemischen Therapie	2008	2009	2010	2011	2012	2013	2014	2015	2016	2017	2018	Summe
Kurativ	27	36	31	49	35	47	48	56	55	52	65	501
Palliativ bzw. symptomatisch	13	36	31	20	21	29	35	31	29	22	33	300
Sonstige/Unbekannt/Keine Angabe	14	14	10	8	13	9	5	3	7	2	2	87
Summe	54	86	72	77	69	85	88	90	91	76	100	888

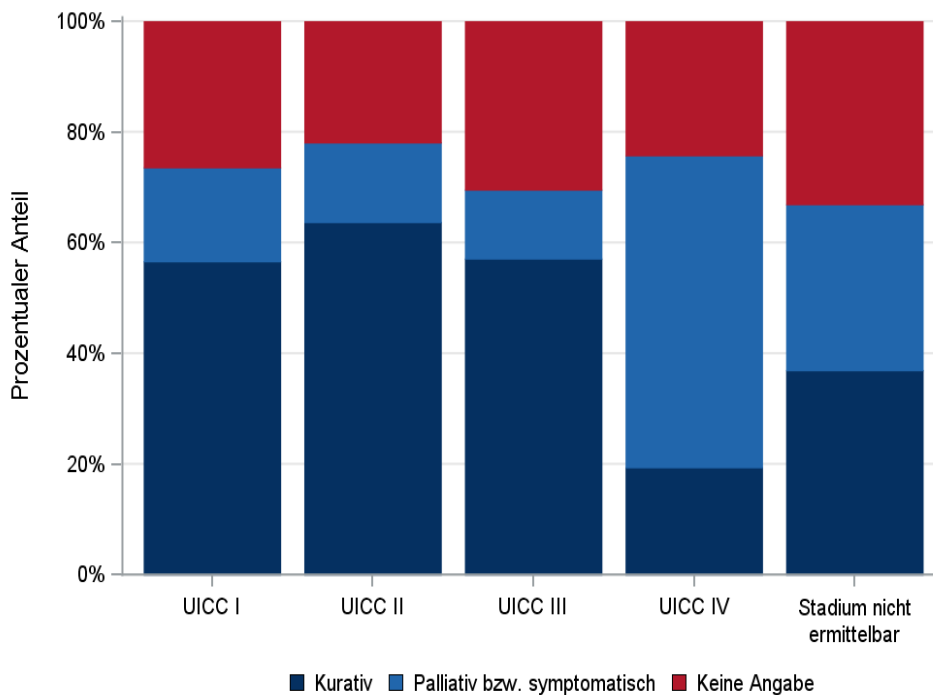
Tab. 11.16. C15: Zeitraum zwischen Diagnose und Beginn der ersten Therapie nach Therapieart (Angaben in Tagen, Behandlungsort)

Therapie	Anzahl	Median	Minimum	Maximum
Diagnose und erste Operation	504	84	0	306
Diagnose und erste Bestrahlung	839	36	1	349
Diagnose und erste system. Therapie	888	34	0	361



© KKR-MV 2020

Abb.11.11. C15: Durchführung der Radiochemotherapie nach UICC-Klassifikation



© KKR-MV 2020

Abb.11.12. C15: Intention der ersten Bestrahlung nach UICC-Klassifikation

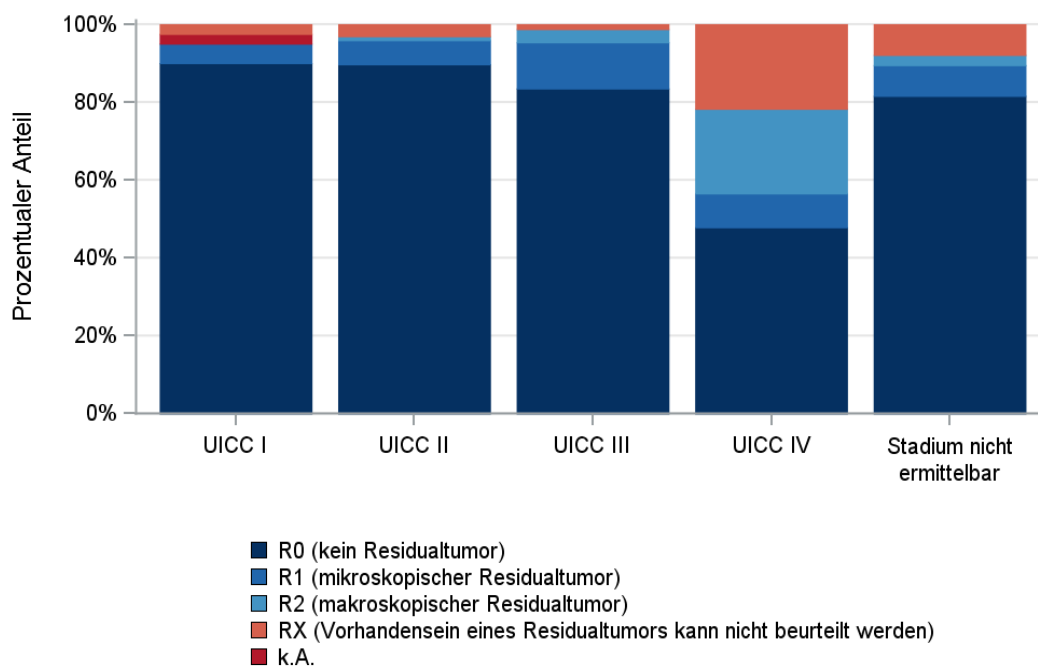
11.11.2 Dokumentierte tumorspezifische Operation bis max.12 Monate nach Diagnosestellung

Tab. 11.17. C15: Dokumentierte tumorspezifische Operation nach UICC (Behandlungsort)

Operationen	UICC I	UICC II	UICC III	UICC IV	Stadium nicht ermittelbar	Summe	
						Anzahl	%
Tumorresektion	75	91	222	21	36	445	88,3
Tumor- und Lymphknotenresektion	5	6	14	2	2	29	5,8
Lymphknotenresektion	0	0	0	1	0	1	0,2
sonstige OP	6	2	6	3	5	22	4,4
keine Angabe	2	0	2	0	3	7	1,4
Summe	88	99	244	27	46	504	100,0

Tab. 11.18. C15: Residualklassifikation nach Tumorresektion im Diagnosezeitraum 2008-2018

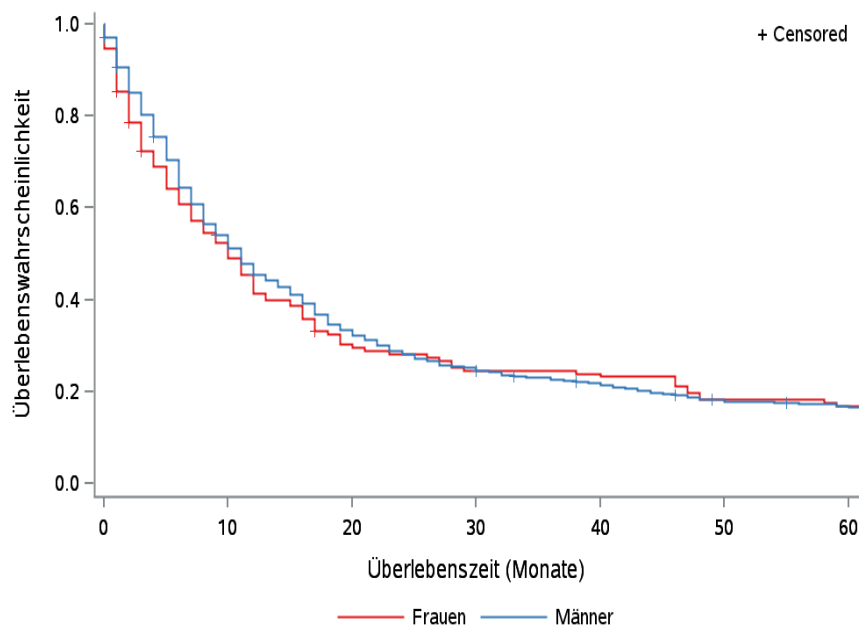
R-Klassifikation	UICC I	UICC II	UICC III	UICC IV	Stadium nicht ermittelbar	Summe	
						Anzahl	%
R0 (kein Residualtumor)	72	87	197	11	31	398	84,0
R1 (mikroskopischer Residualtumor)	4	6	28	2	3	43	9,1
R2 (makroskopischer Residualtumor)	0	1	8	5	1	15	3,2
RX (Vorhandensein eines Residualtumors kann nicht beurteilt werden)	2	3	3	5	3	16	3,4
keine Angabe	2	0	0	0	0	2	0,4
Summe	80	97	236	23	38	474	100,0



© KKR-MV 2020

Abb. 11.13. C15: Residualklassifikation nach Tumorresektion in Abhängigkeit von UICC-Tumorstadium im Diagnosezeitraum 2008 bis 2018

11.12 Überlebensanalysen bei den in den Jahren 2008 – 2013 primär diagnostizierten Patienten

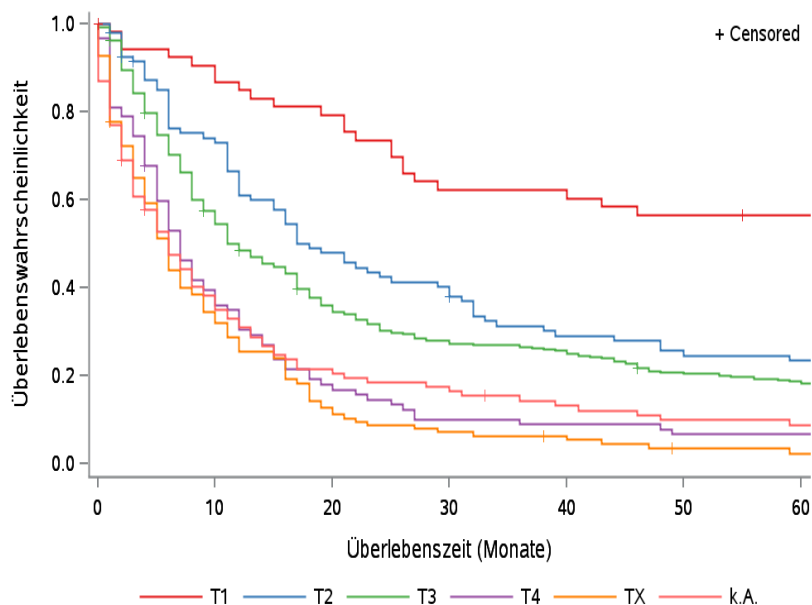


© KKR-MV 2020

Abb.11.14. C15: Wahrscheinlichkeit des Überlebens (Kaplan-Meier-Analyse) nach Geschlecht im Diagnosezeitraum von 2008 bis 2013 (Wohnort). Kaplan-Meier-Kurven werden für Kategorien mit weniger als 10 Neuerkrankungen nicht dargestellt.

Tab. 11.19. C15: Anzahl der unter Risiko stehenden Neuerkrankungen (Monate nach Diagnose)

Geschlecht	0 Monate	20 Monate	40 Monate	60 Monate
Männer	670	221	141	106
Frauen	150	43	34	24



© KKR-MV 2020

Abb.11.15. C15: Wahrscheinlichkeit des Überlebens (Kaplan-Meier-Analyse) nach Tumorstadium im Diagnosezeitraum von 2008 bis 2013 (Wohnort). Kaplan-Meier-Kurven werden für Kategorien mit weniger als 10 Neuerkrankungen nicht dargestellt.

Tab. 11.20. C15: Anzahl der unter Risiko stehenden Neuerkrankungen nach Tumorgröße (Monate nach Diagnose)

T-Kategorie	0 Monate	20 Monate	40 Monate	60 Monate
T1	54	42	33	29
T2	95	44	26	21
T3	355	125	89	64
T4	90	16	8	6
TX	126	16	7	2
k.A	100	21	12	8

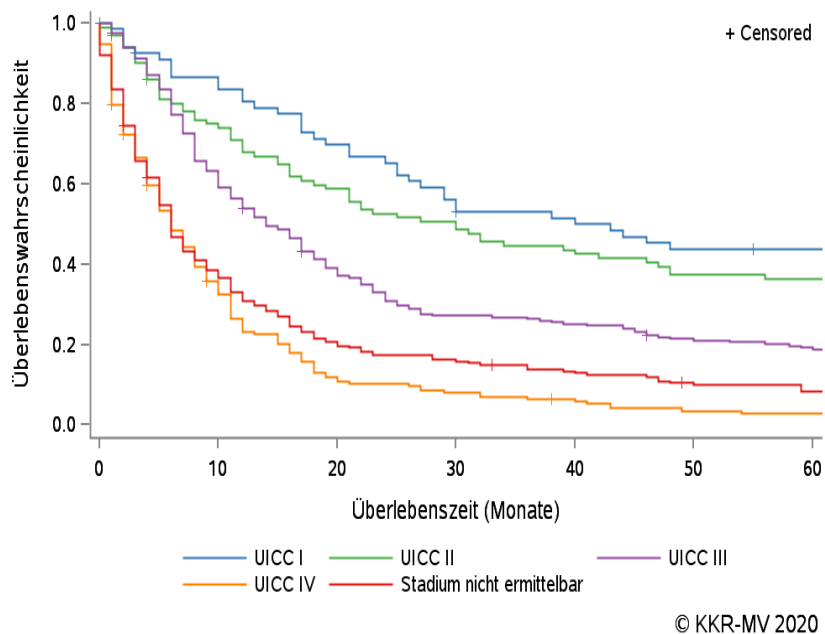
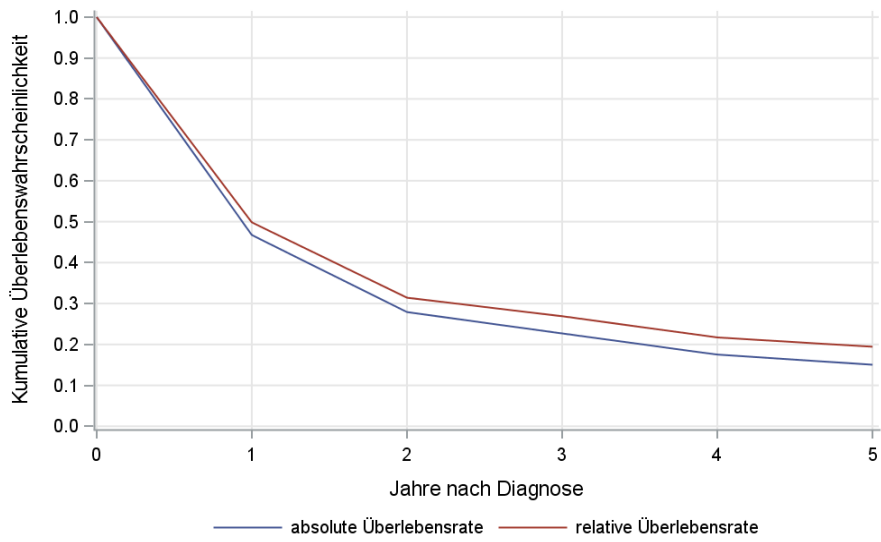


Abb.11.16. C15: Wahrscheinlichkeit des Überlebens (Kaplan-Meier-Analyse) nach UICC-Tumorstadium im Diagnosezeitraum von 2008 bis 2013 (Wohnort). Kaplan-Meier-Kurven werden für Kategorien mit weniger als 10 Neuerkrankungen nicht dargestellt.

Tab. 11.21. C15: Anzahl der unter Risiko stehenden Neuerkrankungen nach UICC-Stadium (Monate nach Diagnose)

UICC-Stadium	0 Monate	20 Monate	40 Monate	60 Monate
UICC I	68	46	33	27
UICC II	101	58	43	36
UICC III	248	95	61	46
UICC IV	192	22	11	5
Stadium nicht ermittelbar	211	43	27	16

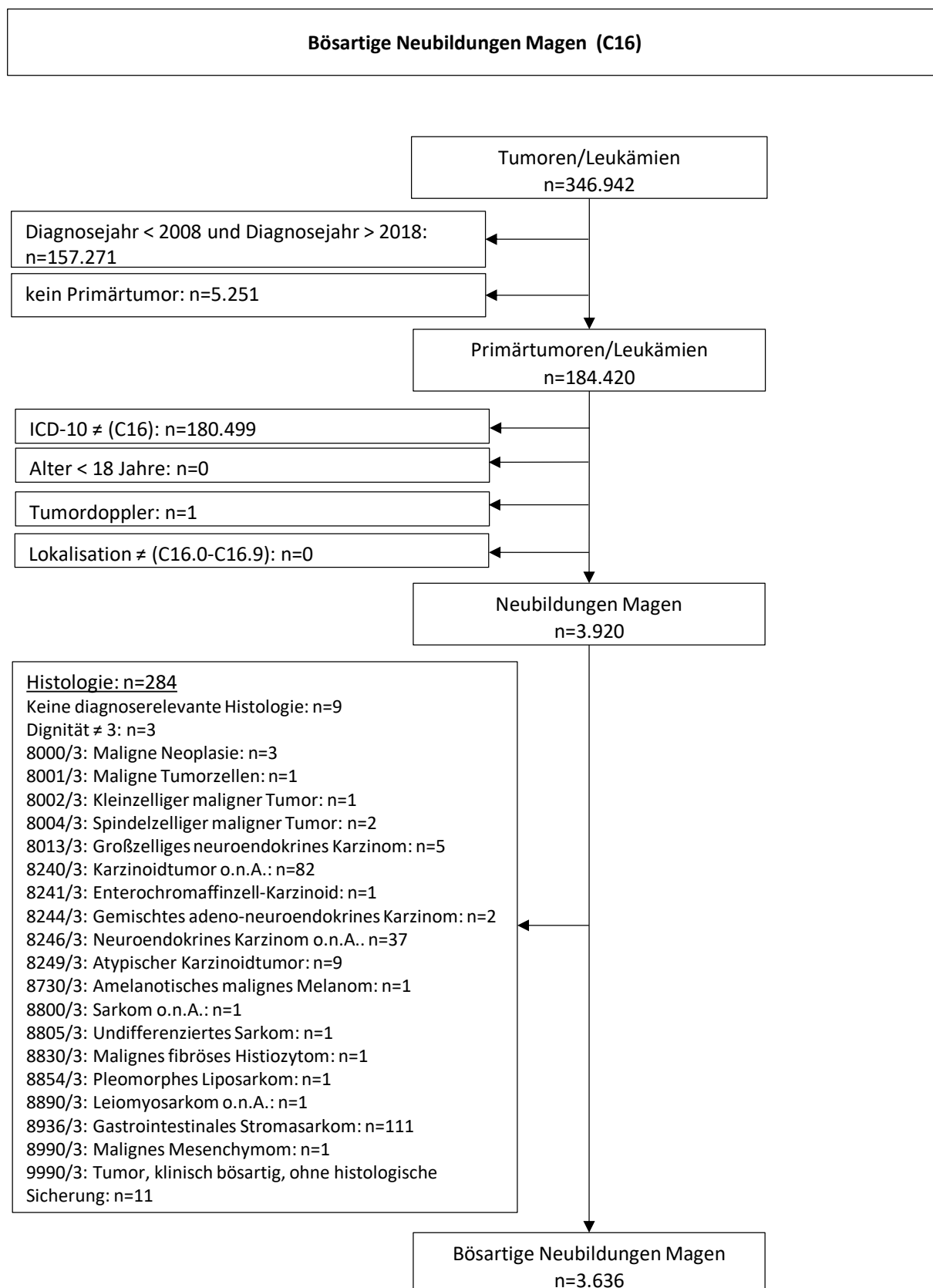


© KKR-MV 2020

Abb. 11.17. C15: Absolutes und relatives Überleben im Diagnosezeitraum 2008 bis 2013 (Wohnort, Alter > 19)

12 Magen (C16)

12.1 Consort-Statement: Darstellung der Auswertepopulation

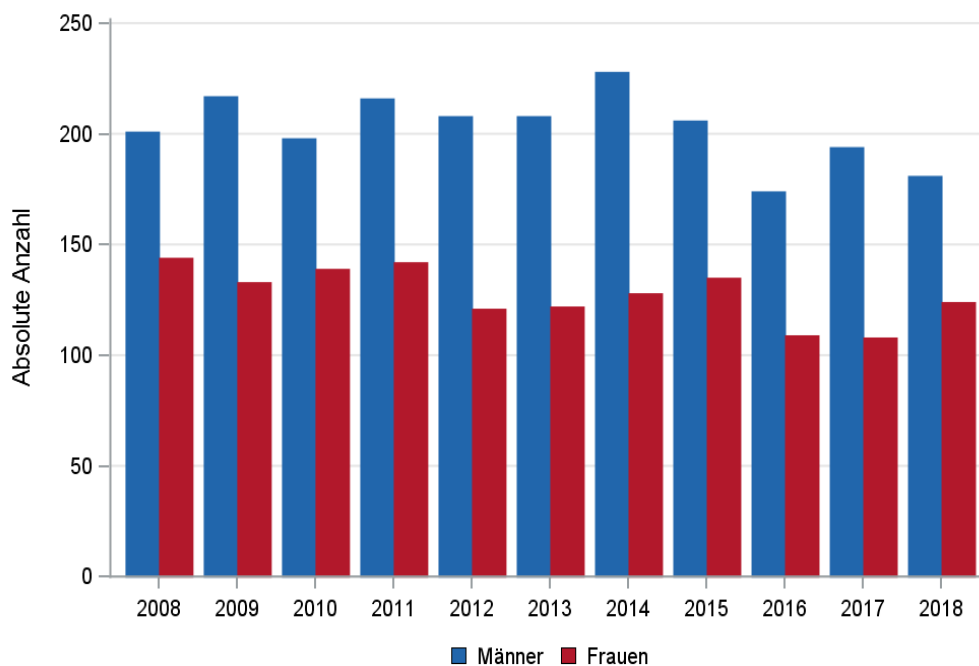


*Erläuterungen zu den Ausschlüssen finden Sie im Kapitel 4 (Methode)

12.2 Absolute Anzahl der erfassten Neuerkrankungen in M-V in den Jahren 2008 – 2018 nach Geschlecht (Behandlungsort, Wohnort)

Tab. 12.1. C16: Absolute Anzahl der Neuerkrankungen nach Geschlecht (Behandlungsort)

Diagnosejahr	Männer		Frauen		Summe
	Anzahl	%	Anzahl	%	
2008	201	58,26	144	41,74	345
2009	217	62,00	133	38,00	350
2010	198	58,75	139	41,25	337
2011	216	60,34	142	39,66	358
2012	208	63,22	121	36,78	329
2013	208	63,03	122	36,97	330
2014	228	64,04	128	35,96	356
2015	206	60,41	135	39,59	341
2016	174	61,48	109	38,52	283
2017	194	64,24	108	35,76	302
2018	181	59,34	124	40,66	305
Summe	2231	61,36	1405	38,64	3636

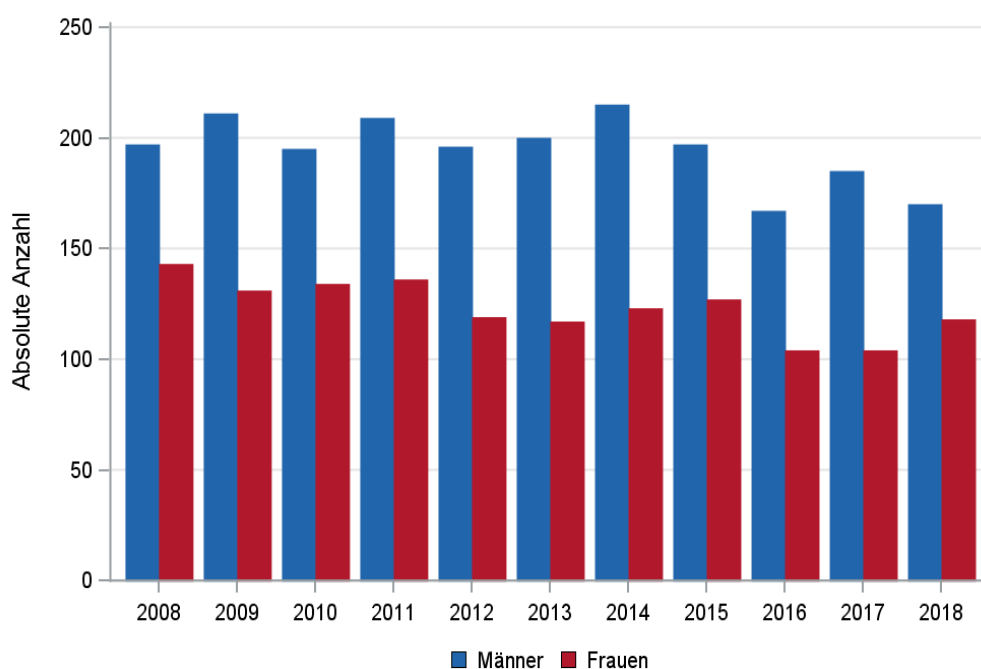


© KKR-MV 2020

Abb. 12.1. C16: Absolute Anzahl der Neuerkrankungen nach Geschlecht im Diagnosezeitraum 2008 bis 2018 (Behandlungsort)

Tab. 12.2. C16: Absolute Anzahl der Neuerkrankungen nach Geschlecht (Wohnort)

Diagnosejahr	Männer		Frauen		Summe
	Anzahl	%	Anzahl	%	
2008	197	57,94	143	42,06	340
2009	211	61,70	131	38,30	342
2010	195	59,27	134	40,73	329
2011	209	60,58	136	39,42	345
2012	196	62,22	119	37,78	315
2013	200	63,09	117	36,91	317
2014	215	63,61	123	36,39	338
2015	197	60,80	127	39,20	324
2016	167	61,62	104	38,38	271
2017	185	64,01	104	35,99	289
2018	170	59,03	118	40,97	288
Summe	2142	61,23	1356	38,77	3498



© KKR-MV 2020

Abb. 12.2. C16: Absolute Anzahl der Neuerkrankungen nach Geschlecht im Diagnosezeitraum 2008 bis 2018 (Wohnort)

12.3 Absolute Anzahl der erfassten Neuerkrankungen in M-V in den Jahren 2008 – 2018 nach Landkreisen (Wohnort)

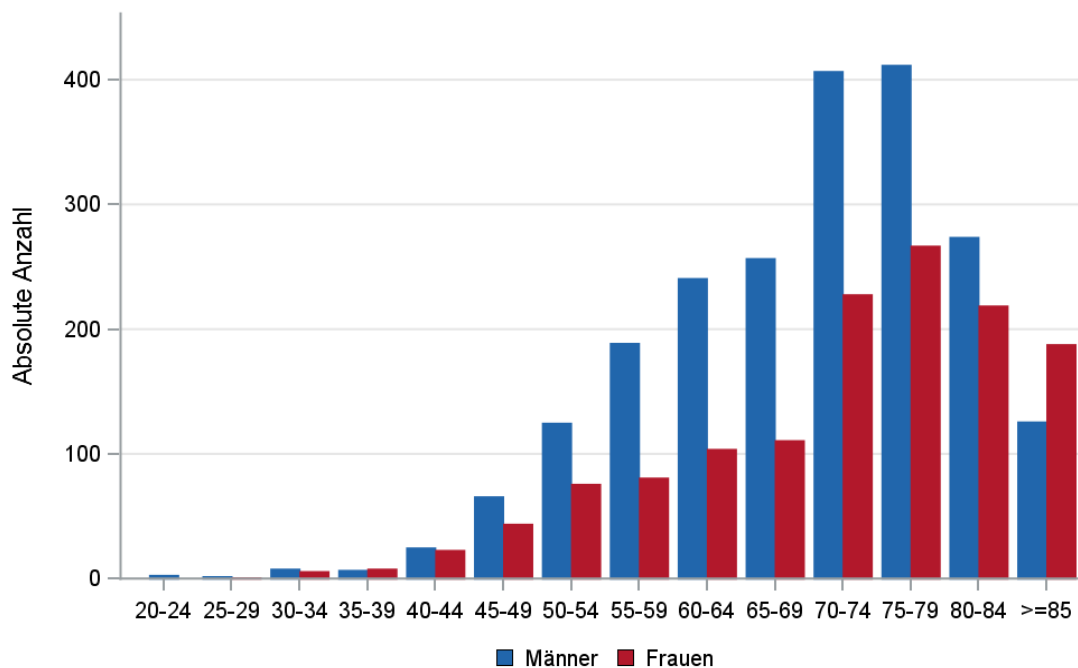
Tab. 12.3. C16: Absolute Anzahl und prozentualer Anteil der Neuerkrankungen nach Landkreisen

Landkreis	2008		2009		2010		2011		2012		2013		2014		2015		2016		2017		2018		Summe	
	Anzahl	%	Anzahl	%	Anzahl	%	Anzahl	%	Anzahl	%	Anzahl	%	Anzahl	%	Anzahl	%	Anzahl	%	Anzahl	%	Anzahl	%	Anzahl	%
Landkreis Rostock	42	12,4	43	12,6	35	10,6	41	11,9	34	10,8	45	14,2	47	13,9	61	18,8	51	18,8	41	14,2	52	18,1	492	14,1
Ludwigslust-Parchim	34	10,0	36	10,5	34	10,3	36	10,4	28	8,9	34	10,7	40	11,8	31	9,6	33	12,2	31	10,7	38	13,2	375	10,7
Mecklenburgische Seenplatte	59	17,4	64	18,7	70	21,3	64	18,6	72	22,9	53	16,7	63	18,6	46	14,2	11	4,1	51	17,6	41	14,2	594	17,0
Nordwestmecklenburg	31	9,1	26	7,6	22	6,7	31	9,0	21	6,7	24	7,6	22	6,5	23	7,1	28	10,3	16	5,5	18	6,3	262	7,5
Rostock	55	16,2	46	13,5	43	13,1	52	15,1	45	14,3	33	10,4	29	8,6	44	13,6	47	17,3	39	13,5	34	11,8	467	13,4
Schwerin	20	5,9	25	7,3	24	7,3	17	4,9	16	5,1	20	6,3	17	5,0	26	8,0	12	4,4	17	5,9	15	5,2	209	6,0
Vorpommern-Greifswald	48	14,1	52	15,2	47	14,3	57	16,5	43	13,7	49	15,5	56	16,6	37	11,4	43	15,9	50	17,3	44	15,3	526	15,0
Vorpommern-Rügen	51	15,0	50	14,6	51	15,5	47	13,6	55	17,5	58	18,3	63	18,6	56	17,3	46	17,0	44	15,2	45	15,6	566	16,2
nicht zuordenbar	0	0	0	0	3	0,9	0	0	1	0,3	1	0,3	1	0,3	0	0	0	0	0	0	1	0,3	7	0,2
Summe	340	100,0	342	100,0	329	100,0	345	100,0	315	100,0	317	100,0	338	100,0	324	100,0	271	100,0	289	100,0	288	100,0	3498	100,0

12.4 Rohe und standardisierte Neuerkrankungsraten pro 100.000 Einwohner in den Jahren 2008-2018 (Wohnort)

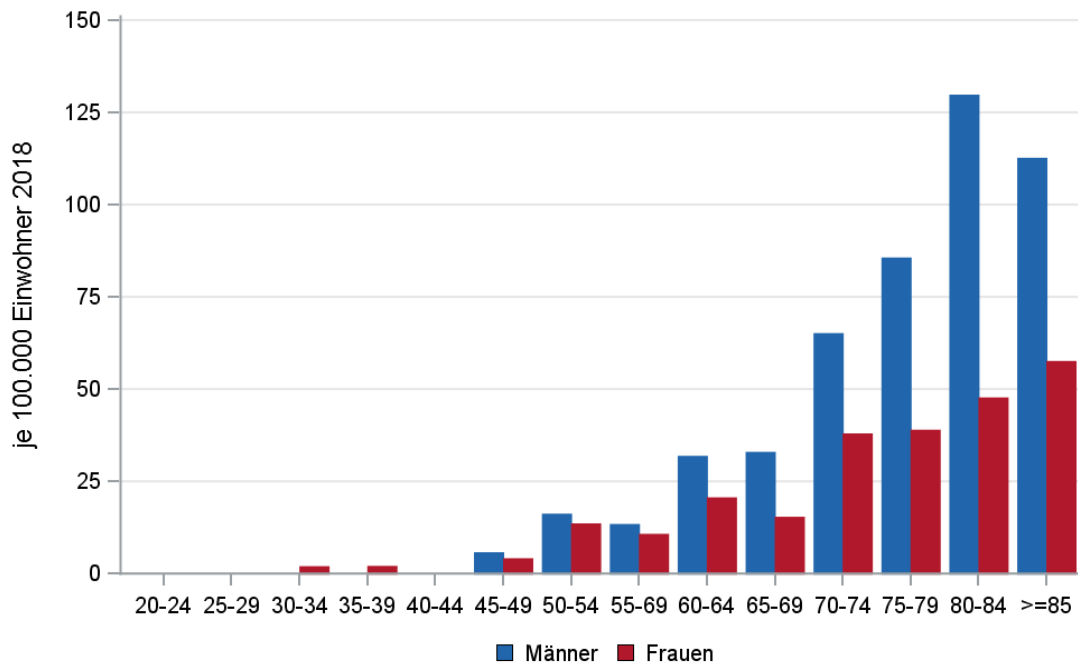
Tab. 12.4. C16: Neuerkrankungsrate/100.000 Einwohner (Alter > 19)

Diagnosejahr	Männer			Frauen		
	absolute Anzahl der Neuerkrankungen	rohe Rate in M-V	altersstandardisierte Rate	absolute Anzahl der Neuerkrankungen	rohe Rate in M-V	altersstandardisierte Rate
2008	197	28,5	23,8	143	20,0	13,2
2009	211	30,5	23,8	131	18,4	12,2
2010	195	28,3	21,8	134	18,8	11,3
2011	209	31,1	23,7	136	19,4	12,0
2012	196	29,4	21,5	119	17,1	9,7
2013	200	30,2	21,6	117	16,9	9,4
2014	215	32,6	23,3	123	17,8	9,1
2015	197	29,8	19,9	127	18,5	11,0
2016	167	25,3	17,3	104	15,1	8,4
2017	185	28,1	18,5	104	15,2	7,7
2018	170	25,9	16,0	118	17,2	9,6
2008-2018	2142	29,1	21,0	1356	17,7	10,3



© KKR-MV 2020

Abb. 12.3. C16: Absolute Anzahl der Neuerkrankungen aufgelistet in 5-Jahres-Altersgruppen und nach Geschlecht im Diagnosezeitraum 2008 bis 2018 (Wohnort)



© KKR-MV 2020

Abb. 12.4. C16: Altersspezifische Rate der Neuerkrankungen je 100.000 Einwohner (Diagnosejahr 2018) nach 5-Jahres-Altersgruppen und Geschlecht (Wohnort)

12.5 Alter der in den Jahren 2008 - 2018 in M-V neuerkrankten Patienten (Behandlungsort)

Tab. 12.5. C16: Erkrankungsalter (Behandlungsort)

Diagnosejahr	Männer				Frauen			
	Anzahl	Median	Minimum	Maximum	Anzahl	Median	Minimum	Maximum
2008	201	70	30	86	144	73	30	94
2009	217	70	23	89	133	70	30	96
2010	198	72	38	92	139	75	31	100
2011	216	71	24	94	142	73	37	91
2012	208	72	31	93	121	75	31	100
2013	208	72	34	91	122	74	29	94
2014	228	72	24	94	128	75	45	97
2015	206	72	45	92	135	74	41	93
2016	174	71	43	94	109	75	40	96
2017	194	72	34	92	108	77	38	95
2018	181	74	47	93	124	74	31	93

12.6 Absolute Anzahl der erfassten Neuerkrankungen in M-V in den Jahren 2008 – 2018 nach Lokalisation

Tab. 12.6. C16: Absolute Anzahl und prozentualer Anteil der Neuerkrankungen nach der Lokalisation (Behandlungsort)

Lokalisation	2008	2009	2010	2011	2012	2013	2014	2015	2016	2017	2018	Summe	
												Anzahl	%
C16.0 Kardia (ösophago-kardialer Übergang)	53	54	59	79	73	70	76	75	60	64	81	744	20,5
C16.1 Fundus	6	12	9	11	7	11	17	9	5	10	8	105	2,9
C16.11 Fundus (kleine Krümmung)	0	2	1	2	0	2	2	1	0	1	6	17	0,5
C16.12 Fundus (Vorderwand)	0	1	1	0	0	2	1	0	1	1	0	7	0,2
C16.13 Fundus (große Krümmung)	0	0	1	2	1	0	0	1	0	0	0	5	0,1
C16.14 Fundus (Hinterwand)	1	1	0	1	1	2	3	1	0	1	0	11	0,3
C16.2 Korpus	53	60	62	61	75	80	66	71	45	68	79	720	19,8
C16.21 Korpus (kleine Krümmung)	6	5	4	3	0	3	3	7	7	3	9	50	1,4
C16.22 Korpus (Vorderwand)	2	4	3	3	3	5	0	4	1	3	6	34	0,9
C16.23 Korpus (große Krümmung)	2	4	2	6	0	2	2	5	2	3	7	35	1,0
C16.24 Korpus (Hinterwand)	4	8	4	9	3	8	5	3	5	7	2	58	1,6
C16.3 Antrum	84	61	75	70	75	58	77	73	65	55	46	739	20,3
C16.31 Antrum (kleine Krümmung, Angulus)	9	5	12	4	5	5	14	14	9	5	7	89	2,4
C16.32 Antrum (Vorderwand)	3	1	0	2	0	1	0	1	1	0	0	9	0,2
C16.33 Antrum (große Krümmung)	0	1	0	2	0	0	1	1	3	1	2	11	0,3
C16.34 Antrum (Hinterwand)	0	3	0	1	1	4	1	2	2	3	0	17	0,5
C16.4 Pylorus	6	8	8	15	6	8	13	6	8	5	5	88	2,4
C16.42 Pylorus (Vorderwand)	0	1	0	0	0	0	0	0	0	1	0	2	0,1
C16.44 Pylorus (Hinterwand)	0	1	0	0	0	0	1	1	0	0	1	4	0,1
C16.5 Kleine Krümmung o.n.A.	2	1	1	3	2	2	4	1	1	1	1	19	0,5
C16.6 Große Krümmung o.n.A.	3	0	0	3	1	1	1	1	1	2	2	15	0,4
C16.8 Magen (mehrere Teilbereiche überlappend)	34	61	42	39	43	35	29	23	34	30	15	385	10,6
C16.9 Magen o.n.A.	78	56	53	42	33	31	40	41	33	38	28	473	13,0
Summe	346	350	337	358	329	330	356	341	283	302	305	3637	100,0

12.7 Histologische Befunde bei allen neuerkrankten Patienten in M-V in den Jahren 2008 – 2018

Tab. 12.7. C16: Histologische Befunde bei neuerkrankten Patienten (Behandlungsort)

Histologiecode	Anzahl	Prozent
8140/3: Adenokarzinom o.n.A.	1388	38,2
8490/3: Siegelringzellkarzinom	723	19,9
8144/3: Adenokarzinom vom intestinalen Typ	633	17,4
8211/3: Tubuläres Adenokarzinom	335	9,2
8145/3: Diffuses Karzinom	263	7,2
8480/3: Muzinöses Adenokarzinom	52	1,4
8255/3: Adenokarzinom mit gemischten Subtypen	51	1,4
8481/3: Schleimbildendes Adenokarzinom	15	0,4
8230/3: Solides Karzinom o.n.A.	11	0,3
8263/3: Adenokarzinom in tubulovillösem Adenom	9	0,3
8260/3: Papilläres Adenokarzinom o.n.A.	8	0,2

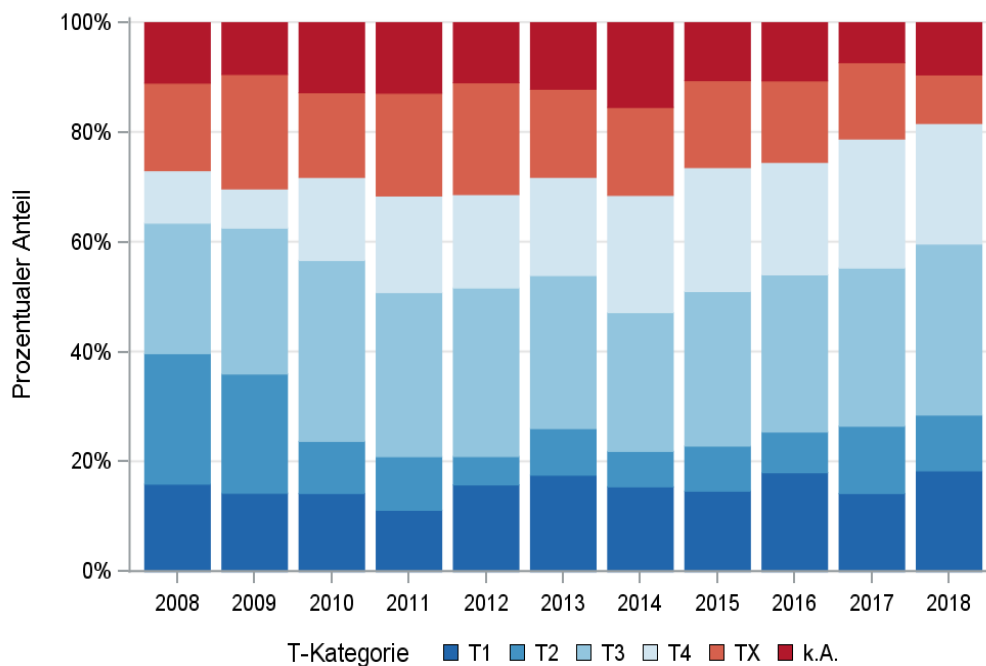
Histologiecode	Anzahl	Prozent
8512/3: Medulläres Karzinom mit lymphoidem Stroma	7	0,2
8560/3: Adenosquamöses Karzinom	6	0,2
8141/3: Szirrhöses Adenokarzinom	4	0,1
8210/3: Adenokarzinom in adenomatösem Polypen	3	0,1
8323/3: Gemischtzelliges Adenokarzinom	3	0,1
8574/3: Adenokarzinom mit neuroendokriner Differenzierung	3	0,1
8576/3: Hepatoides Adenokarzinom	3	0,1
8190/3: Trabekuläres Adenokarzinom	2	0,1
8213/3: Serrated adenocarcinoma	1	0,0
8221/3: Adenokarzinom in multiplen adenomatösen Polypen	1	0,0
8310/3: Klarzelliges Adenokarzinom o.n.A.	1	0,0
8430/3: Mukoepidermoid-Karzinom	1	0,0
8500/3: Invasives duktales Karzinom o.n.A.	1	0,0
8510/3: Medulläres Karzinom o.n.A.	1	0,0
Adenokarzinome	3525	96,9
8020/3: Undifferenziertes Karzinom o.n.A.	49	1,4
8010/3: Karzinom o.n.A.	33	0,9
8041/3: Kleinzelliges Karzinom o.n.A.	7	0,2
8021/3: Anaplastisches Karzinom o.n.A.	2	0,1
8022/3: Pleomorphes Karzinom	2	0,1
8033/3: Pseudosarkomatöses Karzinom	2	0,1
8011/3: Malignes Epitheliom	1	0,0
8012/3: Großzelliges Karzinom o.n.A.	1	0,0
epitheliale Neoplasien o.n.A.	97	2,7
8070/3: Plattenepithelkarzinom o.n.A.	8	0,2
8071/3: Verhornendes Plattenepithelkarzinom o.n.A.	3	0,1
8072/3: Großzelliges nichtverhornendes Plattenepithelkarzinom o.n.A.	3	0,1
Plattenepithelkarzinome	14	0,4

12.8 Tumorgroße und Ausdehnung (TNM)

Tab. 12.8. C16: Absolute Anzahl der Neuerkrankungen klassifiziert nach der Tumorgroße in Bezug zu der Auflage der TNM-Klassifikation (Behandlungsort)

Tumorgroße (T)	TNM Auflage 6		TNM Auflage 7		TNM Auflage 8		k.A. zur TNM Auflage		Summe	
	Anzahl	%	Anzahl	%	Anzahl	%	Anzahl*	%	Anzahl	%
T1	95	16,6	370	17,4	93	17,6	-	-	558	15,3
T2	151	26,4	194	9,1	65	12,3	-	-	410	11,3
T3	161	28,1	701	33,0	173	32,7	-	-	1035	28,5
T4	56	9,8	449	21,1	131	24,8	-	-	636	17,5
TX	110	19,2	412	19,4	67	12,7	-	-	589	16,2
k.A.	0	0	0	0	0	0	408	100,0	408	11,2
Summe	573	100,0	2126	100,0	529	100,0	408	100,0	3636	100,0

*In einzelnen Fällen wurden Angaben zur Tumorgroße ohne Bezug zu einer TNM Auflage gemacht. Diese Angaben wurden in die Kategorie k.A. aufgenommen.



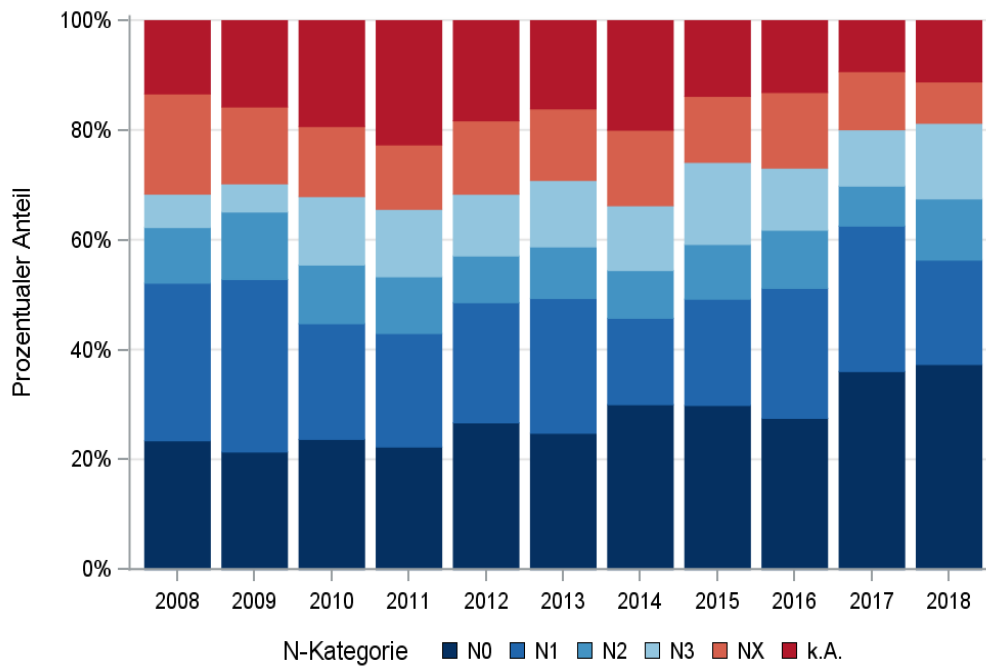
© KKR-MV 2020

Abb. 12.5. C16: Prozentualer Anteil der Neuerkrankungen nach der Tumorgroße im Diagnosezeitraum 2008 bis 2018

Tab. 12.9. C16: Absolute Anzahl der Neuerkrankungen mit bzw. ohne Befall der regionären Lymphknoten in Bezug zu der Auflage der TNM-Klassifikation (Behandlungsort)

N-Kategorie	TNM Auflage 6		TNM Auflage 7		TNM Auflage 8		k.A. zur TNM Auflage		Summe	
	Anzahl	%	Anzahl	%	Anzahl	%	Anzahl*	%	Anzahl	%
N0	146	25,5	638	30,0	212	40,1	-	-	996	27,4
N1	194	33,9	508	23,9	132	25,0	-	-	834	22,9
N2	69	12,0	236	11,1	56	10,6	-	-	361	9,9
N3	37	6,5	295	13,9	68	12,9	-	-	400	11,0
NX	105	18,3	312	14,7	51	9,6	-	-	468	12,9
k.A.	22	3,8	137	6,4	10	1,9	408	100,0	577	15,9
Summe	573	100,0	2126	100,0	529	100,0	408	100,0	3636	100,0

*In einzelnen Fällen wurden Angaben zur N-Kategorie ohne Bezug zu einer TNM Auflage gemacht. Diese Angaben wurden in die Kategorie k.A. aufgenommen.



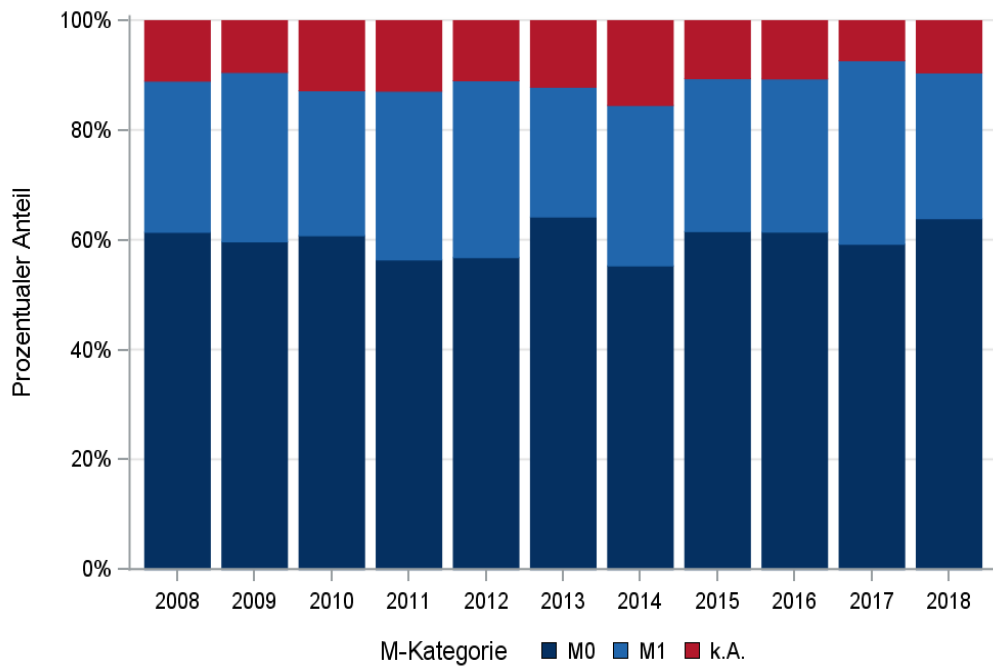
© KKR-MV 2020

Abb. 12.6. C16: Prozentualer Anteil der Neuerkrankungen mit und ohne Befall der regionären Lymphknoten zum Zeitpunkt der Erstdiagnose im Diagnosezeitraum 2008 bis 2018

Tab. 12.10. C16: Absolute Anzahl der Neuerkrankungen mit Fernmetastasierung in Bezug zu der Auflage der TNM-Klassifikation (Behandlungsort)

M-Kategorie	TNM Auflage 6		TNM Auflage 7		TNM Auflage 8		k.A. zur TNM Auflage		Summe	
	Anzahl	%	Anzahl	%	Anzahl	%	Anzahl*	%	Anzahl	%
M0	385	67,2	1432	67,4	365	69,0	-	-	2182	60,0
M1	188	32,8	694	32,6	164	31,0	-	-	1046	28,8
k.A.	0	0	0	0	0	0	408	100,0	408	11,2
Summe	573	100,0	2126	100,0	529	100,0	408	100,0	3636	100,0

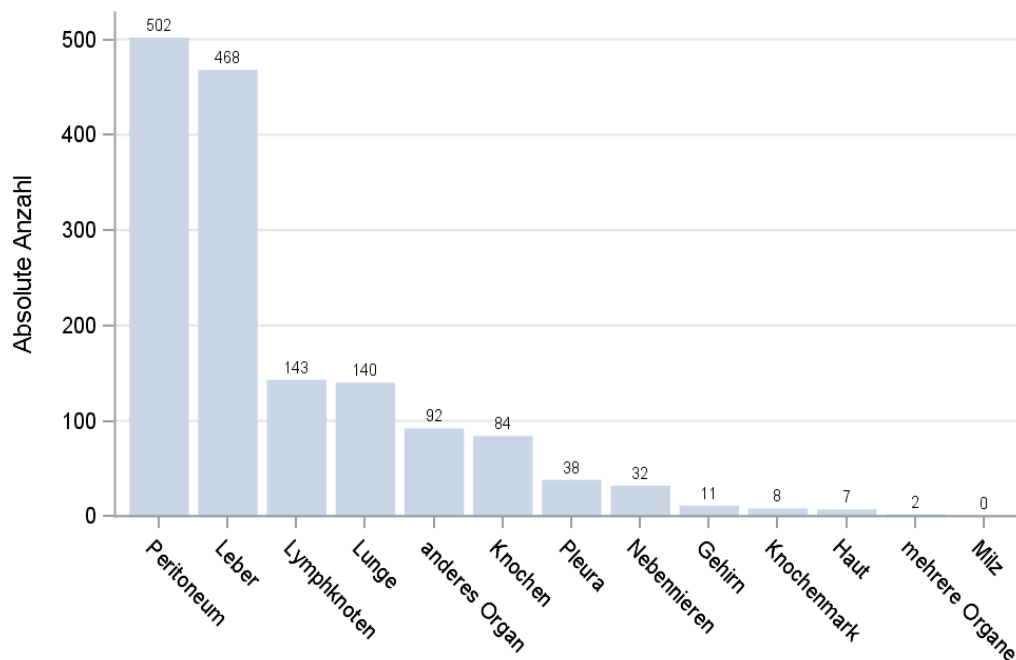
*In einzelnen Fällen wurden Angaben zur M-Kategorie ohne Bezug zu einer TNM Auflage gemacht. Diese Angaben wurden in die Kategorie k.A. aufgenommen.



© KKR-MV 2020

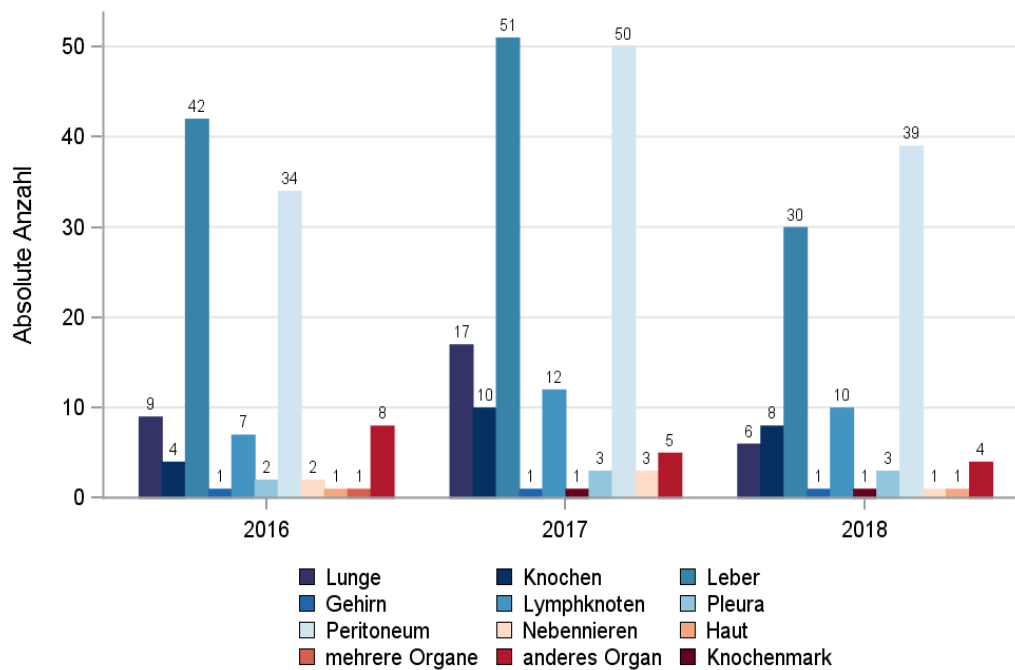
Abb. 12.7. C16: Prozentualer Anteil der primären Fernmetastasierung im Diagnosezeitraum 2008 bis 2018

12.9 Lokalisation der Fernmetastasen



© KKR-MV 2020

Abb. 12.8. C16: Lokalisation der Fernmetastasen bei Neuerkrankungen im Diagnosezeitraum 2008 bis 2018



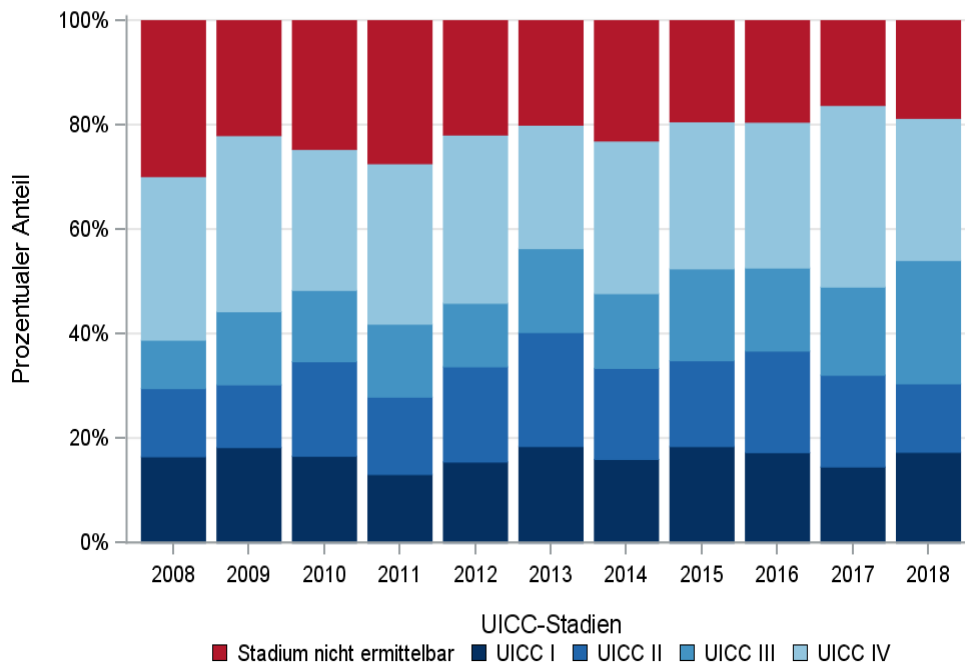
© KKR-MV 2020

Abb. 12.9. C16: Lokalisation der Fernmetastasen bei Neuerkrankungen für die Diagnosejahre 2016 bis 2018

12.10 Tumorstadien nach UICC

Tab. 12.11. C16: Primäre UICC-Stadien (Behandlungsort)

Jahre	UICC I		UICC II		UICC III		UICC IV		Stadium nicht ermittelbar		Summe	
	Anzahl	%	Anzahl	%	Anzahl	%	Anzahl	%	Anzahl	%	Anzahl	%
2008	57	16,5	45	13,0	32	9,3	108	31,3	103	29,9	345	100,0
2009	64	18,3	42	12,0	49	14,0	118	33,7	77	22,0	350	100,0
2010	56	16,6	61	18,1	46	13,6	91	27,0	83	24,6	337	100,0
2011	47	13,1	53	14,8	50	14,0	110	30,7	98	27,4	358	100,0
2012	51	15,5	60	18,2	40	12,2	106	32,2	72	21,9	329	100,0
2013	61	18,5	72	21,8	53	16,1	78	23,6	66	20,0	330	100,0
2014	57	16,0	62	17,4	51	14,3	104	29,2	82	23,0	356	100,0
2015	63	18,5	56	16,4	60	17,6	96	28,2	66	19,4	341	100,0
2016	49	17,3	55	19,4	45	15,9	79	27,9	55	19,4	283	100,0
2017	44	14,6	53	17,5	51	16,9	105	34,8	49	16,2	302	100,0
2018	53	17,4	40	13,1	72	23,6	83	27,2	57	18,7	305	100,0
Summe	602	16,6	599	16,5	549	15,1	1078	29,6	808	22,2	3636	100,0



© KKR-MV 2020

Abb. 12.10. C16: Prozentuale Anteile der UICC-Tumorstadien in den Diagnosejahren 2008 bis 2018

12.11 Dokumentierte Therapie bis max. 12 Monate nach Diagnosestellung

12.11.1 Therapiekombinationen, Stellung der Therapie und Intention der dokumentierten Therapien

Tab. 12.12. C16: Therapiekombinationen (Operation, Strahlentherapie, systemische Therapie) pro Diagnosejahr (Behandlungsort)

Therapiekombinationen	2008	2009	2010	2011	2012	2013	2014	2015	2016	2017	2018	Summe
Alleinige Operation	125	148	129	119	114	126	122	127	103	87	104	1304
Alleinige systemische Therapie	47	48	49	83	55	44	57	59	41	55	30	568
Alleinige Strahlentherapie	0	1	0	1	1	0	2	0	0	2	3	10
Operation und systemische Therapie, keine Strahlentherapie	72	53	57	65	53	71	65	61	49	63	65	674
Operation und Strahlentherapie, keine systemische Therapie	2	1	1	0	0	1	0	0	0	0	2	7
Systemische Therapie und Strahlentherapie, keine Operation	4	2	2	0	0	1	3	2	1	5	1	21
Operation und systemische Therapie und Strahlentherapie	12	9	6	5	7	4	2	5	5	3	3	61
Keine Operation, systemische Therapie oder Strahlentherapie	83	88	93	85	99	83	105	87	84	87	97	991
Summe	345	350	337	358	329	330	356	341	283	302	305	3636

Tab. 12.13. C16: Therapiekombinationen (Operation, Strahlentherapie, systemische Therapie) in Abhängigkeit von dem UICC-Stadium (Behandlungsort)

Therapiekombinationen	UICC I	UICC II	UICC III	UICC IV	Stadium nicht ermittelbar	Summe
Alleinige Operation	505	274	253	130	142	1304
Alleinige systemische Therapie	6	31	27	422	82	568
Alleinige Strahlentherapie	2	3	1	2	2	10
Operation und systemische Therapie, keine Strahlentherapie	27	211	197	136	103	674
Operation und Strahlentherapie, keine systemische Therapie	1	0	3	0	3	7
Systemische Therapie und Strahlentherapie, keine Operation	1	2	4	11	3	21
Operation und systemische Therapie und Strahlentherapie	1	17	26	5	12	61
Keine Operation, systemische Therapie oder Strahlentherapie	59	61	38	372	461	991
Summe	602	599	549	1078	808	3636

Tab. 12.14a. C16: Stellung der Strahlentherapie zur operativen Therapie im ersten Jahr der Erkrankung (adjuvant/neoadjuvant, Behandlungsort)

Stellung der Strahlentherapie zur operativen Therapie	2008	2009	2010	2011	2012	2013	2014	2015	2016	2017	2018	Summe
Adjuvante (postoperative) Strahlentherapie	4	2	2	2	3	2	1	2	3	0	2	23
Neoadjuvante (präoperative) Strahlentherapie	1	2	0	0	4	2	1	3	2	3	3	21
Therapie ohne Bezug zu einer operativen Therapie	0	1	0	0	0	1	0	0	0	0	0	2
unbekannt	9	5	5	3	0	0	0	0	0	0	0	22
Summe	14	10	7	5	7	5	2	5	5	3	5	68

Tab. 12.14b. C16: Stellung der systemischen Therapie zur operativen Therapie im ersten Jahr der Erkrankung (adjuvant/neoadjuvant, Behandlungsort)

Stellung der systemischen Therapie zur operativen Therapie	2008	2009	2010	2011	2012	2013	2014	2015	2016	2017	2018	Summe
Neoadjuvante (präoperative) Therapie	39	28	32	36	34	46	47	37	34	44	61	438
Adjuvante (postoperative) Therapie	24	19	17	16	15	23	10	20	10	11	4	169
Therapie ohne Bezug zu einer operativen Therapie	14	10	10	12	11	4	8	7	9	8	3	96
Intraoperative Therapie	0	0	0	2	0	0	0	0	1	1	0	4
unbekannt	7	5	4	4	0	2	2	2	0	2	0	28
Summe	84	62	63	70	60	75	67	66	54	66	68	735

Tab. 12.15a. C16: Intention bei der ersten Operation (Behandlungsort)

Intention der Operation	2008	2009	2010	2011	2012	2013	2014	2015	2016	2017	2018	Summe
Kurativ	170	167	153	132	117	144	135	164	134	119	146	1581
Palliativ bzw. symptomatisch	22	28	16	18	21	23	17	21	18	15	14	213
Sonstige/Unbekannt/Keine Angabe	19	16	24	39	36	35	37	8	5	19	14	252
Summe	211	211	193	189	174	202	189	193	157	153	174	2046

Tab. 12.15b. C16: Intention der initialen Bestrahlung (Behandlungsort)

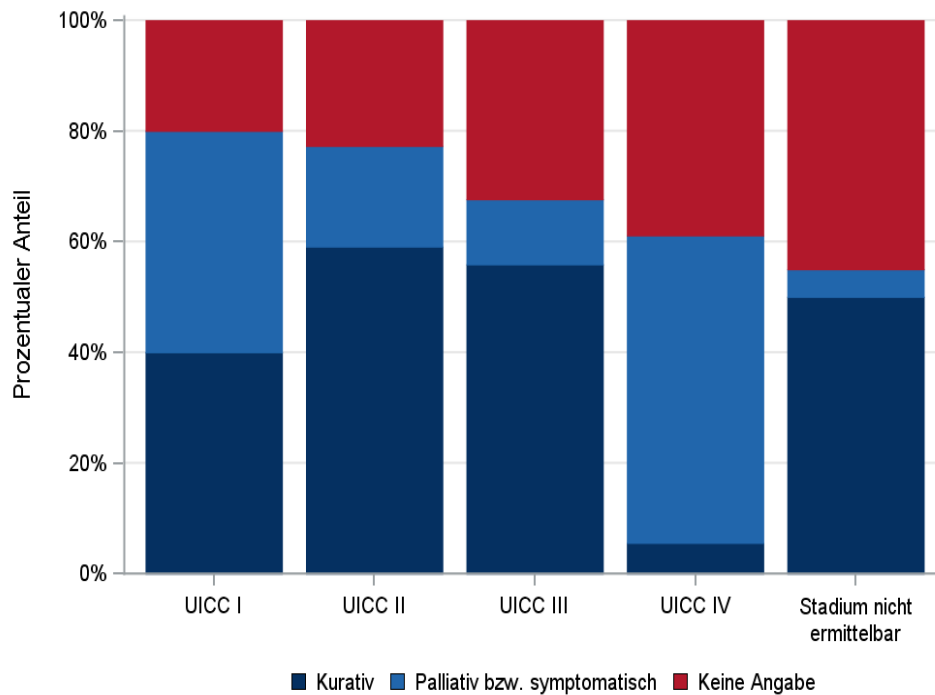
Intention der Bestrahlung	2008	2009	2010	2011	2012	2013	2014	2015	2016	2017	2018	Summe
Kurativ	4	6	1	2	6	5	1	5	6	5	4	45
Palliativ bzw. symptomatisch	1	1	0	0	0	1	6	2	0	5	5	21
Sonstige/Unbekannt/Keine Angabe	13	6	8	4	2	0	0	0	0	0	0	33
Summe	18	13	9	6	8	6	7	7	6	10	9	99

Tab. 12.15c. C16: Intention bei der ersten systemischen Therapie (Behandlungsort)

Intention der systemischen Therapie	2008	2009	2010	2011	2012	2013	2014	2015	2016	2017	2018	Summe
Kurativ	66	56	49	58	46	61	57	57	44	55	58	607
Palliativ bzw. symptomatisch	44	43	50	85	57	52	63	65	47	61	40	607
Sonstige/Unbekannt/Keine Angabe	25	13	15	10	12	7	7	5	5	10	1	110
Summe	135	112	114	153	115	120	127	127	96	126	99	1324

Tab. 12.16. C16: Zeitraum zwischen Diagnose und Beginn der ersten Therapie nach Therapieart (Angaben in Tagen, Behandlungsort)

Therapie	Anzahl	Median	Minimum	Maximum
Diagnose und erste Operation	2046	25	0	342
Diagnose und erste Bestrahlung	99	62	4	346
Diagnose und erste system. Therapie	1324	29	0	360



© KKR-MV 2020

Abb. 12.11. C16: Intention der ersten Bestrahlung nach UICC-Klassifikation

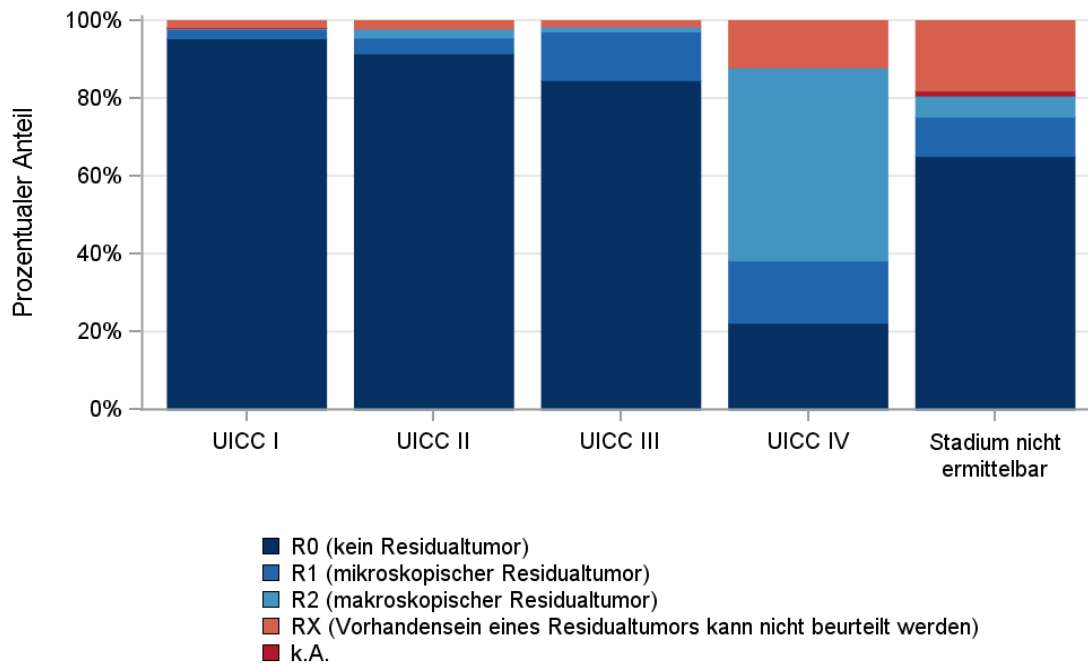
12.11.2 Dokumentierte tumorspezifische Operation bis max.12 Monate nach Diagnosestellung

Tab. 12.17. C16: Dokumentierte tumorspezifische Operation nach UICC (Behandlungsort)

Operationen	UICC I	UICC II	UICC III	UICC IV	Stadium nicht ermittelbar	Summe	
						Anzahl	%
Tumorresektion	490	459	441	242	232	1864	91,1
Tumor- und Lymphknotenresektion	6	12	8	14	6	46	2,2
Lymphknotenresektion	0	2	4	1	2	9	0,4
sonstige OP	22	10	11	11	10	64	3,1
keine Angabe	16	18	15	3	11	63	3,1
Summe	534	501	479	271	261	2046	100,0

Tab. 12.18. C16: Residualklassifikation nach Tumorresektion im Diagnosezeitraum 2008-2018

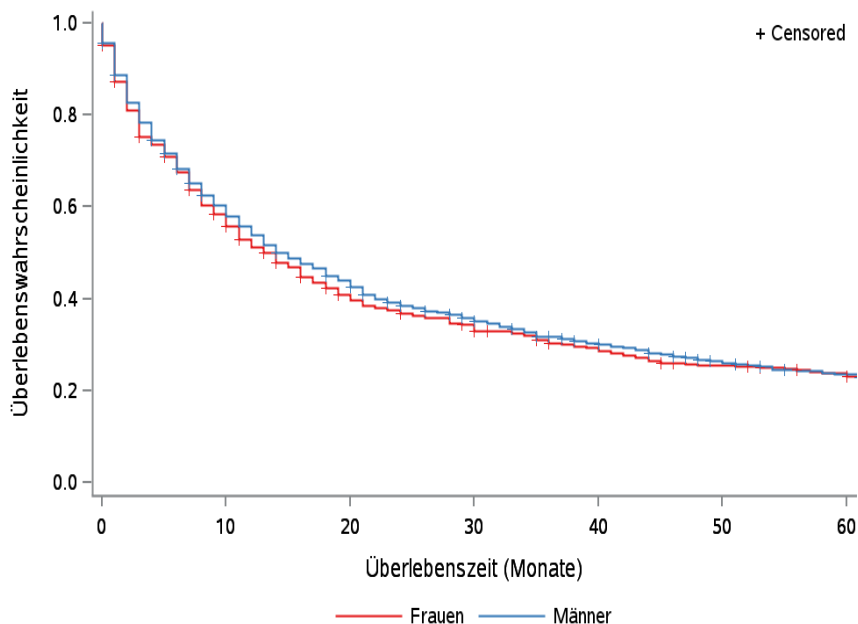
R-Klassifikation	UICC I	UICC II	UICC III	UICC IV	Stadium nicht ermittelbar	Summe	
						Anzahl	%
R0 (kein Residualtumor)	473	431	380	57	155	1496	78,3
R1 (mikroskopischer Residualtumor)	12	19	56	41	24	152	8,0
R2 (makroskopischer Residualtumor)	1	11	6	127	13	158	8,3
RX (Vorhandensein eines Residualtumors kann nicht beurteilt werden)	9	10	7	31	43	100	5,2
keine Angabe	1	0	0	0	3	4	0,2
Summe	496	471	449	256	238	1910	100,0



© KKR-MV 2020

Abb.12.12. C16: Residualklassifikation nach Tumorresektion in Abhängigkeit von UICC-Tumorstadium im Diagnosezeitraum 2008 bis 2018

12.12 Überlebensanalysen bei den in den Jahren 2008 – 2013 primär diagnostizierten Patienten

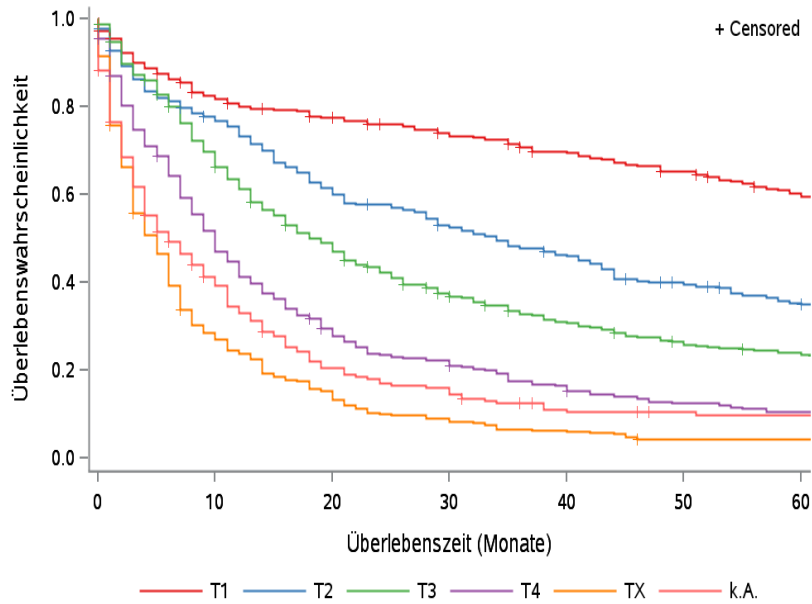


© KKR-MV 2020

Abb.12.13. C16: Wahrscheinlichkeit des Überlebens (Kaplan-Meier-Analyse) nach Geschlecht im Diagnosezeitraum von 2008 bis 2013 (Wohnort). Kaplan-Meier-Kurven werden für Kategorien mit weniger als 10 Neuerkrankungen nicht dargestellt.

Tab. 12.19. C16: Anzahl der unter Risiko stehenden Neuerkrankungen (Monate nach Diagnose)

Geschlecht	0 Monate	20 Monate	40 Monate	60 Monate
Männer	1197	510	338	253
Frauen	770	299	208	163



© KKR-MV 2020

Abb.12.14. C16: Wahrscheinlichkeit des Überlebens (Kaplan-Meier-Analyse) nach Tumorstadium im Diagnosezeitraum von 2008 bis 2013 (Wohnort). Kaplan-Meier-Kurven werden für Kategorien mit weniger als 10 Neuerkrankungen nicht dargestellt.

Tab. 12.20. C16: Anzahl der unter Risiko stehenden Neuerkrankungen nach Tumorstadium (Monate nach Diagnose)

T-Kategorie	0 Monate	20 Monate	40 Monate	60 Monate
T1	290	210	182	153
T2	267	159	117	84
T3	565	268	163	123
T4	270	77	42	26
TX	352	53	22	14
k.A	223	42	20	16

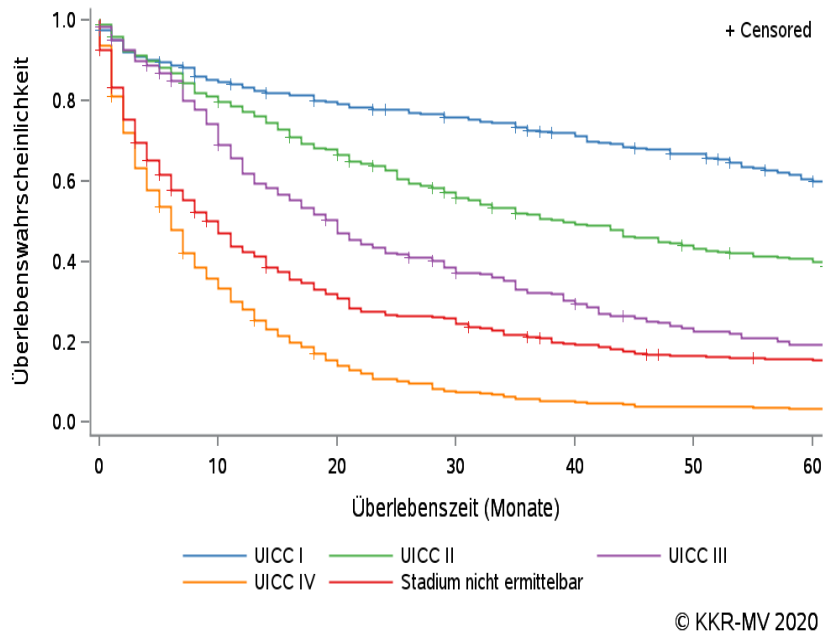


Abb.12.15. C16: Wahrscheinlichkeit des Überlebens (Kaplan-Meier-Analyse) nach UICC-Tumorstadium im Diagnosezeitraum von 2008 bis 2013 (Wohnort). Kaplan-Meier-Kurven werden für Kategorien mit weniger als 10 Neuerkrankungen nicht dargestellt.

Tab. 12.21. C16: Anzahl der unter Risiko stehenden Neuerkrankungen nach UICC-Stadium (Monate nach Diagnose)

UICC-Stadium	0 Monate	20 Monate	40 Monate	60 Monate
UICC I	324	241	209	168
UICC II	321	210	147	117
UICC III	258	125	73	45
UICC IV	587	88	30	20
Stadium nicht ermittelbar	477	145	87	66

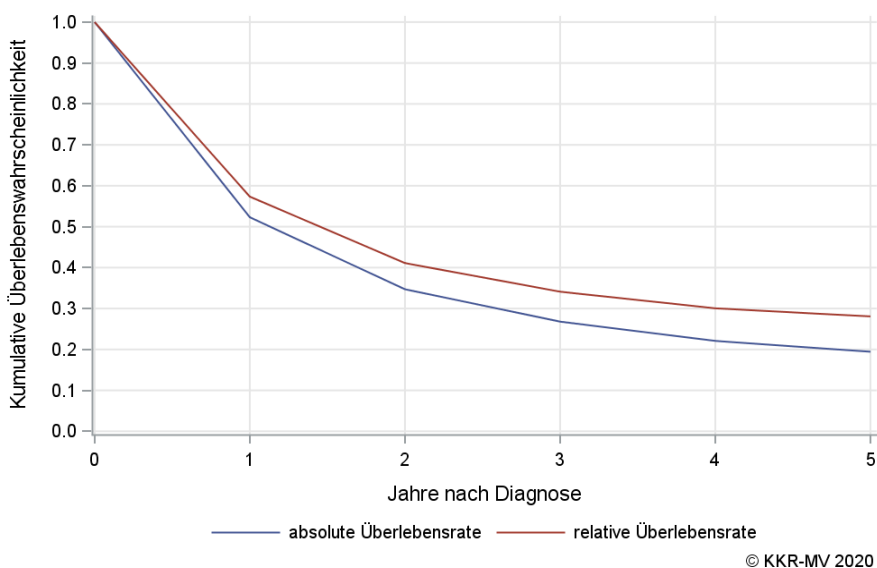
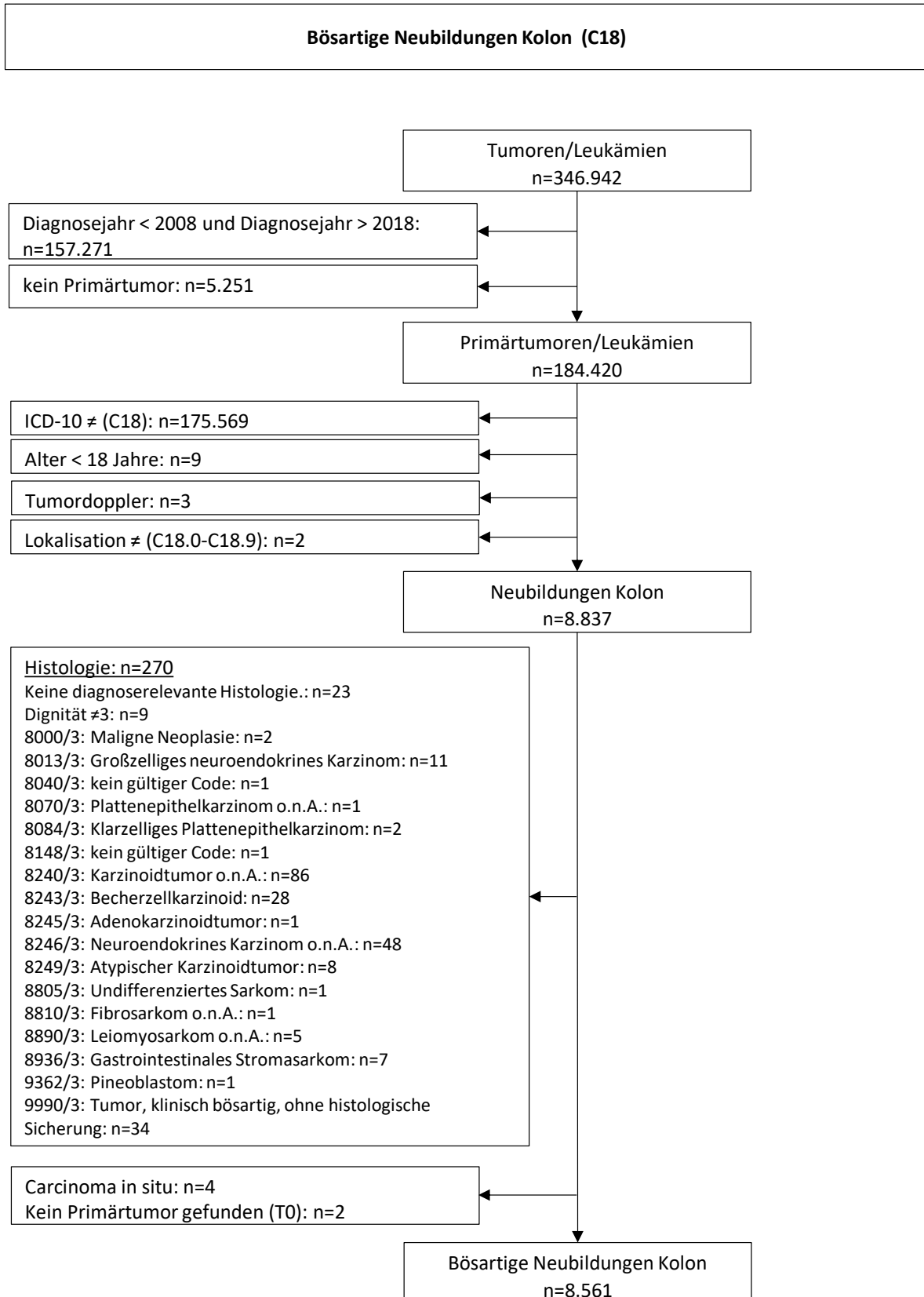


Abb. 12.16. C16: Absolutes und relatives Überleben im Diagnosezeitraum 2008 bis 2013 (Wohnort, Alter > 19)

13 Kolon (C18)

13.1 Consort-Statement: Darstellung der Auswertepopulation

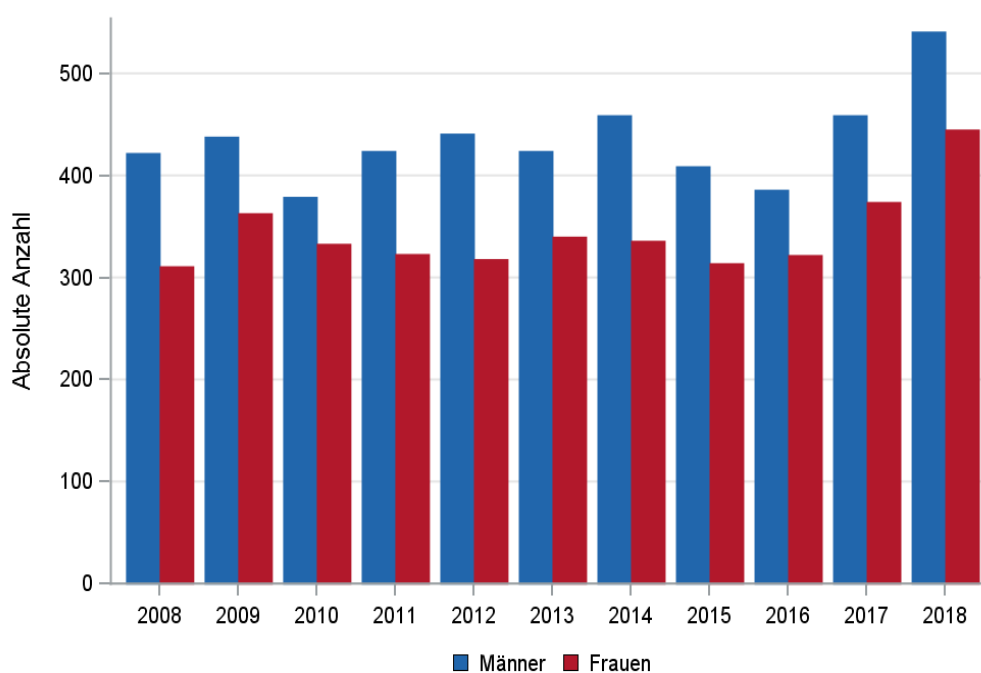


*Erläuterungen zu den Ausschlüssen finden Sie im Kapitel 4 (Methode)

13.2 Absolute Anzahl der erfassten Neuerkrankungen in M-V in den Jahren 2008 – 2018 nach Geschlecht (Behandlungsort, Wohnort)

Tab. 13.1. C18: Absolute Anzahl der Neuerkrankungen nach Geschlecht (Behandlungsort)

Diagnosejahr	Männer		Frauen		Summe
	Anzahl	%	Anzahl	%	
2008	422	57,6	311	42,4	733
2009	438	54,7	363	45,3	801
2010	379	53,2	333	46,8	712
2011	424	56,8	323	43,2	747
2012	441	58,1	318	41,9	759
2013	424	55,5	340	44,5	764
2014	459	57,7	336	42,3	795
2015	409	56,6	314	43,4	723
2016	386	54,5	322	45,5	708
2017	459	55,1	374	44,9	833
2018	541	54,9	445	45,1	986
Summe	4782	55,9	3779	44,1	8561

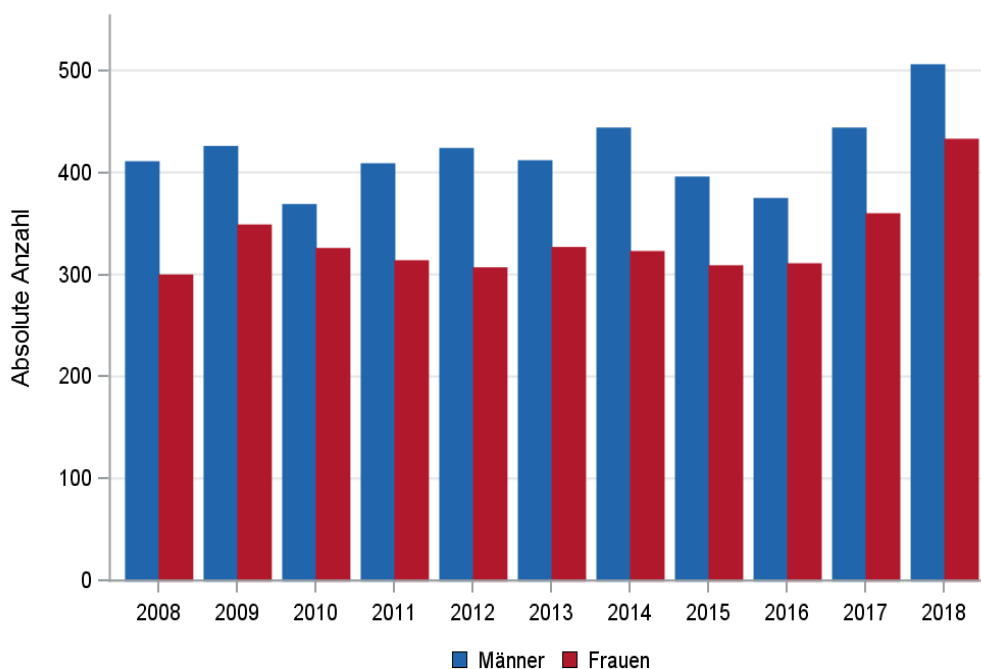


© KKR-MV 2020

Abb. 13.1. C18: Absolute Anzahl der Neuerkrankungen nach Geschlecht im Diagnosezeitraum 2008 bis 2018 (Behandlungsort)

Tab. 13.2. C18: Absolute Anzahl der Neuerkrankungen nach Geschlecht (Wohnort)

Diagnosejahr	Männer		Frauen		Summe
	Anzahl	%	Anzahl	%	
2008	411	57,8	300	42,2	711
2009	426	55,0	349	45,0	775
2010	369	53,1	326	46,9	695
2011	409	56,6	314	43,4	723
2012	424	58,0	307	42,0	731
2013	412	55,8	327	44,2	739
2014	444	57,9	323	42,1	767
2015	396	56,2	309	43,8	705
2016	375	54,7	311	45,3	686
2017	444	55,2	360	44,8	804
2018	506	53,9	433	46,1	939
Summe	4616	55,8	3659	44,2	8275



© KKR-MV 2020

Abb. 13.2. C18: Absolute Anzahl der Neuerkrankungen nach Geschlecht im Diagnosezeitraum 2008 bis 2018 (Wohnort)

13.3 Absolute Anzahl der erfassten Neuerkrankungen in M-V in den Jahren 2008 – 2018 nach Landkreisen (Wohnort)

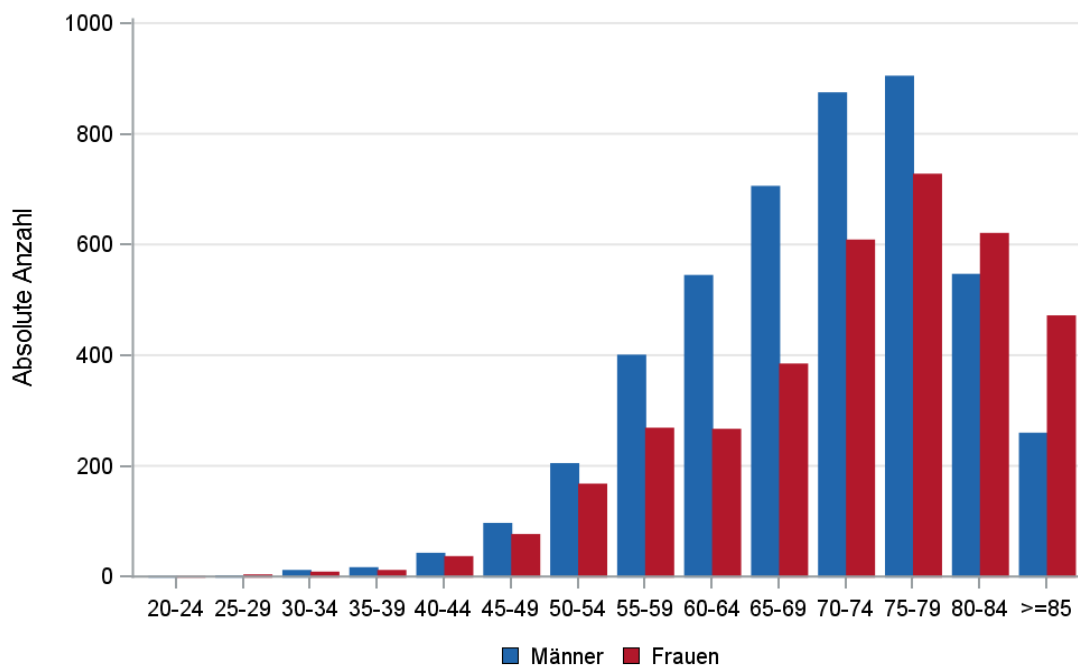
Tab. 13.3. C18: Absolute Anzahl und prozentualer Anteil der Neuerkrankungen nach Landkreisen

Landkreis	2008		2009		2010		2011		2012		2013		2014		2015		2016		2017		2018		Summe	
	Anzahl	%	Anzahl	%	Anzahl	%	Anzahl	%	Anzahl	%	Anzahl	%	Anzahl	%	Anzahl	%	Anzahl	%	Anzahl	%	Anzahl	%	Anzahl	%
Landkreis Rostock	82	11,5	87	11,2	83	11,9	79	10,9	84	11,5	110	14,9	110	14,3	114	16,2	117	17,1	106	13,2	136	14,5	1108	13,4
Ludwigslust-Parchim	60	8,4	70	9,0	53	7,6	69	9,5	78	10,7	70	9,5	75	9,8	94	13,3	87	12,7	86	10,7	124	13,2	866	10,5
Mecklenburgische Seenplatte	137	19,3	150	19,4	117	16,8	133	18,4	136	18,6	109	14,7	130	16,9	82	11,6	35	5,1	127	15,8	148	15,8	1304	15,8
Nordwestmecklenburg	45	6,3	69	8,9	61	8,8	69	9,5	64	8,8	68	9,2	72	9,4	61	8,7	66	9,6	58	7,2	71	7,6	704	8,5
Rostock	113	15,9	118	15,2	112	16,1	114	15,8	102	14,0	81	11,0	103	13,4	93	13,2	102	14,9	123	15,3	111	11,8	1172	14,2
Schwerin	57	8,0	45	5,8	41	5,9	43	5,9	34	4,7	35	4,7	33	4,3	49	7,0	34	5,0	30	3,7	58	6,2	459	5,5
Vorpommern-Greifswald	112	15,8	136	17,5	118	17,0	111	15,4	104	14,2	134	18,1	124	16,2	101	14,3	113	16,5	147	18,3	142	15,1	1342	16,2
Vorpommern-Rügen	101	14,2	100	12,9	110	15,8	105	14,5	124	17,0	130	17,6	119	15,5	108	15,3	129	18,8	126	15,7	148	15,8	1300	15,7
nicht zuordenbar	4	0,6	0	0	0	0	0	0	5	0,7	2	0,3	1	0,1	3	0,4	3	0,4	1	0,1	1	0,1	20	0,2
Summe	711	100,0	775	100,0	695	100,0	723	100,0	731	100,0	739	100,0	767	100,0	705	100,0	686	100,0	804	100,0	939	100,0	8275	100,0

13.4 Rohe und standardisierte Neuerkrankungsraten pro 100.000 Einwohner in den Jahren 2008-2018 (Wohnort)

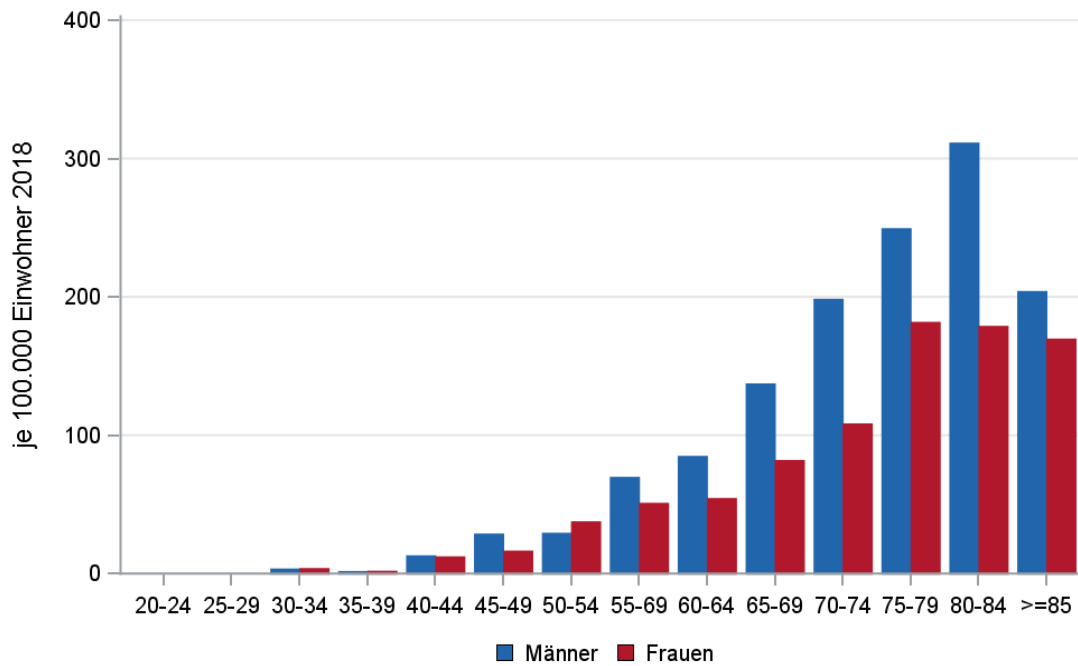
Tab. 13.4. C18: Neuerkrankungsrate/100.000 Einwohner (Alter > 19)

Diagnosejahr	Männer			Frauen		
	absolute Anzahl der Neuerkrankungen	rohe Rate in M-V	altersstandardisierte Rate	absolute Anzahl der Neuerkrankungen	rohe Rate in M-V	altersstandardisierte Rate
2008	411	59,4	49,8	300	42,0	26,4
2009	426	61,7	49,6	349	49,0	29,8
2010	369	53,5	42,3	326	45,8	26,6
2011	409	61,0	45,5	314	44,8	26,0
2012	424	63,6	47,2	307	44,1	25,9
2013	412	62,2	44,2	327	47,2	25,9
2014	444	67,3	47,0	323	46,9	26,5
2015	396	59,9	40,6	309	44,9	25,0
2016	375	56,7	38,6	311	45,3	23,4
2017	444	67,5	46,1	360	52,5	27,8
2018	506	77,2	50,0	433	63,2	34,6
2008-2018	4616	62,7	45,5	3659	47,8	27,1



© KKR-MV 2020

Abb. 13.3. C18: Absolute Anzahl der Neuerkrankungen aufgelistet in 5-Jahres-Altersgruppen und nach Geschlecht im Diagnosezeitraum 2008 bis 2018 (Wohnort)



© KKR-MV 2020

Abb. 13.4. C18: Altersspezifische Rate der Neuerkrankungen je 100.000 Einwohner (Diagnosejahr 2018) nach 5-Jahres-Altersgruppen und Geschlecht (Wohnort)

13.5 Alter der in den Jahren 2008 - 2018 in M-V neuerkrankten Patienten (Behandlungsort)

Tab. 13.5. C18: Erkrankungsalter (Behandlungsort)

Diagnosejahr	Männer				Frauen			
	Anzahl	Median	Minimum	Maximum	Anzahl	Median	Minimum	Maximum
2008	422	70	31	98	311	72	37	98
2009	438	70	31	95	363	73	21	100
2010	379	70	33	99	333	74	39	98
2011	424	72	37	95	323	74	41	100
2012	441	72	27	92	318	74	25	92
2013	424	72	21	96	340	76	26	93
2014	459	72	30	92	336	74	38	95
2015	409	73	21	93	314	75	30	95
2016	386	72	33	91	322	76	28	98
2017	459	70	28	93	374	76	31	95
2018	541	70	30	95	445	75	31	94

13.6 Absolute Anzahl der erfassten Neuerkrankungen in M-V in den Jahren 2008 – 2018 nach Lokalisation

Tab. 13.6. C18: Absolute Anzahl und prozentualer Anteil der Neuerkrankungen nach der Lokalisation (Behandlungsort)

Lokalisation	2008	2009	2010	2011	2012	2013	2014	2015	2016	2017	2018	Summe	
												Anzahl	%
C18.0 Zäkum, einschl. Ileozäkalklappe	106	121	113	120	123	128	127	110	132	144	141	1365	15,9
C18.1 Appendix	6	11	15	12	11	7	8	10	14	14	12	120	1,4
C18.2 Colon ascendens	127	159	136	140	136	157	153	153	133	178	209	1681	19,6
C18.3 Flexura hepatica	30	43	40	70	45	55	64	37	45	59	58	546	6,4
C18.4 Colon transversum	43	51	51	50	49	54	71	70	61	75	68	643	7,5
C18.41 Colon transversum, rechtes Drittel	7	7	3	4	6	5	6	4	5	8	6	61	0,7
C18.42 Colon transversum, mittleres Drittel	2	2	1	0	2	0	0	3	1	1	0	12	0,1
C18.43 Colon transversum, linkes Drittel	5	3	1	2	2	1	1	3	4	4	5	31	0,4
C18.5 Flexura lienalis	23	22	27	17	27	17	34	22	23	21	27	260	3,0
C18.6 Colon descendens	35	41	41	39	45	47	56	42	38	45	58	487	5,7
C18.7 Colon sigmoideum (ohne Rektosigmoid, Übergang, =C19.9)	317	314	265	269	295	285	266	259	255	272	394	3191	37,2
C18.8 Dickdarm (mehrere Teilbereiche überlappend)	19	9	12	13	8	7	6	4	3	4	7	92	1,1
C18.9 Dickdarm o.n.A.	18	20	7	11	10	1	3	6	3	8	7	94	1,1
Summe	738	803	712	747	759	764	795	723	717	833	992	8583	100,0

13.7 Histologische Befunde bei allen neuerkrankten Patienten in M-V in den Jahren 2008 – 2018

Tab. 13.7. C18: Histologische Befunde bei neuerkrankten Patienten (Behandlungsort)

Histologiecode	Anzahl	Prozent
8140/3: Adenokarzinom o.n.A.	6767	79,0
8211/3: Tubuläres Adenokarzinom	790	9,2
8480/3: Muzinöses Adenokarzinom	513	6,0
8263/3: Adenokarzinom in tubulovillösem Adenom	108	1,3
8481/3: Schleimbildendes Adenokarzinom	92	1,1
8490/3: Siegelringzellkarzinom	54	0,6
8210/3: Adenokarzinom in adenomatösem Polypen	46	0,5
8510/3: Medulläres Karzinom o.n.A.	34	0,4
8230/3: Solides Karzinom o.n.A.	26	0,3
8244/3: Gemischtes adeno-neuroendokrines Karzinom	25	0,3
8201/3: Kribriformes Karzinom o.n.A.	7	0,1
8144/3: Adenokarzinom vom intestinalen Typ	4	0,1
8574/3: Adenokarzinom mit neuroendokriner Differenzierung	4	0,1
8145/3: Diffuses Karzinom	1	0,0
8213/3: Serrated adenocarcinoma	1	0,0
8262/3: Villöses Adenokarzinom	1	0,0
8265/3: Mikropapilläres Karzinom o.n.A.	1	0,0
8323/3: Gemischtzelliges Adenokarzinom	1	0,0
8430/3: Mukoepidermoid-Karzinom	1	0,0

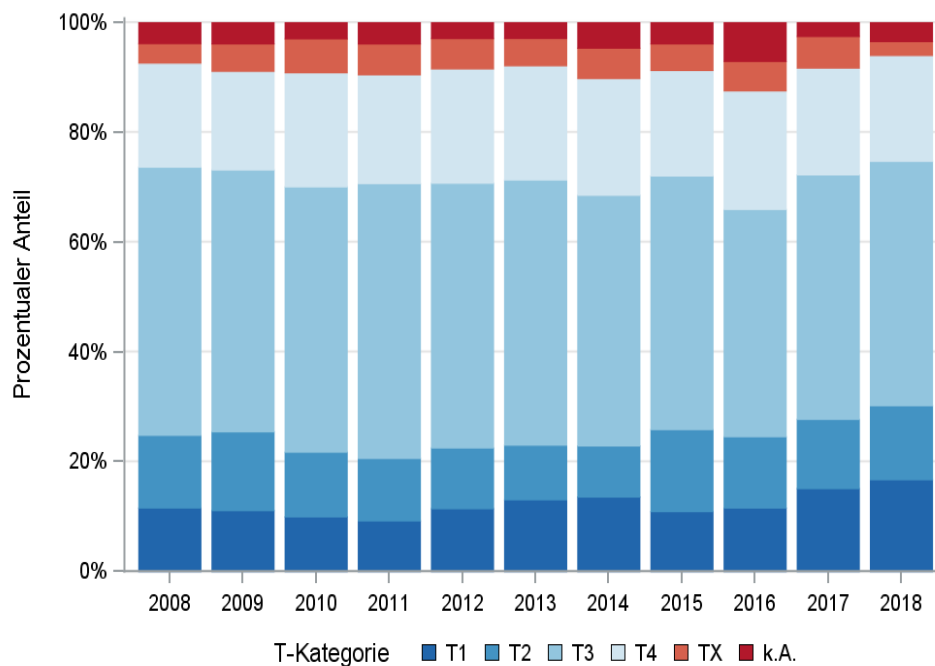
Histologiecode	Anzahl	Prozent
8440/3: Zystadenokarzinom o.n.A.	1	0,0
8560/3: Adenosquamöses Karzinom	1	0,0
8980/3: Karzinosarkom o.n.A.	1	0,0
Adenokarzinome	8479	99,0
8010/3: Karzinom o.n.A.	57	0,7
8020/3: Undifferenziertes Karzinom o.n.A.	17	0,2
8041/3: Kleinzelliges Karzinom o.n.A.	6	0,1
8021/3: Anaplastisches Karzinom o.n.A.	1	0,0
8033/3: Pseudosarkomatöses Karzinom	1	0,0
nicht näher bezeichnete epitheliale Neoplasien	82	1,0

13.8 Tumorgröße und Ausdehnung (TNM)

Tab. 13.8. C18: Absolute Anzahl der Neuerkrankungen klassifiziert nach der Tumorgröße in Bezug zu der Auflage der TNM-Klassifikation (Behandlungsort)

Tumorgröße (T)	TNM Auflage 6		TNM Auflage 7		TNM Auflage 8		k.A. zur TNM Auflage		Summe	
	Anzahl	%	Anzahl	%	Anzahl	%	Anzahl*	%	Anzahl	%
T1	160	12,4	633	12,0	268	16,0	-	-	1061	12,4
T2	179	13,8	643	12,2	231	13,8	-	-	1053	12,3
T3	648	50,1	2574	48,8	771	46,1	-	-	3993	46,6
T4	256	19,8	1110	21,1	343	20,5	-	-	1709	20,0
TX	50	3,9	311	5,9	61	3,6	-	-	422	4,9
k.A.	0	0	0	0	0	0	323	100,0	323	3,8
Summe	1293	100,0	5271	100,0	1674	100,0	323	100,0	8561	100,0

*In einzelnen Fällen wurden Angaben zur Tumorgröße ohne Bezug zu einer TNM Auflage gemacht. Diese Angaben wurden in die Kategorie k.A. aufgenommen.



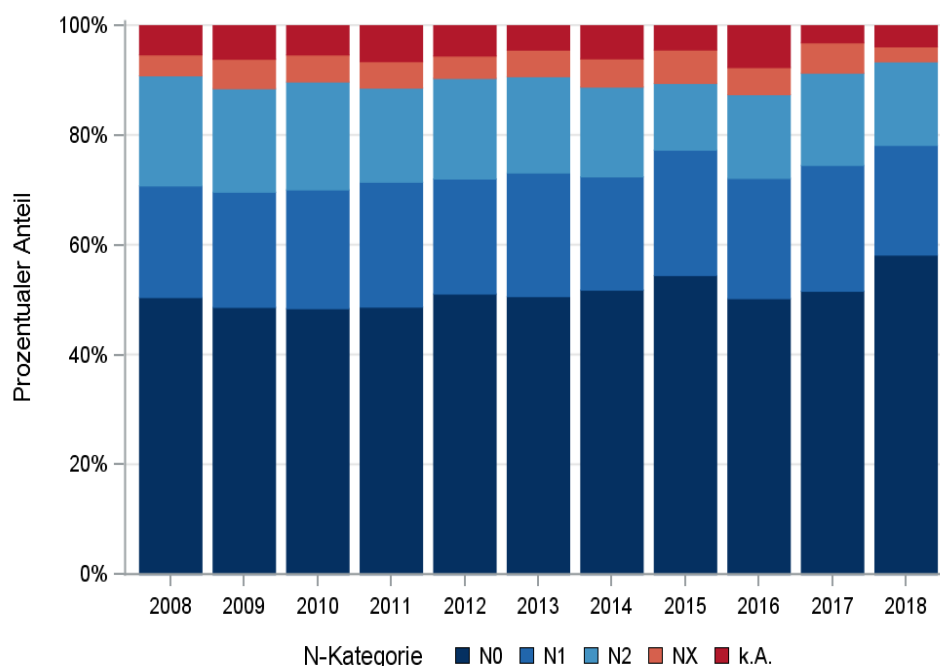
© KKR-MV 2020

Abb. 13.5. C18: Prozentualer Anteil der Neuerkrankungen nach der Tumorgröße im Diagnosezeitraum 2008 bis 2018

Tab. 13.9. C18: Absolute Anzahl der Neuerkrankungen mit bzw. ohne Befall der regionären Lymphknoten in Bezug zu der Auflage der TNM-Klassifikation (Behandlungsort)

N-Kategorie	TNM Auflage 6		TNM Auflage 7		TNM Auflage 8		k.A. zur TNM Auflage		Summe	
	Anzahl	%	Anzahl	%	Anzahl	%	Anzahl*	%	Anzahl	%
N0	673	52,0	2781	52,8	956	57,1	-	-	4410	51,5
N1	272	21,0	1195	22,7	377	22,5	-	-	1844	21,5
N2	264	20,4	917	17,4	274	16,4	-	-	1455	17,0
NX	64	4,9	281	5,3	58	3,5	-	-	403	4,7
k.A.	20	1,5	97	1,8	9	0,5	323	100,0	449	5,2
Summe	1293	100,0	5271	100,0	1674	100,0	323	100,0	8561	100,0

*In einzelnen Fällen wurden Angaben zur N-Kategorie ohne Bezug zu einer TNM Auflage gemacht. Diese Angaben wurden in die Kategorie k.A. aufgenommen.



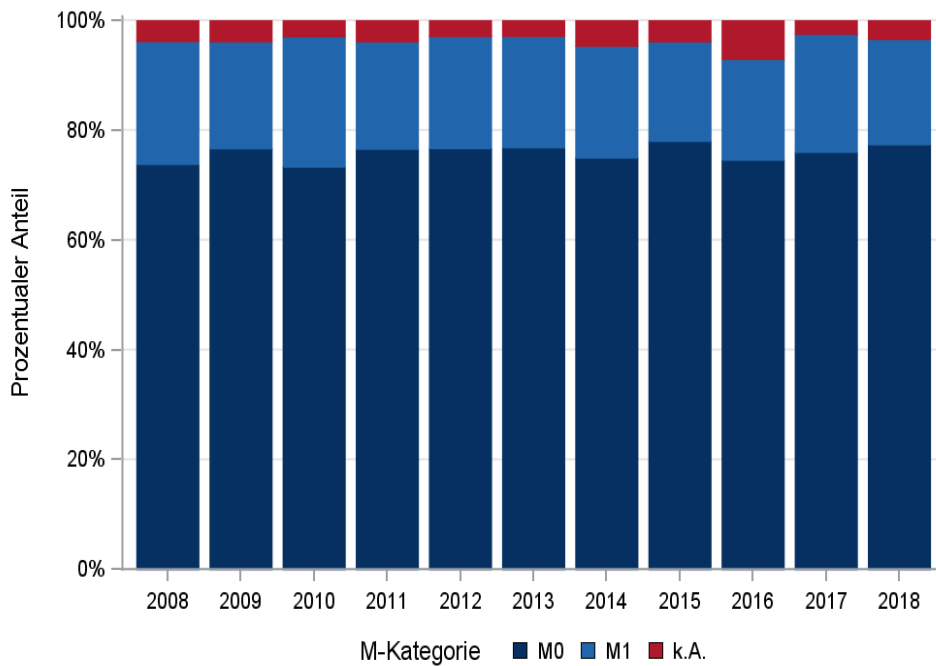
© KKR-MV 2020

Abb. 13.6. C18: Prozentualer Anteil der Neuerkrankungen mit und ohne Befall der regionären Lymphknoten zum Zeitpunkt der Erstdiagnose im Diagnosezeitraum 2008 bis 2018

Tab. 13.10. C18: Absolute Anzahl der Neuerkrankungen mit Fernmetastasierung in Bezug zu der Auflage der TNM-Klassifikation (Behandlungsort)

M-Kategorie	TNM Auflage 6		TNM Auflage 7		TNM Auflage 8		k.A. zur TNM Auflage		Summe	
	Anzahl	%	Anzahl	%	Anzahl	%	Anzahl*	%	Anzahl	%
M0	1010	78,1	4169	79,1	1323	79,0	-	-	6502	75,9
M1	283	21,9	1102	20,9	351	21,0	-	-	1736	20,3
k.A.	0	0	0	0	0	0	323	100,0	323	3,8
Summe	1293	100,0	5271	100,0	1674	100,0	323	100,0	8561	100,0

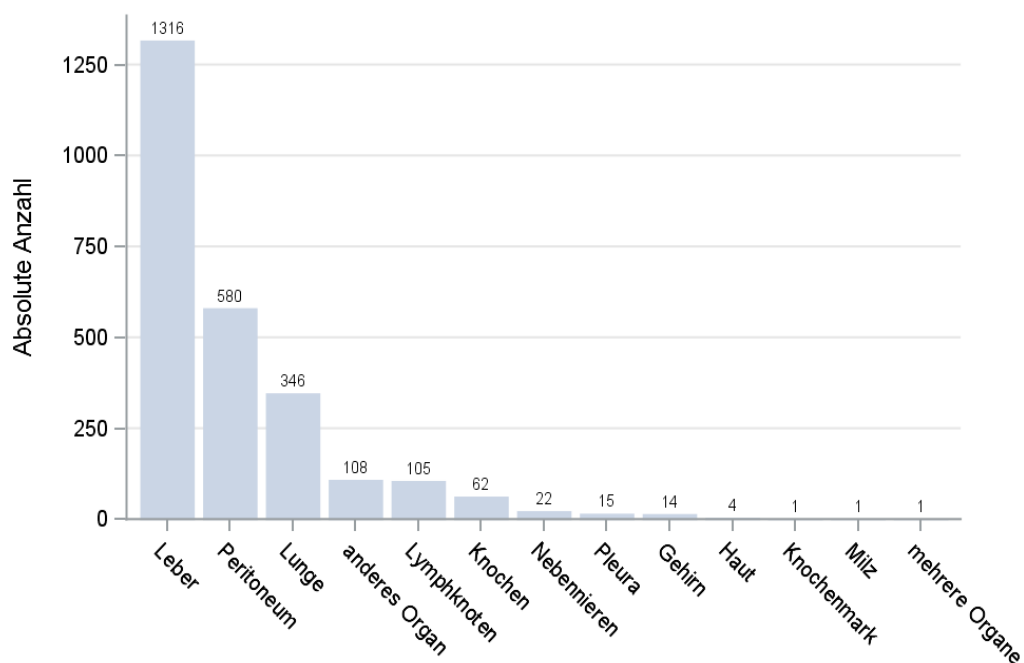
*In einzelnen Fällen wurden Angaben zur M-Kategorie ohne Bezug zu einer TNM Auflage gemacht. Diese Angaben wurden in die Kategorie k.A. aufgenommen.



© KKR-MV 2020

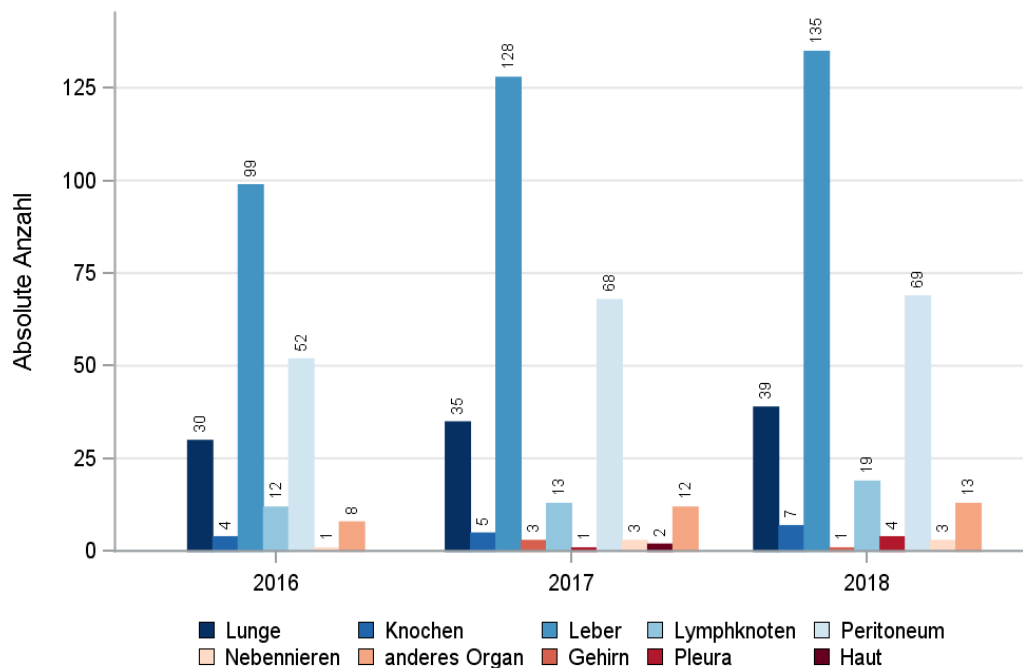
Abb. 13.7. C18: Prozentualer Anteil der primären Fernmetastasierung im Diagnosezeitraum 2008 bis 2018

13.9 Lokalisation der Fernmetastasen



© KKR-MV 2020

Abb. 13.8. C18: Lokalisation der Fernmetastasen bei Neuerkrankungen im Diagnosezeitraum 2008 bis 2018



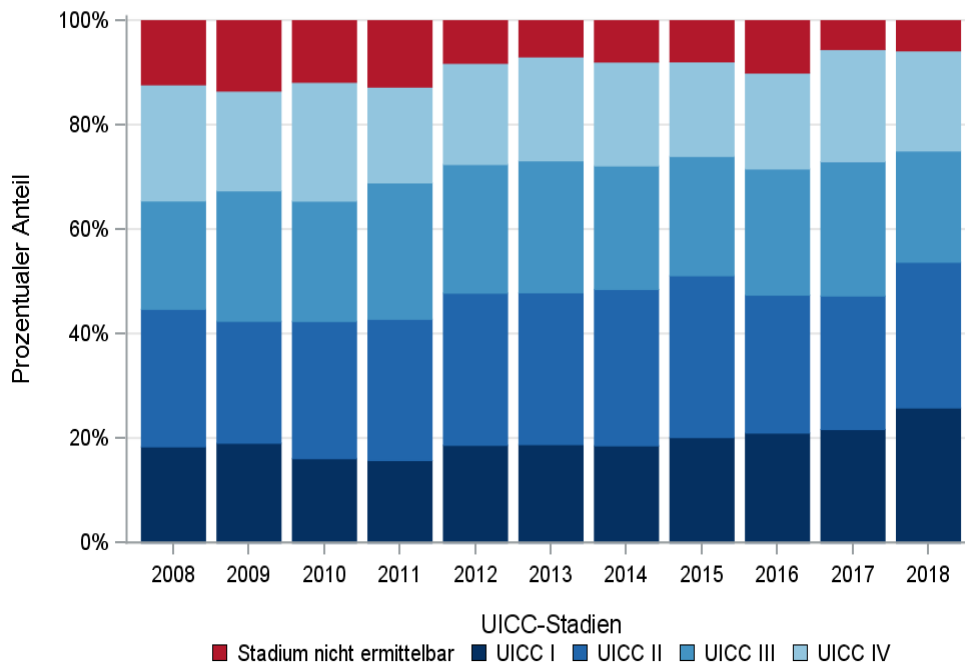
© KKR-MV 2020

Abb. 13.9. C18: Lokalisation der Fernmetastasen bei Neuerkrankungen für die Diagnosejahre 2016 bis 2018

13.10 Tumorstadien nach UICC

Tab. 13.11. C18: Primäre UICC-Stadien (Behandlungsort)

Jahre	UICC I		UICC II		UICC III		UICC IV		Stadium nicht ermittelbar		Summe	
	Anzahl	%	Anzahl	%	Anzahl	%	Anzahl	%	Anzahl	%	Anzahl	%
2008	135	18,4	193	26,3	152	20,7	163	22,2	90	12,3	733	100,0
2009	153	19,1	187	23,3	200	25,0	153	19,1	108	13,5	801	100,0
2010	115	16,2	187	26,3	164	23,0	162	22,8	84	11,8	712	100,0
2011	118	15,8	202	27,0	195	26,1	137	18,3	95	12,7	747	100,0
2012	142	18,7	221	29,1	187	24,6	147	19,4	62	8,2	759	100,0
2013	144	18,8	222	29,1	193	25,3	152	19,9	53	6,9	764	100,0
2014	148	18,6	238	29,9	188	23,6	158	19,9	63	7,9	795	100,0
2015	146	20,2	224	31,0	165	22,8	131	18,1	57	7,9	723	100,0
2016	149	21,0	187	26,4	171	24,2	130	18,4	71	10,0	708	100,0
2017	181	21,7	213	25,6	214	25,7	179	21,5	46	5,5	833	100,0
2018	255	25,9	275	27,9	210	21,3	189	19,2	57	5,8	986	100,0
Summe	1686	19,7	2349	27,4	2039	23,8	1701	19,9	786	9,2	8561	100,0



© KKR-MV 2020

Abb. 13.10. C18: Prozentuale Anteile der UICC-Tumorstadien in den Diagnosejahren 2008 bis 2018

13.11 Dokumentierte Therapie bis max. 12 Monate nach Diagnosestellung

13.11.1 Therapiekombinationen, Stellung der Therapie und Intention der dokumentierten Therapien

Tab. 13.12. C18: Therapiekombinationen (Operation, Strahlentherapie, systemische Therapie) pro Diagnosejahr (Behandlungsort)

Therapiekombinationen	2008	2009	2010	2011	2012	2013	2014	2015	2016	2017	2018	Summe
Alleinige Operation	473	496	438	467	463	468	463	468	452	517	641	5346
Alleinige systemische Therapie	7	15	15	16	17	14	27	22	12	23	20	188
Alleinige Strahlentherapie	0	0	0	1	0	0	0	0	0	0	0	1
Operation und systemische Therapie, keine Strahlentherapie	211	241	206	207	227	215	230	173	174	224	229	2337
Operation und Strahlentherapie, keine systemische Therapie	0	0	0	1	1	1	0	0	0	0	1	4
Systemische Therapie und Strahlentherapie, keine Operation	1	0	0	2	0	1	0	1	0	0	0	5
Operation und systemische Therapie und Strahlentherapie	4	1	4	3	0	6	0	0	0	3	7	28
Keine Operation, systemische Therapie oder Strahlentherapie	37	48	49	50	51	59	75	59	70	66	88	652
Summe	733	801	712	747	759	764	795	723	708	833	986	8561

Tab. 13.13. C18: Therapiekombinationen (Operation, Strahlentherapie, systemische Therapie) in Abhängigkeit von dem UICC-Stadium (Behandlungsort)

Therapiekombinationen	UICC I	UICC II	UICC III	UICC IV	Stadium nicht ermittelbar	Summe
Alleinige Operation	1617	2034	863	498	334	5346
Alleinige systemische Therapie	0	0	1	151	36	188
Alleinige Strahlentherapie	0	0	0	1	0	1
Operation und systemische Therapie, keine Strahlentherapie	25	277	1140	824	71	2337
Operation und Strahlentherapie, keine systemische Therapie	0	2	2	0	0	4
Systemische Therapie und Strahlentherapie, keine Operation	0	0	2	3	0	5
Operation und systemische Therapie und Strahlentherapie	3	9	12	1	3	28
Keine Operation, systemische Therapie oder Strahlentherapie	41	27	19	223	342	652
Summe	1686	2349	2039	1701	786	8561

Tab. 13.14a. C18: Stellung der Strahlentherapie zur operativen Therapie im ersten Jahr der Erkrankung (adjuvant/neoadjuvant, Behandlungsort)

Stellung der Strahlentherapie zur operativen Therapie	2008	2009	2010	2011	2012	2013	2017	2018	Summe
Adjuvante (postoperative) Strahlentherapie	3	0	2	1	0	3	1	2	12
Neoadjuvante (präoperative) Strahlentherapie	0	0	0	1	0	0	2	5	8
Therapie ohne Bezug zu einer operativen Therapie	0	0	1	0	0	0	0	1	2
unbekannt	1	1	1	2	1	4	0	0	10
Summe	4	1	4	4	1	7	3	8	32

Tab. 13.14b. C18: Stellung der systemischen Therapie zur operativen Therapie im ersten Jahr der Erkrankung (adjuvant/neoadjuvant, Behandlungsort)

Stellung der systemischen Therapie zur operativen Therapie	2008	2009	2010	2011	2012	2013	2014	2015	2016	2017	2018	Summe
Adjuvante (postoperative) Therapie	175	185	160	161	192	192	202	146	150	192	192	1947
Therapie ohne Bezug zu einer operativen Therapie	20	24	29	22	20	17	20	23	16	24	29	244
Neoadjuvante (präoperative) Therapie	2	2	2	7	1	7	3	1	2	6	9	42
Intraoperative Therapie	2	3	1	4	1	1	1	2	5	5	4	29
unbekannt	16	28	18	16	13	4	4	1	1	0	2	103
Summe	215	242	210	210	227	221	230	173	174	227	236	2365

Tab. 13.15a. C18: Intention bei der ersten Operation (Behandlungsort)

Intention der Operation	2008	2009	2010	2011	2012	2013	2014	2015	2016	2017	2018	Summe
Kurativ	556	599	507	489	501	496	527	564	533	635	756	6163
Palliativ bzw. symptomatisch	92	85	96	77	74	88	70	64	74	92	90	902
Sonstige/Unbekannt/Keine Angabe	40	54	45	112	116	106	96	13	19	17	32	650
Summe	688	738	648	678	691	690	693	641	626	744	878	7715

Tab. 13.15b. C18: Intention der initialen Bestrahlung (Behandlungsort)

Intention der Bestrahlung	2008	2009	2010	2011	2012	2013	2015	2017	2018	Summe
Kurativ	1	0	3	1	0	3	1	3	7	19
Palliativ bzw. symptomatisch	1	0	0	2	0	1	0	0	1	5
Sonstige/Unbekannt/Keine Angabe	3	1	1	4	1	4	0	0	0	14
Summe	5	1	4	7	1	8	1	3	8	38

Tab. 13.15c. C18: Intention bei der ersten systemischen Therapie (Behandlungsort)

Intention der systemischen Therapie	2008	2009	2010	2011	2012	2013	2014	2015	2016	2017	2018	Summe
Kurativ	140	155	118	133	145	139	155	113	123	146	164	1531
Palliativ bzw. symptomatisch	60	71	86	75	80	81	96	79	58	101	88	875
Sonstige/Unbekannt/Keine Angabe	23	31	21	20	19	16	6	4	5	3	4	152
Summe	223	257	225	228	244	236	257	196	186	250	256	2558

Tab. 13.16. C18: Zeitraum zwischen Diagnose und Beginn der ersten Therapie nach Therapieart (Angaben in Tagen, Behandlungsort)

Therapie	Anzahl	Median	Minimum	Maximum
Diagnose und erste Operation	7715	7	0	365
Diagnose und erste Bestrahlung	38	46	6	332
Diagnose und erste system. Therapie	2558	48	0	364

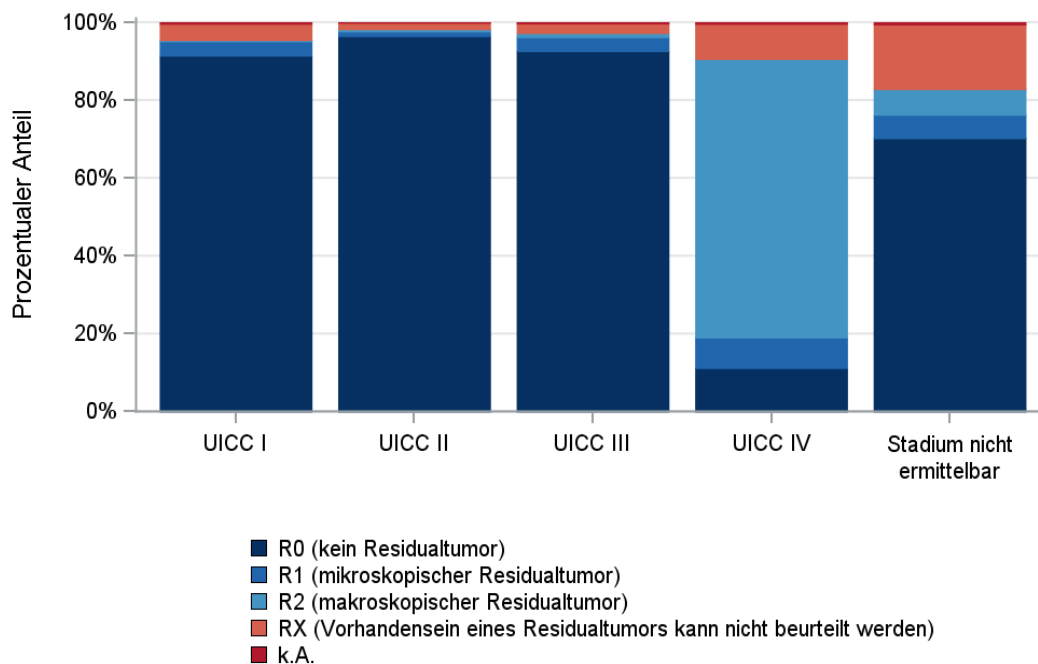
13.11.2 Dokumentierte tumorspezifische Operation bis max.12 Monate nach Diagnosestellung

Tab. 13.17. C18: Dokumentierte tumorspezifische Operation nach UICC (Behandlungsort)

Operationen	UICC I	UICC II	UICC III	UICC IV	Stadium nicht ermittelbar	Summe	
						Anzahl	%
Tumor- und Lymphknotenresektion	1466	2070	1765	1184	349	6834	88,6
Separate Lymphknotenresektion	18	22	21	8	3	72	0,9
sonstige OP	143	208	203	117	41	712	9,2
keine Angabe	18	22	28	14	15	97	1,3
Summe	1645	2322	2017	1323	408	7715	100,0

Tab. 13.18. C18: Residualklassifikation nach Tumorresektion im Diagnosezeitraum 2008-2018

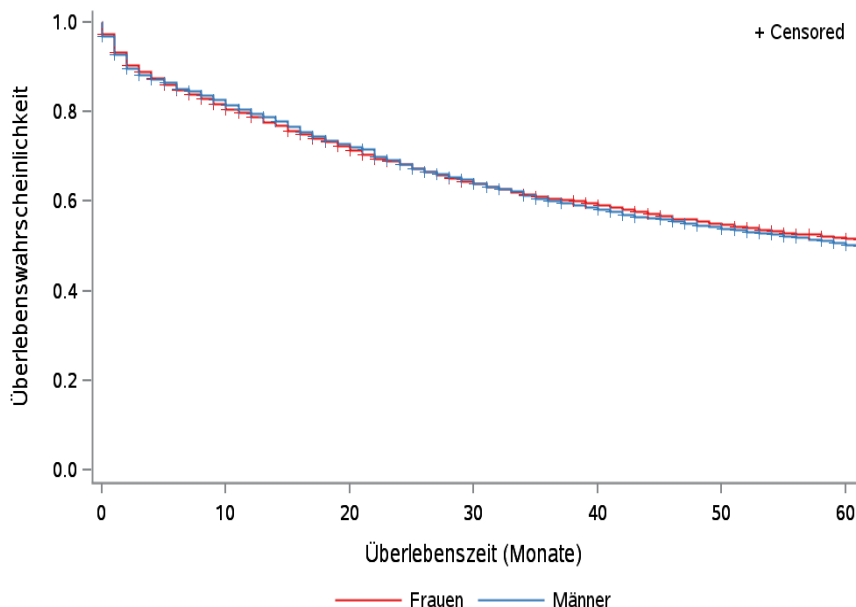
R-Klassifikation	UICC I	UICC II	UICC III	UICC IV	Stadium nicht ermittelbar	Summe	
						Anzahl	%
R0 (kein Residualtumor)	1340	1996	1634	132	245	5347	78,2
R1 (mikroskopischer Residualtumor)	54	25	63	93	21	256	3,7
R2 (makroskopischer Residualtumor)	5	12	19	847	23	906	13,3
RX (Vorhandensein eines Residualtumors kann nicht beurteilt werden)	61	34	43	107	58	303	4,4
keine Angabe	6	3	6	5	2	22	0,3
Summe	1466	2070	1765	1184	349	6834	100,0



© KKR-MV 2020

Abb. 13.11. C18: Residualklassifikation nach Tumorresektion in Abhängigkeit von UICC-Tumorstadium im Diagnosezeitraum 2008 bis 2018

13.12 Überlebensanalysen bei den in den Jahren 2008 – 2013 primär diagnostizierten Patienten

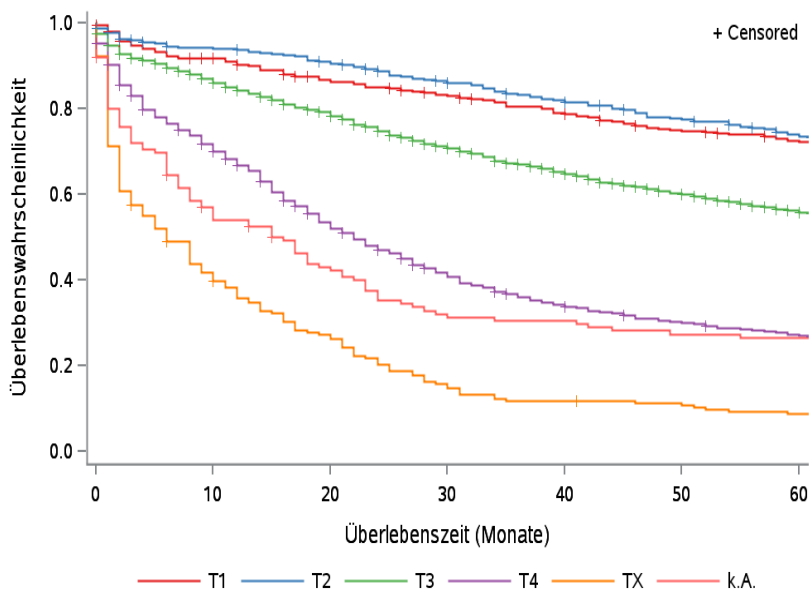


© KKR-MV 2020

Abb.13.12. C18: Wahrscheinlichkeit des Überlebens (Kaplan-Meier-Analyse) nach Geschlecht im Diagnosezeitraum von 2008 bis 2013 (Wohnort). Kaplan-Meier-Kurven werden für Kategorien mit weniger als 10 Neuerkrankungen nicht dargestellt.

Tab. 13.19. C18: Anzahl der unter Risiko stehenden Neuerkrankungen (Monate nach Diagnose)

Geschlecht	0 Monate	20 Monate	40 Monate	60 Monate
Männer	2443	1708	1341	1129
Frauen	1913	1308	1054	899

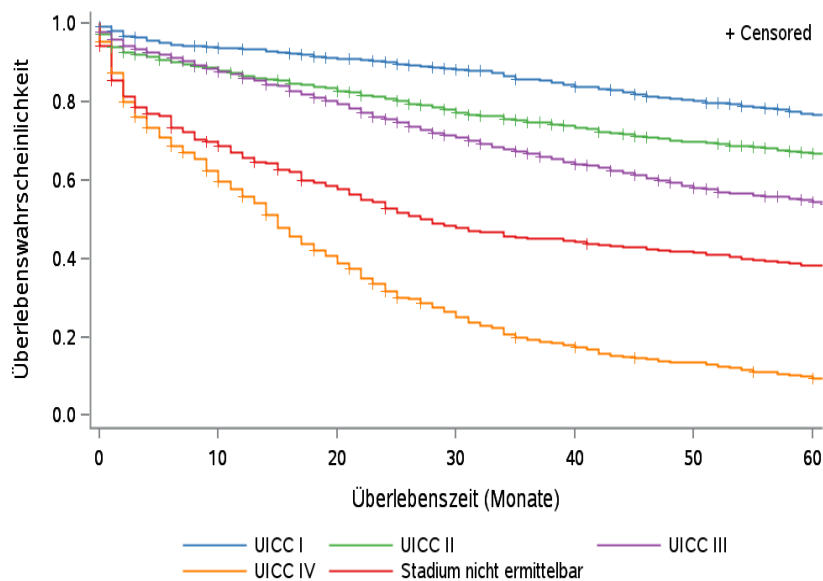


© KKR-MV 2020

Abb.13.13. C18: Wahrscheinlichkeit des Überlebens (Kaplan-Meier-Analyse) nach Tumorstadium im Diagnosezeitraum von 2008 bis 2013 (Wohnort). Kaplan-Meier-Kurven werden für Kategorien mit weniger als 10 Neuerkrankungen nicht dargestellt.

Tab. 13.20. C18: Anzahl der unter Risiko stehenden Neuerkrankungen nach Tumorgröße (Monate nach Diagnose)

T-Kategorie	0 Monate	20 Monate	40 Monate	60 Monate
T1	493	406	365	329
T2	529	454	402	354
T3	2129	1603	1286	1075
T4	859	443	279	219
TX	209	55	24	17
k.A.	137	55	39	34

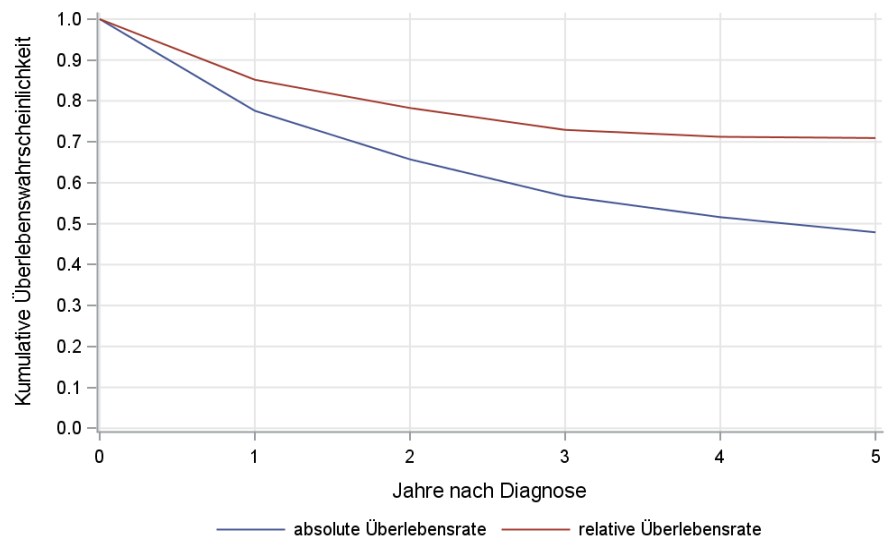


© KKR-MV 2020

Abb. 13.14. C18: Wahrscheinlichkeit des Überlebens (Kaplan-Meier-Analyse) nach UICC-Tumorstadium im Diagnosezeitraum von 2008 bis 2013 (Wohnort). Kaplan-Meier-Kurven werden für Kategorien mit weniger als 10 Neuerkrankungen nicht dargestellt.

Tab. 13.21. C18: Anzahl der unter Risiko stehenden Neuerkrankungen nach UICC-Stadium (Monate nach Diagnose)

UICC-Stadium	0 Monate	20 Monate	40 Monate	60 Monate
UICC I	795	681	618	551
UICC II	1180	934	804	712
UICC III	1053	805	634	523
UICC IV	875	346	150	81
Stadium nicht ermittelbar	453	250	189	161

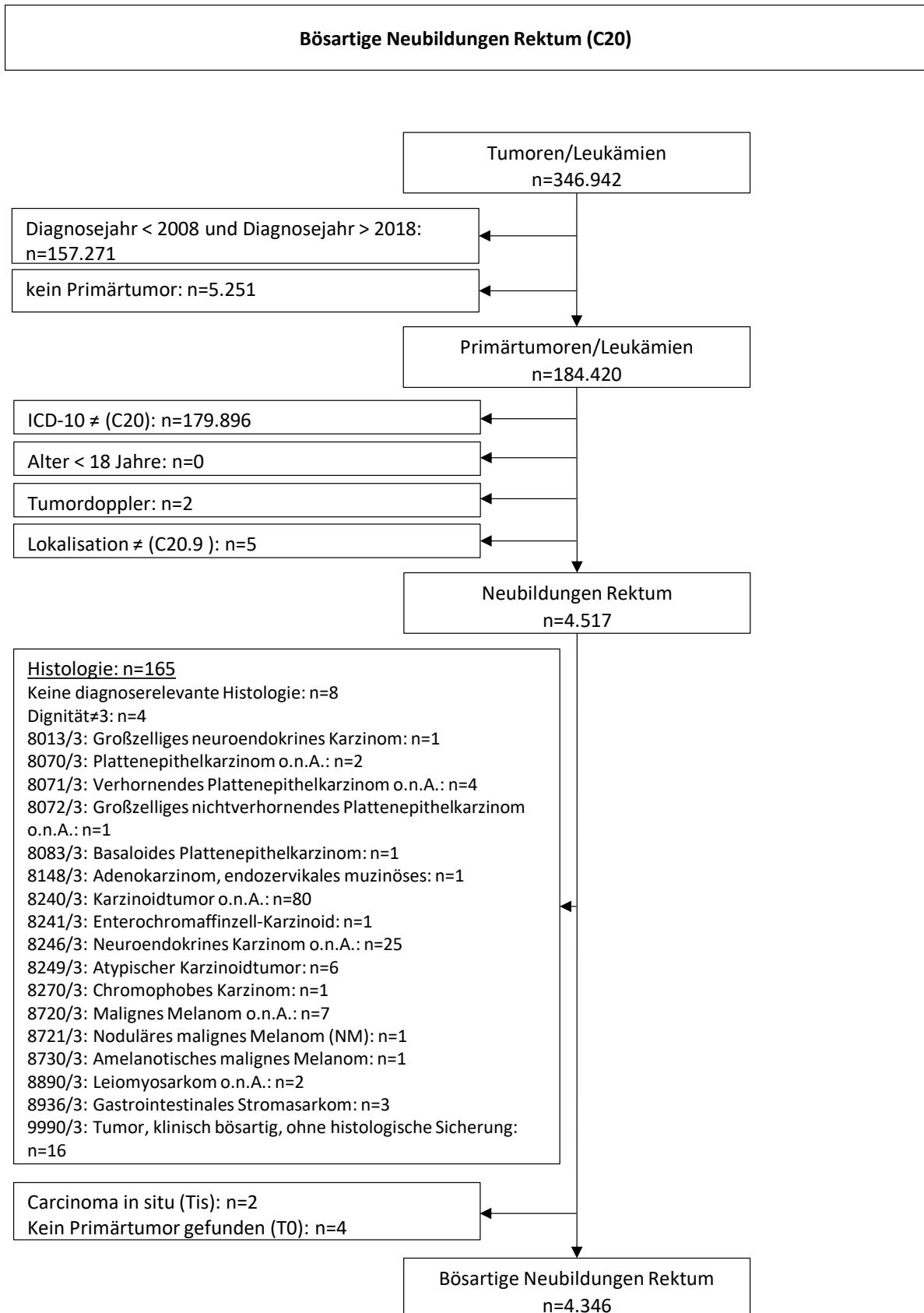


© KKR-MV 2020

Abb. 13.15. C18: Absolutes und relatives Überleben im Diagnosezeitraum 2008 bis 2013 (Wohnort, Alter > 19)

14 Rektum (C20)

14.1 Consort-Statement: Darstellung der Auswertepopulation

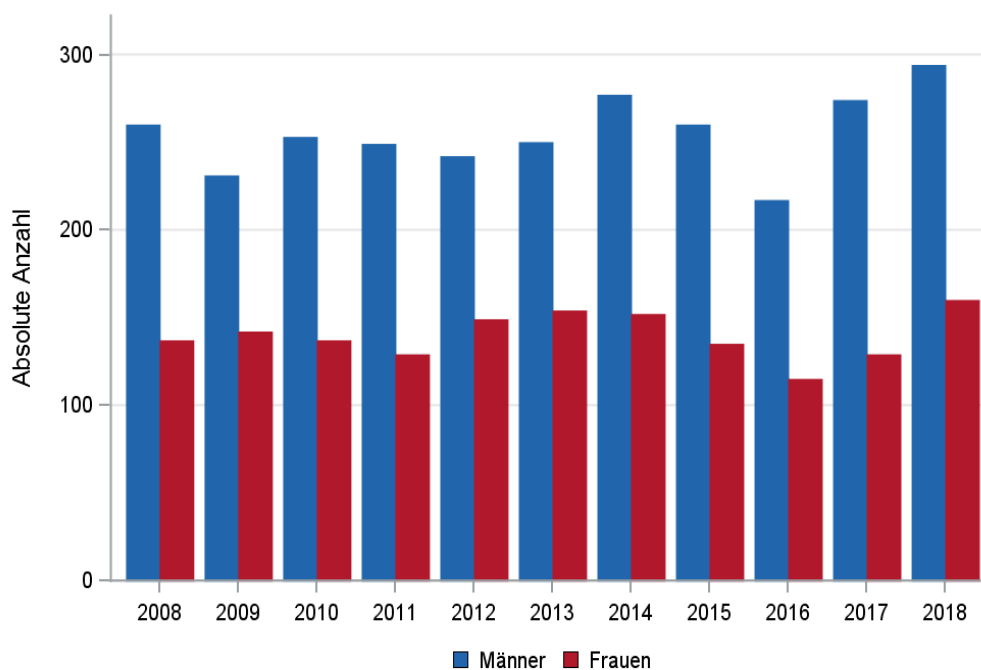


*Erläuterungen zu den Ausschlüssen finden Sie im Kapitel 4 (Methode)

14.2 Absolute Anzahl der erfassten Neuerkrankungen in M-V in den Jahren 2008 – 2018 nach Geschlecht (Behandlungsort, Wohnort)

Tab. 14.1. C20: Absolute Anzahl der Neuerkrankungen nach Geschlecht (Behandlungsort)

Diagnosejahr	Männer		Frauen		Summe
	Anzahl	%	Anzahl	%	
2008	260	65,5	137	34,5	397
2009	231	61,9	142	38,1	373
2010	253	64,9	137	35,1	390
2011	249	65,9	129	34,1	378
2012	242	61,9	149	38,1	391
2013	250	61,9	154	38,1	404
2014	277	64,6	152	35,4	429
2015	260	65,8	135	34,2	395
2016	217	65,4	115	34,6	332
2017	274	68,0	129	32,0	403
2018	294	64,8	160	35,2	454
Summe	2807	64,6	1539	35,4	4346

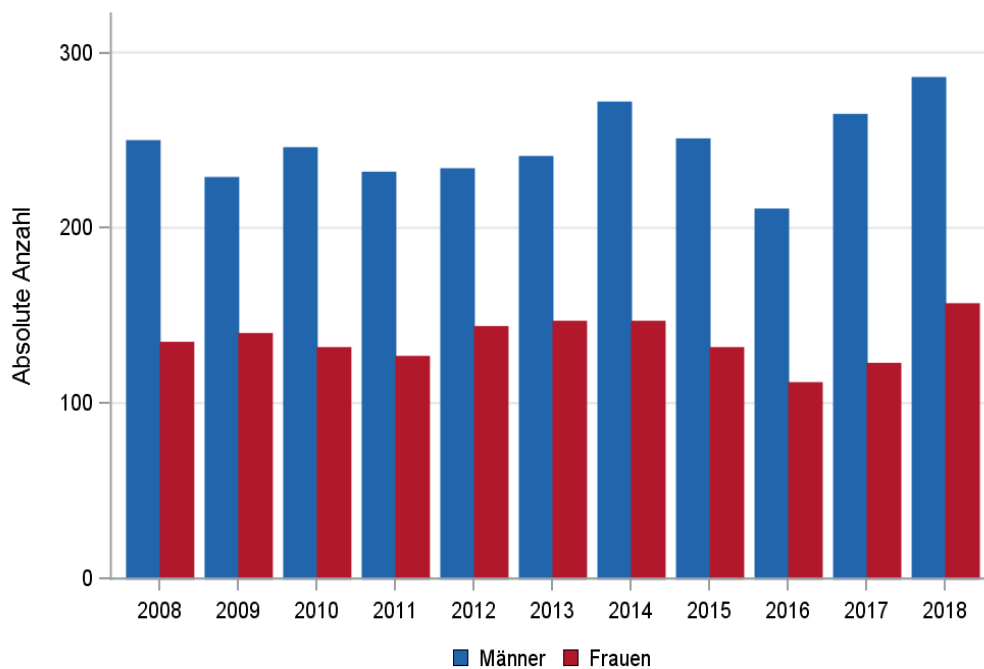


© KKR-MV 2020

Abb. 14.1. C20: Absolute Anzahl der Neuerkrankungen nach Geschlecht im Diagnosezeitraum 2008 bis 2018 (Behandlungsort)

Tab. 14.2. C20: Absolute Anzahl der Neuerkrankungen nach Geschlecht (Wohnort)

Diagnosejahr	Männer		Frauen		Summe
	Anzahl	%	Anzahl	%	
2008	250	64,9	135	35,1	385
2009	229	62,1	140	37,9	369
2010	246	65,1	132	34,9	378
2011	232	64,6	127	35,4	359
2012	234	61,9	144	38,1	378
2013	241	62,1	147	37,9	388
2014	272	64,9	147	35,1	419
2015	251	65,5	132	34,5	383
2016	211	65,3	112	34,7	323
2017	265	68,3	123	31,7	388
2018	286	64,6	157	35,4	443
Summe	2717	64,5	1496	35,5	4213



© KKR-MV 2020

Abb. 14.2. C20: Absolute Anzahl der Neuerkrankungen nach Geschlecht im Diagnosezeitraum 2008 bis 2018 (Wohnort)

14.3 Absolute Anzahl der erfassten Neuerkrankungen in M-V in den Jahren 2008 – 2018 nach Landkreisen (Wohnort)

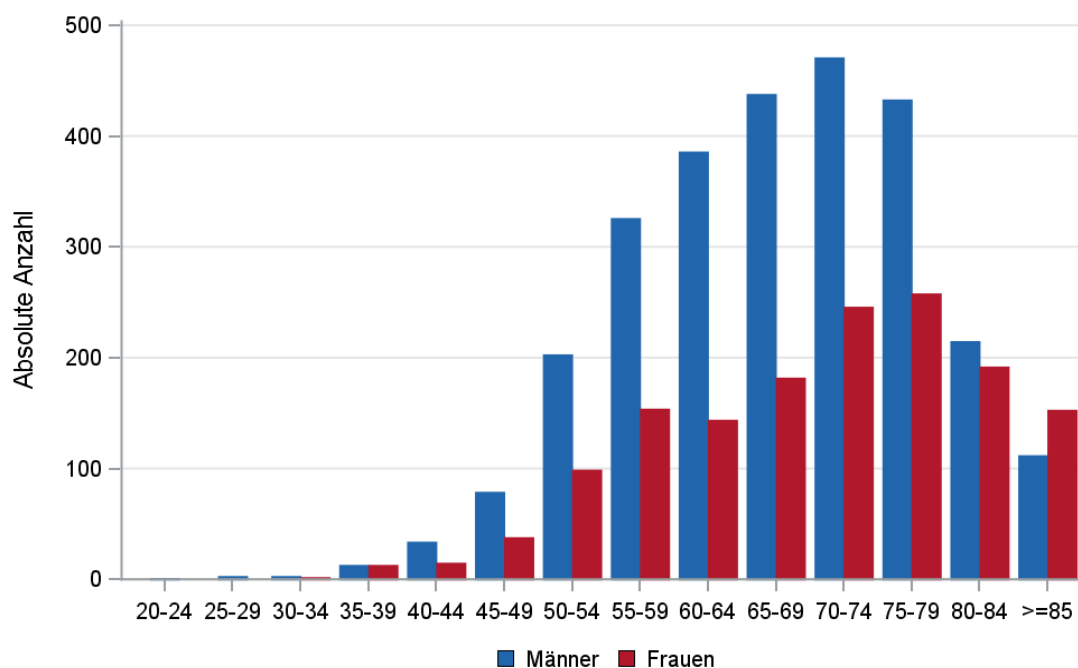
Tab. 14.3. C20: Absolute Anzahl und prozentualer Anteil der Neuerkrankungen nach Landkreisen

Landkreis	2008		2009		2010		2011		2012		2013		2014		2015		2016		2017		2018		Summe	
	Anzahl	%	Anzahl	%	Anzahl	%	Anzahl	%	Anzahl	%	Anzahl	%	Anzahl	%	Anzahl	%	Anzahl	%	Anzahl	%	Anzahl	%	Anzahl	%
Landkreis Rostock	40	10,4	50	13,6	59	15,6	35	9,7	48	12,7	64	16,5	54	12,9	66	17,2	58	18,0	63	16,2	50	11,3	587	13,9
Ludwigslust-Parchim	40	10,4	39	10,6	29	7,7	50	13,9	45	11,9	44	11,3	42	10,0	33	8,6	37	11,5	34	8,8	63	14,2	456	10,8
Mecklenburgische Seenplatte	69	17,9	82	22,2	56	14,8	64	17,8	59	15,6	48	12,4	69	16,5	52	13,6	25	7,7	64	16,5	60	13,5	648	15,4
Nordwestmecklenburg	29	7,5	26	7,0	28	7,4	29	8,1	32	8,5	34	8,8	38	9,1	30	7,8	32	9,9	35	9,0	41	9,3	354	8,4
Rostock	62	16,1	41	11,1	48	12,7	35	9,7	54	14,3	42	10,8	47	11,2	31	8,1	39	12,1	37	9,5	51	11,5	487	11,6
Schwerin	18	4,7	16	4,3	27	7,1	21	5,8	20	5,3	24	6,2	22	5,3	25	6,5	22	6,8	27	7,0	23	5,2	245	5,8
Vorpommern-Greifswald	68	17,7	71	19,2	71	18,8	71	19,8	71	18,8	54	13,9	86	20,5	73	19,1	60	18,6	64	16,5	80	18,1	769	18,3
Vorpommern-Rügen	56	14,5	43	11,7	59	15,6	53	14,8	49	13,0	76	19,6	60	14,3	72	18,8	50	15,5	64	16,5	75	16,9	657	15,6
nicht zuordenbar	3	0,8	1	0,3	1	0,3	1	0,3	0	0	2	0,5	1	0,2	1	0,3	0	0	0	0	0	0	10	0,2
Summe	385	100,0	369	100,0	378	100,0	359	100,0	378	100,0	388	100,0	419	100,0	383	100,0	323	100,0	388	100,0	443	100,0	4213	100,0

14.4 Rohe und standardisierte Neuerkrankungsraten pro 100.000 Einwohner in den Jahren 2008-2018 (Wohnort)

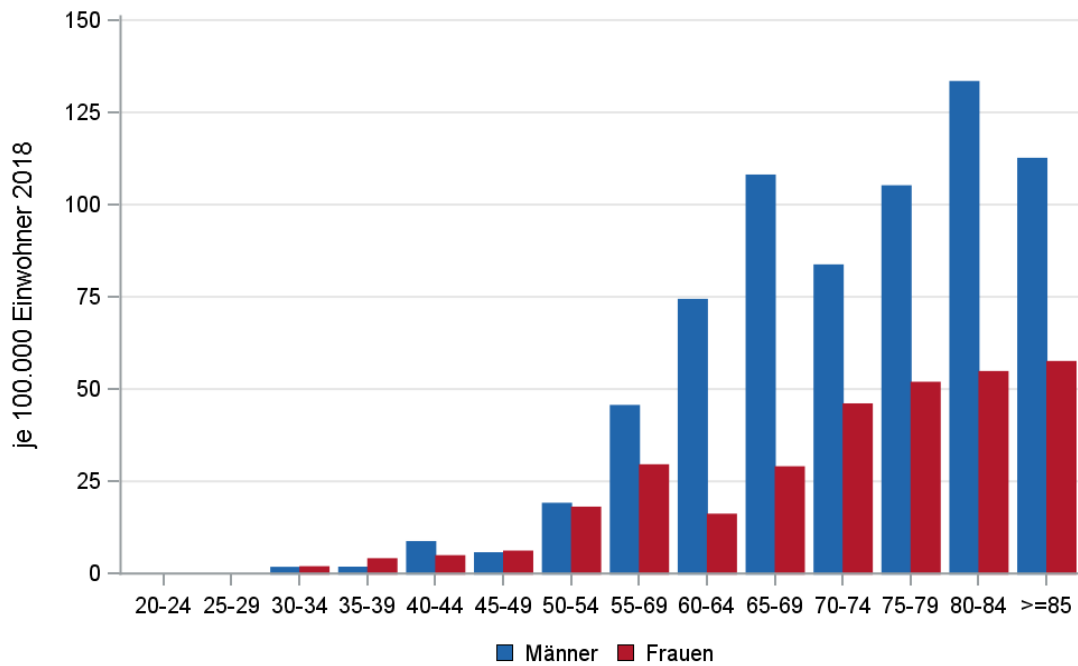
Tab. 14.4. C20: Neuerkrankungsrate/100.000 Einwohner (Alter > 19)

Diagnosejahr	Männer			Frauen		
	absolute Anzahl der Neuerkrankungen	rohe Rate in M-V	altersstandardisierte Rate	absolute Anzahl der Neuerkrankungen	rohe Rate in M-V	altersstandardisierte Rate
2008	250	36,1	30,0	135	18,9	12,7
2009	229	33,1	27,3	140	19,7	12,6
2010	246	35,6	28,9	132	18,5	12,1
2011	232	34,6	26,6	127	18,1	10,9
2012	234	35,1	26,8	144	20,7	13,1
2013	241	36,4	27,0	147	21,2	13,8
2014	272	41,2	29,3	147	21,3	12,5
2015	251	38,0	28,3	132	19,2	11,9
2016	211	31,9	22,5	112	16,3	9,7
2017	265	40,3	28,7	123	17,9	10,1
2018	286	43,6	28,9	157	22,9	13,8
2008-2018	2717	36,9	27,7	1496	19,5	12,1



© KKR-MV 2020

Abb. 14.3. C20: Absolute Anzahl der Neuerkrankungen aufgelistet in 5-Jahres-Altersgruppen und nach Geschlecht im Diagnosezeitraum 2008 bis 2018 (Wohnort)



© KKR-MV 2020

Abb. 14.4. C20: Altersspezifische Rate der Neuerkrankungen je 100.000 Einwohner (Diagnosejahr 2018) nach 5-Jahres-Altersgruppen und Geschlecht (Wohnort)

14.5 Alter der in den Jahren 2008 - 2018 in M-V neuerkrankten Patienten (Behandlungsort)

Tab. 14.5. C20: Erkrankungsalter (Behandlungsort)

Diagnosejahr	Männer				Frauen			
	Anzahl	Median	Minimum	Maximum	Anzahl	Median	Minimum	Maximum
2008	260	68	20	98	137	71	36	95
2009	231	69	33	89	142	71	38	93
2010	253	66	28	88	137	71	39	97
2011	249	70	42	89	129	74	39	96
2012	242	69	40	91	149	71	28	96
2013	250	69	42	95	154	71	35	95
2014	277	69	36	93	152	73	38	101
2015	260	67	29	93	135	71	36	93
2016	217	67	37	90	115	72	31	93
2017	274	67	36	89	129	74	47	92
2018	294	67	29	92	160	71	32	97

14.6 Absolute Anzahl der erfassten Neuerkrankungen in M-V in den Jahren 2008 – 2018 nach Lokalisation

Tab. 14.6. C20: Absolute Anzahl und prozentualer Anteil der Neuerkrankungen nach der Lokalisation (Behandlungsort)

Lokalisation	2008	2009	2010	2011	2012	2013	2014	2015	2016	2017	2018	Summe	
												Anzahl	%
C20.9 Rektum o.n.A. (Ampulle)	97	63	45	34	27	22	17	20	27	26	36	414	9,5
C20.91 Rektum 4 bis 7.5 cm Höhe	111	97	106	121	121	123	120	29	18	23	21	890	20,5
C20.92 Rektum 7.5 bis 12 cm Höhe	95	102	119	94	115	117	107	26	17	32	35	859	19,8
C20.93 Rektum 12cm und mehr aufwärts	89	101	119	127	123	130	99	24	11	20	15	858	19,7
C20.94 Rektum, unteres Drittel, < 6 cm Höhe (neue Einteilung)	1	4	0	0	2	5	24	88	84	100	93	401	9,2
C20.95 Rektum, mittleres Drittel, 6 cm bis < 12 cm Höhe (neue Einteilung)	2	3	0	1	0	3	37	115	98	110	146	515	11,8
C20.96 Rektum, oberes Drittel, 12 cm bis <= 16 cm Höhe (neue Einteilung)	2	3	1	1	3	4	25	93	77	92	108	409	9,4
Summe	397	373	390	378	391	404	429	395	332	403	454	4346	100,0

14.7 Histologische Befunde bei allen neuerkrankten Patienten in M-V in den Jahren 2008 – 2018

Tab. 14.7. C20: Histologische Befunde bei neuerkrankten Patienten (Behandlungsort)

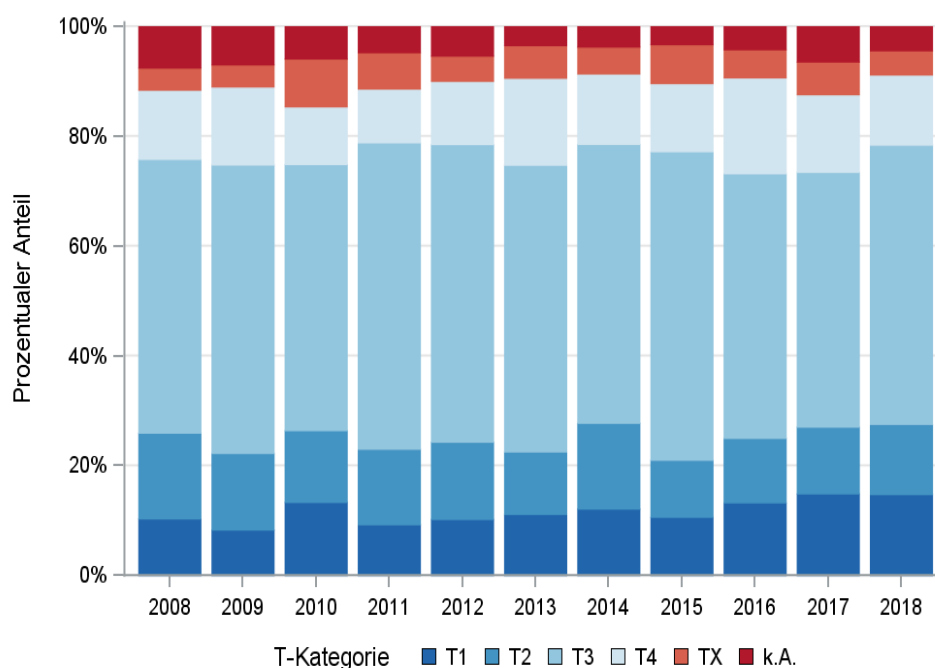
Histologiecode	Anzahl	Prozent
8140/3: Adenokarzinom o.n.A.	3592	82,7
8211/3: Tubuläres Adenokarzinom	488	11,2
8480/3: Muzinöses Adenokarzinom	96	2,2
8263/3: Adenokarzinom in tubulovillösem Adenom	43	1,0
8481/3: Schleimbildendes Adenokarzinom	25	0,6
8210/3: Adenokarzinom in adenomatösem Polypen	21	0,5
8490/3: Siegelringzellkarzinom	20	0,5
8144/3: Adenokarzinom vom intestinalen Typ	5	0,1
8230/3: Solides Karzinom o.n.A.	4	0,1
8201/3: Kribriiformes Karzinom o.n.A.	1	0,0
8213/3: Serrated adenocarcinoma	1	0,0
8430/3: Mukoepidermoid-Karzinom	1	0,0
8510/3: Medulläres Karzinom o.n.A.	1	0,0
8560/3: Adenosquamöses Karzinom	1	0,0
8574/3: Adenokarzinom mit neuroendokriner Differenzierung	1	0,0
Adenokarzinome	4300	88,9
8010/3: Karzinom o.n.A.	35	0,8
8041/3: Kleinzelliges Karzinom o.n.A.	6	0,1
8020/3: Undifferenziertes Karzinom o.n.A.	3	0,1
8014/3: Großzelliges Karzinom mit rhabdoidem Phänotyp	1	0,0
8021/3: Anaplastisches Karzinom o.n.A.	1	0,0
nicht näher bezeichnete Karzinome	46	1,1

14.8 Tumorgröße und Ausdehnung (TNM)

Tab. 14.8. C20: Absolute Anzahl der Neuerkrankungen klassifiziert nach der Tumorgröße in Bezug zu der Auflage der TNM-Klassifikation (Behandlungsort)

Tumorgröße (T)	TNM Auflage 6		TNM Auflage 7		TNM Auflage 8		k.A. zur TNM Auflage		Summe	
	Anzahl	%	Anzahl	%	Anzahl	%	Anzahl*	%	Anzahl	%
T1	68	10,6	317	11,7	121	15,6	-	-	506	11,6
T2	105	16,3	362	13,4	105	13,5	-	-	572	13,2
T3	354	55,0	1476	54,6	406	52,3	-	-	2236	51,4
T4	92	14,3	368	13,6	106	13,6	-	-	566	13,0
TX	25	3,9	177	6,6	39	5,0	-	-	241	5,5
k.A.	0	0	1	0,0	0	0	224	100,0	225	5,2
Summe	644	100,0	2701	100,0	777	100,0	224	100,0	4346	100,0

*In einzelnen Fällen wurden Angaben zur Tumorgröße ohne Bezug zu einer TNM Auflage gemacht. Diese Angaben wurden in die Kategorie k.A. aufgenommen.



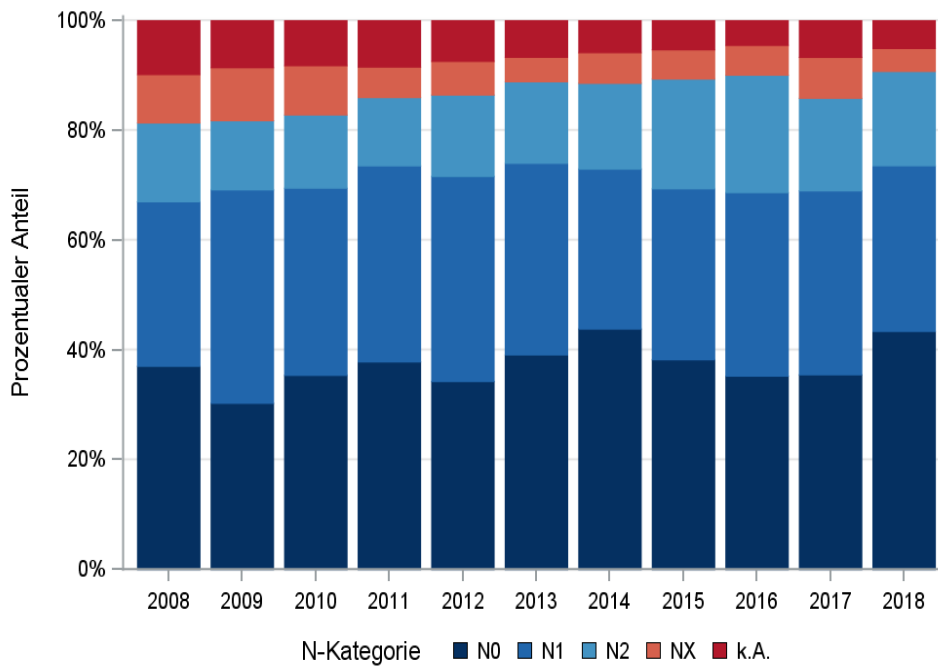
© KKR-MV 2020

Abb. 14.5. C20: Prozentualer Anteil der Neuerkrankungen nach der Tumorgröße im Diagnosezeitraum 2008 bis 2018

Tab. 14.9. C20: Absolute Anzahl der Neuerkrankungen mit bzw. ohne Befall der regionären Lymphknoten in Bezug zu der Auflage der TNM-Klassifikation (Behandlungsort)

N-Kategorie	TNM Auflage 6		TNM Auflage 7		TNM Auflage 8		k.A. zur TNM Auflage		Summe	
	Anzahl	%	Anzahl	%	Anzahl	%	Anzahl*	%	Anzahl	%
N0	235	36,5	1059	39,3	335	43,2	-	-	1629	37,5
N1	237	36,8	957	35,5	256	33,0	-	-	1450	33,4
N2	98	15,2	448	16,6	138	17,8	-	-	684	15,7
NX	64	9,9	173	6,4	44	5,7	-	-	281	6,5
k.A.	10	1,6	60	2,2	3	0,4	229	100,0	302	6,9
Summe	644	100,0	2697	100,0	776	100,0	229	100,0	4346	100,0

*In einzelnen Fällen wurden Angaben zur N-Kategorie ohne Bezug zu einer TNM Auflage gemacht. Diese Angaben wurden in die Kategorie k.A. aufgenommen.



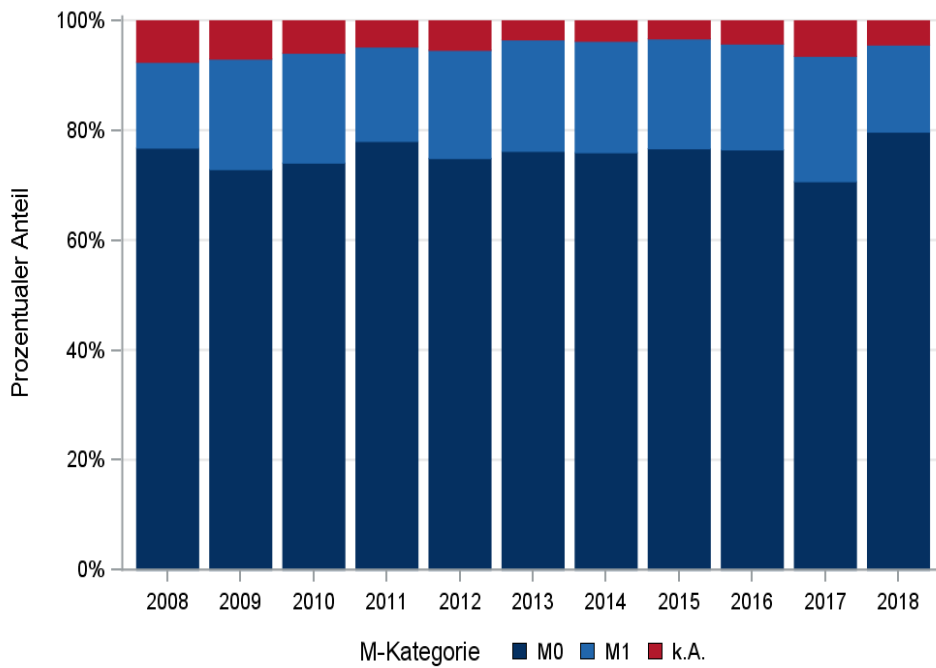
© KKR-MV 2020

Abb. 14.6. C20: Prozentualer Anteil der Neuerkrankungen mit und ohne Befall der regionären Lymphknoten zum Zeitpunkt der Erstdiagnose im Diagnosezeitraum 2008 bis 2018

Tab. 14.10. C20: Absolute Anzahl der Neuerkrankungen mit Fernmetastasierung in Bezug zu der Auflage der TNM-Klassifikation (Behandlungsort)

M-Kategorie	TNM Auflage 6		TNM Auflage 7		TNM Auflage 8		k.A. zur TNM Auflage		Summe	
	Anzahl	%	Anzahl	%	Anzahl	%	Anzahl*	%	Anzahl	%
M0	524	81,4	2142	79,3	624	80,3	-	-	3290	75,7
M1	120	18,6	559	20,7	153	19,7	-	-	832	19,1
k.A.	0	0	0	0	0	0	224	100,0	224	5,2
Summe	644	100,0	2701	100,0	777	100,0	224	100,0	4346	100,0

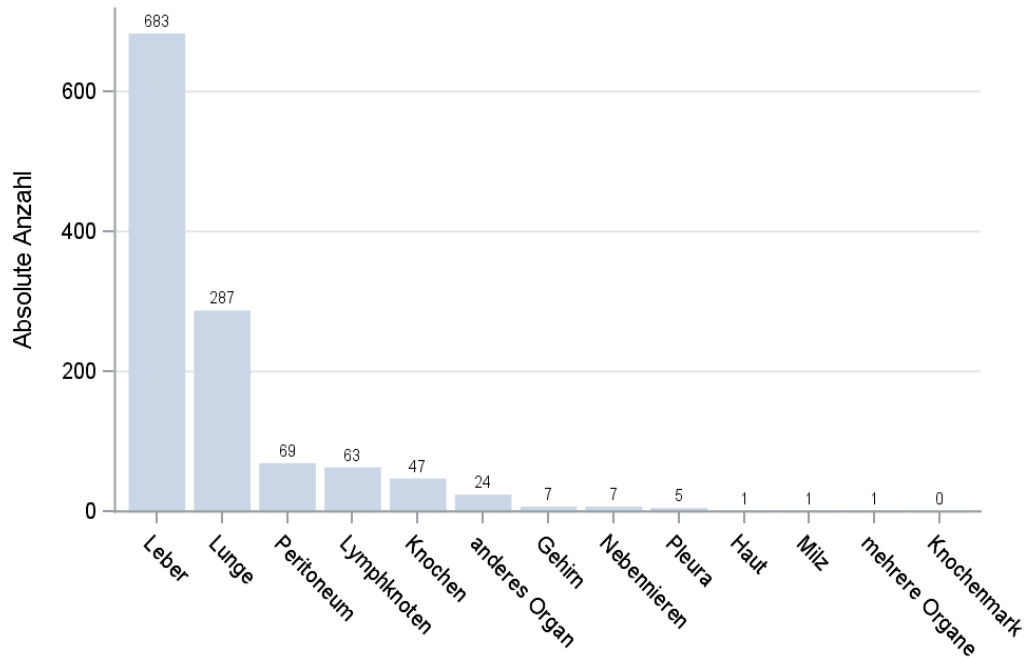
*In einzelnen Fällen wurden Angaben zur M-Kategorie ohne Bezug zu einer TNM Auflage gemacht. Diese Angaben wurden in die Kategorie k.A. aufgenommen.



© KKR-MV 2020

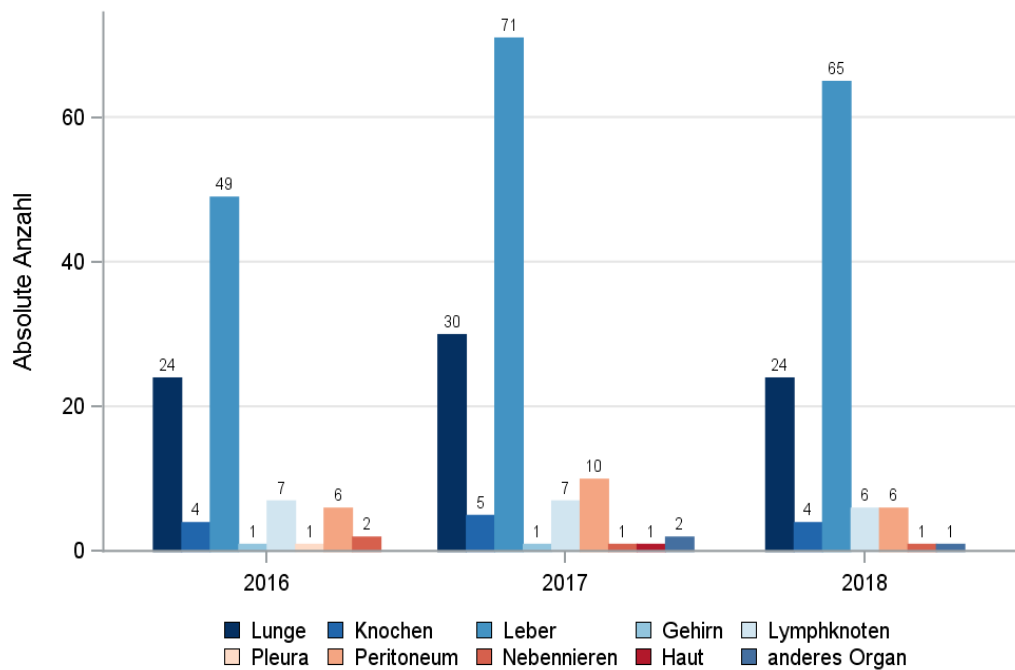
Abb. 14.7. C20: Prozentualer Anteil der primären Fernmetastasierung im Diagnosezeitraum 2008 bis 2018

14.9 Lokalisation der Fernmetastasen



© KKR-MV 2020

Abb. 14.8. C20: Lokalisation der Fernmetastasen bei Neuerkrankungen im Diagnosezeitraum 2008 bis 2018



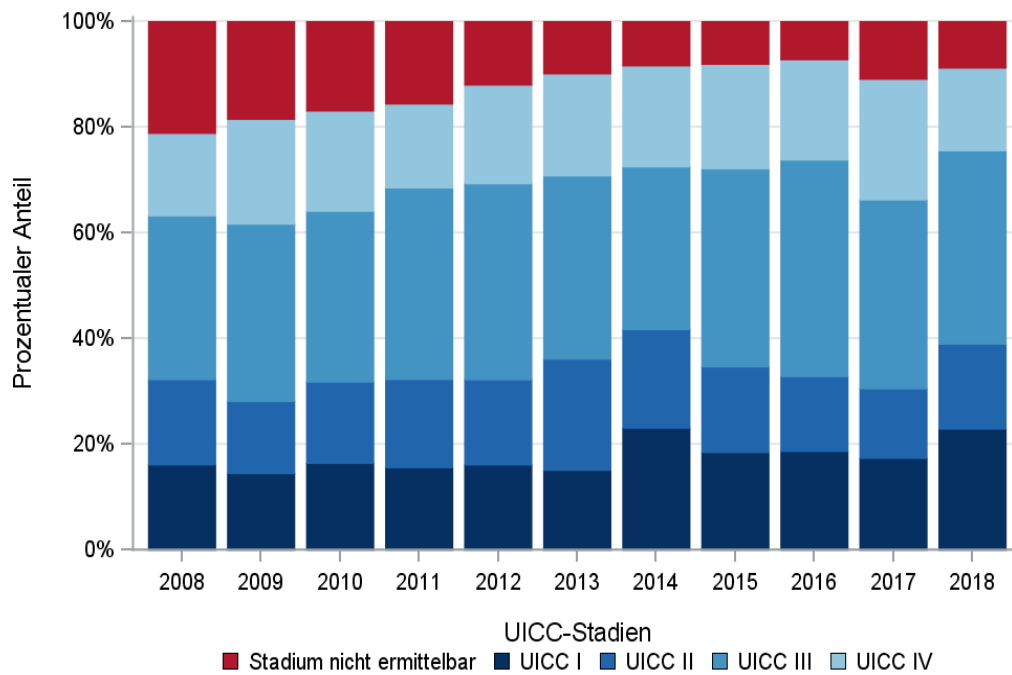
© KKR-MV 2020

Abb. 14.9. C20: Lokalisation der Fernmetastasen bei Neuerkrankungen für die Diagnosejahre 2016 bis 2018

14.10 Tumorstadien nach UICC

Tab. 14.11. C20: Primäre UICC-Stadien (Behandlungsort)

Jahre	UICC I		UICC II		UICC III		UICC IV		Stadium nicht ermittelbar		Summe	
	Anzahl	%	Anzahl	%	Anzahl	%	Anzahl	%	Anzahl	%	Anzahl	%
2008	64	16,1	64	16,1	123	31,0	62	15,6	84	21,2	397	100,0
2009	54	14,5	51	13,7	125	33,5	74	19,8	69	18,5	373	100,0
2010	64	16,4	60	15,4	126	32,3	74	19,0	66	16,9	390	100,0
2011	59	15,6	63	16,7	137	36,2	60	15,9	59	15,6	378	100,0
2012	63	16,1	63	16,1	145	37,1	73	18,7	47	12,0	391	100,0
2013	61	15,1	85	21,0	140	34,7	78	19,3	40	9,9	404	100,0
2014	99	23,1	80	18,6	132	30,8	82	19,1	36	8,4	429	100,0
2015	73	18,5	64	16,2	148	37,5	78	19,7	32	8,1	395	100,0
2016	62	18,7	47	14,2	136	41,0	63	19,0	24	7,2	332	100,0
2017	70	17,4	53	13,2	144	35,7	92	22,8	44	10,9	403	100,0
2018	104	22,9	73	16,1	166	36,6	71	15,6	40	8,8	454	100,0
Summe	773	17,8	703	16,2	1522	35,0	807	18,6	541	12,4	4346	100,0



© KKR-MV 2020

Abb. 14.10. C20: Prozentuale Anteile der UICC-Tumorstadien in den Diagnosejahren 2008 bis 2018

14.11 Dokumentierte Therapie bis max. 12 Monate nach Diagnosestellung

14.11.1 Therapiekombinationen, Stellung der Therapie und Intention der dokumentierten Therapien

Tab. 14.12. C20: Therapiekombinationen (Operation, Strahlentherapie, systemische Therapie) pro Diagnosejahr (Behandlungsort)

Therapiekombinationen	2008	2009	2010	2011	2012	2013	2014	2015	2016	2017	2018	Summe
Alleinige Operation	139	120	124	121	113	128	145	137	105	117	146	1395
Alleinige systemische Therapie	20	8	7	19	12	16	18	13	8	16	14	151
Alleinige Strahlentherapie	3	4	8	9	9	8	1	3	6	5	16	72
Operation und systemische Therapie, keine Strahlentherapie	42	46	25	30	39	31	40	35	34	41	37	400
Operation und Strahlentherapie, keine systemische Therapie	16	9	14	17	13	15	8	17	20	19	37	185
Systemische Therapie und Strahlentherapie, keine Operation	17	11	9	11	15	11	12	8	6	14	15	129
Operation und systemische Therapie und Strahlentherapie	132	138	167	138	152	153	159	141	115	138	138	1571
Keine Operation, systemische Therapie oder Strahlentherapie	28	37	36	33	38	42	46	41	38	53	51	443
Summe	397	373	390	378	391	404	429	395	332	403	454	4346

Tab. 14.13. C20: Therapiekombinationen (Operation, Strahlentherapie, systemische Therapie) in Abhängigkeit von dem UICC-Stadium (Behandlungsort)

Therapiekombinationen	UICC I	UICC II	UICC III	UICC IV	Stadium nicht ermittelbar	Summe
Alleinige Operation	671	271	225	120	108	1395
Alleinige systemische Therapie	0	5	7	116	23	151
Alleinige Strahlentherapie	7	13	23	8	21	72
Operation und systemische Therapie, keine Strahlentherapie	10	30	149	188	23	400
Operation und Strahlentherapie, keine systemische Therapie	12	44	104	15	10	185
Systemische Therapie und Strahlentherapie, keine Operation	7	12	45	43	22	129
Operation und systemische Therapie und Strahlentherapie	43	302	936	173	117	1571
Keine Operation, systemische Therapie oder Strahlentherapie	23	26	33	144	217	443
Summe	773	703	1522	807	541	4346

Tab. 14.14a. C20: Stellung der Strahlentherapie zur operativen Therapie im ersten Jahr der Erkrankung (adjuvant/neoadjuvant, Behandlungsort)

Stellung der Strahlentherapie zur operativen Therapie	2008	2009	2010	2011	2012	2013	2014	2015	2016	2017	2018	Summe
Neoadjuvante (präoperative) Strahlentherapie	67	76	89	78	106	115	129	138	116	139	153	1206
Adjuvante (postoperative) Strahlentherapie	18	14	24	21	20	13	10	14	15	16	12	177
Therapie ohne Bezug zu einer operativen Therapie	0	2	2	1	1	2	4	4	4	2	10	32
unbekannt	63	55	66	55	38	38	24	2	0	0	0	341
Summe	148	147	181	155	165	168	167	158	135	157	175	1756

Tab. 14.14b. C20: Stellung der systemischen Therapie zur operativen Therapie im ersten Jahr der Erkrankung (adjuvant/neoadjuvant, Behandlungsort)

Stellung der systemischen Therapie zur operativen Therapie	2008	2009	2010	2011	2012	2013	2014	2015	2016	2017	2018	Summe
Neoadjuvante (präoperative) Therapie	73	75	96	83	115	123	139	123	88	120	121	1156
Adjuvante (postoperative) Therapie	60	53	45	54	55	53	51	42	48	41	42	544
Therapie ohne Bezug zu einer operativen Therapie	19	35	24	13	15	7	9	11	7	17	12	169
Intraoperative Therapie	1	0	1	1	1	1	0	0	1	0	0	6
unbekannt	21	21	26	17	5	0	0	0	5	1	0	96
Summe	174	184	192	168	191	184	199	176	149	179	175	1971

Tab. 14.15a. C20: Intention bei der ersten Operation (Behandlungsort)

Intention der Operation	2008	2009	2010	2011	2012	2013	2014	2015	2016	2017	2018	Summe
Kurativ	276	261	266	230	232	230	286	293	233	264	324	2895
Palliativ bzw. symptomatisch	31	31	34	20	31	31	37	33	35	45	21	349
Sonstige/Unbekannt/Keine Angabe	22	21	30	56	54	66	29	4	6	6	13	307
Summe	329	313	330	306	317	327	352	330	274	315	358	3551

Tab. 14.15b. C20: Intention der initialen Bestrahlung (Behandlungsort)

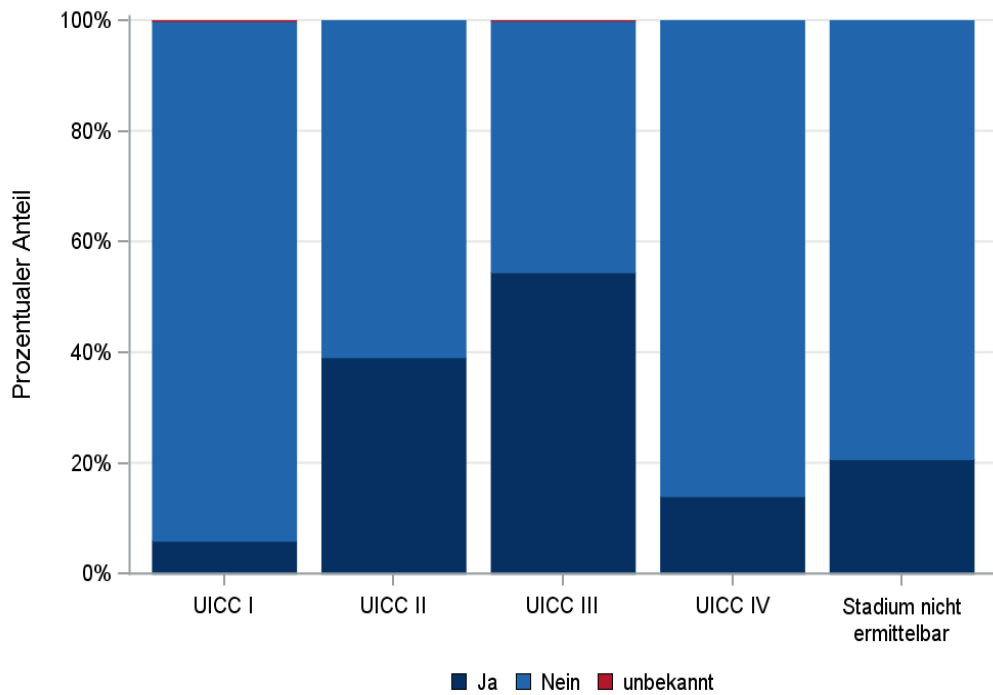
Intention der Bestrahlung	2008	2009	2010	2011	2012	2013	2014	2015	2016	2017	2018	Summe
Kurativ	79	82	99	90	101	115	139	152	127	155	185	1324
Palliativ bzw. symptomatisch	5	11	10	9	13	18	14	14	16	19	21	150
Sonstige/Unbekannt/Keine Angabe	84	69	89	76	75	54	27	3	4	2	0	483
Summe	168	162	198	175	189	187	180	169	147	176	206	1957

Tab. 14.15c. C20: Intention bei der ersten systemischen Therapie (Behandlungsort)

Intention der systemischen Therapie	2008	2009	2010	2011	2012	2013	2014	2015	2016	2017	2018	Summe
Kurativ	148	133	149	133	151	158	173	154	119	153	159	1630
Palliativ bzw. symptomatisch	27	34	26	32	48	39	54	40	37	54	42	433
Sonstige/Unbekannt/Keine Angabe	36	36	33	33	19	14	2	3	7	2	3	188
Summe	211	203	208	198	218	211	229	197	163	209	204	2251

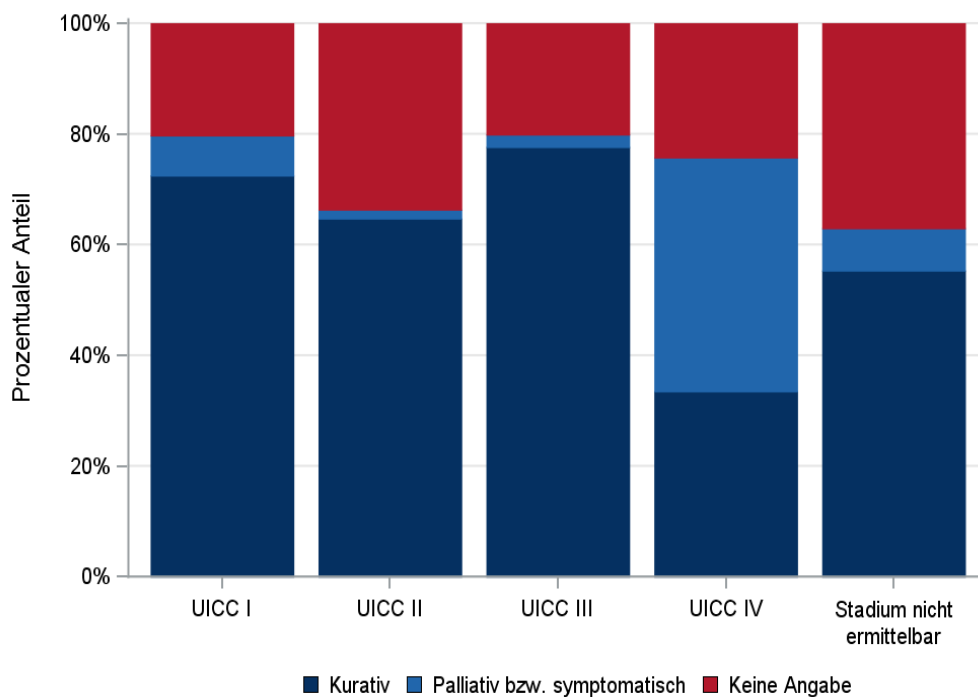
Tab. 14.16. C20: Zeitraum zwischen Diagnose und Beginn der ersten Therapie nach Therapieart (Angaben in Tagen, Behandlungsort)

Therapie	Anzahl	Median	Minimum	Maximum
Diagnose und erste Operation	3551	35	0	365
Diagnose und erste Bestrahlung	1957	36	0	353
Diagnose und erste system. Therapie	2251	39	0	362



© KKR-MV 2020

Abb.14.11. C20: Durchführung der Radiochemotherapie nach UICC-Klassifikation



© KKR-MV 2020

Abb.14.12. C20: Intention der ersten Bestrahlung nach UICC-Klassifikation

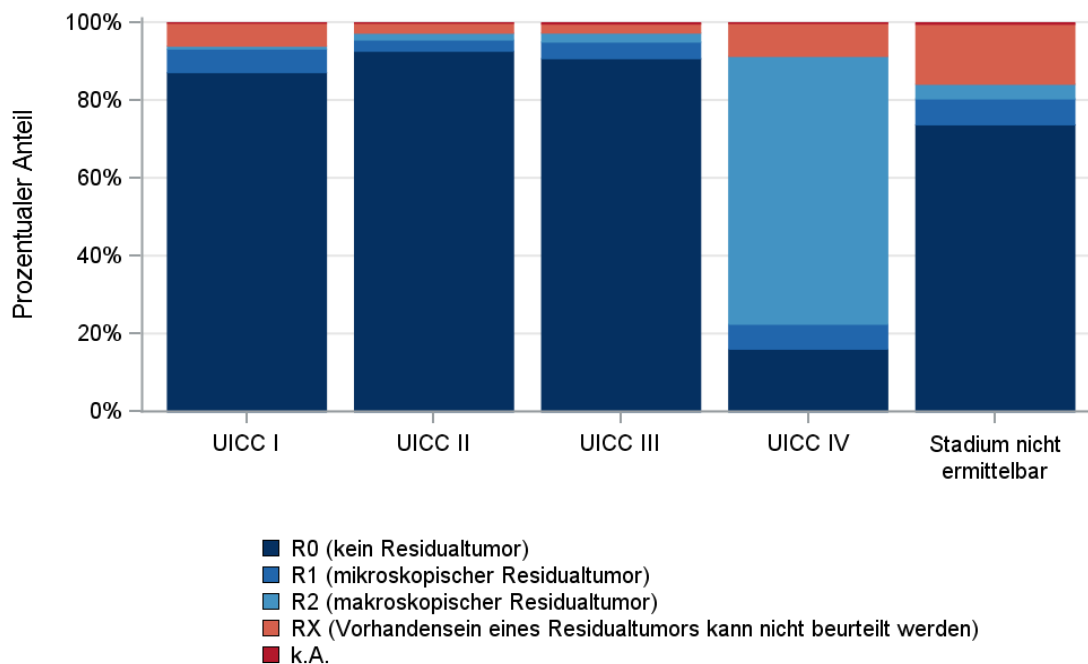
14.11.2 Dokumentierte tumorspezifische Operation bis max.12 Monate nach Diagnosestellung

Tab. 14.17. C20: Dokumentierte tumorspezifische Operation nach UICC (Behandlungsort)

Operationen	UICC I	UICC II	UICC III	UICC IV	Stadium nicht ermittelbar	Summe	
						Anzahl	%
Tumor- und Lymphknotenresektion	678	627	1381	484	240	3410	96,0
Separate Lymphknotenresektion	1	1	0	0	1	3	0,1
sonstige OP	48	13	24	10	13	108	3,0
keine Angabe	9	6	9	2	4	30	0,8
Summe	736	647	1414	496	258	3551	100,0

Tab. 14.18. C20: Residualklassifikation nach Tumorresektion im Diagnosezeitraum 2008-2018

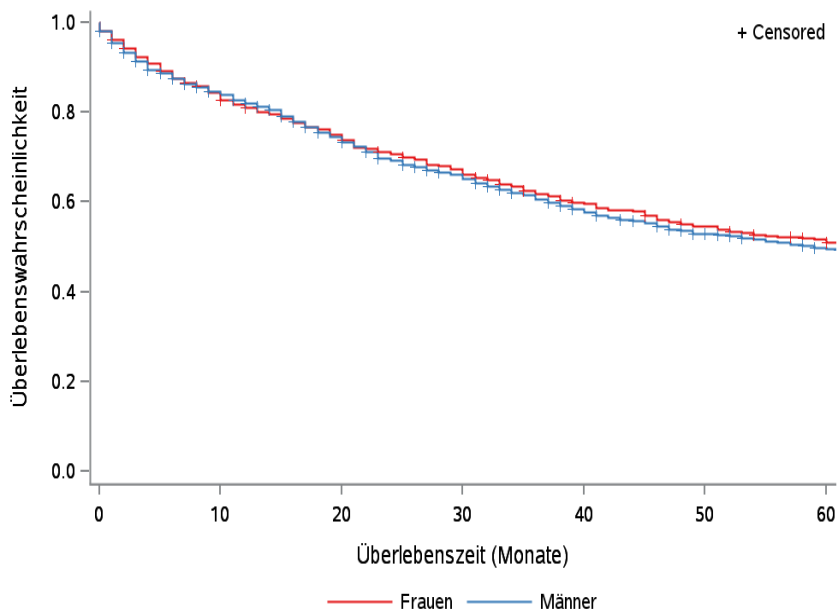
R-Klassifikation	UICC I	UICC II	UICC III	UICC IV	Stadium nicht ermittelbar	Summe	
						Anzahl	%
R0 (kein Residualtumor)	591	581	1253	78	177	2680	78,6
R1 (mikroskopischer Residualtumor)	41	18	59	31	16	165	4,8
R2 (makroskopischer Residualtumor)	5	11	32	333	9	390	11,4
RX (Vorhandensein eines Residualtumors kann nicht beurteilt werden)	40	16	32	41	37	166	4,9
keine Angabe	1	1	5	1	1	9	0,3
Summe	678	627	1381	484	240	3410	100,0



© KKR-MV 2020

Abb. 14.13. C20: Residualklassifikation nach Tumorresektion in Abhängigkeit von UICC-Tumorstadium im Diagnosezeitraum 2008 bis 2018

14.12 Überlebensanalysen bei den in den Jahren 2008 – 2013 primär diagnostizierten Patienten

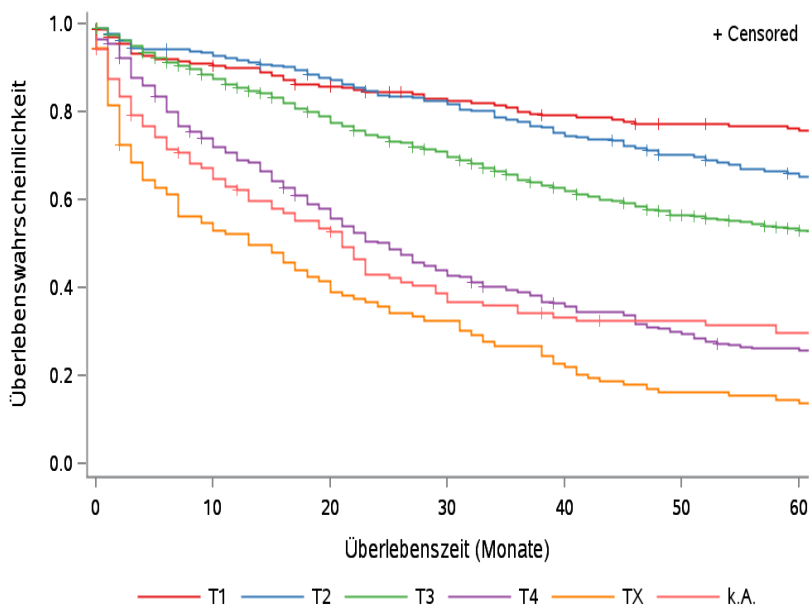


© KKR-MV 2020

Abb.14.14. C20: Wahrscheinlichkeit des Überlebens (Kaplan-Meier-Analyse) nach Geschlecht im Diagnosezeitraum von 2008 bis 2013 (Wohnort). Kaplan-Meier-Kurven werden für Kategorien mit weniger als 10 Neuerkrankungen nicht dargestellt.

Tab. 14.19. C20: Anzahl der unter Risiko stehenden Neuerkrankungen (Monate nach Diagnose)

Geschlecht	0 Monate	20 Monate	40 Monate	60 Monate
Männer	1425	1023	786	652
Frauen	820	594	463	392



© KKR-MV 2020

Abb.14.15. C20: Wahrscheinlichkeit des Überlebens (Kaplan-Meier-Analyse) nach Tumorstadium im Diagnosezeitraum von 2008 bis 2013 (Wohnort). Kaplan-Meier-Kurven werden für Kategorien mit weniger als 10 Neuerkrankungen nicht dargestellt.

Tab. 14.20. C20: Anzahl der unter Risiko stehenden Neuerkrankungen nach Tumorgröße (Monate nach Diagnose)

T-Kategorie	0 Monate	20 Monate	40 Monate	60 Monate
T1	234	184	163	153
T2	312	264	225	193
T3	1172	899	700	580
T4	281	157	96	68
TX	125	51	28	18
k.A.	121	62	37	32

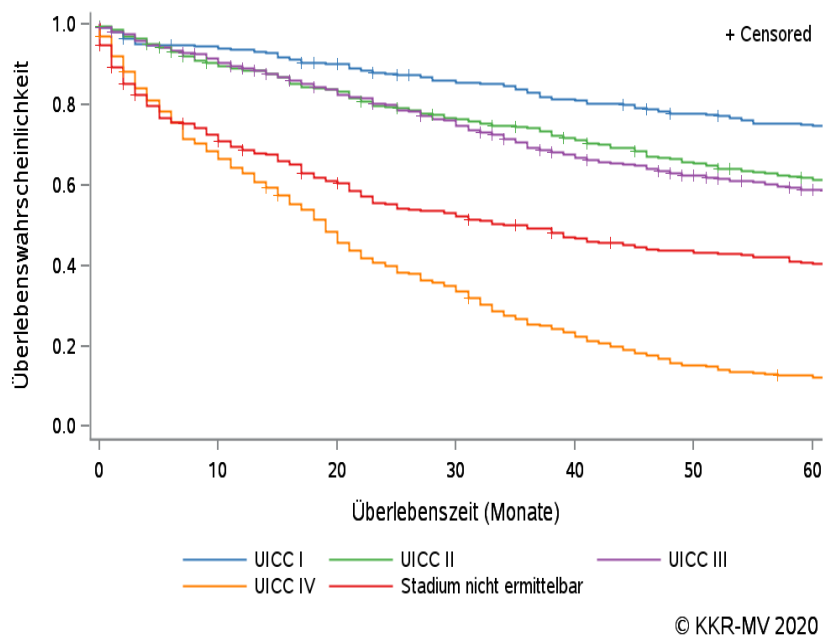
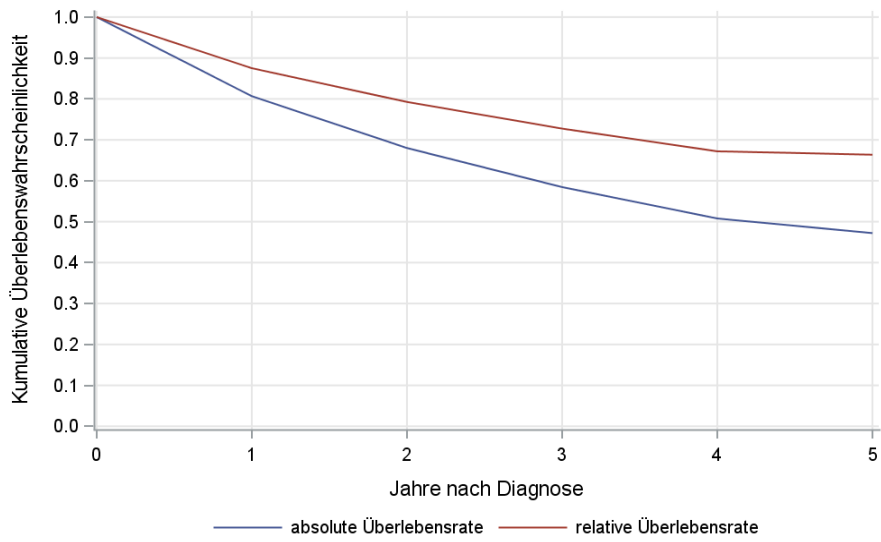


Abb.14.16. C20: Wahrscheinlichkeit des Überlebens (Kaplan-Meier-Analyse) nach UICC-Tumorstadium im Diagnosezeitraum von 2008 bis 2013 (Wohnort). Kaplan-Meier-Kurven werden für Kategorien mit weniger als 10 Neuerkrankungen nicht dargestellt.

Tab. 14.21. C20: Anzahl der unter Risiko stehenden Neuerkrankungen nach UICC-Stadium (Monate nach Diagnose)

UICC-Stadium	0 Monate	20 Monate	40 Monate	60 Monate
UICC I	357	302	267	241
UICC II	367	298	248	208
UICC III	767	622	492	417
UICC IV	413	197	93	50
Stadium nicht ermittelbar	341	198	149	128

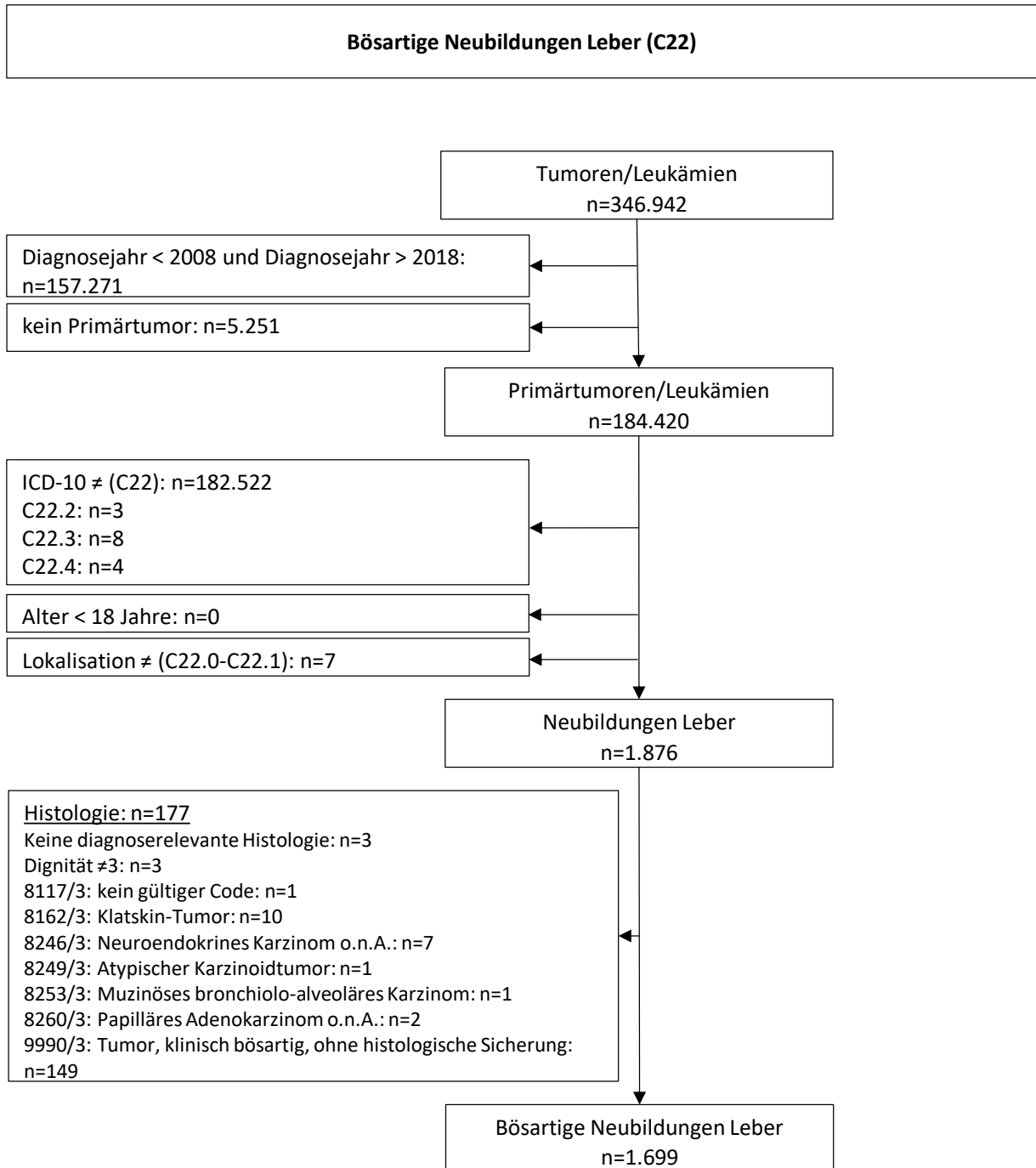


© KKR-MV 2020

Abb. 14.17. C20: Absolutes und relatives Überleben im Diagnosezeitraum 2008 bis 2013 (Wohnort, Alter > 19)

15 Leber (C22)

15.1 Consort-Statement: Darstellung der Auswertepopulation

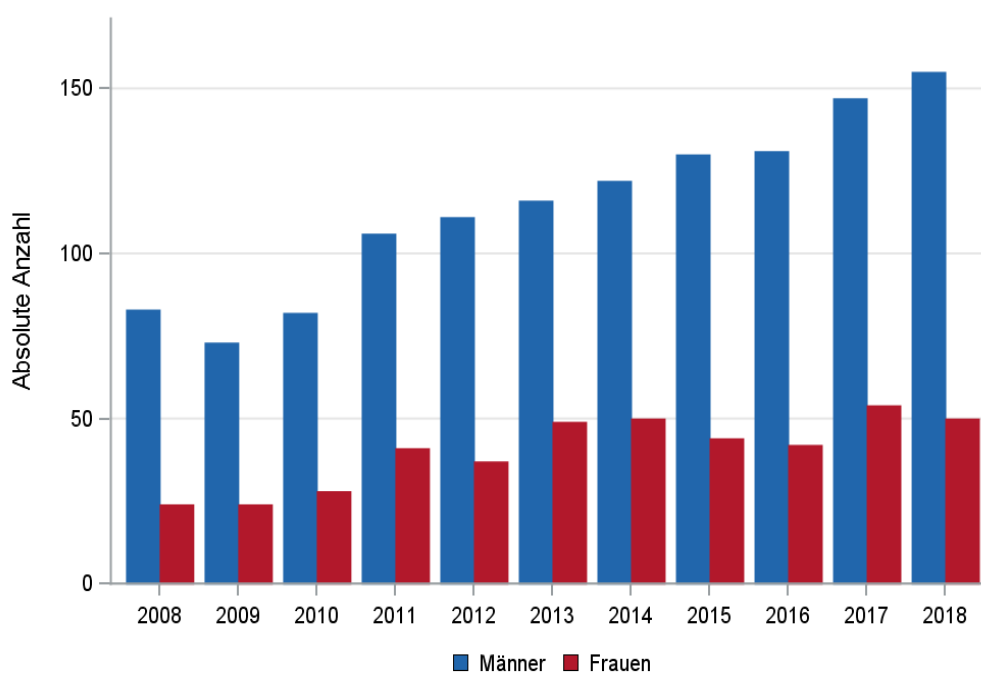


*Erläuterungen zu den Ausschlüssen finden Sie im Kapitel 4 (Methode)

15.2 Absolute Anzahl der erfassten Neuerkrankungen in M-V in den Jahren 2008 – 2018 nach Geschlecht (Behandlungsort, Wohnort)

Tab. 15.1. C22: Absolute Anzahl der Neuerkrankungen nach Geschlecht (Behandlungsort)

Diagnosejahr	Männer		Frauen		Summe
	Anzahl	%	Anzahl	%	
2008	83	77,6	24	22,4	107
2009	73	75,3	24	24,7	97
2010	82	74,5	28	25,5	110
2011	106	72,1	41	27,9	147
2012	111	75,0	37	25,0	148
2013	116	70,3	49	29,7	165
2014	122	70,9	50	29,1	172
2015	130	74,7	44	25,3	174
2016	131	75,7	42	24,3	173
2017	147	73,1	54	26,9	201
2018	155	75,6	50	24,4	205
Summe	1256	73,9	443	26,1	1699

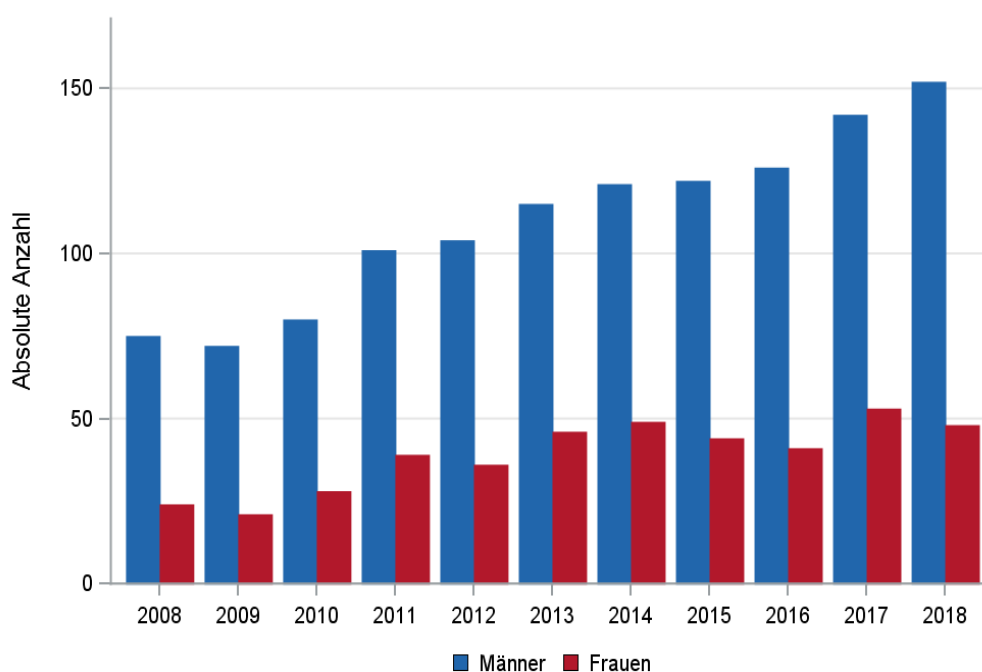


© KKR-MV 2020

Abb. 15.1. C22: Absolute Anzahl der Neuerkrankungen nach Geschlecht im Diagnosezeitraum 2008 bis 2018 (Behandlungsort)

Tab. 15.2. C22: Absolute Anzahl der Neuerkrankungen nach Geschlecht (Wohnort)

Diagnosejahr	Männer		Frauen		Summe
	Anzahl	%	Anzahl	%	
2008	75	75,8	24	24,2	99
2009	72	77,4	21	22,6	93
2010	80	74,1	28	25,9	108
2011	101	72,1	39	27,9	140
2012	104	74,3	36	25,7	140
2013	115	71,4	46	28,6	161
2014	121	71,2	49	28,8	170
2015	122	73,5	44	26,5	166
2016	126	75,4	41	24,6	167
2017	142	72,8	53	27,2	195
2018	152	76,0	48	24,0	200
Summe	1210	73,8	429	26,2	1639



© KKR-MV 2020

Abb. 15.2. C22: Absolute Anzahl der Neuerkrankungen nach Geschlecht im Diagnosezeitraum 2008 bis 2018 (Wohnort)

15.3 Absolute Anzahl der erfassten Neuerkrankungen in M-V in den Jahren 2008 – 2018 nach Landkreisen (Wohnort)

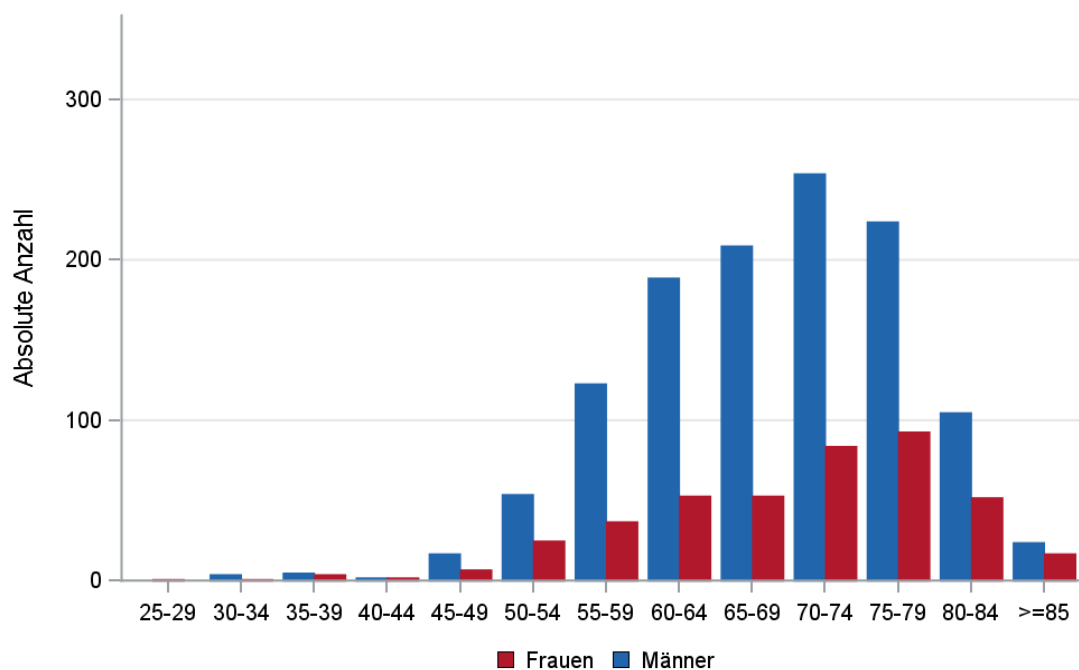
Tab. 15.3. C22: Absolute Anzahl und prozentualer Anteil der Neuerkrankungen nach Landkreisen

Landkreis	2008		2009		2010		2011		2012		2013		2014		2015		2016		2017		2018		Summe	
	Anzahl	%	Anzahl	%	Anzahl	%	Anzahl	%	Anzahl	%	Anzahl	%	Anzahl	%	Anzahl	%	Anzahl	%	Anzahl	%	Anzahl	%	Anzahl	%
Landkreis Rostock	15	15,2	13	14,0	14	13,0	13	9,3	12	8,6	16	9,9	26	15,3	32	19,3	23	13,8	31	15,9	32	16,0	227	13,8
Ludwigslust-Parchim	9	9,1	9	9,7	1	0,9	9	6,4	8	5,7	9	5,6	8	4,7	10	6,0	12	7,2	16	8,2	33	16,5	124	7,6
Mecklenburgische Seenplatte	14	14,1	13	14,0	13	12,0	31	22,1	20	14,3	33	20,5	32	18,8	19	11,4	11	6,6	19	9,7	27	13,5	232	14,2
Nordwestmecklenburg	6	6,1	4	4,3	7	6,5	5	3,6	19	13,6	19	11,8	14	8,2	12	7,2	16	9,6	12	6,2	11	5,5	125	7,6
Rostock	17	17,2	17	18,3	28	25,9	19	13,6	26	18,6	29	18,0	24	14,1	28	16,9	36	21,6	33	16,9	27	13,5	284	17,3
Schwerin	5	5,1	7	7,5	7	6,5	8	5,7	8	5,7	4	2,5	7	4,1	8	4,8	7	4,2	12	6,2	11	5,5	84	5,1
Vorpommern-Greifswald	14	14,1	15	16,1	17	15,7	24	17,1	21	15,0	28	17,4	28	16,5	27	16,3	33	19,8	34	17,4	33	16,5	274	16,7
Vorpommern-Rügen	19	19,2	14	15,1	21	19,4	30	21,4	25	17,9	21	13,0	31	18,2	29	17,5	29	17,4	38	19,5	25	12,5	282	17,2
nicht zuordenbar	0	0	1	1,1	0	0	1	0,7	1	0,7	2	1,2	0	0	1	0,6	0	0	0	0	1	0,5	7	0,4
Summe	99	100,0	93	100,0	108	100,0	140	100,0	140	100,0	161	100,0	170	100,0	166	100,0	167	100,0	195	100,0	200	100,0	1639	100,0

15.4 Rohe und standardisierte Neuerkrankungsraten pro 100.000 Einwohner in den Jahren 2008-2018 (Wohnort)

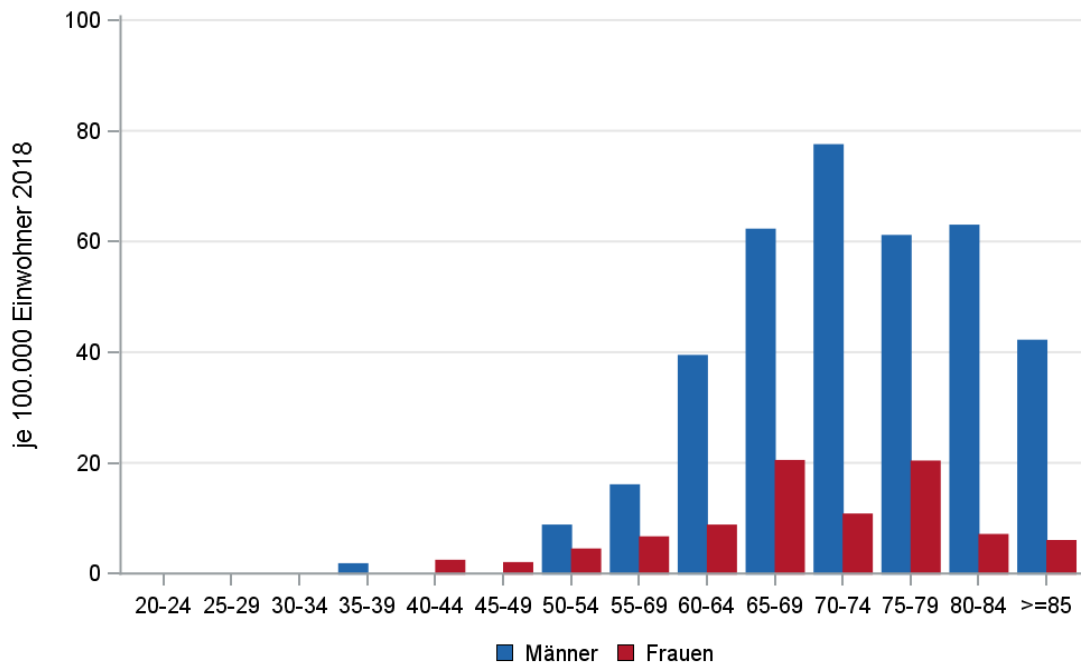
Tab. 15.4. C22: Neuerkrankungsrate/100.000 Einwohner (Alter > 19)

Diagnosejahr	Männer			Frauen		
	absolute Anzahl der Neuerkrankungen	rohe Rate in M-V	altersstandardisierte Rate	absolute Anzahl der Neuerkrankungen	rohe Rate in M-V	altersstandardisierte Rate
2008	75	10,8	8,8	24	3,4	2,1
2009	72	10,4	8,7	21	3,0	2,4
2010	80	11,6	8,7	28	3,9	2,6
2011	101	15,1	11,6	39	5,6	3,8
2012	104	15,6	11,1	36	5,2	3,1
2013	115	17,4	12,3	46	6,6	3,9
2014	121	18,3	12,8	49	7,1	4,1
2015	122	18,5	12,7	44	6,4	3,6
2016	126	19,1	12,6	41	6,0	3,2
2017	142	21,6	14,2	53	7,7	5,1
2018	152	23,2	15,2	48	7,0	4,5
2008-2018	1210	16,5	11,7	429	5,6	3,5



© KKR-MV 2020

Abb. 15.3. C22: Absolute Anzahl der Neuerkrankungen aufgelistet in 5-Jahres-Altersgruppen und nach Geschlecht im Diagnosezeitraum 2008 bis 2018 (Wohnort)



© KKR-MV 2020

Abb. 15.4. C22: Altersspezifische Rate der Neuerkrankungen je 100.000 Einwohner (Diagnosejahr 2018) nach 5-Jahres-Altersgruppen und Geschlecht (Wohnort)

15.5 Alter der in den Jahren 2008 - 2018 in M-V neuerkrankten Patienten (Behandlungsort)

Tab. 15.5. C22: Erkrankungsalter (Behandlungsort)

Diagnosejahr	Männer				Frauen			
	Anzahl	Median	Minimum	Maximum	Anzahl	Median	Minimum	Maximum
2008	83	67	38	81	24	73	54	88
2009	73	68	36	86	24	66	26	84
2010	82	70	32	82	28	71	52	88
2011	106	68	44	87	41	71	35	86
2012	111	70	48	86	37	72	44	92
2013	116	71	46	89	49	73	54	90
2014	122	70	30	82	50	74	42	91
2015	130	69	36	88	44	74	39	84
2016	131	69	33	89	42	75	49	94
2017	147	72	50	89	54	67	32	89
2018	155	69	38	91	50	67	43	87

15.6 Absolute Anzahl der erfassten Neuerkrankungen in M-V in den Jahren 2008 – 2018 nach Lokalisation

Tab. 15.6. C22: Absolute Anzahl und prozentualer Anteil der Neuerkrankungen nach der Lokalisation (Behandlungsort)

Lokalisation	2008	2009	2010	2011	2012	2013	2014	2015	2016	2017	2018	Summe	
												Anzahl	%
C22.0 Leber	61	51	57	67	64	84	76	84	61	76	79	760	44,7
C22.01 Rechter Leberlappen	15	16	20	26	24	24	39	32	46	56	44	342	20,1
C22.02 Linker Leberlappen	7	7	7	16	17	24	14	16	29	28	28	193	11,4
C22.1 Intrahepatische Gallengänge (Gallenkanälchen)	24	23	26	38	43	33	43	42	37	41	54	404	23,8
Summe	107	97	110	147	148	165	172	174	173	201	205	1699	100,0

15.7 Histologische Befunde bei allen neuerkrankten Patienten in M-V in den Jahren 2008 – 2018

Tab. 15.7. C22: Histologische Befunde bei neuerkrankten Patienten (Behandlungsort)

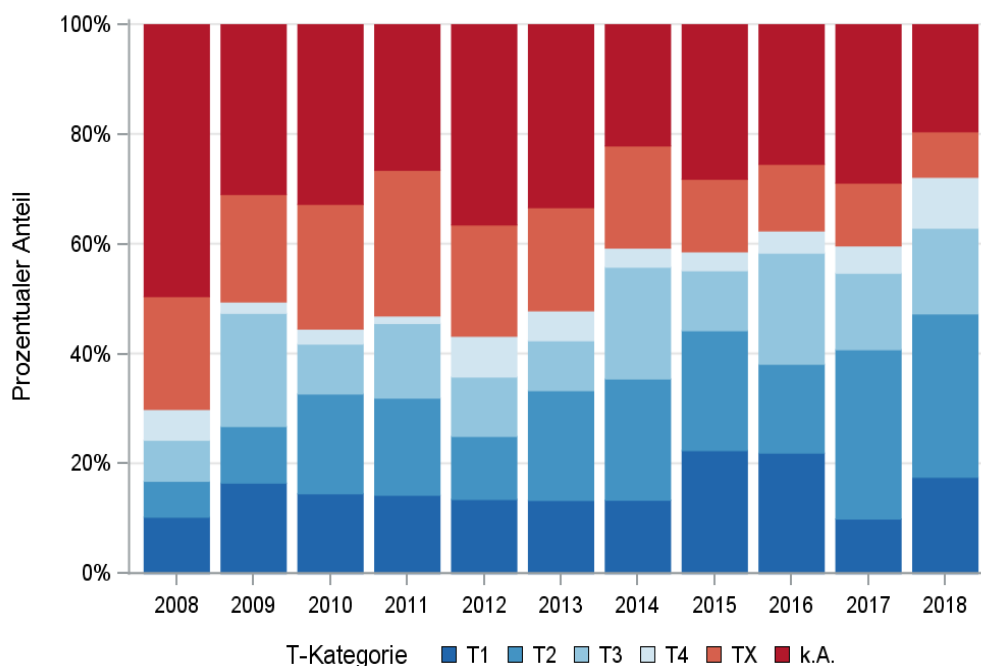
Histologiecode	Anzahl	Prozent
8170/3: Hepatozelluläres Karzinom o.n.A.	1104	65,0
8180/3: Kombiniertes hepatozelluläres Karzinom und Cholangiokarzinom	31	1,8
8171/3: Fibrolamelläres Leberzellkarzinom	3	0,2
8173/3: Spindelzelliges hepatozelluläres Karzinom	2	0,1
8174/3: Klarzelliges hepatozelluläres Karzinom	1	0,1
8175/3: Pleomorphes hepatozelluläres Karzinom	1	0,1
hepatozelluläre Karzinome	1142	67,2
8140/3: Adenokarzinom o.n.A.	284	16,7
8160/3: Intrahepatisches Cholangiokarzinom	162	9,5
8500/3: Invasives duktales Karzinom o.n.A.	33	1,9
8190/3: Trabekuläres Adenokarzinom	9	0,5
8480/3: Muzinöses Adenokarzinom	6	0,4
8211/3: Tubuläres Adenokarzinom	5	0,3
8481/3: Schleimbildendes Adenokarzinom	3	0,2
8560/3: Adenosquamöses Karzinom	3	0,2
8230/3: Solides Karzinom o.n.A.	2	0,1
8050/3: Papilläres Karzinom o.n.A.	1	0,1
8070/3: Plattenepithelkarzinom o.n.A.	1	0,1
8144/3: Adenokarzinom vom intestinalen Typ	1	0,1
8310/3: Klarzelliges Adenokarzinom o.n.A.	1	0,1
8550/3: Azinuszellkarzinom	1	0,1
intrahepatische cholangioläre Karzinome	512	30,2
8010/3: Karzinom o.n.A.	29	1,7
8020/3: Undifferenziertes Karzinom o.n.A.	6	0,4
8033/3: Pseudosarkomatöses Karzinom	3	0,2
8021/3: Anaplastisches Karzinom o.n.A.	2	0,1
8041/3: Kleinzelliges Karzinom o.n.A.	2	0,1
8046/3: Nichtkleinzelliges Karzinom	2	0,1
8012/3: Großzelliges Karzinom o.n.A.	1	0,1
nicht näher bezeichnete Karzinome	45	2,7

15.8 Tumorgröße und Ausdehnung (TNM)

Tab. 15.8. C22: Absolute Anzahl der Neuerkrankungen klassifiziert nach der Tumorgröße in Bezug zu der Auflage der TNM-Klassifikation (Behandlungsort)

Tumorgröße (T)	TNM Auflage 6		TNM Auflage 7		TNM Auflage 8		k.A. zur TNM Auflage		Summe	
	Anzahl	%	Anzahl	%	Anzahl	%	Anzahl*	%	Anzahl	%
T1	22	22,2	178	21,9	62	21,3	-	-	262	15,4
T2	14	14,1	212	26,1	114	39,2	-	-	340	20,0
T3	24	24,2	165	20,3	49	16,8	-	-	238	14,0
T4	8	8,1	47	5,8	26	8,9	-	-	81	4,8
TX	31	31,3	211	26,0	40	13,7	-	-	282	16,6
k.A.	0	0	0	0	0	0	496	100,0	496	29,2
Summe	99	100,0	813	100,0	291	100,0	496	100,0	1699	100,0

*In einzelnen Fällen wurden Angaben zur Tumorgröße ohne Bezug zu einer TNM Auflage gemacht. Diese Angaben wurden in die Kategorie k.A. aufgenommen.



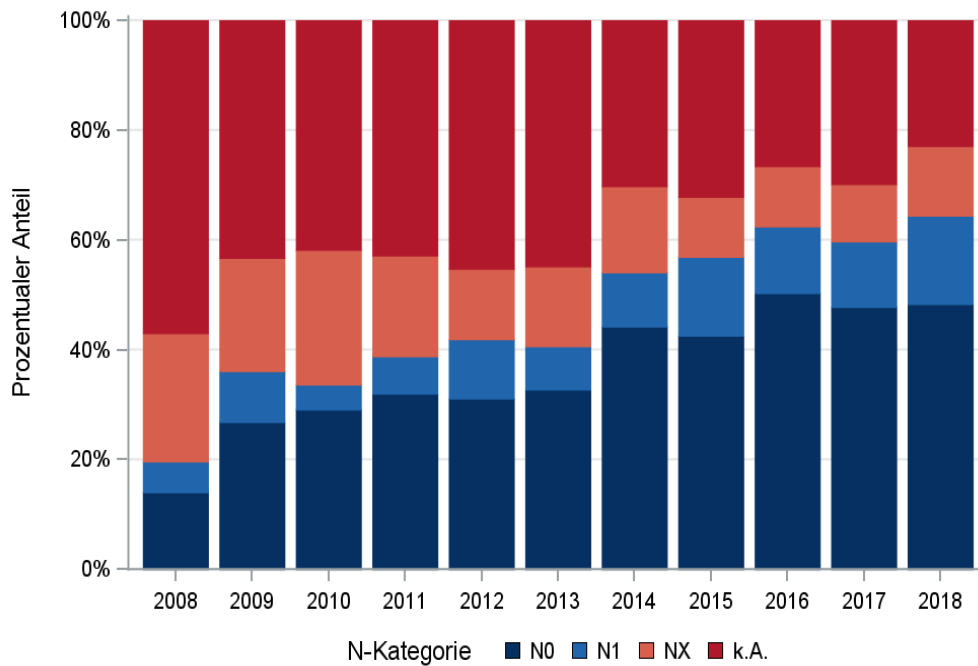
© KKR-MV 2020

Abb. 15.5. C22: Prozentualer Anteil der Neuerkrankungen nach der Tumorgröße im Diagnosezeitraum 2008 bis 2018

Tab. 15.9. C22: Absolute Anzahl der Neuerkrankungen mit bzw. ohne Befall der regionären Lymphknoten in Bezug zu der Auflage der TNM-Klassifikation (Behandlungsort)

N-Kategorie	TNM Auflage 6		TNM Auflage 7		TNM Auflage 8		k.A. zur TNM Auflage		Summe	
	Anzahl	%	Anzahl	%	Anzahl	%	Anzahl*	%	Anzahl	%
N0	30	30,3	437	53,8	185	63,6	-	-	652	38,4
N1	15	15,2	114	14,0	50	17,2	-	-	179	10,5
NX	41	41,4	165	20,3	48	16,5	-	-	254	14,9
k.A.	13	13,1	97	11,9	8	2,7	496	100,0	614	36,1
Summe	99	100,0	813	100,0	291	100,0	496	100,0	1699	100,0

*In einzelnen Fällen wurden Angaben zur N-Kategorie ohne Bezug zu einer TNM Auflage gemacht. Diese Angaben wurden in die Kategorie k.A. aufgenommen.



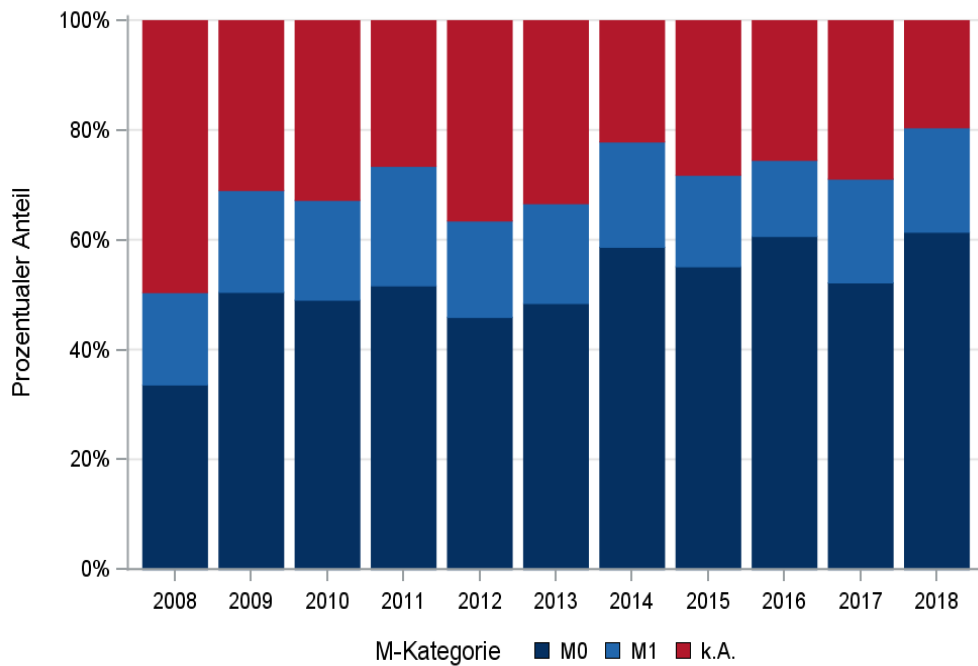
© KKR-MV 2020

Abb. 15.6. C22: Prozentualer Anteil der Neuerkrankungen mit und ohne Befall der regionären Lymphknoten zum Zeitpunkt der Erstdiagnose im Diagnosezeitraum 2008 bis 2018

Tab. 15.10. C22: Absolute Anzahl der Neuerkrankungen mit Fernmetastasierung in Bezug zu der Auflage der TNM-Klassifikation (Behandlungsort)

M-Kategorie	TNM Auflage 6		TNM Auflage 7		TNM Auflage 8		k.A. zur TNM Auflage		Summe	
	Anzahl	%	Anzahl	%	Anzahl	%	Anzahl*	%	Anzahl	%
M0	65	65,7	608	74,8	223	76,6	-	-	896	52,7
M1	34	34,3	205	25,2	68	23,4	-	-	307	18,1
k.A.	0	0	0	0	0	0	496	100,0	496	29,2
Summe	99	100,0	813	100,0	291	100,0	496	100,0	1699	100,0

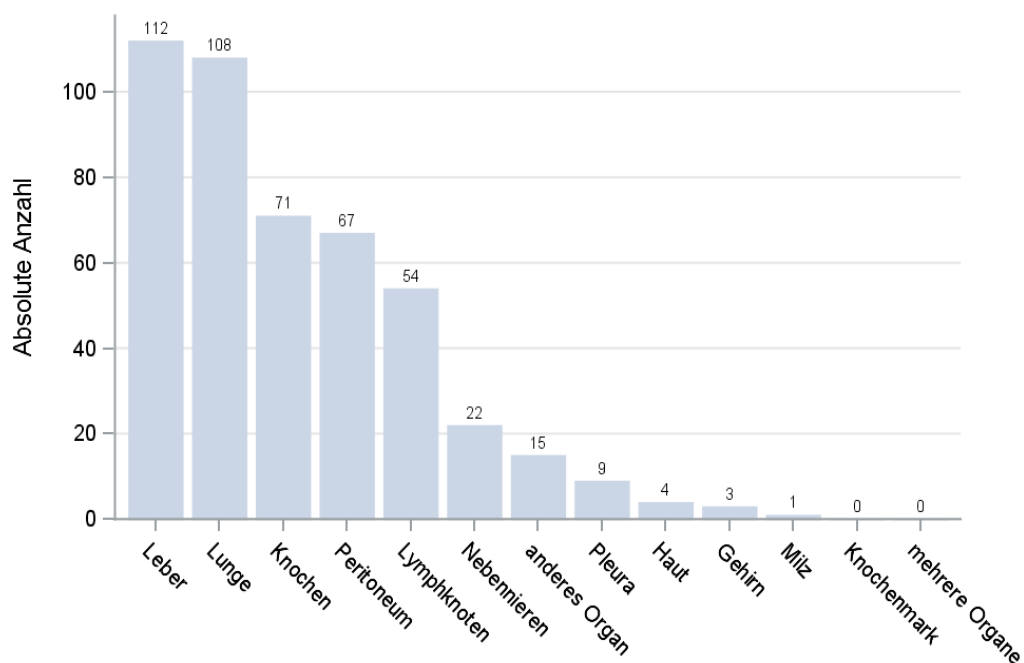
*In einzelnen Fällen wurden Angaben zur M-Kategorie ohne Bezug zu einer TNM Auflage gemacht. Diese Angaben wurden in die Kategorie k.A. aufgenommen.



© KKR-MV 2020

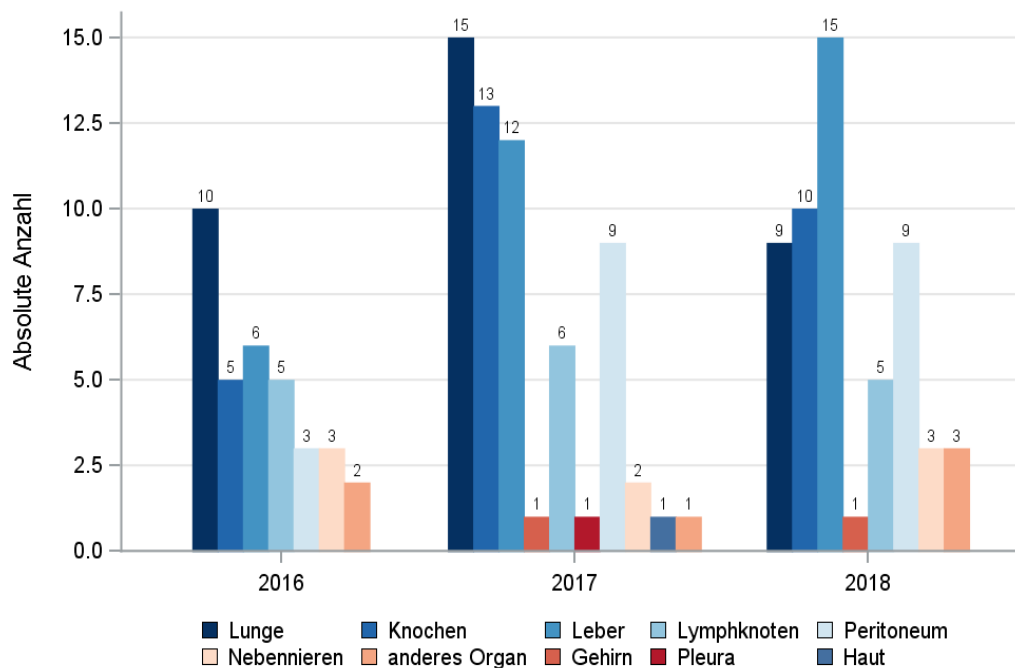
Abb. 15.7. C22: Prozentualer Anteil der primären Fernmetastasierung im Diagnosezeitraum 2008 bis 2018

15.9 Lokalisation der Fernmetastasen



© KKR-MV 2020

Abb. 15.8. C22: Lokalisation der Fernmetastasen bei Neuerkrankungen im Diagnosezeitraum 2008 bis 2018



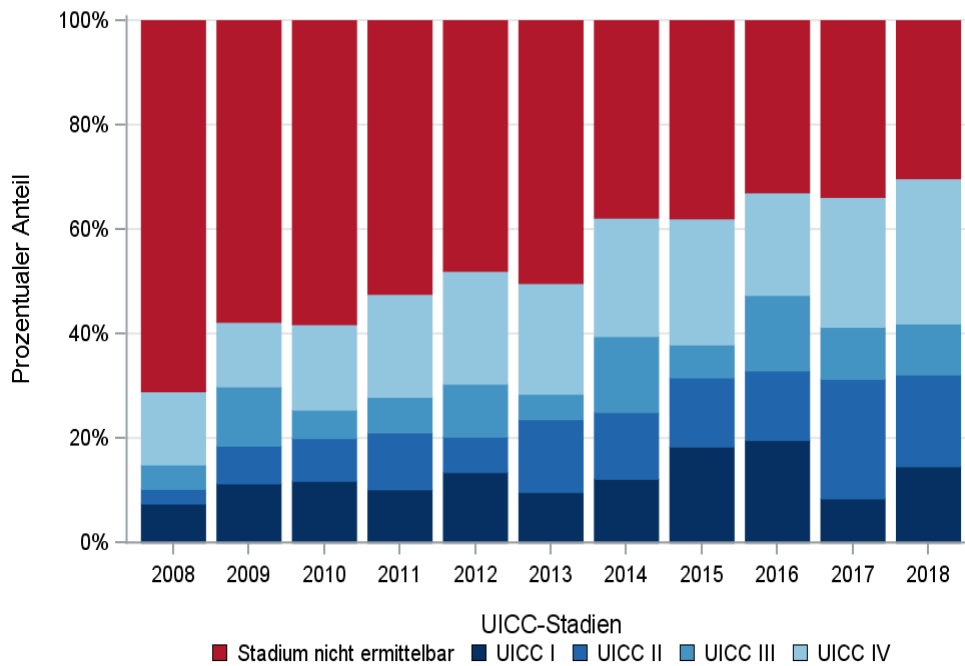
© KKR-MV 2020

Abb. 15.9. C22: Lokalisation der Fernmetastasen bei Neuerkrankungen für die Diagnosejahre 2016 bis 2018

15.10 Tumorstadien nach UICC

Tab. 15.11. C22: Primäre UICC-Stadien (Behandlungsort)

Jahre	UICC I		UICC II		UICC III		UICC IV		Stadium nicht ermittelbar		Summe	
	Anzahl	%	Anzahl	%	Anzahl	%	Anzahl	%	Anzahl	%	Anzahl	%
2008	8	7,5	3	2,8	5	4,7	15	14,0	76	71,0	107	100,0
2009	11	11,3	7	7,2	11	11,3	12	12,4	56	57,7	97	100,0
2010	13	11,8	9	8,2	6	5,5	18	16,4	64	58,2	110	100,0
2011	15	10,2	16	10,9	10	6,8	29	19,7	77	52,4	147	100,0
2012	20	13,5	10	6,8	15	10,1	32	21,6	71	48,0	148	100,0
2013	16	9,7	23	13,9	8	4,8	35	21,2	83	50,3	165	100,0
2014	21	12,2	22	12,8	25	14,5	39	22,7	65	37,8	172	100,0
2015	32	18,4	23	13,2	11	6,3	42	24,1	66	37,9	174	100,0
2016	34	19,7	23	13,3	25	14,5	34	19,7	57	32,9	173	100,0
2017	17	8,5	46	22,9	20	10,0	50	24,9	68	33,8	201	100,0
2018	30	14,6	36	17,6	20	9,8	57	27,8	62	30,2	205	100,0
Summe	217	12,8	218	12,8	156	9,2	363	21,4	745	43,8	1699	100,0



© KKR-MV 2020

Abb. 15.10. C22: Prozentuale Anteile der UICC-Tumorstadien in den Diagnosejahren 2008 bis 2018

15.11 Dokumentierte Therapie bis max. 12 Monate nach Diagnosestellung

15.11.1 Therapiekombinationen und Intention der dokumentierten Therapien

Tab. 15.12. C22: Therapiekombinationen (Operation, Strahlentherapie, systemische Therapie) pro Diagnosejahr (Behandlungsort)

Therapiekombinationen	2008	2009	2010	2011	2012	2013	2014	2015	2016	2017	2018	Summe
Alleinige Operation	19	25	19	34	33	40	47	50	46	48	51	412
Alleinige systemische Therapie	36	27	31	42	53	50	54	46	37	51	58	485
Alleinige Strahlentherapie	0	1	1	1	1	1	0	1	2	3	3	14
Operation und systemische Therapie, keine Strahlentherapie	6	9	12	10	9	13	12	12	13	15	17	128
Operation und Strahlentherapie, keine systemische Therapie	0	0	0	0	0	0	0	1	2	1	4	8
Systemische Therapie und Strahlentherapie, keine Operation	0	0	3	1	0	0	1	2	1	2	2	12
Operation und systemische Therapie und Strahlentherapie	0	0	1	0	0	0	1	0	0	1	1	4
Keine Operation, systemische Therapie oder Strahlentherapie	46	35	43	59	52	61	57	62	72	80	69	636
Summe	107	97	110	147	148	165	172	174	173	201	205	1699

Tab. 15.13. C22: Therapiekombinationen (Operation, Strahlentherapie, systemische Therapie) in Abhängigkeit von dem UICC-Stadium (Behandlungsort)

Therapiekombinationen	UICC I	UICC II	UICC III	UICC IV	Stadium nicht ermittelbar	Summe
Alleinige Operation	161	92	44	36	79	412
Alleinige systemische Therapie	10	36	44	145	250	485
Alleinige Strahlentherapie	1	1	0	2	10	14
Operation und systemische Therapie, keine Strahlentherapie	14	31	22	28	33	128
Operation und Strahlentherapie, keine systemische Therapie	1	3	2	0	2	8
Systemische Therapie und Strahlentherapie, keine Operation	0	2	2	3	5	12
Operation und systemische Therapie und Strahlentherapie	1	0	2	0	1	4
Keine Operation, systemische Therapie oder Strahlentherapie	29	53	40	149	365	636
Summe	217	218	156	363	745	1699

Tab. 15.14a. C22: Intention bei der ersten Operation (Behandlungsort)

Intention der Operation	2008	2009	2010	2011	2012	2013	2014	2015	2016	2017	2018	Summe
Kurativ	20	27	22	34	31	36	41	52	54	50	56	423
Palliativ bzw. symptomatisch	3	2	2	4	2	5	7	5	3	4	7	44
Sonstige/Unbekannt/Keine Angabe	2	5	8	6	9	12	12	6	4	11	10	85
Summe	25	34	32	44	42	53	60	63	61	65	73	552

Tab. 14.14b. C22: Intention bei der ersten systemischen Therapie (Behandlungsort)

Intention der systemischen Therapie	2008	2009	2010	2011	2012	2013	2014	2015	2016	2017	2018	Summe
Palliativ bzw. symptomatisch	22	24	31	35	43	48	59	42	34	46	51	435
Kurativ	10	9	8	10	9	13	8	15	13	14	23	132
Sonstige/Unbekannt/Keine Angabe	10	3	8	8	10	2	1	3	4	9	4	62
Summe	42	36	47	53	62	63	68	60	51	69	78	629

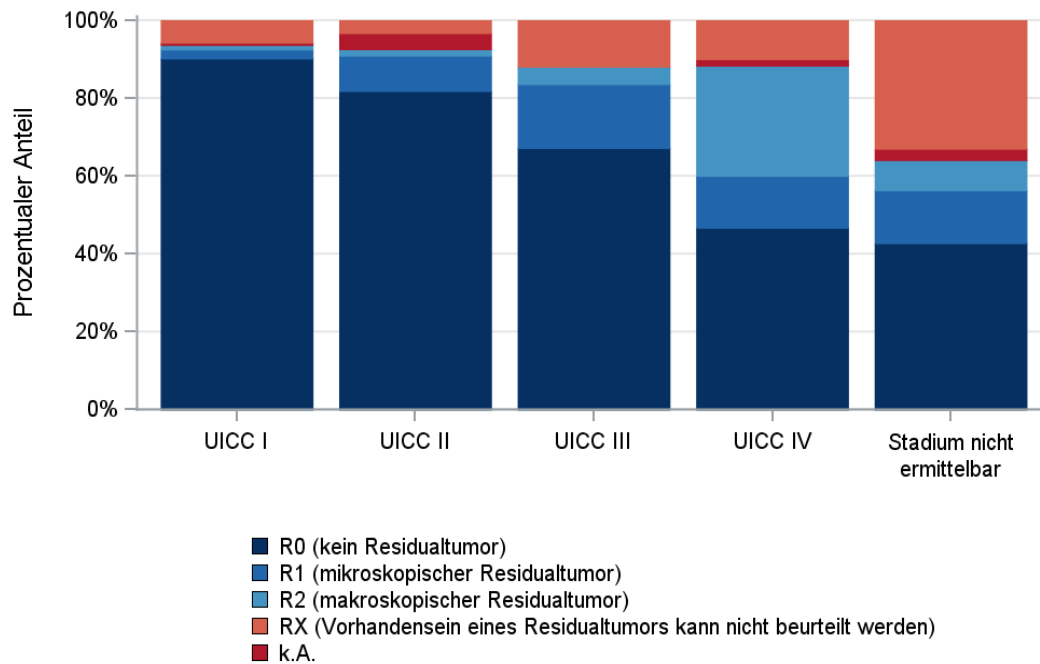
15.11.2 Dokumentierte tumorspezifische Operation bis max.12 Monate nach Diagnosestellung

Tab. 15.15. C22: Dokumentierte tumorspezifische Operation nach UICC (Behandlungsort)

Operationen	UICC I	UICC II	UICC III	UICC IV	Stadium nicht ermittelbar	Summe	
						Anzahl	%
Tumorresektion	169	116	60	50	99	494	89,5
Tumor- und Lymphknotenresektion	4	5	7	10	4	30	5,4
Lymphknotenresektion	0	0	0	1	0	1	0,2
sonstige OP	2	5	3	3	8	21	3,8
keine Angabe	2	0	0	0	4	6	1,1
Summe	177	126	70	64	115	552	100,0

Tab. 15.16. C22: Residualklassifikation nach Tumorresektion im Diagnosezeitraum 2008-2018

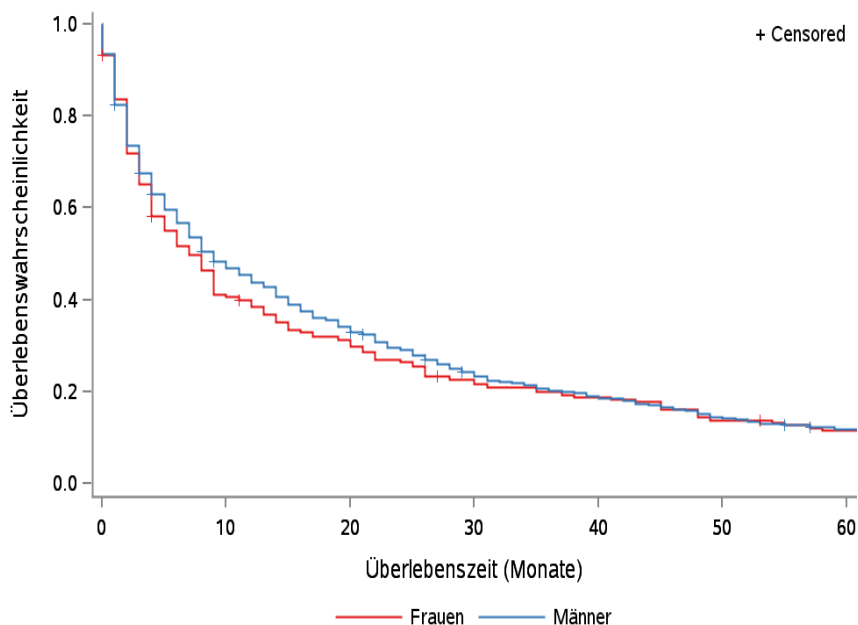
R-Klassifikation	UICC I	UICC II	UICC III	UICC IV	Stadium nicht ermittelbar	Summe	
						Anzahl	%
R0 (kein Residualtumor)	156	99	45	28	44	372	71,0
R1 (mikroskopischer Residualtumor)	4	11	11	8	14	48	9,2
R2 (makroskopischer Residualtumor)	2	2	3	17	8	32	6,1
RX (Vorhandensein eines Residualtumors kann nicht beurteilt werden)	10	4	8	6	34	62	11,8
keine Angabe	1	5	0	1	3	10	1,9
Summe	173	121	67	60	103	524	100,0



© KKR-MV 2020

Abb. 15.11. C22: Residualklassifikation nach Tumorresektion in Abhängigkeit von UICC-Tumorstadium im Diagnosezeitraum 2008 bis 2018

15.12 Überlebensanalysen bei den in den Jahren 2008 – 2013 primär diagnostizierten Patienten

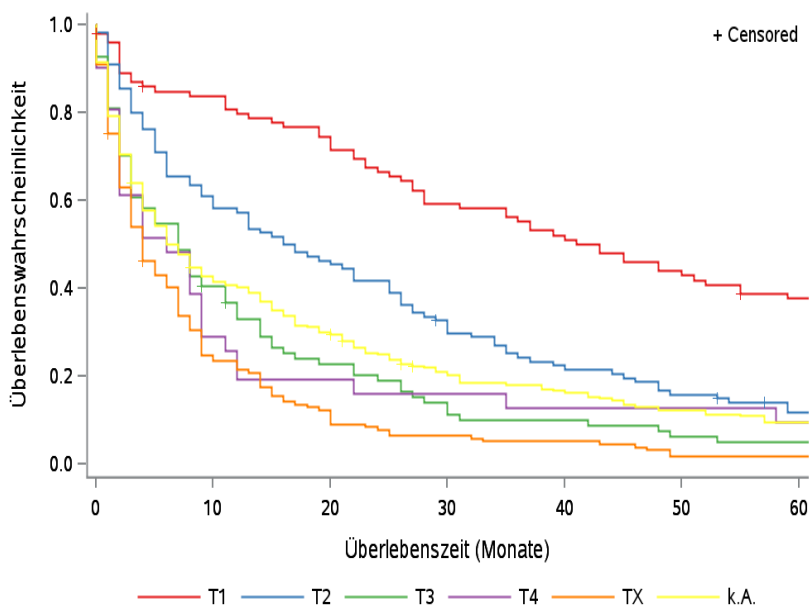


© KKR-MV 2020

Abb. 15.12. C22: Wahrscheinlichkeit des Überlebens (Kaplan-Meier-Analyse) nach Geschlecht im Diagnosezeitraum von 2008 bis 2013 (Wohnort). Kaplan-Meier-Kurven werden für Kategorien mit weniger als 10 Neuerkrankungen nicht dargestellt.

Tab. 15.17. C22: Anzahl der unter Risiko stehenden Neuerkrankungen (Monate nach Diagnose)

Geschlecht	0 Monate	20 Monate	40 Monate	60 Monate
Männer	539	182	99	59
Frauen	190	58	34	20

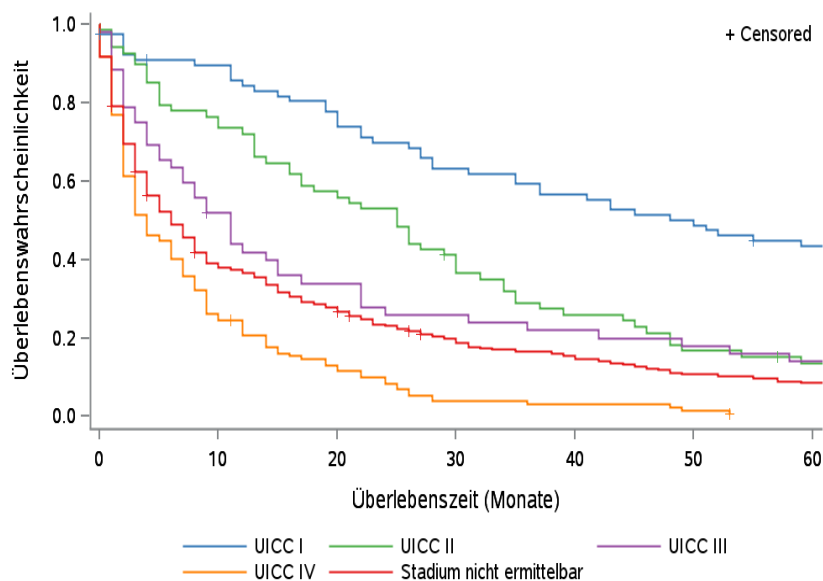


© KKR-MV 2020

Abb. 15.13. C22: Wahrscheinlichkeit des Überlebens (Kaplan-Meier-Analyse) nach Tumorstadium im Diagnosezeitraum von 2008 bis 2013 (Wohnort). Kaplan-Meier-Kurven werden für Kategorien mit weniger als 10 Neuerkrankungen nicht dargestellt.

Tab. 15.18. C22: Anzahl der unter Risiko stehenden Neuerkrankungen nach Tumorgröße (Monate nach Diagnose)

T-Kategorie	0 Monate	20 Monate	40 Monate	60 Monate
T1	100	73	51	36
T2	110	51	24	11
T3	84	18	8	4
T4	31	6	4	3
TX	157	19	8	3
k.A.	247	73	38	22

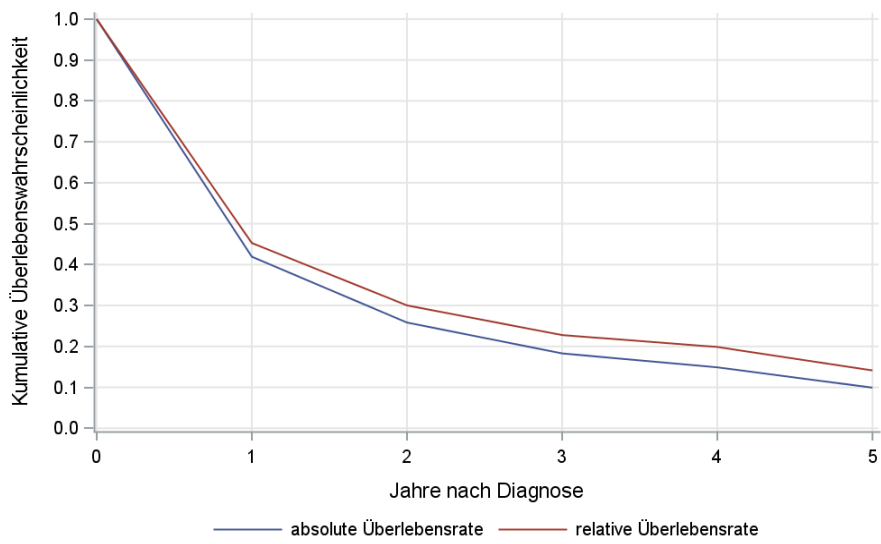


© KKR-MV 2020

Abb.15.14. C22: Wahrscheinlichkeit des Überlebens (Kaplan-Meier-Analyse) nach UICC-Tumorstadium im Diagnosezeitraum von 2008 bis 2013 (Wohnort). Kaplan-Meier-Kurven werden für Kategorien mit weniger als 10 Neuerkrankungen nicht dargestellt.

Tab 15.19. C22: Anzahl der unter Risiko stehenden Neuerkrankungen nach UICC-Stadium (Monate nach Diagnose)

UICC-Stadium	0 Monate	20 Monate	40 Monate	60 Monate
UICC I	78	59	43	32
UICC II	68	39	17	8
UICC III	52	17	11	7
UICC IV	134	17	4	1
Stadium nicht ermittelbar	397	108	58	32

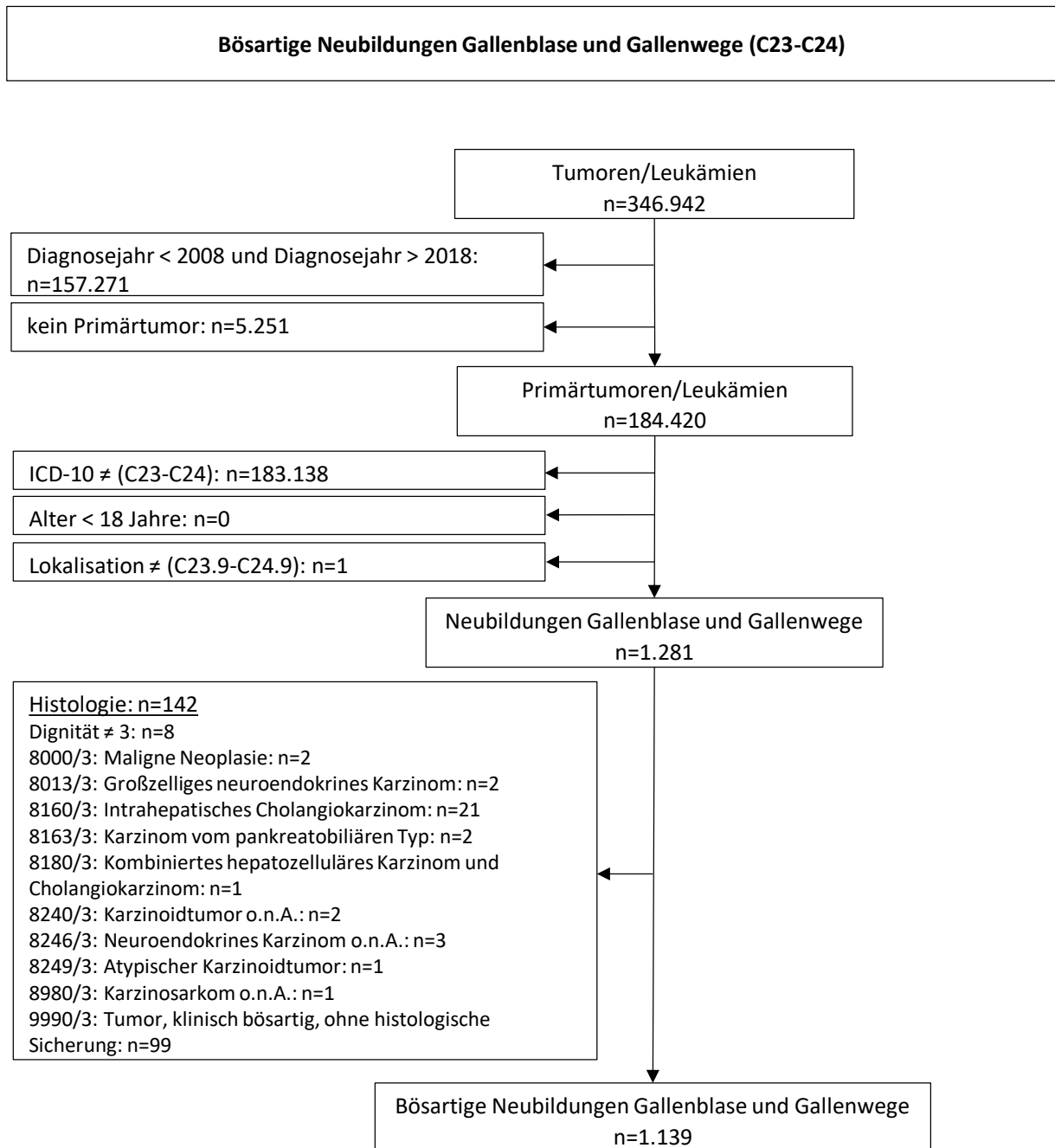


© KKR-MV 2020

Abb. 15.15. C22: Absolutes und relatives Überleben im Diagnosezeitraum 2008 bis 2013 (Wohnort, Alter > 19)

16 Gallenblase und Gallenweg (C23-C24)

16.1 Consort-Statement: Darstellung der Auswertepopulation

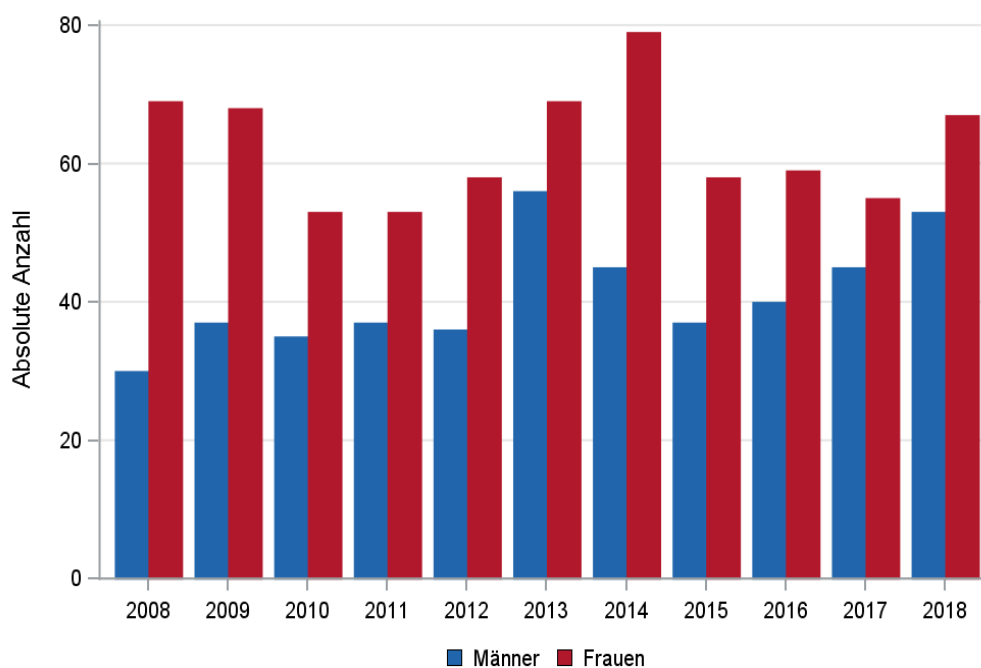


*Erläuterungen zu den Ausschlüssen finden Sie im Kapitel 4 (Methode)

16.2 Absolute Anzahl der erfassten Neuerkrankungen in M-V in den Jahren 2008 – 2018 nach Geschlecht (Behandlungsort, Wohnort)

Tab. 16.1. C23-C24: Absolute Anzahl der Neuerkrankungen nach Geschlecht (Behandlungsort)

Diagnosejahr	Männer		Frauen		Summe
	Anzahl	%	Anzahl	%	
2008	30	30,3	69	69,7	99
2009	37	35,2	68	64,8	105
2010	35	39,8	53	60,2	88
2011	37	41,1	53	58,9	90
2012	36	38,3	58	61,7	94
2013	56	44,8	69	55,2	125
2014	45	36,3	79	63,7	124
2015	37	38,9	58	61,1	95
2016	40	40,4	59	59,6	99
2017	45	45,0	55	55,0	100
2018	53	44,2	67	55,8	120
Summe	451	39,6	688	60,4	1139

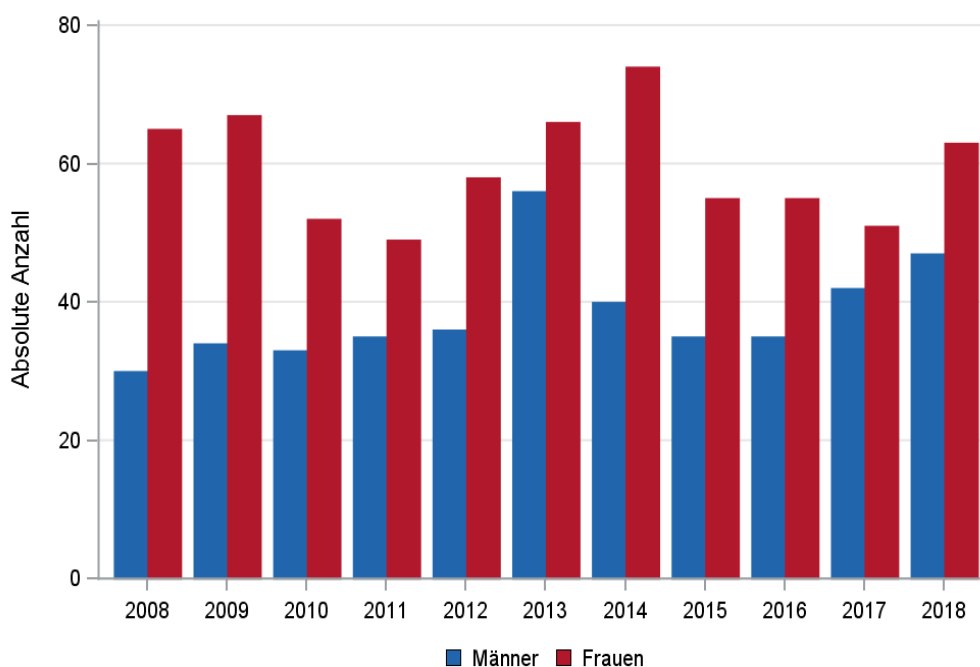


© KKR-MV 2020

Abb. 16.1. C23-C24: Absolute Anzahl der Neuerkrankungen nach Geschlecht im Diagnosezeitraum 2008 bis 2018 (Behandlungsort)

Tab. 16.2. C23-C24: Absolute Anzahl der Neuerkrankungen nach Geschlecht (Wohnort)

Diagnosejahr	Männer		Frauen		Summe
	Anzahl	%	Anzahl	%	
2008	30	31,6	65	68,4	95
2009	34	33,7	67	66,3	101
2010	33	38,8	52	61,2	85
2011	35	41,7	49	58,3	84
2012	36	38,3	58	61,7	94
2013	56	45,9	66	54,1	122
2014	40	35,1	74	64,9	114
2015	35	38,9	55	61,1	90
2016	35	38,9	55	61,1	90
2017	42	45,2	51	54,8	93
2018	47	42,7	63	57,3	110
Summe	423	39,2	655	60,8	1078



© KKR-MV 2020

Abb. 16.2. C23-C24: Absolute Anzahl der Neuerkrankungen nach Geschlecht im Diagnosezeitraum 2008 bis 2018 (Wohnort)

16.3 Absolute Anzahl der erfassten Neuerkrankungen in M-V in den Jahren 2008 – 2018 nach Landkreisen (Wohnort)

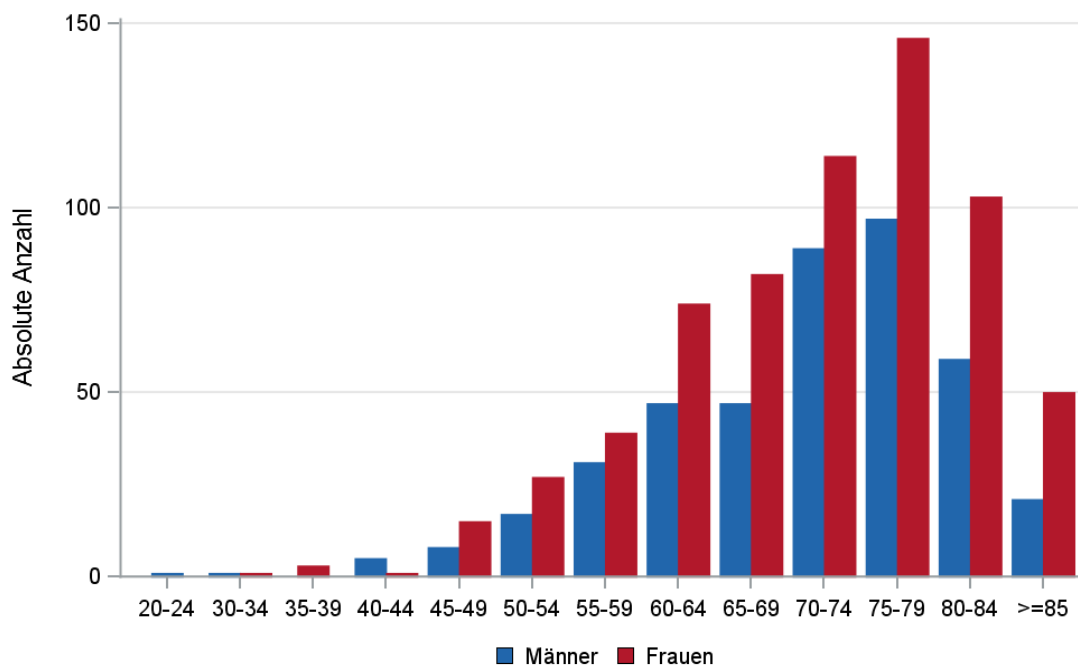
Tab. 16.3. C23-C24: Absolute Anzahl und prozentualer Anteil der Neuerkrankungen nach Landkreisen

Landkreis	2008		2009		2010		2011		2012		2013		2014		2015		2016		2017		2018		Summe	
	Anzahl	%	Anzahl	%	Anzahl	%	Anzahl	%	Anzahl	%	Anzahl	%	Anzahl	%	Anzahl	%	Anzahl	%	Anzahl	%	Anzahl	%	Anzahl	%
Landkreis Rostock	8	8,4	7	6,9	10	11,8	10	11,9	14	14,9	12	9,8	20	17,5	13	14,4	8	8,9	12	12,9	10	9,1	124	11,5
Ludwigslust-Parchim	9	9,5	9	8,9	8	9,4	5	6,0	13	13,8	16	13,1	9	7,9	13	14,4	6	6,7	7	7,5	19	17,3	114	10,6
Mecklenburgische Seenplatte	17	17,9	19	18,8	18	21,2	15	17,9	15	16,0	20	16,4	18	15,8	9	10,0	13	14,4	16	17,2	23	20,9	183	17,0
Nordwestmecklenburg	8	8,4	4	4,0	5	5,9	2	2,4	8	8,5	13	10,7	12	10,5	4	4,4	6	6,7	6	6,5	8	7,3	76	7,1
Rostock	18	18,9	14	13,9	10	11,8	13	15,5	13	13,8	17	13,9	14	12,3	7	7,8	12	13,3	12	12,9	16	14,5	146	13,5
Schwerin	8	8,4	10	9,9	3	3,5	6	7,1	2	2,1	6	4,9	7	6,1	6	6,7	10	11,1	1	1,1	3	2,7	62	5,8
Vorpommern-Greifswald	16	16,8	19	18,8	20	23,5	16	19,0	14	14,9	16	13,1	17	14,9	21	23,3	18	20,0	20	21,5	14	12,7	191	17,7
Vorpommern-Rügen	11	11,6	18	17,8	11	12,9	17	20,2	15	16,0	22	18,0	16	14,0	16	17,8	16	17,8	19	20,4	17	15,5	178	16,5
nicht zuordenbar	0	0	1	1,0	0	0	0	0	0	0	0	0	1	0,9	1	1,1	1	1,1	0	0	0	0	4	0,4
Summe	95	100,0	101	100,0	85	100,0	84	100,0	94	100,0	122	100,0	114	100,0	90	100,0	90	100,0	93	100,0	110	100,0	1078	100,0

16.4 Rohe und standardisierte Neuerkrankungsraten pro 100.000 Einwohner in den Jahren 2008-2018 (Wohnort)

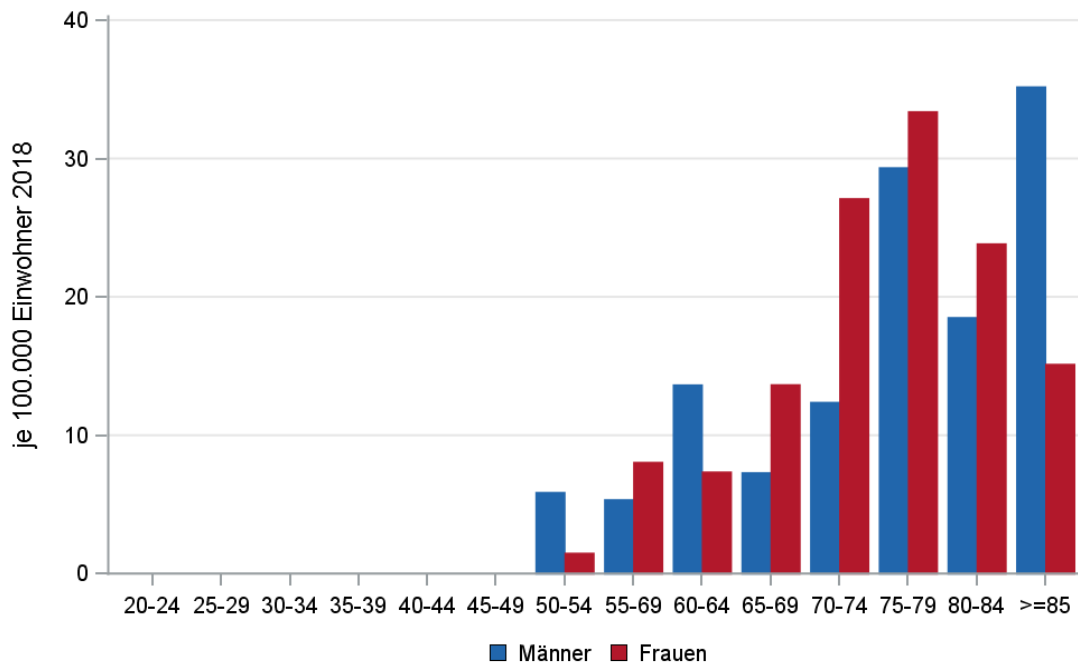
Tab. 16.4. C23-C24: Neuerkrankungsrate/100.000 Einwohner (Alter > 19)

Diagnosejahr	Männer			Frauen		
	absolute Anzahl der Neuerkrankungen	rohe Rate in M-V	alterstandardisierte Rate	absolute Anzahl der Neuerkrankungen	rohe Rate in M-V	alterstandardisierte Rate
2008	30	4,3	3,6	65	9,1	5,7
2009	34	4,9	3,8	67	9,4	6,3
2010	33	4,8	3,6	52	7,3	4,5
2011	35	5,2	3,7	49	7,0	4,3
2012	36	5,4	3,8	58	8,3	5,3
2013	56	8,5	5,6	66	9,5	5,0
2014	40	6,1	4,1	74	10,7	6,3
2015	35	5,3	3,6	55	8,0	4,3
2016	35	5,3	3,2	55	8,0	4,4
2017	42	6,4	4,1	51	7,4	4,1
2018	47	7,2	4,5	63	9,2	4,8
2008-2018	423	5,8	4,0	655	8,6	5,0



© KKR-MV 2020

Abb. 16.3. C23-C24: Absolute Anzahl der Neuerkrankungen aufgelistet in 5-Jahres-Altersgruppen und nach Geschlecht im Diagnosezeitraum 2008 bis 2018 (Wohnort)



© KKR-MV 2020

Abb. 16.4. C23-C24: Altersspezifische Rate der Neuerkrankungen je 100.000 Einwohner (Diagnosejahr 2018) nach 5-Jahres-Altersgruppen und Geschlecht (Wohnort)

16.5 Alter der in den Jahren 2008 - 2018 in M-V neuerkrankten Patienten (Behandlungsort)

Tab. 16.5. C23-C24: Erkrankungsalter (Behandlungsort)

Diagnosejahr	Männer				Frauen			
	Anzahl	Median	Minimum	Maximum	Anzahl	Median	Minimum	Maximum
2008	30	69	24	86	69	71	45	88
2009	37	71	42	85	68	71	47	91
2010	35	74	48	88	53	73	46	87
2011	37	74	43	91	53	74	35	96
2012	36	73	34	91	58	72	50	87
2013	56	74	45	86	69	75	49	91
2014	45	72	43	90	79	73	38	92
2015	37	74	43	86	58	75	51	90
2016	40	75	53	86	59	76	47	90
2017	45	74	51	85	55	75	30	91
2018	53	74	50	88	67	75	50	91

16.6 Absolute Anzahl der erfassten Neuerkrankungen in M-V in den Jahren 2008 – 2018 nach Lokalisation

Tab. 16.6. C23-C24: Absolute Anzahl und prozentualer Anteil der Neuerkrankungen nach der Lokalisation (Behandlungsort)

Lokalisation	2008	2009	2010	2011	2012	2013	2014	2015	2016	2017	2018	Summe	
												Anzahl	%
C23.9 Gallenblase	52	53	51	49	46	55	49	46	36	48	42	527	46,3
C23.91 Gallenblasenhals	0	0	0	0	1	1	2	0	2	1	2	9	0,8
C23.92 Gallenblasenkörper	1	0	1	1	0	0	0	0	1	3	3	10	0,9
C23.93 Gallenblasenfundus	1	1	3	1	2	1	0	1	1	1	0	12	1,1
C24.0 Extrahepatische Gallengänge	8	9	6	7	12	11	21	7	17	12	20	130	11,4
C24.01 Rechter Ductus hepaticus	1	0	0	0	1	4	5	4	4	1	1	21	1,8
C24.02 Linker Ductus hepaticus	1	0	0	0	0	0	1	0	0	0	0	2	0,2
C24.03 Ductus hepaticus communis	0	2	2	0	3	7	7	5	7	5	9	47	4,1
C24.04 Ductus choledochus	6	10	6	2	4	12	10	12	10	6	9	87	7,6
C24.05 Ductus cysticus	0	0	1	0	2	2	1	0	0	0	1	7	0,6
C24.1 Ampulla Vateri	16	20	12	22	12	19	19	14	18	17	21	190	16,7
C24.8 Gallengänge (mehrere Teilbereiche überlappend)	2	5	2	4	3	0	2	2	1	1	4	26	2,3
C24.9 Gallengänge o.n.A.	11	5	4	4	8	13	7	4	2	5	8	71	6,2
Summe	99	105	88	90	94	125	124	95	99	100	120	1139	100,0

16.7 Histologische Befunde bei allen neuerkrankten Patienten in M-V in den Jahren 2008 – 2018

Tab. 16.7. C23-C24: Histologische Befunde bei neuerkrankten Patienten mit Karzinomen der Gallenblase und extrahepatischen Gallengängen (Behandlungsort)

Histologiecode	Anzahl	Prozent
8140/3: Adenokarzinom o.n.A.	899	78,9
8500/3: Invasives duktales Karzinom o.n.A.	50	4,4
8162/3: Klatskin-Tumor	25	2,2
8211/3: Tubuläres Adenokarzinom	20	1,8
8560/3: Adenosquamöses Karzinom	14	1,2
8070/3: Plattenepithelkarzinom o.n.A.	10	0,9
8144/3: Adenokarzinom vom intestinalen Typ	9	0,8
8480/3: Muzinöses Adenokarzinom	9	0,8
8260/3: Papilläres Adenokarzinom o.n.A.	8	0,7
8481/3: Schleimbildendes Adenokarzinom	6	0,5
8490/3: Siegelringzellkarzinom	6	0,5
8050/3: Papilläres Karzinom o.n.A.	3	0,3
8071/3: Verhornendes Plattenepithelkarzinom o.n.A.	3	0,3
8230/3: Solides Karzinom o.n.A.	2	0,2
8263/3: Adenokarzinom in tubulovillösem Adenom	2	0,2
8310/3: Klarzelliges Adenokarzinom o.n.A.	2	0,2
8323/3: Gemischtzelliges Adenokarzinom	2	0,2
8210/3: Adenokarzinom in adenomatösem Polypen	1	0,1
8244/3: Gemischtes adeno-neuroendokrines Karzinom	1	0,1
8262/3: Villöses Adenokarzinom	1	0,1

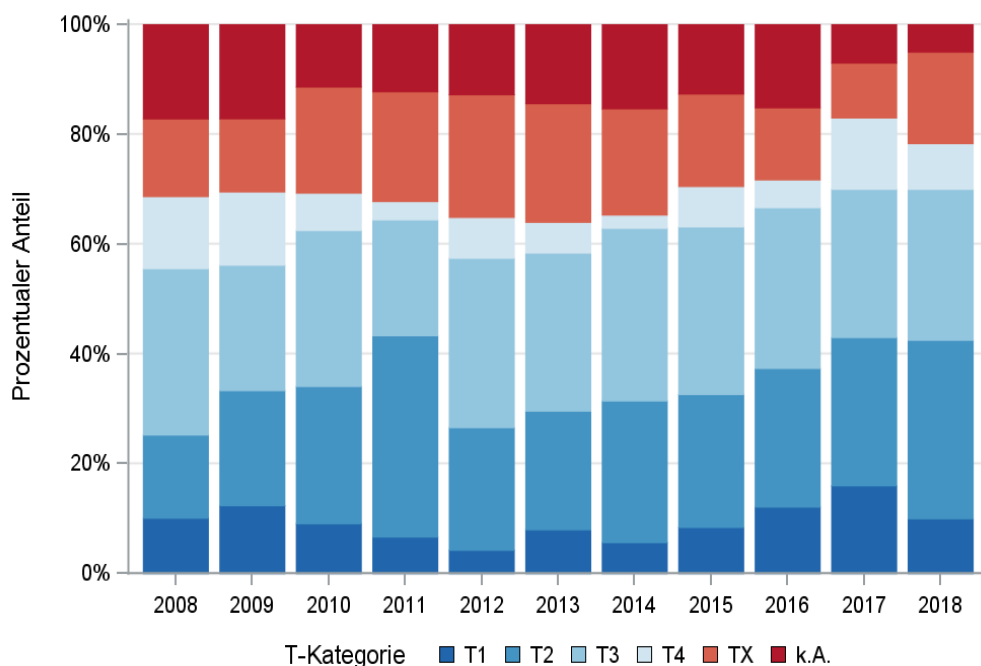
Histologiecode	Anzahl	Prozent
8503/3: Intraduktales papilläres Adenokarzinom mit Invasion	1	0,1
8574/3: Adenokarzinom mit neuroendokriner Differenzierung	1	0,1
Karzinome der Gallenblase und extrahepatischen Gallengänge	1075	94,4
8010/3: Karzinom o.n.A.	44	3,9
8020/3: Undifferenziertes Karzinom o.n.A.	11	1,0
8041/3: Kleinzelliges Karzinom o.n.A.	4	0,4
8022/3: Pleomorphes Karzinom	3	0,3
8012/3: Großzelliges Karzinom o.n.A.	1	0,1
8032/3: Spindelzellkarzinom o.n.A.	1	0,1
nicht näher bezeichnete epitheliale Neoplasien	64	5,6

16.8 Tumorgroße und Ausdehnung (TNM)

Tab. 16.8. C23-C24: Absolute Anzahl der Neuerkrankungen klassifiziert nach der Tumorgroße in Bezug zu der Auflage der TNM-Klassifikation (Behandlungsort)

Tumorgroße (T)	TNM Auflage 6		TNM Auflage 7		TNM Auflage 8		k.A. zur TNM Auflage		Summe	
	Anzahl	%	Anzahl	%	Anzahl	%	Anzahl*	%	Anzahl	%
T1	23	15,5	54	8,5	29	13,9	-	-	106	9,3
T2	36	24,3	185	29,0	65	31,3	-	-	286	25,1
T3	48	32,4	211	33,1	61	29,3	-	-	320	28,1
T4	22	14,9	44	6,9	22	10,6	-	-	88	7,7
TX	19	12,8	144	22,6	31	14,9	-	-	194	17,0
k.A.	0	0	0	0	0	0	145	100,0	145	12,7
Summe	148	100,0	638	100,0	208	100,0	145	100,0	1139	100,0

*In einzelnen Fällen wurden Angaben zur Tumorgroße ohne Bezug zu einer TNM Auflage gemacht. Diese Angaben wurden in die Kategorie k.A. aufgenommen.



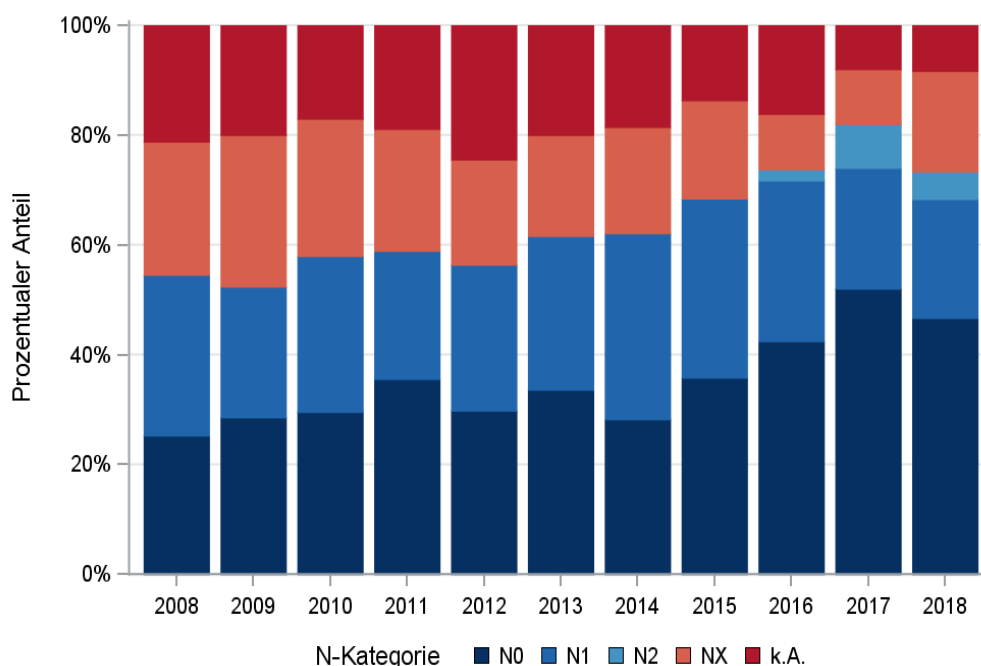
© KKR-MV 2020

Abb. 16.5. C23-C24: Prozentualer Anteil der Neuerkrankungen nach der Tumorgroße im Diagnosezeitraum 2008 bis 2018

Tab. 16.9. C23-C24: Absolute Anzahl der Neuerkrankungen mit bzw. ohne Befall der regionären Lymphknoten in Bezug zu der Auflage der TNM-Klassifikation (Behandlungsort)

N-Kategorie	TNM Auflage 6		TNM Auflage 7		TNM Auflage 8		k.A. zur TNM Auflage		Summe	
	Anzahl	%	Anzahl	%	Anzahl	%	Anzahl*	%	Anzahl	%
N0	51	34,5	244	38,2	107	51,4	-	-	402	35,3
N1	49	33,1	212	33,2	49	23,6	-	-	310	27,2
N2	0	0	3	0,5	13	6,3	-	-	16	1,4
NX	45	30,4	140	21,9	34	16,3	-	-	219	19,2
k.A.	3	2,0	39	6,1	5	2,4	145	100,0	192	16,9
Summe	148	100,0	638	100,0	208	100,0	145	100,0	1139	100,0

*In einzelnen Fällen wurden Angaben zur N-Kategorie ohne Bezug zu einer TNM Auflage gemacht. Diese Angaben wurden in die Kategorie k.A. aufgenommen.



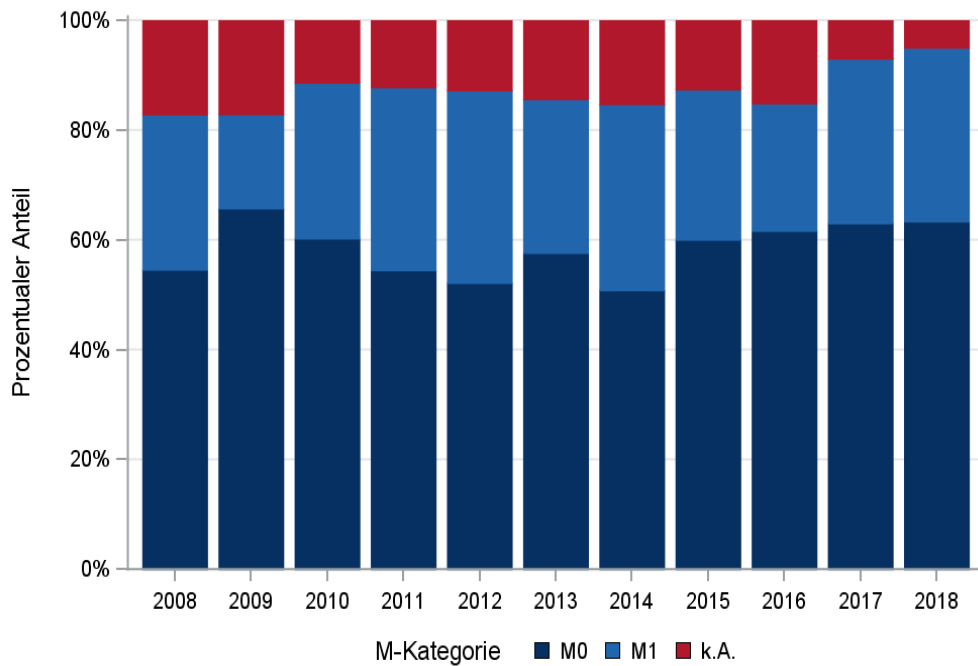
© KKR-MV 2020

Abb. 16.6. C23-C24: Prozentualer Anteil der Neuerkrankungen mit und ohne Befall der regionären Lymphknoten zum Zeitpunkt der Erstdiagnose im Diagnosezeitraum 2008 bis 2018

Tab. 16.10. C23-C24: Absolute Anzahl der Neuerkrankungen mit Fernmetastasierung in Bezug zu der Auflage der TNM-Klassifikation (Behandlungsort)

M-Kategorie	TNM Auflage 6		TNM Auflage 7		TNM Auflage 8		k.A. zur TNM Auflage		Summe	
	Anzahl	%	Anzahl	%	Anzahl	%	Anzahl*	%	Anzahl	%
M0	107	72,3	420	65,8	139	66,8	-	-	666	58,5
M1	41	27,7	218	34,2	69	33,2	-	-	328	28,8
k.A.	0	0	0	0	0	0	145	100,0	145	12,7
Summe	148	100,0	638	100,0	208	100,0	145	100,0	1139	100,0

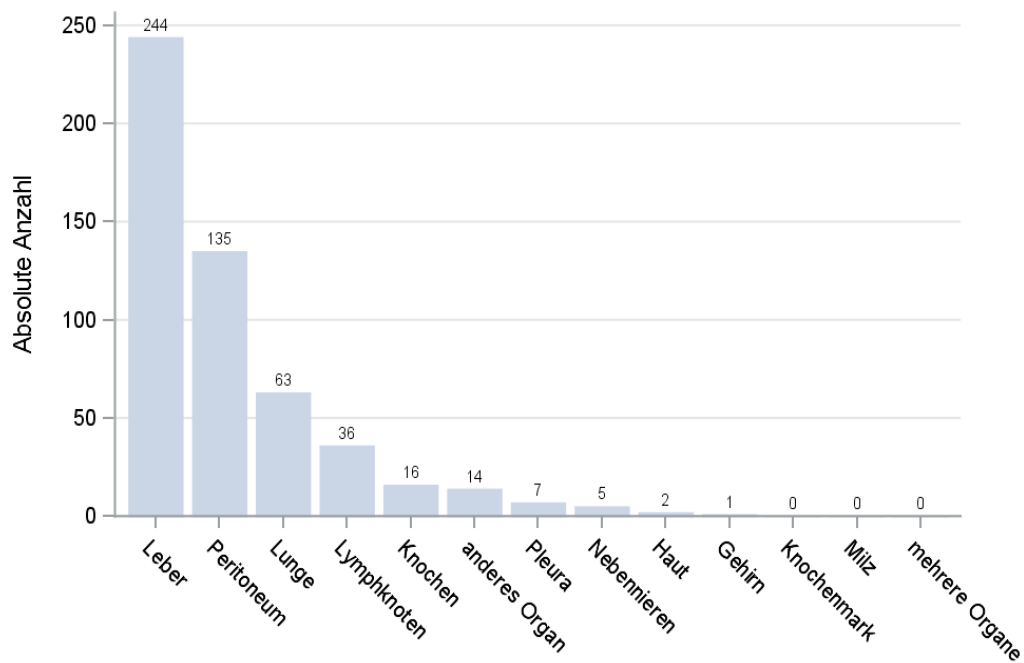
*In einzelnen Fällen wurden Angaben zur M-Kategorie ohne Bezug zu einer TNM Auflage gemacht. Diese Angaben wurden in die Kategorie k.A. aufgenommen.



© KKR-MV 2020

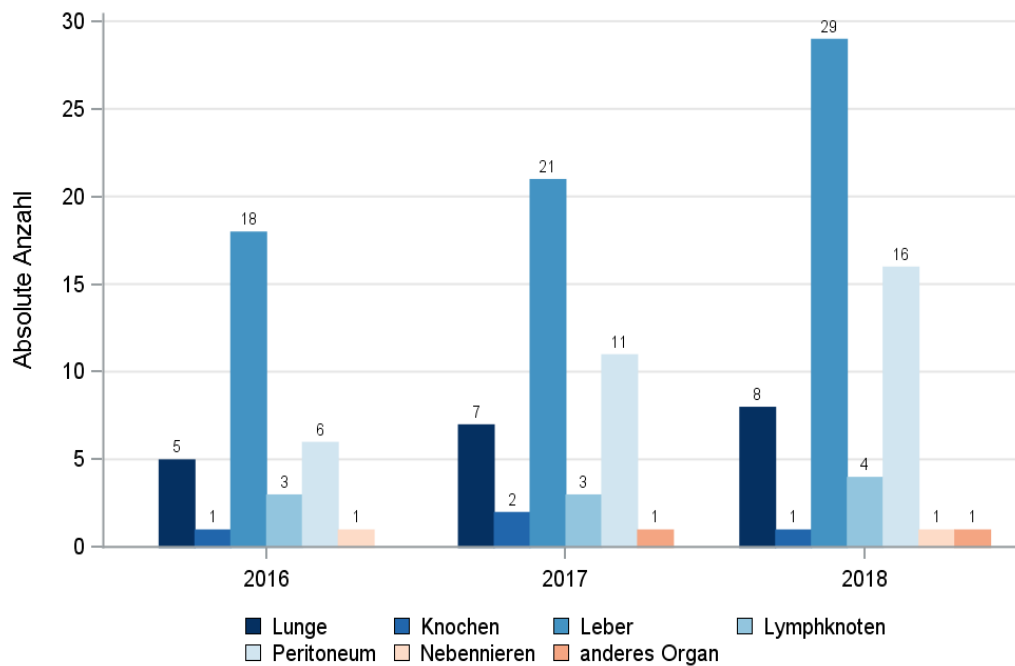
Abb. 16.7. C23-C24: Prozentualer Anteil der primären Fernmetastasierung im Diagnosezeitraum 2008 bis 2018

16.9 Lokalisation der Fernmetastasen



© KKR-MV 2020

Abb. 16.8. C23-C24: Lokalisation der Fernmetastasen bei Neuerkrankungen im Diagnosezeitraum 2008 bis 2018



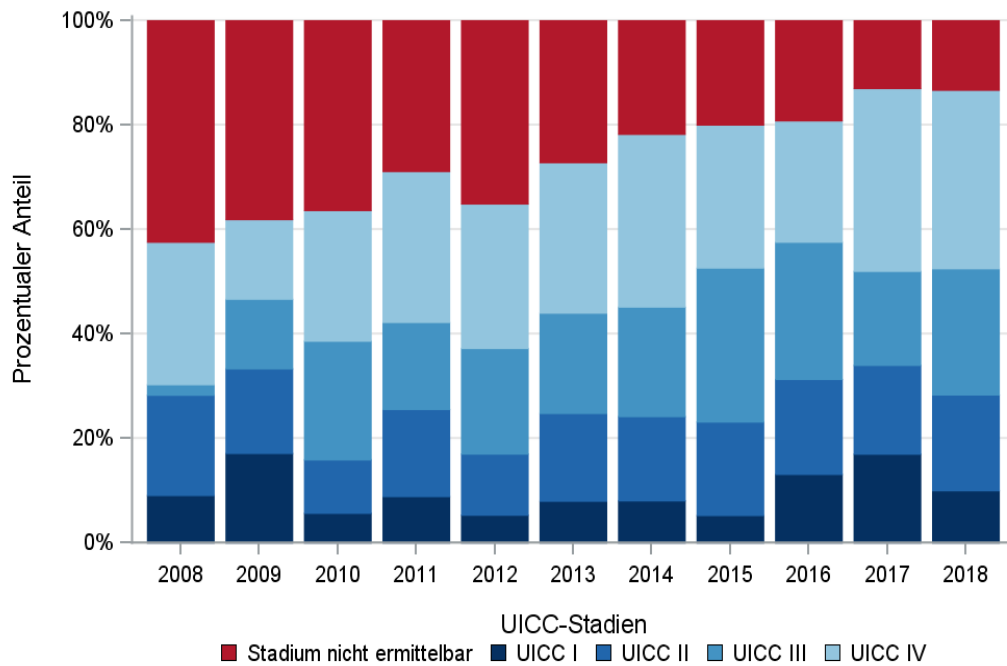
© KKR-MV 2020

Abb. 16.9. C23-C24: Lokalisation der Fernmetastasen bei Neuerkrankungen für die Diagnosejahre 2016 bis 2018

16.10 Tumorstadien nach UICC

Tab. 16.11. C23-C24: Primäre UICC-Stadien (Behandlungsort)

Jahre	UICC I		UICC II		UICC III		UICC IV		Stadium nicht ermittelbar		Summe	
	Anzahl	%	Anzahl	%	Anzahl	%	Anzahl	%	Anzahl	%	Anzahl	%
2008	9	9,1	19	19,2	2	2,0	27	27,3	42	42,4	99	100,0
2009	18	17,1	17	16,2	14	13,3	16	15,2	40	38,1	105	100,0
2010	5	5,7	9	10,2	20	22,7	22	25,0	32	36,4	88	100,0
2011	8	8,9	15	16,7	15	16,7	26	28,9	26	28,9	90	100,0
2012	5	5,3	11	11,7	19	20,2	26	27,7	33	35,1	94	100,0
2013	10	8,0	21	16,8	24	19,2	36	28,8	34	27,2	125	100,0
2014	10	8,1	20	16,1	26	21,0	41	33,1	27	21,8	124	100,0
2015	5	5,3	17	17,9	28	29,5	26	27,4	19	20,0	95	100,0
2016	13	13,1	18	18,2	26	26,3	23	23,2	19	19,2	99	100,0
2017	17	17,0	17	17,0	18	18,0	35	35,0	13	13,0	100	100,0
2018	12	10,0	22	18,3	29	24,2	41	34,2	16	13,3	120	100,0
Summe	112	9,8	186	16,3	221	19,4	319	28,0	301	26,4	1139	100,0



© KKR-MV 2020

Abb. 16.10. C23-C24: Prozentuale Anteile der UICC-Tumorstadien in den Diagnosejahren 2008 bis 2018

16.11 Dokumentierte Therapie bis max. 12 Monate nach Diagnosestellung

16.11.1 Therapiekombinationen, Stellung der Therapie und Intention der dokumentierten Therapien

Tab. 16.12. C23-C24: Therapiekombinationen (Operation, Strahlentherapie, systemische Therapie) pro Diagnosejahr (Behandlungsort)

Therapiekombinationen	2008	2009	2010	2011	2012	2013	2014	2015	2016	2017	2018	Summe
Alleinige Operation	46	48	35	38	34	51	41	39	44	42	47	465
Alleinige systemische Therapie	11	10	6	8	16	22	21	9	12	17	17	149
Operation und systemische Therapie, keine Strahlentherapie	18	17	21	16	17	21	29	19	12	19	29	218
Operation und Strahlentherapie, keine systemische Therapie	0	0	1	2	0	0	1	0	1	0	0	5
Systemische Therapie und Strahlentherapie, keine Operation	0	0	0	0	1	0	0	0	0	0	0	1
Operation und systemische Therapie und Strahlentherapie	0	0	0	0	0	1	1	1	0	0	0	3
Keine Operation, systemische Therapie oder Strahlentherapie	24	30	25	26	26	30	31	27	30	22	27	298
Summe	99	105	88	90	94	125	124	95	99	100	120	1139

Tab. 16.13. C23-C24: Therapiekombinationen (Operation, Strahlentherapie, systemische Therapie) in Abhängigkeit von dem UICC-Stadium (Behandlungsort)

Therapiekombinationen	UICC I	UICC II	UICC III	UICC IV	Stadium nicht ermittelbar	Summe
Alleinige Operation	88	125	123	54	75	465
Alleinige systemische Therapie	3	4	6	94	42	149
Operation und systemische Therapie, keine Strahlentherapie	14	51	76	54	23	218
Operation und Strahlentherapie, keine systemische Therapie	0	0	4	1	0	5
Systemische Therapie und Strahlentherapie, keine Operation	0	0	0	0	1	1
Operation und systemische Therapie und Strahlentherapie	0	0	2	1	0	3
Keine Operation, systemische Therapie oder Strahlentherapie	7	6	10	115	160	298
Summe	112	186	221	319	301	1139

Tab. 16.14 C23-C24: Stellung der systemischen Therapie zur operativen Therapie im ersten Jahr der Erkrankung (adjuvant/neoadjuvant, Behandlungsort)

Stellung der systemischen Therapie zur operativen Therapie	2008	2009	2010	2011	2012	2013	2014	2015	2016	2017	2018	Summe
Adjuvante (postoperative) Therapie	9	10	15	9	13	19	25	18	9	18	20	165
Therapie ohne Bezug zu einer operativen Therapie	4	5	4	6	3	3	4	2	1	0	8	40
Neoadjuvante (präoperative) Therapie	0	0	0	0	0	0	1	0	0	0	1	2
unbekannt	5	2	2	1	1	0	0	0	2	1	0	14
Summe	18	17	21	16	17	22	30	20	12	19	29	221

Tab. 16.15a. C23-C24: Intention bei der ersten Operation (Behandlungsort)

Intention der Operation	2008	2009	2010	2011	2012	2013	2014	2015	2016	2017	2018	Summe
Kurativ	48	52	41	44	37	49	52	48	48	47	60	526
Palliativ bzw. symptomatisch	11	3	8	7	5	8	11	7	5	7	6	78
Sonstige/Unbekannt/Keine Angabe	5	10	8	5	9	16	9	4	4	7	10	87
Summe	64	65	57	56	51	73	72	59	57	61	76	691

Tab. 16.15b. C23-C24: Intention bei der ersten systemischen Therapie (Behandlungsort)

Intention der systemischen Therapie	2008	2009	2010	2011	2012	2013	2014	2015	2016	2017	2018	Summe
Palliativ bzw. symptomatisch	14	17	17	15	22	29	35	18	17	23	28	235
Kurativ	8	6	7	7	10	12	16	11	3	12	18	110
Sonstige/Unbekannt/Keine Angabe	7	4	3	2	2	3	0	0	4	1	0	26
Summe	29	27	27	24	34	44	51	29	24	36	46	371

Tab. 16.16. C23-C24: Zeitraum zwischen Diagnose und Beginn der ersten Therapie nach Therapieart (Angaben in Tagen, Behandlungsort)

Therapie	Anzahl	Median	Minimum	Maximum
Diagnose und erste Operation	691	1	0	323
Diagnose und erste system. Therapie	371	46	0	365

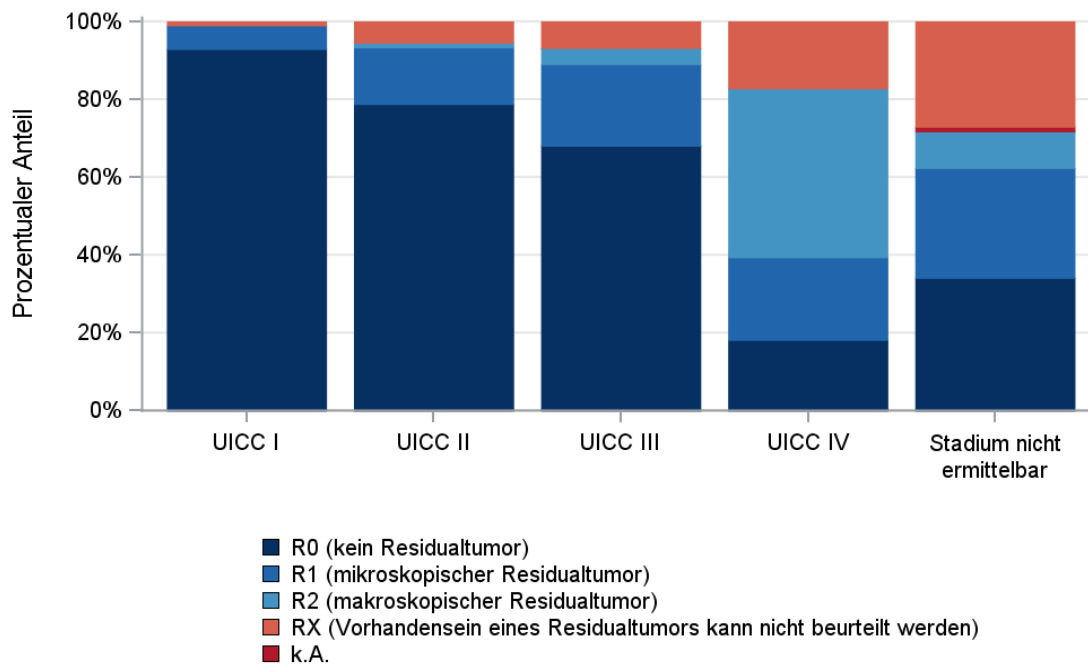
16.11.2 Dokumentierte tumorspezifische Operation bis max.12 Monate nach Diagnosestellung

Tab. 16.17. C23-C24: Dokumentierte tumorspezifische Operation nach UICC (Behandlungsort)

Operationen	UICC I	UICC II	UICC III	UICC IV	Stadium nicht ermittelbar	Summe	
						Anzahl	%
Tumorresektion	91	136	159	80	80	546	79,0
Tumor- und Lymphknotenresektion	8	29	32	19	5	93	13,5
Lymphknotenresektion	0	1	0	0	3	4	0,6
sonstige OP	2	9	13	11	9	44	6,4
keine Angabe	1	1	1	0	1	4	0,6
Summe	102	176	205	110	98	691	100,0

Tab. 16.18. C23-C24: Residualklassifikation nach Tumorresektion im Diagnosezeitraum 2008-2018

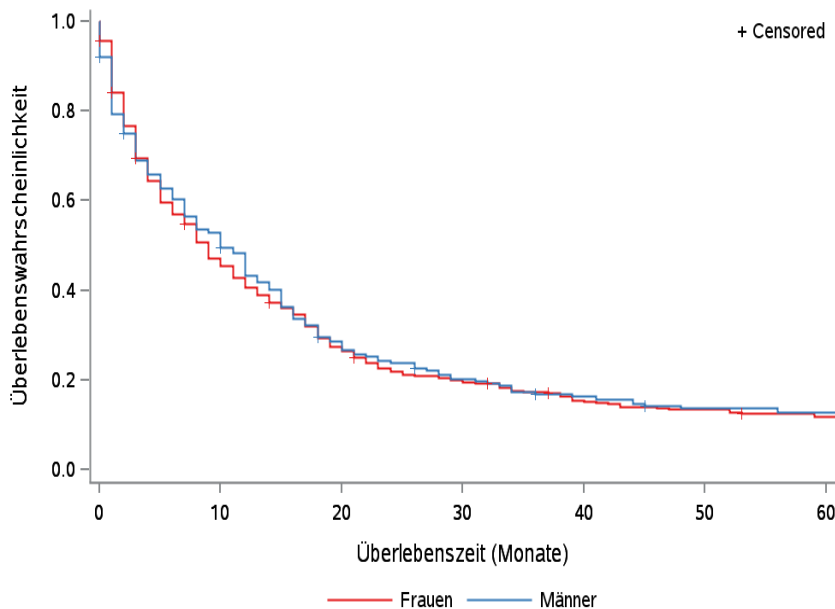
R-Klassifikation	UICC I	UICC II	UICC III	UICC IV	Stadium nicht ermittelbar	Summe	
						Anzahl	%
R0 (kein Residualtumor)	92	130	130	18	29	399	62,4
R1 (mikroskopischer Residualtumor)	6	24	40	21	24	115	18,0
R2 (makroskopischer Residualtumor)	0	2	8	43	8	61	9,5
RX (Vorhandensein eines Residualtumors kann nicht beurteilt werden)	1	9	13	17	23	63	9,9
keine Angabe	0	0	0	0	1	1	0,2
Summe	99	165	191	99	85	639	100,0



© KKR-MV 2020

Abb.16.11. C23-C24: Residualklassifikation nach Tumorresektion in Abhängigkeit von UICC-Tumorstadium im Diagnosezeitraum 2008 bis 2018

16.12 Überlebensanalysen bei den in den Jahren 2008 – 2013 primär diagnostizierten Patienten

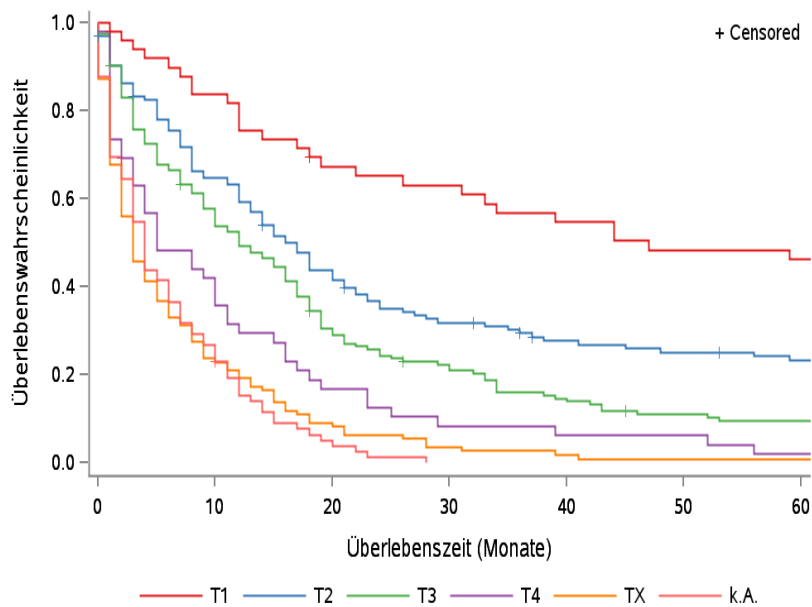


© KKR-MV 2020

Abb.16.12. C23-C24: Wahrscheinlichkeit des Überlebens (Kaplan-Meier-Analyse) nach Geschlecht im Diagnosezeitraum von 2008 bis 2013 (Wohnort). Kaplan-Meier-Kurven werden für Kategorien mit weniger als 10 Neuerkrankungen nicht dargestellt.

Tab. 16.19. C23-C24: Anzahl der unter Risiko stehenden Neuerkrankungen (Monate nach Diagnose)

Geschlecht	0 Monate	20 Monate	40 Monate	60 Monate
Männer	224	61	33	25
Frauen	354	94	51	38

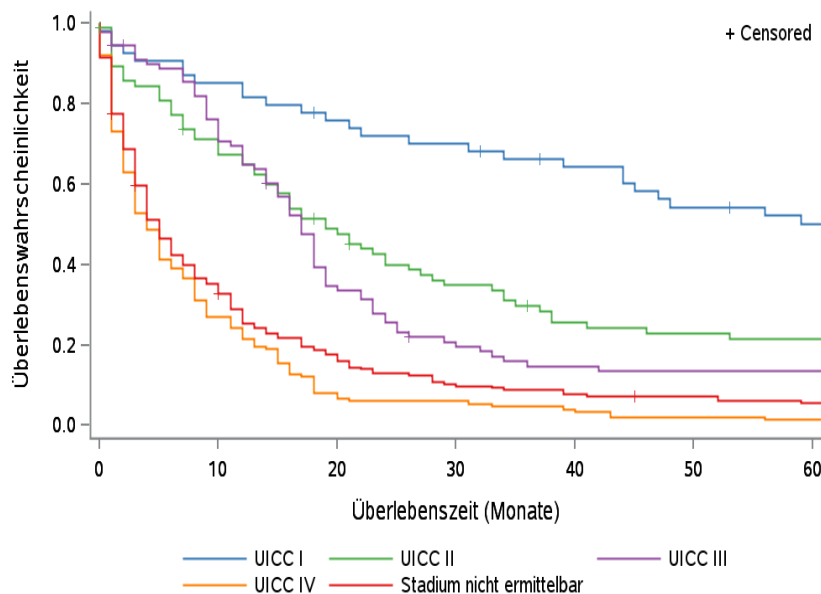


© KKR-MV 2020

Abb.16.13. C23-C24: Wahrscheinlichkeit des Überlebens (Kaplan-Meier-Analyse) nach Tumorgroße im Diagnosezeitraum von 2008 bis 2013 (Wohnort). Kaplan-Meier-Kurven werden für Kategorien mit weniger als 10 Neuerkrankungen nicht dargestellt.

Tab. 16.20. C23-C24: Anzahl der unter Risiko stehenden Neuerkrankungen nach Tumorgroße (Monate nach Diagnose)

T-Kategorie	0 Monate	20 Monate	40 Monate	60 Monate
T1	50	32	26	22
T2	135	56	32	26
T3	153	45	21	13
T4	49	8	3	1
TX	109	10	2	1
k.A.	82	4	0	0

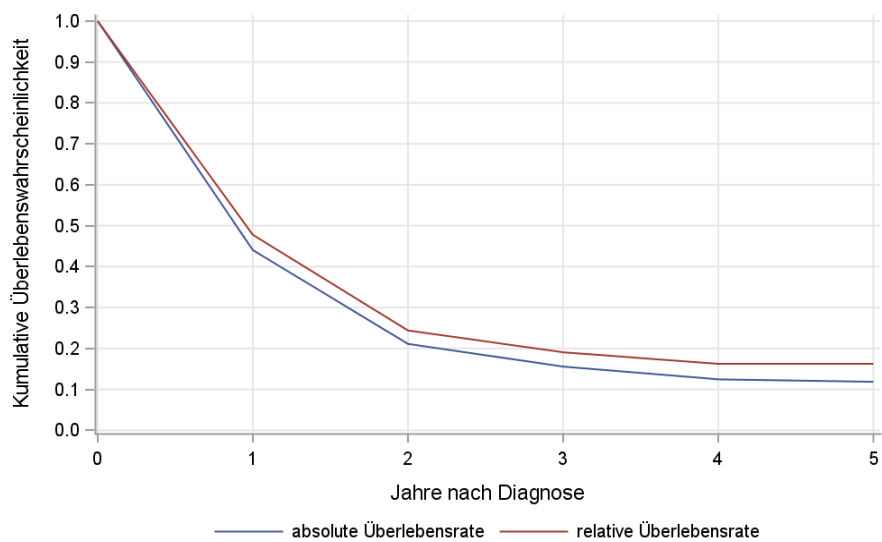


© KKR-MV 2020

Abb.16.14. C23-C24: Wahrscheinlichkeit des Überlebens (Kaplan-Meier-Analyse) nach UICC-Tumorstadium im Diagnosezeitraum von 2008 bis 2013 (Wohnort). Kaplan-Meier-Kurven werden für Kategorien mit weniger als 10 Neuerkrankungen nicht dargestellt.

Tab. 16.21. C23-C24: Anzahl der unter Risiko stehenden Neuerkrankungen nach UICC-Stadium (Monate nach Diagnose)

UICC-Stadium	0 Monate	20 Monate	40 Monate	60 Monate
UICC I	54	40	32	24
UICC II	87	39	19	16
UICC III	90	30	12	11
UICC IV	148	12	6	2
Stadium nicht ermittelbar	199	34	15	10

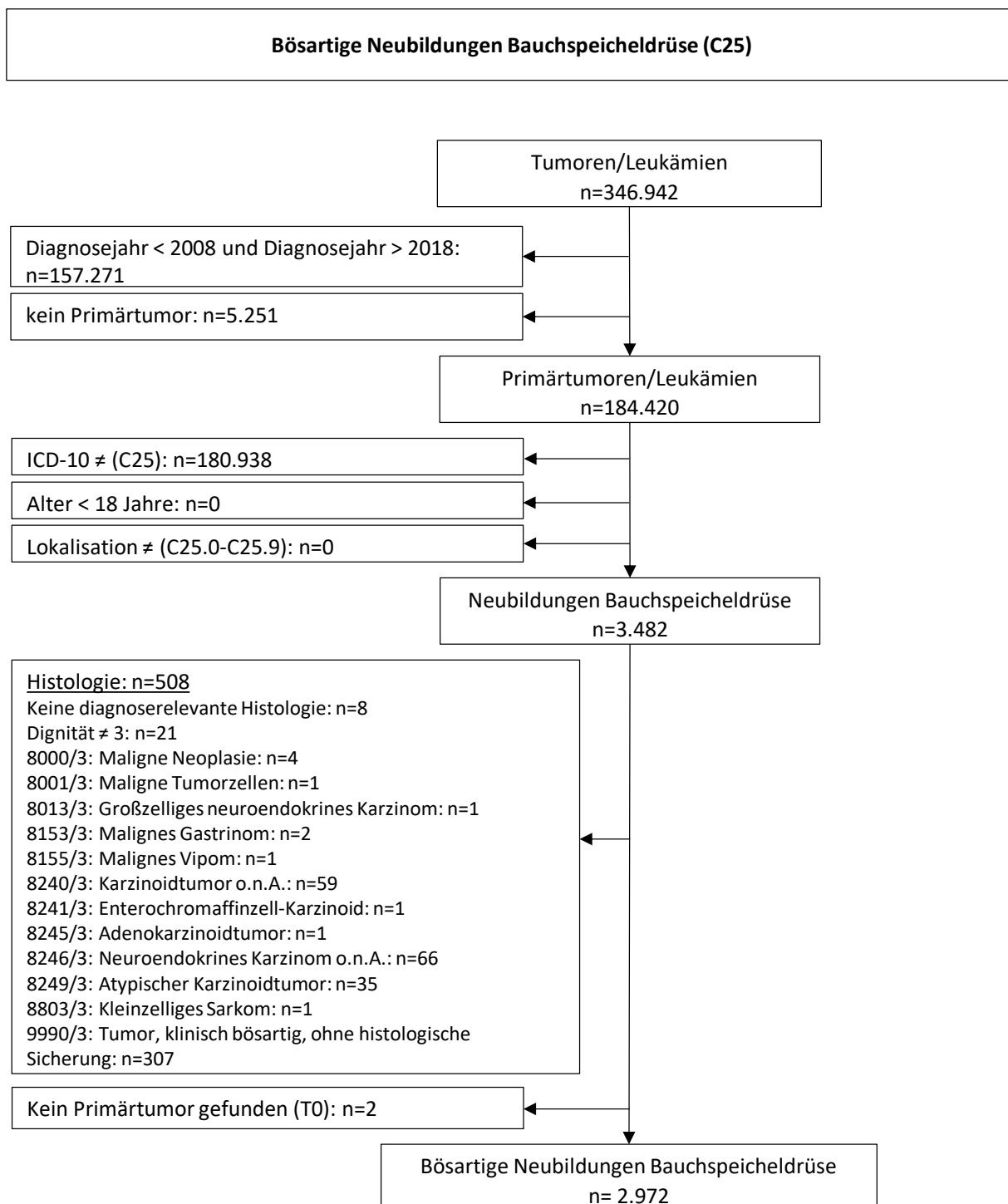


© KKR-MV 2020

Abb. 16.15. C23-C24: Absolutes und relatives Überleben im Diagnosezeitraum 2008 bis 2013 (Wohnort, Alter > 19)

17 Bauchspeicheldrüse (C25)

17.1 Consort-Statement: Darstellung der Auswertepopulation

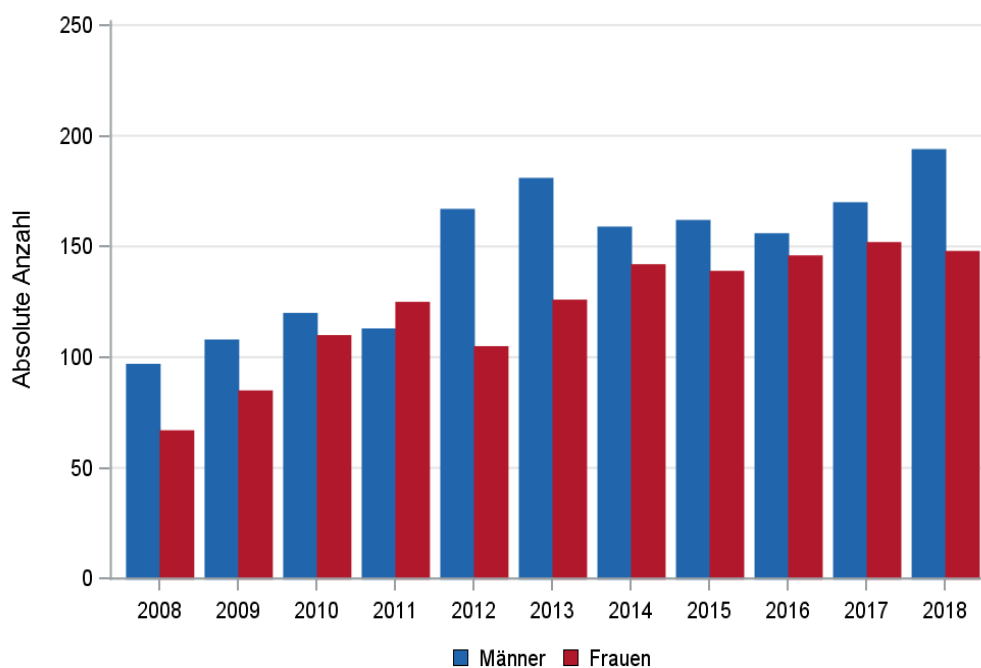


*Erläuterungen zu den Ausschlüssen finden Sie im Kapitel 4 (Methode)

17.2 Absolute Anzahl der erfassten Neuerkrankungen in M-V in den Jahren 2008 – 2018 nach Geschlecht (Behandlungsort, Wohnort)

Tab. 17.1. C25: Absolute Anzahl der Neuerkrankungen nach Geschlecht (Behandlungsort)

Diagnosejahr	Männer		Frauen		Summe
	Anzahl	%	Anzahl	%	
2008	97	59,1	67	40,9	164
2009	108	56,0	85	44,0	193
2010	120	52,2	110	47,8	230
2011	113	47,5	125	52,5	238
2012	167	61,4	105	38,6	272
2013	181	59,0	126	41,0	307
2014	159	52,8	142	47,2	301
2015	162	53,8	139	46,2	301
2016	156	51,7	146	48,3	302
2017	170	52,8	152	47,2	322
2018	194	56,7	148	43,3	342
Summe	1627	54,7	1345	45,3	2972

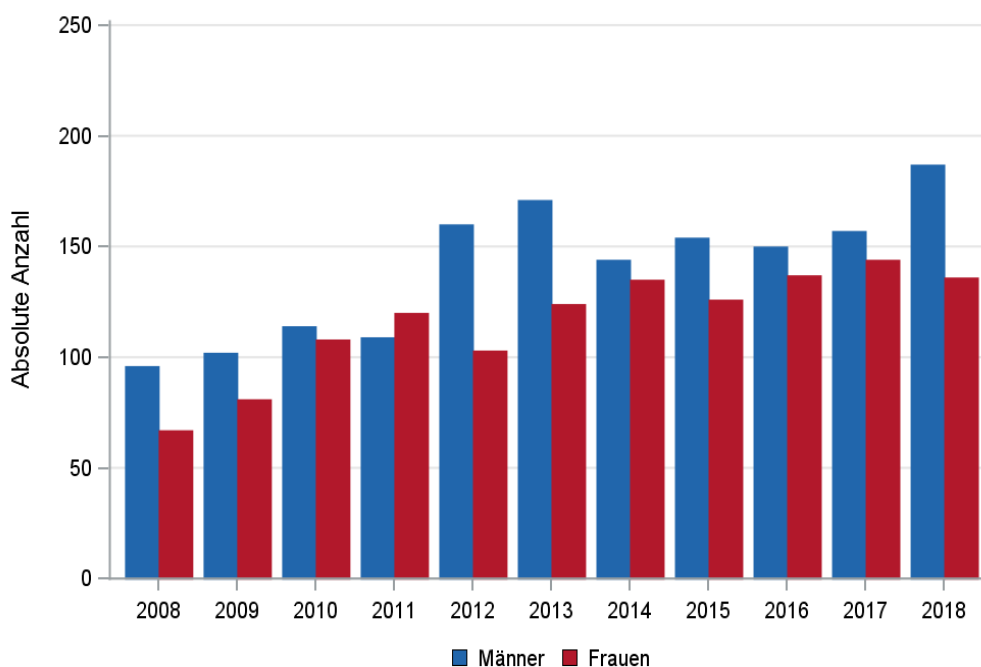


© KKR-MV 2020

Abb. 17.1. C25: Absolute Anzahl der Neuerkrankungen nach Geschlecht im Diagnosezeitraum 2008 bis 2018 (Behandlungsort)

Tab. 17.2. C25: Absolute Anzahl der Neuerkrankungen nach Geschlecht (Wohnort)

Diagnosejahr	Männer		Frauen		Summe
	Anzahl	%	Anzahl	%	
2008	96	58,9	67	41,1	163
2009	102	55,7	81	44,3	183
2010	114	51,4	108	48,6	222
2011	109	47,6	120	52,4	229
2012	160	60,8	103	39,2	263
2013	171	58,0	124	42,0	295
2014	144	51,6	135	48,4	279
2015	154	55,0	126	45,0	280
2016	150	52,3	137	47,7	287
2017	157	52,2	144	47,8	301
2018	187	57,9	136	42,1	323
Summe	1544	54,7	1281	45,3	2825



© KKR-MV 2020

Abb. 17.2. C25: Absolute Anzahl der Neuerkrankungen nach Geschlecht im Diagnosezeitraum 2008 bis 2018 (Wohnort)

17.3 Absolute Anzahl der erfassten Neuerkrankungen in M-V in den Jahren 2008 – 2018 nach Landkreisen (Wohnort)

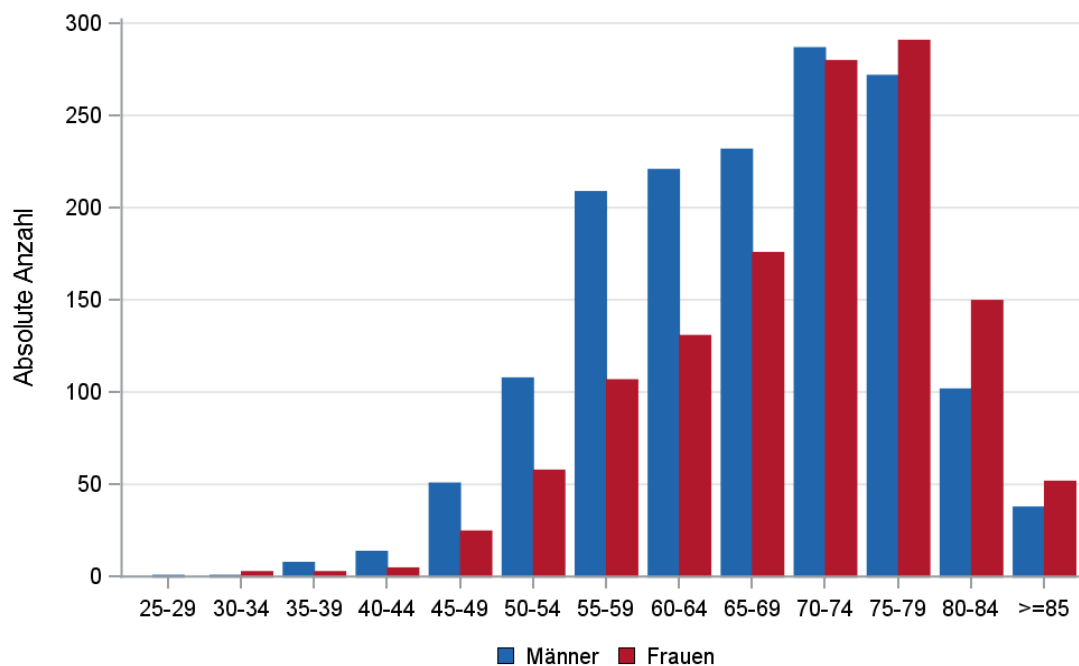
Tab. 17.3. C25: Absolute Anzahl und prozentualer Anteil der Neuerkrankungen nach Landkreisen

Landkreis	2008		2009		2010		2011		2012		2013		2014		2015		2016		2017		2018		Summe	
	Anzahl	%	Anzahl	%	Anzahl	%	Anzahl	%	Anzahl	%	Anzahl	%	Anzahl	%	Anzahl	%	Anzahl	%	Anzahl	%	Anzahl	%	Anzahl	%
Landkreis Rostock	16	9,8	18	9,8	40	18,0	30	13,1	37	14,1	37	12,5	34	12,2	31	11,1	47	16,4	47	15,6	49	15,2	386	13,7
Ludwigslust-Parchim	17	10,4	15	8,2	12	5,4	16	7,0	27	10,3	35	11,9	27	9,7	28	10,0	42	14,6	24	8,0	33	10,2	276	9,8
Mecklenburgische Seenplatte	24	14,7	38	20,8	43	19,4	49	21,4	44	16,7	47	15,9	51	18,3	44	15,7	19	6,6	46	15,3	56	17,3	461	16,3
Nordwestmecklenburg	15	9,2	12	6,6	12	5,4	12	5,2	23	8,7	24	8,1	25	9,0	20	7,1	18	6,3	22	7,3	17	5,3	200	7,1
Rostock	33	20,2	37	20,2	32	14,4	37	16,2	31	11,8	37	12,5	44	15,8	24	8,6	54	18,8	47	15,6	43	13,3	419	14,8
Schwerin	6	3,7	14	7,7	12	5,4	14	6,1	14	5,3	14	4,7	17	6,1	23	8,2	24	8,4	17	5,6	15	4,6	170	6,0
Vorpommern-Greifswald	25	15,3	29	15,8	33	14,9	36	15,7	50	19,0	51	17,3	39	14,0	56	20,0	42	14,6	54	17,9	39	12,1	454	16,1
Vorpommern-Rügen	27	16,6	20	10,9	38	17,1	35	15,3	36	13,7	47	15,9	40	14,3	53	18,9	39	13,6	44	14,6	67	20,7	446	15,8
nicht zuordenbar	0	0	0	0	0	0	0	0	1	0,4	3	1,0	2	0,7	1	0,4	2	0,7	0	0	4	1,2	13	0,5
Summe	163	100,0	183	100,0	222	100,0	229	100,0	263	100,0	295	100,0	279	100,0	280	100,0	287	100,0	301	100,0	323	100,0	2825	100,0

17.4 Rohe und standardisierte Neuerkrankungsraten pro 100.000 Einwohner in den Jahren 2008-2018 (Wohnort)

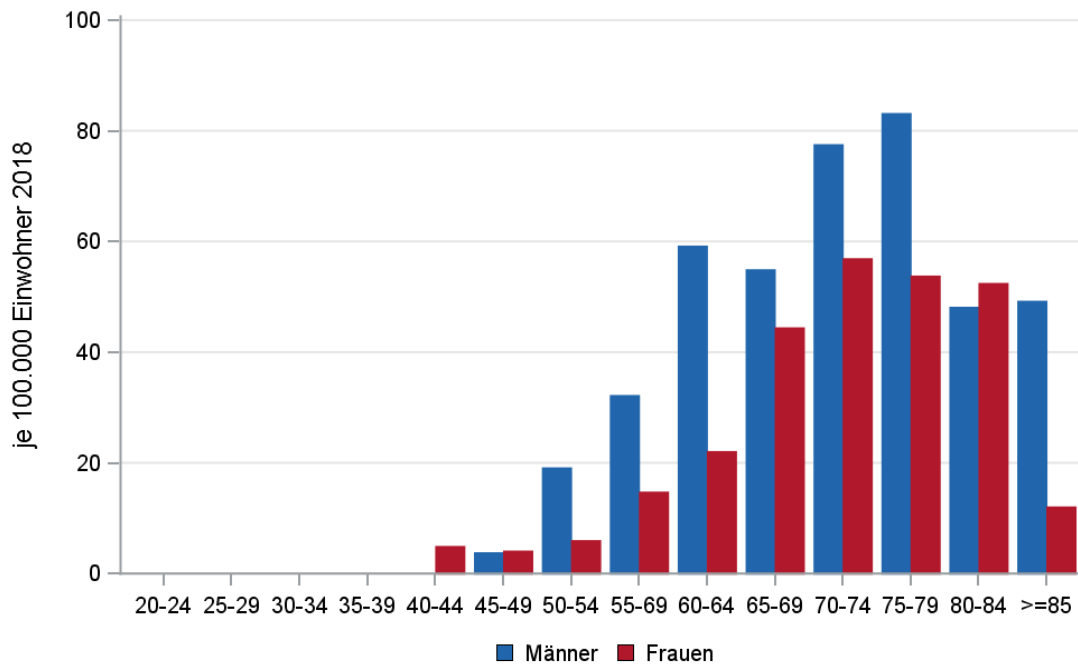
Tab. 17.4. C25: Neuerkrankungsrate/100.000 Einwohner (Alter > 19)

Diagnosejahr	Männer			Frauen		
	absolute Anzahl der Neuerkrankungen	rohe Rate in M-V	altersstandardisierte Rate	absolute Anzahl der Neuerkrankungen	rohe Rate in M-V	altersstandardisierte Rate
2008	96	13,9	11,7	67	9,4	6,8
2009	102	14,8	11,6	81	11,4	7,6
2010	114	16,5	13,0	108	15,2	9,3
2011	109	16,2	12,2	120	17,1	11,2
2012	160	24,0	18,8	103	14,8	8,5
2013	171	25,8	18,6	124	17,9	10,3
2014	144	21,8	16,2	135	19,6	11,9
2015	154	23,3	16,9	126	18,3	10,6
2016	150	22,7	16,0	137	19,9	12,1
2017	157	23,9	16,1	144	21,0	12,3
2018	187	28,5	19,3	136	19,9	11,7
2008-2018	1544	21,0	15,5	1281	16,8	10,2



© KKR-MV 2020

Abb. 17.3. C25: Absolute Anzahl der Neuerkrankungen aufgelistet in 5-Jahres-Altersgruppen und nach Geschlecht im Diagnosezeitraum 2008 bis 2018 (Wohnort)



© KKR-MV 2020

Abb. 17.4. C25: Altersspezifische Rate der Neuerkrankungen je 100.000 Einwohner (Diagnosejahr 2018) nach 5-Jahres-Altersgruppen und Geschlecht (Wohnort)

17.5 Alter der in den Jahren 2008 - 2018 in M-V neuerkrankten Patienten (Behandlungsort)

Tab. 17.5. C25: Erkrankungsalter (Behandlungsort)

Diagnosejahr	Männer				Frauen			
	Anzahl	Median	Minimum	Maximum	Anzahl	Median	Minimum	Maximum
2008	97	66	43	84	67	69	34	96
2009	108	69	38	86	85	71	46	88
2010	120	68	39	91	110	72	48	90
2011	113	70	41	87	125	70	39	88
2012	167	65	39	87	105	73	45	86
2013	181	69	32	87	126	73	46	93
2014	159	67	30	87	142	72	39	91
2015	162	67	45	87	139	72	39	90
2016	156	68	29	90	146	73	33	92
2017	170	68	36	88	152	73	34	88
2018	194	67	46	92	148	72	42	88

17.6 Absolute Anzahl der erfassten Neuerkrankungen in M-V in den Jahren 2008 – 2018 nach Lokalisation

Tab. 17.6. C25: Absolute Anzahl und prozentualer Anteil der Neuerkrankungen nach der Lokalisation (Behandlungsort)

Lokalisation	2008	2009	2010	2011	2012	2013	2014	2015	2016	2017	2018	Summe	
												Anzahl	%
C25.0 Pankreaskopf	97	109	133	149	178	186	169	162	168	187	190	1728	58,1
C25.1 Pankreaskörper	20	16	22	23	31	37	35	35	48	54	50	371	12,5
C25.2 Pankreasschwanz	16	29	28	33	39	40	44	45	40	36	50	400	13,5
C25.3 Ductus pancreaticus	0	0	0	0	0	0	0	0	0	0	1	1	0,0
C25.7 Andere Teile des Pankreas	0	0	0	1	0	1	0	0	1	0	0	3	0,1
C25.8 Pankreas (mehrere Teilbereiche überlappend)	6	16	8	15	11	14	18	27	19	18	20	172	5,8
C25.9 Pankreas o.n.A.	25	23	39	17	13	29	35	32	26	27	31	297	10,0
Summe	164	193	230	238	272	307	301	301	302	322	342	2972	100,0

17.7 Histologische Befunde bei allen neuerkrankten Patienten in M-V in den Jahren 2008 – 2018

Tab. 17.7. C25: Histologische Befunde bei exokrinen Pankreaskarzinomen (Behandlungsort)

Histologiecode	Anzahl	Prozent
8140/3: Adenokarzinom o.n.A.	1340	45,1
8500/3: Invasives duktales Karzinom o.n.A.	1250	42,1
8480/3: Muzinöses Adenokarzinom	47	1,6
8560/3: Adenosquamöses Karzinom	30	1,0
8453/3: Invasives intraduktales papillär-muzinöses Adenokarzinom	17	0,6
8211/3: Tubuläres Adenokarzinom	15	0,5
8481/3: Schleimbildendes Adenokarzinom	13	0,4
8550/3: Azinuszellkarzinom	10	0,3
8230/3: Solides Karzinom o.n.A.	8	0,3
8574/3: Adenokarzinom mit neuroendokriner Differenzierung	6	0,2
8070/3: Plattenepithelkarzinom o.n.A.	5	0,2
8470/3: Muzinöses Zystadenokarzinom o.n.A.	5	0,2
8452/3: Solid-pseudopapilläres Karzinom	4	0,1
8154/3: Maligner gemischter endokriner und exokriner Pankreastumor	3	0,1
8576/3: Hepatoides Adenokarzinom	3	0,1
8144/3: Adenokarzinom vom intestinalen Typ	2	0,1
8163/3: Karzinom vom pankreatobiliären Typ	2	0,1
8244/3: Gemischtes adeno-neuroendokrines Karzinom	2	0,1
8260/3: Papilläres Adenokarzinom o.n.A.	2	0,1
8440/3: Zystadenokarzinom o.n.A.	2	0,1
8490/3: Siegelringzellkarzinom	2	0,1
8050/3: Papilläres Karzinom o.n.A.	1	0,0
8071/3: Verhornendes Plattenepithelkarzinom o.n.A.	1	0,0
8200/3: Adenoid-zystisches Karzinom	1	0,0
8310/3: Klarzelliges Adenokarzinom o.n.A.	1	0,0
8430/3: Mukoepidermoid-Karzinom	1	0,0
8503/3: Intraduktales papilläres Adenokarzinom mit Invasion	1	0,0

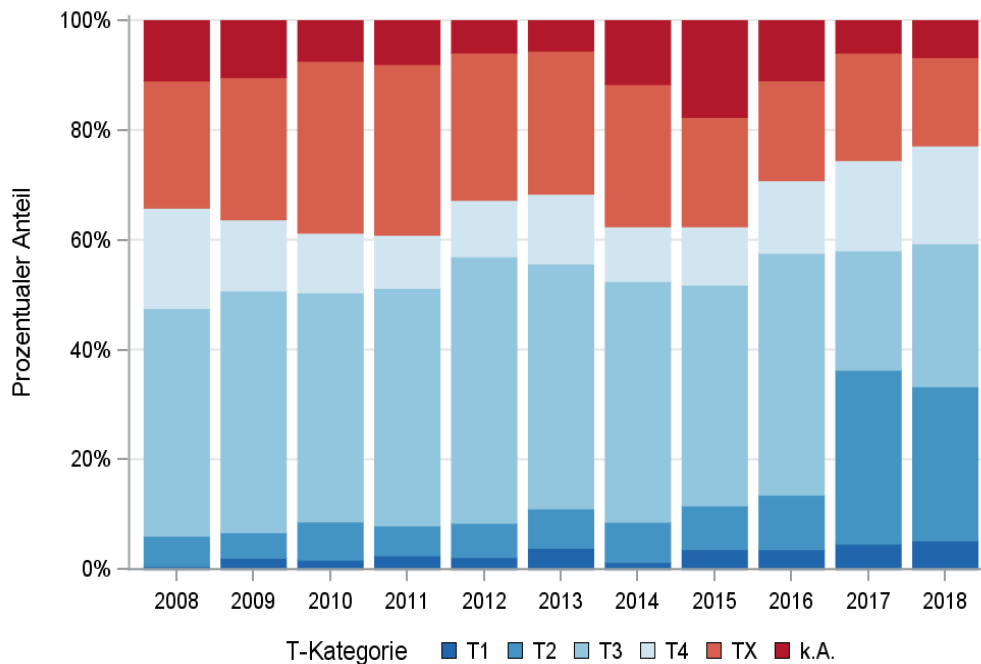
Histologiecode	Anzahl	Prozent
8510/3: Medulläres Karzinom o.n.A.	1	0,0
8523/3: Invasives duktales Karzinom gemischt mit anderen Karzinom-Typen	1	0,0
8552/3: Gemischtes azinär-duktales Karzinom	1	0,0
Karzinome des exokrinen Pankreas (Adenokarzinome)	2777	93,4
8010/3: Karzinom o.n.A.	147	5,0
8020/3: Undifferenziertes Karzinom o.n.A.	16	0,5
8041/3: Kleinzelliges Karzinom o.n.A.	8	0,3
8021/3: Anaplastisches Karzinom o.n.A.	5	0,2
8022/3: Pleomorphes Karzinom	4	0,1
8035/3: Karzinom mit osteoklastenähnlichen Riesenzellen	2	0,1
8046/3: Nichtkleinzelliges Karzinom	2	0,1
8012/3: Großzelliges Karzinom o.n.A.	1	0,0
epitheliale Neoplasien (Karzinome)	185	6,2
8150/3: Maligner endokriner Pankreastumor	6	0,2
8151/3: Malignes Insulinom	4	0,1
maligne endokrine Tumoren	10	0,3

17.8 Tumorgröße und Ausdehnung (TNM)

Tab. 17.8. C25: Absolute Anzahl der Neuerkrankungen klassifiziert nach der Tumorgröße in Bezug zu der Auflage der TNM-Klassifikation (Behandlungsort)

Tumorgröße (T)	TNM Auflage 6		TNM Auflage 7		TNM Auflage 8		k.A. zur TNM Auflage		Summe	
	Anzahl	%	Anzahl	%	Anzahl	%	Anzahl*	%	Anzahl	%
T1	5	1,7	56	3,1	31	5,3	-	-	92	3,1
T2	18	6,2	159	8,7	183	31,2	-	-	360	12,1
T3	145	49,8	869	47,6	152	25,9	-	-	1166	39,2
T4	55	18,9	220	12,0	111	18,9	-	-	386	13,0
TX	68	23,4	521	28,5	109	18,6	-	-	698	23,5
k.A.	0	0	1	0,1	0	0	269	100,0	270	9,1
Summe	291	100,0	1826	100,0	586	100,0	269	100,0	2972	100,0

*In einzelnen Fällen wurden Angaben zur Tumorgröße ohne Bezug zu einer TNM Auflage gemacht. Diese Angaben wurden in die Kategorie k.A. aufgenommen.



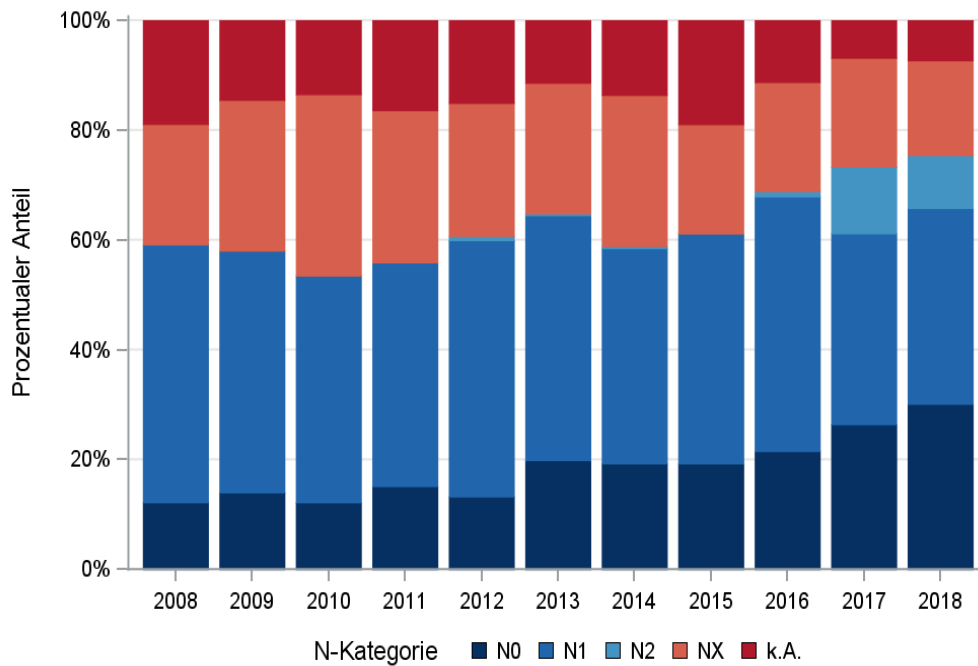
© KKR-MV 2020

Abb. 17.5. C25: Prozentualer Anteil der Neuerkrankungen nach der Tumorgröße im Diagnosezeitraum 2008 bis 2018

Tab. 17.9. C25: Absolute Anzahl der Neuerkrankungen mit bzw. ohne Befall der regionären Lymphknoten in Bezug zu der Auflage der TNM-Klassifikation (Behandlungsort)

N-Kategorie	TNM Auflage 6		TNM Auflage 7		TNM Auflage 8		k.A. zur TNM Auflage		Summe	
	Anzahl	%	Anzahl	%	Anzahl	%	Anzahl*	%	Anzahl	%
N0	45	15,5	352	19,3	180	30,7	-	-	577	19,4
N1	158	54,3	859	47,0	219	37,4	-	-	1236	41,6
N2	0	0	8	0,4	71	12,1	-	-	79	2,7
NX	80	27,5	506	27,7	110	18,8	-	-	696	23,4
k.A.	8	2,7	101	5,5	6	1,0	269	100,0	384	12,9
Summe	291	100,0	1826	100,0	586	100,0	269	100,0	2972	100,0

*In einzelnen Fällen wurden Angaben zur N-Kategorie ohne Bezug zu einer TNM Auflage gemacht. Diese Angaben wurden in die Kategorie k.A. aufgenommen.



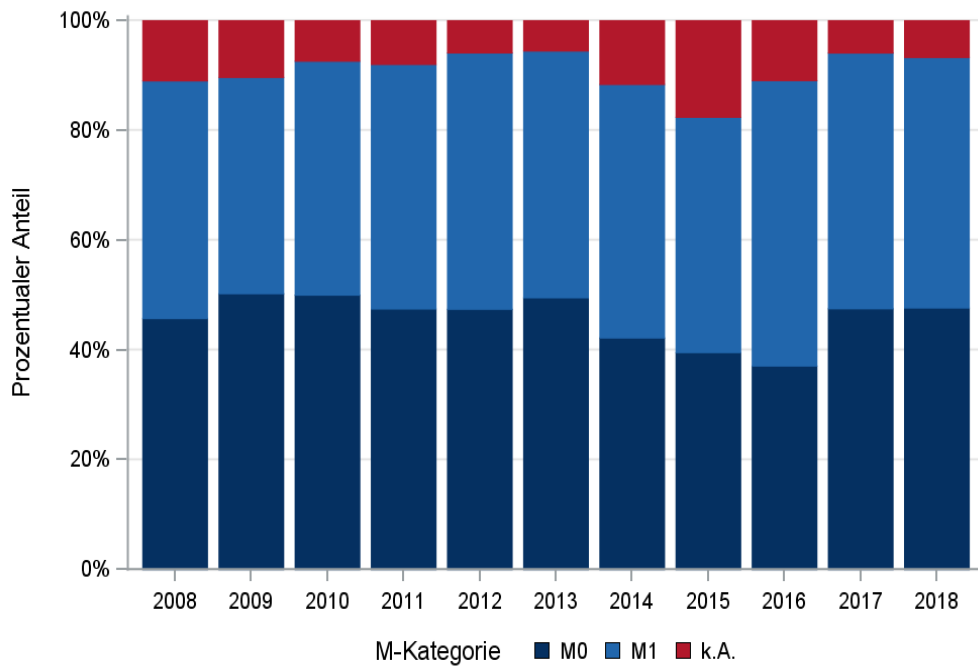
© KKR-MV 2020

Abb. 17.6. C25: Prozentualer Anteil der Neuerkrankungen mit und ohne Befall der regionären Lymphknoten zum Zeitpunkt der Erstdiagnose im Diagnosezeitraum 2008 bis 2018

Tab. 17.10. C25: Absolute Anzahl der Neuerkrankungen mit Fernmetastasierung in Bezug zu der Auflage der TNM-Klassifikation (Behandlungsort)

M-Kategorie	TNM Auflage 6		TNM Auflage 7		TNM Auflage 8		k.A. zur TNM Auflage		Summe	
	Anzahl	%	Anzahl	%	Anzahl	%	Anzahl*	%	Anzahl	%
M0	155	53,3	893	48,9	307	52,4	-	-	1355	45,6
M1	136	46,7	932	51,0	279	47,6	-	-	1347	45,3
k.A.	0	0	1	0,1	0	0	269	100,0	270	9,1
Summe	291	100,0	1826	100,0	586	100,0	269	100,0	2972	100,0

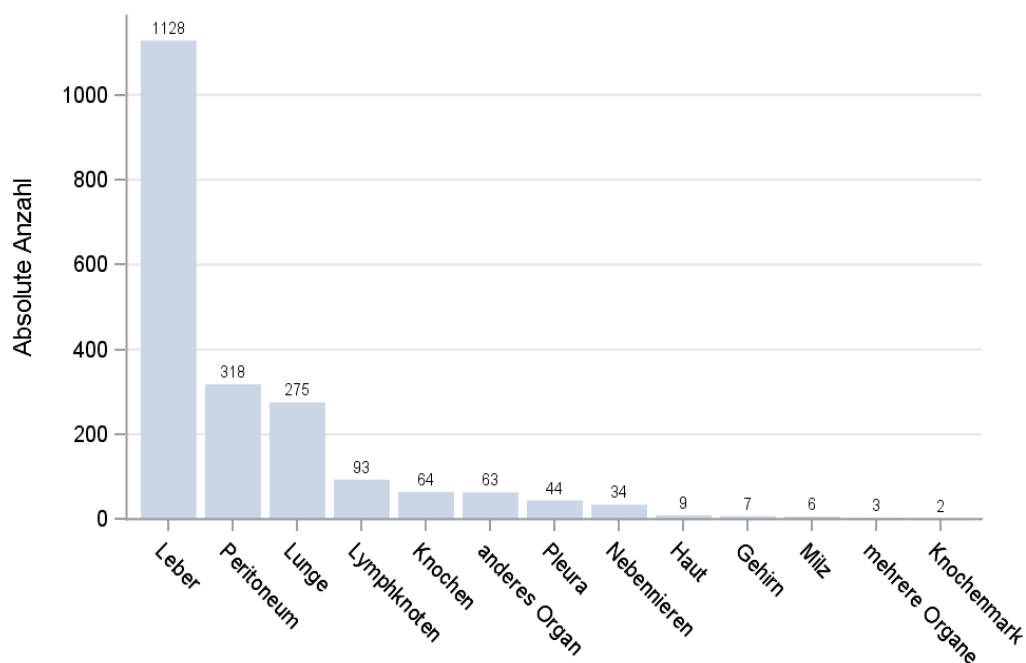
*In einzelnen Fällen wurden Angaben zur M-Kategorie ohne Bezug zu einer TNM Auflage gemacht. Diese Angaben wurden in die Kategorie k.A. aufgenommen.



© KKR-MV 2020

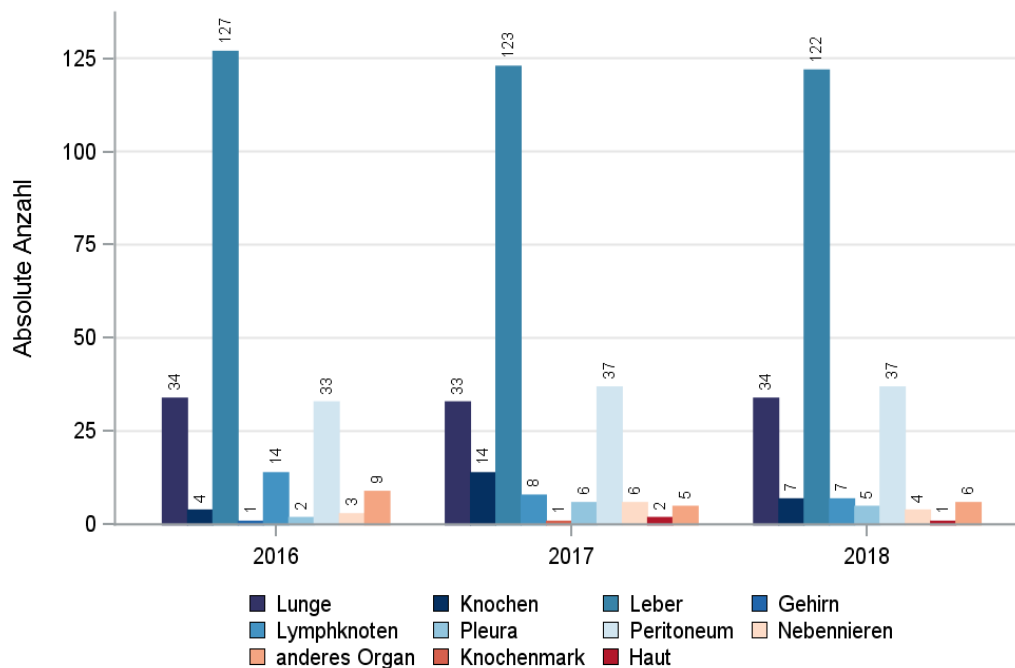
Abb. 17.7. C25: Prozentualer Anteil der primären Fernmetastasierung im Diagnosezeitraum 2008 bis 2018

17.9 Lokalisation der Fernmetastasen



© KKR-MV 2020

Abb. 17.8. C25: Lokalisation der Fernmetastasen bei Neuerkrankungen im Diagnosezeitraum 2008 bis 2018



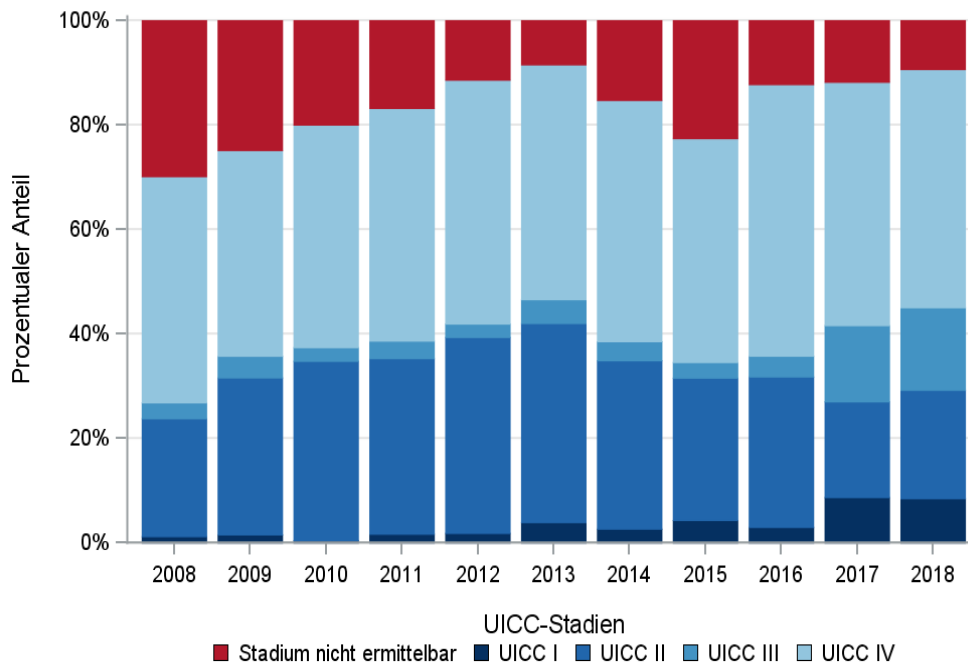
© KKR-MV 2020

Abb. 17.9. C25: Lokalisation der Fernmetastasen bei Neuerkrankungen für die Diagnosejahre 2016 bis 2018

17.10 Tumorstadien nach UICC

Tab. 17.11. C25: Primäre UICC-Stadien (Behandlungsort)

Jahre	UICC I		UICC II		UICC III		UICC IV		Stadium nicht ermittelbar		Summe	
	Anzahl	%	Anzahl	%	Anzahl	%	Anzahl	%	Anzahl	%	Anzahl	%
2008	2	1,2	37	22,6	5	3,0	71	43,3	49	29,9	164	100,0
2009	3	1,6	58	30,1	8	4,1	76	39,4	48	24,9	193	100,0
2010	1	0,4	79	34,3	6	2,6	98	42,6	46	20,0	230	100,0
2011	4	1,7	80	33,6	8	3,4	106	44,5	40	16,8	238	100,0
2012	5	1,8	102	37,5	7	2,6	127	46,7	31	11,4	272	100,0
2013	12	3,9	117	38,1	14	4,6	138	45,0	26	8,5	307	100,0
2014	8	2,7	97	32,2	11	3,7	139	46,2	46	15,3	301	100,0
2015	13	4,3	82	27,2	9	3,0	129	42,9	68	22,6	301	100,0
2016	9	3,0	87	28,8	12	4,0	157	52,0	37	12,3	302	100,0
2017	28	8,7	59	18,3	47	14,6	150	46,6	38	11,8	322	100,0
2018	29	8,5	71	20,8	54	15,8	156	45,6	32	9,4	342	100,0
Summe	114	3,8	869	29,2	181	6,1	1347	45,3	461	15,5	2972	100,0



© KKR-MV 2020

Abb. 17.10. C25: Prozentuale Anteile der UICC-Tumorstadien in den Diagnosejahren 2008 bis 2018

17.11 Dokumentierte Therapie bis max. 12 Monate nach Diagnosestellung

17.11.1 Therapiekombinationen, Stellung der Therapie und Intention der dokumentierten Therapien

Tab 17.12. C25: Therapiekombinationen (Operation, Strahlentherapie, systemische Therapie) pro Diagnosejahr (Behandlungsort)

Therapiekombinationen	2008	2009	2010	2011	2012	2013	2014	2015	2016	2017	2018	Summe
Alleinige Operation	27	31	39	43	33	36	32	34	34	38	41	388
Alleinige systemische Therapie	52	61	61	75	92	90	100	102	99	89	95	916
Alleinige Strahlentherapie	0	0	0	0	0	1	0	0	0	0	0	1
Operation und systemische Therapie, keine Strahlentherapie	36	37	47	49	64	76	69	63	70	82	82	675
Operation und Strahlentherapie, keine systemische Therapie	0	1	0	1	0	0	0	0	0	0	0	2
Systemische Therapie und Strahlentherapie, keine Operation	2	1	1	2	4	5	3	4	2	3	5	32
Operation und systemische Therapie und Strahlentherapie	2	7	9	7	13	14	9	4	6	2	4	77
Keine Operation, systemische Therapie oder Strahlentherapie	45	55	73	61	66	85	88	94	91	108	115	881
Summe	164	193	230	238	272	307	301	301	302	322	342	2972

Tab. 17.13. C25: Therapiekombinationen (Operation, Strahlentherapie, systemische Therapie) in Abhängigkeit von dem UICC-Stadium (Behandlungsort)

Therapiekombinationen	UICC I	UICC II	UICC III	UICC IV	Stadium nicht ermittelbar	Summe
Alleinige Operation	35	239	34	34	46	388
Alleinige systemische Therapie	6	37	48	692	133	916
Alleinige Strahlentherapie	0	1	0	0	0	1
Operation und systemische Therapie, keine Strahlentherapie	43	481	54	59	38	675
Operation und Strahlentherapie, keine systemische Therapie	0	2	0	0	0	2
Systemische Therapie und Strahlentherapie, keine Operation	0	6	12	7	7	32
Operation und systemische Therapie und Strahlentherapie	2	66	4	0	5	77
Keine Operation, systemische Therapie oder Strahlentherapie	28	37	29	555	232	881
Summe	114	869	181	1347	461	2972

Tab. 17.14a. C25: Stellung der Strahlentherapie zur operativen Therapie im ersten Jahr der Erkrankung (adjuvant/neoadjuvant, Behandlungsort)

Stellung der Strahlentherapie zur operativen Therapie	2008	2009	2010	2011	2012	2013	2014	2015	2016	2017	2018	Summe
Adjuvante (postoperative) Strahlentherapie	1	3	2	4	10	13	6	2	5	2	2	50
Neoadjuvante (präoperative) Strahlentherapie	0	0	0	0	0	0	2	1	1	0	1	5
Therapie ohne Bezug zu einer operativen Therapie	0	0	0	0	0	0	0	1	0	0	1	2
unbekannt	1	5	7	4	3	1	1	0	0	0	0	22
Summe	2	8	9	8	13	14	9	4	6	2	4	79

Tab. 17.14b. C25: Stellung der systemischen Therapie zur operativen Therapie im ersten Jahr der Erkrankung (adjuvant/neoadjuvant, Behandlungsort)

Stellung der systemischen Therapie zur operativen Therapie	2008	2009	2010	2011	2012	2013	2014	2015	2016	2017	2018	Summe
Adjuvante (postoperative) Therapie	31	32	46	51	72	80	69	57	66	71	70	645
Therapie ohne Bezug zu einer operativen Therapie	3	4	3	2	2	7	7	4	6	6	10	54
Neoadjuvante (präoperative) Therapie	0	0	1	1	1	2	2	4	4	5	6	26
Intraoperative Therapie	0	0	0	0	2	0	0	0	0	0	0	2
unbekannt	4	8	6	2	0	1	0	2	0	2	0	25
Summe	38	44	56	56	77	90	78	67	76	84	86	752

Tab. 17.15a. C25: Intention bei der ersten Operation (Behandlungsort)

Intention der Operation	2008	2009	2010	2011	2012	2013	2014	2015	2016	2017	2018	Summe
Kurativ	46	56	70	73	79	92	82	86	90	106	107	887
Palliativ bzw. symptomatisch	11	10	15	15	12	10	6	5	14	6	8	112
Sonstige/Unbekannt/Keine Angabe	8	10	10	12	19	24	22	10	6	10	12	143
Summe	65	76	95	100	110	126	110	101	110	122	127	1142

Tab. 17.15b. C25: Intention der initialen Bestrahlung (Behandlungsort)

Intention der Bestrahlung	2008	2009	2010	2011	2012	2013	2014	2015	2016	2017	2018	Summe
Kurativ	1	3	2	5	5	11	8	4	5	2	4	50
Palliativ bzw. symptomatisch	0	0	1	0	4	5	3	3	3	3	5	27
Sonstige/Unbekannt/Keine Angabe	3	6	7	5	8	4	1	1	0	0	0	35
Summe	4	9	10	10	17	20	12	8	8	5	9	112

Tab. 17.15c. C25: Intention bei der ersten systemischen Therapie (Behandlungsort)

Intention der systemischen Therapie	2008	2009	2010	2011	2012	2013	2014	2015	2016	2017	2018	Summe
Palliativ bzw. symptomatisch	44	60	52	82	105	107	111	110	114	99	101	985
Kurativ	33	27	43	41	59	72	63	58	58	70	83	607
Sonstige/Unbekannt/Keine Angabe	15	19	23	10	9	6	7	5	5	7	2	108
Summe	92	106	118	133	173	185	181	173	177	176	186	1700

Tab. 17.16. C25: Zeitraum zwischen Diagnose und Beginn der ersten Therapie nach Therapieart (Angaben in Tagen, Behandlungsort)

Therapie	Anzahl	Median	Minimum	Maximum
Diagnose und erste Operation	1142	5	0	351
Diagnose und erste Bestrahlung	112	116	0	343
Diagnose und erste system. Therapie	1700	36	0	361

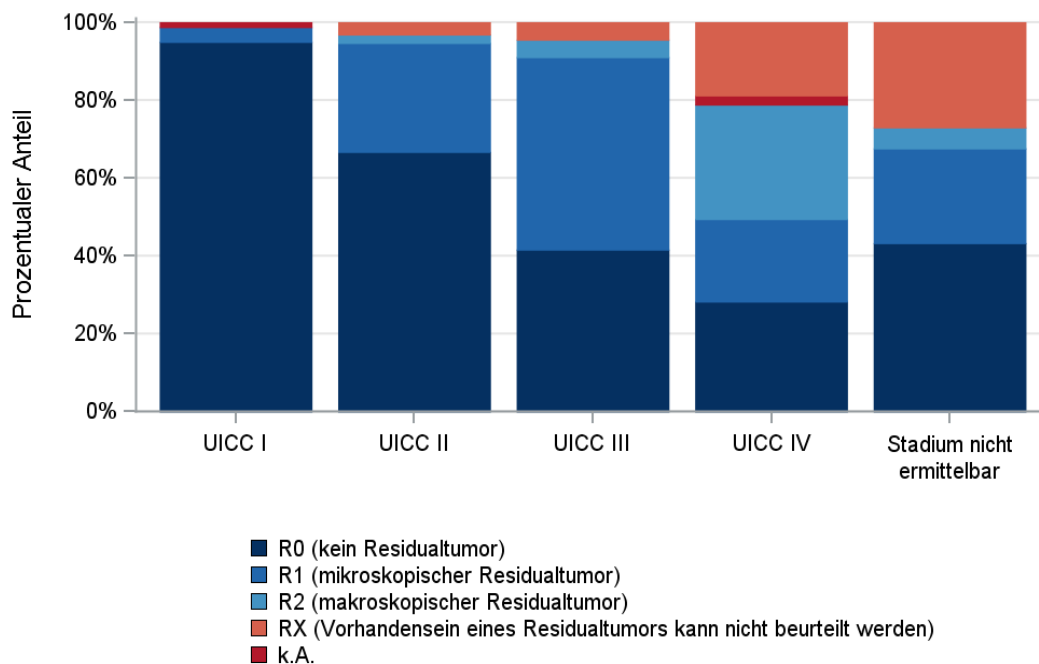
17.11.2 Dokumentierte tumorspezifische Operation bis max.12 Monate nach Diagnosestellung

Tab. 17.17. C25: Dokumentierte tumorspezifische Operation nach UICC (Behandlungsort)

Operationen	UICC I	UICC II	UICC III	UICC IV	Stadium nicht ermittelbar	Summe	
						Anzahl	%
Tumorresektion	72	735	80	75	69	1031	90,3
Tumor- und Lymphknotenresektion	7	51	9	10	5	82	7,2
Lymphknotenresektion	0	1	0	1	1	3	0,3
sonstige OP	1	0	3	6	10	20	1,8
keine Angabe	0	1	0	1	4	6	0,5
Summe	80	788	92	93	89	1142	100,0

Tab. 17.18. C25: Residualklassifikation nach Tumorresektion im Diagnosezeitraum 2008-2018

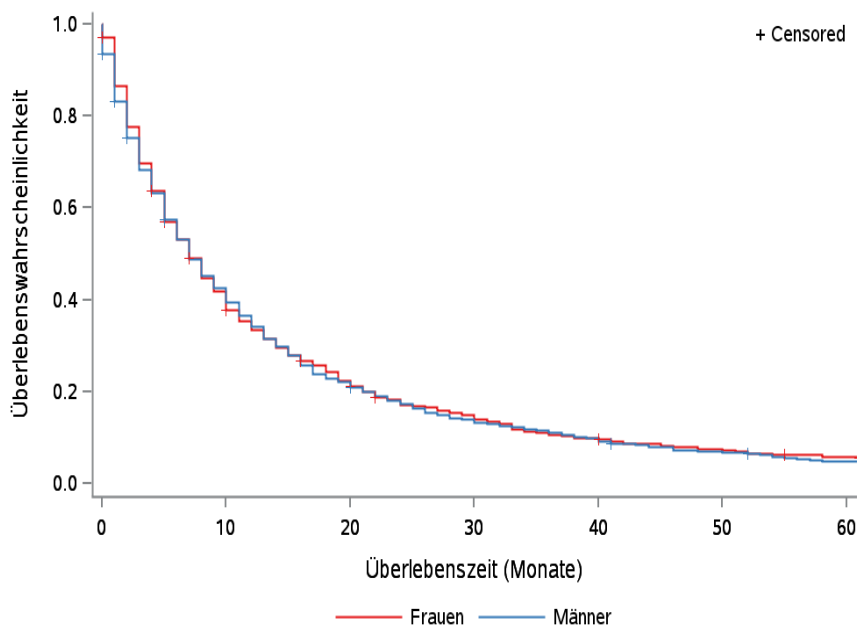
R-Klassifikation	UICC I	UICC II	UICC III	UICC IV	Stadium nicht ermittelbar	Summe	
						Anzahl	%
R0 (kein Residualtumor)	75	524	37	24	32	692	62,2
R1 (mikroskopischer Residualtumor)	3	220	44	18	18	303	27,2
R2 (makroskopischer Residualtumor)	0	17	4	25	4	50	4,5
RX (Vorhandensein eines Residualtumors kann nicht beurteilt werden)	0	25	4	16	20	65	5,8
keine Angabe	1	0	0	2	0	3	0,3
Summe	79	786	89	85	74	1113	100,0



© KKR-MV 2020

Abb. 17.11. C25: Residualklassifikation nach Tumorresektion in Abhängigkeit von UICC-Tumorstadium im Diagnosezeitraum 2008 bis 2018

17.12 Überlebensanalysen bei den in den Jahren 2008 – 2013 primär diagnostizierten Patienten

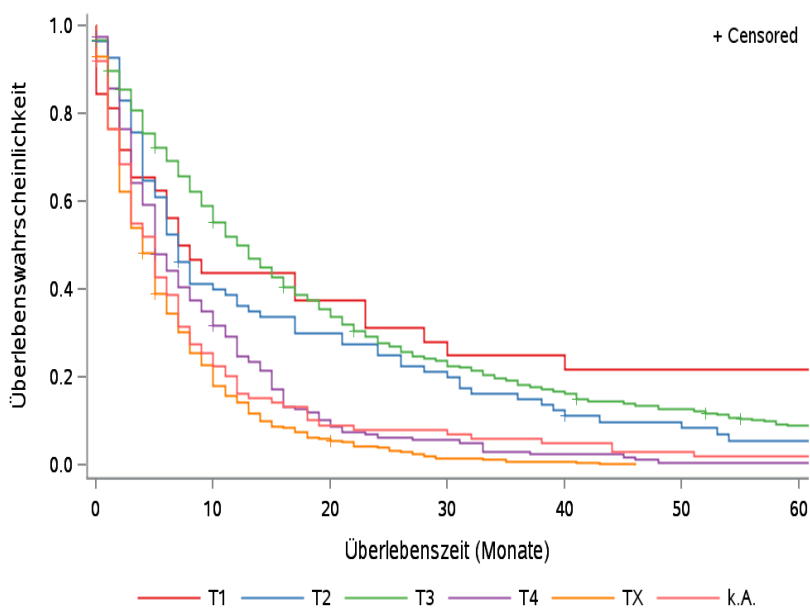


© KKR-MV 2020

Abb.17.12. C25: Wahrscheinlichkeit des Überlebens (Kaplan-Meier-Analyse) nach Geschlecht im Diagnosezeitraum von 2008 bis 2013 (Wohnort). Kaplan-Meier-Kurven werden für Kategorien mit weniger als 10 Neuerkrankungen nicht dargestellt.

Tab. 17.19. C25: Anzahl der unter Risiko stehenden Neuerkrankungen (Monate nach Diagnose)

Geschlecht	0 Monate	20 Monate	40 Monate	60 Monate
Männer	750	163	72	34
Frauen	599	129	56	31



© KKR-MV 2020

Abb.17.13. C25: Wahrscheinlichkeit des Überlebens (Kaplan-Meier-Analyse) nach Tumorstadium im Diagnosezeitraum von 2008 bis 2013 (Wohnort). Kaplan-Meier-Kurven werden für Kategorien mit weniger als 10 Neuerkrankungen nicht dargestellt.

Tab. 17.20. C25: Anzahl der unter Risiko stehenden Neuerkrankungen nach Tumorgröße (Monate nach Diagnose)

T-Kategorie	0 Monate	20 Monate	40 Monate	60 Monate
T1	32	12	8	7
T2	83	24	10	4
T3	604	209	98	51
T4	163	16	4	1
TX	368	22	3	0
k.A.	99	9	5	2

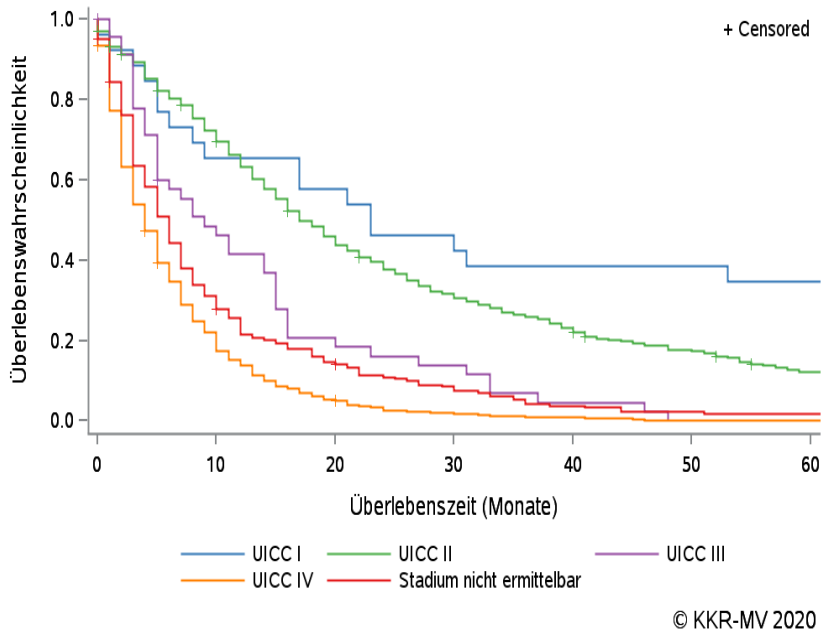
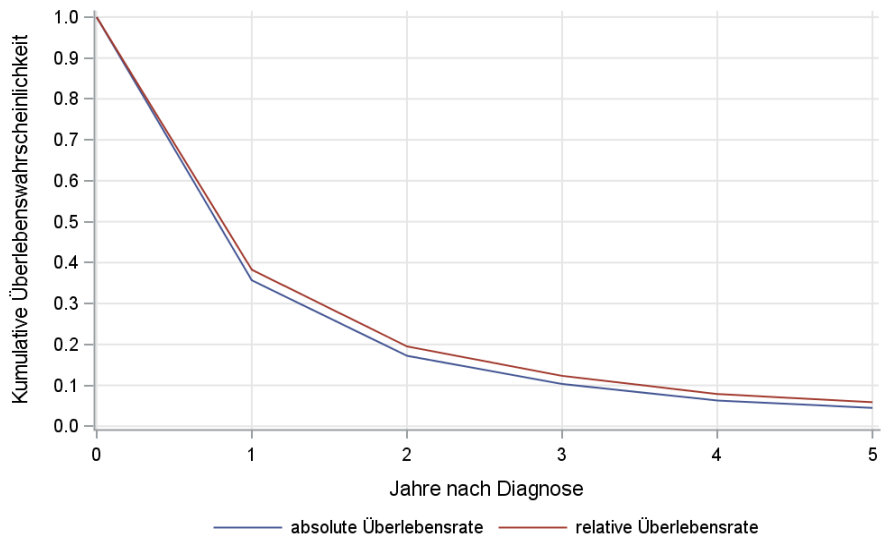


Abb. 17.14. C25: Wahrscheinlichkeit des Überlebens (Kaplan-Meier-Analyse) nach UICC-Tumorstadium im Diagnosezeitraum von 2008 bis 2013 (Wohnort). Kaplan-Meier-Kurven werden für Kategorien mit weniger als 10 Neuerkrankungen nicht dargestellt.

Tab. 17.21. C25: Anzahl der unter Risiko stehenden Neuerkrankungen nach UICC-Stadium (Monate nach Diagnose)

UICC-Stadium	0 Monate	20 Monate	40 Monate	60 Monate
UICC I	26	15	10	9
UICC II	458	204	103	51
UICC III	46	9	2	0
UICC IV	595	32	5	1
Stadium nicht ermittelbar	224	32	8	4

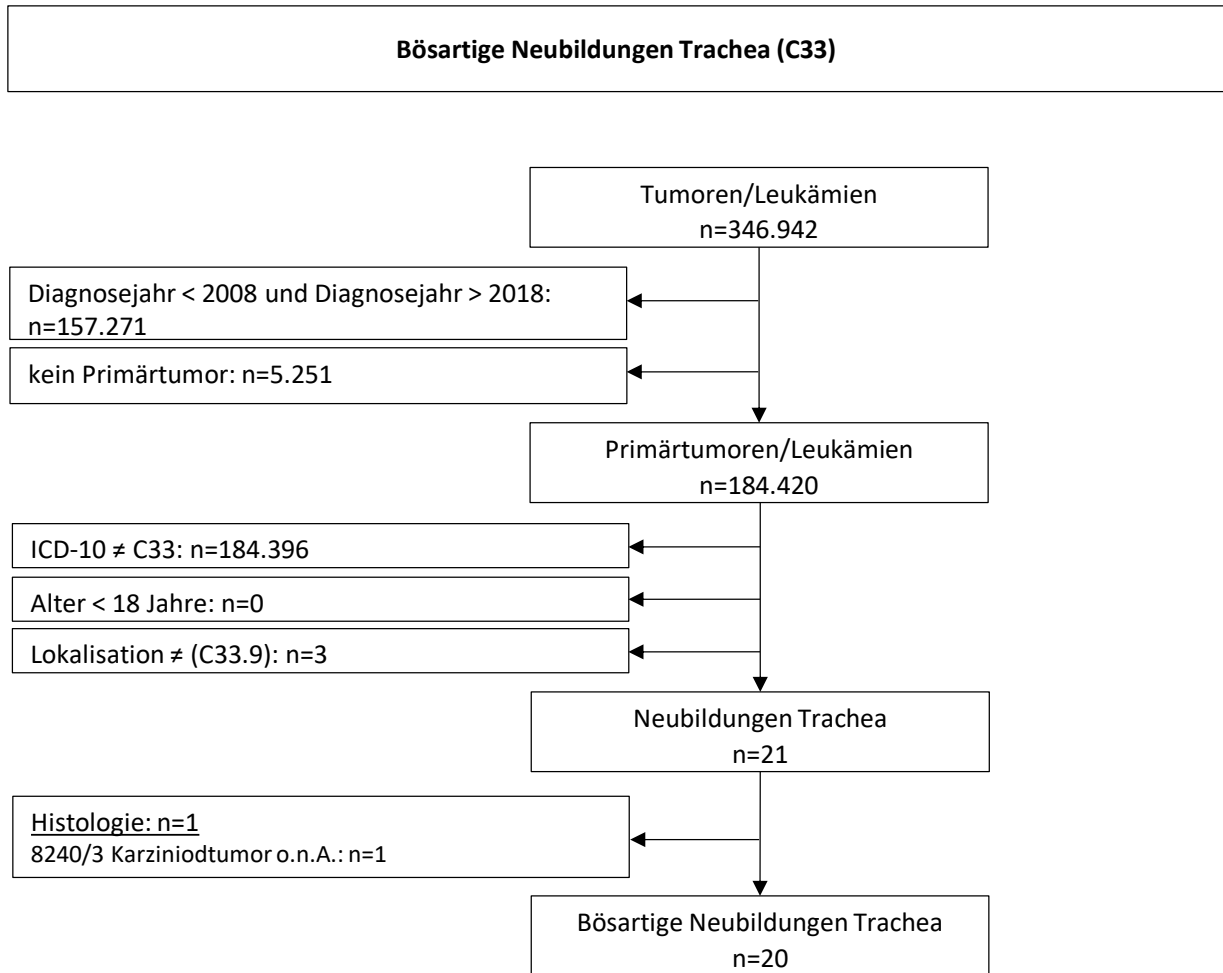


© KKR-MV 2020

Abb. 17.15. C25: Absolutes und relatives Überleben im Diagnosezeitraum 2008 bis 2013 (Wohnort, Alter > 19)

18 Trachea (C33)

18.1 Consort-Statement: Darstellung der Auswertepopulation

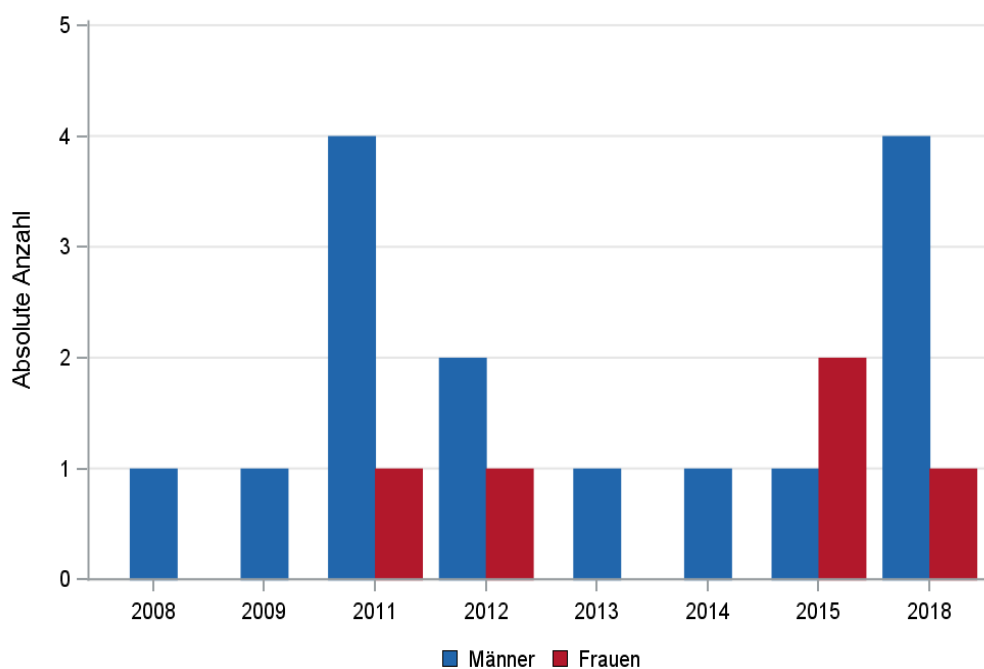


*Erläuterungen zu den Ausschlüssen finden Sie im Kapitel 4 (Methode)

18.2 Absolute Anzahl der erfassten Neuerkrankungen in M-V in den Jahren 2008 – 2018 nach Geschlecht (Behandlungsort, Wohnort)

Tab. 18.1. C33: Absolute Anzahl der Neuerkrankungen nach Geschlecht (Behandlungsort)

Diagnosejahr	Männer		Frauen		Summe
	Anzahl	%	Anzahl	%	
2008	1	100,0	0	0	1
2009	1	100,0	0	0	1
2011	4	80,0	1	20,0	5
2012	2	66,7	1	33,3	3
2013	1	100,0	0	0	1
2014	1	100,0	0	0	1
2015	1	33,3	2	66,7	3
2018	4	80,0	1	20,0	5
Summe	15	75,0	5	25,0	20

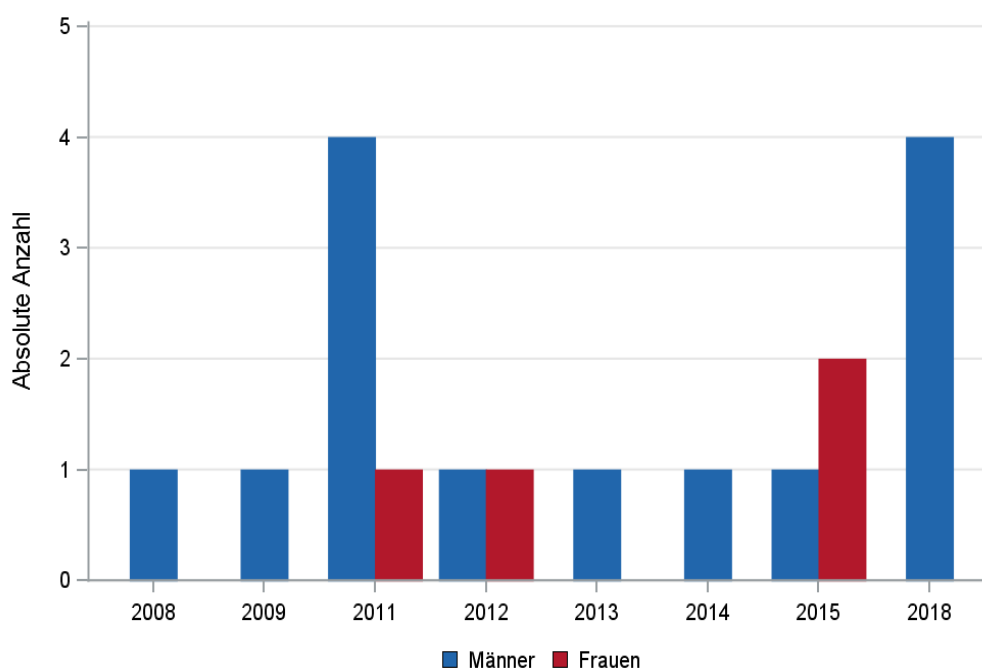


© KKR-MV 2020

Abb. 18.1. C33: Absolute Anzahl der Neuerkrankungen nach Geschlecht im Diagnosezeitraum 2008 bis 2018 (Behandlungsort)

Tab. 18.2. C33: Absolute Anzahl der Neuerkrankungen nach Geschlecht (Wohnort)

Diagnosejahr	Männer		Frauen		Summe
	Anzahl	%	Anzahl	%	
2008	1	100,0	0	0	1
2009	1	100,0	0	0	1
2011	4	80,0	1	20,0	5
2012	1	50,0	1	50,0	2
2013	1	100,0	0	0	1
2014	1	100,0	0	0	1
2015	1	33,3	2	66,7	3
2018	4	100,0	0	0	4
Summe	14	77,8	4	22,2	18



© KKR-MV 2020

Abb. 18.2. C33: Absolute Anzahl der Neuerkrankungen nach Geschlecht im Diagnosezeitraum 2008 bis 2018 (Wohnort)

18.3 Absolute Anzahl der erfassten Neuerkrankungen in M-V in den Jahren 2008 – 2018 nach Landkreisen (Wohnort)

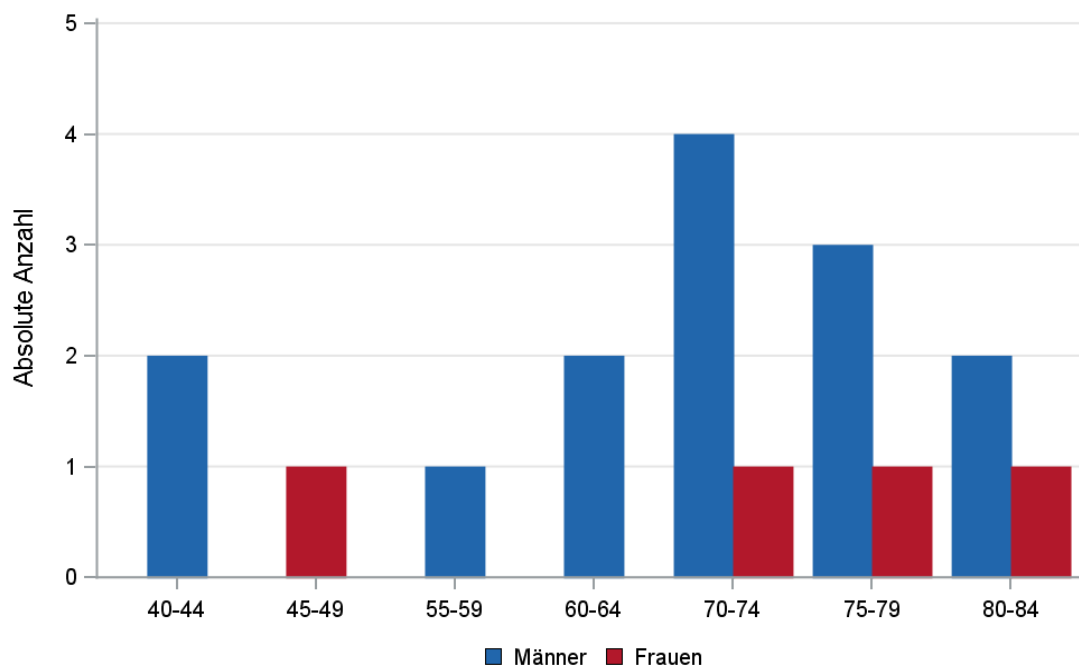
Tab. 18.3. C33: Absolute Anzahl und prozentualer Anteil der Neuerkrankungen nach Landkreisen

Landkreis	2008		2009		2011		2012		2013		2014		2015		2018		Summe	
	Anzahl	%	Anzahl	%	Anzahl	%	Anzahl	%	Anzahl	%	Anzahl	%	Anzahl	%	Anzahl	%	Anzahl	%
Landkreis Rostock	0	0	0	0	0	0	1	50,0	0	0	0	0	0	0	1	25,0	2	11,1
Ludwigslust-Parchim	0	0	0	0	0	0	0	0	0	0	0	0	0	0	1	25,0	1	5,6
Mecklenburgische Seenplatte	0	0	0	0	0	0	0	0	1	100,0	1	100,0	1	33,3	1	25,0	4	22,2
Nordwestmecklenburg	0	0	1	100,0	1	20,0	1	50,0	0	0	0	0	0	0	0	0	3	16,7
Schwerin	0	0	0	0	1	20,0	0	0	0	0	0	0	1	33,3	1	25,0	3	16,7
Vorpommern-Rügen	1	100,0	0	0	3	60,0	0	0	0	0	0	0	1	33,3	0	0	5	27,8
Summe	1	100,0	1	100,0	5	100,0	2	100,0	1	100,0	1	100,0	3	100,0	4	100,0	18	100,0

18.4 Rohe und standardisierte Neuerkrankungsraten pro 100.000 Einwohner in den Jahren 2008-2018 (Wohnort)

Tab. 18.4. C33: Neuerkrankungsrate/100.000 Einwohner (Alter > 19)

Diagnosejahr	Männer			Frauen		
	absolute Anzahl der Neuerkrankungen	rohe Rate in M-V	altersstandardisierte Rate	absolute Anzahl der Neuerkrankungen	rohe Rate in M-V	altersstandardisierte Rate
2008	1	0,1	0,1	0	0,0	0,0
2009	1	0,1	0,2	0	0,0	0,0
2011	4	0,6	0,3	1	0,1	0,1
2012	1	0,2	0,1	1	0,1	0,1
2013	1	0,2	0,1	0	0,0	0,0
2014	1	0,2	0,2	0	0,0	0,0
2015	1	0,2	0,1	2	0,3	0,1
2018	4	0,6	0,6	0	0,0	0,0
2008-2018	14	0,2	0,2	4	0,1	0,0



© KKR-MV 2020

Abb. 18.3. C33: Absolute Anzahl der Neuerkrankungen aufgelistet in 5-Jahres-Altersgruppen und nach Geschlecht im Diagnosezeitraum 2008 bis 2018 (Wohnort)

18.5 Alter der in den Jahren 2008 - 2018 in M-V neuerkrankten Patienten (Behandlungsort)

Tab. 18.5. C33: Erkrankungsalter (Behandlungsort)

Diagnosejahr	Männer				Frauen			
	Anzahl	Median	Minimum	Maximum	Anzahl	Median	Minimum	Maximum
2008	1	77	77	77	0	-	-	-
2009	1	63	63	63	0	-	-	-
2011	4	78	73	83	1	48	48	48
2012	2	64	51	77	1	77	77	77
2013	1	73	73	73	0	-	-	-
2014	1	40	40	40	0	-	-	-
2015	1	62	62	62	2	77	73	80
2018	4	64	44	73	1	26	26	26

18.6 Absolute Anzahl der erfassten Neuerkrankungen in M-V in den Jahren 2008 – 2018 nach Lokalisation

Tab. 18.6. C33: Absolute Anzahl und prozentualer Anteil der Neuerkrankungen nach der Lokalisation (Behandlungsort)

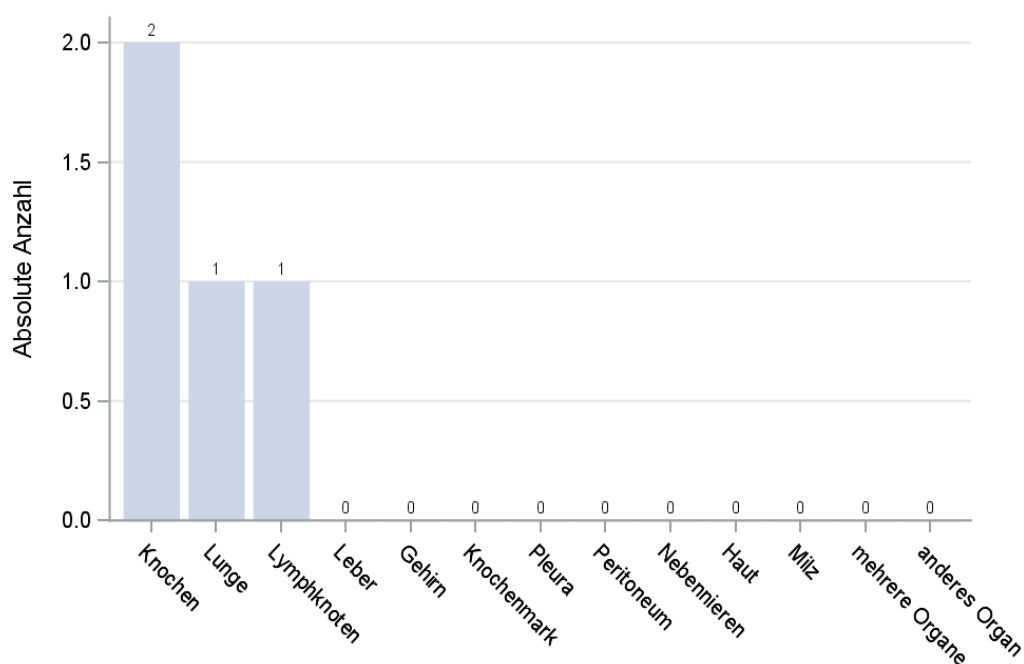
Lokalisation	2008	2009	2011	2012	2013	2014	2015	2018	Summe	
									Anzahl	%
C33.9 Trachea	1	1	5	3	1	1	3	5	20	100,0
Summe	1	1	5	3	1	1	3	5	20	100,0

18.7 Histologische Befunde bei allen neuerkrankten Patienten in M-V in den Jahren 2008 – 2018

Tab. 18.7. C33: Histologische Befunde bei neuerkrankten Patienten (Behandlungsort)

Histologiecode	Anzahl	Prozent
8070/3: Plattenepithelkarzinom o.n.A.	7	35,0
8071/3: Verhornendes Plattenepithelkarzinom o.n.A.	3	15,0
8052/3: Nichtinvasives papilläres Plattenepithelkarzinom	2	10,0
8072/3: Großzelliges nichtverhornendes Plattenepithelkarzinom o.n.A.	2	10,0
8083/3: Basaloides Plattenepithelkarzinom	2	10,0
Plattenepithelkarzinome	16	80,0
8200/3: Adenoid-zystisches Karzinom	3	15,0
8430/3: Mukoepidermoid-Karzinom	1	5,0
Adenokarzinome	4	20,0

18.8 Lokalisation der Fernmetastasen



© KKR-MV 2020

Abb. 18.4. C33: Lokalisation der Fernmetastasen bei Neuerkrankungen im Diagnosezeitraum 2008 bis 2018

18.9 Dokumentierte Therapie bis max. 12 Monate nach Diagnosestellung

18.9.1 Therapiekombinationen, Stellung der Therapie und Intention der dokumentierten Therapien

Abb. 18.8. C33: Therapiekombinationen (Operation, Strahlentherapie, systemische Therapie) pro Diagnosejahr (Behandlungsort)

Therapiekombinationen	2008	2009	2011	2012	2013	2014	2015	2018	Summe
Alleinige Operation	0	1	0	1	0	0	0	1	3
Alleinige systemische Therapie	0	0	0	0	0	0	0	1	1
Alleinige Strahlentherapie	0	0	3	1	1	0	1	0	6
Operation und Strahlentherapie, keine systemische Therapie	0	0	1	0	0	1	0	1	3
Systemische Therapie und Strahlentherapie, keine Operation	0	0	1	1	0	0	1	1	4
Keine Operation, systemische Therapie oder Strahlentherapie	1	0	0	0	0	0	1	1	3
Summe	1	1	5	3	1	1	3	5	20

Tab. 18.9. C33: Stellung der systemischen Therapien im ersten Jahr der Erkrankung (adjuvant/neoadjuvant, Behandlungsort)

Stellung der Strahlentherapie zur operativen Therapie	2011	2014	2018	Summe
Adjuvante (postoperative) Strahlentherapie	1	1	0	2
Therapie ohne Bezug zu einer operativen Therapie	0	0	1	1
Summe	1	1	1	3

Tab. 18.10a. C33: Intention der initialen Bestrahlung (Behandlungsort)

Intention der Bestrahlung	2011	2012	2013	2014	2015	2018	Summe
Palliativ bzw. symptomatisch	0	1	0	1	1	1	4
Kurativ	1	0	1	0	0	1	3
Sonstige/Unbekannt/Keine Angabe	4	1	0	0	1	0	6
Summe	5	2	1	1	2	2	13

Tab. 18.10b. C33: Intention bei der ersten systemischen Therapie (Behandlungsort)

Intention der systemischen Therapie	2011	2012	2015	2018	Summe
Palliativ bzw. symptomatisch	1	1	1	2	5
Summe	1	1	1	2	5

Tab. 18.11. C33: Zeitraum zwischen Diagnose und Beginn der ersten Therapie nach Therapieart (Angaben in Tagen, Behandlungsort)

Therapie	Anzahl	Median	Minimum	Maximum
Diagnose und erste Operation	6	18	0	70
Diagnose und erste Bestrahlung	13	35	12	113
Diagnose und erste system. Therapie	5	42	13	353

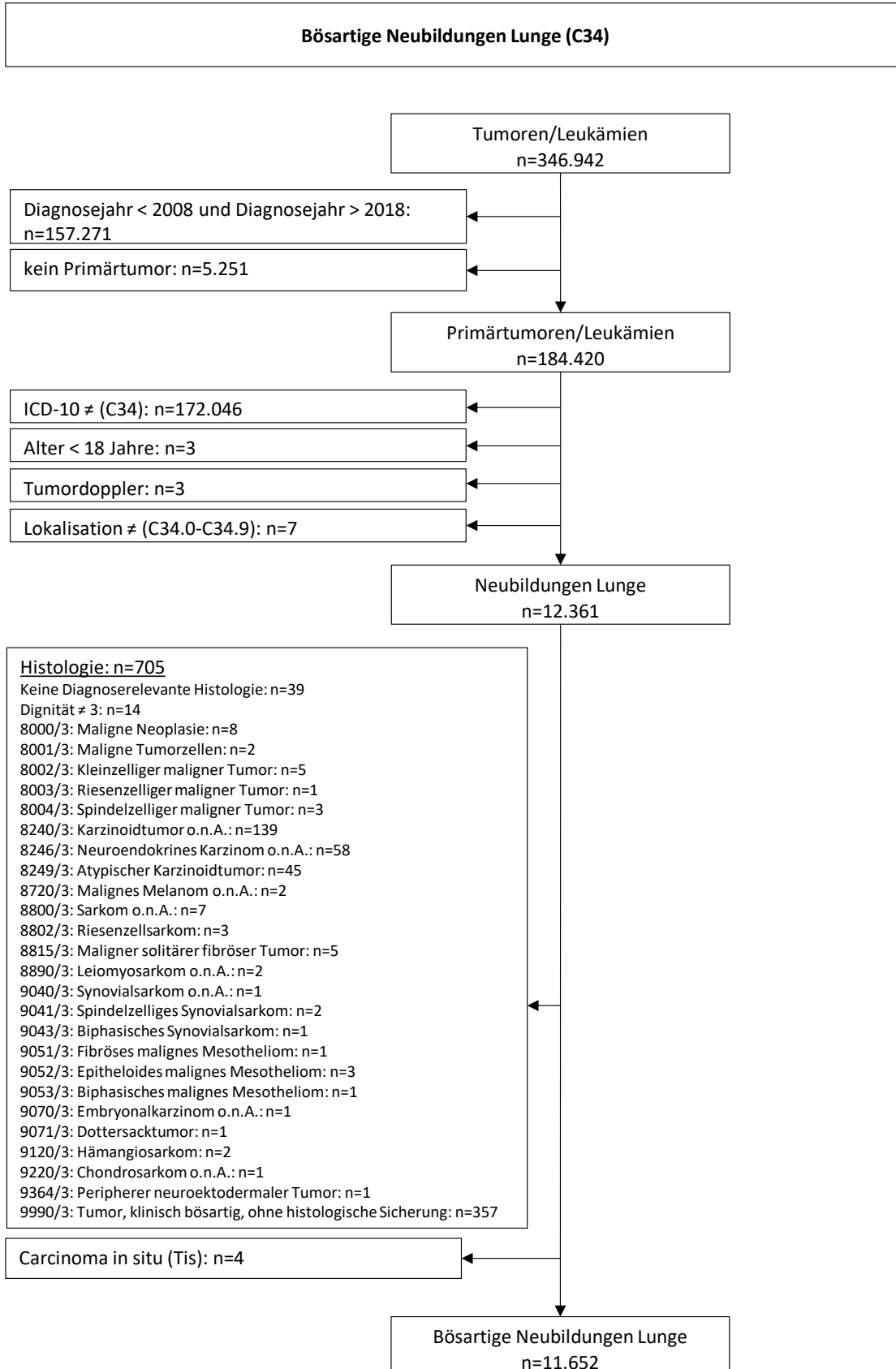
18.9.2 Dokumentierte tumorspezifische Operation bis max.12 Monate nach Diagnosestellung

Tab. 18.12. C33: Dokumentierte tumorspezifische Operation (Behandlungsort)

Operation	Summe	Prozent
Tumoresektion	2	33,3
sonstige OP	3	50,0
keine Angabe	1	16,7
Summe	6	100,0

19 Lunge (C34)

19.1 Consort-Statement: Darstellung der Auswertepopulation



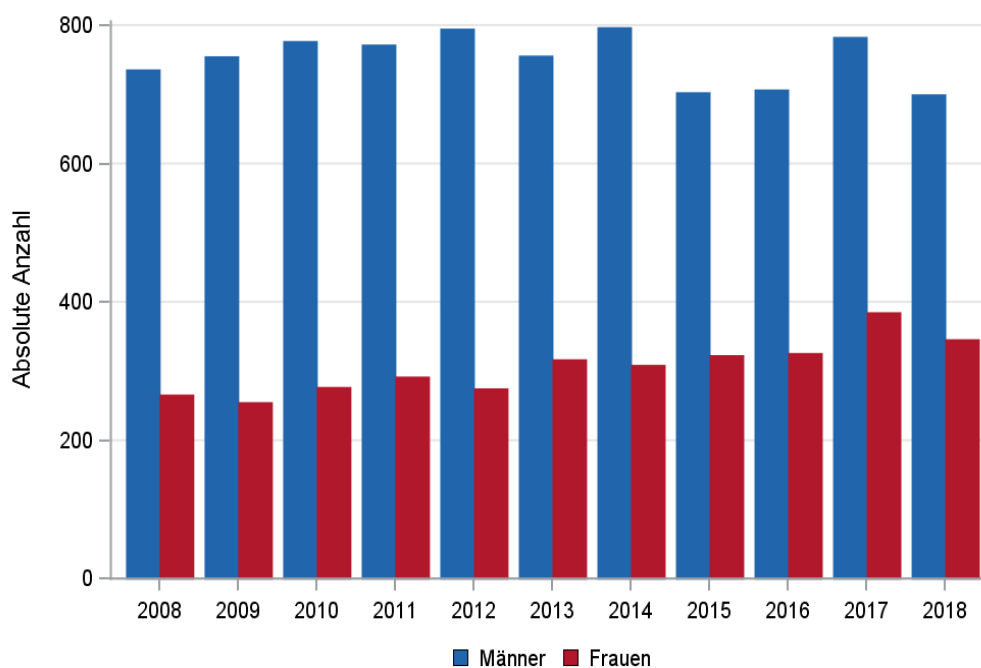
*Erläuterungen zu den Ausschlüssen finden Sie im Kapitel 4 (Methode)

19.2 Lunge (C34)

19.2.1 Absolute Anzahl der erfassten Neuerkrankungen in M-V in den Jahren 2008 – 2018 nach Geschlecht (Behandlungsort, Wohnort)

Tab. 19.1. C34: Absolute Anzahl der Neuerkrankungen nach Geschlecht (Behandlungsort)

Diagnosejahr	Männer		Frauen		Summe
	Anzahl	%	Anzahl	%	
2008	736	73,5	266	26,5	1002
2009	755	74,8	255	25,2	1010
2010	777	73,7	277	26,3	1054
2011	772	72,6	292	27,4	1064
2012	795	74,3	275	25,7	1070
2013	756	70,5	317	29,5	1073
2014	797	72,1	309	27,9	1106
2015	703	68,5	323	31,5	1026
2016	707	68,4	326	31,6	1033
2017	783	67,0	385	33,0	1168
2018	700	66,9	346	33,1	1046
Summe	8281	71,1	3371	28,9	11652

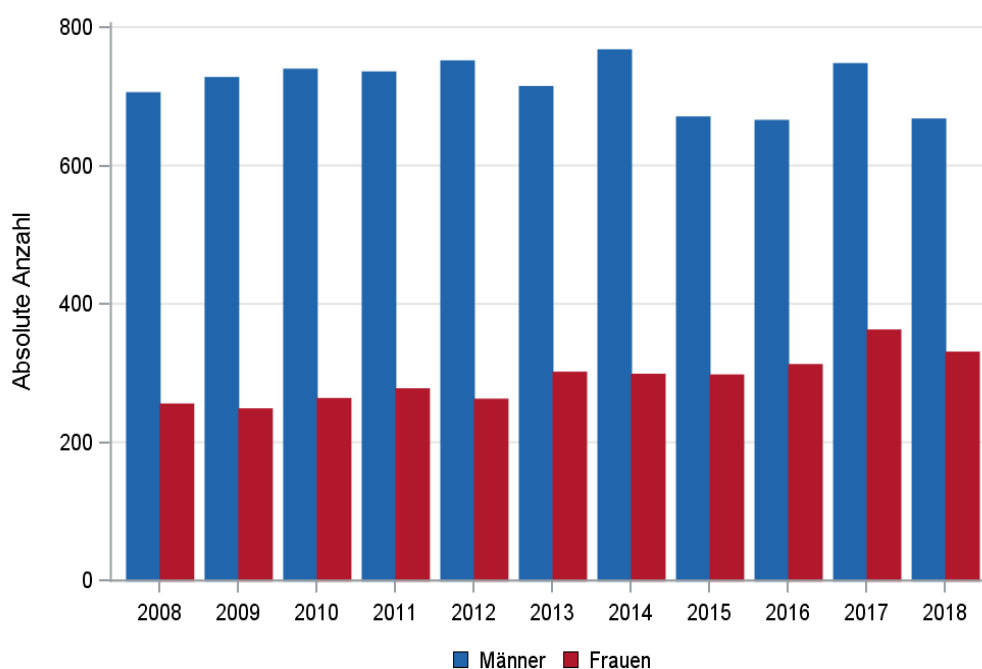


© KKR-MV 2020

Abb. 19.1. C34: Absolute Anzahl der Neuerkrankungen nach Geschlecht im Diagnosezeitraum 2008 bis 2018 (Behandlungsort)

Tab. 19.2. C34: Absolute Anzahl der Neuerkrankungen nach Geschlecht (Wohnort)

Diagnosejahr	Männer		Frauen		Summe
	Anzahl	%	Anzahl	%	
2008	706	73,4	256	26,6	962
2009	728	74,5	249	25,5	977
2010	740	73,7	264	26,3	1004
2011	736	72,6	278	27,4	1014
2012	752	74,1	263	25,9	1015
2013	715	70,3	302	29,7	1017
2014	768	72,0	299	28,0	1067
2015	671	69,2	298	30,8	969
2016	666	68,0	313	32,0	979
2017	748	67,3	363	32,7	1111
2018	668	66,9	331	33,1	999
Summe	7898	71,1	3216	28,9	11114



© KKR-MV 2020

Abb. 19.2. C34: Absolute Anzahl der Neuerkrankungen nach Geschlecht im Diagnosezeitraum 2008 bis 2018 (Wohnort)

19.2.2 Absolute Anzahl der erfassten Neuerkrankungen in M-V in den Jahren 2008 – 2018 nach Landkreisen (Wohnort)

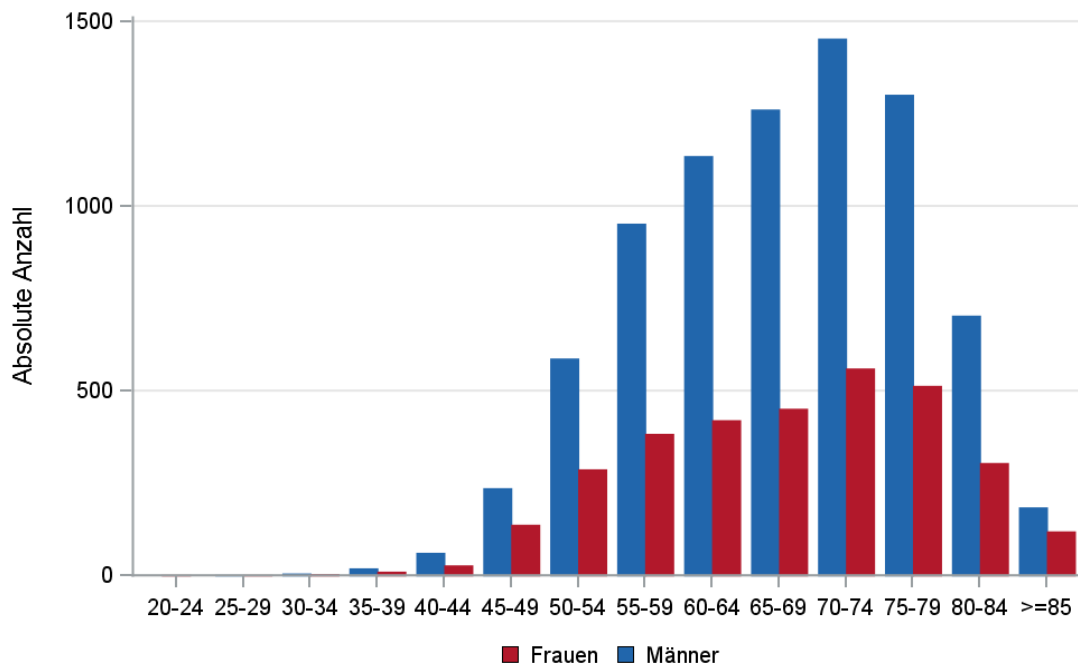
Tab. 19.3. C34: Absolute Anzahl und prozentualer Anteil der Neuerkrankungen nach Landkreisen

Landkreis	2008		2009		2010		2011		2012		2013		2014		2015		2016		2017		2018		Summe	
	Anzahl	%	Anzahl	%	Anzahl	%	Anzahl	%	Anzahl	%	Anzahl	%	Anzahl	%	Anzahl	%	Anzahl	%	Anzahl	%	Anzahl	%	Anzahl	%
Landkreis Rostock	121	12,6	125	12,8	113	11,3	132	13,0	129	12,7	114	11,2	146	13,7	137	14,1	160	16,3	171	15,4	110	11,0	1458	13,1
Ludwigslust-Parchim	100	10,4	102	10,4	113	11,3	89	8,8	113	11,1	131	12,9	152	14,2	131	13,5	134	13,7	126	11,3	121	12,1	1312	11,8
Mecklenburgische Seenplatte	158	16,4	144	14,7	152	15,1	177	17,5	156	15,4	153	15,0	139	13,0	109	11,2	76	7,8	151	13,6	155	15,5	1570	14,1
Nordwestmecklenburg	80	8,3	88	9,0	79	7,9	68	6,7	79	7,8	90	8,8	105	9,8	88	9,1	98	10,0	88	7,9	103	10,3	966	8,7
Rostock	111	11,5	124	12,7	150	14,9	119	11,7	124	12,2	115	11,3	115	10,8	114	11,8	131	13,4	136	12,2	122	12,2	1361	12,2
Schwerin	66	6,9	56	5,7	62	6,2	63	6,2	70	6,9	69	6,8	62	5,8	88	9,1	63	6,4	67	6,0	66	6,6	732	6,6
Vorpommern-Greifswald	166	17,3	169	17,3	168	16,7	204	20,1	170	16,7	173	17,0	175	16,4	145	15,0	145	14,8	184	16,6	177	17,7	1876	16,9
Vorpommern-Rügen	151	15,7	166	17,0	160	15,9	157	15,5	168	16,6	162	15,9	170	15,9	157	16,2	168	17,2	187	16,8	140	14,0	1786	16,1
nicht zuordenbar	9	0,9	3	0,3	7	0,7	5	0,5	6	0,6	10	1,0	3	0,3	0	0	4	0,4	1	0,1	5	0,5	53	0,5
Summe	962	100,0	977	100,0	1004	100,0	1014	100,0	1015	100,0	1017	100,0	1067	100,0	969	100,0	979	100,0	1111	100,0	999	100,0	11114	100,0

19.2.3 Rohe und standardisierte Neuerkrankungsraten pro 100.000 Einwohner in den Jahren 2008-2018 (Wohnort)

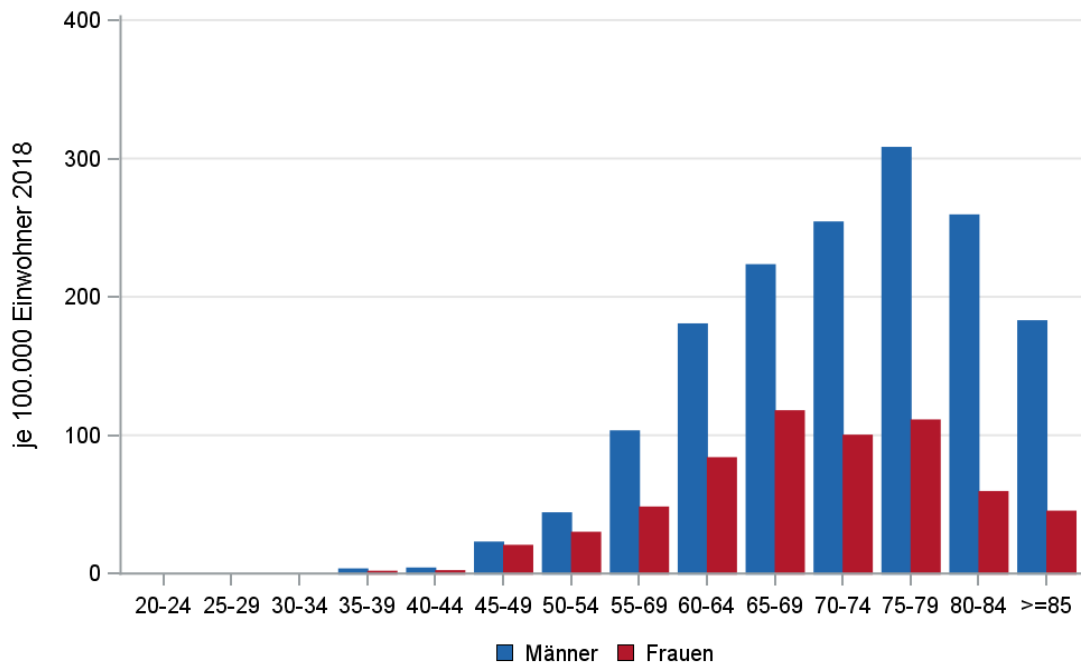
Tab. 19.4. C34: Neuerkrankungsrate/100.000 Einwohner (Alter > 19)

Diagnosejahr	Männer			Frauen		
	absolute Anzahl der Neuerkrankungen	rohe Rate in M-V	altersstandardisierte Rate	absolute Anzahl der Neuerkrankungen	rohe Rate in M-V	altersstandardisierte Rate
2008	706	102,0	84,7	256	35,8	25,4
2009	728	105,4	84,3	249	34,9	24,7
2010	740	107,2	83,8	264	37,1	26,5
2011	736	109,7	83,4	278	39,7	27,8
2012	752	112,8	84,0	263	37,8	25,2
2013	715	107,9	80,0	302	43,6	29,7
2014	768	116,4	83,4	299	43,4	29,5
2015	671	101,5	71,8	298	43,3	28,7
2016	666	100,8	69,6	313	45,5	30,0
2017	748	113,7	77,7	363	52,9	34,4
2018	668	101,9	67,2	331	48,3	31,0
2008-2018	7898	107,2	79,1	3216	42,0	28,4



© KKR-MV 2020

Abb. 19.3. C34: Absolute Anzahl der Neuerkrankungen aufgelistet in 5-Jahres-Altersgruppen und nach Geschlecht im Diagnosezeitraum 2008 bis 2018 (Wohnort)



© KKR-MV 2020

Abb. 19.4. C34: Altersspezifische Rate der Neuerkrankungen je 100.000 Einwohner (Diagnosejahr 2018) nach 5-Jahres-Altersgruppen und Geschlecht (Wohnort)

19.2.4 Alter der in den Jahren 2008 - 2018 in M-V neuerkrankten Patienten (Behandlungsort)

Tab. 19.5. C34: Erkrankungsalter (Behandlungsort)

Diagnosejahr	Männer				Frauen			
	Anzahl	Median	Minimum	Maximum	Anzahl	Median	Minimum	Maximum
2008	736	69	31	93	266	69	41	93
2009	755	68	34	90	255	69	41	87
2010	777	69	36	91	277	68	33	86
2011	772	69	36	89	292	68	23	89
2012	795	69	40	94	275	70	44	92
2013	756	68	34	92	317	69	37	91
2014	797	69	31	93	309	67	37	90
2015	703	67	33	90	323	69	28	94
2016	707	68	29	90	326	67	31	95
2017	783	67	34	90	385	68	42	95
2018	700	68	38	91	346	67	39	93

19.2.5 Absolute Anzahl der erfassten Neuerkrankungen in M-V in den Jahren 2008 – 2018 nach Lokalisation

Tab. 19.6. C34: Absolute Anzahl und prozentualer Anteil der Neuerkrankungen nach der Lokalisation (Behandlungsort)

Lokalisation	2008	2009	2010	2011	2012	2013	2014	2015	2016	2017	2018	Summe	
												Anzahl	%
C34.0 Hauptbronchus	82	71	74	90	90	91	103	65	95	65	62	888	7,6
C34.01 Carina	6	1	6	6	7	2	0	5	1	5	2	41	0,4
C34.02 Zwischenbronchus	24	30	29	19	27	20	10	17	21	20	10	227	1,9
C34.1 Lungenoberlappen (einschl. Lingula und Oberlappenbronchus)	437	429	473	495	509	497	534	478	498	555	549	5454	46,8
C34.2 Lungenmittellappen (einschl. Mittellappenbronchus)	35	53	50	49	40	43	51	45	57	49	55	527	4,5
C34.3 Lungenunterlappen (einschl. Unterlappenbronchus)	249	240	247	234	249	256	270	275	255	330	257	2862	24,5
C34.8 Lunge (mehrere Teilbereiche überlappend)	41	49	49	55	50	39	41	38	31	61	49	503	4,3
C34.9 Lunge o.n.A., Bronchus o.n.A.	129	138	126	116	98	125	97	104	77	85	63	1158	9,9
Summe	1003	1011	1054	1064	1070	1073	1106	1027	1035	1170	1047	11660	100,0

19.2.6 Histologische Befunde bei allen neuerkrankten Patienten in M-V in den Jahren 2008 – 2018

Die Einteilung in die Gruppen basiert auf der WHO-Klassifikation der Lungentumoren (Travis, 2015).

Tab. 19.7. C34: Histologische Befunde bei neuerkrankten Patienten (Behandlungsort)

Histologiecode	Anzahl	Prozent
8140/3: Adenokarzinom o.n.A.	3772	32,4
8550/3: Azinuszellkarzinom	201	1,7
8230/3: Solides Karzinom o.n.A.	121	1,0
8260/3: Papilläres Adenokarzinom o.n.A.	102	0,9
8255/3: Adenokarzinom mit gemischten Subtypen	87	0,8
8480/3: Muzinöses Adenokarzinom	58	0,5
8250/3: Bronchiolo-alveoläres Adenokarzinom o.n.A.	55	0,5
8551/3: Azinuszell-Zystadenokarzinom	50	0,4
8253/3: Muzinöses bronchiolo-alveoläres Karzinom	27	0,2
8481/3: Schleimbildendes Adenokarzinom	22	0,2
8252/3: Nichtmuzinöses bronchiolo-alveoläres Karzinom	16	0,1
8211/3: Tubuläres Adenokarzinom	13	0,1
8310/3: Klarzelliges Adenokarzinom o.n.A.	10	0,1
8254/3: Gemischtes muzinöses und nichtmuzinöses bronchiolo-alveoläres Karzinom	8	0,1
8144/3: Adenokarzinom vom intestinalen Typ	5	0,0
8263/3: Adenokarzinom in tubulovillösem Adenom	5	0,0
8574/3: Adenokarzinom mit neuroendokriner Differenzierung	5	0,0
8265/3: Mikropapilläres Karzinom o.n.A.	4	0,0
8323/3: Gemischtzelliges Adenokarzinom	4	0,0
8251/3: Alveoläres Adenokarzinom	3	0,0
8490/3: Siegelringzellkarzinom	3	0,0
8576/3: Hepatoides Adenokarzinom	3	0,0
8500/3: Invasives duktales Karzinom o.n.A.	2	0,0

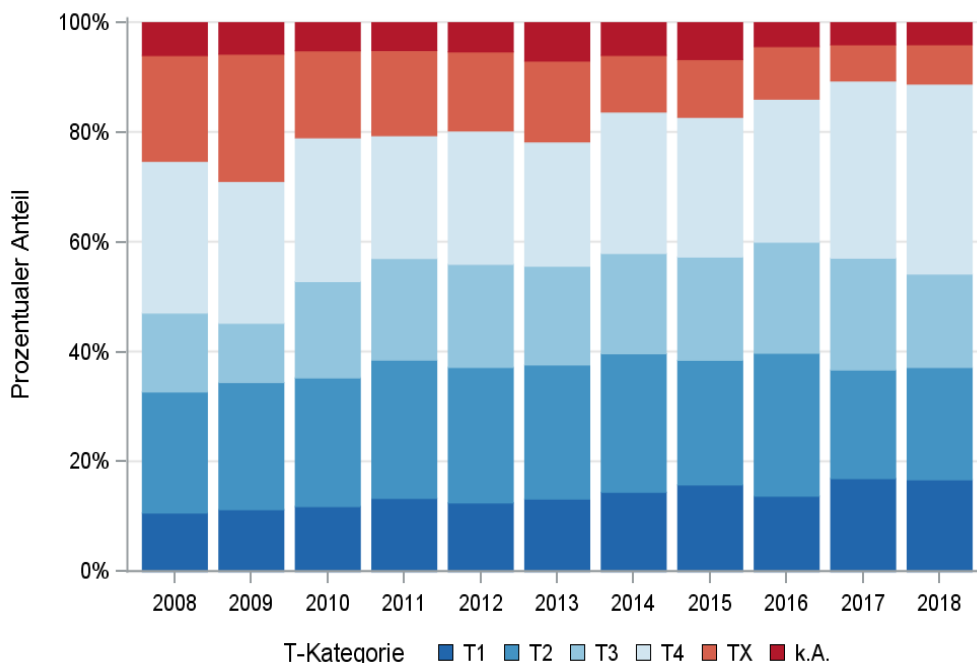
Histologiecode	Anzahl	Prozent
8141/3: Szirrhöses Adenokarzinom	1	0,0
8145/3: Diffuses Karzinom	1	0,0
8333/3: Fetales Adenokarzinom	1	0,0
8401/3: Apokrines Adenokarzinom	1	0,0
8503/3: Intraduktales papilläres Adenokarzinom mit Invasion	1	0,0
Adenokarzinome (Gruppe C)	4581	39,3
8070/3: Plattenepithelkarzinom o.n.A.	1817	15,6
8072/3: Großzelliges nichtverhornendes Plattenepithelkarzinom o.n.A.	1014	8,7
8071/3: Verhornendes Plattenepithelkarzinom o.n.A.	549	4,7
8083/3: Basaloides Plattenepithelkarzinom	30	0,3
8073/3: Kleinzelliges nichtverhornendes Plattenepithelkarzinom	13	0,1
8123/3: Basaloidkarzinom	10	0,1
8052/3: Nichtinvasives papilläres Plattenepithelkarzinom	3	0,0
8074/3: Spindelzelliges Plattenepithelkarzinom	3	0,0
8075/3: Adenoides Plattenepithelkarzinom	2	0,0
8050/3: Papilläres Karzinom o.n.A.	1	0,0
8084/3: Klarzelliges Plattenepithelkarzinom	1	0,0
Plattenepithelkarzinome (Gruppe B)	3443	29,6
8041/3: Kleinzelliges Karzinom o.n.A.	2089	17,9
8013/3: Großzelliges neuroendokrines Karzinom	137	1,2
8045/3: Kombiniertes kleinzelliges Karzinom	39	0,3
8042/3: Haferzell-Karzinom	24	0,2
8044/3: Kleinzelliges Karzinom vom Intermediärtyp	14	0,1
8043/3: Kleinzelliges spindelzelliges Karzinom	3	0,0
Kleinzellige (SCLC) und großzellige neuroendokrine Karzinome (LCNLC) (Gruppe A)	2306	19,8
8046/3: Nichtkleinzelliges Karzinom	517	4,4
8012/3: Großzelliges Karzinom o.n.A.	292	2,5
8014/3: Großzelliges Karzinom mit rhabdoidem Phänotyp	1	0,0
großzellige Karzinome (Gruppe D)	810	7,0
8010/3: Karzinom o.n.A.	187	1,6
8020/3: Undifferenziertes Karzinom o.n.A.	43	0,4
8021/3: Anaplastisches Karzinom o.n.A.	9	0,1
epitheliale Neoplasien o.n.A. (Gruppe D)	239	2,1
8560/3: Adenosquamöses Karzinom	147	1,3
gemischte Adeno-Plattenepithelkarzinome (Gruppe D)	147	1,3
8022/3: Pleomorphes Karzinom	52	0,5
8033/3: Pseudosarkomatöses Karzinom	28	0,2
8980/3: Karzinosarkom o.n.A.	10	0,1
8032/3: Spindelzellkarzinom o.n.A.	7	0,1
8031/3: Riesenzellkarzinom	6	0,1
8972/3: Lungenblastom	3	0,0
sarkomatoide Karzinome (Gruppe D)	106	0,9
8430/3: Mukoepidermoid-Karzinom	13	0,1
8200/3: Adenoid-zystisches Karzinom	4	0,0
8562/3: Epithelial-myoepitheliales Karzinom	1	0,0
Bronchialdrüsen Karzinome (Gruppe D)	18	0,2
8082/3: Lymphoepitheliales Karzinom	2	0,0
andere Karzinome und unklassifizierte Karzinome (Gruppe D)	2	0,0

19.2.7 Tumorgröße und Ausdehnung (TNM)

Tab. 19.8. C34: Absolute Anzahl der Neuerkrankungen klassifiziert nach der Tumorgröße in Bezug zu der Auflage der TNM-Klassifikation (Behandlungsort)

Tumorgröße (T)	TNM Auflage 6		TNM Auflage 7		TNM Auflage 8		k.A. zur TNM Auflage		Summe	
	Anzahl	%	Anzahl	%	Anzahl	%	Anzahl*	%	Anzahl	%
T1	194	10,9	1049	14,4	358	18,2	-	-	1601	13,7
T2	437	24,6	1867	25,6	418	21,2	-	-	2722	23,4
T3	250	14,1	1425	19,6	374	19,0	-	-	2049	17,6
T4	532	30,0	1899	26,1	678	34,4	-	-	3109	26,7
TX	362	20,4	1038	14,3	144	7,3	-	-	1544	13,3
k.A.	1	0,1	1	0,0	0	0	625	100,0	627	5,4
Summe	1776	100,0	7279	100,0	1972	100,0	625	100,0	11652	100,0

*In einzelnen Fällen wurden Angaben zur Tumorgröße ohne Bezug zu einer TNM Auflage gemacht. Diese Angaben wurden in die Kategorie k.A. aufgenommen.



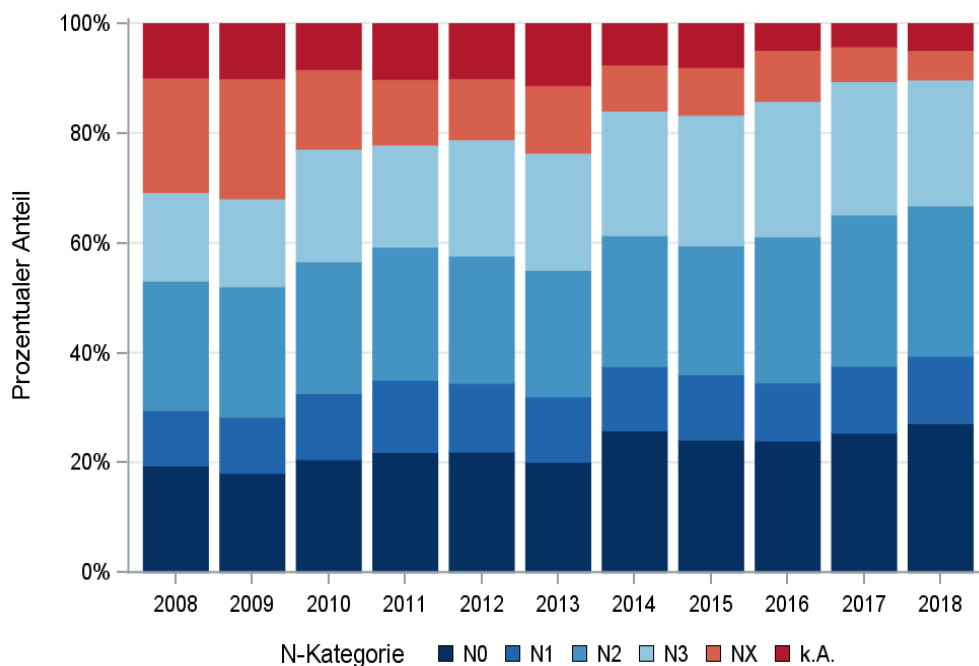
© KKR-MV 2020

Abb. 19.5. C34: Prozentualer Anteil der Neuerkrankungen nach der Tumorgröße im Diagnosezeitraum 2008 bis 2018

Tab. 19.9. C34: Absolute Anzahl der Neuerkrankungen mit bzw. ohne Befall der regionären Lymphknoten in Bezug zu der Auflage der TNM-Klassifikation (Behandlungsort)

N-Kategorie	TNM Auflage 6		TNM Auflage 7		TNM Auflage 8		k.A. zur TNM Auflage		Summe	
	Anzahl	%	Anzahl	%	Anzahl	%	Anzahl*	%	Anzahl	%
N0	359	20,2	1731	23,8	552	28,0	-	-	2642	22,7
N1	188	10,6	922	12,7	253	12,8	-	-	1363	11,7
N2	457	25,7	1851	25,4	563	28,5	-	-	2871	24,6
N3	314	17,7	1678	23,1	476	24,1	-	-	2468	21,2
NX	403	22,7	848	11,6	118	6,0	-	-	1369	11,7
k.A.	55	3,1	249	3,4	10	0,5	625	100,0	939	8,1
Summe	1776	100,0	7279	100,0	1972	100,0	625	100,0	11652	100,0

*In einzelnen Fällen wurden Angaben zur N-Kategorie ohne Bezug zu einer TNM Auflage gemacht. Diese Angaben wurden in die Kategorie k.A. aufgenommen.



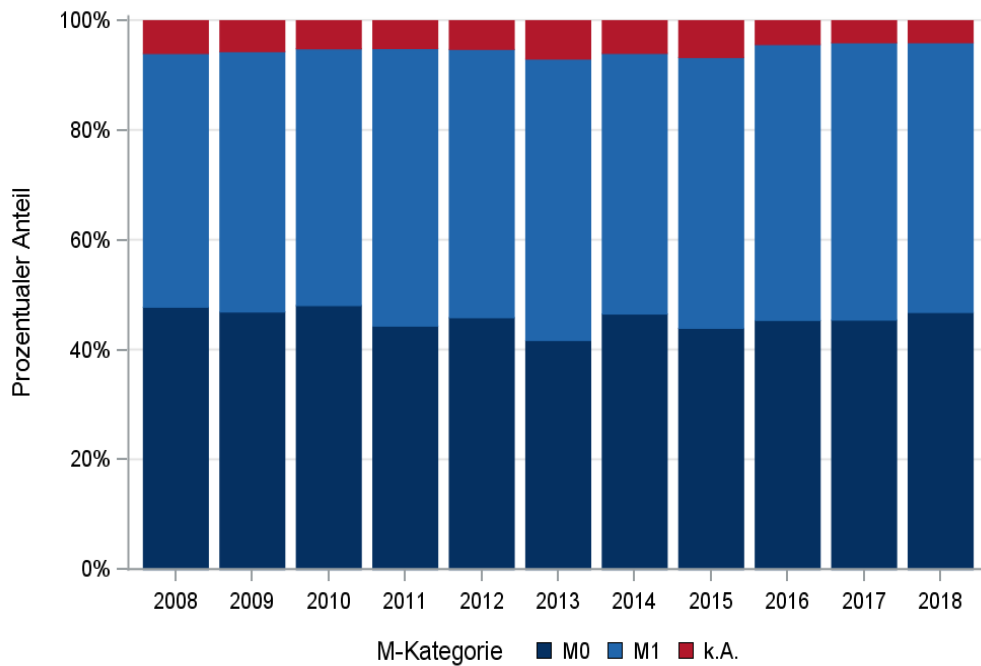
© KKR-MV 2020

Abb. 19.6. C34: Prozentualer Anteil der Neuerkrankungen mit und ohne Befall der regionären Lymphknoten zum Zeitpunkt der Erstdiagnose im Diagnosezeitraum 2008 bis 2018

Tab. 19.10. C34: Absolute Anzahl der Neuerkrankungen mit Fernmetastasierung in Bezug zu der Auflage der TNM-Klassifikation (Behandlungsort)

M-Kategorie	TNM Auflage 6		TNM Auflage 7		TNM Auflage 8		k.A. zur TNM Auflage		Summe	
	Anzahl	%	Anzahl	%	Anzahl	%	Anzahl*	%	Anzahl	%
M0	873	49,2	3499	48,1	955	48,4	-	-	5327	45,7
M1	903	50,8	3780	51,9	1017	51,6	-	-	5700	48,9
k.A.	0	0	0	0	0	0	625	100,0	625	5,4
Summe	1776	100,0	7279	100,0	1972	100,0	625	100,0	11652	100,0

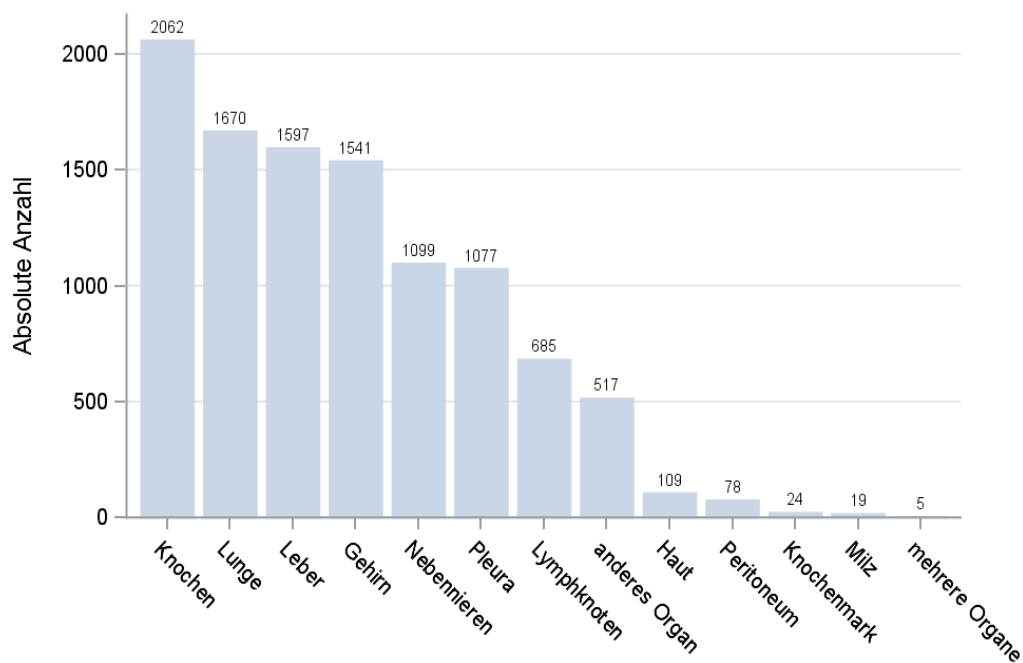
*In einzelnen Fällen wurden Angaben zur M-Kategorie ohne Bezug zu einer TNM Auflage gemacht. Diese Angaben wurden in die Kategorie k.A. aufgenommen.



© KKR-MV 2020

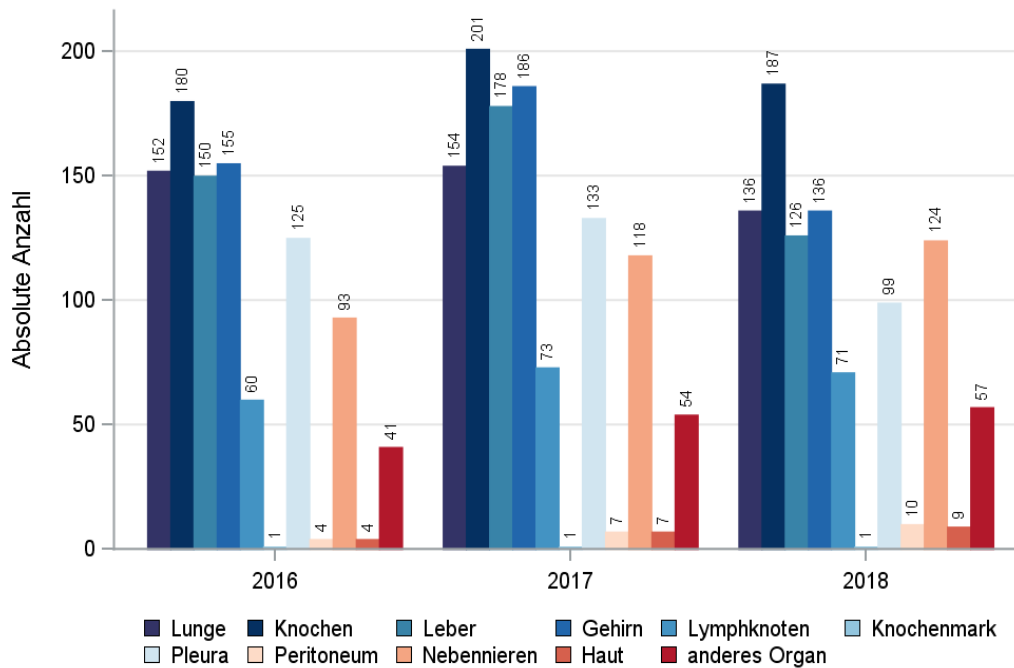
Abb. 19.7. C34: Prozentualer Anteil der primären Fernmetastasierung im Diagnosezeitraum 2008 bis 2018

19.2.8 Lokalisation der Fernmetastasen



© KKR-MV 2020

Abb. 19.8. C34: Lokalisation der Fernmetastasen bei Neuerkrankungen im Diagnosezeitraum 2008 bis 2018



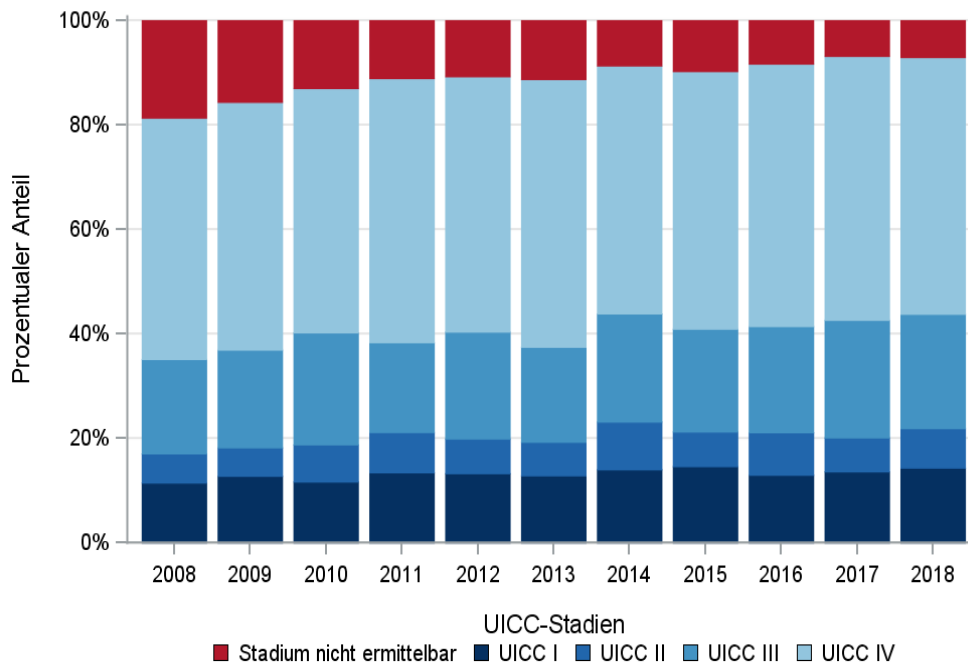
© KKR-MV 2020

Abb. 19.9. C34: Lokalisation der Fernmetastasen bei Neuerkrankungen für die Diagnosejahre 2016 bis 2018

19.2.9 Tumorstadien nach UICC

Tab. 19.11. C34: Primäre UICC-Stadien (Behandlungsort)

Jahre	UICC I		UICC II		UICC III		UICC IV		Stadium nicht ermittelbar		Summe	
	Anzahl	%	Anzahl	%	Anzahl	%	Anzahl	%	Anzahl	%	Anzahl	%
2008	115	11,5	56	5,6	181	18,1	463	46,2	187	18,7	1002	100,0
2009	129	12,8	55	5,4	189	18,7	479	47,4	158	15,6	1010	100,0
2010	123	11,7	75	7,1	226	21,4	493	46,8	137	13,0	1054	100,0
2011	143	13,4	82	7,7	183	17,2	538	50,6	118	11,1	1064	100,0
2012	142	13,3	71	6,6	219	20,5	523	48,9	115	10,7	1070	100,0
2013	138	12,9	69	6,4	195	18,2	550	51,3	121	11,3	1073	100,0
2014	155	14,0	101	9,1	229	20,7	525	47,5	96	8,7	1106	100,0
2015	150	14,6	68	6,6	202	19,7	506	49,3	100	9,7	1026	100,0
2016	134	13,0	84	8,1	210	20,3	519	50,2	86	8,3	1033	100,0
2017	159	13,6	76	6,5	263	22,5	590	50,5	80	6,8	1168	100,0
2018	150	14,3	79	7,6	229	21,9	514	49,1	74	7,1	1046	100,0
Summe	1538	13,2	816	7,0	2326	20,0	5700	48,9	1272	10,9	11652	100,0



© KKR-MV 2020

Abb. 19.10. C34: Prozentuale Anteile der UICC-Tumorstadien in den Diagnosejahren 2008 bis 2018

19.2.10 Dokumentierte Therapie bis max. 12 Monate nach Diagnosestellung

19.2.10.1 Therapiekombinationen, Stellung der Therapie und Intention der dokumentierten Therapien

Tab. 19.12. C34: Therapiekombinationen (Operation, Strahlentherapie, systemische Therapie) pro Diagnosejahr (Behandlungsort)

Therapiekombinationen	2008	2009	2010	2011	2012	2013	2014	2015	2016	2017	2018	Summe
Alleinige Operation	109	104	132	153	140	121	147	125	123	154	134	1442
Alleinige systemische Therapie	250	262	270	310	289	285	326	302	297	329	300	3220
Alleinige Strahlentherapie	101	106	98	104	106	117	113	119	112	132	83	1191
Operation und systemische Therapie, keine Strahlentherapie	72	73	78	81	76	78	84	50	68	63	69	792
Operation und Strahlentherapie, keine systemische Therapie	9	4	5	5	7	4	7	7	7	4	6	65
Systemische Therapie und Strahlentherapie, keine Operation	206	174	214	174	202	176	184	166	153	185	177	2011
Operation und systemische Therapie und Strahlentherapie	15	23	18	17	28	29	26	31	26	27	16	256
Keine Operation, systemische Therapie oder Strahlentherapie	240	264	239	220	222	263	219	226	247	274	261	2675
Summe	1002	1010	1054	1064	1070	1073	1106	1026	1033	1168	1046	11652

Tab. 19.13. C34: Therapiekombinationen (Operation, Strahlentherapie, systemische Therapie) in Abhängigkeit von dem UICC-Stadium (Behandlungsort)

Therapiekombinationen	UICC I	UICC II	UICC III	UICC IV	Stadium nicht ermittelbar	Summe
Alleinige Operation	967	202	119	47	107	1442
Alleinige systemische Therapie	23	29	301	2643	224	3220
Alleinige Strahlentherapie	256	98	375	363	99	1191
Operation und systemische Therapie, keine Strahlentherapie	124	288	240	90	50	792
Operation und Strahlentherapie, keine systemische Therapie	12	18	26	5	4	65
Systemische Therapie und Strahlentherapie, keine Operation	56	84	800	904	167	2011
Operation und systemische Therapie und Strahlentherapie	13	33	178	19	13	256
Keine Operation, systemische Therapie oder Strahlentherapie	87	64	287	1629	608	2675
Summe	1538	816	2326	5700	1272	11652

Tab. 19.14 C34: Stellung der Strahlentherapie zur operativen Therapie im ersten Jahr der Erkrankung (adjuvant/neoadjuvant, Behandlungsort)

Stellung der Strahlentherapie zur operativen Therapie	2008	2009	2010	2011	2012	2013	2014	2015	2016	2017	2018	Summe
Adjuvante (postoperative) Strahlentherapie	11	15	8	6	14	10	27	24	26	23	16	180
Neoadjuvante (präoperative) Strahlentherapie	1	4	1	5	7	4	3	2	4	2	2	35
Therapie ohne Bezug zu einer operativen Therapie	0	2	3	0	2	7	1	7	3	6	4	35
unbekannt	12	6	11	11	12	12	2	5	0	0	0	71
Summe	24	27	23	22	35	33	33	38	33	31	22	321

Tab. 19.15a. C34: Intention bei der ersten Operation (Behandlungsort)

Intention der Operation	2008	2009	2010	2011	2012	2013	2014	2015	2016	2017	2018	Summe
Kurativ	163	159	188	231	221	199	215	179	173	215	183	2126
Palliativ bzw. symptomatisch	11	6	11	12	11	12	13	13	13	6	13	121
Sonstige/Unbekannt/Keine Angabe	31	39	34	13	19	21	36	21	38	27	29	308
Summe	205	204	233	256	251	232	264	213	224	248	225	2555

Tab. 19.15b. C34: Intention der initialen Bestrahlung (Behandlungsort)

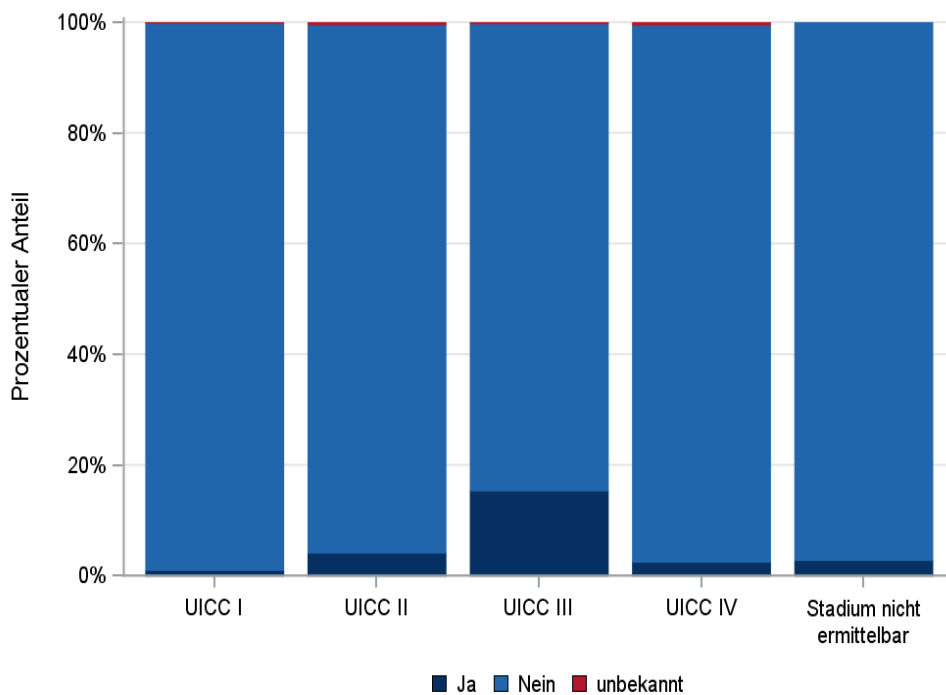
Intention der Bestrahlung	2008	2009	2010	2011	2012	2013	2014	2015	2016	2017	2018	Summe
Palliativ bzw. symptomatisch	70	84	83	65	74	87	142	130	127	173	124	1159
Kurativ	34	48	46	43	73	65	111	135	147	158	158	1018
Sonstige/Unbekannt/Keine Angabe	227	175	206	192	196	174	77	58	24	17	0	1346
Summe	331	307	335	300	343	326	330	323	298	348	282	3523

Tab. 19.15c. C34: Intention bei der ersten systemischen Therapie (Behandlungsort)

Intention der systemischen Therapie	2008	2009	2010	2011	2012	2013	2014	2015	2016	2017	2018	Summe
Palliativ bzw. symptomatisch	307	273	306	341	327	283	313	296	357	405	392	3600
Kurativ	139	145	166	149	145	126	137	130	132	153	165	1587
Sonstige/Unbekannt/Keine Angabe	97	114	107	92	123	159	170	124	55	46	5	1092
Summe	543	532	580	582	595	568	620	549	544	604	562	6279

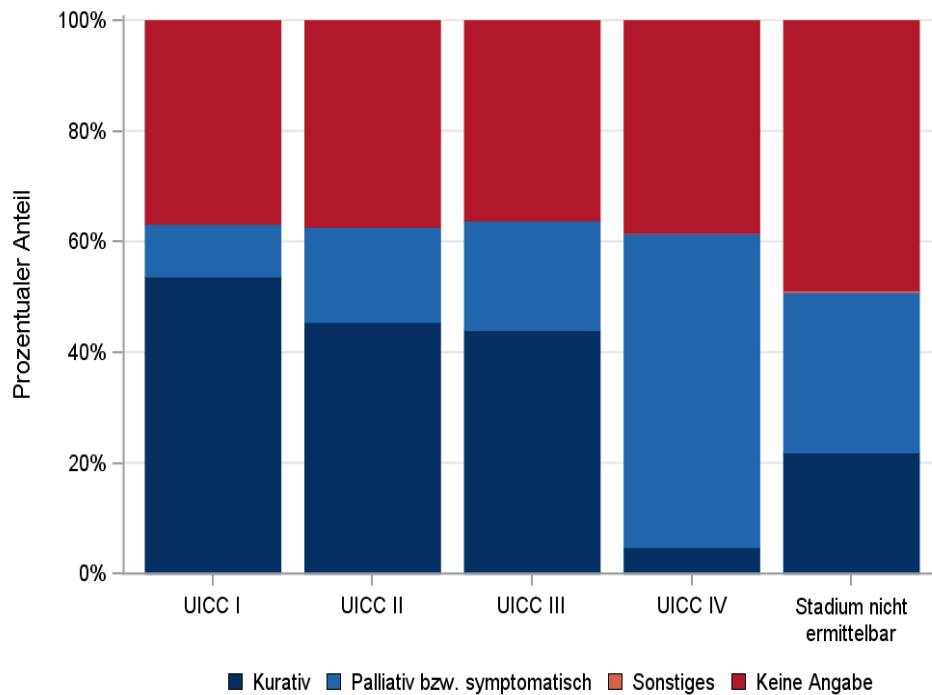
Tab. 19.16. C34: Zeitraum zwischen Diagnose und Beginn der ersten Therapie nach Therapieart (Angaben in Tagen, Behandlungsort)

Therapie	Anzahl	Median	Minimum	Maximum
Diagnose und erste Operation	2555	21	0	365
Diagnose und erste Bestrahlung	3523	48	0	363
Diagnose und erste system. Therapie	6279	27	0	365



© KKR-MV 2020

Abb.19.11. C34: Durchführung der Radiochemotherapie nach UICC-Klassifikation



© KKR-MV 2020

Abb. 19.12. C34: Intention der ersten Bestrahlung nach UICC-Klassifikation

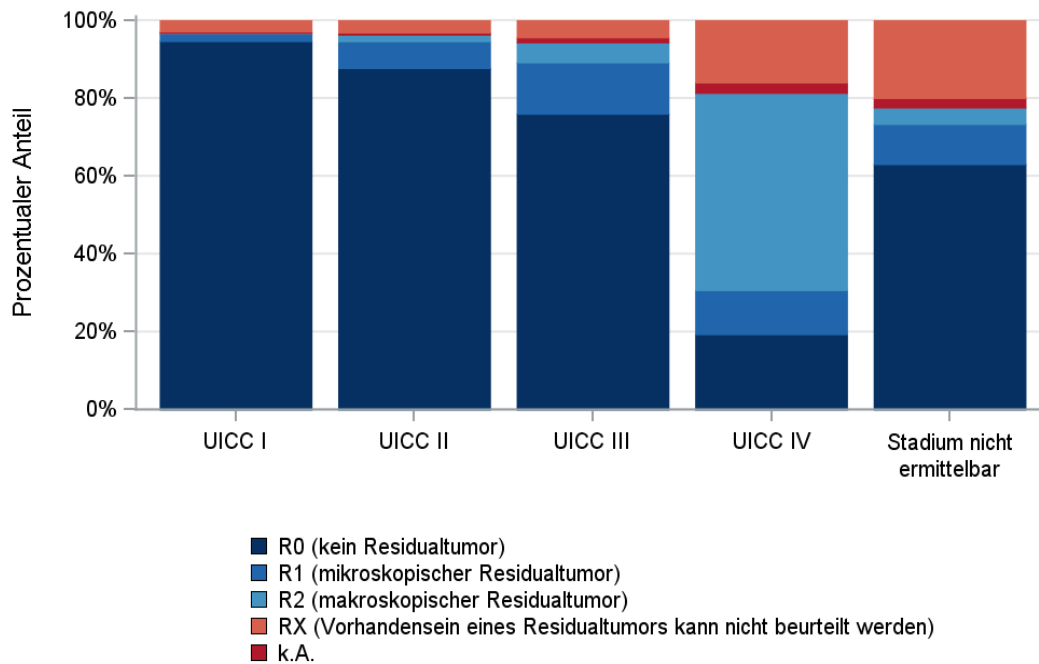
19.2.10.2 Dokumentierte tumorspezifische Operation bis max.12 Monate nach Diagnosestellung

Tab. 19.17. C34: Dokumentierte tumorspezifische Operation nach UICC (Behandlungsort)

Operationen	UICC I	UICC II	UICC III	UICC IV	Stadium nicht ermittelbar	Summe	
						Anzahl	%
Tumorresektion	1090	532	532	148	162	2464	96,4
Tumor- und Lymphknotenresektion	11	5	13	2	3	34	1,3
Lymphknotenresektion	0	0	2	0	1	3	0,1
sonstige OP	7	2	7	11	3	30	1,2
keine Angabe	8	2	9	0	5	24	0,9
Summe	1116	541	563	161	174	2555	100,0

Tab. 19.18. C34: Residualklassifikation nach Tumorresektion im Diagnosezeitraum 2008-2018

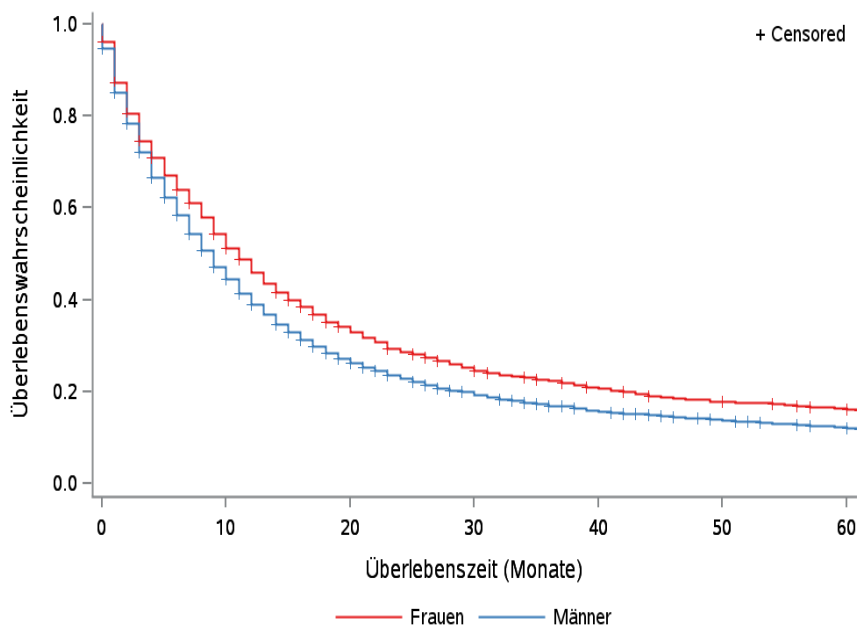
R-Klassifikation	UICC I	UICC II	UICC III	UICC IV	Stadium nicht ermittelbar	Summe	
						Anzahl	%
R0 (kein Residualtumor)	1042	471	414	29	104	2060	82,5
R1 (mikroskopischer Residualtumor)	21	37	72	17	17	164	6,6
R2 (makroskopischer Residualtumor)	2	9	28	76	7	122	4,9
RX (Vorhandensein eines Residualtumors kann nicht beurteilt werden)	32	17	24	24	33	130	5,2
keine Angabe	4	3	7	4	4	22	0,9
Summe	1101	537	545	150	165	2498	100,0



© KKR-MV 2020

Abb. 19.13. C34: Residualklassifikation nach Tumorresektion in Abhängigkeit von UICC-Tumorstadium im Diagnosezeitraum 2008 bis 2018

19.2.11 Überlebensanalysen bei den in den Jahren 2008 – 2013 primär diagnostizierten Patienten

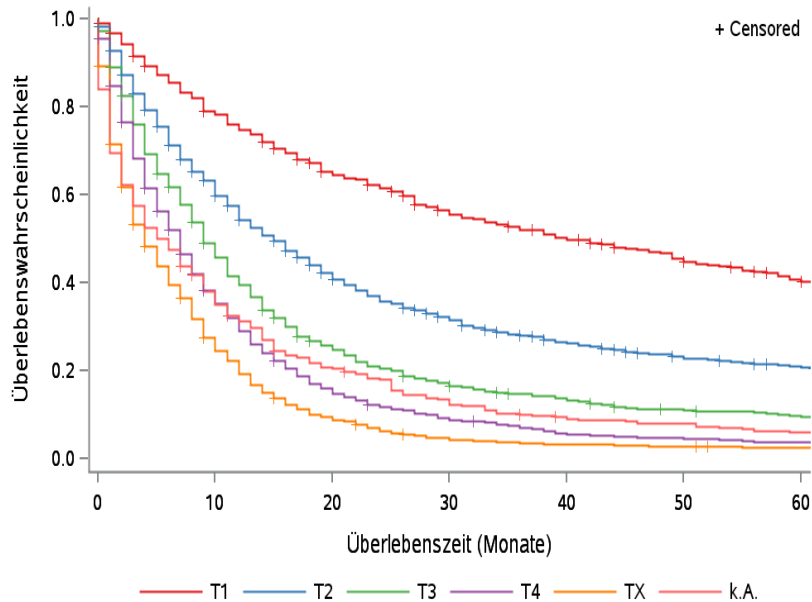


© KKR-MV 2020

Abb. 19.14. C34: Wahrscheinlichkeit des Überlebens (Kaplan-Meier-Analyse) nach Geschlecht im Diagnosezeitraum von 2008 bis 2013 (Wohnort). Kaplan-Meier-Kurven werden für Kategorien mit weniger als 10 Neuerkrankungen nicht dargestellt.

Tab. 19.19. C34: Anzahl der unter Risiko stehenden Neuerkrankungen (Monate nach Diagnose)

Geschlecht	0 Monate	20 Monate	40 Monate	60 Monate
Männer	4363	1149	652	485
Frauen	1611	535	318	241



© KKR-MV 2020

Abb. 19.15. C34: Wahrscheinlichkeit des Überlebens (Kaplan-Meier-Analyse) nach Tumorstadium im Diagnosezeitraum von 2008 bis 2013 (Wohnort). Kaplan-Meier-Kurven werden für Kategorien mit weniger als 10 Neuerkrankungen nicht dargestellt.

Tab. 19.20. C34: Anzahl der unter Risiko stehenden Neuerkrankungen nach Tumorstadium (Monate nach Diagnose)

T-Kategorie	0 Monate	20 Monate	40 Monate	60 Monate
T1	727	466	348	274
T2	1428	578	351	269
T3	985	247	127	87
T4	1473	232	84	55
TX	1025	94	32	23
k.A.	336	67	28	18

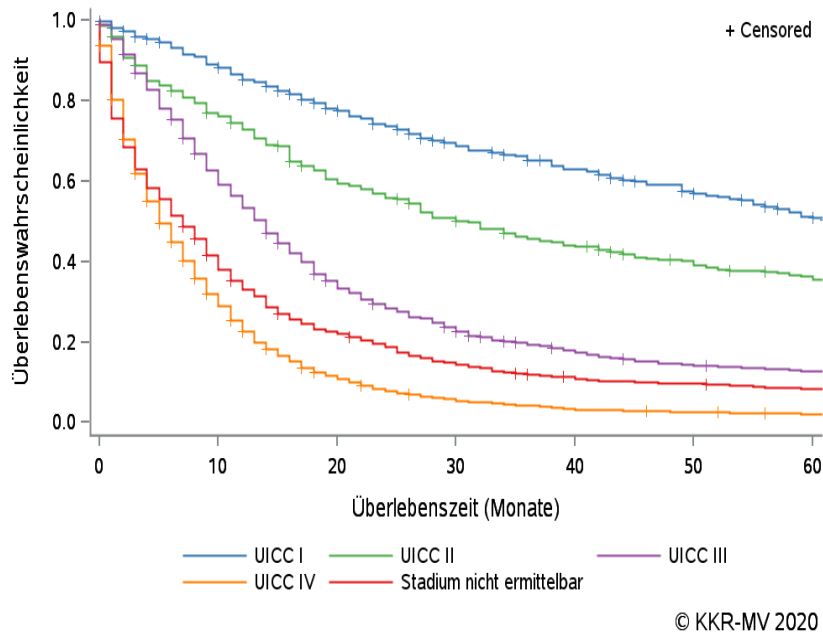


Abb. 19.16. C34: Wahrscheinlichkeit des Überlebens (Kaplan-Meier-Analyse) nach UICC-Tumorstadium im Diagnosezeitraum von 2008 bis 2013 (Wohnort). Kaplan-Meier-Kurven werden für Kategorien mit weniger als 10 Neuerkrankungen nicht dargestellt.

Tab. 19.21. C34: Anzahl der unter Risiko stehenden Neuerkrankungen nach UICC-Stadium (Monate nach Diagnose)

UICC-Stadium	0 Monate	20 Monate	40 Monate	60 Monate
UICC I	751	569	441	347
UICC II	386	225	160	126
UICC III	1138	390	193	136
UICC IV	2911	327	93	57
Stadium nicht ermittelbar	788	173	83	60

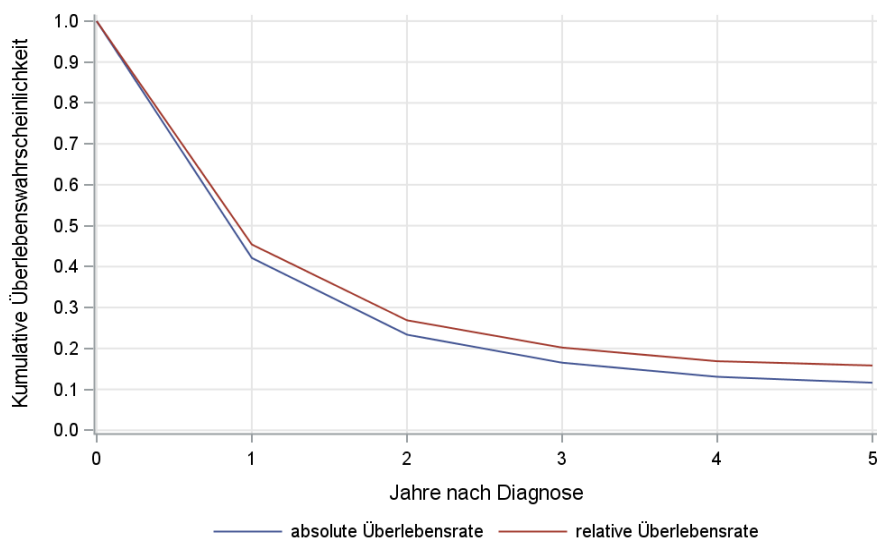


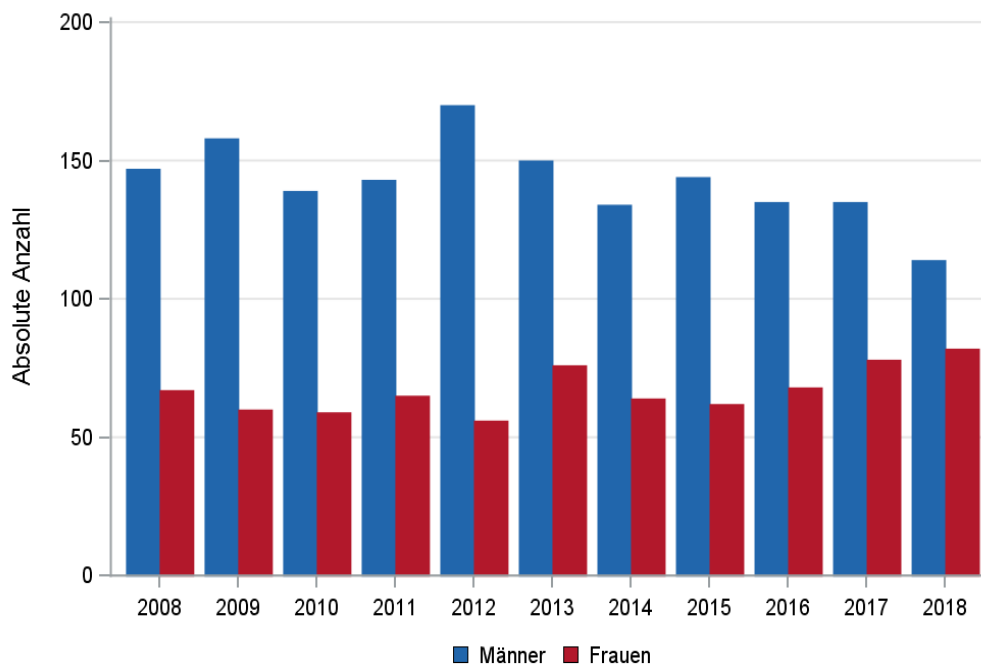
Abb. 19.17. C34: Absolutes und relatives Überleben im Diagnosezeitraum 2008 bis 2013 (Wohnort, Alter > 19)

19.3 Lunge (Gruppe A: Kleinzellige neuroendokrine (SCLC) und großzellige neuroendokrine Karzinome (LCNLC))

19.3.1 Absolute Anzahl der erfassten Neuerkrankungen in M-V in den Jahren 2008 – 2018 nach Geschlecht (Behandlungsort, Wohnort)

Tab. 19.A.1. C34: Absolute Anzahl der Neuerkrankungen nach Geschlecht (Behandlungsort)

Diagnosejahr	Männer		Frauen		Summe
	Anzahl	%	Anzahl	%	
2008	147	68,7	67	31,3	214
2009	158	72,5	60	27,5	218
2010	139	70,2	59	29,8	198
2011	143	68,8	65	31,3	208
2012	170	75,2	56	24,8	226
2013	150	66,4	76	33,6	226
2014	134	67,7	64	32,3	198
2015	144	69,9	62	30,1	206
2016	135	66,5	68	33,5	203
2017	135	63,4	78	36,6	213
2018	114	58,2	82	41,8	196
Summe	1569	68,0	737	32,0	2306

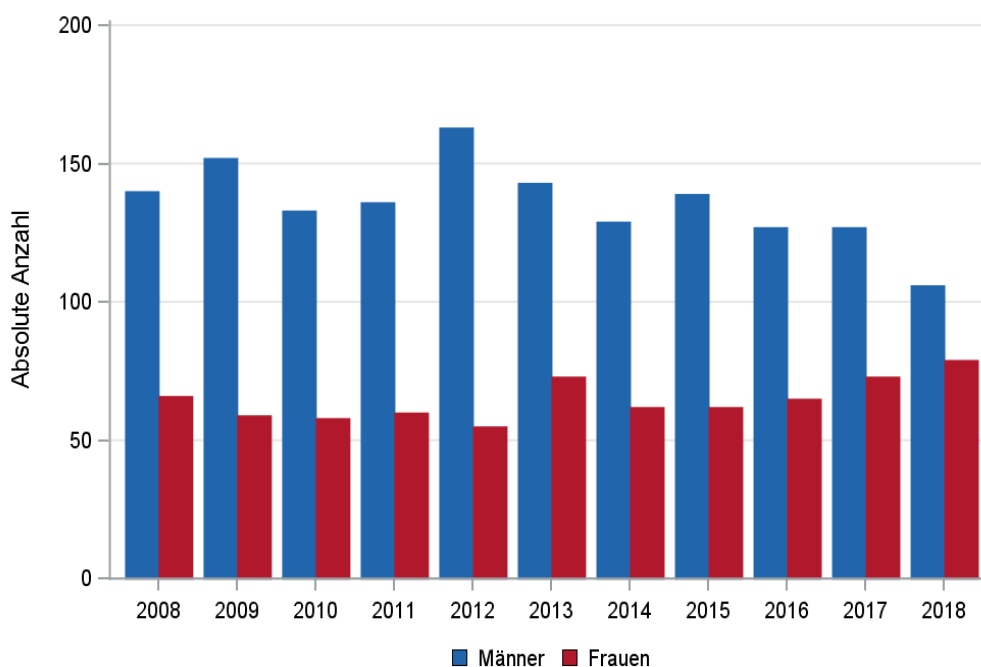


© KKR-MV 2020

Abb. 19.A.1. C34: Absolute Anzahl der Neuerkrankungen nach Geschlecht im Diagnosezeitraum 2008 bis 2018 (Behandlungsort)

Tab. 19.A.2. C34: Absolute Anzahl der Neuerkrankungen nach Geschlecht (Wohnort)

Diagnosejahr	Männer		Frauen		Summe
	Anzahl	%	Anzahl	%	
2008	140	68,0	66	32,0	206
2009	152	72,0	59	28,0	211
2010	133	69,6	58	30,4	191
2011	136	69,4	60	30,6	196
2012	163	74,8	55	25,2	218
2013	143	66,2	73	33,8	216
2014	129	67,5	62	32,5	191
2015	139	69,2	62	30,8	201
2016	127	66,1	65	33,9	192
2017	127	63,5	73	36,5	200
2018	106	57,3	79	42,7	185
Summe	1495	67,7	712	32,3	2207



© KKR-MV 2020

Abb. 19.A.2. C34: Absolute Anzahl der Neuerkrankungen nach Geschlecht im Diagnosezeitraum 2008 bis 2018 (Wohnort)

19.3.2 Absolute Anzahl der erfassten Neuerkrankungen in M-V in den Jahren 2008 – 2018 nach Landkreisen (Wohnort)

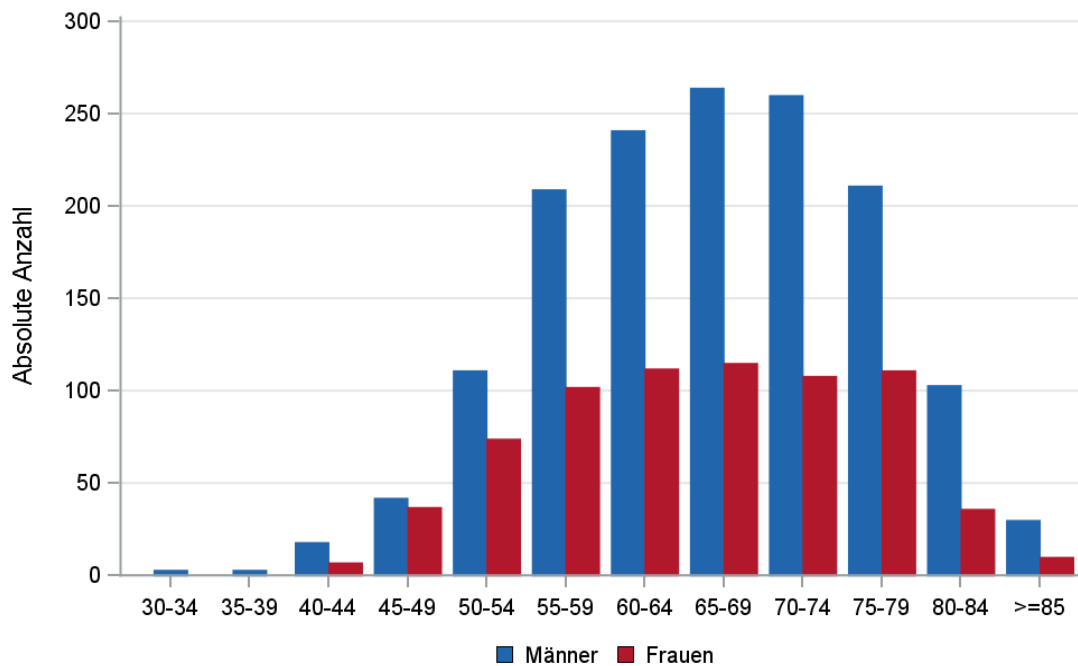
Tab. 19.A.3. C34: Absolute Anzahl und prozentualer Anteil der Neuerkrankungen nach Landkreisen

Landkreis	2008		2009		2010		2011		2012		2013		2014		2015		2016		2017		2018		Summe	
	Anzahl	%	Anzahl	%	Anzahl	%	Anzahl	%	Anzahl	%	Anzahl	%	Anzahl	%	Anzahl	%	Anzahl	%	Anzahl	%	Anzahl	%	Anzahl	%
Landkreis Rostock	37	18,0	26	12,3	21	11,0	22	11,2	27	12,4	31	14,4	22	11,5	22	10,9	36	18,8	29	14,5	19	10,3	292	13,2
Ludwigslust-Parchim	24	11,7	23	10,9	23	12,0	14	7,1	20	9,2	25	11,6	31	16,2	31	15,4	35	18,2	28	14,0	22	11,9	276	12,5
Mecklenburgische Seenplatte	39	18,9	39	18,5	27	14,1	34	17,3	35	16,1	33	15,3	24	12,6	18	9,0	21	10,9	22	11,0	42	22,7	334	15,1
Nordwestmecklenburg	12	5,8	21	10,0	17	8,9	14	7,1	14	6,4	14	6,5	19	9,9	20	10,0	17	8,9	14	7,0	18	9,7	180	8,2
Rostock	18	8,7	21	10,0	24	12,6	18	9,2	20	9,2	26	12,0	17	8,9	23	11,4	20	10,4	22	11,0	17	9,2	226	10,2
Schwerin	13	6,3	5	2,4	8	4,2	8	4,1	14	6,4	9	4,2	11	5,8	17	8,5	8	4,2	18	9,0	12	6,5	123	5,6
Vorpommern-Greifswald	31	15,0	37	17,5	37	19,4	42	21,4	43	19,7	37	17,1	32	16,8	35	17,4	23	12,0	36	18,0	28	15,1	381	17,3
Vorpommern-Rügen	32	15,5	37	17,5	33	17,3	42	21,4	44	20,2	38	17,6	33	17,3	35	17,4	32	16,7	31	15,5	25	13,5	382	17,3
nicht zuordenbar	0	0	2	0,9	1	0,5	2	1,0	1	0,5	3	1,4	2	1,0	0	0	0	0	0	0	2	1,1	13	0,6
Summe	206	100,0	211	100,0	191	100,0	196	100,0	218	100,0	216	100,0	191	100,0	201	100,0	192	100,0	200	100,0	185	100,0	2207	100,0

19.3.3 Rohe und standardisierte Neuerkrankungsraten pro 100.000 Einwohner in den Jahren 2008-2018 (Wohnort)

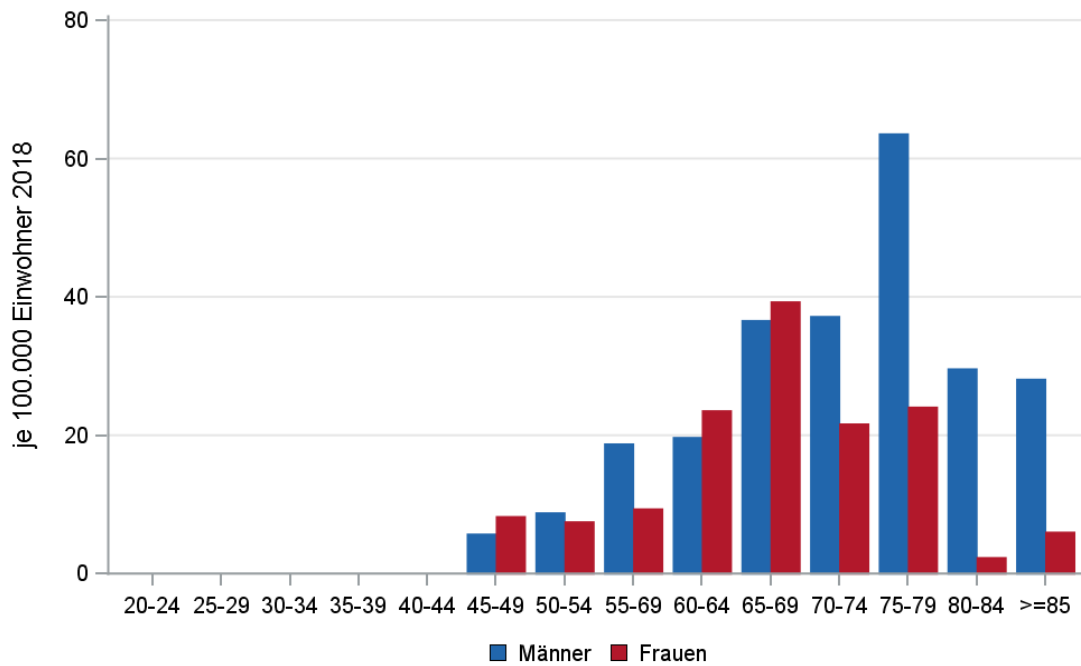
Tab. 19.A.4. C34: Neuerkrankungsrate/100.000 Einwohner (Alter > 19)

Diagnosejahr	Männer			Frauen		
	absolute Anzahl der Neuerkrankungen	rohe Rate in M-V	altersstandardisierte Rate	absolute Anzahl der Neuerkrankungen	rohe Rate in M-V	altersstandardisierte Rate
2008	140	20,2	17,1	66	9,2	6,7
2009	152	22,0	18,0	59	8,3	6,3
2010	133	19,3	15,4	58	8,2	6,4
2011	136	20,3	15,8	60	8,6	6,3
2012	163	24,5	18,1	55	7,9	5,5
2013	143	21,6	16,5	73	10,5	7,3
2014	129	19,6	14,8	62	9,0	6,6
2015	139	21,0	15,1	62	9,0	6,7
2016	127	19,2	13,5	65	9,5	6,2
2017	127	19,3	13,5	73	10,6	7,4
2018	106	16,2	10,7	79	11,5	8,0
2008-2018	1495	20,3	15,3	712	9,3	6,7



© KKR-MV 2020

Abb. 19.A.3. C34: Absolute Anzahl der Neuerkrankungen aufgelistet in 5-Jahres-Altersgruppen und nach Geschlecht im Diagnosezeitraum 2008 bis 2018 (Wohnort)



© KKR-MV 2020

Abb. 19.A.4. C34: Altersspezifische Rate der Neuerkrankungen je 100.000 Einwohner (Diagnosejahr 2018) nach 5-Jahres-Altersgruppen und Geschlecht (Wohnort)

19.3.4 Alter der in den Jahren 2008 - 2018 in M-V neuerkrankten Patienten (Behandlungsort)

Tab. 19.A.5. C34: Erkrankungsalter (Behandlungsort)

Diagnosejahr	Männer				Frauen			
	Anzahl	Median	Minimum	Maximum	Anzahl	Median	Minimum	Maximum
2008	147	68	32	85	67	67	41	82
2009	158	67	34	87	60	64	41	87
2010	139	67	40	87	59	64	42	85
2011	143	67	36	86	65	67	43	88
2012	170	69	41	89	56	68	47	87
2013	150	68	40	92	76	66	45	80
2014	134	66	31	86	64	62	49	88
2015	144	65	38	86	62	65	49	80
2016	135	65	44	89	68	65	47	89
2017	135	65	38	87	78	64	46	82
2018	114	67	46	87	82	66	45	89

19.3.5 Absolute Anzahl der erfassten Neuerkrankungen in M-V in den Jahren 2008 – 2018 nach Lokalisation

Tab. 19.A.6. C34: Absolute Anzahl und prozentualer Anteil der Neuerkrankungen nach der Lokalisation (Behandlungsort)

Lokalisation	2008	2009	2010	2011	2012	2013	2014	2015	2016	2017	2018	Summe	
												Anzahl	%
C34.0 Hauptbronchus	28	25	24	28	34	34	36	26	30	19	20	304	13,2
C34.01 Carina	2	1	2	1	3	0	0	0	0	1	0	10	0,4
C34.02 Zwischenbronchus	8	8	11	9	6	6	3	3	11	4	1	70	3,0
C34.1 Lungenoberlappen (einschl. Lingula und Oberlappenbronchus)	76	66	71	80	92	91	79	73	83	93	100	904	39,2
C34.2 Lungenmittellappen (einschl. Mittellappenbronchus)	5	11	10	11	8	9	10	13	5	6	12	100	4,3
C34.3 Lungenunterlappen (einschl. Unterlappenbronchus)	39	36	30	31	35	35	32	48	35	47	34	402	17,4
C34.8 Lunge (mehrere Teilbereiche überlappend)	12	10	12	14	16	13	13	9	12	15	11	137	5,9
C34.9 Lunge o.n.A., Bronchus o.n.A.	44	61	38	34	32	38	25	34	27	28	18	379	16,4
Summe	214	218	198	208	226	226	198	206	203	213	196	2306	100,0

19.3.6 Histologische Befunde bei allen neuerkrankten Patienten in M-V in den Jahren 2008 – 2018

Tab. 19.A.7. C34: Histologische Befunde bei neuerkrankten Patienten (Behandlungsort)

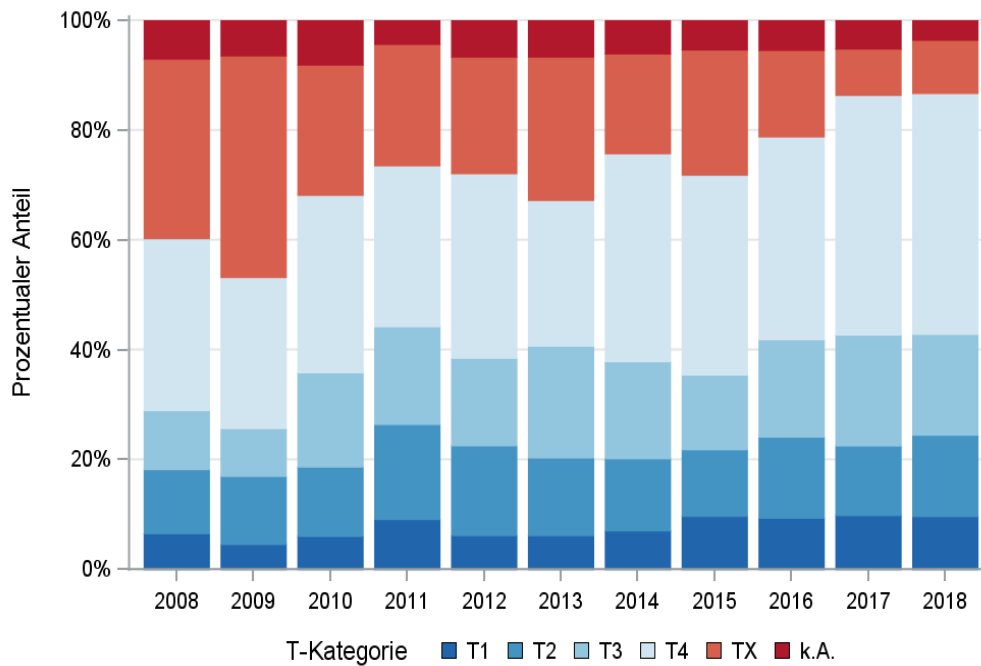
Histologiecode	Anzahl	Prozent
8041/3: Kleinzelliges Karzinom o.n.A.	2089	90,6
8013/3: Großzelliges neuroendokrines Karzinom	137	5,9
8045/3: Kombiniertes kleinzelliges Karzinom	39	1,7
8042/3: Haferzell-Karzinom	24	1,0
8044/3: Kleinzelliges Karzinom vom Intermediärtyp	14	0,6
8043/3: Kleinzelliges spindelzelliges Karzinom	3	0,1
Kleinzellige (SCLC) und großzellige neuroendokrine Karzinome (LCNLC)	2306	100,0

19.3.7 Tumorgöße und Ausdehnung (TNM)

Tab. 19.A.8. C34: Absolute Anzahl der Neuerkrankungen klassifiziert nach der Tumorgöße in Bezug zu der Auflage der TNM-Klassifikation (Behandlungsort)

Tumorgöße (T)	TNM Auflage 6		TNM Auflage 7		TNM Auflage 8		k.A. zur TNM Auflage		Summe	
	Anzahl	%	Anzahl	%	Anzahl	%	Anzahl*	%	Anzahl	%
T1	20	5,4	115	8,0	41	11,1	-	-	176	7,6
T2	51	13,8	214	14,9	54	14,7	-	-	319	13,8
T3	43	11,6	262	18,3	68	18,5	-	-	373	16,2
T4	128	34,6	496	34,6	168	45,7	-	-	792	34,3
TX	127	34,3	346	24,1	37	10,1	-	-	510	22,1
k.A.	1	0,3	0	0	0	0	135	100,0	136	5,9
Summe	370	100,0	1433	100,0	368	100,0	135	100,0	2306	100,0

*In einzelnen Fällen wurden Angaben zur Tumorgöße ohne Bezug zu einer TNM Auflage gemacht. Diese Angaben wurden in die Kategorie k.A. aufgenommen.



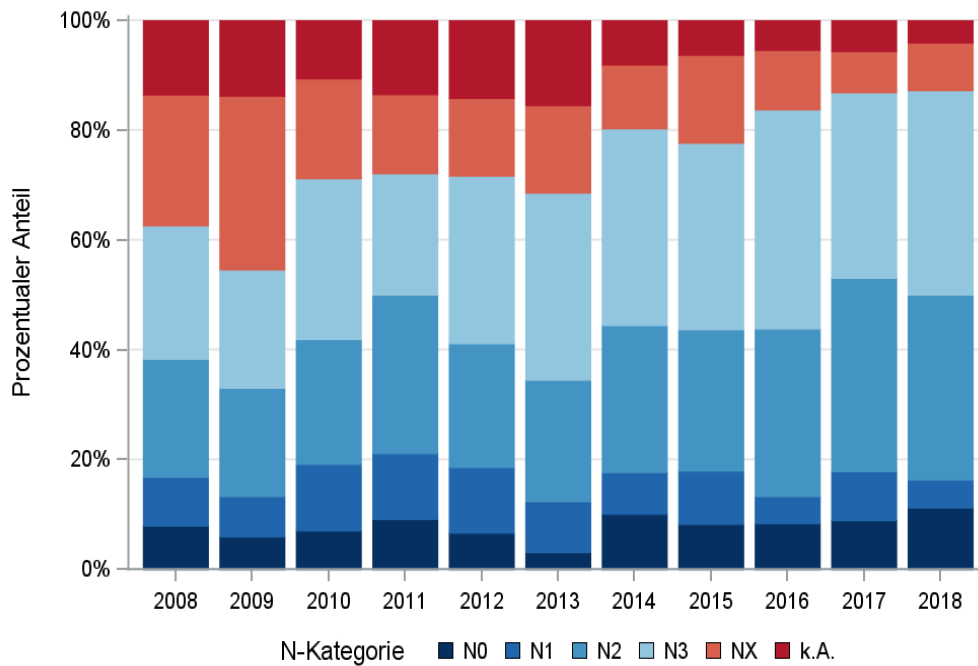
© KKR-MV 2020

Abb. 19.A.5. C34: Prozentualer Anteil der Neuerkrankungen nach der Tumorgroße im Diagnosezeitraum 2008 bis 2018

Tab. 19.A.9. C34: Absolute Anzahl der Neuerkrankungen mit bzw. ohne Befall der regionären Lymphknoten in Bezug zu der Auflage der TNM-Klassifikation (Behandlungsort)

N-Kategorie	TNM Auflage 6		TNM Auflage 7		TNM Auflage 8		k.A. zur TNM Auflage		Summe	
	Anzahl	%	Anzahl	%	Anzahl	%	Anzahl*	%	Anzahl	%
N0	28	7,6	112	7,8	40	10,9	-	-	180	7,8
N1	35	9,5	147	10,3	24	6,5	-	-	206	8,9
N2	83	22,4	391	27,3	130	35,3	-	-	604	26,2
N3	94	25,4	483	33,7	139	37,8	-	-	716	31,0
NX	111	30,0	221	15,4	33	9,0	-	-	365	15,8
k.A.	19	5,1	79	5,5	2	0,5	135	100,0	235	10,2
Summe	370	100,0	1433	100,0	368	100,0	135	100,0	2306	100,0

*In einzelnen Fällen wurden Angaben zur N-Kategorie ohne Bezug zu einer TNM Auflage gemacht. Diese Angaben wurden in die Kategorie k.A. aufgenommen.



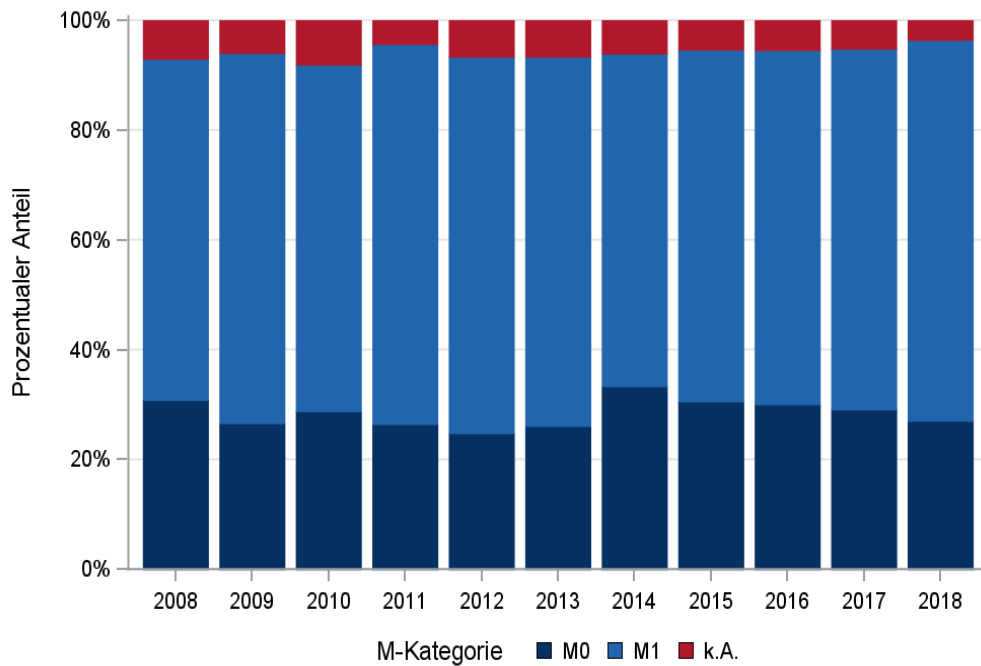
© KKR-MV 2020

Abb. 19.A.6. C34: Prozentualer Anteil der Neuerkrankungen mit und ohne Befall der regionären Lymphknoten zum Zeitpunkt der Erstdiagnose im Diagnosezeitraum 2008 bis 2018

Tab. 19.A.10. C34: Absolute Anzahl der Neuerkrankungen mit Fernmetastasierung in Bezug zu der Auflage der TNM-Klassifikation (Behandlungsort)

M-Kategorie	TNM Auflage 6		TNM Auflage 7		TNM Auflage 8		k.A. zur TNM Auflage		Summe	
	Anzahl	%	Anzahl	%	Anzahl	%	Anzahl*	%	Anzahl	%
M0	105	28,4	438	30,6	113	30,7	-	-	656	28,4
M1	265	71,6	995	69,4	255	69,3	-	-	1515	65,7
k.A.	0	0	0	0	0	0	135	100,0	135	5,9
Summe	370	100,0	1433	100,0	368	100,0	135	100,0	2306	100,0

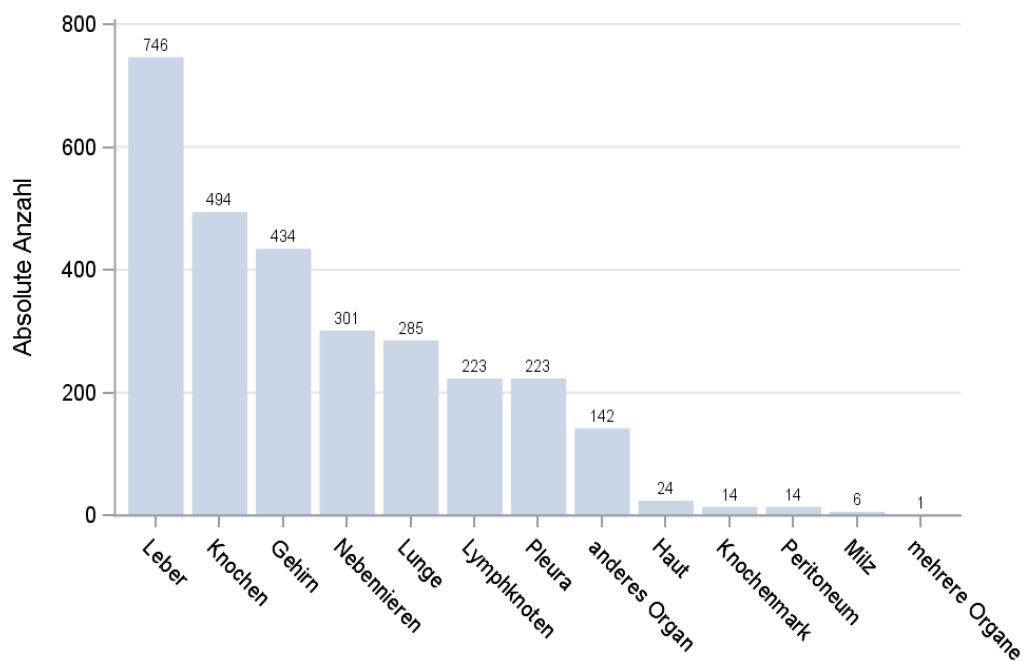
*In einzelnen Fällen wurden Angaben zur M-Kategorie ohne Bezug zu einer TNM Auflage gemacht. Diese Angaben wurden in die Kategorie k.A. aufgenommen.



© KKR-MV 2020

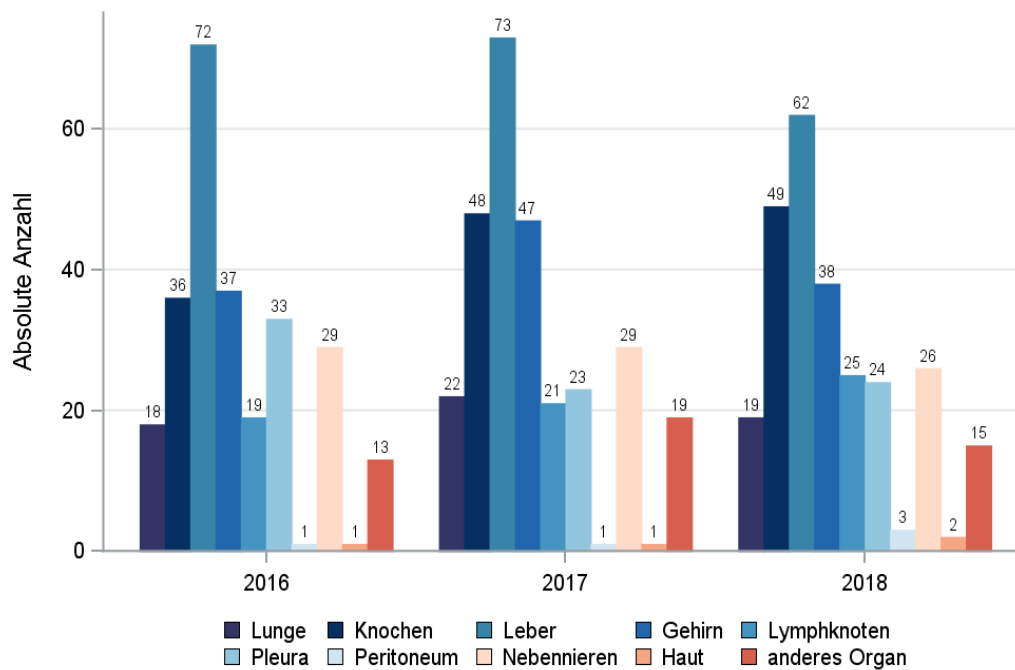
Abb. 19.A.7. C34: Prozentualer Anteil der primären Fernmetastasierung im Diagnosezeitraum 2008 bis 2018

19.3.8 Lokalisation der Fernmetastasen



© KKR-MV 2020

Abb. 19.A.8. C34: Lokalisation der Fernmetastasen bei Neuerkrankungen im Diagnosezeitraum 2008 bis 2018



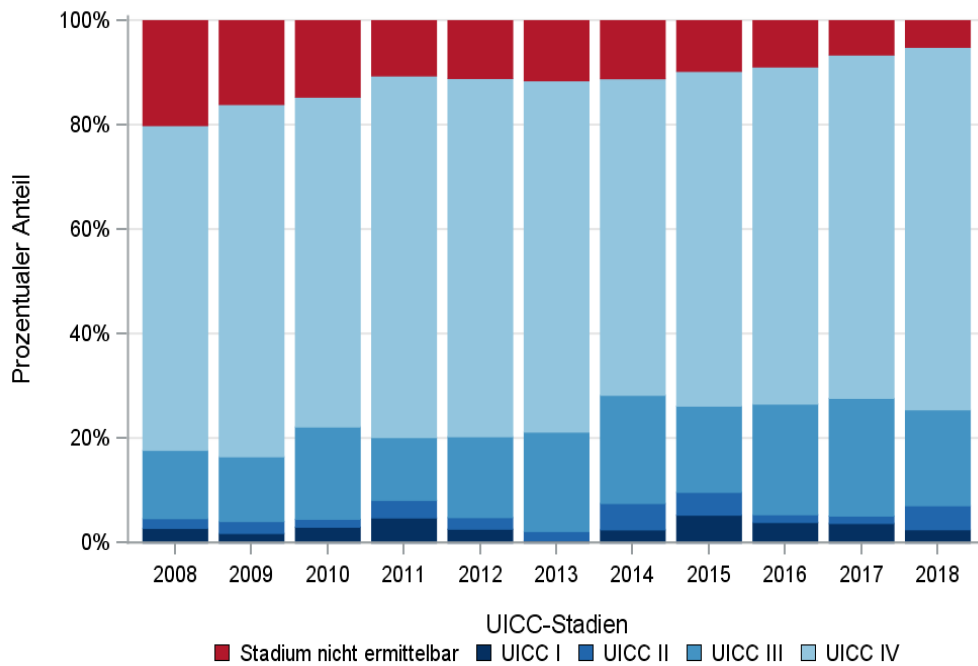
© KKR-MV 2020

Abb. 19.A.9. C34: Lokalisation der Fernmetastasen bei Neuerkrankungen für die Diagnosejahre 2016 bis 2018

19.3.9 Tumorstadien nach UICC

Tab. 19.A.11. C34: Primäre UICC-Stadien (Behandlungsort)

Jahre	UICC I		UICC II		UICC III		UICC IV		Stadium nicht ermittelbar		Summe	
	Anzahl	%	Anzahl	%	Anzahl	%	Anzahl	%	Anzahl	%	Anzahl	%
2008	6	2,8	4	1,9	28	13,1	133	62,1	43	20,1	214	100,0
2009	4	1,8	5	2,3	27	12,4	147	67,4	35	16,1	218	100,0
2010	6	3,0	3	1,5	35	17,7	125	63,1	29	14,6	198	100,0
2011	10	4,8	7	3,4	25	12,0	144	69,2	22	10,6	208	100,0
2012	6	2,7	5	2,2	35	15,5	155	68,6	25	11,1	226	100,0
2013	1	0,4	4	1,8	43	19,0	152	67,3	26	11,5	226	100,0
2014	5	2,5	10	5,1	41	20,7	120	60,6	22	11,1	198	100,0
2015	11	5,3	9	4,4	34	16,5	132	64,1	20	9,7	206	100,0
2016	8	3,9	3	1,5	43	21,2	131	64,5	18	8,9	203	100,0
2017	8	3,8	3	1,4	48	22,5	140	65,7	14	6,6	213	100,0
2018	5	2,6	9	4,6	36	18,4	136	69,4	10	5,1	196	100,0
Summe	70	3,0	62	2,7	395	17,1	1515	65,7	264	11,4	2306	100,0



© KKR-MV 2020

Abb. 19.A.10. C34: Prozentuale Anteile der UICC-Tumorstadien in den Diagnosejahren 2008 bis 2018

19.3.10 Dokumentierte Therapie bis max. 12 Monate nach Diagnosestellung

19.3.10.1 Therapiekombinationen und Intention der dokumentierten Therapien

Tab. 19.A.12. C34: Therapiekombinationen (Operation, Strahlentherapie, systemische Therapie) pro Diagnosejahr (Behandlungsort)

Therapiekombinationen	2008	2009	2010	2011	2012	2013	2014	2015	2016	2017	2018	Summe
Alleinige Operation	2	1	2	5	1	0	6	5	4	4	1	31
Alleinige systemische Therapie	85	96	85	105	92	87	102	87	97	86	88	1010
Alleinige Strahlentherapie	4	4	6	7	6	15	6	3	5	5	6	67
Operation und systemische Therapie, keine Strahlentherapie	6	3	6	5	7	5	3	3	7	6	6	57
Operation und Strahlentherapie, keine systemische Therapie	0	0	0	0	0	1	0	0	0	0	0	1
Systemische Therapie und Strahlentherapie, keine Operation	74	64	67	49	76	64	53	60	50	67	56	680
Operation und systemische Therapie und Strahlentherapie	1	0	1	1	1	3	1	4	1	0	0	13
Keine Operation, systemische Therapie oder Strahlentherapie	42	50	31	36	43	51	27	44	39	45	39	447
Summe	214	218	198	208	226	226	198	206	203	213	196	2306

Tab. 19.A.13. C34: Therapiekombinationen (Operation, Strahlentherapie, systemische Therapie) in Abhängigkeit von dem UICC-Stadium (Behandlungsort)

Therapiekombinationen	UICC I	UICC II	UICC III	UICC IV	Stadium nicht ermittelbar	Summe
Alleinige Operation	22	5	1	0	3	31
Alleinige systemische Therapie	7	5	88	839	71	1010
Alleinige Strahlentherapie	4	2	23	32	6	67
Operation und systemische Therapie, keine Strahlentherapie	16	17	14	4	6	57
Operation und Strahlentherapie, keine systemische Therapie	0	0	0	0	1	1
Systemische Therapie und Strahlentherapie, keine Operation	12	27	235	331	75	680
Operation und systemische Therapie und Strahlentherapie	4	2	4	1	2	13
Keine Operation, systemische Therapie oder Strahlentherapie	5	4	30	308	100	447
Summe	70	62	395	1515	264	2306

Tab. 19.A.14a. C34: Intention bei der ersten Operation (Behandlungsort)

Intention der Operation	2008	2009	2010	2011	2012	2013	2014	2015	2016	2017	2018	Summe
Kurativ	6	4	6	10	9	6	8	9	7	8	2	75
Palliativ bzw. symptomatisch	3	0	0	0	0	0	0	2	3	0	0	8
Sonstige/Unbekannt/Keine Angabe	0	0	3	1	0	3	2	1	2	2	5	19
Summe	9	4	9	11	9	9	10	12	12	10	7	102

Tab. 19.A.14b. C34: Intention der initialen Bestrahlung (Behandlungsort)

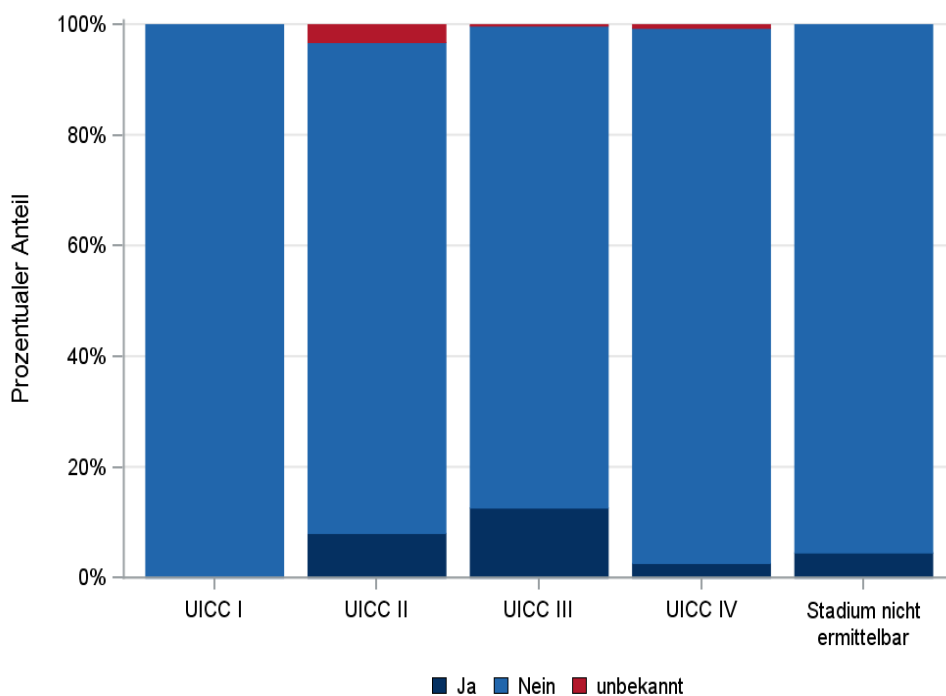
Intention der Bestrahlung	2008	2009	2010	2011	2012	2013	2014	2015	2016	2017	2018	Summe
Palliativ bzw. symptomatisch	15	26	24	14	22	26	23	33	30	36	36	285
Kurativ	12	9	7	6	12	14	22	19	23	31	26	181
Sonstige/Unbekannt/Keine Angabe	52	33	43	37	49	43	15	15	3	5	0	295
Summe	79	68	74	57	83	83	60	67	56	72	62	761

Tab. 19.A.14c. C34: Intention bei der ersten systemischen Therapie (Behandlungsort)

Intention der systemischen Therapie	2008	2009	2010	2011	2012	2013	2014	2015	2016	2017	2018	Summe
Palliativ bzw. symptomatisch	99	109	99	105	111	100	97	94	116	112	120	1162
Kurativ	32	21	30	27	28	22	20	27	22	28	29	286
Sonstige/Unbekannt/Keine Angabe	35	33	30	28	37	37	42	33	17	19	1	312
Summe	166	163	159	160	176	159	159	154	155	159	150	1760

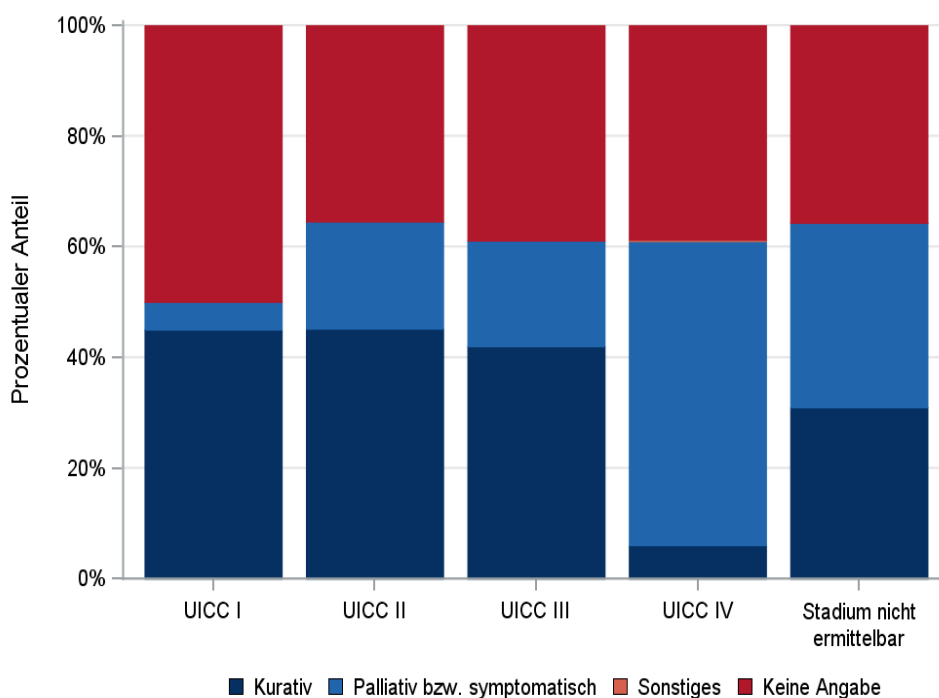
Tab. 19.A.15. C34: Zeitraum zwischen Diagnose und Beginn der ersten Therapie nach Therapieart
(Angaben in Tagen, Behandlungsort)

Therapie	Anzahl	Median	Minimum	Maximum
Diagnose und erste Operation	102	14	0	323
Diagnose und erste Bestrahlung	761	101	0	363
Diagnose und erste system. Therapie	1760	12	0	321



© KKR-MV 2020

Abb.19.A.11. C34: Durchführung der Radiochemotherapie nach UICC-Klassifikation



© KKR-MV 2020

Abb.19.A.12. C34: Intention der ersten Bestrahlung nach UICC-Klassifikation

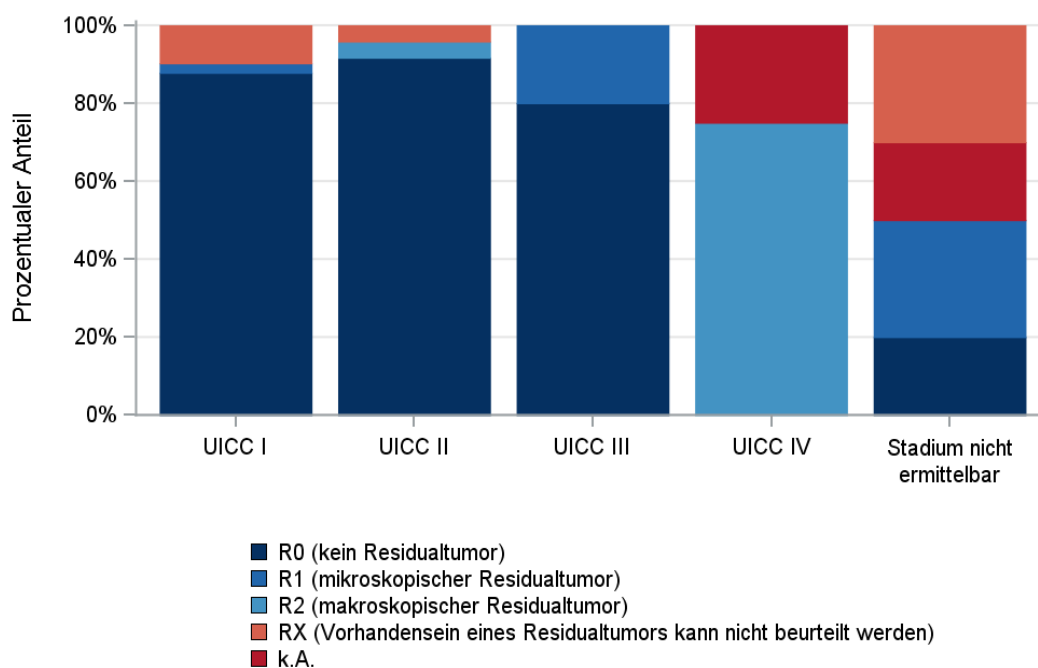
19.3.10.2 Dokumentierte tumorspezifische Operation bis max.12 Monate nach Diagnosestellung

Tab. 19.A.16. C34: Dokumentierte tumorspezifische Operation nach UICC (Behandlungsort)

Operationen	UICC I	UICC II	UICC III	UICC IV	Stadium nicht ermittelbar	Summe	
						Anzahl	%
Tumorresektion	41	24	15	4	10	94	92,2
sonstige OP	1	0	2	1	1	5	4,9
keine Angabe	0	0	2	0	1	3	2,9
Summe	42	24	19	5	12	102	100,0

Tab. 19.A.17. C34: Residualklassifikation nach Tumorresektion im Diagnosezeitraum 2008-2018

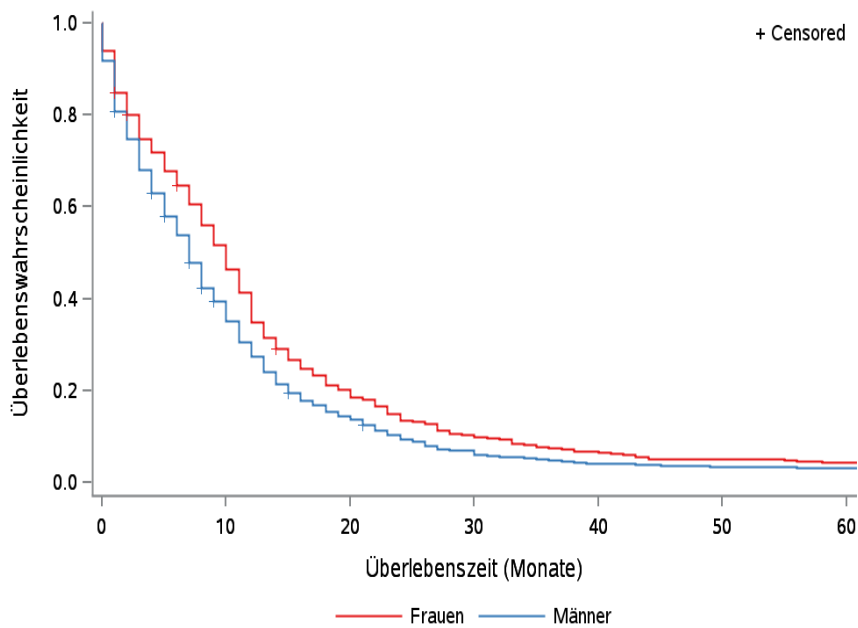
R-Klassifikation	UICC I	UICC II	UICC III	UICC IV	Stadium nicht ermittelbar	Summe	
						Anzahl	%
R0 (kein Residualtumor)	36	22	12	0	2	72	76,6
R1 (mikroskopischer Residualtumor)	1	0	3	0	3	7	7,4
R2 (makroskopischer Residualtumor)	0	1	0	3	0	4	4,3
RX (Vorhandensein eines Residualtumors kann nicht beurteilt werden)	4	1	0	0	3	8	8,5
keine Angabe	0	0	0	1	2	3	3,2
Summe	41	24	15	4	10	94	100,0



© KKR-MV 2020

Abb. 19.A.13. C34: Residualklassifikation nach Tumorresektion in Abhängigkeit von UICC-Tumorstadium im Diagnosezeitraum 2008 bis 2018

19.3.11 Überlebensanalysen bei den in den Jahren 2008 – 2013 primär diagnostizierten Patienten

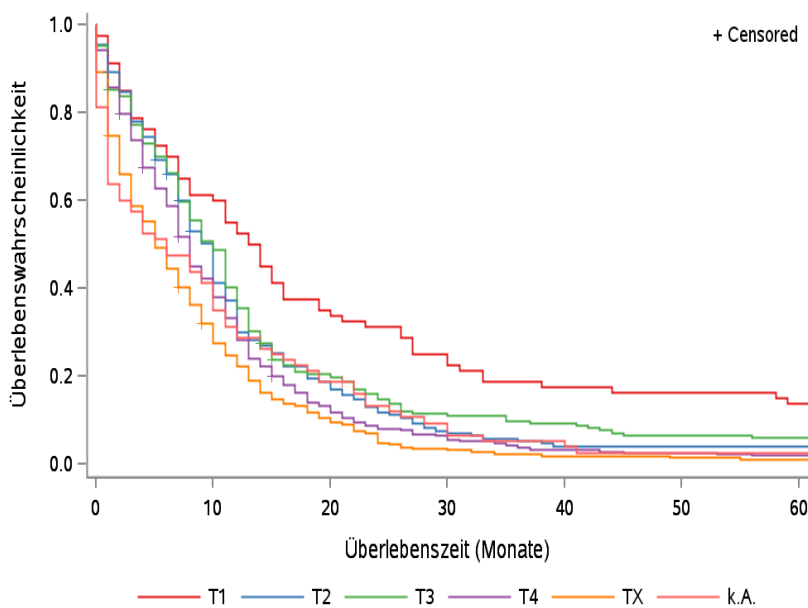


© KKR-MV 2020

Abb.19.A.14. C34: Wahrscheinlichkeit des Überlebens (Kaplan-Meier-Analyse) nach Geschlecht im Diagnosezeitraum von 2008 bis 2013 (Wohnort). Kaplan-Meier-Kurven werden für Kategorien mit weniger als 10 Neuerkrankungen nicht dargestellt.

Tab. 19.A.18. C34: Anzahl der unter Risiko stehenden Neuerkrankungen (Monate nach Diagnose)

Geschlecht	0 Monate	20 Monate	40 Monate	60 Monate
Männer	865	121	35	26
Frauen	371	73	25	16

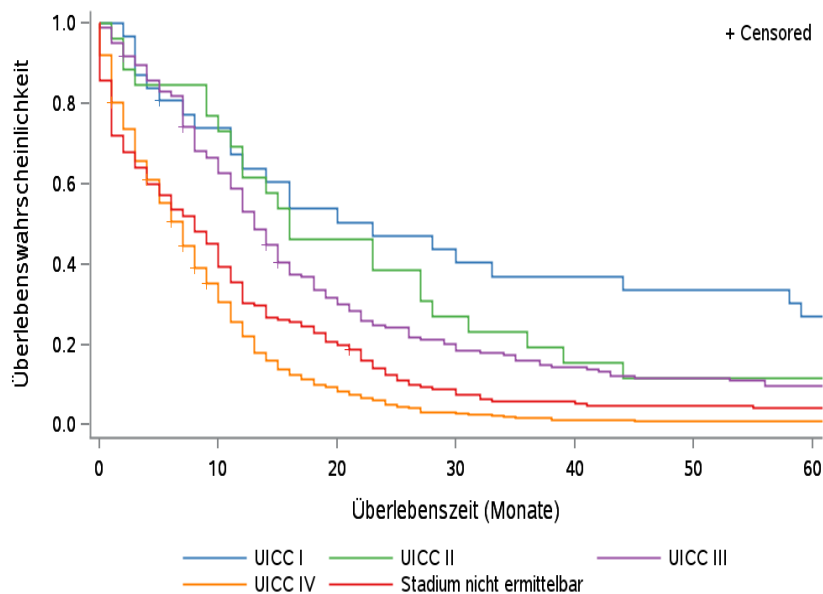


© KKR-MV 2020

Abb.19.A.15. C34: Wahrscheinlichkeit des Überlebens (Kaplan-Meier-Analyse) nach Tumorstadium im Diagnosezeitraum von 2008 bis 2013 (Wohnort). Kaplan-Meier-Kurven werden für Kategorien mit weniger als 10 Neuerkrankungen nicht dargestellt.

Tab. 19.A.19. C34: Anzahl der unter Risiko stehenden Neuerkrankungen nach Tumorgröße (Monate nach Diagnose)

T-Kategorie	0 Monate	20 Monate	40 Monate	60 Monate
T1	80	28	14	11
T2	177	32	7	7
T3	190	37	17	11
T4	365	47	12	7
TX	343	35	6	4
k.A.	81	15	4	2

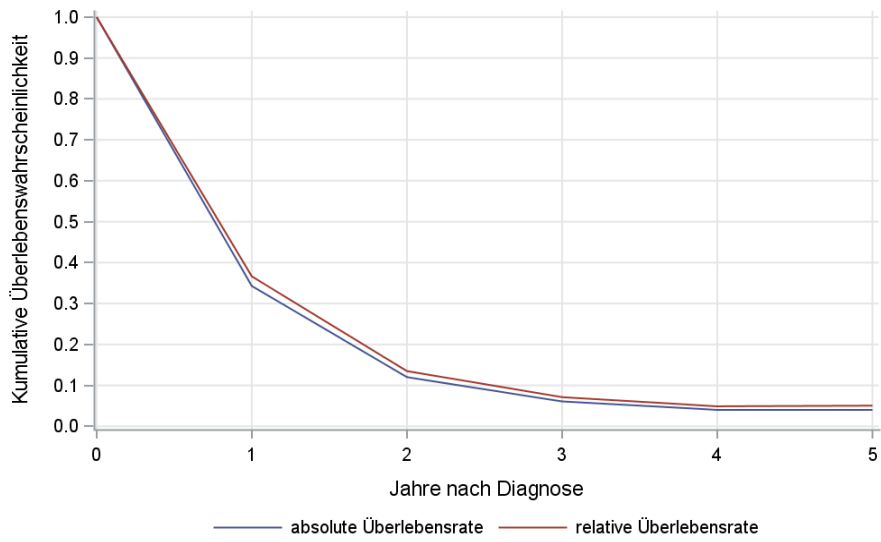


© KKR-MV 2020

Abb. 19.A.16. C34: Wahrscheinlichkeit des Überlebens (Kaplan-Meier-Analyse) nach UICC-Tumorstadium im Diagnosezeitraum von 2008 bis 2013 (Wohnort). Kaplan-Meier-Kurven werden für Kategorien mit weniger als 10 Neuerkrankungen nicht dargestellt.

Tab. 19.A.20. C34: Anzahl der unter Risiko stehenden Neuerkrankungen nach UICC-Stadium (Monate nach Diagnose)

UICC-Stadium	0 Monate	20 Monate	40 Monate	60 Monate
UICC I	31	16	11	8
UICC II	26	12	4	3
UICC III	183	55	25	17
UICC IV	821	75	10	7
Stadium nicht ermittelbar	175	36	10	7



© KKR-MV 2020

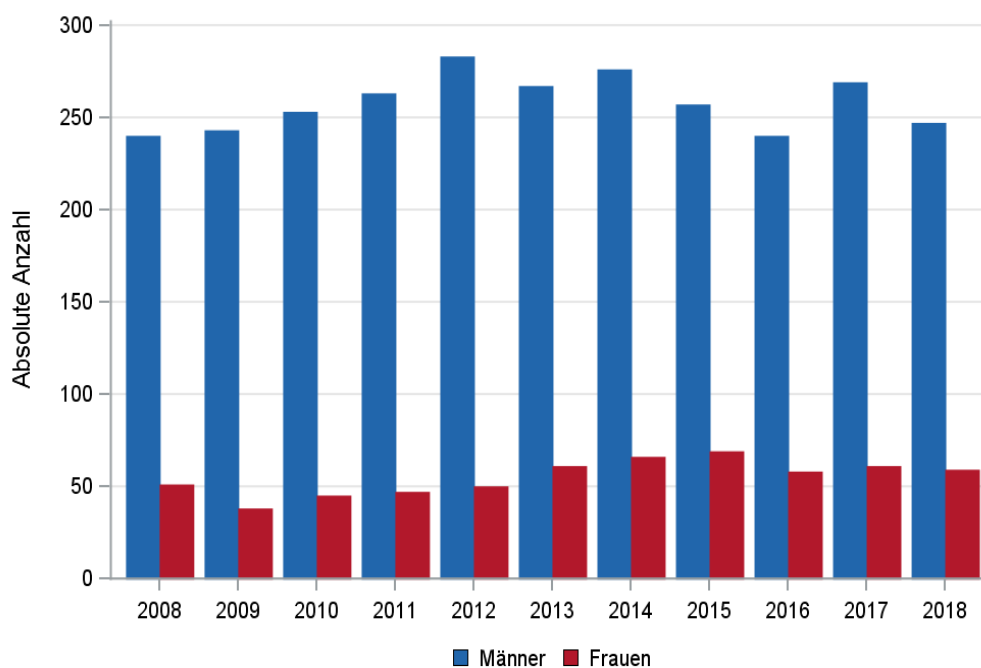
Abb. 19.A.17. C34: Absolutes und relatives Überleben im Diagnosezeitraum 2008 bis 2013 (Wohnort, Alter > 19)

19.4 Lunge (Gruppe B: Plattenepithelkarzinome)

19.4.1 Absolute Anzahl der erfassten Neuerkrankungen in M-V in den Jahren 2008 – 2018 nach Geschlecht (Behandlungsort, Wohnort)

Tab. 19.B.1. C34: Absolute Anzahl der Neuerkrankungen nach Geschlecht (Behandlungsort)

Diagnosejahr	Männer		Frauen		Summe
	Anzahl	%	Anzahl	%	
2008	240	82,5	51	17,5	291
2009	243	86,5	38	13,5	281
2010	253	84,9	45	15,1	298
2011	263	84,8	47	15,2	310
2012	283	85,0	50	15,0	333
2013	267	81,4	61	18,6	328
2014	276	80,7	66	19,3	342
2015	257	78,8	69	21,2	326
2016	240	80,5	58	19,5	298
2017	269	81,5	61	18,5	330
2018	247	80,7	59	19,3	306
Summe	2838	82,4	605	17,6	3443

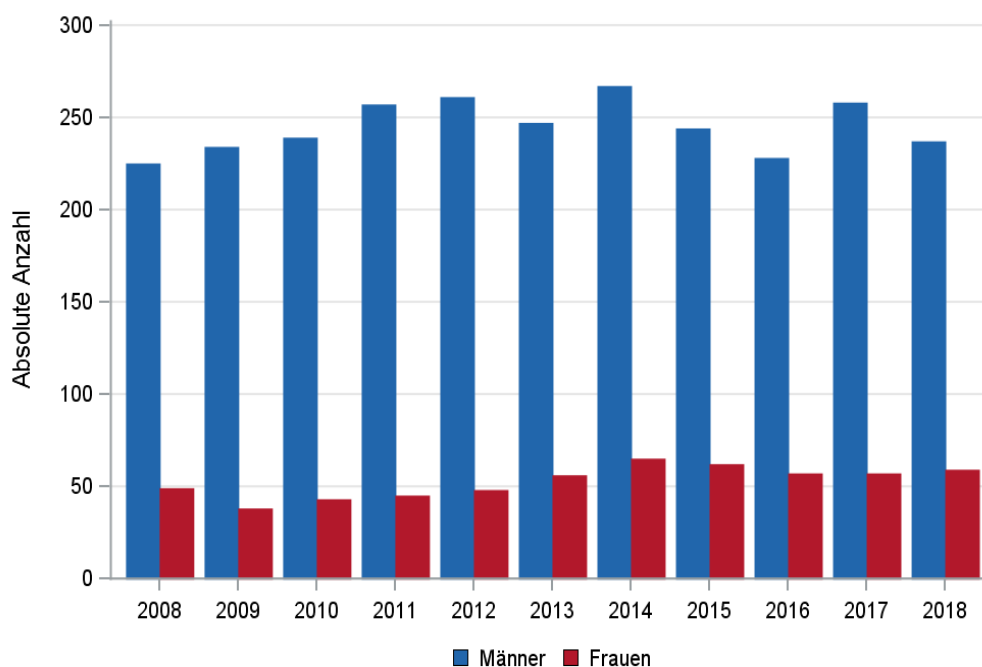


© KKR-MV 2020

Abb. 19.B.1. C34: Absolute Anzahl der Neuerkrankungen nach Geschlecht im Diagnosezeitraum 2008 bis 2018 (Behandlungsort)

Tab. 19.B.2. C34: Absolute Anzahl der Neuerkrankungen nach Geschlecht (Wohnort)

Diagnosejahr	Männer		Frauen		Summe
	Anzahl	%	Anzahl	%	
2008	225	82,1	49	17,9	274
2009	234	86,0	38	14,0	272
2010	239	84,8	43	15,2	282
2011	257	85,1	45	14,9	302
2012	261	84,5	48	15,5	309
2013	247	81,5	56	18,5	303
2014	267	80,4	65	19,6	332
2015	244	79,7	62	20,3	306
2016	228	80,0	57	20,0	285
2017	258	81,9	57	18,1	315
2018	237	80,1	59	19,9	296
Summe	2697	82,3	579	17,7	3276



© KKR-MV 2020

Abb. 19.B.2. C34: Absolute Anzahl der Neuerkrankungen nach Geschlecht im Diagnosezeitraum 2008 bis 2018 (Wohnort)

19.4.2 Absolute Anzahl der erfassten Neuerkrankungen in M-V in den Jahren 2008 – 2018 nach Landkreisen (Wohnort)

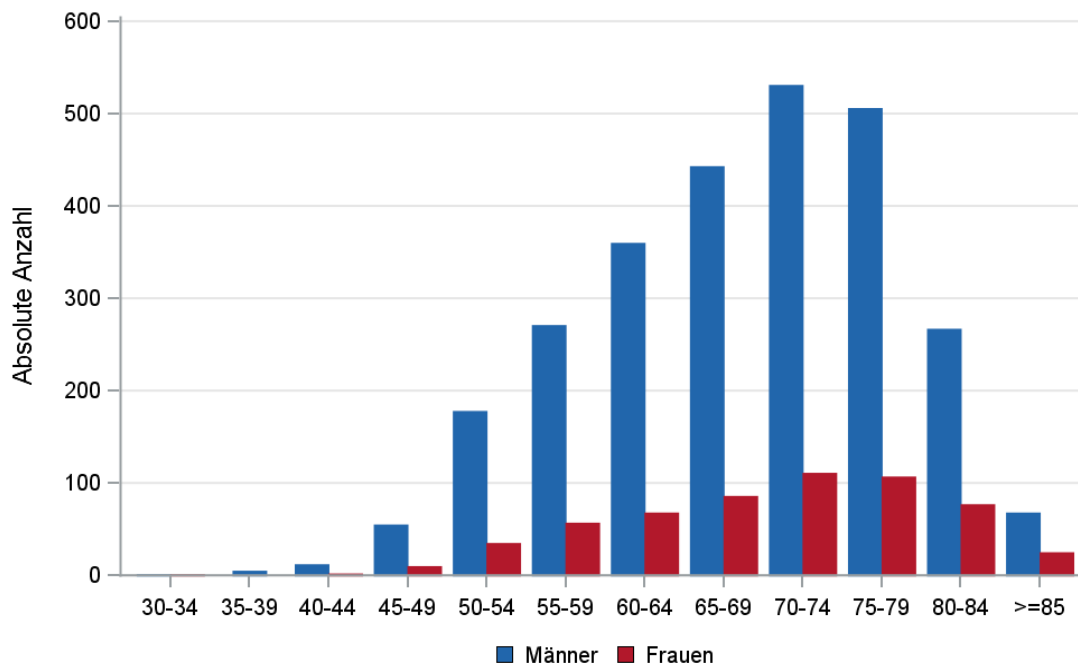
Tab. 19.B.3. C34: Absolute Anzahl und prozentualer Anteil der Neuerkrankungen nach Landkreisen

Landkreis	2008		2009		2010		2011		2012		2013		2014		2015		2016		2017		2018		Summe	
	Anzahl	%	Anzahl	%	Anzahl	%	Anzahl	%	Anzahl	%	Anzahl	%	Anzahl	%	Anzahl	%	Anzahl	%	Anzahl	%	Anzahl	%	Anzahl	%
Landkreis Rostock	40	14,6	41	15,1	43	15,2	51	16,9	38	12,3	24	7,9	40	12,0	43	14,1	40	14,0	44	14,0	33	11,1	437	13,3
Ludwigslust-Parchim	26	9,5	30	11,0	29	10,3	24	7,9	38	12,3	38	12,5	46	13,9	42	13,7	38	13,3	38	12,1	40	13,5	389	11,9
Mecklenburgische Seenplatte	42	15,3	46	16,9	50	17,7	62	20,5	52	16,8	47	15,5	56	16,9	42	13,7	24	8,4	48	15,2	45	15,2	514	15,7
Nordwestmecklenburg	23	8,4	24	8,8	25	8,9	15	5,0	28	9,1	31	10,2	26	7,8	33	10,8	29	10,2	30	9,5	27	9,1	291	8,9
Rostock	35	12,8	28	10,3	43	15,2	37	12,3	33	10,7	36	11,9	32	9,6	27	8,8	31	10,9	34	10,8	30	10,1	366	11,2
Schwerin	23	8,4	19	7,0	18	6,4	21	7,0	17	5,5	20	6,6	24	7,2	20	6,5	21	7,4	19	6,0	15	5,1	217	6,6
Vorpommern-Greifswald	44	16,1	43	15,8	35	12,4	52	17,2	50	16,2	54	17,8	61	18,4	50	16,3	52	18,2	48	15,2	56	18,9	545	16,6
Vorpommern-Rügen	37	13,5	40	14,7	36	12,8	39	12,9	52	16,8	50	16,5	47	14,2	49	16,0	48	16,8	53	16,8	48	16,2	499	15,2
nicht zuordenbar	4	1,5	1	0,4	3	1,1	1	0,3	1	0,3	3	1,0	0	0	0	0	2	0,7	1	0,3	2	0,7	18	0,5
Summe	274	100,0	272	100,0	282	100,0	302	100,0	309	100,0	303	100,0	332	100,0	306	100,0	285	100,0	315	100,0	296	100,0	3276	100,0

19.4.3 Rohe und standardisierte Neuerkrankungsraten pro 100.000 Einwohner in den Jahren 2008-2018 (Wohnort)

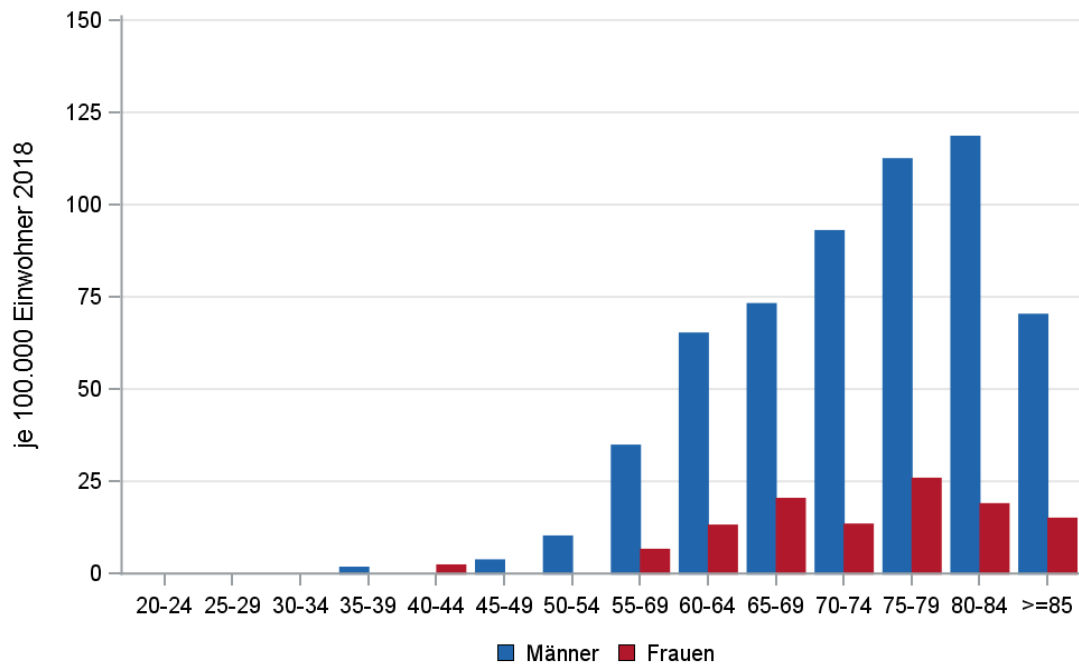
Tab. 19.B.4. C34: Neuerkrankungsrate/100.000 Einwohner (Alter > 19)

Diagnosejahr	Männer			Frauen		
	absolute Anzahl der Neuerkrankungen	rohe Rate in M-V	altersstandardisierte Rate	absolute Anzahl der Neuerkrankungen	rohe Rate in M-V	altersstandardisierte Rate
2008	225	32,5	26,9	49	6,9	4,7
2009	234	33,9	26,2	38	5,3	3,8
2010	239	34,6	26,5	43	6,0	3,7
2011	257	38,3	28,7	45	6,4	4,3
2012	261	39,2	28,9	48	6,9	4,2
2013	247	37,3	27,1	56	8,1	5,2
2014	267	40,5	28,0	65	9,4	5,6
2015	244	36,9	25,4	62	9,0	5,2
2016	228	34,5	23,4	57	8,3	5,3
2017	258	39,2	26,3	57	8,3	5,2
2018	237	36,2	23,0	59	8,6	4,7
2008-2018	2697	36,6	26,4	579	7,6	4,7



© KKR-MV 2020

Abb. 19.B.3. C34: Absolute Anzahl der Neuerkrankungen aufgelistet in 5-Jahres-Altersgruppen und nach Geschlecht im Diagnosezeitraum 2008 bis 2018 (Wohnort)



© KKR-MV 2020

Abb. 19.B.4. C34: Altersspezifische Rate der Neuerkrankungen je 100.000 Einwohner (Diagnosejahr 2018) nach 5-Jahres-Altersgruppen und Geschlecht (Wohnort)

19.4.4 Alter der in den Jahren 2008 - 2018 in M-V neuerkrankten Patienten (Behandlungsort)

Tab. 19.B.5. C34: Erkrankungsalter (Behandlungsort)

Diagnosejahr	Männer				Frauen			
	Anzahl	Median	Minimum	Maximum	Anzahl	Median	Minimum	Maximum
2008	240	69	36	88	51	70	46	87
2009	243	70	42	88	38	70	47	84
2010	253	70	41	91	45	73	33	85
2011	263	70	42	85	47	71	50	86
2012	283	69	43	88	50	71	44	92
2013	267	70	34	89	61	70	45	89
2014	276	71	41	89	66	71	52	88
2015	257	70	33	90	69	74	49	91
2016	240	69	43	88	58	71	47	89
2017	269	69	44	89	61	68	51	84
2018	247	70	39	89	59	72	41	89

19.4.5 Absolute Anzahl der erfassten Neuerkrankungen in M-V in den Jahren 2008 – 2018 nach Lokalisation

Tab. 19.B.6. C34: Absolute Anzahl und prozentualer Anteil der Neuerkrankungen nach der Lokalisation (Behandlungsort)

Lokalisation	2008	2009	2010	2011	2012	2013	2014	2015	2016	2017	2018	Summe	
												Anzahl	%
C34.0 Hauptbronchus	34	22	23	21	31	31	35	16	33	18	17	281	8,2
C34.01 Carina	3	0	1	3	3	1	0	2	0	1	1	15	0,4
C34.02 Zwischenbronchus	12	11	9	9	11	9	2	5	4	10	3	85	2,5
C34.1 Lungenoberlappen (einschl. Lingula und Oberlappenbronchus)	129	135	145	149	158	147	179	142	147	149	155	1635	47,4
C34.2 Lungenmittellappen (einschl. Mittellappenbronchus)	10	13	10	10	8	15	12	15	13	13	16	135	3,9
C34.3 Lungenunterlappen (einschl. Unterlappenbronchus)	72	66	80	81	92	93	94	116	86	105	85	970	28,1
C34.8 Lunge (mehrere Teilbereiche überlappend)	7	14	12	10	15	4	9	13	3	19	17	123	3,6
C34.9 Lunge o.n.A., Bronchus o.n.A.	24	21	18	27	15	28	11	17	14	16	12	203	5,9
Summe	291	282	298	310	333	328	342	326	300	331	306	3447	100,0

19.4.6 Histologische Befunde bei allen neuerkrankten Patienten in M-V in den Jahren 2008 – 2018

Tab. 19.B.7. C34: Histologische Befunde bei neuerkrankten Patienten (Behandlungsort)

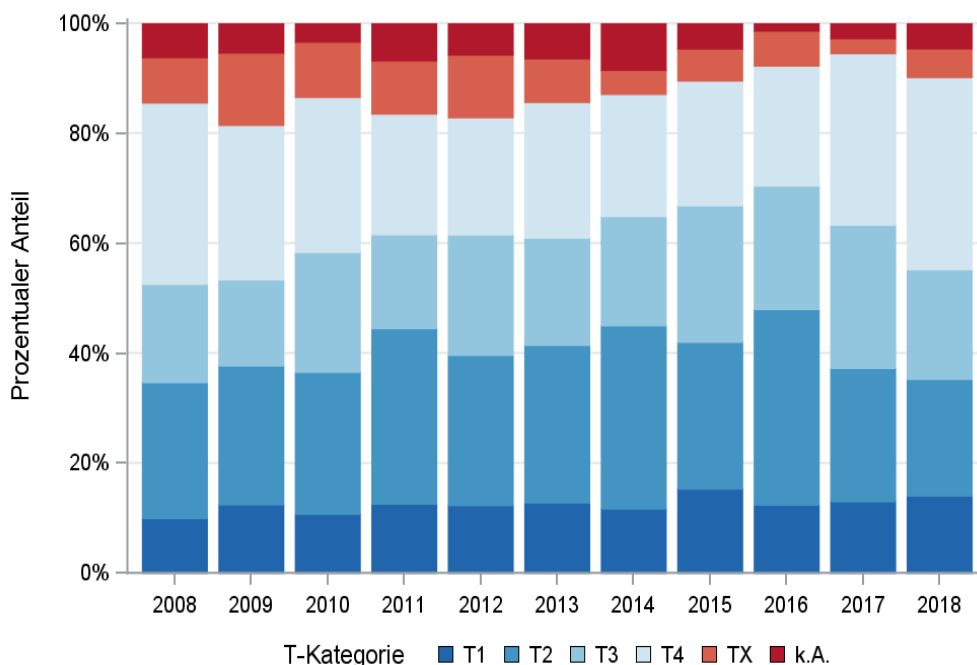
Histologiecode	Anzahl	Prozent
8070/3: Plattenepithelkarzinom o.n.A.	1817	52,8
8072/3: Großzelliges nichtverhornendes Plattenepithelkarzinom o.n.A.	1014	29,5
8071/3: Verhornendes Plattenepithelkarzinom o.n.A.	549	16,0
8083/3: Basaloides Plattenepithelkarzinom	30	0,9
8073/3: Kleinzelliges nichtverhornendes Plattenepithelkarzinom	13	0,4
8123/3: Basaloidkarzinom	10	0,3
8052/3: Nichtinvasives papilläres Plattenepithelkarzinom	3	0,1
8074/3: Spindelzelliges Plattenepithelkarzinom	3	0,1
8075/3: Adenoides Plattenepithelkarzinom	2	0,1
8050/3: Papilläres Karzinom o.n.A.	1	0,0
8084/3: Klarzelliges Plattenepithelkarzinom	1	0,0
Plattenepithelkarzinome	3443	100,0

19.4.7 Tumorgröße und Ausdehnung (TNM)

Tab. 19.B.8. C34: Absolute Anzahl der Neuerkrankungen klassifiziert nach der Tumorgröße in Bezug zu der Auflage der TNM-Klassifikation (Behandlungsort)

Tumorgröße (T)	TNM Auflage 6		TNM Auflage 7		TNM Auflage 8		k.A. zur TNM Auflage		Summe	
	Anzahl	%	Anzahl	%	Anzahl	%	Anzahl*	%	Anzahl	%
T1	58	11,2	288	13,3	85	14,7	-	-	431	12,5
T2	145	28,0	670	30,8	141	24,4	-	-	956	27,8
T3	90	17,4	489	22,5	135	23,4	-	-	714	20,7
T4	173	33,4	541	24,9	190	32,9	-	-	904	26,3
TX	52	10,0	185	8,5	26	4,5	-	-	263	7,6
k.A.	0	0	0	0	0	0	175	100,0	175	5,1
Summe	518	100,0	2173	100,0	577	100,0	175	100,0	3443	100,0

*In einzelnen Fällen wurden Angaben zur Tumorgröße ohne Bezug zu einer TNM Auflage gemacht. Diese Angaben wurden in die Kategorie k.A. aufgenommen.



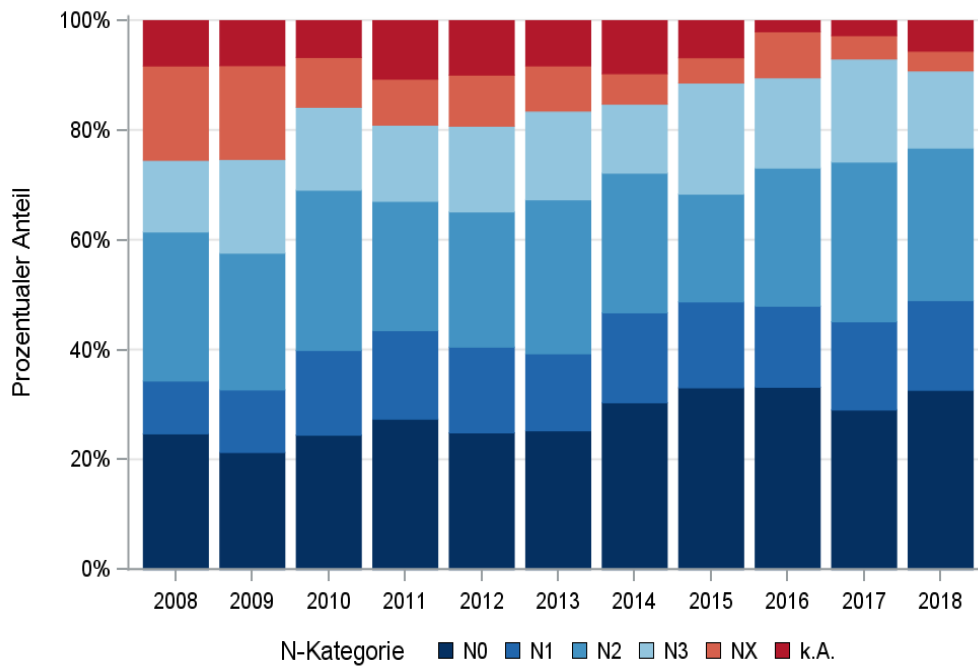
© KKR-MV 2020

Abb. 19.B.5. C34: Prozentualer Anteil der Neuerkrankungen nach der Tumorgröße im Diagnosezeitraum 2008 bis 2018

Tab. 19.B.9. C34: Absolute Anzahl der Neuerkrankungen mit bzw. ohne Befall der regionären Lymphknoten in Bezug zu der Auflage der TNM-Klassifikation (Behandlungsort)

N-Kategorie	TNM Auflage 6		TNM Auflage 7		TNM Auflage 8		k.A. zur TNM Auflage		Summe	
	Anzahl	%	Anzahl	%	Anzahl	%	Anzahl*	%	Anzahl	%
N0	128	24,7	644	29,6	191	33,1	-	-	963	28,0
N1	58	11,2	351	16,2	99	17,2	-	-	508	14,8
N2	148	28,6	576	26,5	166	28,8	-	-	890	25,8
N3	82	15,8	365	16,8	95	16,5	-	-	542	15,7
NX	90	17,4	180	8,3	23	4,0	-	-	293	8,5
k.A.	12	2,3	57	2,6	3	0,5	175	100,0	247	7,2
Summe	518	100,0	2173	100,0	577	100,0	175	100,0	3443	100,0

*In einzelnen Fällen wurden Angaben zur N-Kategorie ohne Bezug zu einer TNM Auflage gemacht. Diese Angaben wurden in die Kategorie k.A. aufgenommen.



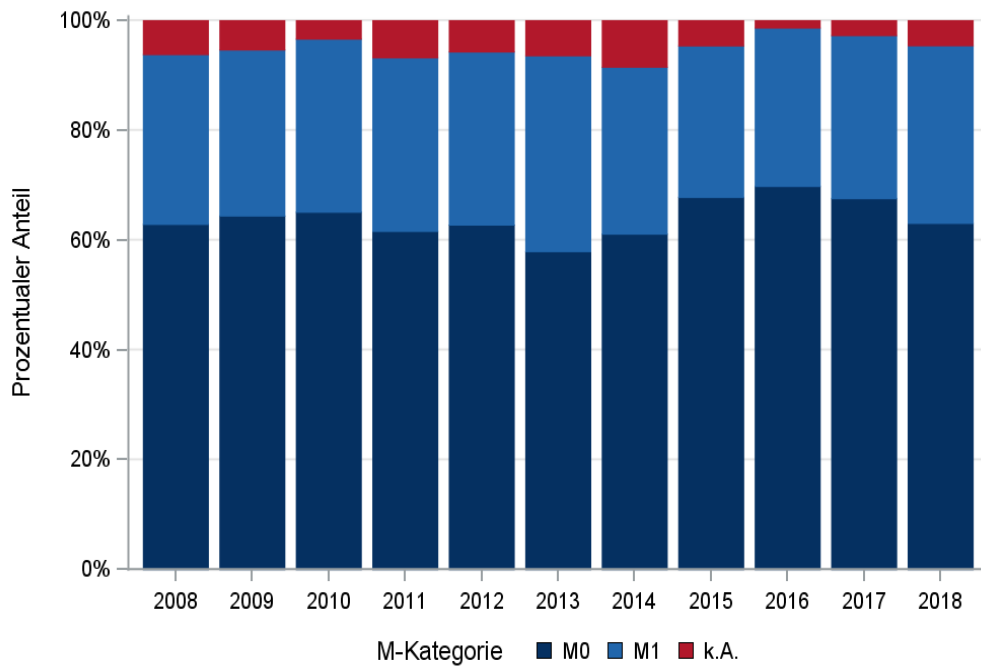
© KKR-MV 2020

Abb. 19.B.6. C34: Prozentualer Anteil der Neuerkrankungen mit und ohne Befall der regionären Lymphknoten zum Zeitpunkt der Erstdiagnose im Diagnosezeitraum 2008 bis 2018

Tab. 19.B.10. C34: Absolute Anzahl der Neuerkrankungen mit Fernmetastasierung in Bezug zu der Auflage der TNM-Klassifikation (Behandlungsort)

M-Kategorie	TNM Auflage 6		TNM Auflage 7		TNM Auflage 8		k.A. zur TNM Auflage		Summe	
	Anzahl	%	Anzahl	%	Anzahl	%	Anzahl*	%	Anzahl	%
M0	347	67,0	1465	67,4	390	67,6	-	-	2202	64,0
M1	171	33,0	708	32,6	187	32,4	-	-	1066	31,0
k.A.	0	0	0	0	0	0	175	100,0	175	5,1
Summe	518	100,0	2173	100,0	577	100,0	175	100,0	3443	100,0

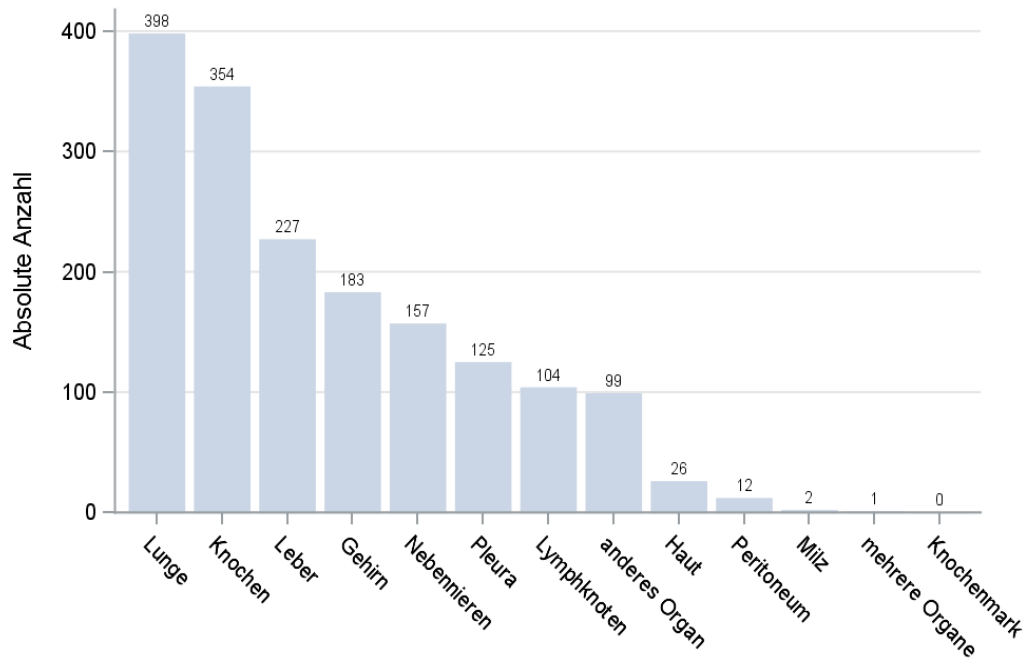
*In einzelnen Fällen wurden Angaben zur M-Kategorie ohne Bezug zu einer TNM Auflage gemacht. Diese Angaben wurden in die Kategorie k.A. aufgenommen.



© KKR-MV 2020

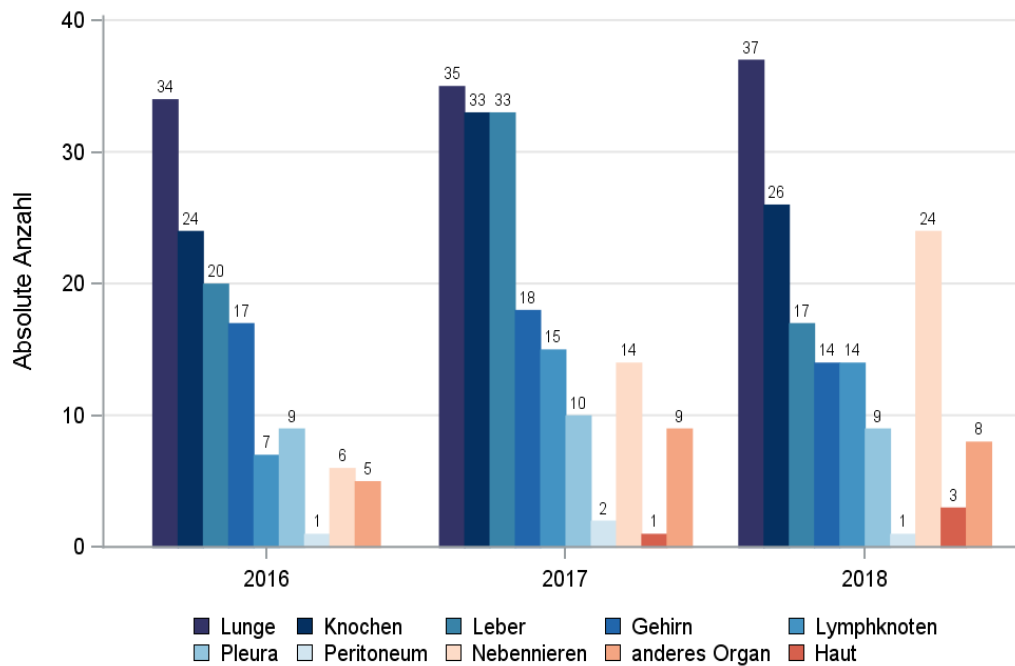
Abb. 19.B.7. C34: Prozentualer Anteil der primären Fernmetastasierung im Diagnosezeitraum 2008 bis 2018

19.4.8 Lokalisation der Fernmetastasen



© KKR-MV 2020

Abb. 19.B.8. C34: Lokalisation der Fernmetastasen bei Neuerkrankungen im Diagnosezeitraum 2008 bis 2018



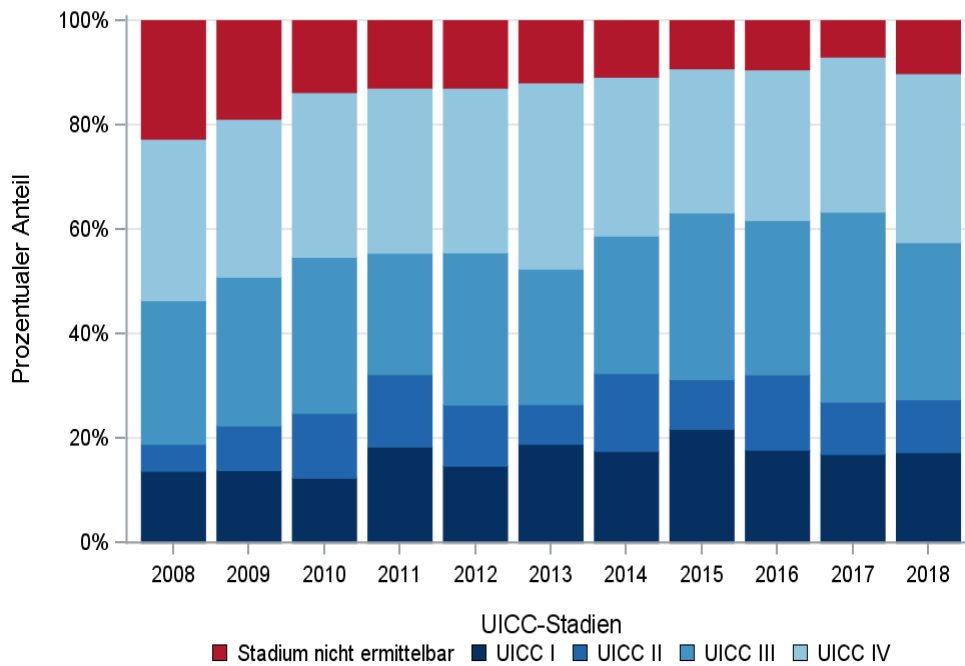
© KKR-MV 2020

Abb. 19.B.9. C34: Lokalisation der Fernmetastasen bei Neuerkrankungen für die Diagnosejahre 2016 bis 2018

19.4.9 Tumorstadien nach UICC

Tab. 19.B.11. C34: Primäre UICC-Stadien (Behandlungsort)

Jahre	UICC I		UICC II		UICC III		UICC IV		Stadium nicht ermittelbar		Summe	
	Anzahl	%	Anzahl	%	Anzahl	%	Anzahl	%	Anzahl	%	Anzahl	%
2008	40	13,7	15	5,2	80	27,5	90	30,9	66	22,7	291	100,0
2009	39	13,9	24	8,5	80	28,5	85	30,2	53	18,9	281	100,0
2010	37	12,4	37	12,4	89	29,9	94	31,5	41	13,8	298	100,0
2011	57	18,4	43	13,9	72	23,2	98	31,6	40	12,9	310	100,0
2012	49	14,7	39	11,7	97	29,1	105	31,5	43	12,9	333	100,0
2013	62	18,9	25	7,6	85	25,9	117	35,7	39	11,9	328	100,0
2014	60	17,5	51	14,9	90	26,3	104	30,4	37	10,8	342	100,0
2015	71	21,8	31	9,5	104	31,9	90	27,6	30	9,2	326	100,0
2016	53	17,8	43	14,4	88	29,5	86	28,9	28	9,4	298	100,0
2017	56	17,0	33	10,0	120	36,4	98	29,7	23	7,0	330	100,0
2018	53	17,3	31	10,1	92	30,1	99	32,4	31	10,1	306	100,0
Summe	577	16,8	372	10,8	997	29,0	1066	31,0	431	12,5	3443	100,0



© KKR-MV 2020

Abb. 19.B.10. C34: Prozentuale Anteile der UICC-Tumorstadien in den Diagnosejahren 2008 bis 2018

19.4.10 Dokumentierte Therapie bis max. 12 Monate nach Diagnosestellung

19.4.10.1 Therapiekombinationen, Stellung der Therapie und Intention der dokumentierten Therapien

Tab. 19.B.12. C34: Therapiekombinationen (Operation, Strahlentherapie, systemische Therapie) pro Diagnosejahr (Behandlungsort)

Therapiekombinationen	2008	2009	2010	2011	2012	2013	2014	2015	2016	2017	2018	Summe
Alleinige Operation	33	37	44	58	53	45	54	52	42	60	40	518
Alleinige systemische Therapie	40	41	37	43	42	58	52	58	37	53	52	513
Alleinige Strahlentherapie	52	47	54	56	53	48	58	67	59	52	37	583
Operation und systemische Therapie, keine Strahlentherapie	26	19	19	32	32	23	34	18	25	25	23	276
Operation und Strahlentherapie, keine systemische Therapie	4	0	3	3	4	2	2	3	4	1	2	28
Systemische Therapie und Strahlentherapie, keine Operation	61	48	77	55	71	62	56	55	49	57	58	649
Operation und systemische Therapie und Strahlentherapie	7	7	6	9	6	15	15	12	10	9	6	102
Keine Operation, systemische Therapie oder Strahlentherapie	68	82	58	54	72	75	71	61	72	73	88	774
Summe	291	281	298	310	333	328	342	326	298	330	306	3443

Tab. 19.B.13. C34: Therapiekombinationen (Operation, Strahlentherapie, systemische Therapie) in Abhängigkeit von dem UICC-Stadium (Behandlungsort)

Therapiekombinationen	UICC I	UICC II	UICC III	UICC IV	Stadium nicht ermittelbar	Summe
Alleinige Operation	324	91	49	16	38	518
Alleinige systemische Therapie	9	14	79	362	49	513
Alleinige Strahlentherapie	122	56	229	120	56	583
Operation und systemische Therapie, keine Strahlentherapie	39	115	88	21	13	276
Operation und Strahlentherapie, keine systemische Therapie	7	9	10	0	2	28
Systemische Therapie und Strahlentherapie, keine Operation	29	40	327	204	49	649
Operation und systemische Therapie und Strahlentherapie	3	15	76	5	3	102
Keine Operation, systemische Therapie oder Strahlentherapie	44	32	139	338	221	774
Summe	577	372	997	1066	431	3443

Tab. 19.B.14 C34: Stellung der Strahlentherapie zur operativen Therapie im ersten Jahr der Erkrankung (adjuvant/neoadjuvant, Behandlungsort)

Stellung der Strahlentherapie zur operativen Therapie	2008	2009	2010	2011	2012	2013	2014	2015	2016	2017	2018	Summe
Adjuvante (postoperative) Strahlentherapie	5	5	2	3	4	6	14	12	11	6	4	72
Neoadjuvante (präoperative) Strahlentherapie	1	1	1	4	3	3	2	0	2	1	0	18
Therapie ohne Bezug zu einer operativen Therapie	0	1	1	0	1	2	0	2	1	3	4	15
unbekannt	5	0	5	5	2	6	1	1	0	0	0	25
Summe	11	7	9	12	10	17	17	15	14	10	8	130

Tab. 19.B.15a. C34: Intention bei der ersten Operation (Behandlungsort)

Intention der Operation	2008	2009	2010	2011	2012	2013	2014	2015	2016	2017	2018	Summe
Kurativ	61	50	60	93	82	74	82	74	67	81	56	780
Palliativ bzw. symptomatisch	1	2	3	4	7	5	5	5	2	3	6	43
Sonstige/Unbekannt/Keine Angabe	8	11	9	5	6	6	18	6	12	11	9	101
Summe	70	63	72	102	95	85	105	85	81	95	71	924

Tab. 19.B.15b. C34: Intention der initialen Bestrahlung (Behandlungsort)

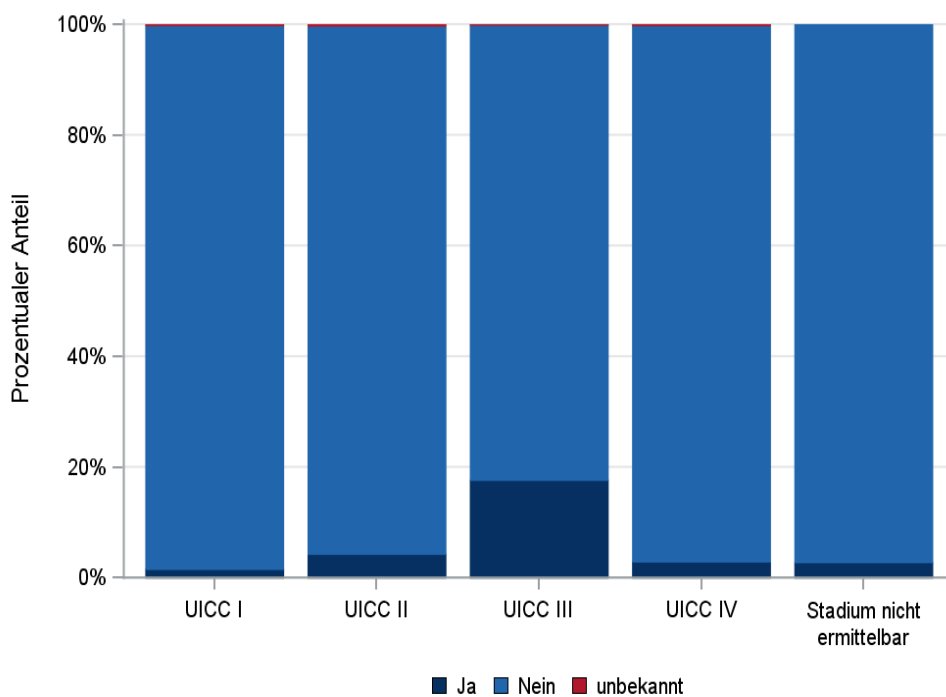
Intention der Bestrahlung	2008	2009	2010	2011	2012	2013	2014	2015	2016	2017	2018	Summe
Kurativ	7	20	22	22	35	35	44	71	75	57	72	460
Palliativ bzw. symptomatisch	28	21	31	28	26	33	50	45	36	56	31	385
Sonstige/Unbekannt/Keine Angabe	89	61	87	73	73	59	37	21	11	6	0	517
Summe	124	102	140	123	134	127	131	137	122	119	103	1362

Tab. 19.B.15c. C34: Intention bei der ersten systemischen Therapie (Behandlungsort)

Intention der systemischen Therapie	2008	2009	2010	2011	2012	2013	2014	2015	2016	2017	2018	Summe
Palliativ bzw. symptomatisch	62	41	60	66	61	62	58	64	53	78	81	686
Kurativ	48	49	49	57	58	50	52	49	51	56	58	577
Sonstige/Unbekannt/Keine Angabe	24	25	30	16	32	46	47	30	17	10	0	277
Summe	134	115	139	139	151	158	157	143	121	144	139	1540

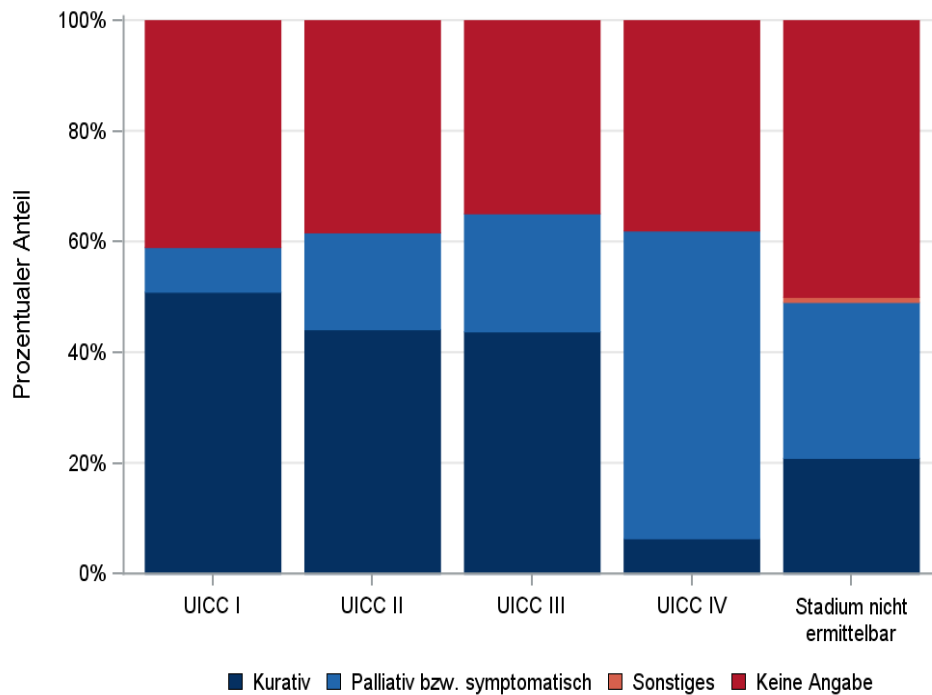
Tab. 19.B.16. C34: Zeitraum zwischen Diagnose und Beginn der ersten Therapie nach Therapieart (Angaben in Tagen, Behandlungsort)

Therapie	Anzahl	Median	Minimum	Maximum
Diagnose und erste Operation	924	25	0	365
Diagnose und erste Bestrahlung	1362	42	0	361
Diagnose und erste system. Therapie	1540	37	0	364



© KKR-MV 2020

Abb. 19.B.11. C34: Durchführung der Radiochemotherapie nach UICC-Klassifikation



© KKR-MV 2020

Abb. 19.B.12. C34: Intention der ersten Bestrahlung nach UICC-Klassifikation

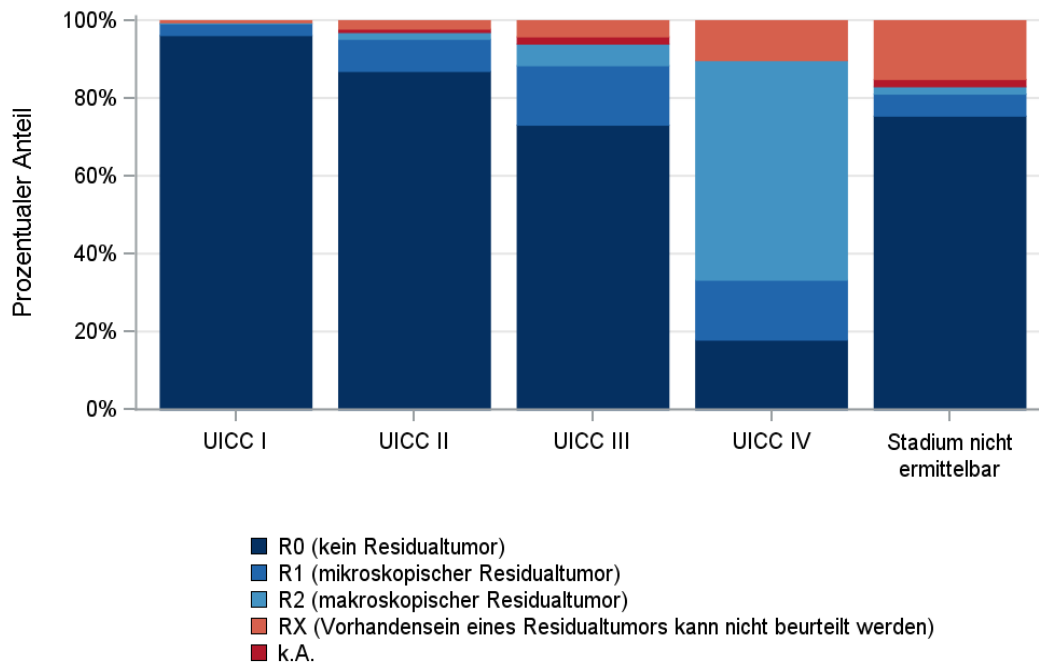
19.4.10.2 Dokumentierte tumorspezifische Operation bis max.12 Monate nach Diagnosestellung

Tab. 19.B.17. C34: Dokumentierte tumorspezifische Operation nach UICC (Behandlungsort)

Operationen	UICC I	UICC II	UICC III	UICC IV	Stadium nicht ermittelbar	Summe	
						Anzahl	%
Tumorresektion	363	228	209	38	52	890	96,3
Tumor- und Lymphknotenresektion	2	2	7	1	1	13	1,4
Lymphknotenresektion	0	0	2	0	0	2	0,2
sonstige OP	4	0	1	3	2	10	1,1
keine Angabe	4	0	4	0	1	9	1,0
Summe	373	230	223	42	56	924	100,0

Tab. 19.B.18. C34: Residualklassifikation nach Tumorresektion im Diagnosezeitraum 2008-2018

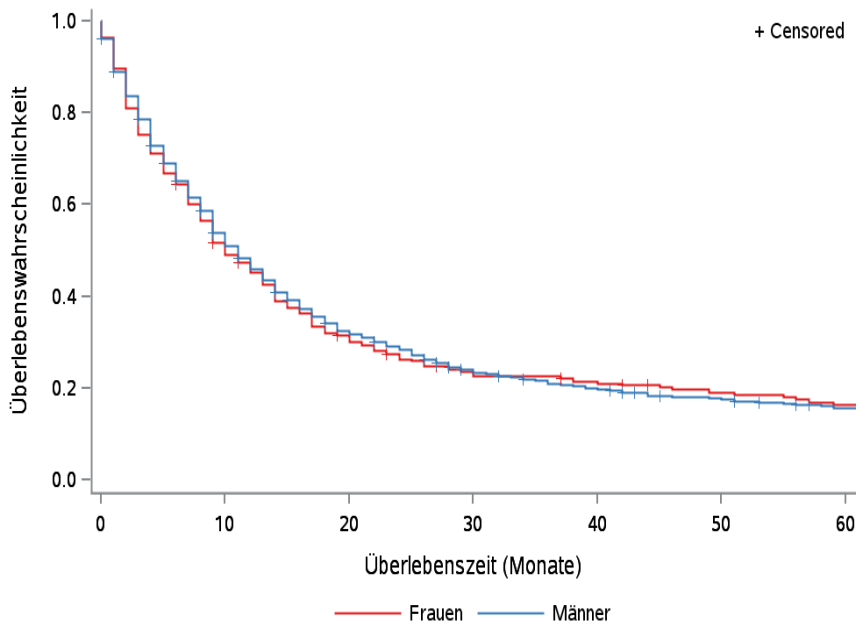
R-Klassifikation	UICC I	UICC II	UICC III	UICC IV	Stadium nicht ermittelbar	Summe	
						Anzahl	%
R0 (kein Residualtumor)	351	200	158	7	40	756	83,7
R1 (mikroskopischer Residualtumor)	11	19	33	6	3	72	8,0
R2 (makroskopischer Residualtumor)	1	4	12	22	1	40	4,4
RX (Vorhandensein eines Residualtumors kann nicht beurteilt werden)	2	5	9	4	8	28	3,1
keine Angabe	0	2	4	0	1	7	0,8
Summe	365	230	216	39	53	903	100,0



© KKR-MV 2020

Abb. 19.B.13. C34: Residualklassifikation nach Tumorresektion in Abhängigkeit von UICC-Tumorstadium im Diagnosezeitraum 2008 bis 2018

19.4.11 Überlebensanalysen bei den in den Jahren 2008 – 2013 primär diagnostizierten Patienten

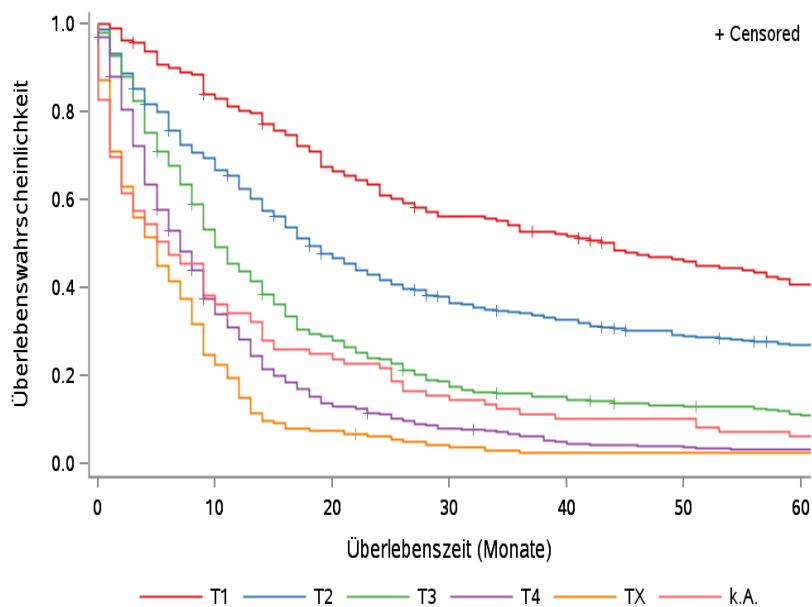


© KKR-MV 2020

Abb. 19.B.14. C34: Wahrscheinlichkeit des Überlebens (Kaplan-Meier-Analyse) nach Geschlecht im Diagnosezeitraum von 2008 bis 2013 (Wohnort). Kaplan-Meier-Kurven werden für Kategorien mit weniger als 10 Neuerkrankungen nicht dargestellt.

Tab. 19.B.19. C34: Anzahl der unter Risiko stehenden Neuerkrankungen (Monate nach Diagnose)

Geschlecht	0 Monate	20 Monate	40 Monate	60 Monate
Männer	1459	463	277	210
Frauen	278	85	55	40

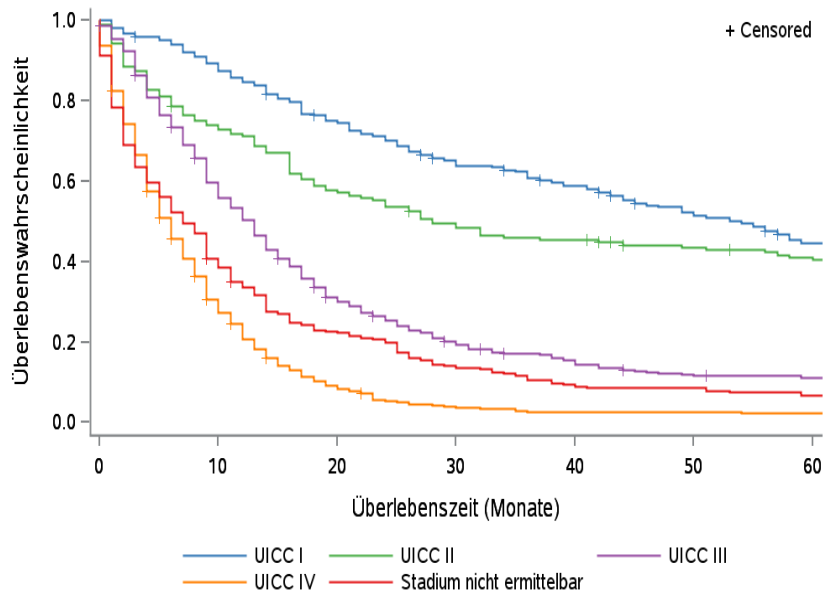


© KKR-MV 2020

Abb. 19.B.15. C34: Wahrscheinlichkeit des Überlebens (Kaplan-Meier-Analyse) nach Tumorgröße im Diagnosezeitraum von 2008 bis 2013 (Wohnort). Kaplan-Meier-Kurven werden für Kategorien mit weniger als 10 Neuerkrankungen nicht dargestellt.

Tab. 19.B.20. C34: Anzahl der unter Risiko stehenden Neuerkrankungen nach Tumorgröße (Monate nach Diagnose)

T-Kategorie	0 Monate	20 Monate	40 Monate	60 Monate
T1	208	138	104	79
T2	473	218	145	114
T3	330	94	48	33
T4	454	61	21	14
TX	173	13	4	4
k.A.	99	24	10	6

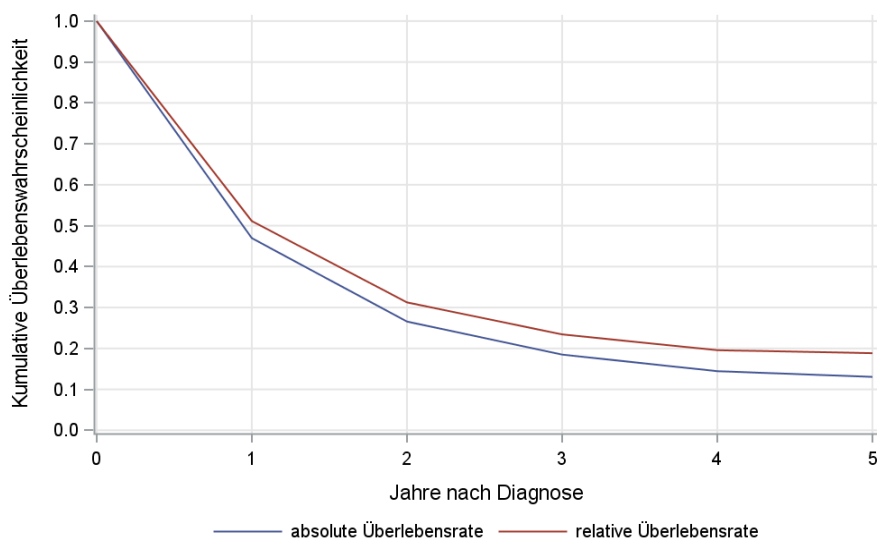


© KKR-MV 2020

Abb. 19.B.16. C34: Wahrscheinlichkeit des Überlebens (Kaplan-Meier-Analyse) nach UICC-Tumorstadium im Diagnosezeitraum von 2008 bis 2013 (Wohnort). Kaplan-Meier-Kurven werden für Kategorien mit weniger als 10 Neuerkrankungen nicht dargestellt.

Tab. 19.B.21. C34: Anzahl der unter Risiko stehenden Neuerkrankungen nach UICC-Stadium (Monate nach Diagnose)

UICC-Stadium	0 Monate	20 Monate	40 Monate	60 Monate
UICC I	268	198	149	109
UICC II	173	99	77	65
UICC III	478	144	68	47
UICC IV	556	49	14	12
Stadium nicht ermittelbar	262	58	24	17



© KKR-MV 2020

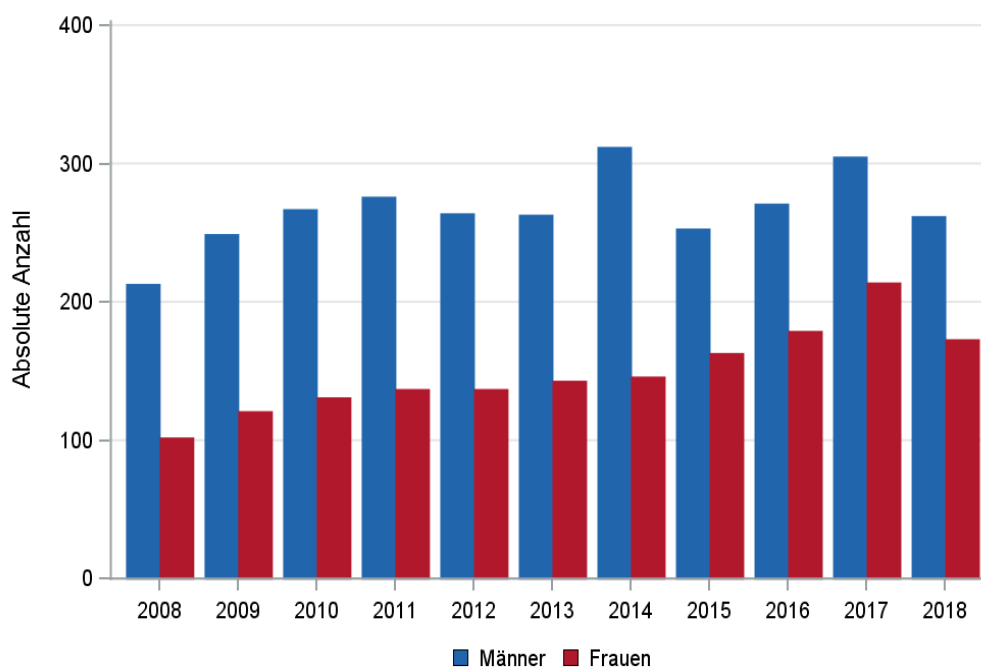
Abb. 19.B.17. C34: Absolutes und relatives Überleben im Diagnosezeitraum 2008 bis 2013 (Wohnort, Alter > 19)

19.5 Lunge (Gruppe C: Adenokarzinome)

19.5.1 Absolute Anzahl der erfassten Neuerkrankungen in M-V in den Jahren 2008 – 2018 nach Geschlecht (Behandlungsort, Wohnort)

Tab. 19.C.1. C34: Absolute Anzahl der Neuerkrankungen nach Geschlecht (Behandlungsort)

Diagnosejahr	Männer		Frauen		Summe
	Anzahl	%	Anzahl	%	
2008	213	67,6	102	32,4	315
2009	249	67,3	121	32,7	370
2010	267	67,1	131	32,9	398
2011	276	66,8	137	33,2	413
2012	264	65,8	137	34,2	401
2013	263	64,8	143	35,2	406
2014	312	68,1	146	31,9	458
2015	253	60,8	163	39,2	416
2016	271	60,2	179	39,8	450
2017	305	58,8	214	41,2	519
2018	262	60,2	173	39,8	435
Summe	2935	64,1	1646	35,9	4581

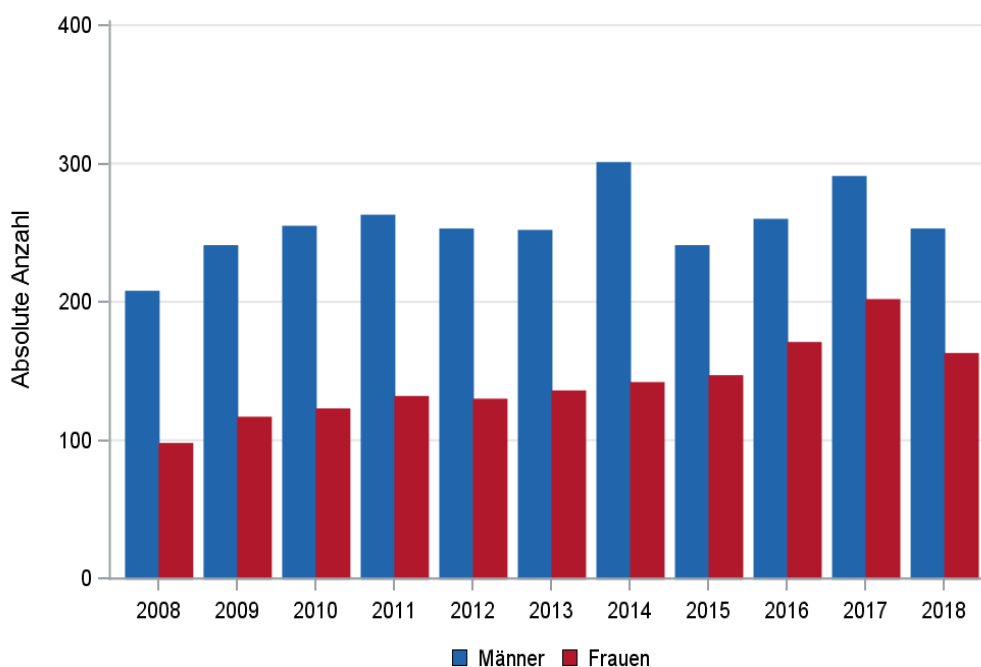


© KKR-MV 2020

Abb. 19.C.1. C34: Absolute Anzahl der Neuerkrankungen nach Geschlecht im Diagnosezeitraum 2008 bis 2018 (Behandlungsort)

Tab. 19.C.2. C34: Absolute Anzahl der Neuerkrankungen nach Geschlecht (Wohnort)

Diagnosejahr	Männer		Frauen		Summe
	Anzahl	%	Anzahl	%	
2008	208	68,0	98	32,0	306
2009	241	67,3	117	32,7	358
2010	255	67,5	123	32,5	378
2011	263	66,6	132	33,4	395
2012	253	66,1	130	33,9	383
2013	252	64,9	136	35,1	388
2014	301	67,9	142	32,1	443
2015	241	62,1	147	37,9	388
2016	260	60,3	171	39,7	431
2017	291	59,0	202	41,0	493
2018	253	60,8	163	39,2	416
Summe	2818	64,4	1561	35,6	4379



© KKR-MV 2020

Abb. 19.C.2. C34: Absolute Anzahl der Neuerkrankungen nach Geschlecht im Diagnosezeitraum 2008 bis 2018 (Wohnort)

19.5.2 Absolute Anzahl der erfassten Neuerkrankungen in M-V in den Jahren 2008 – 2018 nach Landkreisen (Wohnort)

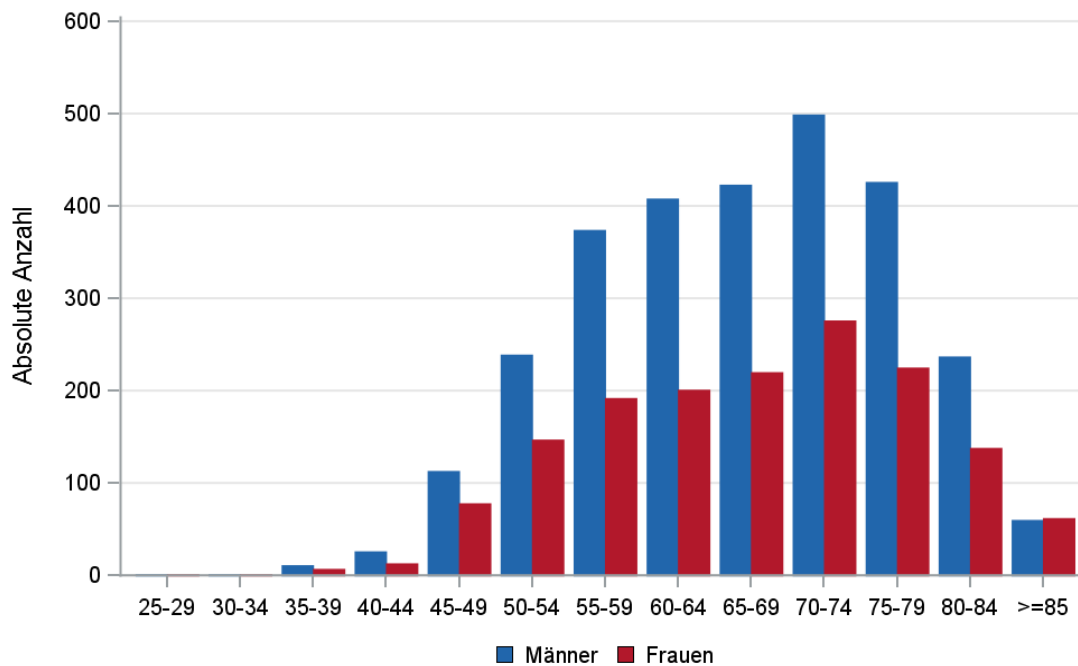
Tab. 19.C.3. C34: Absolute Anzahl und prozentualer Anteil der Neuerkrankungen nach Landkreisen

Landkreis	2008		2009		2010		2011		2012		2013		2014		2015		2016		2017		2018		Summe	
	Anzahl	%	Anzahl	%	Anzahl	%	Anzahl	%	Anzahl	%	Anzahl	%	Anzahl	%	Anzahl	%	Anzahl	%	Anzahl	%	Anzahl	%	Anzahl	%
Landkreis Rostock	26	8,5	45	12,6	37	9,8	44	11,1	48	12,5	43	11,1	65	14,7	63	16,2	68	15,8	75	15,2	47	11,3	561	12,8
Ludwigslust-Parchim	36	11,8	37	10,3	44	11,6	37	9,4	48	12,5	62	16,0	62	14,0	51	13,1	48	11,1	51	10,3	51	12,3	527	12,0
Mecklenburgische Seenplatte	45	14,7	36	10,1	50	13,2	60	15,2	47	12,3	41	10,6	46	10,4	38	9,8	27	6,3	68	13,8	51	12,3	509	11,6
Nordwestmecklenburg	27	8,8	34	9,5	27	7,1	30	7,6	26	6,8	36	9,3	51	11,5	28	7,2	47	10,9	41	8,3	43	10,3	390	8,9
Rostock	44	14,4	58	16,2	56	14,8	39	9,9	56	14,6	43	11,1	47	10,6	49	12,6	60	13,9	64	13,0	60	14,4	576	13,2
Schwerin	19	6,2	23	6,4	22	5,8	28	7,1	34	8,9	30	7,7	22	5,0	40	10,3	30	7,0	24	4,9	35	8,4	307	7,0
Vorpommern-Greifswald	59	19,3	62	17,3	73	19,3	89	22,5	60	15,7	71	18,3	70	15,8	54	13,9	68	15,8	84	17,0	77	18,5	767	17,5
Vorpommern-Rügen	47	15,4	63	17,6	68	18,0	66	16,7	61	15,9	61	15,7	80	18,1	65	16,8	82	19,0	86	17,4	52	12,5	731	16,7
nicht zuordenbar	3	1,0	0	0	1	0,3	2	0,5	3	0,8	1	0,3	0	0	0	0	1	0,2	0	0	0	0	11	0,3
Summe	306	100,0	358	100,0	378	100,0	395	100,0	383	100,0	388	100,0	443	100,0	388	100,0	431	100,0	493	100,0	416	100,0	4379	100,0

19.5.3 Rohe und standardisierte Neuerkrankungsraten pro 100.000 Einwohner in den Jahren 2008-2018 (Wohnort)

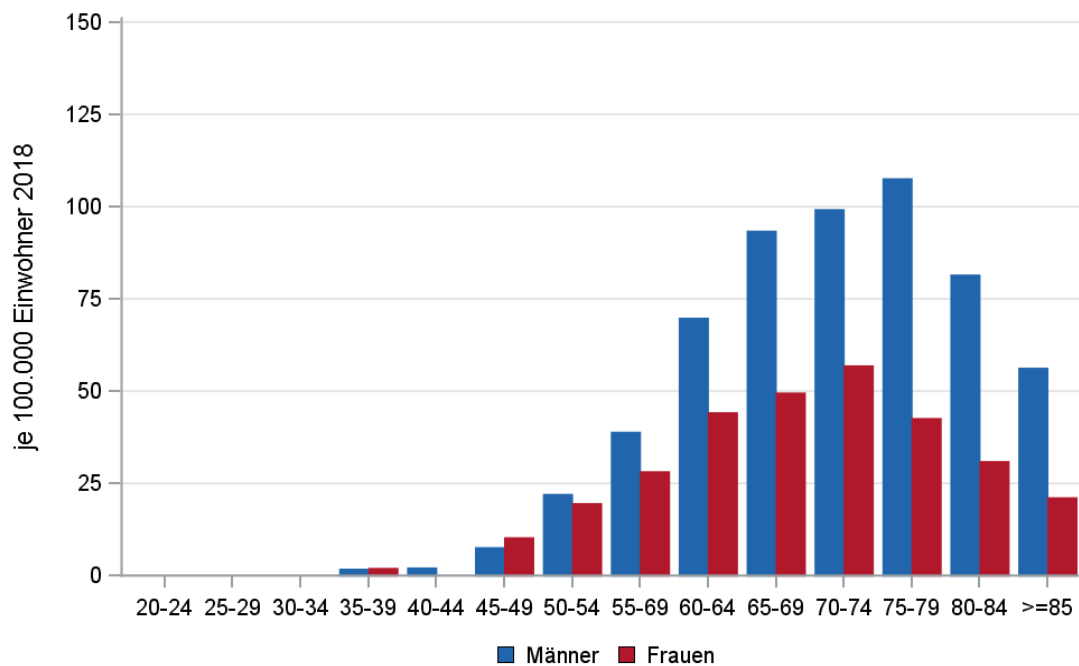
Tab. 19.C.4. C34: Neuerkrankungsrate/100.000 Einwohner (Alter > 19)

Diagnosejahr	Männer			Frauen		
	absolute Anzahl der Neuerkrankungen	rohe Rate in M-V	altersstandardisierte Rate	absolute Anzahl der Neuerkrankungen	rohe Rate in M-V	altersstandardisierte Rate
2008	208	30,0	25,0	98	13,7	9,9
2009	241	34,9	28,3	117	16,4	12,0
2010	255	36,9	28,9	123	17,3	12,9
2011	263	39,2	30,0	132	18,8	13,0
2012	253	38,0	29,1	130	18,7	12,9
2013	252	38,0	28,1	136	19,6	13,4
2014	301	45,6	33,0	142	20,6	14,4
2015	241	36,5	26,8	147	21,4	14,5
2016	260	39,3	27,4	171	24,9	16,8
2017	291	44,2	31,3	202	29,4	18,8
2018	253	38,6	26,0	163	23,8	15,8
2008-2018	2818	38,3	28,5	1561	20,4	14,0



© KKR-MV 2020

Abb. 19.C.3. C34: Absolute Anzahl der Neuerkrankungen aufgelistet in 5-Jahres-Altersgruppen und nach Geschlecht im Diagnosezeitraum 2008 bis 2018 (Wohnort)



© KKR-MV 2020

Abb. 19.C.4. C34: Altersspezifische Rate der Neuerkrankungen je 100.000 Einwohner (Diagnosejahr 2018) nach 5-Jahres-Altersgruppen und Geschlecht (Wohnort)

19.5.4 Alter der in den Jahren 2008 - 2018 in M-V neuerkrankten Patienten (Behandlungsort)

Tab. 19.C.5. C34: Erkrankungsalter (Behandlungsort)

Diagnosejahr	Männer				Frauen			
	Anzahl	Median	Minimum	Maximum	Anzahl	Median	Minimum	Maximum
2008	213	68	40	93	102	68	44	93
2009	249	67	39	90	121	68	43	87
2010	267	69	36	88	131	67	38	83
2011	276	69	42	88	137	68	41	89
2012	264	68	42	94	137	69	44	92
2013	263	66	35	88	143	68	38	91
2014	312	68	37	93	146	65	37	90
2015	253	64	38	90	163	67	28	94
2016	271	68	29	90	179	66	31	88
2017	305	65	34	90	214	71	44	95
2018	262	67	38	90	173	66	39	93

19.5.5 Absolute Anzahl der erfassten Neuerkrankungen in M-V in den Jahren 2008 – 2018 nach Lokalisation

Tab. 19.C.6. C34: Absolute Anzahl und prozentualer Anteil der Neuerkrankungen nach der Lokalisation (Behandlungsort)

Lokalisation	2008	2009	2010	2011	2012	2013	2014	2015	2016	2017	2018	Summe	
												Anzahl	%
C34.0 Hauptbronchus	11	17	14	31	14	16	23	23	27	24	17	217	4,7
C34.01 Carina	1	0	2	1	1	1	0	3	1	2	1	13	0,3
C34.02 Zwischenbronchus	1	7	3	0	6	3	4	6	2	5	4	41	0,9
C34.1 Lungenoberlappen (einschl. Lingula und Oberlappenbronchus)	147	176	191	204	210	204	229	217	228	265	243	2314	50,5
C34.2 Lungenmittellappen (einschl. Mittellappenbronchus)	12	22	23	23	20	17	23	15	33	23	22	233	5,1
C34.3 Lungenunterlappen (einschl. Unterlappenbronchus)	87	100	105	94	98	104	116	93	117	146	103	1163	25,4
C34.8 Lunge (mehrere Teilbereiche überlappend)	15	18	14	21	16	17	14	16	14	26	14	185	4,0
C34.9 Lunge o.n.A., Bronchus o.n.A.	42	30	46	39	36	44	49	43	28	29	31	417	9,1
Summe	316	370	398	413	401	406	458	416	450	520	435	4583	100,0

19.5.6 Histologische Befunde bei allen neuerkrankten Patienten in M-V in den Jahren 2008 – 2018

Tab. 19.C.7. C34: Histologische Befunde bei neuerkrankten Patienten (Behandlungsort)

Histologiecode	Anzahl	Prozent
8140/3: Adenokarzinom o.n.A.	3772	82,3
8550/3: Azinuszellkarzinom	201	4,4
8230/3: Solides Karzinom o.n.A.	121	2,6
8260/3: Papilläres Adenokarzinom o.n.A.	102	2,2
8255/3: Adenokarzinom mit gemischten Subtypen	87	1,9
8480/3: Muzinöses Adenokarzinom	58	1,3
8250/3: Bronchiolo-alveoläres Adenokarzinom o.n.A.	55	1,2
8551/3: Azinuszell-Zystadenokarzinom	50	1,1
8253/3: Muzinöses bronchiolo-alveoläres Karzinom	27	0,6
8481/3: Schleimbildendes Adenokarzinom	22	0,5
8252/3: Nichtmuzinöses bronchiolo-alveoläres Karzinom	16	0,4
8211/3: Tubuläres Adenokarzinom	13	0,3
8310/3: Klarzelliges Adenokarzinom o.n.A.	10	0,2
8254/3: Gemischtes muzinöses und nichtmuzinöses bronchiolo-alveoläres Karzinom	8	0,2
8144/3: Adenokarzinom vom intestinalen Typ	5	0,1
8263/3: Adenokarzinom in tubulovillösem Adenom	5	0,1
8574/3: Adenokarzinom mit neuroendokriner Differenzierung	5	0,1
8265/3: Mikropapilläres Karzinom o.n.A.	4	0,1
8323/3: Gemischtzelliges Adenokarzinom	4	0,1
8251/3: Alveoläres Adenokarzinom	3	0,1
8490/3: Siegelringzellkarzinom	3	0,1
8576/3: Hepatoides Adenokarzinom	3	0,1
8500/3: Invasives duktales Karzinom o.n.A.	2	0,0
8141/3: Szirrhöses Adenokarzinom	1	0,0
8145/3: Diffuses Karzinom	1	0,0
8333/3: Fetales Adenokarzinom	1	0,0

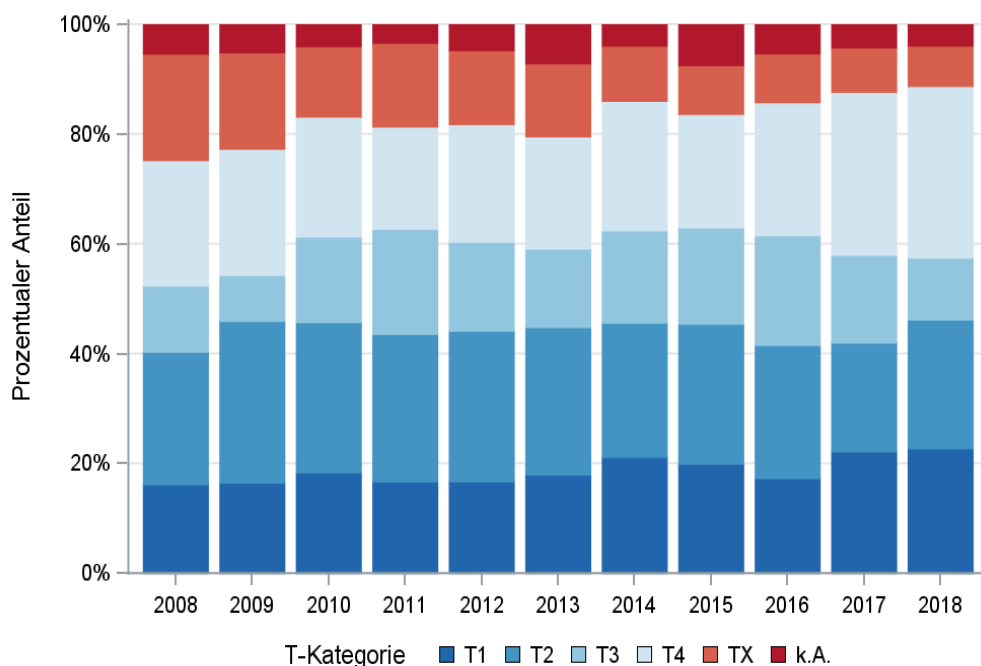
Histologiecode	Anzahl	Prozent
8401/3: Apokrines Adenokarzinom	1	0,0
8503/3: Intraduktales papilläres Adenokarzinom mit Invasion	1	0,0
Adenokarzinome	4581	100,0

19.5.7 Tumorgröße und Ausdehnung (TNM)

Tab. 19.C.8. C34: Absolute Anzahl der Neuerkrankungen klassifiziert nach der Tumorgröße in Bezug zu der Auflage der TNM-Klassifikation (Behandlungsort)

Tumorgröße (T)	TNM Auflage 6		TNM Auflage 7		TNM Auflage 8		k.A. zur TNM Auflage		Summe	
	Anzahl	%	Anzahl	%	Anzahl	%	Anzahl*	%	Anzahl	%
T1	95	15,8	570	19,6	201	24,0	-	-	866	18,9
T2	169	28,0	802	27,5	185	22,1	-	-	1156	25,2
T3	69	11,4	518	17,8	118	14,1	-	-	705	15,4
T4	156	25,9	659	22,6	268	31,9	-	-	1083	23,6
TX	114	18,9	364	12,5	67	8,0	-	-	545	11,9
k.A.	0	0	1	0,0	0	0	225	100,0	226	4,9
Summe	603	100,0	2914	100,0	839	100,0	225	100,0	4581	100,0

*In einzelnen Fällen wurden Angaben zur Tumorgröße ohne Bezug zu einer TNM Auflage gemacht. Diese Angaben wurden in die Kategorie k.A. aufgenommen.



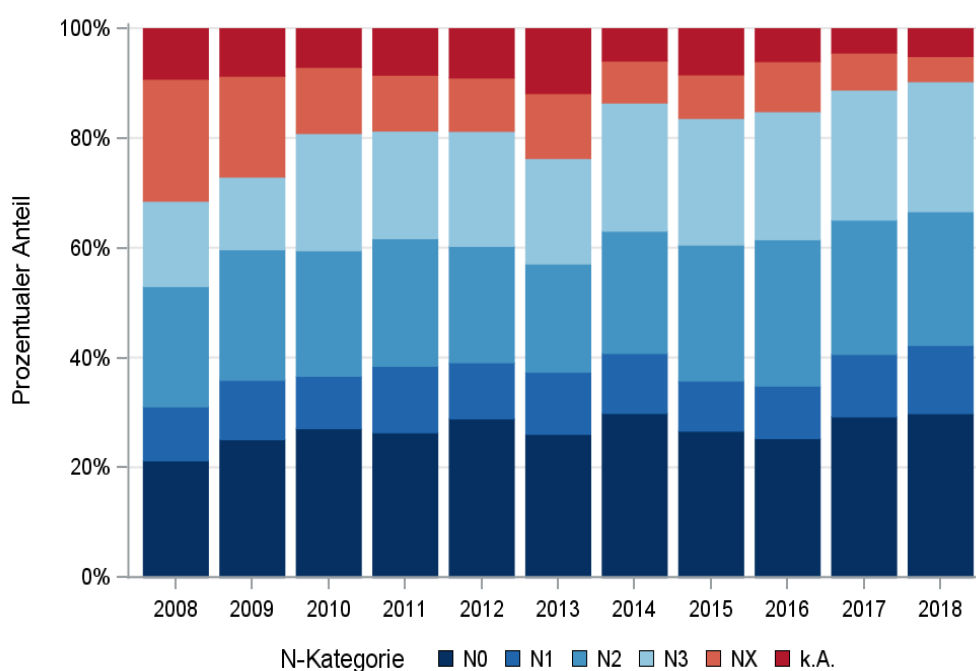
© KKR-MV 2020

Abb. 19.C.5. C34: Prozentualer Anteil der Neuerkrankungen nach der Tumorgröße im Diagnosezeitraum 2008 bis 2018

Tab. 19.C.9. C34: Absolute Anzahl der Neuerkrankungen mit bzw. ohne Befall der regionären Lymphknoten in Bezug zu der Auflage der TNM-Klassifikation (Behandlungsort)

N-Kategorie	TNM Auflage 6		TNM Auflage 7		TNM Auflage 8		k.A. zur TNM Auflage		Summe	
	Anzahl	%	Anzahl	%	Anzahl	%	Anzahl*	%	Anzahl	%
N0	148	24,5	832	28,6	263	31,3	-	-	1243	27,1
N1	60	10,0	326	11,2	104	12,4	-	-	490	10,7
N2	146	24,2	704	24,2	217	25,9	-	-	1067	23,3
N3	99	16,4	659	22,6	202	24,1	-	-	960	21,0
NX	131	21,7	300	10,3	48	5,7	-	-	479	10,5
k.A.	19	3,2	93	3,2	5	0,6	225	100,0	342	7,5
Summe	603	100,0	2914	100,0	839	100,0	225	100,0	4581	100,0

*In einzelnen Fällen wurden Angaben zur N-Kategorie ohne Bezug zu einer TNM Auflage gemacht. Diese Angaben wurden in die Kategorie k.A. aufgenommen.



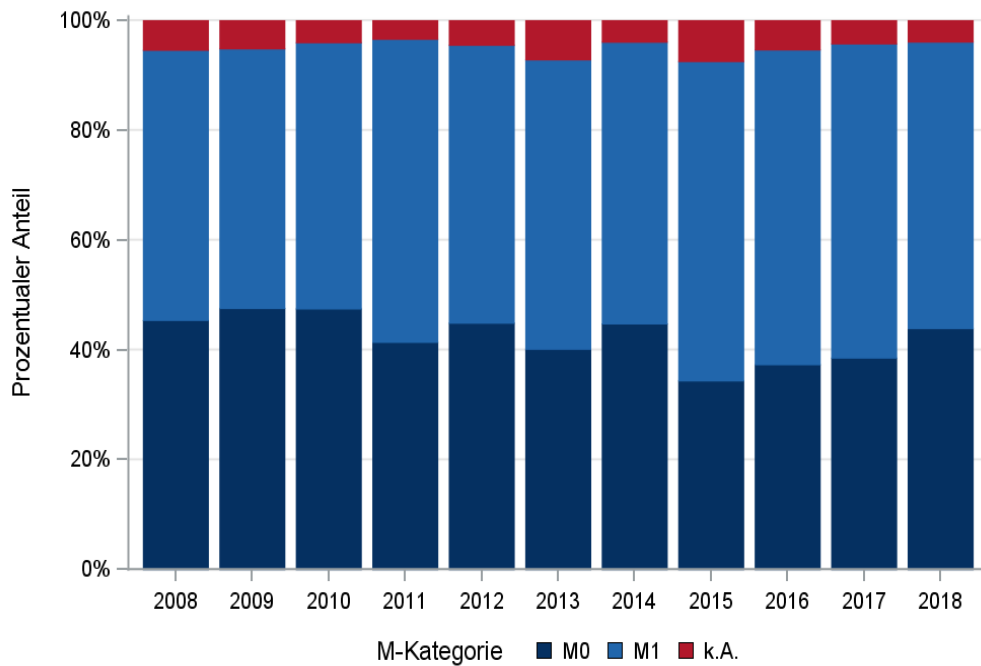
© KKR-MV 2020

Abb. 19.C.6. C34: Prozentualer Anteil der Neuerkrankungen mit und ohne Befall der regionären Lymphknoten zum Zeitpunkt der Erstdiagnose im Diagnosezeitraum 2008 bis 2018

Tab. 19.C.10. C34: Absolute Anzahl der Neuerkrankungen mit Fernmetastasierung in Bezug zu der Auflage der TNM-Klassifikation (Behandlungsort)

M-Kategorie	TNM Auflage 6		TNM Auflage 7		TNM Auflage 8		k.A. zur TNM Auflage		Summe	
	Anzahl	%	Anzahl	%	Anzahl	%	Anzahl*	%	Anzahl	%
M0	286	47,4	1286	44,1	357	42,6	-	-	1929	42,1
M1	317	52,6	1628	55,9	482	57,4	-	-	2427	53,0
k.A.	0	0	0	0	0	0	225	100,0	225	4,9
Summe	603	100,0	2914	100,0	839	100,0	225	100,0	4581	100,0

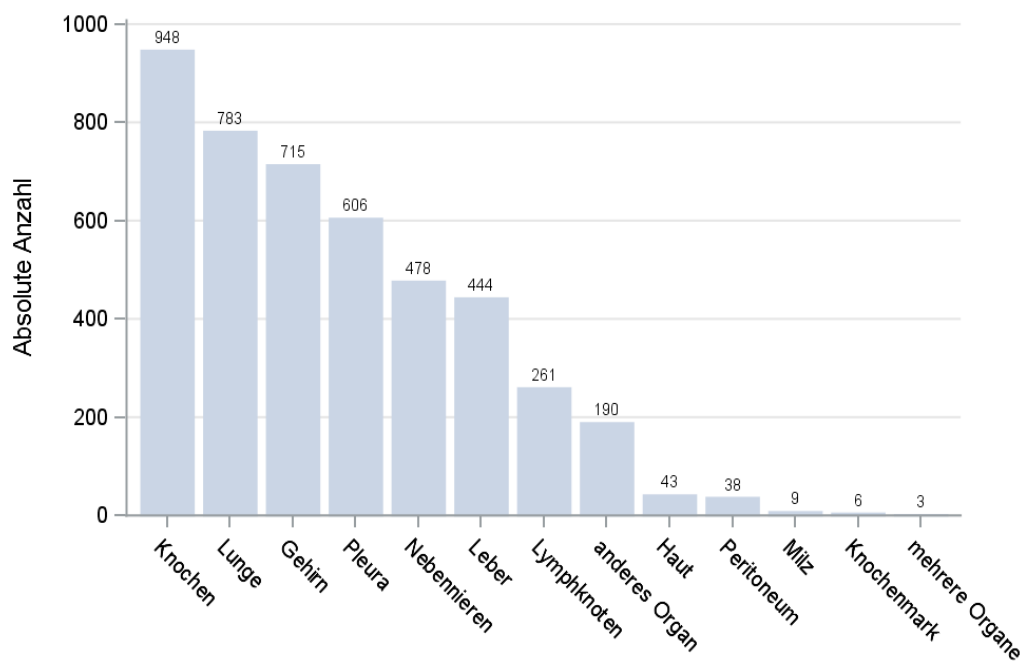
*In einzelnen Fällen wurden Angaben zur M-Kategorie ohne Bezug zu einer TNM Auflage gemacht. Diese Angaben wurden in die Kategorie k.A. aufgenommen.



© KKR-MV 2020

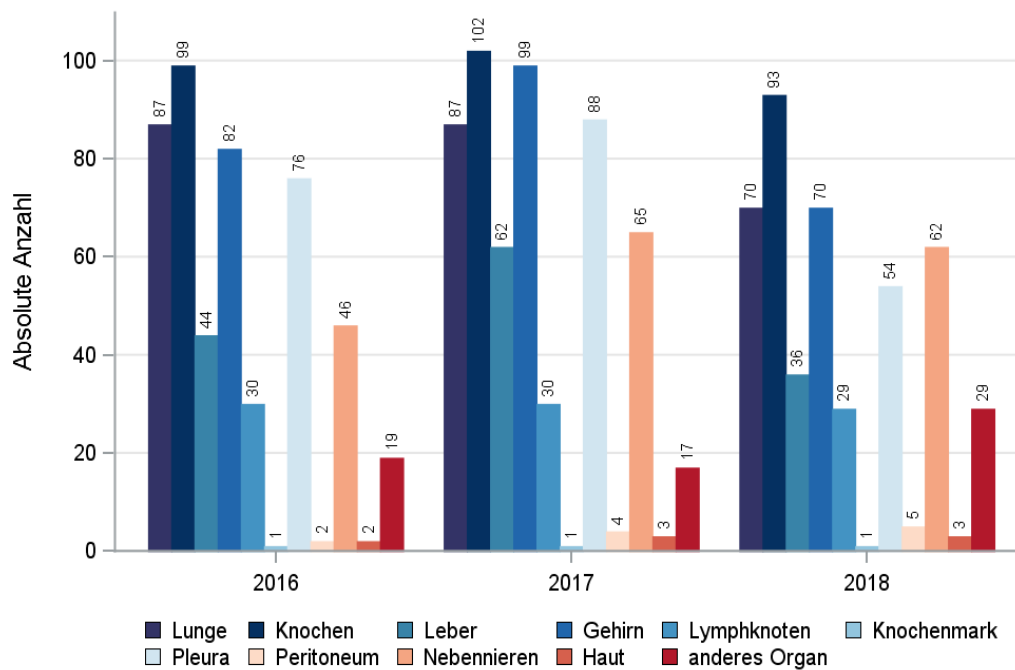
Abb. 19.C.7. C34: Prozentualer Anteil der primären Fernmetastasierung im Diagnosezeitraum 2008 bis 2018

19.5.8 Lokalisation der Fernmetastasen



© KKR-MV 2020

Abb. 19.C.8. C34: Lokalisation der Fernmetastasen bei Neuerkrankungen im Diagnosezeitraum 2008 bis 2018



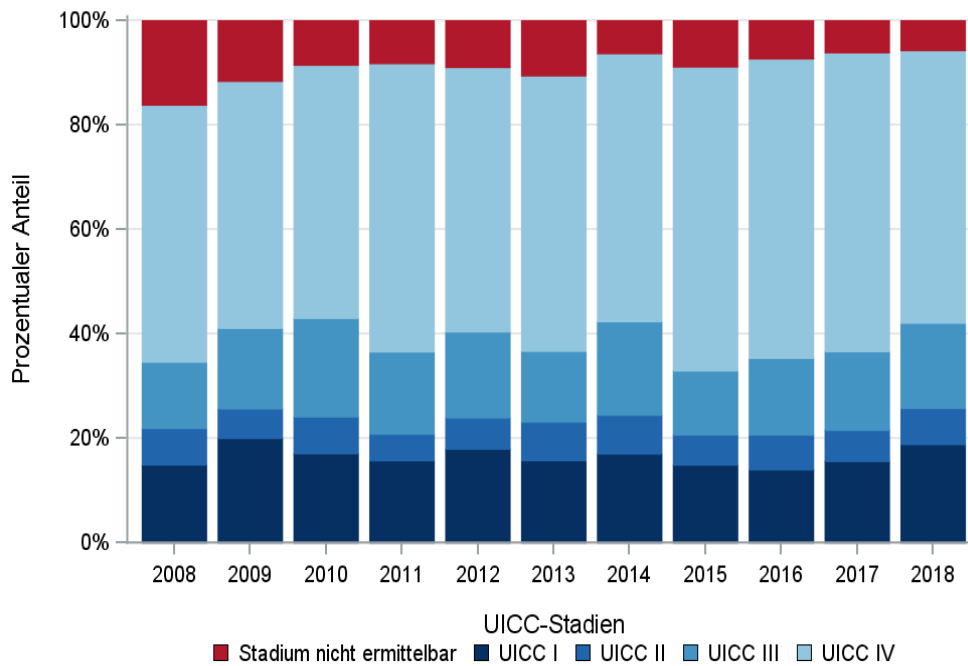
© KKR-MV 2020

Abb. 19.C.9. C34: Lokalisation der Fernmetastasen bei Neuerkrankungen für die Diagnosejahre 2016 bis 2018

19.5.9 Tumorstadien nach UICC

Tab. 19.C.11. C34: Primäre UICC-Stadien (Behandlungsort)

Jahre	UICC I		UICC II		UICC III		UICC IV		Stadium nicht ermittelbar		Summe	
	Anzahl	%	Anzahl	%	Anzahl	%	Anzahl	%	Anzahl	%	Anzahl	%
2008	47	14,9	22	7,0	40	12,7	155	49,2	51	16,2	315	100,0
2009	74	20,0	21	5,7	57	15,4	175	47,3	43	11,6	370	100,0
2010	68	17,1	28	7,0	75	18,8	193	48,5	34	8,5	398	100,0
2011	65	15,7	21	5,1	65	15,7	228	55,2	34	8,2	413	100,0
2012	72	18,0	24	6,0	66	16,5	203	50,6	36	9,0	401	100,0
2013	64	15,8	30	7,4	55	13,5	214	52,7	43	10,6	406	100,0
2014	78	17,0	34	7,4	82	17,9	235	51,3	29	6,3	458	100,0
2015	62	14,9	24	5,8	51	12,3	242	58,2	37	8,9	416	100,0
2016	63	14,0	30	6,7	66	14,7	258	57,3	33	7,3	450	100,0
2017	81	15,6	31	6,0	78	15,0	297	57,2	32	6,2	519	100,0
2018	82	18,9	30	6,9	71	16,3	227	52,2	25	5,7	435	100,0
Summe	756	16,5	295	6,4	706	15,4	2427	53,0	397	8,7	4581	100,0



© KKR-MV 2020

Abb. 19.C.10. C34: Prozentuale Anteile der UICC-Tumorstadien in den Diagnosejahren 2008 bis 2018

19.5.10 Dokumentierte Therapie bis max. 12 Monate nach Diagnosestellung

19.5.10.1 Therapiekombinationen, Stellung der Therapie und Intention der dokumentierten Therapien

Tab. 19.C.12. C34: Therapiekombinationen (Operation, Strahlentherapie, systemische Therapie) pro Diagnosejahr (Behandlungsort)

Therapiekombinationen	2008	2009	2010	2011	2012	2013	2014	2015	2016	2017	2018	Summe
Alleinige Operation	56	59	74	79	73	69	76	57	67	81	81	772
Alleinige systemische Therapie	91	93	110	136	132	108	141	140	141	168	140	1400
Alleinige Strahlentherapie	21	30	18	25	33	38	39	38	38	61	33	374
Operation und systemische Therapie, keine Strahlentherapie	24	45	46	35	32	41	42	26	33	26	33	383
Operation und Strahlentherapie, keine systemische Therapie	3	2	1	2	2	1	3	3	3	2	4	26
Systemische Therapie und Strahlentherapie, keine Operation	42	46	45	46	39	40	57	40	42	45	43	485
Operation und systemische Therapie und Strahlentherapie	6	13	8	6	13	9	8	15	12	14	7	111
Keine Operation, systemische Therapie oder Strahlentherapie	72	82	96	84	77	100	92	97	114	122	94	1030
Summe	315	370	398	413	401	406	458	416	450	519	435	4581

Tab. 19.C.13. C34: Therapiekombinationen (Operation, Strahlentherapie, systemische Therapie) in Abhängigkeit von dem UICC-Stadium (Behandlungsort)

Therapiekombinationen	UICC I	UICC II	UICC III	UICC IV	Stadium nicht ermittelbar	Summe
Alleinige Operation	550	83	61	23	55	772
Alleinige systemische Therapie	5	8	110	1195	82	1400
Alleinige Strahlentherapie	100	25	80	145	24	374
Operation und systemische Therapie, keine Strahlentherapie	53	128	118	58	26	383
Operation und Strahlentherapie, keine systemische Therapie	4	7	11	4	0	26
Systemische Therapie und Strahlentherapie, keine Operation	9	9	172	269	26	485
Operation und systemische Therapie und Strahlentherapie	6	12	74	13	6	111
Keine Operation, systemische Therapie oder Strahlentherapie	29	23	80	720	178	1030
Summe	756	295	706	2427	397	4581

Tab. 19.C.14. C34: Stellung der Strahlentherapie zur operativen Therapie im ersten Jahr der Erkrankung (adjuvant/neoadjuvant, Behandlungsort)

Stellung der Strahlentherapie zur operativen Therapie	2008	2009	2010	2011	2012	2013	2014	2015	2016	2017	2018	Summe
Adjuvante (postoperative) Strahlentherapie	4	8	4	2	6	4	9	9	13	12	10	81
Neoadjuvante (präoperative) Strahlentherapie	0	2	0	1	1	0	1	2	2	1	1	11
Therapie ohne Bezug zu einer operativen Therapie	0	1	1	0	1	0	0	3	0	3	0	9
unbekannt	5	4	4	5	7	6	1	4	0	0	0	36
Summe	9	15	9	8	15	10	11	18	15	16	11	137

Tab. 19.C.15a. C34: Intention bei der ersten Operation (Behandlungsort)

Intention der Operation	2008	2009	2010	2011	2012	2013	2014	2015	2016	2017	2018	Summe
Kurativ	65	90	102	109	110	104	110	87	86	109	108	1080
Palliativ bzw. symptomatisch	6	4	8	6	2	6	7	2	7	2	5	55
Sonstige/Unbekannt/Keine Angabe	18	25	19	7	8	10	12	12	22	12	12	157
Summe	89	119	129	122	120	120	129	101	115	123	125	1292

Tab. 19.C.15b. C34: Intention der initialen Bestrahlung (Behandlungsort)

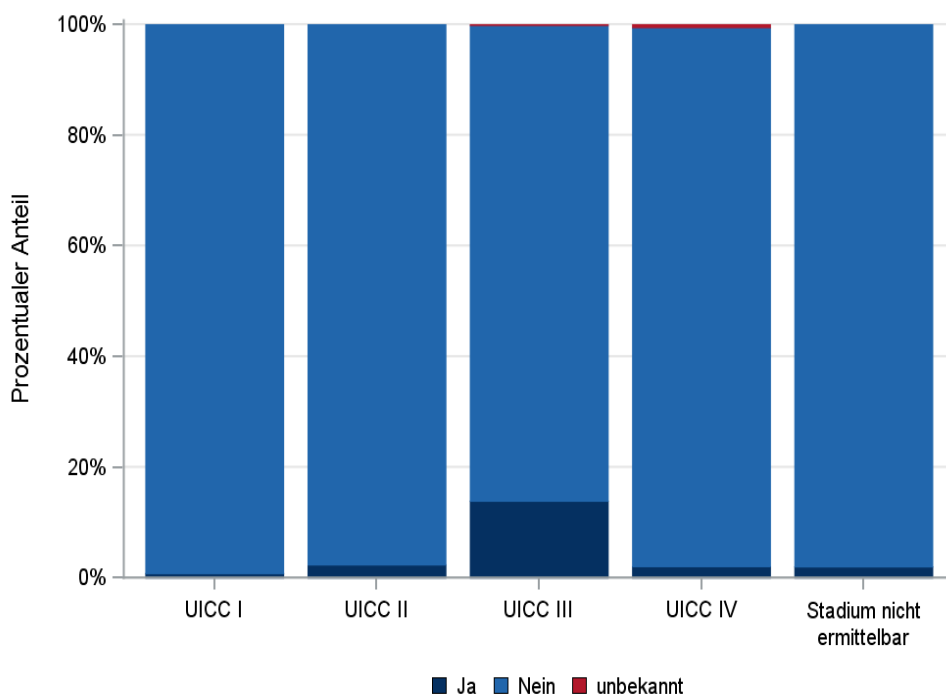
Intention der Bestrahlung	2008	2009	2010	2011	2012	2013	2014	2015	2016	2017	2018	Summe
Palliativ bzw. symptomatisch	15	25	12	14	15	20	48	42	47	66	43	347
Kurativ	8	14	10	11	19	10	36	38	40	53	44	283
Sonstige/Unbekannt/Keine Angabe	49	52	50	54	53	58	23	16	8	3	0	366
Summe	72	91	72	79	87	88	107	96	95	122	87	996

Tab. 19.C.15c. C34: Intention bei der ersten systemischen Therapie (Behandlungsort)

Intention der systemischen Therapie	2008	2009	2010	2011	2012	2013	2014	2015	2016	2017	2018	Summe
Palliativ bzw. symptomatisch	103	95	107	140	126	93	123	122	160	181	157	1407
Kurativ	36	58	67	47	45	37	57	47	52	56	64	566
Sonstige/Unbekannt/Keine Angabe	24	44	35	36	45	68	68	52	16	16	1	405
Summe	163	197	209	223	216	198	248	221	228	253	223	2379

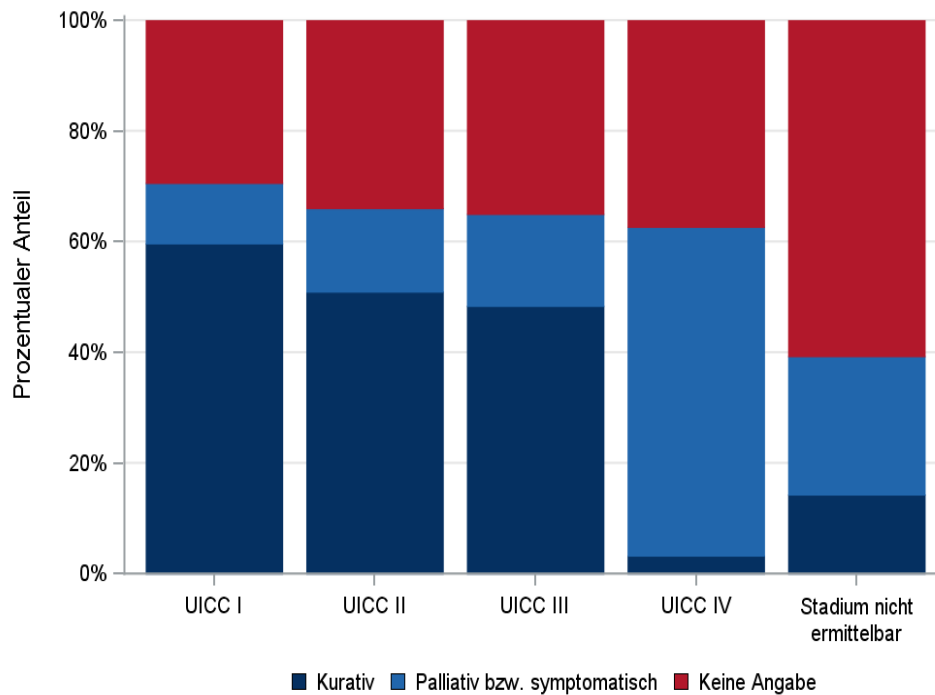
Tab. 19.C.16. C34: Zeitraum zwischen Diagnose und Beginn der ersten Therapie nach Therapieart (Angaben in Tagen, Behandlungsort)

Therapie	Anzahl	Median	Minimum	Maximum
Diagnose und erste Operation	1292	19	0	365
Diagnose und erste Bestrahlung	996	48	0	362
Diagnose und erste system. Therapie	2379	32	0	365



© KKR-MV 2020

Abb.19.C.11. C34: Durchführung der Radiochemotherapie nach UICC-Klassifikation



© KKR-MV 2020

Abb. 19.C.12. C34: Intention der ersten Bestrahlung nach UICC-Klassifikation

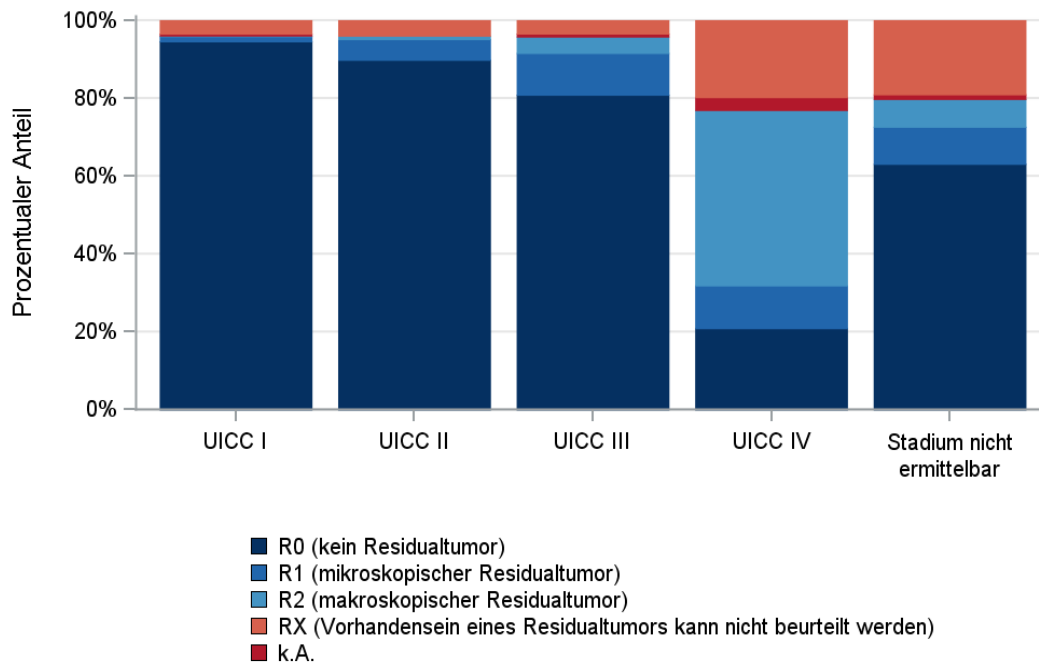
19.5.10.2 Dokumentierte tumorspezifische Operation bis max.12 Monate nach Diagnosestellung

Tab. 19.C.17. C34: Dokumentierte tumorspezifische Operation nach UICC (Behandlungsort)

Operationen	UICC I	UICC II	UICC III	UICC IV	Stadium nicht ermittelbar	Summe	
						Anzahl	%
Tumorresektion	599	224	256	90	83	1252	96,9
Tumor- und Lymphknotenresektion	8	2	5	1	1	17	1,3
Lymphknotenresektion	0	0	0	0	1	1	0,1
sonstige OP	2	2	0	7	0	11	0,9
keine Angabe	4	2	3	0	2	11	0,9
Summe	613	230	264	98	87	1292	100,0

Tab. 19.C.18. C34: Residualklassifikation nach Tumorresektion im Diagnosezeitraum 2008-2018

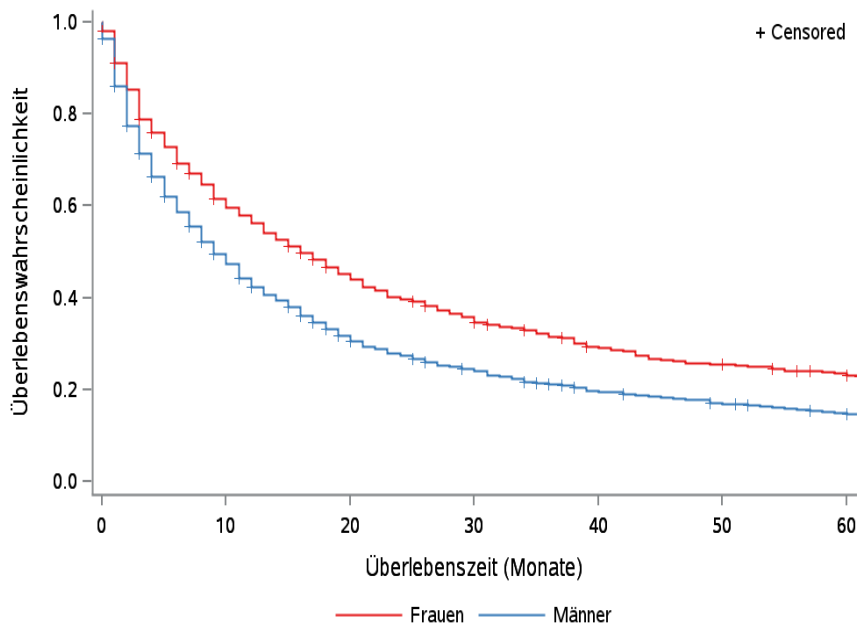
R-Klassifikation	UICC I	UICC II	UICC III	UICC IV	Stadium nicht ermittelbar	Summe	
						Anzahl	%
R0 (kein Residualtumor)	574	203	211	19	53	1060	83,5
R1 (mikroskopischer Residualtumor)	8	12	28	10	8	66	5,2
R2 (makroskopischer Residualtumor)	1	2	11	41	6	61	4,8
RX (Vorhandensein eines Residualtumors kann nicht beurteilt werden)	21	9	9	18	16	73	0,7
keine Angabe	3	0	2	3	1	9	5,8
Summe	607	226	261	91	84	1269	100,0



© KKR-MV 2020

Abb. 19.C.13. C34: Residualklassifikation nach Tumorresektion in Abhängigkeit von UICC-Tumorstadium im Diagnosezeitraum 2008 bis 2018

19.5.11 Überlebensanalysen bei den in den Jahren 2008 – 2013 primär diagnostizierten Patienten

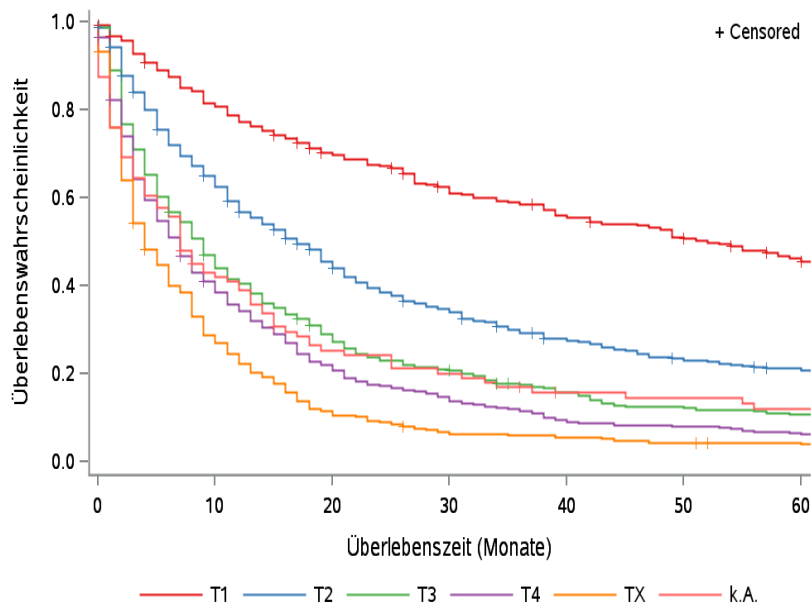


© KKR-MV 2020

Abb. 19.C.14. C34: Wahrscheinlichkeit des Überlebens (Kaplan-Meier-Analyse) nach Geschlecht im Diagnosezeitraum von 2008 bis 2013 (Wohnort). Kaplan-Meier-Kurven werden für Kategorien mit weniger als 10 Neuerkrankungen nicht dargestellt.

Tab. 19.C.19. C34: Anzahl der unter Risiko stehenden Neuerkrankungen (Monate nach Diagnose)

Geschlecht	0 Monate	20 Monate	40 Monate	60 Monate
Männer	1467	448	271	200
Frauen	736	324	204	159

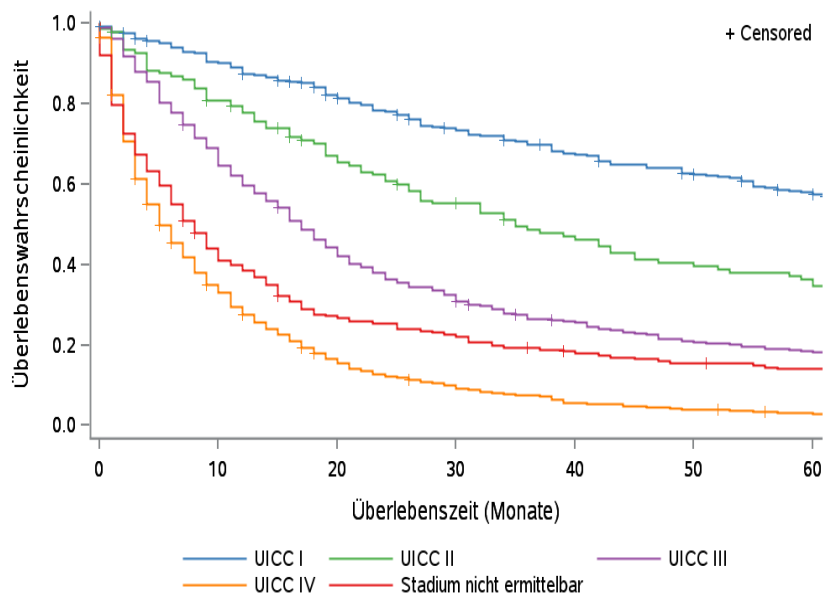


© KKR-MV 2020

Abb.19.C.15. C34: Wahrscheinlichkeit des Überlebens (Kaplan-Meier-Analyse) nach Tumorgröße im Diagnosezeitraum von 2008 bis 2013 (Wohnort). Kaplan-Meier-Kurven werden für Kategorien mit weniger als 10 Neuerkrankungen nicht dargestellt.

Tab. 19.C.20. C34: Anzahl der unter Risiko stehenden Neuerkrankungen nach Tumorgröße (Monate nach Diagnose)

T-Kategorie	0 Monate	20 Monate	40 Monate	60 Monate
T1	377	258	200	161
T2	599	261	155	114
T3	317	89	45	31
T4	469	102	44	31
TX	337	38	18	12
k.A.	104	24	13	10

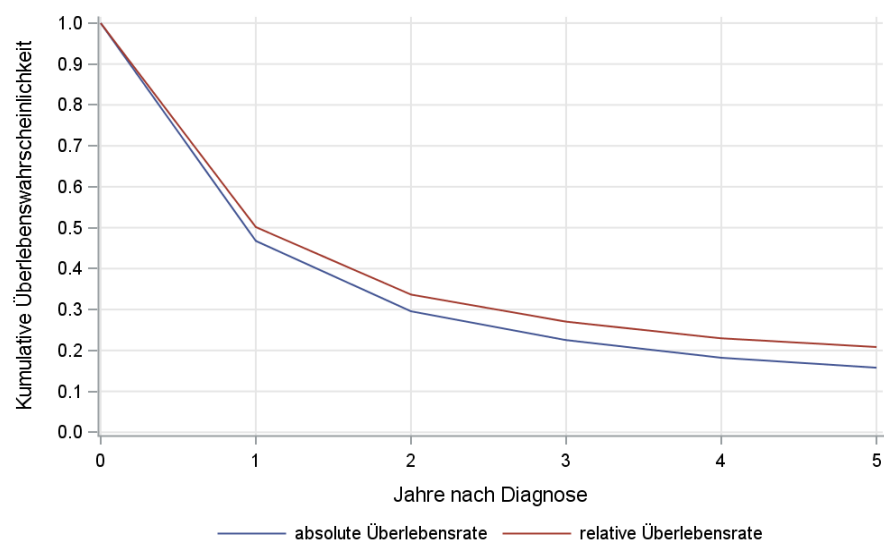


© KKR-MV 2020

Abb.19.C.16. C34: Wahrscheinlichkeit des Überlebens (Kaplan-Meier-Analyse) nach UICC-Tumorstadium im Diagnosezeitraum von 2008 bis 2013 (Wohnort). Kaplan-Meier-Kurven werden für Kategorien mit weniger als 10 Neuerkrankungen nicht dargestellt.

Tab. 19.C.21. C34: Anzahl der unter Risiko stehenden Neuerkrankungen nach UICC-Stadium (Monate nach Diagnose)

UICC-Stadium	0 Monate	20 Monate	40 Monate	60 Monate
UICC I	374	296	234	194
UICC II	138	85	57	44
UICC III	346	152	85	61
UICC IV	1119	180	61	32
Stadium nicht ermittelbar	226	59	38	28



© KKR-MV 2020

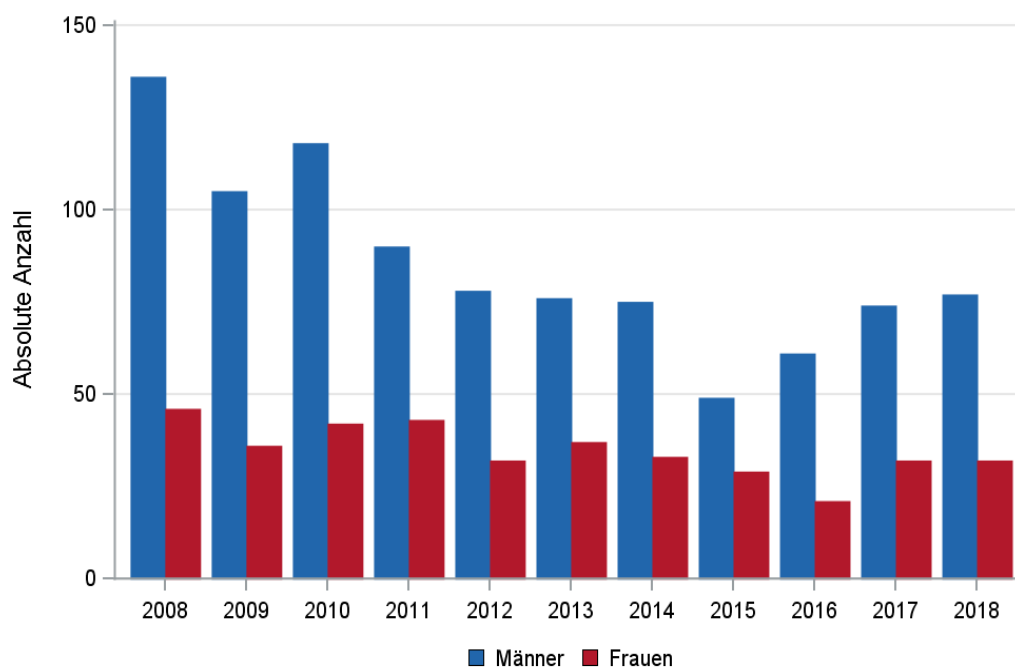
Abb. 19.C.17. C34: Absolutes und relatives Überleben im Diagnosezeitraum 2008 bis 2013 (Wohnort, Alter > 19)

19.6 Lunge (Gruppe D: großzellige u.a. Karzinome)

19.6.1 Absolute Anzahl der erfassten Neuerkrankungen in M-V in den Jahren 2008 – 2018 nach Geschlecht (Behandlungsort, Wohnort)

Tab. 19.D.1. C34: Absolute Anzahl der Neuerkrankungen nach Geschlecht (Behandlungsort)

Diagnosejahr	Männer		Frauen		Summe
	Anzahl	%	Anzahl	%	
2008	136	74,7	46	25,3	182
2009	105	74,5	36	25,5	141
2010	118	73,8	42	26,3	160
2011	90	67,7	43	32,3	133
2012	78	70,9	32	29,1	110
2013	76	67,3	37	32,7	113
2014	75	69,4	33	30,6	108
2015	49	62,8	29	37,2	78
2016	61	74,4	21	25,6	82
2017	74	69,8	32	30,2	106
2018	77	70,6	32	29,4	109
Summe	939	71,0	383	29,0	1322

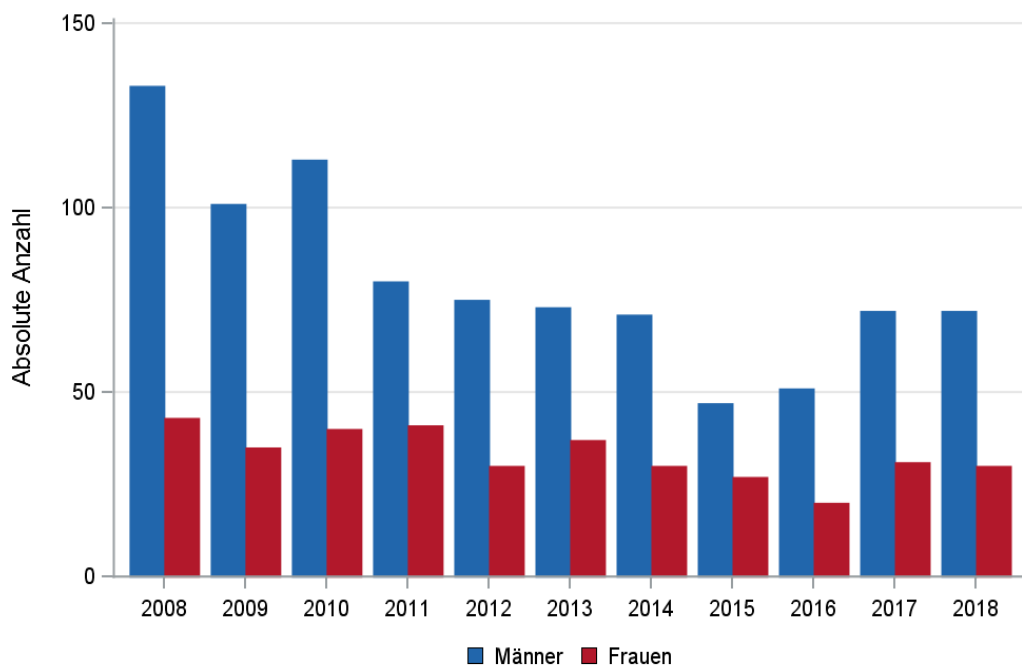


© KKR-MV 2020

Abb. 19.D.1. C34: Absolute Anzahl der Neuerkrankungen nach Geschlecht im Diagnosezeitraum 2008 bis 2018 (Behandlungsort)

Tab. 19.D.2. C34: Absolute Anzahl der Neuerkrankungen nach Geschlecht (Wohnort)

Diagnosejahr	Männer		Frauen		Summe
	Anzahl	%	Anzahl	%	
2008	133	75,6	43	24,4	176
2009	101	74,3	35	25,7	136
2010	113	73,9	40	26,1	153
2011	80	66,1	41	33,9	121
2012	75	71,4	30	28,6	105
2013	73	66,4	37	33,6	110
2014	71	70,3	30	29,7	101
2015	47	63,5	27	36,5	74
2016	51	71,8	20	28,2	71
2017	72	69,9	31	30,1	103
2018	72	70,6	30	29,4	102
Summe	888	70,9	364	29,1	1252



© KKR-MV 2020

Abb. 19.D.2. C34: Absolute Anzahl der Neuerkrankungen nach Geschlecht im Diagnosezeitraum 2008 bis 2018 (Wohnort)

19.6.2 Absolute Anzahl der erfassten Neuerkrankungen in M-V in den Jahren 2008 – 2018 nach Landkreisen (Wohnort)

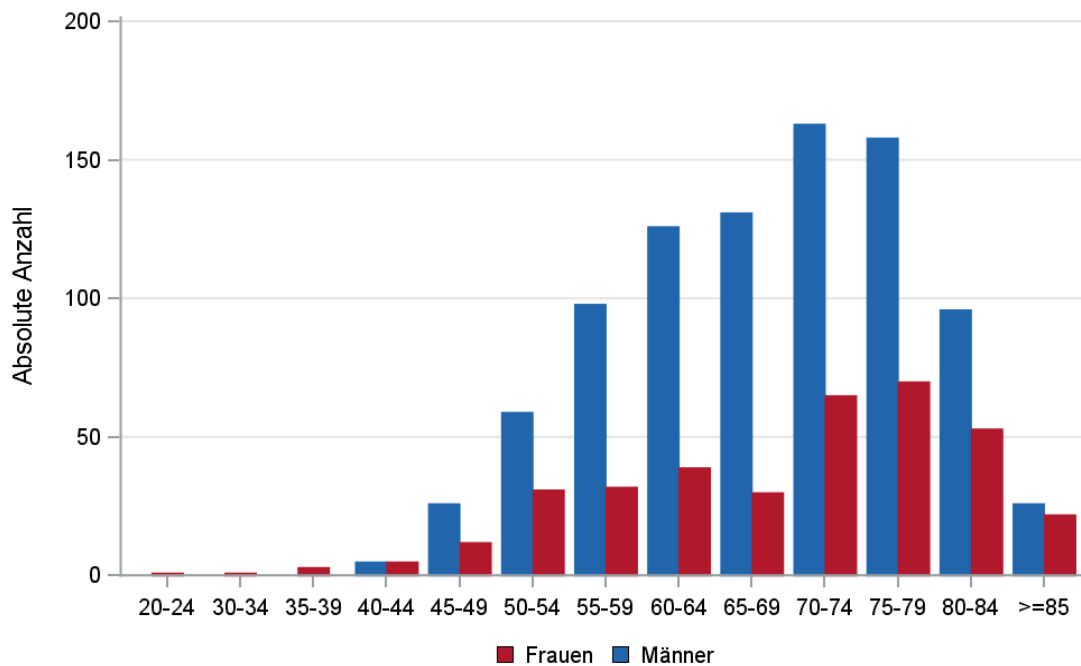
Tab. 19.D.3. C34: Absolute Anzahl und prozentualer Anteil der Neuerkrankungen nach Landkreisen

Landkreis	2008		2009		2010		2011		2012		2013		2014		2015		2016		2017		2018		Summe	
	Anzahl	%	Anzahl	%	Anzahl	%	Anzahl	%	Anzahl	%	Anzahl	%	Anzahl	%	Anzahl	%	Anzahl	%	Anzahl	%	Anzahl	%	Anzahl	%
Landkreis Rostock	18	10,2	13	9,6	12	7,8	15	12,4	16	15,2	16	14,5	19	18,8	9	12,2	16	22,5	23	22,3	11	10,8	168	13,4
Ludwigslust-Parchim	14	8,0	12	8,8	17	11,1	14	11,6	7	6,7	6	5,5	13	12,9	7	9,5	13	18,3	9	8,7	8	7,8	120	9,6
Mecklenburgische Seenplatte	32	18,2	23	16,9	25	16,3	21	17,4	22	21,0	32	29,1	13	12,9	11	14,9	4	5,6	13	12,6	17	16,7	213	17,0
Nordwestmecklenburg	18	10,2	9	6,6	10	6,5	9	7,4	11	10,5	9	8,2	9	8,9	7	9,5	5	7,0	3	2,9	15	14,7	105	8,4
Rostock	14	8,0	17	12,5	27	17,6	25	20,7	15	14,3	10	9,1	19	18,8	15	20,3	20	28,2	16	15,5	15	14,7	193	15,4
Schwerin	11	6,3	9	6,6	14	9,2	6	5,0	5	4,8	10	9,1	5	5,0	11	14,9	4	5,6	6	5,8	4	3,9	85	6,8
Vorpommern-Greifswald	32	18,2	27	19,9	23	15,0	21	17,4	17	16,2	11	10,0	12	11,9	6	8,1	2	2,8	16	15,5	16	15,7	183	14,6
Vorpommern-Rügen	35	19,9	26	19,1	23	15,0	10	8,3	11	10,5	13	11,8	10	9,9	8	10,8	6	8,5	17	16,5	15	14,7	174	13,9
nicht zuordenbar	2	1,1	0	0	2	1,3	0	0	1	1,0	3	2,7	1	1,0	0	0	1	1,4	0	0	1	1,0	11	0,9
Summe	176	100,0	136	100,0	153	100,0	121	100,0	105	100,0	110	100,0	101	100,0	74	100,0	71	100,0	103	100,0	102	100,0	1252	100,0

19.6.3 Rohe und standardisierte Neuerkrankungsraten pro 100.000 Einwohner in den Jahren 2008-2018 (Wohnort)

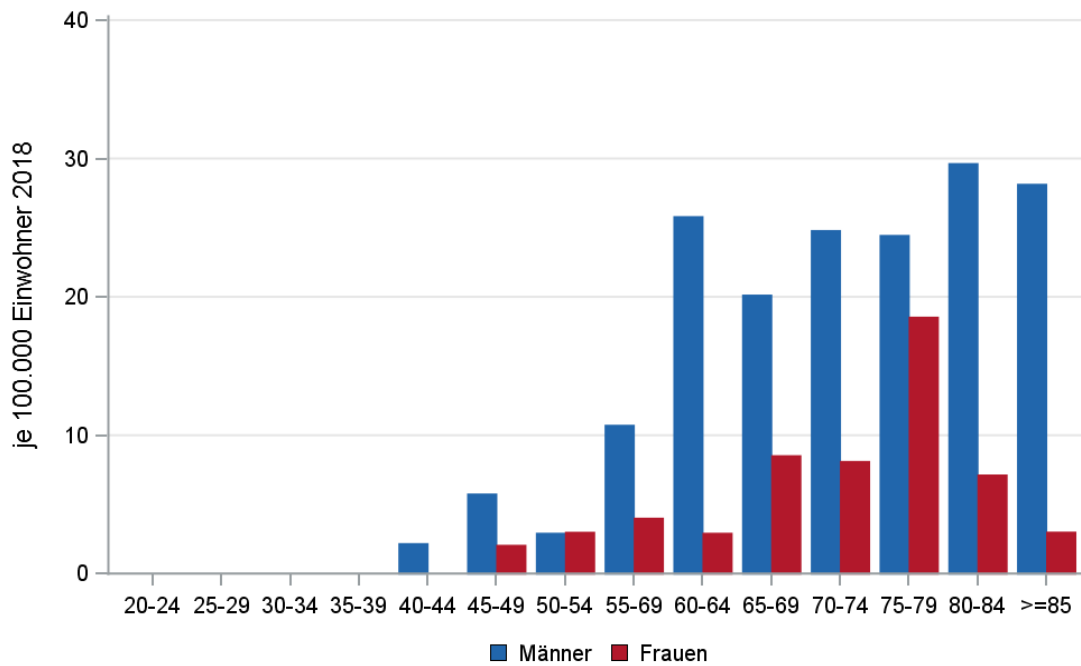
Tab. 19.D.4. C34: Neuerkrankungsrate/100.000 Einwohner (Alter > 19)

Diagnosejahr	Männer			Frauen		
	absolute Anzahl der Neuerkrankungen	rohe Rate in M-V	altersstandardisierte Rate	absolute Anzahl der Neuerkrankungen	rohe Rate in M-V	altersstandardisierte Rate
2008	133	19,2	15,7	43	6,0	4,1
2009	101	14,6	11,7	35	4,9	2,7
2010	113	16,4	13,0	40	5,6	3,5
2011	80	11,9	8,9	41	5,9	4,1
2012	75	11,3	7,9	30	4,3	2,6
2013	73	11,0	8,3	37	5,3	3,8
2014	71	10,8	7,6	30	4,4	2,9
2015	47	7,1	4,5	27	3,9	2,3
2016	51	7,7	5,4	20	2,9	1,7
2017	72	11,0	6,7	31	4,5	3,1
2018	72	11,0	7,5	30	4,4	2,6
2008-2018	888	12,0	8,8	364	4,7	3,0



© KKR-MV 2020

Abb. 19.D.3. C34: Absolute Anzahl der Neuerkrankungen aufgelistet in 5-Jahres-Altersgruppen und nach Geschlecht im Diagnosezeitraum 2008 bis 2018 (Wohnort)



© KKR-MV 2020

Abb. 19.D.4. C34: Altersspezifische Rate der Neuerkrankungen je 100.000 Einwohner (Diagnosejahr 2018) nach 5-Jahres-Altersgruppen und Geschlecht (Wohnort)

19.6.4 Alter der in den Jahren 2008 - 2018 in M-V neuerkrankten Patienten (Behandlungsort)

Tab. 19.D.5. C34: Erkrankungsalter (Behandlungsort)

Diagnosejahr	Männer				Frauen			
	Anzahl	Median	Minimum	Maximum	Anzahl	Median	Minimum	Maximum
2008	136	69	31	83	46	71	44	83
2009	105	69	47	88	36	78	41	87
2010	118	71	47	90	42	73	42	86
2011	90	70	44	89	43	72	23	87
2012	78	71	40	84	32	72	52	90
2013	76	66	43	83	37	69	37	88
2014	75	70	44	86	33	69	49	88
2015	49	73	49	89	29	74	48	89
2016	61	70	45	85	21	73	49	95
2017	74	70	50	90	32	64	42	89
2018	77	67	40	91	32	74	49	88

19.6.5 Absolute Anzahl der erfassten Neuerkrankungen in M-V in den Jahren 2008 – 2018 nach Lokalisation

Tab. 19.D.6. C34: Absolute Anzahl und prozentualer Anteil der Neuerkrankungen nach der Lokalisation (Behandlungsort)

Lokalisation	2008	2009	2010	2011	2012	2013	2014	2015	2016	2017	2018	Summe	
												Anzahl	%
C34.0 Hauptbronchus	9	7	13	10	11	10	9	0	5	4	8	86	6,5
C34.01 Carina	0	0	1	1	0	0	0	0	0	1	0	3	0,2
C34.02 Zwischenbronchus	3	4	6	1	4	2	1	3	4	1	2	31	2,3
C34.1 Lungenoberlappen (einschl. Lingula und Oberlappenbronchus)	85	52	66	62	49	55	47	46	40	48	51	601	45,4
C34.2 Lungenmittellappen (einschl. Mittellappenbronchus)	8	7	7	5	4	2	6	2	6	7	5	59	4,5
C34.3 Lungenunterlappen (einschl. Unterlappenbronchus)	51	38	32	28	24	24	28	18	17	32	35	327	24,7
C34.8 Lunge (mehrere Teilbereiche überlappend)	7	7	11	10	3	5	5	0	2	1	7	58	4,4
C34.9 Lunge o.n.A., Bronchus o.n.A.	19	26	24	16	15	15	12	10	8	12	2	159	12,0
Summe	182	141	160	133	110	113	108	79	82	106	110	1324	100,0

19.6.6 Histologische Befunde bei allen neuerkrankten Patienten in M-V in den Jahren 2008 – 2018

Tab. 19.D.7. C34: Histologische Befunde bei neuerkrankten Patienten (Behandlungsort)

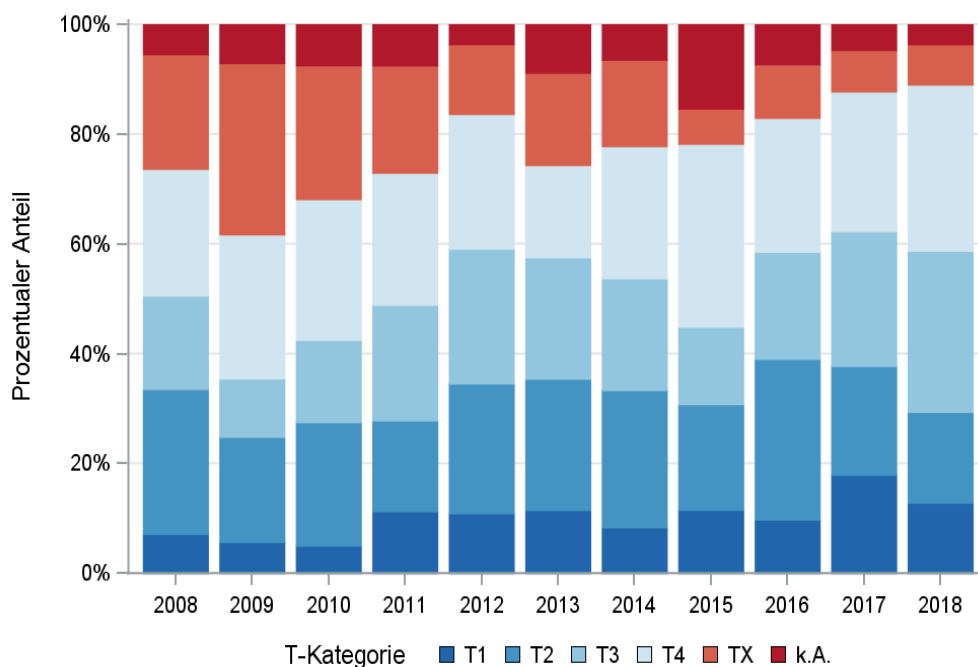
Histologiecode	Anzahl	Prozent
8046/3: Nichtkleinzelliges Karzinom	517	39,1
8012/3: Großzelliges Karzinom o.n.A.	292	22,1
8014/3: Großzelliges Karzinom mit rhabdoidem Phänotyp	1	0,1
großzellige Karzinome	810	61,3
8010/3: Karzinom o.n.A.	187	14,2
8020/3: Undifferenziertes Karzinom o.n.A.	43	3,3
8021/3: Anaplastisches Karzinom o.n.A.	9	0,7
epitheliale Neoplasien o.n.A.	239	18,1
8560/3: Adenosquamöses Karzinom	147	11,1
gemischte Adeno-Plattenepithelkarzinome	147	11,1
8022/3: Pleomorphes Karzinom	52	3,9
8033/3: Pseudosarkomatöses Karzinom	28	2,1
8980/3: Karzinosarkom o.n.A.	10	0,8
8032/3: Spindelzellkarzinom o.n.A.	7	0,5
8031/3: Riesenzellkarzinom	6	0,5
8972/3: Lungenblastom	3	0,2
sarkomatoide Karzinome	106	8,0
8430/3: Mukoepidermoid-Karzinom	13	1,0
8200/3: Adenoid-zystisches Karzinom	4	0,3
8562/3: Epithelial-myoepitheliales Karzinom	1	0,1
Bronchialdrüsen Karzinome	18	1,4
8082/3: Lymphoepitheliales Karzinom	2	0,2
andere Karzinome und unklassifizierte Karzinome	2	0,2

19.6.7 Tumorgröße und Ausdehnung (TNM)

Tab. 19.D.8. C34: Absolute Anzahl der Neuerkrankungen klassifiziert nach der Tumorgröße in Bezug zu der Auflage der TNM-Klassifikation (Behandlungsort)

Tumorgröße (T)	TNM Auflage 6		TNM Auflage 7		TNM Auflage 8		k.A. zur TNM Auflage		Summe	
	Anzahl	%	Anzahl	%	Anzahl	%	Anzahl*	%	Anzahl	%
T1	21	7,4	76	10,0	31	16,5	-	-	128	9,7
T2	72	25,3	181	23,8	38	20,2	-	-	291	22,0
T3	48	16,8	156	20,6	53	28,2	-	-	257	19,4
T4	75	26,3	203	26,7	52	27,7	-	-	330	25,0
TX	69	24,2	143	18,8	14	7,4	-	-	226	17,1
k.A.	0	0	0	0	0	0	90	100,0	90	6,8
Summe	285	100,0	759	100,0	188	100,0	90	100,0	1322	100,0

*In einzelnen Fällen wurden Angaben zur Tumorgröße ohne Bezug zu einer TNM Auflage gemacht. Diese Angaben wurden in die Kategorie k.A. aufgenommen.



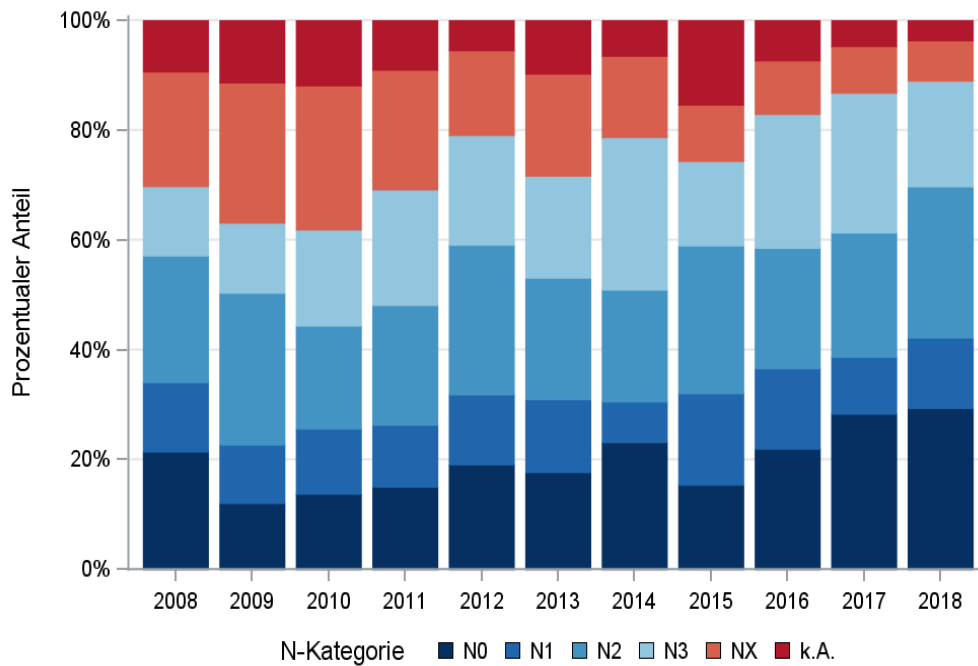
© KKR-MV 2020

Abb. 19.D.5. C34: Prozentualer Anteil der Neuerkrankungen nach der Tumorgröße im Diagnosezeitraum 2008 bis 2018

Tab. 19.D.9. C34: Absolute Anzahl der Neuerkrankungen mit bzw. ohne Befall der regionären Lymphknoten in Bezug zu der Auflage der TNM-Klassifikation (Behandlungsort)

N-Kategorie	TNM Auflage 6		TNM Auflage 7		TNM Auflage 8		k.A. zur TNM Auflage		Summe	
	Anzahl	%	Anzahl	%	Anzahl	%	Anzahl*	%	Anzahl	%
N0	55	19,3	143	18,8	58	30,9	-	-	256	19,4
N1	35	12,3	98	12,9	26	13,8	-	-	159	12,0
N2	80	28,1	180	23,7	50	26,6	-	-	310	23,4
N3	39	13,7	171	22,5	40	21,3	-	-	250	18,9
NX	71	24,9	147	19,4	14	7,4	-	-	232	17,5
k.A.	5	1,8	20	2,6	0	0	90	100,0	115	8,7
Summe	285	100,0	759	100,0	188	100,0	90	100,0	1322	100,0

*In einzelnen Fällen wurden Angaben zur N-Kategorie ohne Bezug zu einer TNM Auflage gemacht. Diese Angaben wurden in die Kategorie k.A. aufgenommen.



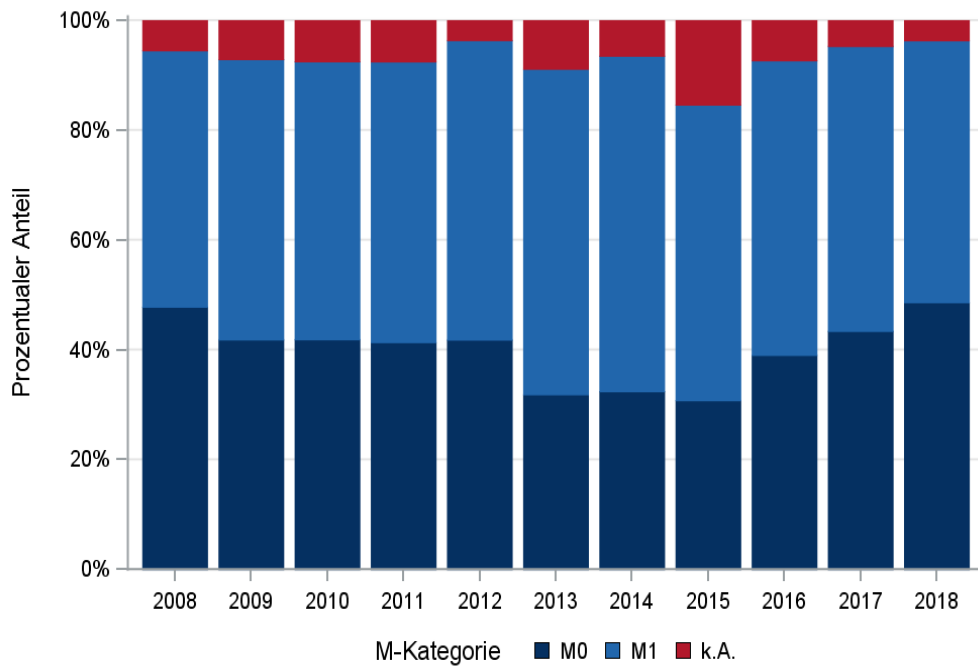
© KKR-MV 2020

Abb. 19.D.6. C34: Prozentualer Anteil der Neuerkrankungen mit und ohne Befall der regionären Lymphknoten zum Zeitpunkt der Erstdiagnose im Diagnosezeitraum 2008 bis 2018

Tab. 19.D.10. C34: Absolute Anzahl der Neuerkrankungen mit Fernmetastasierung in Bezug zu der Auflage der TNM-Klassifikation (Behandlungsort)

M-Kategorie	TNM Auflage 6		TNM Auflage 7		TNM Auflage 8		k.A. zur TNM Auflage		Summe	
	Anzahl	%	Anzahl	%	Anzahl	%	Anzahl*	%	Anzahl	%
M0	135	47,4	310	40,8	95	50,5	-	-	540	40,8
M1	150	52,6	449	59,2	93	49,5	-	-	692	52,3
k.A.	0	0	0	0	0	0	90	100,0	90	6,8
Summe	285	100,0	759	100,0	188	100,0	90	100,0	1322	100,0

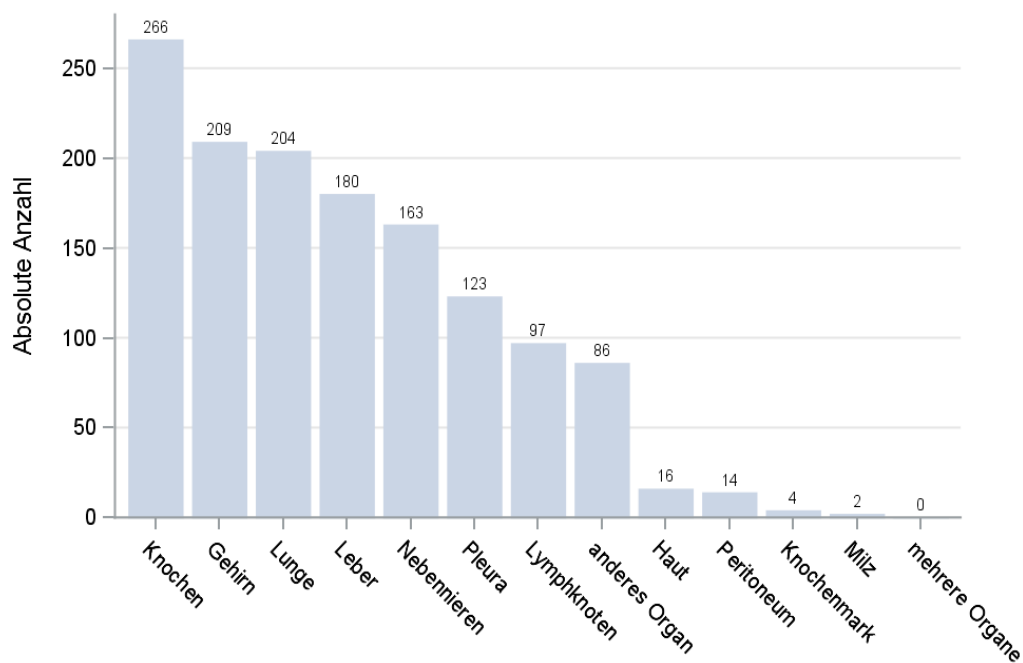
*In einzelnen Fällen wurden Angaben zur M-Kategorie ohne Bezug zu einer TNM Auflage gemacht. Diese Angaben wurden in die Kategorie k.A. aufgenommen.



© KKR-MV 2020

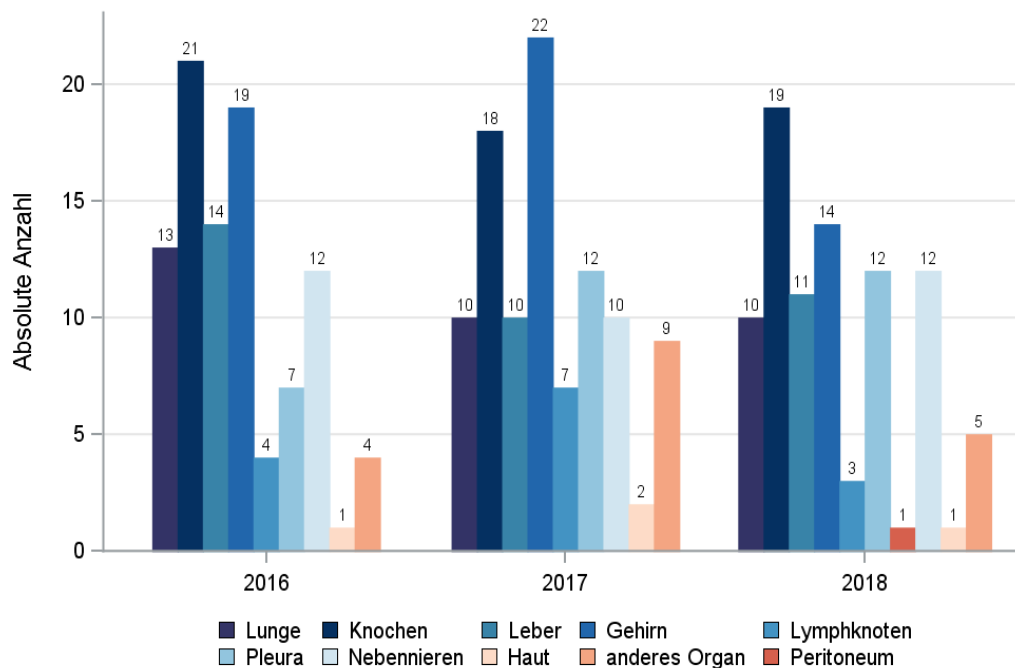
Abb. 19.D.7. C34: Prozentualer Anteil der primären Fernmetastasierung im Diagnosezeitraum 2008 bis 2018

19.6.8 Lokalisation der Fernmetastasen



© KKR-MV 2020

Abb. 19.D.8. C34: Lokalisation der Fernmetastasen bei Neuerkrankungen im Diagnosezeitraum 2008 bis 2018



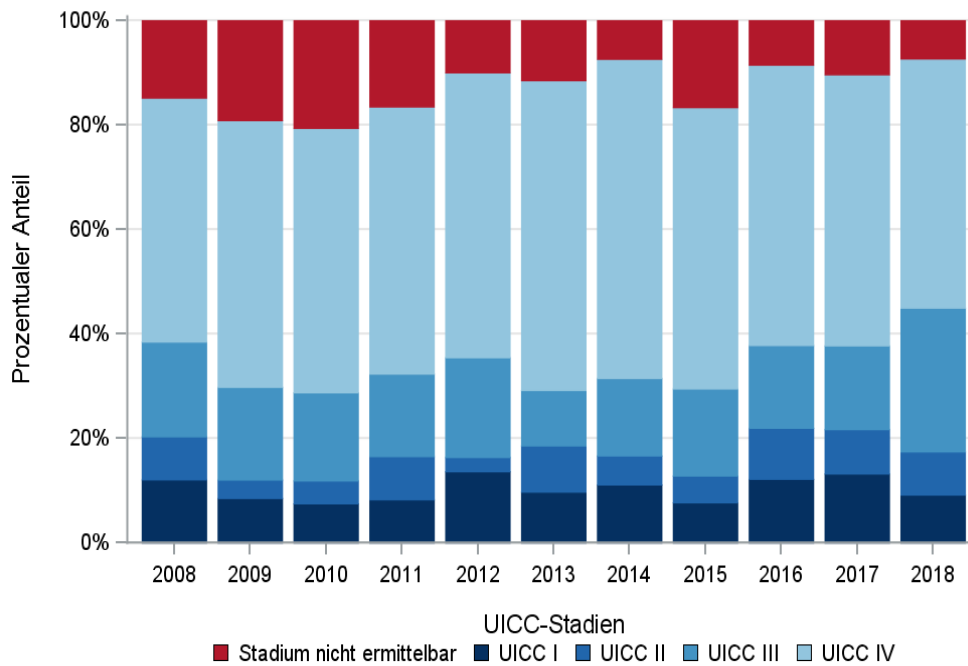
© KKR-MV 2020

Abb. 19.D.9. C34: Lokalisation der Fernmetastasen bei Neuerkrankungen für die Diagnosejahre 2016 bis 2018

19.6.9 Tumorstadien nach UICC

Tab. 19.D.11. C34: Primäre UICC-Stadien (Behandlungsort)

Jahre	UICC I		UICC II		UICC III		UICC IV		Stadium nicht ermittelbar		Summe	
	Anzahl	%	Anzahl	%	Anzahl	%	Anzahl	%	Anzahl	%	Anzahl	%
2008	22	12,1	15	8,2	33	18,1	85	46,7	27	14,8	182	100,0
2009	12	8,5	5	3,5	25	17,7	72	51,1	27	19,1	141	100,0
2010	12	7,5	7	4,4	27	16,9	81	50,6	33	20,6	160	100,0
2011	11	8,3	11	8,3	21	15,8	68	51,1	22	16,5	133	100,0
2012	15	13,6	3	2,7	21	19,1	60	54,5	11	10,0	110	100,0
2013	11	9,7	10	8,8	12	10,6	67	59,3	13	11,5	113	100,0
2014	12	11,1	6	5,6	16	14,8	66	61,1	8	7,4	108	100,0
2015	6	7,7	4	5,1	13	16,7	42	53,8	13	16,7	78	100,0
2016	10	12,2	8	9,8	13	15,9	44	53,7	7	8,5	82	100,0
2017	14	13,2	9	8,5	17	16,0	55	51,9	11	10,4	106	100,0
2018	10	9,2	9	8,3	30	27,5	52	47,7	8	7,3	109	100,0
Summe	135	10,2	87	6,6	228	17,2	692	52,3	180	13,6	1322	100,0



© KKR-MV 2020

Abb. 19.D.10. C34: Prozentuale Anteile der UICC-Tumorstadien in den Diagnosejahren 2008 bis 2018

19.6.10 Dokumentierte Therapie bis max. 12 Monate nach Diagnosestellung

19.6.10.1 Therapiekombinationen, Stellung der Therapie und Intention der dokumentierten Therapien

Tab. 19.D.12. C34: Therapiekombinationen (Operation, Strahlentherapie, systemische Therapie) pro Diagnosejahr (Behandlungsort)

Therapiekombinationen	2008	2009	2010	2011	2012	2013	2014	2015	2016	2017	2018	Summe
Alleinige Operation	18	7	12	11	13	7	11	11	10	9	12	121
Alleinige systemische Therapie	34	32	38	26	23	32	31	17	22	22	20	297
Alleinige Strahlentherapie	24	25	20	16	14	16	10	11	10	14	7	167
Operation und systemische Therapie, keine Strahlentherapie	16	6	7	9	5	9	5	3	3	6	7	76
Operation und Strahlentherapie, keine systemische Therapie	2	2	1	0	1	0	2	1	0	1	0	10
Systemische Therapie und Strahlentherapie, keine Operation	29	16	25	24	16	10	18	11	12	16	20	197
Operation und systemische Therapie und Strahlentherapie	1	3	3	1	8	2	2	0	3	4	3	30
Keine Operation, systemische Therapie oder Strahlentherapie	58	50	54	46	30	37	29	24	22	34	40	424
Summe	182	141	160	133	110	113	108	78	82	106	109	1322

Tab. 19.D.13. C34: Therapiekombinationen (Operation, Strahlentherapie, systemische Therapie) in Abhängigkeit von dem UICC-Stadium (Behandlungsort)

Therapiekombinationen	UICC I	UICC II	UICC III	UICC IV	Stadium nicht ermittelbar	Summe
Alleinige Operation	71	23	8	8	11	121
Alleinige systemische Therapie	2	2	24	247	22	297
Alleinige Strahlentherapie	30	15	43	66	13	167
Operation und systemische Therapie, keine Strahlentherapie	16	28	20	7	5	76
Operation und Strahlentherapie, keine systemische Therapie	1	2	5	1	1	10
Systemische Therapie und Strahlentherapie, keine Operation	6	8	66	100	17	197
Operation und systemische Therapie und Strahlentherapie	0	4	24	0	2	30
Keine Operation, systemische Therapie oder Strahlentherapie	9	5	38	263	109	424
Summe	135	87	228	692	180	1322

Tab. 19.D.14a. C34: Stellung der Strahlentherapie zur operativen Therapie im ersten Jahr der Erkrankung (adjuvant/neoadjuvant, Behandlungsort)

Stellung der Strahlentherapie zur operativen Therapie	2008	2009	2010	2011	2012	2013	2014	2015	2016	2017	2018	Summe
Adjuvante (postoperative) Strahlentherapie	1	2	2	1	3	0	3	1	2	5	2	22
Neoadjuvante (präoperative)	0	1	0	0	3	0	0	0	0	0	1	5
Therapie ohne Bezug zu einer operativen Therapie	0	0	1	0	0	2	1	0	1	0	0	5
unbekannt	2	2	1	0	3	0	0	0	0	0	0	8
Summe	3	5	4	1	9	2	4	1	3	5	3	40

Tab. 19.D.14b. C34: Stellung der systemischen Therapie zur operativen Therapie im ersten Jahr der Erkrankung (adjuvant/neoadjuvant, Behandlungsort)

Stellung der systemischen Therapie zur operativen Therapie	2008	2009	2010	2011	2012	2013	2014	2015	2016	2017	2018	Summe
Adjuvante (postoperative) Therapie	9	5	4	6	6	7	1	2	4	8	6	58
Therapie ohne Bezug zu einer operativen Therapie	3	1	2	0	2	2	3	1	1	1	1	17
Neoadjuvante (präoperative) Therapie	1	1	1	3	3	1	0	0	1	1	3	15
unbekannt	4	2	3	1	2	1	3	0	0	0	0	16
Summe	17	9	10	10	13	11	7	3	6	10	10	106

Tab. 19.D.15a. C34: Intention bei der ersten Operation (Behandlungsort)

Intention der Operation	2008	2009	2010	2011	2012	2013	2014	2015	2016	2017	2018	Summe
Kurativ	31	15	20	19	20	15	15	9	13	17	17	191
Palliativ bzw. symptomatisch	1	0	0	2	2	1	1	4	1	1	2	15
Sonstige/Unbekannt/Keine Angabe	5	3	3	0	5	2	4	2	2	2	3	31
Summe	37	18	23	21	27	18	20	15	16	20	22	237

Tab. 19.D.15b. C34: Intention der initialen Bestrahlung (Behandlungsort)

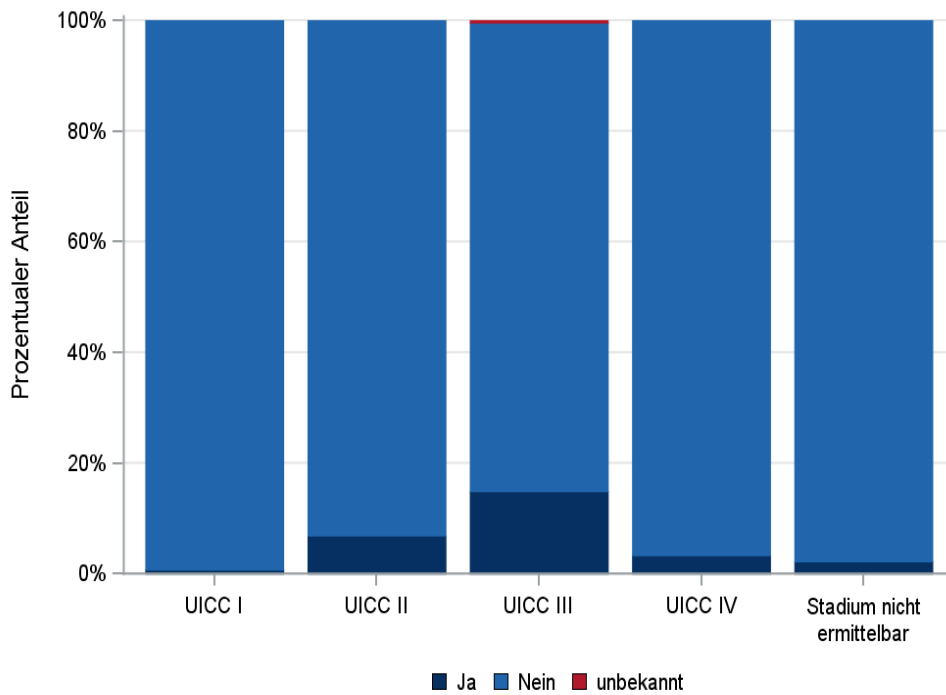
Intention der Bestrahlung	2008	2009	2010	2011	2012	2013	2014	2015	2016	2017	2018	Summe
Palliativ bzw. symptomatisch	12	12	16	9	11	8	21	10	14	15	14	142
Kurativ	7	5	7	4	7	6	9	7	9	17	16	94
Sonstige/Unbekannt/Keine Angabe	37	29	26	28	21	14	2	6	2	3	0	168
Summe	56	46	49	41	39	28	32	23	25	35	30	404

Tab. 19.D.15c. C34: Intention bei der ersten systemischen Therapie (Behandlungsort)

Intention der systemischen Therapie	2008	2009	2010	2011	2012	2013	2014	2015	2016	2017	2018	Summe
Palliativ bzw. symptomatisch	43	28	40	30	29	28	35	16	28	34	34	345
Kurativ	23	17	20	18	14	17	8	7	7	13	13	157
Sonstige/Unbekannt/Keine Angabe	14	12	13	12	9	8	13	8	5	1	3	98
Summe	80	57	73	60	52	53	56	31	40	48	50	600

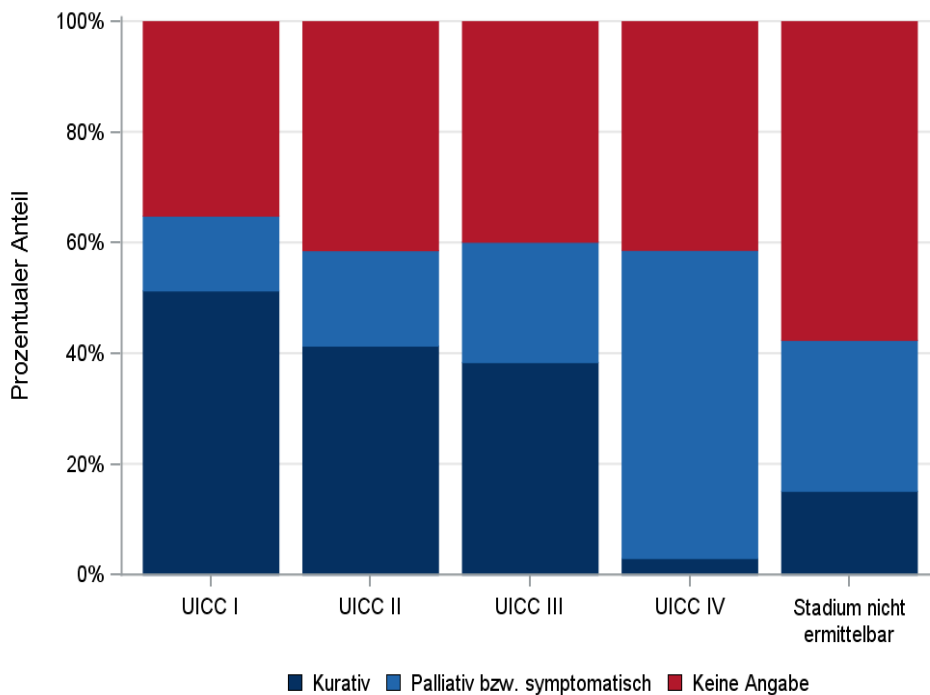
Tab. 19.D.16. C34: Zeitraum zwischen Diagnose und Beginn der ersten Therapie nach Therapieart (Angaben in Tagen, Behandlungsort)

Therapie	Anzahl	Median	Minimum	Maximum
Diagnose und erste Operation	237	20	0	263
Diagnose und erste Bestrahlung	404	36	0	334
Diagnose und erste system. Therapie	600	30	0	344



© KKR-MV 2020

Abb. 19.D.11. C34: Durchführung der Radiochemotherapie nach UICC-Klassifikation



© KKR-MV 2020

Abb. 19.D.12. C34: Intention der ersten Bestrahlung nach UICC-Klassifikation

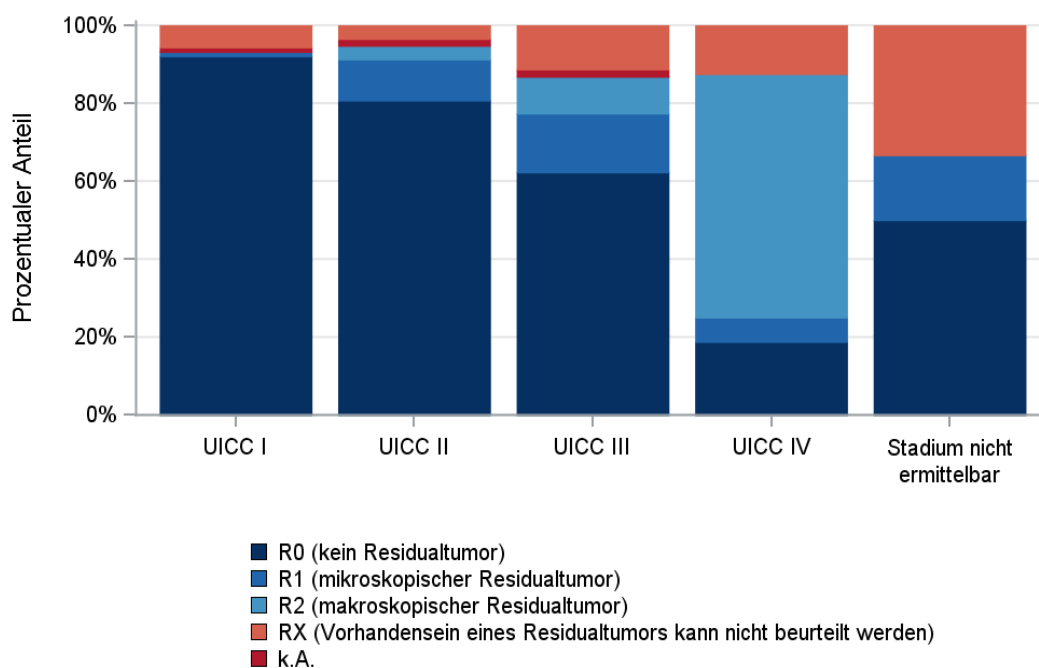
19.6.10.2 Dokumentierte tumorspezifische Operation bis max.12 Monate nach Diagnosestellung

Tab. 19.D.17. C34: Dokumentierte tumorspezifische Operation nach UICC (Behandlungsort)

Operationen	UICC I	UICC II	UICC III	UICC IV	Stadium nicht ermittelbar	Summe	
						Anzahl	%
Tumorresektion	87	56	52	16	17	228	96,2
Tumor- und Lymphknotenresektion	1	1	1	0	1	4	1,7
sonstige OP	0	0	4	0	0	4	1,7
keine Angabe	0	0	0	0	1	1	0,4
Summe	88	57	57	16	19	237	100,0

Tab. 19.D.18. C34: Residualklassifikation nach Tumorresektion im Diagnosezeitraum 2008-2018

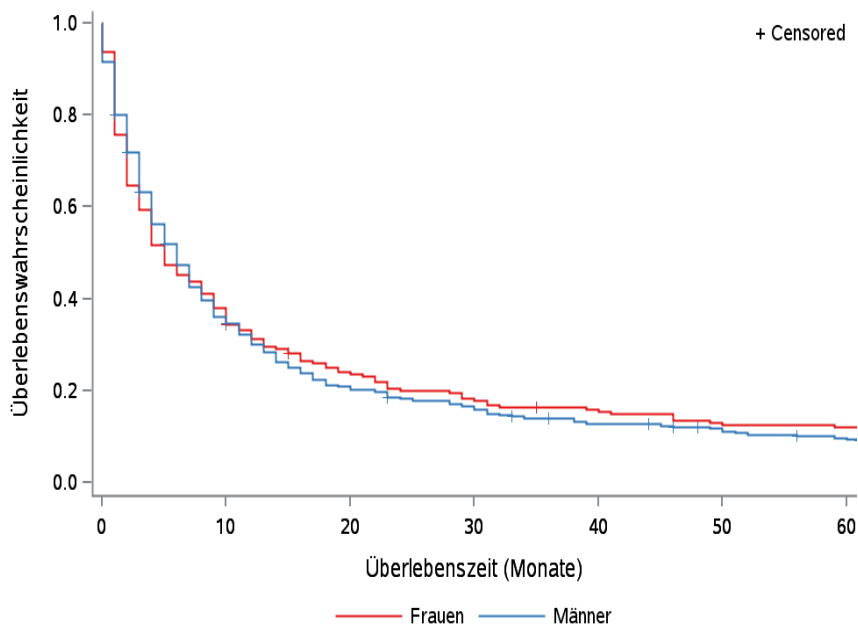
R-Klassifikation	UICC I	UICC II	UICC III	UICC IV	Stadium nicht ermittelbar	Summe	
						Anzahl	%
R0 (kein Residualtumor)	81	46	33	3	9	172	74,1
R1 (mikroskopischer Residualtumor)	1	6	8	1	3	19	8,2
R2 (makroskopischer Residualtumor)	0	2	5	10	0	17	7,3
RX (Vorhandensein eines Residualtumors kann nicht beurteilt werden)	5	2	6	2	6	21	9,1
keine Angabe	1	1	1	0	0	3	1,3
Summe	88	57	53	16	18	232	100,0



© KKR-MV 2020

Abb. 19.D.13. C34: Residualklassifikation nach Tumorresektion in Abhängigkeit von UICC-Tumorstadium im Diagnosezeitraum 2008 bis 2018

19.6.11 Überlebensanalysen bei den in den Jahren 2008 – 2013 primär diagnostizierten Patienten

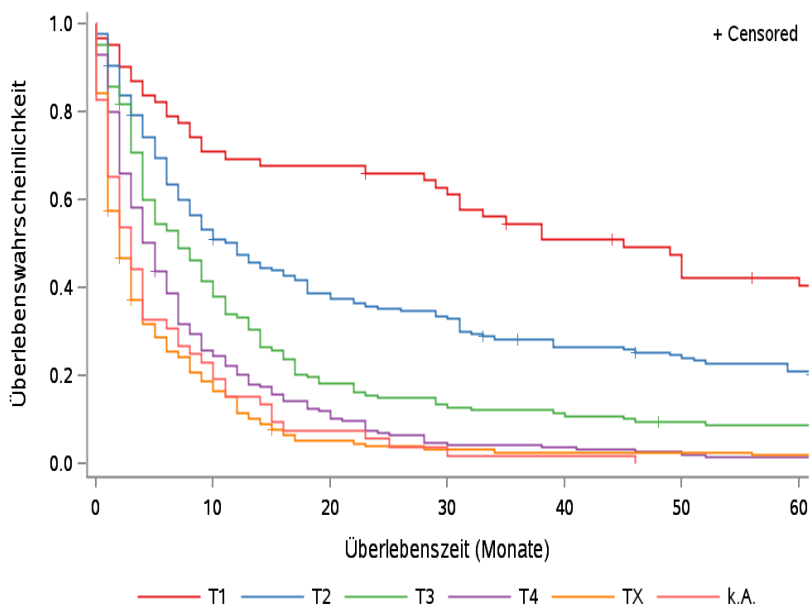


© KKR-MV 2020

Abb.19.D.14. C34: Wahrscheinlichkeit des Überlebens (Kaplan-Meier-Analyse) nach Geschlecht im Diagnosezeitraum von 2008 bis 2013 (Wohnort). Kaplan-Meier-Kurven werden für Kategorien mit weniger als 10 Neuerkrankungen nicht dargestellt.

Tab. 19.D.19. C34: Anzahl der unter Risiko stehenden Neuerkrankungen (Monate nach Diagnose)

Geschlecht	0 Monate	20 Monate	40 Monate	60 Monate
Männer	572	117	69	49
Frauen	226	53	34	26

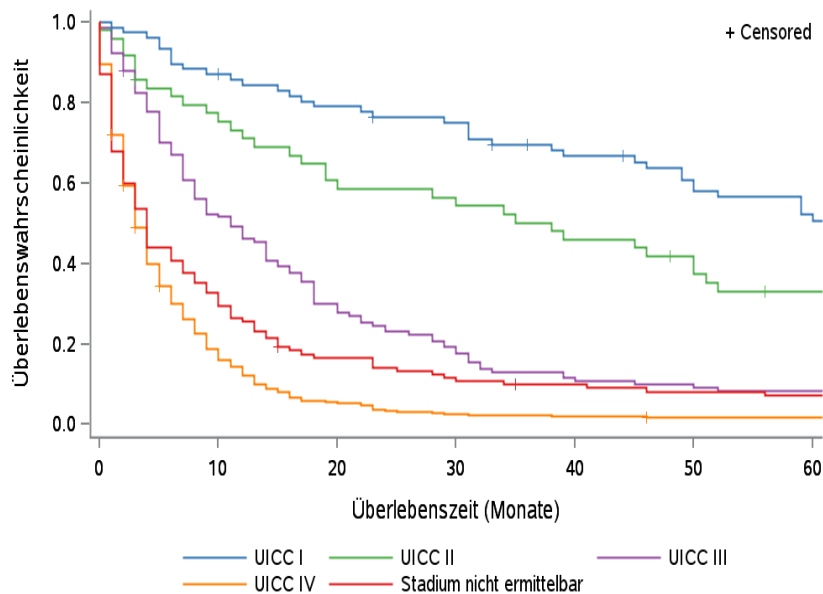


© KKR-MV 2020

Abb.19.D.15. C34: Wahrscheinlichkeit des Überlebens (Kaplan-Meier-Analyse) nach Tumorstadium im Diagnosezeitraum von 2008 bis 2013 (Wohnort). Kaplan-Meier-Kurven werden für Kategorien mit weniger als 10 Neuerkrankungen nicht dargestellt.

Tab. 19.D.20. C34: Anzahl der unter Risiko stehenden Neuerkrankungen nach Tumorgröße (Monate nach Diagnose)

T-Kategorie	0 Monate	20 Monate	40 Monate	60 Monate
T1	62	42	30	23
T2	179	67	44	34
T3	148	27	17	12
T4	185	22	7	3
TX	172	8	4	3
k.A.	52	4	1	0

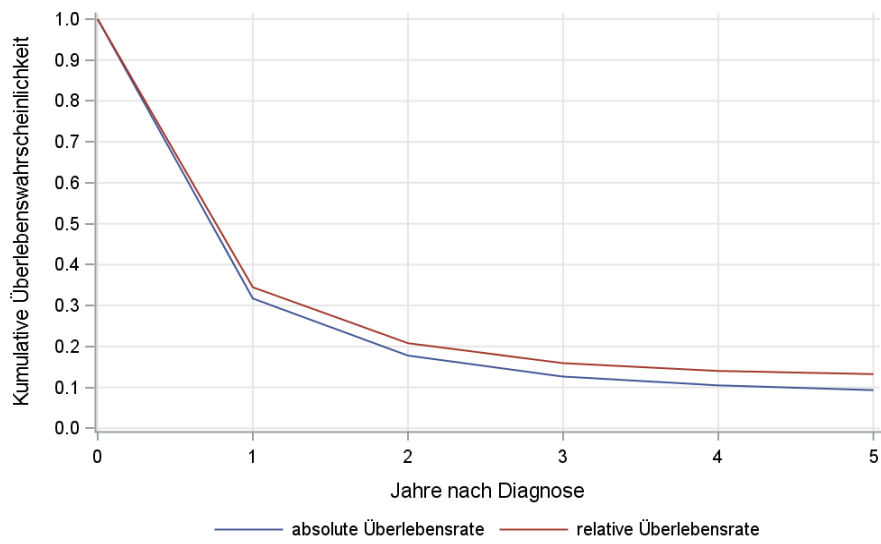


© KKR-MV 2020

Abb. 19.D.16. C34: Wahrscheinlichkeit des Überlebens (Kaplan-Meier-Analyse) nach UICC-Tumorstadium im Diagnosezeitraum von 2008 bis 2013 (Wohnort). Kaplan-Meier-Kurven werden für Kategorien mit weniger als 10 Neuerkrankungen nicht dargestellt.

Tab. 19.D.21. C34: Anzahl der unter Risiko stehenden Neuerkrankungen nach UICC-Stadium (Monate nach Diagnose)

UICC-Stadium	0 Monate	20 Monate	40 Monate	60 Monate
UICC I	78	59	47	36
UICC II	49	29	22	14
UICC III	131	39	15	11
UICC IV	415	23	8	6
Stadium nicht ermittelbar	125	20	11	8

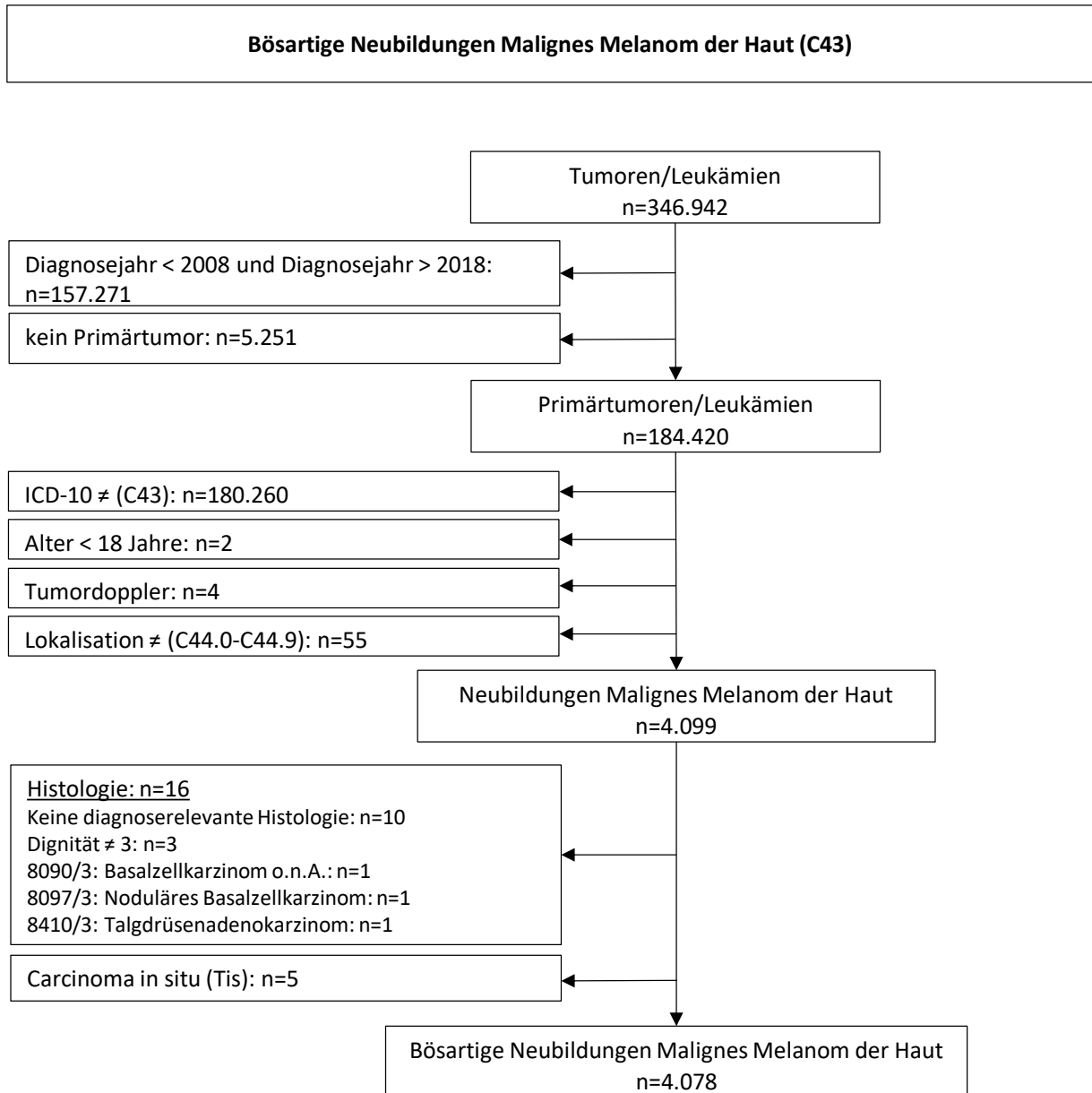


© KKR-MV 2020

Abb. 19.D.17. C34: Absolutes und relatives Überleben im Diagnosezeitraum 2008 bis 2013 (Wohnort, Alter > 19)

20 Malignes Melanom der Haut (C43)

20.1 Consort-Statement: Darstellung der Auswertepopulation

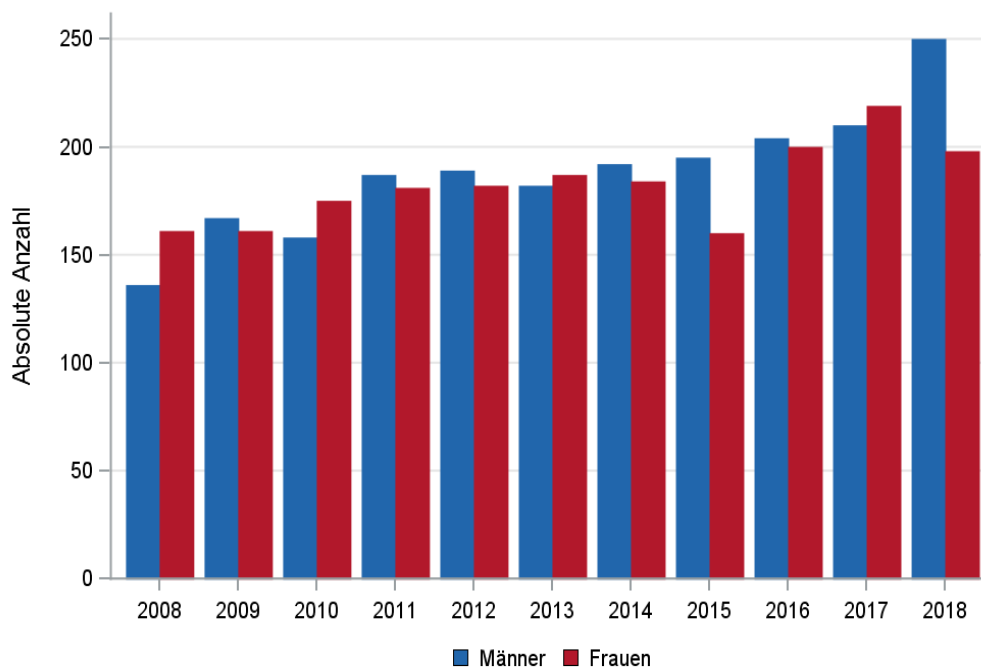


*Erläuterungen zu den Ausschlüssen finden Sie im Kapitel 4 (Methode)

20.2 Absolute Anzahl der erfassten Neuerkrankungen in M-V in den Jahren 2008 – 2018 nach Geschlecht (Behandlungsort, Wohnort)

Tab. 20.1. C43: Absolute Anzahl der Neuerkrankungen nach Geschlecht (Behandlungsort)

Diagnosejahr	Männer		Frauen		Summe
	Anzahl	%	Anzahl	%	
2008	136	45,8	161	54,2	297
2009	167	50,9	161	49,1	328
2010	158	47,4	175	52,6	333
2011	187	50,8	181	49,2	368
2012	189	50,9	182	49,1	371
2013	182	49,3	187	50,7	369
2014	192	51,1	184	48,9	376
2015	195	54,9	160	45,1	355
2016	204	50,5	200	49,5	404
2017	210	49,0	219	51,0	429
2018	250	55,8	198	44,2	448
Summe	2070	50,8	2008	49,2	4078

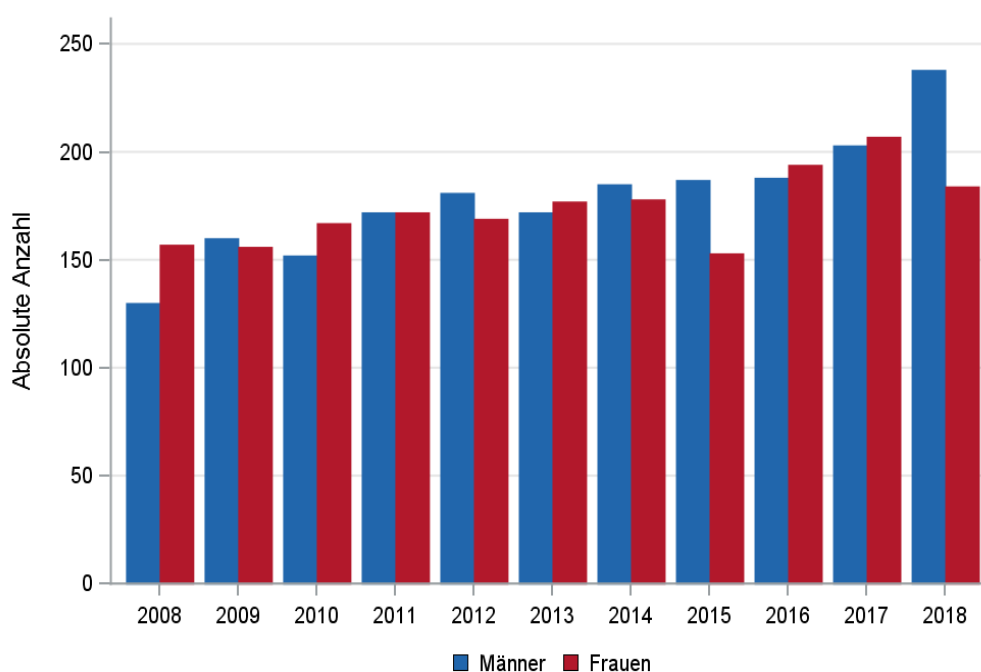


© KKR-MV 2020

Abb. 20.1. C43: Absolute Anzahl der Neuerkrankungen nach Geschlecht im Diagnosezeitraum 2008 bis 2018 (Behandlungsort)

Tab. 20.2. C43: Absolute Anzahl der Neuerkrankungen nach Geschlecht (Wohnort)

Diagnosejahr	Männer		Frauen		Summe
	Anzahl	%	Anzahl	%	
2008	130	45,3	157	54,7	287
2009	160	50,6	156	49,4	316
2010	152	47,6	167	52,4	319
2011	172	50,0	172	50,0	344
2012	181	51,7	169	48,3	350
2013	172	49,3	177	50,7	349
2014	185	51,0	178	49,0	363
2015	187	55,0	153	45,0	340
2016	188	49,2	194	50,8	382
2017	203	49,5	207	50,5	410
2018	238	56,4	184	43,6	422
Summe	1968	50,7	1914	49,3	3882



© KKR-MV 2020

Abb. 20.2. C43: Absolute Anzahl der Neuerkrankungen nach Geschlecht im Diagnosezeitraum 2008 bis 2018 (Wohnort)

20.3 Absolute Anzahl der erfassten Neuerkrankungen in M-V in den Jahren 2008 – 2018 nach Landkreisen (Wohnort)

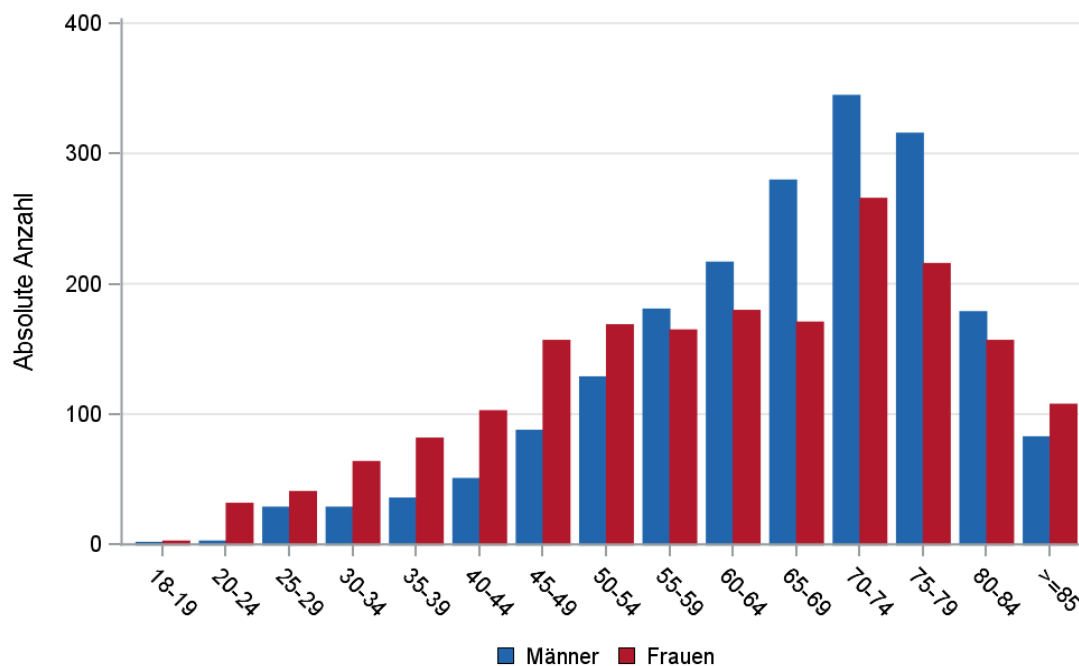
Tab. 20.3. C43: Absolute Anzahl und prozentualer Anteil der Neuerkrankungen nach Landkreisen

Landkreis	2008		2009		2010		2011		2012		2013		2014		2015		2016		2017		2018		Summe	
	Anzahl	%	Anzahl	%	Anzahl	%	Anzahl	%	Anzahl	%	Anzahl	%	Anzahl	%	Anzahl	%	Anzahl	%	Anzahl	%	Anzahl	%	Anzahl	%
Landkreis Rostock	27	9,4	36	11,4	39	12,2	29	8,4	40	11,4	37	10,6	43	11,8	62	18,2	52	13,6	61	14,9	53	12,6	479	12,3
Ludwigslust-Parchim	20	7,0	26	8,2	36	11,3	32	9,3	34	9,7	29	8,3	48	13,2	31	9,1	45	11,8	50	12,2	44	10,4	395	10,2
Mecklenburgische Seenplatte	67	23,3	49	15,5	56	17,6	58	16,9	51	14,6	58	16,6	43	11,8	33	9,7	46	12,0	68	16,6	48	11,4	577	14,9
Nordwestmecklenburg	29	10,1	34	10,8	29	9,1	29	8,4	37	10,6	24	6,9	31	8,5	41	12,1	41	10,7	27	6,6	38	9,0	360	9,3
Rostock	38	13,2	43	13,6	32	10,0	43	12,5	40	11,4	62	17,8	54	14,9	46	13,5	42	11,0	55	13,4	66	15,6	521	13,4
Schwerin	19	6,6	24	7,6	22	6,9	25	7,3	34	9,7	30	8,6	27	7,4	29	8,5	30	7,9	20	4,9	34	8,1	294	7,6
Vorpommern-Greifswald	38	13,2	44	13,9	49	15,4	55	16,0	54	15,4	61	17,5	51	14,0	46	13,5	53	13,9	54	13,2	65	15,4	570	14,7
Vorpommern-Rügen	49	17,1	60	19,0	55	17,2	70	20,3	59	16,9	48	13,8	66	18,2	52	15,3	72	18,8	75	18,3	73	17,3	679	17,5
nicht zuordenbar	0	0	0	0	1	0,3	3	0,9	1	0,3	0	0	0	0	0	0	1	0,3	0	0	1	0,2	7	0,2
Summe	287	100,0	316	100,0	319	100,0	344	100,0	350	100,0	349	100,0	363	100,0	340	100,0	382	100,0	410	100,0	422	100,0	3882	100,0

20.4 Rohe und standardisierte Neuerkrankungsraten pro 100.000 Einwohner in den Jahren 2008-2018 (Wohnort)

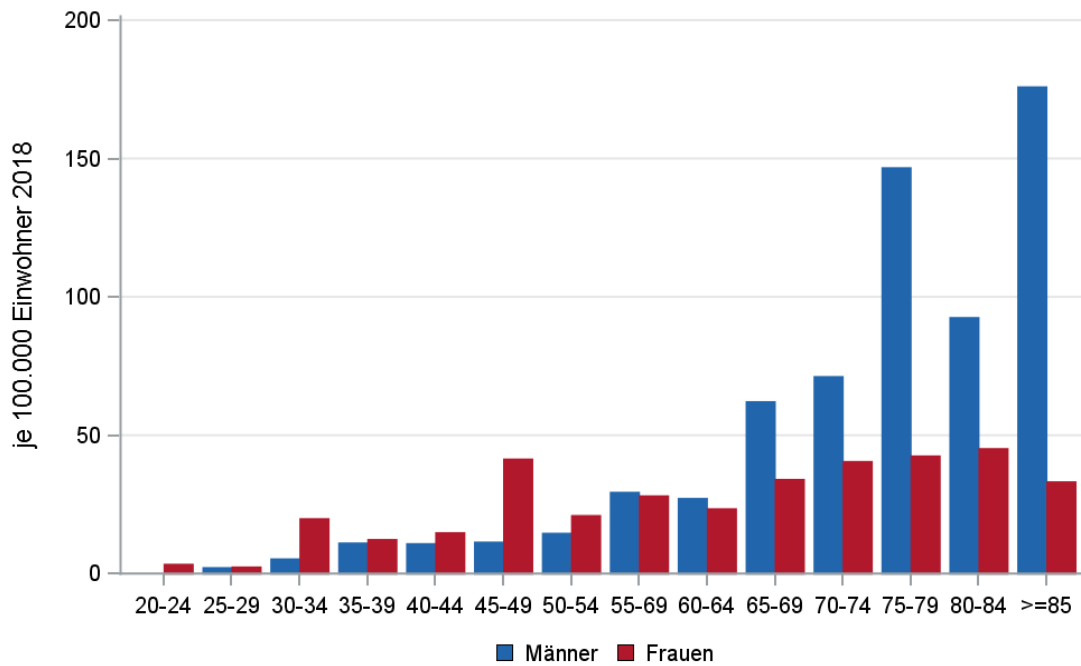
Tab. 20.4. C43: Neuerkrankungsrate/100.000 Einwohner (Alter > 19)

Diagnosejahr	Männer			Frauen		
	absolute Anzahl der Neuerkrankungen	rohe Rate in M-V	altersstandardisierte Rate	absolute Anzahl der Neuerkrankungen	rohe Rate in M-V	altersstandardisierte Rate
2008	130	18,8	16,3	156	21,8	18,9
2009	159	23,0	20,1	156	21,9	19,2
2010	152	22,0	19,0	166	23,3	20,3
2011	171	25,5	20,1	172	24,6	19,9
2012	181	27,2	21,6	169	24,3	20,4
2013	172	26,0	20,3	177	25,6	20,9
2014	185	28,0	20,9	178	25,8	20,1
2015	187	28,3	21,5	153	22,2	18,3
2016	188	28,4	20,3	194	28,2	22,9
2017	203	30,9	21,6	207	30,2	24,0
2018	238	36,3	24,4	183	26,7	21,5
2008-2018	1966	26,8	20,5	1911	25,0	20,6



© KKR-MV 2020

Abb. 20.3. C43: Absolute Anzahl der Neuerkrankungen aufgelistet in 5-Jahres-Altersgruppen und nach Geschlecht im Diagnosezeitraum 2008 bis 2018 (Wohnort)



© KKR-MV 2020

Abb. 20.4. C43: Altersspezifische Rate der Neuerkrankungen je 100.000 Einwohner (Diagnosejahr 2018) nach 5-Jahres-Altersgruppen und Geschlecht (Wohnort)

20.5 Alter der in den Jahren 2008 - 2018 in M-V neuerkrankten Patienten (Behandlungsort)

Tab. 20.5. C43: Erkrankungsalter (Behandlungsort)

Diagnosejahr	Männer				Frauen			
	Anzahl	Median	Minimum	Maximum	Anzahl	Median	Minimum	Maximum
2008	136	67	26	88	161	63	18	99
2009	167	63	18	84	161	63	20	98
2010	158	69	28	90	175	59	18	101
2011	187	69	19	88	181	63	21	90
2012	189	69	25	97	182	63	20	98
2013	182	69	24	90	187	65	23	94
2014	192	67	27	92	184	65	23	89
2015	195	67	25	93	160	63	21	99
2016	204	71	29	89	200	63	24	95
2017	210	70	26	96	219	66	27	95
2018	250	73	26	92	198	64	18	94

20.6 Absolute Anzahl der erfassten Neuerkrankungen in M-V in den Jahren 2008 – 2018 nach Lokalisation

Tab. 20.6. C43: Absolute Anzahl und prozentualer Anteil der Neuerkrankungen nach der Lokalisation (Behandlungsort)

Lokalisation	2008	2009	2010	2011	2012	2013	2014	2015	2016	2017	2018	Summe	
												Anzahl	%
C44.0 Lippenhaut	1	0	0	0	0	0	0	0	0	0	0	1	0,0
C44.01 Oberlippe, äußere Haut	0	0	0	1	2	0	0	0	1	0	1	5	0,1
C44.02 Unterlippe, äußere Haut	0	0	0	1	0	0	0	0	0	0	0	1	0,0
C44.1 Augenlid	1	0	0	0	1	1	0	0	0	1	0	4	0,1
C44.11 Oberlid	0	0	0	0	0	0	0	0	0	0	1	1	0,0
C44.12 Unterlid	0	0	0	1	0	0	1	1	3	1	0	7	0,2
C44.13 Innerer Augenwinkel	0	0	1	0	0	1	0	1	1	0	1	5	0,1
C44.14 Äußerer Augenwinkel	0	0	0	2	0	0	0	0	2	0	0	4	0,1
C44.2 Äußeres Ohr	4	3	1	5	4	1	2	2	5	6	8	41	1,0
C44.21 Ohrmuschel	6	5	5	3	3	5	1	5	2	5	5	45	1,1
C44.3 Andere Teile der Gesichtshaut	1	2	4	5	2	5	3	3	2	7	5	39	1,0
C44.31 Nase (ohne Nasenschleimhaut =C30.0)	3	1	0	2	3	1	7	3	5	3	1	29	0,7
C44.32 Wange (ohne Wangenschleimhaut, =C06.0)	10	11	13	14	13	17	16	13	20	13	22	162	4,0
C44.33 Stirn, Augenbraun	2	3	2	4	7	4	5	3	5	6	7	48	1,2
C44.34 Schläfe	4	3	2	8	4	4	2	8	8	6	9	58	1,4
C44.35 Kinn	1	0	0	0	0	0	0	0	2	0	2	5	0,1
C44.36 Kieferwinkel	1	1	0	2	0	2	0	0	1	1	1	9	0,2
C44.4 Haut von behaartem Kopf und Hals	4	1	2	1	2	2	1	0	0	0	1	14	0,3
C44.41 Behaarter Kopf	4	3	2	4	3	8	10	3	4	8	9	58	1,4
C44.42 Nacken	2	1	2	2	2	2	2	5	4	4	4	30	0,7
C44.43 Hals	7	6	3	4	9	7	5	11	10	10	6	78	1,9
C44.44 Supraklavikuläre Region	0	1	0	2	0	1	1	0	0	0	3	8	0,2
C44.5 Haut des Stamms	17	9	7	6	5	10	8	12	0	7	11	92	2,3
C44.51 Vordere und seitliche Brustwand	14	15	27	19	19	23	21	16	23	21	20	218	5,3
C44.52 Bauchhaut (einschl. Haut des Nabels)	13	12	13	17	19	20	21	19	28	23	22	207	5,1
C44.53 Rückenhaut	56	63	66	63	83	65	85	72	93	101	99	846	20,7
C44.54 Gesäßhaut	4	6	3	8	4	4	3	4	5	5	4	50	1,2
C44.55 Analrand (perianale Haut)	1	0	2	2	0	0	2	0	2	3	0	12	0,3
C44.56 Leistenhaut	0	1	0	1	1	0	1	3	0	1	1	9	0,2
C44.6 Haut von Arm und Schulter	1	2	0	5	1	3	0	0	1	3	7	23	0,6
C44.61 Schulter	16	25	34	35	40	29	31	30	27	29	43	339	8,3
C44.62 Axilla	0	2	0	1	0	0	1	2	0	1	2	9	0,2
C44.63 Oberarm	37	37	24	37	32	38	40	40	28	47	43	403	9,9
C44.64 Ellenbogen, Ellenbeuge	4	1	1	2	3	2	3	3	7	1	4	31	0,8
C44.65 Unterarm	12	17	17	19	20	20	14	16	16	15	19	185	4,5
C44.67 Handinnenfläche	1	0	0	0	0	1	0	0	0	0	0	2	0,0
C44.68 Finger	3	0	1	2	1	1	1	5	3	3	2	22	0,5
C44.69 Subungualgegend (Hand)	0	0	0	0	1	0	0	0	0	0	1	2	0,0
C44.7 Haut von Bein und Hüfte	0	3	2	2	2	4	1	0	0	1	3	18	0,4
C44.71 Hüfte	2	3	0	1	6	3	0	1	7	2	2	27	0,7
C44.72 Oberschenkel	20	31	27	25	24	27	22	26	29	34	43	308	7,6

Lokalisation	2008	2009	2010	2011	2012	2013	2014	2015	2016	2017	2018	Summe	
												Anzahl	%
C44.73 Knie, Kniekehle	6	7	5	3	4	3	6	7	7	6	6	60	1,5
C44.74 Unterschenkel	27	45	50	37	36	38	43	20	32	38	19	385	9,4
C44.75 Fußrücken	0	1	6	3	2	2	4	7	3	3	2	33	0,8
C44.76 Fußsohle	4	2	4	3	4	1	3	2	1	3	4	31	0,8
C44.77 Ferse	3	2	1	6	3	3	3	2	6	5	4	38	0,9
C44.78 Zehen	4	3	3	7	3	5	3	6	7	4	2	47	1,2
C44.8 Haut (mehrere Regionen überlappend)	0	0	1	0	1	0	0	0	0	0	0	2	0,0
C44.9 Haut o.n.A.	1	0	2	3	2	6	4	4	4	2	0	28	0,7
Summe	297	328	333	368	371	369	376	355	404	429	449	4079	100,0

20.7 Histologische Befunde bei allen neuerkrankten Patienten in M-V in den Jahren 2008 – 2018

Tab. 20.7. C43: Histologiebefunde bei neuerkrankten Patienten mit einem kutanen Melanom (Behandlungsort)

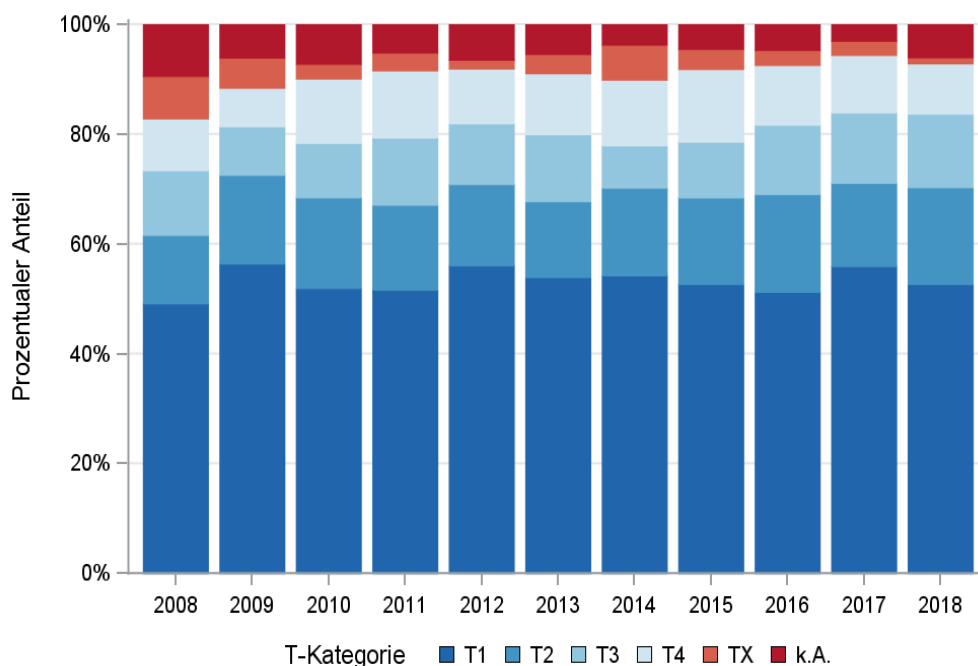
Histologiecode	Anzahl	Prozent
8743/3: Oberflächlich spreitendes Melanom	2015	49,4
8720/3: Malignes Melanom o.n.A.	973	23,9
8721/3: Noduläres malignes Melanom (NM)	670	16,4
8742/3: Lentigo-maligna-Melanom	276	6,8
8744/3: Akral-lentiginöses malignes Melanom	76	1,9
8730/3: Amelanotisches malignes Melanom	21	0,5
8745/3: Desmoplastisches malignes Melanom	15	0,4
8771/3: Epitheloidzellmelanom	7	0,2
8723/3: Malignes Melanom in Regression	6	0,1
8740/3: Malignes Melanom in Junktions-Nävus	4	0,1
8761/3: Malignes Melanom in pigmentiertem Riesennävus	4	0,1
8741/3: Malignes Melanom in prämaligener Melanose	3	0,1
8780/3: Maligner blauer Nävus	3	0,1
8722/3: Ballonzellmelanom	2	0,0
8772/3: Spindelzellmelanom o.n.A.	2	0,0
8770/3: Gemischtes Epitheloid- und Spindelzellmelanom	1	0,0
Alle malignen Melanome	4078	100,0

20.8 Tumorgröße und Ausdehnung (TNM)

Tab. 20.8. C43: Absolute Anzahl der Neuerkrankungen klassifiziert nach der Tumorgröße in Bezug zu der Auflage der TNM-Klassifikation (Behandlungsort)

Tumorgröße (T)	TNM Auflage 6		TNM Auflage 7		TNM Auflage 8		k.A. zur TNM Auflage		Summe	
	Anzahl	%	Anzahl	%	Anzahl	%	Anzahl*	%	Anzahl	%
T1	298	57,1	1425	56,0	452	57,4	-	-	2175	53,3
T2	80	15,3	421	16,5	139	17,6	-	-	640	15,7
T3	57	10,9	301	11,8	101	12,8	-	-	459	11,3
T4	53	10,2	300	11,8	82	10,4	-	-	435	10,7
TX	34	6,5	97	3,8	14	1,8	-	-	145	3,6
k.A.	0	0	0	0	0	0	224	100,0	224	5,5
Summe	522	100,0	2544	100,0	788	100,0	224	100,0	4078	100,0

*In einzelnen Fällen wurden Angaben zur Tumorgröße ohne Bezug zu einer TNM Auflage gemacht. Diese Angaben wurden in die Kategorie k.A. aufgenommen.



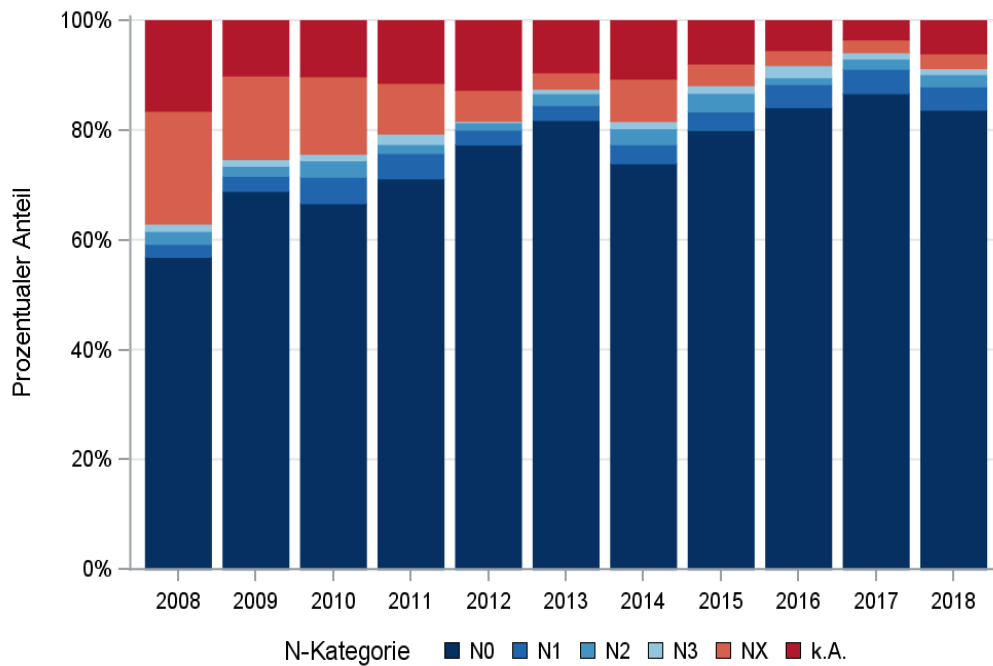
© KKR-MV 2020

Abb. 20.5. C43: Prozentualer Anteil der Neuerkrankungen nach der Tumorgröße im Diagnosezeitraum 2008 bis 2018

Tab. 20.9. C43: Absolute Anzahl der Neuerkrankungen mit bzw. ohne Befall der regionären Lymphknoten in Bezug zu der Auflage der TNM-Klassifikation (Behandlungsort)

N-Kategorie	TNM Auflage 6		TNM Auflage 7		TNM Auflage 8		k.A. zur TNM Auflage		Summe	
	Anzahl	%	Anzahl	%	Anzahl	%	Anzahl*	%	Anzahl	%
N0	341	65,3	2076	81,6	700	88,8	-	-	3117	76,4
N1	18	3,4	95	3,7	36	4,6	-	-	149	3,7
N2	14	2,7	57	2,2	17	2,2	-	-	88	2,2
N3	10	1,9	28	1,1	14	1,8	-	-	52	1,3
NX	111	21,3	169	6,6	20	2,5	-	-	300	7,4
k.A.	28	5,4	119	4,7	1	0,1	224	100,0	372	9,1
Summe	522	100,0	2544	100,0	788	100,0	224	100,0	4078	100,0

*In einzelnen Fällen wurden Angaben zur N-Kategorie ohne Bezug zu einer TNM Auflage gemacht. Diese Angaben wurden in die Kategorie k.A. aufgenommen.



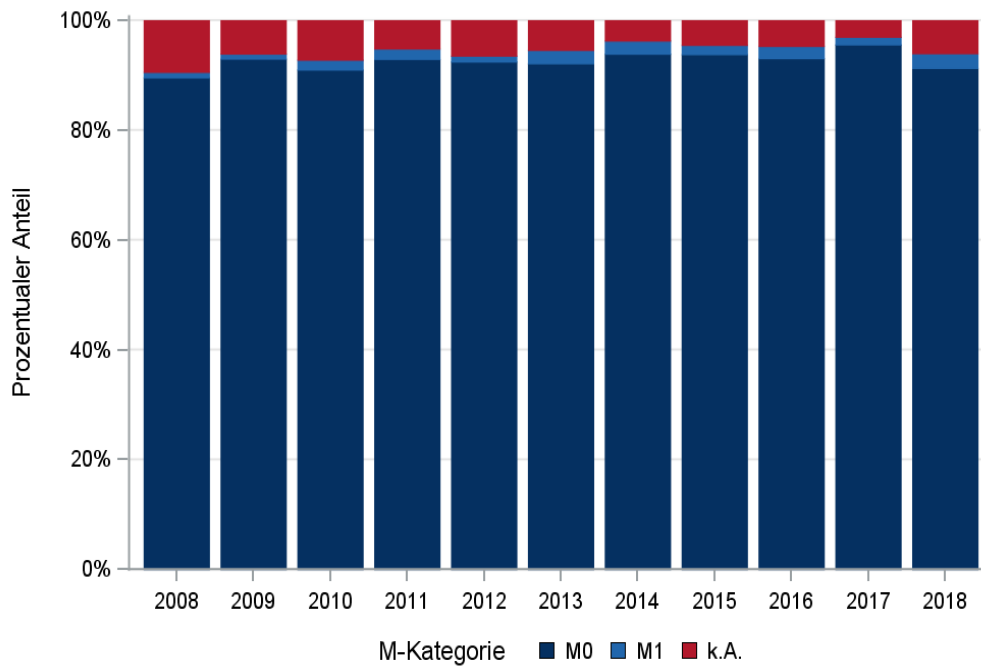
© KKR-MV 2020

Abb. 20.6. C43: Prozentualer Anteil der Neuerkrankungen mit und ohne Befall der regionären Lymphknoten zum Zeitpunkt der Erstdiagnose im Diagnosezeitraum 2008 bis 2018

Tab. 20.10. C43: Absolute Anzahl der Neuerkrankungen mit Fernmetastasierung in Bezug zu der Auflage der TNM-Klassifikation (Behandlungsort)

M-Kategorie	TNM Auflage 6		TNM Auflage 7		TNM Auflage 8		k.A. zur TNM Auflage		Summe	
	Anzahl	%	Anzahl	%	Anzahl	%	Anzahl*	%	Anzahl	%
M0	515	98,7	2496	98,1	769	97,6	-	-	3780	92,7
M1	7	1,3	48	1,9	19	2,4	-	-	74	1,8
k.A.	0	0	0	0	0	0	224	100,0	224	5,5
Summe	522	100,0	2544	100,0	788	100,0	224	100,0	4078	100,0

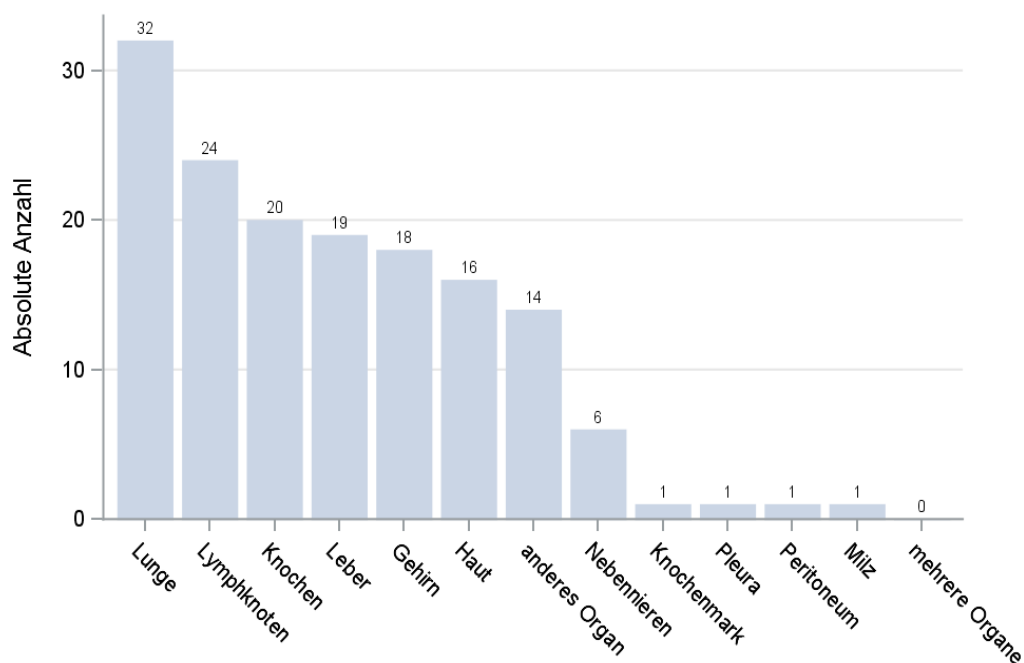
*In einzelnen Fällen wurden Angaben zur M-Kategorie ohne Bezug zu einer TNM Auflage gemacht. Diese Angaben wurden in die Kategorie k.A. aufgenommen.



© KKR-MV 2020

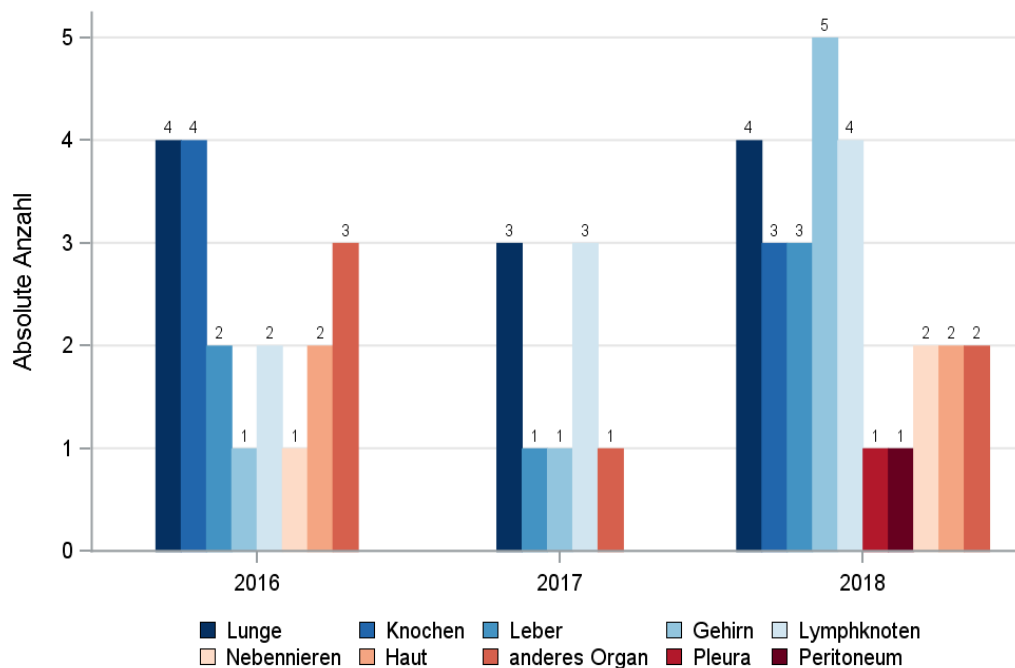
Abb. 20.7. C43: Prozentualer Anteil der primären Fernmetastasierung im Diagnosezeitraum 2008 bis 2018

20.9 Lokalisation der Fernmetastasen



© KKR-MV 2020

Abb. 20.8. C43: Lokalisation der Fernmetastasen bei Neuerkrankungen im Diagnosezeitraum 2008 bis 2018



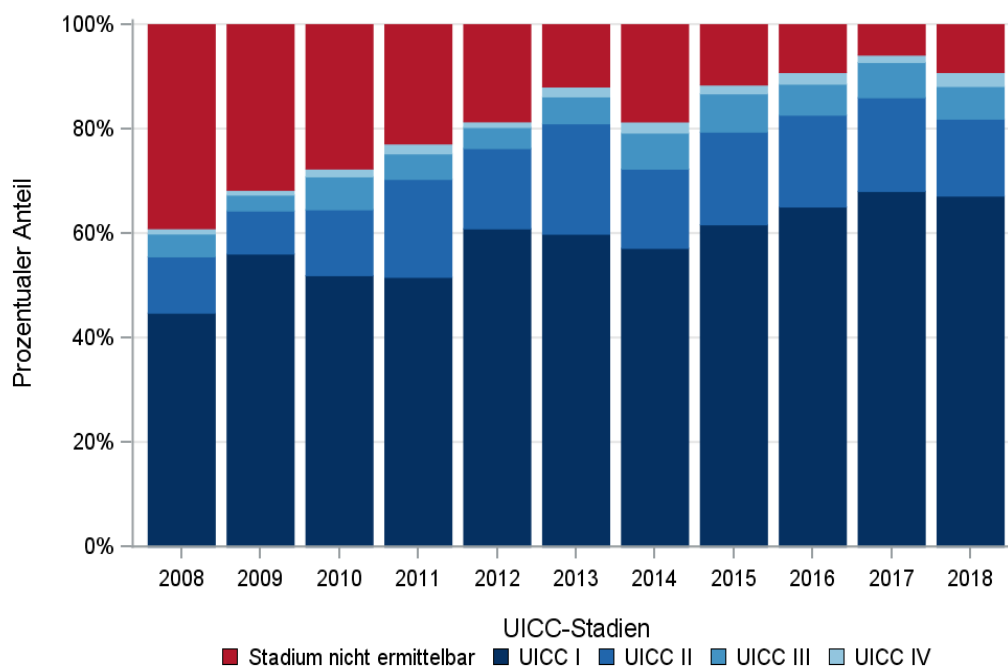
© KKR-MV 2020

Abb.20.9. C43: Lokalisation der Fernmetastasen bei Neuerkrankungen für die Diagnosejahre 2016 bis 2018

20.10 Tumorstadien nach UICC

Tab. 20.11. C43: Primäre UICC-Stadien (Behandlungsort)

Jahre	UICC I		UICC II		UICC III		UICC IV		Stadium nicht ermittelbar		Summe	
	Anzahl	%	Anzahl	%	Anzahl	%	Anzahl	%	Anzahl	%	Anzahl	%
2008	133	44,8	32	10,8	13	4,4	3	1,0	116	39,1	297	100,0
2009	184	56,1	27	8,2	10	3,0	3	0,9	104	31,7	328	100,0
2010	173	52,0	42	12,6	21	6,3	5	1,5	92	27,6	333	100,0
2011	190	51,6	69	18,8	18	4,9	7	1,9	84	22,8	368	100,0
2012	226	60,9	57	15,4	15	4,0	4	1,1	69	18,6	371	100,0
2013	221	59,9	78	21,1	19	5,1	7	1,9	44	11,9	369	100,0
2014	215	57,2	57	15,2	26	6,9	8	2,1	70	18,6	376	100,0
2015	219	61,7	63	17,7	26	7,3	6	1,7	41	11,5	355	100,0
2016	263	65,1	71	17,6	24	5,9	9	2,2	37	9,2	404	100,0
2017	292	68,1	77	17,9	29	6,8	6	1,4	25	5,8	429	100,0
2018	301	67,2	66	14,7	28	6,3	12	2,7	41	9,2	448	100,0
Summe	2417	59,3	639	15,7	229	5,6	70	1,7	723	17,7	4078	100,0



© KKR-MV 2020

Abb. 20.10. C43: Prozentuale Anteile der UICC-Tumorstadien in den Diagnosejahren 2008 bis 2018

20.11 Dokumentierte Therapie bis max. 12 Monate nach Diagnosestellung

20.11.1 Therapiekombinationen, Stellung der Therapie und Intention der dokumentierten Therapien

Tab. 20.12. C43: Therapiekombinationen (Operation, Strahlentherapie, systemische Therapie) pro Diagnosejahr (Behandlungsort)

Therapiekombinationen	2008	2009	2010	2011	2012	2013	2014	2015	2016	2017	2018	Summe
Alleinige Operation	254	278	269	316	327	330	337	318	360	394	409	3592
Alleinige systemische Therapie	1	0	1	5	1	0	1	0	3	4	2	18
Alleinige Strahlentherapie	1	0	0	0	0	0	0	0	1	0	0	2
Operation und systemische Therapie, keine Strahlentherapie	36	43	53	40	36	27	28	32	34	26	29	384
Operation und Strahlentherapie, keine systemische Therapie	0	0	2	1	3	2	0	0	1	0	0	9
Operation und systemische Therapie und Strahlentherapie	0	0	0	1	0	2	2	0	0	1	0	6
Keine Operation, systemische Therapie oder Strahlentherapie	5	7	8	5	4	8	8	5	5	4	8	67
Summe	297	328	333	368	371	369	376	355	404	429	448	4078

Tab. 20.13. C43: Therapiekombinationen (Operation, Strahlentherapie, systemische Therapie) in Abhängigkeit von dem UICC-Stadium (Behandlungsort)

Therapiekombinationen	UICC I	UICC II	UICC III	UICC IV	Stadium nicht ermittelbar	Summe
Alleinige Operation	2370	477	114	16	615	3592
Alleinige systemische Therapie	1	0	4	7	6	18
Alleinige Strahlentherapie	0	0	0	1	1	2
Operation und systemische Therapie, keine Strahlentherapie	32	158	101	33	60	384
Operation und Strahlentherapie, keine systemische Therapie	1	2	2	1	3	9
Operation und systemische Therapie und Strahlentherapie	0	0	4	0	2	6
Keine Operation, systemische Therapie oder Strahlentherapie	13	2	4	12	36	67
Summe	2417	639	229	70	723	4078

Tab. 20.14a. C43: Stellung der Strahlentherapie zur operativen Therapie im ersten Jahr der Erkrankung (adjuvant/neoadjuvant, Behandlungsort)

Stellung der Strahlentherapie zur operativen Therapie	2010	2011	2012	2013	2014	2016	2017	Summe
Adjuvante (postoperative) Strahlentherapie	2	0	1	4	1	1	0	9
Neoadjuvante (präoperative) Strahlentherapie	0	0	0	0	0	0	1	1
unbekannt	0	2	2	0	1	0	0	5
Summe	2	2	3	4	2	1	1	15

Tab. 20.14b. C43: Stellung der systemischen Therapie zur operativen Therapie im ersten Jahr der Erkrankung (adjuvant/neoadjuvant, Behandlungsort)

Stellung der systemischen Therapie zur operativen Therapie	2008	2009	2010	2011	2012	2013	2014	2015	2016	2017	2018	Summe
Adjuvante (postoperative) Therapie	25	25	37	21	22	13	11	16	17	19	23	229
Therapie ohne Bezug zu einer operativen Therapie	1	2	1	3	0	2	2	0	1	3	6	21
Intraoperative Therapie	0	0	0	1	0	1	0	0	0	0	0	2
unbekannt	10	16	15	16	14	13	17	16	16	5	0	138
Summe	36	43	53	41	36	29	30	32	34	27	29	390

Tab. 20.15a. C43: Intention bei der ersten Operation (Behandlungsort)

Intention der Operation	2008	2009	2010	2011	2012	2013	2014	2015	2016	2017	2018	Summe
Kurativ	276	313	313	306	299	281	269	246	287	302	391	3283
Palliativ bzw. symptomatisch	2	0	1	1	2	2	0	2	3	1	6	20
Sonstige/Unbekannt/Keine Angabe	12	8	10	51	65	78	98	102	105	118	41	688
Summe	290	321	324	358	366	361	367	350	395	421	438	3991

Tab. 20.15b. C43: Intention der initialen Bestrahlung (Behandlungsort)

Intention der Bestrahlung	2008	2010	2011	2012	2013	2014	2016	2017	Summe
Kurativ	0	2	0	1	3	1	1	1	9
Palliativ bzw. symptomatisch	0	0	0	0	0	0	1	0	1
Sonstige/Unbekannt/Keine Angabe	1	0	2	2	1	1	0	0	7
Summe	1	2	2	3	4	2	2	1	17

Tab. 20.15c. C43: Intention bei der ersten systemischen Therapie (Behandlungsort)

Intention der systemischen Therapie	2008	2009	2010	2011	2012	2013	2014	2015	2016	2017	2018	Summe
Kurativ	24	25	32	24	20	11	8	11	16	21	22	214
Palliativ bzw. symptomatisch	3	3	6	4	2	3	6	1	4	4	9	45
Sonstige/Unbekannt/Keine Angabe	10	15	16	18	15	15	17	20	17	6	0	149
Summe	37	43	54	46	37	29	31	32	37	31	31	408

Tab. 20.16. C43: Zeitraum zwischen Diagnose und Beginn der ersten Therapie nach Therapieart (Angaben in Tagen, Behandlungsort)

Therapie	Anzahl	Median	Minimum	Maximum
Diagnose und erste Operation	3991	0	0	365
Diagnose und erste Bestrahlung	17	79	11	283
Diagnose und erste system. Therapie	408	72	1	362

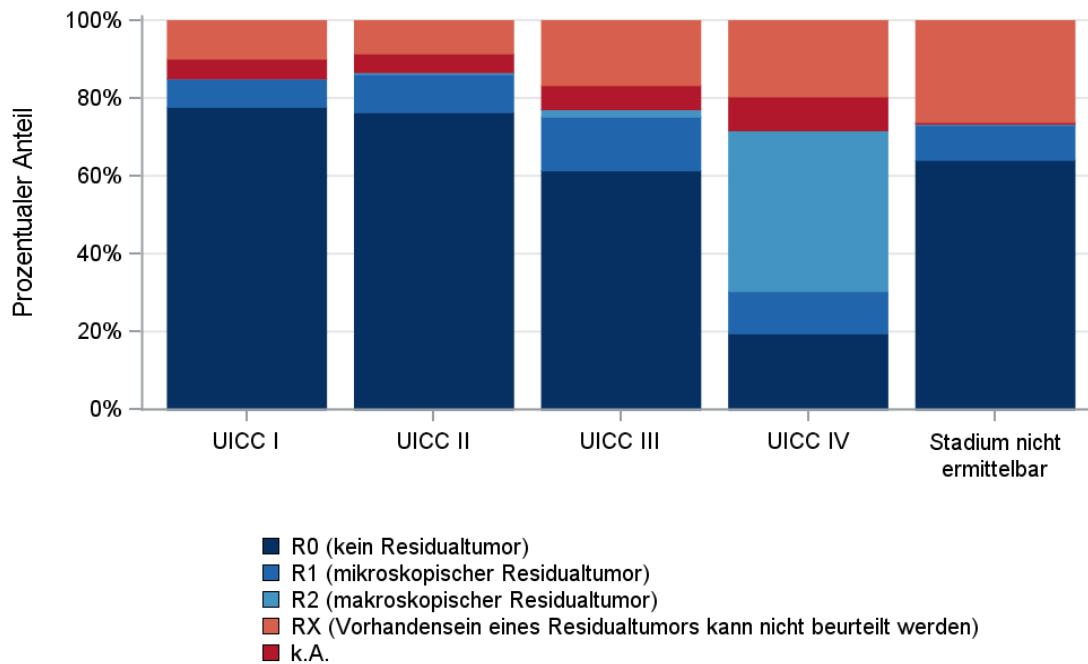
20.11.2 Dokumentierte tumorspezifische Operation bis max.12 Monate nach Diagnosestellung

Tab. 20.17. C43: Dokumentierte tumorspezifische Operation nach UICC (Behandlungsort)

Operationen	UICC I	UICC II	UICC III	UICC IV	Stadium nicht ermittelbar	Summe	
						Anzahl	%
Tumorresektion	1923	240	53	33	548	2797	70,1
Tumor- und Lymphknotenresektion	459	382	157	13	121	1132	28,4
Lymphknotenresektion	8	6	7	1	2	24	0,6
sonstige OP	8	7	2	3	4	24	0,6
keine Angabe	5	2	2	0	5	14	0,4
Summe	2403	637	221	50	680	3991	100,0

Tab. 20.18. C43: Residualklassifikation nach Tumorresektion im Diagnosezeitraum 2008-2018

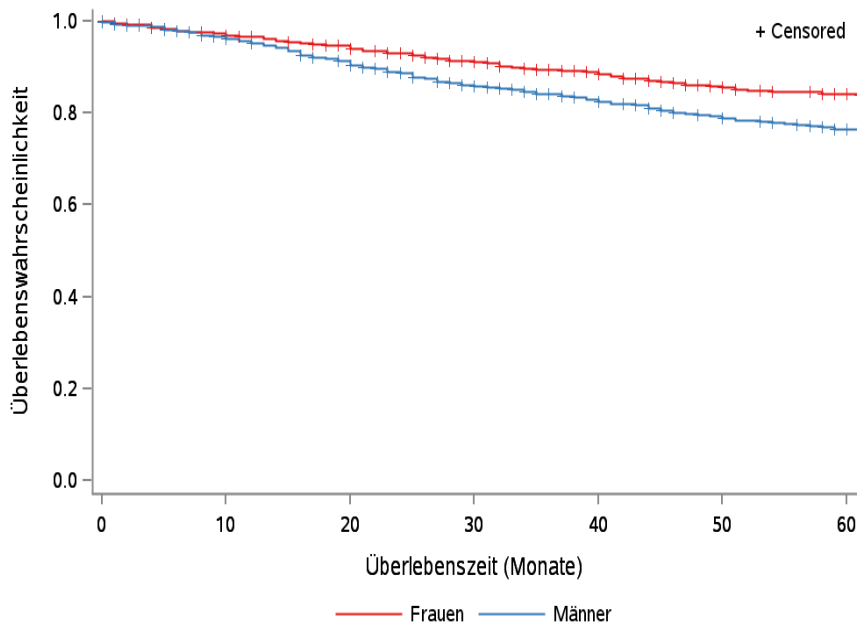
R-Klassifikation	UICC I	UICC II	UICC III	UICC IV	Stadium nicht ermittelbar	Summe	
						Anzahl	%
R0 (kein Residualtumor)	1852	475	129	9	429	2894	73,7
R1 (mikroskopischer Residualtumor)	173	61	29	5	60	328	8,3
R2 (makroskopischer Residualtumor)	1	3	4	19	2	29	0,7
RX (Vorhandensein eines Residualtumors kann nicht beurteilt werden)	235	53	35	9	175	507	12,9
keine Angabe	121	30	13	4	3	171	4,4
Summe	2382	622	210	46	669	3929	100,0



© KKR-MV 2020

Abb.20.11. C43: Residualklassifikation nach Tumorresektion in Abhängigkeit von UICC-Tumorstadium im Diagnosezeitraum 2008 bis 2018

20.12 Überlebensanalysen bei den in den Jahren 2008 – 2013 primär diagnostizierten Patienten

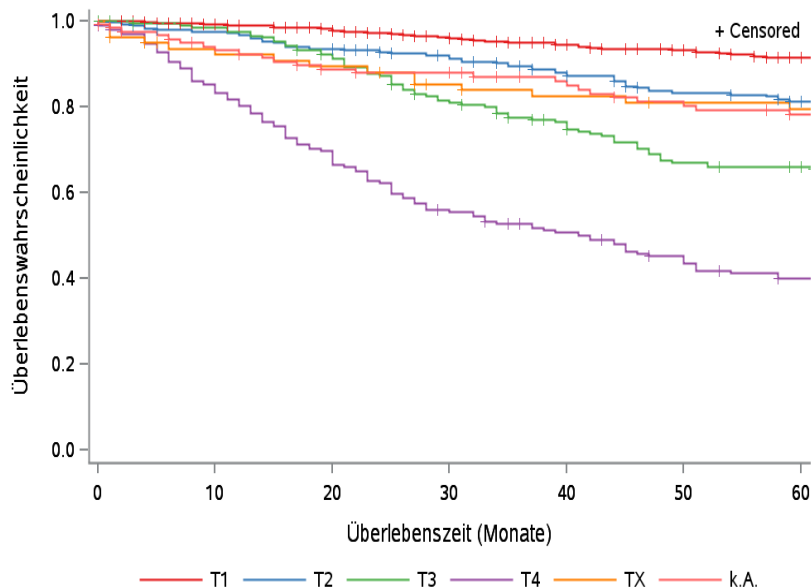


© KKR-MV 2020

Abb.20.12. C43: Wahrscheinlichkeit des Überlebens (Kaplan-Meier-Analyse) nach Geschlecht im Diagnosezeitraum von 2008 bis 2013 (Wohnort). Kaplan-Meier-Kurven werden für Kategorien mit weniger als 10 Neuerkrankungen nicht dargestellt.

Tab. 20.19. C43: Anzahl der unter Risiko stehenden Neuerkrankungen (Monate nach Diagnose)

Geschlecht	0 Monate	20 Monate	40 Monate	60 Monate
Männer	967	819	705	623
Frauen	997	876	777	709

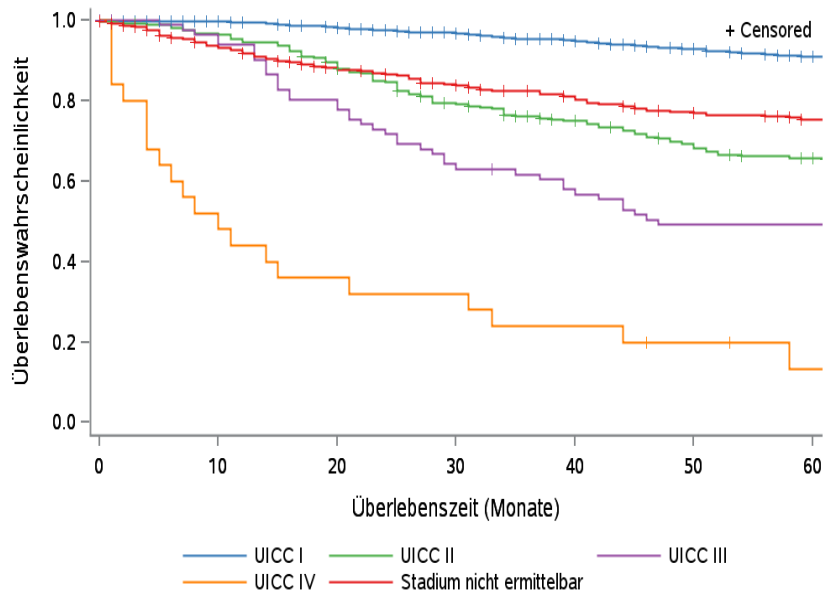


© KKR-MV 2020

Abb.20.13. C43: Wahrscheinlichkeit des Überlebens (Kaplan-Meier-Analyse) nach Tumorstadium im Diagnosezeitraum von 2008 bis 2013 (Wohnort). Kaplan-Meier-Kurven werden für Kategorien mit weniger als 10 Neuerkrankungen nicht dargestellt.

Tab. 20.20. C43: Anzahl der unter Risiko stehenden Neuerkrankungen nach Tumorstadium (Monate nach Diagnose)

T-Kategorie	0 Monate	20 Monate	40 Monate	60 Monate
T1	1054	948	866	803
T2	292	261	228	203
T3	215	188	149	125
T4	197	133	93	69
TX	79	66	57	54
k.A.	127	99	89	78



© KKR-MV 2020

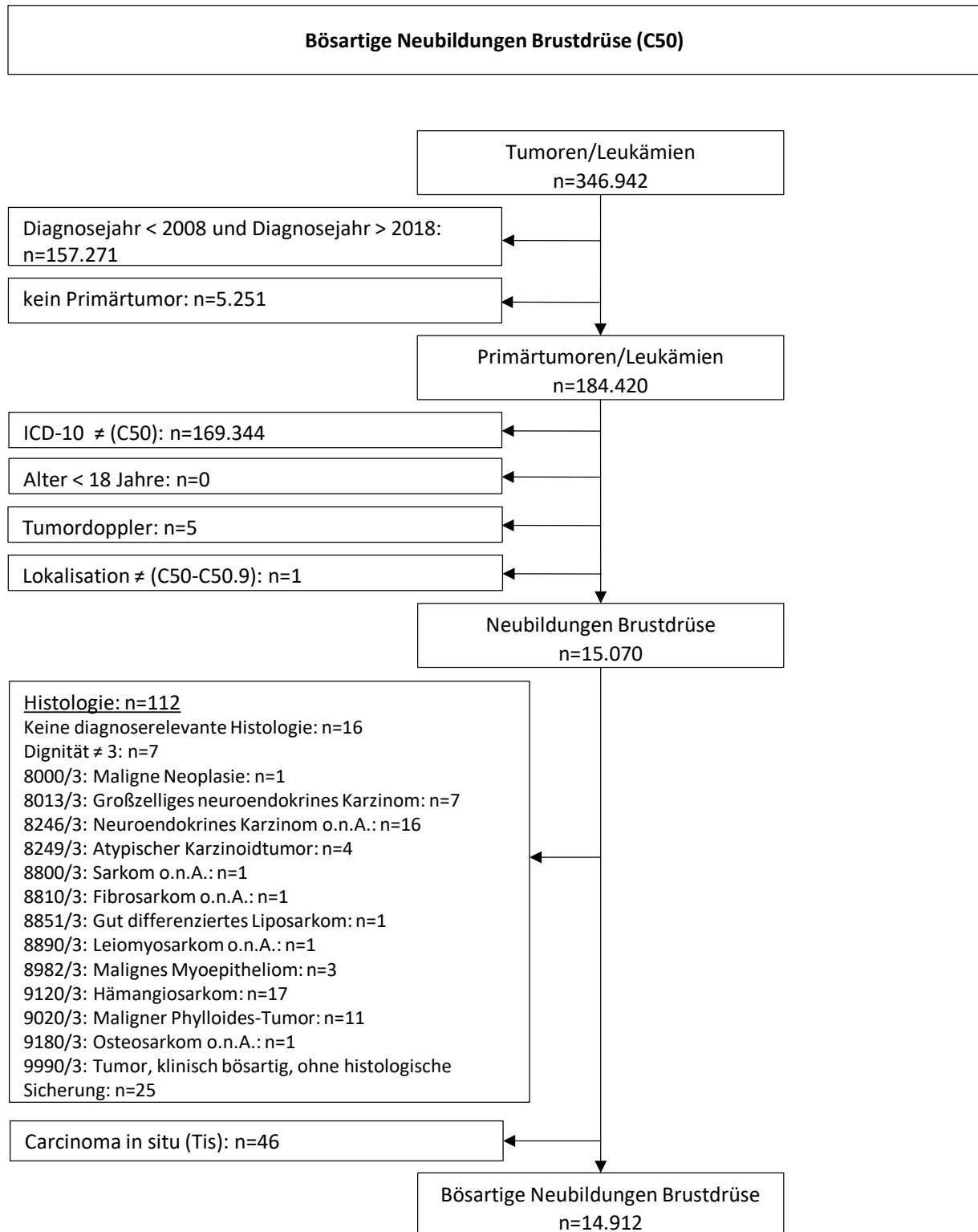
Abb.20.14. C43: Wahrscheinlichkeit des Überlebens (Kaplan-Meier-Analyse) nach UICC-Tumorstadium im Diagnosezeitraum von 2008 bis 2013 (Wohnort). Kaplan-Meier-Kurven werden für Kategorien mit weniger als 10 Neuerkrankungen nicht dargestellt.

Tab. 20.21. C43: Anzahl der unter Risiko stehenden Neuerkrankungen nach UICC-Stadium (Monate nach Diagnose)

UICC-Stadium	0 Monate	20 Monate	40 Monate	60 Monate
UICC I	1075	985	890	816
UICC II	283	243	193	162
UICC III	85	65	46	39
UICC IV	25	9	6	2
Stadium nicht ermittelbar	496	393	347	313

21 Brustdrüse (C50)

21.1 Consort-Statement: Darstellung der Auswertepopulation



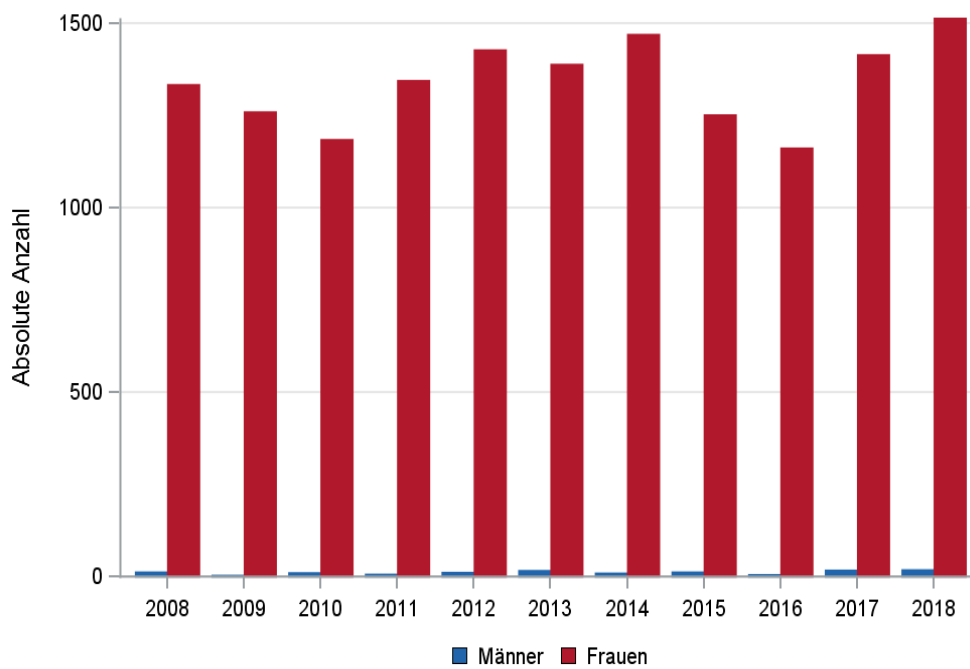
*Erläuterungen zu den Ausschlüssen finden Sie im Kapitel 4 (Methode)

21.2 Brustdrüse (C50) – Frauen und Männer

21.2.1 Absolute Anzahl der erfassten Neuerkrankungen in M-V in den Jahren 2008 – 2018 nach Geschlecht (Behandlungsort, Wohnort)

Tab. 21.1. C50: Absolute Anzahl der Neuerkrankungen nach Geschlecht (Behandlungsort)

Diagnosejahr	Männer		Frauen		Summe
	Anzahl	%	Anzahl	%	
2008	14	1,0	1335	99,0	1349
2009	5	0,4	1261	99,6	1266
2010	12	1,0	1186	99,0	1198
2011	8	0,6	1346	99,4	1354
2012	13	0,9	1429	99,1	1442
2013	18	1,3	1390	98,7	1408
2014	11	0,7	1471	99,3	1482
2015	14	1,1	1253	98,9	1267
2016	7	0,6	1163	99,4	1170
2017	19	1,3	1416	98,7	1435
2018	20	1,3	1521	98,7	1541
Summe	141	0,9	14771	99,1	14912

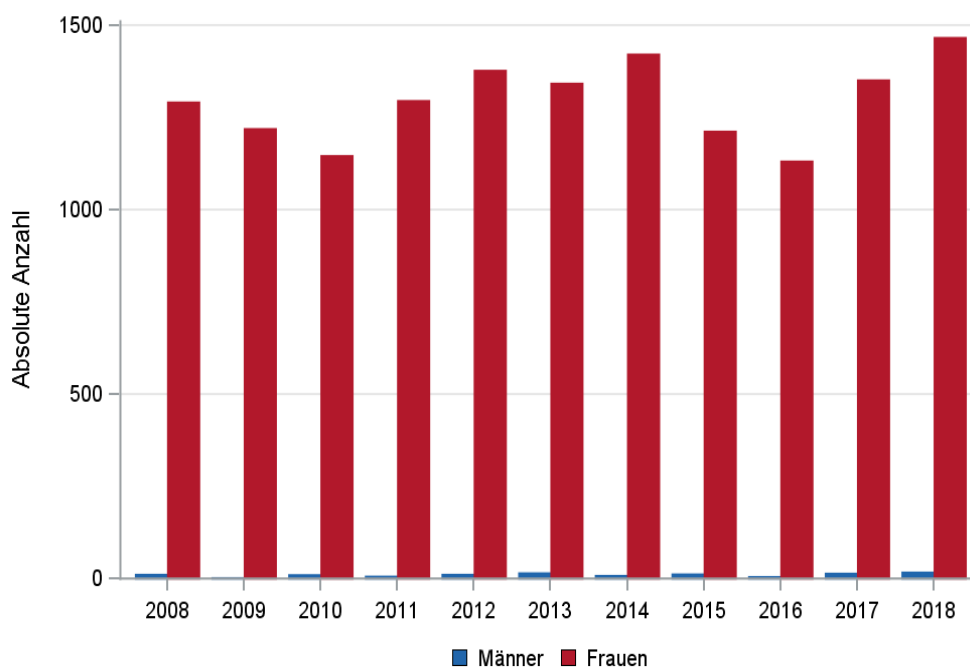


© KKR-MV 2020

Abb. 21.1. C50: Absolute Anzahl der Neuerkrankungen nach Geschlecht im Diagnosezeitraum 2008 bis 2018 (Behandlungsort)

Tab. 21.2. C50: Absolute Anzahl der Neuerkrankungen nach Geschlecht (Wohnort)

Diagnosejahr	Männer		Frauen		Summe
	Anzahl	%	Anzahl	%	
2008	13	1,0	1293	99,0	1306
2009	4	0,3	1221	99,7	1225
2010	12	1,0	1148	99,0	1160
2011	8	0,6	1297	99,4	1305
2012	13	0,9	1379	99,1	1392
2013	17	1,2	1344	98,8	1361
2014	10	0,7	1423	99,3	1433
2015	14	1,1	1214	98,9	1228
2016	7	0,6	1133	99,4	1140
2017	16	1,2	1353	98,8	1369
2018	19	1,3	1468	98,7	1487
Summe	133	0,9	14273	99,1	14406



© KKR-MV 2020

Abb. 21.2. C50: Absolute Anzahl der Neuerkrankungen nach Geschlecht im Diagnosezeitraum 2008 bis 2018 (Wohnort)

21.2.2 Absolute Anzahl der erfassten Neuerkrankungen in M-V in den Jahren 2008 – 2018 nach Landkreisen (Wohnort)

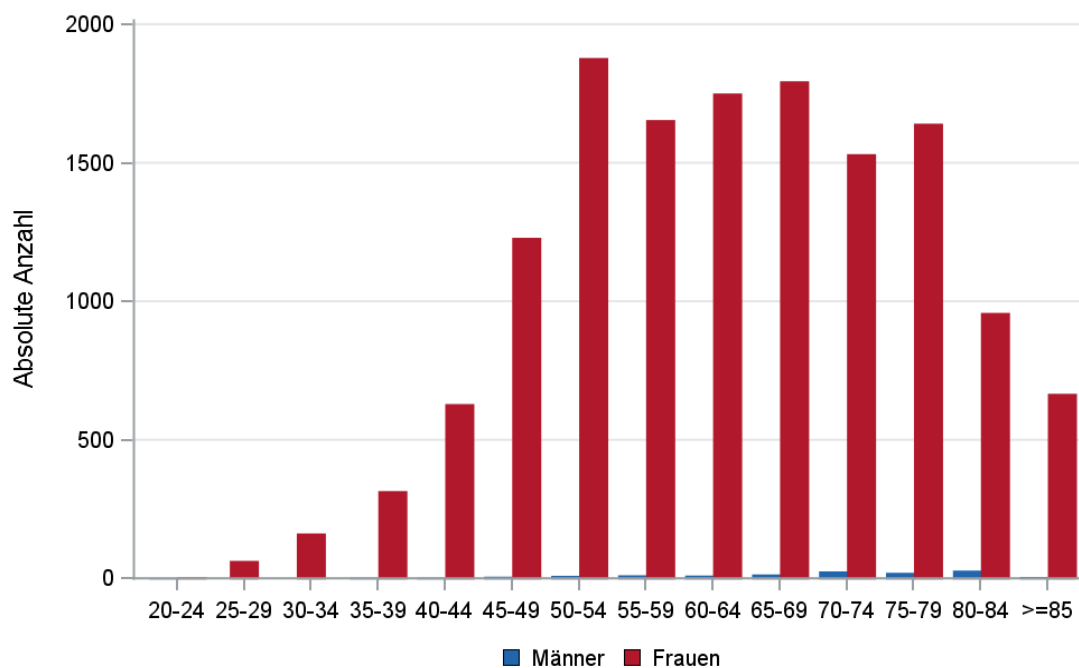
Tab. 21.3. C50: Absolute Anzahl und prozentualer Anteil der Neuerkrankungen nach Landkreisen

Landkreis	2008		2009		2010		2011		2012		2013		2014		2015		2016		2017		2018		Summe	
	Anzahl	%	Anzahl	%	Anzahl	%	Anzahl	%	Anzahl	%	Anzahl	%	Anzahl	%	Anzahl	%	Anzahl	%	Anzahl	%	Anzahl	%	Anzahl	%
Landkreis Rostock	147	11,3	148	12,1	146	12,6	165	12,6	195	14,0	173	12,7	203	14,2	168	13,7	169	14,8	205	15,0	216	14,5	1935	13,4
Ludwigslust-Parchim	177	13,6	154	12,6	130	11,2	168	12,9	163	11,7	163	12,0	183	12,8	178	14,5	164	14,4	135	9,9	183	12,3	1798	12,5
Mecklenburgische Seenplatte	243	18,6	181	14,8	214	18,4	278	21,3	238	17,1	257	18,9	246	17,2	137	11,2	67	5,9	214	15,6	216	14,5	2291	15,9
Nordwestmecklenburg	97	7,4	71	5,8	71	6,1	84	6,4	85	6,1	132	9,7	90	6,3	100	8,1	118	10,4	90	6,6	108	7,3	1046	7,3
Rostock	174	13,3	195	15,9	165	14,2	168	12,9	210	15,1	153	11,2	172	12,0	160	13,0	175	15,4	181	13,2	199	13,4	1952	13,5
Schwerin	106	8,1	82	6,7	64	5,5	93	7,1	86	6,2	85	6,2	95	6,6	81	6,6	78	6,8	87	6,4	98	6,6	955	6,6
Vorpommern-Greifswald	187	14,3	201	16,4	179	15,4	189	14,5	211	15,2	212	15,6	229	16,0	202	16,4	154	13,5	216	15,8	214	14,4	2194	15,2
Vorpommern-Rügen	175	13,4	193	15,8	190	16,4	160	12,3	204	14,7	186	13,7	215	15,0	201	16,4	215	18,9	241	17,6	251	16,9	2231	15,5
nicht zuordenbar	0	0	0	0	1	0,1	0	0	0	0	0	0	0	0	1	0,1	0	0	0	0	2	0,1	4	0,0
Summe	1306	100,0	1225	100,0	1160	100,0	1305	100,0	1392	100,0	1361	100,0	1433	100,0	1228	100,0	1140	100,0	1369	100,0	1487	100,0	14406	100,0

21.2.3 Rohe und standardisierte Neuerkrankungsraten pro 100.000 Einwohner in den Jahren 2008-2018 (Wohnort)

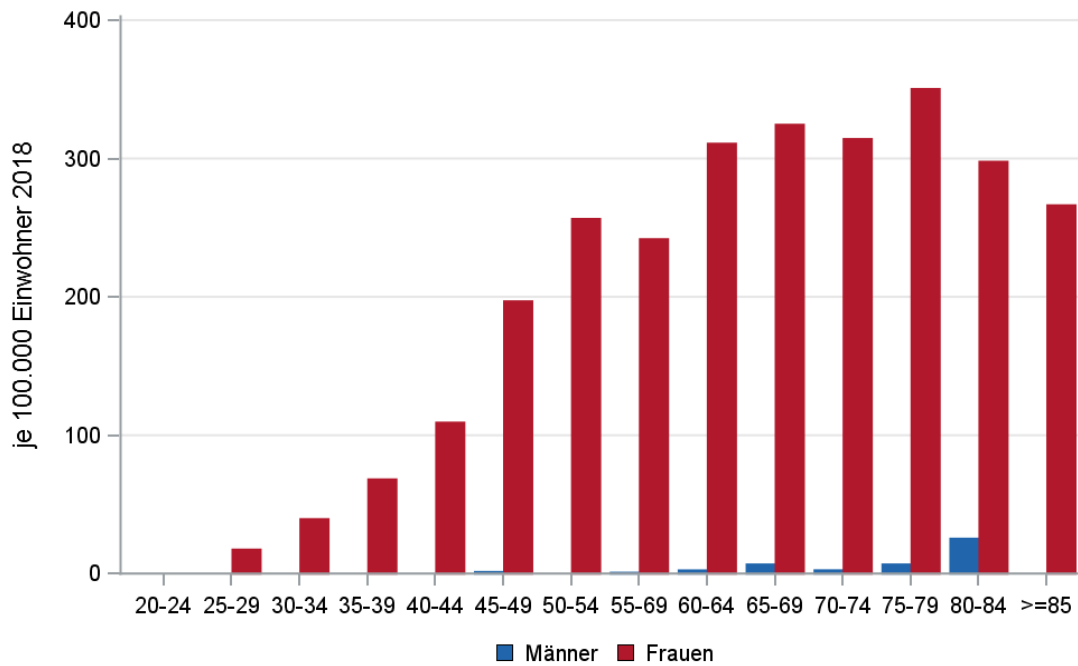
Tab. 21.4. C50: Neuerkrankungsrate/100.000 Einwohner (Alter > 19)

Diagnosejahr	Männer			Frauen		
	absolute Anzahl der Neuerkrankungen	rohe Rate in M-V	altersstandardisierte Rate	absolute Anzahl der Neuerkrankungen	rohe Rate in M-V	altersstandardisierte Rate
2008	13	1,9	1,7	1293	181,0	150,1
2009	4	0,6	0,5	1221	171,3	141,9
2010	12	1,7	1,4	1148	161,3	131,6
2011	8	1,2	0,9	1297	185,1	149,6
2012	13	2,0	1,4	1379	197,9	158,8
2013	17	2,6	1,6	1344	194,1	151,8
2014	10	1,5	1,1	1423	206,4	160,9
2015	14	2,1	1,7	1214	176,4	135,4
2016	7	1,1	0,9	1133	164,9	127,3
2017	16	2,4	1,6	1353	197,2	149,5
2018	19	2,9	1,6	1468	214,3	160,0
2008-2018	133	1,8	1,3	14273	186,4	147,0



© KKR-MV 2020

Abb. 21.3. C50: Absolute Anzahl der Neuerkrankungen aufgelistet in 5-Jahres-Altersgruppen und nach Geschlecht im Diagnosezeitraum 2008 bis 2018 (Wohnort)



© KKR-MV 2020

Abb. 21.4. C50: Altersspezifische Rate der Neuerkrankungen je 100.000 Einwohner (Diagnosejahr 2018) nach 5-Jahres-Altersgruppen und Geschlecht (Wohnort)

21.2.4 Alter der in den Jahren 2008 - 2018 in M-V neuerkrankten Patienten (Behandlungsort)

Tab. 21.5. C50: Erkrankungsalter (Behandlungsort)

Diagnosejahr	Männer				Frauen			
	Anzahl	Median	Minimum	Maximum	Anzahl	Median	Minimum	Maximum
2008	14	67	38	88	1335	63	25	96
2009	5	67	56	80	1261	62	25	97
2010	12	69	39	81	1186	62	26	92
2011	8	70	51	86	1346	63	28	93
2012	13	76	56	86	1429	62	26	98
2013	18	75	45	91	1390	63	22	98
2014	11	71	45	85	1471	62	25	96
2015	14	66	24	80	1253	63	25	94
2016	7	72	44	86	1163	63	24	95
2017	19	70	52	84	1416	64	24	97
2018	20	74	47	84	1521	64	25	97

21.3 Brustdrüse (C50) – Frauen

21.3.1 Absolute Anzahl der erfassten Neuerkrankungen in M-V in den Jahren 2008 – 2018 nach Lokalisation

Tab. 21.A.6. C50 (Frauen): Absolute Anzahl und prozentualer Anteil der Neuerkrankungen nach der Lokalisation (Behandlungsort)

Lokalisation	2008	2009	2010	2011	2012	2013	2014	2015	2016	2017	2018	Summe	
												Anzahl	%
C50.0 Mamille	8	7	13	11	10	12	17	22	23	43	21	187	1,3
C50.1 Zentraler Drüsenkörper	94	83	77	104	109	82	93	52	35	49	57	835	5,6
C50.2 Oberer innerer Quadrant	118	112	117	139	167	155	149	125	149	137	162	1530	10,3
C50.3 Unterer innerer Quadrant	57	62	60	60	67	89	73	77	67	87	93	792	5,4
C50.4 Oberer äußerer Quadrant	432	429	425	456	524	532	556	475	434	536	535	5334	36,1
C50.5 Unterer äußerer Quadrant	89	93	75	91	105	92	100	116	94	118	112	1085	7,3
C50.6 Axilläre Ausläufer	3	3	1	5	2	3	3	3	6	3	7	39	0,3
C50.8 Brust (mehrere Teilregionen überlappend)	293	258	275	333	302	296	288	256	241	326	303	3171	21,4
C50.9 Brust o.n.A.	246	221	145	147	143	129	192	127	114	117	231	1812	12,3
Summe	1340	1268	1188	1346	1429	1390	1471	1253	1163	1416	1521	14785	100,0

21.3.2 Histologische Befunde bei allen neuerkrankten Patientinnen in M-V in den Jahren 2008 – 2018

Tab. 21.A.7. C50 (Frauen): Histologische Befunde bei neuerkrankten Patientinnen (Behandlungsort)

Histologiecode	Anzahl	Prozent
8500/3: Invasives duktales Karzinom o.n.A.	11299	76,5
8520/3: Lobuläres Karzinom o.n.A.	1837	12,4
8522/3: Invasives duktales und lobuläres Karzinom	328	2,2
8480/3: Muzinöses Adenokarzinom	302	2,0
8211/3: Tubuläres Adenokarzinom	170	1,2
8523/3: Invasives duktales Karzinom gemischt mit anderen Karzinom-Typen	96	0,7
8575/3: Metaplastisches Karzinom o.n.A.	92	0,6
8503/3: Intraduktales papilläres Adenokarzinom mit Invasion	89	0,6
8510/3: Medulläres Karzinom o.n.A.	81	0,6
8507/3: invasiv mikropapilläres Karzinom	47	0,3
8230/3: Solides Karzinom o.n.A.	42	0,3
8140/3: Adenokarzinom o.n.A.	33	0,2
8201/3: Kribriiformes Karzinom o.n.A.	24	0,2
8401/3: Apokrines Adenokarzinom	21	0,1
8574/3: Adenokarzinom mit neuroendokriner Differenzierung	21	0,1
8530/3: Inflammatorisches Karzinom	19	0,1
8504/3: Intrazystisches Karzinom o.n.A.	18	0,1
8200/3: Adenoid-zystisches Karzinom	14	0,1
8524/3: Invasives lobuläres Karzinom gemischt mit anderen Karzinom-Typen	14	0,1
8540/3: M. Paget der Brust	11	0,1
8513/3: Atypisches medulläres Karzinom	10	0,1

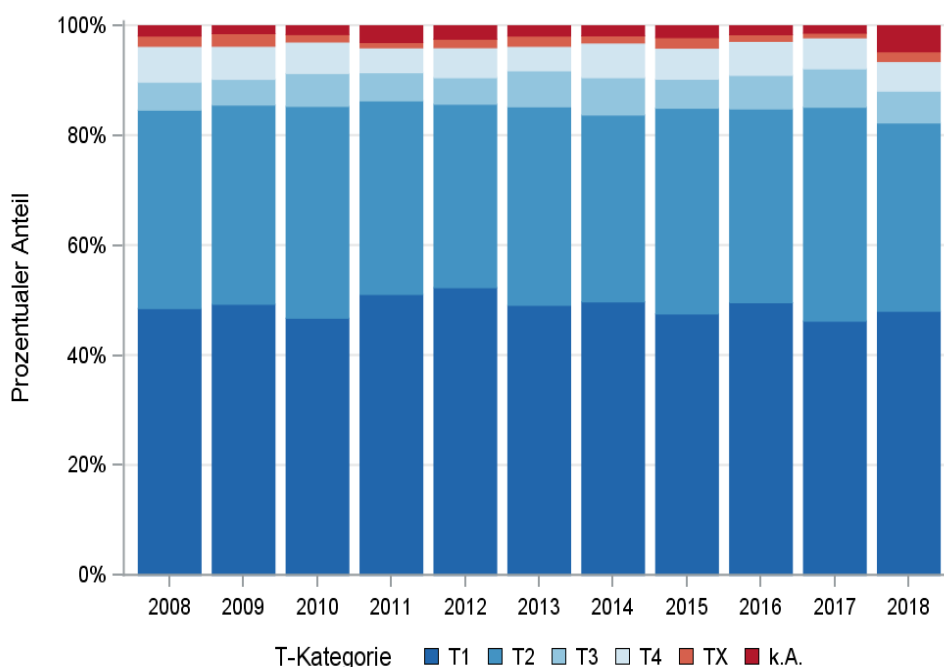
Histologiecode	Anzahl	Prozent
8265/3: Mikropapilläres Karzinom o.n.A.	9	0,1
8521/3: Invasives duktiläres Karzinom	7	0,1
8571/3: Adenokarzinom mit Knorpel- und Knochenmetaplasie	6	0,0
8573/3: Adenokarzinom mit apokriner Metaplasie	6	0,0
8490/3: Siegelringzellkarzinom	4	0,0
8502/3: Sekretorisches Mammakarzinom	4	0,0
8541/3: M. Paget mit invasivem duktalem Karzinom	4	0,0
8572/3: Adenokarzinom mit Spindelzellmetaplasie	4	0,0
8560/3: Adenosquamöses Karzinom	3	0,0
8141/3: Szirrhöses Adenokarzinom	2	0,0
8260/3: Papilläres Adenokarzinom o.n.A.	2	0,0
8310/3: Klarzelliges Adenokarzinom o.n.A.	2	0,0
8430/3: Mukoepidermoid-Karzinom	2	0,0
8145/3: Diffuses Karzinom	1	0,0
8290/3: Oxyphiles Adenokarzinom	1	0,0
8314/3: Lipidreiches Karzinom	1	0,0
8315/3: Glykogenreiches Karzinom	1	0,0
8343/3: Abgekapseltes papilläres Karzinom	1	0,0
8452/3: Solid-pseudopapilläres Karzinom	1	0,0
8543/3: M. Paget mit nichtinvasivem intraduktalem Karzinom	1	0,0
8550/3: Azinuszellkarzinom	1	0,0
8570/3: Adenokarzinom mit Plattenepithelmetaplasie	1	0,0
Adenokarzinome	14632	99,1
8010/3: Karzinom o.n.A.	77	0,5
8022/3: Pleomorphes Karzinom	6	0,0
8041/3: Kleinzelliges Karzinom o.n.A.	4	0,0
8020/3: Undifferenziertes Karzinom o.n.A.	3	0,0
8032/3: Spindelzellkarzinom o.n.A.	3	0,0
8033/3: Pseudosarkomatöses Karzinom	3	0,0
8021/3: Anaplastisches Karzinom o.n.A.	1	0,0
Epitheliale Neoplasien o.n.A.	97	0,66
8050/3: Papilläres Karzinom o.n.A.	27	0,2
8070/3: Plattenepithelkarzinom o.n.A.	9	0,1
8072/3: Großzelliges nichtverhornendes Plattenepithelkarzinom o.n.A.	2	0,0
8071/3: Verhornendes Plattenepithelkarzinom o.n.A.	1	0,0
8074/3: Spindelzelliges Plattenepithelkarzinom	1	0,0
8082/3: Lymphoepitheliales Karzinom	1	0,0
8123/3: Basaloidkarzinom	1	0,0
Plattenepithel- und Übergangsepithelkarzinome	42	0,3

21.3.3 Tumorgröße und Ausdehnung (TNM)

Tab. 21.A.8. C50 (Frauen): Absolute Anzahl der Neuerkrankungen klassifiziert nach der Tumorgröße in Bezug zu der Auflage der TNM-Klassifikation (Behandlungsort)

Tumorgröße (T)	TNM Auflage 6		TNM Auflage 7		TNM Auflage 8		k.A. zur TNM Auflage		Summe	
	Anzahl	%	Anzahl	%	Anzahl	%	Anzahl*	%	Anzahl	%
T1	1231	50,4	4727	50,5	1277	48,2	-	-	7235	49,0
T2	897	36,7	3406	36,4	997	37,7	-	-	5300	35,9
T3	121	5,0	556	5,9	174	6,6	-	-	851	5,8
T4	159	6,5	513	5,5	158	6,0	-	-	830	5,6
TX	35	1,4	151	1,6	41	1,5	-	-	227	1,5
k.A.	0	0	0	0	0	0	328	100,0	328	2,2
Summe	2443	100,0	9353	100,0	2647	100,0	328	100,0	14771	100,0

*In einzelnen Fällen wurden Angaben zur Tumorgröße ohne Bezug zu einer TNM Auflage gemacht. Diese Angaben wurden in die Kategorie k.A. aufgenommen.



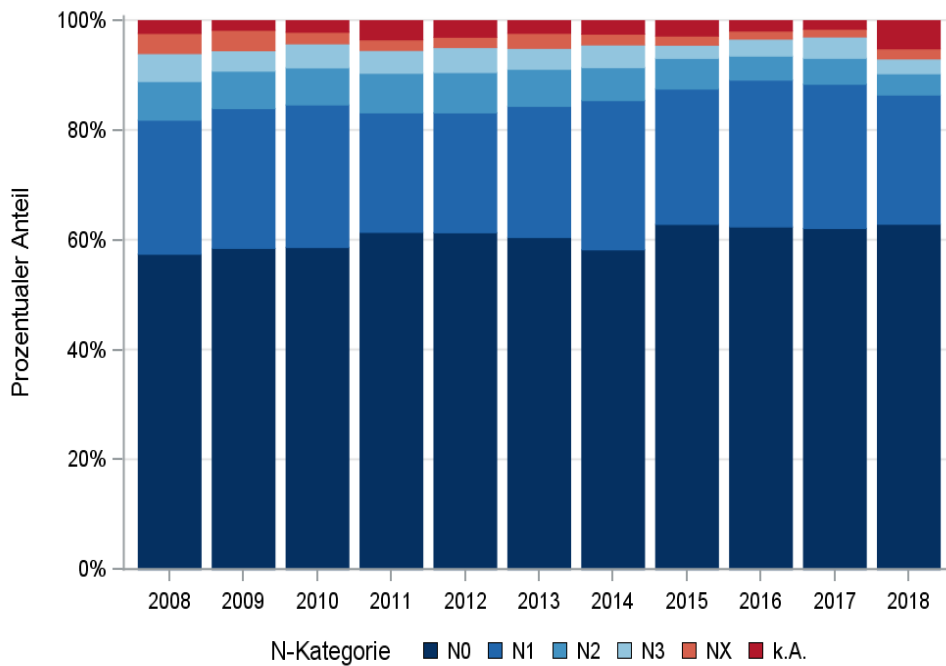
© KKR-MV 2020

Abb. 21.A.5. C50 (Frauen): Prozentualer Anteil der Neuerkrankungen nach der Tumorgröße im Diagnosezeitraum 2008 bis 2018

Tab. 21.A.9. C50 (Frauen): Absolute Anzahl der Neuerkrankungen mit bzw. ohne Befall der regionären Lymphknoten in Bezug zu der Auflage der TNM-Klassifikation (Behandlungsort)

N-Kategorie	TNM Auflage 6		TNM Auflage 7		TNM Auflage 8		k.A. zur TNM Auflage		Summe	
	Anzahl	%	Anzahl	%	Anzahl	%	Anzahl*	%	Anzahl	%
N0	1460	59,8	5789	61,9	1705	64,4	-	-	8954	60,6
N1	611	25,0	2353	25,2	678	25,6	-	-	3642	24,7
N2	174	7,1	599	6,4	118	4,5	-	-	891	6,0
N3	112	4,6	364	3,9	88	3,3	-	-	564	3,8
NX	80	3,3	197	2,1	50	1,9	-	-	327	2,2
k.A.	6	0,2	51	0,5	8	0,3	328	100,0	393	2,7
Summe	2443	100,0	9353	100,0	2647	100,0	328	100,0	14771	100,0

*In einzelnen Fällen wurden Angaben zur N-Kategorie ohne Bezug zu einer TNM Auflage gemacht. Diese Angaben wurden in die Kategorie k.A. aufgenommen.



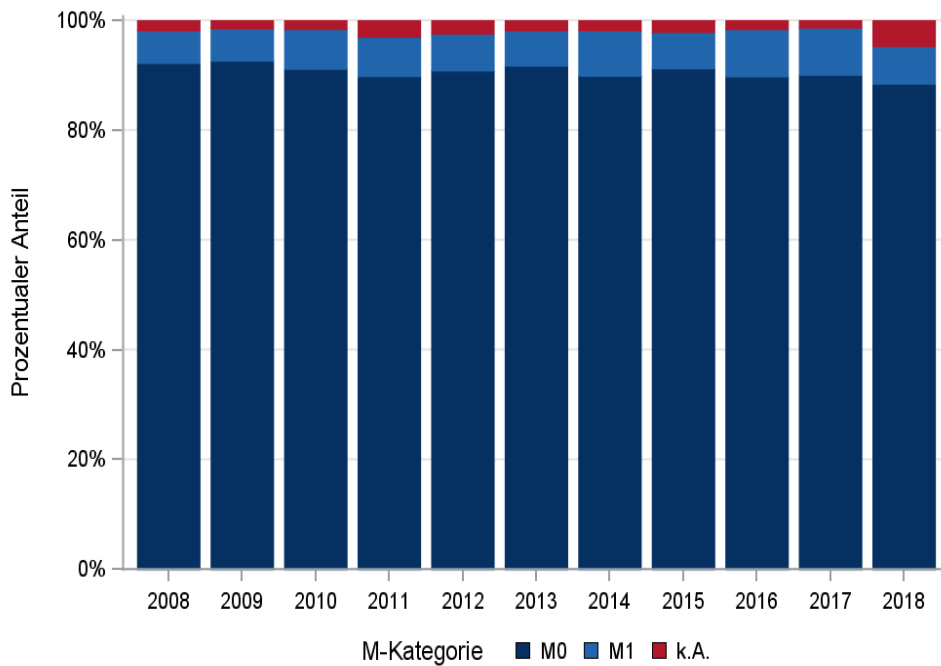
© KKR-MV 2020

Abb. 21.A.6. C50 (Frauen): Prozentualer Anteil der Neuerkrankungen mit und ohne Befall der regionären Lymphknoten zum Zeitpunkt der Erstdiagnose im Diagnosezeitraum 2008 bis 2018

Tab. 21.A.10. C50 (Frauen): Absolute Anzahl der Neuerkrankungen mit Fernmetastasierung in Bezug zu der Auflage der TNM-Klassifikation (Behandlungsort)

M-Kategorie	TNM Auflage 6		TNM Auflage 7		TNM Auflage 8		k.A. zur TNM Auflage		Summe	
	Anzahl	%	Anzahl	%	Anzahl	%	Anzahl*	%	Anzahl	%
M0	2299	94,1	8653	92,5	2439	92,1	-	-	13391	90,7
M1	144	5,9	700	7,5	208	7,9	-	-	1052	7,1
k.A.	0	0	0	0	0	0	328	100,0	328	2,2
Summe	2443	100,0	9353	100,0	2647	100,0	328	100,0	14771	100,0

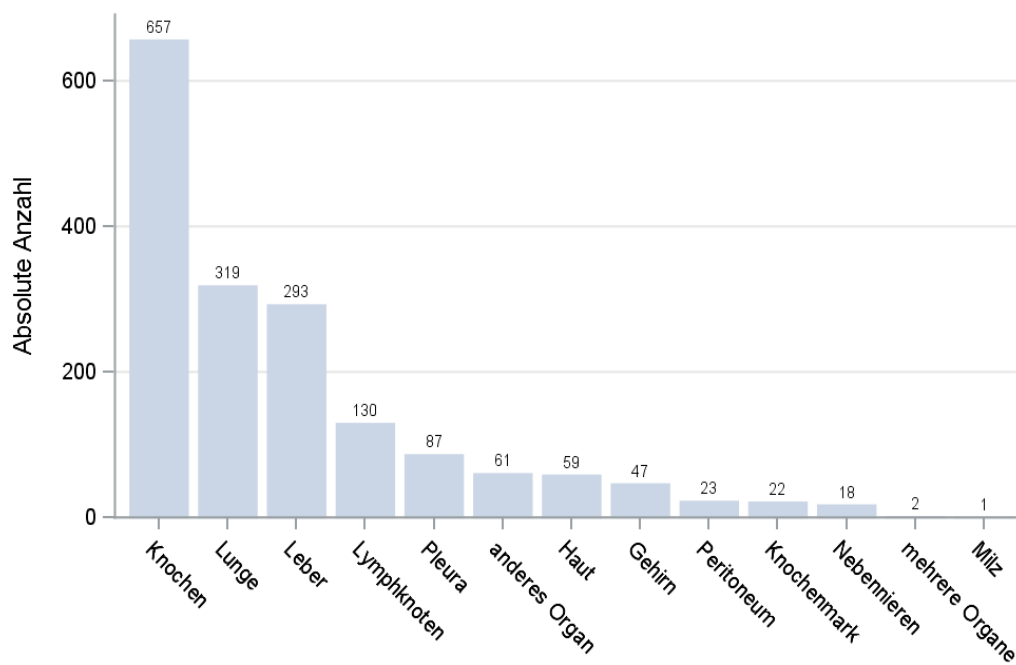
*In einzelnen Fällen wurden Angaben zur M-Kategorie ohne Bezug zu einer TNM Auflage gemacht. Diese Angaben wurden in die Kategorie k.A. aufgenommen.



© KKR-MV 2020

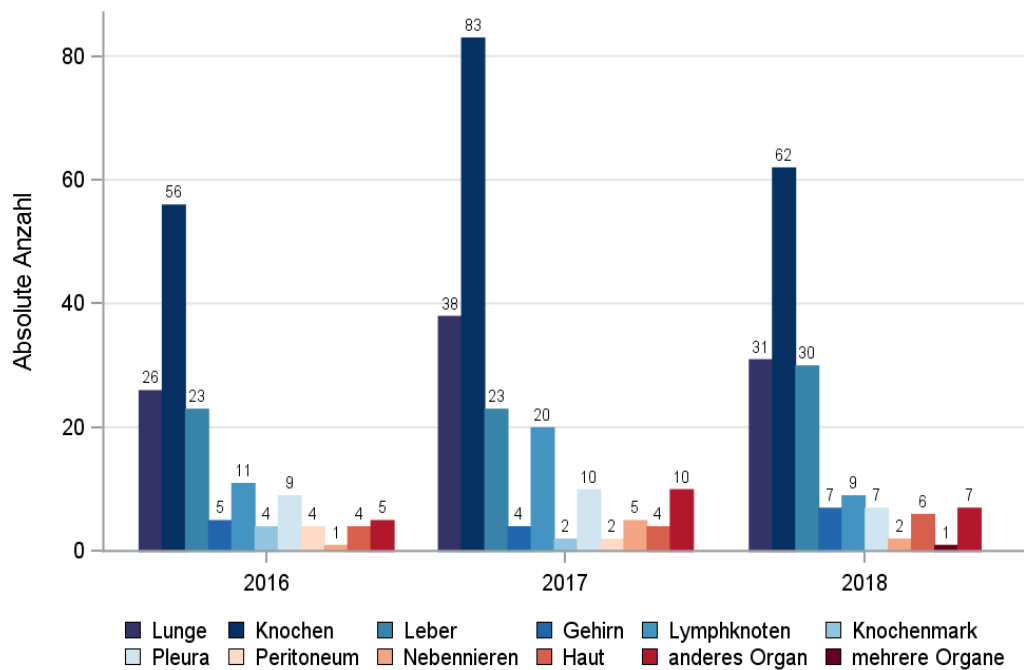
Abb. 21.A.7. C50 (Frauen): Prozentualer Anteil der primären Fernmetastasierung im Diagnosezeitraum 2008 bis 2018

21.3.4 Lokalisation der Fernmetastasen



© KKR-MV 2020

Abb. 21.A.8. C50 (Frauen): Lokalisation der Fernmetastasen bei Neuerkrankungen im Diagnosezeitraum 2008 bis 2018



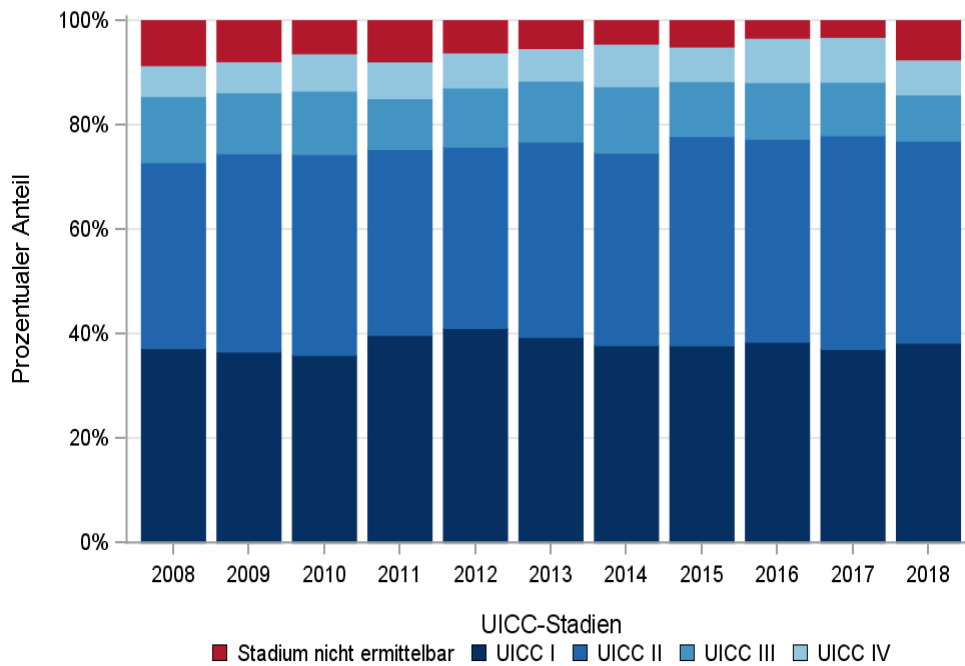
© KKR-MV 2020

Abb.21.A.9. C50 (Frauen): Lokalisation der Fernmetastasen bei Neuerkrankungen für die Diagnosejahre 2016 bis 2018

21.3.5 Tumorstadien nach UICC

Tab. 21.A.11. C50 (Frauen): Primäre UICC-Stadien (Behandlungsort)

Jahre	UICC I		UICC II		UICC III		UICC IV		Stadium nicht ermittelbar		Summe	
	Anzahl	%	Anzahl	%	Anzahl	%	Anzahl	%	Anzahl	%	Anzahl	%
2008	497	37,2	475	35,6	169	12,7	79	5,9	115	8,6	1335	100,0
2009	461	36,6	479	38,0	147	11,7	75	5,9	99	7,9	1261	100,0
2010	426	35,9	456	38,4	144	12,1	85	7,2	75	6,3	1186	100,0
2011	535	39,7	479	35,6	131	9,7	95	7,1	106	7,9	1346	100,0
2012	587	41,1	496	34,7	162	11,3	96	6,7	88	6,2	1429	100,0
2013	547	39,4	520	37,4	162	11,7	87	6,3	74	5,3	1390	100,0
2014	556	37,8	542	36,8	187	12,7	120	8,2	66	4,5	1471	100,0
2015	473	37,7	502	40,1	132	10,5	83	6,6	63	5,0	1253	100,0
2016	447	38,4	452	38,9	126	10,8	99	8,5	39	3,4	1163	100,0
2017	525	37,1	579	40,9	145	10,2	122	8,6	45	3,2	1416	100,0
2018	582	38,3	588	38,7	135	8,9	102	6,7	114	7,5	1521	100,0
Summe	5636	38,2	5568	37,7	1640	11,1	1043	7,1	884	6,0	14771	100,0



© KKR-MV 2020

Abb. 21.A.10. C50 (Frauen): Prozentuale Anteile der UICC-Tumorstadien in den Diagnosejahren 2008 bis 2018

21.3.6 Dokumentierte Therapie bis max. 12 Monate nach Diagnosestellung bei Frauen

21.3.6.1 Therapiekombinationen, Stellung der Therapie und Intention der dokumentierten Therapien

Tab. 21.A.12. C50 (Frauen): Therapiekombinationen (Operation, Strahlentherapie, systemische Therapie) pro Diagnosejahr (Behandlungsort)

Therapiekombinationen	2008	2009	2010	2011	2012	2013	2014	2015	2016	2017	2018	Summe
Alleinige Operation	111	119	121	119	117	166	158	150	120	153	194	1528
Alleinige systemische Therapie	31	29	34	55	52	50	72	67	74	75	85	624
Alleinige Strahlentherapie	2	0	1	2	5	3	3	1	1	3	8	29
Operation und systemische Therapie, keine Strahlentherapie	223	275	237	228	220	207	239	197	169	247	264	2506
Operation und Strahlentherapie, keine systemische Therapie	117	82	61	97	96	130	104	72	77	135	164	1135
Systemische Therapie und Strahlentherapie, keine Operation	6	8	6	7	4	4	7	3	4	4	8	61
Operation und systemische Therapie und Strahlentherapie	820	732	701	820	905	800	824	705	664	722	688	8381
Keine Operation, systemische Therapie oder Strahlentherapie	25	16	25	18	30	30	64	58	54	77	110	507
Summe	1335	1261	1186	1346	1429	1390	1471	1253	1163	1416	1521	14771

Tab. 21.A.13. C50 (Frauen): Therapiekombinationen (Operation, Strahlentherapie, systemische Therapie) in Abhängigkeit von dem UICC-Stadium (Behandlungsort)

Therapiekombinationen	UICC I	UICC II	UICC III	UICC IV	Stadium nicht ermittelbar	Summe
Alleinige Operation	471	645	168	107	137	1528
Alleinige systemische Therapie	74	150	41	282	77	624
Alleinige Strahlentherapie	2	1	8	17	1	29
Operation und systemische Therapie, keine Strahlentherapie	735	1115	221	303	132	2506
Operation und Strahlentherapie, keine systemische Therapie	677	328	78	13	39	1135
Systemische Therapie und Strahlentherapie, keine Operation	1	10	13	32	5	61
Operation und systemische Therapie und Strahlentherapie	3613	3227	1073	175	293	8381
Keine Operation, systemische Therapie oder Strahlentherapie	63	92	38	114	200	507
Summe	5636	5568	1640	1043	884	14771

Tab. 21.A.14a. C50 (Frauen): Stellung der Strahlentherapie zur operativen Therapie im ersten Jahr der Erkrankung (adjuvant/neoadjuvant, Behandlungsort)

Stellung der Strahlentherapie zur operativen Therapie	2008	2009	2010	2011	2012	2013	2014	2015	2016	2017	2018	Summe
Adjuvante (postoperative) Strahlentherapie	516	495	529	557	728	697	720	681	728	837	830	7318
Intraoperative Strahlentherapie	0	1	9	22	29	20	18	9	4	5	0	117
Therapie ohne Bezug zu einer operativen Therapie	5	0	3	5	9	1	9	4	2	6	14	58
Neoadjuvante (präoperative) Strahlentherapie	5	4	1	1	2	1	1	3	4	2	8	32
unbekannt	411	314	220	332	233	211	180	80	3	7	0	1991
Summe	937	814	762	917	1001	930	928	777	741	857	852	9516

Tab. 21.A.14b. C50 (Frauen): Stellung der systemischen Therapie zur operativen Therapie im ersten Jahr der Erkrankung (adjuvant/neoadjuvant, Behandlungsort)

Stellung der systemischen Therapie zur operativen Therapie	2008	2009	2010	2011	2012	2013	2014	2015	2016	2017	2018	Summe
Adjuvante (postoperative) Therapie	790	724	706	861	947	833	868	692	607	696	659	8383
Neoadjuvante (präoperative) Therapie	102	124	113	130	139	148	171	186	208	247	270	1838
Therapie ohne Bezug zu einer operativen Therapie	21	23	29	24	26	19	19	21	17	22	21	242
Intraoperative Therapie	8	5	5	3	8	0	1	1	0	1	0	32
unbekannt	122	131	85	30	5	7	4	2	1	3	2	392
Summe	1043	1007	938	1048	1125	1007	1063	902	833	969	952	10887

Tab. 21.A.15a. C50 (Frauen): Intention bei der ersten Operation (Behandlungsort)

Intention der Operation	2008	2009	2010	2011	2012	2013	2014	2015	2016	2017	2018	Summe
Kurativ	1187	1115	1024	1189	1281	1254	1260	1087	988	1209	1274	12868
Palliativ bzw. symptomatisch	35	41	37	35	48	43	46	31	36	42	30	424
Sonstige/Unbekannt/Keine Angabe	49	52	59	40	9	6	19	6	6	6	6	258
Summe	1271	1208	1120	1264	1338	1303	1325	1124	1030	1257	1310	13550

Tab. 21.A.15b. C50 (Frauen): Intention der initialen Bestrahlung (Behandlungsort)

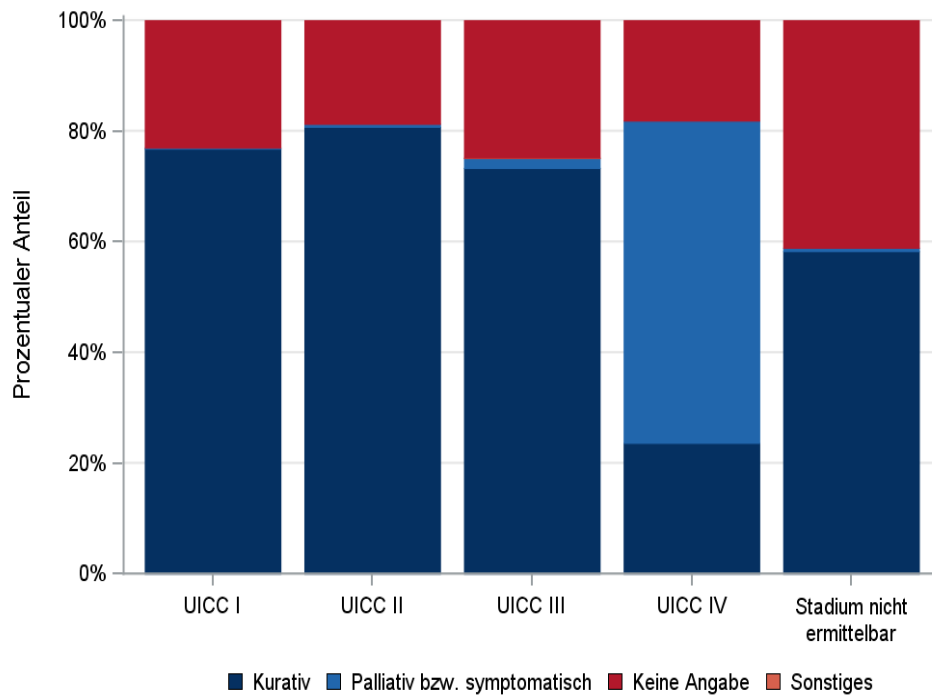
Intention der Bestrahlung	2008	2009	2010	2011	2012	2013	2014	2015	2016	2017	2018	Summe
Kurativ	513	488	524	568	672	702	740	687	723	826	845	7288
Palliativ bzw. symptomatisch	13	9	20	15	22	12	16	10	19	31	21	188
Sonstige/Unbekannt/Keine Angabe	419	325	225	343	316	223	182	84	4	7	2	2130
Summe	945	822	769	926	1010	937	938	781	746	864	868	9606

Tab. 20.A.15c. C50 (Frauen): Intention bei der ersten systemischen Therapie (Behandlungsort)

Intention der systemischen Therapie	2008	2009	2010	2011	2012	2013	2014	2015	2016	2017	2018	Summe
Kurativ	887	837	818	985	1069	950	1018	873	789	886	844	9956
Palliativ bzw. symptomatisch	61	64	75	82	101	85	110	82	99	109	99	967
Sonstige/Unbekannt/Keine Angabe	132	143	85	43	11	26	14	17	23	53	102	649
Summe	1080	1044	978	1110	1181	1061	1142	972	911	1048	1045	11572

Tab. 21.A.16. C50 (Frauen): Zeitraum zwischen Diagnose und Beginn der ersten Therapie nach Therapieart (Angaben in Tagen, Behandlungsort)

Therapie	Anzahl	Median	Minimum	Maximum
Diagnose und erste Operation	13550	20	0	359
Diagnose und erste Bestrahlung	9606	115	1	365
Diagnose und erste system. Therapie	11572	50	0	365



© KKR-MV 2020

Abb.21.A.11. C50 (Frauen): Intention der ersten Bestrahlung nach UICC-Klassifikation

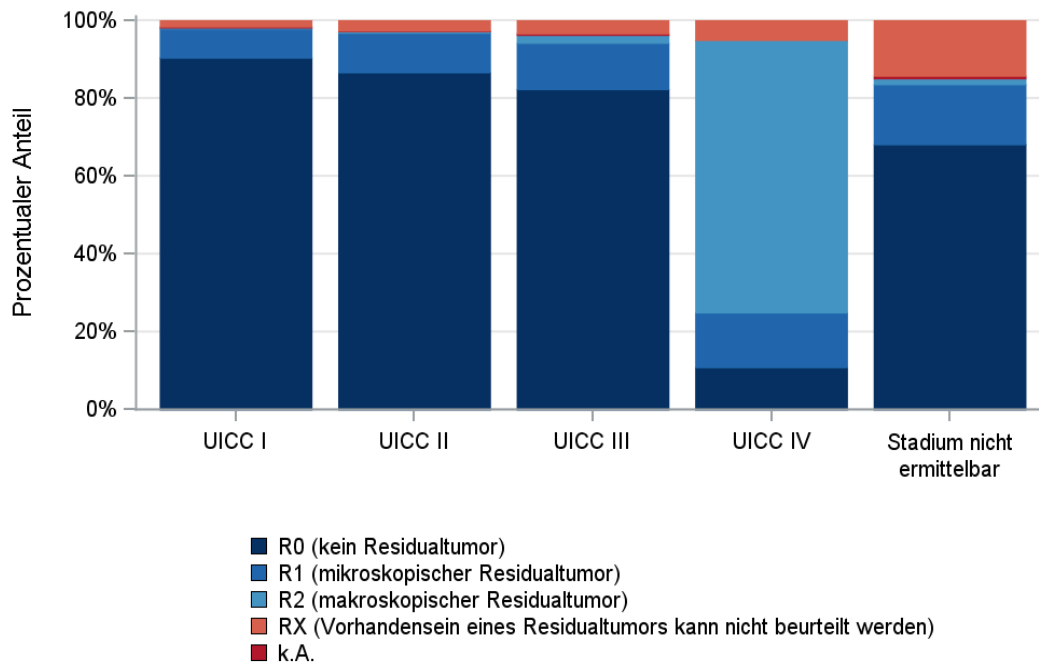
21.3.6.2 Dokumentierte tumorspezifische Operation bis max.12 Monate nach Diagnosestellung

Tab. 21.A.17. C50 (Frauen): Dokumentierte tumorspezifische Operation nach UICC (Behandlungsort)

Operationen	UICC I	UICC II	UICC III	UICC IV	Stadium nicht ermittelbar	Summe	
						Anzahl	%
Tumorresektion	1123	1238	514	304	319	3498	25,8
Tumor- und Lymphknotenresektion	4339	4030	1015	286	277	9947	73,4
Lymphknotenresektion	6	13	1	2	0	22	0,2
sonstige OP	8	8	0	2	2	20	0,1
keine Angabe	20	26	10	4	3	63	0,5
Summe	5496	5315	1540	598	601	13550	100,0

Tab. 21.A.18. C50 (Frauen): Residualklassifikation nach Tumorresektion im Diagnosezeitraum 2008-2018

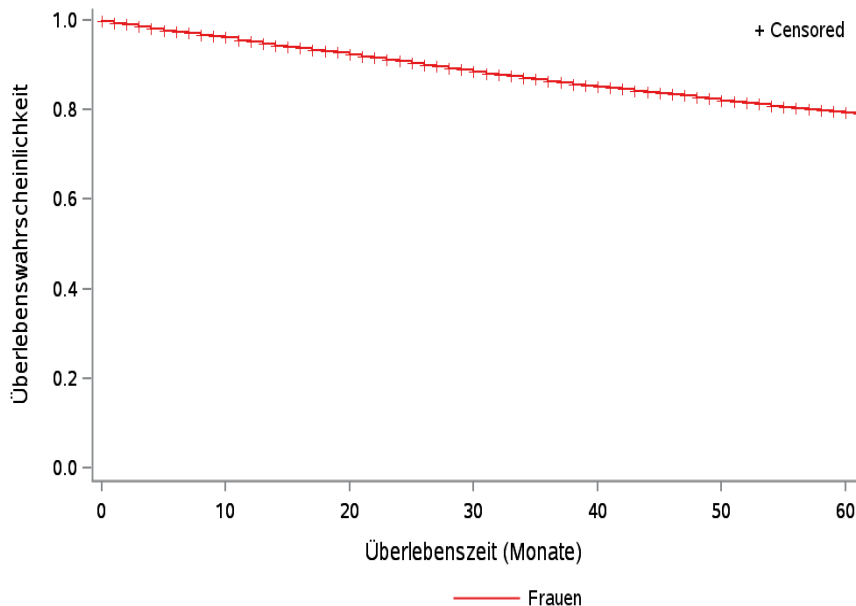
R-Klassifikation	UICC I	UICC II	UICC III	UICC IV	Stadium nicht ermittelbar	Summe	
						Anzahl	%
R0 (kein Residualtumor)	4936	4562	1258	64	406	11226	83,5
R1 (mikroskopischer Residualtumor)	411	536	182	83	92	1304	9,7
R2 (makroskopischer Residualtumor)	12	21	31	413	9	486	3,6
RX (Vorhandensein eines Residualtumors kann nicht beurteilt werden)	89	141	52	30	85	397	3,0
keine Angabe	14	8	6	0	4	32	0,2
Summe	5462	5268	1529	590	596	13445	100,0



© KKR-MV 2020

Abb.21.A.12. C50 (Frauen): Residualklassifikation nach Tumorresektion in Abhängigkeit von UICC-Tumorstadium im Diagnosezeitraum 2008 bis 2018

21.3.7 Überlebensanalysen bei den in den Jahren 2008 – 2013 primär diagnostizierten Patienten

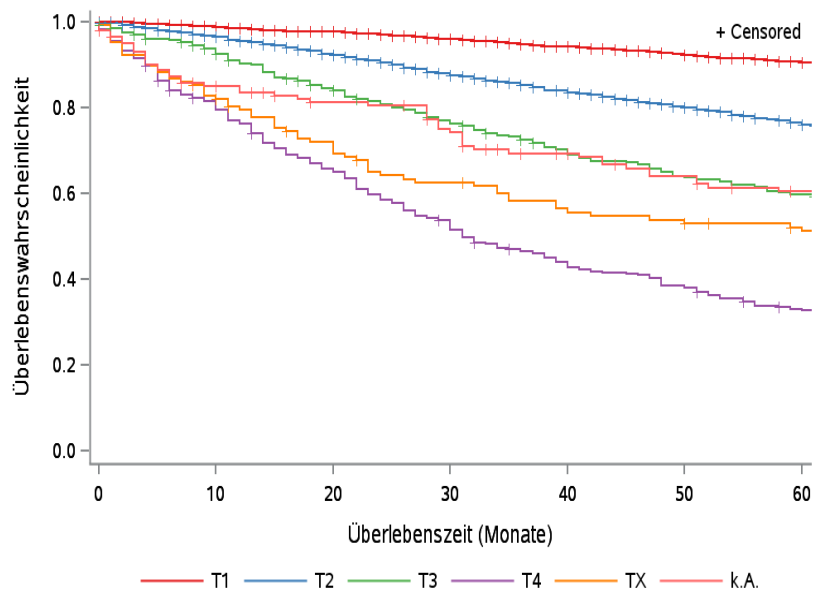


© KKR-MV 2020

Abb.21.A.13. C50 (Frauen): Wahrscheinlichkeit des Überlebens (Kaplan-Meier-Analyse) nach Geschlecht im Diagnosezeitraum von 2008 bis 2013 (Wohnort). Kaplan-Meier-Kurven werden für Kategorien mit weniger als 10 Neuerkrankungen nicht dargestellt.

Tab. 21.A.19. C50 (Frauen): Anzahl der unter Risiko stehenden Neuerkrankungen (Monate nach Diagnose)

Geschlecht	0 Monate	20 Monate	40 Monate	60 Monate
Frauen	7679	6815	6024	5462



© KKR-MV 2020

Abb.21.A.14. C50 (Frauen): Wahrscheinlichkeit des Überlebens (Kaplan-Meier-Analyse) nach TumorgroÙe im Diagnosezeitraum von 2008 bis 2013 (Wohnort). Kaplan-Meier-Kurven werden für Kategorien mit weniger als 10 Neuerkrankungen nicht dargestellt.

Tab. 21.A.20. C50 (Frauen): Anzahl der unter Risiko stehenden Neuerkrankungen nach TumorgroÙe (Monate nach Diagnose)

T-Kategorie	0 Monate	20 Monate	40 Monate	60 Monate
T1	3832	3576	3279	3063
T2	2753	2451	2156	1920
T3	407	330	267	227
T4	415	269	177	130
TX	128	85	65	57
k.A.	144	104	80	65

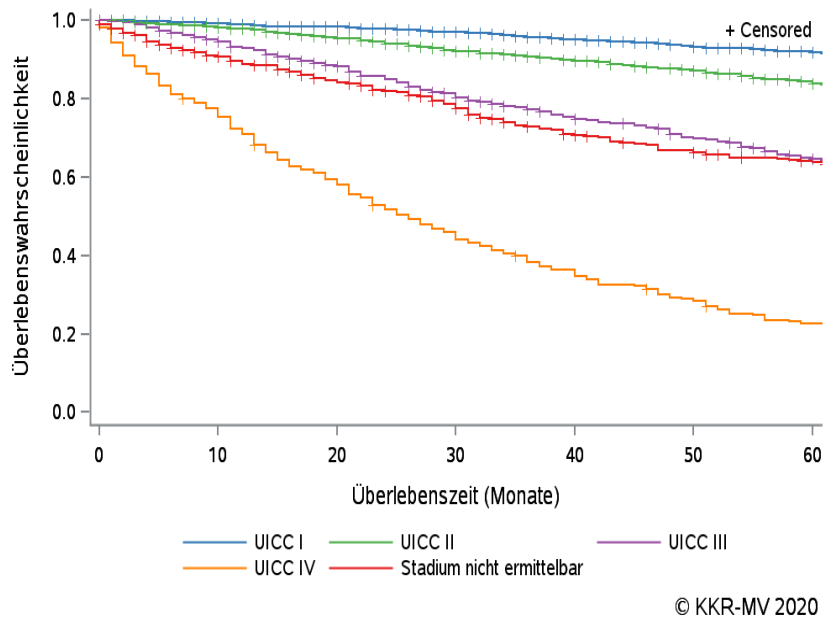


Abb.21.A.15. C50 (Frauen): Wahrscheinlichkeit des Überlebens (Kaplan-Meier-Analyse) nach UICC-Tumorstadium im Diagnosezeitraum von 2008 bis 2013 (Wohnort). Kaplan-Meier-Kurven werden für Kategorien mit weniger als 10 Neuerkrankungen nicht dargestellt.

Tab. 21.A.21. C50 (Frauen): Anzahl der unter Risiko stehenden Neuerkrankungen nach UICC-Stadium (Monate nach Diagnose)

UICC-Stadium	0 Monate	20 Monate	40 Monate	60 Monate
UICC I	2976	2799	2586	2423
UICC II	2804	2567	2330	2138
UICC III	875	753	613	518
UICC IV	500	294	178	110
Stadium nicht ermittelbar	524	402	317	273

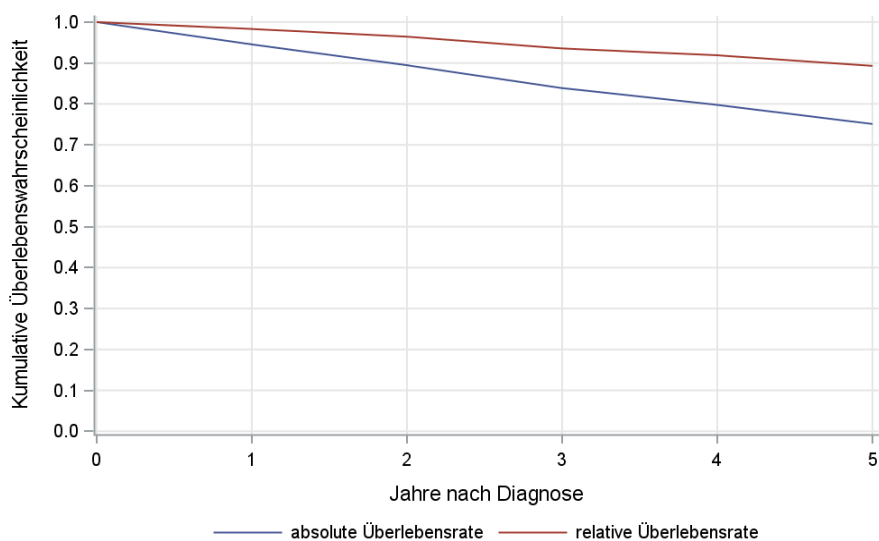


Abb. 21.A.16. C50 (Frauen): Absolutes und relatives Überleben im Diagnosezeitraum 2008 bis 2013 (Wohnort, Alter > 19)

21.4 Brustdrüse (C50) – Männer

21.4.1 Absolute Anzahl der erfassten Neuerkrankungen in M-V in den Jahren 2008 – 2018 nach Lokalisation

Tab. 21.B.6. C50 (Männer): Absolute Anzahl und prozentualer Anteil der Neuerkrankungen nach der Lokalisation (Behandlungsort)

Lokalisation	2008	2009	2010	2011	2012	2013	2014	2015	2016	2017	2018	Summe	
												Anzahl	%
C50.0 Mamille	0	1	0	0	0	2	0	2	1	3	1	10	7,1
C50.1 Zentraler Drüsenkörper	5	2	5	4	5	5	5	4	1	5	9	50	35,5
C50.2 Oberer innerer Quadrant	0	1	0	0	1	0	0	0	0	5	0	7	5,0
C50.3 Unterer innerer Quadrant	0	0	0	0	0	2	0	0	0	0	1	3	2,1
C50.4 Oberer äußerer Quadrant	3	0	1	0	2	4	4	1	0	3	4	22	15,6
C50.5 Unterer äußerer Quadrant	0	0	0	0	0	1	0	1	0	1	1	4	2,8
C50.6 Axilläre Ausläufer	0	0	0	1	0	0	0	0	0	1	0	2	1,4
C50.8 Brust (mehrere Teilregionen überlappend)	2	1	3	2	3	1	1	3	1	0	1	18	12,8
C50.9 Brust o.n.A.	4	0	3	1	2	3	1	3	4	1	3	25	17,7
Summe	14	5	12	8	13	18	11	14	7	19	20	141	100,0

21.4.2 Histologische Befunde bei allen neuerkrankten Patientinnen in M-V in den Jahren 2008 – 2018

Tab. 21.B.7. C50 (Männer): Histologische Befunde bei neuerkrankten Patienten (Behandlungsort)

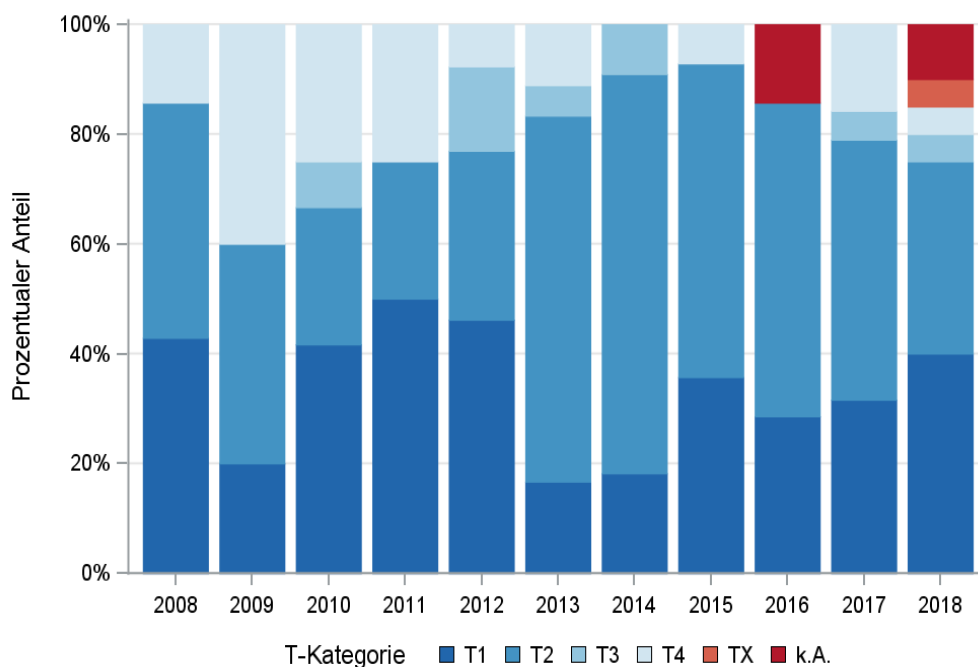
Histologiecode	Anzahl	Prozent
8500/3: Invasives duktales Karzinom o.n.A.	127	90,1
8520/3: Lobuläres Karzinom o.n.A.	4	2,8
8140/3: Adenokarzinom o.n.A.	2	1,4
8201/3: Kribriiformes Karzinom o.n.A.	2	1,4
8503/3: Intraduktales papilläres Adenokarzinom mit Invasion	2	1,4
8260/3: Papilläres Adenokarzinom o.n.A.	1	0,7
8480/3: Muzinöses Adenokarzinom	1	0,7
8504/3: Intrazystisches Karzinom o.n.A.	1	0,7
Adenokarzinome	140	99,3
8010/3: Karzinom o.n.A.	1	0,7
Epitheliale Neoplasien o.n.A.	1	0,7

21.4.3 Tumorgröße und Ausdehnung (TNM)

Tab. 21.B.8. C50 (Männer): Absolute Anzahl der Neuerkrankungen klassifiziert nach der Tumorgröße in Bezug zu der Auflage der TNM-Klassifikation (Behandlungsort)

Tumorgröße (T)	TNM Auflage 6		TNM Auflage 7		TNM Auflage 8		k.A. zur TNM Auflage		Summe	
	Anzahl	%	Anzahl	%	Anzahl	%	Anzahl*	%	Anzahl	%
T1	6	33,3	28	33,7	14	37,8	-	-	48	34,0
T2	8	44,4	40	48,2	17	45,9	-	-	65	46,1
T3	0	0	5	6,0	2	5,4	-	-	7	5,0
T4	4	22,2	10	12,0	3	8,1	-	-	17	12,1
TX	0	0	0	0	1	2,7	-	-	1	0,7
k.A.	0	0	0	0	0	0	3	100,0	3	2,1
Summe	18	100,0	83	100,0	37	100,0	3	100,0	141	100,0

*In einzelnen Fällen wurden Angaben zur Tumorgröße ohne Bezug zu einer TNM Auflage gemacht. Diese Angaben wurden in die Kategorie k.A. aufgenommen.



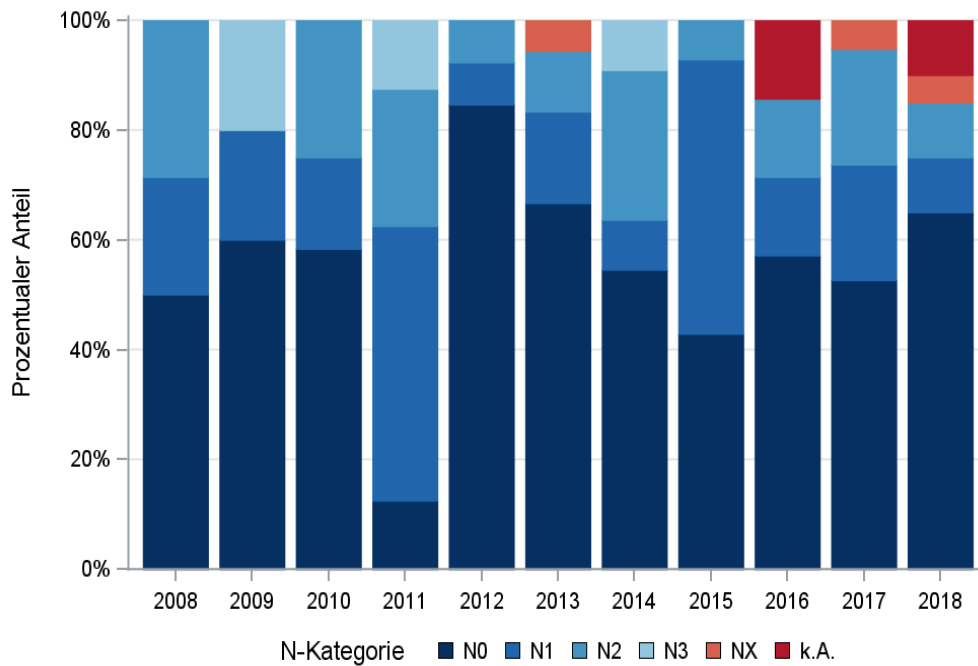
© KKR-MV 2020

Abb. 21.B.5. C50 (Männer): Prozentualer Anteil der Neuerkrankungen nach der Tumorgröße im Diagnosezeitraum 2008 bis 2018

Tab. 21.B.9. C50 (Männer): Absolute Anzahl der Neuerkrankungen mit bzw. ohne Befall der regionären Lymphknoten in Bezug zu der Auflage der TNM-Klassifikation (Behandlungsort)

N-Kategorie	TNM Auflage 6		TNM Auflage 7		TNM Auflage 8		k.A. zur TNM Auflage		Summe	
	Anzahl	%	Anzahl	%	Anzahl	%	Anzahl*	%	Anzahl	%
N0	9	50,0	49	59,0	22	59,5	-	-	80	56,7
N1	4	22,2	18	21,7	7	18,9	-	-	29	20,6
N2	4	22,2	13	15,7	6	16,2	-	-	23	16,3
N3	1	5,6	2	2,4	0	0	-	-	3	2,1
NX	0	0	1	1,2	2	5,4	-	-	3	2,1
k.A.	0	0	0	0	0	0	3	100,0	3	2,1
Summe	18	100,0	83	100,0	37	100,0	3	100,0	141	100,0

*In einzelnen Fällen wurden Angaben zur N-Kategorie ohne Bezug zu einer TNM Auflage gemacht. Diese Angaben wurden in die Kategorie k.A. aufgenommen.



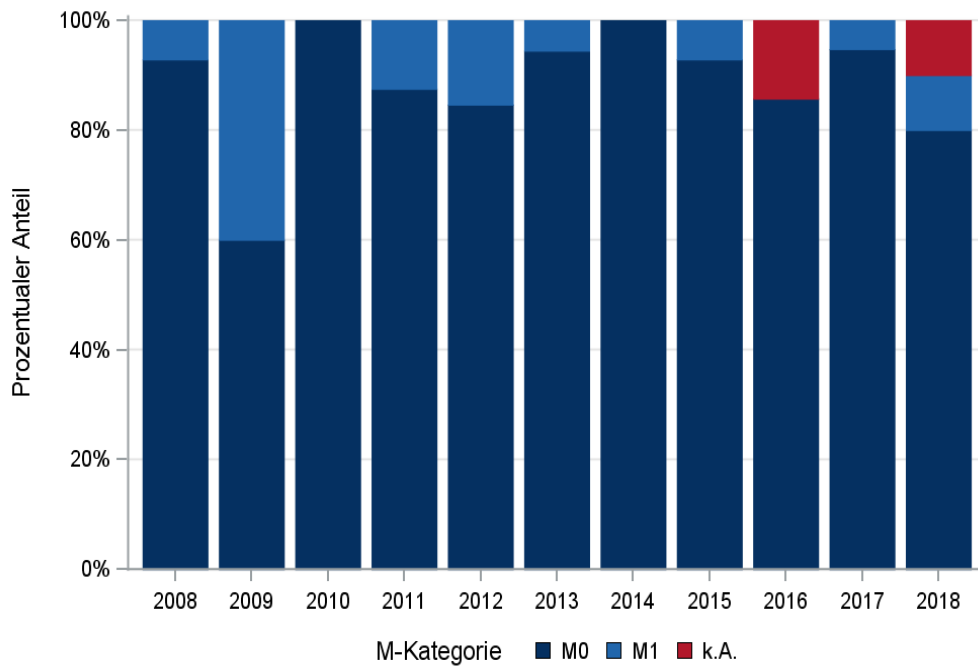
© KKR-MV 2020

Abb. 21.B.6. C50 (Männer): Prozentualer Anteil der Neuerkrankungen mit und ohne Befall der regionären Lymphknoten zum Zeitpunkt der Erstdiagnose im Diagnosezeitraum 2008 bis 2018

Tab. 21.B.10. C50 (Männer): Absolute Anzahl der Neuerkrankungen mit Fernmetastasierung in Bezug zu der Auflage der TNM-Klassifikation (Behandlungsort)

M-Kategorie	TNM Auflage 6		TNM Auflage 7		TNM Auflage 8		k.A. zur TNM Auflage		Summe	
	Anzahl	%	Anzahl	%	Anzahl	%	Anzahl*	%	Anzahl	%
M0	15	83,3	78	94,0	34	91,9	-	-	127	90,1
M1	3	16,7	5	6,0	3	8,1	-	-	11	7,8
k.A.	0	0	0	0	0	0	3	100,0	3	2,1
Summe	18	100,0	83	100,0	37	100,0	3	100,0	141	100,0

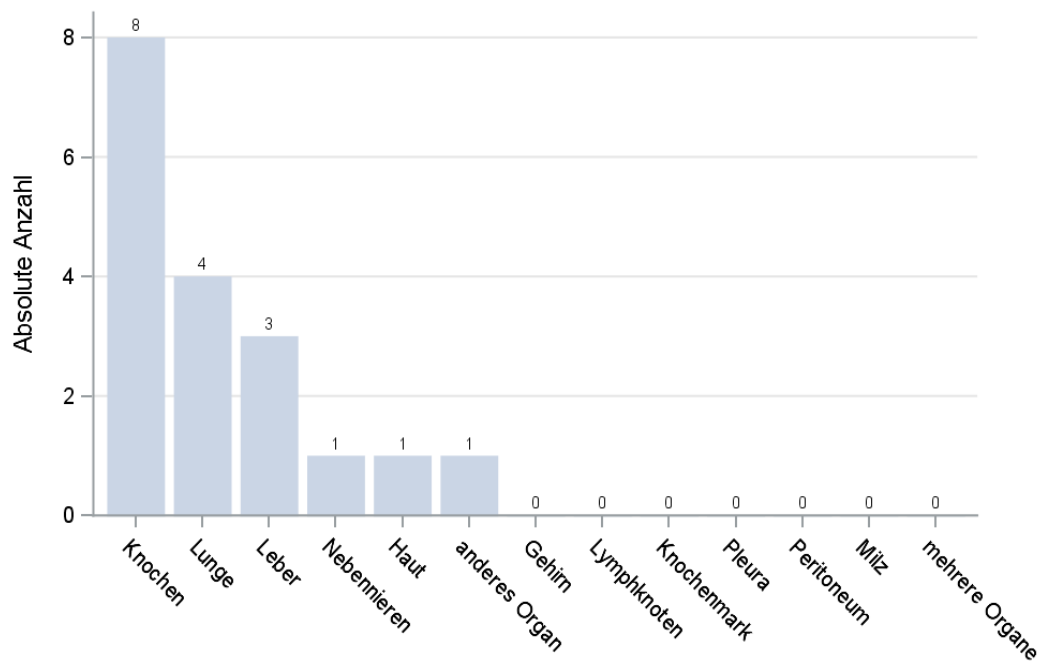
*In einzelnen Fällen wurden Angaben zur M-Kategorie ohne Bezug zu einer TNM Auflage gemacht. Diese Angaben wurden in die Kategorie k.A. aufgenommen.



© KKR-MV 2020

Abb. 21.B.7. C50 (Männer): Prozentualer Anteil der primären Fernmetastasierung im Diagnosezeitraum 2008 bis 2018

21.4.4 Lokalisation der Fernmetastasen



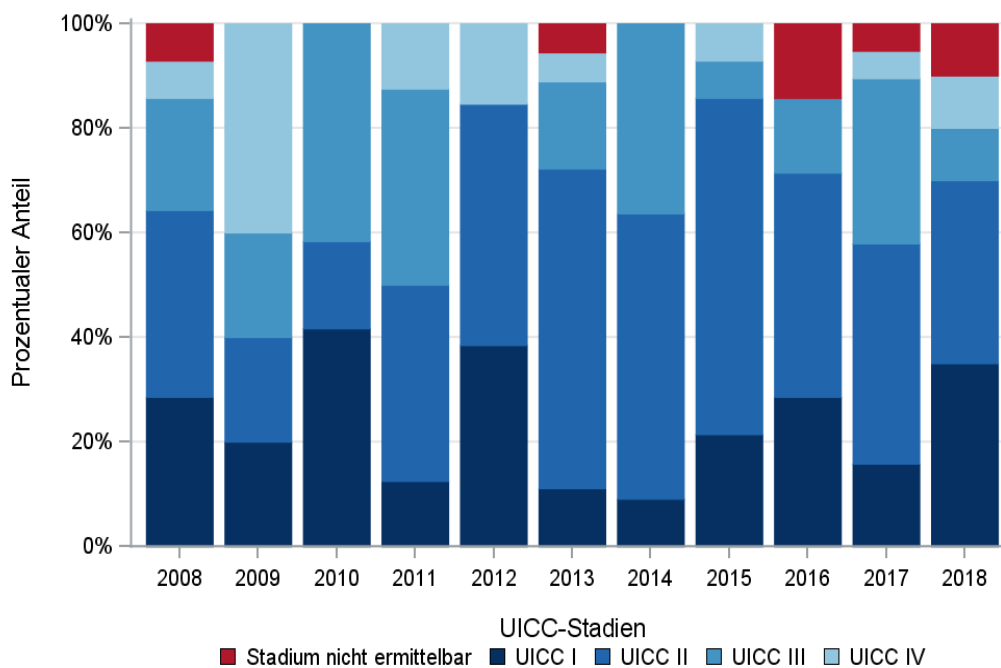
© KKR-MV 2020

Abb. 21.B.8. C50 (Männer): Lokalisation der Fernmetastasen bei Neuerkrankungen im Diagnosezeitraum 2008 bis 2018

21.4.5 Tumorstadien nach UICC

Tab. 21.B.11. C50 (Männer): Primäre UICC-Stadien (Behandlungsort)

Jahre	UICC I		UICC II		UICC III		UICC IV		Stadium nicht ermittelbar		Summe	
	Anzahl	%	Anzahl	%	Anzahl	%	Anzahl	%	Anzahl	%	Anzahl	%
2008	4	28,6	5	35,7	3	21,4	1	7,1	1	7,1	14	100,0
2009	1	20,0	1	20,0	1	20,0	2	40,0	0	0	5	100,0
2010	5	41,7	2	16,7	5	41,7	0	0	0	0	12	100,0
2011	1	12,5	3	37,5	3	37,5	1	12,5	0	0	8	100,0
2012	5	38,5	6	46,2	0	0	2	15,4	0	0	13	100,0
2013	2	11,1	11	61,1	3	16,7	1	5,6	1	5,6	18	100,0
2014	1	9,1	6	54,5	4	36,4	0	0	0	0	11	100,0
2015	3	21,4	9	64,3	1	7,1	1	7,1	0	0	14	100,0
2016	2	28,6	3	42,9	1	14,3	0	0	1	14,3	7	100,0
2017	3	15,8	8	42,1	6	31,6	1	5,3	1	5,3	19	100,0
2018	7	35,0	7	35,0	2	10,0	2	10,0	2	10,0	20	100,0
Summe	34	24,1	61	43,3	29	20,6	11	7,8	6	4,3	141	100,0



© KKR-MV 2020

Abb. 21.B.9. C50 (Männer): Prozentuale Anteile der UICC-Tumorstadien in den Diagnosejahren 2008 bis 2018

21.4.6 Dokumentierte Therapie bis max. 12 Monate nach Diagnosestellung bei Männern

21.4.6.1 Therapiekombinationen, Stellung der Therapie und Intention der dokumentierten Therapien

Tab. 21.B.12. C50 (Männer): Therapiekombinationen (Operation, Strahlentherapie, systemische Therapie) pro Diagnosejahr (Behandlungsort)

Therapiekombinationen	2008	2009	2010	2011	2012	2013	2014	2015	2016	2017	2018	Summe
Alleinige Operation	3	1	4	1	3	3	1	3	2	3	4	28
Alleinige systemische Therapie	0	0	0	0	1	0	0	1	0	0	1	3
Operation und systemische Therapie, keine Strahlentherapie	2	3	2	0	5	5	2	7	1	7	6	40
Operation und Strahlentherapie, keine systemische Therapie	1	0	0	2	0	2	2	0	0	1	3	11
Operation und systemische Therapie und Strahlentherapie	8	1	6	5	3	7	6	3	3	7	2	51
Keine Operation, systemische Therapie oder Strahlentherapie	0	0	0	0	1	1	0	0	1	1	4	8
Summe	14	5	12	8	13	18	11	14	7	19	20	141

Tab. 21.B.13. C50 (Männer): Therapiekombinationen (Operation, Strahlentherapie, systemische Therapie) in Abhängigkeit von dem UICC-Stadium (Behandlungsort)

Therapiekombinationen	UICC I	UICC II	UICC III	UICC IV	Stadium nicht ermittelbar	Summe
Alleinige Operation	8	12	4	2	2	28
Alleinige systemische Therapie	0	0	1	2	0	3
Operation und systemische Therapie, keine Strahlentherapie	14	19	3	2	2	40
Operation und Strahlentherapie, keine systemische Therapie	2	4	4	1	0	11
Operation und systemische Therapie und Strahlentherapie	9	23	17	1	1	51
Keine Operation, systemische Therapie oder Strahlentherapie	1	3	0	3	1	8
Summe	34	61	29	11	6	141

Tab. 21.B.14a. C50 (Männer): Stellung der Strahlentherapie zur operativen Therapie im ersten Jahr der Erkrankung (adjuvant/neoadjuvant, Behandlungsort)

Stellung der Strahlentherapie zur operativen Therapie	2008	2009	2010	2011	2012	2013	2014	2015	2016	2017	2018	Summe
Adjuvante (postoperative) Strahlentherapie	4	0	4	3	2	7	6	2	3	6	5	42
Therapie ohne Bezug zu einer operativen Therapie	0	0	0	0	0	0	0	0	0	1	0	1
unbekannt	5	1	2	4	1	2	2	1	0	1	0	19
Summe	9	1	6	7	3	9	8	3	3	8	5	62

Tab. 21.B.14b. C50 (Männer): Stellung der systemischen Therapie zur operativen Therapie im ersten Jahr der Erkrankung (adjuvant/neoadjuvant, Behandlungsort)

Stellung der systemischen Therapie zur operativen Therapie	2008	2009	2010	2011	2012	2013	2014	2015	2016	2017	2018	Summe
Adjuvante (postoperative) Therapie	9	2	7	5	8	12	8	10	3	14	7	85
Neoadjuvante (präoperative) Therapie	0	0	0	0	0	0	0	0	1	0	1	2
Therapie ohne Bezug zu einer operativen Therapie	0	1	0	0	0	0	0	0	0	0	0	1
unbekannt	1	1	1	0	0	0	0	0	0	0	0	3
Summe	10	4	8	5	8	12	8	10	4	14	8	91

Tab. 21.B.15a. C50 (Männer): Intention bei der ersten Operation (Behandlungsort)

Intention der Operation	2008	2009	2010	2011	2012	2013	2014	2015	2016	2017	2018	Summe
Kurativ	12	3	11	8	11	17	10	13	6	16	14	121
Palliativ bzw. symptomatisch	1	2	0	0	0	0	0	0	0	1	1	5
Sonstige/Unbekannt/Keine Angabe	1	0	1	0	0	0	1	0	0	1	0	4
Summe	14	5	12	8	11	17	11	13	6	18	15	130

Tab. 21.B.15b. C50 (Männer): Intention der initialen Bestrahlung (Behandlungsort)

Intention der Bestrahlung	2008	2009	2010	2011	2012	2013	2014	2015	2016	2017	2018	Summe
Kurativ	4	0	4	3	2	6	5	2	3	6	4	39
Palliativ bzw. symptomatisch	0	0	0	0	0	0	1	0	0	1	1	3
Sonstige/Unbekannt/Keine Angabe	5	1	2	4	1	3	2	1	0	1	0	20
Summe	9	1	6	7	3	9	8	3	3	8	5	62

Tab. 20.B.15c. C50 (Männer): Intention bei der ersten systemischen Therapie (Behandlungsort)

Intention der systemischen Therapie	2008	2009	2010	2011	2012	2013	2014	2015	2016	2017	2018	Summe
Kurativ	8	2	7	5	8	12	8	9	3	12	7	81
Palliativ bzw. symptomatisch	1	1	0	0	1	0	0	2	0	2	1	8
Sonstige/Unbekannt/Keine Angabe	1	1	1	0	0	0	0	0	1	0	1	5
Summe	10	4	8	5	9	12	8	11	4	14	9	94

Tab. 21.B.16. C50 (Männer): Zeitraum zwischen Diagnose und Beginn der ersten Therapie nach Therapieart (Angaben in Tagen, Behandlungsort)

Therapie	Anzahl	Median	Minimum	Maximum
Diagnose und erste Operation	130	14	0	252
Diagnose und erste Bestrahlung	62	87	32	304
Diagnose und erste system. Therapie	94	53	0	354

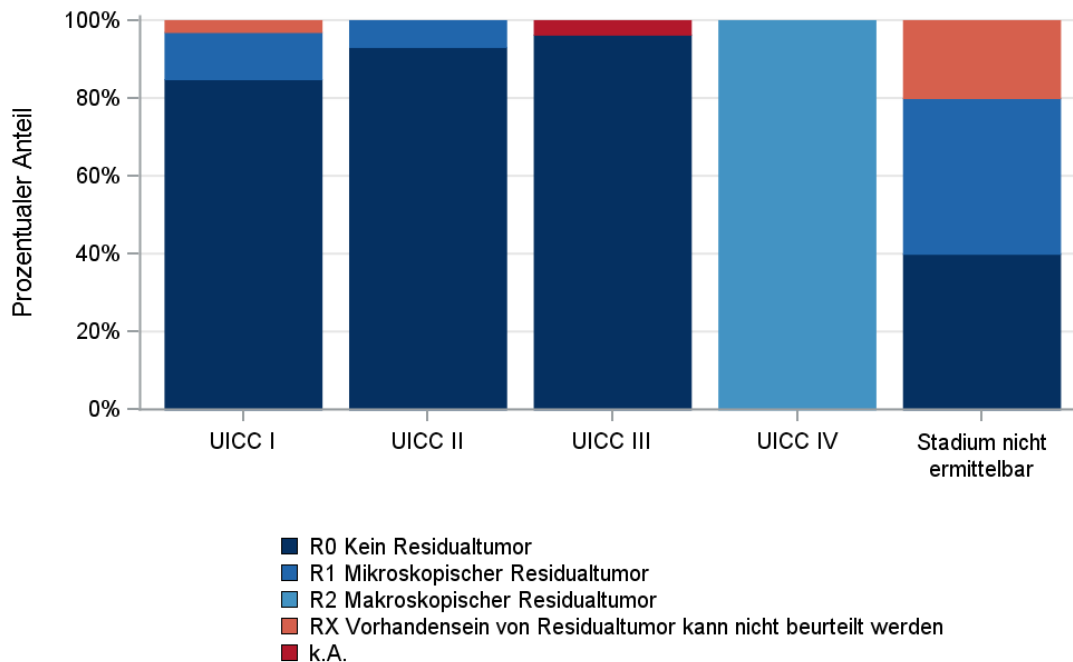
21.4.6.2 Dokumentierte tumorspezifische Operation bis max.12 Monate nach Diagnosestellung

Tab. 21.B.17. C50 (Männer): Dokumentierte tumorspezifische Operation nach UICC (Behandlungsort)

Operationen	UICC I	UICC II	UICC III	UICC IV	Stadium nicht ermittelbar	Summe	
						Anzahl	%
Tumorresektion	11	15	11	3	2	42	32,3
Tumor- und Lymphknotenresektion	22	43	16	3	3	87	66,9
sonstige OP	0	0	1	0	0	1	0,8
Summe	33	58	28	6	5	130	100,0

Tab. 21.B.18. C50 (Männer): Residualklassifikation nach Tumorresektion im Diagnosezeitraum 2008-2018

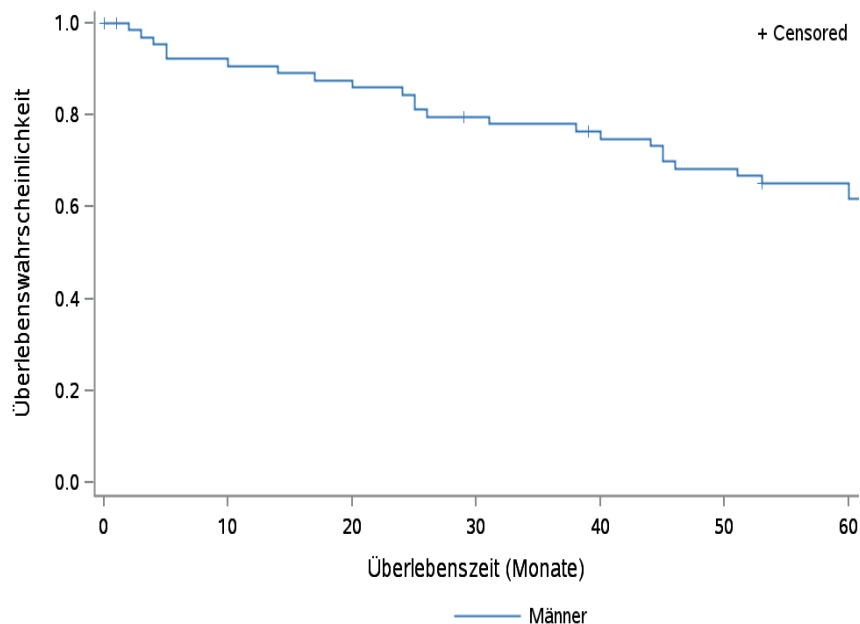
R-Klassifikation	UICC I	UICC II	UICC III	UICC IV	Stadium nicht ermittelbar	Summe	
						Anzahl	%
R0 (kein Residualtumor)	28	54	26	0	2	110	85,3
R1 (mikroskopischer Residualtumor)	4	4	0	0	2	10	7,8
R2 (makroskopischer Residualtumor)	0	0	0	6	0	6	4,7
RX (Vorhandensein eines Residualtumors kann nicht beurteilt werden)	1	0	0	0	1	2	1,6
keine Angabe	0	0	1	0	0	1	0,8
Summe	33	58	27	6	5	129	100,0



© KKR-MV 2020

Abb.21.B.10. C50 (Männer): Residualklassifikation nach Tumorresektion in Abhängigkeit von UICC-Tumorstadium im Diagnosezeitraum 2008 bis 2018

21.4.7 Überlebensanalysen bei den in den Jahren 2008 – 2013 primär diagnostizierten Patienten

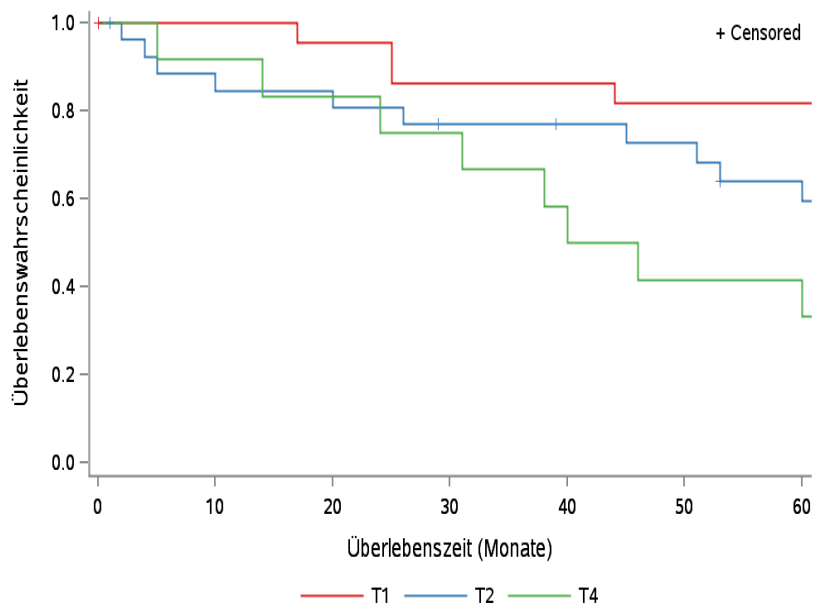


© KKR-MV 2020

Abb.21.B.11. C50 (Männer): Wahrscheinlichkeit des Überlebens (Kaplan-Meier-Analyse) nach Geschlecht im Diagnosezeitraum von 2008 bis 2013 (Wohnort). Kaplan-Meier-Kurven werden für Kategorien mit weniger als 10 Neuerkrankungen nicht dargestellt.

Tab. 21.B.19. C50 (Männer): Anzahl der unter Risiko stehenden Neuerkrankungen (Monate nach Diagnose)

Geschlecht	0 Monate	20 Monate	40 Monate	60 Monate
Männer	67	56	47	39



© KKR-MV 2020

Abb.21.B.12. C50 (Männer): Wahrscheinlichkeit des Überlebens (Kaplan-Meier-Analyse) nach Tumorstadium im Diagnosezeitraum von 2008 bis 2013 (Wohnort). Kaplan-Meier-Kurven werden für Kategorien mit weniger als 10 Neuerkrankungen nicht dargestellt.

Tab. 21.B.20. C50 (Männer): Anzahl der unter Risiko stehenden Neuerkrankungen nach Tumorgröße (Monate nach Diagnose)

T-Kategorie	0 Monate	20 Monate	40 Monate	60 Monate
T1	24	21	19	18
T2	27	22	18	14
T3	4	3	3	2
T4	12	10	7	5
TX	0	0	0	0
k.A.	0	0	0	0

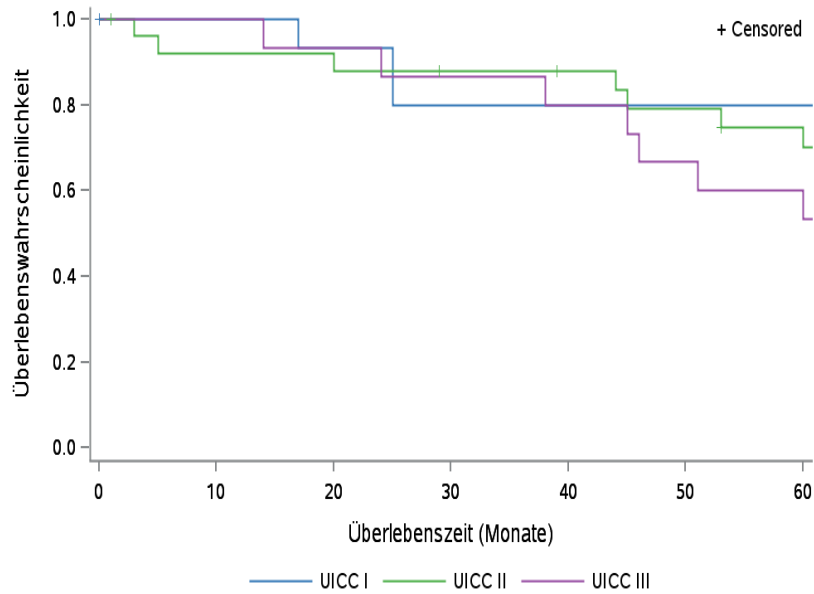


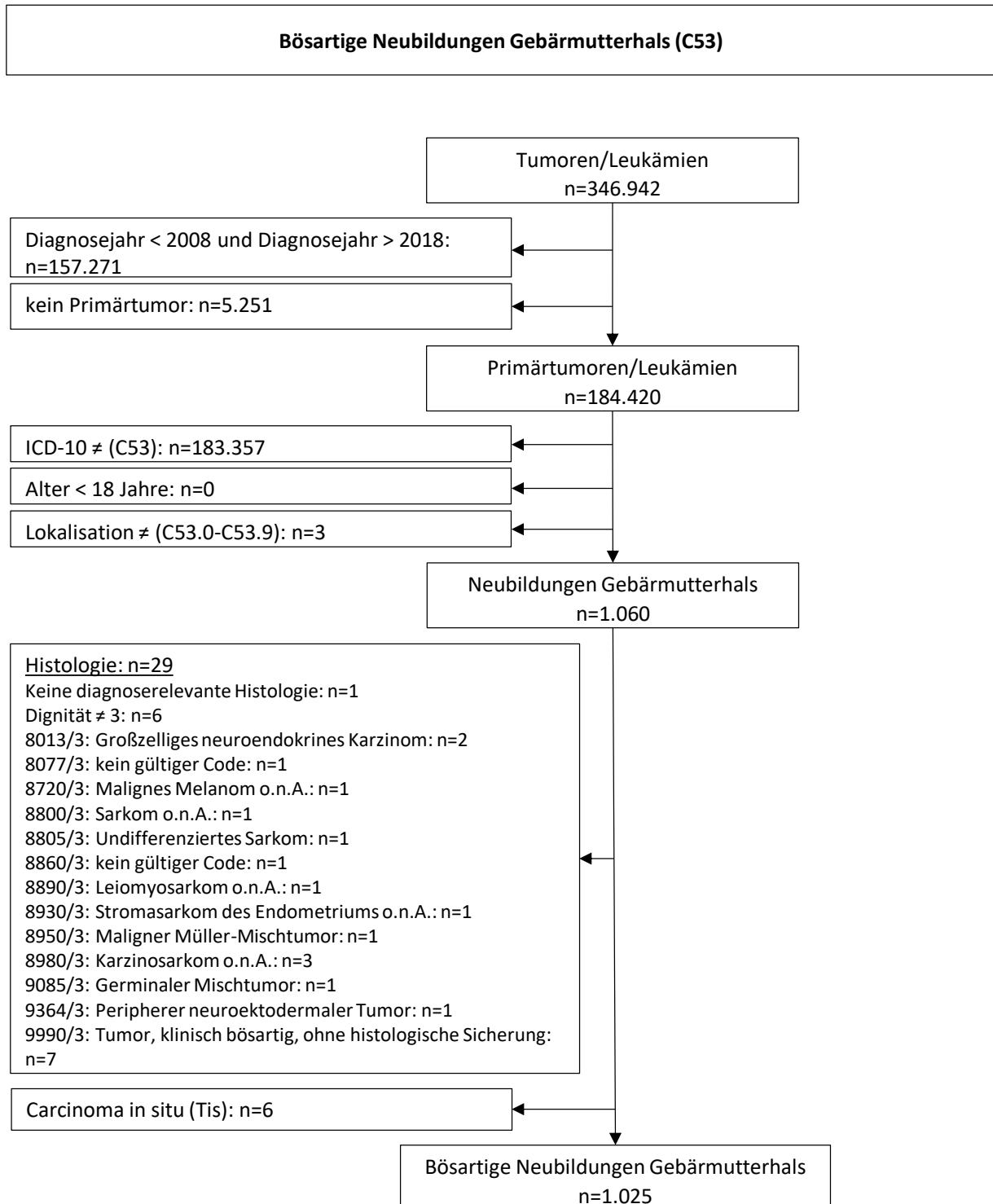
Abb.21.B.13. C50 (Männer): Wahrscheinlichkeit des Überlebens (Kaplan-Meier-Analyse) nach UICC-Tumorstadium im Diagnosezeitraum von 2008 bis 2013 (Wohnort). Kaplan-Meier-Kurven werden für Kategorien mit weniger als 10 Neuerkrankungen nicht dargestellt.

Tab. 21.B.21. C50 (Männer): Anzahl der unter Risiko stehenden Neuerkrankungen nach UICC-Stadium (Monate nach Diagnose)

UICC-Stadium	0 Monate	20 Monate	40 Monate	60 Monate
UICC I	17	14	12	12
UICC II	26	23	20	16
UICC III	15	14	12	9
UICC IV	7	3	2	1
Stadium nicht ermittelbar	2	2	1	1

22 Gebärmutterhals (C53)

22.1 Consort-Statement: Darstellung der Auswertepopulation



*Erläuterungen zu den Ausschlüssen finden Sie im Kapitel 4 (Methode)

22.2 Absolute Anzahl der erfassten Neuerkrankungen in M-V in den Jahren 2008 – 2018 nach Geschlecht (Behandlungsort, Wohnort)

Tab. 22.1. C53: Absolute Anzahl der Neuerkrankungen (Behandlungsort)

Diagnosejahr	Anzahl
2008	108
2009	98
2010	87
2011	112
2012	79
2013	93
2014	100
2015	78
2016	82
2017	98
2018	90
Summe	1025

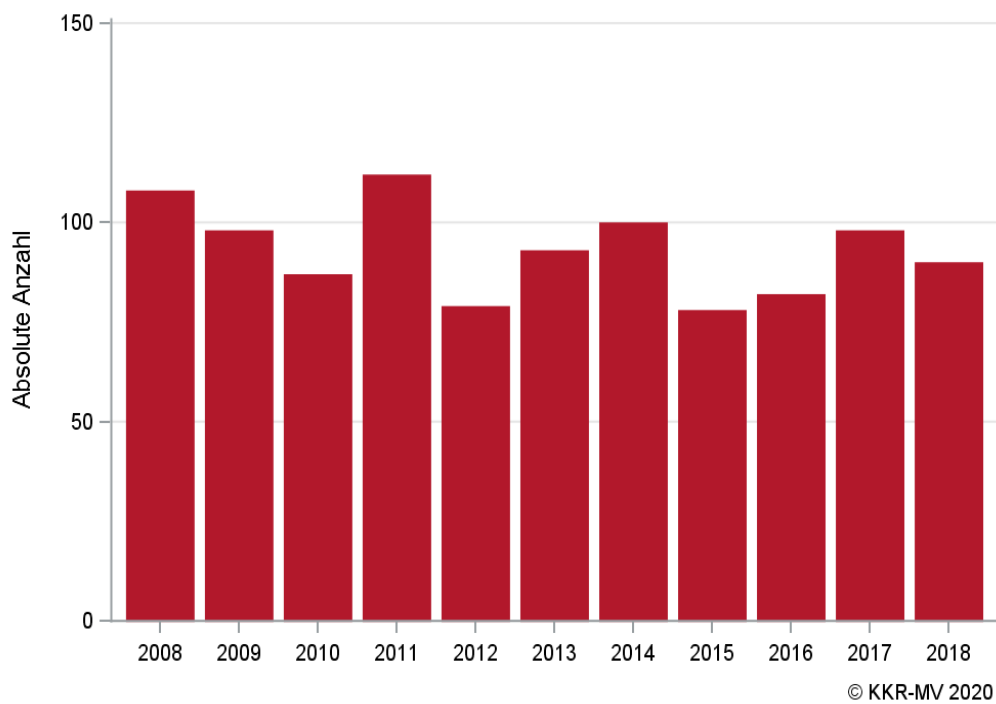
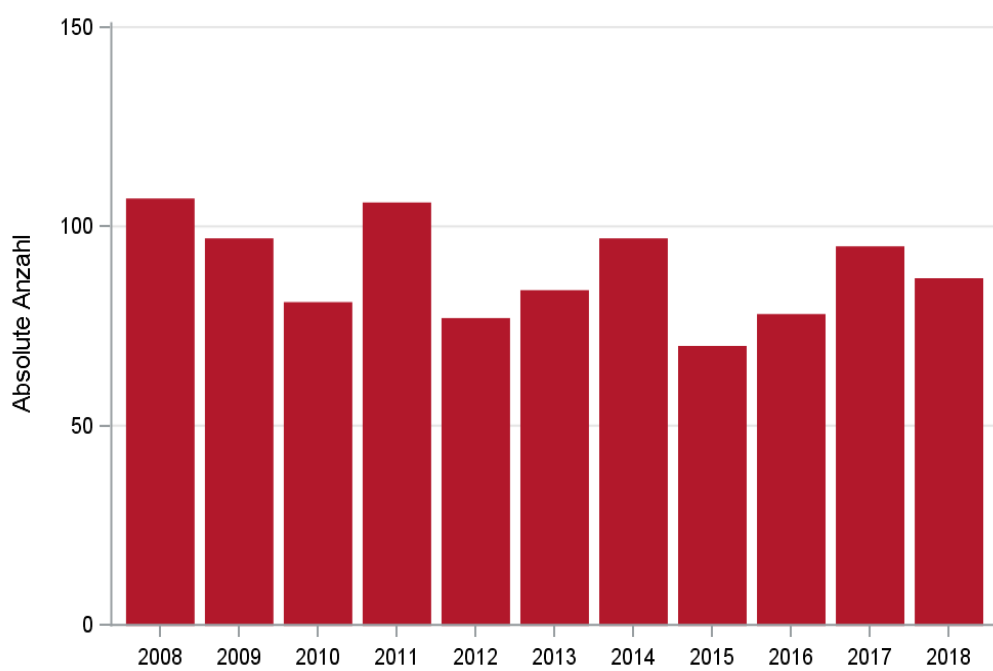


Abb. 22.1. C53: Absolute Anzahl der Neuerkrankungen im Diagnosezeitraum 2008 bis 2018 (Behandlungsort)

Tab. 22.2. C53: Absolute Anzahl der Neuerkrankungen (Wohnort)

Diagnosejahr	Anzahl
2008	107
2009	97
2010	81
2011	106
2012	77
2013	84
2014	97
2015	70
2016	78
2017	95
2018	87
Summe	979



© KKR-MV 2020

Abb. 22.2. C53: Absolute Anzahl der Neuerkrankungen im Diagnosezeitraum 2008 bis 2018 (Wohnort)

22.3 Absolute Anzahl der erfassten Neuerkrankungen in M-V in den Jahren 2008 – 2018 nach Landkreisen (Wohnort)

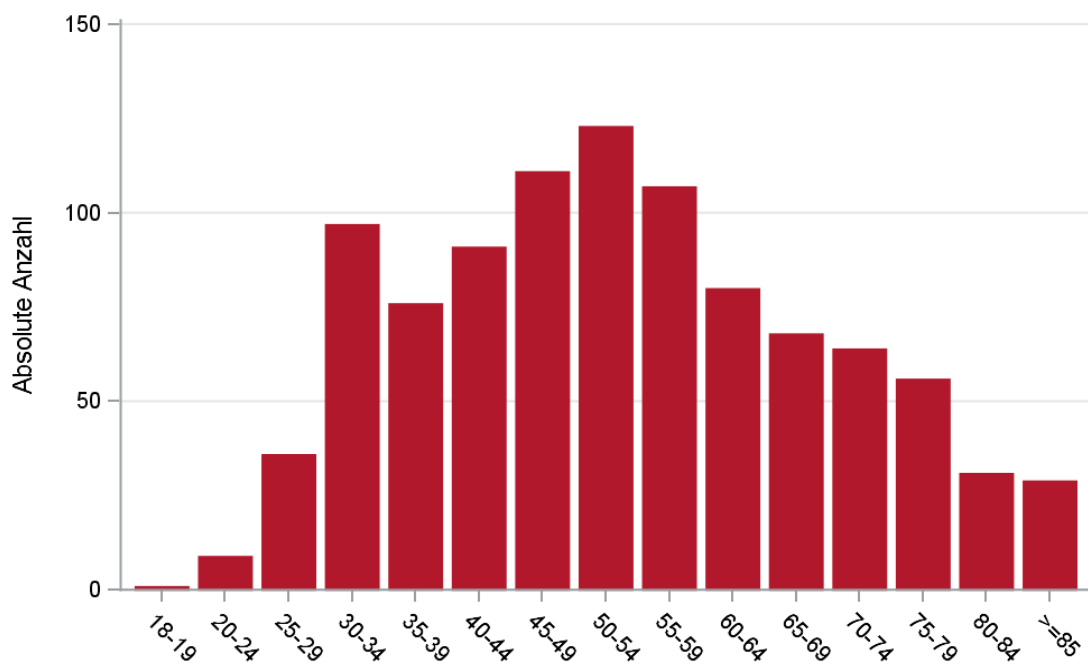
Tab. 22.3. C53: Absolute Anzahl und prozentualer Anteil der Neuerkrankungen nach Landkreisen

Landkreis	2008		2009		2010		2011		2012		2013		2014		2015		2016		2017		2018		Summe	
	Anzahl	%	Anzahl	%	Anzahl	%	Anzahl	%	Anzahl	%	Anzahl	%	Anzahl	%	Anzahl	%	Anzahl	%	Anzahl	%	Anzahl	%	Anzahl	%
Landkreis Rostock	11	10,3	15	15,5	14	17,3	18	17,0	13	16,9	10	11,9	19	19,6	17	24,3	15	19,2	11	11,6	17	19,5	160	16,3
Ludwigslust-Parchim	10	9,3	14	14,4	4	4,9	15	14,2	13	16,9	6	7,1	11	11,3	8	11,4	7	9,0	13	13,7	4	4,6	105	10,7
Mecklenburgische Seenplatte	10	9,3	14	14,4	11	13,6	10	9,4	11	14,3	8	9,5	14	14,4	7	10,0	4	5,1	10	10,5	12	13,8	111	11,3
Nordwestmecklenburg	9	8,4	8	8,2	3	3,7	13	12,3	7	9,1	15	17,9	3	3,1	7	10,0	9	11,5	6	6,3	9	10,3	89	9,1
Rostock	14	13,1	17	17,5	10	12,3	8	7,5	6	7,8	14	16,7	15	15,5	7	10,0	11	14,1	15	15,8	13	14,9	130	13,3
Schwerin	4	3,7	8	8,2	2	2,5	7	6,6	8	10,4	3	3,6	5	5,2	7	10,0	4	5,1	8	8,4	3	3,4	59	6,0
Vorpommern-Greifswald	27	25,2	8	8,2	15	18,5	15	14,2	9	11,7	16	19,0	16	16,5	7	10,0	9	11,5	12	12,6	17	19,5	151	15,4
Vorpommern-Rügen	22	20,6	13	13,4	22	27,2	20	18,9	10	13,0	12	14,3	14	14,4	10	14,3	19	24,4	20	21,1	12	13,8	174	17,8
Summe	107	100,0	97	100,0	81	100,0	106	100,0	77	100,0	84	100,0	97	100,0	70	100,0	78	100,0	95	100,0	87	100,0	979	100,0

22.4 Rohe und standardisierte Neuerkrankungsraten pro 100.000 Einwohner in den Jahren 2008-2018 (Wohnort)

Tab. 22.4. C53: Neuerkrankungsrate/100.000 Einwohner (Alter > 19)

Diagnosejahr	Frauen		
	absolute Anzahl der Neuerkrankungen	rohe Rate in M-V	altersstandardisierte Rate
2008	106	14,8	13,8
2009	97	13,6	14,5
2010	81	11,4	12,2
2011	106	15,1	15,8
2012	77	11,1	10,7
2013	84	12,1	12,2
2014	97	14,1	14,4
2015	70	10,2	9,9
2016	78	11,4	11,7
2017	95	13,9	13,4
2018	87	12,7	13,0
2008-2018	978	12,8	12,9



© KKR-MV 2020

Abb. 22.3. C53: Absolute Anzahl der Neuerkrankungen nach 5-Jahres-Altersgruppen im Diagnosezeitraum 2008 bis 2018 (Wohnort)

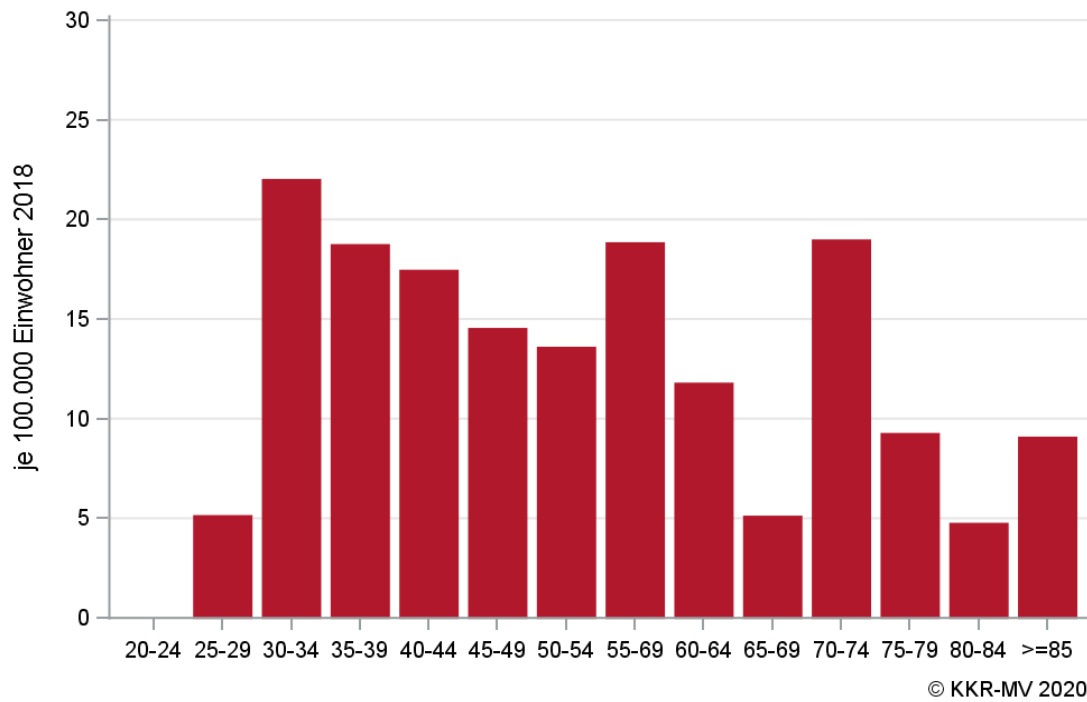


Abb. 22.4. C53: Altersspezifische Rate der Neuerkrankungen je 100.000 Einwohner (Diagnosejahr 2018) nach 5-Jahres-Altersgruppen (Wohnort)

© KKR-MV 2020

22.5 Alter der in den Jahren 2008 - 2018 in M-V neuerkrankten Patienten (Behandlungsort)

Tab. 22.5. C53: Erkrankungsalter (Behandlungsort)

Diagnosejahr	Frauen			
	Anzahl	Median	Minimum	Maximum
2008	108	49	18	87
2009	98	48	21	86
2010	87	50	22	88
2011	112	51	22	85
2012	79	55	24	93
2013	93	52	25	87
2014	100	53	28	85
2015	78	55	27	90
2016	82	53	27	87
2017	98	56	26	94
2018	90	55	29	89

22.6 Absolute Anzahl der erfassten Neuerkrankungen in M-V in den Jahren 2008 – 2018 nach Lokalisation

Tab. 22.6. C53: Absolute Anzahl und prozentualer Anteil der Neuerkrankungen nach der Lokalisation (Behandlungsort)

Lokalisation	2008	2009	2010	2011	2012	2013	2014	2015	2016	2017	2018	Summe	
												Anzahl	%
C53.0 Endozervix	4	3	5	2	9	3	4	3	4	6	9	52	5,1
C53.01 Innerer Muttermund	0	0	1	2	0	0	3	1	2	1	1	11	1,1
C53.02 Zervixschleimhaut	1	0	1	0	0	0	0	0	1	0	0	3	0,3
C53.1 Ektozervix	5	3	5	5	6	5	6	7	1	5	3	51	5,0
C53.11 Äußerer Muttermund	0	2	0	3	2	3	1	0	1	0	0	12	1,2
C53.12 Portioepithel	0	3	2	5	0	2	3	3	2	9	10	39	3,8
C53.8 Zervix (mehrere Teilbereiche überlappend)	28	23	19	33	23	20	29	16	28	23	18	260	25,4
C53.9 Zervix uteri o.n.A.	70	64	54	62	39	60	54	48	43	54	49	597	58,2
Summe	108	98	87	112	79	93	100	78	82	98	90	1025	100,0

22.7 Histologische Befunde bei allen neuerkrankten Patientinnen in M-V in den Jahren 2008 – 2018

Tab. 22.7. C53: Histologische Befunde bei neuerkrankten Patienten (Behandlungsort)

Histologiecode	Anzahl	Prozent
8070/3: Plattenepithelkarzinom o.n.A.	392	38,2
8071/3: Verhornendes Plattenepithelkarzinom o.n.A.	170	16,6
8072/3: Großzelliges nichtverhornendes Plattenepithelkarzinom o.n.A.	163	15,9
8076/3: Mikroinvasives Plattenepithelkarzinom	19	1,9
8083/3: Basaloides Plattenepithelkarzinom	12	1,2
8052/3: Nichtinvasives papilläres Plattenepithelkarzinom	2	0,2
8073/3: Kleinzelliges nichtverhornendes Plattenepithelkarzinom	2	0,2
8082/3: Lymphoepitheliales Karzinom	1	0,1
8098/3: Adenoides Basalzellkarzinom	1	0,1
Plattenepithelkarzinome	762	74,4
8140/3: Adenokarzinom o.n.A.	137	13,4
8380/3: Endometrioides Adenokarzinom o.n.A.	29	2,8
8560/3: Adenosquamöses Karzinom	20	2,0
8482/3: Endozervikales muzinöses Adenokarzinom	11	1,1
8310/3: Klarzelliges Adenokarzinom o.n.A.	6	0,6
8480/3: Muzinöses Adenokarzinom	6	0,6
8441/3: Seröses Zystadenokarzinom o.n.A.	4	0,4
8260/3: Papilläres Adenokarzinom o.n.A.	3	0,3
8481/3: Schleimbildendes Adenokarzinom	3	0,3
8262/3: Villöses Adenokarzinom	2	0,2
8263/3: Adenokarzinom in tubulovillösem Adenom	2	0,2
9110/3: Malignes Mesonephrom	2	0,2
8144/3: Adenokarzinom vom intestinalen Typ	1	0,1
8211/3: Tubuläres Adenokarzinom	1	0,1
8230/3: Solides Karzinom o.n.A.	1	0,1
8384/3: Endozervikales Adenokarzinom	1	0,1

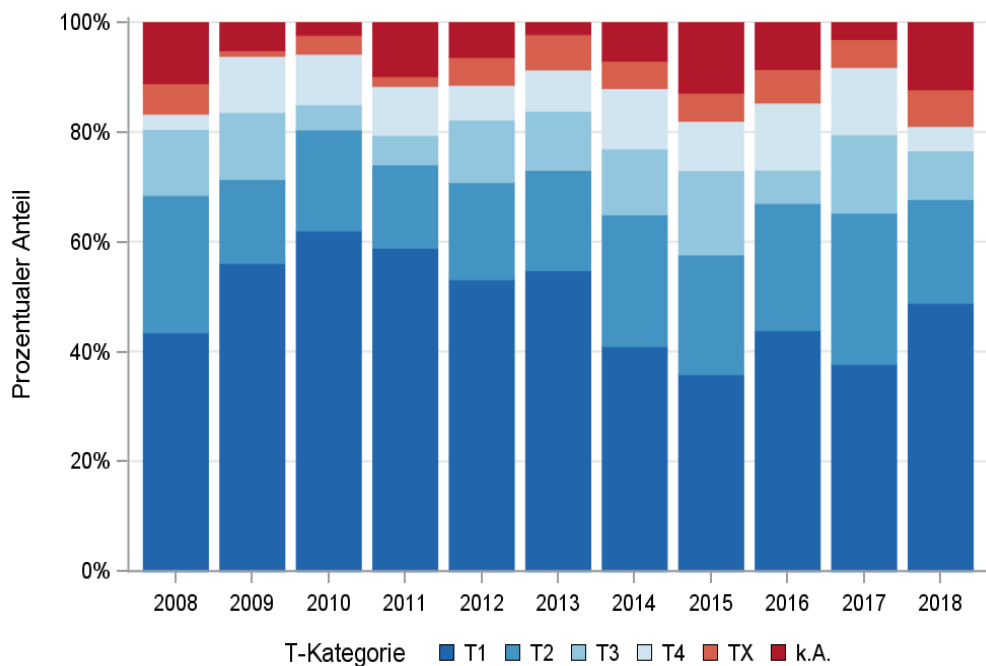
Histologiecode	Anzahl	Prozent
8574/3: Adenokarzinom mit neuroendokriner Differenzierung	1	0,1
Adenokarzinome	230	22,5
8010/3: Karzinom o.n.A.	14	1,4
8041/3: Kleinzelliges Karzinom o.n.A.	10	1,0
8020/3: Undifferenziertes Karzinom o.n.A.	5	0,5
8015/3: Glaszellkarzinom	3	0,3
8014/3: Großzelliges Karzinom mit rhabdoidem Phänotyp	1	0,1
Epitheliale Tumoren o.n.A.	33	3,2

22.8 Tumorgröße und Ausdehnung (TNM)

Tab. 22.8. C53: Absolute Anzahl der Neuerkrankungen klassifiziert nach der Tumorgröße in Bezug zu der Auflage der TNM-Klassifikation (Behandlungsort)

Tumorgröße (T)	TNM Auflage 6		TNM Auflage 7		TNM Auflage 8		k.A. zur TNM Auflage		Summe	
	Anzahl	%	Anzahl	%	Anzahl	%	Anzahl*	%	Anzahl	%
T1	95	53,1	328	53,0	78	51,3	-	-	501	48,9
T2	40	22,3	136	22,0	34	22,4	-	-	210	20,5
T3	23	12,8	64	10,3	18	11,8	-	-	105	10,2
T4	14	7,8	62	10,0	11	7,2	-	-	87	8,5
TX	7	3,9	29	4,7	11	7,2	-	-	47	4,6
k.A.	0	0	0	0	0	0	75	100,0	75	7,3
Summe	179	100,0	619	100,0	152	100,0	75	100,0	1025	100,0

*In einzelnen Fällen wurden Angaben zur Tumorgröße ohne Bezug zu einer TNM Auflage gemacht. Diese Angaben wurden in die Kategorie k.A. aufgenommen.



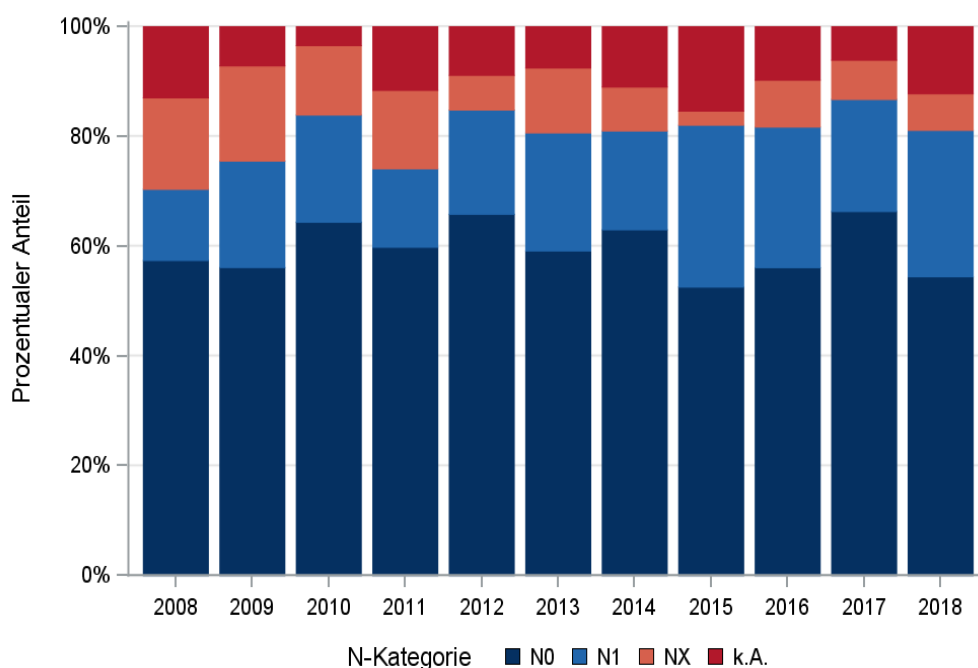
© KKR-MV 2020

Abb. 22.5. C53: Prozentualer Anteil der Neuerkrankungen nach der Tumorgröße im Diagnosezeitraum 2008 bis 2018

Tab. 22.9. C53: Absolute Anzahl der Neuerkrankungen mit bzw. ohne Befall der regionären Lymphknoten in Bezug zu der Auflage der TNM-Klassifikation (Behandlungsort)

N-Kategorie	TNM Auflage 6		TNM Auflage 7		TNM Auflage 8		k.A. zur TNM Auflage		Summe	
	Anzahl	%	Anzahl	%	Anzahl	%	Anzahl*	%	Anzahl	%
N0	109	60,9	402	64,9	100	65,8	-	-	611	59,6
N1	32	17,9	138	22,3	37	24,3	-	-	207	20,2
NX	35	19,6	61	9,9	12	7,9	-	-	108	10,5
k.A.	3	1,7	18	2,9	3	2,0	75	100,0	99	9,7
Summe	179	100,0	619	100,0	152	100,0	75	100,0	1025	100,0

*In einzelnen Fällen wurden Angaben zur N-Kategorie ohne Bezug zu einer TNM Auflage gemacht. Diese Angaben wurden in die Kategorie k.A. aufgenommen.



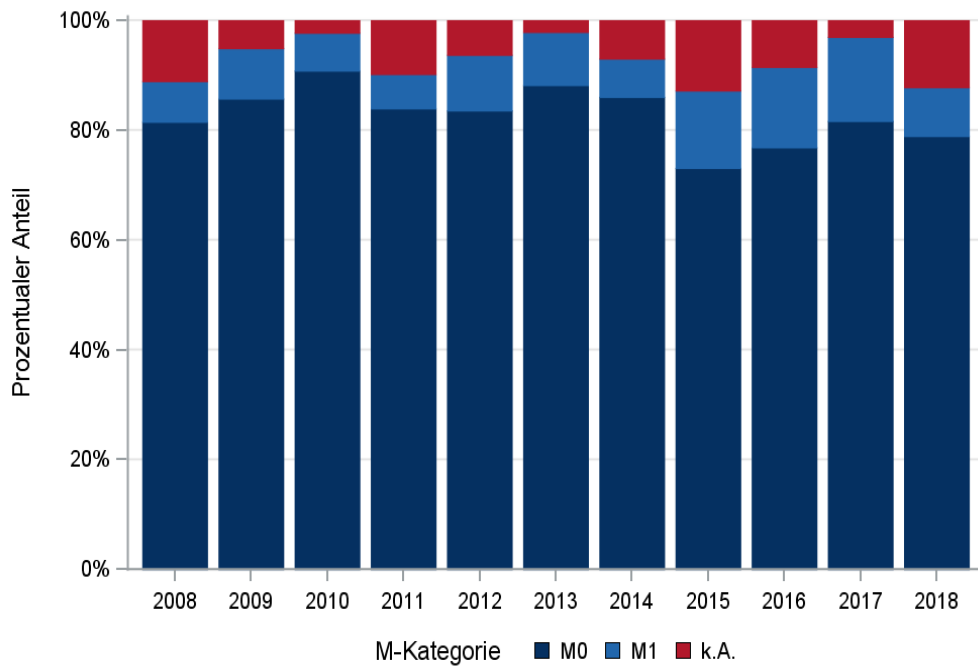
© KKR-MV 2020

Abb. 22.6. C53: Prozentualer Anteil der Neuerkrankungen mit und ohne Befall der regionären Lymphknoten zum Zeitpunkt der Erstdiagnose im Diagnosezeitraum 2008 bis 2018

Tab. 22.10. C53: Absolute Anzahl der Neuerkrankungen mit Fernmetastasierung in Bezug zu der Auflage der TNM-Klassifikation (Behandlungsort)

M-Kategorie	TNM Auflage 6		TNM Auflage 7		TNM Auflage 8		k.A. zur TNM Auflage		Summe	
	Anzahl	%	Anzahl	%	Anzahl	%	Anzahl*	%	Anzahl	%
M0	164	91,6	552	89,2	134	88,2	-	-	850	82,9
M1	15	8,4	67	10,8	18	11,8	-	-	100	9,8
k.A.	0	0	0	0	0	0	75	100,0	75	7,3
Summe	179	100,0	619	100,0	152	100,0	75	100,0	1025	100,0

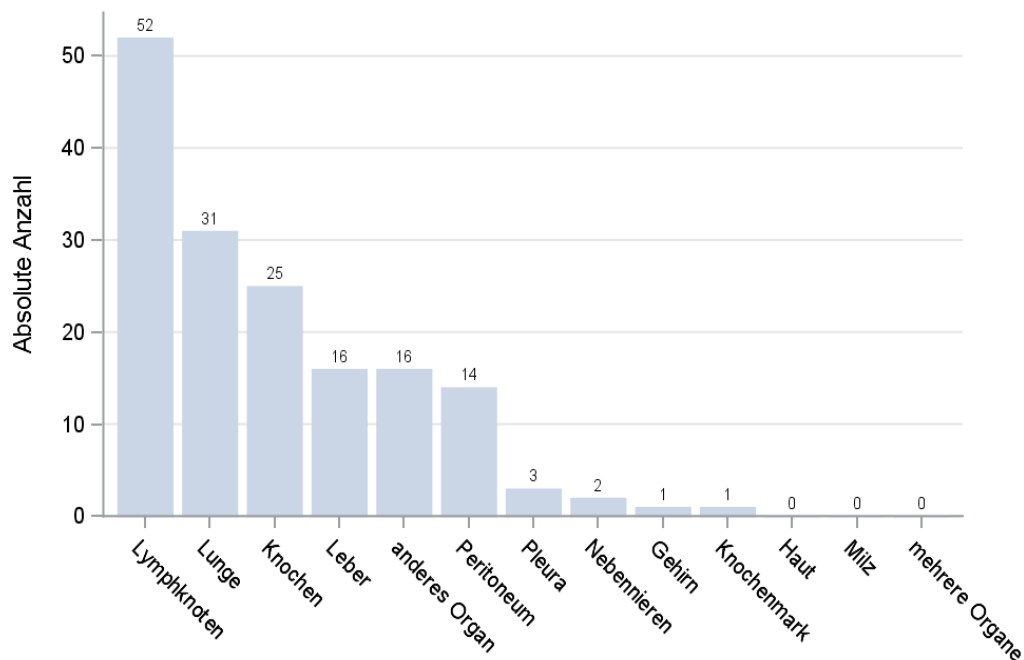
*In einzelnen Fällen wurden Angaben zur M-Kategorie ohne Bezug zu einer TNM Auflage gemacht. Diese Angaben wurden in die Kategorie k.A. aufgenommen.



© KKR-MV 2020

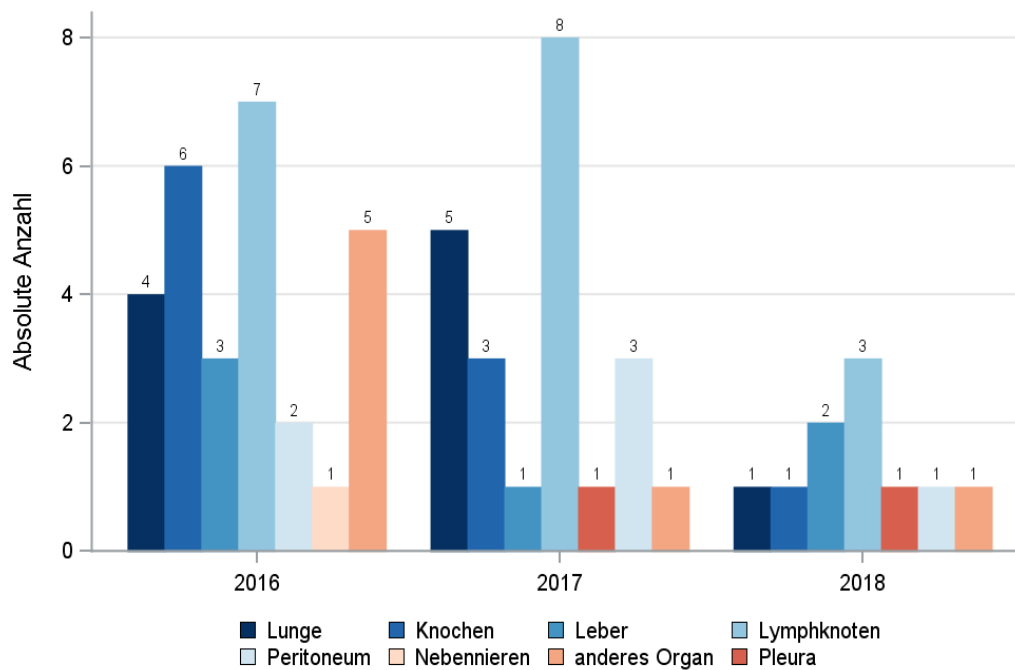
Abb. 22.7. C53: Prozentualer Anteil der primären Fernmetastasierung im Diagnosezeitraum 2008 bis 2018

22.9 Lokalisation der Fernmetastasen



© KKR-MV 2020

Abb. 22.8. C53: Lokalisation der Fernmetastasen bei Neuerkrankungen im Diagnosezeitraum 2008 bis 2018



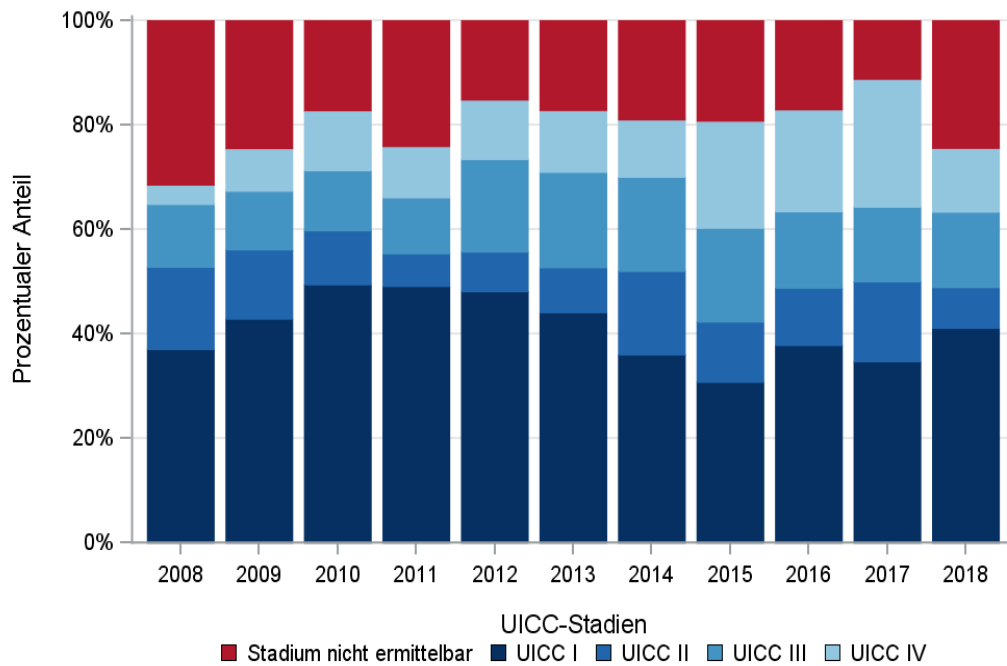
© KKR-MV 2020

Abb.22.9. C53: Lokalisation der Fernmetastasen bei Neuerkrankungen für die Diagnosejahre 2016 bis 2018

22.10 Tumorstadien nach UICC

Tab. 22.11. C53: Primäre UICC-Stadien (Behandlungsort)

Jahre	UICC I		UICC II		UICC III		UICC IV		Stadium nicht ermittelbar		Summe	
	Anzahl	%	Anzahl	%	Anzahl	%	Anzahl	%	Anzahl	%	Anzahl	%
2008	40	37,0	17	15,7	13	12,0	4	3,7	34	31,5	108	100,0
2009	42	42,9	13	13,3	11	11,2	8	8,2	24	24,5	98	100,0
2010	43	49,4	9	10,3	10	11,5	10	11,5	15	17,2	87	100,0
2011	55	49,1	7	6,3	12	10,7	11	9,8	27	24,1	112	100,0
2012	38	48,1	6	7,6	14	17,7	9	11,4	12	15,2	79	100,0
2013	41	44,1	8	8,6	17	18,3	11	11,8	16	17,2	93	100,0
2014	36	36,0	16	16,0	18	18,0	11	11,0	19	19,0	100	100,0
2015	24	30,8	9	11,5	14	17,9	16	20,5	15	19,2	78	100,0
2016	31	37,8	9	11,0	12	14,6	16	19,5	14	17,1	82	100,0
2017	34	34,7	15	15,3	14	14,3	24	24,5	11	11,2	98	100,0
2018	37	41,1	7	7,8	13	14,4	11	12,2	22	24,4	90	100,0
Summe	421	41,1	116	11,3	148	14,4	131	12,8	209	20,4	1025	100,0



© KKR-MV 2020

Abb. 22.10. C53: Prozentuale Anteile der UICC-Tumorstadien in den Diagnosejahren 2008 bis 2018

22.11 Dokumentierte Therapie bis max. 12 Monate nach Diagnosestellung

22.11.1 Therapiekombinationen, Stellung der Therapie und Intention der dokumentierten Therapien

Tab. 22.12. C53: Therapiekombinationen (Operation, Strahlentherapie, systemische Therapie) pro Diagnosejahr (Behandlungsort)

Therapiekombinationen	2008	2009	2010	2011	2012	2013	2014	2015	2016	2017	2018	Summe
Alleinige Operation	37	45	41	51	34	34	41	22	27	41	30	403
Alleinige systemische Therapie	1	0	1	2	3	1	1	2	6	5	2	24
Alleinige Strahlentherapie	5	12	7	11	6	8	8	12	2	10	10	91
Operation und systemische Therapie, keine Strahlentherapie	4	1	1	5	2	1	3	0	5	5	4	31
Operation und Strahlentherapie, keine systemische Therapie	11	4	4	5	9	6	9	3	3	4	6	64
Systemische Therapie und Strahlentherapie, keine Operation	16	6	9	14	4	9	12	19	13	14	14	130
Operation und systemische Therapie und Strahlentherapie	26	19	20	16	14	27	22	14	16	12	15	201
Keine Operation, systemische Therapie oder Strahlentherapie	8	11	4	8	7	7	4	6	10	7	9	81
Summe	108	98	87	112	79	93	100	78	82	98	90	1025

Tab. 22.13. C53: Therapiekombinationen (Operation, Strahlentherapie, systemische Therapie) in Abhängigkeit von dem UICC-Stadium (Behandlungsort)

Therapiekombinationen	UICC I	UICC II	UICC III	UICC IV	Stadium nicht ermittelbar	Summe
Alleinige Operation	317	15	11	9	51	403
Alleinige systemische Therapie	1	0	0	13	10	24
Alleinige Strahlentherapie	2	11	23	27	28	91
Operation und systemische Therapie, keine Strahlentherapie	6	3	5	11	6	31
Operation und Strahlentherapie, keine systemische Therapie	24	14	12	4	10	64
Systemische Therapie und Strahlentherapie, keine Operation	1	20	33	36	40	130
Operation und systemische Therapie und Strahlentherapie	65	45	59	11	21	201
Keine Operation, systemische Therapie oder Strahlentherapie	5	8	5	20	43	81
Summe	421	116	148	131	209	1025

Tab. 22. 14a. C53: Stellung der Strahlentherapie zur operativen Therapie im ersten Jahr der Erkrankung (adjuvant/neoadjuvant, Behandlungsort)

Stellung der Strahlentherapie zur operativen Therapie	2008	2009	2010	2011	2012	2013	2014	2015	2016	2017	2018	Summe
Adjuvante (postoperative) Strahlentherapie	16	9	16	14	17	24	17	8	14	13	20	168
Neoadjuvante (präoperative) Strahlentherapie	7	4	2	0	0	6	6	3	0	0	0	28
Therapie ohne Bezug zu einer operativen Therapie	0	0	1	0	2	1	2	4	5	3	1	19
unbekannt	14	10	5	7	4	2	6	2	0	0	0	50
Summe	37	23	24	21	23	33	31	17	19	16	21	265

Tab. 22. 14b. C53: Stellung der systemischen Therapie zur operativen Therapie im ersten Jahr der Erkrankung (adjuvant/neoadjuvant, Behandlungsort)

Stellung der systemischen Therapie zur operativen Therapie	2008	2009	2010	2011	2012	2013	2014	2015	2016	2017	2018	Summe
Adjuvante (postoperative) Therapie	19	13	17	18	13	22	14	6	15	14	15	166
Neoadjuvante (präoperative) Therapie	7	3	3	1	0	4	5	4	2	0	2	31
Therapie ohne Bezug zu einer operativen Therapie	2	2	0	1	3	2	6	4	4	3	2	29
unbekannt	2	2	1	1	0	0	0	0	0	0	0	6
Summe	30	20	21	21	16	28	25	14	21	17	19	232

Tab. 22.15a. C53: Intention bei der ersten Operation (Behandlungsort)

Intention der Operation	2008	2009	2010	2011	2012	2013	2014	2015	2016	2017	2018	Summe
Kurativ	62	62	55	66	51	60	58	32	44	52	48	590
Palliativ bzw. symptomatisch	3	2	1	1	1	1	1	0	1	4	0	15
Sonstige/Unbekannt/Keine Angabe	13	5	10	10	7	7	16	7	6	6	7	94
Summe	78	69	66	77	59	68	75	39	51	62	55	699

Tab. 22.15b. C53: Intention der initialen Bestrahlung (Behandlungsort)

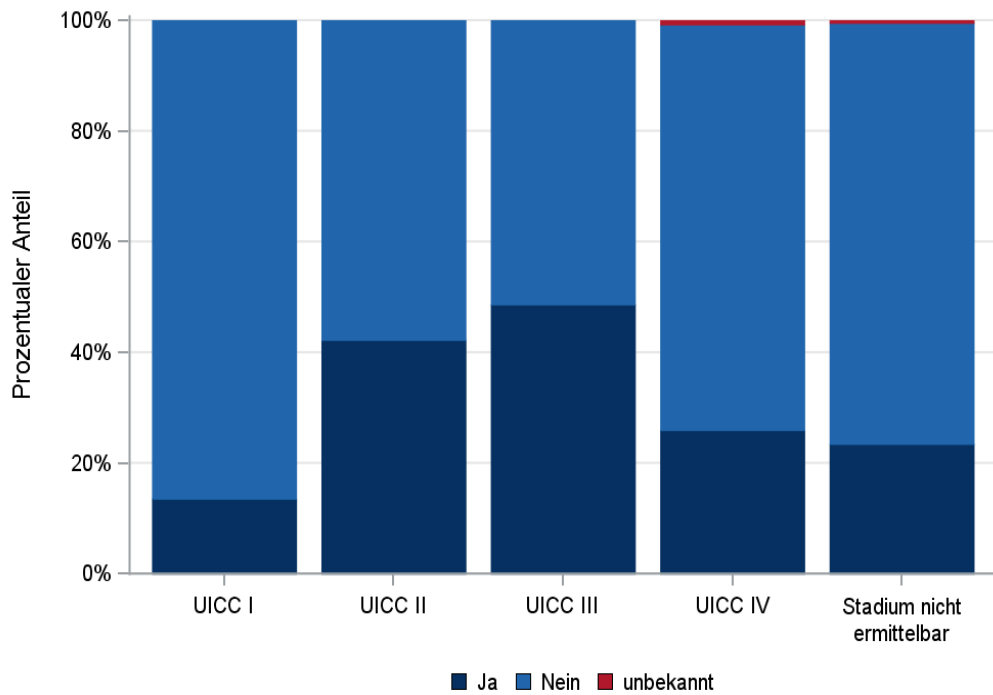
Intention der Bestrahlung	2008	2009	2010	2011	2012	2013	2014	2015	2016	2017	2018	Summe
Kurativ	26	13	23	20	22	34	33	25	26	31	37	290
Palliativ bzw. symptomatisch	3	3	6	4	4	5	6	14	6	8	8	67
Sonstige/Unbekannt/Keine Angabe	29	25	11	22	7	11	12	9	2	1	0	129
Summe	58	41	40	46	33	50	51	48	34	40	45	486

Tab. 22.15c. C53: Intention bei der ersten systemischen Therapie (Behandlungsort)

Intention der systemischen Therapie	2008	2009	2010	2011	2012	2013	2014	2015	2016	2017	2018	Summe
Kurativ	33	19	25	30	16	30	30	24	23	24	28	282
Palliativ bzw. symptomatisch	5	5	5	4	6	5	4	6	10	11	6	67
Sonstige/Unbekannt/Keine Angabe	9	2	1	3	1	3	4	5	7	1	1	37
Summe	47	26	31	37	23	38	38	35	40	36	35	386

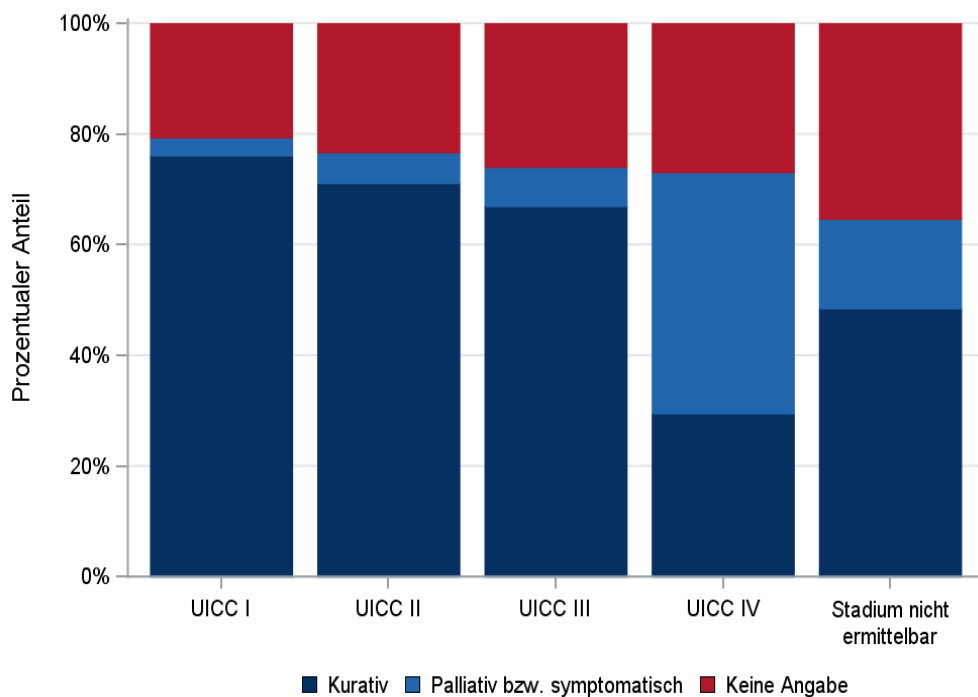
Tab. 22.16. C53: Zeitraum zwischen Diagnose und Beginn der ersten Therapie nach Therapieart (Angaben in Tagen, Behandlungsort)

Therapie	Anzahl	Median	Minimum	Maximum
Diagnose und erste Operation	699	8	0	335
Diagnose und erste Bestrahlung	486	49	0	362
Diagnose und erste system. Therapie	386	52	0	362



© KKR-MV 2020

Abb.22.11. C53: Durchführung der Radiochemotherapie nach UICC-Klassifikation



© KKR-MV 2020

Abb.22.12. C53: Intention der ersten Bestrahlung nach UICC-Klassifikation

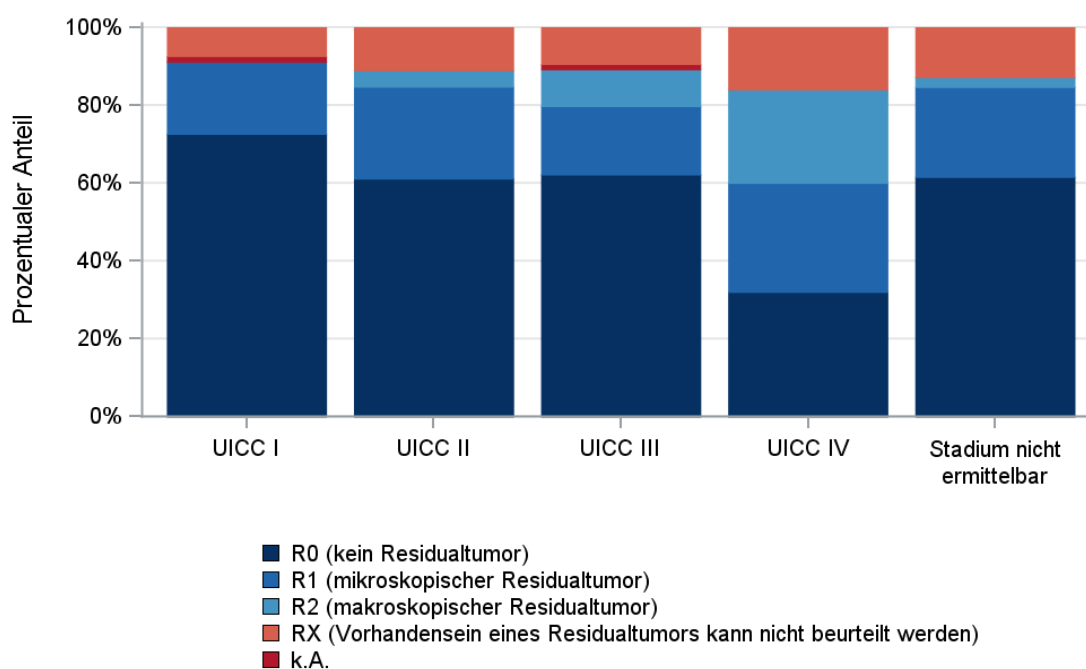
22.11.2 Dokumentierte tumorspezifische Operation bis max.12 Monate nach Diagnosestellung

Tab. 22.17. C53: Dokumentierte tumorspezifische Operation nach UICC (Behandlungsort)

Operationen	UICC I	UICC II	UICC III	UICC IV	Stadium nicht ermittelbar	Summe	
						Anzahl	%
Tumorresektion	349	58	58	19	68	552	79,0
Tumor- und Lymphknotenresektion	56	14	16	6	10	102	14,6
Lymphknotenresektion	0	0	0	2	2	4	0,6
sonstige OP	5	5	12	8	6	36	5,2
keine Angabe	2	0	1	0	2	5	0,7
Summe	412	77	87	35	88	699	100,0

Tab. 22.18. C53: Residualklassifikation nach Tumorresektion im Diagnosezeitraum 2008-2018

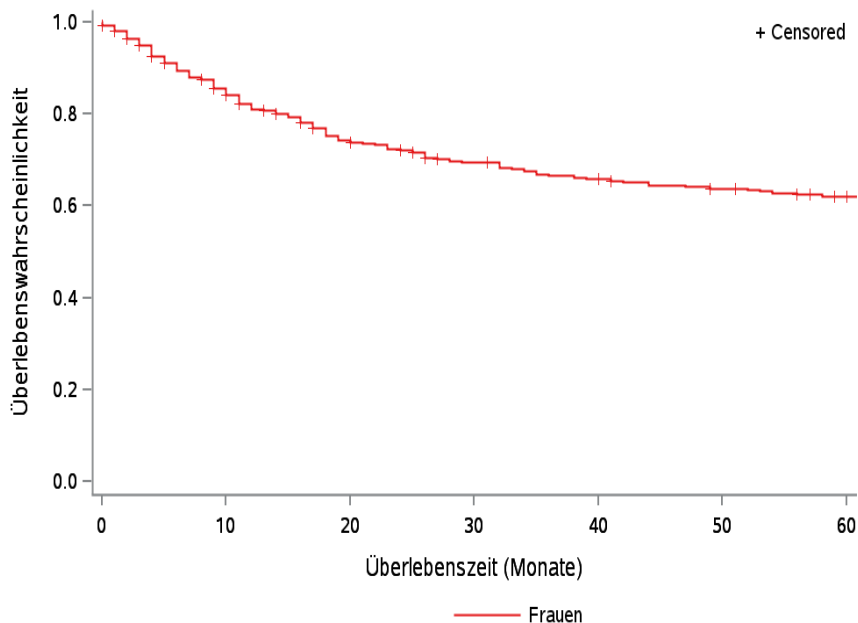
R-Klassifikation	UICC I	UICC II	UICC III	UICC IV	Stadium nicht ermittelbar	Summe	
						Anzahl	%
R0 (kein Residualtumor)	294	44	46	8	48	440	67,3
R1 (mikroskopischer Residualtumor)	75	17	13	7	18	130	19,9
R2 (makroskopischer Residualtumor)	0	3	7	6	2	18	2,8
RX (Vorhandensein eines Residualtumors kann nicht beurteilt werden)	30	8	7	4	10	59	9,0
keine Angabe	6	0	1	0	0	7	1,1
Summe	405	72	74	25	78	654	100,0



© KKR-MV 2020

Abb. 22.13. C53: Residualklassifikation nach Tumorresektion in Abhängigkeit von UICC-Tumorstadium im Diagnosezeitraum 2008 bis 2018

22.12 Überlebensanalysen bei den in den Jahren 2008 – 2013 primär diagnostizierten Patientinnen

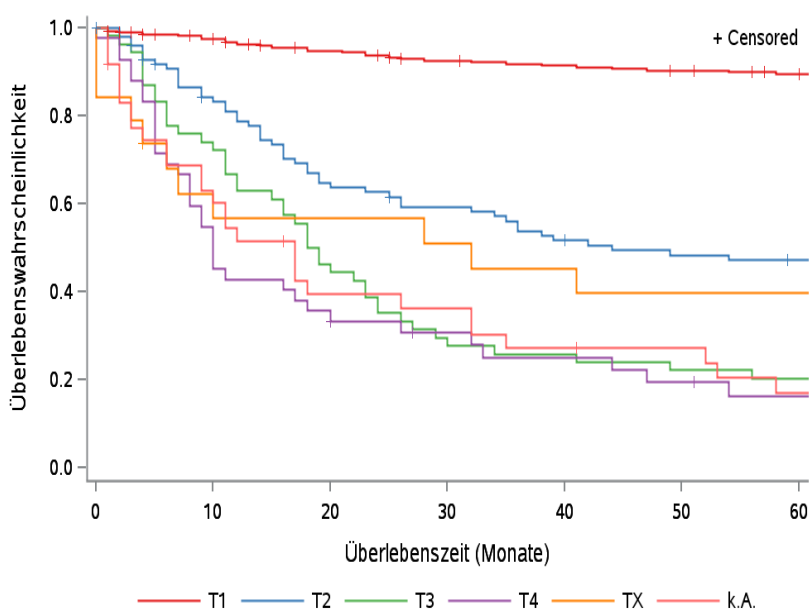


© KKR-MV 2020

Abb.22.14. C53: Wahrscheinlichkeit des Überlebens (Kaplan-Meier-Analyse) nach Geschlecht im Diagnosezeitraum von 2008 bis 2013 (Wohnort). Kaplan-Meier-Kurven werden für Kategorien mit weniger als 10 Neuerkrankungen nicht dargestellt.

Tab. 22.19. C53: Anzahl der unter Risiko stehenden Neuerkrankungen (Monate nach Diagnose)

Geschlecht	0 Monate	20 Monate	40 Monate	60 Monate
Frauen	550	375	325	297

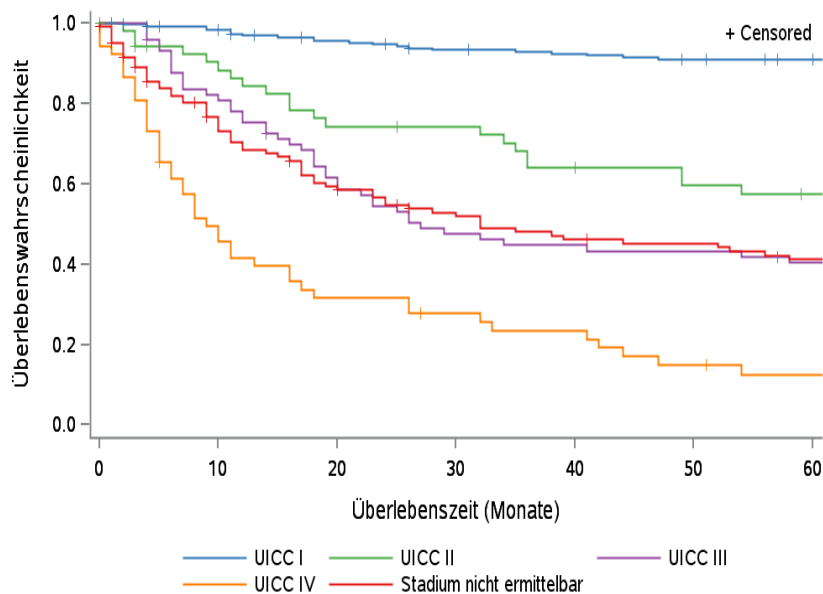


© KKR-MV 2020

Abb.22.15. C53: Wahrscheinlichkeit des Überlebens (Kaplan-Meier-Analyse) nach Tumorstadium im Diagnosezeitraum von 2008 bis 2013 (Wohnort). Kaplan-Meier-Kurven werden für Kategorien mit weniger als 10 Neuerkrankungen nicht dargestellt.

Tab. 22.20. C53: Anzahl der unter Risiko stehenden Neuerkrankungen nach Tumorgröße (Monate nach Diagnose)

T-Kategorie	0 Monate	20 Monate	40 Monate	60 Monate
T1	300	251	237	227
T2	99	60	47	41
T3	54	25	14	11
T4	42	15	9	5
TX	19	10	8	7
k.A.	36	13	9	5

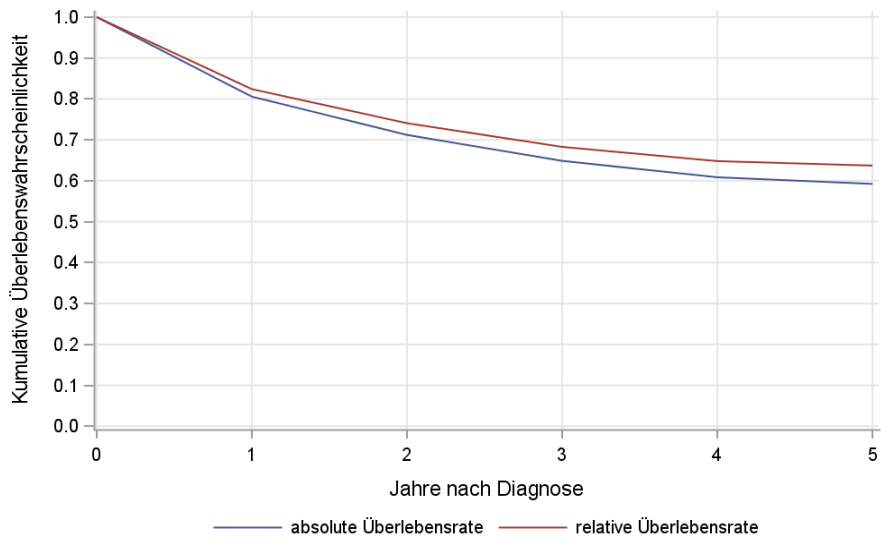


© KKR-MV 2020

Abb. 22.16. C53: Wahrscheinlichkeit des Überlebens (Kaplan-Meier-Analyse) nach UICC-Tumorstadium im Diagnosezeitraum von 2008 bis 2013 (Wohnort). Kaplan-Meier-Kurven werden für Kategorien mit weniger als 10 Neuerkrankungen nicht dargestellt.

Tab. 22.21. C53: Anzahl der unter Risiko stehenden Neuerkrankungen nach UICC-Stadium (Monate nach Diagnose)

UICC-Stadium	0 Monate	20 Monate	40 Monate	60 Monate
UICC I	247	212	202	195
UICC II	54	37	31	26
UICC III	74	44	32	28
UICC IV	52	16	11	5
Stadium nicht ermittelbar	123	65	48	42

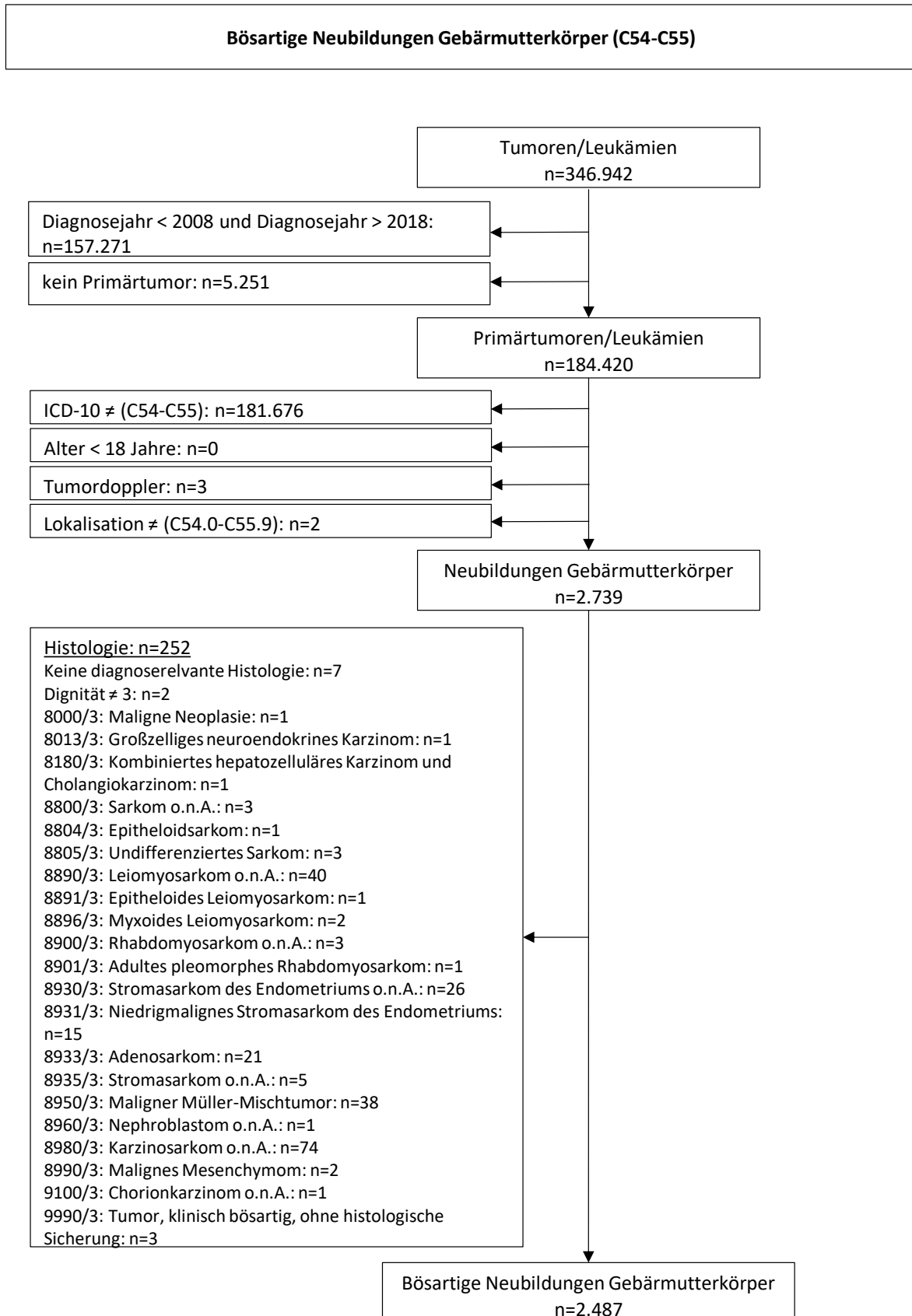


© KKR-MV 2020

Abb. 22.17. C53: Absolutes und relatives Überleben im Diagnosezeitraum 2008 bis 2013 (Wohnort, Alter > 19)

23 Gebärmutterkörper (C54-C55)

23.1 Consort-Statement: Darstellung der Auswertepopulation



*Erläuterungen zu den Ausschlüssen finden Sie im Kapitel 4 (Methode)

23.2 Absolute Anzahl der erfassten Neuerkrankungen in M-V in den Jahren 2008 – 2018 nach Geschlecht (Behandlungsort, Wohnort)

Tab. 23.1. C54-C55: Absolute Anzahl der Neuerkrankungen (Behandlungsort)

Diagnosejahr	Anzahl
2008	233
2009	205
2010	234
2011	217
2012	236
2013	221
2014	265
2015	218
2016	221
2017	235
2018	202
Summe	2487

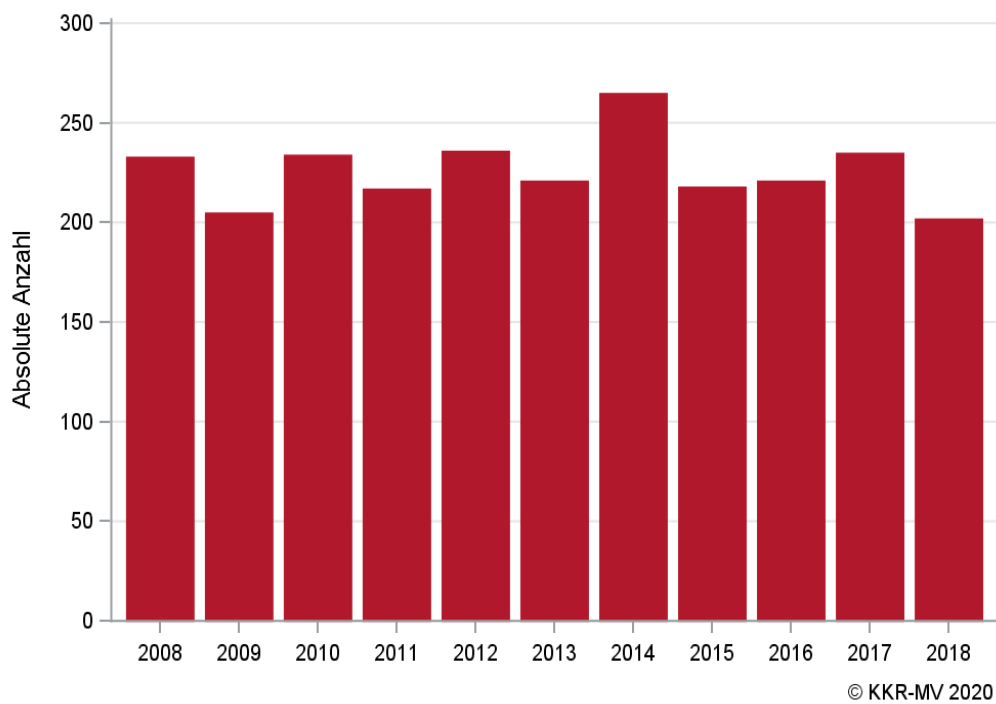
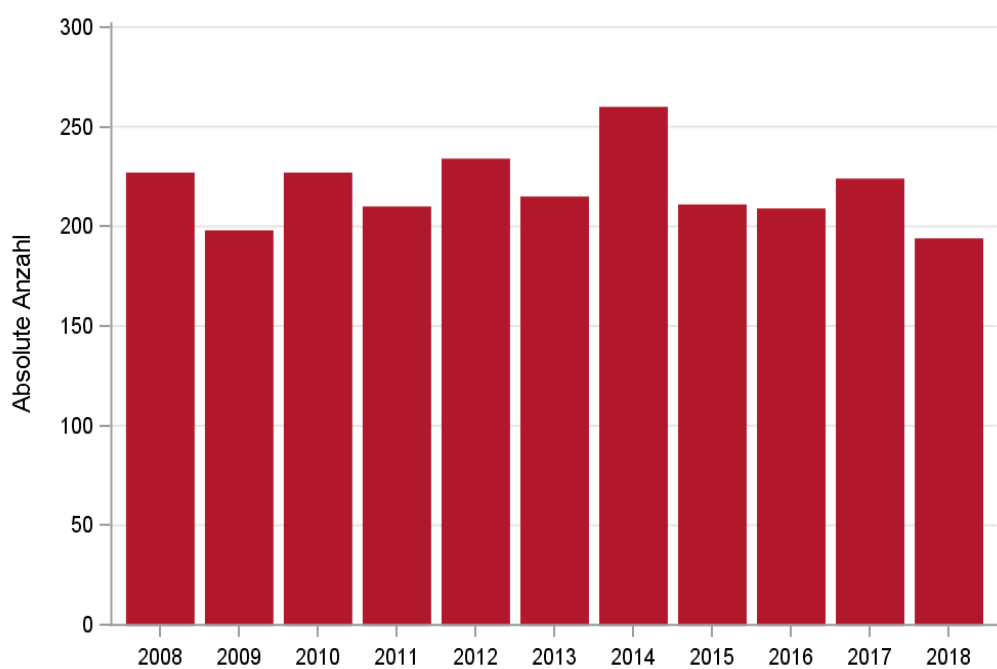


Abb. 23.1. C54-C55: Absolute Anzahl der Neuerkrankungen im Diagnosezeitraum 2008 bis 2018 (Behandlungsort)

Tab. 23.2. C54-C55: Absolute Anzahl der Neuerkrankungen (Wohnort)

Diagnosejahr	Anzahl
2008	227
2009	198
2010	227
2011	210
2012	234
2013	215
2014	260
2015	211
2016	209
2017	224
2018	194
Summe	2409



© KKR-MV 2020

Abb. 23.2. C54-C55: Absolute Anzahl der Neuerkrankungen im Diagnosezeitraum 2008 bis 2018 (Wohnort)

23.3 Absolute Anzahl der erfassten Neuerkrankungen in M-V in den Jahren 2008 – 2018 nach Landkreisen (Wohnort)

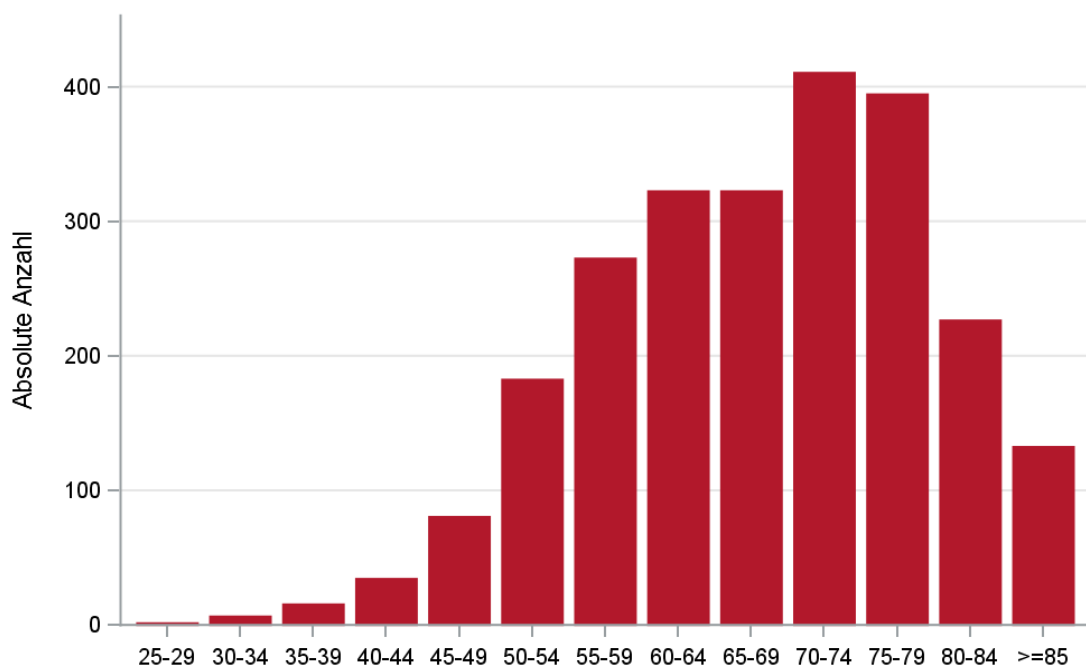
Tab. 23.3. C54-C55: Absolute Anzahl und prozentualer Anteil der Neuerkrankungen nach Landkreisen

Landkreis	2008		2009		2010		2011		2012		2013		2014		2015		2016		2017		2018		Summe	
	Anzahl	%	Anzahl	%	Anzahl	%	Anzahl	%	Anzahl	%	Anzahl	%	Anzahl	%	Anzahl	%	Anzahl	%	Anzahl	%	Anzahl	%	Anzahl	%
Landkreis Rostock	24	10,6	37	18,7	28	12,3	23	11,0	30	12,8	26	12,1	28	10,8	24	11,4	35	16,7	29	12,9	25	12,9	309	12,8
Ludwigslust-Parchim	34	15,0	14	7,1	19	8,4	23	11,0	23	9,8	21	9,8	33	12,7	17	8,1	26	12,4	24	10,7	17	8,8	251	10,4
Mecklenburgische Seenplatte	34	15,0	34	17,2	34	15,0	37	17,6	38	16,2	37	17,2	54	20,8	27	12,8	22	10,5	27	12,1	40	20,6	384	15,9
Nordwestmecklenburg	8	3,5	13	6,6	15	6,6	9	4,3	15	6,4	20	9,3	24	9,2	29	13,7	21	10,0	19	8,5	15	7,7	188	7,8
Rostock	34	15,0	29	14,6	30	13,2	35	16,7	30	12,8	33	15,3	31	11,9	28	13,3	29	13,9	32	14,3	25	12,9	336	13,9
Schwerin	16	7,0	13	6,6	17	7,5	16	7,6	10	4,3	10	4,7	11	4,2	15	7,1	10	4,8	12	5,4	17	8,8	147	6,1
Vorpommern-Greifswald	35	15,4	27	13,6	49	21,6	40	19,0	44	18,8	41	19,1	36	13,8	30	14,2	30	14,4	41	18,3	30	15,5	403	16,7
Vorpommern-Rügen	42	18,5	31	15,7	34	15,0	27	12,9	44	18,8	27	12,6	42	16,2	41	19,4	35	16,7	37	16,5	24	12,4	384	15,9
nicht zuordenbar	0	0	0	0	1	0,4	0	0	0	0	0	0	1	0,4	0	0	1	0,5	3	1,3	1	0,5	7	0,3
Summe	227	100,0	198	100,0	227	100,0	210	100,0	234	100,0	215	100,0	260	100,0	211	100,0	209	100,0	224	100,0	194	100,0	2409	100,0

23.4 Rohe und standardisierte Neuerkrankungsraten pro 100.000 Einwohner in den Jahren 2008-2018 (Wohnort)

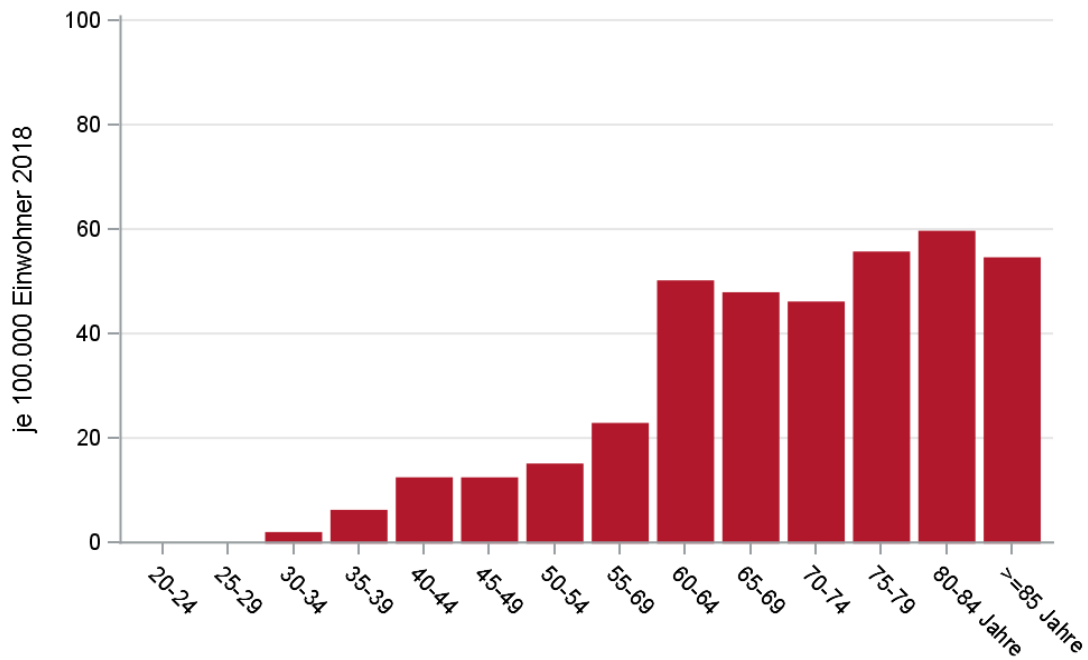
Tab. 23.4. C54-C55: Neuerkrankungsrate/100.000 Einwohner (Alter > 19)

Diagnosejahr	Frauen		
	absolute Anzahl der Neuerkrankungen	rohe Rate in M-V	altersstandardisierte Rate
2008	227	31,8	22,9
2009	198	27,8	20,3
2010	227	31,9	23,1
2011	210	30,0	20,7
2012	234	33,6	22,2
2013	215	31,1	20,9
2014	260	37,7	23,5
2015	211	30,7	19,8
2016	209	30,4	19,8
2017	224	32,7	21,8
2018	194	28,3	18,1
2008-2018	2409	31,4	21,2



© KKR-MV 2020

Abb. 23.3. C54-C55: Absolute Anzahl der Neuerkrankungen nach 5-Jahres-Altersgruppen im Diagnosezeitraum 2008 bis 2018 (Wohnort)



© KKR-MV 2020

Abb. 23.4. C54-C55: Altersspezifische Rate der Neuerkrankungen je 100.000 Einwohner (Diagnosejahr 2018) nach 5-Jahres-Altersgruppen (Wohnort)

23.5 Alter der in den Jahren 2008 - 2018 in M-V neuerkrankten Patienten (Behandlungsort)

Tab. 23.5. C54-C55: Erkrankungsalter (Behandlungsort)

Diagnosejahr	Frauen			
	Anzahl	Median	Minimum	Maximum
2008	233	69	36	91
2009	205	68	31	92
2010	234	69	35	93
2011	217	70	28	93
2012	236	71	39	92
2013	221	69	43	94
2014	265	71	25	92
2015	218	68	25	93
2016	221	68	30	94
2017	235	67	34	90
2018	202	68	34	92

23.6 Absolute Anzahl der erfassten Neuerkrankungen in M-V in den Jahren 2008 – 2018 nach Lokalisation

Tab. 23.6. C54-C55: Absolute Anzahl und prozentualer Anteil der Neuerkrankungen nach der Lokalisation (Behandlungsort)

Lokalisation	2008	2009	2010	2011	2012	2013	2014	2015	2016	2017	2018	Summe	
												Anzahl	%
C54.0 Isthmus uteri	3	2	1	1	5	0	1	1	0	5	4	23	0,9
C54.1 Endometrium (Stroma und Drüsen)	79	68	84	108	135	125	140	128	146	140	130	1283	51,5
C54.2 Myometrium	2	2	5	4	0	1	0	0	3	3	0	20	0,8
C54.3 Fundus uteri	2	1	3	3	2	2	4	6	2	2	1	28	1,1
C54.8 Corpus uteri (mehrere Teilbereiche überlappend)	46	48	53	50	42	48	47	45	53	65	41	538	21,6
C54.9 Corpus uteri o.n.A.	100	83	87	50	48	45	73	33	17	19	22	577	23,2
C55.9 Uterus o.n.A.	3	1	1	1	4	0	0	5	0	1	4	20	0,8
Summe	235	205	234	217	236	221	265	218	221	235	202	2489	100,0

23.7 Histologische Befunde bei allen neuerkrankten Patientinnen in M-V in den Jahren 2008 – 2018

Tab. 23.7. C54-C55: Histologische Befunde bei neuerkrankten Patienten (Behandlungsort)

Histologiecode	Anzahl	Prozent
8380/3: Endometrioides Adenokarzinom o.n.A.	1803	72,5
8140/3: Adenokarzinom o.n.A.	303	12,2
8441/3: Seröses Zystadenokarzinom o.n.A.	94	3,8
8323/3: Gemischtzelliges Adenokarzinom	79	3,2
8570/3: Adenokarzinom mit Plattenepithelmetaplasie	77	3,1
8310/3: Klarzelliges Adenokarzinom o.n.A.	43	1,7
8460/3: Seröses papilläres Zystadenokarzinom	8	0,3
8262/3: Villöses Adenokarzinom	7	0,3
8382/3: Endometrioides Adenokarzinom, sekretorische Variante	7	0,3
8260/3: Papilläres Adenokarzinom o.n.A.	6	0,2
8480/3: Muzinöses Adenokarzinom	6	0,2
8560/3: Adenosquamöses Karzinom	4	0,2
8461/3: Seröses papilläres Oberflächenkarzinom	3	0,1
8263/3: Adenokarzinom in tubulovillösem Adenom	2	0,1
8481/3: Schleimbildendes Adenokarzinom	2	0,1
8211/3: Tubuläres Adenokarzinom	1	0,0
8261/3: Adenokarzinom in villösem Adenom	1	0,0
8280/3: Azidophiles Karzinom	1	0,0
8320/3: Granularzellkarzinom	1	0,0
8381/3: Malignes endometrioides Adenofibrom	1	0,0
8383/3: Endometrioides Adenokarzinom, Flimmerepithel-Variante	1	0,0
8490/3: Siegelringzellkarzinom	1	0,0
Adenokarzinome	2451	98,6
8010/3: Karzinom o.n.A.	8	0,3
8020/3: Undifferenziertes Karzinom o.n.A.	8	0,3
8033/3: Pseudosarkomatöses Karzinom	3	0,1
8041/3: Kleinzelliges Karzinom o.n.A.	2	0,1

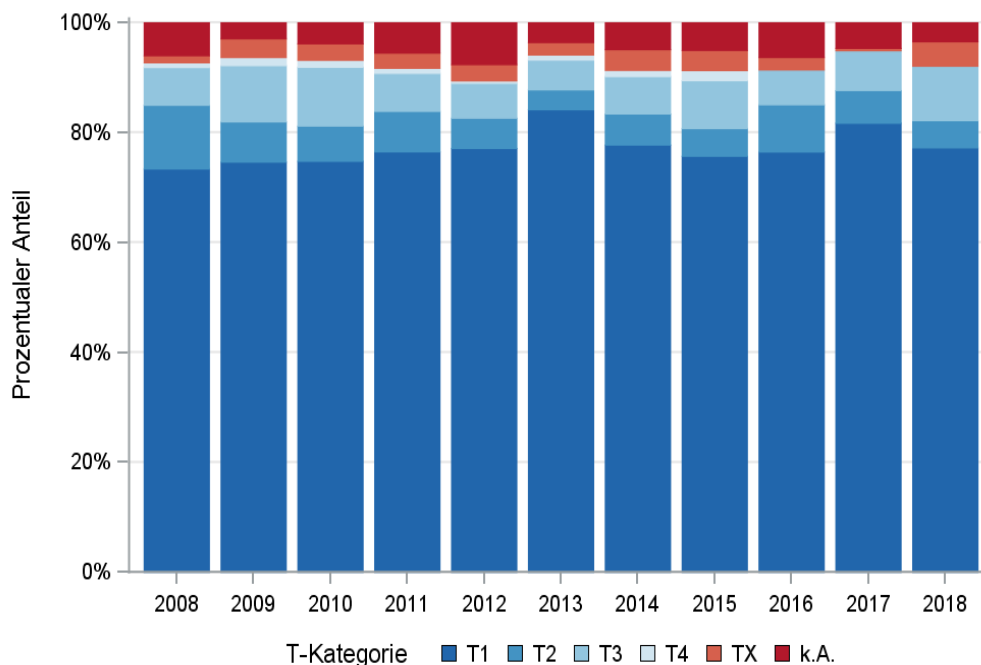
Histologiecode	Anzahl	Prozent
8022/3: Pleomorphes Karzinom	1	0,0
epitheliale Neoplasien o.n.A.	22	0,9
8070/3: Plattenepithelkarzinom o.n.A.	11	0,4
8083/3: Basaloides Plattenepithelkarzinom	2	0,1
8050/3: Papilläres Karzinom o.n.A.	1	0,0
Plattenepithelkarzinome	14	0,6

23.8 Tumorgöße und Ausdehnung (TNM)

Tab. 23.8. C54-C55: Absolute Anzahl der Neuerkrankungen klassifiziert nach der Tumorgöße in Bezug zu der Auflage der TNM-Klassifikation (Behandlungsort)

Tumorgöße (T)	TNM Auflage 6		TNM Auflage 7		TNM Auflage 8		k.A. zur TNM Auflage		Summe	
	Anzahl	%	Anzahl	%	Anzahl	%	Anzahl*	%	Anzahl	%
T1	320	77,9	1279	82,1	322	81,3	-	-	1921	77,2
T2	43	10,5	94	6,0	26	6,6	-	-	163	6,6
T3	37	9,0	117	7,5	38	9,6	-	-	192	7,7
T4	4	1,0	16	1,0	0	0	-	-	20	0,8
TX	7	1,7	51	3,3	10	2,5	-	-	68	2,7
k.A.	0	0	1	0,1	0	0	122	100,0	123	4,9
Summe	411	100,0	1558	100,0	396	100,0	122	100,0	2487	100,0

*In einzelnen Fällen wurden Angaben zur Tumorgöße ohne Bezug zu einer TNM Auflage gemacht. Diese Angaben wurden in die Kategorie k.A. aufgenommen.



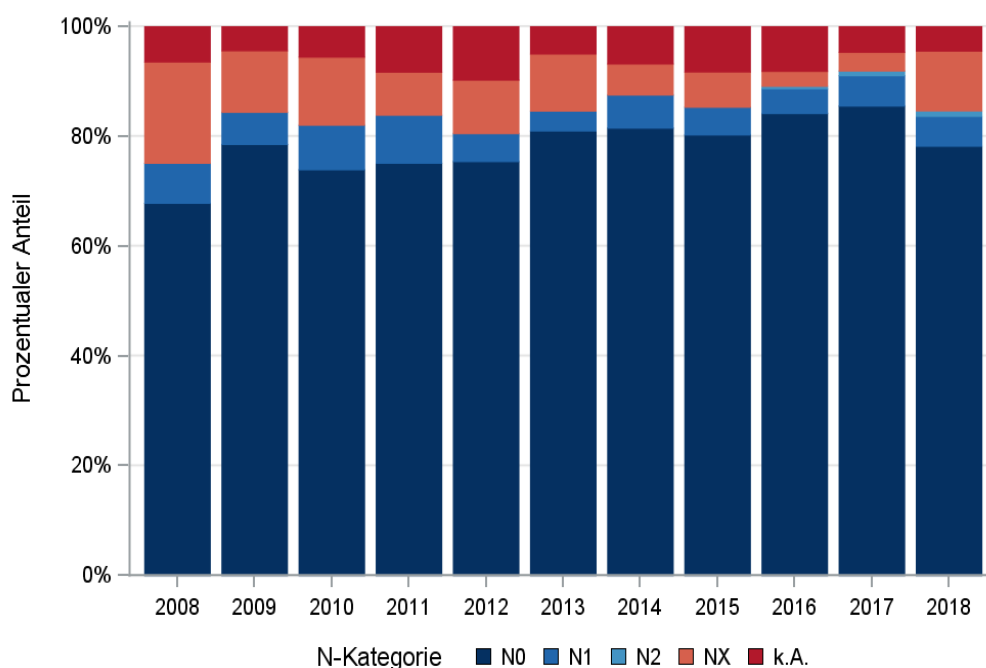
© KKR-MV 2020

Abb. 23.5. C54-C55: Prozentualer Anteil der Neuerkrankungen nach der Tumorgöße im Diagnosezeitraum 2008 bis 2018

Tab. 23.9. C54-C55: Absolute Anzahl der Neuerkrankungen mit bzw. ohne Befall der regionären Lymphknoten in Bezug zu der Auflage der TNM-Klassifikation (Behandlungsort)

N-Kategorie	TNM Auflage 6		TNM Auflage 7		TNM Auflage 8		k.A. zur TNM Auflage		Summe	
	Anzahl	%	Anzahl	%	Anzahl	%	Anzahl*	%	Anzahl	%
N0	311	75,7	1297	83,2	340	85,9	-	-	1948	78,3
N1	30	7,3	99	6,4	19	4,8	-	-	148	6,0
N2	0	0	0	0	5	1,3	-	-	5	0,2
NX	68	16,5	125	8,0	30	7,6	-	-	223	9,0
k.A.	2	0,5	37	2,4	2	0,5	122	100,0	163	6,6
Summe	411	100,0	1558	100,0	396	100,0	122	100,0	2487	100,0

*In einzelnen Fällen wurden Angaben zur N-Kategorie ohne Bezug zu einer TNM Auflage gemacht. Diese Angaben wurden in die Kategorie k.A. aufgenommen.



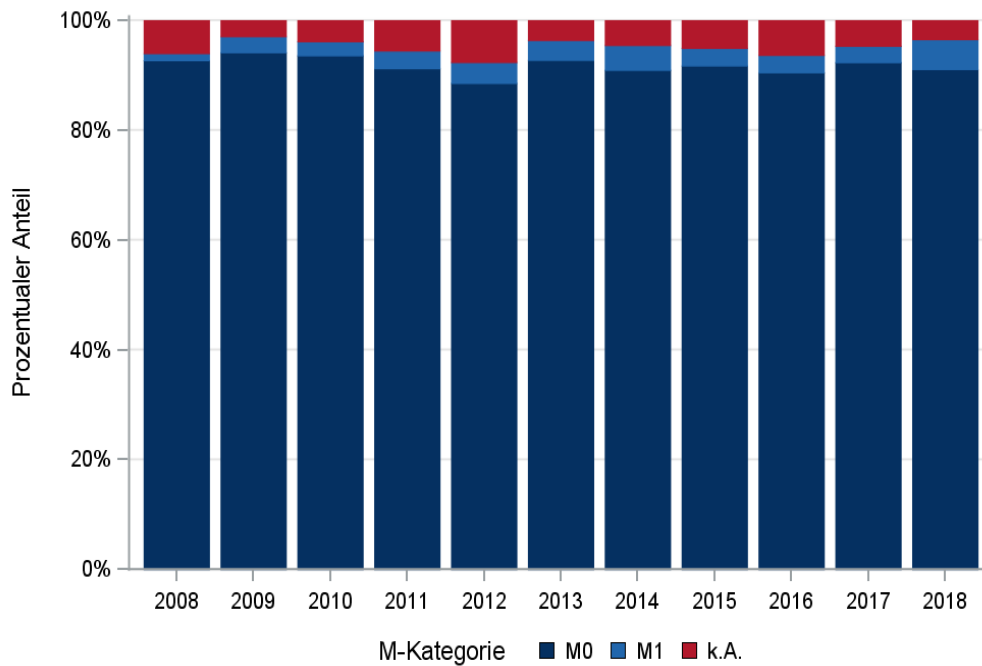
© KKR-MV 2020

Abb. 23.6. C54-C55: Prozentualer Anteil der Neuerkrankungen mit und ohne Befall der regionären Lymphknoten zum Zeitpunkt der Erstdiagnose im Diagnosezeitraum 2008 bis 2018

Tab. 23.10. C54-C55: Absolute Anzahl der Neuerkrankungen mit Fernmetastasierung in Bezug zu der Auflage der TNM-Klassifikation (Behandlungsort)

M-Kategorie	TNM Auflage 6		TNM Auflage 7		TNM Auflage 8		k.A. zur TNM Auflage		Summe	
	Anzahl	%	Anzahl	%	Anzahl	%	Anzahl*	%	Anzahl	%
M0	403	98,1	1503	96,5	376	94,9	-	-	2282	91,8
M1	8	1,9	55	3,5	20	5,1	-	-	83	3,3
k.A.	0	0	0	0	0	0	122	100,0	122	4,9
Summe	411	100,0	1558	100,0	396	100,0	122	100,0	2487	100,0

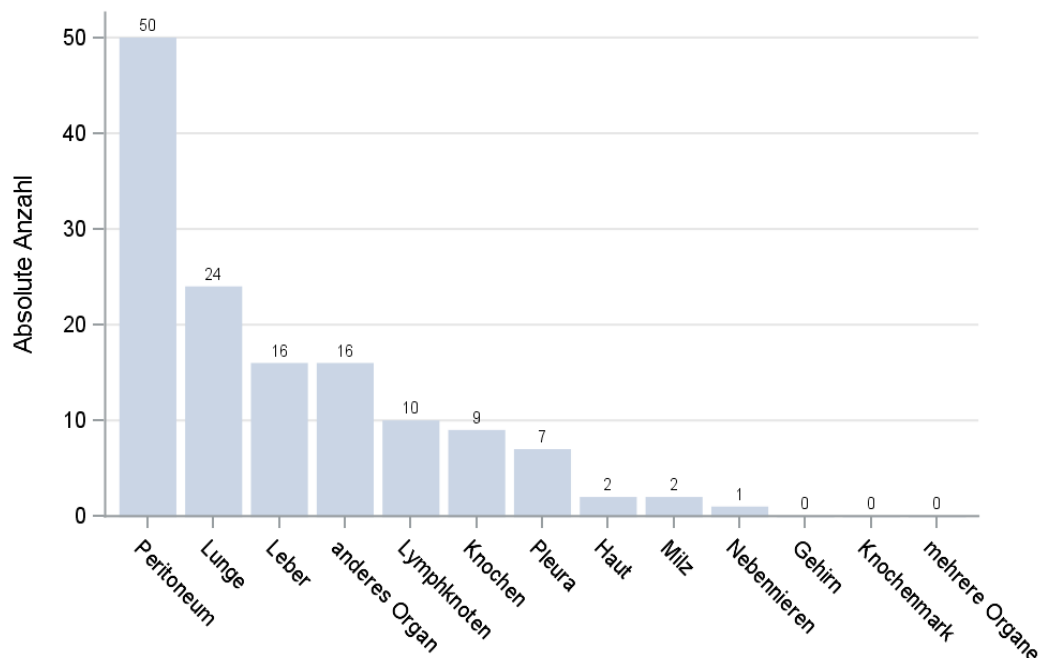
*In einzelnen Fällen wurden Angaben zur M-Kategorie ohne Bezug zu einer TNM Auflage gemacht. Diese Angaben wurden in die Kategorie k.A. aufgenommen.



© KKR-MV 2020

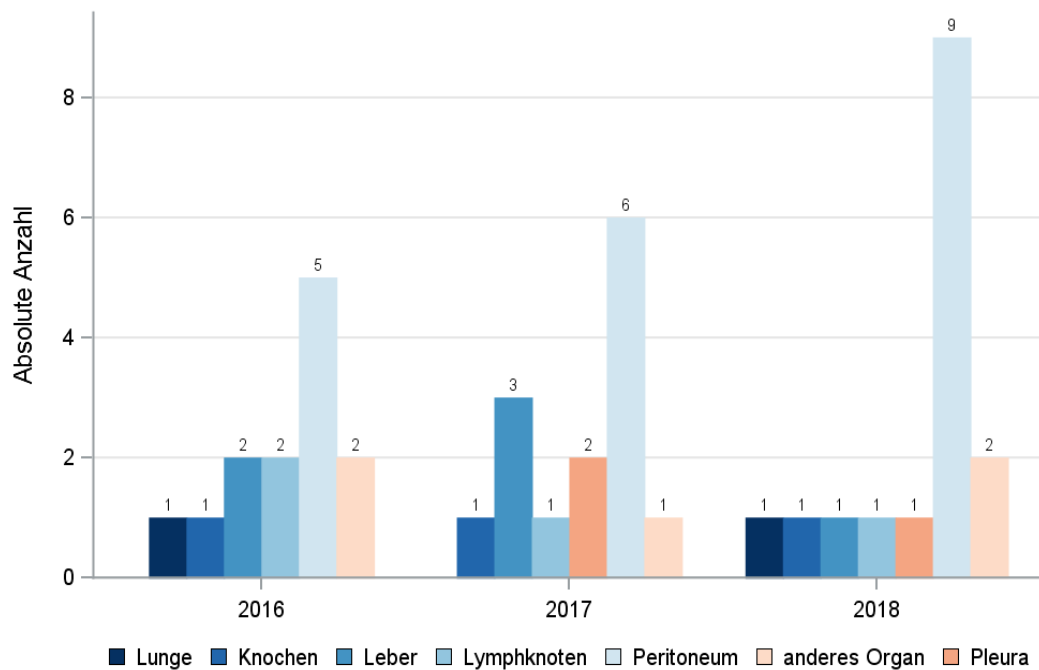
Abb. 23.7. C54-C55: Prozentualer Anteil der primären Fernmetastasierung im Diagnosezeitraum 2008 bis 2018

23.9 Lokalisation der Fernmetastasen



© KKR-MV 2020

Abb. 23.8. C54-C55: Lokalisation der Fernmetastasen bei Neuerkrankungen im Diagnosezeitraum 2008 bis 2018



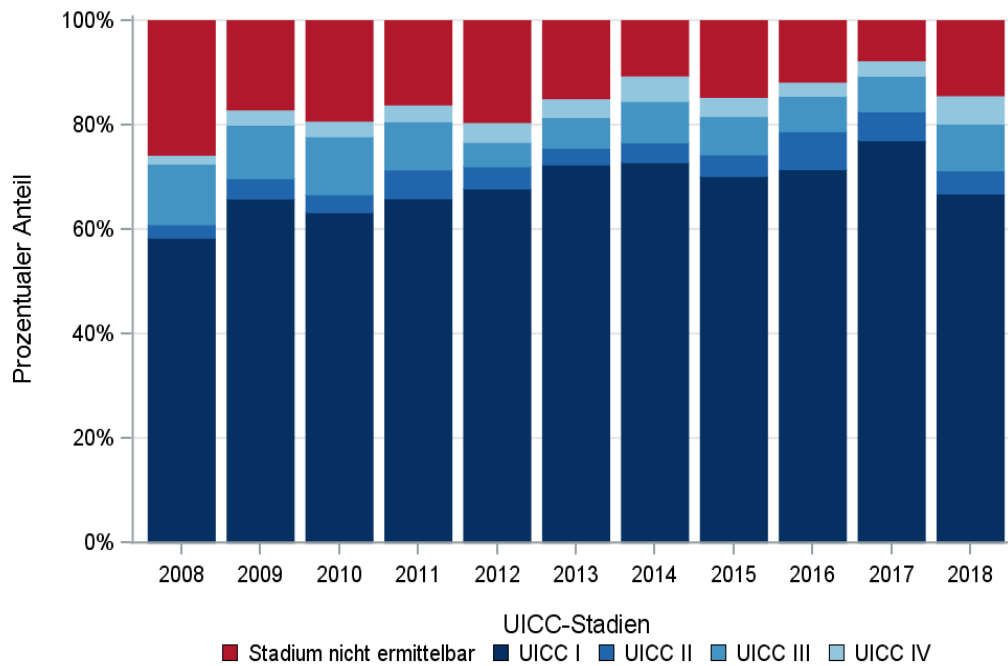
© KKR-MV 2020

Abb. 23.9. C54-C55: Lokalisation der Fernmetastasen bei Neuerkrankungen für die Diagnosejahre 2016 bis 2018

23.10 Tumorstadien nach UICC

Tab. 23.11. C54-C55: Primäre UICC-Stadien (Behandlungsort)

Jahre	UICC I		UICC II		UICC III		UICC IV		Stadium nicht ermittelbar		Summe	
	Anzahl	%	Anzahl	%	Anzahl	%	Anzahl	%	Anzahl	%	Anzahl	%
2008	136	58,4	6	2,6	27	11,6	4	1,7	60	25,8	233	100,0
2009	135	65,9	8	3,9	21	10,2	6	2,9	35	17,1	205	100,0
2010	148	63,2	8	3,4	26	11,1	7	3,0	45	19,2	234	100,0
2011	143	65,9	12	5,5	20	9,2	7	3,2	35	16,1	217	100,0
2012	160	67,8	10	4,2	11	4,7	9	3,8	46	19,5	236	100,0
2013	160	72,4	7	3,2	13	5,9	8	3,6	33	14,9	221	100,0
2014	193	72,8	10	3,8	21	7,9	13	4,9	28	10,6	265	100,0
2015	153	70,2	9	4,1	16	7,3	8	3,7	32	14,7	218	100,0
2016	158	71,5	16	7,2	15	6,8	6	2,7	26	11,8	221	100,0
2017	181	77,0	13	5,5	16	6,8	7	3,0	18	7,7	235	100,0
2018	135	66,8	9	4,5	18	8,9	11	5,4	29	14,4	202	100,0
Summe	1702	68,4	108	4,3	204	8,2	86	3,5	387	15,6	2487	100,0



© KKR-MV 2020

Abb. 23.10. C54-C55: Prozentuale Anteile der UICC-Tumorstadien in den Diagnosejahren 2008 bis 2018

23.11 Dokumentierte Therapie bis max. 12 Monate nach Diagnosestellung

23.11.1 Therapiekombinationen, Stellung der Therapie und Intention der dokumentierten Therapien

Tab. 23.12. C54-C55: Therapiekombinationen (Operation, Strahlentherapie, systemische Therapie) pro Diagnosejahr (Behandlungsort)

Therapiekombinationen	2008	2009	2010	2011	2012	2013	2014	2015	2016	2017	2018	Summe
Alleinige Operation	119	102	130	127	158	149	175	133	140	156	132	1521
Alleinige systemische Therapie	0	1	2	2	0	0	1	1	2	0	2	11
Alleinige Strahlentherapie	13	8	3	4	5	1	4	6	1	0	7	52
Operation und systemische Therapie, keine Strahlentherapie	8	6	6	6	12	7	11	12	10	14	10	102
Operation und Strahlentherapie, keine systemische Therapie	72	76	67	57	43	48	51	44	49	45	26	578
Systemische Therapie und Strahlentherapie, keine Operation	0	0	1	0	0	0	1	1	0	0	0	3
Operation und systemische Therapie und Strahlentherapie	12	8	16	12	7	13	14	16	13	13	8	132
Keine Operation, systemische Therapie oder Strahlentherapie	9	4	9	9	11	3	8	5	6	7	17	88
Summe	233	205	234	217	236	221	265	218	221	235	202	2487

Tab. 23.13. C54-C55: Therapiekombinationen (Operation, Strahlentherapie, systemische Therapie) in Abhängigkeit von dem UICC-Stadium (Behandlungsort)

Therapiekombinationen	UICC I	UICC II	UICC III	UICC IV	Stadium nicht ermittelbar	Summe
Alleinige Operation	1208	36	53	24	200	1521
Alleinige systemische Therapie	0	0	0	4	7	11
Alleinige Strahlentherapie	11	4	4	5	28	52
Operation und systemische Therapie, keine Strahlentherapie	28	5	26	28	15	102
Operation und Strahlentherapie, keine systemische Therapie	402	55	55	5	61	578
Systemische Therapie und Strahlentherapie, keine Operation	0	0	0	1	2	3
Operation und systemische Therapie und Strahlentherapie	43	7	63	9	10	132
Keine Operation, systemische Therapie oder Strahlentherapie	10	1	3	10	64	88
Summe	1702	108	204	86	387	2487

Tab. 23.14a. C54-C55: Stellung der Strahlentherapie zur operativen Therapie im ersten Jahr der Erkrankung (adjuvant/neoadjuvant, Behandlungsort)

Stellung der Strahlentherapie zur operativen Therapie	2008	2009	2010	2011	2012	2013	2014	2015	2016	2017	2018	Summe
Adjuvante (postoperative) Strahlentherapie	45	45	42	40	37	51	49	50	59	56	29	503
Therapie ohne Bezug zu einer operativen Therapie	1	0	4	0	0	1	1	2	3	1	5	18
Neoadjuvante (präoperative) Strahlentherapie	0	0	1	0	0	0	0	0	0	1	0	2
unbekannt	38	39	36	29	13	9	15	8	0	0	0	187
Summe	84	84	83	69	50	61	65	60	62	58	34	710

Tab. 23.14b. C54-C55: Stellung der systemischen Therapie zur operativen Therapie im ersten Jahr der Erkrankung (adjuvant/neoadjuvant, Behandlungsort)

Stellung der systemischen Therapie zur operativen Therapie	2008	2009	2010	2011	2012	2013	2014	2015	2016	2017	2018	Summe
Adjuvante (postoperative) Therapie	17	9	19	15	17	17	22	26	21	25	15	203
Therapie ohne Bezug zu einer operativen Therapie	0	4	1	1	1	3	3	2	2	1	3	21
Neoadjuvante (präoperative) Therapie	0	0	1	0	1	0	0	0	0	1	0	3
unbekannt	3	1	1	2	0	0	0	0	0	0	0	7
Summe	20	14	22	18	19	20	25	28	23	27	18	234

Tab. 23.15a. C54-C55: Intention bei der ersten Operation (Behandlungsort)

Intention der Operation	2008	2009	2010	2011	2012	2013	2014	2015	2016	2017	2018	Summe
Kurativ	189	160	152	151	160	143	182	147	155	191	158	1788
Palliativ bzw. symptomatisch	2	5	7	4	1	7	3	3	0	7	2	41
Sonstige/Unbekannt/Keine Angabe	20	27	60	47	59	67	66	55	57	30	16	504
Summe	211	192	219	202	220	217	251	205	212	228	176	2333

Tab. 23.15b. C54-C55: Intention der initialen Bestrahlung (Behandlungsort)

Intention der Bestrahlung	2008	2009	2010	2011	2012	2013	2014	2015	2016	2017	2018	Summe
Kurativ	44	45	43	39	32	52	50	49	56	58	35	503
Palliativ bzw. symptomatisch	2	3	4	1	3	0	1	6	5	0	4	29
Sonstige/Unbekannt/Keine Angabe	51	44	40	33	20	10	19	12	2	0	2	233
Summe	97	92	87	73	55	62	70	67	63	58	41	765

Tab. 23.15c. C54-C55: Intention bei der ersten systemischen Therapie (Behandlungsort)

Intention der systemischen Therapie	2008	2009	2010	2011	2012	2013	2014	2015	2016	2017	2018	Summe
Kurativ	16	9	19	14	16	15	17	24	17	17	12	176
Palliativ bzw. symptomatisch	1	5	4	5	3	4	7	5	5	9	5	53
Sonstige/Unbekannt/Keine Angabe	3	1	2	1	0	1	3	1	3	1	3	19
Summe	20	15	25	20	19	20	27	30	25	27	20	248

Tab. 23.16. C54-C55: Zeitraum zwischen Diagnose und Beginn der ersten Therapie nach Therapieart (Angaben in Tagen, Behandlungsort)

Therapie	Anzahl	Median	Minimum	Maximum
Diagnose und erste Operation	2333	11	0	365
Diagnose und erste Bestrahlung	765	72	2	352
Diagnose und erste system. Therapie	248	60	0	336

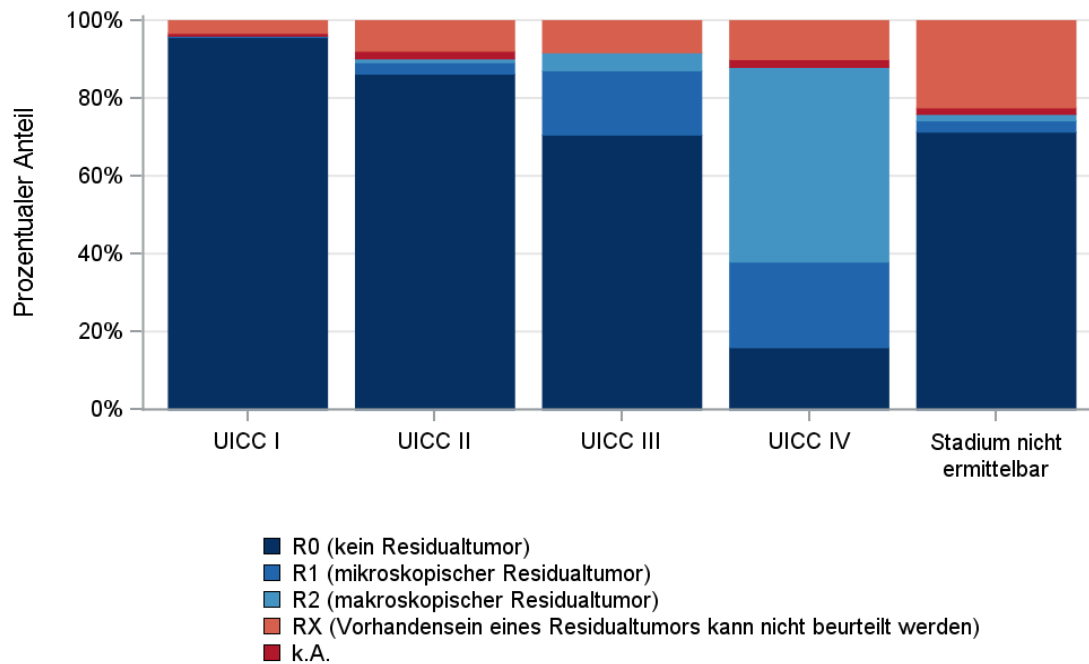
23.11.2 Dokumentierte tumorspezifische Operation bis max.12 Monate nach Diagnosestellung

Tab. 23.17. C54-C55: Dokumentierte tumorspezifische Operation nach UICC (Behandlungsort)

Operationen	UICC I	UICC II	UICC III	UICC IV	Stadium nicht ermittelbar	Summe	
						Anzahl	%
Tumorresektion	1391	82	119	36	224	1852	79,4
Tumor- und Lymphknotenresektion	264	20	75	14	17	390	16,7
Lymphknotenresektion	2	0	1	0	1	4	0,2
sonstige OP	16	0	2	16	37	71	3,0
keine Angabe	8	1	0	0	7	16	0,7
Summe	1681	103	197	66	286	2333	100,0

Tab. 23.18. C54-C55: Residualklassifikation nach Tumorresektion im Diagnosezeitraum 2008-2018

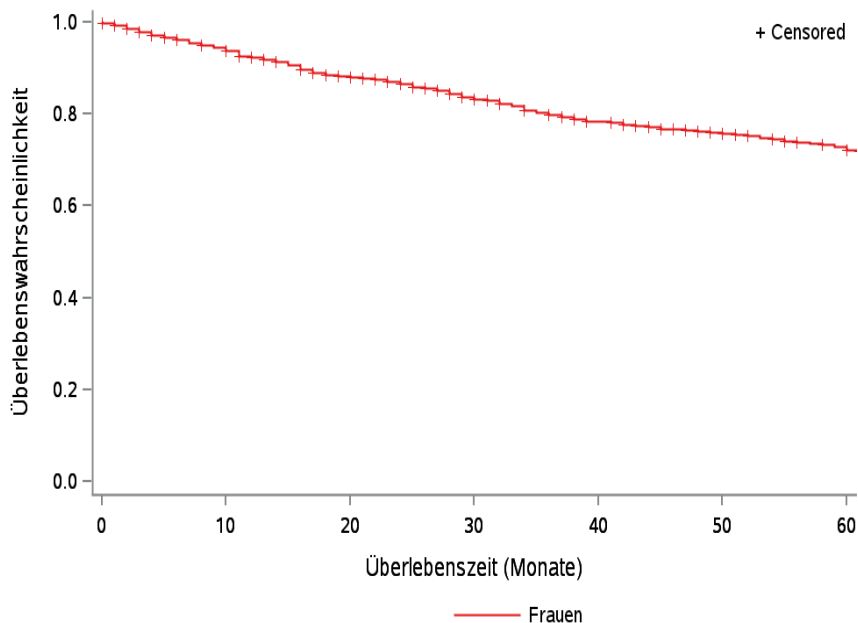
R-Klassifikation	UICC I	UICC II	UICC III	UICC IV	Stadium nicht ermittelbar	Summe	
						Anzahl	%
R0 (kein Residualtumor)	1583	88	137	8	172	1988	88,7
R1 (mikroskopischer Residualtumor)	6	3	32	11	7	59	2,6
R2 (makroskopischer Residualtumor)	0	1	9	25	4	39	1,7
RX (Vorhandensein eines Residualtumors kann nicht beurteilt werden)	54	8	16	5	54	137	6,1
keine Angabe	12	2	0	1	4	19	0,8
Summe	1655	102	194	50	241	2242	100,0



© KKR-MV 2020

Abb.23.11. C54-C55: Residualklassifikation nach Tumorresektion in Abhängigkeit von UICC-Tumorstadium im Diagnosezeitraum 2008 bis 2018

23.12 Überlebensanalysen bei den in den Jahren 2008 – 2013 primär diagnostizierten Patientinnen

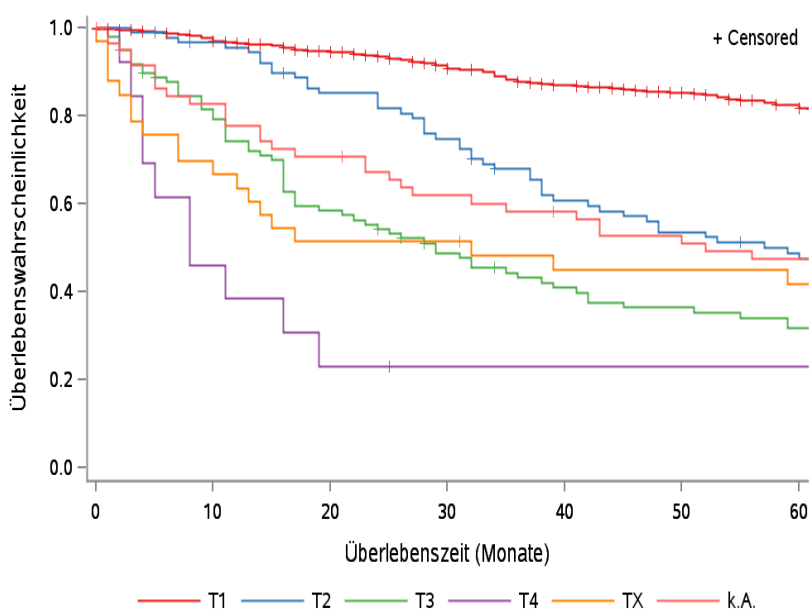


© KKR-MV 2020

Abb.23.12. C54-C55: Wahrscheinlichkeit des Überlebens (Kaplan-Meier-Analyse) nach Geschlecht im Diagnosezeitraum von 2008 bis 2013 (Wohnort). Kaplan-Meier-Kurven werden für Kategorien mit weniger als 10 Neuerkrankungen nicht dargestellt.

Tab. 23.19. C54-C55: Anzahl der unter Risiko stehenden Neuerkrankungen (Monate nach Diagnose)

Geschlecht	0 Monate	20 Monate	40 Monate	60 Monate
Frauen	1309	1071	917	831



© KKR-MV 2020

Abb.23.13. C54-C55: Wahrscheinlichkeit des Überlebens (Kaplan-Meier-Analyse) nach Tumorstadium im Diagnosezeitraum von 2008 bis 2013 (Wohnort). Kaplan-Meier-Kurven werden für Kategorien mit weniger als 10 Neuerkrankungen nicht dargestellt.

Tab. 23.20. C54-C55: Anzahl der unter Risiko stehenden Neuerkrankungen nach Tumorgröße (Monate nach Diagnose)

T-Kategorie	0 Monate	20 Monate	40 Monate	60 Monate
T1	1011	880	782	722
T2	93	74	51	40
T3	99	56	36	28
T4	13	3	2	2
TX	33	17	14	13
k.A.	60	41	32	26

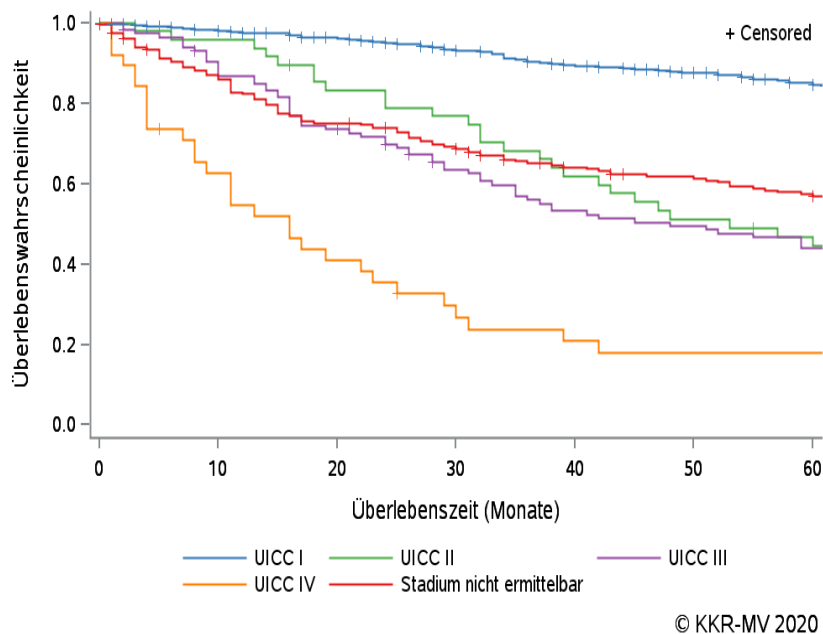
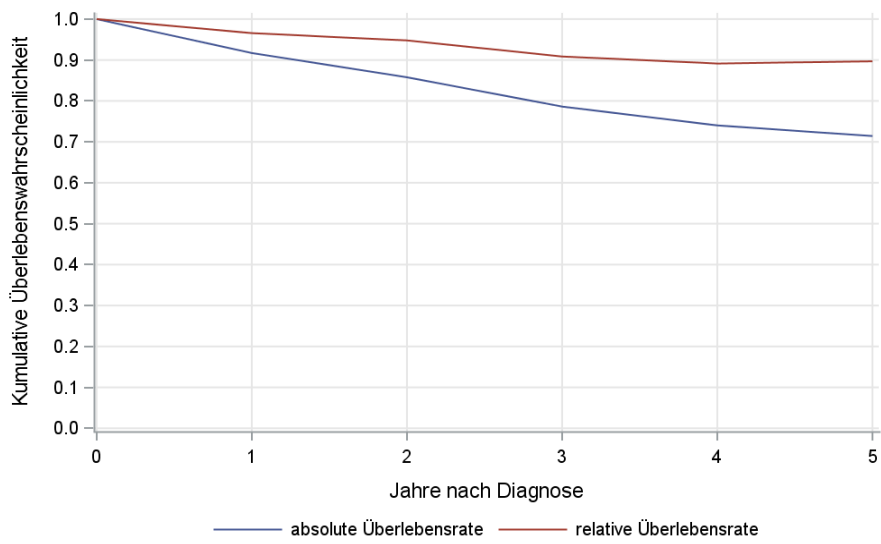


Abb. 23.14. C54-C55: Wahrscheinlichkeit des Überlebens (Kaplan-Meier-Analyse) nach UICC-Tumorstadium im Diagnosezeitraum von 2008 bis 2013 (Wohnort). Kaplan-Meier-Kurven werden für Kategorien mit weniger als 10 Neuerkrankungen nicht dargestellt.

Tab. 23.21. C54-C55: Anzahl der unter Risiko stehenden Neuerkrankungen nach UICC-Stadium (Monate nach Diagnose)

UICC-Stadium	0 Monate	20 Monate	40 Monate	60 Monate
UICC I	862	766	689	638
UICC II	51	39	29	21
UICC III	115	83	57	47
UICC IV	38	15	7	6
Stadium nicht ermittelbar	243	168	135	119

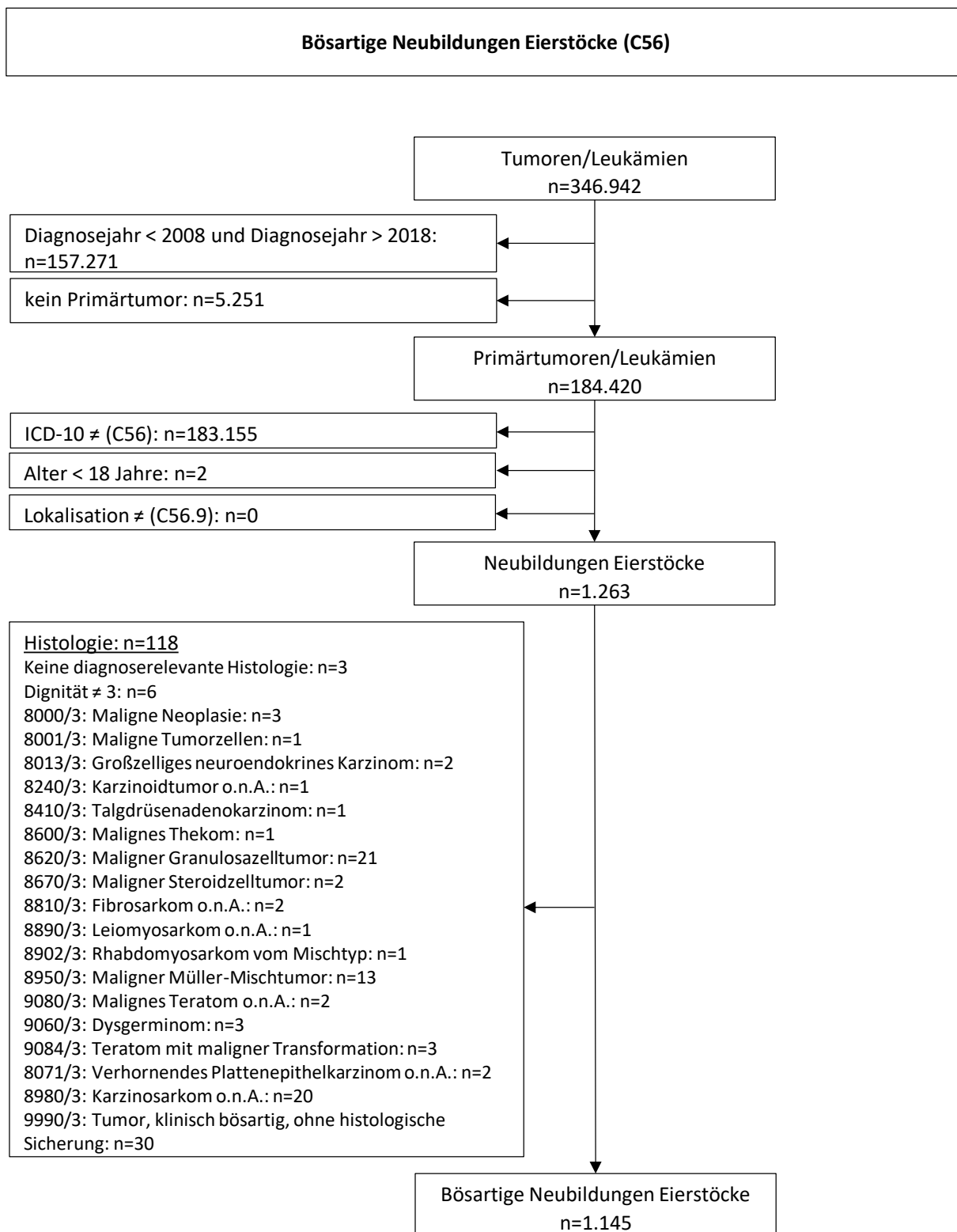


© KKR-MV 2020

Abb. 23.15. C54-C55: Absolutes und relatives Überleben im Diagnosezeitraum 2008 bis 2013 (Wohnort, Alter > 19)

24 Eierstöcke (C56)

24.1 Consort-Statement: Darstellung der Auswertepopulation



*Erläuterungen zu den Ausschlüssen finden Sie im Kapitel 4 (Methode)

24.2 Absolute Anzahl der erfassten Neuerkrankungen in M-V in den Jahren 2008 – 2018 nach Geschlecht (Behandlungsort, Wohnort)

Tab. 24.1. C56: Absolute Anzahl der Neuerkrankungen (Behandlungsort)

Diagnosejahr	Anzahl
2008	111
2009	121
2010	100
2011	109
2012	96
2013	102
2014	114
2015	80
2016	88
2017	109
2018	115
Summe	1145

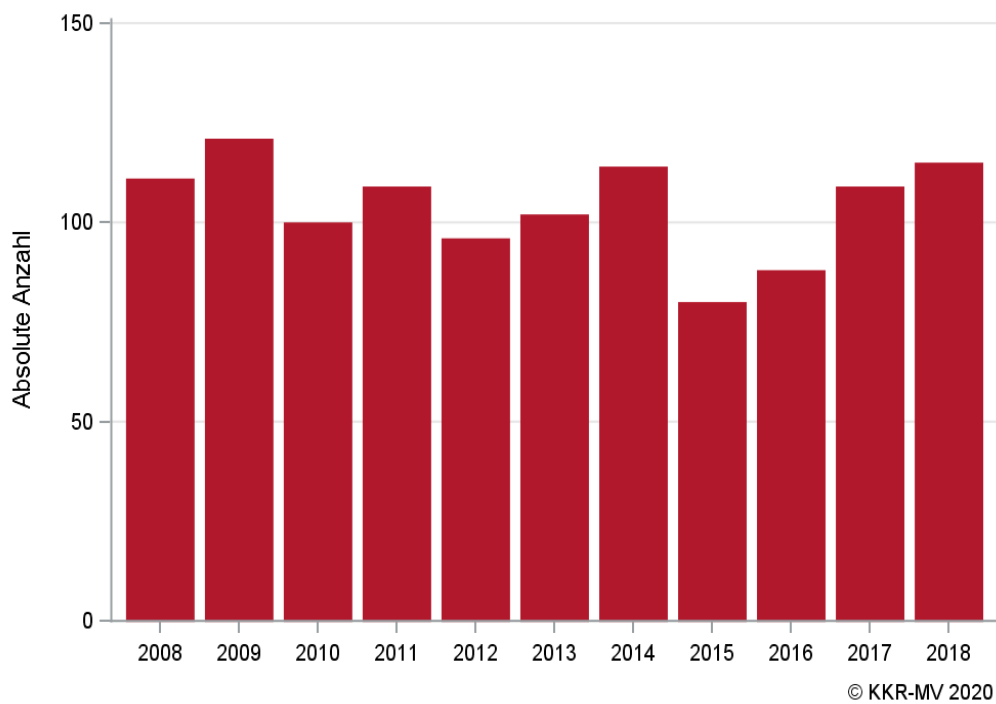


Abb. 24.1. C56: Absolute Anzahl der Neuerkrankungen im Diagnosezeitraum 2008 bis 2018 (Behandlungsort)

Tab. 24.2. C56: Absolute Anzahl der Neuerkrankungen (Wohnort)

Diagnosejahr	Anzahl
2008	107
2009	118
2010	95
2011	95
2012	92
2013	97
2014	111
2015	75
2016	86
2017	104
2018	107
Summe	1087

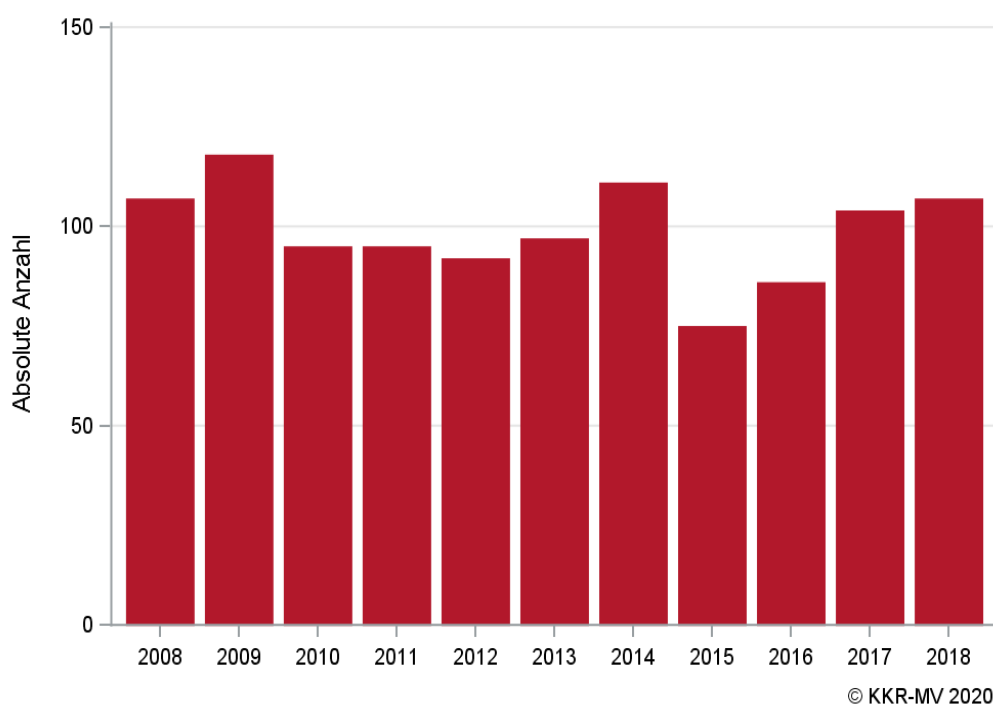


Abb. 24.2. C56: Absolute Anzahl der Neuerkrankungen im Diagnosezeitraum 2008 bis 2018 (Wohnort)

24.3 Absolute Anzahl der erfassten Neuerkrankungen in M-V in den Jahren 2008 – 2018 nach Landkreisen (Wohnort)

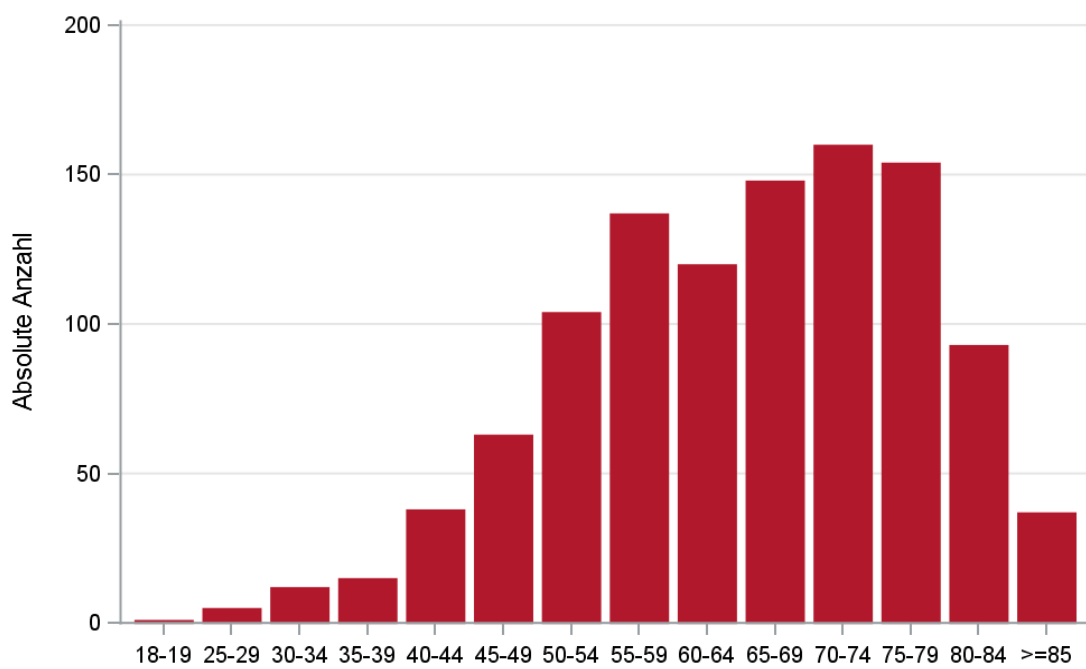
Tab. 24.3. C56: Absolute Anzahl und prozentualer Anteil der Neuerkrankungen nach Landkreisen

Landkreis	2008		2009		2010		2011		2012		2013		2014		2015		2016		2017		2018		Summe	
	Anzahl	%	Anzahl	%	Anzahl	%	Anzahl	%	Anzahl	%	Anzahl	%	Anzahl	%	Anzahl	%	Anzahl	%	Anzahl	%	Anzahl	%	Anzahl	%
Landkreis Rostock	11	10,3	13	11,0	13	13,7	13	13,7	13	14,1	16	16,5	14	12,6	11	14,7	13	15,1	9	8,7	7	6,5	133	12,2
Ludwigslust-Parchim	14	13,1	11	9,3	7	7,4	8	8,4	11	12,0	16	16,5	16	14,4	18	24,0	11	12,8	11	10,6	16	15,0	139	12,8
Mecklenburgische Seenplatte	20	18,7	26	22,0	16	16,8	17	17,9	13	14,1	14	14,4	21	18,9	6	8,0	5	5,8	17	16,3	26	24,3	181	16,7
Nordwestmecklenburg	5	4,7	7	5,9	7	7,4	4	4,2	7	7,6	8	8,2	6	5,4	6	8,0	4	4,7	8	7,7	5	4,7	67	6,2
Rostock	14	13,1	15	12,7	14	14,7	16	16,8	17	18,5	9	9,3	12	10,8	8	10,7	15	17,4	19	18,3	19	17,8	158	14,5
Schwerin	4	3,7	9	7,6	5	5,3	8	8,4	6	6,5	5	5,2	8	7,2	8	10,7	9	10,5	9	8,7	6	5,6	77	7,1
Vorpommern-Greifswald	22	20,6	18	15,3	13	13,7	14	14,7	9	9,8	11	11,3	18	16,2	9	12,0	14	16,3	14	13,5	15	14,0	157	14,4
Vorpommern-Rügen	17	15,9	19	16,1	20	21,1	15	15,8	16	17,4	18	18,6	16	14,4	9	12,0	14	16,3	17	16,3	13	12,1	174	16,0
nicht zuordenbar	0	0	0	0	0	0	0	0	0	0	0	0	0	0	0	0	1	1,2	0	0	0	0	1	0,1
Summe	107	100,0	118	100,0	95	100,0	95	100,0	92	100,0	97	100,0	111	100,0	75	100,0	86	100,0	104	100,0	107	100,0	1087	100,0

24.4 Rohe und standardisierte Neuerkrankungsraten pro 100.000 Einwohner in den Jahren 2008-2018 (Wohnort)

Tab. 24.4. C56: Neuerkrankungsrate/100.000 Einwohner (Alter > 19)

Diagnosejahr	Frauen		
	absolute Anzahl der Neuerkrankungen	rohe Rate in M-V	altersstandardisierte Rate
2008	107	15,0	11,9
2009	118	16,6	12,4
2010	95	13,4	11,0
2011	95	13,6	10,3
2012	92	13,2	10,0
2013	97	14,0	10,4
2014	111	16,1	10,4
2015	75	10,9	7,9
2016	85	12,4	8,8
2017	104	15,2	10,5
2018	107	15,6	11,1
2008-2018	1086	14,2	10,4



© KKR-MV 2020

Abb. 24.3. C56: Absolute Anzahl der Neuerkrankungen aufgelistet in 5-Jahres-Altersgruppen im Diagnosezeitraum 2008 bis 2018 (Wohnort)

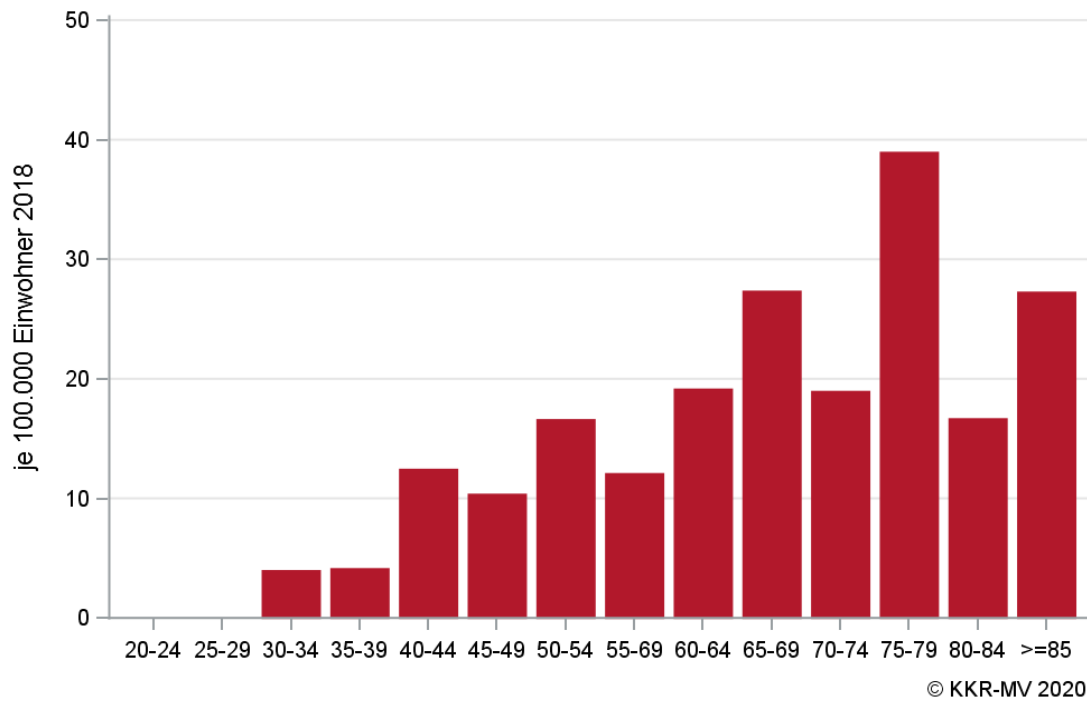


Abb. 24.4. C56: Altersspezifische Rate der Neuerkrankungen je 100.000 Einwohner (Diagnosejahr 2018) nach 5-Jahres-Altersgruppen (Wohnort)

24.5 Alter der in den Jahren 2008 - 2018 in M-V neuerkrankten Patienten (Behandlungsort)

Tab. 24.5. C56: Erkrankungsalter (Behandlungsort)

Diagnosejahr	Frauen			
	Anzahl	Median	Minimum	Maximum
2008	111	64	35	85
2009	121	66	34	87
2010	100	61	31	86
2011	109	67	30	91
2012	96	68	27	88
2013	102	65	26	88
2014	114	70	30	90
2015	80	67	28	89
2016	88	66	18	91
2017	109	66	34	93
2018	115	67	32	90

24.6 Absolute Anzahl der erfassten Neuerkrankungen in M-V in den Jahren 2008 – 2018 nach Lokalisation

Tab. 24.6. C56: Absolute Anzahl und prozentualer Anteil der Neuerkrankungen nach der Lokalisation (Behandlungsort)

Lokalisation	2008	2009	2010	2011	2012	2013	2014	2015	2016	2017	2018	Summe	
												Anzahl	%
C56.9 Ovar	111	121	100	109	96	102	114	80	88	109	115	1145	100,0
Summe	111	121	100	109	96	102	114	80	88	109	115	1145	100,0

24.7 Histologische Befunde bei allen Karzinomen des Ovars (ohne Sarkome, Keimzelltumoren und Keimstrang-Stroma-Tumoren) bei neuerkrankten Patientinnen in M-V in den Jahren 2008 – 2018

Tab. 24.7. C56: Histologische Befunde bei neuerkrankten Patientinnen mit einem Ovarialkarzinom (Behandlungsort)

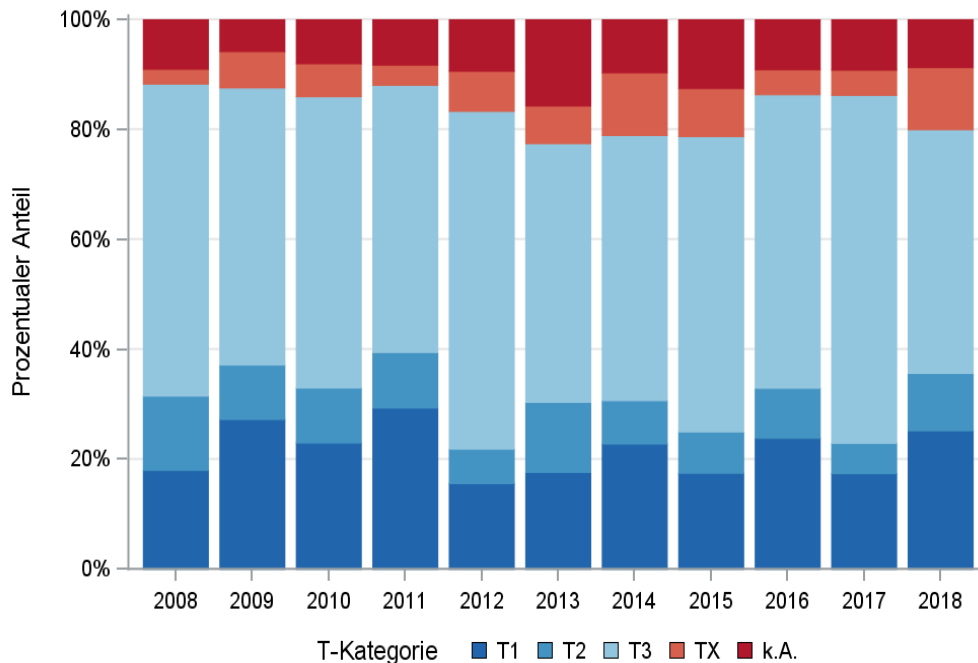
Histologiecode	Anzahl	Prozent
8441/3: Seröses Zystadenokarzinom o.n.A.	323	28,2
8460/3: Seröses papilläres Zystadenokarzinom	155	13,5
8461/3: Seröses papilläres Oberflächenkarzinom	145	12,7
8140/3: Adenokarzinom o.n.A.	140	12,2
8380/3: Endometrioides Adenokarzinom o.n.A.	130	11,4
8310/3: Klarzelliges Adenokarzinom o.n.A.	50	4,4
8480/3: Muzinöses Adenokarzinom	43	3,8
8260/3: Papilläres Adenokarzinom o.n.A.	31	2,7
8323/3: Gemischtzelliges Adenokarzinom	22	1,9
8470/3: Muzinöses Zystadenokarzinom o.n.A.	16	1,4
8481/3: Schleimbildendes Adenokarzinom	5	0,4
8230/3: Solides Karzinom o.n.A.	4	0,4
8450/3: Papilläres Zystadenokarzinom o.n.A.	3	0,3
8120/3: Übergangszellkarzinom o.n.A.	2	0,2
8144/3: Adenokarzinom vom intestinalen Typ	2	0,2
8440/3: Zystadenokarzinom o.n.A.	2	0,2
8570/3: Adenokarzinom mit Plattenepithelmetaplasie	2	0,2
8255/3: Adenokarzinom mit gemischten Subtypen	1	0,1
8263/3: Adenokarzinom in tubulovillösem Adenom	1	0,1
8381/3: Malignes endometrioides Adenofibrom	1	0,1
8471/3: Muzinöses papilläres Zystadenokarzinom	1	0,1
9000/3: Maligner Brenner-Tumor	1	0,1
Adenokarzinome	1080	94,3
8010/3: Karzinom o.n.A.	32	2,8
8020/3: Undifferenziertes Karzinom o.n.A.	14	1,2
8021/3: Anaplastisches Karzinom o.n.A.	1	0,1
8044/3: Kleinzelliges Karzinom vom Intermediärtyp	1	0,1
epitheliale Tumoren o.n.A.	48	4,2
8050/3: Papilläres Karzinom o.n.A.	15	1,3
8070/3: Plattenepithelkarzinom o.n.A.	1	0,1
8071/3: Verhornendes Plattenepithelkarzinom o.n.A.	1	0,1
Plattenepithelkarzinome	17	1,5

24.8 Tumorgröße und Ausdehnung (TNM)

Tab. 24.8. C56: Absolute Anzahl der Neuerkrankungen klassifiziert nach der Tumorgröße in Bezug zu der Auflage der TNM-Klassifikation (Behandlungsort)

Tumorgröße (T)	TNM Auflage 6		TNM Auflage 7		TNM Auflage 8		k.A. zur TNM Auflage		Summe	
	Anzahl	%	Anzahl	%	Anzahl	%	Anzahl*	%	Anzahl	%
T1	48	24,2	154	24,1	48	23,9	-	-	250	21,8
T2	25	12,6	68	10,6	15	7,5	-	-	108	9,4
T3	112	56,6	372	58,2	118	58,7	-	-	602	52,6
TX	12	6,1	45	7,0	20	10,0	-	-	77	6,7
k.A.	1	0,5	0	0	0	0	107	100,0	108	9,4
Summe	198	100,0	639	100,0	201	100,0	107	100,0	1145	100,0

*In einzelnen Fällen wurden Angaben zur Tumorgröße ohne Bezug zu einer TNM Auflage gemacht. Diese Angaben wurden in die Kategorie k.A. aufgenommen.



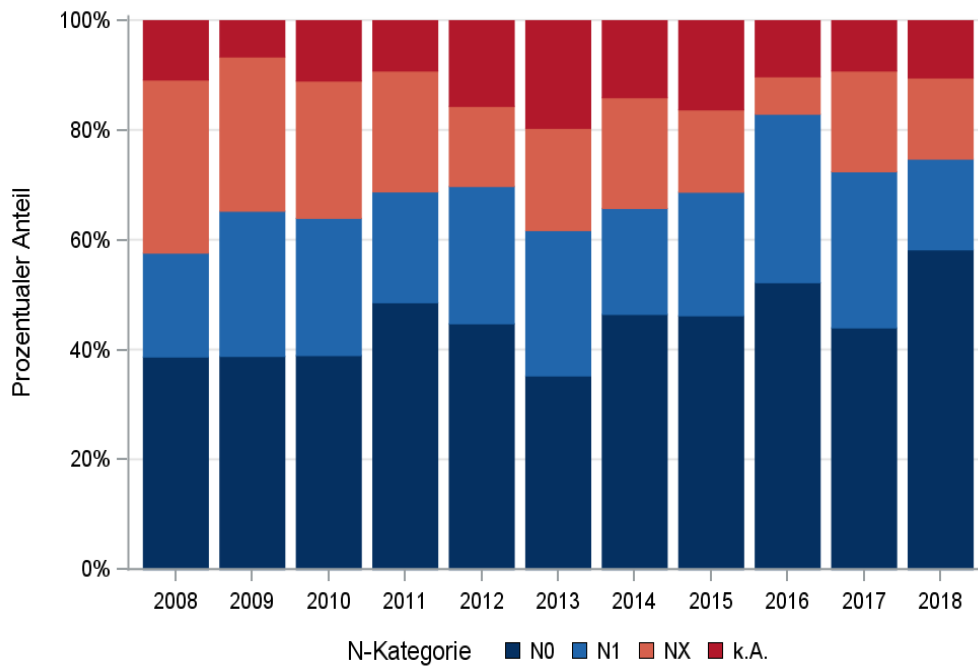
© KKR-MV 2020

Abb. 24.5. C56: Prozentualer Anteil der Neuerkrankungen nach der Tumorgröße im Diagnosezeitraum 2008 bis 2018

Tab. 24.9. C56: Absolute Anzahl der Neuerkrankungen mit bzw. ohne Befall der regionären Lymphknoten in Bezug zu der Auflage der TNM-Klassifikation (Behandlungsort)

N-Kategorie	TNM Auflage 6		TNM Auflage 7		TNM Auflage 8		k.A. zur TNM Auflage		Summe	
	Anzahl	%	Anzahl	%	Anzahl	%	Anzahl*	%	Anzahl	%
N0	81	40,9	321	50,2	110	54,7	-	-	512	44,7
N1	47	23,7	168	26,3	53	26,4	-	-	268	23,4
NX	66	33,3	129	20,2	34	16,9	-	-	229	20,0
k.A.	4	2,0	21	3,3	4	2,0	107	100,0	136	11,9
Summe	198	100,0	639	100,0	201	100,0	107	100,0	1145	100,0

*In einzelnen Fällen wurden Angaben zur N-Kategorie ohne Bezug zu einer TNM Auflage gemacht. Diese Angaben wurden in die Kategorie k.A. aufgenommen.



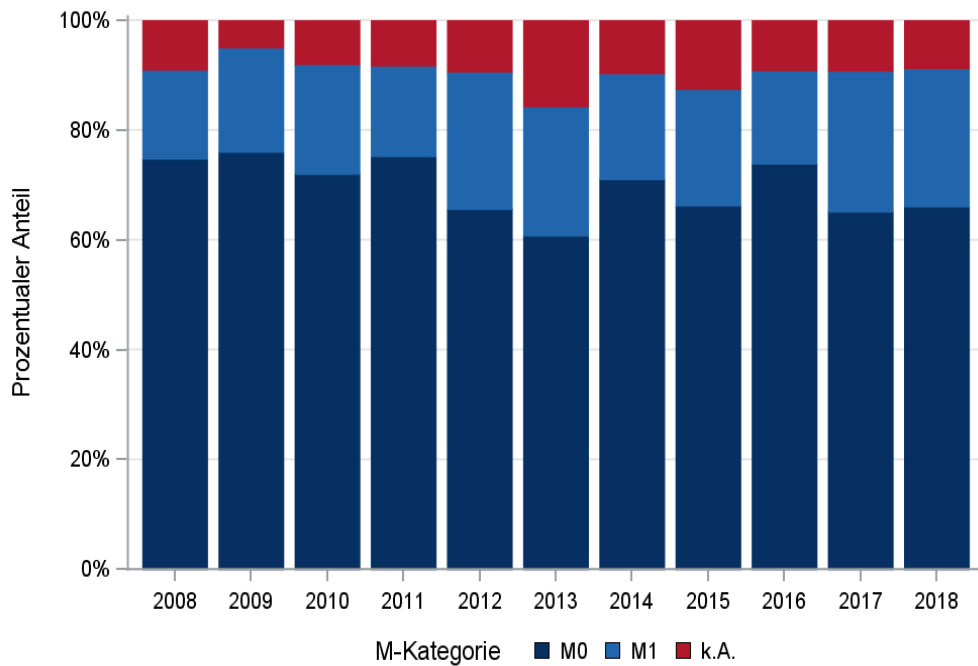
© KKR-MV 2020

Abb. 24.6. C56: Prozentualer Anteil der Neuerkrankungen mit und ohne Befall der regionären Lymphknoten zum Zeitpunkt der Erstdiagnose im Diagnosezeitraum 2008 bis 2018

Tab. 24.10. C56: Absolute Anzahl der Neuerkrankungen mit Fernmetastasierung in Bezug zu der Auflage der TNM-Klassifikation (Behandlungsort)

M-Kategorie	TNM Auflage 6		TNM Auflage 7		TNM Auflage 8		k.A. zur TNM Auflage		Summe	
	Anzahl	%	Anzahl	%	Anzahl	%	Anzahl*	%	Anzahl	%
M0	161	81,3	495	77,5	144	71,6	-	-	800	69,9
M1	37	18,7	144	22,5	57	28,4	-	-	238	20,8
k.A.	0	0	0	0	0	0	107	100,0	107	9,3
Summe	198	100,0	639	100,0	201	100,0	107	100,0	1145	100,0

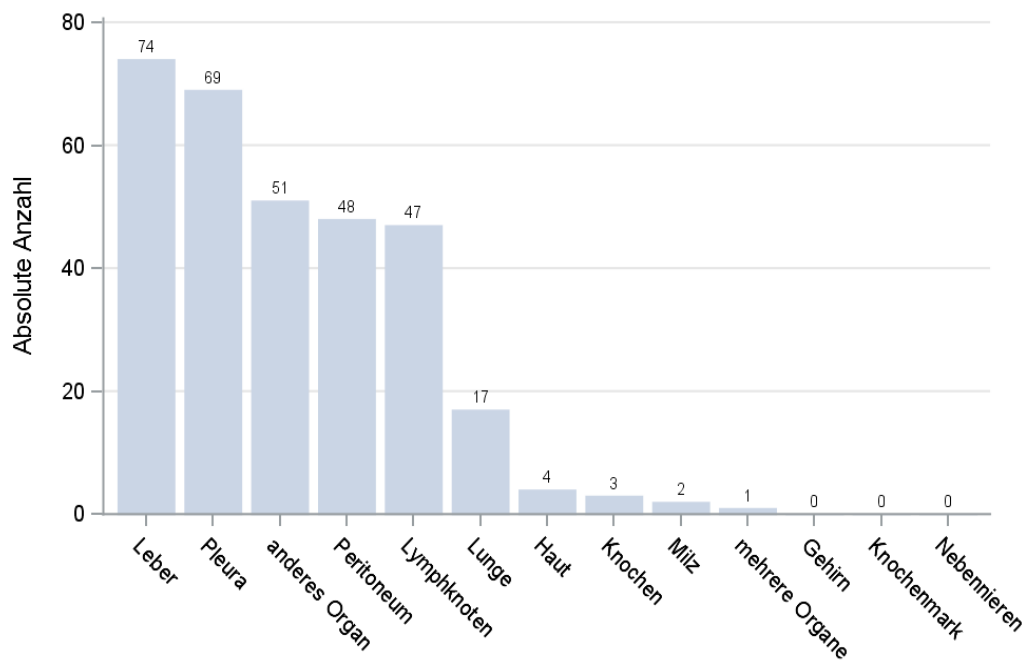
*In einzelnen Fällen wurden Angaben zur M-Kategorie ohne Bezug zu einer TNM Auflage gemacht. Diese Angaben wurden in die Kategorie k.A. aufgenommen.



© KKR-MV 2020

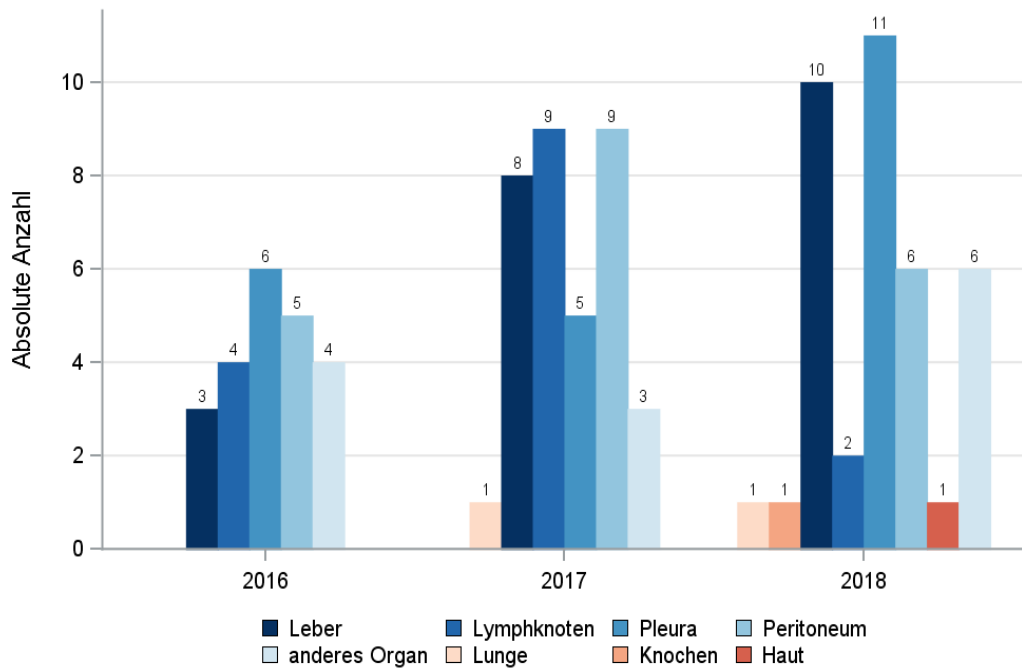
Abb. 24.7. C56: Prozentualer Anteil der primären Fernmetastasierung im Diagnosezeitraum 2008 bis 2018

24.9 Lokalisation der Fernmetastasen



© KKR-MV 2020

Abb. 24.8. C56: Lokalisation der Fernmetastasen bei Neuerkrankungen im Diagnosezeitraum 2008 bis 2018



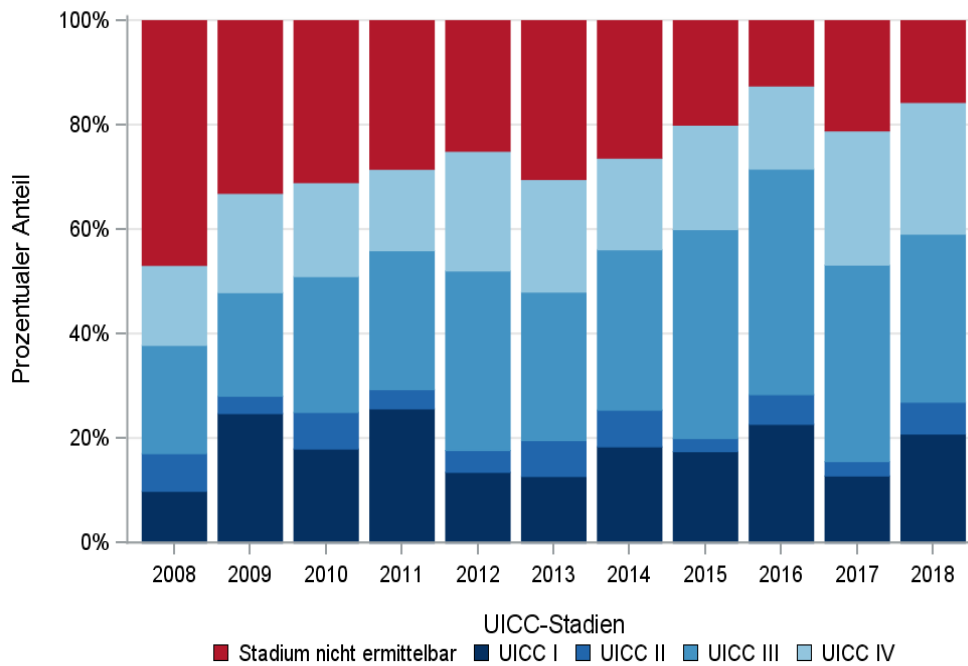
© KKR-MV 2020

Abb.24.9. C56: Lokalisation der Fernmetastasen bei Neuerkrankungen für die Diagnosejahre 2016 bis 2018

24.10 Tumorstadien nach UICC

Tab. 24.11. C56: Primäre UICC-Stadien (Behandlungsort)

Jahre	UICC I		UICC II		UICC III		UICC IV		Stadium nicht ermittelbar		Summe	
	Anzahl	%	Anzahl	%	Anzahl	%	Anzahl	%	Anzahl	%	Anzahl	%
2008	11	9,9	8	7,2	23	20,7	17	15,3	52	46,8	111	100,0
2009	30	24,8	4	3,3	24	19,8	23	19,0	40	33,1	121	100,0
2010	18	18,0	7	7,0	26	26,0	18	18,0	31	31,0	100	100,0
2011	28	25,7	4	3,7	29	26,6	17	15,6	31	28,4	109	100,0
2012	13	13,5	4	4,2	33	34,4	22	22,9	24	25,0	96	100,0
2013	13	12,7	7	6,9	29	28,4	22	21,6	31	30,4	102	100,0
2014	21	18,4	8	7,0	35	30,7	20	17,5	30	26,3	114	100,0
2015	14	17,5	2	2,5	32	40,0	16	20,0	16	20,0	80	100,0
2016	20	22,7	5	5,7	38	43,2	14	15,9	11	12,5	88	100,0
2017	14	12,8	3	2,8	41	37,6	28	25,7	23	21,1	109	100,0
2018	24	20,9	7	6,1	37	32,2	29	25,2	18	15,7	115	100,0
Summe	206	18,0	59	5,2	347	30,3	226	19,7	307	26,8	1145	100,0



© KKR-MV 2020

Abb. 24.10. C56: Prozentuale Anteile der UICC-Tumorstadien in den Diagnosejahren 2008 bis 2018

24.11 Dokumentierte Therapie bis max. 12 Monate nach Diagnosestellung

24.11.1 Therapiekombinationen, Stellung der Therapie und Intention der dokumentierten Therapien

Tab. 24.12. C56: Therapiekombinationen (Operation, Strahlentherapie, systemische Therapie) pro Diagnosejahr (Behandlungsort)

Therapiekombinationen	2008	2009	2010	2011	2012	2013	2014	2015	2016	2017	2018	Summe
Alleinige Operation	29	33	23	28	19	22	29	13	21	25	31	273
Alleinige systemische Therapie	4	3	3	3	7	12	14	12	7	10	8	83
Alleinige Strahlentherapie	1	0	0	0	0	0	0	0	0	0	0	1
Operation und systemische Therapie, keine Strahlentherapie	65	72	67	74	63	62	59	43	52	68	59	684
Operation und Strahlentherapie, keine systemische Therapie	1	0	0	0	0	0	0	0	0	0	1	2
Operation und systemische Therapie und Strahlentherapie	2	0	0	0	0	0	1	2	0	0	1	6
Keine Operation, systemische Therapie oder Strahlentherapie	9	13	7	4	7	6	11	10	8	6	15	96
Summe	111	121	100	109	96	102	114	80	88	109	115	1145

Tab. 24.13. C56: Therapiekombinationen (Operation, Strahlentherapie, systemische Therapie) in Abhängigkeit von dem UICC-Stadium (Behandlungsort)

Therapiekombinationen	UICC I	UICC II	UICC III	UICC IV	Stadium nicht ermittelbar	Summe
Alleinige Operation	92	19	57	30	75	273
Alleinige systemische Therapie	0	0	13	23	47	83
Alleinige Strahlentherapie	0	0	0	0	1	1
Operation und systemische Therapie, keine Strahlentherapie	110	39	267	135	133	684
Operation und Strahlentherapie, keine systemische Therapie	1	0	0	0	1	2
Operation und systemische Therapie und Strahlentherapie	0	0	2	1	3	6
Keine Operation, systemische Therapie oder Strahlentherapie	3	1	8	37	47	96
Summe	206	59	347	226	307	1145

Tab. 24.14. C56: Stellung der systemischen Therapie zur operativen Therapie im ersten Jahr der Erkrankung (adjuvant/neoadjuvant, Behandlungsort)

Stellung der systemischen Therapie zur operativen Therapie	2008	2009	2010	2011	2012	2013	2014	2015	2016	2017	2018	Summe
Adjuvante (postoperative) Therapie	53	60	59	66	52	53	50	40	46	56	46	581
Neoadjuvante (präoperative) Therapie	0	1	1	2	3	7	6	2	3	10	10	45
Therapie ohne Bezug zu einer operativen Therapie	4	3	3	1	6	0	2	2	2	1	3	27
Intraoperative Therapie	3	1	1	1	0	0	1	1	0	0	0	8
unbekannt	7	7	3	4	2	2	1	0	1	1	1	29
Summe	67	72	67	74	63	62	60	45	52	68	60	690

Tab. 24.15a. C56: Intention bei der ersten Operation (Behandlungsort)

Intention der Operation	2008	2009	2010	2011	2012	2013	2014	2015	2016	2017	2018	Summe
Kurativ	62	58	46	57	40	54	57	37	47	68	66	592
Palliativ bzw. symptomatisch	24	23	23	27	27	20	18	13	16	19	15	225
Sonstige/Unbekannt/Keine Angabe	11	24	21	18	15	10	14	8	10	6	11	148
Summe	97	105	90	102	82	84	89	58	73	93	92	965

Tab. 24.15b. C56: Intention bei der ersten systemischen Therapie (Behandlungsort)

Intention der systemischen Therapie	2008	2009	2010	2011	2012	2013	2014	2015	2016	2017	2018	Summe
Kurativ	40	48	39	46	39	36	39	33	36	45	47	448
Palliativ bzw. symptomatisch	20	15	22	21	23	30	33	18	18	25	17	242
Sonstige/Unbekannt/Keine Angabe	11	12	9	10	8	8	2	6	5	8	4	83
Summe	71	75	70	77	70	74	74	57	59	78	68	773

Tab. 24.16. C56: Zeitraum zwischen Diagnose und Beginn der ersten Therapie nach Therapieart (Angaben in Tagen, Behandlungsort)

Therapie	Anzahl	Median	Minimum	Maximum
Diagnose und erste Operation	965	0	0	365
Diagnose und erste system. Therapie	773	42	0	343

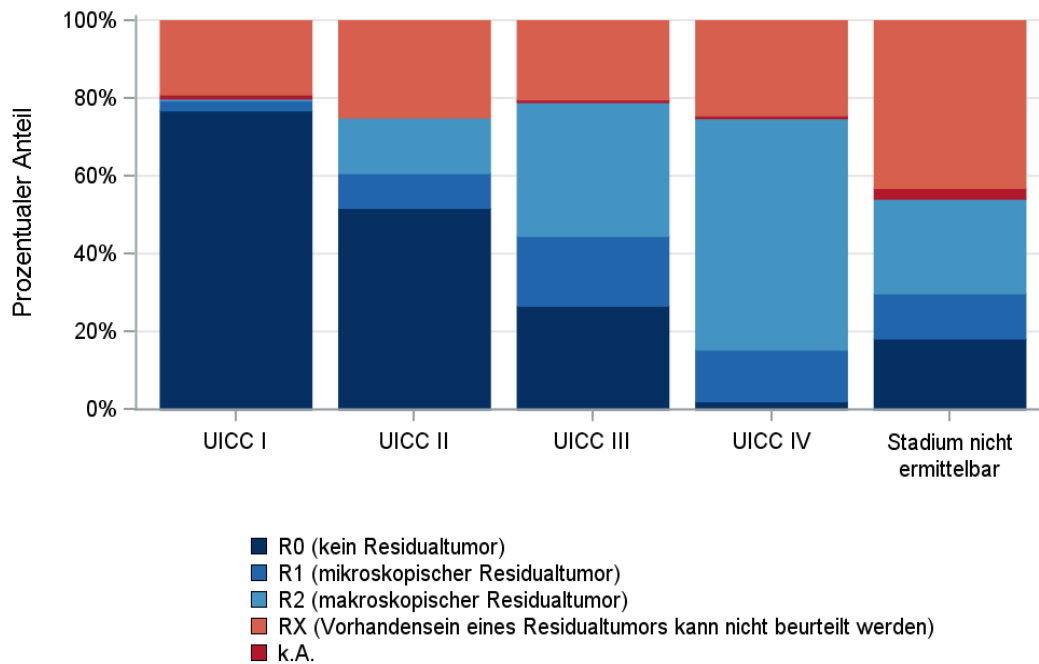
24.11.2 Dokumentierte tumorspezifische Operation bis max.12 Monate nach Diagnosestellung

Tab. 24.17. C56: Dokumentierte tumorspezifische Operation nach UICC (Behandlungsort)

Operationen	UICC I	UICC II	UICC III	UICC IV	Stadium nicht ermittelbar	Summe	
						Anzahl	%
Tumorresektion	123	39	189	108	154	613	63,5
Tumor- und Lymphknotenresektion	71	17	96	35	27	246	25,5
Lymphknotenresektion	3	0	5	2	1	11	1,1
sonstige OP	5	2	31	20	25	83	8,6
keine Angabe	1	0	5	1	5	12	1,2
Summe	203	58	326	166	212	965	100,0

Tab. 24.18. C56: Residualklassifikation nach Tumorresektion im Diagnosezeitraum 2008-2018

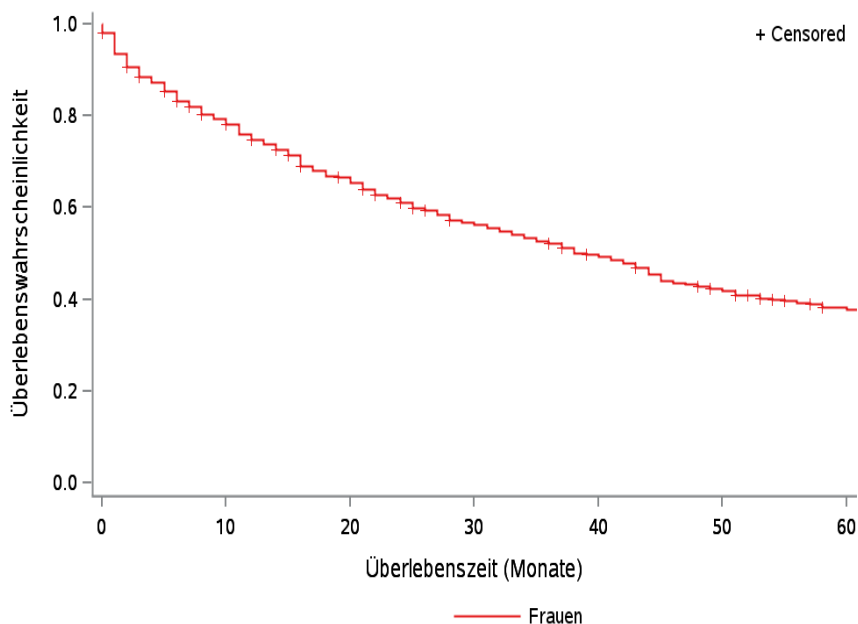
R-Klassifikation	UICC I	UICC II	UICC III	UICC IV	Stadium nicht ermittelbar	Summe	
						Anzahl	%
R0 (kein Residualtumor)	149	29	76	3	33	290	33,8
R1 (mikroskopischer Residualtumor)	5	5	51	19	21	101	11,8
R2 (makroskopischer Residualtumor)	1	8	98	85	44	236	27,5
RX (Vorhandensein eines Residualtumors kann nicht beurteilt werden)	37	14	58	35	78	222	25,8
keine Angabe	2	0	2	1	5	10	1,2
Summe	194	56	285	143	181	859	100,0



© KKR-MV 2020

Abb.24.11. C56: Residualklassifikation nach Tumorresektion in Abhängigkeit von UICC-Tumorstadium im Diagnosezeitraum 2008 bis 2018

24.12 Überlebensanalysen bei den in den Jahren 2008 – 2013 primär diagnostizierten Patientinnen

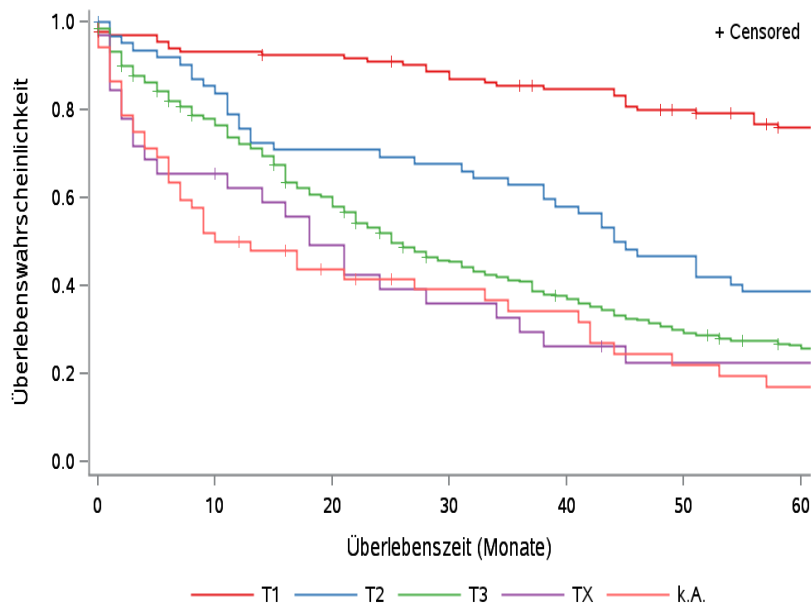


© KKR-MV 2020

Abb.24.12. C56: Wahrscheinlichkeit des Überlebens (Kaplan-Meier-Analyse) nach Geschlecht im Diagnosezeitraum von 2008 bis 2013 (Wohnort). Kaplan-Meier-Kurven werden für Kategorien mit weniger als 10 Neuerkrankungen nicht dargestellt.

Tab. 24.19. C56: Anzahl der unter Risiko stehenden Neuerkrankungen (Monate nach Diagnose)

Geschlecht	0 Monate	20 Monate	40 Monate	60 Monate
Frauen	602	382	274	199

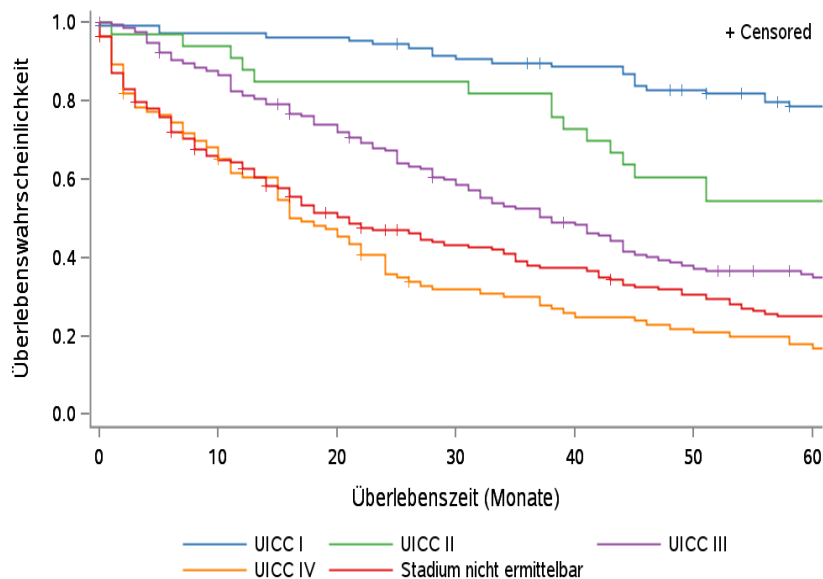


© KKR-MV 2020

Abb.24.13. C56: Wahrscheinlichkeit des Überlebens (Kaplan-Meier-Analyse) nach Tumorgöße im Diagnosezeitraum von 2008 bis 2013 (Wohnort). Kaplan-Meier-Kurven werden für Kategorien mit weniger als 10 Neuerkrankungen nicht dargestellt.

Tab. 24.20. C56: Anzahl der unter Risiko stehenden Neuerkrankungen nach Tumorgöße (Monate nach Diagnose)

T-Kategorie	0 Monate	20 Monate	40 Monate	60 Monate
T1	136	121	108	91
T2	63	44	36	24
T3	319	182	108	71
TX	32	15	8	6
k.A.	52	20	14	7

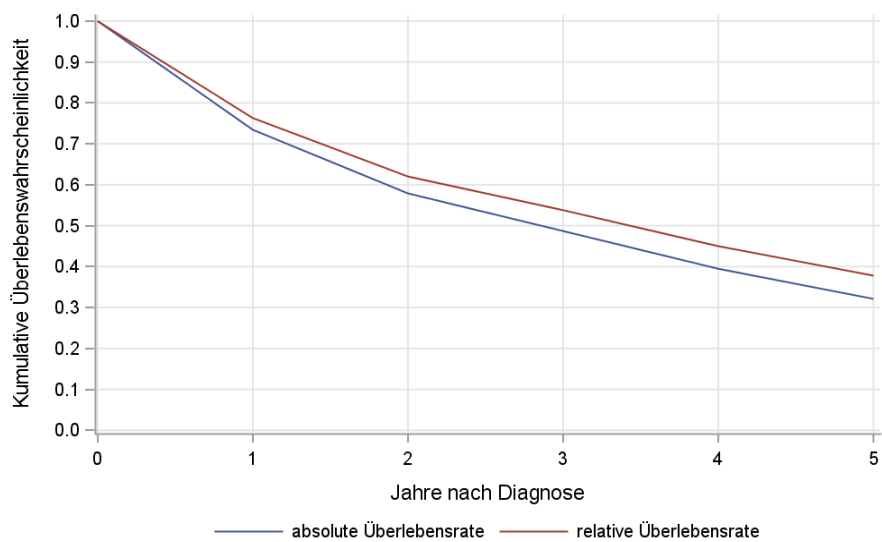


© KKR-MV 2020

Abb.24.14. C56: Wahrscheinlichkeit des Überlebens (Kaplan-Meier-Analyse) nach UICC-Tumorstadium im Diagnosezeitraum von 2008 bis 2013 (Wohnort). Kaplan-Meier-Kurven werden für Kategorien mit weniger als 10 Neuerkrankungen nicht dargestellt.

Tab. 24.21. C56: Anzahl der unter Risiko stehenden Neuerkrankungen nach UICC-Stadium (Monate nach Diagnose)

UICC-Stadium	0 Monate	20 Monate	40 Monate	60 Monate
UICC I	109	102	91	75
UICC II	33	28	24	18
UICC III	158	112	71	47
UICC IV	112	50	26	18
Stadium nicht ermittelbar	190	90	62	41

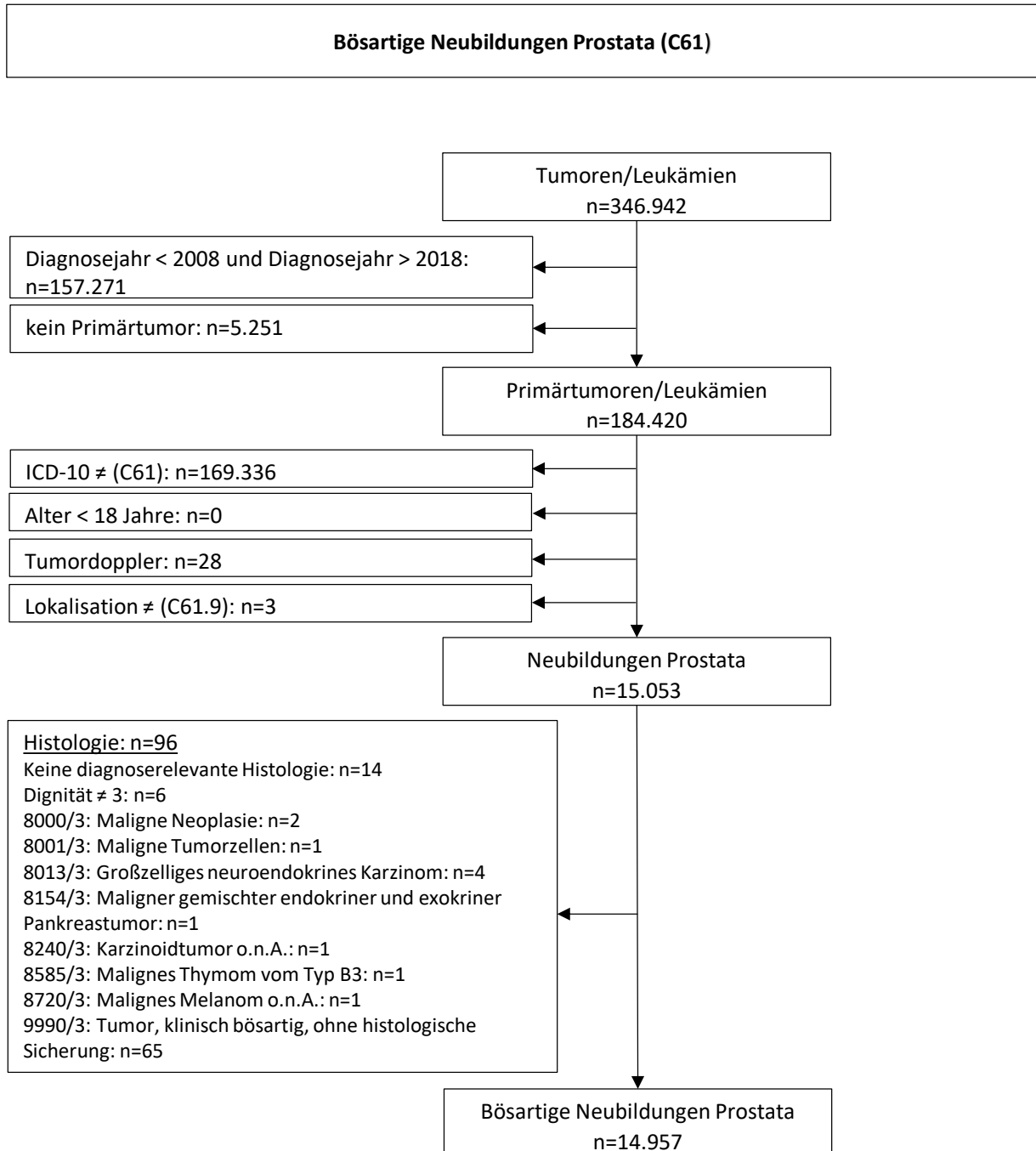


© KKR-MV 2020

Abb. 24.15. C56: Absolutes und relatives Überleben im Diagnosezeitraum 2008 bis 2013 (Wohnort, Alter > 19)

25 Prostata (C61)

25.1 Consort-Statement: Darstellung der Auswertepopulation



*Erläuterungen zu den Ausschlüssen finden Sie im Kapitel 4 (Methode)

25.2 Absolute Anzahl der erfassten Neuerkrankungen in M-V in den Jahren 2008 – 2018 nach Geschlecht (Behandlungsort, Wohnort)

Tab. 25.1. C61: Absolute Anzahl der Neuerkrankungen (Behandlungsort)

Diagnosejahr	Anzahl
2008	1355
2009	1487
2010	1679
2011	1390
2012	1284
2013	1226
2014	1248
2015	1137
2016	1161
2017	1528
2018	1462
Summe	14957

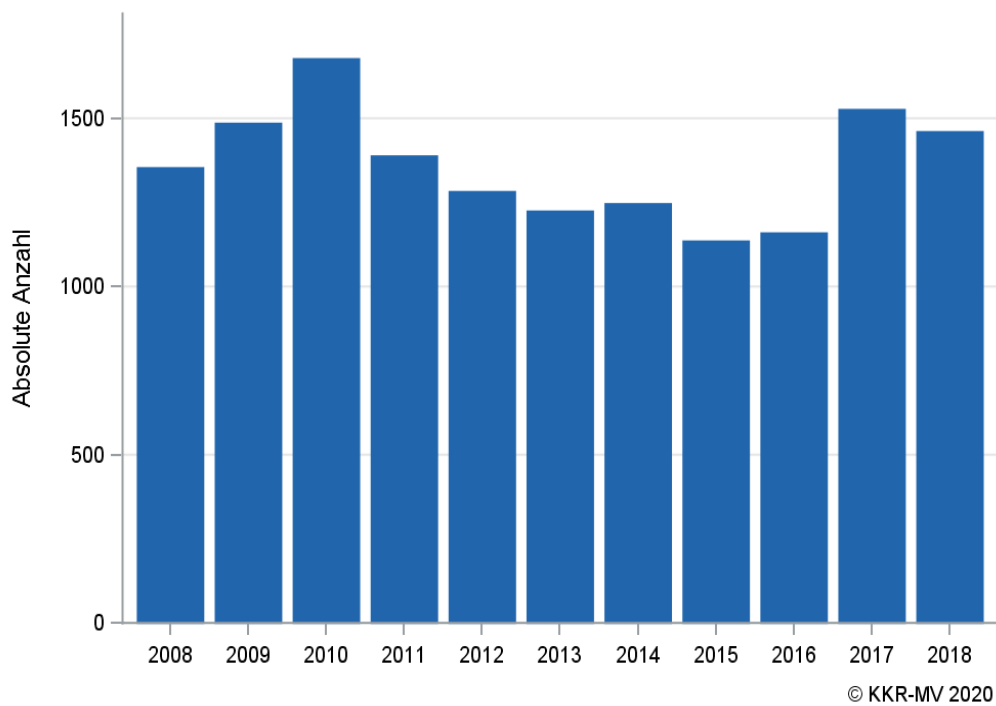
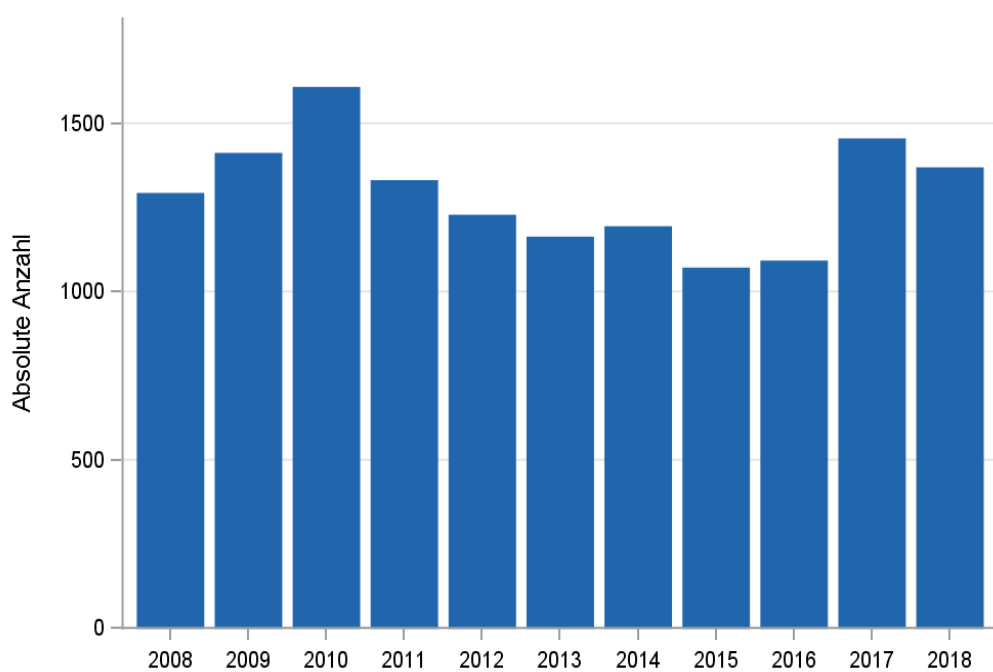


Abb. 25.1. C61: Absolute Anzahl der Neuerkrankungen im Diagnosezeitraum 2008 bis 2018 (Behandlungsort)

Tab. 25.2. C61: Absolute Anzahl der Neuerkrankungen (Wohnort)

Diagnosejahr	Anzahl
2008	1293
2009	1412
2010	1608
2011	1331
2012	1228
2013	1163
2014	1194
2015	1071
2016	1092
2017	1455
2018	1369
Summe	14216



© KKR-MV 2020

Abb. 25.2. C61: Absolute Anzahl der Neuerkrankungen im Diagnosezeitraum 2008 bis 2018 (Wohnort)

25.3 Absolute Anzahl der erfassten Neuerkrankungen in M-V in den Jahren 2008 – 2018 nach Landkreisen (Wohnort)

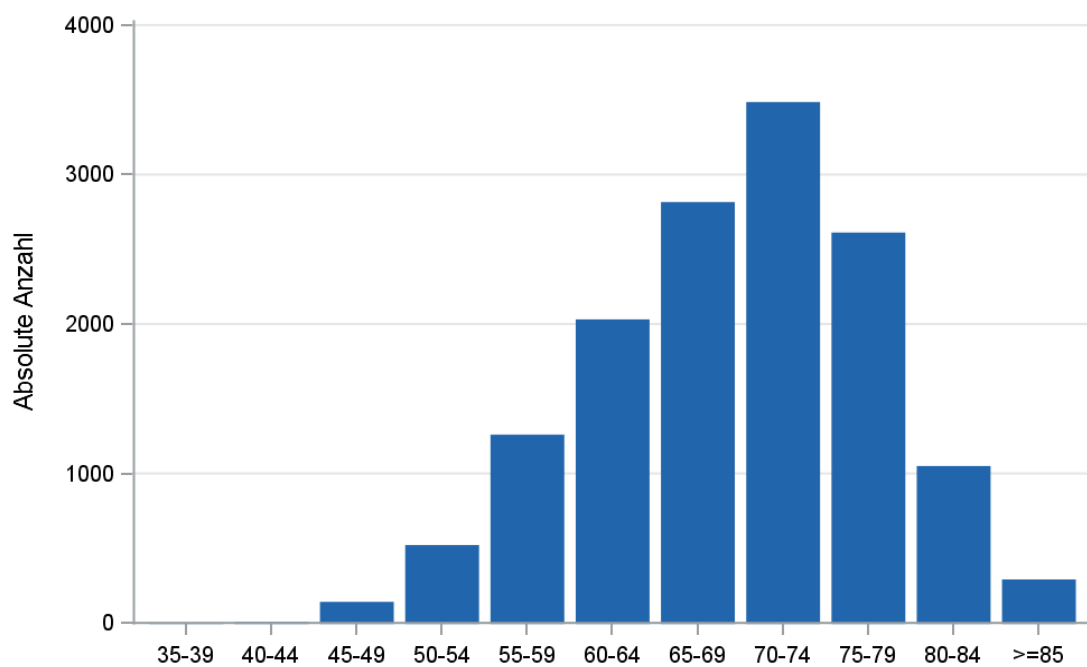
Tab. 25.3. C61: Absolute Anzahl und prozentualer Anteil der Neuerkrankungen nach Landkreisen

Landkreis	2008		2009		2010		2011		2012		2013		2014		2015		2016		2017		2018		Summe	
	Anzahl	%	Anzahl	%	Anzahl	%	Anzahl	%	Anzahl	%	Anzahl	%	Anzahl	%	Anzahl	%	Anzahl	%	Anzahl	%	Anzahl	%	Anzahl	%
Landkreis Rostock	190	14,7	184	13,0	219	13,6	162	12,2	162	13,2	170	14,6	163	13,7	155	14,5	193	17,7	200	13,7	231	16,9	2029	14,3
Ludwigslust-Parchim	153	11,8	165	11,7	195	12,1	165	12,4	179	14,6	140	12,0	167	14,0	170	15,9	113	10,3	204	14,0	169	12,3	1820	12,8
Mecklenburgische Seenplatte	228	17,6	241	17,1	267	16,6	229	17,2	202	16,4	199	17,1	175	14,7	51	4,8	59	5,4	194	13,3	237	17,3	2082	14,6
Nordwestmecklenburg	81	6,3	64	4,5	78	4,9	73	5,5	73	5,9	101	8,7	101	8,5	100	9,3	120	11,0	103	7,1	79	5,8	973	6,8
Rostock	203	15,7	204	14,4	265	16,5	171	12,8	153	12,5	141	12,1	149	12,5	151	14,1	149	13,6	193	13,3	180	13,1	1959	13,8
Schwerin	68	5,3	69	4,9	117	7,3	84	6,3	56	4,6	65	5,6	74	6,2	86	8,0	70	6,4	84	5,8	66	4,8	839	5,9
Vorpommern-Greifswald	166	12,8	236	16,7	191	11,9	198	14,9	212	17,3	173	14,9	189	15,8	193	18,0	169	15,5	256	17,6	234	17,1	2217	15,6
Vorpommern-Rügen	196	15,2	244	17,3	274	17,0	248	18,6	188	15,3	172	14,8	173	14,5	161	15,0	217	19,9	217	14,9	172	12,6	2262	15,9
nicht zuordenbar	8	0,6	5	0,4	2	0,1	1	0,1	3	0,2	2	0,2	3	0,3	4	0,4	2	0,2	4	0,3	1	0,1	35	0,2
Summe	1293	100,0	1412	100,0	1608	100,0	1331	100,0	1228	100,0	1163	100,0	1194	100,0	1071	100,0	1092	100,0	1455	100,0	1369	100,0	14216	100,0

25.4 Rohe und standardisierte Neuerkrankungsraten pro 100.000 Einwohner in den Jahren 2008-2018 (Wohnort)

Tab. 25.4. C61: Neuerkrankungsrate/100.000 Einwohner (Alter > 19)

Diagnosejahr	Männer		
	absolute Anzahl der Neuerkrankungen	rohe Rate in M-V	altersstandardisierte Rate
2008	1293	186,7	151,7
2009	1412	204,3	160,1
2010	1608	233,0	178,5
2011	1331	198,3	146,9
2012	1228	184,2	135,0
2013	1163	175,5	124,1
2014	1194	180,9	125,0
2015	1071	162,0	111,0
2016	1092	165,2	112,1
2017	1455	221,2	146,1
2018	1369	208,8	136,3
2008-2018	14216	192,8	138,8



© KKR-MV 2020

Abb. 25.3. C61: Absolute Anzahl der Neuerkrankungen aufgelistet in 5-Jahres-Altersgruppen im Diagnosezeitraum 2008 bis 2018 (Wohnort)

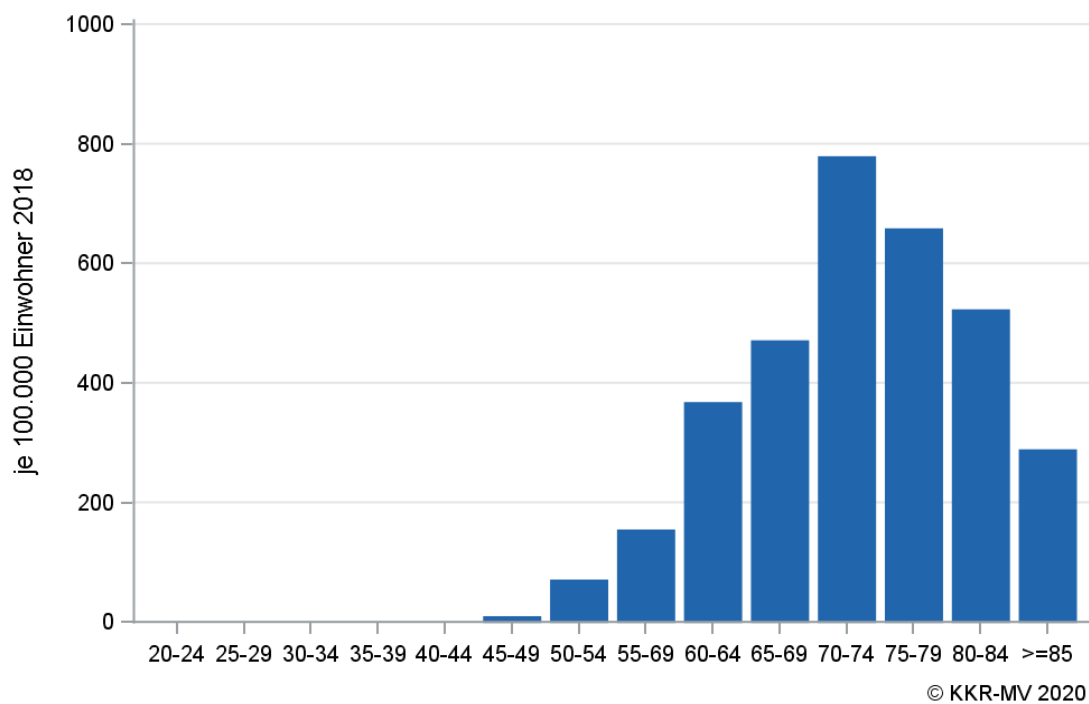


Abb. 25.4. C61: Altersspezifische Rate der Neuerkrankungen je 100.000 Einwohner (Diagnosejahr 2018) nach 5-Jahres-Altersgruppen (Wohnort)

25.5 Alter der in den Jahren 2008 - 2018 in M-V neuerkrankten Patienten (Behandlungsort)

Tab. 25.5. C61: Erkrankungsalter (Behandlungsort)

Diagnosejahr	Männer			
	Anzahl	Median	Minimum	Maximum
2008	1355	69	41	94
2009	1487	69	44	97
2010	1679	69	45	93
2011	1390	70	45	94
2012	1284	70	44	94
2013	1226	71	38	96
2014	1248	71	36	90
2015	1137	71	45	93
2016	1161	71	43	92
2017	1528	70	46	96
2018	1462	70	46	95

25.6 Absolute Anzahl der erfassten Neuerkrankungen in M-V in den Jahren 2008 – 2018 nach Lokalisation

Tab. 25.6. C61: Absolute Anzahl und prozentualer Anteil der Neuerkrankungen nach der Lokalisation (Behandlungsort)

Lokalisation	2008	2009	2010	2011	2012	2013	2014	2015	2016	2017	2018	Summe	
												Anzahl	%
C61.9 Prostata o.n.A.	907	840	702	593	450	449	520	352	333	344	385	5875	39,3
C61.91 Prostata, lateraler Lappen	441	643	943	788	816	768	709	768	806	1162	1027	8871	59,3
C61.92 Prostata, Mittellappen	2	1	17	2	7	3	7	9	9	11	33	101	0,7
C61.93 Prostata, Isthmus	0	0	0	0	0	0	0	0	0	1	1	2	0,0
C61.94 Prostata, Apex	6	3	17	7	11	6	13	8	13	12	16	112	0,7
Summe	1356	1487	1679	1390	1284	1226	1249	1137	1161	1530	1462	14961	100,0

25.7 Histologische Befunde bei allen neuerkrankten Patienten in M-V in den Jahren 2008 – 2018

Tab. 25.7. C61: Histologische Befunde bei neuerkrankten Patienten (Behandlungsort)

Histologiecode	Anzahl	Prozent
8140/3: Adenokarzinom o.n.A.	10583	70,8
8550/3: Azinuszellkarzinom	3999	26,7
8201/3: Kribriiformes Karzinom o.n.A.	116	0,8
8500/3: Invasives duktales Karzinom o.n.A.	47	0,3
8251/3: Alveoläres Adenokarzinom	19	0,1
8190/3: Trabekuläres Adenokarzinom	10	0,1
8211/3: Tubuläres Adenokarzinom	9	0,1
8280/3: Azidophiles Karzinom	7	0,1
8574/3: Adenokarzinom mit neuroendokriner Differenzierung	7	0,1
8230/3: Solides Karzinom o.n.A.	6	0,0
8480/3: Muzinöses Adenokarzinom	3	0,0
8147/3: Basalzell-Adenokarzinom	1	0,0
8260/3: Papilläres Adenokarzinom o.n.A.	1	0,0
8310/3: Klarzelliges Adenokarzinom o.n.A.	1	0,0
8323/3: Gemischtzelliges Adenokarzinom	1	0,0
8490/3: Siegelringzellkarzinom	1	0,0
8523/3: Invasives duktales Karzinom gemischt mit anderen Karzinom-Typen	1	0,0
8552/3: Gemischtes azinär-duktales Karzinom	1	0,0
Adenokarzinome der Prostata	14813	99,1
8010/3: Karzinom o.n.A.	112	0,8
8041/3: Kleinzelliges Karzinom o.n.A.	11	0,1
8020/3: Undifferenziertes Karzinom o.n.A.	6	0,0
8021/3: Anaplastisches Karzinom o.n.A.	1	0,0
8033/3: Pseudosarkomatöses Karzinom	1	0,0
nicht näher bezeichnete epitheliale Tumoren	131	0,9
8120/3: Übergangszellkarzinom o.n.A.	7	0,1
8130/3: Papilläres Übergangszellkarzinom	3	0,0
8070/3: Plattenepithelkarzinom o.n.A.	1	0,0
8071/3: Verhornendes Plattenepithelkarzinom o.n.A.	1	0,0

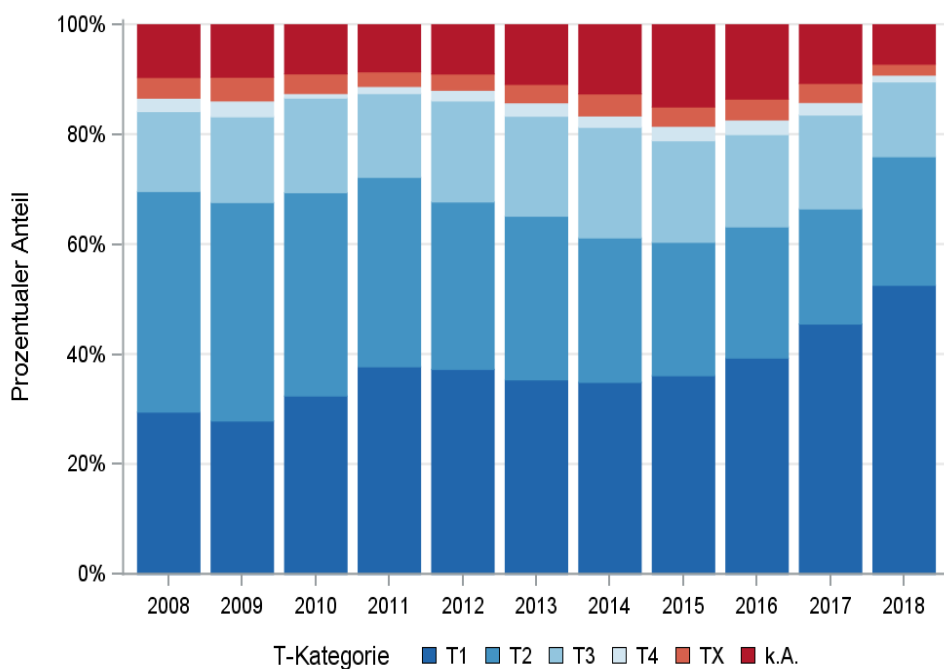
Histologiecode	Anzahl	Prozent
8090/3: Basalzellkarzinom o.n.A.	1	0,0
Plattenepithel- und Übergangszellkarzinome	13	0,1

25.8 Tumorgöße und Ausdehnung (TNM)

Tab. 25.8. C61: Absolute Anzahl der Neuerkrankungen klassifiziert nach der Tumorgöße in Bezug zu der Auflage der TNM-Klassifikation (Behandlungsort)

Tumorgöße (T)	TNM Auflage 6		TNM Auflage 7		TNM Auflage 8		k.A. zur TNM Auflage		Summe	
	Anzahl	%	Anzahl	%	Anzahl	%	Anzahl*	%	Anzahl	%
T1	742	35,4	3439	40,0	1386	50,8	-	-	5567	37,2
T2	880	41,9	2940	34,2	714	26,2	-	-	4534	30,3
T3	339	16,2	1682	19,6	484	17,8	-	-	2505	16,7
T4	70	3,3	180	2,1	53	1,9	-	-	303	2,0
TX	67	3,2	351	4,1	89	3,3	-	-	507	3,4
k.A.	0	0	5	0,1	0	0	1536	100,0	1541	10,3
Summe	2098	100,0	8597	100,0	2726	100,0	1536	100,0	14957	100,0

*In einzelnen Fällen wurden Angaben zur Tumorgöße ohne Bezug zu einer TNM Auflage gemacht. Diese Angaben wurden in die Kategorie k.A. aufgenommen.



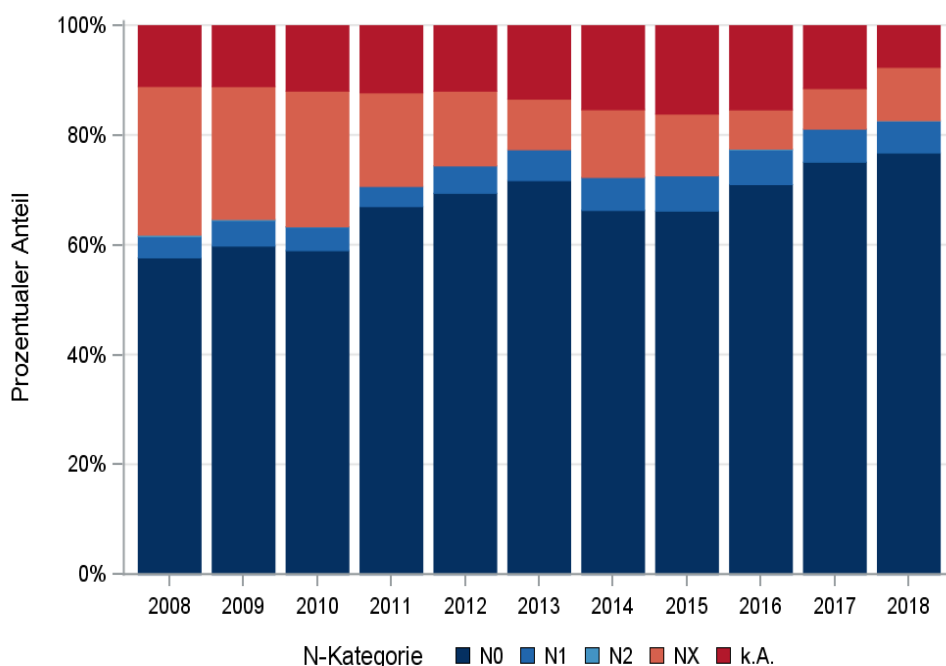
© KKR-MV 2020

Abb. 25.5. C61: Prozentualer Anteil der Neuerkrankungen nach der Tumorgöße im Diagnosezeitraum 2008 bis 2018

Tab. 25.9. C61: Absolute Anzahl der Neuerkrankungen mit bzw. ohne Befall der regionären Lymphknoten in Bezug zu der Auflage der TNM-Klassifikation (Behandlungsort)

N-Kategorie	TNM Auflage 6		TNM Auflage 7		TNM Auflage 8		k.A. zur TNM Auflage		Summe	
	Anzahl	%	Anzahl	%	Anzahl	%	Anzahl*	%	Anzahl	%
N0	1332	63,5	6456	75,1	2256	82,8	-	-	10044	67,2
N1	91	4,3	484	5,6	200	7,3	-	-	775	5,2
N2	7	0,3	2	0,0	2	0,1	-	-	11	0,1
NX	646	30,8	1389	16,2	252	9,2	-	-	2287	15,3
k.A.	22	1,0	266	3,1	16	0,6	1536	100,0	1840	12,3
Summe	2098	100,0	8597	100,0	2726	100,0	1536	100,0	14957	100,0

*In einzelnen Fällen wurden Angaben zur N-Kategorie ohne Bezug zu einer TNM Auflage gemacht. Diese Angaben wurden in die Kategorie k.A. aufgenommen.



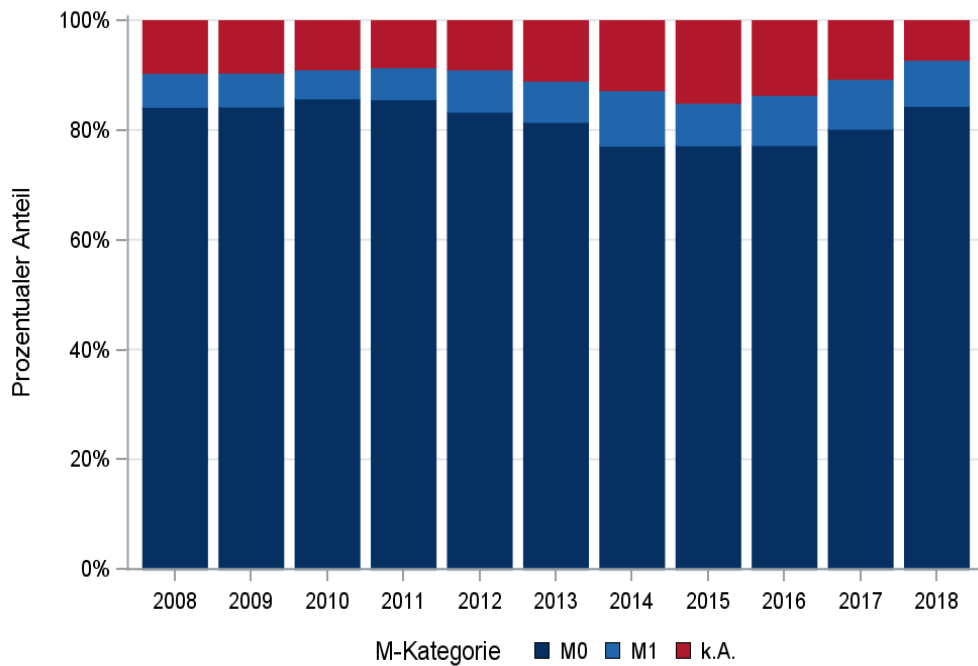
© KKR-MV 2020

Abb. 25.6. C61: Prozentualer Anteil der Neuerkrankungen mit und ohne Befall der regionären Lymphknoten zum Zeitpunkt der Erstdiagnose im Diagnosezeitraum 2008 bis 2018

Tab. 25.10. C61: Absolute Anzahl der Neuerkrankungen mit Fernmetastasierung in Bezug zu der Auflage der TNM-Klassifikation (Behandlungsort)

M-Kategorie	TNM Auflage 6		TNM Auflage 7		TNM Auflage 8		k.A. zur TNM Auflage		Summe	
	Anzahl	%	Anzahl	%	Anzahl	%	Anzahl*	%	Anzahl	%
M0	1950	93,0	7890	91,8	2451	89,9	-	-	12291	82,2
M1	147	7,0	696	8,1	276	10,1	-	-	1119	7,5
k.A.	0	0	11	0,1	0	0	1536	100,0	1547	10,3
Summe	2097	100,0	8597	100,0	2727	100,0	1536	100,0	14957	100,0

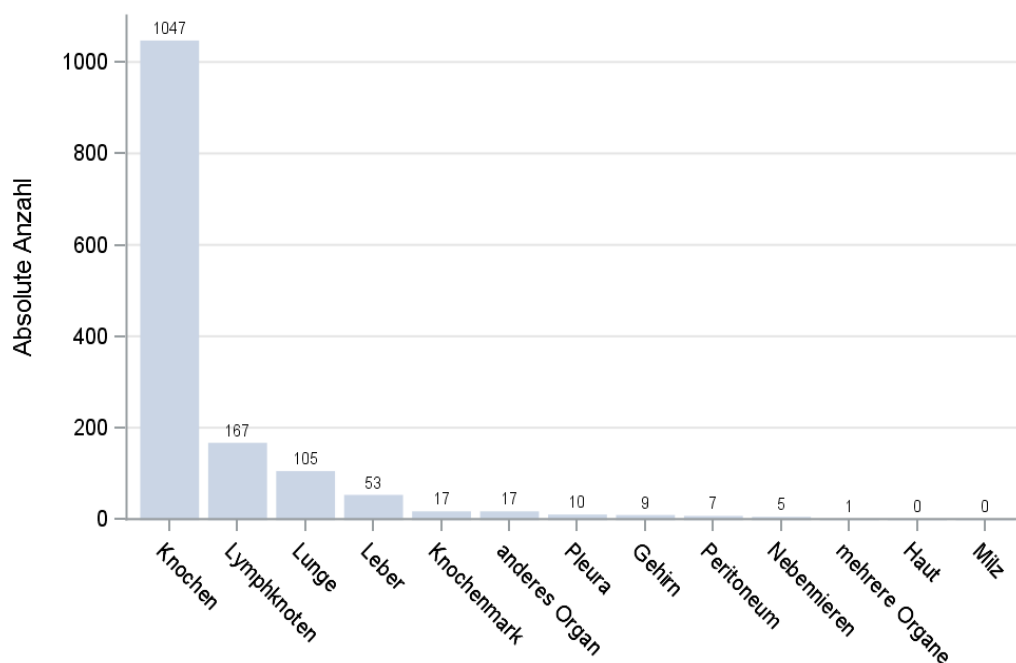
*In einzelnen Fällen wurden Angaben zur M-Kategorie ohne Bezug zu einer TNM Auflage gemacht. Diese Angaben wurden in die Kategorie k.A. aufgenommen.



© KKR-MV 2020

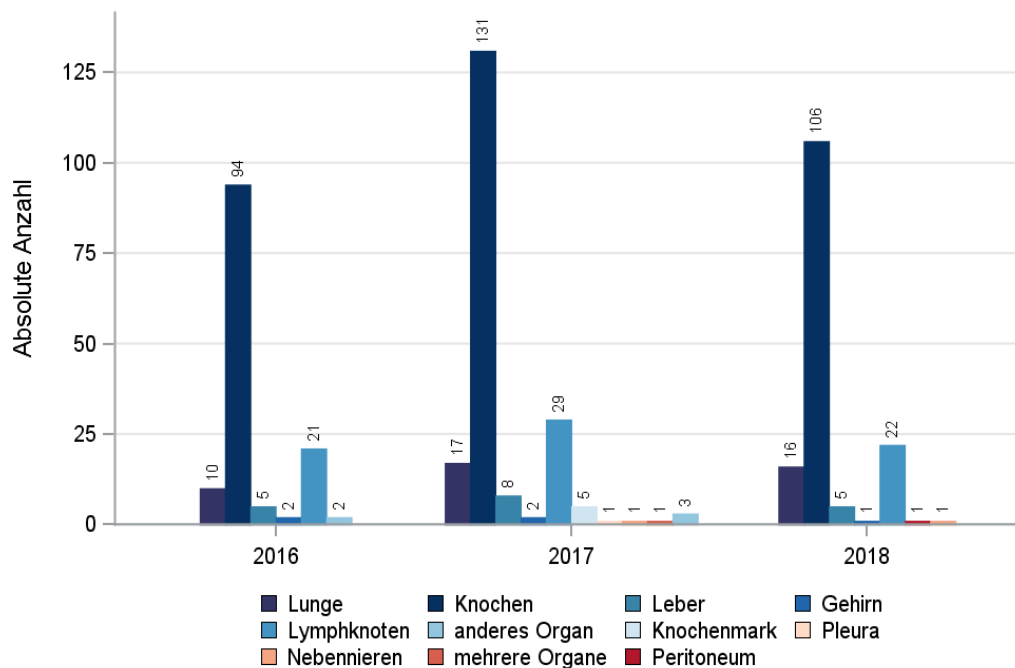
Abb. 25.7. C61: Prozentualer Anteil der primären Fernmetastasierung im Diagnosezeitraum 2008 bis 2018

25.9 Lokalisation der Fernmetastasen



© KKR-MV 2020

Abb. 25.8. C61: Lokalisation der Fernmetastasen bei Neuerkrankungen im Diagnosezeitraum 2008 bis 2018



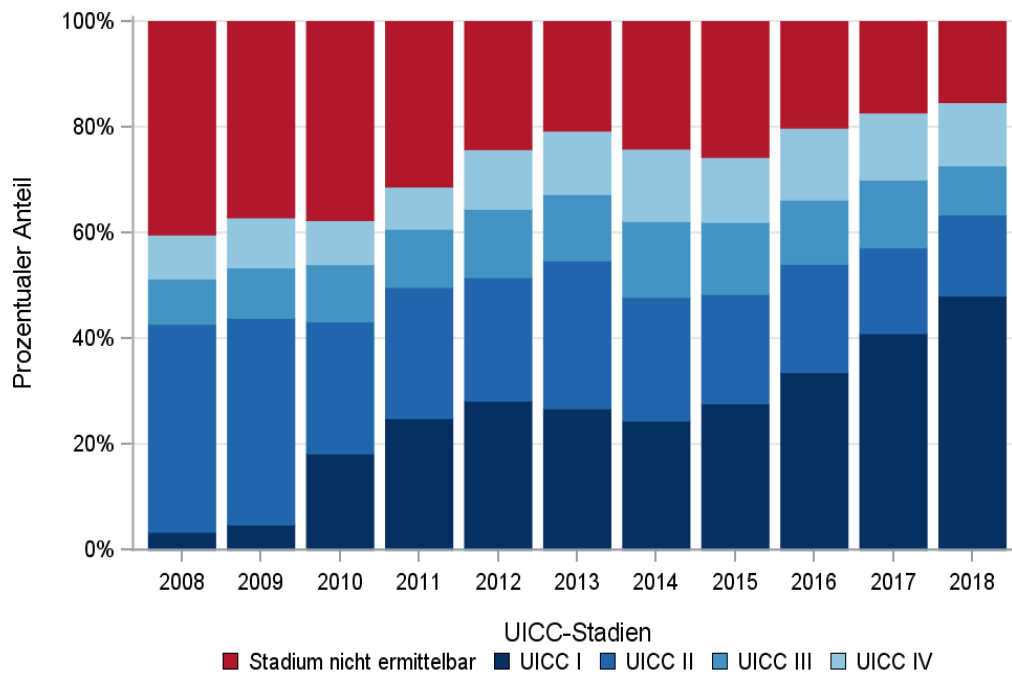
© KKR-MV 2020

Abb. 25.9. C61: Lokalisation der Fernmetastasen bei Neuerkrankungen für die Diagnosejahre 2016 bis 2018

25.10 Tumorstadien nach UICC

Tab. 25.11. C61: Primäre UICC-Stadien (Behandlungsort)

Jahre	UICC I		UICC II		UICC III		UICC IV		Stadium nicht ermittelbar		Summe	
	Anzahl	%	Anzahl	%	Anzahl	%	Anzahl	%	Anzahl	%	Anzahl	%
2008	46	3,4	533	39,3	116	8,6	113	8,3	547	40,4	1355	100,0
2009	71	4,8	581	39,1	142	9,5	141	9,5	552	37,1	1487	100,0
2010	306	18,2	419	25,0	182	10,8	140	8,3	632	37,6	1679	100,0
2011	346	24,9	345	24,8	153	11,0	111	8,0	435	31,3	1390	100,0
2012	362	28,2	300	23,4	166	12,9	145	11,3	311	24,2	1284	100,0
2013	328	26,8	343	28,0	154	12,6	147	12,0	254	20,7	1226	100,0
2014	305	24,4	292	23,4	179	14,3	171	13,7	301	24,1	1248	100,0
2015	315	27,7	235	20,7	155	13,6	140	12,3	292	25,7	1137	100,0
2016	390	33,6	238	20,5	141	12,1	158	13,6	234	20,2	1161	100,0
2017	626	41,0	248	16,2	196	12,8	194	12,7	264	17,3	1528	100,0
2018	703	48,1	224	15,3	136	9,3	175	12,0	224	15,3	1462	100,0
Summe	3798	25,4	3758	25,1	1720	11,5	1635	10,9	4046	27,1	14957	100,0



© KKR-MV 2020

Abb. 25.10. C61: Prozentuale Anteile der UICC-Tumorstadien in den Diagnosejahren 2008 bis 2018

25.11 Dokumentierte Therapie bis max. 12 Monate nach Diagnosestellung

25.11.1 Therapiekombinationen, Stellung der Therapie und Intention der dokumentierten Therapien

Tab. 25.12. C61: Therapiekombinationen (Operation, Strahlentherapie, systemische Therapie) pro Diagnosejahr (Behandlungsort)

Therapiekombinationen	2008	2009	2010	2011	2012	2013	2014	2015	2016	2017	2018	Summe
Alleinige Operation	680	659	766	599	545	527	472	408	383	519	527	6085
Alleinige systemische Therapie	157	177	177	153	162	125	188	137	173	205	163	1817
Alleinige Strahlentherapie	100	121	141	128	115	102	91	62	73	127	116	1176
Operation und systemische Therapie, keine Strahlentherapie	74	70	58	62	48	50	52	62	66	73	65	680
Operation und Strahlentherapie, keine systemische Therapie	51	78	114	75	66	51	52	55	52	75	66	735
Systemische Therapie und Strahlentherapie, keine Operation	114	142	137	125	99	77	86	101	97	115	75	1168
Operation und systemische Therapie und Strahlentherapie	37	42	51	41	38	37	32	32	38	40	40	428
Keine Operation, systemische Therapie oder Strahlentherapie	142	198	235	207	211	257	275	280	279	374	410	2868
Summe	1355	1487	1679	1390	1284	1226	1248	1137	1161	1528	1462	14957

Tab. 25.13. C61: Therapiekombinationen (Operation, Strahlentherapie, systemische Therapie) in Abhängigkeit von dem UICC-Stadium (Behandlungsort)

Therapiekombinationen	UICC I	UICC II	UICC III	UICC IV	Stadium nicht ermittelbar	Summe
Alleinige Operation	1104	2596	856	143	1386	6085
Alleinige systemische Therapie	363	160	103	742	449	1817
Alleinige Strahlentherapie	685	224	25	16	226	1176
Operation und systemische Therapie, keine Strahlentherapie	114	87	98	223	158	680
Operation und Strahlentherapie, keine systemische Therapie	81	141	328	81	104	735
Systemische Therapie und Strahlentherapie, keine Operation	475	285	138	57	213	1168
Operation und systemische Therapie und Strahlentherapie	52	48	117	144	67	428
Keine Operation, systemische Therapie oder Strahlentherapie	924	217	55	229	1443	2868
Summe	3798	3758	1720	1635	4046	14957

Tab. 25.14a. C61: Stellung der Strahlentherapie zur operativen Therapie im ersten Jahr der Erkrankung (adjuvant/neoadjuvant, Behandlungsort)

Stellung der Strahlentherapie zur	2008	2009	2010	2011	2012	2013	2014	2015	2016	2017	2018	Summe
Adjuvante (postoperative) Strahlentherapie	50	68	124	81	65	61	57	63	73	102	87	831
Therapie ohne Bezug zu einer operativen Therapie	7	14	5	5	11	8	4	17	14	12	19	116
Intraoperative Strahlentherapie	0	0	1	0	0	0	2	0	0	0	0	3
Neoadjuvante (präoperative) Strahlentherapie	0	0	0	0	0	0	1	0	0	0	0	1
unbekannt	31	38	35	30	28	19	20	7	3	1	0	212
Summe	88	120	165	116	104	88	84	87	90	115	106	1163

Tab. 25.14b. C61: Stellung der systemischen Therapie zur operativen Therapie im ersten Jahr der Erkrankung (adjuvant/neoadjuvant, Behandlungsort)

Stellung der systemischen Therapie zur operativen Therapie	2008	2009	2010	2011	2012	2013	2014	2015	2016	2017	2018	Summe
Adjuvante (postoperative) Therapie	53	55	53	45	30	42	32	25	48	54	45	482
Therapie ohne Bezug zu einer operativen Therapie	28	33	26	28	29	19	29	34	38	40	39	343
Neoadjuvante (präoperative) Therapie	2	7	9	9	6	4	9	13	1	13	17	90
Intraoperative Therapie	1	1	0	0	0	0	0	0	0	0	0	2
unbekannt	27	16	21	21	21	22	14	22	17	6	4	191
Summe	111	112	109	103	86	87	84	94	104	113	105	1108

Tab. 25.15a. C61: Intention bei der ersten Operation (Behandlungsort)

Intention der Operation	2008	2009	2010	2011	2012	2013	2014	2015	2016	2017	2018	Summe
Kurativ	723	729	868	664	599	543	479	418	418	514	531	6486
Palliativ bzw. symptomatisch	80	75	76	83	64	87	80	91	82	103	102	923
Sonstige/Unbekannt/Keine Angabe	39	45	45	30	34	35	49	48	39	90	65	519
Summe	842	849	989	777	697	665	608	557	539	707	698	7928

Tab. 25.15b. C61: Intention der initialen Bestrahlung (Behandlungsort)

Intention der Bestrahlung	2008	2009	2010	2011	2012	2013	2014	2015	2016	2017	2018	Summe
Kurativ	159	257	326	261	212	197	176	207	236	322	289	2642
Palliativ bzw. symptomatisch	7	4	2	6	3	8	13	9	12	32	8	104
Sonstige/Unbekannt/Keine Angabe	136	122	115	102	103	62	72	34	12	3	0	761
Summe	302	383	443	369	318	267	261	250	260	357	297	3507

Tab. 25.15c. C61: Intention bei der ersten systemischen Therapie (Behandlungsort)

Intention der systemischen Therapie	2008	2009	2010	2011	2012	2013	2014	2015	2016	2017	2018	Summe
Kurativ	173	203	203	192	134	116	126	148	162	194	168	1819
Palliativ bzw. symptomatisch	97	128	121	95	110	100	140	103	133	192	145	1364
Sonstige/Unbekannt/Keine Angabe	112	100	99	94	103	73	92	81	79	47	30	910
Summe	382	431	423	381	347	289	358	332	374	433	343	4093

Tab. 25.16. C61: Zeitraum zwischen Diagnose und Beginn der ersten Therapie nach Therapieart (Angaben in Tagen, Behandlungsort)

Therapie	Anzahl	Median	Minimum	Maximum
Diagnose und erste Operation	7928	42	0	365
Diagnose und erste Bestrahlung	3507	127	0	365
Diagnose und erste system. Therapie	4093	25	0	365

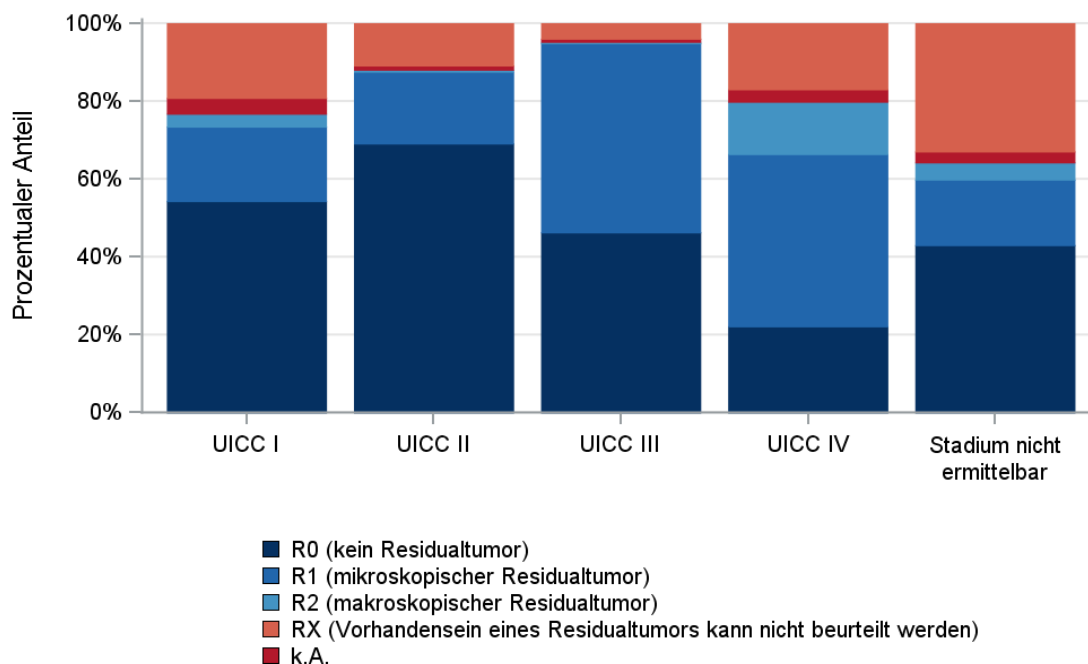
25.11.2 Dokumentierte tumorspezifische Operation bis max.12 Monate nach Diagnosestellung

Tab. 25.17. C61: Dokumentierte tumorspezifische Operation nach UICC (Behandlungsort)

Operationen	UICC I	UICC II	UICC III	UICC IV	Stadium nicht ermittelbar	Summe	
						Anzahl	%
Tumorresektion	1226	2750	1369	555	1670	7570	95,5
Tumor- und Lymphknotenresektion	8	10	8	10	5	41	0,5
Lymphknotenresektion	8	3	0	2	0	13	0,2
sonstige OP	102	93	14	22	27	258	3,3
keine Angabe	7	16	8	2	13	46	0,6
Summe	1351	2872	1399	591	1715	7928	100,0

Tab. 25.18. C61: Residualklassifikation nach Tumorresektion im Diagnosezeitraum 2008-2018

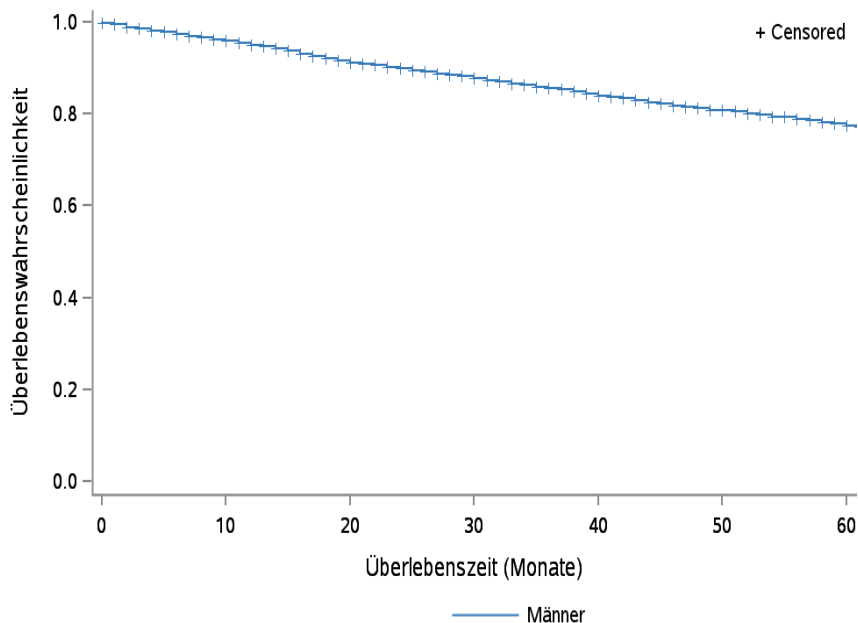
R-Klassifikation	UICC I	UICC II	UICC III	UICC IV	Stadium nicht ermittelbar	Summe	
						Anzahl	%
R0 (kein Residualtumor)	670	1907	637	125	720	4059	53,3
R1 (mikroskopischer Residualtumor)	236	509	669	250	282	1946	25,6
R2 (makroskopischer Residualtumor)	41	14	5	76	74	210	2,8
RX (Vorhandensein eines Residualtumors kann nicht beurteilt werden)	237	300	55	96	552	1240	16,3
keine Angabe	50	30	11	18	47	156	2,0
Summe	1234	2760	1377	565	1675	7611	100,0



© KKR-MV 2020

Abb. 25.11. C61: Residualklassifikation nach Tumorresektion in Abhängigkeit von UICC-Tumorstadium im Diagnosezeitraum 2008 bis 2018

25.12 Überlebensanalysen bei den in den Jahren 2008 – 2013 primär diagnostizierten Patienten

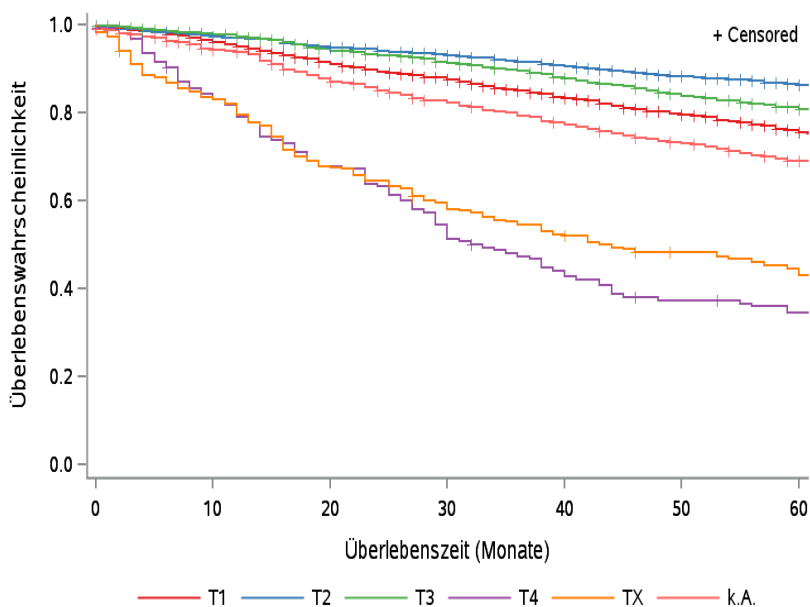


© KKR-MV 2020

Abb.25.12. C61: Wahrscheinlichkeit des Überlebens (Kaplan-Meier-Analyse) nach Geschlecht im Diagnosezeitraum von 2008 bis 2013 (Wohnort). Kaplan-Meier-Kurven werden für Kategorien mit weniger als 10 Neuerkrankungen nicht dargestellt.

Tab. 25.19. C61: Anzahl der unter Risiko stehenden Neuerkrankungen (Monate nach Diagnose)

Geschlecht	0 Monate	20 Monate	40 Monate	60 Monate
Männer	7943	6934	6282	5686

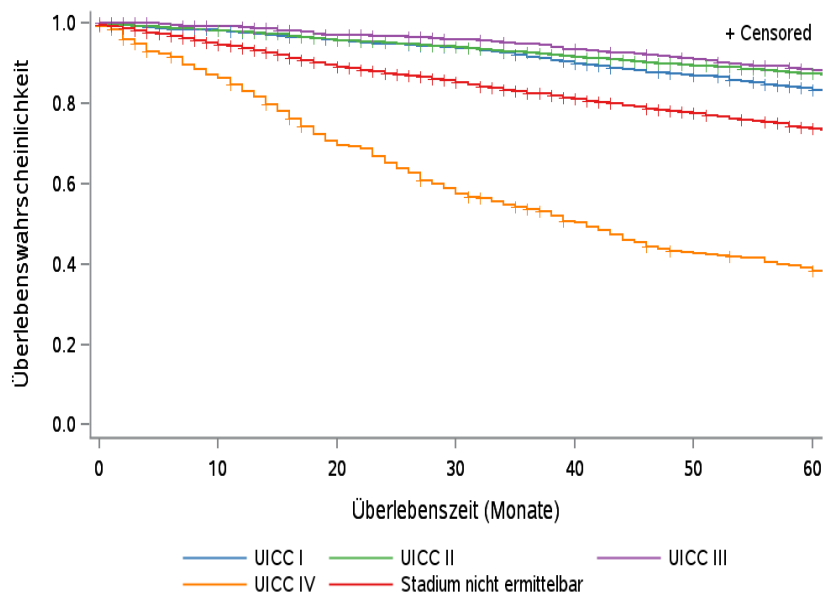


© KKR-MV 2020

Abb.25.13. C61: Wahrscheinlichkeit des Überlebens (Kaplan-Meier-Analyse) nach Tumorstadium im Diagnosezeitraum von 2008 bis 2013 (Wohnort). Kaplan-Meier-Kurven werden für Kategorien mit weniger als 10 Neuerkrankungen nicht dargestellt.

Tab. 25.20. C61: Anzahl der unter Risiko stehenden Neuerkrankungen nach Tumorgröße (Monate nach Diagnose)

T-Kategorie	0 Monate	20 Monate	40 Monate	60 Monate
T1	2660	2334	2090	1857
T2	2801	2501	2355	2203
T3	1304	1177	1079	979
T4	155	103	66	50
TX	278	188	144	120
k.A.	745	631	548	477



© KKR-MV 2020

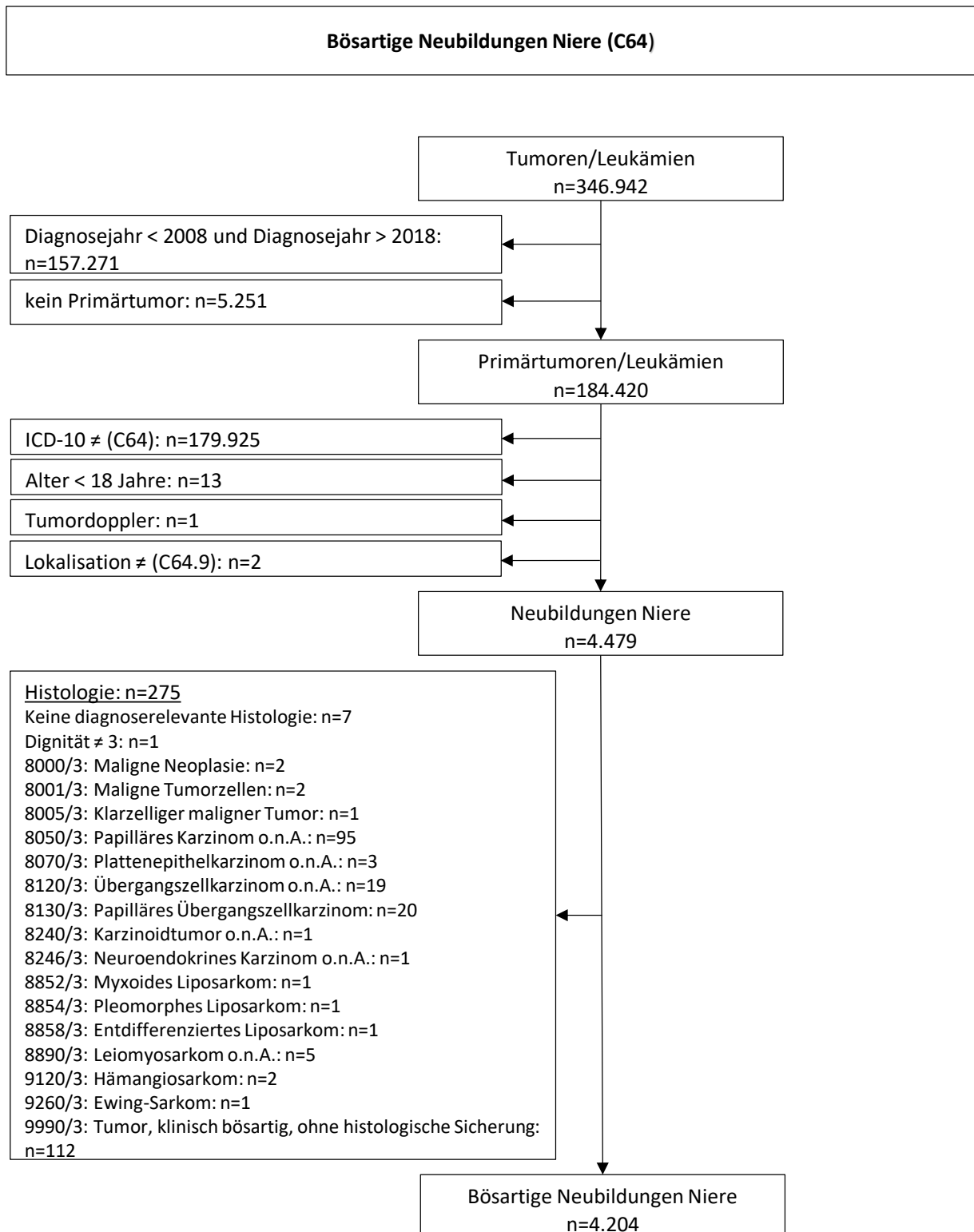
Abb. 25.14. C61: Wahrscheinlichkeit des Überlebens (Kaplan-Meier-Analyse) nach UICC-Tumorstadium im Diagnosezeitraum von 2008 bis 2013 (Wohnort). Kaplan-Meier-Kurven werden für Kategorien mit weniger als 10 Neuerkrankungen nicht dargestellt.

Tab. 25.21. C61: Anzahl der unter Risiko stehenden Neuerkrankungen nach UICC-Stadium (Monate nach Diagnose)

UICC-Stadium	0 Monate	20 Monate	40 Monate	60 Monate
UICC I	1378	1262	1175	1066
UICC II	2356	2134	2008	1873
UICC III	857	792	751	697
UICC IV	752	518	365	278
Stadium nicht ermittelbar	2600	2228	1983	1772

26 Niere (C64)

26.1 Consort-Statement: Darstellung der Auswertepopulation

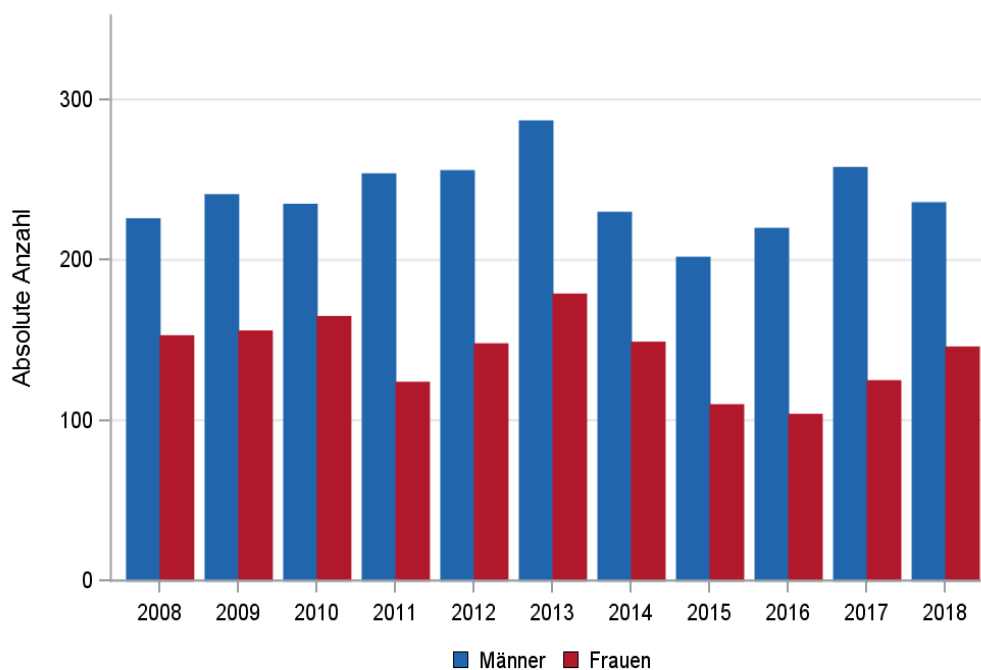


*Erläuterungen zu den Ausschlüssen finden Sie im Kapitel 4 (Methode)

26.2 Absolute Anzahl der erfassten Neuerkrankungen in M-V in den Jahren 2008 – 2018 nach Geschlecht (Behandlungsort, Wohnort)

Tab. 26.1. C64: Absolute Anzahl der Neuerkrankungen nach Geschlecht (Behandlungsort)

Diagnosejahr	Männer		Frauen		Summe
	Anzahl	%	Anzahl	%	
2008	226	59,6	153	40,4	379
2009	241	60,7	156	39,3	397
2010	235	58,8	165	41,3	400
2011	254	67,2	124	32,8	378
2012	256	63,4	148	36,6	404
2013	287	61,6	179	38,4	466
2014	230	60,7	149	39,3	379
2015	202	64,7	110	35,3	312
2016	220	67,9	104	32,1	324
2017	258	67,4	125	32,6	383
2018	236	61,8	146	38,2	382
Summe	2645	62,9	1559	37,1	4204

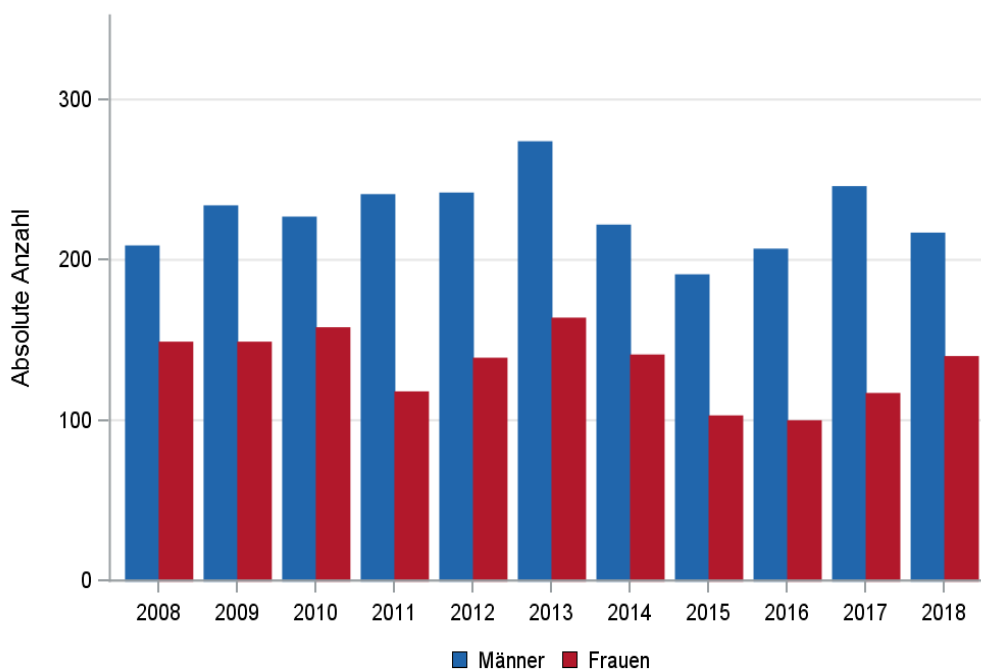


© KKR-MV 2020

Abb. 26.1. C64: Absolute Anzahl der Neuerkrankungen nach Geschlecht im Diagnosezeitraum 2008 bis 2018 (Behandlungsort)

Tab. 26.2. C64: Absolute Anzahl der Neuerkrankungen nach Geschlecht (Wohnort)

Diagnosejahr	Männer		Frauen		Summe
	Anzahl	%	Anzahl	%	
2008	209	58,4	149	41,6	358
2009	234	61,1	149	38,9	383
2010	227	59,0	158	41,0	385
2011	241	67,1	118	32,9	359
2012	242	63,5	139	36,5	381
2013	274	62,6	164	37,4	438
2014	222	61,2	141	38,8	363
2015	191	65,0	103	35,0	294
2016	207	67,4	100	32,6	307
2017	246	67,8	117	32,2	363
2018	217	60,8	140	39,2	357
Summe	2510	62,9	1478	37,1	3988



© KKR-MV 2020

Abb. 26.2. C64: Absolute Anzahl der Neuerkrankungen nach Geschlecht im Diagnosezeitraum 2008 bis 2018 (Wohnort)

26.3 Absolute Anzahl der erfassten Neuerkrankungen in M-V in den Jahren 2008 – 2018 nach Landkreisen (Wohnort)

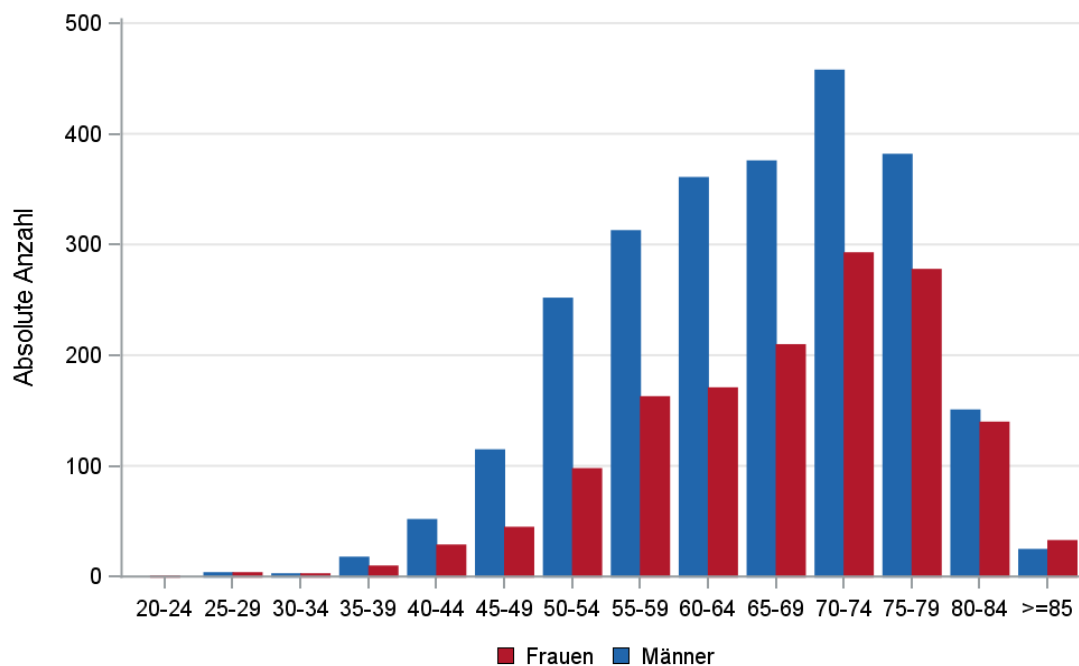
Tab. 26.3. C64: Absolute Anzahl und prozentualer Anteil der Neuerkrankungen nach Landkreisen

Landkreis	2008		2009		2010		2011		2012		2013		2014		2015		2016		2017		2018		Summe	
	Anzahl	%	Anzahl	%	Anzahl	%	Anzahl	%	Anzahl	%	Anzahl	%	Anzahl	%	Anzahl	%	Anzahl	%	Anzahl	%	Anzahl	%	Anzahl	%
Landkreis Rostock	26	7,3	56	14,6	54	14,0	45	12,5	52	13,6	64	14,6	54	14,9	53	18,0	58	18,9	56	15,4	51	14,3	569	14,3
Ludwigslust-Parchim	54	15,1	49	12,8	48	12,5	46	12,8	66	17,3	52	11,9	48	13,2	39	13,3	42	13,7	39	10,7	47	13,2	530	13,3
Mecklenburgische Seenplatte	55	15,4	54	14,1	65	16,9	80	22,3	59	15,5	65	14,8	54	14,9	11	3,7	19	6,2	52	14,3	68	19,0	582	14,6
Nordwestmecklenburg	19	5,3	21	5,5	21	5,5	30	8,4	18	4,7	40	9,1	28	7,7	32	10,9	20	6,5	25	6,9	22	6,2	276	6,9
Rostock	41	11,5	58	15,1	54	14,0	42	11,7	52	13,6	70	16,0	40	11,0	39	13,3	59	19,2	53	14,6	54	15,1	562	14,1
Schwerin	26	7,3	20	5,2	30	7,8	18	5,0	19	5,0	23	5,3	21	5,8	15	5,1	18	5,9	14	3,9	12	3,4	216	5,4
Vorpommern-Greifswald	71	19,8	56	14,6	62	16,1	47	13,1	57	15,0	74	16,9	60	16,5	52	17,7	41	13,4	58	16,0	44	12,3	622	15,6
Vorpommern-Rügen	64	17,9	67	17,5	51	13,2	50	13,9	58	15,2	49	11,2	57	15,7	53	18,0	49	16,0	66	18,2	59	16,5	623	15,6
nicht zuordenbar	2	0,6	2	0,5	0	0	1	0,3	0	0	1	0,2	1	0,3	0	0	1	0,3	0	0	0	0	8	0,2
Summe	358	100,0	383	100,0	385	100,0	359	100,0	381	100,0	438	100,0	363	100,0	294	100,0	307	100,0	363	100,0	357	100,0	3988	100,0

26.4 Rohe und standardisierte Neuerkrankungsraten pro 100.000 Einwohner in den Jahren 2008-2018 (Wohnort)

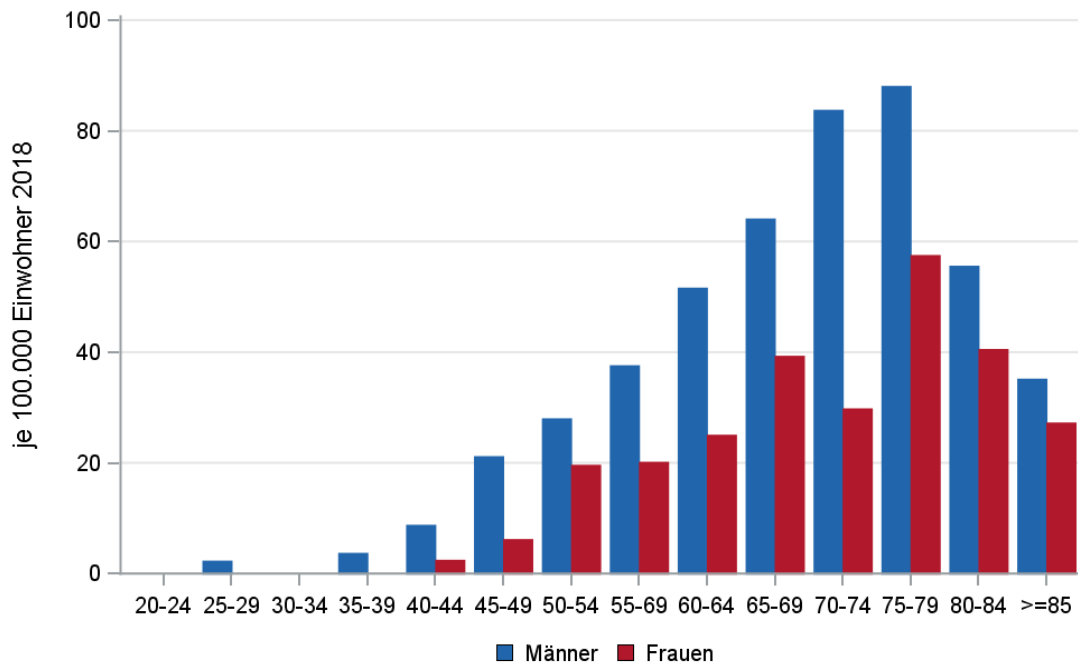
Tab. 26.4. C64: Neuerkrankungsrate/100.000 Einwohner (Alter > 19)

Diagnosejahr	Männer			Frauen		
	absolute Anzahl der Neuerkrankungen	rohe Rate in M-V	altersstandardisierte Rate	absolute Anzahl der Neuerkrankungen	rohe Rate in M-V	altersstandardisierte Rate
2008	209	30,2	25,5	149	20,9	15,3
2009	234	33,9	27,8	149	20,9	14,5
2010	227	32,9	26,4	158	22,2	15,1
2011	241	35,9	28,3	118	16,8	11,5
2012	242	36,3	27,4	139	20,0	13,0
2013	274	41,4	30,8	164	23,7	15,7
2014	222	33,6	24,8	141	20,5	13,8
2015	191	28,9	20,7	103	15,0	9,7
2016	207	31,3	22,6	100	14,6	9,7
2017	246	37,4	26,9	117	17,1	10,6
2018	217	33,1	24,1	140	20,4	12,3
2008-2018	2510	34,1	25,9	1478	19,3	12,8



© KKR-MV 2020

Abb. 26.3. C64: Absolute Anzahl der Neuerkrankungen aufgelistet in 5-Jahres-Altersgruppen und nach Geschlecht im Diagnosezeitraum 2008 bis 2018 (Wohnort)



© KKR-MV 2020

Abb. 26.4. C64: Altersspezifische Rate der Neuerkrankungen je 100.000 Einwohner (Diagnosejahr 2018) nach 5-Jahres-Altersgruppen und Geschlecht (Wohnort)

26.5 Alter der in den Jahren 2008 - 2018 in M-V neuerkrankten Patienten (Behandlungsort)

Tab. 26.5. C64: Erkrankungsalter (Behandlungsort)

Diagnosejahr	Männer				Frauen			
	Anzahl	Median	Minimum	Maximum	Anzahl	Median	Minimum	Maximum
2008	226	66	29	84	153	68	32	83
2009	241	66	35	89	156	70	25	88
2010	235	67	34	90	165	70	21	89
2011	254	66	36	86	124	70	44	89
2012	256	69	34	87	148	71	44	85
2013	287	66	37	84	179	70	27	84
2014	230	64	42	88	149	70	25	87
2015	202	66	28	88	110	72	28	89
2016	220	66	40	87	104	67	35	90
2017	258	66	26	88	125	66	36	89
2018	236	66	25	92	146	69	41	90

26.6 Absolute Anzahl der erfassten Neuerkrankungen in M-V in den Jahren 2008 – 2018 nach Lokalisation

Tab. 26.6. C64: Absolute Anzahl und prozentualer Anteil der Neuerkrankungen nach der Lokalisation (Behandlungsort)

Lokalisation	2008	2009	2010	2011	2012	2013	2014	2015	2016	2017	2018	Summe	
												Anzahl	%
C64.9 Niere	282	305	302	292	328	351	273	239	214	267	275	3128	74,4
C64.91 Oberes Drittel (einschl. oberer Pol)	44	40	43	35	27	39	37	33	40	57	54	449	10,7
C64.92 Mittleres Drittel	22	22	25	26	15	21	34	18	32	25	25	265	6,3
C64.93 Unteres Drittel (einschl. unterer Pol)	31	30	30	25	34	55	35	22	38	35	28	363	8,6
Summe	379	397	400	378	404	466	379	312	324	384	382	4205	100,0

26.7 Histologische Befunde bei allen neuerkrankten Patienten in M-V in den Jahren 2008 – 2018

Tab. 26.7. C64: Histologische Befunde bei neuerkrankten Patienten (Behandlungsort)

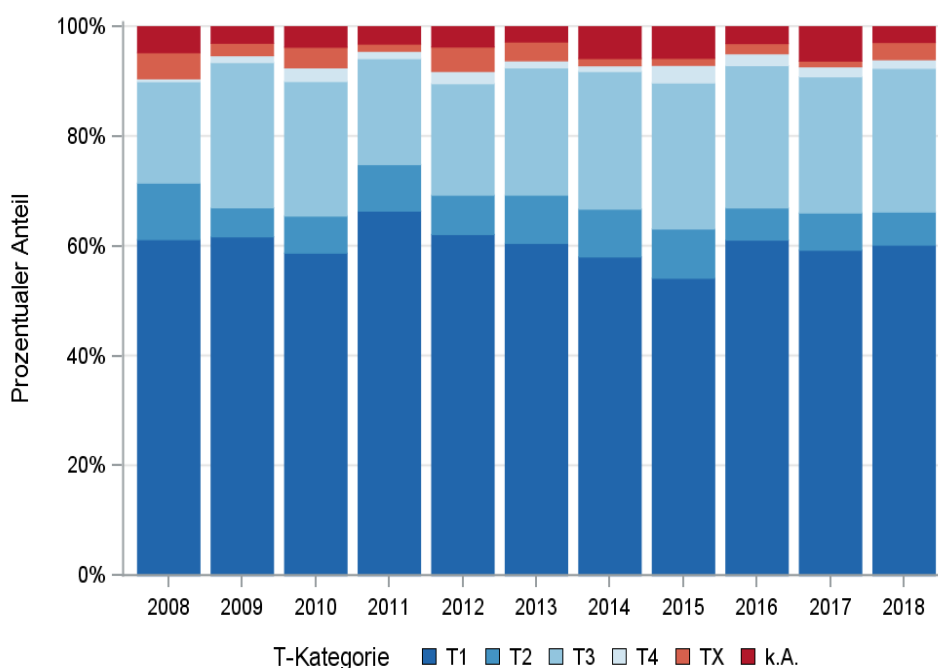
Histologiecode	Anzahl	Prozent
8310/3: Klarzelliges Adenokarzinom o.n.A.	2412	57,4
8312/3: Nierenzellkarzinom o.n.A.	1133	27,0
8260/3: Papilläres Adenokarzinom o.n.A.	375	8,9
8317/3: Nierenzellkarzinom vom chromophoben Zelltyp	156	3,7
8318/3: Sarkomatoides Nierenzellkarzinom	27	0,6
8316/3: Zystenassoziertes Nierenzellkarzinom	10	0,2
8319/3: Sammelrohrkarzinom	10	0,2
8140/3: Adenokarzinom o.n.A.	8	0,2
8270/3: Chromophobes Karzinom	6	0,1
8230/3: Solides Karzinom o.n.A.	2	0,1
8263/3: Adenokarzinom in tubulovillösem Adenom	2	0,1
8480/3: Muzinöses Adenokarzinom	2	0,1
8190/3: Trabekuläres Adenokarzinom	1	0,0
8210/3: Adenokarzinom in adenomatösem Polypen	1	0,0
8211/3: Tubuläres Adenokarzinom	1	0,0
8280/3: Azidophiles Karzinom	1	0,0
Karzinome der Niere (des Nierenparenchyms)	4147	98,6
8010/3: Karzinom o.n.A.	51	1,2
8020/3: Undifferenziertes Karzinom o.n.A.	3	0,1
8022/3: Pleomorphes Karzinom	1	0,0
8041/3: Kleinzelliges Karzinom o.n.A.	1	0,0
8046/3: Nichtkleinzelliges Karzinom	1	0,0
epithelialen Neoplasien o.n.A.	57	1,3

26.8 Tumorgröße und Ausdehnung (TNM)

Tab. 26.8. C64: Absolute Anzahl der Neuerkrankungen klassifiziert nach der Tumorgröße in Bezug zu der Auflage der TNM-Klassifikation (Behandlungsort)

Tumorgröße (T)	TNM Auflage 6		TNM Auflage 7		TNM Auflage 8		k.A. zur TNM Auflage		Summe	
	Anzahl	%	Anzahl	%	Anzahl	%	Anzahl*	%	Anzahl	%
T1	435	65,2	1684	62,5	421	62,6	-	-	2540	60,4
T2	57	8,5	220	8,2	41	6,1	-	-	318	7,6
T3	148	22,2	664	24,6	181	26,9	-	-	993	23,6
T4	6	0,9	52	1,9	13	1,9	-	-	71	1,7
TX	21	3,1	74	2,7	17	2,5	-	-	112	2,7
k.A.	0	0	0	0	0	0	170	100,0	170	4,0
Summe	667	100,0	2694	100,0	673	100,0	170	100,0	4204	100,0

*In einzelnen Fällen wurden Angaben zur Tumorgröße ohne Bezug zu einer TNM Auflage gemacht. Diese Angaben wurden in die Kategorie k.A. aufgenommen.



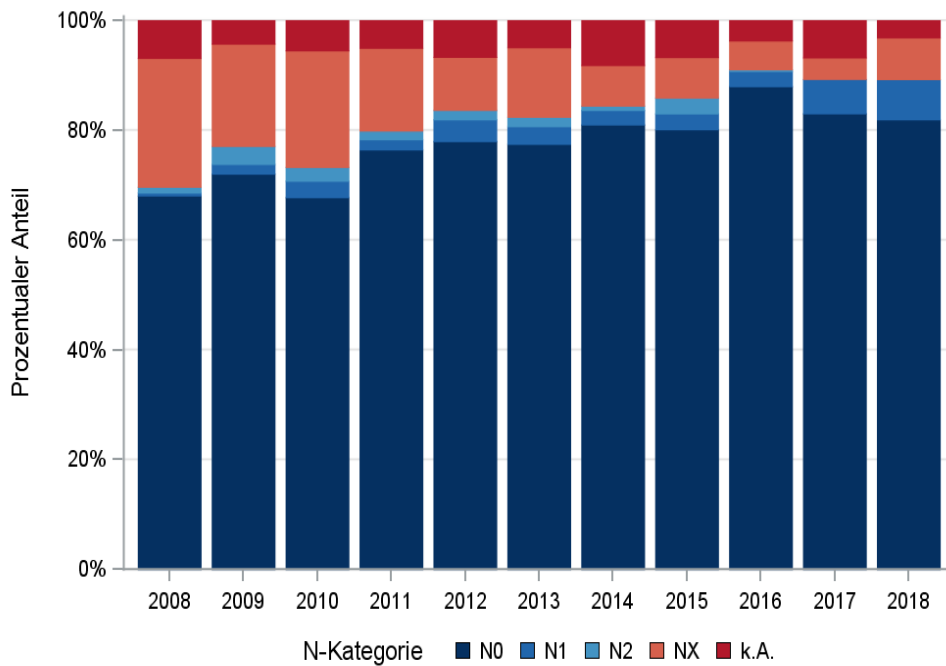
© KKR-MV 2020

Abb. 26.5. C64: Prozentualer Anteil der Neuerkrankungen nach der Tumorgröße im Diagnosezeitraum 2008 bis 2018

Tab. 26.9. C64: Absolute Anzahl der Neuerkrankungen mit bzw. ohne Befall der regionären Lymphknoten in Bezug zu der Auflage der TNM-Klassifikation (Behandlungsort)

N-Kategorie	TNM Auflage 6		TNM Auflage 7		TNM Auflage 8		k.A. zur TNM Auflage		Summe	
	Anzahl	%	Anzahl	%	Anzahl	%	Anzahl*	%	Anzahl	%
N0	496	74,4	2177	80,8	580	86,2	-	-	3253	77,4
N1	7	1,0	86	3,2	46	6,8	-	-	139	3,3
N2	16	2,4	45	1,7	0	0	-	-	61	1,5
NX	140	21,0	330	12,2	45	6,7	-	-	515	12,3
k.A.	8	1,2	56	2,1	2	0,3	170	100,0	236	5,6
Summe	667	100,0	2694	100,0	673	100,0	170	100,0	4204	100,0

*In einzelnen Fällen wurden Angaben zur N-Kategorie ohne Bezug zu einer TNM Auflage gemacht. Diese Angaben wurden in die Kategorie k.A. aufgenommen.



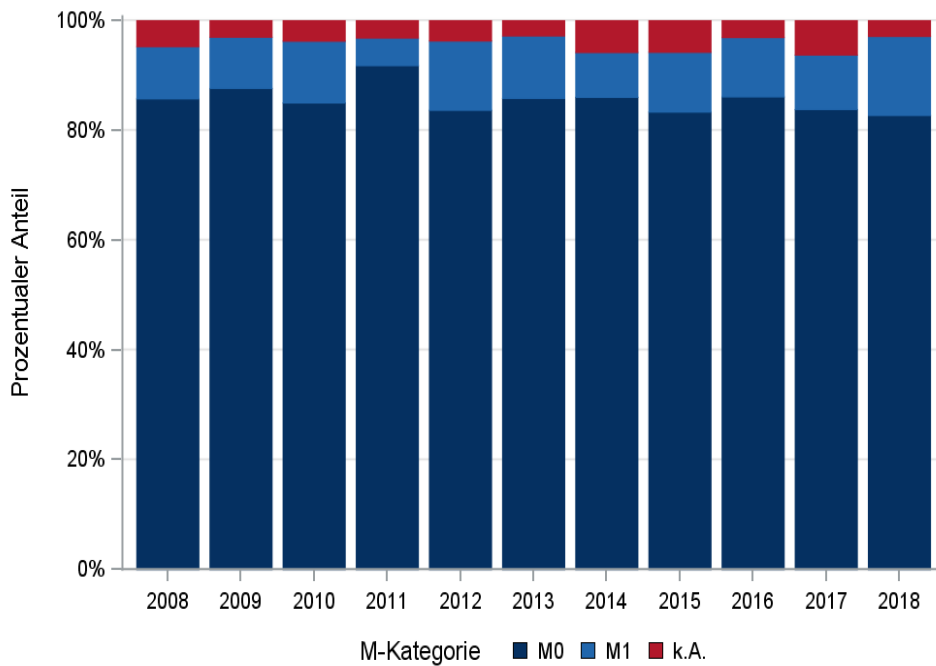
© KKR-MV 2020

Abb. 26.6. C64: Prozentualer Anteil der Neuerkrankungen mit und ohne Befall der regionären Lymphknoten zum Zeitpunkt der Erstdiagnose im Diagnosezeitraum 2008 bis 2018

Tab. 26.10. C64: Absolute Anzahl der Neuerkrankungen mit Fernmetastasierung in Bezug zu der Auflage der TNM-Klassifikation (Behandlungsort)

M-Kategorie	TNM Auflage 6		TNM Auflage 7		TNM Auflage 8		k.A. zur TNM Auflage		Summe	
	Anzahl	%	Anzahl	%	Anzahl	%	Anzahl*	%	Anzahl	%
M0	603	90,4	2411	89,5	586	87,1	-	-	3600	85,6
M1	64	9,6	283	10,5	87	12,9	-	-	434	10,3
k.A.	0	0	0	0	0	0	170	100,0	170	4,0
Summe	667	100,0	2694	100,0	673	100,0	170	100,0	4204	100,0

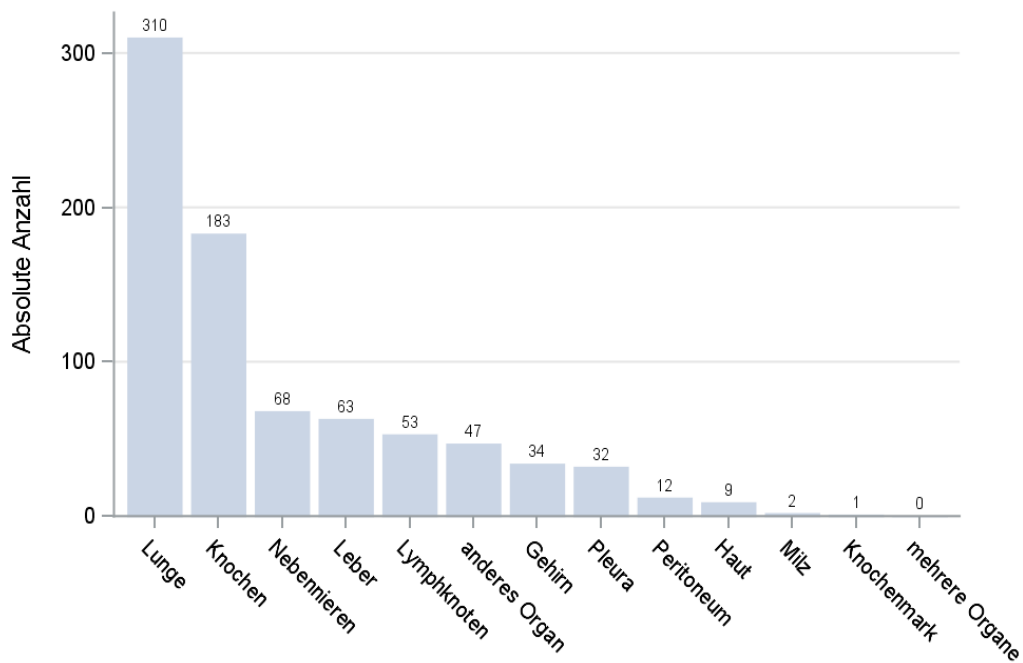
*In einzelnen Fällen wurden Angaben zur M-Kategorie ohne Bezug zu einer TNM Auflage gemacht. Diese Angaben wurden in die Kategorie k.A. aufgenommen.



© KKR-MV 2020

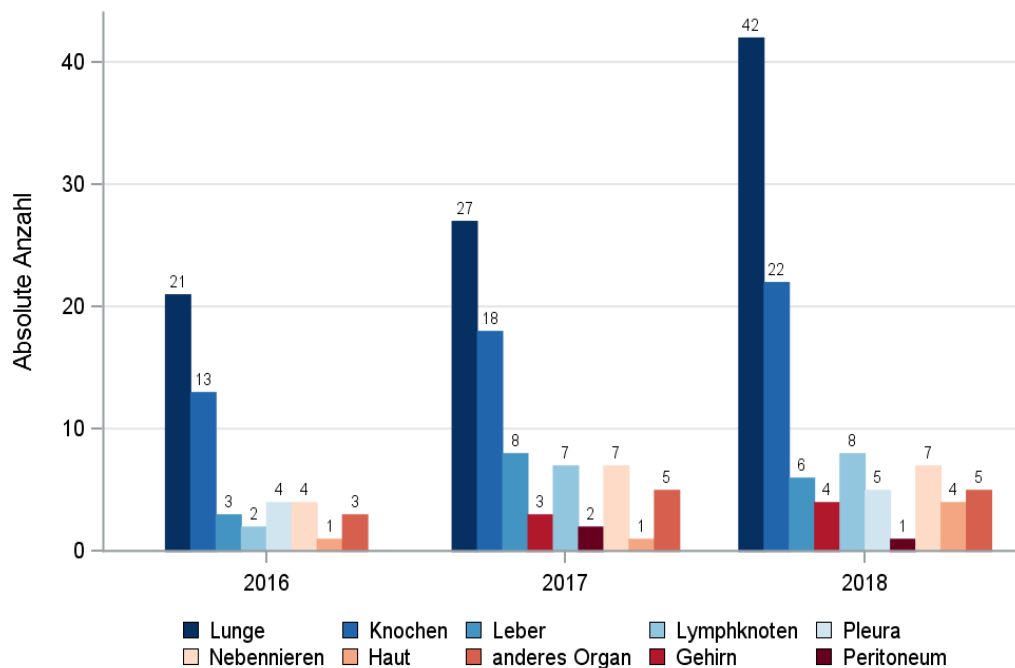
Abb. 26.7. C64: Prozentualer Anteil der primären Fernmetastasierung im Diagnosezeitraum 2008 bis 2018

26.9 Lokalisation der Fernmetastasen



© KKR-MV 2020

Abb. 26.8. C64: Lokalisation der Fernmetastasen bei Neuerkrankungen im Diagnosezeitraum 2008 bis 2018



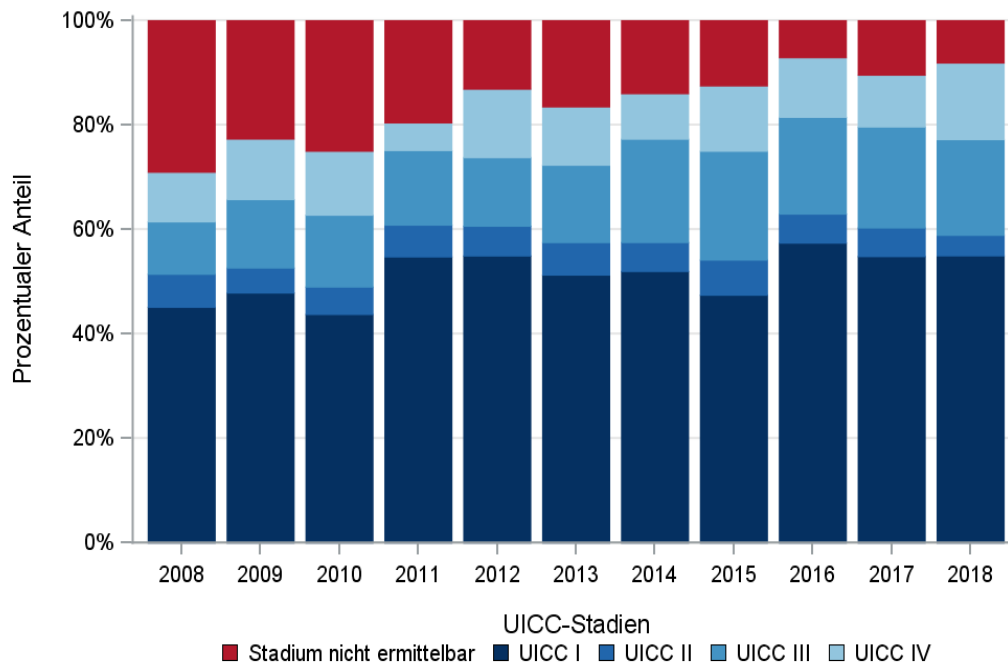
© KKR-MV 2020

Abb.26.9. C64: Lokalisation der Fernmetastasen bei Neuerkrankungen für die Diagnosejahre 2016 bis 2018

26.10 Tumorstadien nach UICC

Tab. 26.11. C64: Primäre UICC-Stadien (Behandlungsort)

Jahre	UICC I		UICC II		UICC III		UICC IV		Stadium nicht ermittelbar		Summe	
	Anzahl	%	Anzahl	%	Anzahl	%	Anzahl	%	Anzahl	%	Anzahl	%
2008	171	45,1	24	6,3	38	10,0	36	9,5	110	29,0	379	100,0
2009	190	47,9	19	4,8	52	13,1	46	11,6	90	22,7	397	100,0
2010	175	43,8	21	5,3	55	13,8	49	12,3	100	25,0	400	100,0
2011	207	54,8	23	6,1	54	14,3	20	5,3	74	19,6	378	100,0
2012	222	55,0	23	5,7	53	13,1	53	13,1	53	13,1	404	100,0
2013	239	51,3	29	6,2	69	14,8	52	11,2	77	16,5	466	100,0
2014	197	52,0	21	5,5	75	19,8	33	8,7	53	14,0	379	100,0
2015	148	47,4	21	6,7	65	20,8	39	12,5	39	12,5	312	100,0
2016	186	57,4	18	5,6	60	18,5	37	11,4	23	7,1	324	100,0
2017	210	54,8	21	5,5	74	19,3	38	9,9	40	10,4	383	100,0
2018	210	55,0	15	3,9	70	18,3	56	14,7	31	8,1	382	100,0
Summe	2155	51,3	235	5,6	665	15,8	459	10,9	690	16,4	4204	100,0



© KKR-MV 2020

Abb. 26.10. C64: Prozentuale Anteile der UICC-Tumorstadien in den Diagnosejahren 2008 bis 2018

26.11 Dokumentierte Therapie bis max. 12 Monate nach Diagnosestellung

26.11.1 Therapiekombinationen, Stellung der Therapie und Intention der dokumentierten Therapien

Tab. 26.12. C64: Therapiekombinationen (Operation, Strahlentherapie, systemische Therapie) pro Diagnosejahr (Behandlungsort)

Therapiekombinationen	2008	2009	2010	2011	2012	2013	2014	2015	2016	2017	2018	Summe
Alleinige Operation	337	362	356	350	345	391	329	266	279	330	316	3661
Alleinige systemische Therapie	2	3	4	4	17	17	12	12	5	7	16	99
Alleinige Strahlentherapie	0	0	1	1	0	0	0	0	0	0	0	2
Operation und systemische Therapie, keine Strahlentherapie	20	23	18	13	23	41	20	19	22	22	26	247
Operation und Strahlentherapie, keine systemische Therapie	2	0	0	0	0	0	1	1	1	0	1	6
Systemische Therapie und Strahlentherapie, keine Operation	0	0	0	0	0	0	0	0	0	0	1	1
Operation und systemische Therapie und Strahlentherapie	0	0	0	0	0	0	1	0	0	0	1	2
Keine Operation, systemische Therapie oder Strahlentherapie	18	9	21	10	19	17	16	14	17	24	21	186
Summe	379	397	400	378	404	466	379	312	324	383	382	4204

Tab. 26.13. C64: Therapiekombinationen (Operation, Strahlentherapie, systemische Therapie) in Abhängigkeit von dem UICC-Stadium (Behandlungsort)

Therapiekombinationen	UICC I	UICC II	UICC III	UICC IV	Stadium nicht ermittelbar	Summe
Alleinige Operation	2106	224	603	169	559	3661
Alleinige systemische Therapie	2	0	3	70	24	99
Alleinige Strahlentherapie	0	0	0	1	1	2
Operation und systemische Therapie, keine Strahlentherapie	16	7	49	154	21	247
Operation und Strahlentherapie, keine systemische Therapie	1	0	3	2	0	6
Systemische Therapie und Strahlentherapie, keine Operation	0	0	0	1	0	1
Operation und systemische Therapie und Strahlentherapie	0	0	0	2	0	2
Keine Operation, systemische Therapie oder Strahlentherapie	30	4	7	60	85	186
Summe	2155	235	665	459	690	4204

Tab. 26.14. C64: Stellung der systemischen Therapie zur operativen Therapie im ersten Jahr der Erkrankung (adjuvant/neoadjuvant, Behandlungsort)

Stellung der systemischen Therapie zur operativen Therapie	2008	2009	2010	2011	2012	2013	2014	2015	2016	2017	2018	Summe
Adjuvante (postoperative) Therapie	7	15	8	7	11	18	14	7	11	12	19	129
Therapie ohne Bezug zu einer operativen Therapie	10	6	6	1	10	15	3	9	10	9	8	87
Neoadjuvante (präoperative) Therapie	0	0	0	0	0	1	0	0	0	0	0	1
unbekannt	3	2	4	5	2	7	4	3	1	1	0	32
Summe	20	23	18	13	23	41	21	19	22	22	27	249

Tab. 26.15a. C64: Intention bei der ersten Operation (Behandlungsort)

Intention der Operation	2008	2009	2010	2011	2012	2013	2014	2015	2016	2017	2018	Summe
Kurativ	309	318	329	326	312	373	286	231	240	292	313	3329
Palliativ bzw. symptomatisch	14	23	25	5	20	20	12	16	15	7	16	173
Sonstige/Unbekannt/Keine Angabe	36	44	20	32	36	39	53	39	47	53	15	414
Summe	359	385	374	363	368	432	351	286	302	352	344	3916

Tab. 26.15b. C64: Intention bei der ersten systemischen Therapie (Behandlungsort)

Intention der systemischen Therapie	2008	2009	2010	2011	2012	2013	2014	2015	2016	2017	2018	Summe
Palliativ bzw. symptomatisch	16	17	14	10	30	37	19	18	20	22	35	238
Kurativ	1	5	1	1	3	9	4	4	5	5	9	47
Sonstige/Unbekannt/Keine Angabe	5	4	7	6	7	12	10	9	2	2	0	64
Summe	22	26	22	17	40	58	33	31	27	29	44	349

Tab. 26.16. C64: Zeitraum zwischen Diagnose und Beginn der ersten Therapie nach Therapieart (Angaben in Tagen, Behandlungsort)

Therapie	Anzahl	Median	Minimum	Maximum
Diagnose und erste Operation	3916	0	0	365
Diagnose und erste system. Therapie	349	58	0	353

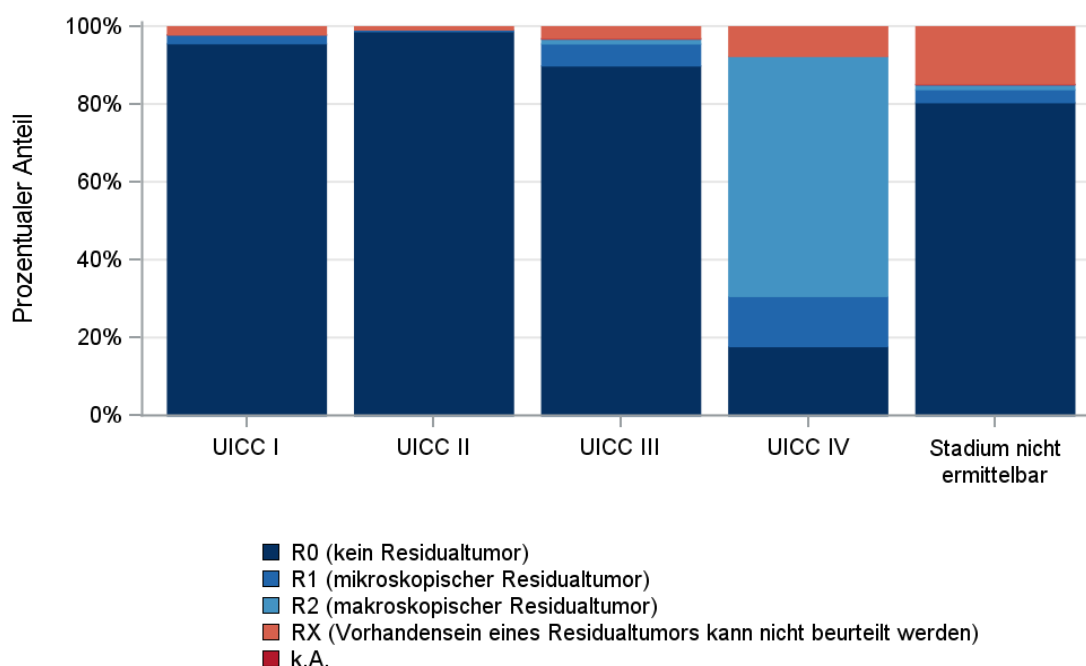
26.11.2 Dokumentierte tumorspezifische Operation bis max.12 Monate nach Diagnosestellung

Tab. 26.17. C64: Dokumentierte tumorspezifische Operation nach UICC (Behandlungsort)

Operationen	UICC I	UICC II	UICC III	UICC IV	Stadium nicht ermittelbar	Summe	
						Anzahl	%
Tumorresektion	2094	223	635	303	561	3816	97,4
Tumor- und Lymphknotenresektion	17	7	18	23	7	72	1,8
sonstige OP	4	0	0	1	2	7	0,2
keine Angabe	8	1	2	0	10	21	0,5
Summe	2123	231	655	327	580	3916	100,0

Tab. 26.18. C64: Residualklassifikation nach Tumorresektion im Diagnosezeitraum 2008-2018

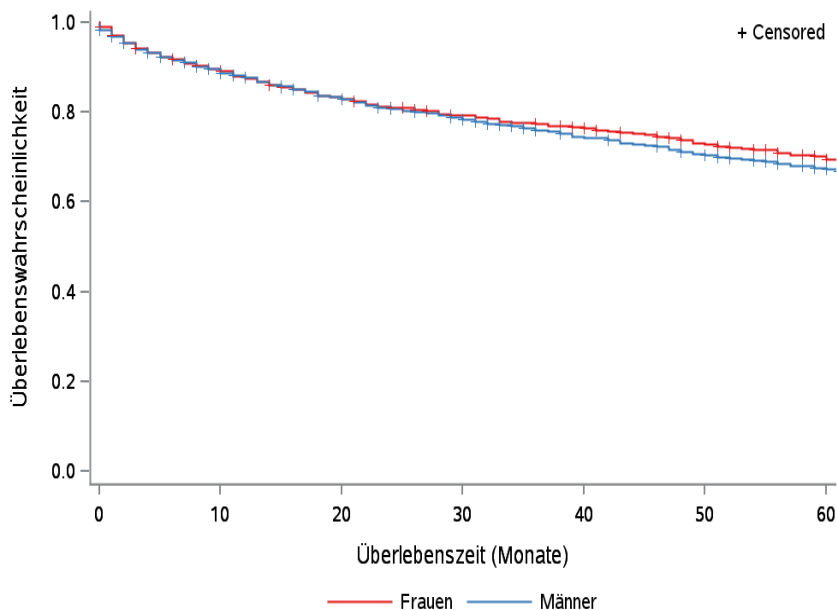
R-Klassifikation	UICC I	UICC II	UICC III	UICC IV	Stadium nicht ermittelbar	Summe	
						Anzahl	%
R0 (kein Residualtumor)	2018	227	587	58	457	3347	86,1
R1 (mikroskopischer Residualtumor)	46	1	37	42	19	145	3,7
R2 (makroskopischer Residualtumor)	2	0	8	201	7	218	5,6
RX (Vorhandensein eines Residualtumors kann nicht beurteilt werden)	44	2	20	25	84	175	4,5
keine Angabe	1	0	1	0	1	3	0,1
Summe	2111	230	653	326	568	3888	100,0



© KKR-MV 2020

Abb. 26.11. C64: Residualklassifikation nach Tumorresektion in Abhängigkeit von UICC-Tumorstadium im Diagnosezeitraum 2008 bis 2018

26.12 Überlebensanalysen bei den in den Jahren 2008 – 2013 primär diagnostizierten Patienten

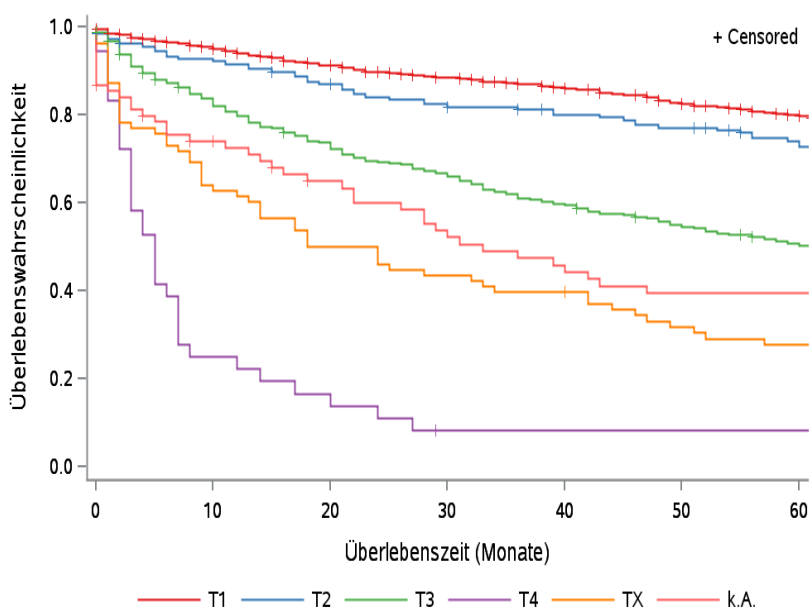


© KKR-MV 2020

Abb.26.12. C64: Wahrscheinlichkeit des Überlebens (Kaplan-Meier-Analyse) nach Geschlecht im Diagnosezeitraum von 2008 bis 2013 (Wohnort). Kaplan-Meier-Kurven werden für Kategorien mit weniger als 10 Neuerkrankungen nicht dargestellt.

Tab. 26.19. C64: Anzahl der unter Risiko stehenden Neuerkrankungen (Monate nach Diagnose)

Geschlecht	0 Monate	20 Monate	40 Monate	60 Monate
Männer	1425	1119	977	871
Frauen	876	677	610	540

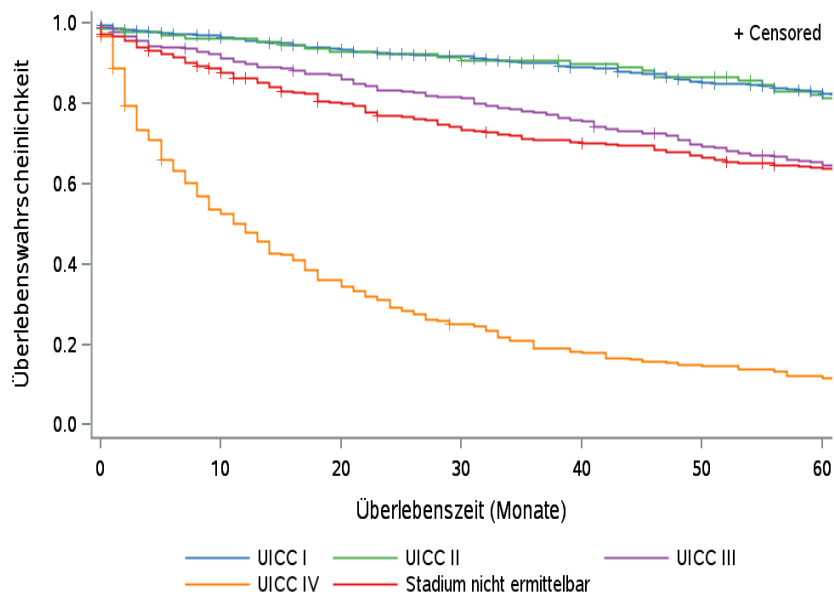


© KKR-MV 2020

Abb.26.13. C64: Wahrscheinlichkeit des Überlebens (Kaplan-Meier-Analyse) nach Tumorstadium im Diagnosezeitraum von 2008 bis 2013 (Wohnort). Kaplan-Meier-Kurven werden für Kategorien mit weniger als 10 Neuerkrankungen nicht dargestellt.

Tab. 26.20. C64: Anzahl der unter Risiko stehenden Neuerkrankungen nach Tumorgröße (Monate nach Diagnose)

T-Kategorie	0 Monate	20 Monate	40 Monate	60 Monate
T1	1416	1196	1096	996
T2	183	152	136	121
T3	512	362	293	246
T4	36	6	2	2
TX	78	39	31	21
k.A.	76	41	29	25

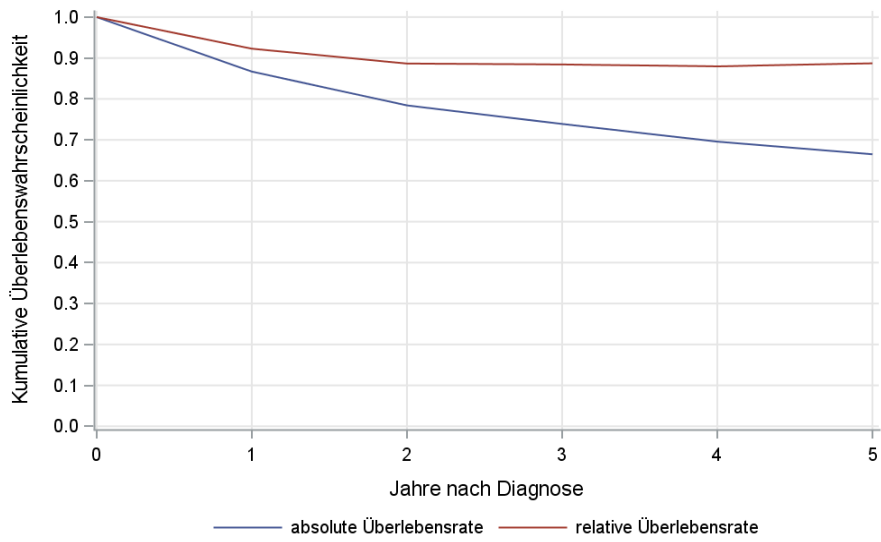


© KKR-MV 2020

Abb.26.14. C64: Wahrscheinlichkeit des Überlebens (Kaplan-Meier-Analyse) nach UICC-Tumorstadium im Diagnosezeitraum von 2008 bis 2013 (Wohnort). Kaplan-Meier-Kurven werden für Kategorien mit weniger als 10 Neuerkrankungen nicht dargestellt.

Tab. 26.21. C64: Anzahl der unter Risiko stehenden Neuerkrankungen nach UICC-Stadium (Monate nach Diagnose)

UICC-Stadium	0 Monate	20 Monate	40 Monate	60 Monate
UICC I	1131	977	899	818
UICC II	132	117	109	96
UICC III	305	254	221	187
UICC IV	250	88	44	29
Stadium nicht ermittelbar	483	360	314	281

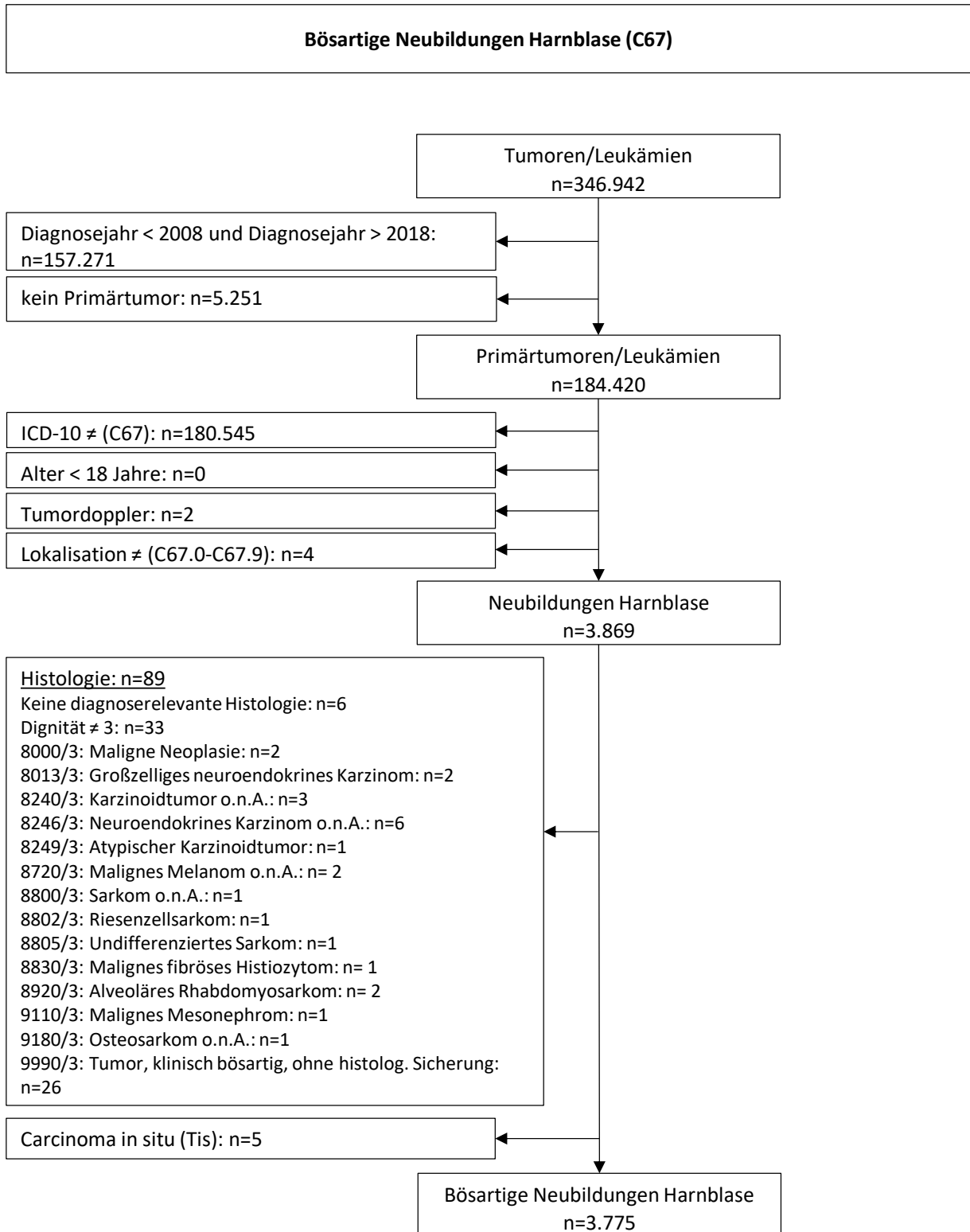


© KKR-MV 2020

Abb. 26.15. C64: Absolutes und relatives Überleben im Diagnosezeitraum 2008 bis 2013 (Wohnort, Alter > 19)

27 Harnblase (C67)

27.1 Consort-Statement: Darstellung der Auswertepopulation

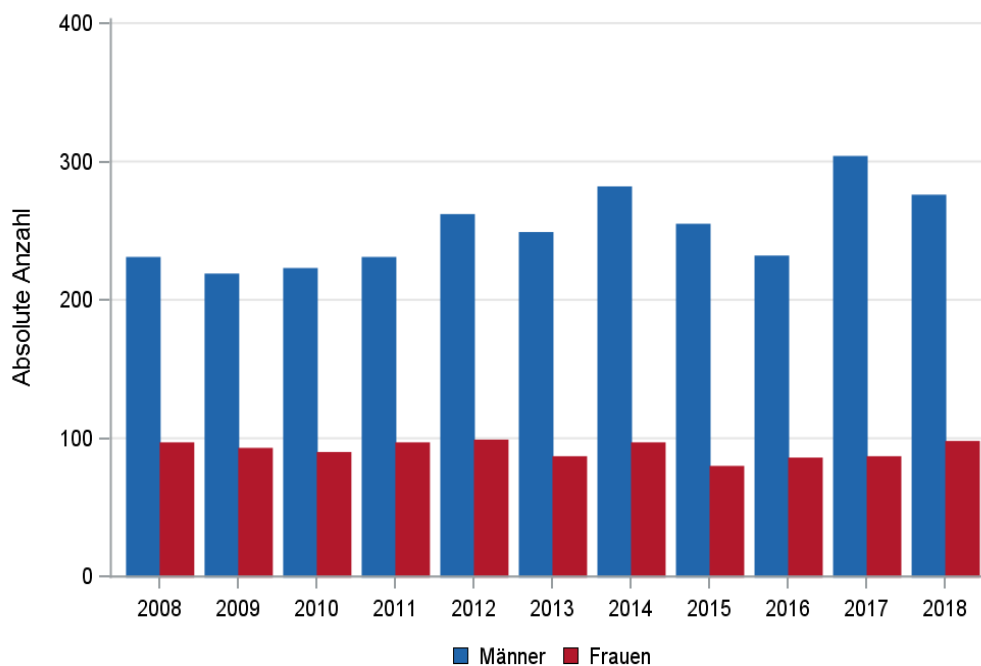


*Erläuterungen zu den Ausschlüssen finden Sie im Kapitel 4 (Methode)

27.2 Absolute Anzahl der erfassten Neuerkrankungen in M-V in den Jahren 2008 – 2018 nach Geschlecht (Behandlungsort, Wohnort)

Tab. 27.1. C67: Absolute Anzahl der Neuerkrankungen nach Geschlecht (Behandlungsort)

Diagnosejahr	Männer		Frauen		Summe
	Anzahl	%	Anzahl	%	
2008	231	70,4	97	29,6	328
2009	219	70,2	93	29,8	312
2010	223	71,2	90	28,8	313
2011	231	70,4	97	29,6	328
2012	262	72,6	99	27,4	361
2013	249	74,1	87	25,9	336
2014	282	74,4	97	25,6	379
2015	255	76,1	80	23,9	335
2016	232	73,0	86	27,0	318
2017	304	77,7	87	22,3	391
2018	276	73,8	98	26,2	374
Summe	2764	73,2	1011	26,8	3775

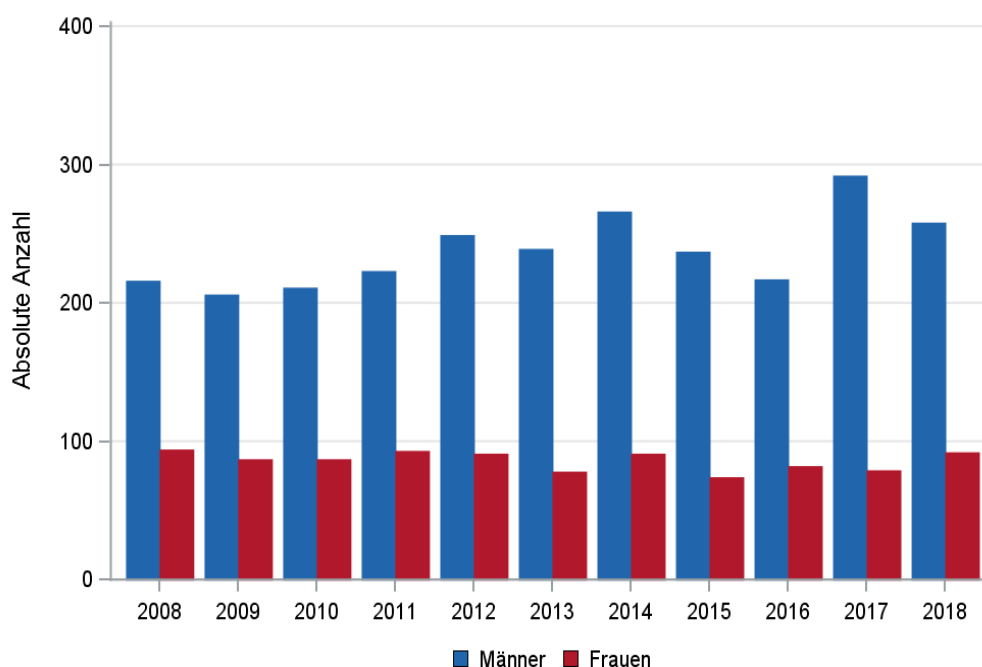


© KKR-MV 2020

Abb. 27.1. C67: Absolute Anzahl der Neuerkrankungen nach Geschlecht im Diagnosezeitraum 2008 bis 2018 (Behandlungsort)

Tab. 27.2. C67: Absolute Anzahl der Neuerkrankungen nach Geschlecht (Wohnort)

Diagnosejahr	Männer		Frauen		Summe
	Anzahl	%	Anzahl	%	
2008	216	69,7	94	30,3	310
2009	206	70,3	87	29,7	293
2010	211	70,8	87	29,2	298
2011	223	70,6	93	29,4	316
2012	249	73,2	91	26,8	340
2013	239	75,4	78	24,6	317
2014	266	74,5	91	25,5	357
2015	237	76,2	74	23,8	311
2016	217	72,6	82	27,4	299
2017	292	78,7	79	21,3	371
2018	258	73,7	92	26,3	350
Summe	2614	73,4	948	26,6	3562



© KKR-MV 2020

Abb. 27.2. C67: Absolute Anzahl der Neuerkrankungen nach Geschlecht im Diagnosezeitraum 2008 bis 2018 (Wohnort)

27.3 Absolute Anzahl der erfassten Neuerkrankungen in M-V in den Jahren 2008 – 2018 nach Landkreisen (Wohnort)

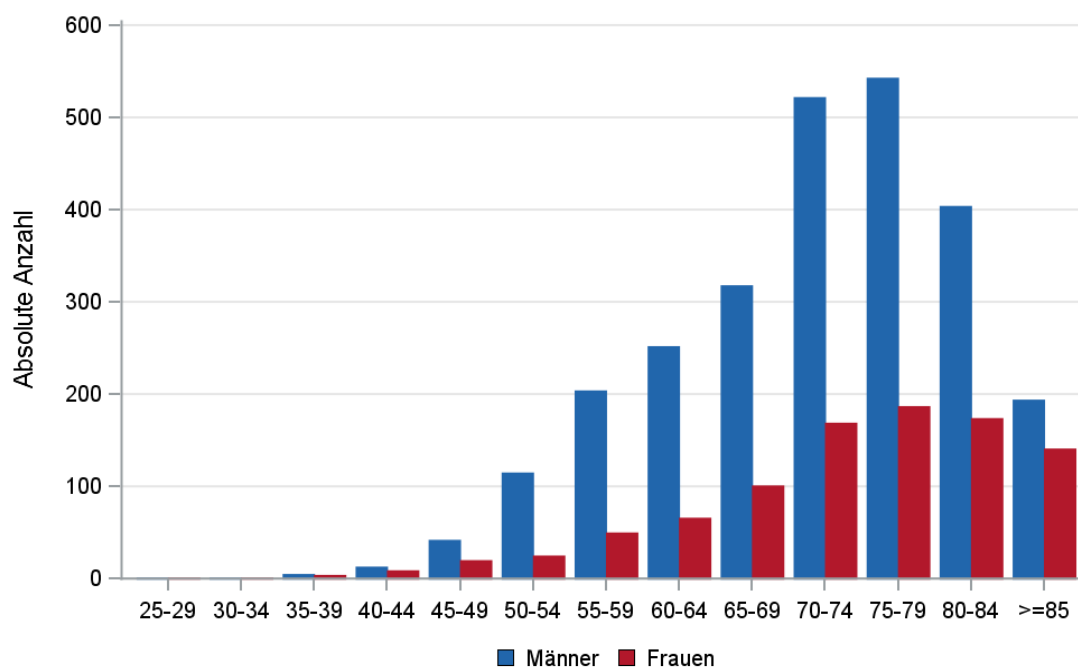
Tab. 27.3. C67: Absolute Anzahl und prozentualer Anteil der Neuerkrankungen nach Landkreisen

Landkreis	2008		2009		2010		2011		2012		2013		2014		2015		2016		2017		2018		Summe	
	Anzahl	%	Anzahl	%	Anzahl	%	Anzahl	%	Anzahl	%	Anzahl	%	Anzahl	%	Anzahl	%	Anzahl	%	Anzahl	%	Anzahl	%	Anzahl	%
Landkreis Rostock	42	13,5	37	12,6	27	9,1	46	14,6	32	9,4	45	14,2	48	13,4	46	14,8	41	13,7	78	21,0	49	14,0	491	13,8
Ludwigslust-Parchim	45	14,5	35	11,9	31	10,4	43	13,6	40	11,8	37	11,7	47	13,2	30	9,6	29	9,7	28	7,5	29	8,3	394	11,1
Mecklenburgische Seenplatte	46	14,8	41	14,0	43	14,4	56	17,7	58	17,1	54	17,0	45	12,6	11	3,5	13	4,3	55	14,8	60	17,1	482	13,5
Nordwestmecklenburg	17	5,5	23	7,8	26	8,7	24	7,6	26	7,6	29	9,1	33	9,2	37	11,9	24	8,0	17	4,6	22	6,3	278	7,8
Rostock	40	12,9	45	15,4	41	13,8	34	10,8	41	12,1	46	14,5	50	14,0	53	17,0	43	14,4	49	13,2	58	16,6	500	14,0
Schwerin	21	6,8	9	3,1	21	7,0	21	6,6	22	6,5	8	2,5	21	5,9	28	9,0	15	5,0	18	4,9	21	6,0	205	5,8
Vorpommern-Greifswald	45	14,5	49	16,7	56	18,8	42	13,3	70	20,6	52	16,4	65	18,2	55	17,7	70	23,4	65	17,5	57	16,3	626	17,6
Vorpommern-Rügen	48	15,5	53	18,1	52	17,4	48	15,2	50	14,7	44	13,9	48	13,4	51	16,4	64	21,4	60	16,2	54	15,4	572	16,1
nicht zuordenbar	6	1,9	1	0,3	1	0,3	2	0,6	1	0,3	2	0,6	0	0	0	0	0	0	1	0,3	0	0	14	0,4
Summe	310	100,0	293	100,0	298	100,0	316	100,0	340	100,0	317	100,0	357	100,0	311	100,0	299	100,0	371	100,0	350	100,0	3562	100,0

27.4 Rohe und standardisierte Neuerkrankungsraten pro 100.000 Einwohner in den Jahren 2008-2018 (Wohnort)

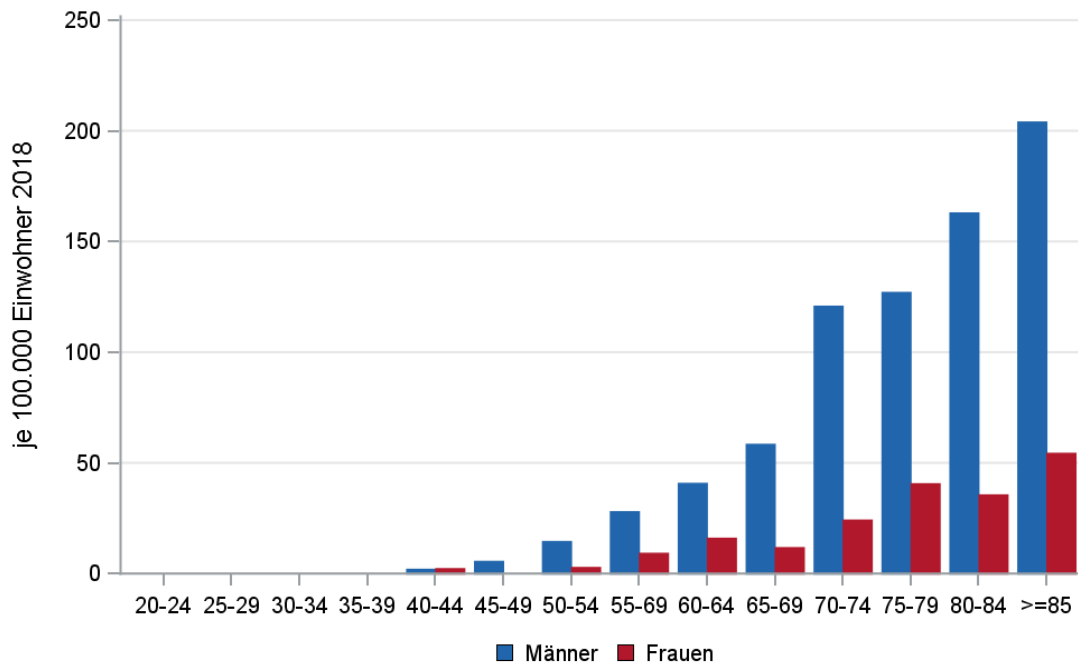
Tab. 27.4. C67: Neuerkrankungsrate/100.000 Einwohner (Alter > 19)

Diagnosejahr	Männer			Frauen		
	absolute Anzahl der Neuerkrankungen	rohe Rate in M-V	altersstandardisierte Rate	absolute Anzahl der Neuerkrankungen	rohe Rate in M-V	altersstandardisierte Rate
2008	216	31,2	26,0	94	13,2	8,2
2009	206	29,8	23,0	87	12,2	7,8
2010	211	30,6	23,2	87	12,2	7,3
2011	223	33,2	23,5	93	13,3	7,8
2012	249	37,4	26,0	91	13,1	7,0
2013	239	36,1	24,6	78	11,3	5,3
2014	266	40,3	26,8	91	13,2	7,3
2015	237	35,8	23,8	74	10,8	5,5
2016	217	32,8	21,4	82	11,9	6,2
2017	292	44,4	27,4	79	11,5	6,0
2018	258	39,4	24,7	92	13,4	6,6
2008-2018	2614	35,5	24,6	948	12,4	6,8



© KKR-MV 2020

Abb. 27.3. C67: Absolute Anzahl der Neuerkrankungen aufgelistet in 5-Jahres-Altersgruppen und nach Geschlecht im Diagnosezeitraum 2008 bis 2018 (Wohnort)



© KKR-MV 2020

Abb. 27.4. C67: Altersspezifische Rate der Neuerkrankungen je 100.000 Einwohner (Diagnosejahr 2018) nach 5-Jahres-Altersgruppen und Geschlecht (Wohnort)

27.5 Alter der in den Jahren 2008 - 2018 in M-V neuerkrankten Patienten (Behandlungsort)

Tab. 27.5. C67: Erkrankungsalter (Behandlungsort)

Diagnosejahr	Männer				Frauen			
	Anzahl	Median	Minimum	Maximum	Anzahl	Median	Minimum	Maximum
2008	231	70	29	99	97	72	44	98
2009	219	72	43	92	93	74	27	90
2010	223	71	43	90	90	75	38	93
2011	231	73	37	93	97	75	34	91
2012	262	73	44	91	99	76	50	94
2013	249	73	39	92	87	77	43	90
2014	282	74	36	94	97	76	36	96
2015	255	73	42	93	80	77	44	90
2016	232	72	30	93	86	77	43	93
2017	304	76	44	94	87	75	39	95
2018	276	74	41	95	98	77	44	97

27.6 Absolute Anzahl der erfassten Neuerkrankungen in M-V in den Jahren 2008 – 2018 nach Lokalisation

Tab. 27.6. C67: Absolute Anzahl und prozentualer Anteil der Neuerkrankungen nach der Lokalisation (Behandlungsort)

Lokalisation	2008	2009	2010	2011	2012	2013	2014	2015	2016	2017	2018	Summe	
												Anzahl	%
C67.0 Trigonum vesicae	4	3	4	20	8	15	7	5	6	6	9	87	2,3
C67.1 Fundus	3	3	5	2	9	3	10	6	9	20	15	85	2,3
C67.2 Laterale Blasenwand	35	31	56	22	38	51	54	67	55	91	83	583	15,4
C67.3 Vordere Blasenwand	2	3	5	5	7	1	6	4	5	7	11	56	1,5
C67.4 Hintere Blasenwand	8	10	13	10	7	11	22	10	18	25	31	165	4,4
C67.5 Blasenhal	2	1	2	1	1	6	5	4	3	5	10	40	1,1
C67.6 Ureterostien	4	6	7	4	2	4	7	4	11	16	10	75	2,0
C67.7 Urachus	0	1	1	1	2	2	1	0	1	1	0	10	0,3
C67.8 Harnblase (mehrere Teilbereiche überlappend)	96	95	94	128	174	146	134	96	105	113	96	1277	33,8
C67.9 Harnblase o.n.A.	174	159	126	135	113	97	133	139	105	107	109	1397	37,0
Summe	328	312	313	328	361	336	379	335	318	391	374	3775	100,0

27.7 Histologische Befunde bei allen neuerkrankten Patienten in M-V in den Jahren 2008 – 2018

Tab. 27.7. C67: Histologische Befunde bei neuerkrankten Patienten (Behandlungsort)

Histologiecode	Anzahl	Prozent
8120/3: Übergangszellkarzinom o.n.A.	2555	67,7
8130/3: Papilläres Übergangszellkarzinom	923	24,5
8070/3: Plattenepithelkarzinom o.n.A.	59	1,6
8071/3: Verhornendes Plattenepithelkarzinom o.n.A.	37	1,0
8131/3: Mikropapilläres Übergangszellkarzinom	22	0,6
8122/3: Spindelzelliges Übergangszellkarzinom	21	0,6
8072/3: Großzelliges nichtverhornendes Plattenepithelkarzinom o.n.A.	5	0,1
8050/3: Papilläres Karzinom o.n.A.	1	0,0
8051/3: Verruköses Karzinom o.n.A.	1	0,0
8052/3: Nichtinvasives papilläres Plattenepithelkarzinom	1	0,0
8076/3: Mikroinvasives Plattenepithelkarzinom	1	0,0
8082/3: Lymphoepitheliales Karzinom	1	0,0
8121/3: Schneider-Karzinom	1	0,0
8123/3: Basaloidkarzinom	1	0,0
Plattenepithel- und Übergangsepithelkarzinome	3629	96,15
8140/3: Adenokarzinom o.n.A.	31	0,8
8310/3: Klarzelliges Adenokarzinom o.n.A.	4	0,1
8230/3: Solides Karzinom o.n.A.	3	0,1
8480/3: Muzinöses Adenokarzinom	3	0,1
8260/3: Papilläres Adenokarzinom o.n.A.	2	0,1
8141/3: Szirrhöses Adenokarzinom	1	0,0
8144/3: Adenokarzinom vom intestinalen Typ	1	0,0
8490/3: Siegelringzellkarzinom	1	0,0
8560/3: Adenosquamöses Karzinom	1	0,0

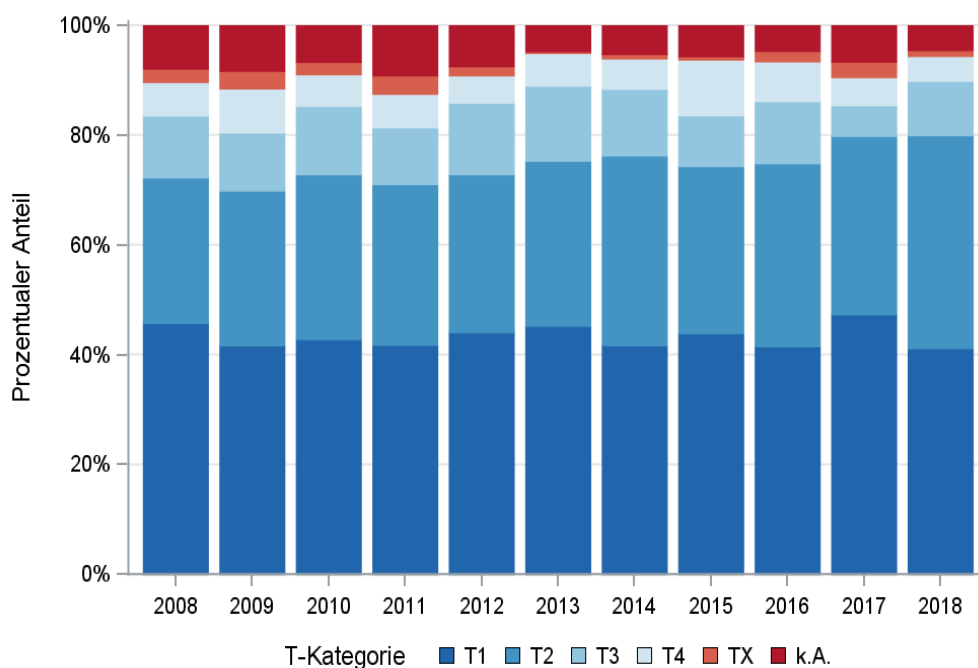
Histologiecode	Anzahl	Prozent
8574/3: Adenokarzinom mit neuroendokriner Differenzierung	1	0,0
Adenokarzinome	48	1,29
8041/3: Kleinzelliges Karzinom o.n.A.	51	1,4
8010/3: Karzinom o.n.A.	23	0,6
8020/3: Undifferenziertes Karzinom o.n.A.	11	0,3
8033/3: Pseudosarkomatöses Karzinom	11	0,3
8031/3: Riesenzellkarzinom	1	0,0
8045/3: Kombiniertes kleinzelliges Karzinom	1	0,0
epithelialen Neoplasien o.n.A	98	2,6

27.8 Tumorgroße und Ausdehnung (TNM)

Tab. 27.8. C67: Absolute Anzahl der Neuerkrankungen klassifiziert nach der Tumorgroße in Bezug zu der Auflage der TNM-Klassifikation (Behandlungsort)

Tumorgroße (T)	TNM Auflage 6		TNM Auflage 7		TNM Auflage 8		k.A. zur TNM Auflage		Summe	
	Anzahl	%	Anzahl	%	Anzahl	%	Anzahl*	%	Anzahl	%
T1	241	47,6	1075	45,1	322	46,5	-	-	1638	43,4
T2	152	30,0	780	32,7	249	36,0	-	-	1181	31,3
T3	58	11,5	290	12,2	60	8,7	-	-	408	10,8
T4	36	7,1	168	7,0	32	4,6	-	-	236	6,3
TX	10	2,0	44	1,8	15	2,2	-	-	69	1,8
k.A.	9	1,8	26	1,1	14	2,0	194	100,0	243	6,4
Summe	506	100,0	2383	100,0	692	100,0	194	100,0	3775	100,0

*In einzelnen Fällen wurden Angaben zur Tumorgroße ohne Bezug zu einer TNM Auflage gemacht. Diese Angaben wurden in die Kategorie k.A. aufgenommen.



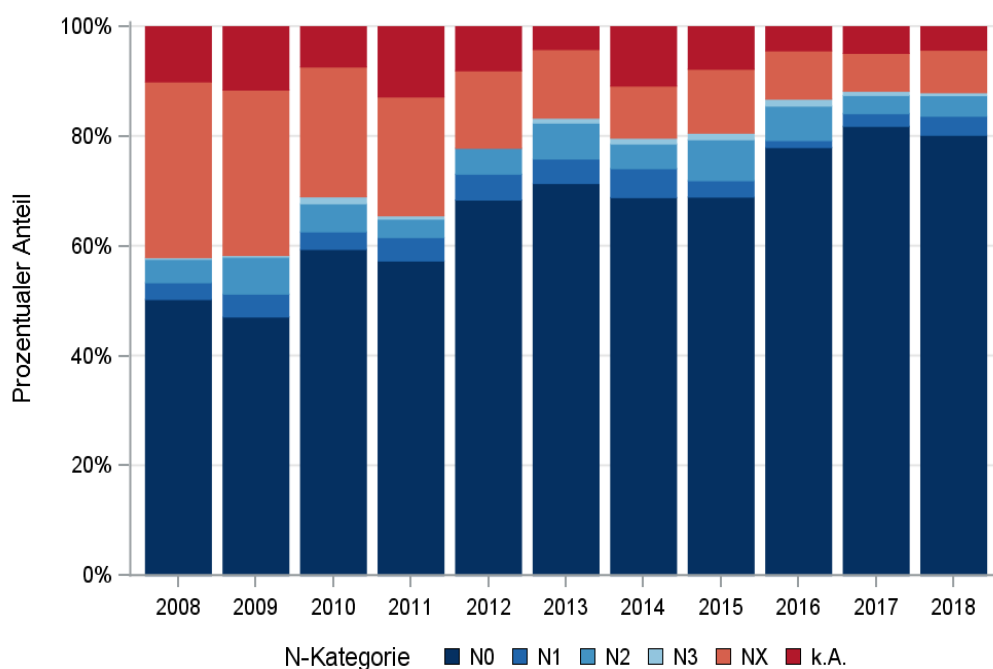
© KKR-MV 2020

Abb. 27.5. C67: Prozentualer Anteil der Neuerkrankungen nach der Tumorgroße im Diagnosezeitraum 2008 bis 2018

Tab. 27.9. C67: Absolute Anzahl der Neuerkrankungen mit bzw. ohne Befall der regionären Lymphknoten in Bezug zu der Auflage der TNM-Klassifikation (Behandlungsort)

N-Kategorie	TNM Auflage 6		TNM Auflage 7		TNM Auflage 8		k.A. zur TNM Auflage		Summe	
	Anzahl	%	Anzahl	%	Anzahl	%	Anzahl*	%	Anzahl	%
N0	258	51,0	1698	71,3	577	83,4	-	-	2533	67,1
N1	19	3,8	95	4,0	21	3,0	-	-	135	3,6
N2	27	5,3	136	5,7	27	3,9	-	-	190	5,0
N3	3	0,6	21	0,9	4	0,6	-	-	28	0,7
NX	178	35,2	362	15,2	56	8,1	-	-	596	15,8
k.A.	21	4,2	71	3,0	7	1,0	194	100,0	293	7,8
Summe	506	100,0	2383	100,0	692	100,0	194	100,0	3775	100,0

*In einzelnen Fällen wurden Angaben zur N-Kategorie ohne Bezug zu einer TNM Auflage gemacht. Diese Angaben wurden in die Kategorie k.A. aufgenommen.



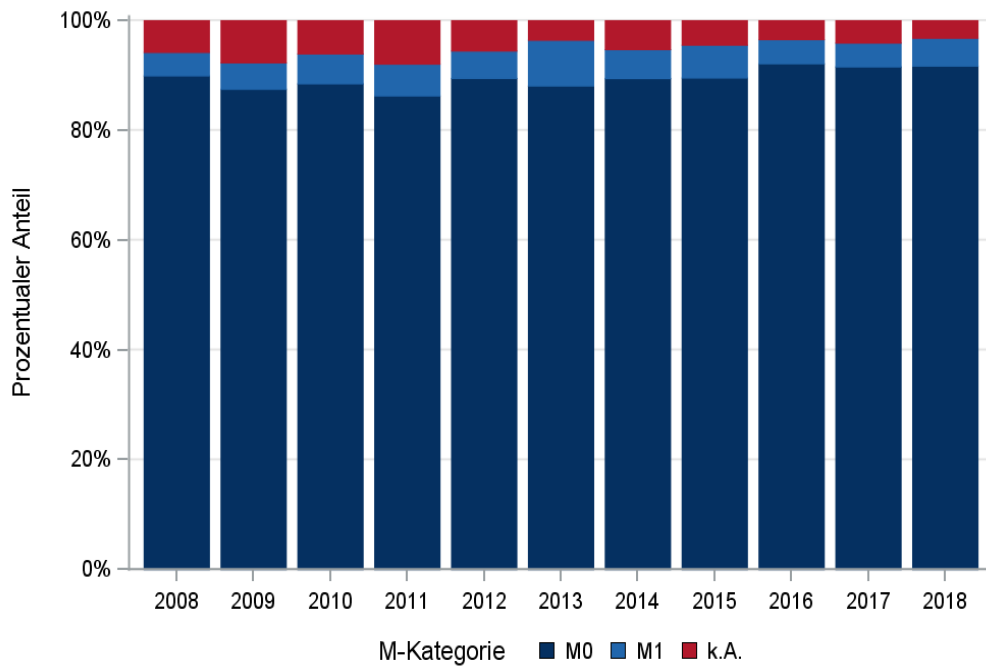
© KKR-MV 2020

Abb. 27.6. C67: Prozentualer Anteil der Neuerkrankungen mit und ohne Befall der regionären Lymphknoten zum Zeitpunkt der Erstdiagnose im Diagnosezeitraum 2008 bis 2018

Tab. 27.10. C67: Absolute Anzahl der Neuerkrankungen mit Fernmetastasierung in Bezug zu der Auflage der TNM-Klassifikation (Behandlungsort)

M-Kategorie	TNM Auflage 6		TNM Auflage 7		TNM Auflage 8		k.A. zur TNM Auflage		Summe	
	Anzahl	%	Anzahl	%	Anzahl	%	Anzahl*	%	Anzahl	%
M0	483	95,5	2239	94,0	658	95,1	-	-	3380	89,5
M1	23	4,5	144	6,0	34	4,9	-	-	201	5,3
k.A.	0	0	0	0	0	0	194	100,0	194	5,1
Summe	506	100,0	2383	100,0	692	100,0	194	100,0	3775	100,0

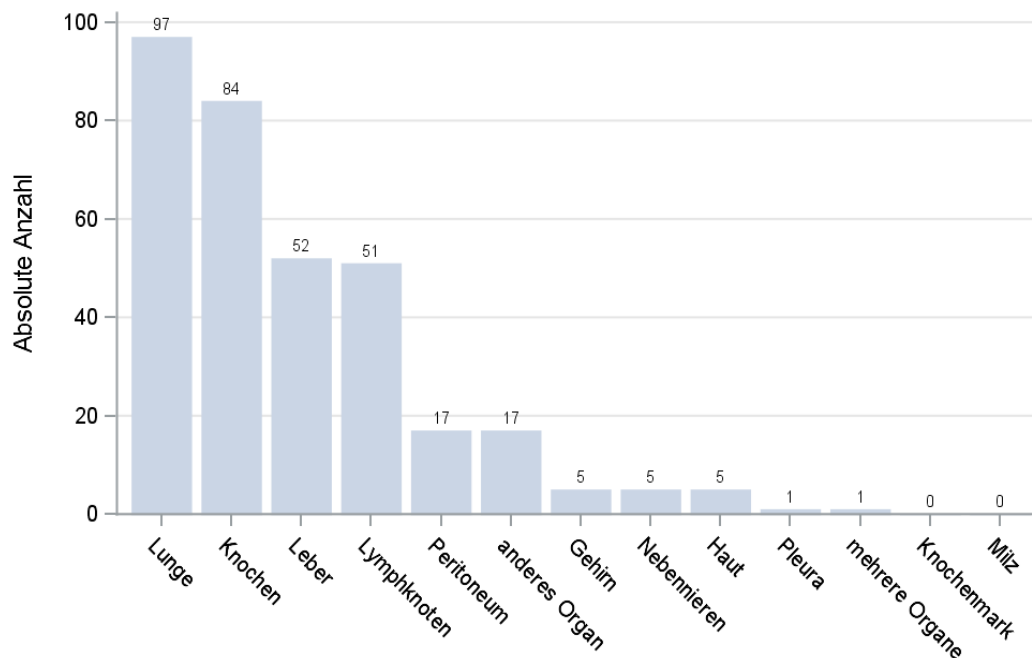
*In einzelnen Fällen wurden Angaben zur M-Kategorie ohne Bezug zu einer TNM Auflage gemacht. Diese Angaben wurden in die Kategorie k.A. aufgenommen.



© KKR-MV 2020

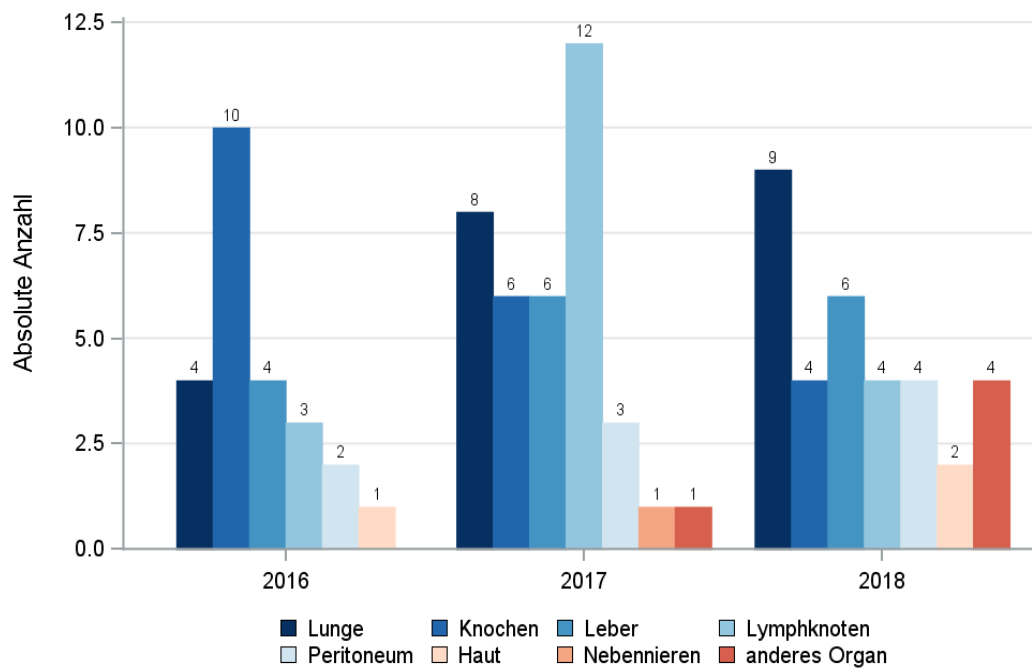
Abb. 27.7. C67: Prozentualer Anteil der primären Fernmetastasierung im Diagnosezeitraum 2008 bis 2018

27.9 Lokalisation der Fernmetastasen



© KKR-MV 2020

Abb. 27.8. C67: Lokalisation der Fernmetastasen bei Neuerkrankungen im Diagnosezeitraum 2008 bis 2018



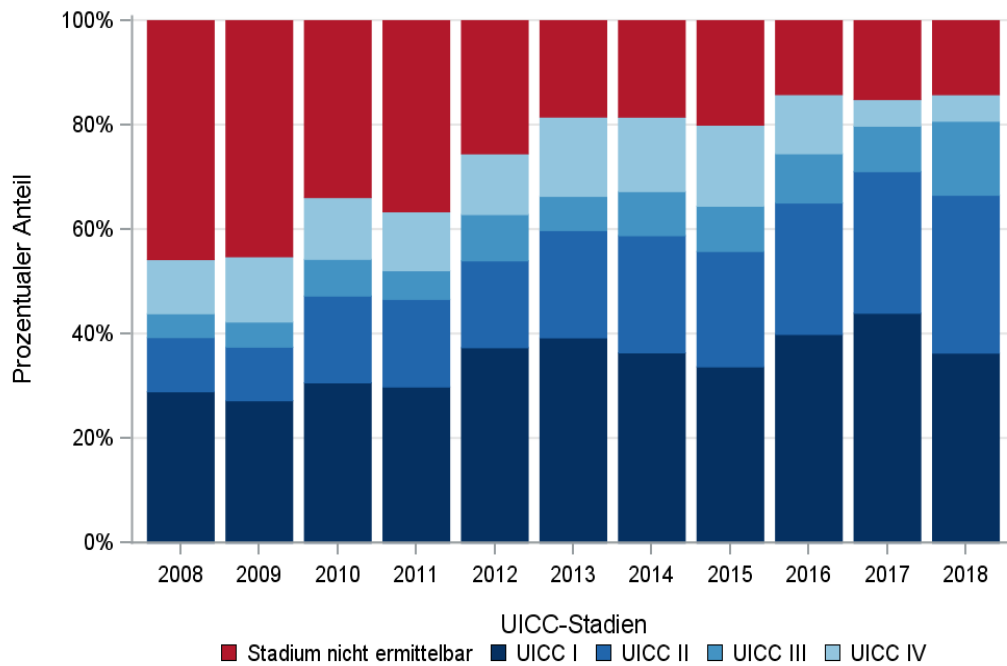
© KKR-MV 2020

Abb.27.9. C67: Lokalisation der Fernmetastasen bei Neuerkrankungen für die Diagnosejahre 2016 bis 2018

27.10 Tumorstadien nach UICC

Tab. 27.11. C67: Primäre UICC-Stadien (Behandlungsort)

Jahre	UICC I		UICC II		UICC III		UICC IV		Stadium nicht ermittelbar		Summe	
	Anzahl	%	Anzahl	%	Anzahl	%	Anzahl	%	Anzahl	%	Anzahl	%
2008	95	29,0	34	10,4	15	4,6	34	10,4	150	45,7	328	100,0
2009	85	27,2	32	10,3	15	4,8	39	12,5	141	45,2	312	100,0
2010	96	30,7	52	16,6	22	7,0	37	11,8	106	33,9	313	100,0
2011	98	29,9	55	16,8	18	5,5	37	11,3	120	36,6	328	100,0
2012	135	37,4	60	16,6	32	8,9	42	11,6	92	25,5	361	100,0
2013	132	39,3	69	20,5	22	6,5	51	15,2	62	18,5	336	100,0
2014	138	36,4	85	22,4	32	8,4	54	14,2	70	18,5	379	100,0
2015	113	33,7	74	22,1	29	8,7	52	15,5	67	20,0	335	100,0
2016	127	39,9	80	25,2	30	9,4	36	11,3	45	14,2	318	100,0
2017	172	44,0	106	27,1	34	8,7	20	5,1	59	15,1	391	100,0
2018	136	36,4	113	30,2	53	14,2	19	5,1	53	14,2	374	100,0
Summe	1327	35,2	760	20,1	302	8,0	421	11,2	965	25,6	3775	100,0



© KKR-MV 2020

Abb. 27.10. C67: Prozentuale Anteile der UICC-Tumorstadien in den Diagnosejahren 2008 bis 2018

27.11 Dokumentierte Therapie bis max. 12 Monate nach Diagnosestellung

27.11.1 Therapiekombinationen, Stellung der Therapie und Intention der dokumentierten Therapien

Tab. 27.12. C67: Therapiekombinationen (Operation, Strahlentherapie, systemische Therapie) pro Diagnosejahr (Behandlungsort)

Therapiekombinationen	2008	2009	2010	2011	2012	2013	2014	2015	2016	2017	2018	Summe
Alleinige Operation	209	197	194	200	240	220	238	240	214	285	291	2528
Alleinige systemische Therapie	1	1	1	1	2	4	2	2	1	4	0	19
Alleinige Strahlentherapie	1	1	1	2	1	2	1	2	4	1	1	17
Operation und systemische Therapie, keine Strahlentherapie	92	90	91	91	98	88	111	65	69	74	59	928
Operation und Strahlentherapie, keine systemische Therapie	9	11	13	15	9	12	11	7	6	7	8	108
Systemische Therapie und Strahlentherapie, keine Operation	0	0	0	0	1	0	0	1	0	0	1	3
Operation und systemische Therapie und Strahlentherapie	4	2	2	3	2	5	5	3	2	5	5	38
Keine Operation, systemische Therapie oder Strahlentherapie	12	10	11	16	8	5	11	15	22	15	9	134
Summe	328	312	313	328	361	336	379	335	318	391	374	3775

Tab. 27.13. C67: Therapiekombinationen (Operation, Strahlentherapie, systemische Therapie) in Abhängigkeit von dem UICC-Stadium (Behandlungsort)

Therapiekombinationen	UICC I	UICC II	UICC III	UICC IV	Stadium nicht ermittelbar	Summe
Alleinige Operation	891	566	212	190	669	2528
Alleinige systemische Therapie	3	5	0	8	3	19
Alleinige Strahlentherapie	1	8	1	3	4	17
Operation und systemische Therapie, keine Strahlentherapie	410	92	77	182	167	928
Operation und Strahlentherapie, keine systemische Therapie	8	46	5	14	35	108
Systemische Therapie und Strahlentherapie, keine Operation	0	1	2	0	0	3
Operation und systemische Therapie und Strahlentherapie	1	14	3	13	7	38
Keine Operation, systemische Therapie oder Strahlentherapie	13	28	2	11	80	134
Summe	1327	760	302	421	965	3775

Tab. 27.14a. C67: Stellung der Strahlentherapie zur operativen Therapie im ersten Jahr der Erkrankung (adjuvant/neoadjuvant, Behandlungsort)

Stellung der Strahlentherapie zur operativen Therapie	2008	2009	2010	2011	2012	2013	2014	2015	2016	2017	2018	Summe
Adjuvante (postoperative) Strahlentherapie	5	7	6	9	5	13	11	8	4	6	12	86
Therapie ohne Bezug zu einer operativen Therapie	0	1	2	2	2	2	4	1	3	4	1	22
unbekannt	8	5	7	7	4	2	1	1	1	2	0	38
Summe	13	13	15	18	11	17	16	10	8	12	13	146

Tab. 27.14b. C67: Stellung der systemischen Therapie zur operativen Therapie im ersten Jahr der Erkrankung (adjuvant/neoadjuvant, Behandlungsort)

Stellung der systemischen Therapie zur operativen	2008	2009	2010	2011	2012	2013	2014	2015	2016	2017	2018	Summe
Adjuvante (postoperative) Therapie	59	62	68	62	66	59	61	40	41	50	41	609
Therapie ohne Bezug zu einer operativen Therapie	11	9	8	10	9	11	13	5	4	8	12	100
Intraoperative Therapie	1	3	6	3	3	11	16	6	12	11	9	81
Neoadjuvante (präoperative) Therapie	3	0	1	0	1	2	6	5	4	6	2	30
unbekannt	22	18	10	19	21	10	20	12	10	4	0	146
Summe	96	92	93	94	100	93	116	68	71	79	64	966

Tab. 27.15a. C67: Intention bei der ersten Operation (Behandlungsort)

Intention der Operation	2008	2009	2010	2011	2012	2013	2014	2015	2016	2017	2018	Summe
Kurativ	245	231	236	251	294	267	310	246	239	325	325	2969
Palliativ bzw. symptomatisch	28	31	27	24	28	26	27	26	14	11	11	253
Sonstige/Unbekannt/Keine Angabe	41	38	37	34	27	32	28	43	38	35	27	380
Summe	314	300	300	309	349	325	365	315	291	371	363	3602

Tab. 27.15b. C67: Intention der initialen Bestrahlung (Behandlungsort)

Intention der Bestrahlung	2008	2009	2010	2011	2012	2013	2014	2015	2016	2017	2018	Summe
Kurativ	1	4	6	4	4	9	7	5	7	8	6	61
Palliativ bzw. symptomatisch	2	3	2	5	4	5	9	7	4	5	9	55
Sonstige/Unbekannt/Keine Angabe	11	7	8	11	5	5	1	1	1	0	0	50
Summe	14	14	16	20	13	19	17	13	12	13	15	166

Tab. 27.15c. C67: Intention bei der ersten systemischen Therapie (Behandlungsort)

Intention der systemischen Therapie	2008	2009	2010	2011	2012	2013	2014	2015	2016	2017	2018	Summe
Kurativ	58	58	66	60	64	62	70	45	45	59	47	634
Palliativ bzw. symptomatisch	11	13	14	12	14	19	24	8	13	15	18	161
Sonstige/Unbekannt/Keine Angabe	28	22	14	23	25	16	24	18	14	9	0	193
Summe	97	93	94	95	103	97	118	71	72	83	65	988

Tab. 27.16. C67: Zeitraum zwischen Diagnose und Beginn der ersten Therapie nach Therapieart (Angaben in Tagen, Behandlungsort)

Therapie	Anzahl	Median	Minimum	Maximum
Diagnose und erste Operation	3602	0	0	365
Diagnose und erste Bestrahlung	166	84	0	359
Diagnose und erste system. Therapie	988	56	0	365

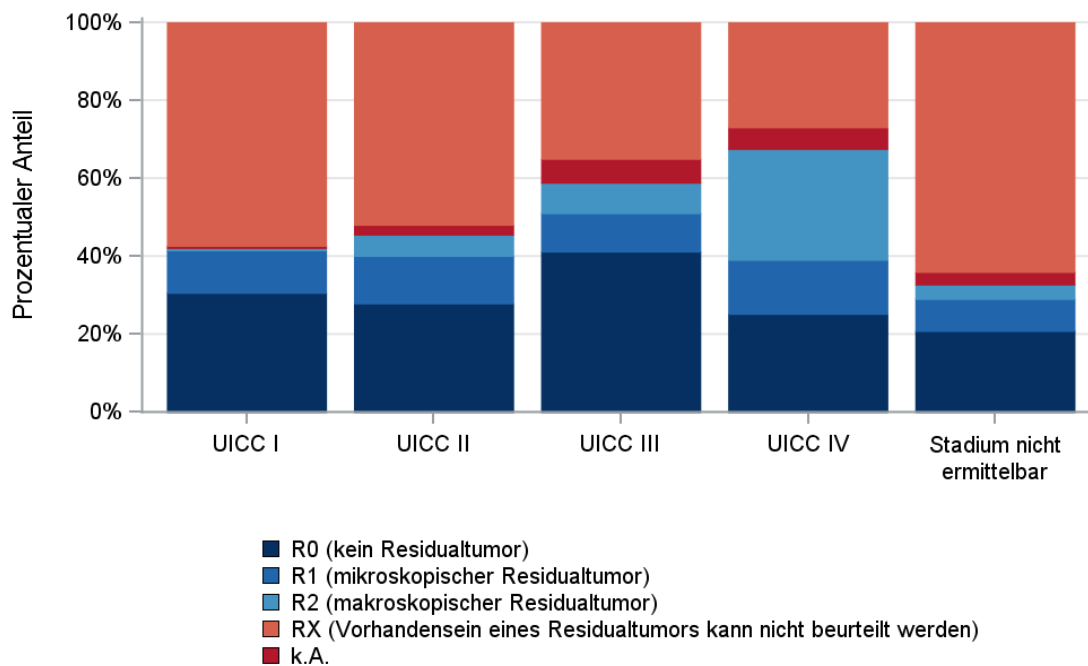
27.11.2 Dokumentierte tumorspezifische Operation bis max.12 Monate nach Diagnosestellung

Tab. 27.17. C67: Dokumentierte tumorspezifische Operation nach UICC (Behandlungsort)

Operationen	UICC I	UICC II	UICC III	UICC IV	Stadium nicht ermittelbar	Summe	
						Anzahl	%
Tumorresektion	1265	667	261	353	838	3384	93,9
Tumor- und Lymphknotenresektion	27	47	33	44	27	178	4,9
Lymphknotenresektion	0	0	0	0	1	1	0,0
sonstige OP	0	2	1	1	3	7	0,2
keine Angabe	18	2	2	1	9	32	0,9
Summe	1310	718	297	399	878	3602	100,0

Tab. 27.18. C67: Residualklassifikation nach Tumorresektion im Diagnosezeitraum 2008-2018

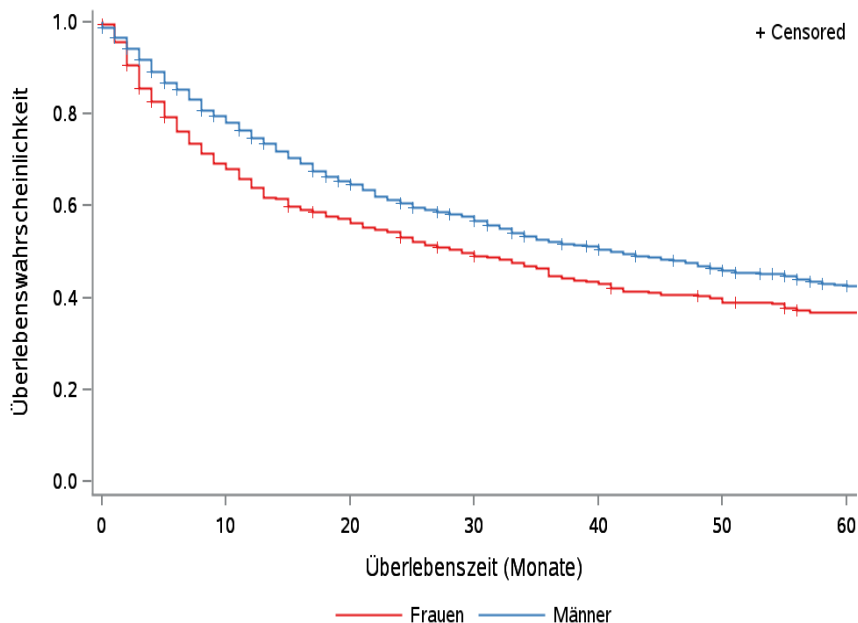
R-Klassifikation	UICC I	UICC II	UICC III	UICC IV	Stadium nicht ermittelbar	Summe	
						Anzahl	%
R0 (kein Residualtumor)	395	199	121	100	180	995	27,9
R1 (mikroskopischer Residualtumor)	141	87	29	55	71	383	10,8
R2 (makroskopischer Residualtumor)	8	39	23	113	32	215	6,0
RX (Vorhandensein eines Residualtumors kann nicht beurteilt werden)	741	371	103	107	554	1876	52,7
keine Angabe	7	18	18	22	28	93	2,6
Summe	1292	714	294	397	865	3562	100,0



© KKR-MV 2020

Abb.27.11. C67: Residualklassifikation nach Tumorresektion in Abhängigkeit von UICC-Tumorstadium im Diagnosezeitraum 2008 bis 2018

27.12 Überlebensanalysen bei den in den Jahren 2008 – 2013 primär diagnostizierten Patienten

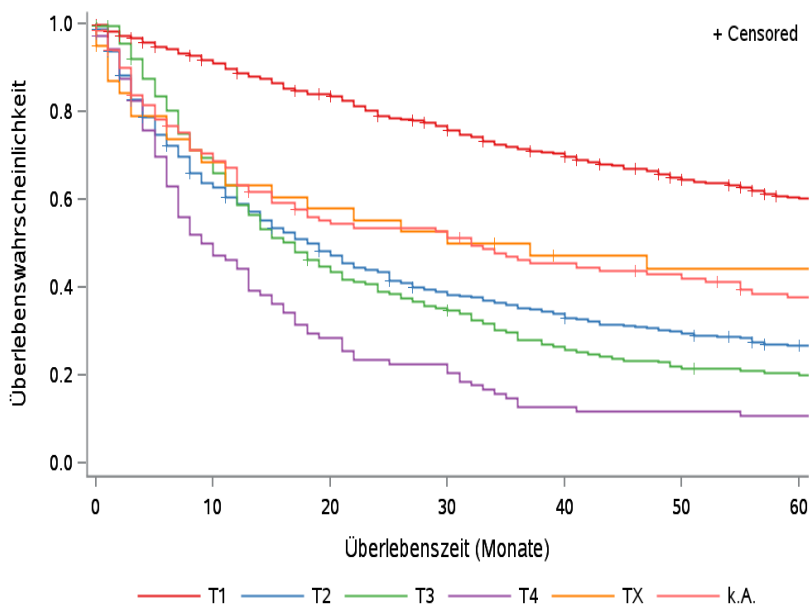


© KKR-MV 2020

Abb. 27.12. C67: Wahrscheinlichkeit des Überlebens (Kaplan-Meier-Analyse) nach Geschlecht im Diagnosezeitraum von 2008 bis 2013 (Wohnort). Kaplan-Meier-Kurven werden für Kategorien mit weniger als 10 Neuerkrankungen nicht dargestellt.

Tab. 27.19. C67: Anzahl der unter Risiko stehenden Neuerkrankungen (Monate nach Diagnose)

Geschlecht	0 Monate	20 Monate	40 Monate	60 Monate
Männer	1343	834	636	516
Frauen	530	290	218	180



© KKR-MV 2020

Abb. 27.13. C67: Wahrscheinlichkeit des Überlebens (Kaplan-Meier-Analyse) nach Tumorstadium im Diagnosezeitraum von 2008 bis 2013 (Wohnort). Kaplan-Meier-Kurven werden für Kategorien mit weniger als 10 Neuerkrankungen nicht dargestellt.

Tab. 27.20. C67: Anzahl der unter Risiko stehenden Neuerkrankungen nach Tumorgröße (Monate nach Diagnose)

T-Kategorie	0 Monate	20 Monate	40 Monate	60 Monate
T1	823	659	540	452
T2	543	247	172	131
T3	227	99	58	44
T4	107	29	13	11
TX	39	22	16	15
k.A.	134	68	55	43

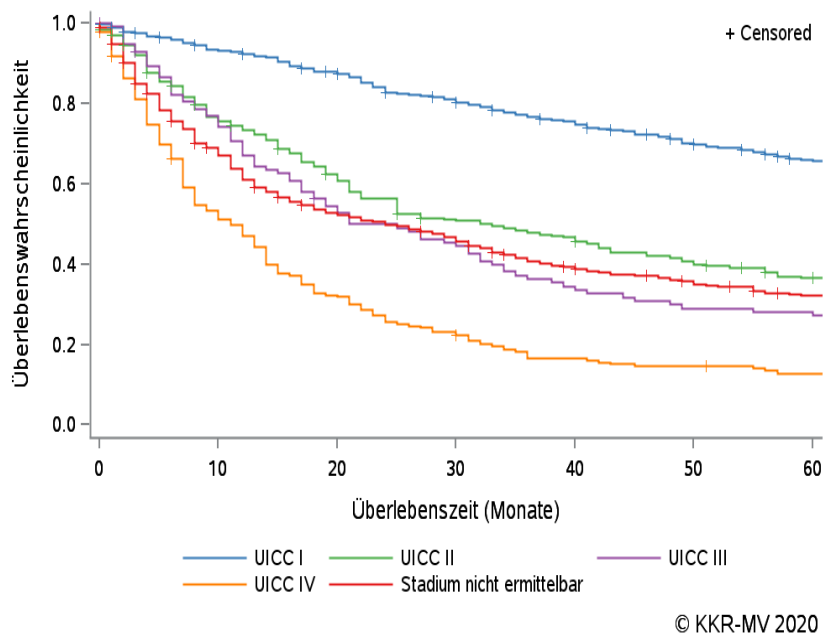
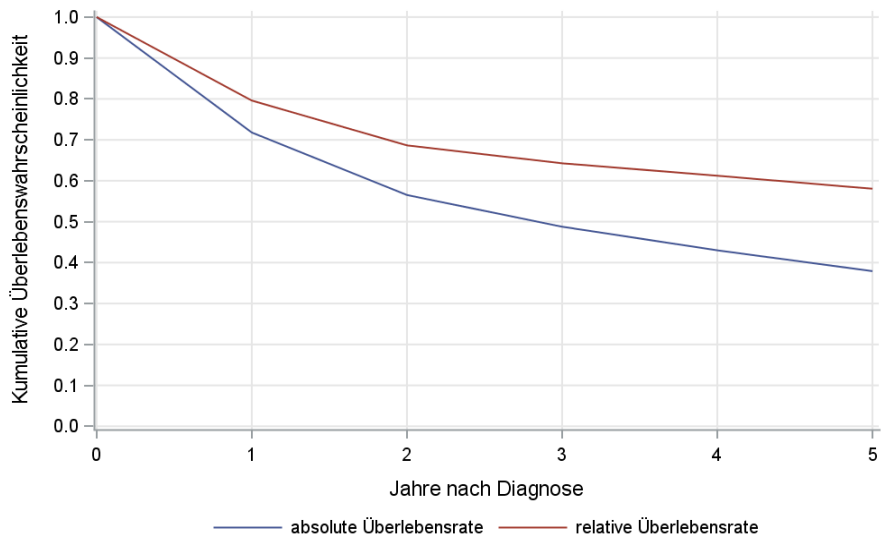


Abb. 27.14. C67: Wahrscheinlichkeit des Überlebens (Kaplan-Meier-Analyse) nach UICC-Tumorstadium im Diagnosezeitraum von 2008 bis 2013 (Wohnort). Kaplan-Meier-Kurven werden für Kategorien mit weniger als 10 Neuerkrankungen nicht dargestellt.

Tab. 27.21. C67: Anzahl der unter Risiko stehenden Neuerkrankungen nach UICC-Stadium (Monate nach Diagnose)

UICC-Stadium	0 Monate	20 Monate	40 Monate	60 Monate
UICC I	605	506	424	360
UICC II	288	171	126	95
UICC III	114	60	38	31
UICC IV	231	72	36	27
Stadium nicht ermittelbar	635	315	230	183

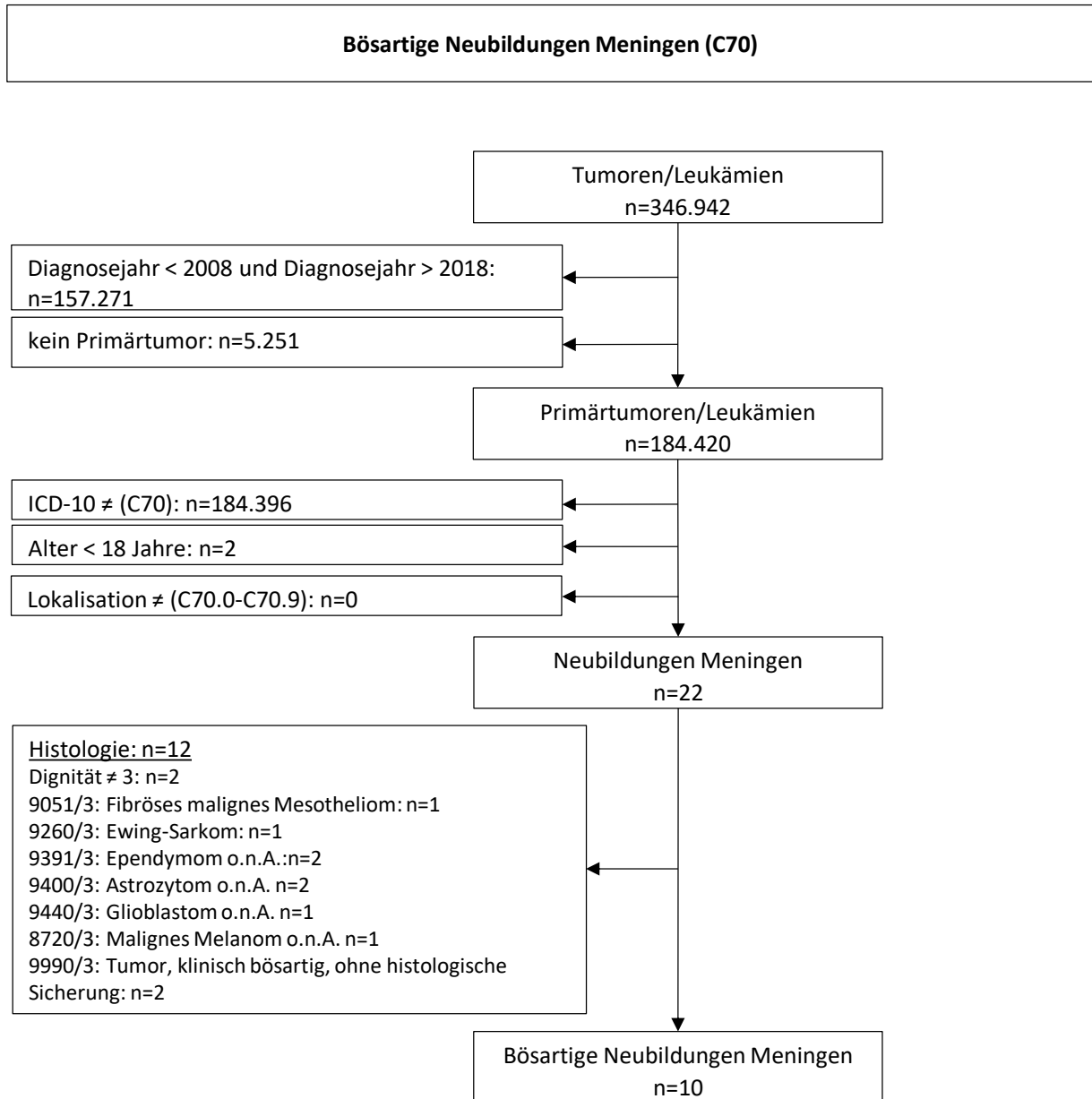


© KKR-MV 2020

Abb. 27.15. C67: Absolutes und relatives Überleben im Diagnosezeitraum 2008 bis 2013 (Wohnort, Alter > 19)

28 Meningen (C70)

28.1 Consort-Statement: Darstellung der Auswertepopulation

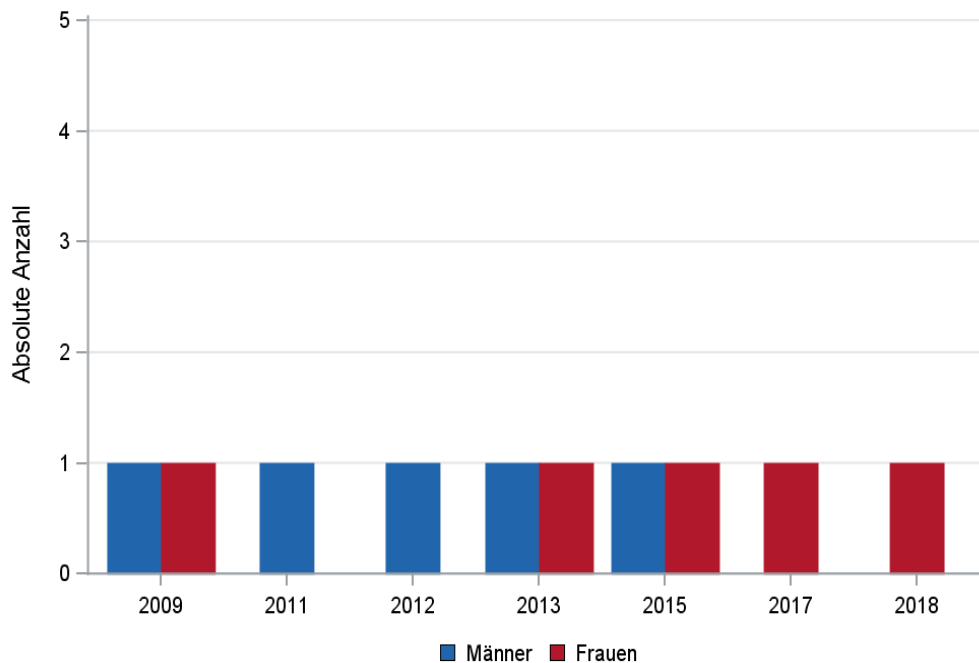


*Erläuterungen zu den Ausschlüssen finden Sie im Kapitel 4 (Methode)

28.2 Absolute Anzahl der erfassten Neuerkrankungen in M-V in den Jahren 2008 – 2018 nach Geschlecht (Behandlungsort, Wohnort)

Tab. 28.1. C70: Absolute Anzahl der Neuerkrankungen nach Geschlecht (Behandlungsort)

Diagnosejahr	Männer		Frauen		Summe
	Anzahl	%	Anzahl	%	
2009	1	50,0	1	50,0	2
2011	1	100,0	0	0	1
2012	1	100,0	0	0	1
2013	1	50,0	1	50,0	2
2015	1	50,0	1	50,0	2
2017	0	0	1	100,0	1
2018	0	0	1	100,0	1
Summe	5	50,0	5	50,0	10

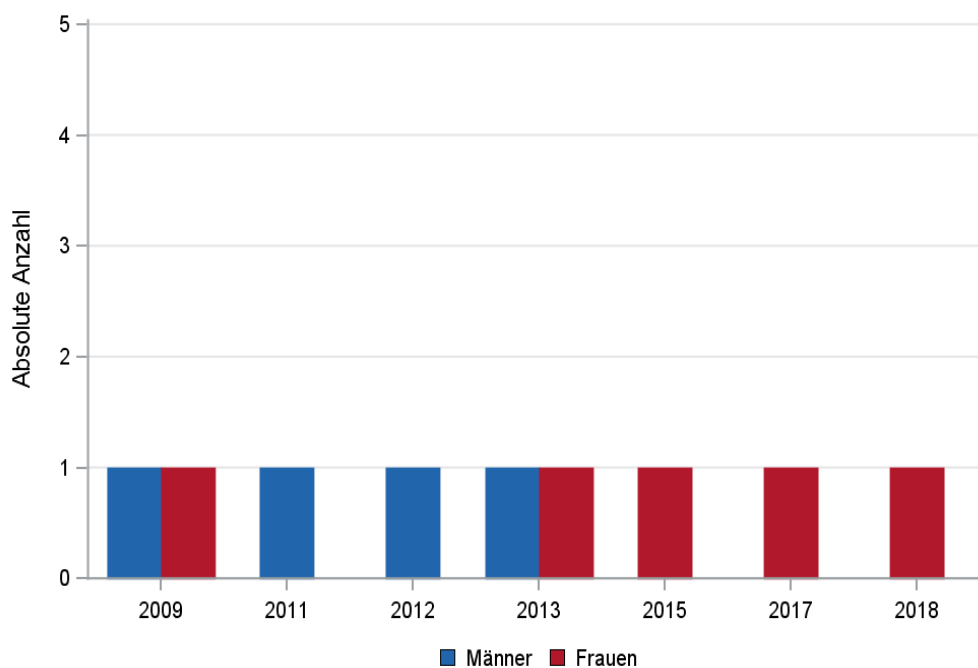


© KKR-MV 2020

Abb. 28.1. C70: Absolute Anzahl der Neuerkrankungen nach Geschlecht im Diagnosezeitraum 2008 bis 2018 (Behandlungsort)

Tab. 28.2. C70: Absolute Anzahl der Neuerkrankungen nach Geschlecht (Wohnort)

Diagnosejahr	Männer		Frauen		Summe
	Anzahl	%	Anzahl	%	
2009	1	50,0	1	50,0	2
2011	1	100,0	0	0	1
2012	1	100,0	0	0	1
2013	1	50,0	1	50,0	2
2015	0	0	1	100,0	1
2017	0	0	1	100,0	1
2018	0	0	1	100,0	1
Summe	4	44,4	5	55,6	9



© KKR-MV 2020

Abb. 28.2. C70: Absolute Anzahl der Neuerkrankungen nach Geschlecht im Diagnosezeitraum 2008 bis 2018 (Wohnort)

28.3 Absolute Anzahl der erfassten Neuerkrankungen in M-V in den Jahren 2008 – 2018 nach Landkreisen (Wohnort)

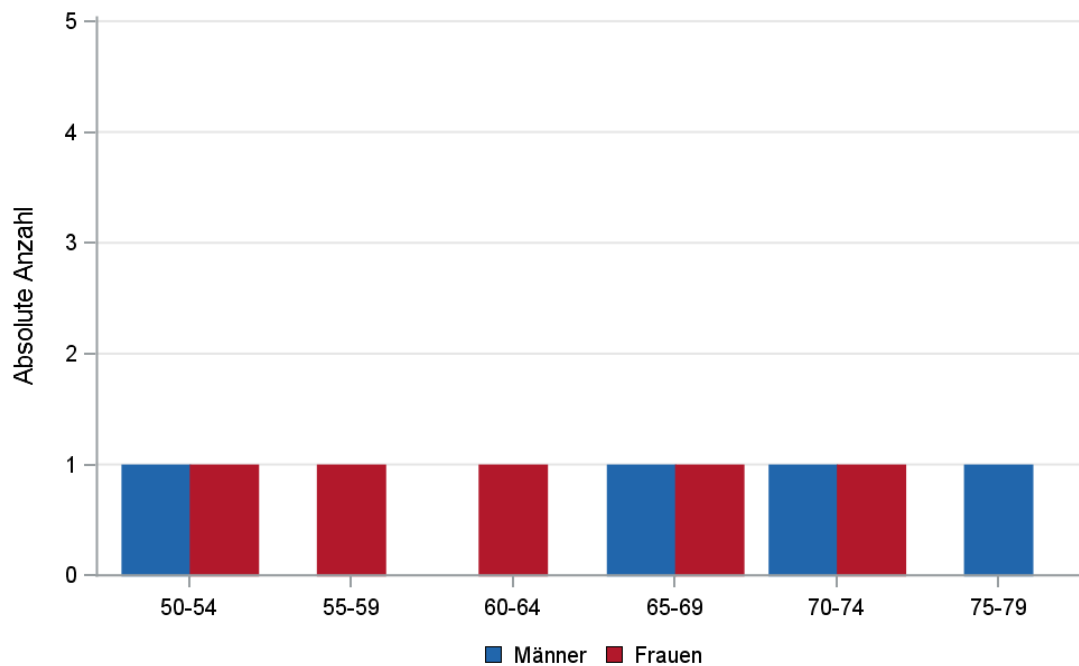
Tab. 28.3. C70: Absolute Anzahl und prozentualer Anteil der Neuerkrankungen nach Landkreisen

Landkreis	2009		2011		2012		2013		2015		2017		2018		Summe	
	Anzahl	%	Anzahl	%	Anzahl	%	Anzahl	%	Anzahl	%	Anzahl	%	Anzahl	%	Anzahl	%
Landkreis Rostock	0	0	0	0	0	0	1	50,0	0	0	0	0	0	0	1	11,1
Mecklenburgische Seenplatte	1	50,0	1	100,0	0	0	0	0	0	0	1	100,0	1	100,0	4	44,4
Nordwestmecklenburg	0	0	0	0	1	100,0	1	50,0	0	0	0	0	0	0	2	22,2
Rostock	1	50,0	0	0	0	0	0	0	0	0	0	0	0	0	1	11,1
Vorpommern-Greifswald	0	0	0	0	0	0	0	0	1	100,0	0	0	0	0	1	11,1
Summe	2	100,0	1	100,0	1	100,0	2	100,0	1	100,0	1	100,0	1	100,0	9	100,0

28.4 Rohe und standardisierte Neuerkrankungsraten pro 100.000 Einwohner in den Jahren 2008-2018 (Wohnort)

Tab. 28.4. C70: Neuerkrankungsrate/100.000 Einwohner (Alter > 19)

Diagnosejahr	Männer			Frauen		
	absolute Anzahl der Neuerkrankungen	rohe Rate in M-V	altersstandardisierte Rate	absolute Anzahl der Neuerkrankungen	rohe Rate in M-V	altersstandardisierte Rate
2009	1	0,1	0,1	1	0,1	0,1
2011	1	0,2	0,1	0	0,0	0,0
2012	1	0,2	0,2	0	0,0	0,0
2013	1	0,2	0,1	1	0,1	0,1
2015	0	0,0	0,0	1	0,2	0,1
2017	0	0,0	0,0	1	0,2	0,1
2018	0	0,0	0,0	1	0,2	0,1
2008-2018	4	0,1	0,0	5	0,1	0,1



© KKR-MV 2020

Abb. 28.3. C70: Absolute Anzahl der Neuerkrankungen aufgelistet in 5-Jahres-Altersgruppen und nach Geschlecht im Diagnosezeitraum 2008 bis 2018 (Wohnort)

28.5 Alter der in den Jahren 2008 - 2018 in M-V neuerkrankten Patienten (Behandlungsort)

Tab. 28.5. C70: Erkrankungsalter (Behandlungsort)

Diagnosejahr	Männer				Frauen			
	Anzahl	Median	Minimum	Maximum	Anzahl	Median	Minimum	Maximum
2009	1	52	52	52	1	67	67	67
2011	1	70	70	70	0	-	-	-
2012	1	67	67	67	0	-	-	-
2013	1	79	79	79	1	73	73	73
2015	1	62	62	62	1	54	54	54
2017	0	-	-	-	1	63	63	63
2018	0	-	-	-	1	57	57	57

28.6 Absolute Anzahl der erfassten Neuerkrankungen in M-V in den Jahren 2008 – 2018 nach Lokalisation

Tab. 28.6. C70: Absolute Anzahl und prozentualer Anteil der Neuerkrankungen nach der Lokalisation (Behandlungsort)

Lokalisation	2009	2011	2012	2013	2015	2017	2018	Summe	
								Anzahl	%
C70.0 Zerebrale Hirnhäute	2	1	0	0	2	1	1	7	63,6
C70.9 Hirnhäute o.n.A.	0	0	1	2	0	0	0	3	27,3
Summe	2	1	1	2	2	1	1	10	100,0

28.7 Histologische Befunde bei allen neuerkrankten Patienten in M-V in den Jahren 2008 – 2018

Tab. 28.7. C70: Histologische Befunde bei neuerkrankten Patienten (Behandlungsort)

Histologiecode	Anzahl	Prozent
9530/3: Malignes Meningeom	9	90,0
9538/3: Papilläres Meningeom	1	10,0
Tumoren der Hirnhäute	10	100,0

28.8 Dokumentierte Therapie bis max. 12 Monate nach Diagnosestellung

28.8.1 Therapiekombinationen und Intention der dokumentierten Therapien

Tab. 28.8. C70: Therapiekombinationen (Operation, Strahlentherapie, systemische Therapie) pro Diagnosejahr (Behandlungsort)

Therapiekombinationen	2009	2011	2012	2013	2015	2017	2018	Summe
Alleinige Operation	0	1	0	1	2	0	1	5
Operation und Strahlentherapie, keine systemische Therapie	2	0	1	1	0	1	0	5
Summe	2	1	1	2	2	1	1	10

Tab. 28.9a. C70: Intention bei der ersten Operation (Behandlungsort)

Intention der Operation	2009	2011	2012	2013	2015	2017	2018	Summe
Kurativ	2	1	1	2	1	0	0	7
Sonstige/Unbekannt/Keine Angabe	0	0	0	0	1	1	1	3
Summe	2	1	1	2	2	1	1	10

Tab. 28.9b. C70: Intention der initialen Bestrahlung (Behandlungsort)

Intention der Bestrahlung	2009	2012	2013	2017	Summe
Kurativ	0	0	1	1	2
Sonstige/Unbekannt/Keine Angabe	2	1	0	0	3
Summe	2	1	1	1	5

28.8.2 Dokumentierte tumorspezifische Operation bis max.12 Monate nach Diagnosestellung

Tab. 28.10. C70: Dokumentierte tumorspezifische Operation (Behandlungsort)

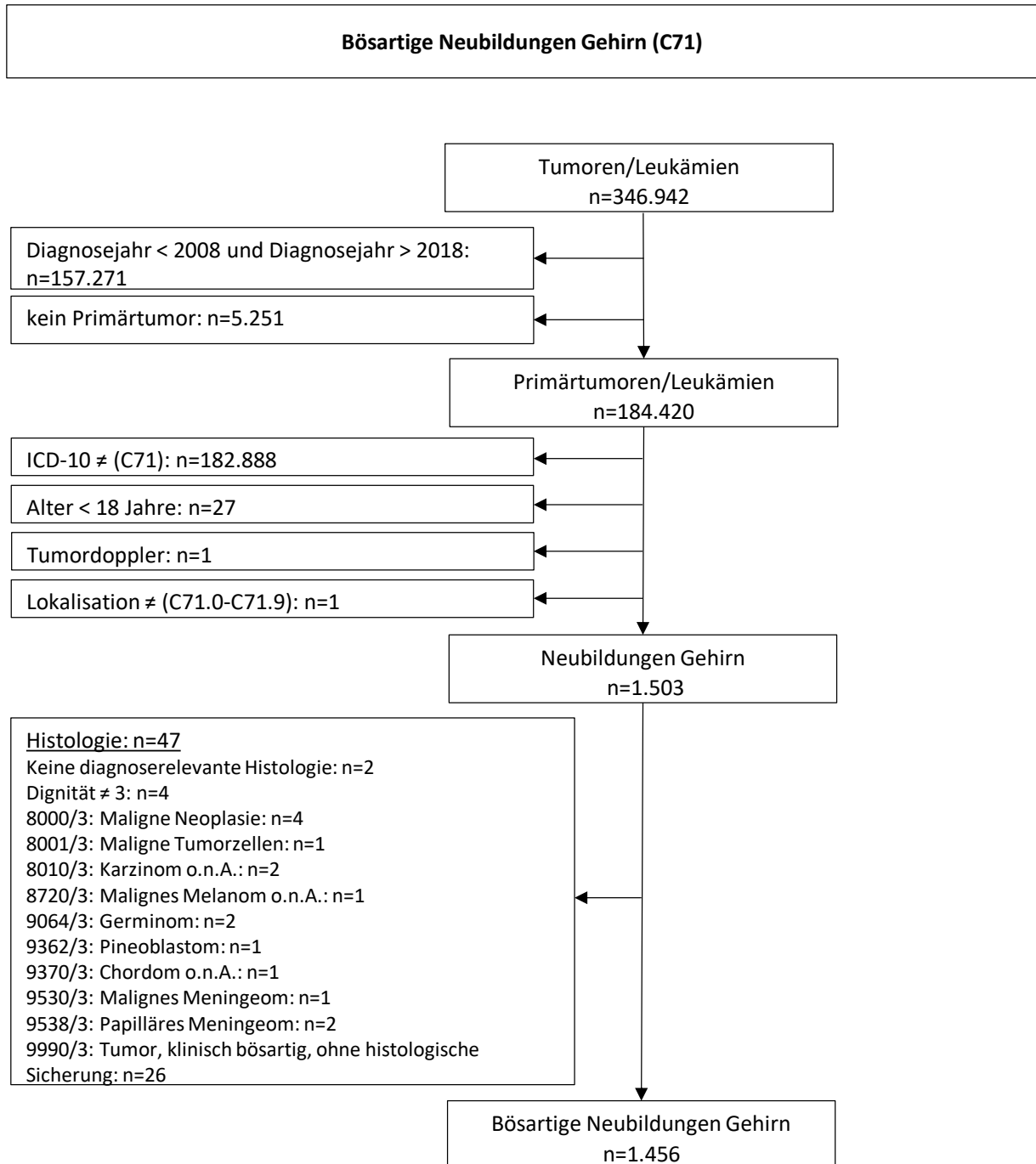
Operation	Summe	Prozent
Tumorresektion	10	100,0
Summe	10	100,0

Tab. 28.11. C70: Residualklassifikation nach Tumorresektion im Diagnosezeitraum 2008-2018

R-Klassifikation	Summe	Prozent
R0 (kein Residualtumor)	4	40,0
R1 (mikroskopischer Residualtumor)	3	30,0
R2 (makroskopischer Residualtumor)	2	20,0
RX (Vorhandensein eines Residualtumors kann nicht beurteilt werden)	1	10,0
Summe	10	100,0

29 Gehirn (C71)

29.1 Consort-Statement: Darstellung der Auswertepopulation

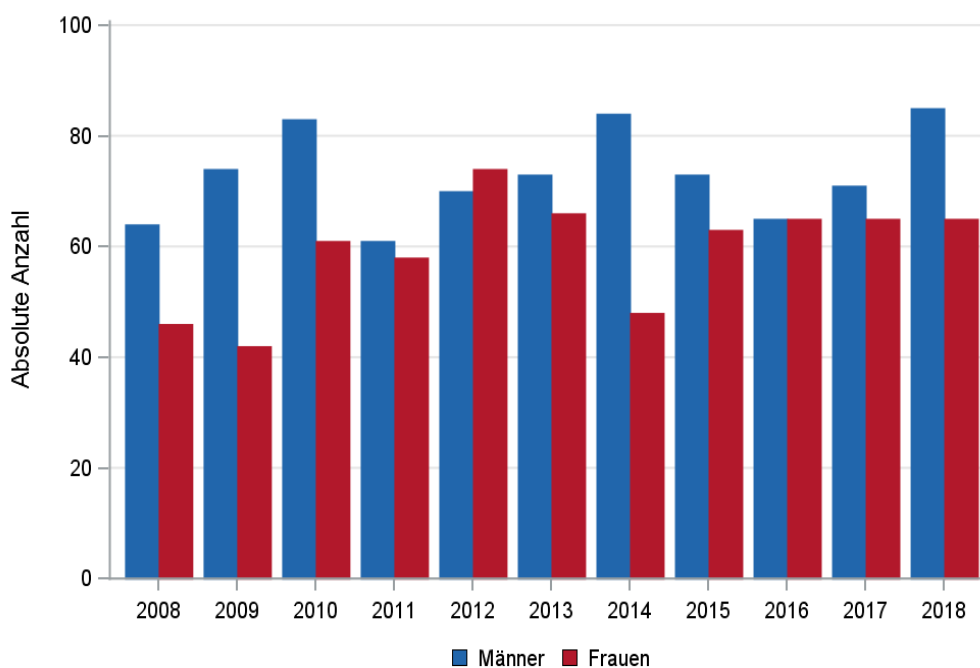


*Erläuterungen zu den Ausschlüssen finden Sie im Kapitel 4 (Methode)

29.2 Absolute Anzahl der erfassten Neuerkrankungen in M-V in den Jahren 2008 – 2018 nach Geschlecht (Behandlungsort, Wohnort)

Tab. 29.1. C71: Absolute Anzahl der Neuerkrankungen nach Geschlecht (Behandlungsort)

Diagnosejahr	Männer		Frauen		Summe
	Anzahl	%	Anzahl	%	
2008	64	58,2	46	41,8	110
2009	74	63,8	42	36,2	116
2010	83	57,6	61	42,4	144
2011	61	51,3	58	48,7	119
2012	70	48,6	74	51,4	144
2013	73	52,5	66	47,5	139
2014	84	63,6	48	36,4	132
2015	73	53,7	63	46,3	136
2016	65	50,0	65	50,0	130
2017	71	52,2	65	47,8	136
2018	85	56,7	65	43,3	150
Summe	803	55,2	653	44,8	1456

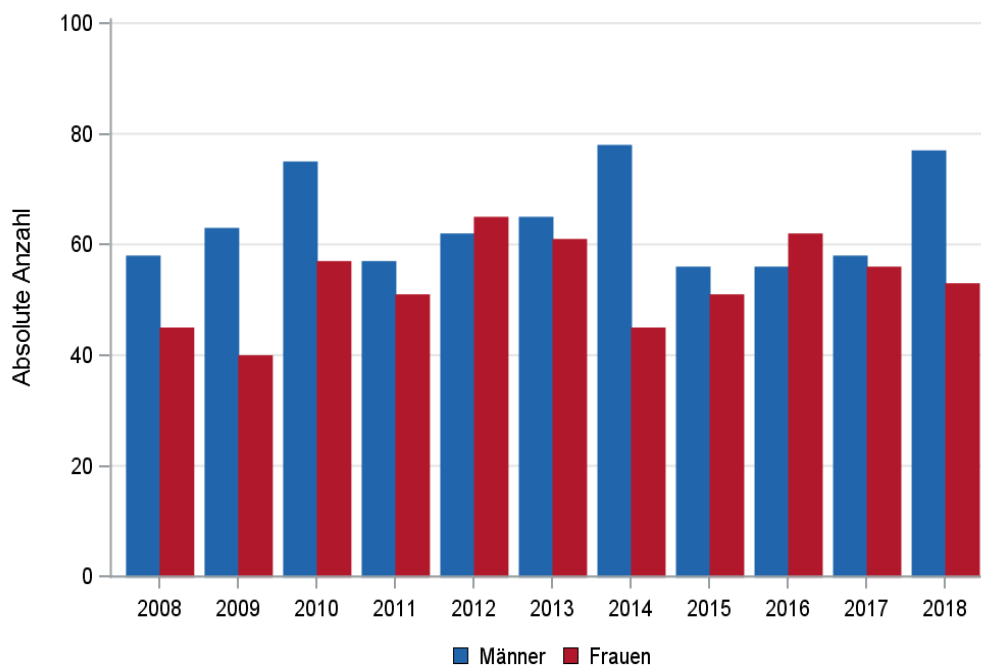


© KKR-MV 2020

Abb. 29.1. C71: Absolute Anzahl der Neuerkrankungen nach Geschlecht im Diagnosezeitraum 2008 bis 2018 (Behandlungsort)

Tab. 29.2. C71: Absolute Anzahl der Neuerkrankungen nach Geschlecht (Wohnort)

Diagnosejahr	Männer		Frauen		Summe
	Anzahl	%	Anzahl	%	
2008	58	56,3	45	43,7	103
2009	63	61,2	40	38,8	103
2010	75	56,8	57	43,2	132
2011	57	52,8	51	47,2	108
2012	62	48,8	65	51,2	127
2013	65	51,6	61	48,4	126
2014	78	63,4	45	36,6	123
2015	56	52,3	51	47,7	107
2016	56	47,5	62	52,5	118
2017	58	50,9	56	49,1	114
2018	77	59,2	53	40,8	130
Summe	705	54,6	586	45,4	1291



© KKR-MV 2020

Abb. 29.2. C71: Absolute Anzahl der Neuerkrankungen nach Geschlecht im Diagnosezeitraum 2008 bis 2018 (Wohnort)

29.3 Absolute Anzahl der erfassten Neuerkrankungen in M-V in den Jahren 2008 – 2018 nach Landkreisen (Wohnort)

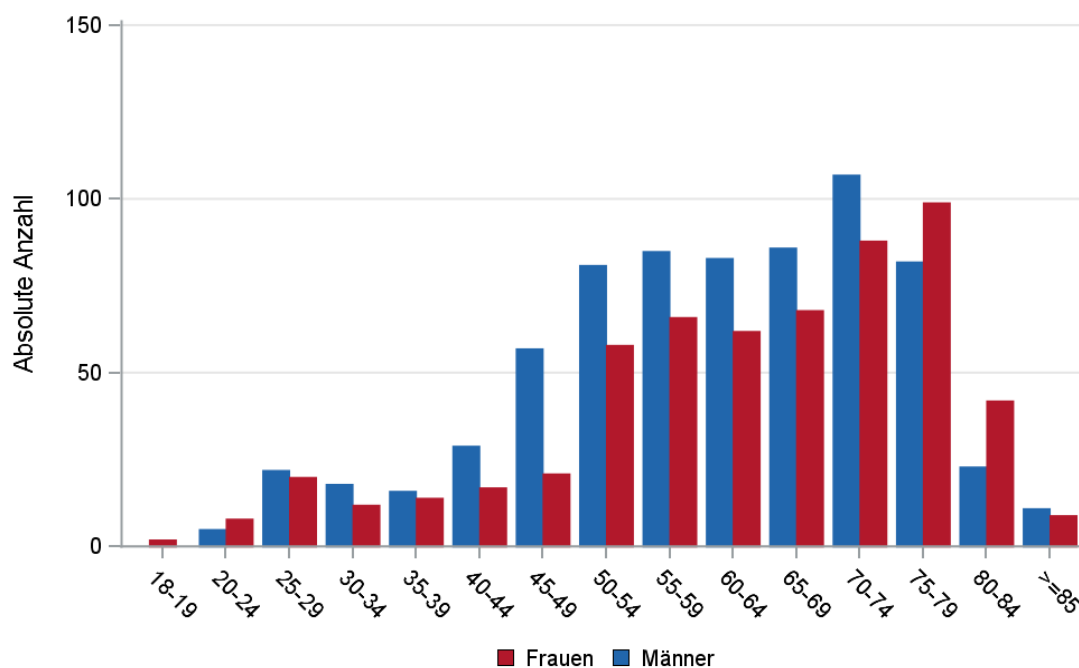
Tab. 29.3. C71: Absolute Anzahl und prozentualer Anteil der Neuerkrankungen nach Landkreisen

Landkreis	2008		2009		2010		2011		2012		2013		2014		2015		2016		2017		2018		Summe	
	Anzahl	%	Anzahl	%	Anzahl	%	Anzahl	%	Anzahl	%	Anzahl	%	Anzahl	%	Anzahl	%	Anzahl	%	Anzahl	%	Anzahl	%	Anzahl	%
Landkreis Rostock	14	13,6	11	10,7	15	11,4	21	19,4	13	10,2	16	12,7	18	14,6	11	10,3	11	9,3	13	11,4	17	13,1	160	12,4
Ludwigslust-Parchim	12	11,7	7	6,8	14	10,6	16	14,8	15	11,8	8	6,3	18	14,6	14	13,1	16	13,6	8	7,0	15	11,5	143	11,1
Mecklenburgische Seenplatte	20	19,4	20	19,4	20	15,2	11	10,2	16	12,6	21	16,7	21	17,1	17	15,9	8	6,8	19	16,7	20	15,4	193	14,9
Nordwestmecklenburg	5	4,9	6	5,8	8	6,1	9	8,3	8	6,3	9	7,1	9	7,3	6	5,6	10	8,5	7	6,1	16	12,3	93	7,2
Rostock	11	10,7	15	14,6	19	14,4	13	12,0	30	23,6	22	17,5	17	13,8	13	12,1	28	23,7	19	16,7	17	13,1	204	15,8
Schwerin	9	8,7	6	5,8	9	6,8	7	6,5	4	3,1	8	6,3	10	8,1	7	6,5	3	2,5	3	2,6	5	3,8	71	5,5
Vorpommern-Greifswald	12	11,7	22	21,4	24	18,2	15	13,9	24	18,9	21	16,7	14	11,4	19	17,8	21	17,8	22	19,3	23	17,7	217	16,8
Vorpommern-Rügen	20	19,4	16	15,5	23	17,4	16	14,8	16	12,6	17	13,5	16	13,0	20	18,7	21	17,8	22	19,3	17	13,1	204	15,8
nicht zuordenbar	0	0	0	0	0	0	0	0	1	0,8	4	3,2	0	0	0	0	0	0	1	0,9	0	0	6	0,5
Summe	103	100,0	103	100,0	132	100,0	108	100,0	127	100,0	126	100,0	123	100,0	107	100,0	118	100,0	114	100,0	130	100,0	1291	100,0

29.4 Rohe und standardisierte Neuerkrankungsraten pro 100.000 Einwohner in den Jahren 2008-2018 (Wohnort)

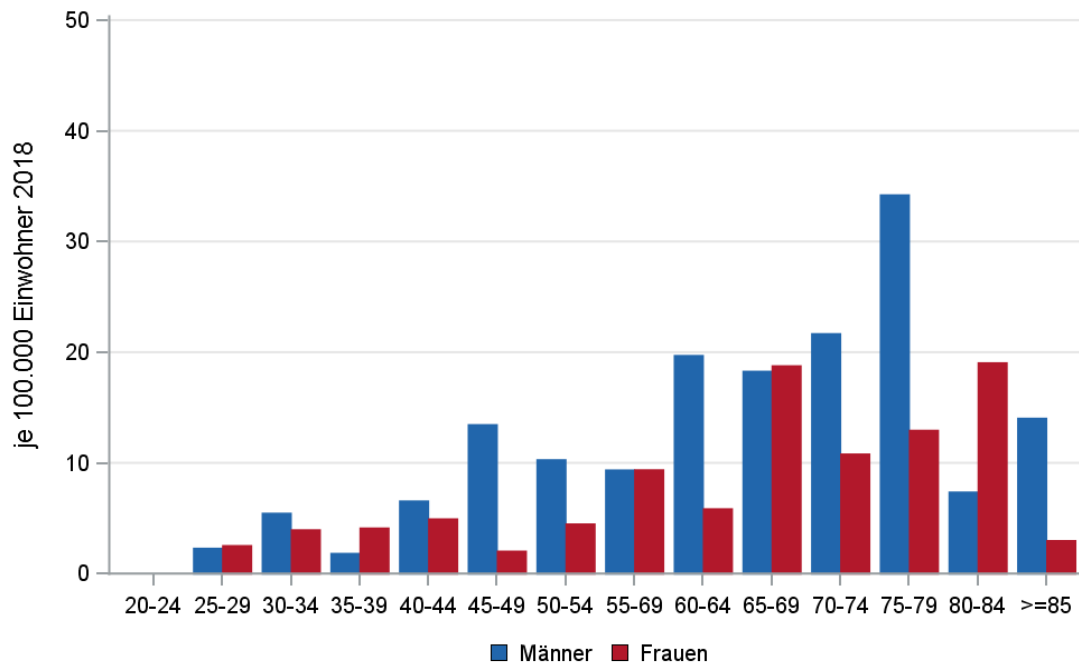
Tab. 29.4. C71: Neuerkrankungsrate/100.000 Einwohner (Alter > 19)

Diagnosejahr	Männer			Frauen		
	absolute Anzahl der Neuerkrankungen	rohe Rate in M-V	altersstandardisierte Rate	absolute Anzahl der Neuerkrankungen	rohe Rate in M-V	altersstandardisierte Rate
2008	58	8,4	7,4	45	6,3	5,7
2009	63	9,1	8,0	40	5,6	4,4
2010	75	10,9	9,3	56	7,9	6,7
2011	57	8,5	7,2	51	7,3	6,0
2012	62	9,3	7,7	65	9,3	6,6
2013	65	9,8	8,2	61	8,8	6,6
2014	78	11,8	9,9	45	6,5	4,6
2015	56	8,5	6,8	50	7,3	5,7
2016	56	8,5	6,7	62	9,0	6,5
2017	58	8,8	7,1	56	8,2	7,1
2018	77	11,7	9,4	53	7,7	5,6
2008-2018	705	9,6	8,0	584	7,6	6,0



© KKR-MV 2020

Abb. 29.3. C71: Absolute Anzahl der Neuerkrankungen aufgelistet in 5-Jahres-Altersgruppen und nach Geschlecht im Diagnosezeitraum 2008 bis 2018 (Wohnort)



© KKR-MV 2020

Abb. 29.4. C71: Altersspezifische Rate der Neuerkrankungen je 100.000 Einwohner (Diagnosejahr 2018) nach 5-Jahres-Altersgruppen und Geschlecht (Wohnort)

29.5 Alter der in den Jahren 2008 - 2018 in M-V neuerkrankten Patienten (Behandlungsort)

Tab. 29.5. C71: Erkrankungsalter (Behandlungsort)

Diagnosejahr	Männer				Frauen			
	Anzahl	Median	Minimum	Maximum	Anzahl	Median	Minimum	Maximum
2008	64	62	22	80	46	58	26	77
2009	74	58	21	79	42	67	37	83
2010	83	62	25	79	61	62	19	89
2011	61	62	21	84	58	60	23	83
2012	70	60	23	85	74	68	26	92
2013	73	57	23	86	66	69	21	85
2014	84	60	25	85	48	72	26	82
2015	73	63	26	85	63	66	18	85
2016	65	61	27	84	65	72	24	86
2017	71	66	28	85	65	60	21	85
2018	85	64	29	89	65	65	29	87

29.6 Absolute Anzahl der erfassten Neuerkrankungen in M-V in den Jahren 2008 – 2018 nach Lokalisation

Tab. 29.6. C71: Absolute Anzahl und prozentualer Anteil der Neuerkrankungen nach der Lokalisation (Behandlungsort)

Lokalisation	2008	2009	2010	2011	2012	2013	2014	2015	2016	2017	2018	Summe	
												Anzahl	%
C71.0 Großhirn	0	2	5	2	4	7	4	5	14	14	30	87	6,0
C71.01 Großhirnrinde	0	0	0	0	0	0	0	0	2	0	0	2	0,1
C71.02 Weiße Hirnsubstanz	0	0	0	0	1	0	0	0	0	0	0	1	0,1
C71.03 Basalganglien (Corpus striatum, Putamen, Pallidum, Thalamus)	1	6	2	1	1	2	0	1	1	0	1	16	1,1
C71.04 Hypothalamus, Zwischenhirn	0	0	0	0	0	0	3	0	0	0	0	3	0,2
C71.0 Insula	0	0	1	1	0	0	0	0	0	1	0	3	0,2
C71.1 Frontallappen	33	28	31	27	39	37	39	40	32	35	35	376	25,8
C71.2 Temporallappen	25	36	37	35	38	44	35	39	34	41	32	396	27,2
C71.21 Hippocampus	1	0	0	0	0	1	0	1	1	0	0	4	0,3
C71.3 Parietallappen	16	4	23	17	17	11	21	22	18	20	21	190	13,0
C71.4 Okzipitallappen	2	4	9	4	7	4	6	7	7	5	7	62	4,3
C71.5 Hirnventrikel	1	1	0	0	0	1	0	2	0	1	1	7	0,5
C71.51 Seitenventrikel (mit Vorderhorn)	1	0	0	0	0	0	0	1	0	1	0	3	0,2
C71.53 III. Ventrikel	0	0	0	0	0	0	0	0	1	0	0	1	0,1
C71.54 Aquaeductus Sylvii	0	0	1	0	0	0	0	0	0	0	0	1	0,1
C71.55 Ependym	0	0	0	0	1	0	1	0	0	0	1	3	0,2
C71.56 Plexus chorioideus (Ventrikel I-III)	0	0	0	0	0	1	0	0	0	0	0	1	0,1
C71.6 Kleinhirn (Cerebellum)	1	0	1	1	0	3	3	1	2	1	1	14	1,0
C71.63 Hemisphäre	1	0	0	0	1	0	0	0	0	1	2	5	0,3
C71.64 Brückenwinkel	1	0	0	0	0	0	1	0	0	0	0	2	0,1
C71.7 Hirnstamm	0	1	2	0	3	2	3	1	0	1	2	15	1,0
C71.71 Mittelhirn (und Lamina quadrigemina)	0	0	1	0	0	0	0	1	0	0	0	2	0,1
C71.72 Brücke (Pons)	1	0	1	1	0	1	0	0	0	0	0	4	0,3
C71.73 Medulla oblongata	1	0	0	0	0	0	0	1	0	0	0	2	0,1
C71.76 Foramen Luschkae	0	0	0	0	0	0	0	0	1	0	0	1	0,1
C71.77 IV. Ventrikel (einschl. Plexus chorioideus)	0	2	0	0	1	1	0	1	1	1	1	8	0,5
C71.78 Hirnstamm (mehrere Teilbereiche)	0	1	0	0	0	0	0	0	0	0	1	2	0,1
C71.8 Andere Anteile des Gehirns (z.B. Corpus callosum, Tapetum) und überlappende Lokalisationen	12	17	15	12	11	8	6	5	8	7	7	108	7,4
C71.9 Gehirn o.n.A.	14	14	15	18	20	16	10	8	8	7	8	138	9,5
Summe	111	116	144	119	144	139	132	136	130	136	150	1457	100,0

29.7 Histologische Befunde bei allen neuerkrankten Patienten in M-V in den Jahren 2008 – 2018

Tab. 29.7. C71: Histologische Befunde bei neuerkrankten Patienten (Behandlungsort)

Histologiecode	Anzahl	Prozent
9440/3: Glioblastom o.n.A.	1018	69,9
9400/3: Astrozytom o.n.A.	121	8,3
9401/3: Anaplastisches Astrozytom	91	6,3
9450/3: Oligodendrogliom o.n.A.	55	3,8
9382/3: Mischgliom	50	3,4
9391/3: Ependymom o.n.A.	20	1,4
9442/3: Gliosarkom	20	1,4
9420/3: Fibrilläres Astrozytom	16	1,1
9441/3: Riesenzelliges Glioblastom	16	1,1
9380/3: Malignes Gliom	15	1,0
9451/3: Anaplastisches Oligodendrogliom	11	0,8
9470/3: Medulloblastom o.n.A.	6	0,4
9392/3: Anaplastisches Ependymom	4	0,3
9381/3: Gliomatosis cerebri	2	0,1
9393/3: Papilläres Ependymom	2	0,1
9411/3: Gemistozytisches Astrozytom	2	0,1
9424/3: Pleomorphes Xanthoastrozytom	2	0,1
9473/3: Primitiver neuroektodermaler Tumor o.n.A.	2	0,1
9430/3: Astroblastom	1	0,1
9460/3: Oligodendroblastom	1	0,1
9471/3: Desmoplastisches noduläres Medulloblastom	1	0,1
Hirntumoren	1456	100,0

29.8 Dokumentierte Therapie bis max. 12 Monate nach Diagnosestellung

29.8.1 Therapiekombinationen, Stellung der Therapie und Intention der dokumentierten Therapien

Tab. 29.8. C71: Therapiekombinationen (Operation, Strahlentherapie, systemische Therapie) pro Diagnosejahr (Behandlungsort)

Therapiekombinationen	2008	2009	2010	2011	2012	2013	2014	2015	2016	2017	2018	Summe
Alleinige Operation	12	20	20	22	38	28	33	44	39	45	39	340
Alleinige systemische Therapie	1	3	3	0	1	1	0	0	0	0	1	10
Alleinige Strahlentherapie	8	8	13	5	4	1	1	3	5	1	5	54
Operation und systemische Therapie, keine Strahlentherapie	5	10	5	5	4	4	8	10	6	7	11	75
Operation und Strahlentherapie, keine systemische Therapie	14	16	23	24	27	33	19	16	25	12	22	231
Systemische Therapie und Strahlentherapie, keine Operation	9	9	8	8	1	2	3	3	0	2	2	47
Operation und systemische Therapie und Strahlentherapie	48	40	58	47	63	65	60	53	45	65	54	598

Therapiekombinationen	2008	2009	2010	2011	2012	2013	2014	2015	2016	2017	2018	Summe
Keine Operation, systemische Therapie oder Strahlentherapie	13	10	14	8	6	5	8	7	10	4	16	101
Summe	110	116	144	119	144	139	132	136	130	136	150	1456

Tab. 29.9a. C71: Stellung der systemischen Therapie zur operativen Therapie im ersten Jahr der Erkrankung (adjuvant/neoadjuvant, Behandlungsort)

Stellung der Strahlentherapie zur operativen Therapie	2008	2009	2010	2011	2012	2013	2014	2015	2016	2017	2018	Summe
Adjuvante (postoperative) Strahlentherapie	33	39	43	26	53	61	43	54	56	64	63	535
Therapie ohne Bezug zu einer operativen Behandlung	1	1	3	1	15	16	15	10	13	9	13	97
Neoadjuvante (präoperative) Strahlentherapie	0	0	0	0	0	0	0	1	0	0	0	1
unbekannt	28	16	35	44	22	21	21	4	1	4	0	196
Summe	62	56	81	71	90	98	79	69	70	77	76	829

Tab. 29.9b. C71: Stellung der systemischen Therapie zur operativen Therapie im ersten Jahr der Erkrankung (adjuvant/neoadjuvant, Behandlungsort)

Stellung der systemischen Therapie zur operativen Therapie	2008	2009	2010	2011	2012	2013	2014	2015	2016	2017	2018	Summe
Adjuvante (postoperative) Therapie	36	32	38	32	33	45	52	51	37	58	55	469
Therapie ohne Bezug zu einer operativen Therapie	7	7	6	3	10	10	10	2	8	9	10	82
Intraoperative Therapie	0	0	1	0	4	8	6	9	5	1	0	34
Neoadjuvante (präoperative) Therapie	0	0	0	0	0	0	0	1	0	0	0	1
unbekannt	10	11	18	17	20	6	0	0	1	4	0	87
Summe	53	50	63	52	67	69	68	63	51	72	65	673

Tab. 29.10a. C71: Intention bei der ersten Operation (Behandlungsort)

Intention der Operation	2008	2009	2010	2011	2012	2013	2014	2015	2016	2017	2018	Summe
Kurativ	40	58	52	49	54	54	32	51	45	61	38	534
Palliativ bzw. symptomatisch	21	13	29	20	26	20	26	30	27	22	49	283
Sonstige/Unbekannt/Keine Angabe	18	15	25	29	52	56	62	42	43	46	39	427
Summe	79	86	106	98	132	130	120	123	115	129	126	1244

Tab. 29.10b. C71: Intention der initialen Bestrahlung (Behandlungsort)

Intention der Bestrahlung	2008	2009	2010	2011	2012	2013	2014	2015	2016	2017	2018	Summe
Palliativ bzw. symptomatisch	17	17	24	13	44	39	37	46	48	38	51	374
Kurativ	13	18	21	15	20	37	17	21	21	39	31	253
Sonstige/Unbekannt/Keine Angabe	49	38	57	56	31	25	29	8	6	3	1	303
Summe	79	73	102	84	95	101	83	75	75	80	83	930

Tab. 29.10c. C71: Intention bei der ersten systemischen Therapie (Behandlungsort)

Intention der systemischen Therapie	2008	2009	2010	2011	2012	2013	2014	2015	2016	2017	2018	Summe
Kurativ	30	23	27	17	18	39	32	23	15	39	26	289
Palliativ bzw. symptomatisch	13	20	14	19	23	19	29	32	26	31	41	267
Sonstige/Unbekannt/Keine Angabe	20	19	33	24	28	14	10	11	10	4	1	174
Summe	63	62	74	60	69	72	71	66	51	74	68	730

Tab. 29.11. C71: Zeitraum zwischen Diagnose und Beginn der ersten Therapie nach Therapieart (Angaben in Tagen, Behandlungsort)

Therapie	Anzahl	Median	Minimum	Maximum
Diagnose und erste Operation	1244	1	0	314
Diagnose und erste Bestrahlung	930	31	0	364
Diagnose und erste system. Therapie	730	34	0	364

29.8.2 Dokumentierte tumorspezifische Operation bis max.12 Monate nach Diagnosestellung

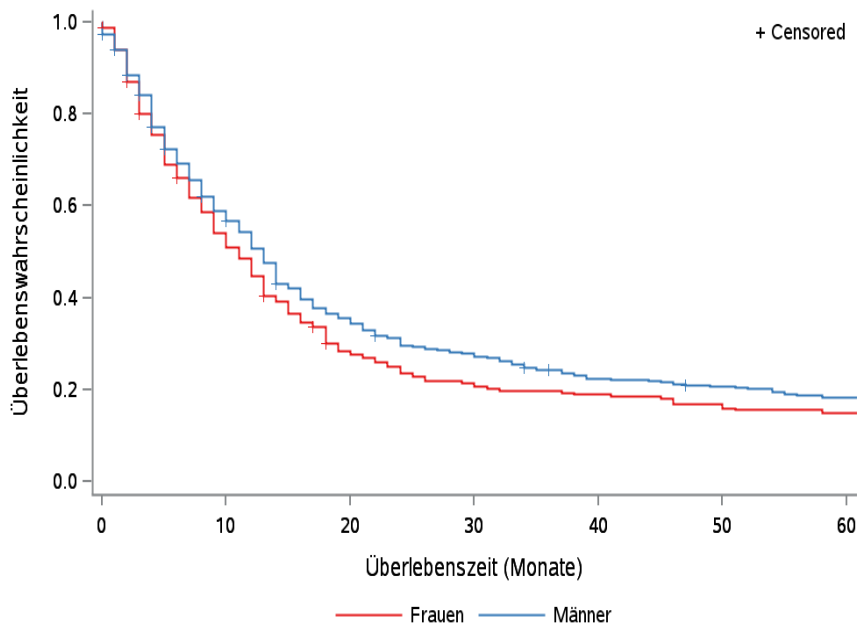
Tab. 29.12. C71: Dokumentierte tumorspezifische Operation. (Behandlungsort)

Operation	Summe	Prozent
Tumoresektion	1031	82,9
sonstige OP	149	12,0
keine Angabe	64	5,1
Summe	1244	100,0

Tab. 29.13. C71: Residualklassifikation nach Tumoresektion im Diagnosezeitraum 2008-2018

R-Klassifikation	Summe	Prozent
R0 (kein Residualtumor)	167	16,2
R1 (mikroskopischer Residualtumor)	302	29,3
R2 (makroskopischer Residualtumor)	103	10,0
RX (Vorhandensein eines Residualtumors kann nicht beurteilt werden)	435	42,2
keine Angabe	24	2,3
Summe	1031	100,0

29.9 Überlebensanalysen bei den in den Jahren 2008 – 2013 primär diagnostizierten Patienten

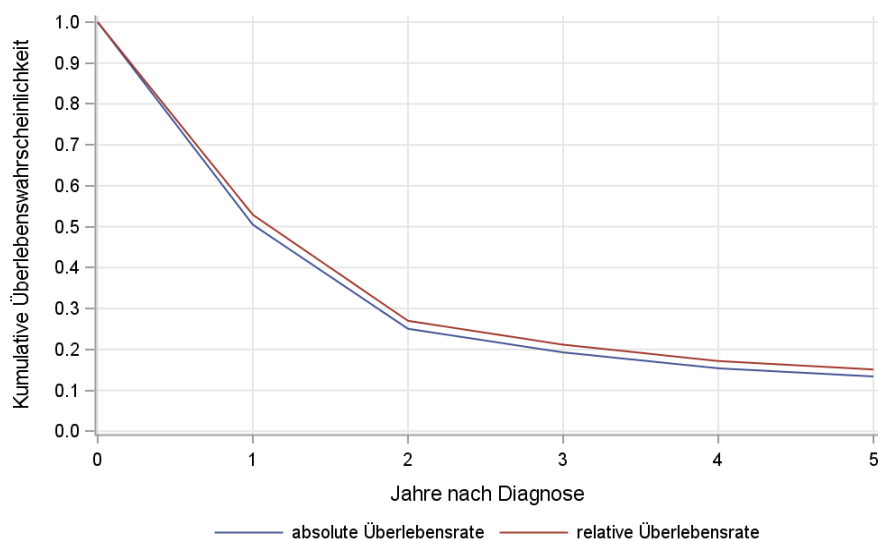


© KKR-MV 2020

Abb. 29.5. C71: Wahrscheinlichkeit des Überlebens (Kaplan-Meier-Analyse) nach Geschlecht im Diagnosezeitraum von 2008 bis 2013 (Wohnort). Kaplan-Meier-Kurven werden für Kategorien mit weniger als 10 Neuerkrankungen nicht dargestellt.

Tab. 29.14. C71: Anzahl der unter Risiko stehenden Neuerkrankungen (Monate nach Diagnose)

Geschlecht	0 Monate	20 Monate	40 Monate	60 Monate
Männer	380	131	79	64
Frauen	318	85	57	45

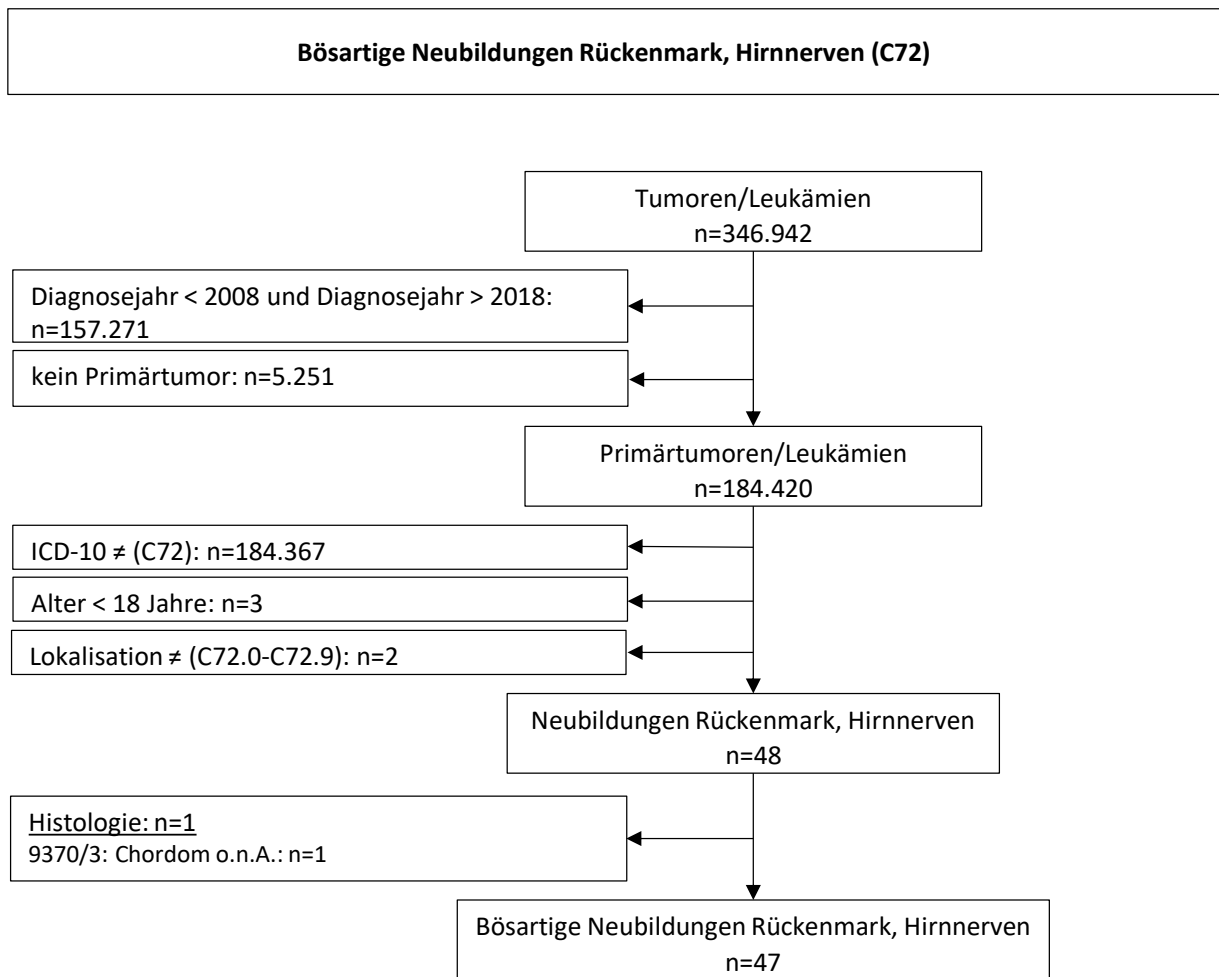


© KKR-MV 2020

Abb. 29.6. C71: Absolutes und relatives Überleben im Diagnosezeitraum 2008 bis 2013 (Wohnort, Alter > 19)

30 Rückenmark, Hirnnerven (C72)

30.1 Consort-Statement: Darstellung der Auswertepopulation

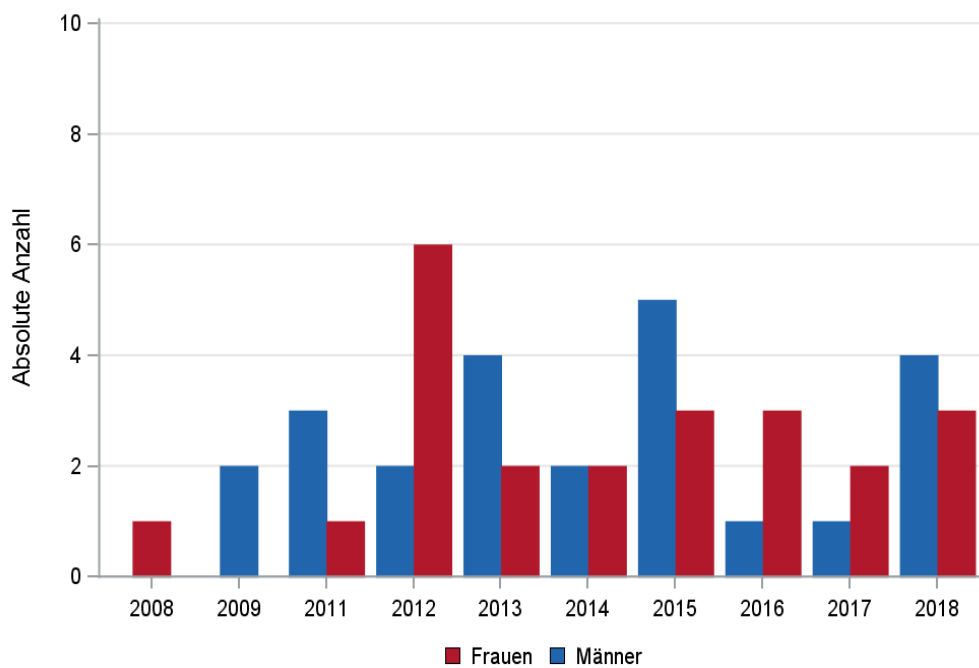


*Erläuterungen zu den Ausschlüssen finden Sie im Kapitel 4 (Methode)

30.2 Absolute Anzahl der erfassten Neuerkrankungen in M-V in den Jahren 2008 – 2018 nach Geschlecht (Behandlungsort, Wohnort)

Tab. 30.1. C72: Absolute Anzahl der Neuerkrankungen nach Geschlecht (Behandlungsort)

Diagnosejahr	Männer		Frauen		Summe
	Anzahl	%	Anzahl	%	
2008	0	0	1	100,0	1
2009	2	100,0	0	0	2
2011	3	75,0	1	25,0	4
2012	2	25,0	6	75,0	8
2013	4	66,7	2	33,3	6
2014	2	50,0	2	50,0	4
2015	5	62,5	3	37,5	8
2016	1	25,0	3	75,0	4
2017	1	33,3	2	66,7	3
2018	4	57,1	3	42,9	7
Summe	24	51,1	23	48,9	47

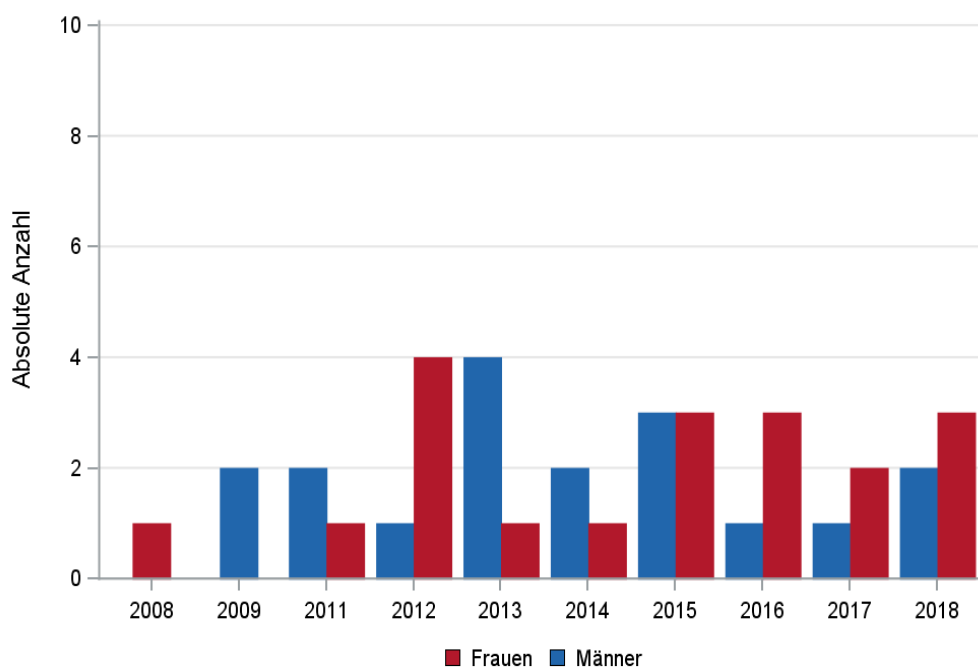


© KKR-MV 2020

Abb. 30.1. C72: Absolute Anzahl der Neuerkrankungen nach Geschlecht im Diagnosezeitraum 2008 bis 2018 (Behandlungsort)

Tab. 30.2. C72: Absolute Anzahl der Neuerkrankungen nach Geschlecht (Wohnort)

Diagnosejahr	Männer		Frauen		Summe
	Anzahl	%	Anzahl	%	
2008	0	0	1	100,0	1
2009	2	100,0	0	0	2
2011	2	66,7	1	33,3	3
2012	1	20,0	4	80,0	5
2013	4	80,0	1	20,0	5
2014	2	66,7	1	33,3	3
2015	3	50,0	3	50,0	6
2016	1	25,0	3	75,0	4
2017	1	33,3	2	66,7	3
2018	2	40,0	3	60,0	5
Summe	18	48,6	19	51,4	37



© KKR-MV 2020

Abb. 30.2. C72: Absolute Anzahl der Neuerkrankungen nach Geschlecht im Diagnosezeitraum 2008 bis 2018 (Wohnort)

30.3 Absolute Anzahl der erfassten Neuerkrankungen in M-V in den Jahren 2008 – 2018 nach Landkreisen (Wohnort)

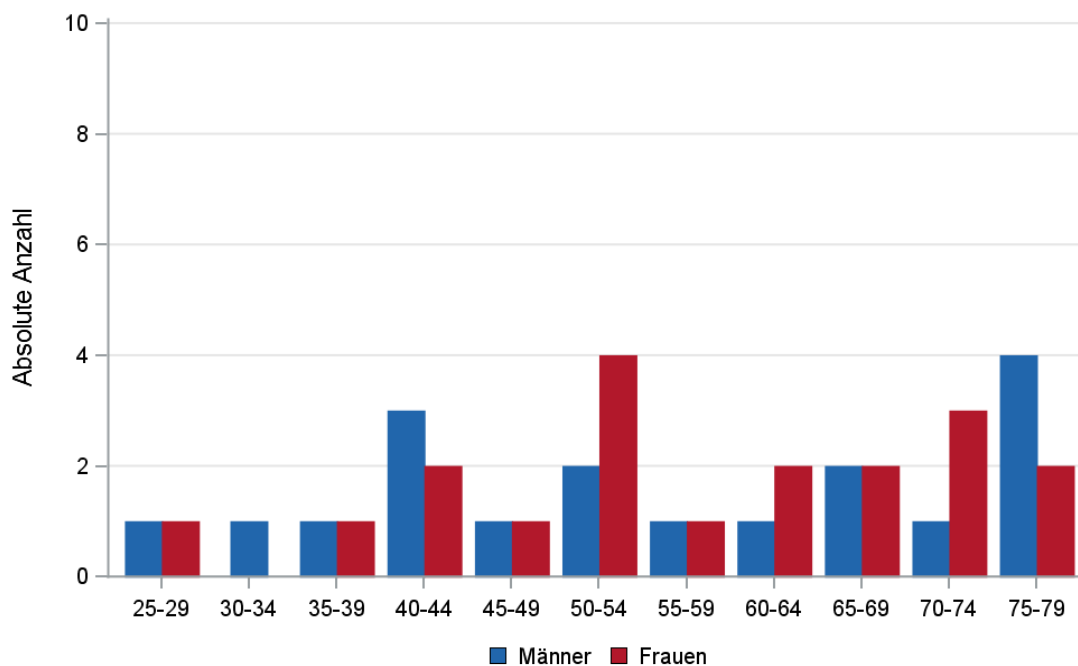
Tab. 30.3. C72: Absolute Anzahl und prozentualer Anteil der Neuerkrankungen nach Landkreisen

Landkreis	2008		2009		2011		2012		2013		2014		2015		2016		2017		2018		Summe	
	Anzahl	%	Anzahl	%	Anzahl	%	Anzahl	%	Anzahl	%	Anzahl	%	Anzahl	%	Anzahl	%	Anzahl	%	Anzahl	%	Anzahl	%
Landkreis Rostock	0	0	0	0	0	0	2	40,0	0	0	1	33,3	3	50,0	0	0	2	66,7	0	0	8	21,6
Ludwigslust-Parchim	0	0	0	0	0	0	0	0	0	0	0	0	0	0	0	0	0	0	2	40,0	2	5,4
Mecklenburgische Seenplatte	0	0	0	0	0	0	1	20,0	0	0	0	0	0	0	1	25,0	0	0	1	20,0	3	8,1
Rostock	1	100,0	1	50,0	0	0	0	0	2	40,0	0	0	1	16,7	1	25,0	0	0	1	20,0	7	18,9
Vorpommern-Greifswald	0	0	1	50,0	1	33,3	2	40,0	1	20,0	1	33,3	0	0	1	25,0	1	33,3	1	20,0	9	24,3
Vorpommern-Rügen	0	0	0	0	2	66,7	0	0	2	40,0	1	33,3	2	33,3	1	25,0	0	0	0	0	8	21,6
Summe	1	100,0	2	100,0	3	100,0	5	100,0	5	100,0	3	100,0	6	100,0	4	100,0	3	100,0	5	100,0	37	100,0

30.4 Rohe und standardisierte Neuerkrankungsraten pro 100.000 Einwohner in den Jahren 2008-2018 (Wohnort)

Tab. 30.4. C72: Neuerkrankungsrate/100.000 Einwohner (Alter > 19)

Diagnosejahr	Männer			Frauen		
	absolute Anzahl der Neuerkrankungen	rohe Rate in M-V	altersstandardisierte Rate	absolute Anzahl der Neuerkrankungen	rohe Rate in M-V	altersstandardisierte Rate
2008	0	0,0	0,0	1	0,1	0,1
2009	2	0,3	0,2	0	0,0	0,0
2011	2	0,3	0,2	1	0,1	0,2
2012	1	0,2	0,2	4	0,6	0,4
2013	4	0,6	0,6	1	0,1	0,1
2014	2	0,3	0,3	1	0,2	0,1
2015	3	0,5	0,5	3	0,4	0,3
2016	1	0,2	0,2	3	0,4	0,5
2017	1	0,2	0,2	2	0,3	0,3
2018	2	0,3	0,2	3	0,4	0,5
2008-2018	18	0,3	0,2	19	0,3	0,2



© KKR-MV 2020

Abb. 30.3. C72: Absolute Anzahl der Neuerkrankungen aufgelistet in 5-Jahres-Altersgruppen und nach Geschlecht im Diagnosezeitraum 2008 bis 2018 (Wohnort)

30.5 Alter der in den Jahren 2008 - 2018 in M-V neuerkrankten Patienten (Behandlungsort)

Tab. 30.5. C72: Erkrankungsalter (Behandlungsort)

Diagnosejahr	Männer				Frauen			
	Anzahl	Median	Minimum	Maximum	Anzahl	Median	Minimum	Maximum
2008	0	-	-	-	1	47	47	47
2009	2	72	66	77	0	-	-	-
2011	3	52	50	75	1	25	25	25
2012	2	56	43	68	6	58	46	79
2013	4	50	41	75	2	72	71	73
2014	2	59	42	75	2	71	69	72
2015	5	49	31	60	3	66	59	72
2016	1	35	35	35	3	54	44	67
2017	1	29	29	29	2	49	38	60
2018	4	64	44	73	3	51	41	60

30.6 Absolute Anzahl der erfassten Neuerkrankungen in M-V in den Jahren 2008 – 2018 nach Lokalisation

Tab. 30.6. C72: Absolute Anzahl und prozentualer Anteil der Neuerkrankungen nach der Lokalisation (Behandlungsort)

Lokalisation	2008	2009	2011	2012	2013	2014	2015	2016	2017	2018	Summe	
											Anzahl	%
C72.0 Rückenmark	0	2	4	5	2	2	5	2	2	5	29	61,7
C72.01 Zervikalmark	0	0	0	1	1	1	0	0	0	0	3	6,4
C72.02 Thorakalmark	0	0	0	0	0	0	1	1	1	0	3	6,4
C72.03 Lumbalmark	0	0	0	0	0	0	2	0	0	1	3	6,4
C72.05 Conus medullaris	0	0	0	0	1	0	0	1	0	0	2	4,3
C72.06 Filum terminale	0	0	0	0	1	1	0	0	0	0	2	4,3
C72.1 Cauda equina	0	0	0	0	1	0	0	0	0	0	1	2,1
C72.2 N. olfactorius	0	0	0	1	0	0	0	0	0	0	1	2,1
C72.3 N. opticus, Chiasma	1	0	0	0	0	0	0	0	0	0	1	2,1
C72.8 Gehirn und zentrales Nervensystem (mehrere Teilbereiche überlappend) sowie Tumoren, deren Ausgangspunkte keiner der Rubriken C70-C72.5 zugeordnet werden kann	0	0	0	0	0	0	0	0	0	1	1	2,1
C72.9 Nervensystem, zentrales o.n.A.	0	0	0	1	0	0	0	0	0	0	1	2,1
Summe	1	2	4	8	6	4	8	4	3	7	47	100,0

30.7 Histologische Befunde bei allen neuerkrankten Patienten in M-V in den Jahren 2008 – 2018

Tab. 30.7. C72: Histologische Befunde bei neuerkrankten Patienten (Behandlungsort)

Histologiecode	Anzahl	Prozent
9391/3: Ependymom o.n.A.	37	78,7
9440/3: Glioblastom o.n.A.	3	6,4
9380/3: Malignes Gliom	2	4,3
9400/3: Astrozytom o.n.A.	2	4,3
9393/3: Papilläres Ependymom	1	2,1
9473/3: Primitiver neuroektodermaler Tumor o.n.A.	1	2,1
9500/3: Neuroblastom o.n.A.	1	2,1
Tumore des Rückenmarks und der Hirnnerven	47	100,0

30.8 Dokumentierte Therapie bis max. 12 Monate nach Diagnosestellung

30.8.1 Therapiekombinationen, Stellung der Therapie und Intention der dokumentierten Therapien

Tab. 30.8. C72: Therapiekombinationen (Operation, Strahlentherapie, systemische Therapie) pro Diagnosejahr (Behandlungsort)

Therapiekombinationen	2008	2009	2011	2012	2013	2014	2015	2016	2017	2018	Summe
Alleinige Operation	1	1	3	8	4	3	6	1	3	5	35
Operation und systemische Therapie, keine Strahlentherapie	0	0	0	0	0	0	0	1	0	0	1
Operation und Strahlentherapie, keine systemische Therapie	0	0	1	0	1	1	0	2	0	1	6
Operation und systemische Therapie und Strahlentherapie	0	0	0	0	1	0	1	0	0	0	2
Keine Operation, systemische Therapie oder Strahlentherapie	0	1	0	0	0	0	1	0	0	1	3
Summe	1	2	4	8	6	4	8	4	3	7	47

Tab. 30.9a. C72: Stellung der Strahlentherapie zur operativen Therapie im ersten Jahr der Erkrankung (adjuvant/neoadjuvant, Behandlungsort)

Stellung der Strahlentherapie zur operativen Therapie	2011	2013	2014	2015	2016	2018	Summe
Adjuvante (postoperative) Strahlentherapie	3	2	1	1	1	1	7
Therapie ohne Bezug zu einer operativen Therapie	0	0	0	0	1	0	1
Summe	1	2	1	1	2	1	8

Tab. 30.9b. C72: Stellung der systemischen Therapie zur operativen Therapie im ersten Jahr der Erkrankung (adjuvant/neoadjuvant, Behandlungsort)

Stellung der systemischen Therapie zur operativen Therapie	2013	2015	2016	Summe
Therapie ohne Bezug zu einer operativen Therapie	0	0	1	1
Adjuvante (postoperative) Therapie	1	1	0	2
Summe	1	1	1	3

Tab. 30.10a. C72: Intention bei der ersten Operation (Behandlungsort)

Intention der Operation	2008	2009	2011	2012	2013	2014	2015	2016	2017	2018	Summe
Kurativ	1	1	3	5	6	4	7	1	3	5	36
Palliativ bzw. symptomatisch	0	0	0	0	0	0	0	1	0	1	2
Sonstige/Unbekannt/Keine Angabe	0	0	1	3	0	0	0	2	0	0	6
Summe	1	1	4	8	6	4	7	4	3	6	44

Tab. 30.10b. C72: Intention der initialen Bestrahlung (Behandlungsort)

Intention der Bestrahlung	2011	2013	2014	2015	2016	2018	Summe
Kurativ	1	2	1	1	2	0	7
Palliativ bzw. symptomatisch	0	0	0	0	0	1	1
Summe	1	2	1	1	2	1	8

Tab. 30.10c. C72: Intention bei der ersten systemischen Therapie (Behandlungsort)

Intention der systemischen Therapie	2013	2015	2016	Summe
Kurativ	1	0	1	2
Palliativ bzw. symptomatisch	0	1	0	1
Summe	1	1	1	3

Tab. 30.11. C72: Zeitraum zwischen Diagnose und Beginn der ersten Therapie nach Therapieart (Angaben in Tagen, Behandlungsort)

Therapie	Anzahl	Median	Minimum	Maximum
Diagnose und erste Operation	44	0	0	278
Diagnose und erste Bestrahlung	8	50	12	227
Diagnose und erste system. Therapie	3	114	20	153

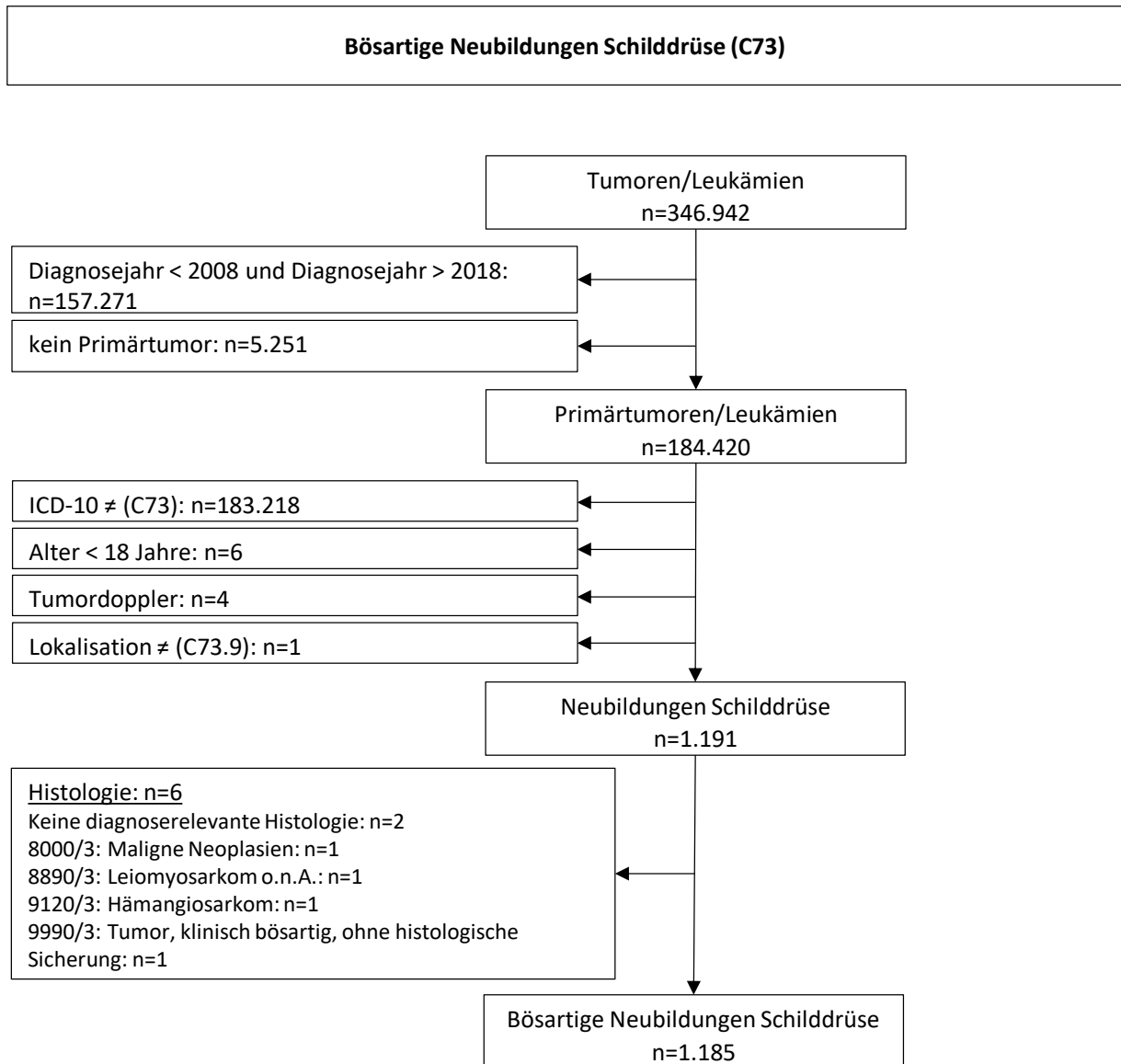
30.8.2 Dokumentierte tumorspezifische Operation bis max.12 Monate nach Diagnosestellung

Tab. 30.12. C72: Dokumentierte tumorspezifische Operation (Behandlungsort)

Operation	Summe	Prozent
Tumorresektion	3	6,8
sonstige OP	39	88,6
keine Angabe	2	4,5
Summe	44	100,0

31 Schilddrüse (C73)

31.1 Consort-Statement: Darstellung der Auswertepopulation

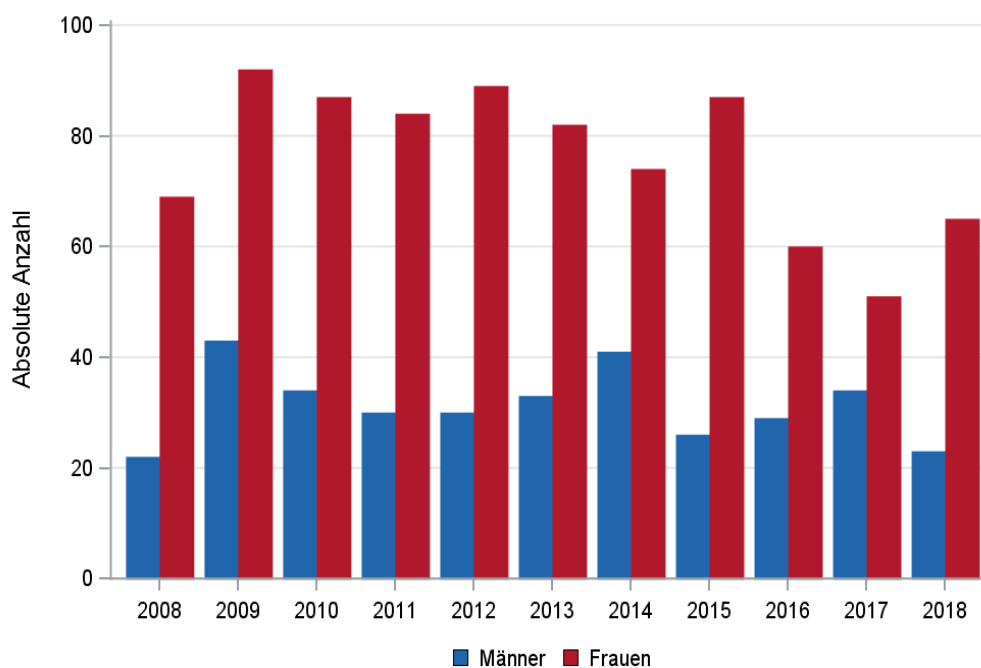


*Erläuterungen zu den Ausschlüssen finden Sie im Kapitel 4 (Methode)

31.2 Absolute Anzahl der erfassten Neuerkrankungen in M-V in den Jahren 2008 – 2018 nach Geschlecht (Behandlungsort, Wohnort)

Tab. 31.1. C73: Absolute Anzahl der Neuerkrankungen nach Geschlecht (Behandlungsort)

Diagnosejahr	Männer		Frauen		Summe
	Anzahl	%	Anzahl	%	
2008	22	24,2	69	75,8	91
2009	43	31,9	92	68,1	135
2010	34	28,1	87	71,9	121
2011	30	26,3	84	73,7	114
2012	30	25,2	89	74,8	119
2013	33	28,7	82	71,3	115
2014	41	35,7	74	64,3	115
2015	26	23,0	87	77,0	113
2016	29	32,6	60	67,4	89
2017	34	40,0	51	60,0	85
2018	23	26,1	65	73,9	88
Summe	345	29,1	840	70,9	1185

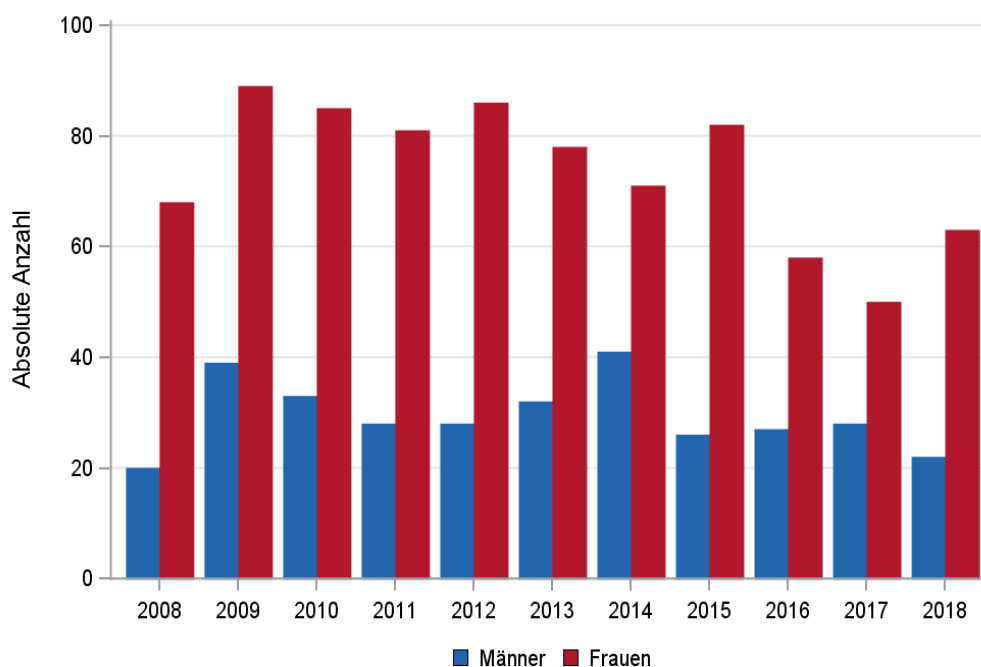


© KKR-MV 2020

Abb. 31.1. C73: Absolute Anzahl der Neuerkrankungen nach Geschlecht im Diagnosezeitraum 2008 bis 2018 (Behandlungsort)

Tab. 31.2. C73: Absolute Anzahl der Neuerkrankungen nach Geschlecht (Wohnort)

Diagnosejahr	Männer		Frauen		Summe
	Anzahl	%	Anzahl	%	
2008	20	22,7	68	77,3	88
2009	39	30,5	89	69,5	128
2010	33	28,0	85	72,0	118
2011	28	25,7	81	74,3	109
2012	28	24,6	86	75,4	114
2013	32	29,1	78	70,9	110
2014	41	36,6	71	63,4	112
2015	26	24,1	82	75,9	108
2016	27	31,8	58	68,2	85
2017	28	35,9	50	64,1	78
2018	22	25,9	63	74,1	85
Summe	324	28,5	811	71,5	1135



© KKR-MV 2020

Abb. 31.2. C73: Absolute Anzahl der Neuerkrankungen nach Geschlecht im Diagnosezeitraum 2008 bis 2018 (Wohnort)

31.3 Absolute Anzahl der erfassten Neuerkrankungen in M-V in den Jahren 2008 – 2018 nach Landkreisen (Wohnort)

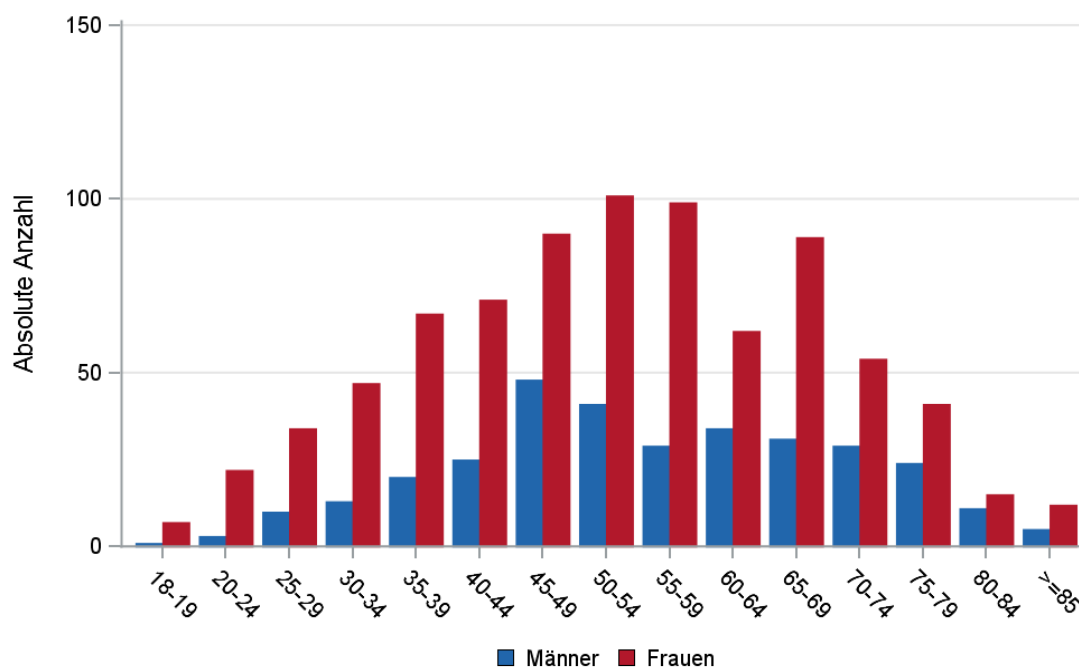
Tab. 31.3. C73: Absolute Anzahl und prozentualer Anteil der Neuerkrankungen nach Landkreisen

Landkreis	2008		2009		2010		2011		2012		2013		2014		2015		2016		2017		2018		Summe	
	Anzahl	%	Anzahl	%	Anzahl	%	Anzahl	%	Anzahl	%	Anzahl	%	Anzahl	%	Anzahl	%	Anzahl	%	Anzahl	%	Anzahl	%	Anzahl	%
Landkreis Rostock	14	15,9	29	22,7	23	19,5	13	11,9	16	14,0	25	22,7	21	18,8	25	23,1	15	17,6	15	19,2	18	21,2	214	18,9
Ludwigslust-Parchim	9	10,2	16	12,5	11	9,3	11	10,1	8	7,0	8	7,3	10	8,9	6	5,6	13	15,3	7	9,0	2	2,4	101	8,9
Mecklenburgische Seenplatte	17	19,3	16	12,5	25	21,2	23	21,1	24	21,1	12	10,9	15	13,4	8	7,4	10	11,8	8	10,3	13	15,3	171	15,1
Nordwestmecklenburg	6	6,8	7	5,5	6	5,1	4	3,7	9	7,9	12	10,9	7	6,3	9	8,3	11	12,9	4	5,1	8	9,4	83	7,3
Rostock	19	21,6	17	13,3	16	13,6	20	18,3	21	18,4	15	13,6	18	16,1	18	16,7	6	7,1	12	15,4	9	10,6	171	15,1
Schwerin	2	2,3	6	4,7	7	5,9	6	5,5	6	5,3	6	5,5	7	6,3	5	4,6	7	8,2	7	9,0	2	2,4	61	5,4
Vorpommern-Greifswald	8	9,1	24	18,8	16	13,6	17	15,6	13	11,4	13	11,8	18	16,1	19	17,6	7	8,2	14	17,9	15	17,6	164	14,4
Vorpommern-Rügen	13	14,8	13	10,2	13	11,0	15	13,8	17	14,9	19	17,3	16	14,3	18	16,7	16	18,8	10	12,8	18	21,2	168	14,8
nicht zuordenbar	0	0	0	0	1	0,8	0	0	0	0	0	0	0	0	0	0	0	0	1	1,3	0	0	2	0,2
Summe	88	100,0	128	100,0	118	100,0	109	100,0	114	100,0	110	100,0	112	100,0	108	100,0	85	100,0	78	100,0	85	100,0	1135	100,0

31.4 Rohe und standardisierte Neuerkrankungsraten pro 100.000 Einwohner in den Jahren 2008-2018 (Wohnort)

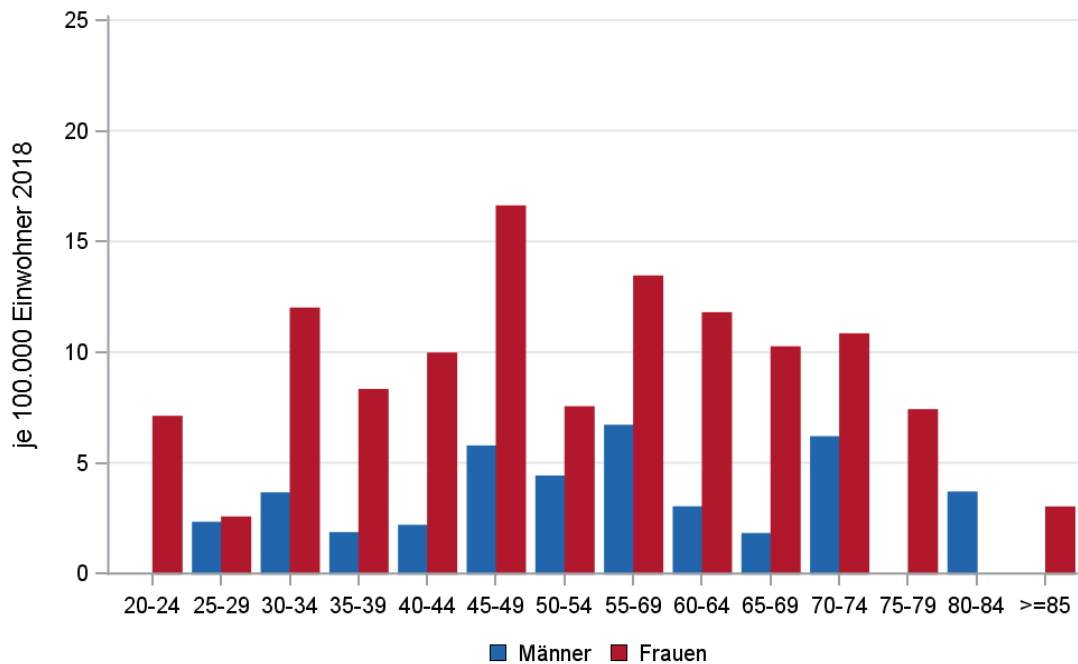
Tab. 31.4. C73: Neuerkrankungsrate/100.000 Einwohner (Alter > 19)

Diagnosejahr	Männer			Frauen		
	absolute Anzahl der Neuerkrankungen	rohe Rate in M-V	altersstandardisierte Rate	absolute Anzahl der Neuerkrankungen	rohe Rate in M-V	altersstandardisierte Rate
2008	20	2,9	2,6	68	9,5	9,1
2009	39	5,6	5,3	88	12,4	12,0
2010	33	4,8	4,2	85	11,9	12,5
2011	28	4,2	3,9	81	11,6	11,2
2012	28	4,2	3,6	85	12,2	13,3
2013	32	4,8	4,7	78	11,3	11,3
2014	40	6,1	5,5	68	9,9	10,2
2015	26	3,9	3,3	82	11,9	12,9
2016	27	4,1	3,8	56	8,2	8,0
2017	28	4,3	3,9	50	7,3	7,8
2018	22	3,4	3,2	63	9,2	9,6
2008-2018	323	4,4	4,0	804	10,5	10,7



© KKR-MV 2020

Abb. 31.3. C73: Absolute Anzahl der Neuerkrankungen aufgelistet in 5-Jahres-Altersgruppen und nach Geschlecht im Diagnosezeitraum 2008 bis 2018 (Wohnort)



© KKR-MV 2020

Abb. 31.4. C73: Altersspezifische Rate der Neuerkrankungen je 100.000 Einwohner (Diagnosejahr 2018) nach 5-Jahres-Altersgruppen und Geschlecht (Wohnort)

31.5 Alter der in den Jahren 2008 - 2018 in M-V neuerkrankten Patienten (Behandlungsort)

Tab. 31.5. C73: Erkrankungsalter (Behandlungsort)

Diagnosejahr	Männer				Frauen			
	Anzahl	Median	Minimum	Maximum	Anzahl	Median	Minimum	Maximum
2008	22	54	26	80	69	55	20	85
2009	43	51	24	86	92	51	18	88
2010	34	56	27	81	87	53	21	81
2011	30	55	30	80	84	54	20	89
2012	30	56	23	81	89	54	19	78
2013	33	59	25	77	82	56	21	86
2014	41	56	19	87	74	52	18	91
2015	26	60	27	91	87	53	23	87
2016	29	56	32	78	60	53	18	87
2017	34	52	36	80	51	50	27	88
2018	23	56	27	83	65	55	21	89

31.6 Absolute Anzahl der erfassten Neuerkrankungen in M-V in den Jahren 2008 – 2018 nach Lokalisation

Tab. 31.6. C73: Absolute Anzahl und prozentualer Anteil der Neuerkrankungen nach der Lokalisation (Behandlungsort)

Lokalisation	2008	2009	2010	2011	2012	2013	2014	2015	2016	2017	2018	Summe	
												Anzahl	%
C73.9 Schilddrüse	64	94	70	76	77	73	64	63	51	50	50	732	61,8
C73.91 Seitenlappen	25	40	51	38	42	40	51	48	37	32	37	441	37,2
C73.92 Isthmus	1	0	0	0	0	2	0	2	1	3	0	9	0,8
C73.93 Lobus pyramidalis	1	0	0	0	0	0	0	0	0	0	1	2	0,2
C73.95 Dystope Schilddrüse	0	1	0	0	0	0	0	0	0	0	0	1	0,1
Summe	91	135	121	114	119	115	115	113	89	85	88	1185	100,0

31.7 Histologische Befunde bei allen neuerkrankten Patienten in M-V in den Jahren 2008 – 2018

Tab. 31.7. C73: Histologische Befunde bei neuerkrankten Patienten (Behandlungsort)

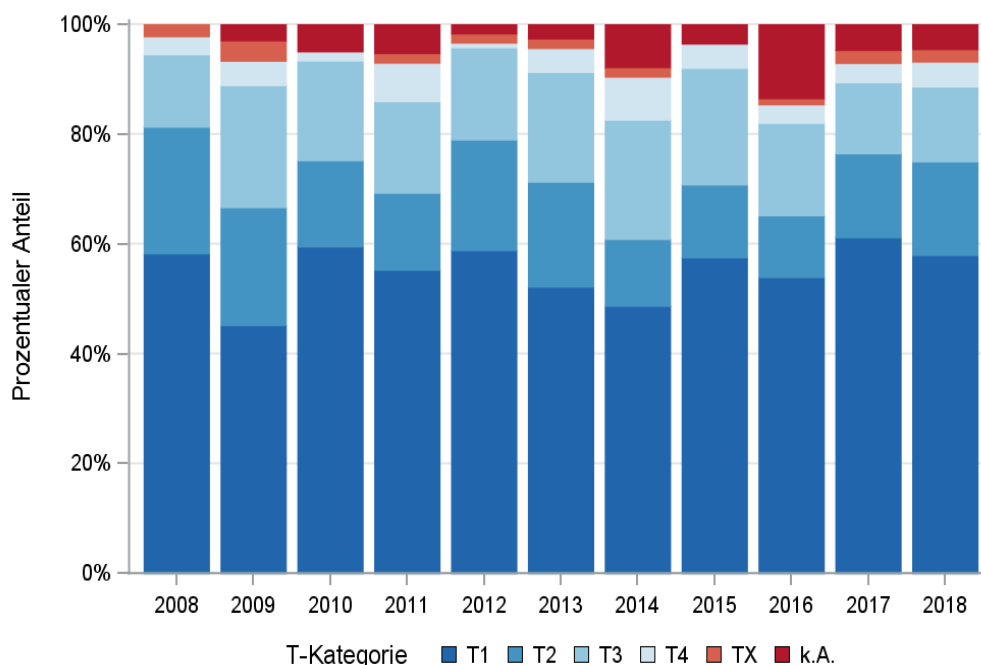
Histologiecode	Anzahl	Prozent
8260/3: Papilläres Adenokarzinom o.n.A.	702	59,2
8340/3: Papilläres Karzinom, follikuläre Variante	59	5,0
8341/3: Papilläres Mikrokarzinom	50	4,2
8050/3: Papilläres Karzinom o.n.A.	31	2,6
8343/3: Abgekapseltes papilläres Karzinom	5	0,4
8344/3: Zylinderzelliges papilläres Schilddrüsenkarzinom	2	0,2
Papilläre Karzinome	849	71,6
8330/3: Follikuläres Adenokarzinom o.n.A.	191	16,1
8335/3: Minimal-invasives follikuläres Karzinom	11	0,9
8290/3: Oxyphiles Adenokarzinom	7	0,6
8331/3: Gut differenziertes follikuläres Adenokarzinom	3	0,3
8337/3: Insuläres Karzinom	3	0,3
8140/3: Adenokarzinom o.n.A.	1	0,1
Follikuläre Karzinome	216	18,2
8345/3: Medulläres Karzinom mit amyloidem Stroma	33	2,8
8510/3: Medulläres Karzinom o.n.A.	33	2,8
8347/3: Medulläres Karzinom mit papillärer Komponente	1	0,1
Medulläre Karzinome	67	5,7
8020/3: Undifferenziertes Karzinom o.n.A.	26	2,2
8021/3: Anaplastisches Karzinom o.n.A.	16	1,4
8010/3: Karzinom o.n.A.	7	0,6
8070/3: Plattenepithelkarzinom o.n.A.	3	0,3
8033/3: Pseudosarkomatöses Karzinom	1	0,1
Undifferenzierte Karzinome	53	4,5

31.8 Tumorgröße und Ausdehnung (TNM)

Tab. 31.8. C73: Absolute Anzahl der Neuerkrankungen klassifiziert nach der Tumorgröße in Bezug zu der Auflage der TNM-Klassifikation (Behandlungsort)

Tumorgröße (T)	TNM Auflage 6		TNM Auflage 7		TNM Auflage 8		k.A. zur TNM Auflage		Summe	
	Anzahl	%	Anzahl	%	Anzahl	%	Anzahl*	%	Anzahl	%
T1	110	51,6	435	58,2	106	62,0	-	-	651	54,9
T2	48	22,5	120	16,1	30	17,5	-	-	198	16,7
T3	41	19,2	148	19,8	24	14,0	-	-	213	18,0
T4	9	4,2	32	4,3	8	4,7	-	-	49	4,1
TX	5	2,3	12	1,6	3	1,8	-	-	20	1,7
k.A.	0	0	0	0	0	0	54	100,0	54	4,6
Summe	213	100,0	747	100,0	171	100,0	54	100,0	1185	100,0

*In einzelnen Fällen wurden Angaben zur Tumorgröße ohne Bezug zu einer TNM Auflage gemacht. Diese Angaben wurden in die Kategorie k.A. aufgenommen.



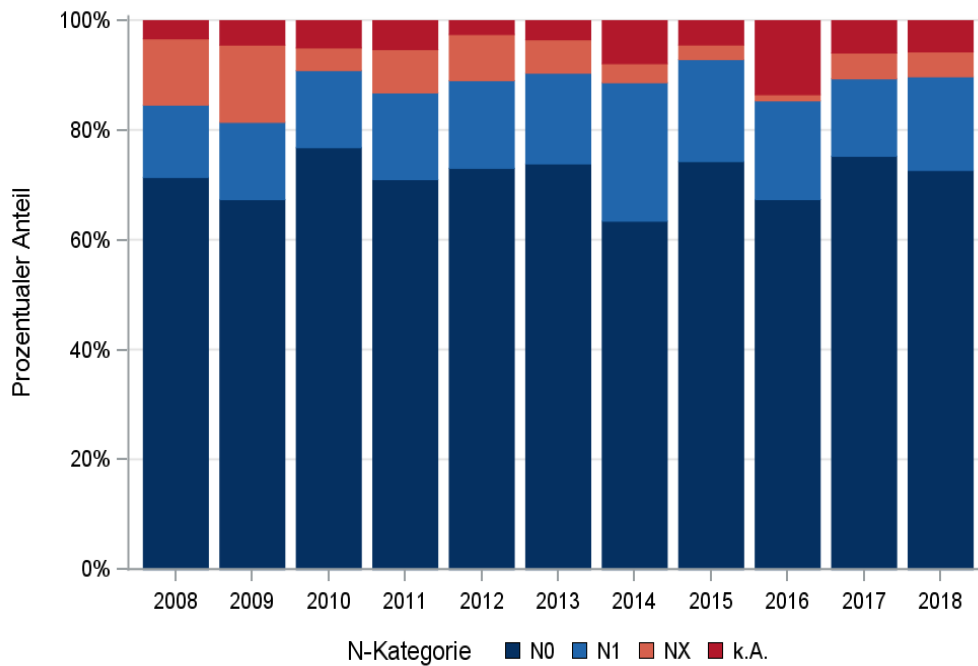
© KKR-MV 2020

Abb. 31.5. C73: Prozentualer Anteil der Neuerkrankungen nach der Tumorgröße in den Diagnosejahren 2008 bis 2018

Tab. 31.9. C73: Absolute Anzahl der Neuerkrankungen mit bzw. ohne Befall der regionären Lymphknoten in Bezug zu der Auflage der TNM-Klassifikation (Behandlungsort)

N-Kategorie	TNM Auflage 6		TNM Auflage 7		TNM Auflage 8		k.A. zur TNM Auflage		Summe	
	Anzahl	%	Anzahl	%	Anzahl	%	Anzahl*	%	Anzahl	%
N0	155	72,8	560	75,0	132	77,2	-	-	847	71,5
N1	27	12,7	140	18,7	30	17,5	-	-	197	16,6
NX	27	12,7	43	5,8	7	4,1	-	-	77	6,5
k.A.	4	1,9	4	0,5	2	1,2	54	100,0	64	5,4
Summe	213	100,0	747	100,0	171	100,0	54	100,0	1185	100,0

*In einzelnen Fällen wurden Angaben zur N-Kategorie ohne Bezug zu einer TNM Auflage gemacht. Diese Angaben wurden in die Kategorie k.A. aufgenommen.



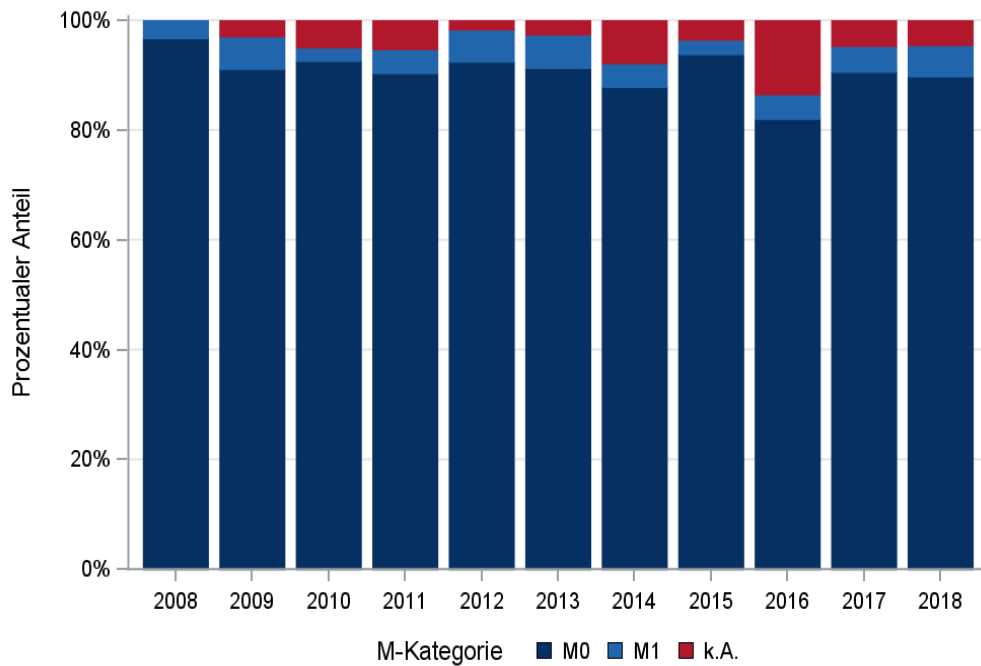
© KKR-MV 2020

Abb. 31.6. C73: Prozentualer Anteil der Neuerkrankungen mit und ohne Befall der regionären Lymphknoten zum Zeitpunkt der Erstdiagnose im Diagnosezeitraum 2008 bis 2018

Tab. 31.10. C73: Absolute Anzahl der Neuerkrankungen mit Fernmetastasierung in Bezug zu der Auflage der TNM-Klassifikation (Behandlungsort)

M-Kategorie	TNM Auflage 6		TNM Auflage 7		TNM Auflage 8		k.A. zur TNM Auflage		Summe	
	Anzahl	%	Anzahl	%	Anzahl	%	Anzahl*	%	Anzahl	%
M0	203	95,3	711	95,2	163	95,3	-	-	1077	90,9
M1	10	4,7	36	4,8	8	4,7	-	-	54	4,6
k.A.	0	0	0	0	0	0	54	100,0	54	4,6
Summe	213	100,0	747	100,0	171	100,0	54	100,0	1185	100,0

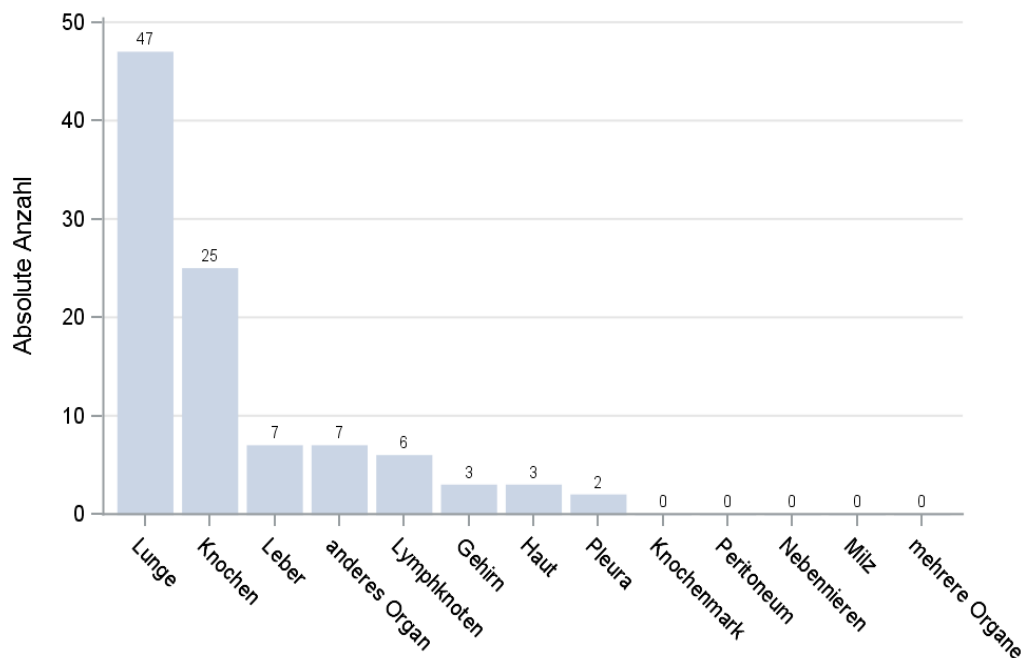
*In einzelnen Fällen wurden Angaben zur M-Kategorie ohne Bezug zu einer TNM Auflage gemacht. Diese Angaben wurden in die Kategorie k.A. aufgenommen.



© KKR-MV 2020

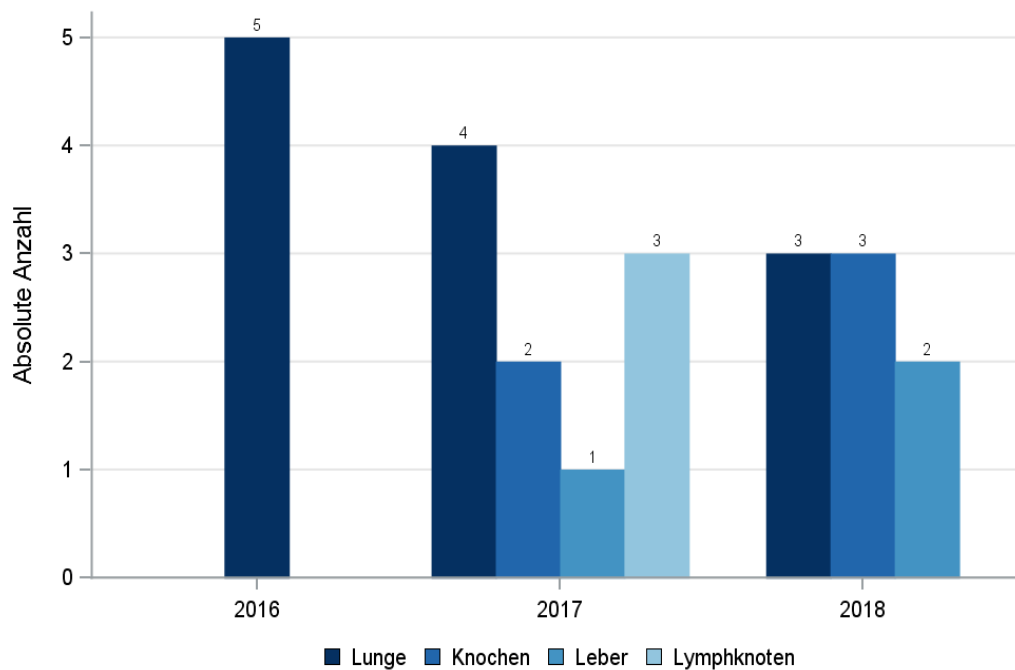
Abb. 31.7. C73: Prozentualer Anteil der primären Fernmetastasierung im Diagnosezeitraum 2008 bis 2018

31.9 Lokalisation der Fernmetastasen



© KKR-MV 2020

Abb. 31.8. C73: Lokalisation der Fernmetastasen bei Neuerkrankungen im Diagnosezeitraum 2008 bis 2018



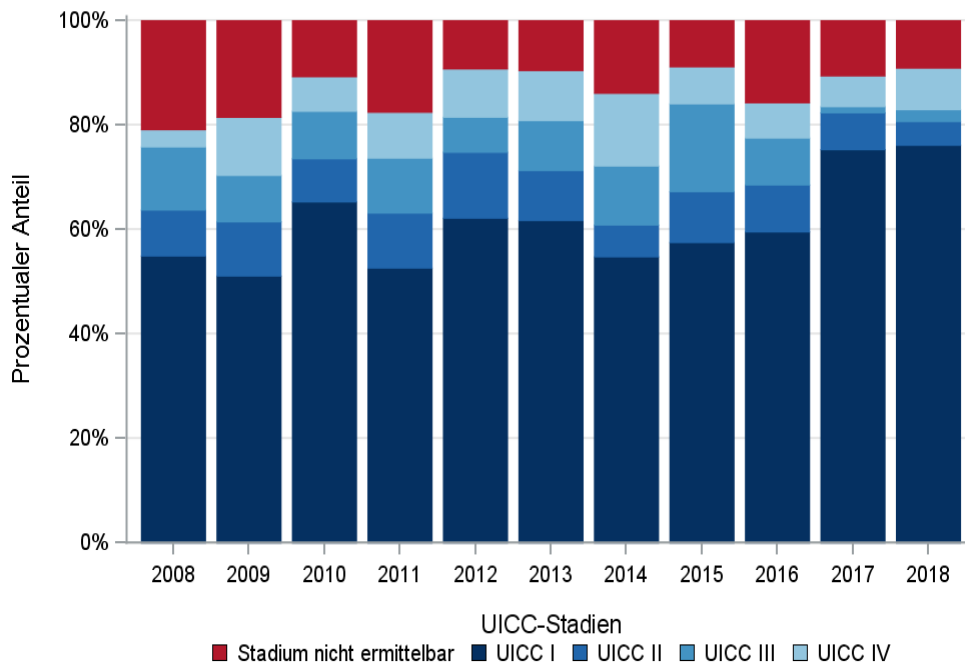
© KKR-MV 2020

Abb.31.9. C73: Lokalisation der Fernmetastasen bei Neuerkrankungen für die Diagnosejahre 2016 bis 2018

31.10 Tumorstadien nach UICC

Tab. 31.11. C73: Primäre UICC-Stadien (Behandlungsort)

Jahre	UICC I		UICC II		UICC III		UICC IV		Stadium nicht ermittelbar		Summe	
	Anzahl	%	Anzahl	%	Anzahl	%	Anzahl	%	Anzahl	%	Anzahl	%
2008	50	54,9	8	8,8	11	12,1	3	3,3	19	20,9	91	100,0
2009	69	51,1	14	10,4	12	8,9	15	11,1	25	18,5	135	100,0
2010	79	65,3	10	8,3	11	9,1	8	6,6	13	10,7	121	100,0
2011	60	52,6	12	10,5	12	10,5	10	8,8	20	17,5	114	100,0
2012	74	62,2	15	12,6	8	6,7	11	9,2	11	9,2	119	100,0
2013	71	61,7	11	9,6	11	9,6	11	9,6	11	9,6	115	100,0
2014	63	54,8	7	6,1	13	11,3	16	13,9	16	13,9	115	100,0
2015	65	57,5	11	9,7	19	16,8	8	7,1	10	8,8	113	100,0
2016	53	59,6	8	9,0	8	9,0	6	6,7	14	15,7	89	100,0
2017	64	75,3	6	7,1	1	1,2	5	5,9	9	10,6	85	100,0
2018	67	76,1	4	4,5	2	2,3	7	8,0	8	9,1	88	100,0
Summe	715	60,3	106	8,9	108	9,1	100	8,4	156	13,2	1185	100,0



© KKR-MV 2020

Abb. 31.10. C73: Prozentuale Anteile der UICC-Tumorstadien in den Diagnosejahren 2008 bis 2018

31.11 Dokumentierte Therapie bis max. 12 Monate nach Diagnosestellung

31.11.1 Therapiekombinationen, Stellung der Therapie und Intention der dokumentierten Therapien

Tab. 31.12. C73: Therapiekombinationen (Operation, Strahlentherapie, systemische Therapie) pro Diagnosejahr (Behandlungsort)

Therapiekombinationen	2008	2009	2010	2011	2012	2013	2014	2015	2016	2017	2018	Summe
Alleinige Operation	37	48	44	51	47	43	52	49	49	48	46	514
Alleinige systemische Therapie	0	1	1	0	1	0	0	0	0	0	0	3
Alleinige Strahlentherapie	0	1	0	1	0	0	1	0	2	1	1	7
Operation und systemische Therapie, keine Strahlentherapie	2	0	1	0	0	1	0	0	1	0	0	5
Operation und Strahlentherapie, keine systemische Therapie	52	80	74	57	66	64	52	62	33	32	38	610
Systemische Therapie und Strahlentherapie, keine Operation	0	0	0	1	0	0	0	0	1	1	0	3
Operation und systemische Therapie und Strahlentherapie	0	1	1	2	2	4	1	1	0	0	1	13
Keine Operation, systemische Therapie oder Strahlentherapie	0	4	0	2	3	3	9	1	3	3	2	30
Summe	91	135	121	114	119	115	115	113	89	85	88	1185

Tab. 31.13. C73: Therapiekombinationen (Operation, Strahlentherapie, systemische Therapie) in Abhängigkeit von dem UICC-Stadium (Behandlungsort)

Therapiekombinationen	UICC I	UICC II	UICC III	UICC IV	Stadium nicht ermittelbar	Summe
Alleinige Operation	352	29	20	30	83	514
Alleinige systemische Therapie	0	0	0	0	3	3
Alleinige Strahlentherapie	0	1	0	5	1	7
Operation und systemische Therapie, keine Strahlentherapie	0	0	0	4	1	5
Operation und Strahlentherapie, keine systemische Therapie	361	75	87	44	43	610
Systemische Therapie und Strahlentherapie, keine Operation	0	0	0	0	3	3
Operation und systemische Therapie und Strahlentherapie	1	1	1	8	2	13
Keine Operation, systemische Therapie oder Strahlentherapie	1	0	0	9	20	30
Summe	715	106	108	100	156	1185

Tab. 31.14a. C73: Stellung der Strahlentherapie zur operativen Therapie im ersten Jahr der Erkrankung (adjuvant/neoadjuvant, Behandlungsort)

Stellung der Strahlentherapie zur operativen Therapie	2008	2009	2010	2011	2012	2013	2014	2015	2016	2017	2018	Summe
Adjuvante (postoperative) Strahlentherapie	22	34	30	29	40	57	53	62	32	29	39	427
Intraoperative Strahlentherapie	0	0	0	1	1	0	0	0	0	1	0	3
Therapie ohne Bezug zu einer operativen Therapie	2	0	0	0	0	0	0	0	0	1	0	3
Neoadjuvante (präoperative) Strahlentherapie	0	0	0	0	0	0	0	0	0	1	0	1
unbekannt	28	47	45	29	27	11	0	1	1	0	0	189
Summe	52	81	75	59	68	68	53	63	33	32	39	623

Tab. 31.14b. C73: Stellung der systemischen Therapie zur operativen Therapie im ersten Jahr der Erkrankung (adjuvant/neoadjuvant, Behandlungsort))

Stellung der systemischen Therapie zur operativen Therapie	2008	2009	2010	2011	2012	2013	2014	2015	2016	2018	Summe
Therapie ohne Bezug zu einer operativen Therapie	0	0	2	1	1	3	1	0	1	0	9
Adjuvante (postoperative) Therapie	0	1	0	1	1	2	0	1	0	1	7
unbekannt	2	0	0	0	0	0	0	0	0	0	2
Summe	2	1	2	2	2	5	1	1	1	1	18

Tab. 31.15a. C73: Intention bei der ersten Operation (Behandlungsort)

Intention der Operation	2008	2009	2010	2011	2012	2013	2014	2015	2016	2017	2018	Summe
Kurativ	87	118	112	94	99	96	90	108	79	76	74	1033
Palliativ bzw. symptomatisch	1	5	3	4	2	2	2	3	2	2	2	28
Sonstige/Unbekannt/Keine Angabe	3	6	5	12	14	14	13	1	2	2	9	81
Summe	91	129	120	110	115	112	105	112	83	80	85	1142

Tab. 31.15b. C73: Intention der initialen Bestrahlung (Behandlungsort)

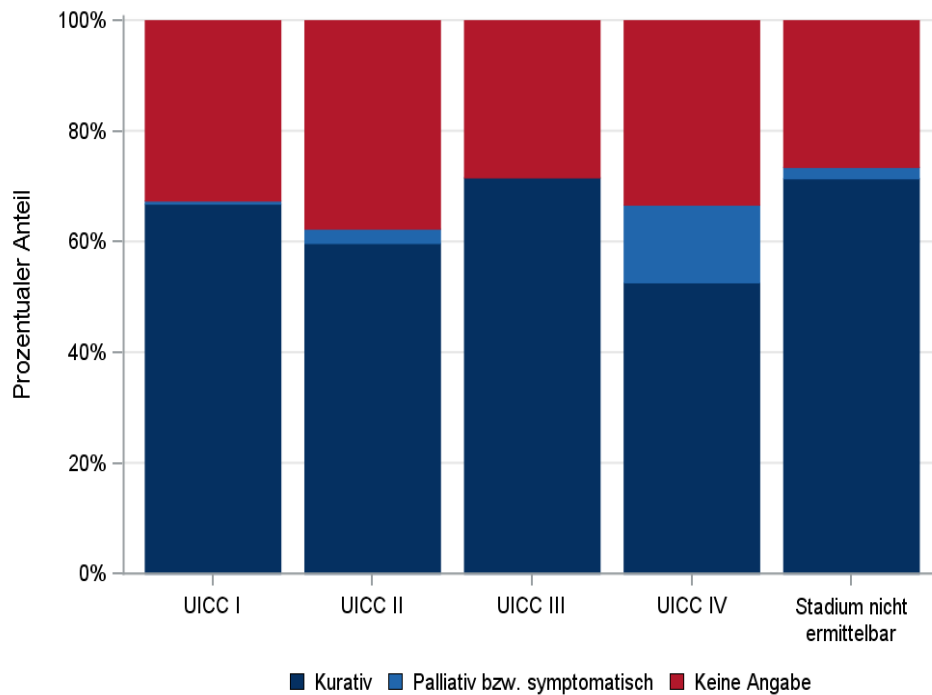
Intention der Bestrahlung	2008	2009	2010	2011	2012	2013	2014	2015	2016	2017	2018	Summe
Kurativ	25	32	29	30	35	51	52	59	32	32	39	416
Palliativ bzw. symptomatisch	0	1	0	1	1	1	2	2	2	2	1	13
Sonstige/Unbekannt/Keine Angabe	27	49	46	30	32	16	0	2	2	0	0	204
Summe	52	82	75	61	68	68	54	63	36	34	40	633

Tab. 31.15c. C73: Intention bei der ersten systemischen Therapie (Behandlungsort)

Intention der systemischen Therapie	2008	2009	2010	2011	2012	2013	2014	2015	2016	2017	2018	Summe
Palliativ bzw. symptomatisch	0	0	2	2	2	4	1	1	1	0	1	14
Kurativ	0	2	0	0	1	0	0	0	0	1	0	4
Sonstige/Unbekannt/Keine Angabe	2	0	1	1	0	1	0	0	1	0	0	6
Summe	2	2	3	3	3	5	1	1	2	1	1	24

Tab. 31.16. C73: Zeitraum zwischen Diagnose und Beginn der ersten Therapie nach Therapieart (Angaben in Tagen, Behandlungsort)

Therapie	Anzahl	Median	Minimum	Maximum
Diagnose und erste Operation	1142	0	0	365
Diagnose und erste Bestrahlung	633	43	5	334
Diagnose und erste system. Therapie	24	88	14	341



© KKR-MV 2020

Abb.31.11. C73: Intention der ersten Bestrahlung nach UICC-Klassifikation

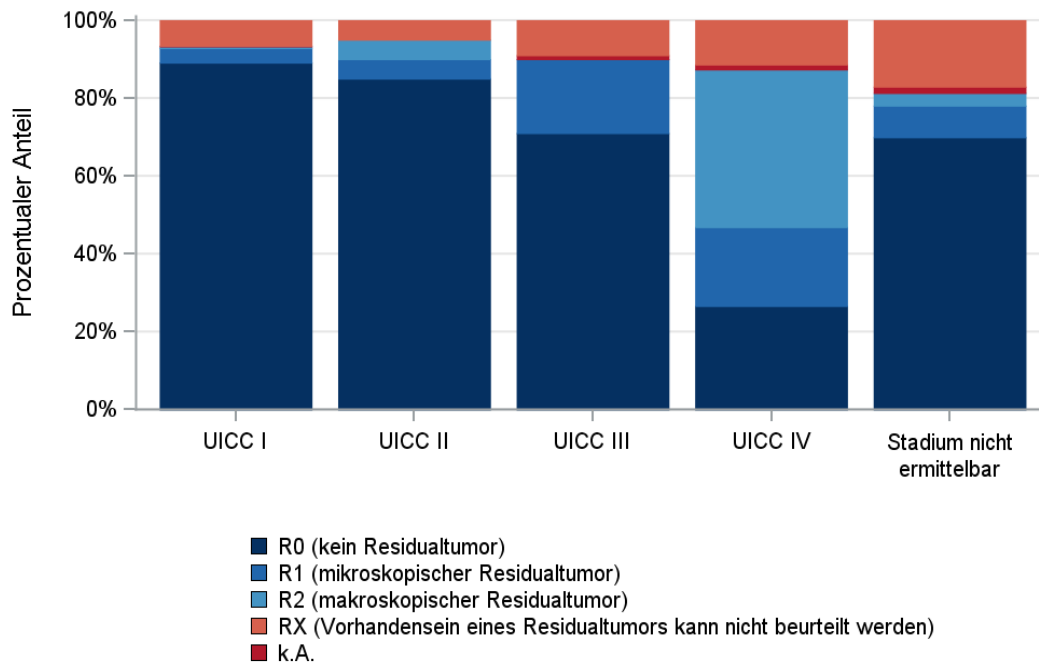
31.11.2 Dokumentierte tumorspezifische Operation bis max.12 Monate nach Diagnosestellung

Tab. 31.17. C73: Dokumentierte tumorspezifische Operation nach UICC (Behandlungsort)

Operationen	UICC I	UICC II	UICC III	UICC IV	Stadium nicht ermittelbar	Summe	
						Anzahl	%
Tumorresektion	522	59	52	26	91	750	65,7
Tumor- und Lymphknotenresektion	175	41	48	53	32	349	30,6
Lymphknotenresektion	4	2	0	2	1	9	0,8
sonstige OP	13	2	7	4	4	30	2,6
keine Angabe	0	1	1	1	1	4	0,4
Summe	714	105	108	86	129	1142	100,0

Tab. 31.18. C73: Residualklassifikation nach Tumorresektion im Diagnosezeitraum 2008-2018

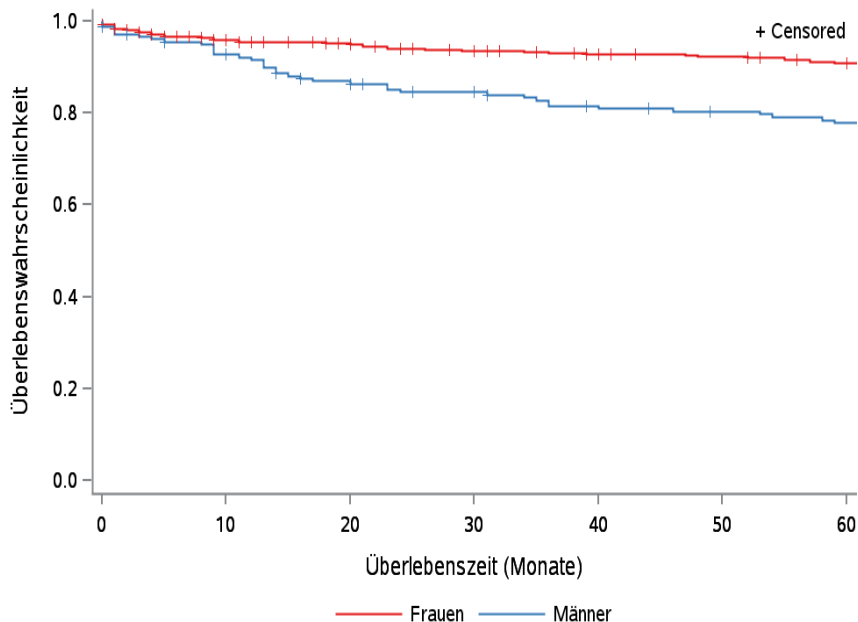
R-Klassifikation	UICC I	UICC II	UICC III	UICC IV	Stadium nicht ermittelbar	Summe	
						Anzahl	%
R0 (kein Residualtumor)	621	85	71	21	86	884	80,4
R1 (mikroskopischer Residualtumor)	26	5	19	16	10	76	6,9
R2 (makroskopischer Residualtumor)	3	5	0	32	4	44	4,0
RX (Vorhandensein eines Residualtumors kann nicht beurteilt werden)	46	5	9	9	21	90	8,2
keine Angabe	1	0	1	1	2	5	0,5
Summe	697	100	100	79	123	1099	100,0



© KKR-MV 2020

Abb.31.12. C73: Residualklassifikation nach Tumorresektion in Abhängigkeit von UICC-Tumorstadium im Diagnosezeitraum 2008 bis 2018

31.12 Überlebensanalysen bei den in den Jahren 2008 – 2013 primär diagnostizierten Patienten

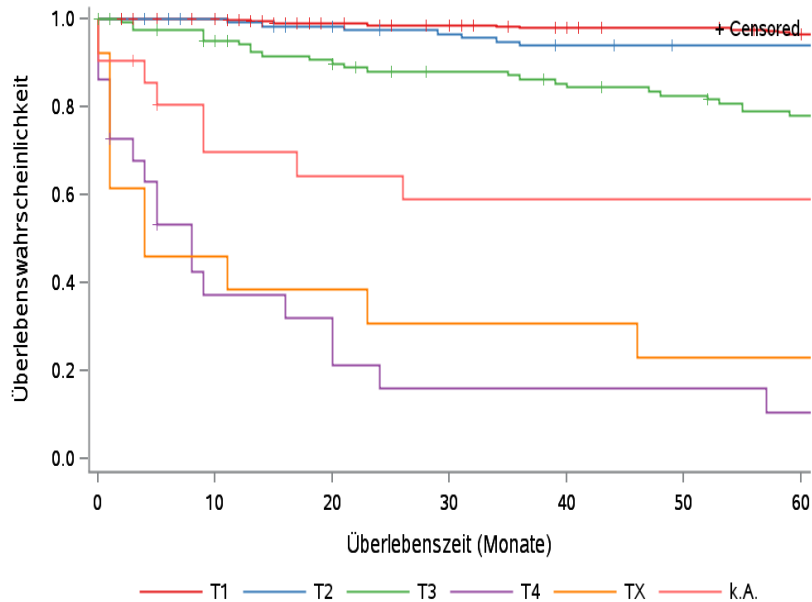


© KKR-MV 2020

Abb.31.13. C73: Wahrscheinlichkeit des Überlebens (Kaplan-Meier-Analyse) nach Geschlecht im Diagnosezeitraum von 2008 bis 2013 (Wohnort). Kaplan-Meier-Kurven werden für Kategorien mit weniger als 10 Neuerkrankungen nicht dargestellt.

Tab. 31.19. C73: Anzahl der unter Risiko stehenden Neuerkrankungen (Monate nach Diagnose)

Geschlecht	0 Monate	20 Monate	40 Monate	60 Monate
Männer	180	149	134	126
Frauen	487	418	394	378



© KKR-MV 2020

Abb.31.14. C73: Wahrscheinlichkeit des Überlebens (Kaplan-Meier-Analyse) nach Tumorstadium im Diagnosezeitraum von 2008 bis 2013 (Wohnort). Kaplan-Meier-Kurven werden für Kategorien mit weniger als 10 Neuerkrankungen nicht dargestellt.

Tab. 31.20. C73: Anzahl der unter Risiko stehenden Neuerkrankungen nach Tumorstadium (Monate nach Diagnose)

T-Kategorie	0 Monate	20 Monate	40 Monate	60 Monate
T1	365	325	310	300
T2	124	114	106	104
T3	122	105	94	84
T4	22	6	3	2
TX	13	5	4	3
k.A.	21	12	11	11

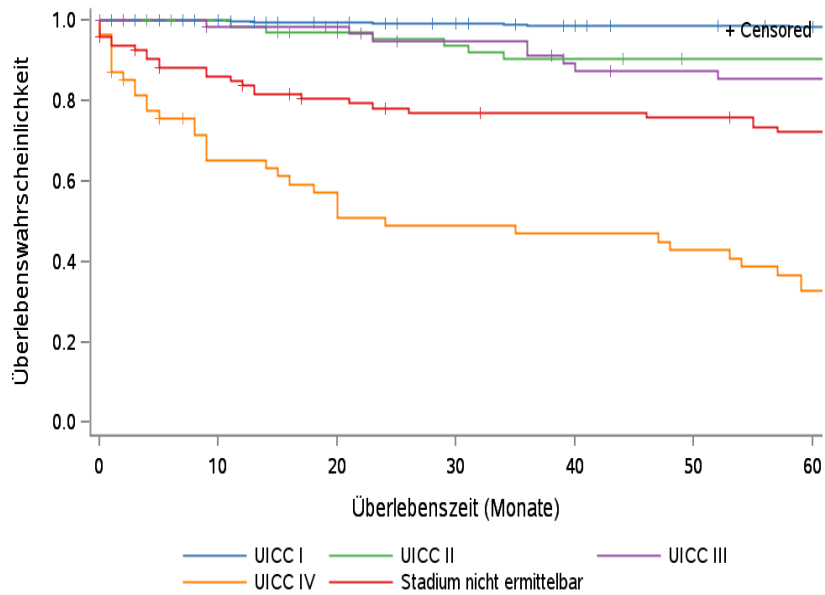


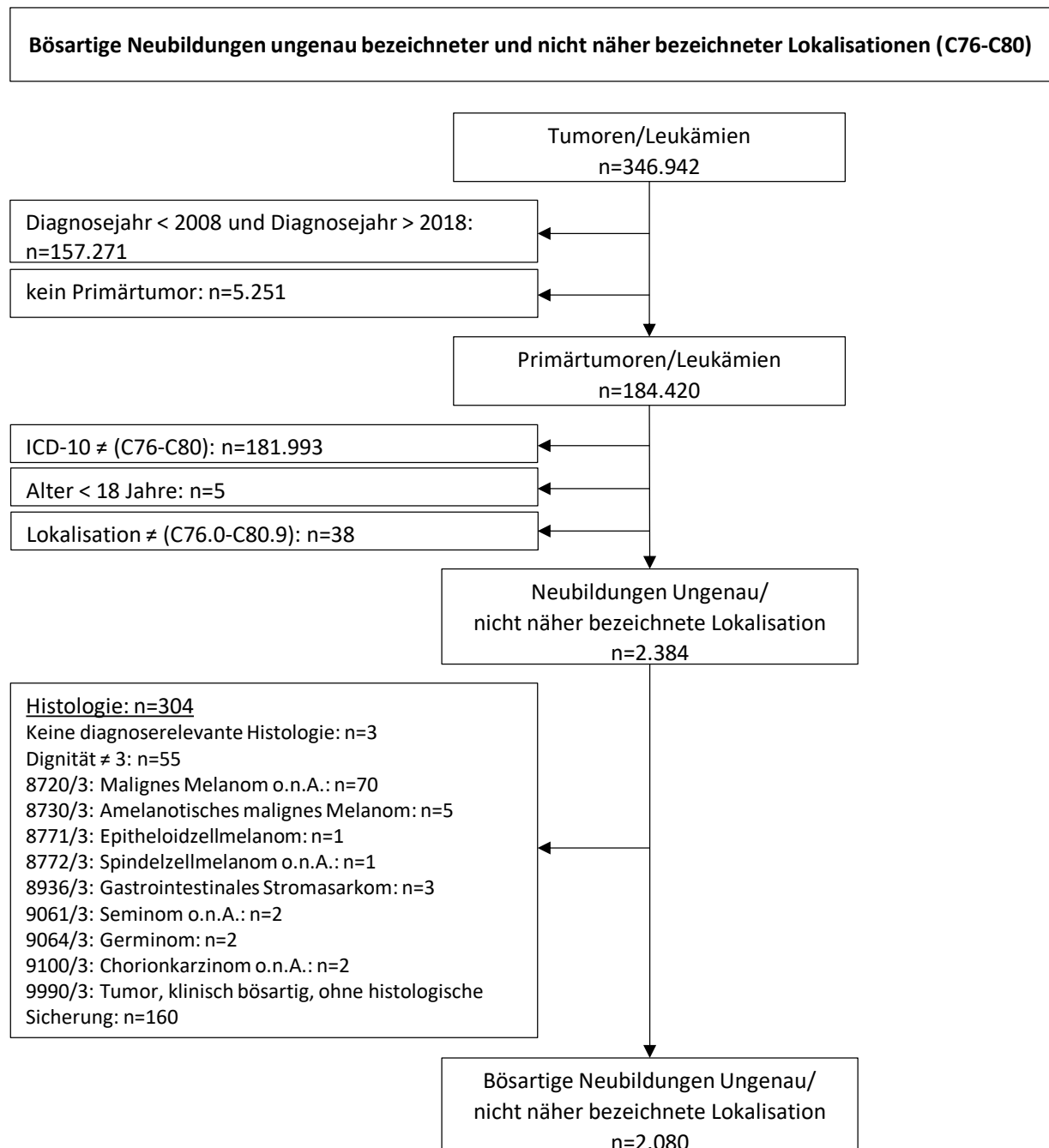
Abb. 31.15. C73: Wahrscheinlichkeit des Überlebens (Kaplan-Meier-Analyse) nach UICC-Tumorstadium im Diagnosezeitraum von 2008 bis 2013 (Wohnort). Kaplan-Meier-Kurven werden für Kategorien mit weniger als 10 Neuerkrankungen nicht dargestellt.

Tab. 31.21. C73: Anzahl der unter Risiko stehenden Neuerkrankungen nach UICC-Stadium (Monate nach Diagnose)

UICC-Stadium	0 Monate	20 Monate	40 Monate	60 Monate
UICC I	388	352	338	331
UICC II	67	60	54	52
UICC III	62	57	48	45
UICC IV	54	28	23	16
Stadium nicht ermittelbar	96	70	65	60

32 Bösartige Neubildungen ungenau bezeichneter und nicht näher bezeichneter Lokalisationen (C76-C80)

32.1 Consort-Statement: Darstellung der Auswertepopulation



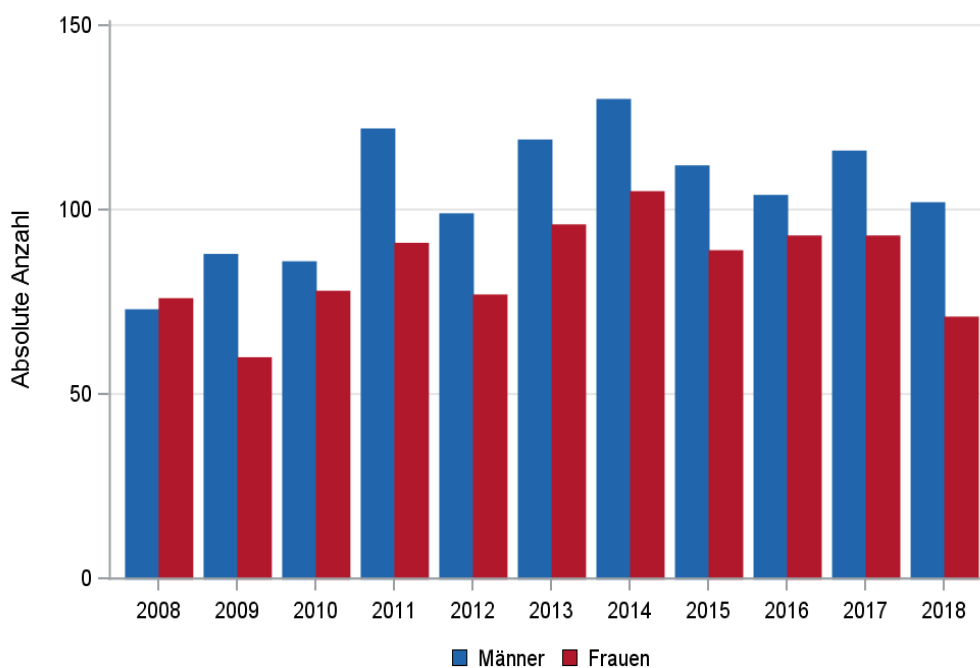
*Erläuterungen zu den Ausschlüssen finden Sie im Kapitel 4 (Methode)

Innerhalb der heterogenen Entität der bösartigen Neubildungen ungenau bezeichneter und nicht näher bezeichneter Lokalisationen werden lediglich Häufigkeiten dargestellt.

32.2 Absolute Anzahl der erfassten Neuerkrankungen in M-V in den Jahren 2008 – 2018 nach Geschlecht (Behandlungsort, Wohnort)

Tab. 32.1. C76-C80: Absolute Anzahl der Neuerkrankungen nach Geschlecht (Behandlungsort)

Diagnosejahr	Männer		Frauen		Summe
	Anzahl	%	Anzahl	%	
2008	73	49,0	76	51,0	149
2009	88	59,5	60	40,5	148
2010	86	52,4	78	47,6	164
2011	122	57,3	91	42,7	213
2012	99	56,3	77	43,8	176
2013	119	55,3	96	44,7	215
2014	130	55,3	105	44,7	235
2015	112	55,7	89	44,3	201
2016	104	52,8	93	47,2	197
2017	116	55,5	93	44,5	209
2018	102	59,0	71	41,0	173
Summe	1151	55,3	929	44,7	2080

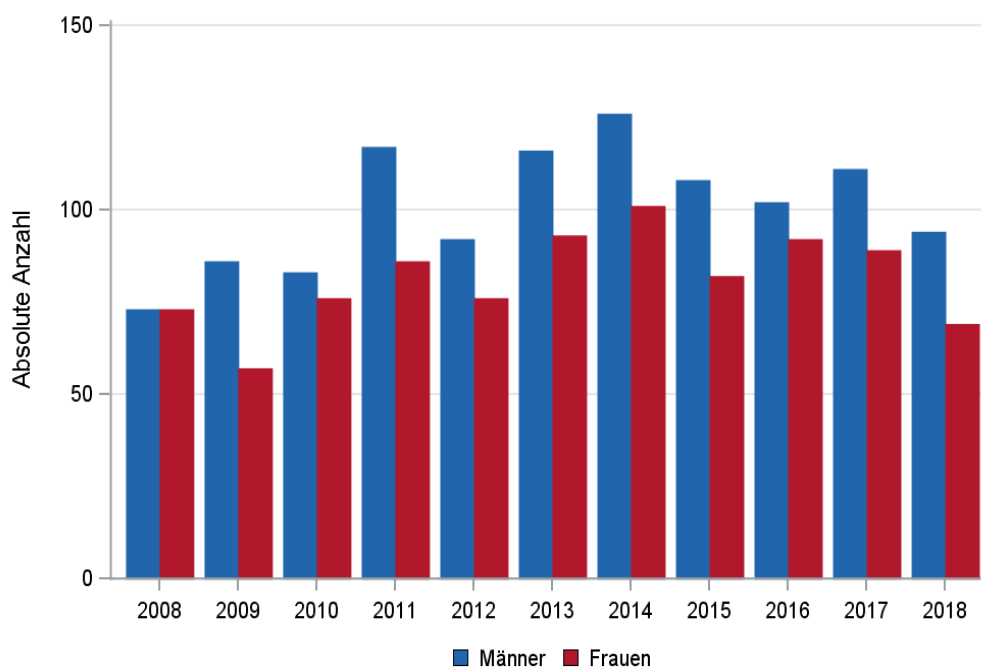


© KKR-MV 2020

Abb. 32.1. C76-C80: Absolute Anzahl der Neuerkrankungen nach Geschlecht im Diagnosezeitraum 2008 bis 2018 (Behandlungsort)

Tab. 32.2. C76-C80: Absolute Anzahl der Neuerkrankungen nach Geschlecht (Wohnort)

Diagnosejahr	Männer		Frauen		Summe
	Anzahl	%	Anzahl	%	
2008	73	50,0	73	50,0	146
2009	86	60,1	57	39,9	143
2010	83	52,2	76	47,8	159
2011	117	57,6	86	42,4	203
2012	92	54,8	76	45,2	168
2013	116	55,5	93	44,5	209
2014	126	55,5	101	44,5	227
2015	108	56,8	82	43,2	190
2016	102	52,6	92	47,4	194
2017	111	55,5	89	44,5	200
2018	94	57,7	69	42,3	163
Summe	1108	55,3	894	44,7	2002



© KKR-MV 2020

Abb. 32.2. C76-C80: Absolute Anzahl der Neuerkrankungen nach Geschlecht im Diagnosezeitraum 2008 bis 2018 (Wohnort)

32.3 Absolute Anzahl der erfassten Neuerkrankungen in M-V in den Jahren 2008 – 2018 nach Landkreisen (Wohnort)

Tab. 32.3. C76-C80: Absolute Anzahl und prozentualer Anteil der Neuerkrankungen nach Landkreisen

Landkreis	2008		2009		2010		2011		2012		2013		2014		2015		2016		2017		2018		Summe	
	Anzahl	%	Anzahl	%	Anzahl	%	Anzahl	%	Anzahl	%	Anzahl	%	Anzahl	%	Anzahl	%	Anzahl	%	Anzahl	%	Anzahl	%	Anzahl	%
Landkreis Rostock	13	8,9	21	14,7	20	12,6	27	13,3	17	10,1	22	10,5	36	15,9	28	14,7	24	12,4	15	7,5	30	18,4	253	12,6
Ludwigslust-Parchim	18	12,3	30	21,0	19	11,9	38	18,7	16	9,5	21	10,0	25	11,0	24	12,6	15	7,7	24	12,0	19	11,7	249	12,4
Mecklenburgische Seenplatte	7	4,8	8	5,6	12	7,5	10	4,9	14	8,3	12	5,7	18	7,9	10	5,3	8	4,1	29	14,5	9	5,5	137	6,8
Nordwestmecklenburg	15	10,3	9	6,3	17	10,7	14	6,9	12	7,1	22	10,5	18	7,9	11	5,8	20	10,3	8	4,0	18	11,0	164	8,2
Rostock	19	13,0	12	8,4	24	15,1	25	12,3	19	11,3	30	14,4	18	7,9	30	15,8	26	13,4	26	13,0	19	11,7	248	12,4
Schwerin	19	13,0	12	8,4	24	15,1	19	9,4	14	8,3	15	7,2	21	9,3	21	11,1	20	10,3	8	4,0	10	6,1	183	9,1
Vorpommern-Greifswald	19	13,0	24	16,8	20	12,6	36	17,7	38	22,6	44	21,1	52	22,9	23	12,1	34	17,5	55	27,5	27	16,6	372	18,6
Vorpommern-Rügen	36	24,7	27	18,9	23	14,5	34	16,7	36	21,4	41	19,6	39	17,2	42	22,1	46	23,7	35	17,5	31	19,0	390	19,5
nicht zuordenbar	0	0	0	0	0	0	0	0	2	1,2	2	1,0	0	0	1	0,5	1	0,5	0	0	0	0	6	0,3
Summe	146	100,0	143	100,0	159	100,0	203	100,0	168	100,0	209	100,0	227	100,0	190	100,0	194	100,0	200	100,0	163	100,0	2002	100,0

32.4 Absolute Anzahl der erfassten Neuerkrankungen in M-V in den Jahren 2008 – 2018 nach Lokalisation

Tab. 32.4. C76-C80: Absolute Anzahl und prozentualer Anteil der Neuerkrankungen nach der Lokalisation (Behandlungsort)

Lokalisation	2008	2009	2010	2011	2012	2013	2014	2015	2016	2017	2018	Summe	
												Anzahl	%
C76.0 Kopf, Gesicht, Hals o.n.A.	0	3	1	0	1	0	0	0	0	0	0	5	0,2
C76.1 Thorax o.n.A.	0	0	0	1	0	1	1	0	0	0	1	4	0,2
C76.2 Bauch o.n.A.	2	3	0	1	2	0	0	0	0	1	0	9	0,4
C76.3 Becken o.n.A.	1	1	0	0	0	0	0	0	0	1	0	3	0,1
C77.0 Lymphknoten des Kopfes und Halses	0	0	0	0	0	0	1	0	1	1	1	4	0,2
C77.09 Sonstige Lymphknoten im Kopf-Hals-Bereich	0	0	0	0	0	0	0	0	0	1	0	1	0,0
C77.35 Ln. axillares	0	0	0	0	0	0	0	0	0	1	0	1	0,0
C77.8 Lymphknoten mehrerer Regionen	0	0	0	0	0	0	0	0	0	1	0	1	0,0
C77.8 Lymphknoten in nicht näher bezeichneter Region	0	0	0	1	0	0	0	0	0	0	0	1	0,0
C80.9 Unbekannte Primärlokalisation	146	141	163	210	173	214	233	201	197	205	172	2055	98,6
Summe	149	148	164	213	176	215	235	201	198	211	174	2084	100,0

32.5 Histologische Befunde bei allen neuerkrankten Patienten in M-V in den Jahren 2008 – 2018

Tab. 32.5. C76-C80: Histologische Befunde bei neuerkrankten Patienten (Behandlungsort)

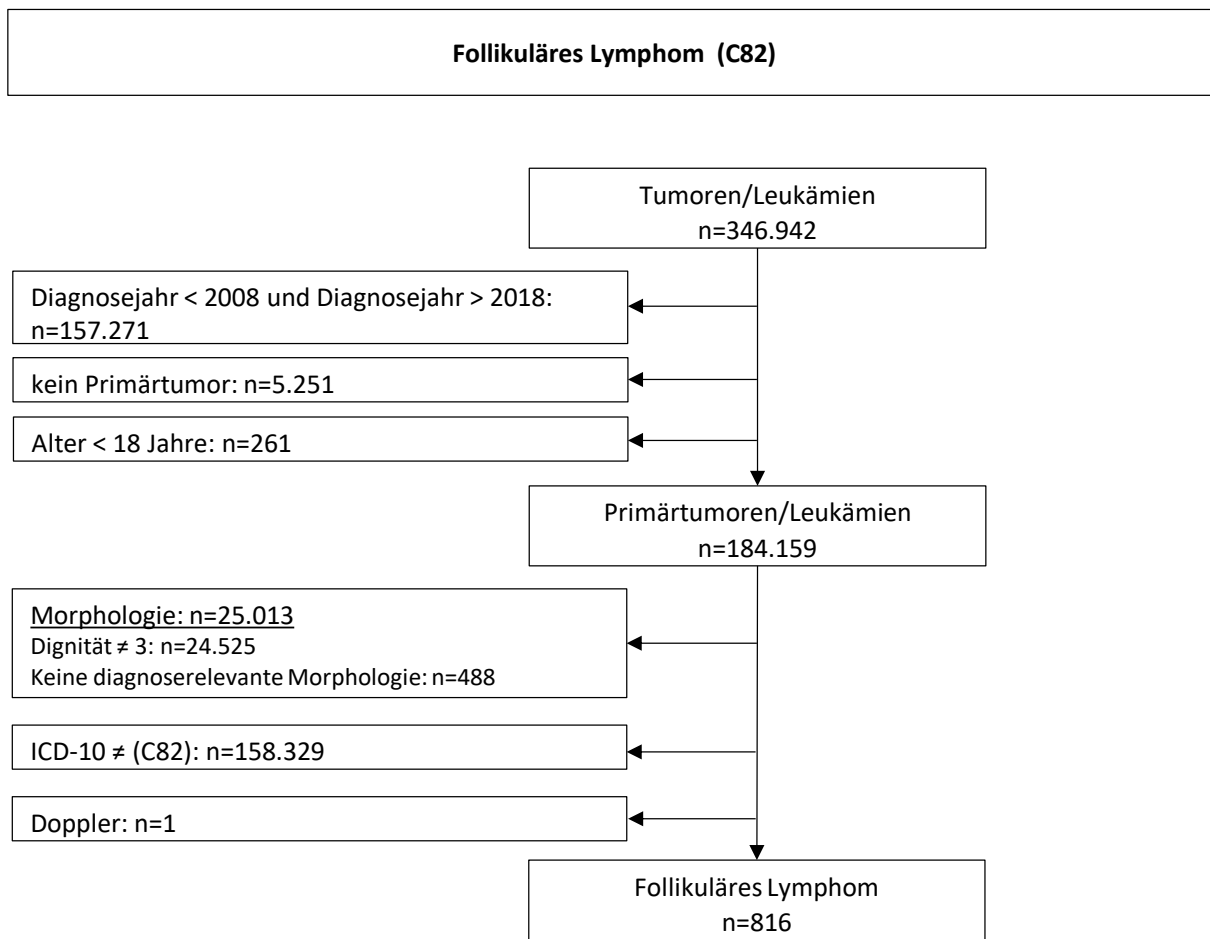
Histologiecode	Anzahl	Prozent
8140/3: Adenokarzinom o.n.A.	748	36,0
8500/3: Invasives duktales Karzinom o.n.A.	53	2,6
8230/3: Solides Karzinom o.n.A.	42	2,0
8490/3: Siegelringzellkarzinom	26	1,3
8480/3: Muzinöses Adenokarzinom	24	1,2
8260/3: Papilläres Adenokarzinom o.n.A.	20	1,0
8441/3: Seröses Zystadenokarzinom o.n.A.	18	0,9
8481/3: Schleimbildendes Adenokarzinom	18	0,9
8310/3: Klarzelliges Adenokarzinom o.n.A.	16	0,8
8211/3: Tubuläres Adenokarzinom	7	0,3
8461/3: Seröses papilläres Oberflächenkarzinom	7	0,3
8574/3: Adenokarzinom mit neuroendokriner Differenzierung	7	0,3
8460/3: Seröses papilläres Zystadenokarzinom	6	0,3
8330/3: Follikuläres Adenokarzinom o.n.A.	4	0,2
8380/3: Endometrioides Adenokarzinom o.n.A.	4	0,2
8430/3: Mukoepidermoid-Karzinom	4	0,2
8576/3: Hepatoides Adenokarzinom	4	0,2
8190/3: Trabekuläres Adenokarzinom	3	0,1
8510/3: Medulläres Karzinom o.n.A.	3	0,1
8520/3: Lobuläres Karzinom o.n.A.	3	0,1
8550/3: Azinuszellkarzinom	3	0,1

Histologiecode	Anzahl	Prozent
8560/3: Adenosquamöses Karzinom	3	0,1
8145/3: Diffuses Karzinom	2	0,1
8200/3: Adenoid-zystisches Karzinom	2	0,1
8201/3: Kribriiformes Karzinom o.n.A.	1	0,1
8263/3: Adenokarzinom in tubulovillösem Adenom	1	0,1
Adenokarzinome	1029	49,5
8010/3: Karzinom o.n.A.	184	8,9
8041/3: Kleinzelliges Karzinom o.n.A.	111	5,3
8020/3: Undifferenziertes Karzinom o.n.A.	53	2,6
8012/3: Großzelliges Karzinom o.n.A.	35	1,7
8033/3: Pseudosarkomatöses Karzinom	13	0,6
8021/3: Anaplastisches Karzinom o.n.A.	9	0,4
8022/3: Pleomorphes Karzinom	5	0,2
8032/3: Spindelzellkarzinom o.n.A.	3	0,1
8011/3: Malignes Epitheliom	1	0,1
epitheliale Neoplasien o.n.A	414	19,9
8070/3: Plattenepithelkarzinom o.n.A.	173	8,3
8072/3: Großzelliges nichtverhornendes Plattenepithelkarzinom o.n.A.	85	4,1
8071/3: Verhornendes Plattenepithelkarzinom o.n.A.	79	3,8
8120/3: Übergangszellkarzinom o.n.A.	11	0,5
8144/3: Adenokarzinom vom intestinalen Typ	8	0,4
8050/3: Papilläres Karzinom o.n.A.	4	0,2
8074/3: Spindelzelliges Plattenepithelkarzinom	4	0,2
8082/3: Lymphoepitheliales Karzinom	4	0,2
8090/3: Basalzellkarzinom o.n.A.	4	0,2
8123/3: Basaloidkarzinom	2	0,1
8083/3: Basaloides Plattenepithelkarzinom	1	0,1
8085/3: Plattenepithelkarzinom, HPV-positiv	1	0,1
8131/3: Mikropapilläres Übergangszellkarzinom	1	0,1
Plattenepithel- und Übergangsepithelkarzinome	377	18,1
8246/3: Neuroendokrines Karzinom o.n.A.	85	4,1
8240/3: Karzinoidtumor o.n.A.	26	1,3
8000/3: Maligne Neoplasie	24	1,2
8046/3: Nichtkleinzelliges Karzinom	23	1,1
8249/3: Atypischer Karzinoidtumor	22	1,1
8013/3: Großzelliges neuroendokrines Karzinom	17	0,8
8004/3: Spindelzelliger maligner Tumor	7	0,3
8247/3: Merkel-Zell-Karzinom	6	0,3
8001/3: Maligne Tumorzellen	3	0,1
8005/3: Klarzelliger maligner Tumor	1	0,1
8562/3: Epithelial-myoepitheliales Karzinom	1	0,1
8589/3: Karzinome mit thymusähnlichen Anteilen	1	0,1
8620/3: Maligner Granulosazelltumor	1	0,1
8806/3: Desmoplastischer kleinzelliger Tumor	1	0,1
8982/3: Malignes Myoepitheliom	1	0,1
9052/3: Epitheloides malignes Mesotheliom	1	0,1
9364/3: Peripherer neuroektodermaler Tumor	1	0,1
9473/3: Primitiver neuroektodermaler Tumor o.n.A.	1	0,1
9540/3: Maligner peripherer Nervenscheidentumor	1	0,1
Nicht näher bezeichnete Krebserkrankung	223	10,8
8800/3: Sarkom o.n.A.	7	0,3
8890/3: Leiomyosarkom o.n.A.	5	0,2

Histologiecode	Anzahl	Prozent
9120/3: Hämangiosarkom	5	0,2
8830/3: Malignes fibröses Histiozytom	3	0,1
8900/3: Rhabdomyosarkom o.n.A.	3	0,1
8801/3: Spindelzellsarkom	2	0,1
8901/3: Adultes pleomorphes Rhabdomyosarkom	2	0,1
8980/3: Karzinosarkom o.n.A.	2	0,1
8802/3: Riesenzellsarkom	1	0,1
8805/3: Undifferenziertes Sarkom	1	0,1
8811/3: Fibromyxosarkom	1	0,1
8850/3: Liposarkom o.n.A.	1	0,1
8891/3: Epitheloides Leiomyosarkom	1	0,1
8910/3: Embryonales Rhabdomyosarkom	1	0,1
9040/3: Synovialsarkom o.n.A.	1	0,1
9220/3: Chondrosarkom o.n.A.	1	0,1
Maligne Weichgewebstumoren	37	1,8

33 Follikuläre Lymphome (C82)

33.1 Consort-Statement: Darstellung der Auswertepopulation



*Erläuterungen zu den Ausschlüssen finden Sie im Kapitel 4 (Methode)

Tab. 33.1. C82: Histologische Befunde bei neuerkrankten Patienten (Behandlungsort)

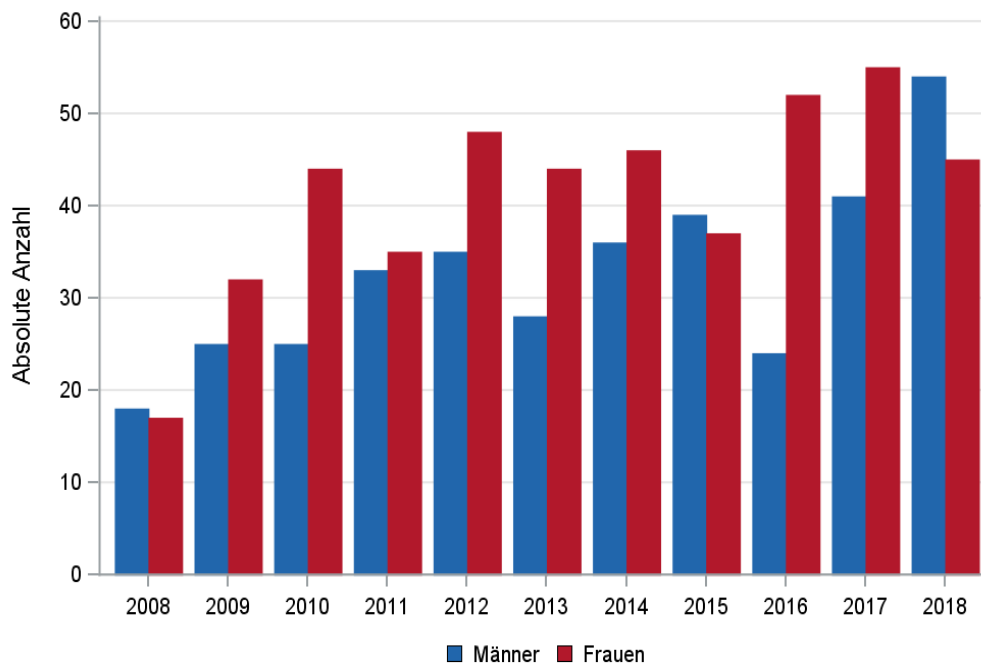
Histologiecode	Anzahl	Prozent	ICD-10
9597/3: Primär kutanes Follikelzentrumslymphom	3	0,3	C82.6
9690/3: Follikuläres Lymphom o.n.A.	243	29,8	C82.9
9691/3: Follikuläres Lymphom, Grad 2	233	28,6	C82.1
9695/3: Follikuläres Lymphom, Grad 1	232	28,4	C82.0
9698/3: Follikuläres Lymphom, Grad 3	105	12,9	C82.2
Follikuläre Lymphome, Grad 1-3	813	99,9	C82*

Im Folgenden werden lediglich die Patienten mit einem fllikulären Lymphom Grad 1-3 [n=570] bzw. einem fllikulären Lymphom o.n.A. [n=243] ausgewertet. Primäre kutane Follikelzentrumslymphome (C82.6) stellen eine separate Krankheitsentität dar.

33.2 Absolute Anzahl der erfassten Neuerkrankungen in M-V in den Jahren 2008 – 2018 nach Geschlecht (Behandlungsort, Wohnort)

Tab. 33.2. C82 (ohne C82.6): Absolute Anzahl der Neuerkrankungen nach Geschlecht (Behandlungsort)

Diagnosejahr	Männer		Frauen		Summe
	Anzahl	%	Anzahl	%	
2008	18	51,4	17	48,6	35
2009	25	43,9	32	56,1	57
2010	25	36,2	44	63,8	69
2011	33	48,5	35	51,5	68
2012	35	42,2	48	57,8	83
2013	28	38,9	44	61,1	72
2014	36	43,9	46	56,1	82
2015	39	51,3	37	48,7	76
2016	24	31,6	52	68,4	76
2017	41	42,7	55	57,3	96
2018	54	54,5	45	45,5	99
Summe	358	44,0	455	56,0	813

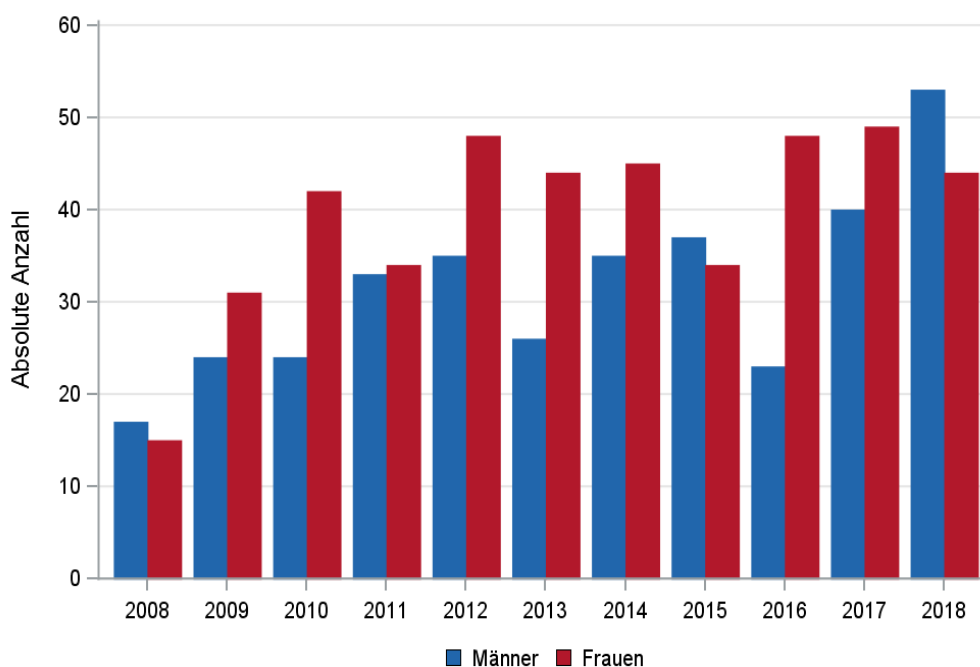


© KKR-MV 2020

Abb. 33.1. C82 (ohne C82.6): Absolute Anzahl der Neuerkrankungen nach Geschlecht im Diagnosezeitraum 2008 bis 2018 (Behandlungsort)

Tab. 33.3. C82 (ohne C82.6): Absolute Anzahl der Neuerkrankungen nach Geschlecht (Wohnort)

Diagnosejahr	Männer		Frauen		Summe
	Anzahl	%	Anzahl	%	
2008	17	53,1	15	46,9	32
2009	24	43,6	31	56,4	55
2010	24	36,4	42	63,6	66
2011	33	49,3	34	50,7	67
2012	35	42,2	48	57,8	83
2013	26	37,1	44	62,9	70
2014	35	43,8	45	56,3	80
2015	37	52,1	34	47,9	71
2016	23	32,4	48	67,6	71
2017	40	44,9	49	55,1	89
2018	53	54,6	44	45,4	97
Summe	347	44,4	434	55,6	781



© KKR-MV 2020

Abb. 33.2. C82 (ohne C82.6): Absolute Anzahl der Neuerkrankungen nach Geschlecht im Diagnosezeitraum 2008 bis 2018 (Wohnort)

33.3 Absolute Anzahl der erfassten Neuerkrankungen in M-V in den Jahren 2008 – 2018 nach Landkreisen (Wohnort)

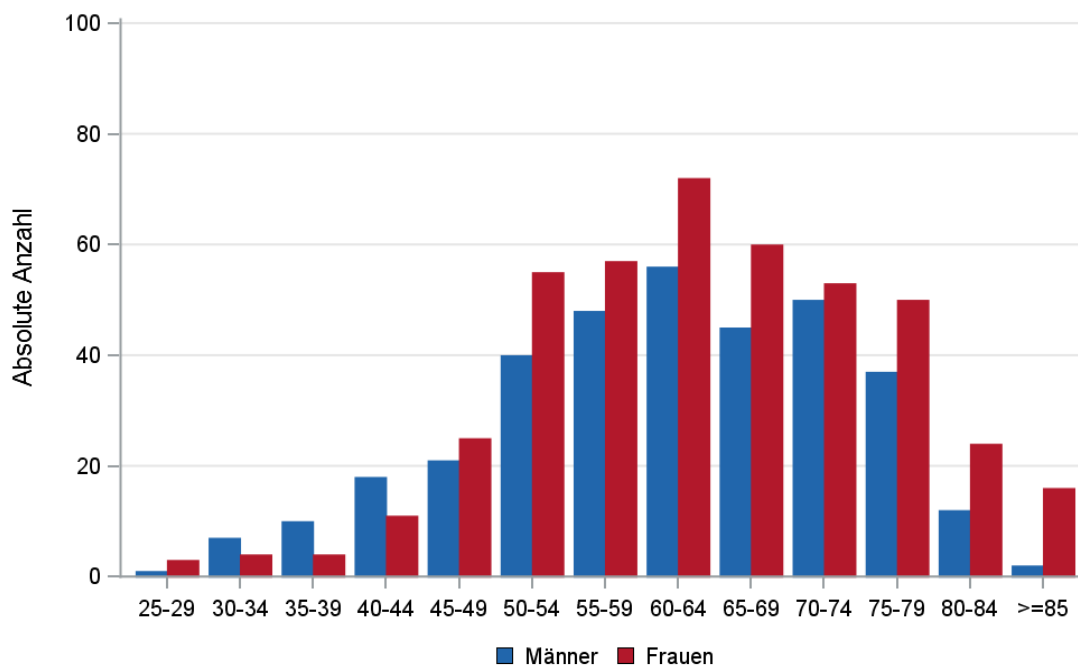
Tab. 33.4. C82 (ohne C82.6): Absolute Anzahl und prozentualer Anteil der Neuerkrankungen nach Landkreisen

Landkreis	2008		2009		2010		2011		2012		2013		2014		2015		2016		2017		2018		Summe	
	Anzahl	%	Anzahl	%	Anzahl	%	Anzahl	%	Anzahl	%	Anzahl	%	Anzahl	%	Anzahl	%	Anzahl	%	Anzahl	%	Anzahl	%	Anzahl	%
Landkreis Rostock	0	0	9	16,4	7	10,6	12	17,9	11	13,3	12	17,1	12	15,0	14	19,7	11	15,5	10	11,2	13	13,4	111	14,2
Ludwigslust-Parchim	2	6,3	6	10,9	5	7,6	8	11,9	14	16,9	9	12,9	13	16,3	4	5,6	9	12,7	12	13,5	9	9,3	91	11,7
Mecklenburgische Seenplatte	11	34,4	9	16,4	10	15,2	8	11,9	12	14,5	8	11,4	11	13,8	9	12,7	3	4,2	11	12,4	18	18,6	110	14,1
Nordwestmecklenburg	4	12,5	8	14,5	6	9,1	7	10,4	11	13,3	9	12,9	4	5,0	9	12,7	5	7,0	6	6,7	6	6,2	75	9,6
Rostock	1	3,1	5	9,1	10	15,2	9	13,4	15	18,1	7	10,0	12	15,0	13	18,3	11	15,5	14	15,7	11	11,3	108	13,8
Schwerin	5	15,6	3	5,5	9	13,6	4	6,0	3	3,6	7	10,0	3	3,8	4	5,6	6	8,5	4	4,5	5	5,2	53	6,8
Vorpommern-Greifswald	5	15,6	5	9,1	10	15,2	12	17,9	9	10,8	7	10,0	13	16,3	8	11,3	10	14,1	18	20,2	17	17,5	114	14,6
Vorpommern-Rügen	4	12,5	10	18,2	9	13,6	6	9,0	8	9,6	11	15,7	11	13,8	10	14,1	16	22,5	14	15,7	17	17,5	116	14,9
nicht zuordenbar	0	0	0	0	0	0	1	1,5	0	0	0	0	1	1,3	0	0	0	0	0	0	1	1,0	3	0,4
Summe	32	100,0	55	100,0	66	100,0	67	100,0	83	100,0	70	100,0	80	100,0	71	100,0	71	100,0	89	100,0	97	100,0	781	100,0

33.4 Rohe und standardisierte Neuerkrankungsraten pro 100.000 Einwohner in den Jahren 2008-2018 (Wohnort)

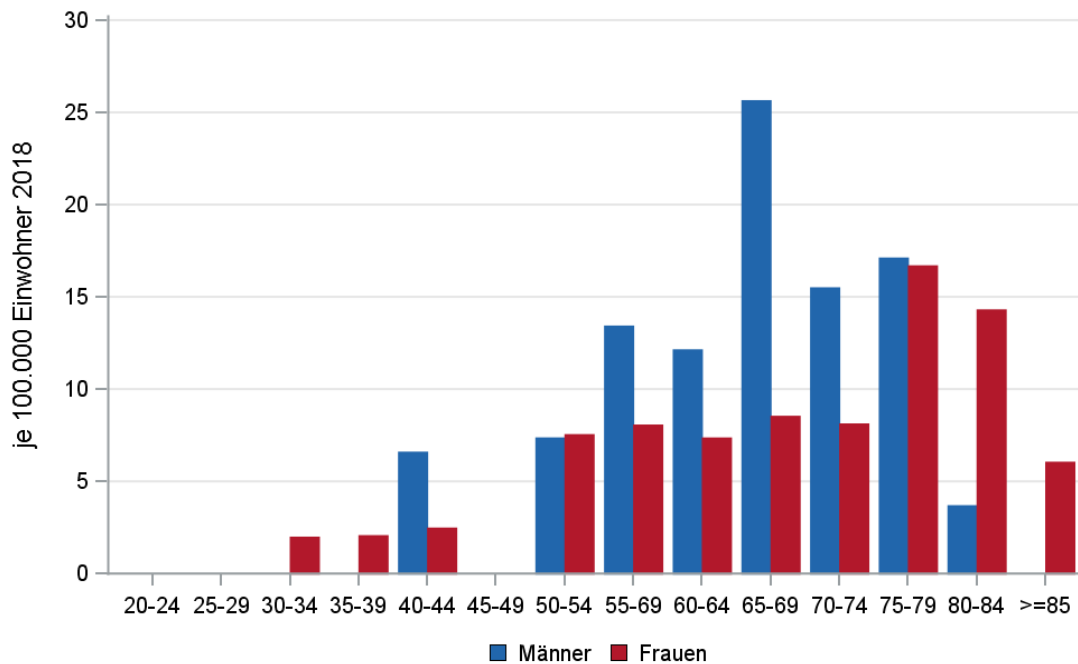
Tab. 33.5. C82 (ohne C82.6): Neuerkrankungsrate/100.000 Einwohner (Alter > 19)

Diagnosejahr	Männer			Frauen		
	absolute Anzahl der Neuerkrankungen	rohe Rate in M-V	altersstandardisierte Rate	absolute Anzahl der Neuerkrankungen	rohe Rate in M-V	altersstandardisierte Rate
2008	17	2,5	2,3	15	2,1	1,7
2009	24	3,5	3,3	31	4,4	3,5
2010	24	3,5	3,2	42	5,9	5,6
2011	33	4,9	3,9	34	4,9	3,8
2012	35	5,3	4,3	48	6,9	5,6
2013	26	3,9	2,9	44	6,4	5,1
2014	35	5,3	4,2	45	6,5	5,0
2015	37	5,6	4,6	34	4,9	3,8
2016	23	3,5	2,8	48	7,0	4,9
2017	40	6,1	4,8	49	7,1	4,9
2018	53	8,1	6,0	44	6,4	4,2
2008-2018	347	4,7	3,9	434	5,7	4,4



© KKR-MV 2020

Abb. 33.3. C82 (ohne C82.6): Absolute Anzahl der Neuerkrankungen aufgelistet in 5-Jahres-Altersgruppen und nach Geschlecht im Diagnosezeitraum 2008 bis 2018 (Wohnort)



© KKR-MV 2020

Abb. 33.4. C82 (ohne C82.6): Altersspezifische Rate der Neuerkrankungen je 100.000 Einwohner (Diagnosejahr 2018) nach 5-Jahres-Altersgruppen und Geschlecht (Wohnort)

33.5 Alter der in den Jahren 2008 - 2018 in M-V neuerkrankten Patienten (Behandlungsort)

Tab. 33.6. C82 (ohne C82.6): Erkrankungsalter (Behandlungsort)

Diagnosejahr	Männer				Frauen			
	Anzahl	Median	Minimum	Maximum	Anzahl	Median	Minimum	Maximum
2008	18	58	41	72	17	61	42	80
2009	25	59	37	80	32	64	43	87
2010	25	58	39	78	44	60	26	84
2011	33	65	39	84	35	66	28	86
2012	35	57	29	80	48	63	43	85
2013	28	65	41	82	44	62	30	88
2014	36	60	31	83	46	61	36	83
2015	39	63	32	86	37	65	34	86
2016	24	65	38	84	52	65	43	89
2017	41	64	31	88	55	65	29	86
2018	54	65	37	82	45	67	32	86

33.6 Absolute Anzahl der erfassten Neuerkrankungen in M-V in den Jahren 2008 – 2018 nach Lokalisation

Tab. 33.7. C82 (ohne C82.6): Angabe zur primären Manifestation der Neuerkrankungen (Behandlungsort)

Lokalisation	2008	2009	2010	2011	2012	2013	2014	2015	2016	2017	2018	Summe	
												Anzahl	%
C01 Zunge	0	0	0	0	0	0	2	0	0	0	0	2	0,2
C03 Mundschleimhaut	0	0	0	0	0	1	0	0	0	0	1	2	0,2
C05 Gaumen	0	0	0	0	0	1	0	0	0	0	0	1	0,1
C07 Parotis	1	0	3	0	0	0	0	3	1	0	2	10	1,2
C08 Speicheldrüse	0	0	0	0	0	1	0	2	1	0	1	5	0,6
C09 Tonsille	0	1	0	0	2	1	0	2	1	2	2	11	1,3
C10 Oropharynx	0	0	0	0	0	0	0	1	0	0	0	1	0,1
C11 Nasopharynx	0	0	0	0	1	0	0	1	0	0	0	2	0,2
C13 Hypopharynx	0	0	0	0	0	0	0	1	0	0	0	1	0,1
C16 Magen	0	0	0	1	0	0	0	0	0	0	0	1	0,1
C17 Dünndarm	0	1	1	3	4	2	1	0	4	2	2	20	2,4
C18 Kolon	0	1	0	0	0	0	0	0	2	0	0	3	0,4
C20 Rektum	0	0	0	0	0	0	0	0	1	0	0	1	0,1
C22 Leber	0	0	0	0	0	0	0	0	1	0	0	1	0,1
C32 Larynx	0	0	1	0	0	0	0	0	0	0	0	1	0,1
C34 Lunge	0	0	0	2	0	0	0	0	0	0	1	3	0,4
C38 Herz, Mediastinum und Pleura	0	0	1	0	0	0	0	1	0	2	0	4	0,5
C40 Knochen, Gelenke und Gelenkknorpel der Extremitäten	0	0	0	0	0	0	0	0	0	0	1	1	0,1
C41 Knochen des Hirn- und Gesichtsschädels (ausschließl. Mandibula, = C41.1)	0	0	0	0	0	0	0	0	1	0	1	2	0,2
C42 Hämatopoetisches und Retikuloendotheliales System	10	12	11	11	17	17	17	11	9	13	21	149	18,2
C44 Haut	1	2	2	5	7	1	5	0	5	5	0	33	4,0
C48 Retroperitoneum und Peritoneum	0	1	1	0	2	1	3	0	0	3	0	11	1,3
C49 Bindegewebe, Subkutane und andere Weichteilgewebe	1	1	1	2	0	2	1	2	1	5	3	19	2,3
C50 Brustdrüse	0	0	0	0	0	0	1	0	0	0	0	1	0,1
C56 Ovar	0	0	1	0	1	0	0	1	0	1	0	4	0,5
C57 Tuba uterina	0	0	1	0	0	0	0	0	0	0	0	1	0,1
C64 Nieren	0	1	0	0	0	1	1	0	0	1	0	4	0,5
C67 Harnblase	0	1	0	0	0	0	0	0	0	0	0	1	0,1
C68 Andere und nicht näher bezeichnete Organe des Harntraktes	0	0	0	0	0	0	0	0	0	1	0	1	0,1
C69 Auge und Adnex	1	0	0	0	0	1	0	3	0	0	0	5	0,6
C72 Rückenmark, Hirnnerven	0	0	0	0	1	0	0	0	0	0	0	1	0,1
C73 Schilddrüse	0	0	0	0	0	0	1	0	1	0	1	3	0,4
C76 andere und mangelhaft bezeichnete Lokalisationen	0	0	0	0	0	1	0	0	1	1	1	4	0,5
C77 Lymphknoten	22	38	46	44	48	42	50	48	48	60	62	508	62,2
Summe	36	59	69	68	83	72	82	76	77	96	99	817	100,0

33.7 Histologische Befunde bei allen neuerkrankten Patienten in M-V in den Jahren 2008 – 2018

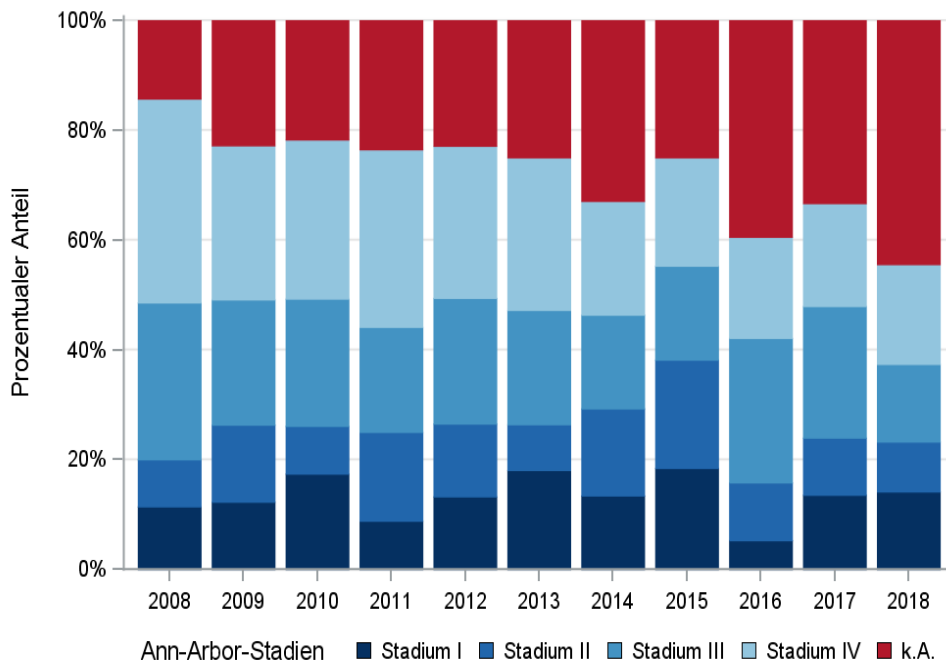
Tab. 33.8. C82 (ohne C82.6): Histologische Befunde bei neuerkrankten Patienten (Behandlungsort)

Histologiecode	Anzahl	Prozent	ICD-10
9690/3: Follikuläres Lymphom o.n.A.	243	29,9	C82.9
9691/3: Follikuläres Lymphom, Grad 2	233	28,7	C82.1
9695/3: Follikuläres Lymphom, Grad 1	232	28,5	C82.0
9698/3: Follikuläres Lymphom, Grad 3	105	12,9	C82.2
Follikuläre Lymphome, Grad 1-3	813	100,0	C82*

33.8 Klinische Stadien

Tab. 33.9. C82 (ohne C82.6): Primäres Ann-Arbor-Stadium (Behandlungsort)

Jahre	Stadium I		Stadium II		Stadium III		Stadium IV		k.A.		Summe	
	Anzahl	%	Anzahl	%	Anzahl	%	Anzahl	%	Anzahl	%	Anzahl	%
2008	4	11,4	3	8,6	10	28,6	13	37,1	5	14,3	35	100,0
2009	7	12,3	8	14,0	13	22,8	16	28,1	13	22,8	57	100,0
2010	12	17,4	6	8,7	16	23,2	20	29,0	15	21,7	69	100,0
2011	6	8,8	11	16,2	13	19,1	22	32,4	16	23,5	68	100,0
2012	11	13,3	11	13,3	19	22,9	23	27,7	19	22,9	83	100,0
2013	13	18,1	6	8,3	15	20,8	20	27,8	18	25,0	72	100,0
2014	11	13,4	13	15,9	14	17,1	17	20,7	27	32,9	82	100,0
2015	14	18,4	15	19,7	13	17,1	15	19,7	19	25,0	76	100,0
2016	4	5,3	8	10,5	20	26,3	14	18,4	30	39,5	76	100,0
2017	13	13,5	10	10,4	23	24,0	18	18,8	32	33,3	96	100,0
2018	14	14,1	9	9,1	14	14,1	18	18,2	44	44,4	99	100,0
Summe	109	13,4	100	12,3	170	20,9	196	24,1	238	29,3	813	100,0



© KKR-MV 2020

Abb. 33.5. C82 (ohne C82.6): Prozentuale Anteile der Ann-Arbor-Stadien in den Diagnosejahren 2008 bis 2018

33.9 Dokumentierte Therapie bis max. 12 Monate nach Diagnosestellung

33.9.1 Therapiekombinationen und Intention der dokumentierten Therapien

Tab. 33.10. C82 (ohne C82.6): Therapiekombinationen (Strahlentherapie, systemische Therapie) pro Diagnosejahr (Behandlungsort)

Therapiekombinationen	2008	2009	2010	2011	2012	2013	2014	2015	2016	2017	2018	Summe
Alleinige systemische Therapie	25	34	36	33	42	44	38	34	45	50	59	440
Alleinige Strahlentherapie	5	7	15	15	17	4	20	22	14	21	15	155
Systemische Therapie und Strahlentherapie	0	3	1	3	6	7	3	9	4	8	3	47
Keine systemische Therapie oder Strahlentherapie	5	13	17	17	18	17	21	11	13	17	22	171
Summe	35	57	69	68	83	72	82	76	76	96	99	813

Tab. 33.11a. C82 (ohne C82.6): Intention der initialen Bestrahlung (Behandlungsort)

Intention der Bestrahlung	2008	2009	2010	2011	2012	2013	2014	2015	2016	2017	2018	Summe
Kurativ	1	2	3	4	6	5	13	23	15	21	15	108
Palliativ bzw. symptomatisch	0	0	3	2	2	2	2	5	2	7	3	28
Sonstige/Unbekannt/Keine Angabe	4	8	10	12	15	4	8	3	1	1	0	66
Summe	5	10	16	18	23	11	23	31	18	29	18	202

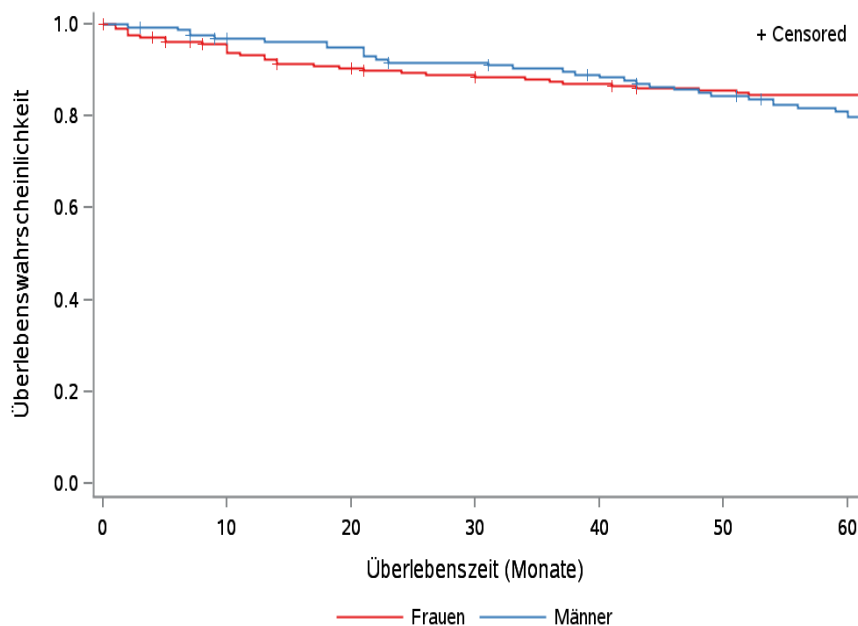
Tab. 33.11b. C82 (ohne C82.6): Intention bei der ersten systemischen Therapie (Behandlungsort)

Intention der systemischen Therapie	2008	2009	2010	2011	2012	2013	2014	2015	2016	2017	2018	Summe
Kurativ	8	19	15	22	23	28	20	22	23	28	28	236
Palliativ bzw. symptomatisch	5	10	15	7	12	11	9	13	9	18	24	133
Sonstige/Unbekannt/Keine Angabe	12	8	7	7	13	12	12	8	17	12	10	118
Summe	25	37	37	36	48	51	41	43	49	58	62	487

Tab. 33.12. C82 (ohne C82.6): Zeitraum zwischen Diagnose und Beginn der ersten Therapie nach Therapieart (Angaben in Tagen, Behandlungsort)

Therapie	Anzahl	Median	Minimum	Maximum
Diagnose und erste Bestrahlung	202	67	1	315
Diagnose und erste system. Therapie	487	28	0	354

33.10 Überlebensanalysen bei den in den Jahren 2008 – 2013 primär diagnostizierten Patienten



© KKR-MV 2020

Abb.33.6. C82 (ohne C82.6): Wahrscheinlichkeit des Überlebens (Kaplan-Meier-Analyse) nach Geschlecht im Diagnosezeitraum von 2008 bis 2013 (Wohnort). Kaplan-Meier-Kurven werden für Kategorien mit weniger als 10 Neuerkrankungen nicht dargestellt.

Tab. 33.13. C82 (ohne C82.6): Anzahl der unter Risiko stehenden Neuerkrankungen (Monate nach Diagnose)

Geschlecht	0 Monate	20 Monate	40 Monate	60 Monate
Männer	159	147	135	120
Frauen	213	187	177	170

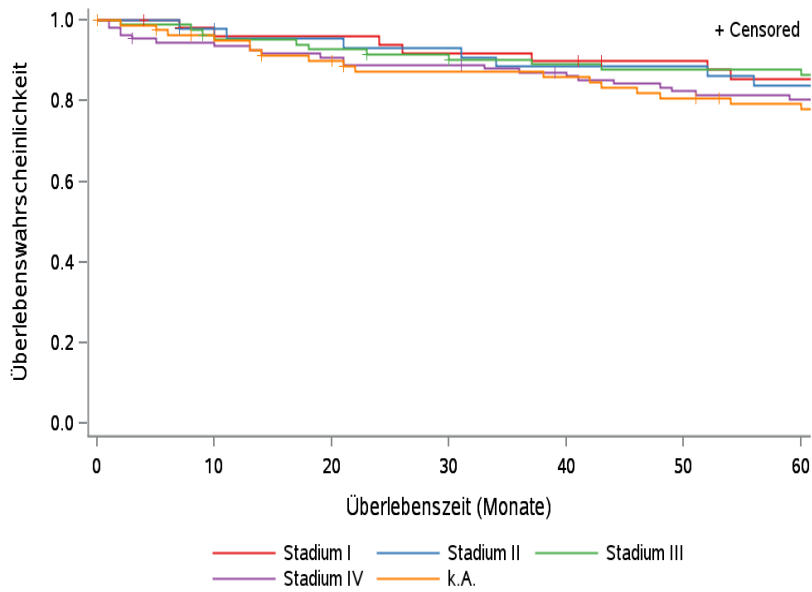


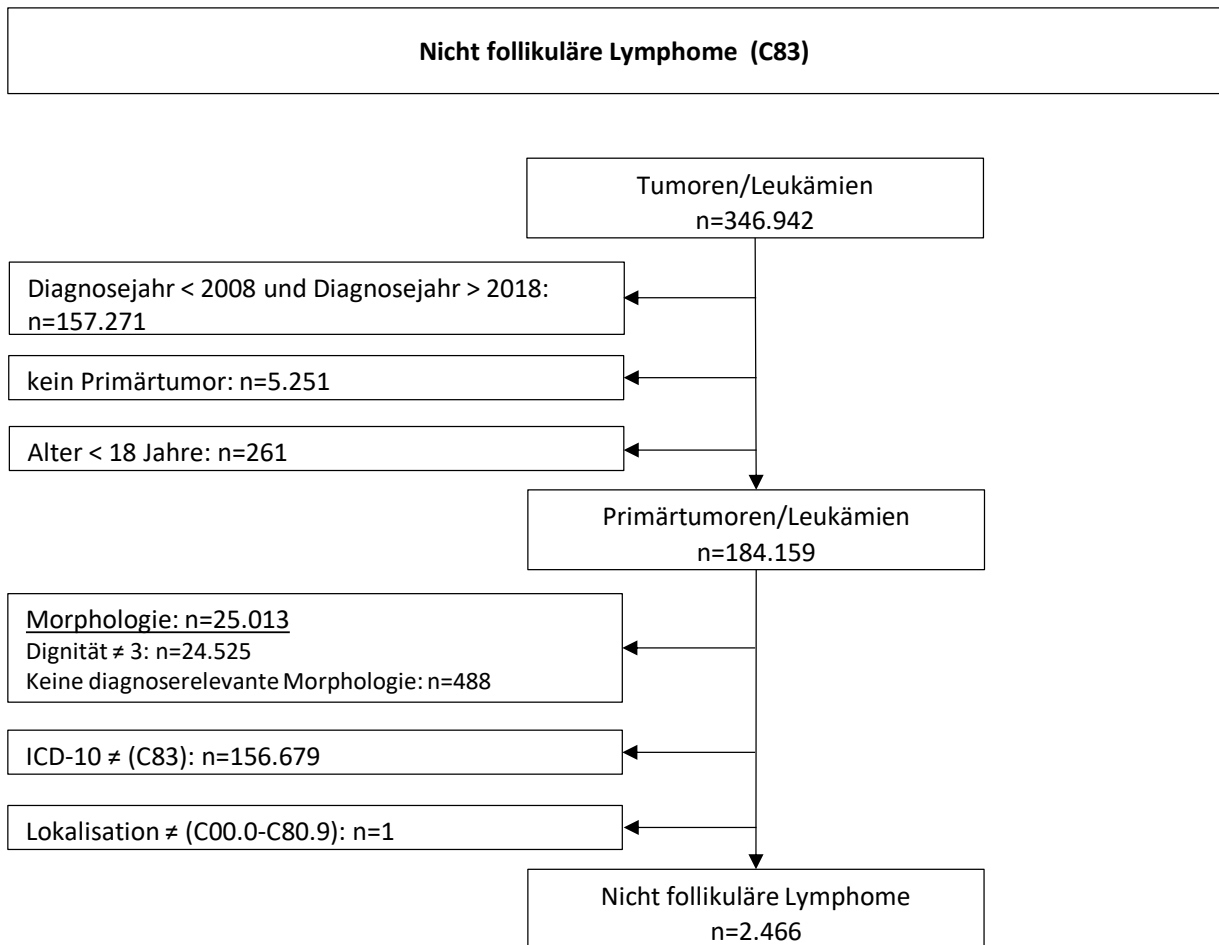
Abb.33.7. C82 (ohne C82.6): Wahrscheinlichkeit des Überlebens (Kaplan-Meier-Analyse) nach Ann-Arbor-Stadium im Diagnosezeitraum von 2008 bis 2013 (Wohnort). Kaplan-Meier-Kurven werden für Kategorien mit weniger als 10 Neuerkrankungen nicht dargestellt.

Tab. 33.14. C82 (ohne C82.6): Anzahl der unter Risiko stehenden Neuerkrankungen nach Ann-Arbor-Stadium (Monate nach Diagnose)

Ann-Arbor-Stadium	0 Monate	20 Monate	40 Monate	60 Monate
Stadium I	51	47	44	39
Stadium II	45	41	38	36
Stadium III	85	78	73	72
Stadium IV	109	98	92	85
k.A.	82	70	65	58

34 Nicht folliculäre Lymphome (C83)

34.1 Consort-Statement: Darstellung der Auswertepopulation



*Erläuterungen zu den Ausschlüssen finden Sie im Kapitel 4 (Methode)

Dem Klinischen Krebsregister Mecklenburg-Vorpommern wurden bis zum Jahr 2013 mehrere Marginalzonen-B-Zell-Lymphome (9699/3: Marginalzonen-B-Zell-Lymphom o.n.A) [n=88] als Folliculäre Lymphome (C82) gemeldet. Für eine gemeinsame Auswertung wurden diese Marginalzonen-B-Zell-Lymphome den Nicht folliculären Lymphomen (C83) zugeordnet.

34.2 Histologische Befunde bei allen neuerkrankten Patienten in M-V in den Jahren 2008 – 2018

Tab. 34.1. C83: Histologische Befunde bei neuerkrankten Patienten (Behandlungsort)

Histologiecode	Anzahl	Prozent	Zuordnung	
9671/3: Lymphoplasmozytisches Lymphom	159	6,4	C83.0(1)	
lymphoplasmozytisches Lymphom (LPL)	159	6,4		
9699/3: Marginalzonen-B-Zell-Lymphom o.n.A.	368	14,9	C83.0(2)	
Marginalzonen-B-Zell-Lymphom (nodales MZL)	368	14,9		
9689/3: Marginalzonen-B-Zell-Lymphom der Milz	47	1,9	C83.0(3)	
9615/3: Marginalzonen-B-Zell-Lymphom der Milz	1	0,0		
Marginalzonen-B-Zell-Lymphom der Milz (splenisches MZL)	48	1,9		
9673/3: Mantelzell-Lymphom	258	10,5	C83.1	
9607/3: Mantelzell-Lymphom	1	0,0		
Mantelzell-Lymphom (MCL)	259	10,5		
9680/3: Diffuses großzelliges B-Zell-Lymphom o.n.A.	1536	62,3	C83.3	
9679/3: Primär mediastinales großzelliges B-Zell-Lymphom	16	0,6		
9684/3: Großzelliges diffuses B-Zell-Lymphom, immunoblastische Variante o.n.A.	9	0,4		
9688/3: T-Zell-reiches/histiozytenreiches großzelliges B-Zell-Lymphom	8	0,3		
9596/3: Kombiniertes malignes Hodgkin- und Non-Hodgkin-Lymphom	3	0,1		
9616/3: Diffuses großzelliges B-Zell-Lymphom o.n.A.	1	0,0		
diffuses großzelliges B-Zell-Lymphom (DLBCL)	1573	63,7		
9727/3: Lymphoblastisches Lymphom der Vorläuferzellen	8	0,3		C83.5
9729/3: T-lymphoblastisches Lymphom vom Vorläuferzell-Typ	2	0,1		
9728/3: B-lymphoblastisches Lymphom vom Vorläuferzell-Typ	1	0,0		
lymphoblastisches Lymphom der Vorläuferzellen (LBL)	11	0,4	C83.7	
9687/3: Burkitt-Lymphom o.n.A.	42	1,7		
Burkitt-Lymphom o.n.A. (BL)	42	1,7	C83.8	
9735/3: Plasmablastisches Lymphom	4	0,2		
9678/3: Primary effusion lymphoma	1	0,0		
9712/3: Intravaskuläres großzelliges B-Zell-Lymphom	1	0,0		
Sonstige nicht folliculäre B-NHL	6	0,2		

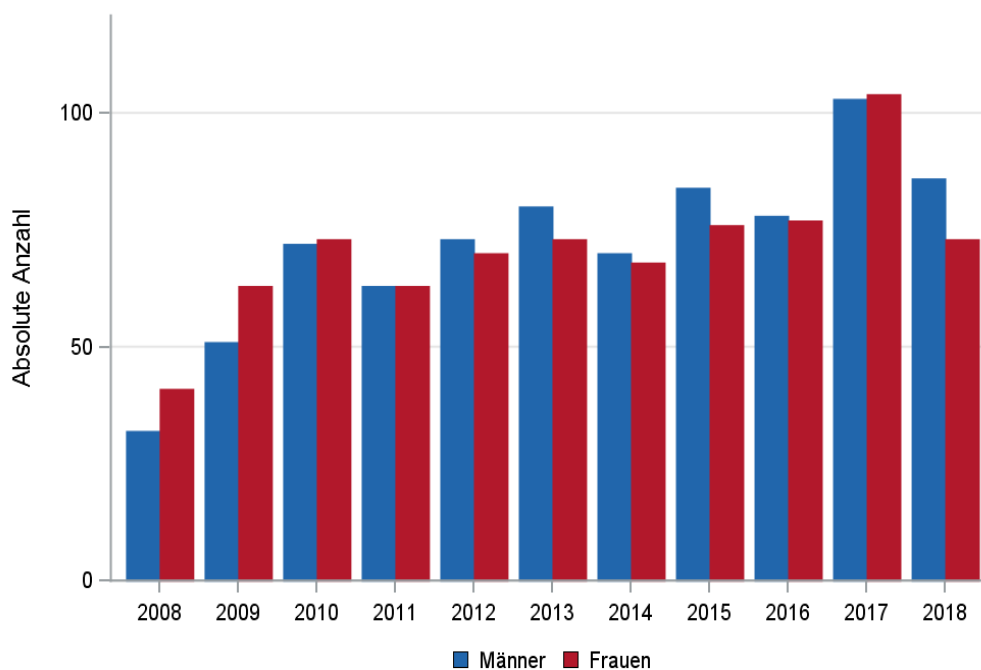
Im Folgenden werden in diesem Kapitel nur die Patienten mit einem diffusen großzelligem B-Zell-Lymphom (DLBCL) [n=1451] ausgewertet.

34.3 Diffuses großzelliges B-Zell-Lymphom (DLBCL)

34.3.1 Absolute Anzahl der erfassten Neuerkrankungen in M-V in den Jahren 2008 – 2018 nach Geschlecht (Behandlungsort, Wohnort)

Tab. 34.2. C83.3: Absolute Anzahl der Neuerkrankungen nach Geschlecht (Behandlungsort)

Diagnosejahr	Männer		Frauen		Summe
	Anzahl	%	Anzahl	%	
2008	32	43,8	41	56,2	73
2009	51	44,7	63	55,3	114
2010	72	49,7	73	50,3	145
2011	63	50,0	63	50,0	126
2012	73	51,0	70	49,0	143
2013	80	52,3	73	47,7	153
2014	70	50,7	68	49,3	138
2015	84	52,5	76	47,5	160
2016	78	50,3	77	49,7	155
2017	103	49,8	104	50,2	207
2018	86	54,1	73	45,9	159
Summe	792	50,3	781	49,7	1573

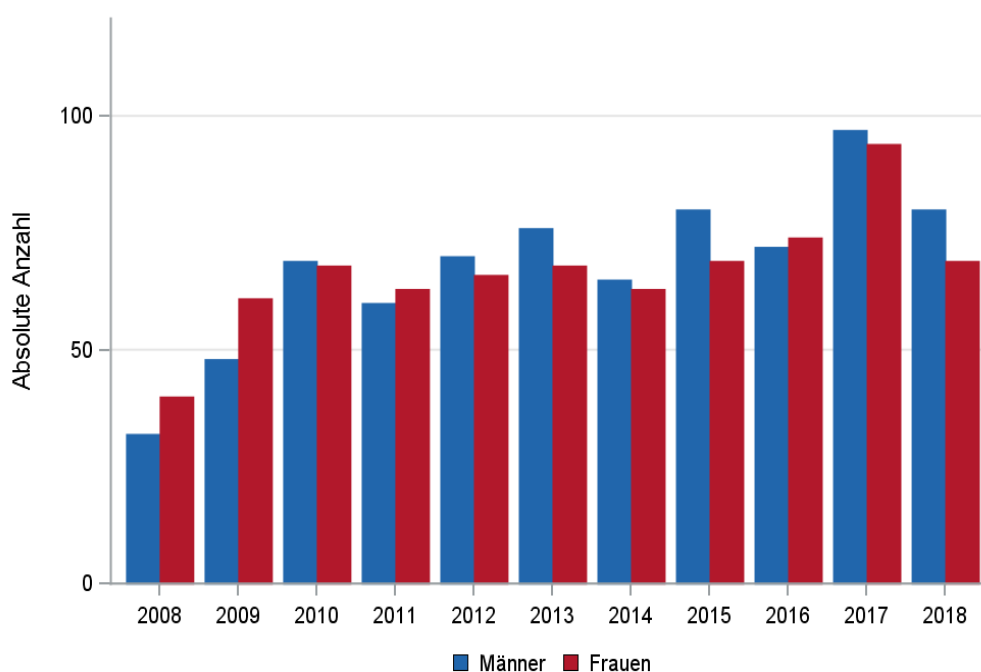


© KKR-MV 2020

Abb. 34.1. C83.3: Absolute Anzahl der Neuerkrankungen nach Geschlecht im Diagnosezeitraum 2008 bis 2018 (Behandlungsort)

Tab. 34.3. C83.3: Absolute Anzahl der Neuerkrankungen nach Geschlecht (Wohnort)

Diagnosejahr	Männer		Frauen		Summe
	Anzahl	%	Anzahl	%	
2008	32	44,4	40	55,6	72
2009	48	44,0	61	56,0	109
2010	69	50,4	68	49,6	137
2011	60	48,8	63	51,2	123
2012	70	51,5	66	48,5	136
2013	76	52,8	68	47,2	144
2014	65	50,8	63	49,2	128
2015	80	53,7	69	46,3	149
2016	72	49,3	74	50,7	146
2017	97	50,8	94	49,2	191
2018	80	53,7	69	46,3	149
Summe	749	50,5	735	49,5	1484



© KKR-MV 2020

Abb. 34.2. C83.3: Absolute Anzahl der Neuerkrankungen nach Geschlecht im Diagnosezeitraum 2008 bis 2018 (Wohnort)

34.3.2 Absolute Anzahl der erfassten Neuerkrankungen in M-V in den Jahren 2008 – 2018 nach Landkreisen (Wohnort)

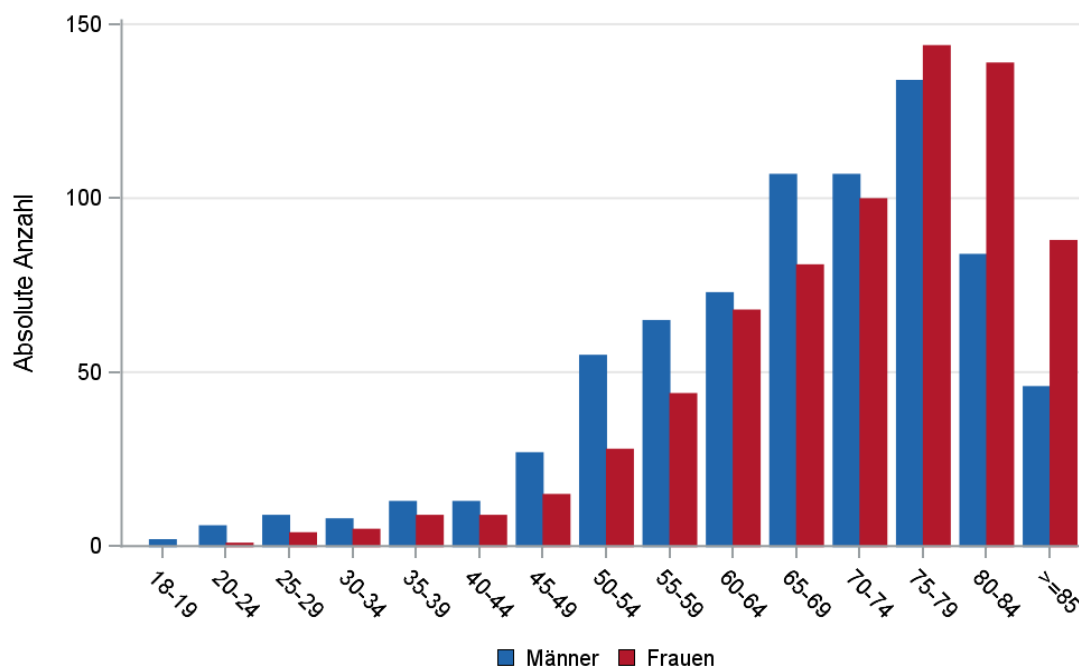
Tab. 34.4. C83.3: Absolute Anzahl und prozentualer Anteil der Neuerkrankungen nach Landkreisen

Landkreis	2008		2009		2010		2011		2012		2013		2014		2015		2016		2017		2018		Summe	
	Anzahl	%	Anzahl	%	Anzahl	%	Anzahl	%	Anzahl	%	Anzahl	%	Anzahl	%	Anzahl	%	Anzahl	%	Anzahl	%	Anzahl	%	Anzahl	%
Landkreis Rostock	1	1,4	12	11,0	15	10,9	13	10,6	17	12,5	22	15,3	19	14,8	23	15,4	21	14,4	22	11,5	22	14,8	187	12,6
Ludwigslust-Parchim	9	12,5	12	11,0	21	15,3	21	17,1	17	12,5	16	11,1	13	10,2	18	12,1	15	10,3	22	11,5	20	13,4	184	12,4
Mecklenburgische Seenplatte	27	37,5	18	16,5	23	16,8	34	27,6	21	15,4	21	14,6	27	21,1	15	10,1	10	6,8	30	15,7	20	13,4	246	16,6
Nordwestmecklenburg	1	1,4	14	12,8	10	7,3	9	7,3	13	9,6	11	7,6	9	7,0	14	9,4	17	11,6	18	9,4	6	4,0	122	8,2
Rostock	1	1,4	9	8,3	25	18,2	13	10,6	18	13,2	24	16,7	19	14,8	23	15,4	24	16,4	35	18,3	16	10,7	207	13,9
Schwerin	7	9,7	11	10,1	8	5,8	9	7,3	8	5,9	12	8,3	8	6,3	11	7,4	12	8,2	7	3,7	13	8,7	106	7,1
Vorpommern-Greifswald	18	25,0	24	22,0	19	13,9	10	8,1	23	16,9	20	13,9	13	10,2	17	11,4	18	12,3	22	11,5	30	20,1	214	14,4
Vorpommern-Rügen	8	11,1	9	8,3	16	11,7	13	10,6	19	14,0	18	12,5	19	14,8	28	18,8	29	19,9	35	18,3	22	14,8	216	14,6
nicht zuordenbar	0	0	0	0	0	0	1	0,8	0	0	0	0	1	0,8	0	0	0	0	0	0	0	0	2	0,1
Summe	72	100,0	109	100,0	137	100,0	123	100,0	136	100,0	144	100,0	128	100,0	149	100,0	146	100,0	191	100,0	149	100,0	1484	100,0

34.3.3 Rohe und standardisierte Neuerkrankungsraten pro 100.000 Einwohner in den Jahren 2008-2018 (Wohnort)

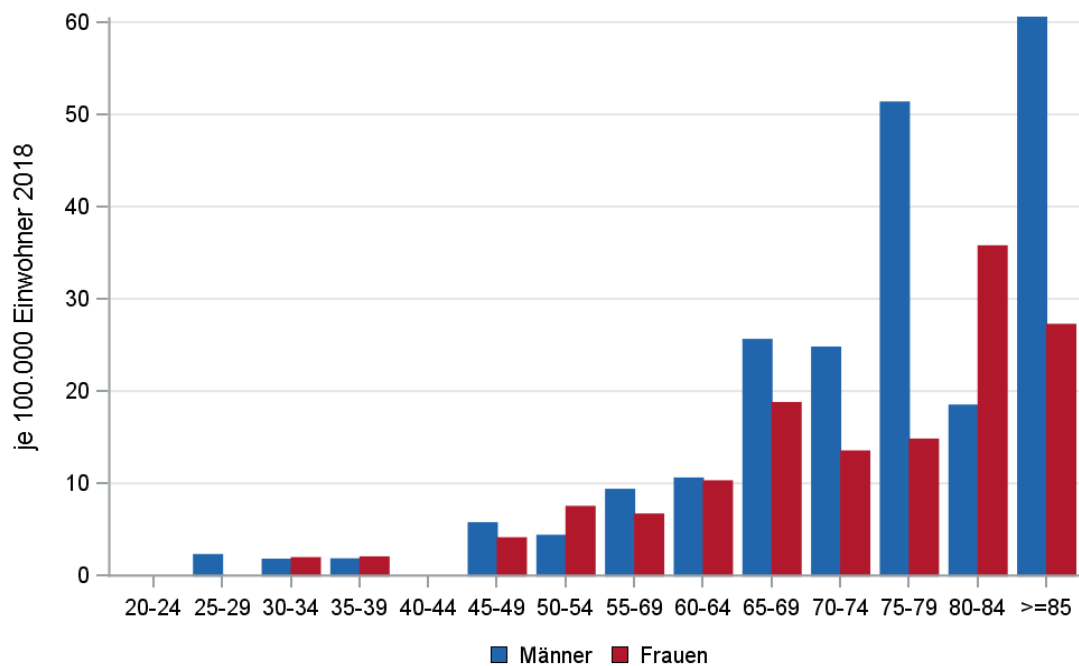
Tab. 34.5. C83.3: Neuerkrankungsrate/100.000 Einwohner (Alter > 19)

Diagnosejahr	Männer			Frauen		
	absolute Anzahl der Neuerkrankungen	rohe Rate in M-V	altersstandardisierte Rate	absolute Anzahl der Neuerkrankungen	rohe Rate in M-V	altersstandardisierte Rate
2008	32	4,6	3,9	40	5,6	4,0
2009	48	7,0	5,7	61	8,6	5,3
2010	69	10,0	8,6	68	9,6	6,2
2011	60	8,9	6,7	63	9,0	5,3
2012	70	10,5	8,3	66	9,5	5,9
2013	75	11,3	8,4	68	9,8	5,5
2014	65	9,9	7,0	63	9,1	5,7
2015	80	12,1	8,9	69	10,0	5,6
2016	72	10,9	7,8	74	10,8	5,8
2017	96	14,6	10,4	94	13,7	6,7
2018	80	12,2	8,3	69	10,1	5,8
2008-2018	747	10,2	7,6	735	9,6	5,6



© KKR-MV 2020

Abb. 34.3. C83.3: Absolute Anzahl der Neuerkrankungen aufgelistet in 5-Jahres-Altersgruppen und nach Geschlecht im Diagnosezeitraum 2008 bis 2018 (Wohnort)



© KKR-MV 2020

Abb. 34.4. C83.3: Altersspezifische Rate der Neuerkrankungen je 100.000 Einwohner (Diagnosejahr 2018) nach 5-Jahres-Altersgruppen und Geschlecht (Wohnort)

34.3.4 Alter der in den Jahren 2008 - 2018 in M-V neuerkrankten Patienten (Behandlungsort)

Tab. 34.6. C83.3: Erkrankungsalter (Behandlungsort)

Diagnosejahr	Männer				Frauen			
	Anzahl	Median	Minimum	Maximum	Anzahl	Median	Minimum	Maximum
2008	32	68	28	93	41	70	37	87
2009	51	65	22	81	63	74	42	89
2010	72	67	22	88	73	75	23	96
2011	63	71	36	86	63	73	25	91
2012	73	69	20	88	70	76	25	89
2013	80	70	19	86	73	73	29	93
2014	70	70	25	86	68	75	22	90
2015	84	69	22	94	76	75	28	91
2016	78	75	20	94	77	76	30	93
2017	103	68	19	90	104	77	35	94
2018	86	71	29	94	73	71	32	92

34.3.5 Absolute Anzahl der erfassten Neuerkrankungen in M-V in den Jahren 2008 – 2018 nach Lokalisation

Tab. 34.7. C83.3: Angabe zur primären Manifestation der Neuerkrankungen (Behandlungsort)

Lokalisation	2008	2009	2010	2011	2012	2013	2014	2015	2016	2017	2018	Summe	
												Anzahl	%
C01 Zunge	0	2	0	0	2	3	2	1	2	0	2	14	0,9
C03 Mundschleimhaut	1	0	0	0	1	1	1	1	0	0	1	6	0,4
C05 Gaumen	0	1	0	0	1	1	0	0	0	1	0	4	0,3
C06 Andere und nicht näher bezeichnete Teile des Mundes	0	1	1	0	1	0	0	0	0	0	0	3	0,2
C07 Parotis	3	0	1	2	0	2	0	1	0	1	0	10	0,6
C08 Speicheldrüse	2	1	1	0	0	1	1	1	0	0	0	7	0,4
C09 Tonsille	2	7	2	5	7	9	1	3	3	11	6	56	3,6
C10 Oropharynx	0	1	1	0	1	1	1	1	0	0	2	8	0,5
C11 Nasopharynx	0	1	0	0	0	2	2	0	1	1	1	8	0,5
C13 Hypopharynx	0	0	0	0	1	0	0	0	0	0	1	2	0,1
C14 Andere und ungenau bezeichnete Lokalisationen im Mundbereich	0	0	0	0	0	0	0	0	0	0	2	2	0,1
C15 Ösophagus	1	1	0	0	1	0	0	0	1	0	0	4	0,3
C16 Magen	8	14	15	9	9	12	9	17	9	22	12	136	8,6
C17 Dünndarm	2	1	2	4	3	3	1	4	4	3	1	28	1,8
C18 Kolon	0	1	3	2	3	3	5	2	1	2	2	24	1,5
C19 Rektumsigmoid	0	0	0	1	0	0	0	0	0	0	0	1	0,1
C20 Rektum	0	0	1	0	0	0	0	2	0	0	0	3	0,2
C22 Leber	0	1	3	2	1	1	2	2	4	4	1	21	1,3
C24 Andere und nicht näher bezeichnete Teile der Gallengänge	0	1	0	0	0	0	0	0	0	0	0	1	0,1
C25 Bauchspeicheldrüse	0	0	0	0	0	0	0	1	0	0	0	1	0,1
C26 Verdauungsorgane o.n.A	0	1	0	0	0	1	0	1	0	0	0	3	0,2
C30 Nasenhöhle und Mittelohr	0	0	3	1	1	0	1	1	0	3	1	11	0,7
C31 Nebenhöhlen	0	0	1	1	1	0	2	2	2	1	1	11	0,7
C33 Trachea	0	0	0	0	0	0	0	1	0	0	0	1	0,1
C34 Lunge	0	1	4	4	4	3	3	4	1	2	1	27	1,7
C37 Thymus	0	0	0	0	0	1	0	0	0	0	0	1	0,1
C38 Herz, Mediastinum und Pleura	4	1	3	2	1	6	2	3	3	3	1	29	1,8
C40 Knochen, Gelenke und Gelenkknorpel der Extremitäten	0	1	0	1	3	1	0	1	2	0	0	9	0,6
C41 Knochen des Hirn- und Gesichtsschädels (ausschließl. Mandibula, = C41.1)	1	1	2	0	5	4	2	2	5	0	7	29	1,8
C42 Hämatopoetisches und Retikuloendotheliales System	18	12	18	26	22	17	24	14	24	28	22	225	14,3
C44 Haut	1	4	2	2	3	2	1	6	4	5	3	33	2,1
C47 Periphere Nerven und autonomes Nervensystem	0	0	0	0	0	1	0	0	0	0	0	1	0,1
C48 Retroperitoneum und Peritoneum	1	2	0	1	2	0	3	2	4	6	3	24	1,5
C49 Bindegewebe, Subkutane und andere Weichteilgewebe	1	4	5	3	1	3	2	5	8	13	6	51	3,2
C50 Brustdrüse	1	2	1	0	0	2	1	2	1	1	1	12	0,8
C53 Gebärmutterhals	0	0	1	0	0	1	0	0	0	0	1	3	0,2
C54 Corpus Uteri	0	0	0	0	0	0	0	0	0	1	0	1	0,1
C57 Tuba uterina	0	0	1	0	0	0	0	0	0	0	0	1	0,1
C60 Penis	0	0	1	0	0	0	0	0	1	0	0	2	0,1
C61 Prostata	0	0	0	0	1	0	0	1	0	0	0	2	0,1

Lokalisation	2008	2009	2010	2011	2012	2013	2014	2015	2016	2017	2018	Summe	
												Anzahl	%
C62 Hoden	2	1	2	2	2	6	4	2	4	4	7	36	2,3
C63 Andere und nicht näher bezeichnete männliche Genitalorgane	1	0	0	0	0	0	1	1	0	0	0	3	0,2
C64 Nieren	0	0	0	0	4	1	0	1	1	0	1	8	0,5
C67 Harnblase	1	1	0	1	0	0	0	1	1	2	1	8	0,5
C69 Auge und Adnex	0	0	0	0	0	0	1	0	0	1	0	2	0,1
C70 Meningen	0	0	0	0	0	1	0	1	0	0	1	3	0,2
C71 Gehirn	1	6	9	7	9	9	13	16	18	18	17	123	7,8
C72 Rückenmark, Hirnnerven	1	2	1	0	0	0	0	1	1	1	2	9	0,6
C73 Schilddrüse	1	1	3	1	1	2	1	1	1	1	1	14	0,9
C74 Nebenniere o.n.A.	0	0	0	1	0	1	1	1	0	0	0	4	0,3
C75 Andere endokrine Drüsen	0	0	0	0	0	0	0	1	0	0	0	1	0,1
C76 andere und mangelhaft bezeichnete Lokalisationen	1	0	0	2	0	2	1	1	0	0	0	7	0,4
C77 Lymphknoten	21	41	58	45	52	50	50	52	49	72	52	542	34,4
C80.9 Unbekannte Primärlokalisation	0	0	0	1	0	0	0	0	0	0	0	1	0,1
Summe	75	114	145	126	143	153	138	160	155	207	160	1576	100,0

34.3.6 Histologische Befunde bei allen neuerkrankten Patienten in M-V in den Jahren 2008 – 2018

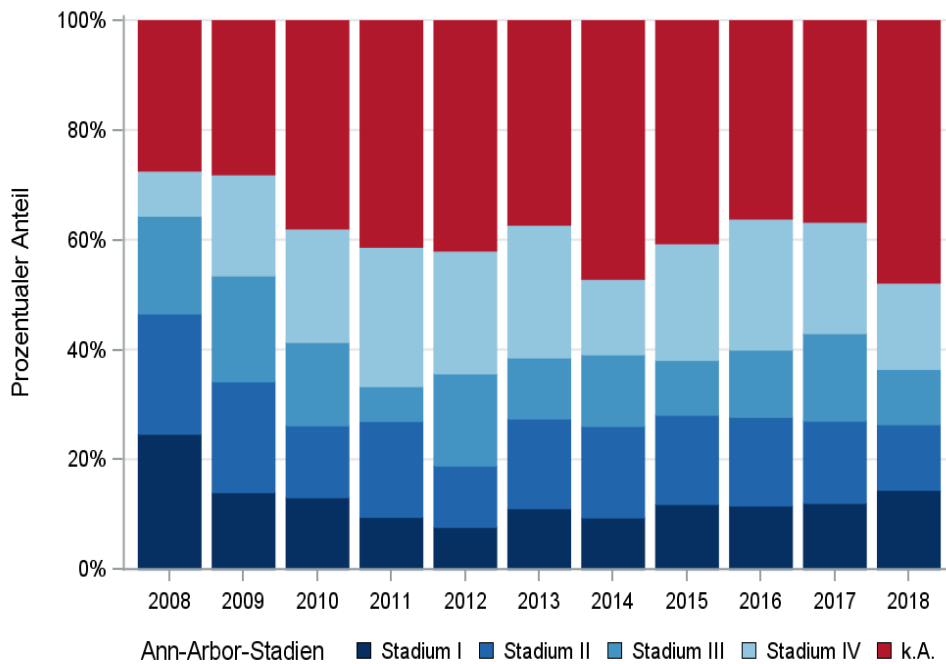
Tab. 34.8. C83.3: Histologische Befunde bei neuerkrankten Patienten (Behandlungsort)

Histologiecode	Anzahl	Prozent	ICD-10
9680/3: Diffuses großzelliges B-Zell-Lymphom o.n.A.	1536	97,6	C83.3
9679/3: Primär mediastinales großzelliges B-Zell-Lymphom	16	1,0	
9684/3: Großzelliges diffuses B-Zell-Lymphom, immunoblastische Variante o.n.A.	9	0,6	
9688/3: T-Zell-reiches/histiozytenreiches großzelliges B-Zell-Lymphom	8	0,5	
9596/3: Kombiniertes malignes Hodgkin- und Non-Hodgkin-Lymphom	3	0,2	
9616/3: Diffuses großzelliges B-Zell-Lymphom o.n.A.	1	0,1	
Diffuses großzelliges B-Zell-Lymphom (DLBCL)	1573	100,0	

34.3.7 Klinische Stadien

Tab. 34.9. C83.3: Primäres Ann-Arbor-Stadium (Behandlungsort)

Jahre	Stadium I		Stadium II		Stadium III		Stadium IV		k.A.		Summe	
	Anzahl	%	Anzahl	%	Anzahl	%	Anzahl	%	Anzahl	%	Anzahl	%
2008	18	24,7	16	21,9	13	17,8	6	8,2	20	27,4	73	100,0
2009	16	14,0	23	20,2	22	19,3	21	18,4	32	28,1	114	100,0
2010	19	13,1	19	13,1	22	15,2	30	20,7	55	37,9	145	100,0
2011	12	9,5	22	17,5	8	6,3	32	25,4	52	41,3	126	100,0
2012	11	7,7	16	11,2	24	16,8	32	22,4	60	42,0	143	100,0
2013	17	11,1	25	16,3	17	11,1	37	24,2	57	37,3	153	100,0
2014	13	9,4	23	16,7	18	13,0	19	13,8	65	47,1	138	100,0
2015	19	11,9	26	16,3	16	10,0	34	21,3	65	40,6	160	100,0
2016	18	11,6	25	16,1	19	12,3	37	23,9	56	36,1	155	100,0
2017	25	12,1	31	15,0	33	15,9	42	20,3	76	36,7	207	100,0
2018	23	14,5	19	11,9	16	10,1	25	15,7	76	47,8	159	100,0
Summe	191	12,1	245	15,6	208	13,2	315	20,0	614	39,0	1573	100,0



© KKR-MV 2020

Abb. 34.5. C83.3: Prozentuale Anteile der Ann-Arbor-Stadien in den Diagnosejahren 2008 bis 2018

34.3.8 Dokumentierte Therapie bis max. 12 Monate nach Diagnosestellung

34.3.8.1 Therapiekombinationen und Intention der dokumentierten Therapien

Tab. 34.10. C83.3: Therapiekombinationen (Strahlentherapie, systemische Therapie) pro Diagnosejahr (Behandlungsort)

Therapiekombinationen	2008	2009	2010	2011	2012	2013	2014	2015	2016	2017	2018	Summe
Alleinige systemische Therapie	41	84	88	79	93	98	77	98	85	111	84	938
Alleinige Strahlentherapie	1	2	3	2	4	4	4	1	3	4	5	33
Systemische Therapie und Strahlentherapie	19	16	35	26	29	29	32	38	38	48	35	345
Keine systemische Therapie oder Strahlentherapie	12	12	19	19	17	22	25	23	29	44	35	257
Summe	73	114	145	126	143	153	138	160	155	207	159	1573

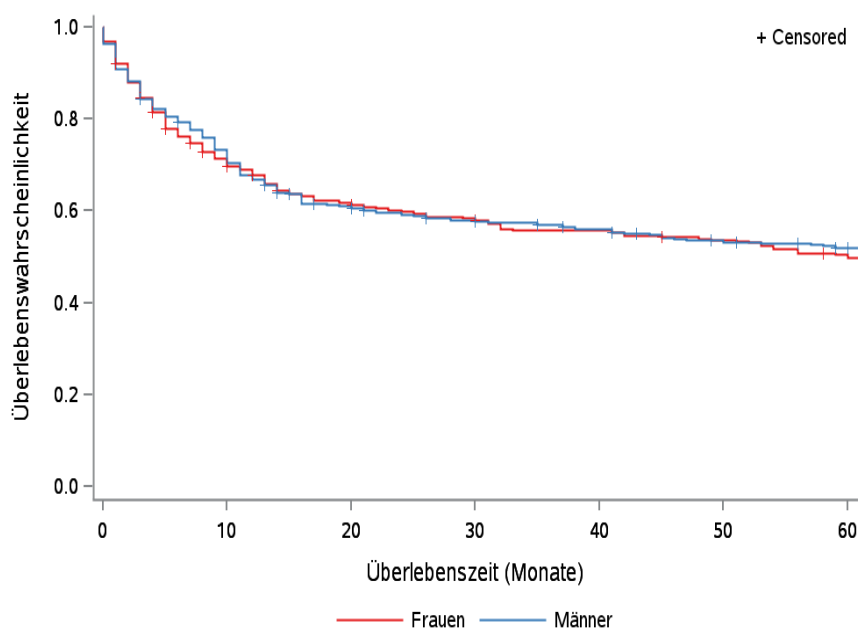
Tab. 34.11. C83.3: Therapiekombinationen (Strahlentherapie, systemische Therapie) in Abhängigkeit von dem Ann-Arbor-Stadium (Behandlungsort)

Therapiekombinationen	Stadium I	Stadium II	Stadium III	Stadium IV	k.A.	Summe
Alleinige systemische Therapie	122	161	149	201	305	938
Alleinige Strahlentherapie	7	1	1	3	21	33
Systemische Therapie und Strahlentherapie	49	75	46	77	98	345
Keine Strahlentherapie- oder Systemische Therapie	13	8	12	34	190	257
Summe	191	245	208	315	614	1573

Tab. 34.12. C83.3: Intention der initialen Bestrahlung (Behandlungsort)

Intention der Bestrahlung	2008	2009	2010	2011	2012	2013	2014	2015	2016	2017	2018	Summe
Kurativ	13	5	4	2	8	12	21	33	30	41	36	205
Palliativ bzw. symptomatisch	2	1	5	6	5	6	4	2	8	9	4	52
Sonstige/Unbekannt/Keine Angabe	5	12	29	20	20	15	11	4	3	2	0	121
Summe	20	18	38	28	33	33	36	39	41	52	40	378

34.3.9 Überlebensanalysen bei den in den Jahren 2008 – 2013 primär diagnostizierten Patienten (nur DLBCL)

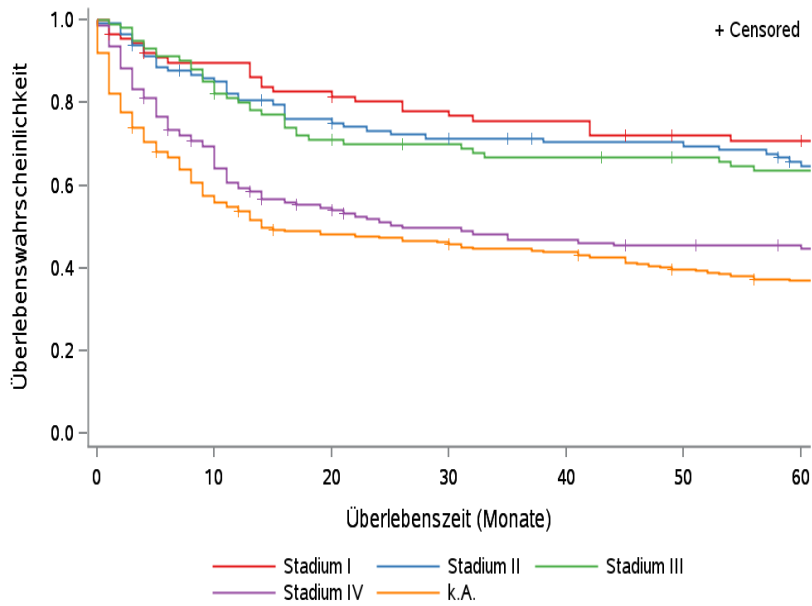


© KKR-MV 2020

Abb.34.6. C83.3: Wahrscheinlichkeit des Überlebens (Kaplan-Meier-Analyse) nach Geschlecht im Diagnosezeitraum von 2008 bis 2013 (Wohnort). Kaplan-Meier-Kurven werden für Kategorien mit weniger als 10 Neuerkrankungen nicht dargestellt.

Tab. 34.13. C83.3: Anzahl der unter Risiko stehenden Neuerkrankungen (Monate nach Diagnose)

Geschlecht	0 Monate	20 Monate	40 Monate	60 Monate
Männer	353	210	187	165
Frauen	364	216	191	168

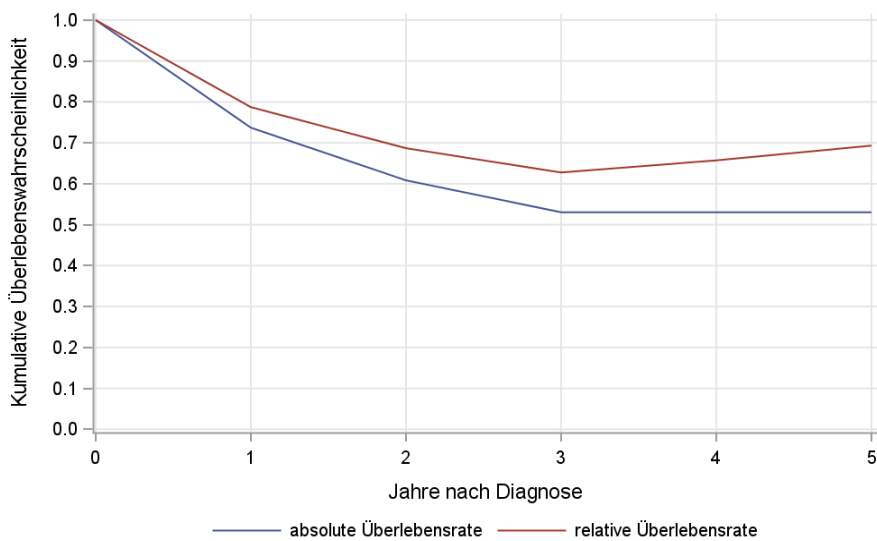


© KKR-MV 2020

Abb. 34.7. C83.3: Wahrscheinlichkeit des Überlebens (Kaplan-Meier-Analyse) nach Ann-Arbor-Stadium im Diagnosezeitraum von 2008 bis 2013 (Wohnort). Kaplan-Meier-Kurven werden für Kategorien mit weniger als 10 Neuerkrankungen nicht dargestellt.

Tab. 34.14. C83.3: Anzahl der unter Risiko stehenden Neuerkrankungen nach Ann-Arbor-Stadium (Monate nach Diagnose)

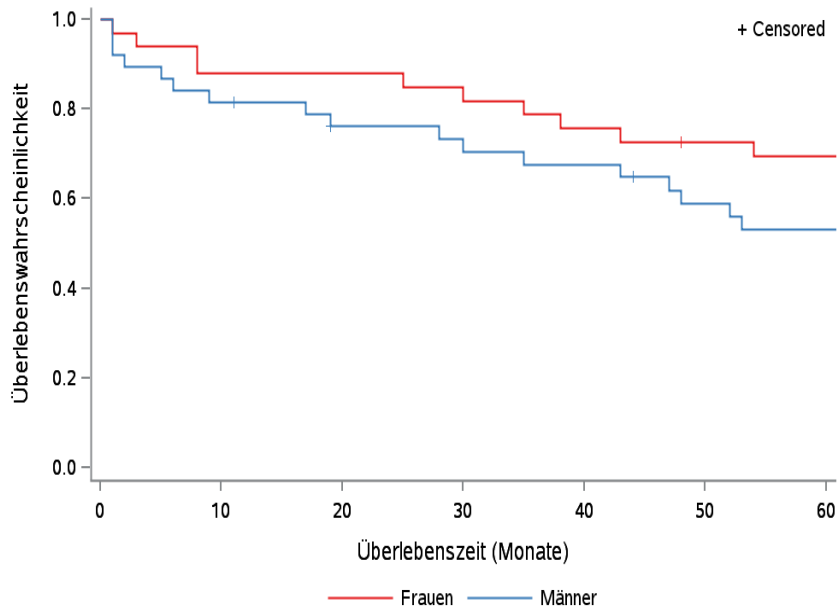
Ann-Arbor-Stadium	0 Monate	20 Monate	40 Monate	60 Monate
Stadium I	88	71	64	58
Stadium II	114	84	74	67
Stadium III	101	70	64	58
Stadium IV	154	79	66	61
k.A.	260	122	110	89



© KKR-MV 2020

Abb. 34.8. C83.3: Absolutes und relatives Überleben im Diagnosezeitraum 2008 bis 2013 (Wohnort)

34.4 Lymphoplasmozytisches Lymphom (LPL)



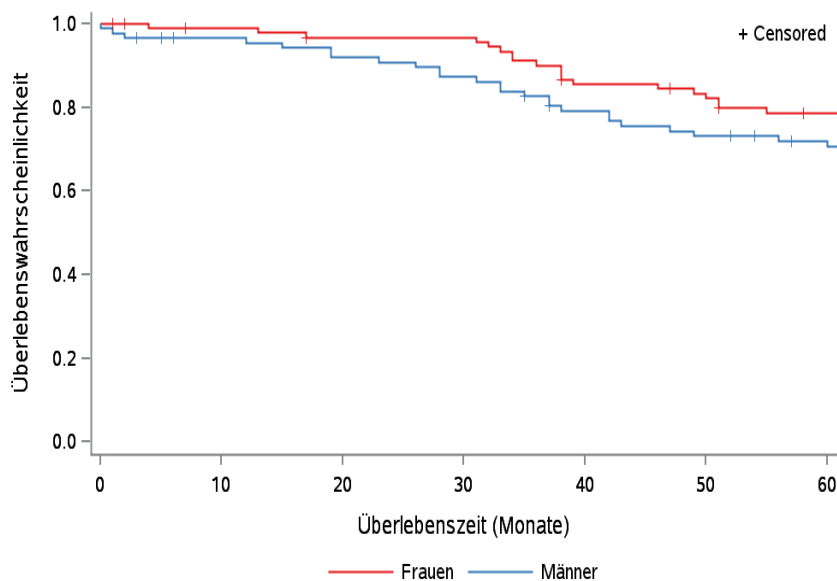
© KKR-MV 2020

Abb.34.9. C83.0(1) LPL: Wahrscheinlichkeit des Überlebens (Kaplan-Meier-Analyse) nach Geschlecht im Diagnosezeitraum von 2008 bis 2013 (Wohnort). Kaplan-Meier-Kurven werden für Kategorien mit weniger als 10 Neuerkrankungen nicht dargestellt.

Tab. 34.15. C83.0 (1) (LPL): Anzahl der unter Risiko stehenden Neuerkrankungen (Monate nach Diagnose)

Geschlecht	0 Monate	20 Monate	40 Monate	60 Monate
Männer	38	27	24	18
Frauen	33	29	25	22

34.5 Marginalzonen-B-Zell-Lymphom (nodales MZL)



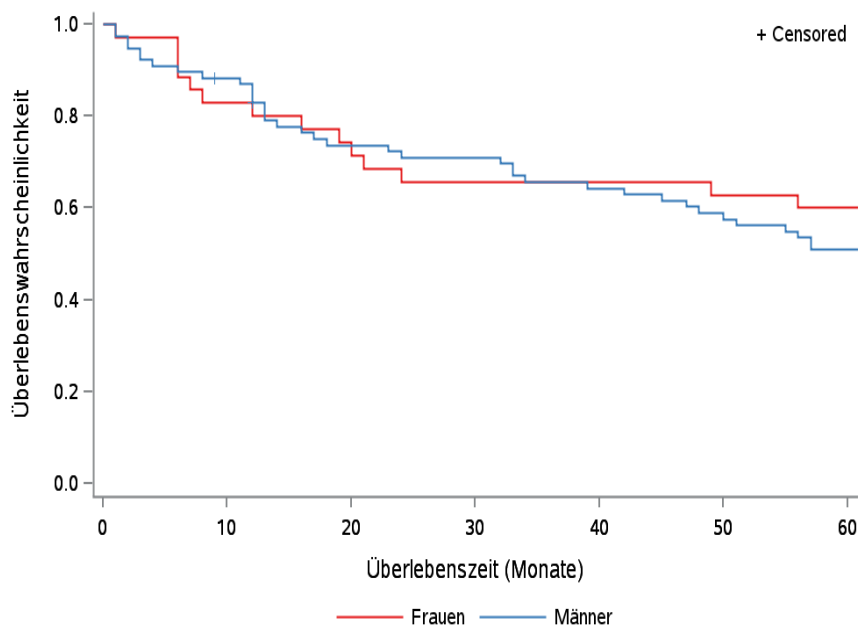
© KKR-MV 2020

Abb.34.10. C83.0(2) (nodales MZL): Wahrscheinlichkeit des Überlebens (Kaplan-Meier-Analyse) nach Geschlecht im Diagnosezeitraum von 2008 bis 2013 (Wohnort). Kaplan-Meier-Kurven werden für Kategorien mit weniger als 10 Neuerkrankungen nicht dargestellt.

Tab. 34.16. C83.0 (2) (nodales MZL): Anzahl der unter Risiko stehenden Neuerkrankungen (Monate nach Diagnose)

Geschlecht	0 Monate	20 Monate	40 Monate	60 Monate
Männer	89	79	66	57
Frauen	95	87	76	67

34.6 Mantelzell-Lymphom (MCL)



© KKR-MV 2020

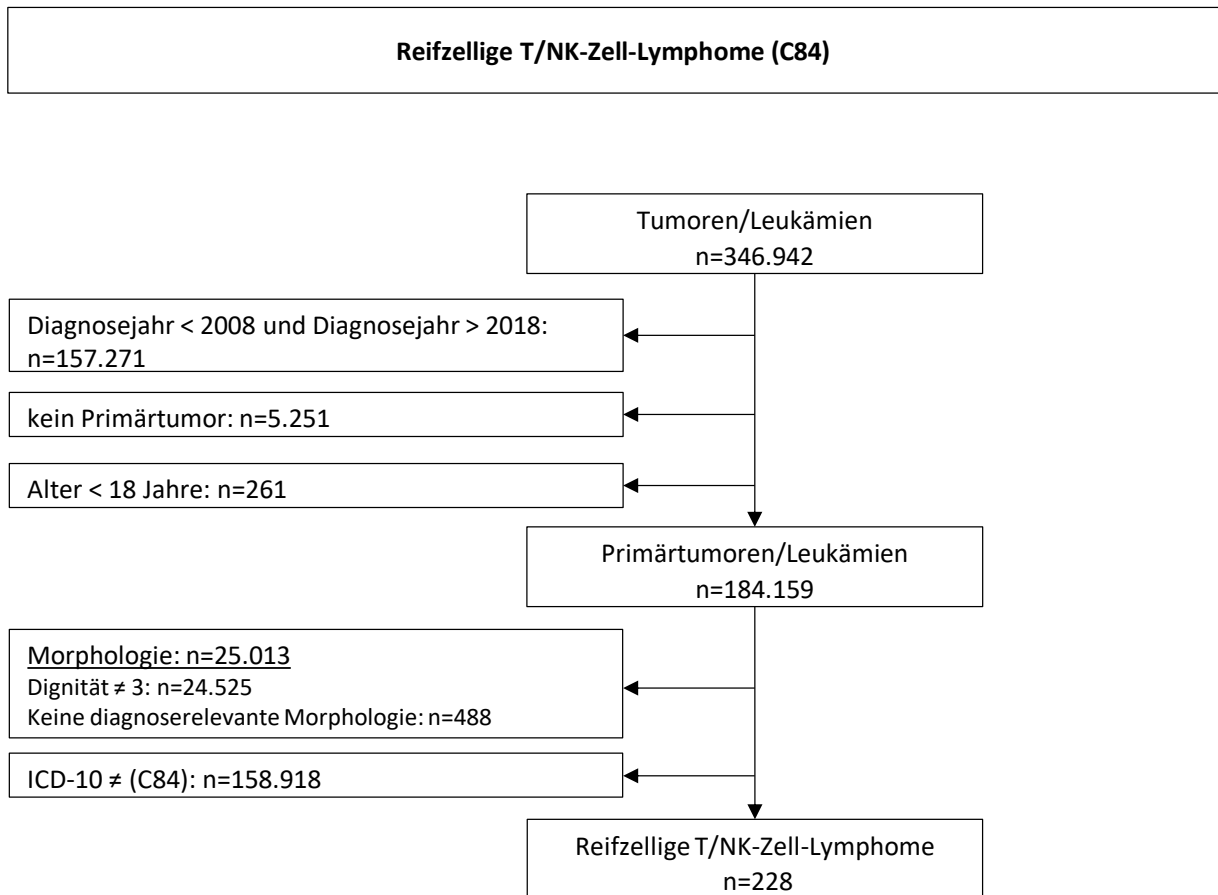
Abb.34.11. C83.1 (MCL): Wahrscheinlichkeit des Überlebens (Kaplan-Meier-Analyse) nach Geschlecht im Diagnosezeitraum von 2008 bis 2013 (Wohnort). Kaplan-Meier-Kurven werden für Kategorien mit weniger als 10 Neuerkrankungen nicht dargestellt.

Tab. 34.17. C83.1 (MCL): Anzahl der unter Risiko stehenden Neuerkrankungen (Monate nach Diagnose)

Geschlecht	0 Monate	20 Monate	40 Monate	60 Monate
Männer	77	55	48	38
Frauen	35	26	23	21

35 Reifzellige T/NK-Zell-Lymphome (C84)

35.1 Consort-Statement: Darstellung der Auswertepopulation

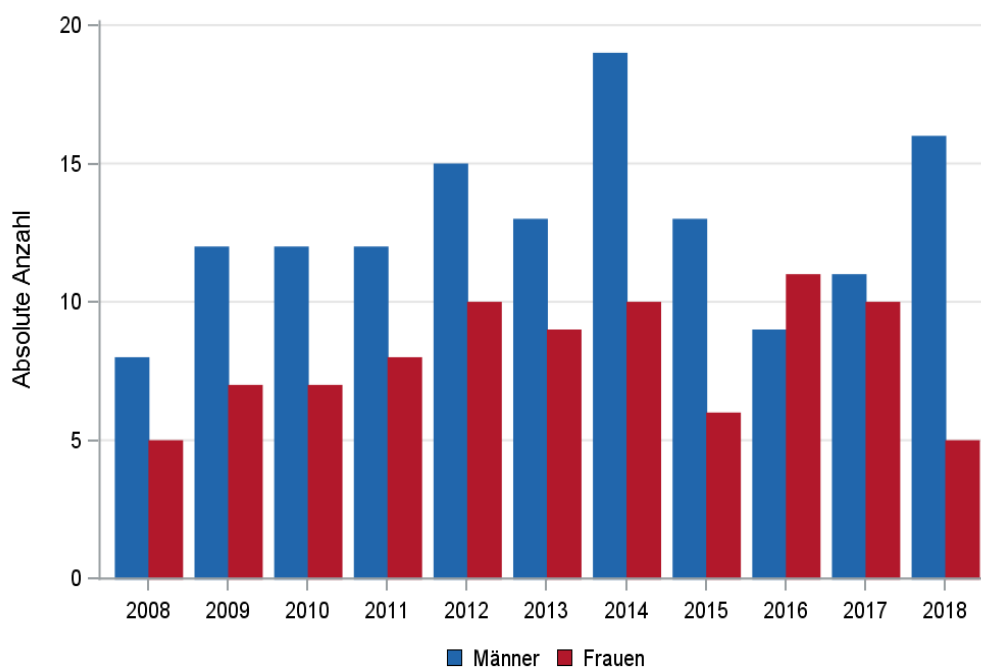


*Erläuterungen zu den Ausschlüssen finden Sie im Kapitel 4 (Methode)

35.2 Absolute Anzahl der erfassten Neuerkrankungen in M-V in den Jahren 2008 – 2018 nach Geschlecht (Behandlungsort, Wohnort)

Tab. 35.1. C84: Absolute Anzahl der Neuerkrankungen nach Geschlecht (Behandlungsort)

Diagnosejahr	Männer		Frauen		Summe
	Anzahl	%	Anzahl	%	
2008	8	61,5	5	38,5	13
2009	12	63,2	7	36,8	19
2010	12	63,2	7	36,8	19
2011	12	60,0	8	40,0	20
2012	15	60,0	10	40,0	25
2013	13	59,1	9	40,9	22
2014	19	65,5	10	34,5	29
2015	13	68,4	6	31,6	19
2016	9	45,0	11	55,0	20
2017	11	52,4	10	47,6	21
2018	16	76,2	5	23,8	21
Summe	140	61,4	88	38,6	228

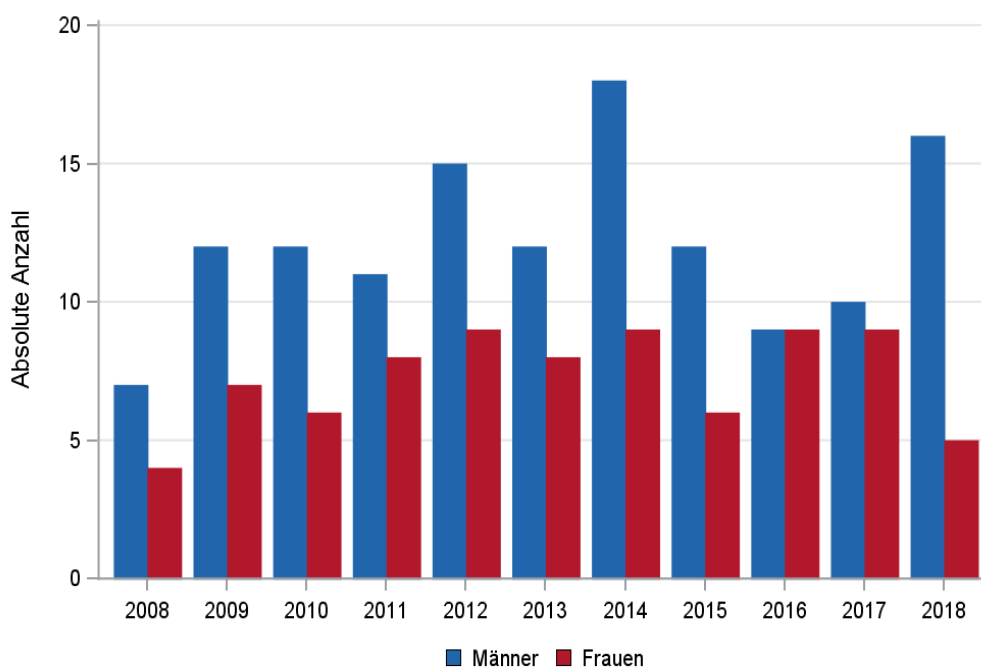


© KKR-MV 2020

Abb. 35.1. C84: Absolute Anzahl der Neuerkrankungen nach Geschlecht im Diagnosezeitraum 2008 bis 2018 (Behandlungsort)

Tab. 35.2. C84: Absolute Anzahl der Neuerkrankungen nach Geschlecht (Wohnort)

Diagnosejahr	Männer		Frauen		Summe
	Anzahl	%	Anzahl	%	
2008	7	63,6	4	36,4	11
2009	12	63,2	7	36,8	19
2010	12	66,7	6	33,3	18
2011	11	57,9	8	42,1	19
2012	15	62,5	9	37,5	24
2013	12	60,0	8	40,0	20
2014	18	66,7	9	33,3	27
2015	12	66,7	6	33,3	18
2016	9	50,0	9	50,0	18
2017	10	52,6	9	47,4	19
2018	16	76,2	5	23,8	21
Summe	134	62,6	80	37,4	214



© KKR-MV 2020

Abb. 35.2. C84: Absolute Anzahl der Neuerkrankungen nach Geschlecht im Diagnosezeitraum 2008 bis 2018 (Wohnort)

35.3 Absolute Anzahl der erfassten Neuerkrankungen in M-V in den Jahren 2008 – 2018 nach Landkreisen (Wohnort)

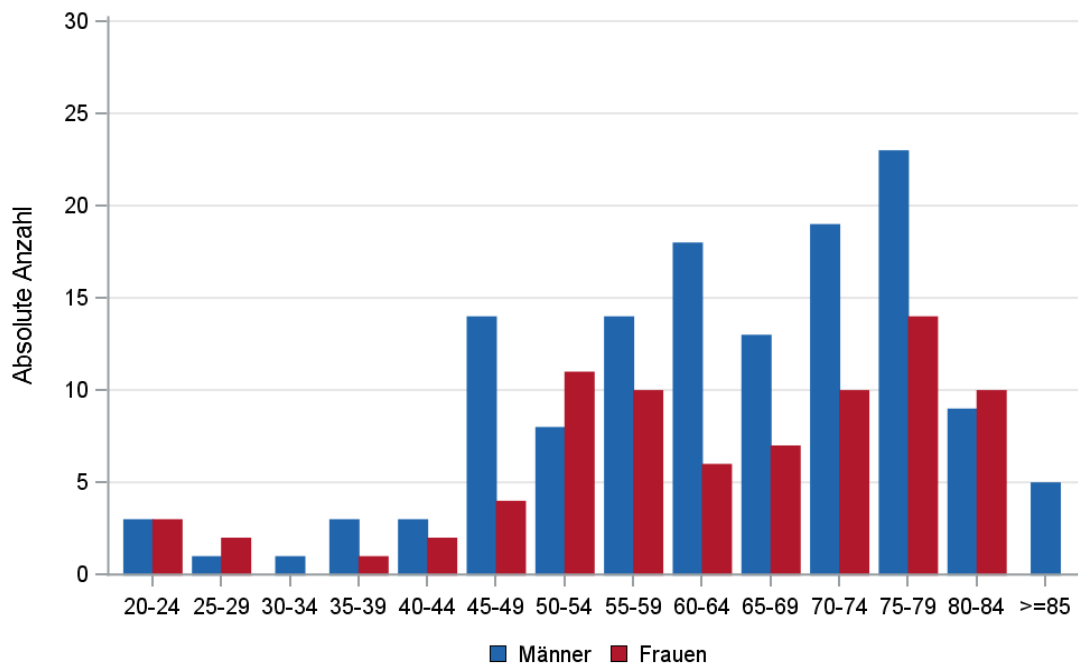
Tab. 35.3. C84: Absolute Anzahl und prozentualer Anteil der Neuerkrankungen nach Landkreisen

Landkreis	2008		2009		2010		2011		2012		2013		2014		2015		2016		2017		2018		Summe	
	Anzahl	%	Anzahl	%	Anzahl	%	Anzahl	%	Anzahl	%	Anzahl	%	Anzahl	%	Anzahl	%	Anzahl	%	Anzahl	%	Anzahl	%	Anzahl	%
Landkreis Rostock	0	0	1	5,3	2	11,1	4	21,1	2	8,3	2	10,0	5	18,5	5	27,8	3	16,7	3	15,8	1	4,8	28	13,1
Ludwigslust-Parchim	1	9,1	1	5,3	3	16,7	2	10,5	2	8,3	1	5,0	4	14,8	1	5,6	2	11,1	1	5,3	6	28,6	24	11,2
Mecklenburgische Seenplatte	1	9,1	2	10,5	4	22,2	1	5,3	4	16,7	4	20,0	4	14,8	2	11,1	2	11,1	8	42,1	3	14,3	35	16,4
Nordwestmecklenburg	3	27,3	2	10,5	1	5,6	0	0	0	0	1	5,0	0	0	1	5,6	1	5,6	0	0	2	9,5	11	5,1
Rostock	0	0	3	15,8	4	22,2	1	5,3	3	12,5	4	20,0	4	14,8	2	11,1	2	11,1	0	0	3	14,3	26	12,1
Schwerin	1	9,1	2	10,5	1	5,6	3	15,8	2	8,3	1	5,0	2	7,4	3	16,7	0	0	0	0	2	9,5	17	7,9
Vorpommern-Greifswald	3	27,3	6	31,6	1	5,6	5	26,3	5	20,8	5	25,0	5	18,5	1	5,6	5	27,8	3	15,8	3	14,3	42	19,6
Vorpommern-Rügen	2	18,2	2	10,5	2	11,1	3	15,8	6	25,0	2	10,0	3	11,1	3	16,7	3	16,7	4	21,1	1	4,8	31	14,5
Summe	11	100,0	19	100,0	18	100,0	19	100,0	24	100,0	20	100,0	27	100,0	18	100,0	18	100,0	19	100,0	21	100,0	214	100,0

35.4 Rohe und standardisierte Neuerkrankungsraten pro 100.000 Einwohner in den Jahren 2008-2018 (Wohnort)

Tab. 35.4. C84: Neuerkrankungsrate/100.000 Einwohner (Alter > 19)

Diagnosejahr	Männer			Frauen		
	absolute Anzahl der Neuerkrankungen	rohe Rate in M-V	altersstandardisierte Rate	absolute Anzahl der Neuerkrankungen	rohe Rate in M-V	altersstandardisierte Rate
2008	7	1,0	0,8	4	0,6	0,3
2009	12	1,7	1,6	7	1,0	0,8
2010	12	1,7	1,5	6	0,8	0,6
2011	11	1,6	1,4	8	1,1	0,8
2012	15	2,3	1,8	9	1,3	0,8
2013	12	1,8	1,5	8	1,2	1,1
2014	18	2,7	2,3	9	1,3	1,2
2015	12	1,8	1,4	6	0,9	0,5
2016	9	1,4	0,9	9	1,3	1,0
2017	10	1,5	1,1	9	1,3	1,3
2018	16	2,4	1,7	5	0,7	0,7
2008-2018	134	1,8	1,5	80	1,1	0,8



© KKR-MV 2020

Abb. 35.3. C84: Absolute Anzahl der Neuerkrankungen aufgelistet in 5-Jahres-Altersgruppen und nach Geschlecht im Diagnosezeitraum 2008 bis 2018 (Wohnort)

35.5 Alter der in den Jahren 2008 - 2018 in M-V neuerkrankten Patienten (Behandlungsort)

Tab. 35.5. C84: Erkrankungsalter (Behandlungsort)

Diagnosejahr	Männer				Frauen			
	Anzahl	Median	Minimum	Maximum	Anzahl	Median	Minimum	Maximum
2008	8	61	25	79	5	76	54	81
2009	12	61	29	78	7	59	23	81
2010	12	63	41	75	7	74	51	80
2011	12	60	20	84	8	70	27	79
2012	15	72	60	85	10	72	51	81
2013	13	64	23	85	9	53	48	67
2014	19	64	24	79	10	68	24	81
2015	13	68	37	78	6	77	39	79
2016	9	73	49	86	11	62	46	83
2017	11	63	39	88	10	57	23	84
2018	16	70	31	84	5	59	44	81

35.6 Absolute Anzahl der erfassten Neuerkrankungen in M-V in den Jahren 2008 – 2018 nach Lokalisation

Tab. 35.6. C84: Angabe zur primären Manifestation der Neuerkrankungen (Behandlungsort)

Lokalisation	2008	2009	2010	2011	2012	2013	2014	2015	2016	2017	2018	Summe	
												Anzahl	%
C01 Zunge	0	0	0	0	0	0	0	1	0	0	0	1	0,4
C05 Gaumen	0	1	0	0	0	0	0	0	0	0	0	1	0,4
C06 Andere und nicht näher bezeichnete Teile des Mundes	1	0	0	0	0	0	0	0	0	0	0	1	0,4
C09 Tonsille	0	1	0	0	1	1	0	0	0	1	0	4	1,8
C11 Nasopharynx	0	0	0	1	0	0	0	0	1	0	0	2	0,9
C16 Magen	0	0	0	0	1	0	0	0	0	0	0	1	0,4
C17 Dünndarm	0	0	0	0	0	0	0	1	1	1	0	3	1,3
C18 Kolon	0	0	0	0	0	1	0	0	0	0	0	1	0,4
C20 Rektum	1	0	0	0	0	0	0	0	0	0	0	1	0,4
C22 Leber	0	0	0	0	1	0	0	0	0	1	0	2	0,9
C30 Nasenhöhle und Mittelohr	0	1	0	0	0	0	0	0	0	0	1	2	0,9
C38 Herz, Mediastinum und Pleura	0	0	0	0	1	0	1	0	0	0	1	3	1,3
C41 Knochen des Hirn- und Gesichtsschädels (ausschließl. Mandibula, = C41.1)	0	0	0	0	0	0	0	0	0	0	1	1	0,4
C42 Hämatopoetisches und Retikuloendotheliales System	0	3	8	4	2	3	4	0	1	5	3	33	14,5
C44 Haut	7	8	6	11	15	12	10	8	11	10	7	105	46,1
C49 Bindegewebe, Subkutane und andere Weichteilgewebe	0	0	0	0	0	1	0	1	1	0	3	6	2,6
C50 Brustdrüse	0	0	0	0	0	0	1	0	0	1	0	2	0,9
C77 Lymphknoten	4	5	4	4	4	4	12	8	5	2	5	57	25,0
C80.9 Unbekannte Primärlokalisation	0	0	1	0	0	0	1	0	0	0	0	2	0,9
Summe	13	19	19	20	25	22	29	19	20	21	21	228	100,0

35.7 Histologische Befunde bei allen neuerkrankten Patienten in M-V in den Jahren 2008 – 2018

Tab. 35.7. C84: Histologische Befunde bei neuerkrankten Patienten (Behandlungsort)

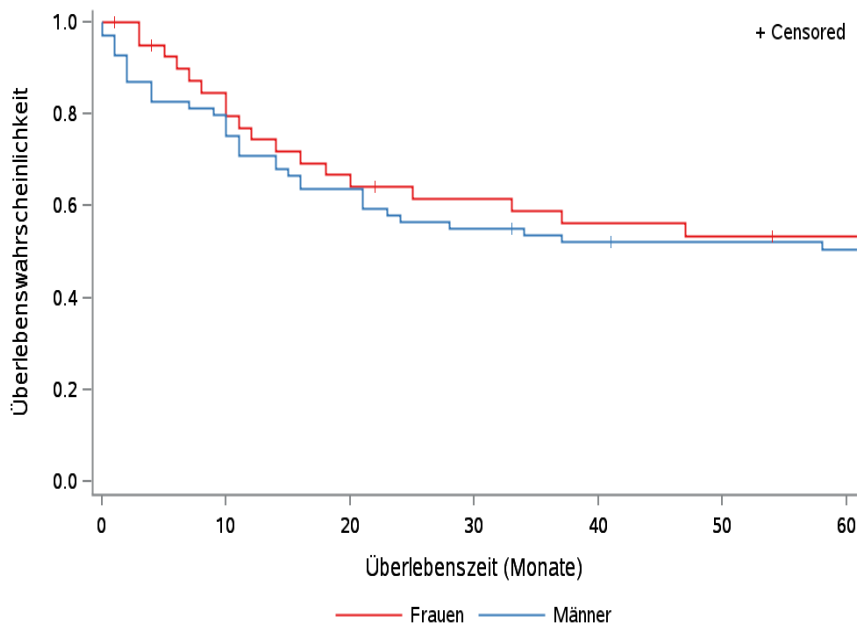
Histologiecode	Anzahl	Prozent	ICD-10
9700/3: Mycosis fungoides	66	28,9	C84.0
9701/3: Sézary-Syndrom	1	0,4	C84.1
Mycosis fungoides (MF) und Sézary-Syndrom (SS)	67	29,3	C84.0, C84.1
9702/3: Reifzelliges T-Zell-Lymphom o.n.A.	98	43,0	C84.5
9714/3: Großzelliges anaplastisches T-Zell und Null-Zell-Lymphom	40	17,5	C84.6, C84.7
Periphere T-Zell Lymphome (PTCL) und großzelliges anaplastisches T-Zell und Null-Zell-Lymphom	138	60,5	C84.5, C84.6, C84.7
9709/3: Kutaner T-Zell-Lymphom	23	10,1	C84.8
Kutaner T-Zell-Lymphom	23	10,1	

35.8 Klinische Stadien

Tab. 35.8. C84.5-C84.7: Primäres Ann-Arbor-Stadium bei peripheren T-Zell Lymphomen (PTCL), großzelligen anaplastischen T-Zell-Lymphomen und Null-Zell-Lymphomen (Behandlungsort)

Jahre	Stadium I		Stadium II		Stadium III		Stadium IV		k.A.		Summe	
	Anzahl	%	Anzahl	%	Anzahl	%	Anzahl	%	Anzahl	%	Anzahl	%
2008	3	42,9	0	0	1	14,3	0	0	3	42,9	7	100,0
2009	1	7,1	2	14,3	1	7,1	4	28,6	6	42,9	14	100,0
2010	1	7,1	2	14,3	0	0	5	35,7	6	42,9	14	100,0
2011	1	9,1	1	9,1	2	18,2	3	27,3	4	36,4	11	100,0
2012	2	16,7	0	0	1	8,3	2	16,7	7	58,3	12	100,0
2013	1	9,1	1	9,1	2	18,2	2	18,2	5	45,5	11	100,0
2014	2	11,1	3	16,7	1	5,6	8	44,4	4	22,2	18	100,0
2015	1	7,1	1	7,1	2	14,3	4	28,6	6	42,9	14	100,0
2016	0	0	1	8,3	0	0	1	8,3	10	83,3	12	100,0
2017	1	10,0	1	10,0	0	0	2	20,0	6	60,0	10	100,0
2018	1	6,7	0	0	1	6,7	5	33,3	8	53,3	15	100,0
Summe	14	10,1	12	8,7	11	8,0	36	26,1	65	47,1	138	100,0

35.9 Überlebensanalysen bei den in den Jahren 2008 – 2013 primär diagnostizierten Patienten



© KKR-MV 2020

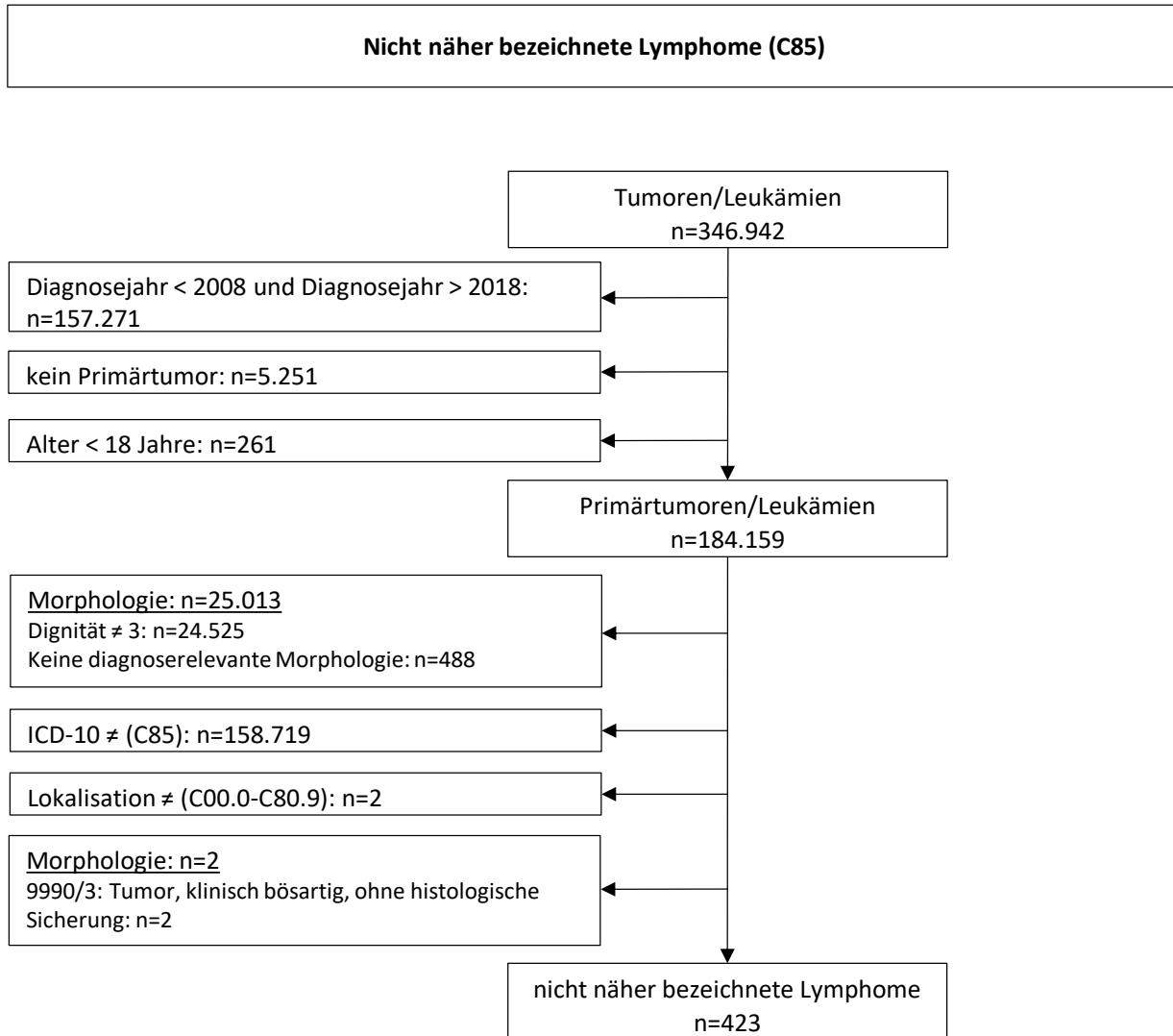
Abb.35.4. C84: Wahrscheinlichkeit des Überlebens (Kaplan-Meier-Analyse) nach Geschlecht im Diagnosezeitraum von 2008 bis 2013 (Wohnort). Kaplan-Meier-Kurven werden für Kategorien mit weniger als 10 Neuerkrankungen nicht dargestellt.

Tab. 35.9. C84: Anzahl der unter Risiko stehenden Neuerkrankungen (Monate nach Diagnose)

Geschlecht	0 Monate	20 Monate	40 Monate	60 Monate
Männer	69	44	35	33
Frauen	42	26	21	19

36 Nicht näher bezeichnete Lymphome (C85)

36.1 Consort-Statement: Darstellung der Auswertepopulation

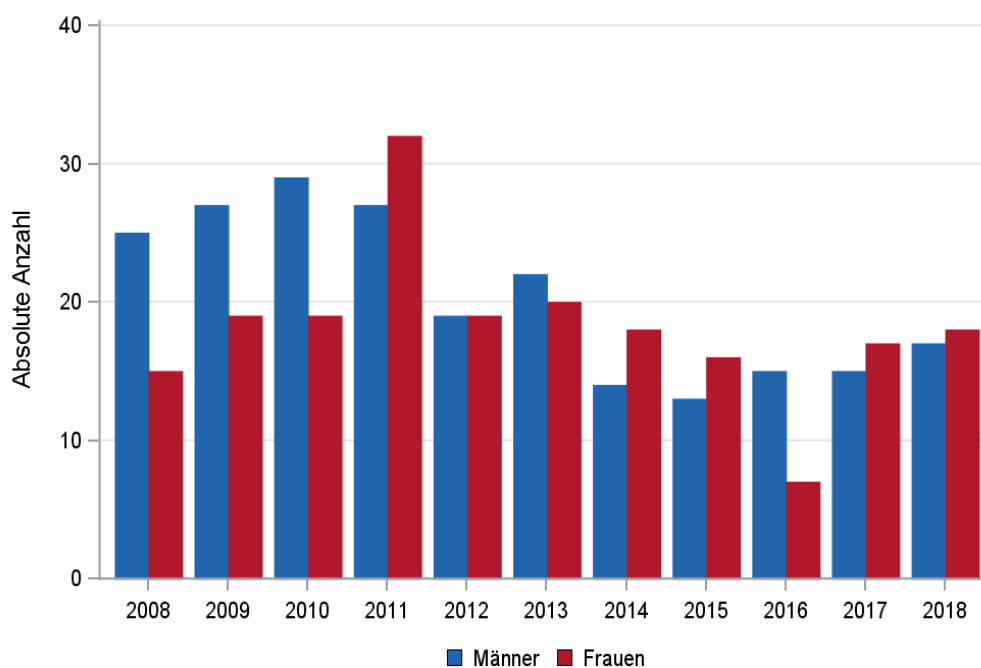


*Erläuterungen zu den Ausschlüssen finden Sie im Kapitel 4 (Methode)

36.2 Absolute Anzahl der erfassten Neuerkrankungen in M-V in den Jahren 2008 – 2018 nach Geschlecht (Behandlungsort, Wohnort)

Tab. 36.1. C85: Absolute Anzahl der Neuerkrankungen nach Geschlecht (Behandlungsort)

Diagnosejahr	Männer		Frauen		Summe
	Anzahl	%	Anzahl	%	
2008	25	62,5	15	37,5	40
2009	27	58,7	19	41,3	46
2010	29	60,4	19	39,6	48
2011	27	45,8	32	54,2	59
2012	19	50,0	19	50,0	38
2013	22	52,4	20	47,6	42
2014	14	43,8	18	56,3	32
2015	13	44,8	16	55,2	29
2016	15	68,2	7	31,8	22
2017	15	46,9	17	53,1	32
2018	17	48,6	18	51,4	35
Summe	223	52,7	200	47,3	423

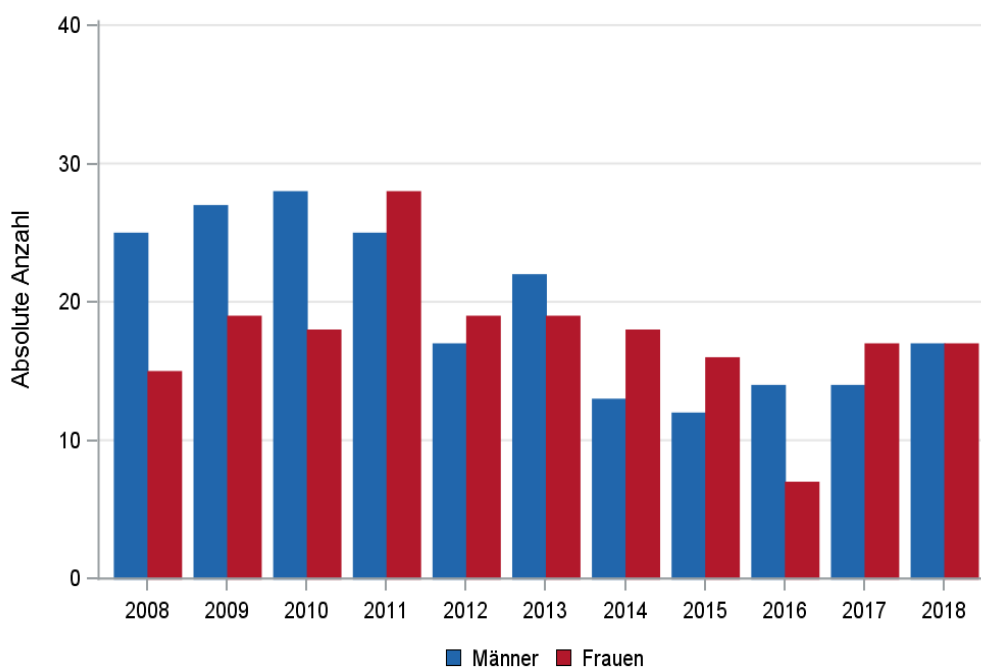


© KKR-MV 2020

Abb. 36.1. C85: Absolute Anzahl der Neuerkrankungen nach Geschlecht im Diagnosezeitraum 2008 bis 2018 (Behandlungsort)

Tab. 36.2. C85: Absolute Anzahl der Neuerkrankungen nach Geschlecht (Wohnort)

Diagnosejahr	Männer		Frauen		Summe
	Anzahl	%	Anzahl	%	
2008	25	62,5	15	37,5	40
2009	27	58,7	19	41,3	46
2010	28	60,9	18	39,1	46
2011	25	47,2	28	52,8	53
2012	17	47,2	19	52,8	36
2013	22	53,7	19	46,3	41
2014	13	41,9	18	58,1	31
2015	12	42,9	16	57,1	28
2016	14	66,7	7	33,3	21
2017	14	45,2	17	54,8	31
2018	17	50,0	17	50,0	34
Summe	214	52,6	193	47,4	407



© KKR-MV 2020

Abb. 36.2. C85: Absolute Anzahl der Neuerkrankungen nach Geschlecht im Diagnosezeitraum 2008 bis 2018 (Wohnort)

36.3 Absolute Anzahl der erfassten Neuerkrankungen in M-V in den Jahren 2008 – 2018 nach Landkreisen (Wohnort)

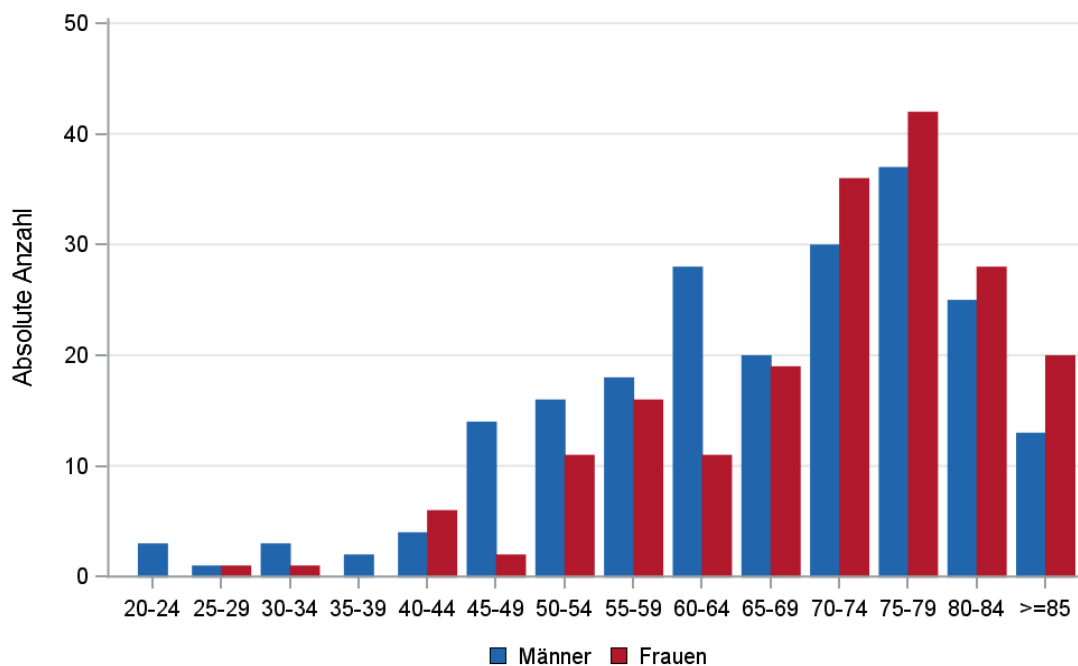
Tab. 36.3. C85: Absolute Anzahl und prozentualer Anteil der Neuerkrankungen nach Landkreisen

Landkreis	2008		2009		2010		2011		2012		2013		2014		2015		2016		2017		2018		Summe	
	Anzahl	%	Anzahl	%	Anzahl	%	Anzahl	%	Anzahl	%	Anzahl	%	Anzahl	%	Anzahl	%	Anzahl	%	Anzahl	%	Anzahl	%	Anzahl	%
Landkreis Rostock	1	2,5	2	4,3	4	8,7	5	9,4	7	19,4	3	7,3	3	9,7	3	10,7	4	19,0	3	9,7	1	2,9	36	8,8
Ludwigslust-Parchim	5	12,5	5	10,9	8	17,4	6	11,3	3	8,3	3	7,3	5	16,1	3	10,7	2	9,5	0	0	2	5,9	42	10,3
Mecklenburgische Seenplatte	12	30,0	9	19,6	13	28,3	8	15,1	7	19,4	14	34,1	3	9,7	3	10,7	2	9,5	6	19,4	7	20,6	84	20,6
Nordwestmecklenburg	2	5,0	5	10,9	2	4,3	3	5,7	3	8,3	3	7,3	1	3,2	3	10,7	2	9,5	1	3,2	1	2,9	26	6,4
Rostock	0	0	1	2,2	1	2,2	6	11,3	0	0	4	9,8	4	12,9	2	7,1	4	19,0	8	25,8	4	11,8	34	8,4
Schwerin	0	0	2	4,3	2	4,3	7	13,2	1	2,8	1	2,4	1	3,2	4	14,3	1	4,8	1	3,2	2	5,9	22	5,4
Vorpommern-Greifswald	12	30,0	16	34,8	14	30,4	13	24,5	8	22,2	10	24,4	4	12,9	5	17,9	2	9,5	6	19,4	8	23,5	98	24,1
Vorpommern-Rügen	8	20,0	6	13,0	2	4,3	5	9,4	7	19,4	2	4,9	10	32,3	5	17,9	4	19,0	6	19,4	9	26,5	64	15,7
nicht zuordenbar	0	0	0	0	0	0	0	0	0	0	1	2,4	0	0	0	0	0	0	0	0	0	0	1	0,2
Summe	40	100,0	46	100,0	46	100,0	53	100,0	36	100,0	41	100,0	31	100,0	28	100,0	21	100,0	31	100,0	34	100,0	407	100,0

36.4 Rohe und standardisierte Neuerkrankungsraten pro 100.000 Einwohner in den Jahren 2008-2018 (Wohnort)

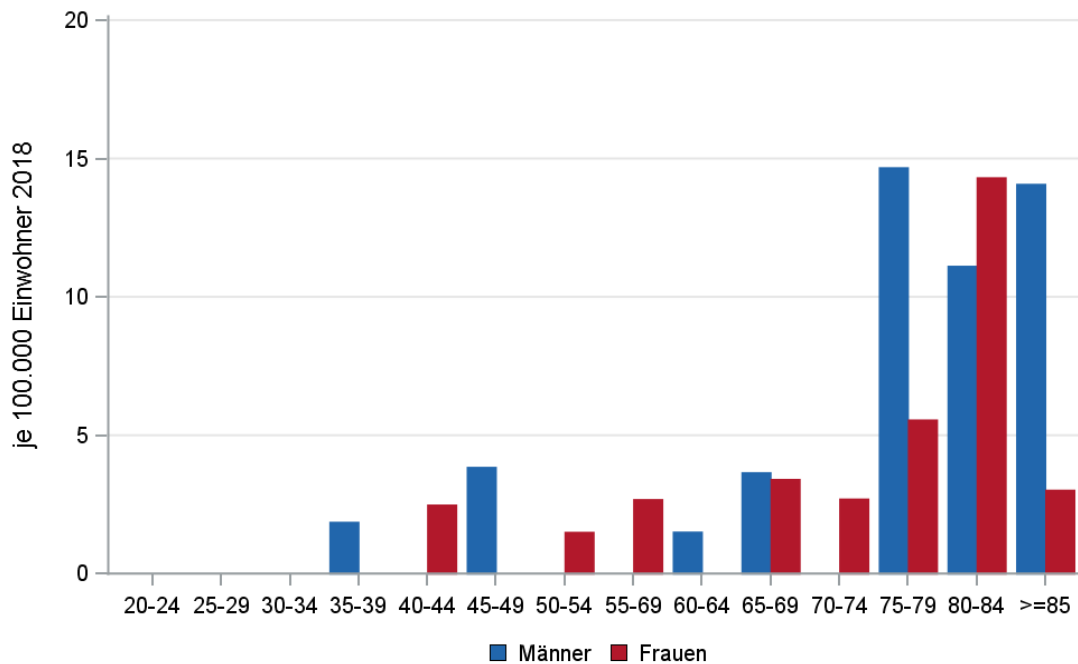
Tab. 36.4. C85: Neuerkrankungsrate/100.000 Einwohner (Alter > 19)

Diagnosejahr	Männer			Frauen		
	absolute Anzahl der Neuerkrankungen	rohe Rate in M-V	altersstandardisierte Rate	absolute Anzahl der Neuerkrankungen	rohe Rate in M-V	altersstandardisierte Rate
2008	25	3,6	3,7	15	2,1	1,3
2009	27	3,9	3,2	19	2,7	1,7
2010	28	4,1	3,4	18	2,5	1,5
2011	25	3,7	3,0	28	4,0	2,7
2012	17	2,6	2,1	19	2,7	1,6
2013	22	3,3	2,5	19	2,7	1,6
2014	13	2,0	1,5	18	2,6	1,3
2015	12	1,8	1,2	16	2,3	1,5
2016	14	2,1	1,3	7	1,0	0,7
2017	14	2,1	1,7	17	2,5	1,1
2018	17	2,6	1,7	17	2,5	1,3
2008-2018	214	2,9	2,3	193	2,5	1,5



© KKR-MV 2020

Abb. 36.3. C85: Absolute Anzahl der Neuerkrankungen aufgelistet in 5-Jahres-Altersgruppen und nach Geschlecht im Diagnosezeitraum 2008 bis 2018 (Wohnort)



© KKR-MV 2020

Abb. 36.4. C85: Alterspezifische Rate der Neuerkrankungen je 100.000 Einwohner (Diagnosejahr 2018) nach 5-Jahres-Altersgruppen und Geschlecht (Wohnort)

36.5 Alter der in den Jahren 2008 - 2018 in M-V neuerkrankten Patienten (Behandlungsort)

Tab. 36.5. C85: Erkrankungsalter (Behandlungsort)

Diagnosejahr	Männer				Frauen			
	Anzahl	Median	Minimum	Maximum	Anzahl	Median	Minimum	Maximum
2008	25	63	20	88	15	71	51	94
2009	27	74	30	89	19	73	42	91
2010	29	68	21	84	19	74	43	83
2011	27	69	44	84	32	70	30	85
2012	19	62	20	86	19	72	54	89
2013	22	70	42	86	20	74	44	90
2014	14	73	42	85	18	76	27	96
2015	13	74	42	82	16	75	41	87
2016	15	75	34	90	7	73	53	79
2017	15	62	48	92	17	77	54	89
2018	17	76	38	89	18	76	42	93

36.6 Absolute Anzahl der erfassten Neuerkrankungen in M-V in den Jahren 2008 – 2018 nach Lokalisation

Tab. 36.6. C85: Angabe zur primären Manifestation der Neuerkrankungen (Behandlungsort)

Lokalisation	2008	2009	2010	2011	2012	2013	2014	2015	2016	2017	2018	Summe	
												Anzahl	%
C01 Zunge	0	0	0	0	0	1	0	0	0	0	1	2	0,5
C03 Mundschleimhaut	0	0	0	0	1	0	0	0	0	0	0	1	0,2
C05 Gaumen	0	0	0	1	0	0	0	0	0	0	0	1	0,2
C07 Parotis	0	0	1	1	1	0	0	0	0	1	0	4	0,9
C09 Tonsille	3	2	2	0	0	0	3	0	1	0	0	11	2,6
C10 Oropharynx	0	1	0	0	0	0	0	0	0	0	0	1	0,2
C11 Nasopharynx	0	0	0	0	0	0	1	0	0	0	0	1	0,2
C16 Magen	5	1	4	1	2	1	0	2	0	2	1	19	4,5
C17 Dünndarm	1	1	1	0	1	1	1	0	0	0	0	6	1,4
C18 Kolon	0	1	1	2	0	0	0	0	0	0	0	4	0,9
C20 Rektum	0	0	0	0	0	1	0	0	0	0	1	2	0,5
C21 Anus und Analkanal	0	0	0	0	0	1	0	0	0	0	0	1	0,2
C22 Leber	1	2	0	0	0	0	1	0	1	0	2	7	1,7
C25 Bauchspeicheldrüse	0	0	0	0	0	0	0	1	0	1	0	2	0,5
C30 Nasenhöhle und Mittelohr	1	0	0	1	1	0	0	0	0	0	0	3	0,7
C34 Lunge	0	1	0	2	0	1	0	1	0	0	0	5	1,2
C37 Thymus	0	0	0	0	0	0	1	0	0	0	0	1	0,2
C38 Herz, Mediastinum und Pleura	2	1	0	1	2	0	1	1	1	1	2	12	2,8
C41 Knochen des Hirn- und Gesichtsschädels (ausschließl. Mandibula, = C41.1)	0	0	1	1	1	0	0	0	0	1	0	4	0,9
C42 Hämatopoetisches und Retikuloendotheliales System	14	13	12	16	9	14	11	9	10	14	14	136	32,2
C44 Haut	0	4	3	5	2	1	2	1	3	3	0	24	5,7
C48 Retroperitoneum und Peritoneum	0	1	1	0	1	1	1	0	0	0	2	7	1,7
C49 Bindegewebe, Subkutane und andere Weichteilgewebe	0	0	0	2	2	0	0	1	1	0	1	7	1,7
C53 Gebärmutterhals	0	1	0	0	0	0	0	1	0	0	0	2	0,5
C60 Penis	0	0	1	0	0	0	0	0	0	0	0	1	0,2
C62 Hoden	1	1	0	1	0	0	1	0	0	0	0	4	0,9
C64 Nieren	0	0	0	0	0	0	0	0	1	0	0	1	0,2
C69 Auge und Adnex	1	0	0	1	1	0	0	0	0	0	0	3	0,7
C70 Meningen	0	0	1	0	0	0	0	0	0	0	0	1	0,2
C71 Gehirn	2	3	2	4	2	3	0	2	0	1	2	21	5,0
C72 Rückenmark, Hirnnerven	1	0	0	0	0	0	0	0	0	0	0	1	0,2
C74.9 Nebenniere o.n.A.	0	0	0	1	0	1	0	0	0	0	0	2	0,5
C76 andere und mangelhaft bezeichnete Lokalisationen	0	0	1	0	1	0	0	0	0	0	0	2	0,5
C77 Lymphknoten	8	14	17	19	11	16	9	10	4	7	9	124	29,3
C80.9 Unbekannte Primärlokalisation	0	0	0	0	0	0	0	0	0	1	0	1	0,2
Summe	40	47	48	59	38	42	32	29	22	31	35	423	100,0

36.7 Histologische Befunde bei allen neuerkrankten Patienten in M-V in den Jahren 2008 – 2018

Tab. 36.7. C85: Histologische Befunde bei neuerkrankten Patienten (Behandlungsort)

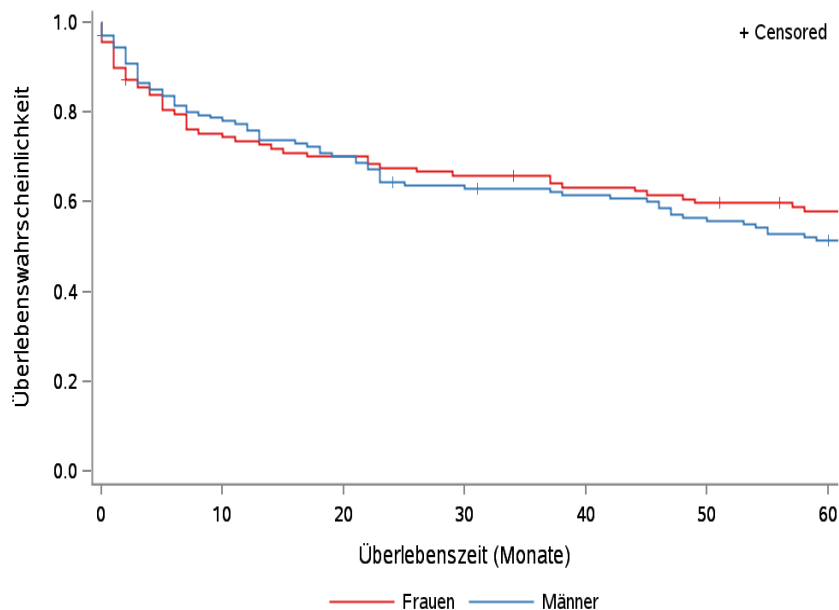
Histologiecode	Anzahl	Prozent
9591/3: Malignes Non-Hodgkin-Lymphom o.n.A	380	89,8
9590/3: Malignes Lymphom o.n.A.	43	10,2
Sonstige nicht näher bezeichnete Typen des NHL	423	100,0

36.8 Klinische Stadien

Tab. 36.8. C85: Primäres Ann-Arbor-Stadium (Behandlungsort)

Jahre	Stadium I		Stadium II		Stadium III		Stadium IV		k.A.		Summe	
	Anzahl	%	Anzahl	%	Anzahl	%	Anzahl	%	Anzahl	%	Anzahl	%
2008	5	12,5	5	12,5	4	10,0	3	7,5	23	57,5	40	100,0
2009	3	6,5	4	8,7	3	6,5	9	19,6	27	58,7	46	100,0
2010	5	10,4	8	16,7	3	6,3	11	22,9	21	43,8	48	100,0
2011	5	8,5	7	11,9	6	10,2	15	25,4	26	44,1	59	100,0
2012	9	23,7	3	7,9	2	5,3	5	13,2	19	50,0	38	100,0
2013	4	9,5	1	2,4	6	14,3	8	19,0	23	54,8	42	100,0
2014	3	9,4	3	9,4	4	12,5	5	15,6	17	53,1	32	100,0
2015	1	3,4	4	13,8	1	3,4	7	24,1	16	55,2	29	100,0
2016	4	18,2	1	4,5	2	9,1	1	4,5	14	63,6	22	100,0
2017	4	12,5	2	6,3	2	6,3	4	12,5	20	62,5	32	100,0
2018	0	0	4	11,4	3	8,6	4	11,4	24	68,6	35	100,0
Summe	43	10,2	42	9,9	36	8,5	72	17,0	230	54,4	423	100,0

36.9 Überlebensanalysen bei den in den Jahren 2008 – 2013 primär diagnostizierten Patienten

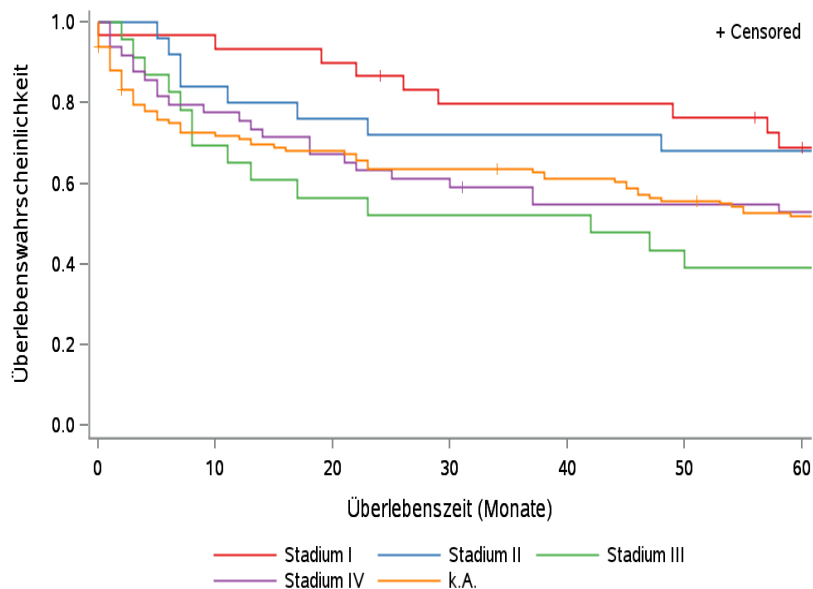


© KKR-MV 2020

Abb.36.5. C85: Wahrscheinlichkeit des Überlebens (Kaplan-Meier-Analyse) nach Geschlecht im Diagnosezeitraum von 2008 bis 2013 (Wohnort). Kaplan-Meier-Kurven werden für Kategorien mit weniger als 10 Neuerkrankungen nicht dargestellt.

Tab. 36.9. C85: Anzahl der unter Risiko stehenden Neuerkrankungen (Monate nach Diagnose)

Geschlecht	0 Monate	20 Monate	40 Monate	60 Monate
Männer	142	99	85	71
Frauen	118	82	73	65

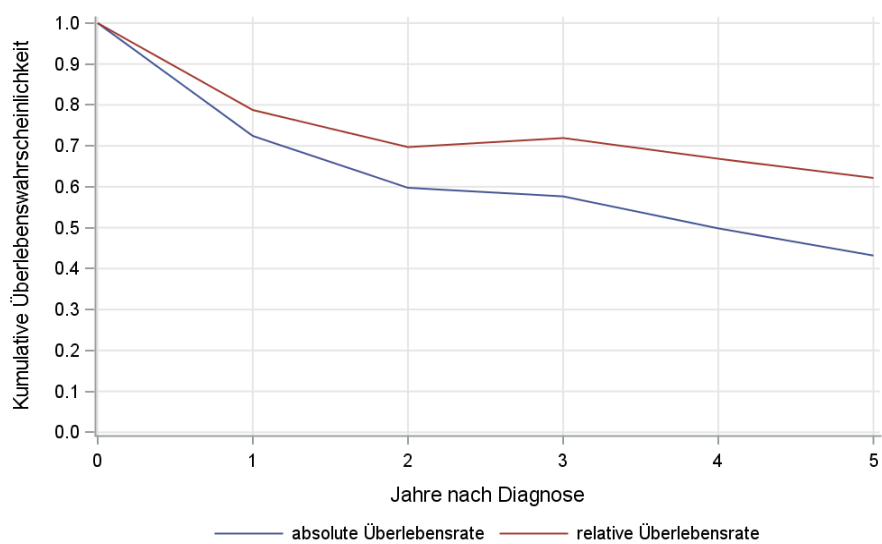


© KKR-MV 2020

Abb.36.6. C85: Wahrscheinlichkeit des Überlebens (Kaplan-Meier-Analyse) nach Ann-Arbor-Stadium im Diagnosezeitraum von 2008 bis 2013 (Wohnort). Kaplan-Meier-Kurven werden für Kategorien mit weniger als 10 Neuerkrankungen nicht dargestellt.

Tab. 36.10. C85: Anzahl der unter Risiko stehenden Neuerkrankungen nach Ann-Arbor-Stadium
(Monate nach Diagnose)

Ann-Arbor-Stadium	0 Monate	20 Monate	40 Monate	60 Monate
Stadium I	30	27	23	19
Stadium II	25	19	18	17
Stadium III	23	13	12	9
Stadium IV	49	33	26	25
k.A.	133	89	79	66

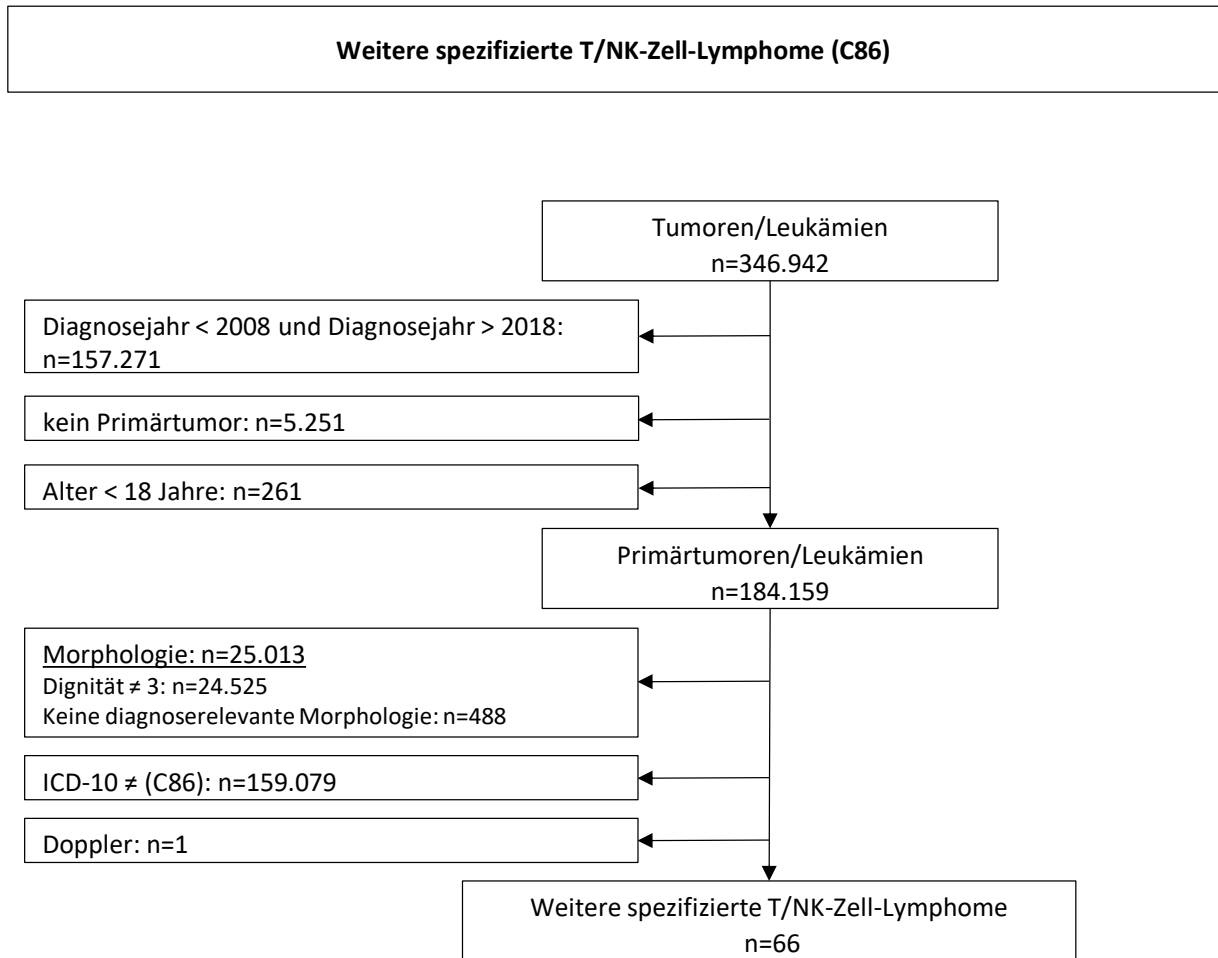


© KKR-MV 2020

Abb. 36.7. C85: Absolutes und relatives Überleben im Diagnosezeitraum 2008 bis 2013
(Wohnort, Alter > 19)

37 Weitere spezifizierte T/NK-Zell-Lymphome (C86)

37.1 Consort-Statement: Darstellung der Auswertepopulation

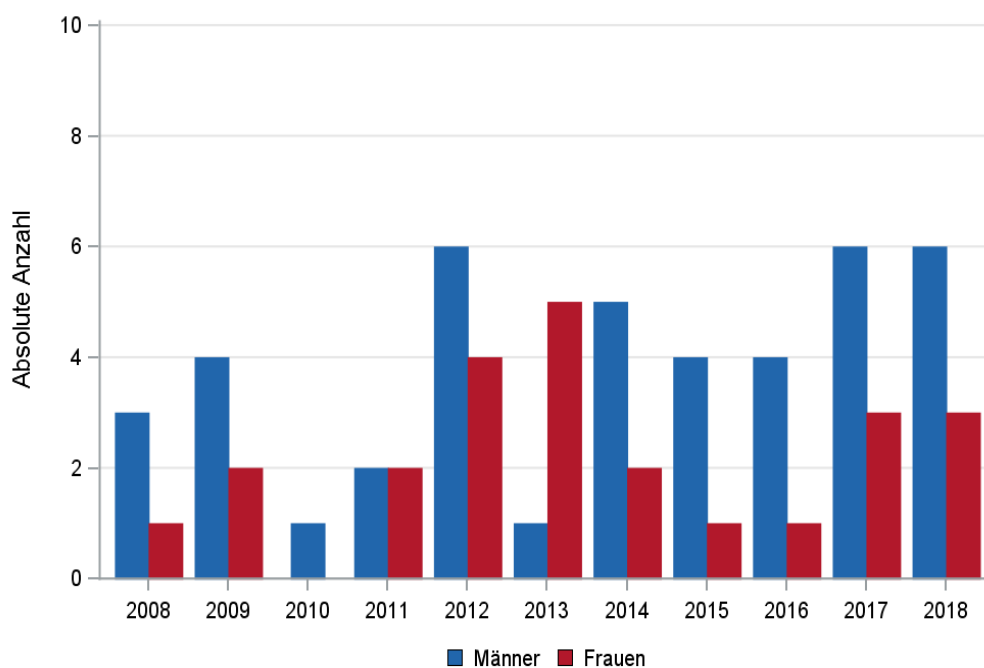


*Erläuterungen zu den Ausschlüssen finden Sie im Kapitel 4 (Methode)

37.2 Absolute Anzahl der erfassten Neuerkrankungen in M-V in den Jahren 2008 – 2018 nach Geschlecht (Behandlungsort, Wohnort)

Tab. 37.1. C86: Absolute Anzahl der Neuerkrankungen nach Geschlecht (Behandlungsort)

Diagnosejahr	Männer		Frauen		Summe
	Anzahl	%	Anzahl	%	
2008	3	75,0	1	25,0	4
2009	4	66,7	2	33,3	6
2010	1	100,0	0	0	1
2011	2	50,0	2	50,0	4
2012	6	60,0	4	40,0	10
2013	1	16,7	5	83,3	6
2014	5	71,4	2	28,6	7
2015	4	80,0	1	20,0	5
2016	4	80,0	1	20,0	5
2017	6	66,7	3	33,3	9
2018	6	66,7	3	33,3	9
Summe	42	63,6	24	36,4	66

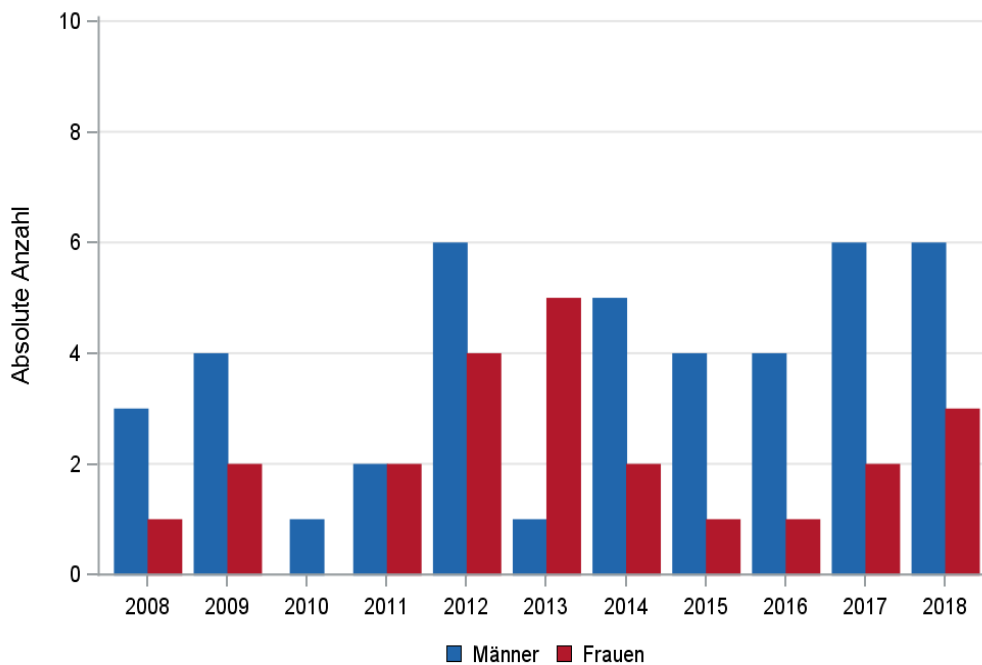


© KKR-MV 2020

Abb. 37.1. C86: Absolute Anzahl der Neuerkrankungen nach Geschlecht im Diagnosezeitraum 2008 bis 2018 (Behandlungsort)

Tab. 37.2. C86: Absolute Anzahl der Neuerkrankungen nach Geschlecht (Wohnort)

Diagnosejahr	Männer		Frauen		Summe
	Anzahl	%	Anzahl	%	
2008	3	75,0	1	25,0	4
2009	4	66,7	2	33,3	6
2010	1	100,0	0	0	1
2011	2	50,0	2	50,0	4
2012	6	60,0	4	40,0	10
2013	1	16,7	5	83,3	6
2014	5	71,4	2	28,6	7
2015	4	80,0	1	20,0	5
2016	4	80,0	1	20,0	5
2017	6	75,0	2	25,0	8
2018	6	66,7	3	33,3	9
Summe	42	64,6	23	35,4	65



© KKR-MV 2020

Abb. 37.2. C86: Absolute Anzahl der Neuerkrankungen nach Geschlecht im Diagnosezeitraum 2008 bis 2018 (Wohnort)

37.3 Absolute Anzahl der erfassten Neuerkrankungen in M-V in den Jahren 2008 – 2018 nach Landkreisen (Wohnort)

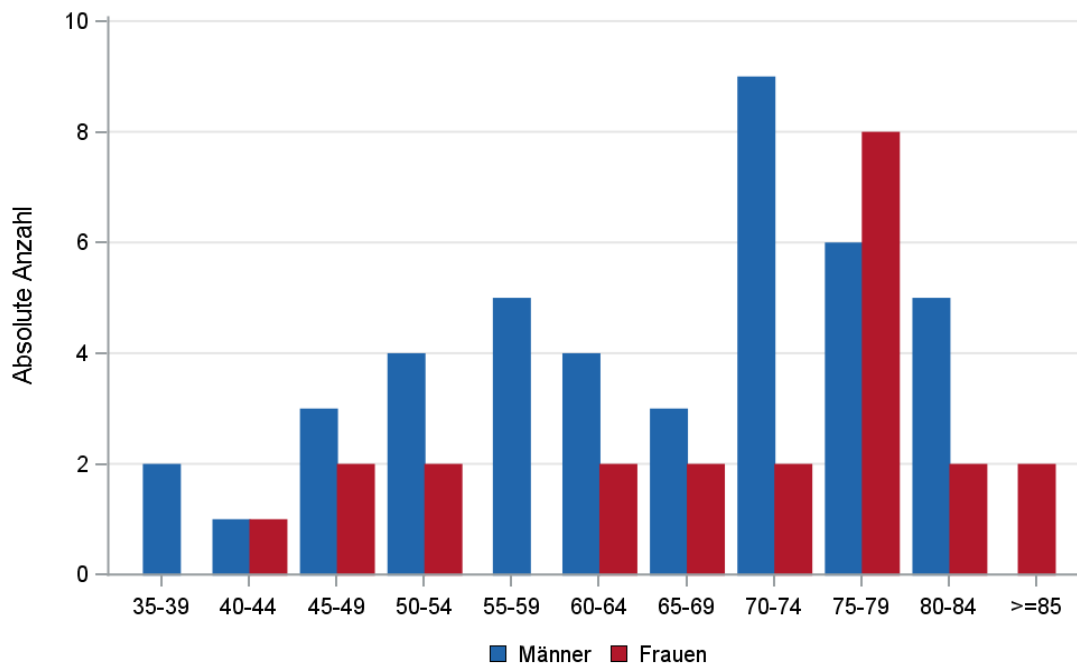
Tab. 37.3. C86: Absolute Anzahl und prozentualer Anteil der Neuerkrankungen nach Landkreisen

Landkreis	2008		2009		2010		2011		2012		2013		2014		2015		2016		2017		2018		Summe	
	Anzahl	%	Anzahl	%	Anzahl	%	Anzahl	%	Anzahl	%	Anzahl	%	Anzahl	%	Anzahl	%	Anzahl	%	Anzahl	%	Anzahl	%	Anzahl	%
Landkreis Rostock	0	0	0	0	0	0	0	0	0	0	1	16,7	0	0	1	20,0	1	20,0	1	12,5	1	11,1	5	7,7
Ludwigslust-Parchim	2	50,0	1	16,7	1	100,0	2	50,0	3	30,0	1	16,7	1	14,3	1	20,0	0	0	0	0	3	33,3	15	23,1
Mecklenburgische Seenplatte	1	25,0	3	50,0	0	0	0	0	2	20,0	1	16,7	2	28,6	0	0	2	40,0	2	25,0	2	22,2	15	23,1
Nordwestmecklenburg	0	0	0	0	0	0	0	0	4	40,0	0	0	0	0	0	0	1	20,0	0	0	0	0	5	7,7
Rostock	0	0	1	16,7	0	0	1	25,0	0	0	2	33,3	1	14,3	1	20,0	0	0	2	25,0	0	0	8	12,3
Schwerin	0	0	0	0	0	0	0	0	0	0	0	0	0	0	0	0	1	20,0	1	12,5	1	11,1	3	4,6
Vorpommern-Greifswald	0	0	1	16,7	0	0	0	0	0	0	0	0	0	0	1	20,0	0	0	1	12,5	2	22,2	5	7,7
Vorpommern-Rügen	0	0	0	0	0	0	1	25,0	1	10,0	1	16,7	3	42,9	1	20,0	0	0	1	12,5	0	0	8	12,3
nicht zuordenbar	1	25,0	0	0	0	0	0	0	0	0	0	0	0	0	0	0	0	0	0	0	0	0	1	1,5
Summe	4	100,0	6	100,0	1	100,0	4	100,0	10	100,0	6	100,0	7	100,0	5	100,0	5	100,0	8	100,0	9	100,0	65	100,0

37.4 Rohe und standardisierte Neuerkrankungsraten pro 100.000 Einwohner in den Jahren 2008-2018 (Wohnort)

Tab. 37.4. C86: Neuerkrankungsrate/100.000 Einwohner (Alter > 19)

Diagnosejahr	Männer			Frauen		
	absolute Anzahl der Neuerkrankungen	rohe Rate in M-V	altersstandardisierte Rate	absolute Anzahl der Neuerkrankungen	rohe Rate in M-V	altersstandardisierte Rate
2008	3	0,4	0,4	1	0,1	0,1
2009	4	0,6	0,4	2	0,3	0,1
2010	1	0,1	0,1	0	0,0	0,0
2011	2	0,3	0,2	2	0,3	0,2
2012	6	0,9	0,7	4	0,6	0,3
2013	1	0,2	0,1	5	0,7	0,4
2014	5	0,8	0,5	2	0,3	0,3
2015	4	0,6	0,4	1	0,2	0,1
2016	4	0,6	0,5	1	0,2	0,1
2017	6	0,9	0,8	2	0,3	0,1
2018	6	0,9	0,6	3	0,4	0,3
2008-2018	42	0,6	0,4	23	0,3	0,2



© KKR-MV 2020

Abb. 37.3. C86: Absolute Anzahl der Neuerkrankungen aufgelistet in 5-Jahres-Altersgruppen und nach Geschlecht im Diagnosezeitraum 2008 bis 2018 (Wohnort)

37.5 Alter der in den Jahren 2008 - 2018 in M-V neuerkrankten Patienten (Behandlungsort)

Tab. 37.5. C86: Erkrankungsalter (Behandlungsort)

Diagnosejahr	Männer				Frauen			
	Anzahl	Median	Minimum	Maximum	Anzahl	Median	Minimum	Maximum
2008	3	62	42	69	1	81	81	81
2009	4	62	48	71	2	82	74	89
2010	1	80	80	80	0	0	0	0
2011	2	75	70	80	2	66	53	79
2012	6	54	49	73	4	75	50	78
2013	1	76	76	76	5	75	46	76
2014	5	75	66	81	2	61	43	78
2015	4	61	51	82	1	68	68	68
2016	4	58	38	64	1	64	64	64
2017	6	65	35	79	3	79	64	90
2018	6	74	58	82	3	66	49	81

37.6 Absolute Anzahl der erfassten Neuerkrankungen in M-V in den Jahren 2008 – 2018 nach Lokalisation

Tab. 37.6. C86: Angabe zur primären Manifestation der Neuerkrankungen (Behandlungsort)

Lokalisation	2008	2009	2010	2011	2012	2013	2014	2015	2016	2017	2018	Summe	
												Anzahl	%
C17.1 Jejunum	0	1	0	0	0	0	0	0	0	1	0	2	3,0
C17.8 Dünndarm (mehrere Teilbereiche überlappend)	1	0	0	0	0	0	0	0	0	0	2	3	4,5
C17.9 Dünndarm o.n.A.	0	0	0	0	0	1	0	0	0	0	0	1	1,5
C30.0 Innere Nase, Nasenhöhle (einschl. Knorpel, Schleimhaut,...; Exkl.: Nase o.n.A.= C76.0, hinteren Rand des Nasenseptums = C11.3))	0	0	0	0	0	0	0	0	0	0	1	1	1,5
C42.1 Knochenmark	0	0	0	1	0	0	0	1	1	0	1	4	6,1
C42.4 Hämatopoetisches System o.n.A.	1	0	0	0	0	1	1	0	1	0	1	5	7,6
C44.02 Unterlippe, äußere Haut	0	0	0	0	0	0	0	0	0	1	0	1	1,5
C44.21 Ohrmuschel (Haut)	0	1	0	0	0	0	0	0	0	0	0	1	1,5
C44.31 Nase (Haut) (ohne Nasenschleimhaut, = C30.0)	0	0	0	0	0	0	0	0	0	1	0	1	1,5
C44.32 Wange (Haut) (ohne Wangenschleimhaut, = C06.0)	0	0	0	0	1	0	0	0	0	0	0	1	1,5
C44.34 Schläfe (Haut)	0	0	0	0	0	0	1	0	0	0	0	1	1,5
C44.43 Hals (Haut)	0	0	0	0	1	0	0	0	0	0	0	1	1,5
C44.5 Haut des Stammes	0	0	0	0	0	0	0	0	0	2	0	2	3,0
C44.51 Vordere und seitliche Brustwand (Haut)	0	0	0	0	1	0	1	0	0	0	0	2	3,0
C44.52 Bauchhaut (einschl. Haut des Nabels)	1	1	0	0	0	0	0	0	0	0	0	2	3,0
C44.53 Rückenhaut	0	0	0	0	0	1	0	0	1	0	0	2	3,0
C44.6 Haut von Arm und Schulter	0	0	0	0	0	0	1	0	0	0	0	1	1,5
C44.65 Unterarm (Haut)	0	0	0	0	0	0	0	0	0	1	0	1	1,5
C44.72 Oberschenkel (Haut)	1	0	0	1	1	0	0	0	0	0	0	3	4,5

Lokalisation	2008	2009	2010	2011	2012	2013	2014	2015	2016	2017	2018	Summe	
												Anzahl	%
C44.74 Unterschenkel (Haut)	0	0	0	1	0	0	0	0	0	0	0	1	1,5
C44.9 Haut o.n.A. (Exkl.: Haut an Penis (C60.9), gr. Schamlippen (C51.0), Vulva (C51.9) u. Skrotum (C63.2))	0	0	0	0	0	0	0	1	0	0	0	1	1,5
C48.14 Dünndarm-Mesenterium	0	0	0	0	0	0	0	0	0	0	1	1	1,5
C77.0 Lymphknoten des Kopfes und Halses	0	1	0	0	1	0	1	1	0	2	2	8	12,1
C77.01 Ln. occipitales (retroauriculares), Ln. mastoidei	0	0	0	0	0	0	1	0	0	0	0	1	1,5
C77.09 Sonstige Lymphknoten im Kopf-Hals-Bereich	0	0	0	1	0	0	0	0	0	0	0	1	1,5
C77.1 Lymphknoten, thorakale und intrathorakale	0	0	0	0	0	1	0	0	0	0	0	1	1,5
C77.3 Lymphknoten der Achseln und oberen Gliedmaßen	0	0	0	0	0	0	0	1	0	0	0	1	1,5
C77.35 Ln. axillares	0	0	0	0	0	1	0	0	1	0	1	3	4,5
C77.4 Lymphknoten der unteren Gliedmaßen und inguinale Ln.	0	0	1	0	2	0	0	0	0	0	0	3	4,5
C77.48 Sonstige inguinale Lymphknoten (z.B. Cloquet, Rosenmüller)	0	0	0	0	0	0	0	0	0	1	0	1	1,5
C77.8 Lymphknoten mehrerer Regionen	0	2	0	0	3	0	1	1	1	0	0	8	12,1
C80.9 Unbekannte Primärlokalisation	0	0	0	0	0	1	0	0	0	0	0	1	1,5
Summe	4	6	1	4	10	6	7	5	5	9	9	66	100,0

37.7 Histologische Befunde bei allen neuerkrankten Patienten in M-V in den Jahren 2008 – 2018

Tab. 37.7. C86: Histologische Befunde bei neuerkrankten Patienten (Behandlungsort)

Histologiecode	Anzahl	Prozent
9705/3: Angioimmunoblastisches T-Zell-Lymphom	36	54,5
9718/3: Primär kutane CD30-positive T-zellige lymphoproliferative Erkrankung	15	22,7
9717/3: Intestinales T-Zell-Lymphom	8	12,1
9719/3: Nasales NK/T-Zell-Lymphom	4	6,1
9708/3: Subkutanes pannikulitisches T-Zell-Lymphom	2	3,0
9716/3: Hepatosplenisches T-Zell-Lymphom	1	1,5
Weitere spezifische T/NK-Zell-Lymphome	66	100,0

37.8 Klinische Stadien

Tab. 37.8. C86: Primäres Ann-Arbor-Stadium (Behandlungsort)

Jahre	Stadium I		Stadium II		Stadium III		Stadium IV		k.A.		Summe	
	Anzahl	%	Anzahl	%	Anzahl	%	Anzahl	%	Anzahl	%	Anzahl	%
2008	0	0	1	25,0	0	0	1	25,0	2	50,0	4	100,0
2009	0	0	1	16,7	2	33,3	1	16,7	2	33,3	6	100,0
2010	0	0	0	0	0	0	1	100,0	0	0	1	100,0
2011	0	0	0	0	1	25,0	0	0	3	75,0	4	100,0
2012	1	10,0	0	0	1	10,0	0	0	8	80,0	10	100,0
2013	0	0	1	16,7	0	0	1	16,7	4	66,7	6	100,0
2014	0	0	0	0	0	0	0	0	7	100,0	7	100,0
2015	0	0	0	0	2	40,0	2	40,0	1	20,0	5	100,0
2016	1	20,0	0	0	1	20,0	2	40,0	1	20,0	5	100,0
2017	0	0	0	0	1	11,1	1	11,1	7	77,8	9	100,0
2018	1	11,1	1	11,1	4	44,4	0	0	3	33,3	9	100,0
Summe	3	4,5	4	6,1	12	18,2	9	13,6	38	57,6	66	100,0

37.9 Überlebensanalysen bei den in den Jahren 2008 – 2013 primär diagnostizierten Patienten

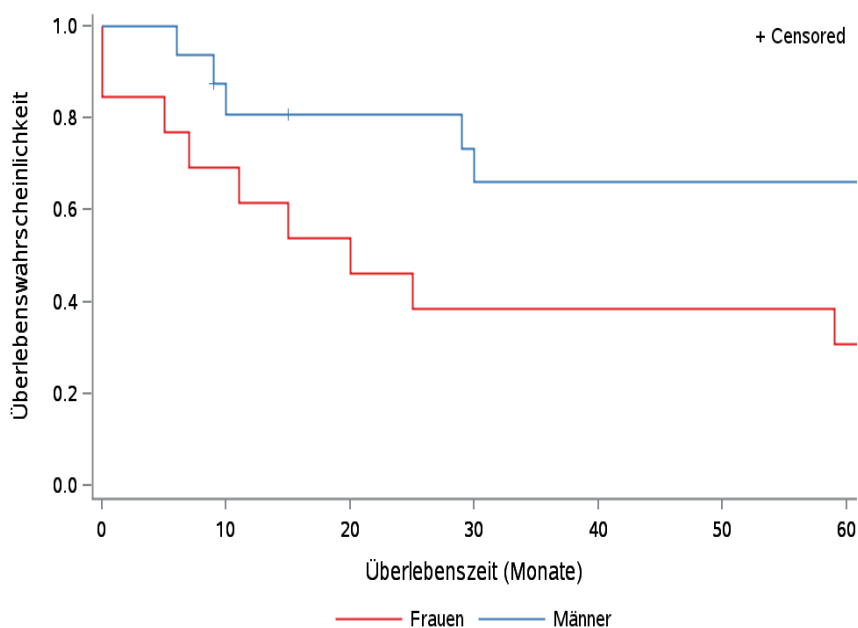


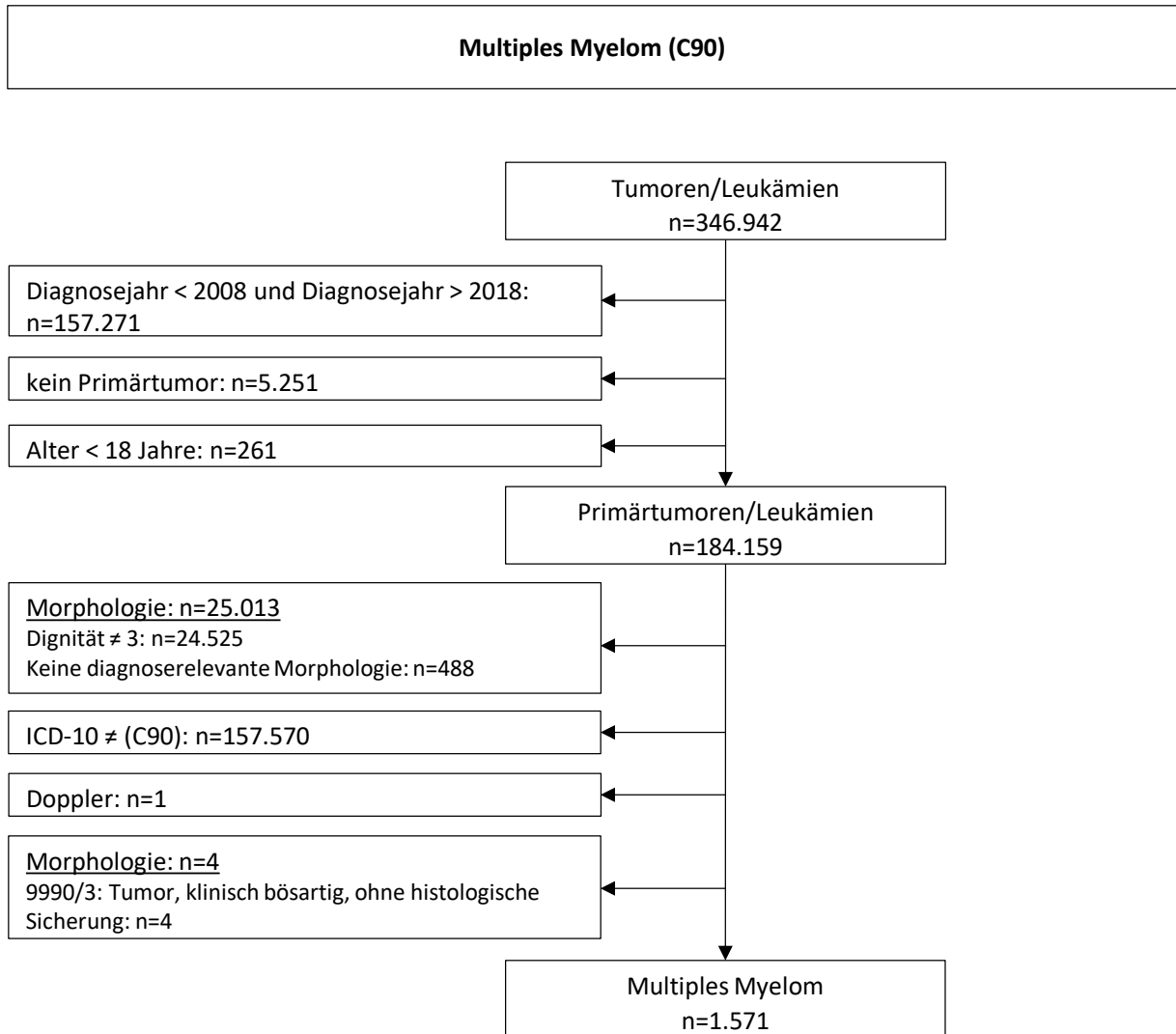
Abb.37.4. C86: Wahrscheinlichkeit des Überlebens (Kaplan-Meier-Analyse) nach Geschlecht im Diagnosezeitraum von 2008 bis 2013 (Wohnort). Kaplan-Meier-Kurven werden für Kategorien mit weniger als 10 Neuerkrankungen nicht dargestellt.

Tab. 37.9. C86: Anzahl der unter Risiko stehenden Neuerkrankungen (Monate nach Diagnose)

Geschlecht	0 Monate	20 Monate	40 Monate	60 Monate
Männer	16	11	9	9
Frauen	13	7	5	4

38 Multiples Myelom (C90)

38.1 Consort-Statement: Darstellung der Auswertepopulation

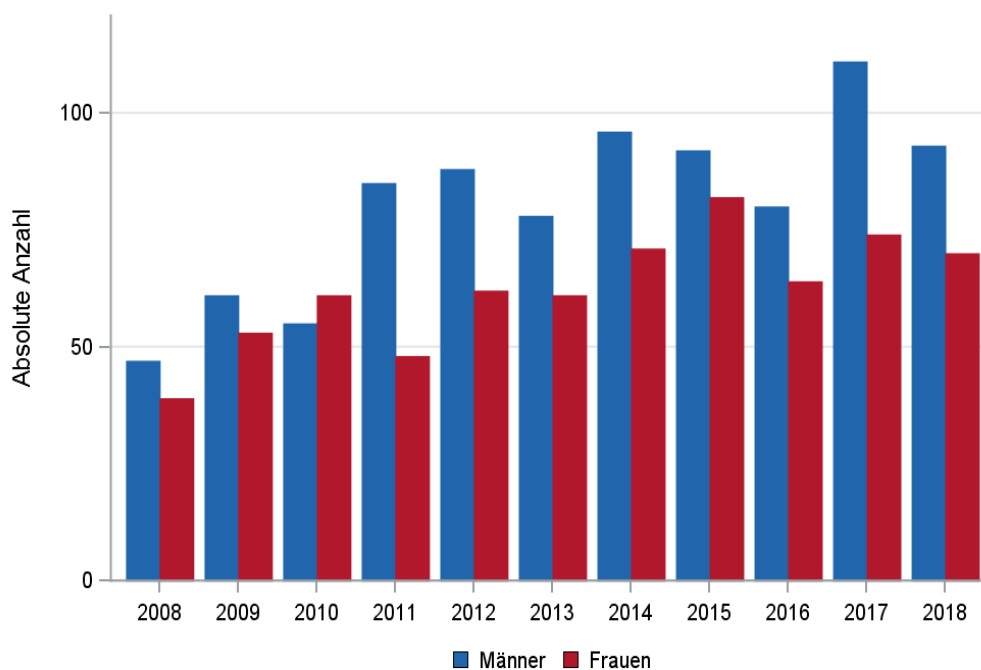


*Erläuterungen zu den Ausschlüssen finden Sie im Kapitel 4 (Methode)

38.2 Absolute Anzahl der erfassten Neuerkrankungen in M-V in den Jahren 2008 – 2018 nach Geschlecht (Behandlungsort, Wohnort)

Tab. 38.1. C90: Absolute Anzahl der Neuerkrankungen nach Geschlecht (Behandlungsort)

Diagnosejahr	Männer		Frauen		Summe
	Anzahl	%	Anzahl	%	
2008	47	54,7	39	45,3	86
2009	61	53,5	53	46,5	114
2010	55	47,4	61	52,6	116
2011	85	63,9	48	36,1	133
2012	88	58,7	62	41,3	150
2013	78	56,1	61	43,9	139
2014	96	57,5	71	42,5	167
2015	92	52,9	82	47,1	174
2016	80	55,6	64	44,4	144
2017	111	60,0	74	40,0	185
2018	93	57,1	70	42,9	163
Summe	886	56,4	685	43,6	1571

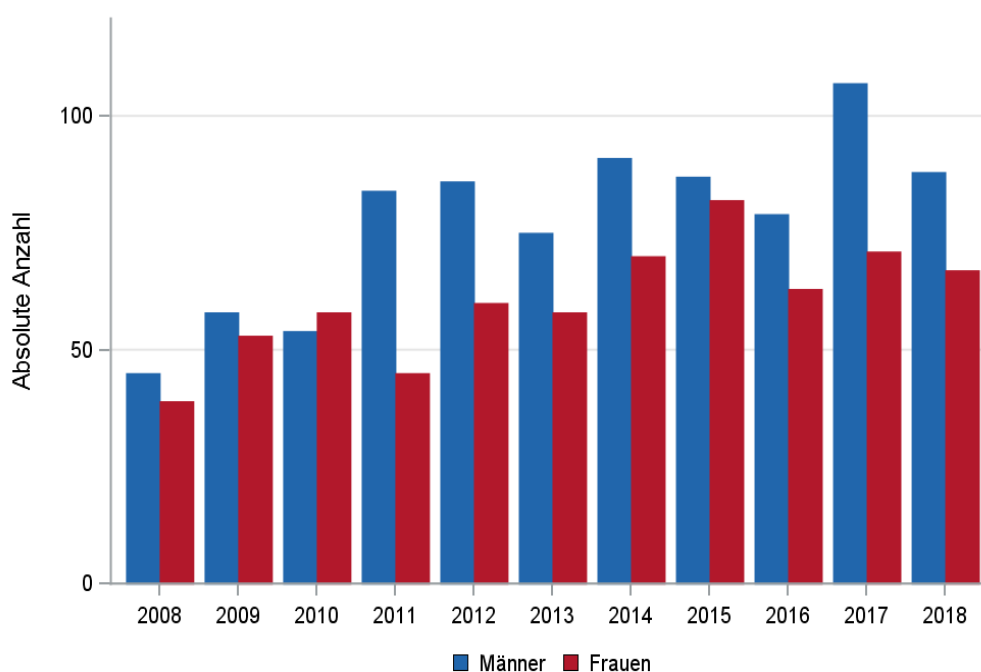


© KKR-MV 2020

Abb. 38.1. C90: Absolute Anzahl der Neuerkrankungen nach Geschlecht im Diagnosezeitraum 2008 bis 2018 (Behandlungsort)

Tab. 38.2. C90: Absolute Anzahl der Neuerkrankungen nach Geschlecht (Wohnort)

Diagnosejahr	Männer		Frauen		Summe
	Anzahl	%	Anzahl	%	
2008	45	53,6	39	46,4	84
2009	58	52,3	53	47,7	111
2010	54	48,2	58	51,8	112
2011	84	65,1	45	34,9	129
2012	86	58,9	60	41,1	146
2013	75	56,4	58	43,6	133
2014	91	56,5	70	43,5	161
2015	87	51,5	82	48,5	169
2016	79	55,6	63	44,4	142
2017	107	60,1	71	39,9	178
2018	88	56,8	67	43,2	155
Summe	854	56,2	666	43,8	1520



© KKR-MV 2020

Abb. 38.2. C90: Absolute Anzahl der Neuerkrankungen nach Geschlecht im Diagnosezeitraum 2008 bis 2018 (Wohnort)

38.3 Absolute Anzahl der erfassten Neuerkrankungen in M-V in den Jahren 2008 – 2018 nach Landkreisen (Wohnort)

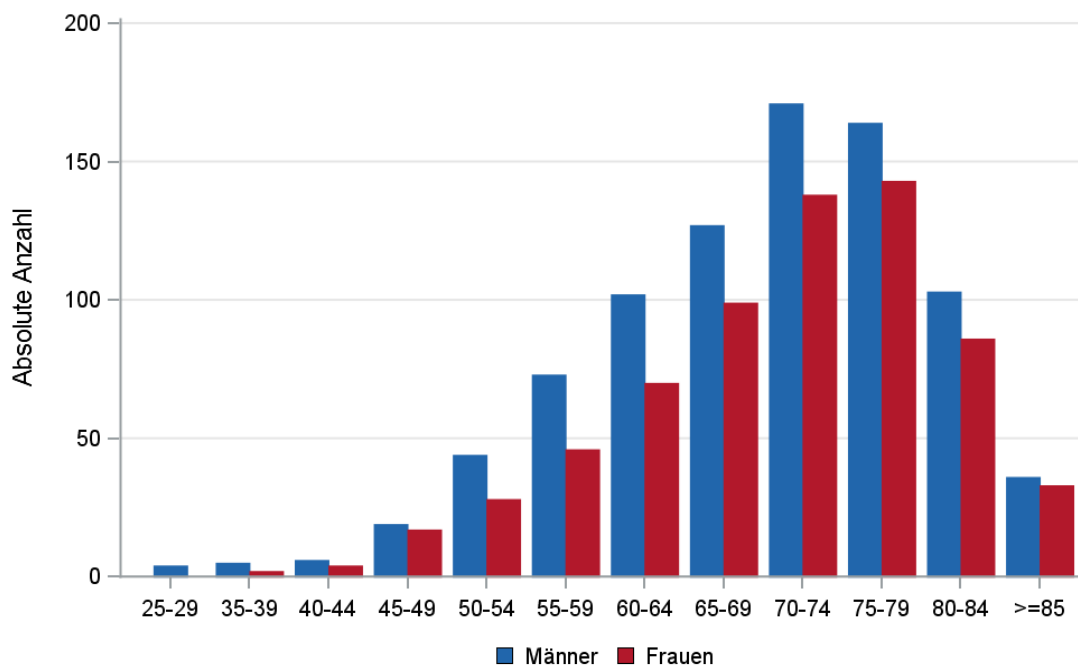
Tab. 38.3. C90: Absolute Anzahl und prozentualer Anteil der Neuerkrankungen nach Landkreisen

Landkreis	2008		2009		2010		2011		2012		2013		2014		2015		2016		2017		2018		Summe	
	Anzahl	%	Anzahl	%	Anzahl	%	Anzahl	%	Anzahl	%	Anzahl	%	Anzahl	%	Anzahl	%	Anzahl	%	Anzahl	%	Anzahl	%	Anzahl	%
Landkreis Rostock	6	7,1	14	12,6	13	11,6	20	15,5	25	17,1	21	15,8	26	16,1	33	19,5	23	16,2	30	16,9	21	13,5	232	15,3
Ludwigslust-Parchim	14	16,7	16	14,4	6	5,4	11	8,5	21	14,4	9	6,8	15	9,3	16	9,5	18	12,7	17	9,6	16	10,3	159	10,5
Mecklenburgische Seenplatte	18	21,4	19	17,1	22	19,6	25	19,4	16	11,0	16	12,0	23	14,3	22	13,0	9	6,3	17	9,6	22	14,2	209	13,8
Nordwestmecklenburg	8	9,5	6	5,4	9	8,0	11	8,5	13	8,9	12	9,0	18	11,2	16	9,5	10	7,0	17	9,6	11	7,1	131	8,6
Rostock	3	3,6	12	10,8	18	16,1	19	14,7	21	14,4	22	16,5	23	14,3	22	13,0	22	15,5	30	16,9	24	15,5	216	14,2
Schwerin	9	10,7	10	9,0	7	6,3	9	7,0	4	2,7	5	3,8	8	5,0	11	6,5	7	4,9	8	4,5	15	9,7	93	6,1
Vorpommern-Greifswald	11	13,1	19	17,1	21	18,8	23	17,8	24	16,4	29	21,8	18	11,2	28	16,6	28	19,7	30	16,9	24	15,5	255	16,8
Vorpommern-Rügen	15	17,9	15	13,5	15	13,4	11	8,5	21	14,4	15	11,3	28	17,4	19	11,2	24	16,9	28	15,7	22	14,2	213	14,0
nicht zuordenbar	0	0	0	0	1	0,9	0	0	1	0,7	4	3,0	2	1,2	2	1,2	1	0,7	1	0,6	0	0	12	0,8
Summe	84	100,0	111	100,0	112	100,0	129	100,0	146	100,0	133	100,0	161	100,0	169	100,0	142	100,0	178	100,0	155	100,0	1520	100,0

38.4 Rohe und standardisierte Neuerkrankungsraten pro 100.000 Einwohner in den Jahren 2008-2018 (Wohnort)

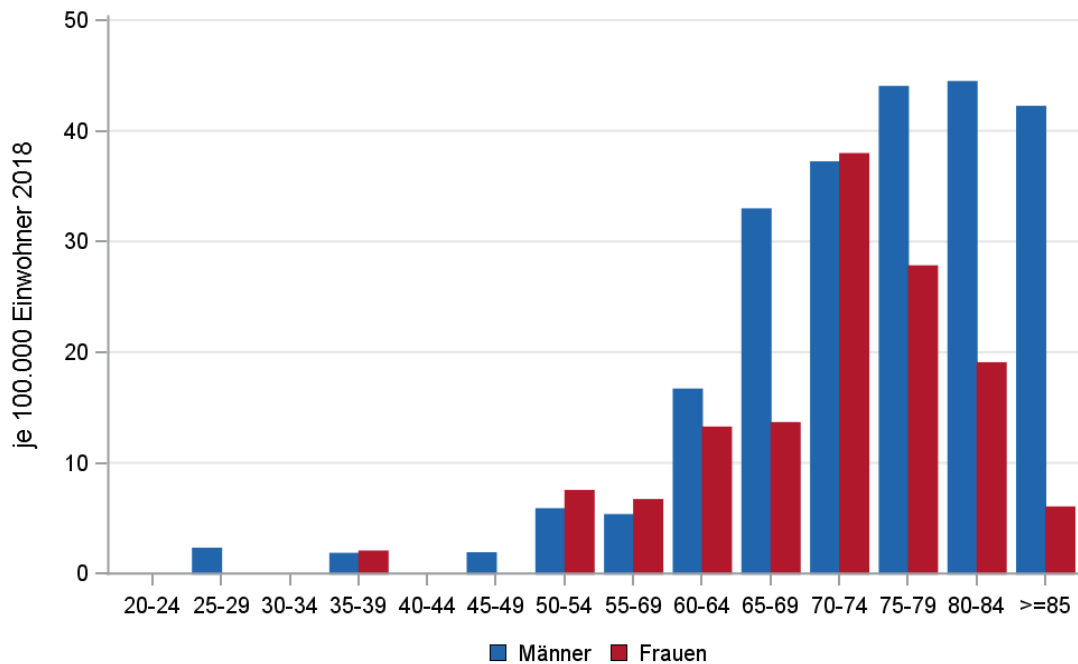
Tab. 38.4. C90: Neuerkrankungsrate/100.000 Einwohner (Alter > 19)

Diagnosejahr	Männer			Frauen		
	absolute Anzahl der Neuerkrankungen	rohe Rate in M-V	altersstandardisierte Rate	absolute Anzahl der Neuerkrankungen	rohe Rate in M-V	altersstandardisierte Rate
2008	45	6,5	5,2	39	5,5	3,6
2009	58	8,4	6,9	53	7,4	4,8
2010	54	7,8	6,1	58	8,2	5,3
2011	84	12,5	9,2	45	6,4	3,6
2012	86	12,9	9,6	60	8,6	5,3
2013	75	11,3	7,8	58	8,4	5,1
2014	91	13,8	10,1	70	10,2	6,5
2015	87	13,2	9,4	82	11,9	6,9
2016	79	12,0	8,2	63	9,2	5,5
2017	107	16,3	10,3	71	10,4	5,6
2018	88	13,4	8,7	67	9,8	6,0
2008-2018	854	11,6	8,3	666	8,7	5,3



© KKR-MV 2020

Abb. 38.3. C90: Absolute Anzahl der Neuerkrankungen aufgelistet in 5-Jahres-Altersgruppen und nach Geschlecht im Diagnosezeitraum 2008 bis 2018 (Wohnort)



© KKR-MV 2020

Abb. 38.4. C90: Altersspezifische Rate der Neuerkrankungen je 100.000 Einwohner (Diagnosejahr 2018) nach 5-Jahres-Altersgruppen und Geschlecht (Wohnort)

38.5 Alter der in den Jahren 2008 - 2018 in M-V neuerkrankten Patienten (Behandlungsort)

Tab. 38.5. C90: Erkrankungsalter (Behandlungsort)

Diagnosejahr	Männer				Frauen			
	Anzahl	Median	Minimum	Maximum	Anzahl	Median	Minimum	Maximum
2008	47	68	42	81	39	69	45	87
2009	61	70	38	88	53	73	41	88
2010	55	72	37	87	61	71	46	94
2011	85	72	28	87	48	72	49	87
2012	88	70	38	85	62	73	40	88
2013	78	71	31	87	61	72	36	84
2014	96	70	28	88	71	71	43	87
2015	92	72	37	90	82	73	42	87
2016	80	72	35	90	64	71	46	96
2017	111	74	44	89	74	75	49	88
2018	93	72	26	90	70	72	39	89

38.6 Histologische Befunde bei allen neuerkrankten Patienten in M-V in den Jahren 2008 – 2018

Tab. 38.6. C90: Histologische Befunde bei neuerkrankten Patienten (Behandlungsort)

Histologiecode	Anzahl	Prozent
9732/3: Multiples Myelom	977	62,2
9731/3: Plasmozytom o.n.A.	568	36,2
9733/3: Plasmazell-Leukämie	9	0,6
9734/3: Extramedulläres Plasmozytom	17	1,1
Multiple Myelome	1571	100,0

38.7 Klinische Stadien

Tab. 38.7. C90: International Staging System (ISS und revised ISS) (Behandlungsort)

Jahre	Stadium I		Stadium II		Stadium III		k.A.		Summe	
	Anzahl	%	Anzahl	%	Anzahl	%	Anzahl	%	Anzahl	%
2008	4	4,7	2	2,3	1	1,2	79	91,9	86	100,0
2009	2	1,8	0	0	2	1,8	110	96,5	114	100,0
2010	0	0	1	0,9	4	3,4	111	95,7	116	100,0
2011	6	4,5	8	6,0	7	5,3	112	84,2	133	100,0
2012	6	4,0	9	6,0	14	9,3	121	80,7	150	100,0
2013	10	7,2	9	6,5	16	11,5	104	74,8	139	100,0
2014	10	6,0	12	7,2	12	7,2	133	79,6	167	100,0
2015	6	3,4	4	2,3	17	9,8	147	84,5	174	100,0
2016	1	0,7	4	2,8	9	6,3	130	90,3	144	100,0
2017	9	4,9	5	2,7	14	7,6	157	84,9	185	100,0
2018	7	4,3	5	3,1	6	3,7	145	89,0	163	100,0
Summe	61	3,9	59	3,8	102	6,5	1349	85,9	1571	100,0

38.8 Dokumentierte Therapie bis max. 12 Monate nach Diagnosestellung

38.8.1 Therapiekombinationen und Intention der dokumentierten Therapien

Tab. 38.9. C90: Therapiekombinationen (Strahlentherapie, systemische Therapie) pro Diagnosejahr (Behandlungsort)

Therapiekombinationen	2008	2009	2010	2011	2012	2013	2014	2015	2016	2017	2018	Summe
Alleinige systemische Therapie	48	60	57	66	65	70	99	99	80	107	103	854
Alleinige Strahlentherapie	4	6	10	6	9	4	6	5	3	9	5	67
Systemische Therapie und Strahlentherapie	14	21	21	24	33	26	27	38	27	39	17	287
Keine systemische Therapie oder Strahlentherapie	20	27	28	37	43	39	35	32	34	30	38	363
Summe	86	114	116	133	150	139	167	174	144	185	163	1571

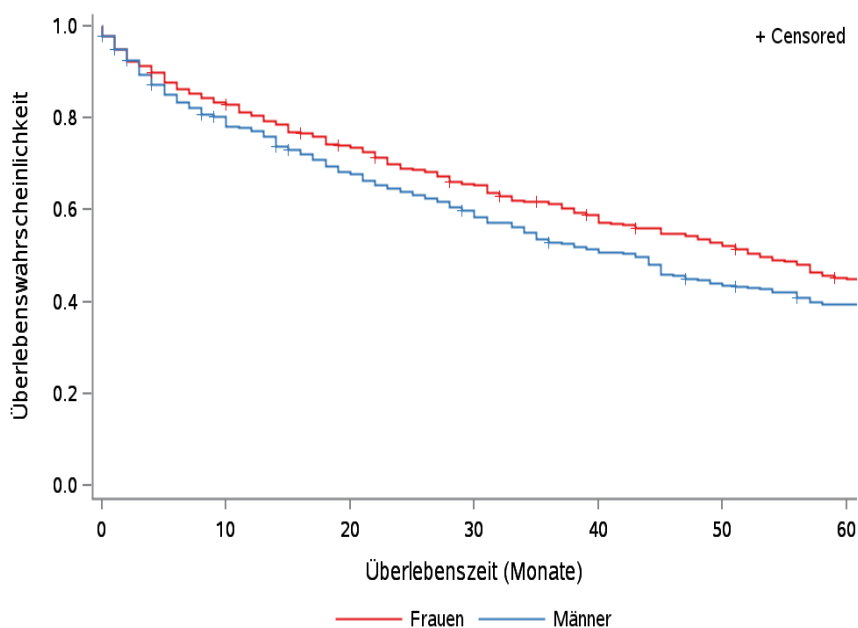
Tab. 38.10. C90: Intention bei der ersten systemischen Therapie (Behandlungsort)

Intention der systemischen Therapie	2008	2009	2010	2011	2012	2013	2014	2015	2016	2017	2018	Summe
Palliativ bzw. symptomatisch	19	33	34	50	46	35	44	52	43	64	65	485
Kurativ	13	18	25	24	28	39	46	58	39	50	36	376
Sonstige/Unbekannt/Keine Angabe	30	30	19	16	24	22	36	27	25	32	19	280
Summe	62	81	78	90	98	96	126	137	107	146	120	1141

Tab. 38.11. C90: Zeitraum zwischen Diagnose und Beginn der ersten Therapie nach Therapieart (Angaben in Tagen, Behandlungsort)

Therapie	Anzahl	Median	Minimum	Maximum
Diagnose und erste system. Therapie	1141	15	0	357

38.9 Überlebensanalysen bei den in den Jahren 2008 – 2013 primär diagnostizierten Patienten



© KKR-MV 2020

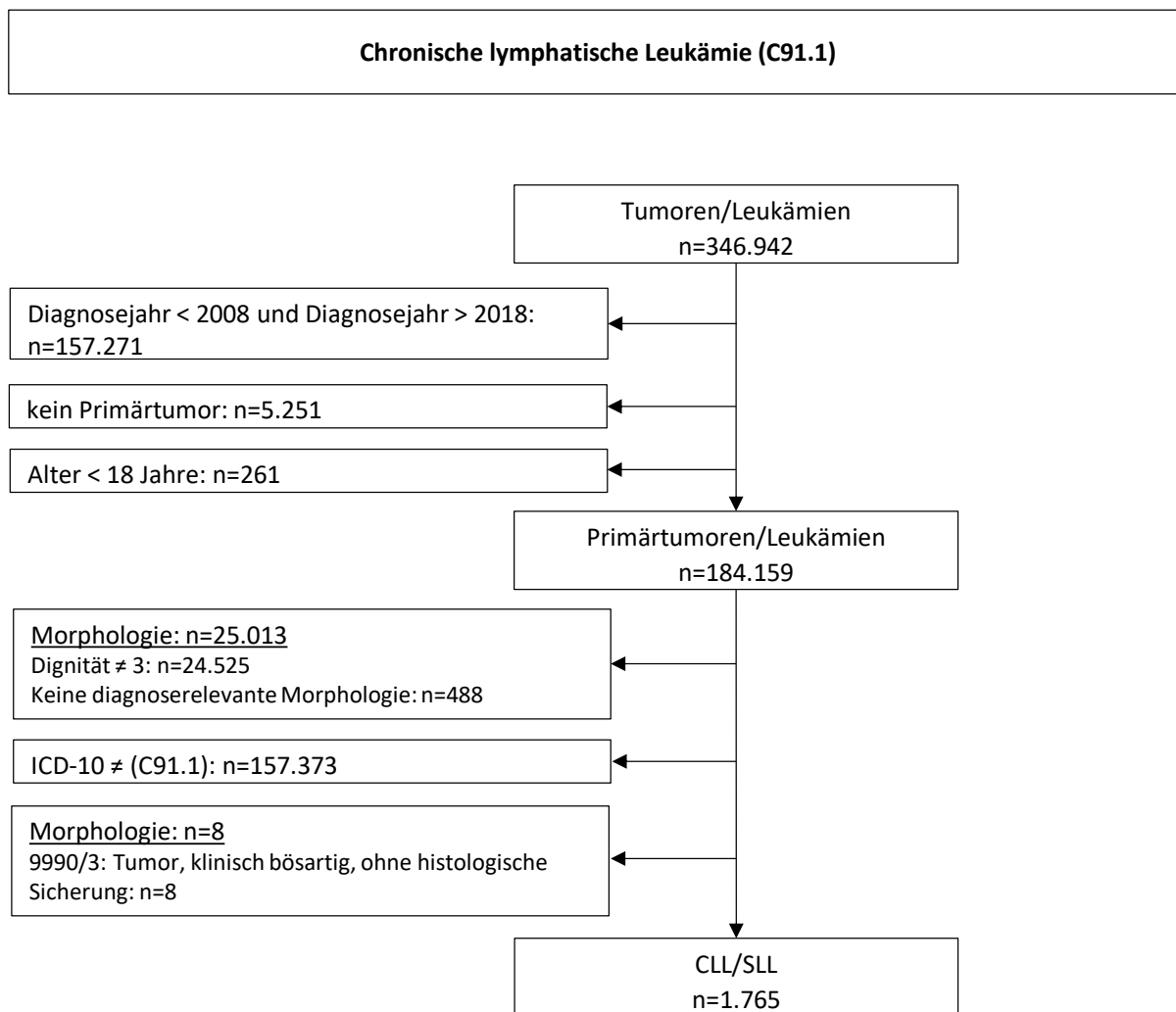
Abb. 38.5. C90: Wahrscheinlichkeit des Überlebens (Kaplan-Meier-Analyse) nach Geschlecht im Diagnosezeitraum von 2008 bis 2013 (Wohnort). Kaplan-Meier-Kurven werden für Kategorien mit weniger als 10 Neuerkrankungen nicht dargestellt.

Tab. 38.12. C90: Anzahl der unter Risiko stehenden Neuerkrankungen (Monate nach Diagnose)

Geschlecht	0 Monate	20 Monate	40 Monate	60 Monate
Männer	400	267	199	150
Frauen	309	225	174	131

39 Chronische lymphatische Leukämie (CLL/SLL) (C91.1)

39.1 Consort-Statement: Darstellung der Auswertepopulation



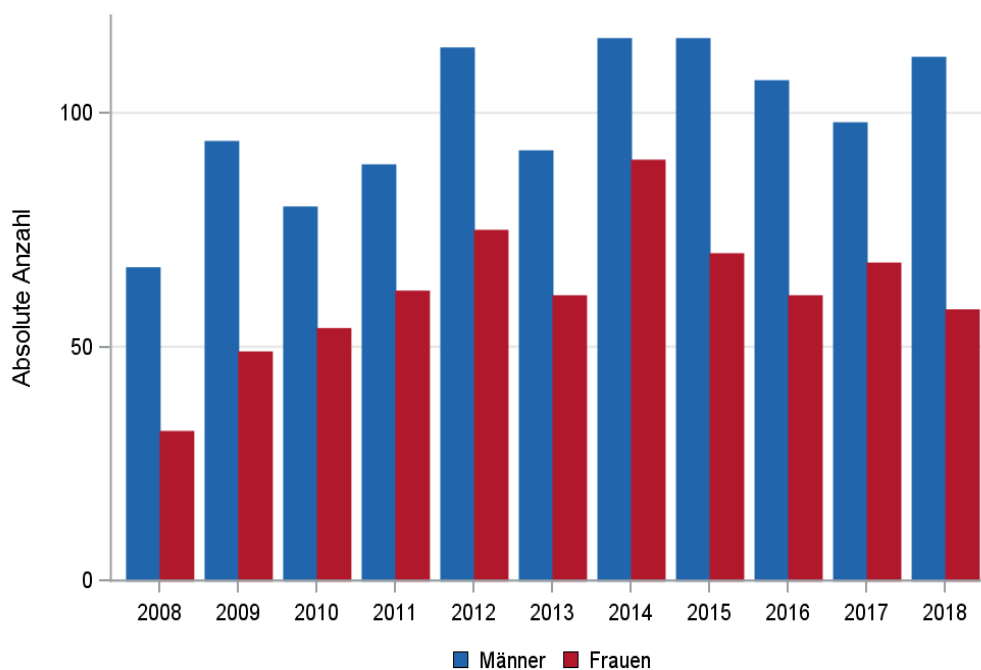
*Erläuterungen zu den Ausschlüssen finden Sie im Kapitel 4 (Methode)

Im vorliegenden Bericht wurde das kleinzellige lymphozytische Lymphom (SSL) [9670/3: Kleinzelliges lymphozytisches B-Zell-Lymphom o.n.A.] mit der chronischen lymphatischen Leukämie - wie bisher - in Übereinstimmung mit Pathologen und Hämatologen/Onkologen nach ICD-10 mit C91.1 verschlüsselt. (G. Ott, 2019)

39.2 Absolute Anzahl der erfassten Neuerkrankungen in M-V in den Jahren 2008 – 2018 nach Geschlecht (Behandlungsort, Wohnort)

Tab. 39.1. C91.1: Absolute Anzahl der Neuerkrankungen nach Geschlecht (Behandlungsort)

Diagnosejahr	Männer		Frauen		Summe
	Anzahl	%	Anzahl	%	
2008	67	67,7	32	32,3	99
2009	94	65,7	49	34,3	143
2010	80	59,7	54	40,3	134
2011	89	58,9	62	41,1	151
2012	114	60,3	75	39,7	189
2013	92	60,1	61	39,9	153
2014	116	56,3	90	43,7	206
2015	116	62,4	70	37,6	186
2016	107	63,7	61	36,3	168
2017	98	59,0	68	41,0	166
2018	112	65,9	58	34,1	170
Summe	1085	61,5	680	38,5	1765

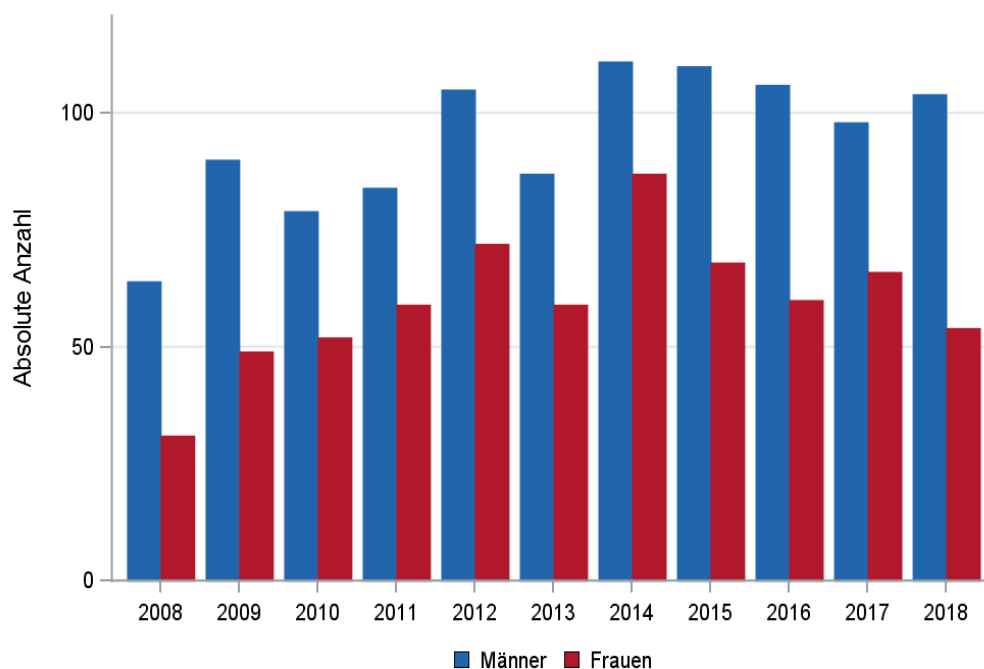


© KKR-MV 2020

Abb. 39.1. C91.1: Absolute Anzahl der Neuerkrankungen nach Geschlecht im Diagnosezeitraum 2008 bis 2018 (Behandlungsort)

Tab. 39.2. C91.1: Absolute Anzahl der Neuerkrankungen nach Geschlecht (Wohnort)

Diagnosejahr	Männer		Frauen		Summe
	Anzahl	%	Anzahl	%	
2008	64	67,4	31	32,6	95
2009	90	64,7	49	35,3	139
2010	79	60,3	52	39,7	131
2011	84	58,7	59	41,3	143
2012	105	59,3	72	40,7	177
2013	87	59,6	59	40,4	146
2014	111	56,1	87	43,9	198
2015	110	61,8	68	38,2	178
2016	106	63,9	60	36,1	166
2017	98	59,8	66	40,2	164
2018	104	65,8	54	34,2	158
Summe	1038	61,2	657	38,8	1695



© KKR-MV 2020

Abb. 39.2. C91.1: Absolute Anzahl der Neuerkrankungen nach Geschlecht im Diagnosezeitraum 2008 bis 2018 (Wohnort)

39.3 Absolute Anzahl der erfassten Neuerkrankungen in M-V in den Jahren 2008 – 2018 nach Landkreisen (Wohnort)

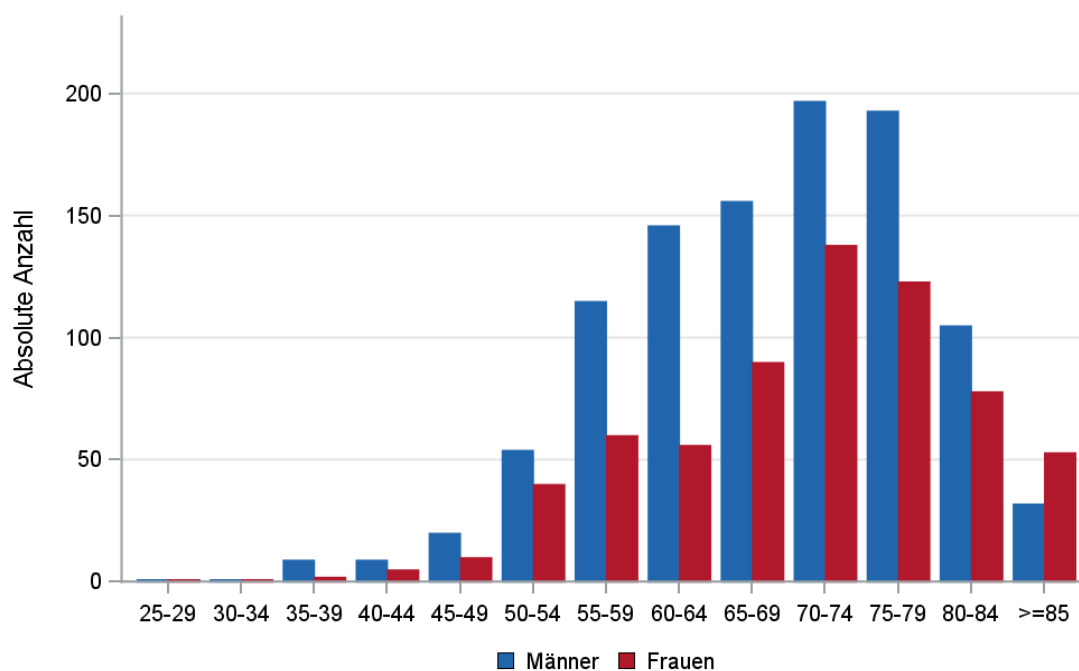
Tab. 39.3. C91.1: Absolute Anzahl und prozentualer Anteil der Neuerkrankungen nach Landkreisen

Landkreis	2008		2009		2010		2011		2012		2013		2014		2015		2016		2017		2018		Summe	
	Anzahl	%	Anzahl	%	Anzahl	%	Anzahl	%	Anzahl	%	Anzahl	%	Anzahl	%	Anzahl	%	Anzahl	%	Anzahl	%	Anzahl	%	Anzahl	%
Landkreis Rostock	7	7,4	23	16,5	9	6,9	15	10,5	29	16,4	21	14,4	39	19,7	30	16,9	32	19,3	21	12,8	20	12,7	246	14,5
Ludwigslust-Parchim	11	11,6	14	10,1	10	7,6	14	9,8	18	10,2	13	8,9	25	12,6	14	7,9	24	14,5	14	8,5	9	5,7	166	9,8
Mecklenburgische Seenplatte	19	20,0	26	18,7	30	22,9	30	21,0	31	17,5	22	15,1	23	11,6	24	13,5	6	3,6	29	17,7	18	11,4	258	15,2
Nordwestmecklenburg	5	5,3	9	6,5	12	9,2	11	7,7	17	9,6	15	10,3	18	9,1	20	11,2	17	10,2	22	13,4	23	14,6	169	10,0
Rostock	9	9,5	17	12,2	31	23,7	19	13,3	23	13,0	24	16,4	14	7,1	24	13,5	21	12,7	24	14,6	25	15,8	231	13,6
Schwerin	10	10,5	5	3,6	8	6,1	4	2,8	13	7,3	12	8,2	18	9,1	12	6,7	14	8,4	10	6,1	14	8,9	120	7,1
Vorpommern-Greifswald	25	26,3	33	23,7	20	15,3	36	25,2	26	14,7	27	18,5	38	19,2	26	14,6	21	12,7	20	12,2	20	12,7	292	17,2
Vorpommern-Rügen	8	8,4	12	8,6	11	8,4	13	9,1	20	11,3	12	8,2	22	11,1	28	15,7	31	18,7	24	14,6	29	18,4	210	12,4
nicht zuordenbar	1	1,1	0	0	0	0	1	0,7	0	0	0	0	1	0,5	0	0	0	0	0	0	0	0	3	0,2
Summe	95	100,0	139	100,0	131	100,0	143	100,0	177	100,0	146	100,0	198	100,0	178	100,0	166	100,0	164	100,0	158	100,0	1695	100,0

39.4 Rohe und standardisierte Neuerkrankungsraten pro 100.000 Einwohner in den Jahren 2008-2018 (Wohnort)

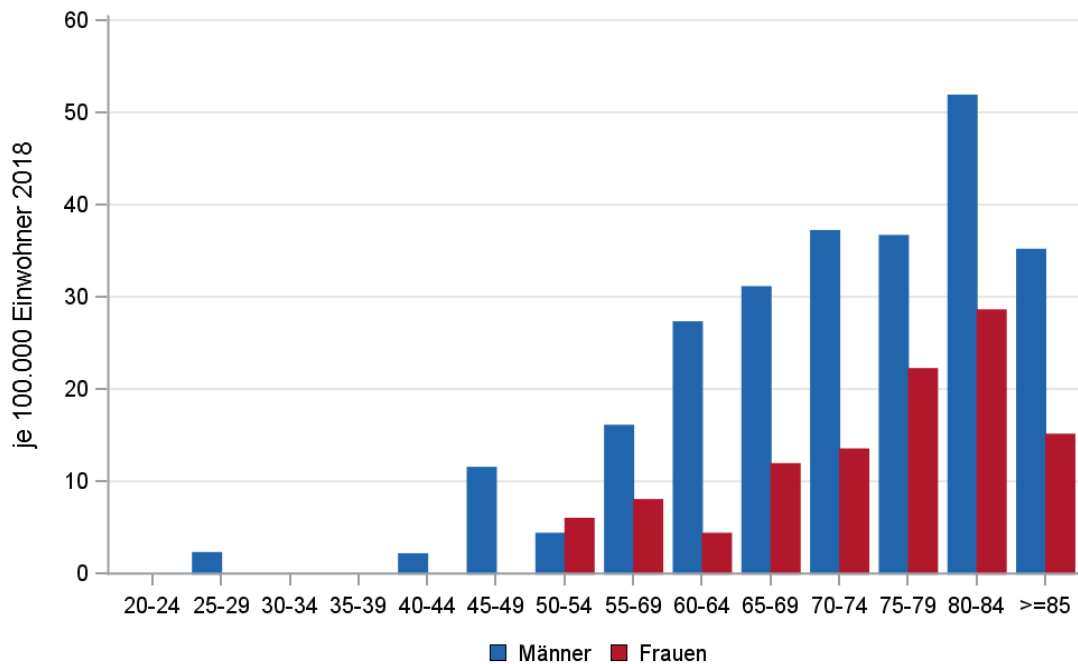
Tab. 39.4. C91.1: Neuerkrankungsraten/100.000 Einwohner (Alter > 19)

Diagnosejahr	Männer			Frauen		
	absolute Anzahl der Neuerkrankungen	rohe Rate in M-V	altersstandardisierte Rate	absolute Anzahl der Neuerkrankungen	rohe Rate in M-V	altersstandardisierte Rate
2008	64	9,2	7,8	31	4,3	2,8
2009	90	13,0	10,1	49	6,9	4,9
2010	79	11,5	9,1	52	7,3	4,3
2011	84	12,5	9,6	59	8,4	5,2
2012	105	15,8	11,7	72	10,3	7,4
2013	87	13,1	9,4	59	8,5	4,5
2014	111	16,8	11,4	87	12,6	8,0
2015	110	16,6	11,7	68	9,9	5,7
2016	106	16,0	10,5	60	8,7	4,9
2017	98	14,9	10,2	66	9,6	5,8
2018	104	15,9	10,9	54	7,9	4,1
2008-2018	1038	14,1	10,2	657	8,6	5,2



© KKR-MV 2020

Abb. 39.3. C91.1: Absolute Anzahl der Neuerkrankungen aufgelistet in 5-Jahres-Altersgruppen und nach Geschlecht im Diagnosezeitraum 2008 bis 2018 (Wohnort)



© KKR-MV 2020

Abb. 39.4. C91.1: Altersspezifische Rate der Neuerkrankungen je 100.000 Einwohner (Diagnosejahr 2018) nach 5-Jahres-Altersgruppen und Geschlecht (Wohnort)

39.5 Alter der in den Jahren 2008 - 2018 in M-V neuerkrankten Patienten (Behandlungsort)

Tab. 39.5. C91.1: Erkrankungsalter (Behandlungsort)

Diagnosejahr	Männer				Frauen			
	Anzahl	Median	Minimum	Maximum	Anzahl	Median	Minimum	Maximum
2008	67	69	38	88	32	71	40	88
2009	94	68	40	84	49	68	48	84
2010	80	69	38	90	54	72	44	90
2011	89	69	48	88	62	71	49	92
2012	114	71	35	89	75	69	28	87
2013	92	70	35	86	61	74	45	94
2014	116	70	47	87	90	72	32	90
2015	116	72	34	95	70	72	46	93
2016	107	73	44	95	61	73	51	92
2017	98	70	35	91	68	74	38	95
2018	112	67	29	92	58	77	50	91

39.6 Histologische Befunde bei allen neuerkrankten Patienten in M-V in den Jahren 2008 – 2018

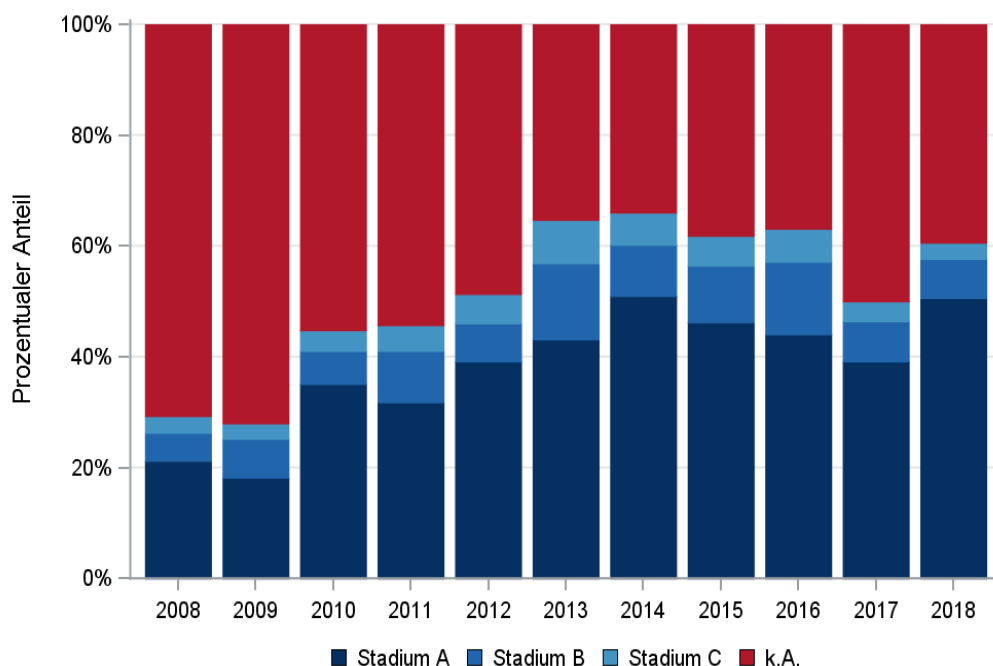
Tab. 39.6. C91.1: Histologische Befunde bei Patienten mit einer chronischen lymphatischen Leukämie (CLL) bzw. einem kleinzelligen lymphozytischen B-Zell-Lymphom (SLL) (Behandlungsort)

Histologiecode	Anzahl	Prozent	ICD-10
9823/3: Chronische lymphatische B-Zell-Leukämie/kleinzelliges lymphozytisches Lymphom	1686	95,5	C91.1
9670/3: Kleinzelliges lymphozytisches B-Zell-Lymphom o.n.A.	79	4,5	
CLL/SLL	1765	100,0	

39.7 Klinische Stadien

Tab. 39.7. C91.1: Primäre Binet-Klassifikation (Behandlungsort)

Jahre	Stadium A		Stadium B		Stadium C		k.A.		Summe	
	Anzahl	%	Anzahl	%	Anzahl	%	Anzahl	%	Anzahl	%
2008	21	21,2	5	5,1	3	3,0	70	70,7	99	100,0
2009	26	18,2	10	7,0	4	2,8	103	72,0	143	100,0
2010	47	35,1	8	6,0	5	3,7	74	55,2	134	100,0
2011	48	31,8	14	9,3	7	4,6	82	54,3	151	100,0
2012	74	39,2	13	6,9	10	5,3	92	48,7	189	100,0
2013	66	43,1	21	13,7	12	7,8	54	35,3	153	100,0
2014	105	51,0	19	9,2	12	5,8	70	34,0	206	100,0
2015	86	46,2	19	10,2	10	5,4	71	38,2	186	100,0
2016	74	44,0	22	13,1	10	6,0	62	36,9	168	100,0
2017	65	39,2	12	7,2	6	3,6	83	50,0	166	100,0
2018	86	50,6	12	7,1	5	2,9	67	39,4	170	100,0
Summe	698	39,5	155	8,8	84	4,8	828	46,9	1765	100,0



© KKR-MV 2020

Abb. 39.5. C91.1: Prozentuale Anteile der Binet-Klassifikation in den Diagnosejahren 2008 bis 2018

39.8 Dokumentierte Therapie bis max. 12 Monate nach Diagnosestellung

39.8.1 Therapiekombinationen der dokumentierten Therapien

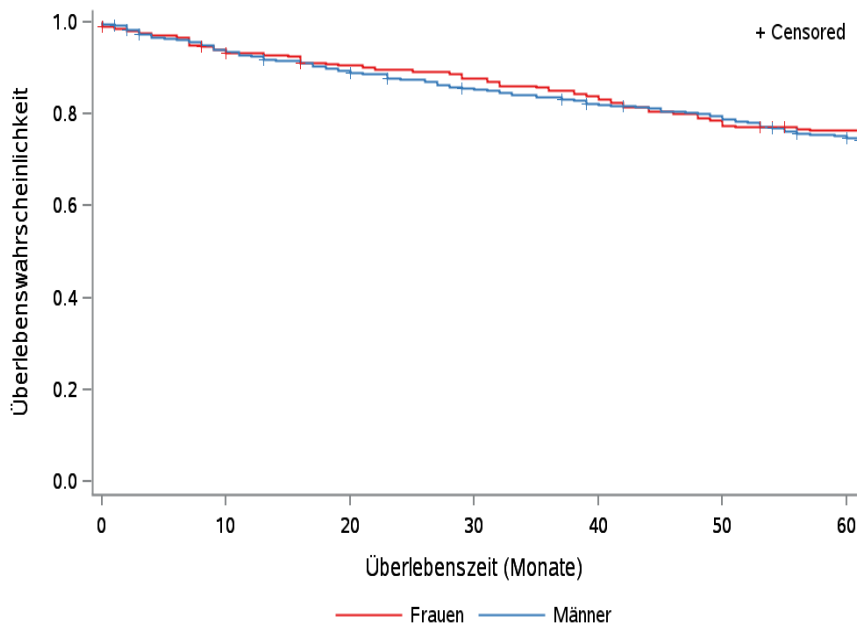
Tab. 39.8. C91.1: Therapiekombinationen (Strahlentherapie, systemische Therapie) pro Diagnosejahr (Behandlungsort)

Therapiekombinationen	2008	2009	2010	2011	2012	2013	2014	2015	2016	2017	2018	Summe
Alleinige systemische Therapie	29	38	37	36	63	39	64	94	112	97	94	703
Alleinige Strahlentherapie	0	0	0	0	1	0	0	2	0	1	0	4
Systemische Therapie und Strahlentherapie	1	0	0	1	0	1	0	1	0	1	0	5
Keine systemische Therapie oder Strahlentherapie	69	105	97	114	125	113	142	89	56	67	76	1053
Summe	99	143	134	151	189	153	206	186	168	166	170	1765

Tab. 39.9. C91.1: Zeitraum zwischen Diagnose und Beginn der ersten Therapie nach Therapieart (Angaben in Tagen, Behandlungsort)

Therapie	Anzahl	Median	Minimum	Maximum
Diagnose und erste Bestrahlung	9	32	7	133
Diagnose und erste system. Therapie	708	22	0	365

39.9 Überlebensanalysen bei den in den Jahren 2008 – 2013 primär diagnostizierten Patienten

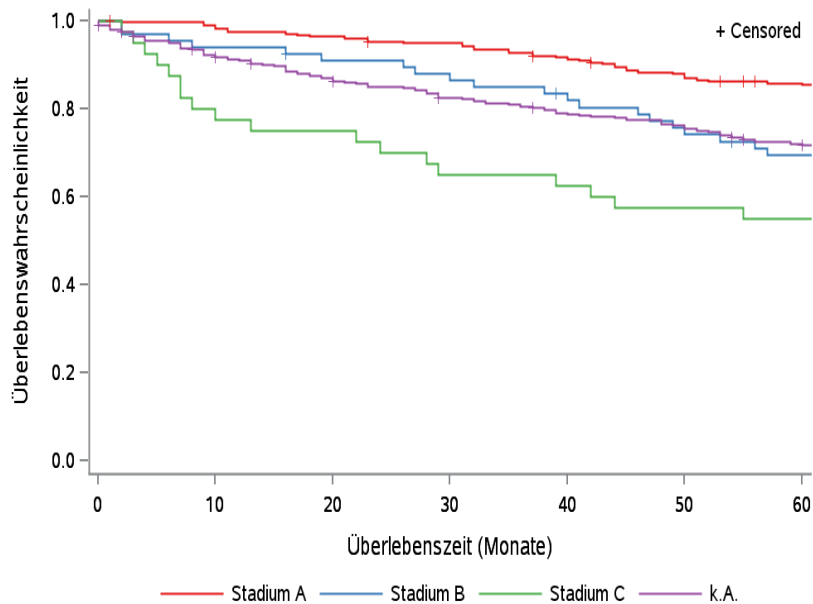


© KKR-MV 2020

Abb.39.6. C91.1: Wahrscheinlichkeit des Überlebens (Kaplan-Meier-Analyse) nach Geschlecht im Diagnosezeitraum von 2008 bis 2013 (Wohnort). Kaplan-Meier-Kurven werden für Kategorien mit weniger als 10 Neuerkrankungen nicht dargestellt.

Tab. 39.10. C91.1: Anzahl der unter Risiko stehenden Neuerkrankungen (Monate nach Diagnose)

Geschlecht	0 Monate	20 Monate	40 Monate	60 Monate
Männer	507	450	407	369
Frauen	318	284	263	236



© KKR-MV 2020

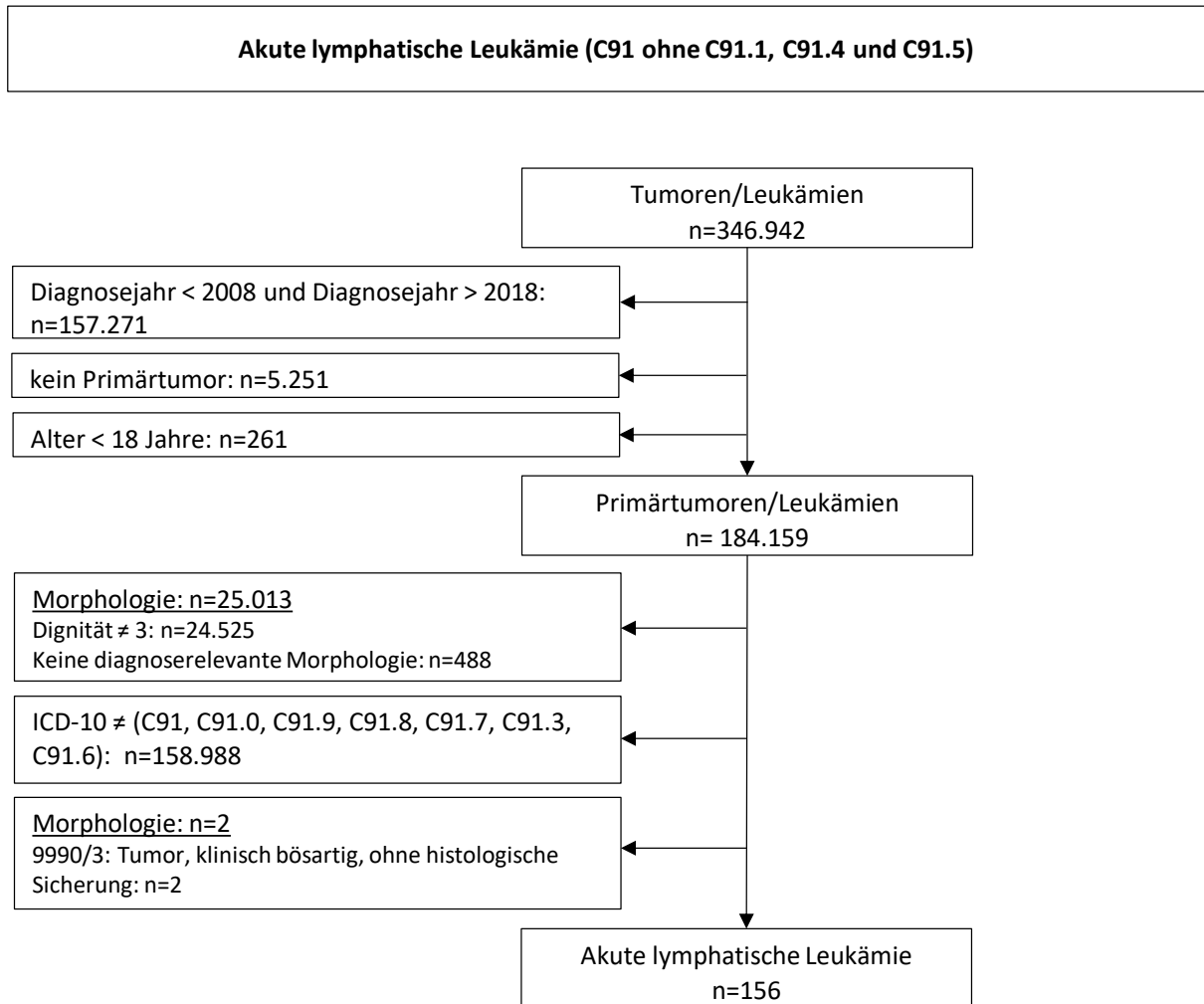
Abb.39.7. C91.1: Wahrscheinlichkeit des Überlebens (Kaplan-Meier-Analyse) nach Binet-Stadium im Diagnosezeitraum von 2008 bis 2013 (Wohnort). Kaplan-Meier-Kurven werden für Kategorien mit weniger als 10 Neuerkrankungen nicht dargestellt.

Tab. 39.11. C91.1: Anzahl der unter Risiko stehenden Neuerkrankungen nach Binet-Stadium (Monate nach Diagnose)

Binet-Stadium	0 Monate	20 Monate	40 Monate	60 Monate
Stadium A	277	266	251	231
Stadium B	67	60	54	44
Stadium C	40	30	25	22
k.A.	441	378	340	308

40 Akute lymphatische Leukämie (C91 ohne C91.1, C91.4 und C91.5)

40.1 Consort-Statement: Darstellung der Auswertepopulation

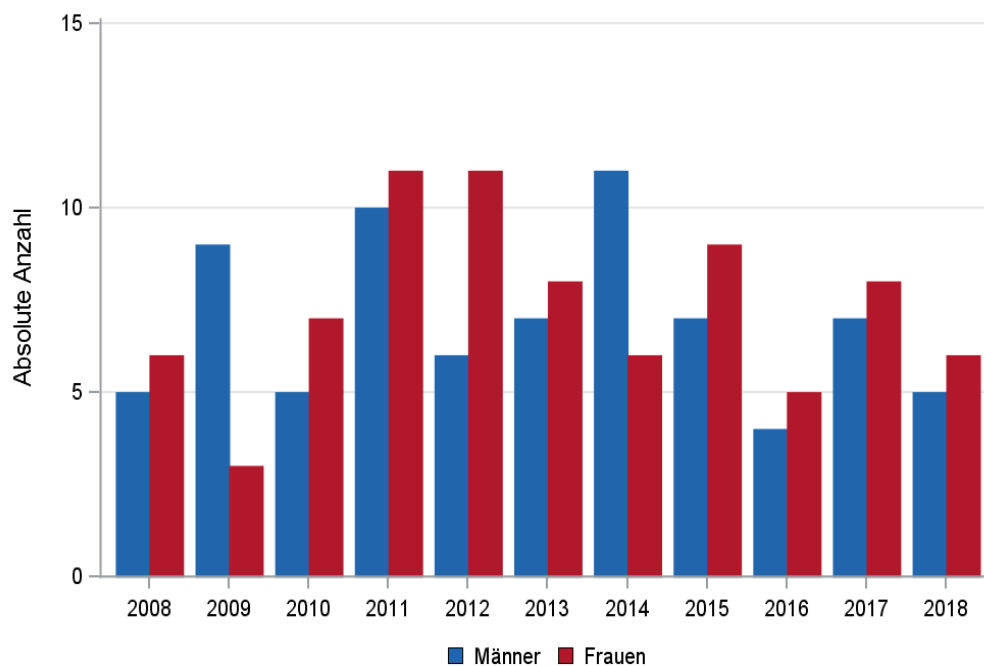


* Erläuterungen zu den Ausschlüssen finden Sie im Kapitel 4 (Methode)

40.2 Absolute Anzahl der erfassten Neuerkrankungen in M-V in den Jahren 2008 – 2018 nach Geschlecht (Behandlungsort, Wohnort)

Tab. 40.1. C91 (ohne C91.1, C91.4 und C91.5): Absolute Anzahl der Neuerkrankungen nach Geschlecht (Behandlungsort)

Diagnosejahr	Männer		Frauen		Summe
	Anzahl	%	Anzahl	%	
2008	5	45,5	6	54,5	11
2009	9	75,0	3	25,0	12
2010	5	41,7	7	58,3	12
2011	10	47,6	11	52,4	21
2012	6	35,3	11	64,7	17
2013	7	46,7	8	53,3	15
2014	11	64,7	6	35,3	17
2015	7	43,8	9	56,3	16
2016	4	44,4	5	55,6	9
2017	7	46,7	8	53,3	15
2018	5	45,5	6	54,5	11
Summe	76	48,7	80	51,3	156

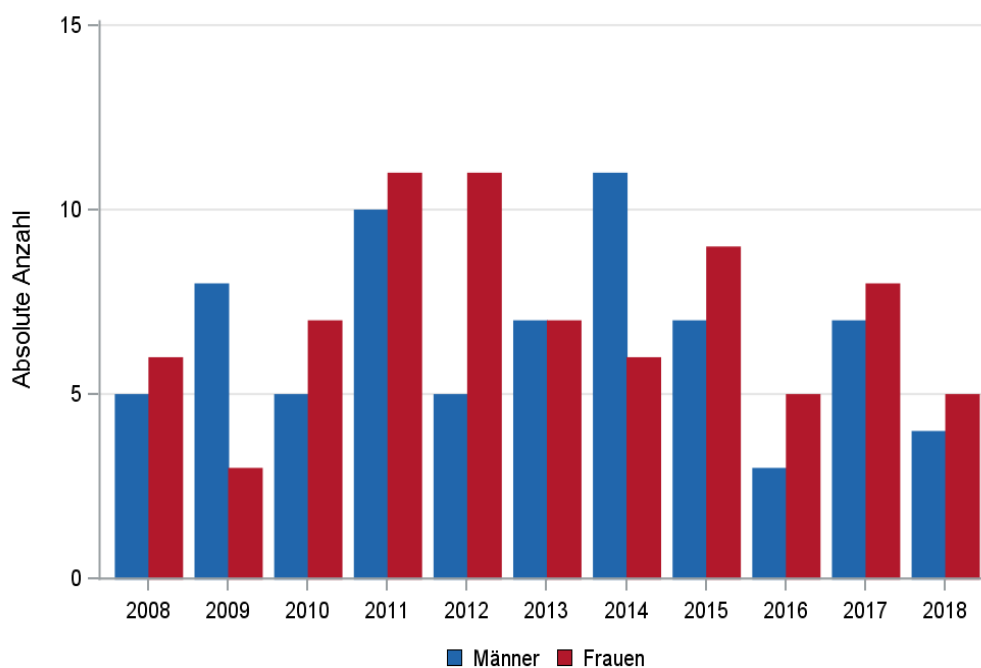


© KKR-MV 2020

Abb. 40.1. C91 (ohne C91.1, C91.4 und C91.5): Absolute Anzahl der Neuerkrankungen nach Geschlecht im Diagnosezeitraum 2008 bis 2018 (Behandlungsort)

Tab. 40.2. C91 (ohne C91.1, C91.4 und C91.5): Absolute Anzahl der Neuerkrankungen nach Geschlecht (Wohnort)

Diagnosejahr	Männer		Frauen		Summe
	Anzahl	%	Anzahl	%	
2008	5	45,5	6	54,5	11
2009	8	72,7	3	27,3	11
2010	5	41,7	7	58,3	12
2011	10	47,6	11	52,4	21
2012	5	31,3	11	68,8	16
2013	7	50,0	7	50,0	14
2014	11	64,7	6	35,3	17
2015	7	43,8	9	56,3	16
2016	3	37,5	5	62,5	8
2017	7	46,7	8	53,3	15
2018	4	44,4	5	55,6	9
Summe	72	48,0	78	52,0	150



© KKR-MV 2020

Abb. 40.2. C91 (ohne C91.1, C91.4 und C91.5): Absolute Anzahl der Neuerkrankungen nach Geschlecht im Diagnosezeitraum 2008 bis 2018 (Wohnort)

40.3 Absolute Anzahl der erfassten Neuerkrankungen in M-V in den Jahren 2008 – 2018 nach Landkreisen (Wohnort)

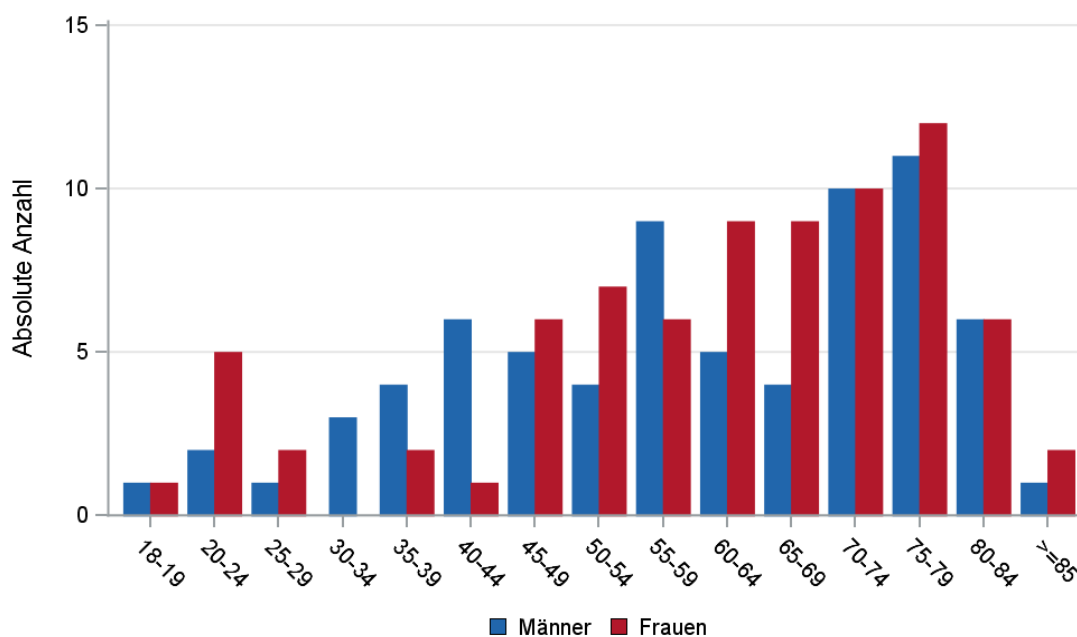
Tab. 40.3. C91 (ohne C91.1, C91.4 und C91.5): Absolute Anzahl und prozentualer Anteil der Neuerkrankungen nach Landkreisen

Landkreis	2008		2009		2010		2011		2012		2013		2014		2015		2016		2017		2018		Summe	
	Anzahl	%	Anzahl	%	Anzahl	%	Anzahl	%	Anzahl	%	Anzahl	%	Anzahl	%	Anzahl	%	Anzahl	%	Anzahl	%	Anzahl	%	Anzahl	%
Landkreis Rostock	0	0	0	0	0	0	1	4,8	0	0	3	21,4	2	11,8	0	0	1	12,5	2	13,3	0	0	9	6,0
Ludwigslust-Parchim	2	18,2	1	9,1	2	16,7	2	9,5	1	6,3	3	21,4	2	11,8	4	25,0	2	25,0	1	6,7	3	33,3	23	15,3
Mecklenburgische Seenplatte	2	18,2	1	9,1	2	16,7	2	9,5	4	25,0	2	14,3	4	23,5	2	12,5	0	0	5	33,3	1	11,1	25	16,7
Nordwestmecklenburg	0	0	3	27,3	1	8,3	2	9,5	1	6,3	0	0	0	0	0	0	1	12,5	1	6,7	0	0	9	6,0
Rostock	0	0	2	18,2	1	8,3	3	14,3	3	18,8	0	0	0	0	2	12,5	0	0	5	33,3	4	44,4	20	13,3
Schwerin	3	27,3	2	18,2	1	8,3	1	4,8	1	6,3	2	14,3	1	5,9	2	12,5	1	12,5	1	6,7	1	11,1	16	10,7
Vorpommern-Greifswald	2	18,2	1	9,1	3	25,0	5	23,8	2	12,5	1	7,1	3	17,6	1	6,3	1	12,5	0	0	0	0	19	12,7
Vorpommern-Rügen	2	18,2	1	9,1	2	16,7	5	23,8	4	25,0	3	21,4	5	29,4	5	31,3	2	25,0	0	0	0	0	29	19,3
Summe	11	100,0	11	100,0	12	100,0	21	100,0	16	100,0	14	100,0	17	100,0	16	100,0	8	100,0	15	100,0	9	100,0	150	100,0

40.4 Rohe und standardisierte Neuerkrankungsraten pro 100.000 Einwohner in den Jahren 2008-2018 (Wohnort)

Tab. 40.4. C91 (ohne C91.1, C91.4 und C91.5): Neuerkrankungsraten/100.000 Einwohner (Alter > 19)

Diagnosejahr	Männer			Frauen		
	absolute Anzahl der Neuerkrankungen	rohe Rate in M-V	alterstandardisierte Rate	absolute Anzahl der Neuerkrankungen	rohe Rate in M-V	alterstandardisierte Rate
2008	5	0,7	0,7	6	0,8	0,7
2009	7	1,0	1,1	3	0,4	0,3
2010	5	0,7	0,6	7	1,0	0,7
2011	10	1,5	1,4	11	1,6	1,2
2012	5	0,8	0,7	10	1,4	1,3
2013	7	1,1	0,8	7	1,0	0,8
2014	11	1,7	1,6	6	0,9	0,9
2015	7	1,1	0,8	9	1,3	1,0
2016	3	0,5	0,3	5	0,7	0,5
2017	7	1,1	0,9	8	1,2	1,0
2018	4	0,6	0,4	5	0,7	0,8
2008-2018	71	1,0	0,8	77	1,0	0,8



© KKR-MV 2020

Abb. 40.3. C91 (ohne C91.1, C91.4 und C91.5): Absolute Anzahl der Neuerkrankungen aufgelistet in 5-Jahres-Altersgruppen und nach Geschlecht im Diagnosezeitraum 2008 bis 2018 (Wohnort)

40.5 Alter der in den Jahren 2008 - 2018 in M-V neuerkrankten Patienten (Behandlungsort)

Tab. 40.5. C91 (ohne C91.1, C91.4 und C91.5): Erkrankungsalter (Behandlungsort)

Diagnosejahr	Männer				Frauen			
	Anzahl	Median	Minimum	Maximum	Anzahl	Median	Minimum	Maximum
2008	5	60	44	77	6	67	23	82
2009	9	60	19	86	3	77	62	84
2010	5	62	59	79	7	57	47	84
2011	10	50	32	74	11	67	44	79
2012	6	62	37	78	11	52	18	82
2013	7	71	22	84	8	60	52	84
2014	11	53	24	83	6	68	24	74
2015	7	56	48	81	9	67	27	84
2016	4	69	55	77	5	67	59	73
2017	7	73	32	83	8	66	20	86
2018	5	72	36	80	6	57	22	77

40.6 Histologische Befunde bei allen neuerkrankten Patienten in M-V in den Jahren 2008 – 2018

Tab. 40.6. C91 (ohne C91.1, C91.4 und C91.5): Histologische Befunde bei neuerkrankten Patienten (Behandlungsort)

Histologiecode	Anzahl	Prozent
9835/3: Vorläuferzell-lymphoblastische Leukämie o.n.A.	75	48,1
9836/3: Vorläufer-B-lymphoblastische Leukämie	24	15,4
9811/3: B-lymphoblastische/s Leukämie/Lymphom o.n.A.	16	10,3
9834/3: Prolymphozytenleukämie vom T-Zell-Typ	13	8,3
9837/3: Vorläufer-T-lymphoblastische Leukämie	9	5,8
9826/3: Burkitt-Zell-Leukämie	8	5,1
9833/3: Prolymphozytenleukämie vom B-Zell-Typ	7	4,5
9820/3: Lymphatische Leukämie o.n.A.	2	1,3
9831/3: Lymphatische T-Zell-Leukämie vom grobgranulären Typ	1	0,6
9832/3: Prolymphozytenleukämie o.n.A.	1	0,6
Akute lymphatische Leukämie	156	100,0

40.7 Dokumentierte Therapie bis max. 12 Monate nach Diagnosestellung

40.7.1 Therapiekombinationen und Intention der dokumentierten Therapien

Tab. 40.7. C91 (ohne C91.1, C91.4 und C91.5): Therapiekombinationen (Strahlentherapie, systemische Therapie) pro Diagnosejahr (Behandlungsort)

Therapiekombinationen	2008	2009	2010	2011	2012	2013	2014	2015	2016	2017	2018	Summe
Alleinige systemische Therapie	7	9	9	13	10	12	11	12	5	14	9	111
Systemische Therapie und Strahlentherapie	1	2	2	5	5	3	4	4	2	1	2	31
Keine systemische Therapie oder Strahlentherapie	3	1	1	3	2	0	2	0	2	0	0	14
Summe	11	12	12	21	17	15	17	16	9	15	11	156

Tab. 40.8. C91 (ohne C91.1, C91.4 und C91.5): Intention bei der ersten systemischen Therapie (Behandlungsort)

Intention der systemischen Therapie	2008	2009	2010	2011	2012	2013	2014	2015	2016	2017	2018	Summe
Kurativ	3	6	4	11	7	5	9	7	2	5	7	66
Palliativ bzw. symptomatisch	1	3	3	1	4	2	3	3	0	7	3	30
Sonstige/Unbekannt/Keine Angabe	4	2	4	6	4	8	3	6	5	3	1	46
Summe	8	11	11	18	15	15	15	16	7	15	11	142

Tab. 40.9. C91 (ohne C91.1, C91.4 und C91.5): Zeitraum zwischen Diagnose und Beginn der ersten Therapie nach Therapieart (Angaben in Tagen, Behandlungsort)

Therapie	Anzahl	Median	Minimum	Maximum
Diagnose und erste Bestrahlung	31	42	23	230
Diagnose und erste system. Therapie	142	6	0	209

40.8 Überlebensanalysen bei den in den Jahren 2008 – 2013 primär diagnostizierten Patienten

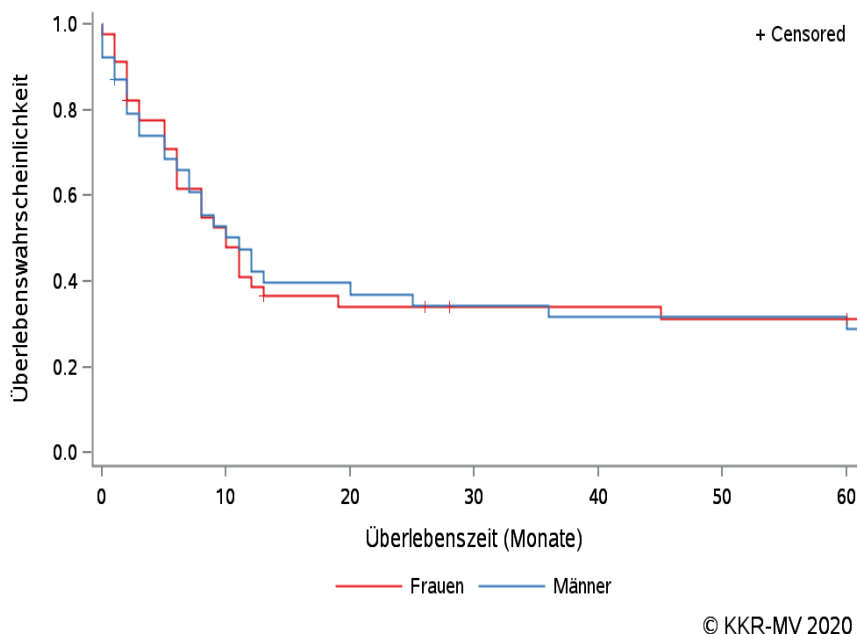


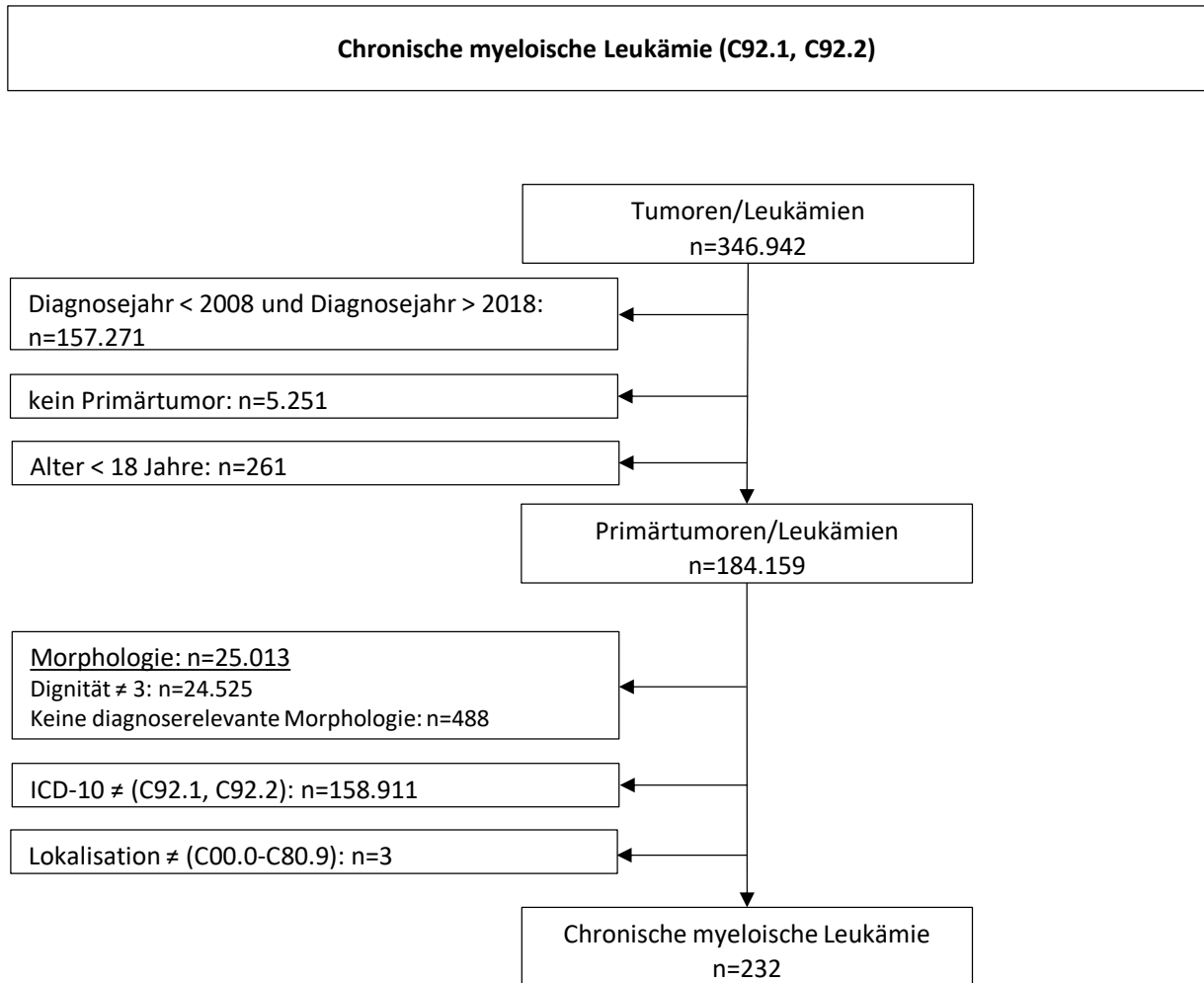
Abb.40.4. C91 (ohne C91.1, C91.4 und C91.5): Wahrscheinlichkeit des Überlebens (Kaplan-Meier-Analyse) nach Geschlecht im Diagnosezeitraum von 2008 bis 2013 (Wohnort). Kaplan-Meier-Kurven werden für Kategorien mit weniger als 10 Neuerkrankungen nicht dargestellt.

Tab. 40.10. C91 (ohne C91.1, C91.4 und C91.5): Anzahl der unter Risiko stehenden Neuerkrankungen (Monate nach Diagnose)

Geschlecht	0 Monate	20 Monate	40 Monate	60 Monate
Männer	39	15	12	12
Frauen	45	14	12	11

41 Chronische myeloische Leukämie (C92.1, C92.2)

41.1 Consort-Statement: Darstellung der Auswertepopulation



*Erläuterungen zu den Ausschlüssen finden Sie im Kapitel 4 (Methode)

41.2 Histologische Befunde bei allen neuerkrankten Patienten in M-V in den Jahren 2008 – 2018

Tab. 41.1. C92.1, C92.2: Histologische Befunde bei neuerkrankten Patienten (Behandlungsort)

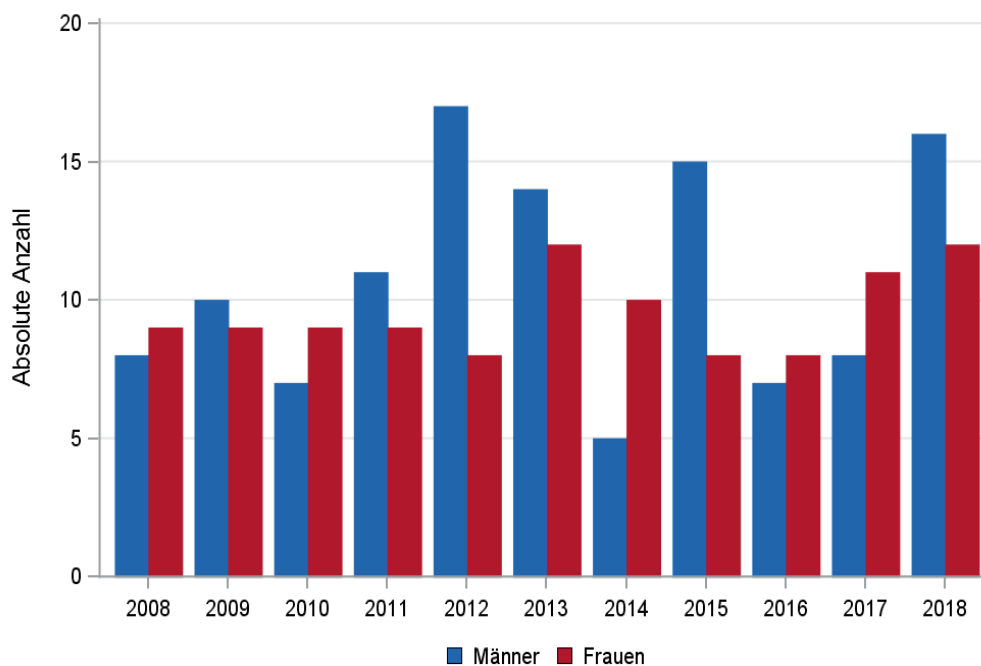
Histologiecode	Anzahl	Prozent	ICD-10
9863/3: Chronische myeloische Leukämie o.n.A.	136	58,6	C92.1
9875/3: Chronische myeloische Leukämie, BCR/ABL positiv	87	37,5	
Chronische myeloische Leukämie	223	96,1	
9876/3: Atypische chronische myeloische Leukämie, BCR/ABL negativ	9	3,9	C92.2
Atypischen chronischen myeloischen Leukämie	9	3,9	

Aufgrund der geringen Fallzahl der Patienten mit einer atypischen chronischen myeloischen Leukämie, BCR/ABL negativ, (C92.2) [n=9] werden im Folgenden lediglich die Patienten mit einer chronischen myeloischen Leukämie (C92.1) ausgewertet.

41.3 Absolute Anzahl der erfassten Neuerkrankungen in M-V in den Jahren 2008 – 2018 nach Geschlecht (Behandlungsort, Wohnort)

Tab. 41.2. C92.1: Absolute Anzahl der Neuerkrankungen nach Geschlecht (Behandlungsort)

Diagnosejahr	Männer		Frauen		Summe
	Anzahl	%	Anzahl	%	
2008	8	47,1	9	52,9	17
2009	10	52,6	9	47,4	19
2010	7	43,8	9	56,3	16
2011	11	55,0	9	45,0	20
2012	17	68,0	8	32,0	25
2013	14	53,8	12	46,2	26
2014	5	33,3	10	66,7	15
2015	15	65,2	8	34,8	23
2016	7	46,7	8	53,3	15
2017	8	42,1	11	57,9	19
2018	16	57,1	12	42,9	28
Summe	118	52,9	105	47,1	223

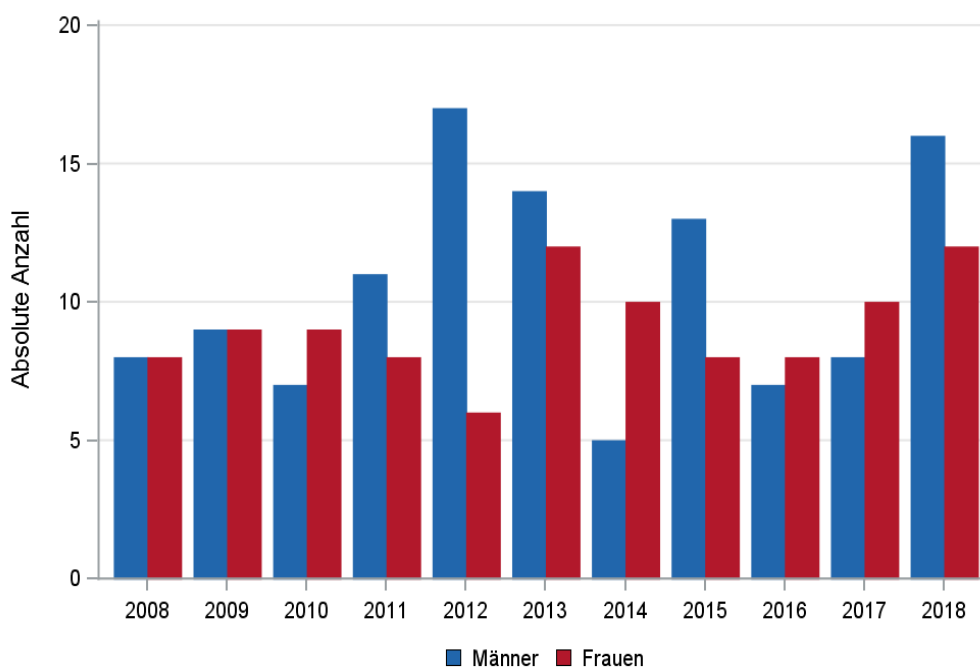


© KKR-MV 2020

Abb. 41.1. C92.1: Absolute Anzahl der Neuerkrankungen nach Geschlecht im Diagnosezeitraum 2008 bis 2018 (Behandlungsort)

Tab. 41.3. C92.1: Absolute Anzahl der Neuerkrankungen nach Geschlecht (Wohnort)

Diagnosejahr	Männer		Frauen		Summe
	Anzahl	%	Anzahl	%	
2008	8	50,0	8	50,0	16
2009	9	50,0	9	50,0	18
2010	7	43,8	9	56,3	16
2011	11	57,9	8	42,1	19
2012	17	73,9	6	26,1	23
2013	14	53,8	12	46,2	26
2014	5	33,3	10	66,7	15
2015	13	61,9	8	38,1	21
2016	7	46,7	8	53,3	15
2017	8	44,4	10	55,6	18
2018	16	57,1	12	42,9	28
Summe	115	53,5	100	46,5	215



© KKR-MV 2020

Abb. 41.2. C92.1: Absolute Anzahl der Neuerkrankungen nach Geschlecht im Diagnosezeitraum 2008 bis 2018 (Wohnort)

41.4 Absolute Anzahl der erfassten Neuerkrankungen in M-V in den Jahren 2008 – 2018 nach Landkreisen (Wohnort)

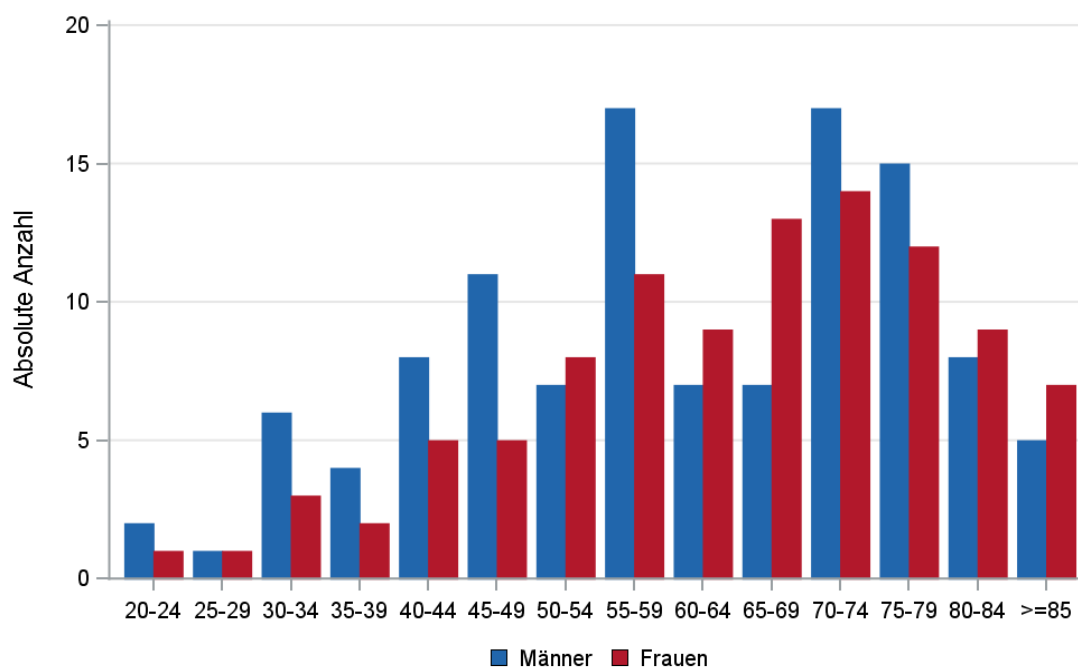
Tab. 41.4. C92.1: Absolute Anzahl und prozentualer Anteil der Neuerkrankungen nach Landkreisen

Landkreis	2008		2009		2010		2011		2012		2013		2014		2015		2016		2017		2018		Summe	
	Anzahl	%	Anzahl	%	Anzahl	%	Anzahl	%	Anzahl	%	Anzahl	%	Anzahl	%	Anzahl	%	Anzahl	%	Anzahl	%	Anzahl	%	Anzahl	%
Landkreis Rostock	1	6,3	1	5,6	2	12,5	2	10,5	4	17,4	5	19,2	2	13,3	1	4,8	3	20,0	2	11,1	4	14,3	27	12,6
Ludwigslust-Parchim	1	6,3	5	27,8	4	25,0	1	5,3	1	4,3	4	15,4	3	20,0	2	9,5	1	6,7	2	11,1	4	14,3	28	13,0
Mecklenburgische Seenplatte	3	18,8	4	22,2	2	12,5	2	10,5	3	13,0	0	0	1	6,7	3	14,3	1	6,7	3	16,7	2	7,1	24	11,2
Nordwestmecklenburg	2	12,5	1	5,6	1	6,3	2	10,5	2	8,7	5	19,2	1	6,7	2	9,5	3	20,0	2	11,1	3	10,7	24	11,2
Rostock	0	0	2	11,1	3	18,8	4	21,1	5	21,7	3	11,5	4	26,7	4	19,0	3	20,0	0	0	1	3,6	29	13,5
Schwerin	3	18,8	0	0	0	0	2	10,5	2	8,7	1	3,8	1	6,7	2	9,5	1	6,7	1	5,6	4	14,3	17	7,9
Vorpommern-Greifswald	3	18,8	3	16,7	3	18,8	2	10,5	3	13,0	6	23,1	1	6,7	3	14,3	0	0	3	16,7	6	21,4	33	15,3
Vorpommern-Rügen	3	18,8	2	11,1	1	6,3	4	21,1	3	13,0	2	7,7	2	13,3	4	19,0	3	20,0	4	22,2	4	14,3	32	14,9
nicht zuordenbar	0	0	0	0	0	0	0	0	0	0	0	0	0	0	0	0	0	0	1	5,6	0	0	1	0,5
Summe	16	100,0	18	100,0	16	100,0	19	100,0	23	100,0	26	100,0	15	100,0	21	100,0	15	100,0	18	100,0	28	100,0	215	100,0

41.5 Rohe und standardisierte Neuerkrankungsraten pro 100.000 Einwohner in den Jahren 2008-2018 (Wohnort)

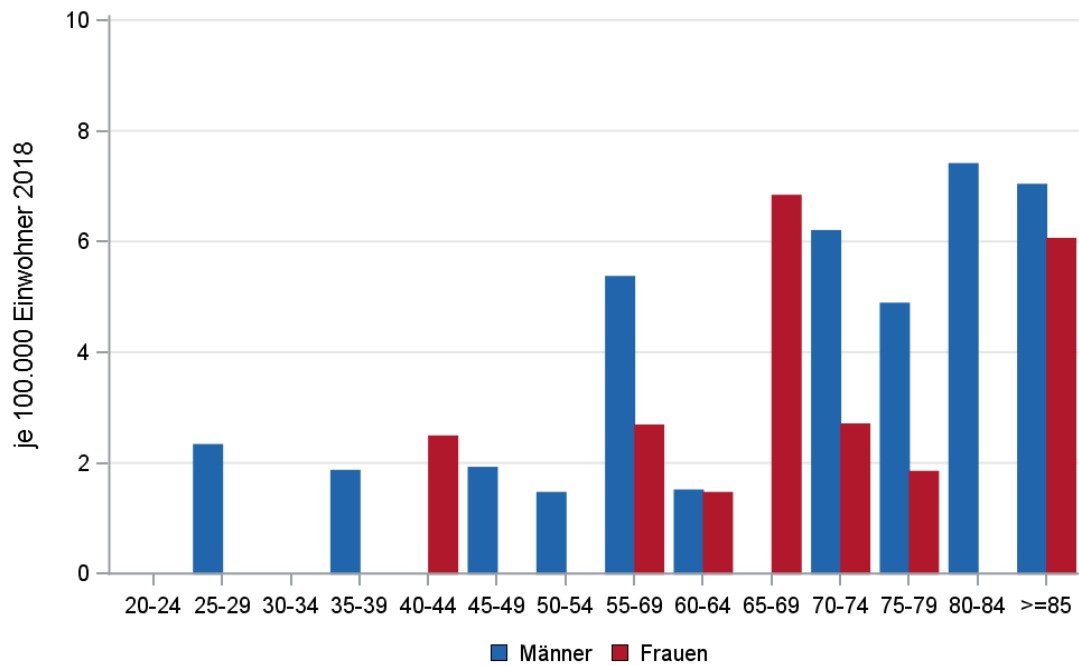
Tab. 41.5. C92.1: Neuerkrankungsrate/100.000 Einwohner (Alter > 19)

Diagnosejahr	Männer			Frauen		
	absolute Anzahl der Neuerkrankungen	rohe Rate in M-V	altersstandardisierte Rate	absolute Anzahl der Neuerkrankungen	rohe Rate in M-V	altersstandardisierte Rate
2008	8	1,2	1,1	8	1,1	0,9
2009	9	1,3	1,0	9	1,3	0,8
2010	7	1,0	0,9	9	1,3	1,0
2011	11	1,6	1,5	8	1,1	1,0
2012	17	2,6	2,3	6	0,9	0,7
2013	14	2,1	2,1	12	1,7	1,6
2014	5	0,8	0,7	10	1,5	1,0
2015	13	2,0	1,5	8	1,2	0,7
2016	7	1,1	0,8	8	1,2	0,7
2017	8	1,2	0,9	10	1,5	1,2
2018	16	2,4	1,9	12	1,8	1,2
2008-2018	115	1,6	1,3	100	1,3	1,0



© KKR-MV 2020

Abb. 41.3. C92.1: Absolute Anzahl der Neuerkrankungen aufgelistet in 5-Jahres-Altersgruppen und nach Geschlecht im Diagnosezeitraum 2008 bis 2018 (Wohnort)



© KKR-MV 2020

Abb. 41.4. C92.1: Altersspezifische Rate der Neuerkrankungen je 100.000 Einwohner (Diagnosejahr 2018) nach 5-Jahres-Altersgruppen und Geschlecht (Wohnort)

41.6 Alter der in den Jahren 2008 - 2018 in M-V neuerkrankten Patienten (Behandlungsort)

Tab. 41.6. C92.1: Erkrankungsalter (Behandlungsort)

Diagnosejahr	Männer				Frauen			
	Anzahl	Median	Minimum	Maximum	Anzahl	Median	Minimum	Maximum
2008	8	49	42	86	9	65	35	85
2009	10	75	40	81	9	70	48	84
2010	7	58	34	81	9	57	40	88
2011	11	64	31	79	9	55	33	75
2012	17	67	23	81	8	66	34	82
2013	14	50	31	88	12	59	24	81
2014	5	52	42	87	10	63	52	87
2015	15	68	31	84	8	72	57	92
2016	7	64	51	79	8	66	54	84
2017	8	64	50	77	11	61	31	82
2018	16	60	26	87	12	66	40	88

41.7 Histologische Befunde bei allen neuerkrankten Patienten in M-V in den Jahren 2008 – 2018

Tab. 41.7. C92.1: Histologische Befunde bei neuerkrankten Patienten (Behandlungsort)

Histologiecode	Anzahl	Prozent
9863/3: Chronische myeloische Leukämie o.n.A.	136	61,0
9875/3: Chronische myeloische Leukämie, BCR/ABL positiv	87	39,0
Chronische myeloische Leukämie	223	100,0

41.8 Dokumentierte Therapie bis max. 12 Monate nach Diagnosestellung

Tab. 41.8. C92.1: Zeitraum zwischen Diagnose und Beginn der ersten Therapie nach Therapieart (Angaben in Tagen, Behandlungsort)

Therapie	Anzahl	Median	Minimum	Maximum
Diagnose und erste system. Therapie	195	11	0	364

41.9 Überlebensanalysen nach im Diagnosezeitraum 2008-2013

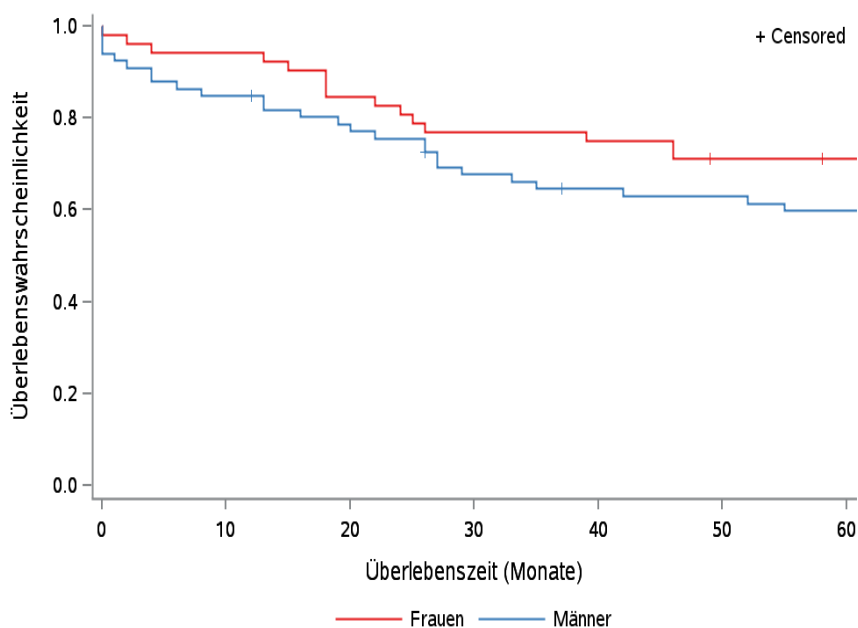
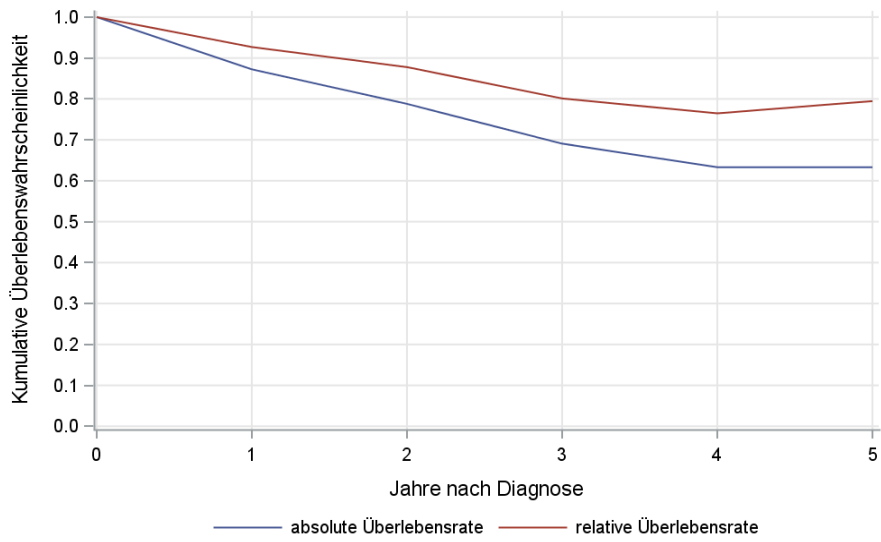


Abb.41.5. C92.1: Wahrscheinlichkeit des Überlebens (Kaplan-Meier-Analyse) nach Geschlecht im Diagnosezeitraum von 2008 bis 2013 (Wohnort). Kaplan-Meier-Kurven werden für Kategorien mit weniger als 10 Neuerkrankungen nicht dargestellt.

Tab. 41.9. C92.1: Anzahl der unter Risiko stehenden Neuerkrankungen (Monate nach Diagnose)

Geschlecht	0 Monate	20 Monate	40 Monate	60 Monate
Männer	66	51	40	37
Frauen	52	44	39	35

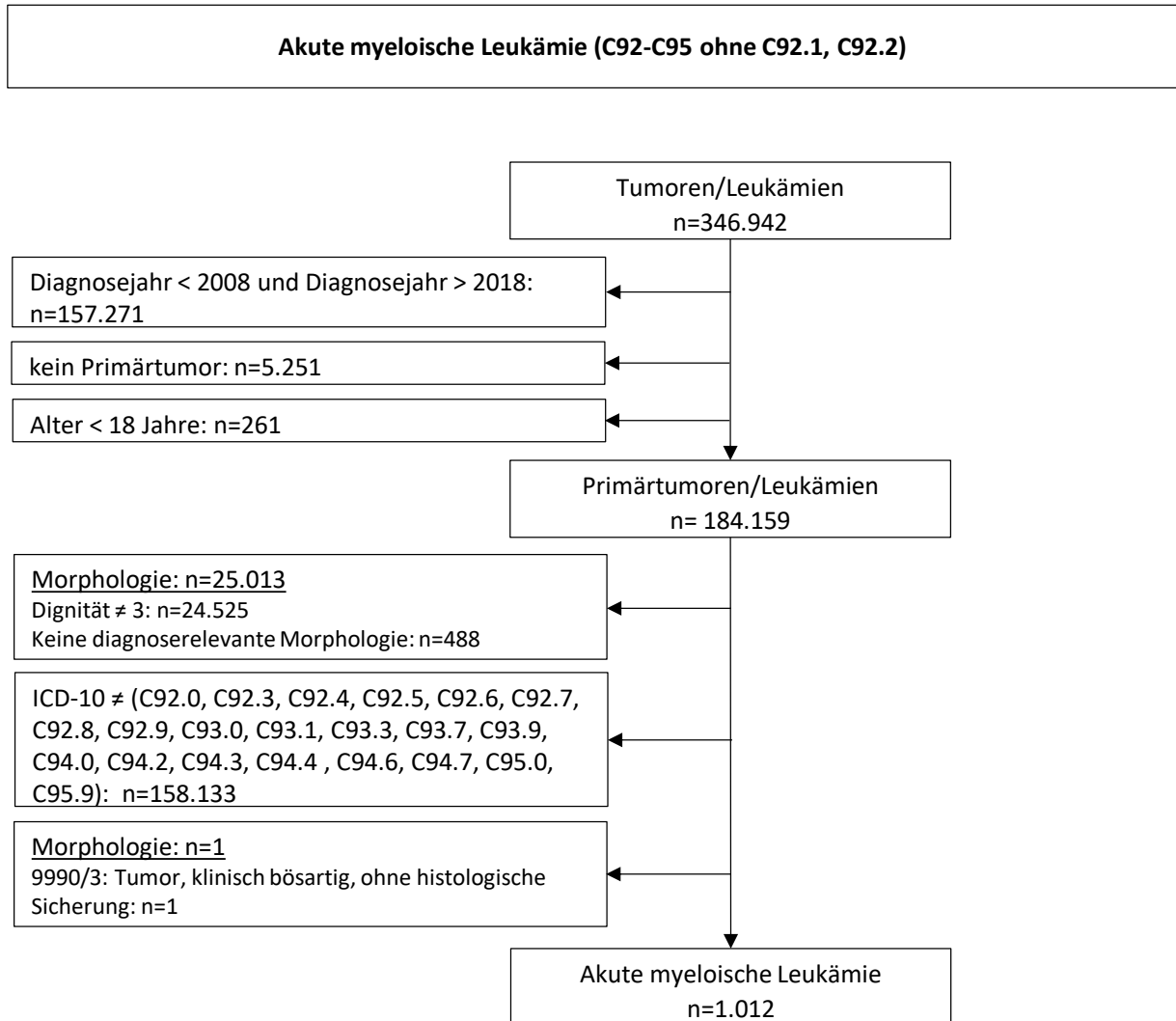


© KKR-MV 2020

Abb. 41.6. C92.1: Absolutes und relatives Überleben im Diagnosezeitraum 2008 bis 2013 (Wohnort, Alter > 19)

42 Akute myeloische Leukämie (C92-C95 ohne C92.1, C92.2)

42.1 Consort-Statement: Darstellung der Auswertepopulation

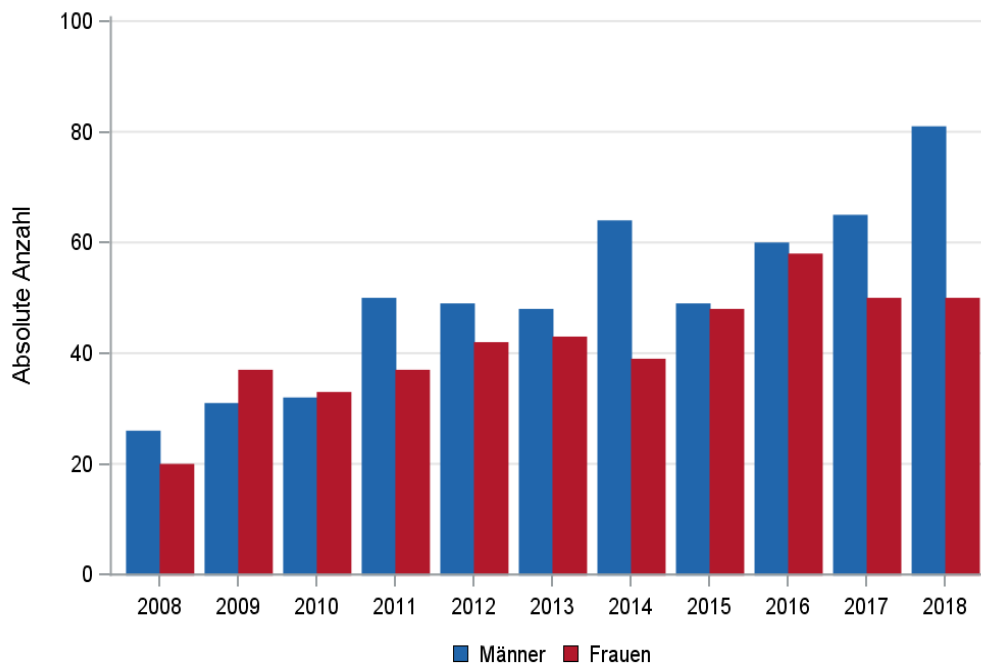


*Erläuterungen zu den Ausschlüssen finden Sie im Kapitel 4 (Methode)

42.2 Absolute Anzahl der erfassten Neuerkrankungen in M-V in den Jahren 2008 – 2018 nach Geschlecht (Behandlungsort, Wohnort)

Tab. 42.1. C92-C95 (ohne C92.1, C92.2): Absolute Anzahl der Neuerkrankungen nach Geschlecht (Behandlungsort)

Diagnosejahr	Männer		Frauen		Summe
	Anzahl	%	Anzahl	%	
2008	26	56,5	20	43,5	46
2009	31	45,6	37	54,4	68
2010	32	49,2	33	50,8	65
2011	50	57,5	37	42,5	87
2012	49	53,8	42	46,2	91
2013	48	52,7	43	47,3	91
2014	64	62,1	39	37,9	103
2015	49	50,5	48	49,5	97
2016	60	50,8	58	49,2	118
2017	65	56,5	50	43,5	115
2018	81	61,8	50	38,2	131
Summe	555	54,8	457	45,2	1012

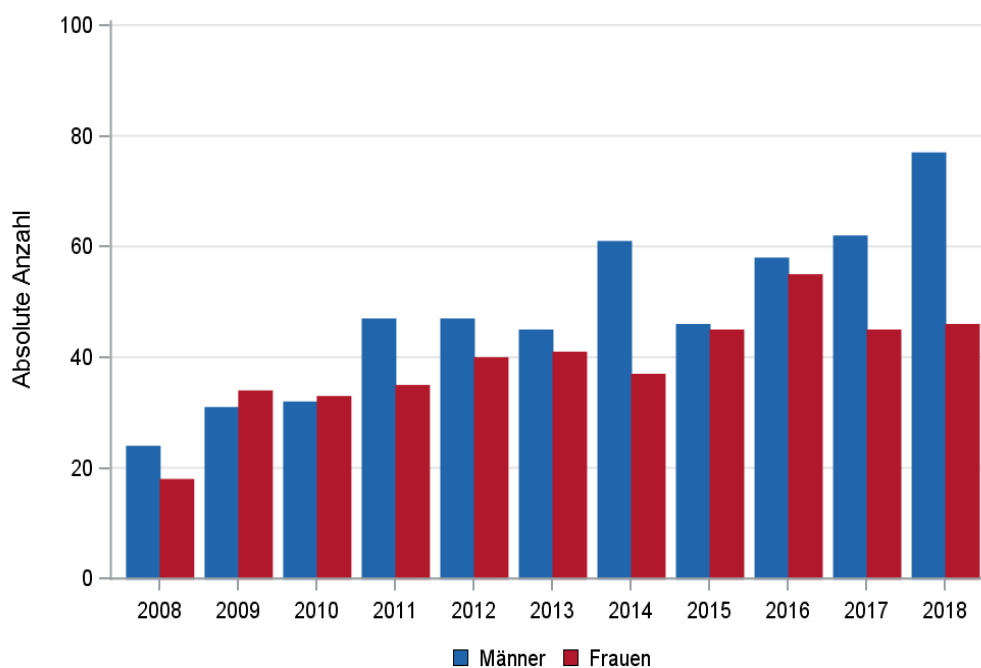


© KKR-MV 2020

Abb. 42.1. C92-C95 (ohne C92.1, C92.2): Absolute Anzahl der Neuerkrankungen nach Geschlecht im Diagnosezeitraum 2008 bis 2018 (Behandlungsort)

Tab. 42.2. C92-C95 (ohne C92.1, C92.2): Absolute Anzahl der Neuerkrankungen nach Geschlecht (Wohnort)

Diagnosejahr	Männer		Frauen		Summe
	Anzahl	%	Anzahl	%	
2008	24	57,1	18	42,9	42
2009	31	47,7	34	52,3	65
2010	32	49,2	33	50,8	65
2011	47	57,3	35	42,7	82
2012	47	54,0	40	46,0	87
2013	45	52,3	41	47,7	86
2014	61	62,2	37	37,8	98
2015	46	50,5	45	49,5	91
2016	58	51,3	55	48,7	113
2017	62	57,9	45	42,1	107
2018	77	62,6	46	37,4	123
Summe	530	55,3	429	44,7	959



© KKR-MV 2020

Abb. 42.2. C92-C95 (ohne C92.1, C92.2): Absolute Anzahl der Neuerkrankungen nach Geschlecht im Diagnosezeitraum 2008 bis 2018 (Wohnort)

42.3 Absolute Anzahl der erfassten Neuerkrankungen in M-V in den Jahren 2008 – 2018 nach Landkreisen (Wohnort)

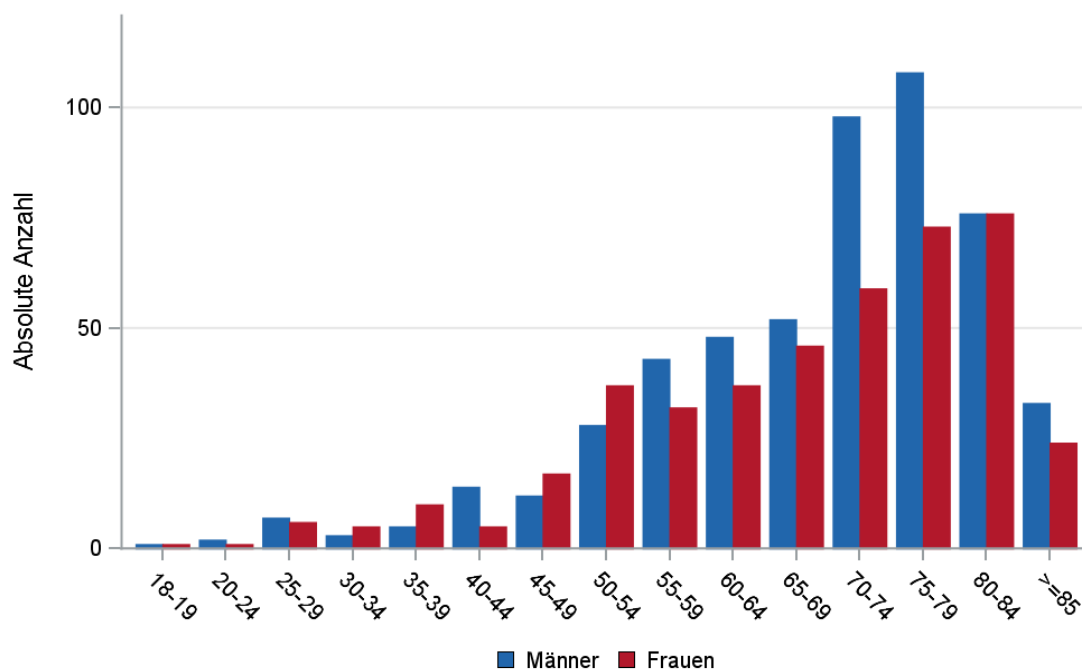
Tab. 42.3. C92-C95 (ohne C92.1, C92.2): Absolute Anzahl und prozentualer Anteil der Neuerkrankungen nach Landkreisen

Landkreis	2008		2009		2010		2011		2012		2013		2014		2015		2016		2017		2018		Summe	
	Anzahl	%	Anzahl	%	Anzahl	%	Anzahl	%	Anzahl	%	Anzahl	%	Anzahl	%	Anzahl	%	Anzahl	%	Anzahl	%	Anzahl	%	Anzahl	%
Landkreis Rostock	1	2,4	4	6,2	6	9,2	16	19,5	11	12,6	13	15,1	17	17,3	14	15,4	23	20,4	9	8,4	18	14,6	132	13,8
Ludwigslust-Parchim	10	23,8	10	15,4	13	20,0	9	11,0	7	8,0	6	7,0	10	10,2	15	16,5	15	13,3	14	13,1	13	10,6	122	12,7
Mecklenburgische Seenplatte	6	14,3	7	10,8	10	15,4	14	17,1	12	13,8	15	17,4	9	9,2	9	9,9	4	3,5	18	16,8	21	17,1	125	13,0
Nordwestmecklenburg	2	4,8	6	9,2	2	3,1	4	4,9	10	11,5	11	12,8	8	8,2	10	11,0	12	10,6	5	4,7	11	8,9	81	8,4
Rostock	0	0	5	7,7	12	18,5	9	11,0	10	11,5	10	11,6	10	10,2	13	14,3	15	13,3	21	19,6	19	15,4	124	12,9
Schwerin	3	7,1	5	7,7	5	7,7	7	8,5	8	9,2	4	4,7	8	8,2	9	9,9	10	8,8	7	6,5	8	6,5	74	7,7
Vorpommern-Greifswald	12	28,6	18	27,7	6	9,2	12	14,6	13	14,9	9	10,5	14	14,3	9	9,9	17	15,0	18	16,8	18	14,6	146	15,2
Vorpommern-Rügen	7	16,7	9	13,8	10	15,4	11	13,4	15	17,2	16	18,6	20	20,4	12	13,2	17	15,0	15	14,0	15	12,2	147	15,3
nicht zuordenbar	1	2,4	1	1,5	1	1,5	0	0	1	1,1	2	2,3	2	2,0	0	0	0	0	0	0	0	0	8	0,8
Summe	42	100,0	65	100,0	65	100,0	82	100,0	87	100,0	86	100,0	98	100,0	91	100,0	113	100,0	107	100,0	123	100,0	959	100,0

42.4 Rohe und standardisierte Neuerkrankungsraten pro 100.000 Einwohner in den Jahren 2008-2018 (Wohnort)

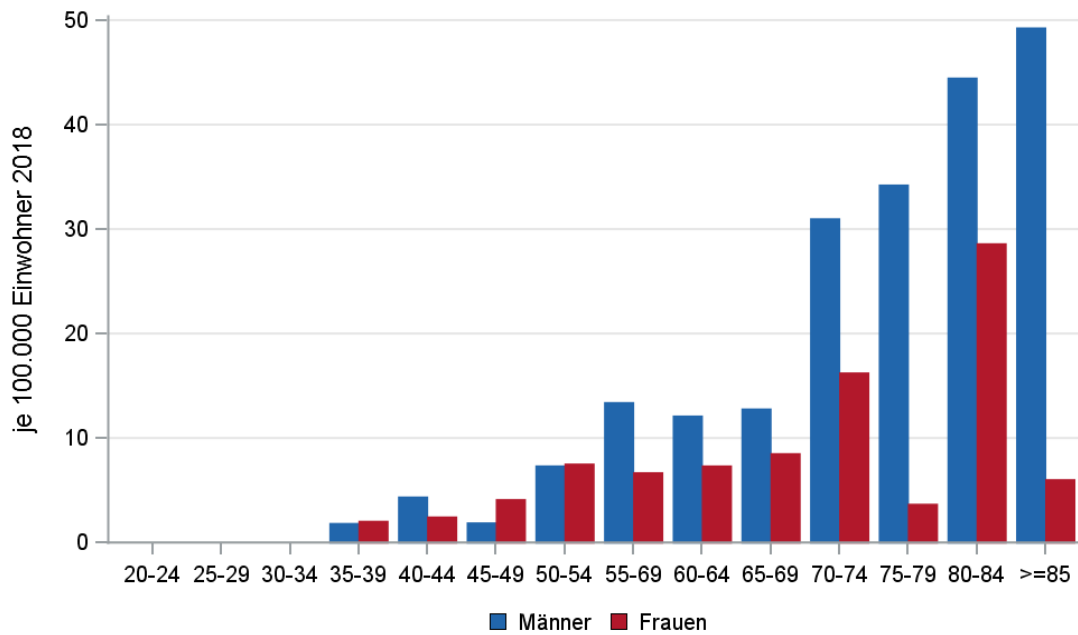
Tab. 42.4. C92-C95 (ohne C92.1, C92.2): Neuerkrankungsrate/100.000 Einwohner (Alter > 19)

Diagnosejahr	Männer			Frauen		
	absolute Anzahl der Neuerkrankungen	rohe Rate in M-V	altersstandardisierte Rate	absolute Anzahl der Neuerkrankungen	rohe Rate in M-V	altersstandardisierte Rate
2008	24	3,5	2,9	18	2,5	2,0
2009	31	4,5	3,4	34	4,8	3,5
2010	32	4,6	3,6	33	4,6	3,2
2011	47	7,0	6,2	35	5,0	3,3
2012	47	7,1	5,5	40	5,7	3,4
2013	45	6,8	4,7	41	5,9	4,1
2014	61	9,2	5,9	37	5,4	3,6
2015	46	7,0	4,6	45	6,5	4,3
2016	58	8,8	6,2	54	7,9	5,1
2017	61	9,3	6,3	45	6,6	3,7
2018	77	11,7	7,9	46	6,7	4,5
2008-2018	529	7,2	5,2	428	5,6	3,7



© KKR-MV 2020

Abb. 42.3. C92-C95 (ohne C92.1, C92.2): Absolute Anzahl der Neuerkrankungen aufgelistet in 5-Jahres-Altersgruppen und nach Geschlecht im Diagnosezeitraum 2008 bis 2018 (Wohnort)



© KKR-MV 2020

Abb. 42.4. C92-C95 (ohne C92.1, C92.2): Altersspezifische Rate der Neuerkrankungen je 100.000 Einwohner (Diagnosejahr 2018) nach 5-Jahres-Altersgruppen und Geschlecht (Wohnort)

42.5 Alter der in den Jahren 2008 - 2018 in M-V neuerkrankten Patienten (Behandlungsort)

Tab. 42.5. C92-C95 (ohne C92.1, C92.2): Erkrankungsalter (Behandlungsort)

Diagnosejahr	Männer				Frauen			
	Anzahl	Median	Minimum	Maximum	Anzahl	Median	Minimum	Maximum
2008	26	70	38	85	20	66	39	88
2009	31	74	22	84	37	69	25	89
2010	32	72	50	88	33	72	27	85
2011	50	69	25	88	37	72	42	85
2012	49	70	21	88	42	73	39	88
2013	48	73	21	84	43	72	23	91
2014	64	76	42	88	39	71	29	90
2015	49	73	25	86	48	75	22	89
2016	60	72	27	89	58	73	18	94
2017	65	73	19	88	50	73	31	89
2018	81	74	39	90	50	70	38	90

42.6 Histologische Befunde bei allen neuerkrankten Patienten in M-V in den Jahren 2008 – 2018

Tab. 42.6. C92-C95 (ohne C92.1, C92.2): Histologische Befunde bei neuerkrankten Patienten (Behandlungsort)

Histologiecode	Anzahl	Prozent
9861/3: Akute myeloische Leukämie o.n.A.	448	44,3
9867/3: Akute myelomonozytäre Leukämie	97	9,6
9945/3: Chronische myelomonozytäre Leukämie o.n.A.	97	9,6
9895/3: Akute myeloische Leukämie mit Myelodysplasie-ähnlichen Veränderungen	75	7,4
9874/3: Akute myeloische Leukämie mit Ausreifung	67	6,6
9873/3: Akute myeloische Leukämie ohne Ausreifung	52	5,1
9891/3: Akute Monozytenleukämie	40	4,0
9840/3: Akute myeloische Leukämie, M6-Typ	27	2,7
9866/3: Akute Promyelozytenleukämie, t(15;17)(q22;q11-12)	21	2,1
9872/3: Akute myeloische Leukämie mit minimaler Ausreifung	16	1,6
9860/3: Myeloische Leukämie o.n.A.	13	1,3
9801/3: Akute Leukämie o.n.A.	11	1,1
9896/3: Akute myeloische Leukämie, t(8:21)(q22:q22)	11	1,1
9800/3: Leukämie o.n.A.	9	0,9
9910/3: Akute Megakaryoblastenleukämie	5	0,5
9931/3: Akute Panmyelose mit Myelofibrose	5	0,5
9805/3: Akute biphänotypische Leukämie	4	0,4
9897/3: Akute myeloische Leukämie mit 11q23-Abnormitäten	4	0,4
9920/3: Therapiebedingte myeloische Neoplasie	4	0,4
9930/3: Myelosarkom	2	0,2
9870/3: Akute Basophilenleukämie	1	0,1
9871/3: Akute myelomonozytäre Leukämie mit Eosinophilie	1	0,1
9948/3: Aggressive NK-Zell-Leukämie	1	0,1
9961/3: Primäre Myelofibrose	1	0,1
Akute myeloische Leukämie	1012	100,0

42.7 Dokumentierte Therapie bis max. 12 Monate nach Diagnosestellung

42.7.1 Therapiekombinationen und Intention der dokumentierten Therapien

Tab. 42.7. C92-C95 (ohne C92.1, C92.2): Therapiekombinationen (Strahlentherapie, systemische Therapie) pro Diagnosejahr (Behandlungsort)

Therapiekombinationen	2008	2009	2010	2011	2012	2013	2014	2015	2016	2017	2018	Summe
Alleinige systemische Therapie	29	46	48	71	68	70	74	82	92	92	101	773
Alleinige Strahlentherapie	0	0	0	1	1	0	1	0	0	0	0	3
Systemische Therapie und Strahlentherapie	4	2	4	2	3	3	3	0	5	1	0	27
Keine systemische Therapie oder Strahlentherapie	13	20	13	13	19	18	25	15	21	22	30	209
Summe	46	68	65	87	91	91	103	97	118	115	131	1012

Tab. 42.8. C92-C95 (ohne C92.1, C92.2): Intention bei der ersten systemischen Therapie (Behandlungsort)

Intention der systemischen Therapie	2008	2009	2010	2011	2012	2013	2014	2015	2016	2017	2018	Summe
Kurativ	12	21	21	37	37	38	38	36	39	40	53	372
Palliativ bzw. symptomatisch	0	8	15	15	21	16	20	25	29	33	42	224
Sonstige/Unbekannt/Keine Angabe	21	19	16	21	13	19	19	21	29	20	6	204
Summe	33	48	52	73	71	73	77	82	97	93	101	800

Tab. 42.9. C92-C95 (ohne C92.1, C92.2): Zeitraum zwischen Diagnose und Beginn der ersten Therapie nach Therapieart (Angaben in Tagen, Behandlungsort)

Therapie	Anzahl	Median	Minimum	Maximum
Diagnose und erste Bestrahlung	30	105	0	364
Diagnose und erste system. Therapie	800	5	0	346

42.8 Überlebensanalysen nach im Diagnosezeitraum 2008-2013

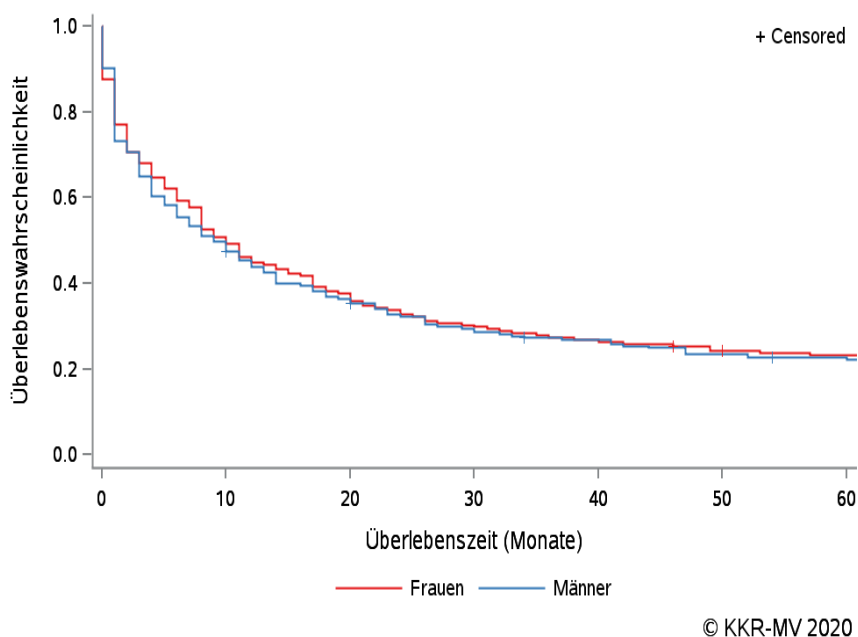
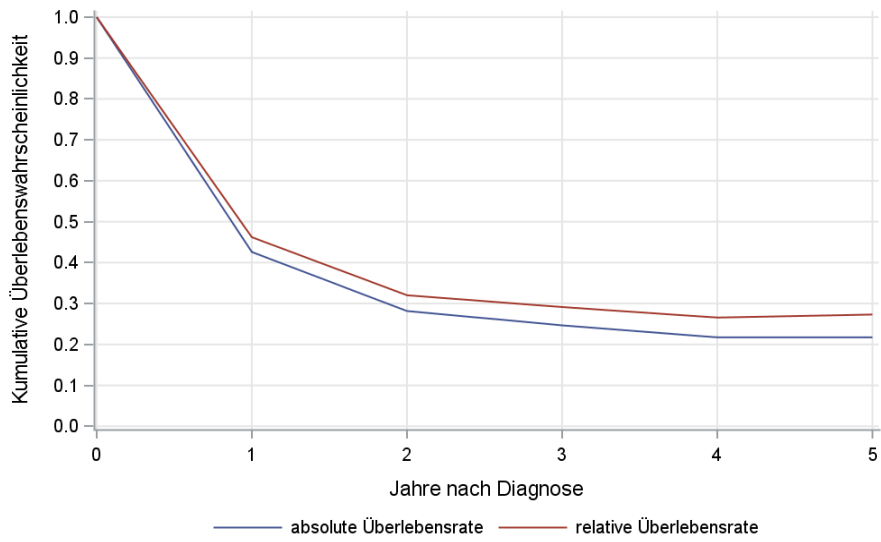


Abb. 42.5. C92-C95 (ohne C92.1, C92.2): Wahrscheinlichkeit des Überlebens (Kaplan-Meier-Analyse) nach Geschlecht im Diagnosezeitraum von 2008 bis 2013 (Wohnort). Kaplan-Meier-Kurven werden für Kategorien mit weniger als 10 Neuerkrankungen nicht dargestellt.

Tab. 42.10. C92-C95 (ohne C92.1, C92.2): Anzahl der unter Risiko stehenden Neuerkrankungen (Monate nach Diagnose)

Geschlecht	0 Monate	20 Monate	40 Monate	60 Monate
Männer	225	81	58	48
Frauen	201	76	54	44

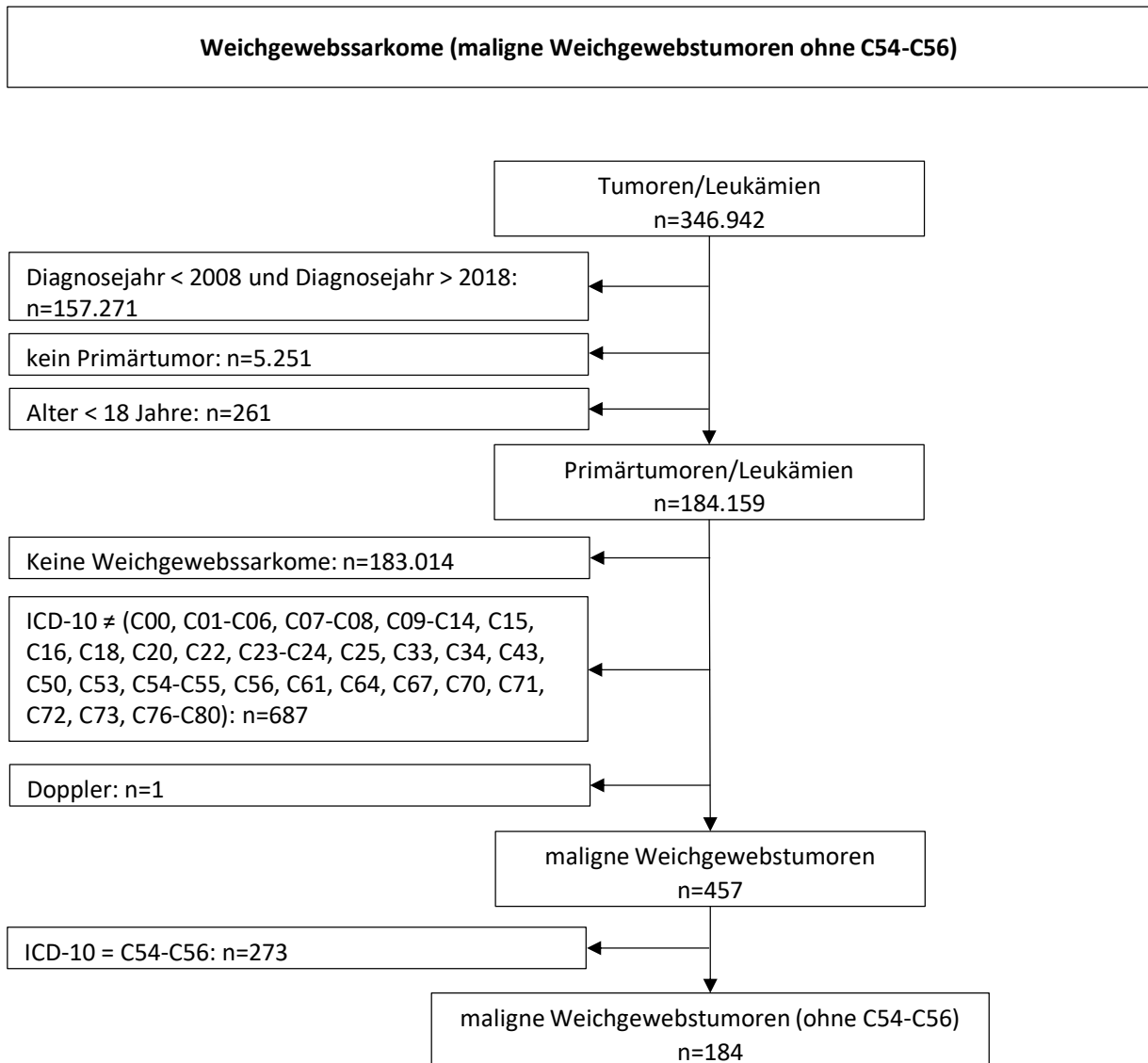


© KKR-MV 2020

Abb. 42.6. C92-C95 (ohne C92.1, C92.2): Absolutes und relatives Überleben im Diagnosezeitraum 2008 bis 2013 (Wohnort, Alter > 19)

43 Weichgewebssarkome (maligne Weichgewebstumoren ohne die Sarkome des Uterus und der Ovarien C54-C56)

43.1 Consort-Statement: Darstellung der Auswertepopulation



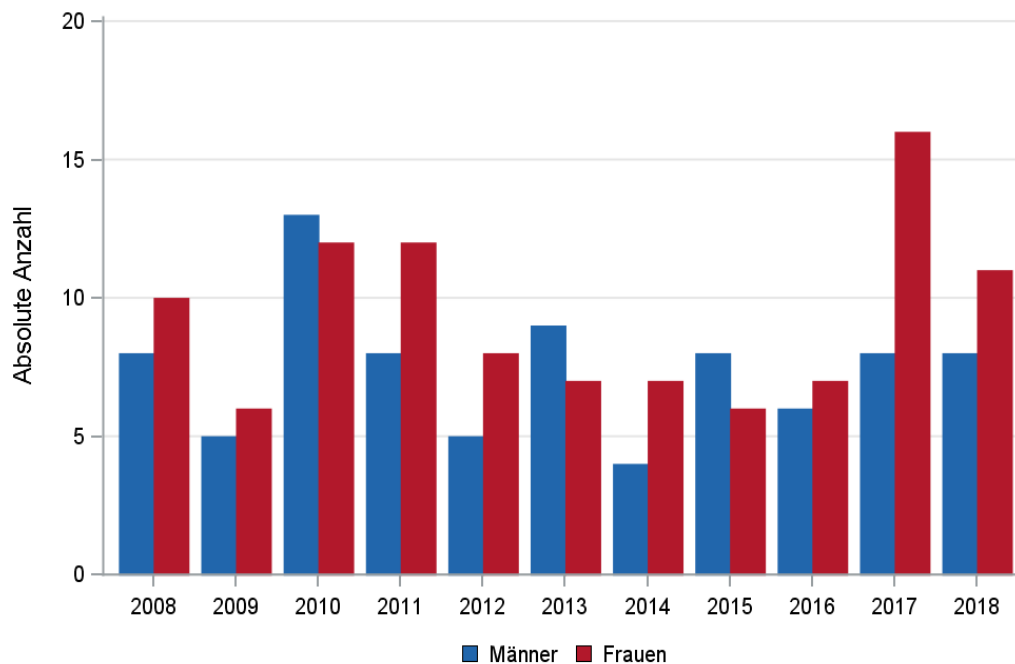
In dem Kapitel der Weichteilsarkome werden nur die ICD-10 eingeschlossen, die auch in den entitätenspezifischen Auswertungen berücksichtigt werden. Die maligne Weichgewebstumoren des Uterus und der Ovarien C54-C56 werden separat ausgewertet.

Aufgrund von sehr komplexen Fragestellungen sind detailliertere Auswertungen zu einem späteren Zeitpunkt geplant.

43.2 Absolute Anzahl der erfassten Neuerkrankungen in M-V in den Jahren 2008 – 2018 nach Geschlecht (Behandlungsort, Wohnort)

Tab. 43.1. Weichgewebssarkome (ohne C54-C56): Absolute Anzahl der Neuerkrankungen nach Geschlecht (Behandlungsort)

Diagnosejahr	Männer		Frauen		Summe
	Anzahl	%	Anzahl	%	
2008	8	44,4	10	55,6	18
2009	5	45,5	6	54,5	11
2010	13	52,0	12	48,0	25
2011	8	40,0	12	60,0	20
2012	5	38,5	8	61,5	13
2013	9	56,3	7	43,8	16
2014	4	36,4	7	63,6	11
2015	8	57,1	6	42,9	14
2016	6	46,2	7	53,8	13
2017	8	33,3	16	66,7	24
2018	8	42,1	11	57,9	19
Summe	82	44,6	102	55,4	184

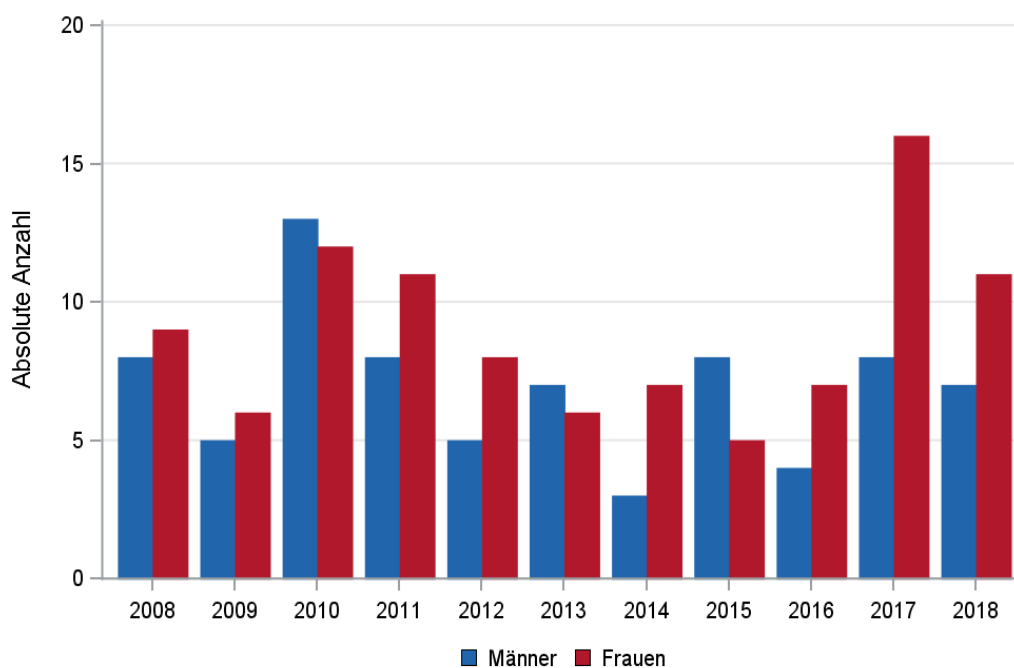


© KKR-MV 2020

Abb. 43.1. Weichgewebssarkome (ohne C54-C56): Absolute Anzahl der Neuerkrankungen nach Geschlecht im Diagnosezeitraum 2008 bis 2018 (Behandlungsort)

Tab. 43.2. Weichgewebssarkome (ohne C54-C56): Absolute Anzahl der Neuerkrankungen nach Geschlecht (Wohnort)

Diagnosejahr	Männer		Frauen		Summe
	Anzahl	%	Anzahl	%	
2008	8	47,1	9	52,9	17
2009	5	45,5	6	54,5	11
2010	13	52,0	12	48,0	25
2011	8	42,1	11	57,9	19
2012	5	38,5	8	61,5	13
2013	7	53,8	6	46,2	13
2014	3	30,0	7	70,0	10
2015	8	61,5	5	38,5	13
2016	4	36,4	7	63,6	11
2017	8	33,3	16	66,7	24
2018	7	38,9	11	61,1	18
Summe	76	43,7	98	56,3	174



© KKR-MV 2020

Abb. 43.2. Weichgewebssarkome (ohne C54-C56): Absolute Anzahl der Neuerkrankungen nach Geschlecht im Diagnosezeitraum 2008 bis 2018 (Wohnort)

43.3 Absolute Anzahl der erfassten Neuerkrankungen in M-V in den Jahren 2008 – 2018 nach Landkreisen (Wohnort)

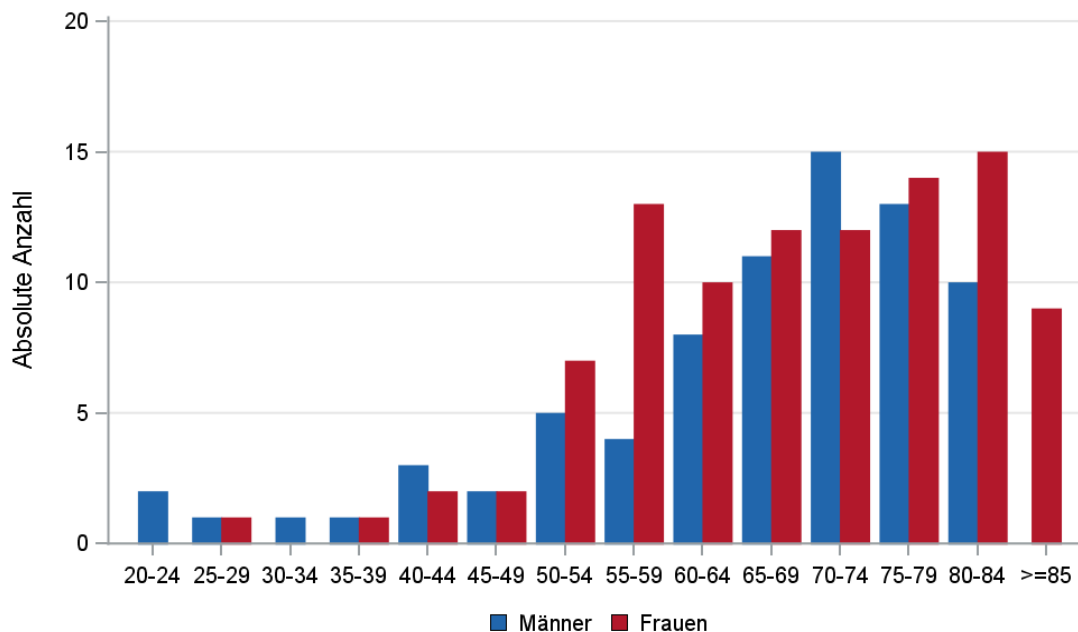
Tab. 43.3. Weichgewebssarkome (ohne C54-C56): Absolute Anzahl und prozentualer Anteil der Neuerkrankungen nach Landkreisen

Landkreis	2008		2009		2010		2011		2012		2013		2014		2015		2016		2017		2018		Summe	
	Anzahl	%	Anzahl	%	Anzahl	%	Anzahl	%	Anzahl	%	Anzahl	%	Anzahl	%	Anzahl	%	Anzahl	%	Anzahl	%	Anzahl	%	Anzahl	%
Landkreis Rostock	1	5,9	1	9,1	1	4,0	0	0	5	38,5	2	15,4	2	20,0	2	15,4	2	18,2	3	12,5	4	22,2	23	13,2
Ludwigslust-Parchim	3	17,6	3	27,3	0	0	5	26,3	2	15,4	1	7,7	0	0	1	7,7	1	9,1	1	4,2	0	0	17	9,8
Mecklenburgische Seenplatte	4	23,5	2	18,2	5	20,0	5	26,3	1	7,7	0	0	1	10,0	2	15,4	0	0	6	25,0	3	16,7	29	16,7
Nordwestmecklenburg	2	11,8	0	0	3	12,0	1	5,3	0	0	0	0	1	10,0	1	7,7	1	9,1	3	12,5	0	0	12	6,9
Rostock	3	17,6	1	9,1	5	20,0	2	10,5	0	0	1	7,7	1	10,0	1	7,7	0	0	1	4,2	5	27,8	20	11,5
Schwerin	1	5,9	0	0	2	8,0	3	15,8	0	0	3	23,1	0	0	2	15,4	0	0	3	12,5	2	11,1	16	9,2
Vorpommern-Greifswald	3	17,6	1	9,1	6	24,0	2	10,5	1	7,7	1	7,7	4	40,0	1	7,7	4	36,4	4	16,7	2	11,1	29	16,7
Vorpommern-Rügen	0	0	2	18,2	3	12,0	1	5,3	4	30,8	5	38,5	1	10,0	3	23,1	3	27,3	3	12,5	2	11,1	27	15,5
nicht zuordenbar	0	0	1	9,1	0	0	0	0	0	0	0	0	0	0	0	0	0	0	0	0	0	0	1	0,6
Summe	17	100,0	11	100,0	25	100,0	19	100,0	13	100,0	13	100,0	10	100,0	13	100,0	11	100,0	24	100,0	18	100,0	174	100,0

43.4 Rohe und standardisierte Neuerkrankungsraten pro 100.000 Einwohner in den Jahren 2008-2018 (Wohnort)

Tab. 43.4. Weichgewebssarkome (ohne C54-C56): Neuerkrankungsrate/100.000 Einwohner (Alter > 19)

Diagnosejahr	Männer			Frauen		
	absolute Anzahl der Neuerkrankungen	rohe Rate in M-V	altersstandardisierte Rate	absolute Anzahl der Neuerkrankungen	rohe Rate in M-V	altersstandardisierte Rate
2008	8	1,2	1,0	9	1,3	0,9
2009	5	0,7	0,7	6	0,8	0,7
2010	13	1,9	1,4	12	1,7	1,1
2011	8	1,2	0,8	11	1,6	1,1
2012	5	0,8	0,7	8	1,2	0,7
2013	7	1,1	0,8	6	0,9	0,4
2014	3	0,5	0,3	7	1,0	0,6
2015	8	1,2	1,0	5	0,7	0,4
2016	4	0,6	0,4	7	1,0	0,8
2017	8	1,2	0,8	16	2,3	1,5
2018	7	1,1	0,8	11	1,6	1,2
2008-2018	76	1,0	0,8	98	1,3	0,8



© KKR-MV 2020

Abb. 43.3. Weichgewebssarkome (ohne C54-C56): Absolute Anzahl der Neuerkrankungen aufgelistet in 5-Jahres-Altersgruppen und nach Geschlecht im Diagnosezeitraum 2008 bis 2018 (Wohnort)

43.5 Alter der in den Jahren 2008 - 2018 in M-V neuerkrankten Patienten (Behandlungsort)

Tab. 43.5. Weichgewebssarkome (ohne C54-C56): Erkrankungsalter (Behandlungsort)

Diagnosejahr	Männer				Frauen			
	Anzahl	Median	Minimum	Maximum	Anzahl	Median	Minimum	Maximum
2008	37	65	18	85	31	68	18	96
2009	41	67	23	84	28	63	22	81
2010	32	66	30	83	33	69	28	88
2011	31	70	18	89	29	72	33	90
2012	34	67	21	88	27	69	20	85
2013	34	71	23	88	35	75	31	97
2014	41	69	25	86	27	69	29	93
2015	42	71	29	91	38	70	25	94
2016	36	65	19	87	34	64	31	94
2017	41	71	22	89	43	70	33	91
2018	41	67	26	88	44	70	28	91

43.6 Absolute Anzahl der erfassten Neuerkrankungen in M-V in den Jahren 2008 – 2018 nach Lokalisation

Tab. 43.6. Weichgewebssarkome (ohne C54-C56): Absolute Anzahl und prozentualer Anteil der Neuerkrankungen nach der Lokalisation (Behandlungsort)

Lokalisation	2008	2009	2010	2011	2012	2013	2014	2015	2016	2017	2018	Summe	
												Anzahl	%
C03 Mundschleimhaut	0	0	0	0	0	1	0	1	0	0	0	2	1,1
C05 Gaumen	0	0	1	0	0	0	0	0	0	0	0	1	0,5
C06 Andere und nicht näher bezeichnete Teile des Mundes	0	0	0	0	0	2	0	0	0	0	0	2	1,1
C07 Parotis	2	0	0	0	0	0	0	0	0	0	1	3	1,6
C08 Speicheldrüse	0	0	0	0	0	1	0	0	0	0	0	1	0,5
C09 Tonsille	0	0	0	0	0	0	0	0	1	0	0	1	0,5
C11 Nasopharynx	0	0	0	0	0	0	0	1	0	0	0	1	0,5
C13 Hypopharynx	1	0	0	0	0	0	0	0	0	0	0	1	0,5
C15 Ösophagus	0	0	1	0	1	0	0	0	1	0	1	4	2,2
C16 Magen	1	1	2	0	0	1	0	0	1	0	0	6	3,2
C18 Kolon	0	3	1	1	1	1	0	0	1	0	0	8	4,3
C20 Rektum	0	0	0	1	0	0	0	1	0	0	0	2	1,1
C22 Leber	1	0	1	1	0	2	1	0	0	2	3	11	5,9
C23 Gallenblase	0	0	0	0	0	1	0	0	0	0	0	1	0,5
C25 Bauchspeicheldrüse	0	0	0	0	0	0	0	0	0	0	1	1	0,5
C34 Lunge	2	1	7	8	3	2	2	2	2	3	2	34	18,4
C49 Bindegewebe, Subkutane und andere Weichteilgewebe	1	0	1	0	0	0	0	0	0	0	0	2	1,1
C50 Brustdrüse	7	0	7	1	3	0	2	6	3	7	2	38	20,5
C53 Gebärmutterhals	1	0	1	1	0	0	1	0	0	2	2	8	4,3
C64 Nieren	0	1	0	2	1	2	1	1	0	2	1	11	5,9
C67 Harnblase	1	0	0	0	2	1	0	0	1	2	0	7	3,8
C70 Meningen	0	0	0	0	0	0	0	0	0	0	1	1	0,5
C73 Schilddrüse	0	0	0	0	0	0	0	0	0	1	1	2	1,1

Lokalisation	2008	2009	2010	2011	2012	2013	2014	2015	2016	2017	2018	Summe	
												Anzahl	%
C76 andere und mangelhaft bezeichnete Lokalisationen	1	2	0	2	1	1	0	0	0	1	0	8	4,3
C77 Lymphknoten	0	0	0	0	0	0	0	0	0	1	0	1	0,5
C80.9 Unbekannte Primärlokalisation	1	3	3	3	1	1	4	2	3	3	4	28	15,1
Summe	19	11	25	20	13	16	11	14	13	24	19	185	100,0

43.7 Histologische Befunde bei allen neuerkrankten Patienten in M-V in den Jahren 2008 – 2018

Tab. 43.7. Weichgewebssarkome (ohne C54-C56): Histologische Befunde bei neuerkrankten Patienten (Behandlungsort)

Histologiecode	Anzahl	Prozent
9120/3: Hämangiosarkom	34	18,5
8890/3: Leiomyosarkom o.n.A.	24	13,0
8800/3: Sarkom o.n.A.	19	10,3
8980/3: Karzinosarkom o.n.A.	19	10,3
9020/3: Maligner Phylloides-Tumor	11	6,0
8982/3: Malignes Myoepitheliom	9	4,9
8802/3: Riesenzellsarkom	6	3,3
8805/3: Undifferenziertes Sarkom	6	3,3
8830/3: Malignes fibröses Histiozytom	6	3,3
8815/3: Maligner solitärer fibröser Tumor	5	2,7
8801/3: Spindelzellsarkom	4	2,2
8900/3: Rhabdomyosarkom o.n.A.	4	2,2
8901/3: Adultes pleomorphes Rhabdomyosarkom	3	1,6
8920/3: Alveoläres Rhabdomyosarkom	3	1,6
9040/3: Synovialsarkom o.n.A.	3	1,6
8810/3: Fibrosarkom o.n.A.	2	1,1
8811/3: Fibromyxosarkom	2	1,1
8854/3: Pleomorphes Liposarkom	2	1,1
9041/3: Spindelzelliges Synovialsarkom	2	1,1
9133/3: Epitheloides malignes Hämangioendotheliom	2	1,1
9180/3: Osteosarkom o.n.A.	2	1,1
9220/3: Chondrosarkom o.n.A.	2	1,1
9260/3: Ewing-Sarkom	2	1,1
8803/3: Kleinzelliges Sarkom	1	0,5
8851/3: Gut differenziertes Liposarkom	1	0,5
8852/3: Myxoides Liposarkom	1	0,5
8858/3: Entdifferenziertes Liposarkom	1	0,5
8891/3: Epitheloides Leiomyosarkom	1	0,5
8910/3: Embryonales Rhabdomyosarkom	1	0,5
8912/3: Spindelzelliges Rhabdomyosarkom	1	0,5
8990/3: Malignes Mesenchymom	1	0,5
8991/3: Embryonales Sarkom	1	0,5
9043/3: Biphasisches Synovialsarkom	1	0,5
8930/3: Stromasarkom des Endometriums o.n.A.	1	0,5
8950/3: Maligner Müller-Mischtumor	1	0,5
Sarkome und Weichteiltumoren	184	100,0

43.8 Lokalisation der Fernmetastasen

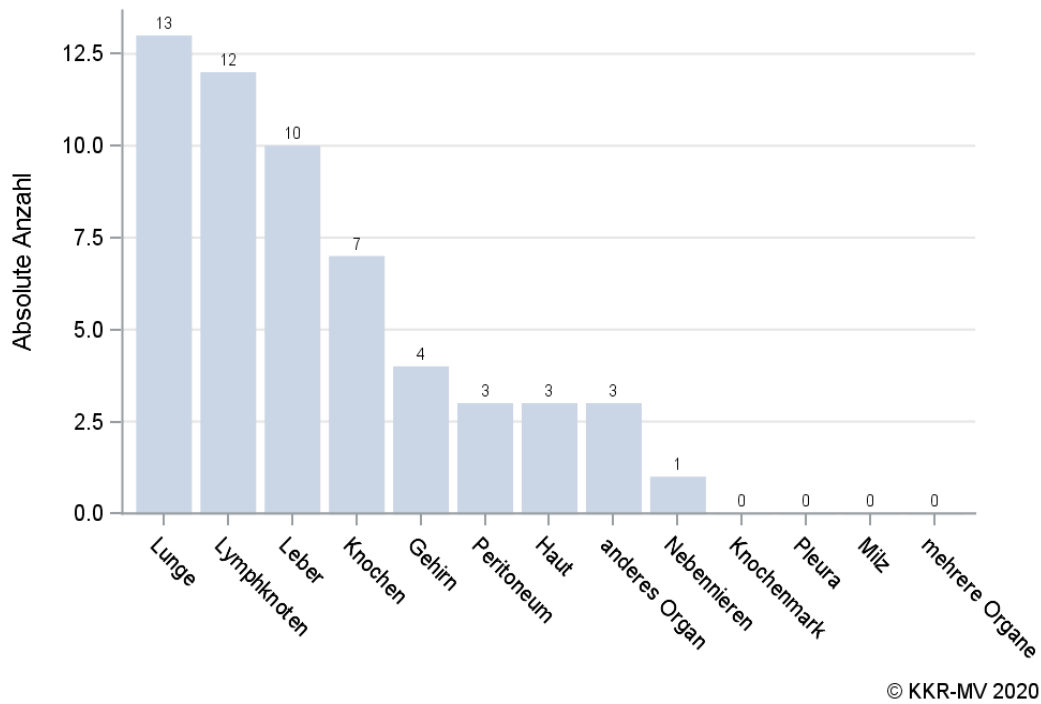
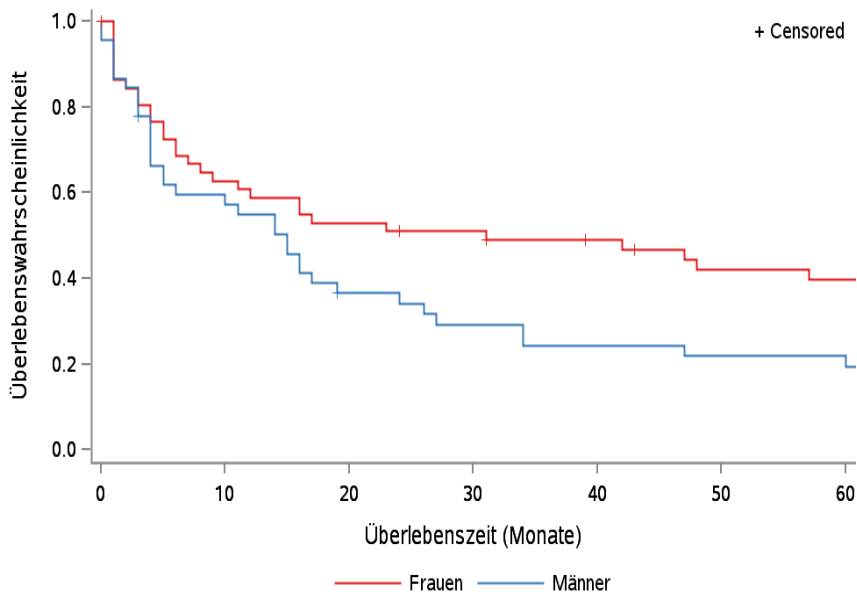


Abb. 43.4. Weichgewebssarkome (ohne C54-C56): Lokalisation der Fernmetastasen bei Neuerkrankungen im Diagnosezeitraum 2008 bis 2018

43.9 Überlebensanalysen bei den in den Jahren 2008 – 2013 primär diagnostizierten Patienten



© KKR-MV 2020

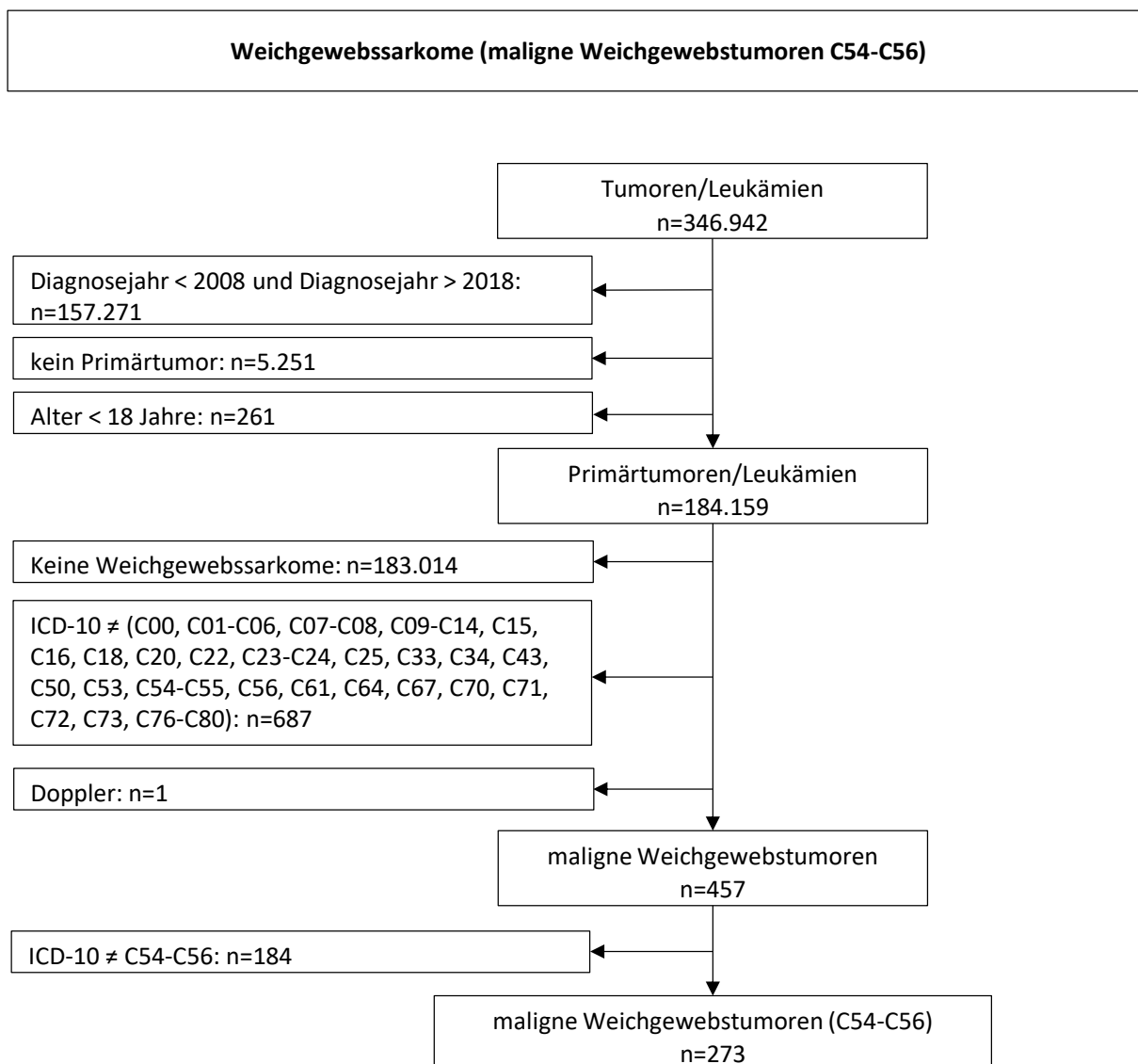
Abb.43.5. Weichgewebssarkome (ohne C54-C56): Wahrscheinlichkeit des Überlebens (Kaplan-Meier-Analyse) nach Geschlecht im Diagnosezeitraum von 2008 bis 2013 (Wohnort). Kaplan-Meier-Kurven werden für Kategorien mit weniger als 10 Neuerkrankungen nicht dargestellt.

Tab. 43.8. Weichgewebssarkome (ohne C54-C56): Anzahl der unter Risiko stehenden Neuerkrankungen (Monate nach Diagnose)

Geschlecht	0 Monate	20 Monate	40 Monate	60 Monate
Männer	45	15	10	9
Frauen	52	27	22	17

44 Weichgewebssarkome (maligne Weichgewebstumoren des Uterus und der Ovarien C54-C56)

44.1 Consort-Statement: Darstellung der Auswertepopulation



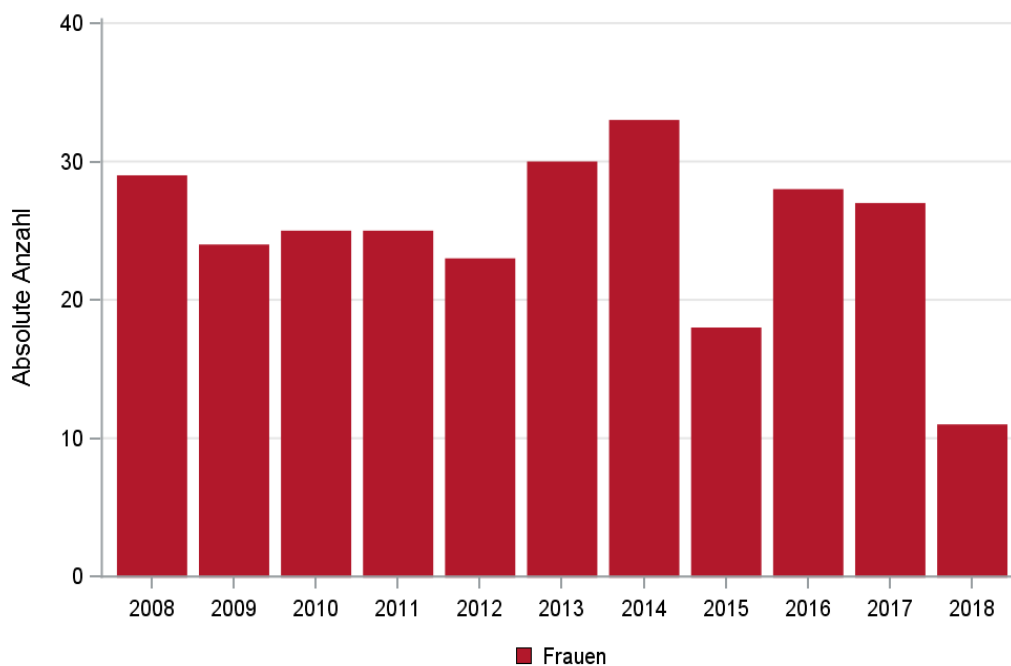
In dem Kapitel der Weichteilsarkome des Uterus und der Ovarien werden nur die ICD-10 eingeschlossen, die auch in den entitätenspezifischen Auswertungen berücksichtigt werden.

Aufgrund von sehr komplexen Fragestellungen sind detailliertere Auswertungen zu einem späteren Zeitpunkt geplant.

44.2 Absolute Anzahl der erfassten Neuerkrankungen in M-V in den Jahren 2008 – 2018 (Behandlungsort, Wohnort)

Tab. 44.1. Weichgewebssarkome des Uterus und der Ovarien (C54-C56): Absolute Anzahl der Neuerkrankungen (Behandlungsort)

Diagnosejahr	Anzahl
2008	29
2009	24
2010	25
2011	25
2012	23
2013	30
2014	33
2015	18
2016	28
2017	27
2018	11
Summe	273

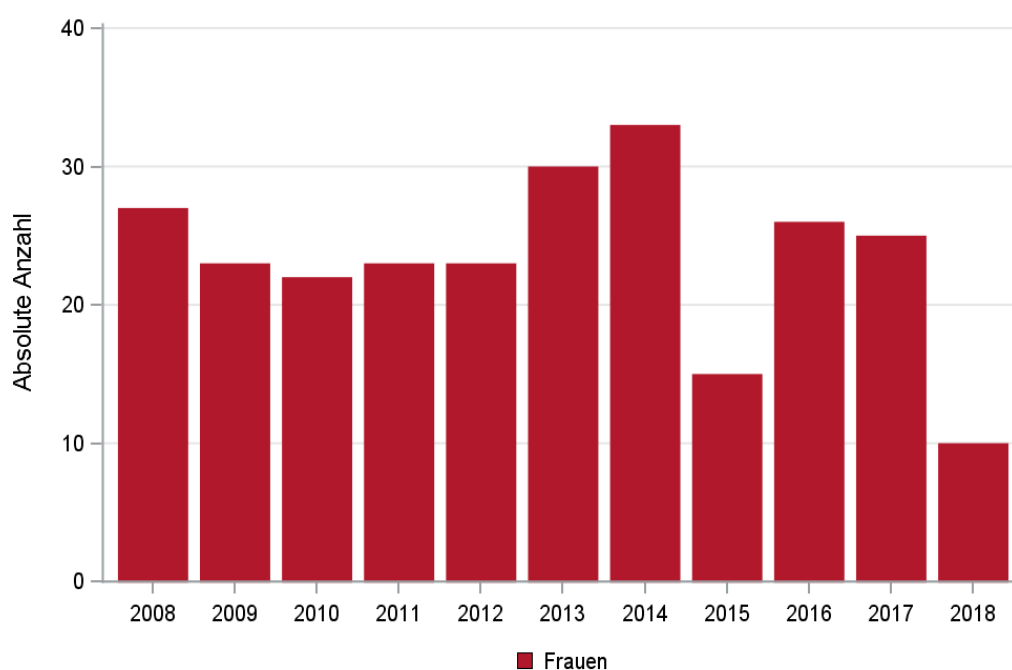


© KKR-MV 2020

Abb. 44.1. Weichgewebssarkome des Uterus und der Ovarien (C54-C56): Absolute Anzahl der Neuerkrankungen im Diagnosezeitraum 2008 bis 2018 (Behandlungsort)

Tab. 44.2. Weichgewebssarkome des Uterus und der Ovarien (C54-C56): Absolute Anzahl der Neuerkrankungen (Wohnort)

Diagnosejahr	Anzahl
2008	27
2009	23
2010	22
2011	23
2012	23
2013	30
2014	33
2015	15
2016	26
2017	25
2018	10
Summe	257



© KKR-MV 2020

Abb. 44.2. Weichgewebssarkome des Uterus und der Ovarien (C54-C56): Absolute Anzahl der Neuerkrankungen im Diagnosezeitraum 2008 bis 2018 (Wohnort)

44.3 Absolute Anzahl der erfassten Neuerkrankungen in M-V in den Jahren 2008 – 2018 nach Landkreisen (Wohnort)

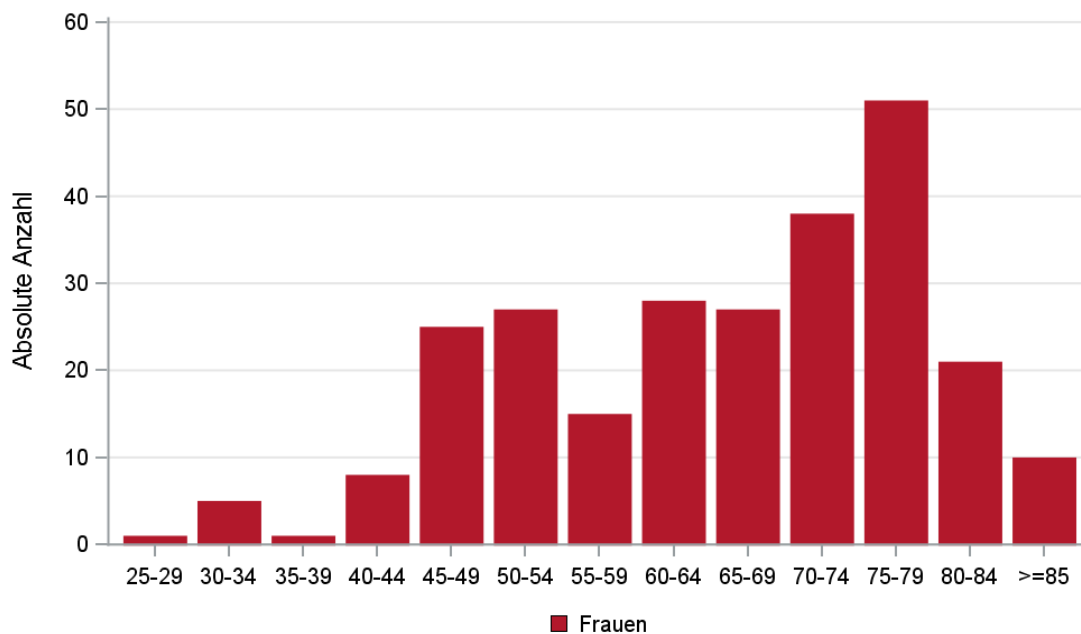
Tab. 44.3. Weichgewebssarkome des Uterus und der Ovarien (C54-C56): Absolute Anzahl und prozentualer Anteil der Neuerkrankungen nach Landkreisen

Landkreis	2008		2009		2010		2011		2012		2013		2014		2015		2016		2017		2018		Summe	
	Anzahl	%	Anzahl	%	Anzahl	%	Anzahl	%	Anzahl	%	Anzahl	%	Anzahl	%	Anzahl	%	Anzahl	%	Anzahl	%	Anzahl	%	Anzahl	%
Landkreis Rostock	2	7,4	0	0	1	4,5	5	21,7	1	4,3	4	13,3	7	21,2	3	20,0	4	15,4	2	8,0	3	30,0	32	12,5
Ludwigslust-Parchim	3	11,1	3	13,0	3	13,6	2	8,7	1	4,3	2	6,7	3	9,1	2	13,3	2	7,7	3	12,0	2	20,0	26	10,1
Mecklenburgische Seenplatte	4	14,8	8	34,8	4	18,2	3	13,0	6	26,1	7	23,3	7	21,2	0	0	3	11,5	9	36,0	1	10,0	52	20,2
Nordwestmecklenburg	0	0	2	8,7	2	9,1	1	4,3	2	8,7	1	3,3	0	0	1	6,7	0	0	1	4,0	0	0	10	3,9
Rostock	3	11,1	0	0	2	9,1	3	13,0	3	13,0	2	6,7	9	27,3	0	0	2	7,7	3	12,0	0	0	27	10,5
Schwerin	3	11,1	0	0	3	13,6	0	0	5	21,7	3	10,0	0	0	1	6,7	5	19,2	2	8,0	1	10,0	23	8,9
Vorpommern-Greifswald	8	29,6	7	30,4	3	13,6	5	21,7	2	8,7	5	16,7	2	6,1	1	6,7	2	7,7	3	12,0	1	10,0	39	15,2
Vorpommern-Rügen	4	14,8	3	13,0	4	18,2	4	17,4	3	13,0	6	20,0	5	15,2	7	46,7	8	30,8	2	8,0	2	20,0	48	18,7
Summe	27	100,0	23	100,0	22	100,0	23	100,0	23	100,0	30	100,0	33	100,0	15	100,0	26	100,0	25	100,0	10	100,0	257	100,0

44.4 Rohe und standardisierte Neuerkrankungsraten pro 100.000 Einwohner in den Jahren 2008-2018 (Wohnort)

Tab. 44.4. Weichgewebssarkome des Uterus und der Ovarien (C54-C56): Neuerkrankungsrate/100.000 Einwohner (Alter > 19)

Diagnosejahr	Frauen		
	absolute Anzahl Neuerkrankungen	rohe Rate in M-V	altersstandardisierte Rate
2008	27	3,8	2,8
2009	23	3,2	2,5
2010	22	3,1	2,6
2011	23	3,3	2,9
2012	23	3,3	2,0
2013	30	4,3	3,3
2014	33	4,8	3,7
2015	15	2,2	1,0
2016	26	3,8	2,8
2017	25	3,6	2,2
2018	10	1,5	0,9
2008-2018	257	3,4	2,4



© KKR-MV 2020

Abb. 44.3. Weichgewebssarkome des Uterus und der Ovarien (C54-C56): Absolute Anzahl der Neuerkrankungen aufgelistet in 5-Jahres-Altersgruppen im Diagnosezeitraum 2008 bis 2018 (Wohnort)

44.5 Alter der in den Jahren 2008 - 2018 in M-V neuerkrankten Patienten (Behandlungsort)

Tab. 44.5. Weichgewebssarkome des Uterus und der Ovarien (C54-C56): Erkrankungsalter (Behandlungsort)

Diagnosejahr	Frauen			
	Anzahl	Median	Minimum	Maximum
2008	29	66	41	86
2009	24	67	25	78
2010	25	60	34	89
2011	25	54	31	90
2012	23	75	46	86
2013	30	63	33	84
2014	33	65	42	85
2015	18	77	44	88
2016	28	67	43	84
2017	27	75	34	87
2018	11	70	33	83

44.6 Absolute Anzahl der erfassten Neuerkrankungen in M-V in den Jahren 2008 – 2018 nach Lokalisation

Tab. 44.6. Weichgewebssarkome des Uterus und der Ovarien (C54-C56): Absolute Anzahl und prozentualer Anteil der Neuerkrankungen nach der Lokalisation (Behandlungsort)

Lokalisation	2008	2009	2010	2011	2012	2013	2014	2015	2016	2017	2018	Summe	
												Anzahl	%
C54.1 Endometrium (Stroma und Drüsen)	5	5	1	5	5	4	3	1	5	9	2	45	16,5
C54.2 Myometrium	1	1	0	1	0	0	1	1	1	1	2	9	3,3
C54.3 Fundus uteri	0	0	0	3	3	3	5	0	0	2	0	16	5,9
C54.8 Corpus uteri(mehrere Teilbereiche überlappend)	2	4	7	7	3	9	14	3	7	4	2	62	22,7
C54.9 Corpus uteri o.n.A.	12	7	10	7	6	6	3	9	12	6	3	81	29,7
C55.9 Uterus o.n.A.	5	4	3	0	2	3	2	1	1	2	0	23	8,4
C56.9 Ovar	4	3	4	2	4	5	5	3	2	3	2	37	13,6
Summe	29	24	25	25	23	30	33	18	28	27	11	273	100,0

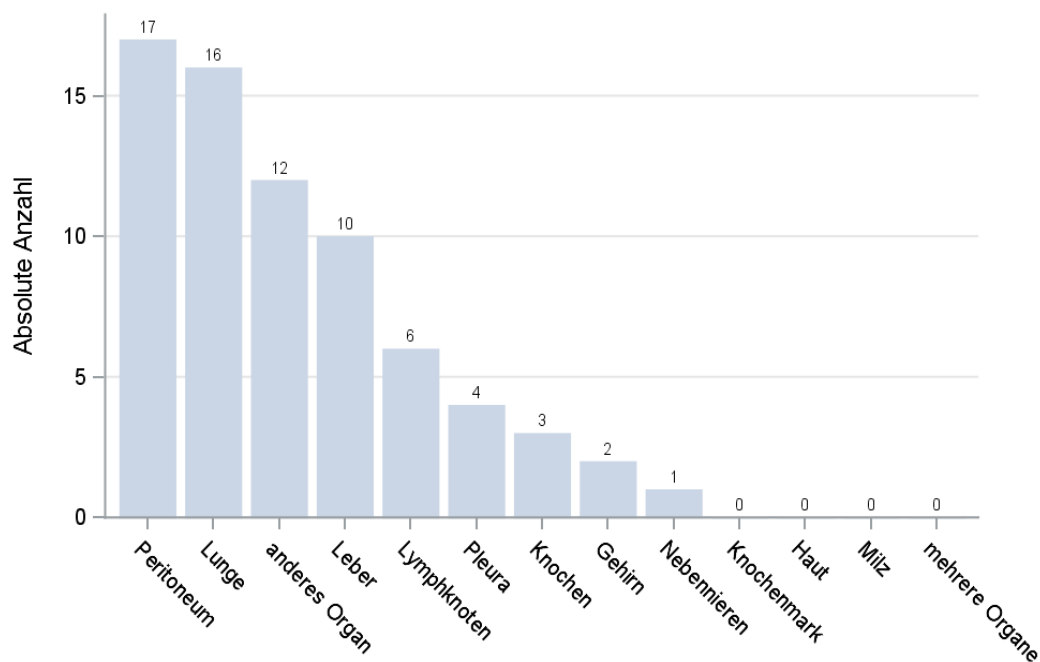
44.7 Histologische Befunde bei allen neuerkrankten Patienten in M-V in den Jahren 2008 – 2018

Tab. 44.7. Weichgewebssarkome des Uterus und der Ovarien (C54-C56): Histologische Befunde bei neuerkrankten Patienten (Behandlungsort)

Histologiecode	Anzahl	Prozent
8980/3: Karzinosarkom o.n.A.	94	34,4
8950/3: Maligner Müller-Mischtumor	51	18,7
8890/3: Leiomyosarkom o.n.A.	41	15,0
8930/3: Stromasarkom des Endometriums o.n.A.	26	9,5

Histologiecode	Anzahl	Prozent
8933/3: Adenosarkom	21	7,7
8931/3: Niedrigmalignes Stromasarkom des Endometriums	15	5,5
8935/3: Stromasarkom o.n.A.	5	1,8
8800/3: Sarkom o.n.A.	3	1,1
8805/3: Undifferenziertes Sarkom	3	1,1
8900/3: Rhabdomyosarkom o.n.A.	3	1,1
8810/3: Fibrosarkom o.n.A.	2	0,7
8896/3: Myxoides Leiomyosarkom	2	0,7
8990/3: Malignes Mesenchymom	2	0,7
8804/3: Epitheloidsarkom	1	0,4
8891/3: Epitheloides Leiomyosarkom	1	0,4
8901/3: Adultes pleomorphes Rhabdomyosarkom	1	0,4
8902/3: Rhabdomyosarkom vom Mischtyp	1	0,4
8960/3: Nephroblastom o.n.A.	1	0,4
Sarkome und Weichteiltumoren	273	100,0

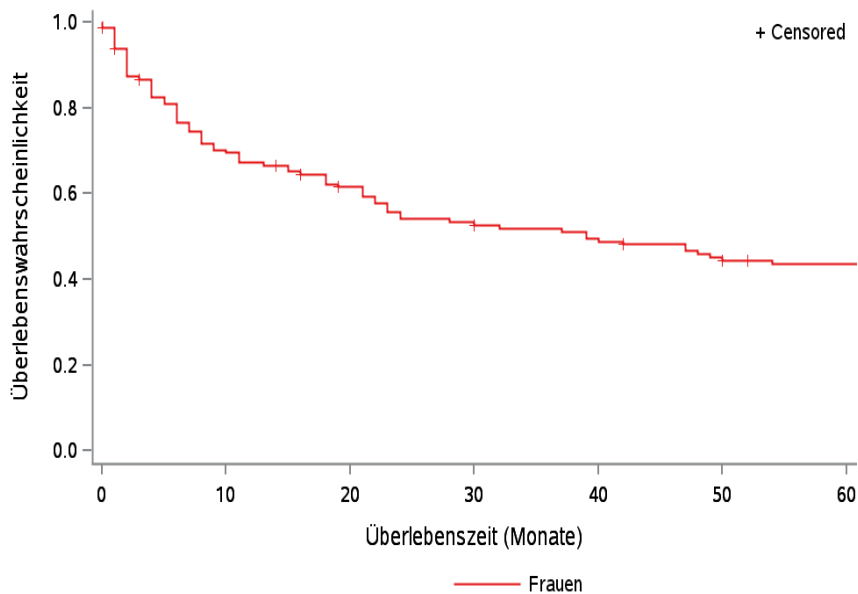
44.8 Lokalisation der Fernmetastasen



© KKR-MV 2020

Abb. 44.4. Weichgewebssarkome des Uterus und der Ovarien (C54-C56): Lokalisation der Fernmetastasen bei Neuerkrankungen im Diagnosezeitraum 2008 bis 2018

44.9 Überlebensanalysen bei den in den Jahren 2008 – 2013 primär diagnostizierten Patienten



© KKR-MV 2020

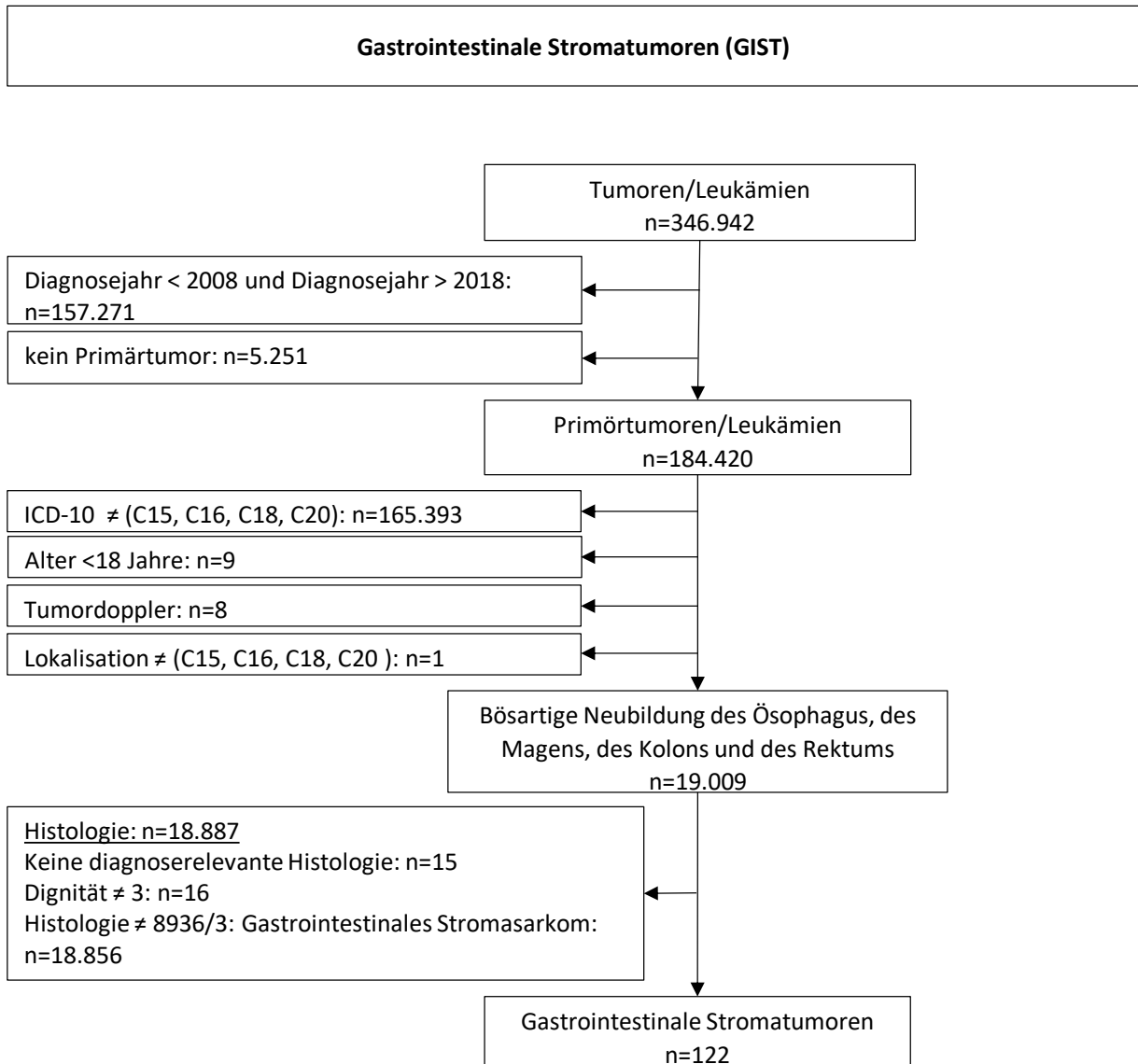
Abb. 44.5. Weichgewebssarkome des Uterus und der Ovarien (C54-C56); Wahrscheinlichkeit des Überlebens (Kaplan-Meier-Analyse) im Diagnosezeitraum von 2008 bis 2013 (Wohnort). Kaplan-Meier-Kurven werden für Kategorien mit weniger als 10 Neuerkrankungen nicht dargestellt.

Tab. 43.8. Weichgewebssarkome des Uterus und der Ovarien (C54-C56): Anzahl der unter Risiko stehenden Neuerkrankungen (Monate nach Diagnose)

Geschlecht	0 Monate	20 Monate	40 Monate	60 Monate
Frauen	148	83	66	55

45 Gastrointestinale Stromatumoren (GIST)

45.1 Consort-Statement: Darstellung der Auswertepopulation



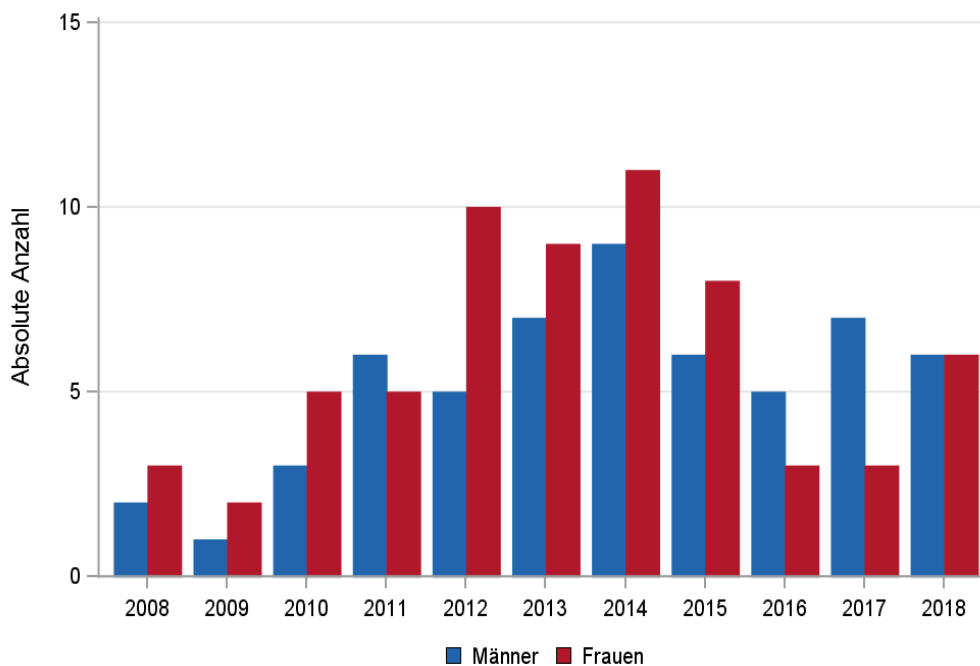
Da im Rahmen dieses Berichts keine Analysen bei Patienten mit Dünndarmtumoren durchgeführt wurden, sind in diesem Kapitel auch keine GIST des Dünndarms erfasst. Dies erfolgt im nächsten Bericht.

Aufgrund von sehr komplexen Fragestellungen sind detailliertere Auswertungen zu einem späteren Zeitpunkt geplant.

45.1 Absolute Anzahl der erfassten Neuerkrankungen in M-V in den Jahren 2008 – 2018 nach Geschlecht (Behandlungsort, Wohnort)

Tab. 45.1. GIST: Absolute Anzahl der Neuerkrankungen nach Geschlecht (Behandlungsort)

Diagnosejahr	Männer		Frauen		Summe
	Anzahl	%	Anzahl	%	
2008	2	40,0	3	60,0	5
2009	1	33,3	2	66,7	3
2010	3	37,5	5	62,5	8
2011	6	54,5	5	45,5	11
2012	5	33,3	10	66,7	15
2013	7	43,8	9	56,3	16
2014	9	45,0	11	55,0	20
2015	6	42,9	8	57,1	14
2016	5	62,5	3	37,5	8
2017	7	70,0	3	30,0	10
2018	6	50,0	6	50,0	12
Summe	57	46,7	65	53,3	122

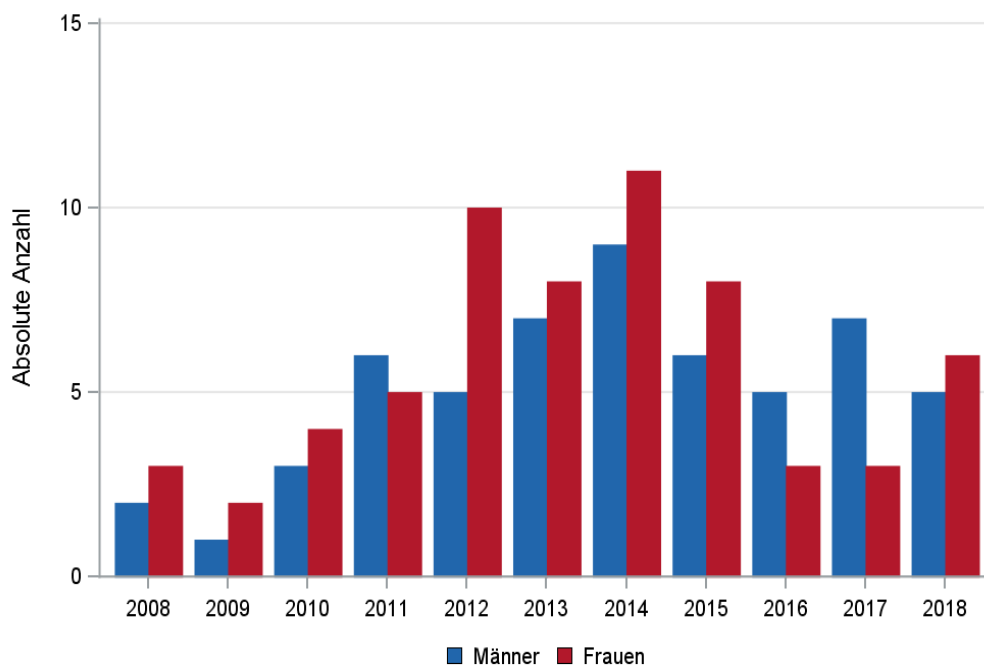


© KKR-MV 2020

Abb. 45.1. GIST: Absolute Anzahl der Neuerkrankungen nach Geschlecht im Diagnosezeitraum 2008 bis 2018 (Behandlungsort)

Tab. 45.2. GIST: Absolute Anzahl der Neuerkrankungen nach Geschlecht (Wohnort)

Diagnosejahr	Männer		Frauen		Summe
	Anzahl	%	Anzahl	%	
2008	2	40,0	3	60,0	5
2009	1	33,3	2	66,7	3
2010	3	42,9	4	57,1	7
2011	6	54,5	5	45,5	11
2012	5	33,3	10	66,7	15
2013	7	46,7	8	53,3	15
2014	9	45,0	11	55,0	20
2015	6	42,9	8	57,1	14
2016	5	62,5	3	37,5	8
2017	7	70,0	3	30,0	10
2018	5	45,5	6	54,5	11
Summe	56	47,1	63	52,9	119



© KKR-MV 2020

Abb. 45.2. GIST: Absolute Anzahl der Neuerkrankungen nach Geschlecht im Diagnosezeitraum 2008 bis 2018 (Wohnort)

45.2 Absolute Anzahl der erfassten Neuerkrankungen in M-V in den Jahren 2008 – 2018 nach Landkreisen (Wohnort)

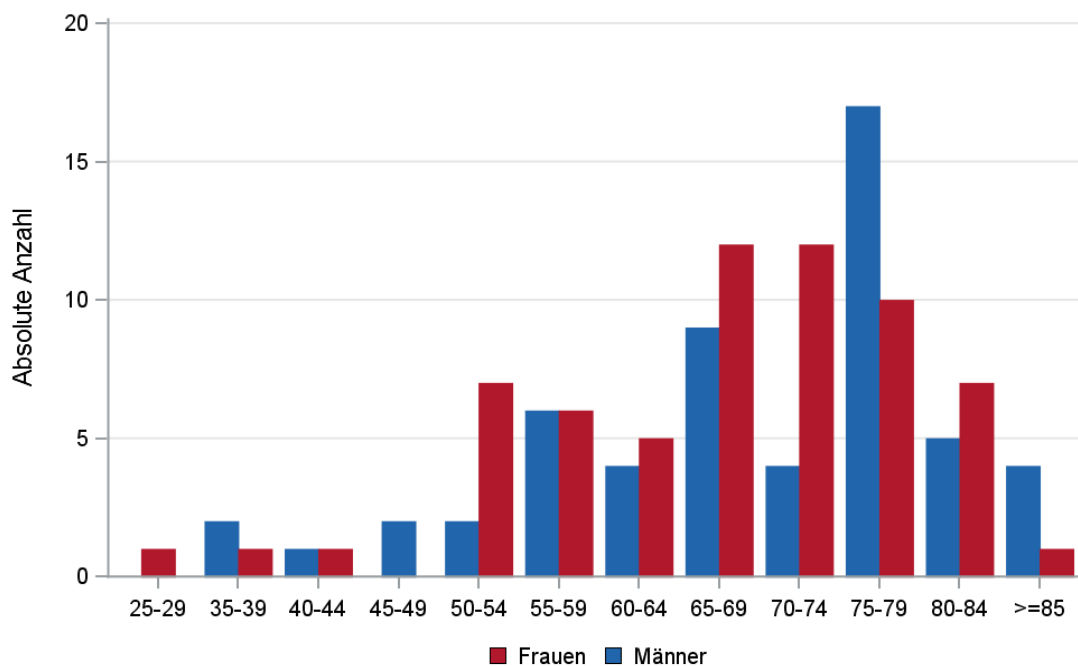
Tab. 45.3. GIST: Absolute Anzahl und prozentualer Anteil der Neuerkrankungen nach Landkreisen

Landkreis	2008		2009		2010		2011		2012		2013		2014		2015		2016		2017		2018		Summe	
	Anzahl	%	Anzahl	%	Anzahl	%	Anzahl	%	Anzahl	%	Anzahl	%	Anzahl	%	Anzahl	%	Anzahl	%	Anzahl	%	Anzahl	%	Anzahl	%
Landkreis Rostock	0	0	1	33,3	0	0	1	9,1	3	20,0	4	26,7	2	10,0	3	21,4	1	12,5	1	10,0	0	0	16	13,4
Ludwigslust-Parchim	1	20,0	0	0	0	0	3	27,3	4	26,7	1	6,7	6	30,0	5	35,7	2	25,0	3	30,0	0	0	25	21,0
Mecklenburgische Seenplatte	2	40,0	0	0	2	28,6	2	18,2	2	13,3	3	20,0	4	20,0	2	14,3	0	0	2	20,0	2	18,2	21	17,6
Nordwestmecklenburg	0	0	1	33,3	0	0	2	18,2	3	20,0	0	0	2	10,0	0	0	0	0	1	10,0	1	9,1	10	8,4
Rostock	2	40,0	0	0	3	42,9	2	18,2	1	6,7	2	13,3	2	10,0	1	7,1	2	25,0	0	0	0	0	15	12,6
Schwerin	0	0	1	33,3	1	14,3	1	9,1	0	0	5	33,3	3	15,0	2	14,3	2	25,0	0	0	2	18,2	17	14,3
Vorpommern-Greifswald	0	0	0	0	1	14,3	0	0	2	13,3	0	0	0	0	1	7,1	1	12,5	3	30,0	1	9,1	9	7,6
Vorpommern-Rügen	0	0	0	0	0	0	0	0	0	0	0	0	1	5,0	0	0	0	0	0	0	5	45,5	6	5,0
Summe	5	100,0	3	100,0	7	100,0	11	100,0	15	100,0	15	100,0	20	100,0	14	100,0	8	100,0	10	100,0	11	100,0	119	100,0

45.3 Rohe und standardisierte Neuerkrankungsraten pro 100.000 Einwohner in den Jahren 2008-2018 (Wohnort)

Tab. 45.4. GIST: Neuerkrankungsrate/100.000 Einwohner (Alter > 19)

Diagnosejahr	Männer			Frauen		
	absolute Anzahl der Neuerkrankungen	rohe Rate in M-V	altersstandardisierte Rate	absolute Anzahl der Neuerkrankungen	rohe Rate in M-V	altersstandardisierte Rate
2008	2	0,3	0,3	3	0,4	0,4
2009	1	0,1	0,2	2	0,3	0,2
2010	3	0,4	0,4	4	0,6	0,3
2011	6	0,9	0,7	5	0,7	0,5
2012	5	0,8	0,6	10	1,4	1,2
2013	7	1,1	0,8	8	1,2	0,7
2014	9	1,4	1,1	11	1,6	0,9
2015	6	0,9	0,7	8	1,2	0,8
2016	5	0,8	0,5	3	0,4	0,3
2017	7	1,1	0,7	3	0,4	0,3
2018	5	0,8	0,5	6	0,9	0,6
2008-2018	56	0,8	0,6	63	0,8	0,6



© KKR-MV 2020

Abb. 45.3. GIST: Absolute Anzahl der Neuerkrankungen aufgelistet in 5-Jahres-Altersgruppen und nach Geschlecht im Diagnosezeitraum 2008 bis 2018 (Wohnort)

45.4 Alter der in den Jahren 2008 - 2018 in M-V neuerkrankten Patienten (Behandlungsort)

Tab. 45.5. GIST: Erkrankungsalter (Behandlungsort)

Diagnosejahr	Männer				Frauen			
	Anzahl	Median	Minimum	Maximum	Anzahl	Median	Minimum	Maximum
2008	2	58	38	77	3	66	62	66
2009	1	88	88	88	2	70	69	71
2010	3	78	67	89	5	73	51	78
2011	6	74	49	88	5	69	63	73
2012	5	70	65	77	10	67	43	87
2013	7	73	58	79	9	73	50	84
2014	9	69	37	87	11	74	64	83
2015	6	63	48	76	8	57	54	79
2016	5	72	57	82	3	65	59	76
2017	7	75	40	83	3	77	38	80
2018	6	64	54	83	6	72	29	81

45.5 Absolute Anzahl der erfassten Neuerkrankungen in M-V in den Jahren 2008 – 2018 nach Lokalisation

Tab. 45.6. GIST: Absolute Anzahl und prozentualer Anteil der Neuerkrankungen nach der Lokalisation (Behandlungsort)

Lokalisation	2008	2009	2010	2011	2012	2013	2014	2015	2016	2017	2018	Summe	
												Anzahl	%
C15.5 Ösophagus, unteres intrathorakales Drittel	0	0	0	1	0	0	0	0	0	0	0	1	0,8
C16.0 Kardia (ösophago-kardialer Übergang)	0	0	1	1	1	1	1	1	0	1	0	7	5,7
C16.1 Fundus	1	1	1	2	4	4	2	2	2	3	2	24	19,7
C16.11 Fundus (kleine Krümmung)	0	0	1	0	1	1	0	0	0	0	1	4	3,3
C16.12 Fundus (Vorderwand)	1	0	0	0	0	0	1	0	0	0	0	2	1,6
C16.13 Fundus (große Krümmung)	0	0	0	1	0	1	0	0	0	1	0	3	2,5
C16.2 Korpus	1	0	2	2	3	4	6	3	0	2	2	25	20,5
C16.21 Korpus (kleine Krümmung)	0	0	0	0	0	0	1	1	0	0	0	2	1,6
C16.22 Korpus (Vorderwand)	0	1	0	0	0	0	0	0	1	0	0	2	1,6
C16.23 Korpus (große Krümmung)	0	0	1	0	0	1	0	0	0	1	2	5	4,1
C16.24 Korpus (Hinterwand)	0	0	0	1	1	0	0	0	1	0	0	3	2,5
C16.3 Antrum	0	0	1	0	1	0	4	1	0	0	0	7	5,7
C16.5 Kleine Krümmung o.n.A.	0	0	0	0	0	0	0	2	1	0	0	3	2,5
C16.6 Große Krümmung o.n.A.	0	0	0	0	0	0	0	0	0	0	2	2	1,6
C16.8 Magen (mehrere Teilbereiche überlappend)	0	1	0	1	1	0	0	1	1	1	0	6	4,9
C16.9 Magen o.n.A.	1	0	1	1	2	4	3	0	2	0	2	16	13,1
C18.0 Zäkum, einschl. Ileozäkalklappe	0	0	0	0	0	0	0	1	0	0	0	1	0,8
C18.1 Appendix	0	0	0	0	0	0	0	1	0	0	0	1	0,8
C18.2 Colon ascendens	0	0	0	1	0	0	0	0	0	0	0	1	0,8
C18.4 Colon transversum	1	0	0	0	0	0	0	0	0	1	0	2	1,6
C18.7 Colon sigmoideum (ohne Rektosigmoid, Übergang, =C19.9)	0	0	0	0	0	0	0	1	0	0	1	2	1,6
C20.9 Rektum o.n.A. (Ampulle)	0	0	0	0	1	0	1	0	0	0	0	2	1,6

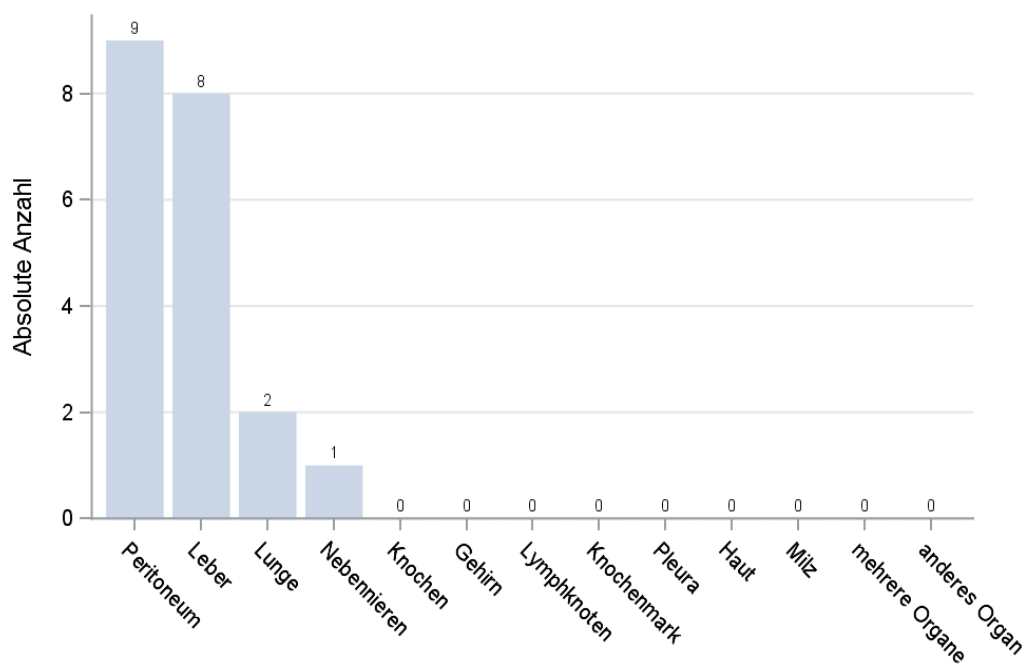
Lokalisation	2008	2009	2010	2011	2012	2013	2014	2015	2016	2017	2018	Summe	
												Anzahl	%
C20.96 Rektum, oberes Drittel, 12 cm bis <= 16 cm Höhe (neue Einteilung)	0	0	0	0	0	0	1	0	0	0	0	1	0,8
Summe	5	3	8	11	15	16	20	14	8	10	12	122	100,0

45.6 Histologische Befunde bei allen neuerkrankten Patienten in M-V in den Jahren 2008 – 2018

Tab. 45.7. GIST: Histologische Befunde bei neuerkrankten Patienten (Behandlungsort)

Histologiecode	Anzahl	Prozent
8936/3: Gastrointestinales Stromasarkom	122	100,0

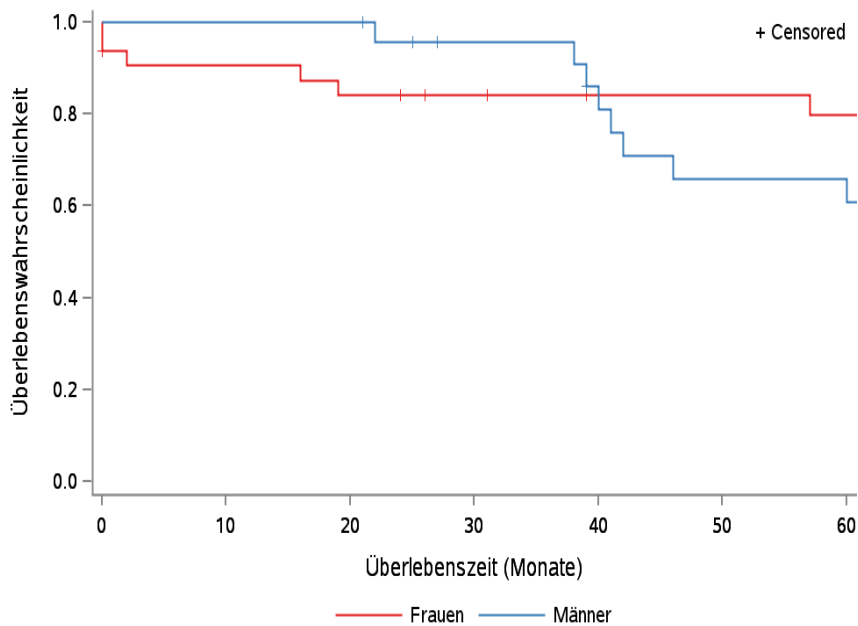
45.7 Lokalisation der Fernmetastasen



© KKR-MV 2020

Abb. 45.4. GIST: Lokalisation der Fernmetastasen bei Neuerkrankungen im Diagnosezeitraum 2008 bis 2018

45.8 Überlebensanalysen bei den in den Jahren 2008 – 2013 primär diagnostizierten Patienten



© KKR-MV 2020

Abb. 45.5. GIST: Wahrscheinlichkeit des Überlebens (Kaplan-Meier-Analyse) nach Geschlecht im Diagnosezeitraum von 2008 bis 2013 (Wohnort). Kaplan-Meier-Kurven werden für Kategorien mit weniger als 10 Neuerkrankungen nicht dargestellt.

Tab. 44.8. GIST: Anzahl der unter Risiko stehenden Neuerkrankungen (Monate nach Diagnose)

Geschlecht	0 Monate	20 Monate	40 Monate	60 Monate
Männer	24	24	17	13
Frauen	32	26	20	19

46 Quellenverzeichnis

- [1] Bevölkerung nach Alter und Geschlecht in Mecklenburg-Vorpommern 2008, Herausgeber: Statistisches Amt Mecklenburg-Vorpommern, Schwerin, 2009.
- [2] Bevölkerung nach Alter und Geschlecht in Mecklenburg-Vorpommern 2009, Herausgeber: Statistisches Amt Mecklenburg-Vorpommern, Schwerin, 2010.
- [3] Bevölkerung nach Alter und Geschlecht in Mecklenburg-Vorpommern 2010, Herausgeber: Statistisches Amt Mecklenburg-Vorpommern, Schwerin, 2011.
- [4] Bevölkerung nach Alter und Geschlecht in Mecklenburg-Vorpommern 2011, Herausgeber: Statistisches Amt Mecklenburg-Vorpommern, Schwerin, 2012.
- [5] Bevölkerung nach Alter und Geschlecht in Mecklenburg-Vorpommern 2012, Herausgeber: Statistisches Amt Mecklenburg-Vorpommern, Schwerin, 2013.
- [6] Bevölkerung nach Alter und Geschlecht in Mecklenburg-Vorpommern 2013, Herausgeber: Statistisches Amt Mecklenburg-Vorpommern, Schwerin, 2014.
- [7] Bevölkerung nach Alter und Geschlecht in Mecklenburg-Vorpommern 2014, Herausgeber: Statistisches Amt Mecklenburg-Vorpommern, Schwerin, 2015.
- [8] Bevölkerung nach Alter und Geschlecht in Mecklenburg-Vorpommern 2015, Herausgeber: Statistisches Amt Mecklenburg-Vorpommern, Schwerin, 2016.
- [9] Bevölkerung nach Alter und Geschlecht in Mecklenburg-Vorpommern 2016, Herausgeber: Statistisches Amt Mecklenburg-Vorpommern, Schwerin, 2017.
- [10] Bevölkerung nach Alter und Geschlecht in Mecklenburg-Vorpommern 2017, Herausgeber: Statistisches Amt Mecklenburg-Vorpommern, Schwerin, 2018.
- [11] Bevölkerung nach Alter und Geschlecht in Mecklenburg-Vorpommern 2018, Herausgeber: Statistisches Amt Mecklenburg-Vorpommern, Schwerin, 2019.
- [12] Christa Stegmaier, Stefan Hentschel, Ferdinand Hofstädter, Alexander Katalinic, Anett Tillack, Monika Klinkhammer-Schalke. Das Manual der Krebsregistrierung. München : W. Zuckschwerdt Verlag GmbH, 2019.
- [13] Gesetz zur Weiterentwicklung der Krebsfrüherkennung und zur Qualitätssicherung durch klinische Krebsregister (Krebsfrüherkennungs- und -registergesetz - KFRG)
<https://www.buzer.de/gesetz/10560/index.htm>, Zugriff am 19.11.2020.
- [14] Gesetz über die Krebsregistrierung in Mecklenburg-Vorpommern (Krebsregistrierungsgesetz - KrebsRG M-V) Vom 11. Juli 2016 (<http://www.landesrecht-M-V.de/jportal/portal/page/bsM-Vprod.psml?showdoccase=1&st=lr&doc.id=jlr-KrebsRGM-VV2IVZ&doc.part=X&doc.origin=bs>. Zugriff am 19.11.2020)
- [15] G. Ott, W. Klapper, A.C. Feller, M.L. Hansmann, P. Möller, H. Stein, A. Rosewald, F. Fend, Revidierte Fassung der 4. Ausgabe der WHO-Klassifikation maligner Lymphome, Der Pathologe 2, 2019, 40:157-168.

- [16] Travis, W.D. et al., The 2015 World Health Organization Classification of Lung Tumors: Impact of Genetic, Clinical and Radiologic Advances Since the 2004 Classification. *J. Thorac. Oncol.*, 2015. 10, 1243-60.
- [17] Wittekind C, Meier HJ (Hrsg.). *TNM Klassifikation maligner Tumoren*. 6. Auflage. Springer-Verlag: Berlin, Heidelberg, New York 2002.
- [18] Wittekind C, Meier HJ (Hrsg.). *TNM Klassifikation maligner Tumoren*. 7. Auflage. Wiley-VCH, Weinheim 2010.
- [19] Wittekind C, *TNM Klassifikation maligner Tumoren*. 8. Auflage. Wiley-VCH, Weinheim 2017.

ISBN: 978-3-86006-482-5



9 783860 064825